



This is a digital copy of a book that was preserved for generations on library shelves before it was carefully scanned by Google as part of a project to make the world's books discoverable online.

It has survived long enough for the copyright to expire and the book to enter the public domain. A public domain book is one that was never subject to copyright or whose legal copyright term has expired. Whether a book is in the public domain may vary country to country. Public domain books are our gateways to the past, representing a wealth of history, culture and knowledge that's often difficult to discover.

Marks, notations and other marginalia present in the original volume will appear in this file - a reminder of this book's long journey from the publisher to a library and finally to you.

### Usage guidelines

Google is proud to partner with libraries to digitize public domain materials and make them widely accessible. Public domain books belong to the public and we are merely their custodians. Nevertheless, this work is expensive, so in order to keep providing this resource, we have taken steps to prevent abuse by commercial parties, including placing technical restrictions on automated querying.

We also ask that you:

- + *Make non-commercial use of the files* We designed Google Book Search for use by individuals, and we request that you use these files for personal, non-commercial purposes.
- + *Refrain from automated querying* Do not send automated queries of any sort to Google's system: If you are conducting research on machine translation, optical character recognition or other areas where access to a large amount of text is helpful, please contact us. We encourage the use of public domain materials for these purposes and may be able to help.
- + *Maintain attribution* The Google "watermark" you see on each file is essential for informing people about this project and helping them find additional materials through Google Book Search. Please do not remove it.
- + *Keep it legal* Whatever your use, remember that you are responsible for ensuring that what you are doing is legal. Do not assume that just because we believe a book is in the public domain for users in the United States, that the work is also in the public domain for users in other countries. Whether a book is still in copyright varies from country to country, and we can't offer guidance on whether any specific use of any specific book is allowed. Please do not assume that a book's appearance in Google Book Search means it can be used in any manner anywhere in the world. Copyright infringement liability can be quite severe.

### About Google Book Search

Google's mission is to organize the world's information and to make it universally accessible and useful. Google Book Search helps readers discover the world's books while helping authors and publishers reach new audiences. You can search through the full text of this book on the web at <http://books.google.com/>



## Über dieses Buch

Dies ist ein digitales Exemplar eines Buches, das seit Generationen in den Regalen der Bibliotheken aufbewahrt wurde, bevor es von Google im Rahmen eines Projekts, mit dem die Bücher dieser Welt online verfügbar gemacht werden sollen, sorgfältig gescannt wurde.

Das Buch hat das Urheberrecht überdauert und kann nun öffentlich zugänglich gemacht werden. Ein öffentlich zugängliches Buch ist ein Buch, das niemals Urheberrechten unterlag oder bei dem die Schutzfrist des Urheberrechts abgelaufen ist. Ob ein Buch öffentlich zugänglich ist, kann von Land zu Land unterschiedlich sein. Öffentlich zugängliche Bücher sind unser Tor zur Vergangenheit und stellen ein geschichtliches, kulturelles und wissenschaftliches Vermögen dar, das häufig nur schwierig zu entdecken ist.

Gebrauchsspuren, Anmerkungen und andere Randbemerkungen, die im Originalband enthalten sind, finden sich auch in dieser Datei – eine Erinnerung an die lange Reise, die das Buch vom Verleger zu einer Bibliothek und weiter zu Ihnen hinter sich gebracht hat.

## Nutzungsrichtlinien

Google ist stolz, mit Bibliotheken in partnerschaftlicher Zusammenarbeit öffentlich zugängliches Material zu digitalisieren und einer breiten Masse zugänglich zu machen. Öffentlich zugängliche Bücher gehören der Öffentlichkeit, und wir sind nur ihre Hüter. Nichtsdestotrotz ist diese Arbeit kostspielig. Um diese Ressource weiterhin zur Verfügung stellen zu können, haben wir Schritte unternommen, um den Missbrauch durch kommerzielle Parteien zu verhindern. Dazu gehören technische Einschränkungen für automatisierte Abfragen.

Wir bitten Sie um Einhaltung folgender Richtlinien:

- + *Nutzung der Dateien zu nichtkommerziellen Zwecken* Wir haben Google Buchsuche für Endanwender konzipiert und möchten, dass Sie diese Dateien nur für persönliche, nichtkommerzielle Zwecke verwenden.
- + *Keine automatisierten Abfragen* Senden Sie keine automatisierten Abfragen irgendwelcher Art an das Google-System. Wenn Sie Recherchen über maschinelle Übersetzung, optische Zeichenerkennung oder andere Bereiche durchführen, in denen der Zugang zu Text in großen Mengen nützlich ist, wenden Sie sich bitte an uns. Wir fördern die Nutzung des öffentlich zugänglichen Materials für diese Zwecke und können Ihnen unter Umständen helfen.
- + *Beibehaltung von Google-Markenelementen* Das "Wasserzeichen" von Google, das Sie in jeder Datei finden, ist wichtig zur Information über dieses Projekt und hilft den Anwendern weiteres Material über Google Buchsuche zu finden. Bitte entfernen Sie das Wasserzeichen nicht.
- + *Bewegen Sie sich innerhalb der Legalität* Unabhängig von Ihrem Verwendungszweck müssen Sie sich Ihrer Verantwortung bewusst sein, sicherzustellen, dass Ihre Nutzung legal ist. Gehen Sie nicht davon aus, dass ein Buch, das nach unserem Dafürhalten für Nutzer in den USA öffentlich zugänglich ist, auch für Nutzer in anderen Ländern öffentlich zugänglich ist. Ob ein Buch noch dem Urheberrecht unterliegt, ist von Land zu Land verschieden. Wir können keine Beratung leisten, ob eine bestimmte Nutzung eines bestimmten Buches gesetzlich zulässig ist. Gehen Sie nicht davon aus, dass das Erscheinen eines Buchs in Google Buchsuche bedeutet, dass es in jeder Form und überall auf der Welt verwendet werden kann. Eine Urheberrechtsverletzung kann schwerwiegende Folgen haben.

## Über Google Buchsuche

Das Ziel von Google besteht darin, die weltweiten Informationen zu organisieren und allgemein nutzbar und zugänglich zu machen. Google Buchsuche hilft Lesern dabei, die Bücher dieser Welt zu entdecken, und unterstützt Autoren und Verleger dabei, neue Zielgruppen zu erreichen. Den gesamten Buchtext können Sie im Internet unter <http://books.google.com> durchsuchen.





6000251221

1

PRESS	<i>Inin</i>
SHELF	<i>a.</i>
Nº	<i>15.</i>

*C*

18843

*d.*

*27.*











**HANDBUCH**  
**DER**  
**KRYSTALLOGRAPHISCH-PHYSIKALISCHEN**  
**CHEMIE**

**BEARBEITET**

**VON**

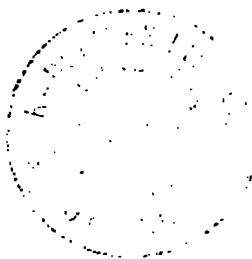
**C. F. RAMMELSBERG**

DR. UND PROFESSOR DER CHEMIE AN DER UNIVERSITÄT, MITGLIED DER AKADEMIE DER  
WISSENSCHAFTEN ZU BERLIN.



**ABTHEILUNG I.**  
**ELEMENTE UND ANORGANISCHE VERBINDUNGEN.**

**MIT 219 HOLZSCHNITTEN.**



**LEIPZIG**  
**VERLAG VON WILHELM ENGELMANN.**

**1881.**

*Das Uebersetzungsrecht vorbehalten.*

## VORWORT.

**K**enntniss der Körper ist das Ziel der Physik und Chemie. Diese Kenntniss erlangen wir, indem wir ihre Eigenschaften erforschen. Die Beziehungen der einzelnen Körper zu einander oder die Stelle, welche jeder von ihnen in der Gesamtheit der übrigen einnimmt, ergeben sich aus dem Vergleiche ihrer Eigenschaften.

Es ist kein Zweifel, dass alle Eigenschaften eines Körpers in einer inneren Beziehung zu einander stehen und es ist die Aufgabe der Wissenschaft, diesen inneren Zusammenhang zu erforschen, d. h. durch Versuch und Beobachtung, durch Anwendung aller wissenschaftlichen Hilfsmittel die Eigenschaften der Körper nach allen Richtungen kennen zu lernen.

Wir bezeichnen die Eigenschaften eines Körpers als physikalische und chemische. Jene umfassen alle Erscheinungen und Veränderungen an einem Körper, welche keinen Einfluss auf seine materielle Natur haben: diese sind der Ausdruck materieller Veränderung, die ein Körper unter geeigneten Umständen erleiden kann.

Zu den physikalischen Eigenschaften gehören bei einer grossen Zahl fester Körper in erster Linie die sogenannten geometrischen, die Krystallformen, denn nicht nur ruhen die Gesetze, welche im Bau der Krystalle sich erkennen lassen, auf mathematischer Grundlage, sondern die bestimmte Form ist ein untrügliches Merkmal der Selbständigkeit einer Substanz, und sehr oft lässt sich aus der Form die chemische Natur eines Körpers unmittelbar erkennen. Nun wissen wir, dass zwischen der Krystallform eines Körpers und seinen übrigen physikalischen Eigenschaften ein directer Zusammenhang besteht. Das optische, thermische, magnetische Verhalten, die Cohäsionsverhältnisse entsprechen den in der äusseren geometrischen Form ausgeprägten Symmetrieverhältnissen. Aber seit Mitscherlich's Entdeckung der Isomorphie ist auch



ein Band gefolgt, welches die Krystalle mit der chemischen Natur der Körper verknüpft.

Physiker und Chemiker begehen sich auf einem Gebiete, welches den Forschungsgeist beider heranzieht. Das ist die spezifische Wärme für die Chemie eine grosse Bedeutung erlangt. In der Elektrolyse von Verbindungen tritt ein Einfluss auf zwei chemische Verbindungen gewesen. Sind die Specificwärmeverhältnisse nicht aus dem Gebiete der Physik auf das der physikalischen Chemie übertragen worden?

Der Chemiker steht sich bei seinen Arbeiten fortwährend auf das Studium der physikalischen Erscheinungen hin. Wäre er seine Aufgabe auf die rein chemischen Erscheinungen beschränkt, so würde er von den Eigenschaften der Körper mit ihren gegenseitigen Beziehungen nur ein sehr unvollständiges Bild haben. Darin hat der Chemiker die physikalischen und die chemischen physikalischen Eigenschaften der Körper ebenfalls zu untersuchen, wie ihre Zusammensetzung und ihre Beziehungen, insoweit er über diese verfügt. Dies selbst ist dann, muss er mit den Beschaffenheiten physikalischer Körper wohl bekannt sein.

Chemie und Mineralogie bedienen sich des gleichen Hilfsmittel zur Erforschung der Eigenschaften der Körper und unterscheiden sich nur dadurch, dass die Chemie sich auf die nachstehenden verknüpfenden Verbindungen beschränkt. Aber der Unterschied zwischen nachstehenden und chemischen Verbindungen ist für das Studium ihrer Eigenschaften ohne Bedeutung und die Synthese der Mineralien wird in so grosser Fortschritte machen, je mehr man sich mit ihr beschäftigt, wenn auch gewisse Bedingungen, unter welchen die Bildung der Mineralien erfolgt, insbesondere die Temperatur schwer zu erklären sind.

Folgende sind unsere chemischen Eigenschaften mit den mineralogischen, so dass die sehr allgemeine Behandlung auf welche die einzelnen Eigenschaften der Körper zu stehen sollten. Bei einem Mineral wird die Krystalle + 1 + 1 + 1 + 1 mit ihren chemischen Beziehungen und Beziehungen untereinander beschrieben. Es werden die Stoffeigenschaften, die optischen Eigenschaften Farbe, Glanz, Härte, Schmelzwärme etc. angegeben. Die Zusammensetzung des Minerals mit seiner Zusammensetzung machen die chemische der Mineralbeschreibung aus. Früher verstand man in den Mineralien manches was zur Kenntnis des Minerals gehört, wie z. B. an Eigenschaften mit der chemischen Zusammensetzung und nachstehende Verfahren. Auch hier die Synthese des Minerals ist sehr wichtig zu sein, und seine in der Natur häufig erhaltene chemische Zusammensetzung wird als ein Merkmal der Bildung bezeichnet. Ein mineralogisches Werk, wie

es Haüy's *Traité* seiner Zeit war, fehlt uns noch immer, während wir an kürzeren vortrefflichen Lehrbüchern keinen Mangel haben.

Die Handbücher der Chemie, auch die ausführlichen, behandeln die wichtigsten physikalischen Eigenschaften der Körper fragmentarisch oder gar nicht; dies gilt von den Krystallformen, den optischen Charakteren, der Ausdehnung, der specifischen Wärme, dem elektrischen und magnetischen Verhalten; sie überlassen es ihren Lesern, die physikalischen Constanten eines Körpers in physikalischen Werken oder Zeitschriften aufzusuchen. Leopold Gmelin's *Musterwerk* hat allein mehr Rücksicht auf das krystallographische Element genommen.

Eine Folge dieser Vernachlässigung der physikalischen Eigenschaften in unseren chemischen Handbüchern ist die Unfähigkeit jüngerer Chemiker, ihre Präparate krystallographisch, optisch etc. selbst zu untersuchen, so dass das Bild eines Körpers in ihren Abhandlungen häufig ein äusserst mangelhaftes ist. Und doch ist es gar nicht so schwer, sich die erforderlichen krystallographischen und physikalischen Kenntnisse anzueignen, statt derartige Untersuchungen einem Anderen zu überlassen. Gerade umgekehrt haben sich die Mineralogen früher auf die Erforschung der geometrischen und physikalischen Eigenschaften beschränkt und die chemischen vernachlässigt, so dass man von ihnen erfuhr, wie ein Mineral aussieht, nicht aber, was es ist. Was aber unter gleichem Namen von einem Anderen an einem anderen Orte und zu anderer Zeit analysirt wurde, war nicht selten ein ganz anderes Mineral. Eine solche Theilung der Arbeit führt leicht zu Irrthümern, wovon die von der Wiener Akademie der Wissenschaften preisgekrönte Schrift von Schabus\*) ein lehrreiches Beispiel darbietet. Als schwefelsaures Lithion ist in derselben das Kalilithionsulfat, als Didym- und Lanthanchlorid sind die Sulfate, als Traubenzucker ist die Verbindung desselben mit Chlornatrium beschrieben u. s. w., was nicht der Fall gewesen wäre, wenn der Verfasser seine Präparate untersucht hätte.

Es lässt sich nicht leugnen, dass mit der gewaltigen Ausdehnung des Gebietes der Chemie die Schwierigkeit detaillirter Kenntniss seiner verschiedenen Theile zunimmt. Der Chemiker ebensowohl wie der Chemie Studirende haben aber das Bedürfniss, sich in der Literatur über die physikalischen Verhältnisse ihrer Stoffe Rath zu holen; wohin sollen sie sich nun wenden? Es ist doch ganz unmöglich, die physikalischen Constanten

---

\*) Bestimmung der Krystallgestalten in chemischen Laboratorien erzeugter Producte. Wien 1955.

für eine bestimmte Verbindung in einem Handbuche der Physik oder einer Zeitschrift aufzufinden.

Unter diesen Umständen schien ein Handbuch der Chemie nützlich zu sein, welches das enthält, was die Handbücher der Chemie nicht enthalten, in erster Linie also die Krystallformen in erforderlicher Vollständigkeit. Als ich vor 25 Jahren den ersten Versuch\*) machte, dieses Gebiet auf Grund der Arbeiten Anderer und eigener Beobachtungen darzustellen, hatte ich mich auf die geometrischen Eigenschaften beschränkt. In dem vorliegenden Werke bildet dieses Material und der seit jener Zeit gewonnene Zuwachs nur einen Theil des Inhalts, insofern die eigentlichen physikalischen Eigenschaften gleichberechtigt hinzuge treten sind, wobei soviel wie möglich die Originalabhandlungen benutzt wurden.

Nur in Betreff des Krystallographischen seien hier einige Bemerkungen gestattet. Ich habe ausschliesslich die von dem Begründer der neueren Krystallographie, C. S. Weiss, eingeführte Bezeichnungsweise gebraucht, weil ich sie für bei weitem besser als jede andere halte, und ich habe die Kantenwinkel als solche angegeben, weil sie allein, nicht aber die Neigungen der Flächennormalen, am Krystall zum Ausdruck kommen. Sicherlich würde das Studium der Krystalle unter den Chemikern weit mehr verbreitet sein, wenn die Krystallographen weder Naumann noch Whewell-Miller gefolgt wären.

Möchte das Buch auch von den Physikern mit Nachsicht beurtheilt werden und auch ihnen vorkommenden Falls einige Dienste leisten.

Berlin, im October 1881.

C. Rammelsberg.

\* Handbuch der krystallographischen Chemie. Leipzig 1855. — Die neuesten Forschungen im Gebiete der kryst. Chemie. 1857 (Supplement).

# INHALT

## DER ERSTEN ABTHEILUNG.

	Seite
Vorwort . . . . .	III
Bemerkungen und Erläuterungen zum krystallographischen Theil . . . . .	I
Bemerkungen zum optischen Theil . . . . .	11
<b>Elemente und anorganische Verbindungen, welche nicht den Charakter von Salzen haben</b> . . . . .	<b>13</b>
Wasserstoff. . . . .	13 u. 609
Chlor . . . . .	17 u. 609
Chlorwasserstoff 19 u. 609. . . . .	
Brom. . . . .	21 u. 609
Bromwasserstoff 23. . . . .	
Jod . . . . .	23 u. 609
Jodwasserstoff 26. . . . .	
Fluor (Fluorwasserstoff) . . . . .	27
Sauerstoff . . . . .	27 u. 609
Ozon 29; Wasser 30 u. 610; Unterchlorige Säure, Chlorige Säure 40; Chlorsäure, Bromsäure, Jodsäure 41; Ueberjodsäure 44. . . . .	
Schwefel . . . . .	45 u. 610
Jodschwefel, Schwefelwasserstoff 56; Schweflige Säure 58 u. 610; Schwefelsäure 62. . . . .	
Selen . . . . .	65
Selenschwefel 70; Selenwasserstoff, Selenige Säure, Selensäure 72. . . . .	
Tellur . . . . .	72 u. 610
Tellursäure (Tellurige Säure) 74. . . . .	
Stickstoff . . . . .	75 u. 610
Ammoniak 76; Atmosphärische Luft 81 u. 610; Stickstoffoxydul 84; Stickstoffoxyd 86; Stickstoffdioxid 87 u. 610; Salpetrige Säure 87; Salpetersäure 88. . . . .	
Phosphor . . . . .	89 u. 610
Phosphorwasserstoff 96; Phosphortrichlorid 96 u. 610; Phosphor-pentachlorid 97; Phosphoroxychlorid 97 u. 610; Pyrophosphor-ylchlorid 97; Phosphortribromid 97 u. 610; Phosphorpenta-bromid, Phosphordijodid 97; Phosphortrijodid, Unterphos-phorige S., Phosphorige S., Phosphorsäure 98. . . . .	
Bor . . . . .	98
Boraluminium, Chlorbor, Brombor, Fluorbor, Borsäure 101. . . . .	

	Seite
Arsen . . . . .	402 u. 611
Arsenwasserstoff 404; Chlorarsen, Bromarsen, Jodarsen, Arsenige Säure 405; Arsensäure, Schwefelarsen 408.	
Antimon (Antimonblei) . . . . .	409 u. 611
Antimontrichlorid, Antimonpentachlorid, Antimontribromid 412; Antimontrijodid 413; Antimonige Säure, Schwefelantimon 415.	
Wismuth . . . . .	415 u. 611
Wismuthchlorid, Wismuthjodid, Wismuthoxyd 417; Schwefelwismuth 418.	
Kohlenstoff . . . . .	418
Kohlensäure 425 u. 611; Kohlenoxyd 430; Schwefelkohlenstoff 433 u. 611.	
Silicium . . . . .	436
Siliciumtetrachlorid 437 u. 611; Siliciumtetrabromid, Fluorsilicium, Kieselsäure 438.	
Titan . . . . .	440
Titantetrachlorid 440 u. 611; Titansäure 440.	
Zirkonium . . . . .	442
Chlorzirkonium, Zirkonsäure 443.	
Thorium . . . . .	443
Chlorthorium 443; Thorsäure 444.	
Zinn . . . . .	444 u. 611
Zinnlegirungen 448; Zinnchlorid 448 u. 612; Zinnbromid, Zinnoxydul, Zinnsäure 449; Zinnsulfid 450.	
Tantal, Niob, Chloride . . . . .	450
Tantalsäure, Niobsäure 450.	
Vanadin . . . . .	451
Vanadinoxychlorid 451 u. 612; Vanadintetrachlorid 451; Vanadinoxydichlorid, Vanadinoxybromid, Vanadinsäure 452.	
Chrom . . . . .	452
Chromchloride 452; Chlorchromsäure 453 u. 612; Chromoxyd 453; Chromsäure 454.	
Molybdän . . . . .	454
Molybdänpentachlorid 454; Molybdänsäure 455.	
Wolfram . . . . .	455
Wolframchloride, Wolframsäure 456.	
Uran . . . . .	456
Uranoxyde 456; Uranchloride 457.	
Platin . . . . .	457
Palladium . . . . .	458
Iridium . . . . .	460
Rhodium . . . . .	460
Osmium . . . . .	461
Ueberosmiumsäure 461.	
Ruthenium . . . . .	461
Rutheniumdioxyd 461.	
Gold . . . . .	462
Goldlegirungen 464.	

# Inhalt der ersten Abtheilung.

IX

	Seite
Silber . . . . .	464 u. 612
Legirungen von Silber und Gold 466; Silberoxyd, Schwefel- silber 467.	
Quecksilber . . . . .	467 u. 612
Amalgame 470; Quecksilberoxyd 471; Schwefelquecksilber 472.	
Kupfer . . . . .	472 u. 612
Kupferlegirungen 474; Kupferoxydul, Kupferoxyd 476; Schwefel- kupfer 477.	
Blei . . . . .	477 u. 612
Bleilegirungen 479; Bleioxyd 481; Bleidioxyd, Schwefel- blei 482.	
Thallium . . . . .	483
Thalliumlegirungen, Thalliumchlorur, Thalliumoxyd 483.	
Indium . . . . .	483
Indiumchlorid 484.	
Gallium . . . . .	484
Norwegium . . . . .	484
Kadmium . . . . .	484 u. 612
Kadmiumlegirungen, Kadmiumoxyd, Schwefelkadmium 485. Se- len- und Tellurkadmium 486.	
Zink . . . . .	486 u. 612
Zinklegirungen 488 u. 612; Zinkoxyd 490; Zinkhydroxyd, Schwefelzink 492; Selenzink, Tellurzink 493.	
Eisen . . . . .	493 u. 613
Eisenlegirungen 497; Eisenoxydul, Eisenoxyd, Eisenoxydoxydul 498; Eisenbisulfuret 499.	
Mangan . . . . .	499
Manganoxydul, Manganoxydoxydul, Manganhydroxyd 499; Man- gandioxyd, Manganlegirungen 500.	
Kobalt . . . . .	500
Kobaltlegirungen, Kobaltoxydul 501.	
Nickel . . . . .	501
Nickellegirungen 502 u. 613; Kupfernickelwismuth 502; Nickel- oxyd 503.	
Aluminium . . . . .	503 u. 613
Aluminiumlegirungen, Thonerde 504; Aluminiumhydroxyde 505.	
Cer . . . . .	505
Ceroxyd, Cerdioxyd 505.	
Lanthan . . . . .	505
Lanthanoxyd 506.	
Didym . . . . .	506
Yttriumgruppe . . . . .	507
Beryllium . . . . .	507
Beryllerde, Beryllerdealuminat 507.	
Magnesium . . . . .	508 u. 613
Magnesia, Magnesiumhydroxyd 508.	
Calcium . . . . .	509
Zinkcalcium, Kalk (Calciumoxysulfuret) 509.	

	Seite
Strontium . . . . .	209
Strontian 209.	
Baryum . . . . .	210
Baryt 210.	
Lithium . . . . .	240 u. 613
Natrium . . . . .	240 u. 613
Natriumhydroxyd 214; Schwefelnatrium 212.	
Kalium . . . . .	242 u. 613
Kaliumhydroxyd 213.	
Rubidium. Cäsium . . . . .	213
<b>Salze</b> . . . . .	214
Fluoride . . . . .	214
Einfache Fluoride . . . . .	214
Fluorammonium, Fluorkalium, Fluornatrium 214; Fluorsilber, Fluor- calcium 215; Fluormagnesium, Fluorzinn, Fluorzink 216; Fluor- aluminium, Fluorzirkonium 217.	
Doppelfluoride . . . . .	218
1. Von Siliciumfluorid . . . . .	218
Ammoniumsiliufluorid, Kaliumsiliufluorid, Natriumsiliufluorid. 218; Lithiumsiliufluorid, Baryumsiliufluorid, Strontiumsiliufluorid, Blei- siliufluorid. 219; Magnesiumsiliufluorid, Zinksiliufluorid. 220; Mangan- siliufluorid, Nickelsiliufluorid, Kobaltsiliufluorid, Kupfersiliufluorid. 221.	
2. Von Titanfluorid . . . . .	222
Ammoniumtitanfluorid, Kaliumtitanfluorid, Natriumtitanfluorid. 222; Strontium- titanfluorid, Magnesiumtitanfluorid, Zinktitanfluorid, Mangantitanfluorid. 223; Kupfer- titanfluorid, Ammoniumkupfertitanfluorid, Kaliumkupfertitanfluorid. 224.	
3. Von Zinnfluorid . . . . .	224
Ammoniumzinnfluorid 224; Kaliumzinnfluorid. 225; Lithiumzinnfluorid, Stron- tiumzinnfluorid, Calciumzinnfluorid, Baryumzinnfluorid. 226; Bleizinnfluorid, Magne- siumzinnfluorid, Zinkzinnfluorid. 227; Manganzinnfluorid, Nickelzinnfluorid, Kadmium- zinnfluorid, Kupferzinnfluorid. 228.	
4. Von Zirkoniumfluorid . . . . .	228
Ammoniumzirkonfluorid 228; Kaliumzirkonfluorid. 229; Natriumzirkonfluorid, Magnesiumzirkonfluorid, Manganzirkonfluorid. 230; Zinnzirkonfluorid. 231; Nickel- zirkonfluorid, Kadmiumzirkonfluorid. 232; Kupferzirkonfluorid. 233; Kalium- Nickelzirkonfluorid. 234.	
5. Von Tantalfluorid . . . . .	235
Ammoniumtantalfluorid, Kaliumtantalfluorid, Natriumtantalfluorid. 235.	
6. Von Niobfluorid und Nioboxyfluorid . . . . .	236
Kaliumniobfluorid, Ammoniumnioboxyfluorid. 236; Kaliumnioboxyfluorid. 237; Zinknioboxyfluorid, Kupfernioboxyfluorid. 238.	
7. Von Molybdänoxyfluorid . . . . .	239
Ammoniummolybdänoxyfluorid, Kaliummolybdänoxyfluorid. 239; Zinkmo- lybdänoxyfluorid, Kobaltmolybdänoxyfluorid, Kadmiummolybdänoxyfluorid. 240.	
8. Von Wolframoxyfluorid . . . . .	240
Ammoniumwolframoxyfluorid. 240; Kaliumwolframoxyfluorid, Natrium- wolframoxyfluorid. 241; Zinkwolframoxyfluorid, Kupferwolframoxyfluorid, Ammo- niumkupferwolframoxyfluorid. 242.	



	Seite
9. Von Arsenfluorid . . . . .	243
Kaliumarsenfluorid 243.	
10. Von Antimonfluorid . . . . .	244
Ammoniumantimonfluorid, Kaliumantimonfl. 244.	
11. Von Berylliumfluorid . . . . .	245
Kaliumberylliumfluorid, Ammoniumberylliumfl. 245; Natriumberylliumfl. 246.	
12. Von Aluminiumfluorid . . . . .	246
Natriumaluminiumfluorid 246.	
Chloride . . . . .	247
Einfache Chloride . . . . .	247
Chlorammonium 246; Chlorkalium 249; Chlorrubidium, Chlorkäsium, Chlorlithium 251; Chlorthallium, Chlornatrium 252 u. 612; Chlorsilber 255; Quecksilberchlorür 256; Quecksilberchlorid, Quecksilberoxychlorid 257; Kupferchlorür, Kupferchlorid 258; Chlorblei, Eisenchlorür 259; Eisenchlorid, Manganchlorür 260; Chlorkobalt 261; Kobaltammoniumchlorid, Chlornickel 262; Nickelammoniumchlorid, Chlorkadmium, Chlorzink 263; Zinkammoniumchlorid, Chlormagnesium 264; Chlorcalcium 265; Chlorstrontium, Chlorbaryum 266; Goldchlorid 268; Aluminiumchlorid, Cerchlorid, Lanthanchlorid 269; Didymchlorid, Chlorplatin, Ammonplatin, diammonchlorür 270; Rhodiumammonchlorid, Zinnchlorür 271.	
Doppelchloride . . . . .	272
Ammonium-Magnesiumchlorid, Kalium-Magnesiumchlorid 272; Ammonium-Manganchlorür, Kalium-Eisenchlorür 273; Ammonium-Zinkchlorid 274; Kalium-Zinkchlorid, Natrium-Zinkchl. 275; Ammonium-Kadmiumchlorid, Kalium-Kadmiumchl., Ammonium-Kupferchlorid, Kalium - Kupferchl., Ammonium - Quecksilberchl. 276; Kalium-Quecksilberchlorid, Ammonium-Zinnchlorür, Kalium-Zinnchlorür 287; Ammonium-Uranylchlorid, Kalium-Uranylchlorid, Kalium-Platinchlorür, Kalium-Palladiumchlorür, Ammonium-Iridiumchlorid 278; Natrium-Iridiumchlorid, Ammonium-Rhodiumchlorid.	
Doppelchloride $R^2 R Cl^6$ , Natrium-Platinchlorid 279; Ammonium-Goldchlorid 284; Kalium-Goldchlorid, Natrium-Goldchl., Rubidium-Eisenchl. 282; Kalium - Indiumchlorid, Kalium - Dithalliumchl., Ammonium - Dithalliumchl., Ammonium - Wismuthchl., Kalium-Wismuthchl. 284; Kalium - Antimonchl., Rubidium - Antimonchl., Calcium-Magnesiumchl., Baryum-Kadmiumchl. 284; Strontium-Kadmiumchlorid, Calcium-Kadmiumchl., Magnesium-Kadmiumchl., Nickel - Kadmiumchl. 286; Kobalt - Kadmiumchlorid, Calcium-Quecksilberchl., Mangan-Quecksilberchl. 287; Magnesium-Goldchlorid, Nickel-Goldchl., Kobalt-Goldchl. 288; Mangan-Goldchlorid, Zink-Goldchl., Quecksilber-Lanthanchl., Quecksilber-Didymchl., Baryum-Platinchl. 289; Magnesium-Platinchlorid 290; Blei-Platinchlorid, Cer-Platinchl., Aluminium-Platinchl. 291.	
Bromide . . . . .	292
Einfache Bromide . . . . .	292
Bromammonium, Bromkalium, Bromrubidium, Bromthallium, Bromnatrium, Bromlithium 293; Bromsilber, Quecksilberbromid, Bromblei, Bromkadmium 294; Kadmiumammonbromid, Bromzink, Zink-	

	Seite
ammonbromid, Manganbromür 294; Brommagnesium, Bromcalcium, Brombaryum 295; Bromstrontium 298.	
Doppelbromide . . . . .	298
Kalium-Tellurbromid 298; Ammonium-Wismuthbromid, Ammonium-Platinbromid, Ammonium-Zinnbromid, Natrium-Platinbromid, Magnesium-Platinbromid 299; Nickel-Platinbromid, Kupfer-Platinbromid, Ammonium- (Kalium-) Dithalliumbromid, Baryum-Kadmiumbromid 300.	
Jodide . . . . .	300
Einfache Jodide . . . . .	300
Jodammonium, Jodkalium 300; Jodrubidium, Jodnatrium, Jodlithium 304; Jodsilber 302; Kupferjodür, Quecksilberjodür 303; Quecksilberjodid, Quecksilberbromojodid 304; Quecksilberchlorojodid, Jodblei, Jodkadmium, Jodzink 305; Zinkammoniumjodid, Nickelammoniumj., Jodmagnesium, Jodcalcium, Jodstrontium, Jodbaryum, Zinnjodid 306; Jodaluminium, Jodthallium 307.	
Doppeljodide . . . . .	307
Ammonium-Quecksilberjodid, Ammonium-Antimonj., Kalium-Antimonj. 307; Natrium-Wismuthjodid, Kalium-Dithalliumj., Ammonium-Platinj., Kalium-Platinj., Natrium-Platinj. 308; Nickel-Platinjodid, Calcium-Platinjodid 309.	
Chlorsaure Salze . . . . .	310
Chlorsaures Kali 310; Chlors. Natron 311; Chlors. Silber 312; Chlors. Strontian, Chlors. Baryt 313; Chlors. Blei, Chlors. Nickel (Co, Cu) Chlors. Quecksilberoxyd 314.	
Ueberchlorsaure Salze . . . . .	315
Ueberchlorsaures Ammoniak, Ueberchlors. Kali 315; Ueberchlors. Thallium, Ueberchlors. Baryt, Ueberchlors. Blei 316; Ueberchlors. Blei-Kali 318.	
Bromsaure Salze . . . . .	319
Bromsaures Kali 319; Broms. Natron, Bromsaures Natron-Bromnatrium 320; Broms. Silber, Broms. Blei, Bromsaurer Baryt 321; Broms. Strontian 322; Broms. Kalk, Bromsaure Magnesia, Bromsaures Nickel, Broms. Kobalt, Broms. Zink, Broms. Kupfer, Broms. Didym 323; Broms. Kadmium 324; Broms. Quecksilberoxyd 325.	
Jodsaure Salze . . . . .	326
Jodsaures Ammoniak, Jods. Kali 326; Jods. Natron 334; Jods. Silber, Jodsaurer Baryt, Jods. Kalk 332; Jods. Magnesia, Jodsaures Kali-Chlorkalium 333; Jods. Natron-Jodnatrium 334; Jods. Natron-Chlornatrium 335; Jodschwefelsaures Kali 337.	
Ueberjodsaure Salze . . . . .	338
Ueberjodsaures Ammoniak 338; Ueberjods. Kali 339; Ueberjods. Natron, Ueberjods. Lithion, Ueberjods. Silber, Ueberjodsaurer Strontian 343; Ueberjodsaures Kadmium, Ueberjodsaure Magnesia, Ueberjodsaures Nickel 344.	
Salpetersaure Salze . . . . .	345
Einfache Salze . . . . .	345
Salpetersaures Ammoniak 345; Salpeters. Kali 346; Salpeters. Natron 348; Salpeters. Rubidium, Salpeters. Cäsium 350; Salpeters. Thallium, Salpeters. Lithion 351; Salpeters. Silber 352; Salpeters. Silber-	

Kali 333; Salpeters. Silber-Natron, Salpeters. Baryt 334; Salpeters. Strontian 337; Salpeters. Kalk 338; Salpetersaure Magnesia 339; Salpetersaures Nickel, Salpeters. Kobalt 360; Salpeters. Kadmium, Salpeters. Zink, Salpeters. Mangan, Salpeters. Kupfer, Salpeters. Blei 361; Salpeters. Quecksilberoxydul 362; Salpeters. Quecksilberoxyd 365; Salpeters. Uranoxyd, Salpeters. Wismuth 366; Salpeters. Didym, Salpeters. Lanthan 368.	
<b>Doppelsalze . . . . .</b>	<b>369</b>
Salpetersaures Quecksilberoxydul-Ammoniak, Salpeters. Lanthan-Ammoniak, Salpeters. Didym-Ammoniak 369; Salpeters. Cer-Ammoniak 370; Salpeters. Cerdioxyd-Ammoniak, Salpeters. Cerdioxyd-Kali 371; Salpetersaure Ceroxyd-Magnesia, Salpetersaures Ceroxyd-Nickeloxyd 372; Salpetersaure Lanthan-Magnesia (Mn, Zn), Metallammoniumnitrate: Salpetersaures Ammonsilberammonium, Salpeters. Ammonkupferammonium 373; Salpeters. Ammonnickelammonium, Salpeters. Ammonkobaltammonium 374; Salpeters. Ammonplatinammonium 375; Salpeters. Ammonchlorplatinammonium 376.	
<b>Salpetrigsaure Salze . . . . .</b>	<b>376</b>
Salpetrigsaures Silber 376; Salpetrigs. Kalk-Kali, Salpetrigs. Nickel-Kali, Salpetrigs. Kadmium-Kali, Salpetrigs. Blei-Kali 377; Salpetrigs. Quecksilberoxyd-Kali 378; Salpetrigsaure Doppelsalze von Platinoxydul: Ammonium-Platinnitrit 378; Kalium-Platinnitrit 379; Rubidium-Platinnitrit 379; Cäsium-Platin., Thallium-Platin. 380; Silber-Platin., Natrium-Platin., Lithium-Platin. 381; Baryum-Platin., Strontium-Platin. 382; Blei-Platin., Kadmium-Platin. 383; Magnesium-Platin., Kobalt-Platin., Nickel-Platin., Mangan-Platin. 384; Zink-Platin., Silber-Platin., Verbindungen salpetrigsaurer Salze mit Platinjodür 385; Salpetrigs. Diaminkobalt-Kali, Salpeters. Diaminkobalt-Ammoniak 386.	
<b>Schwefelsaure Salze . . . . .</b>	<b>387</b>
<b>Einfache Salze . . . . .</b>	<b>387</b>
Schwefelsaures Ammoniak 387; Schwefels. Kali 389; Schwefels. Ammoniak-Kali 393; Schwefels. Rubidium, Schwefels. Cäsium, Schwefels. Natron 394; Schwefels. Ammoniak-Natron 400; Schwefels. Kali-Natron 404; Schwefels. Lithion 404; Schwefels. Ammoniak-Lithion 406; Schwefels. Kali-Lithion 407; Schwefels. Natron-Lithion 408; Schwefels. Thallium 410; Schwefels. Silber, Schwefelsaures Ammoniumsilberammonium 414; Schwefelsaurer Baryt (Sr, Ca, Pb) 414; Schwefels. Kalk-Hydrat, Schwefelsaure Beryllerde, Schwefels. Magnesia 412; Schwefelsaures Zink 415; Schwefels. Nickel 417; Schwefels. Kobalt 419; Schwefels. Ammoniumkobaltammonium 420; Schwefels. Manganoxydul 422; Schwefels. Eisenoxydul 424; Schwefels. Eisenoxyd 428; Schwefels. Kupfer 429; Schwefels. Ammonkupferammonium 433; Isomorphe Mischungen der Sulfate von R 434; Schwefelsaures Kadmium 435; Schwefels. Chromoxyd, Schwefels. Ceroxyd 437; Schwefels. Lanthan 439; Schwefels. Didym 440; Schwefels. Cer-Didym, Schwefels. Ceroyddioxyd 442; Schwefelsaure Yttererde 443; Schwefels. Erbinerde, Schwefels. Uranoxydul 444; Schwefelsaure Thorerde, Schwefelsaures Ammoniumplatinammonium 445.	

	Seite
Doppelsalze . . . . .	446
Schwefelsaurer Kali-Kalk 446; Schwefels. Natron-Kalk, Schwefel- saure Ammoniak-Magnesia 447; Schwefels. Kali-M. 448; Schwefels. Rubidium-M., Schwefels. Thallium-M., Schwefels. Natron-M. 452; Schwefels. Ammoniak-Zink 454; Schwefels. Kali-Z., Schwefels. Thallium-Z., Schwefels. Natron-Z. 452; Schwefels. Ammoniak- Nickel, Schwefels. Kali-N. 453; Schwefels. Thallium-N., Schwefels. Ammoniak-Kobalt, Schwefels. Kali-K., Schwefels. Ammoniak- Manganoxydul 454; Schwefels. Kali-Manganox. 455; Schwefels. Na- tron-Manganox. 459; Schwefels. Ammoniak-Eisenoxydul, Schwefels. Kali-Eisenox. 460; Schwefels. Thallium-Eisenox., Schwefels. Natron- Eisenox. 464; Schwefels. Ammoniak-Eisenoxyd, Schwefels. Kali- Eisenoxyd, Schwefels. Ammoniak-Kupfer, Schwefels. Kali-Kupfer. Schwefels. Ammoniak-Kadmium 462; Schwefels. Kali-Kadmium 463; Schwefels. Uranoxyd-Ammoniak, Schwefels. Chromoxyd- Ammoniak, Schwefels. Chromoxyd-Kali 464; Schwefels. Thonerde- Ammoniak, Schwefels. Thonerde-Kali (Rb, Cs, Tl), Schwefels. Cerdioxyd-Ammoniak 465; Schwefels. Cerdioxyd-Kali 466; Schwefels. Lanthan-Ammoniak, Verbindungen von Sulfaten mit anderen Salzen: Schwefelsaures Natron-Fluornatrium, Schwefel- saures Magnesia-Chlorkalium 467; Schwefelsaures Zinnoxidul-Kali- Zinnchlorür, Schwefelsaures und salpetersaures Natron 468.	
Schwefligsaure Salze . . . . .	469
Schwefligsaures Ammoniak 469; Schwefligs. Kali 470; Schwefligs. Natron 474; Schwefligs. Ammoniak-Natron, Schwefligsaure Magnesia 482; Schwefligs. Ammoniak-Magnesia, Schwefligsaures Zink 473; Schwefligs. Kupferoxydul-Ammoniak, Schwefligs. Iridammonium- Natron 474.	
Unterschwefelsaure Salze . . . . .	474
Unterschwefelsaures Kali 474; Unterschweifels. Rubidium, Unterschwe- fels. Lithion 475; Unterschweifels. Natron 476; Unterschweifels. Silber 477; Unterschweifelsaurer Baryt 478; Unterschweifelsaures Baryt-Natron 479; Unterschweifelsaurer Strontian, Unterschweifels. Kalk 480; Unterschweifelsaures Blei 484; Unterschweifelsaurer Blei- Strontian 483; Unterschweifelsaure Magnesia 484; Unterschweifels- saures Mangan, Unterschweifels. Zink, Unterschweifels. Kadmium 485; Unterschweifels. Nickel 486; Unterschweifels. Kobalt, Unterschweifels. Eisenoxydul 487; Unterschweifels. Kupfer, Unterschweifels. Didym 488.	
Unterschweifligsaure Salze . . . . .	489
Unterschweifligsaures Natron 489; Unterschweifligsaurer Strontian 490; Unterschweifligs. Kalk 492; Unterschweifligsaure Magnesia 494; Unterschweifligs. Nickel 495.	
Trithionsaure Salze . . . . .	495
Trithionsaures Kali 495.	
Pentathionsaure Salze . . . . .	495
Pentathionsaures Kali 495.	
Selentrithionsaure Salze . . . . .	496
Selentrithionsaures Kali 496.	
Disulfammonsaure Salze . . . . .	496
Disulfammonsaures Kali 496.	

	Seite
Selensaure Salze . . . . .	497
Einfache . . . . .	497
Selensaures Ammoniak 497; Selens. Kali, Selens. Thallium, Selens. Natron 499; Selens. Lithion 500; Selens. Silber, Selens. Ammonium-silberammonium, Selens. Mangansilberammonium 504; Selensaure Magnesia 502; Selensaures Nickel, Selens. Kobalt, Selens. Zink 504; Selens. Eisenoxydul, Selens. Kupfer 505; Selens. Kadmium, Selensaure Beryllerde 506; Selens. Yttererde 507; Selens. Erbinerde 508; Selensaures Didym, Selensaure Thorerde 509.	
Doppelsalze . . . . .	509
Phosphorsaure Salze . . . . .	511
Phosphorsaures Ammoniak 511; Phosphors. Kali, Phosphors. Natron 512; Phosphors. Ammoniak-Natron, Phosphors. Kali-Natron 517; Phosphors. Thallium 518; Phosphors. Thallium-Ammoniak 519; Phosphors. Ammoniak-Magnesia 520; Phosphorsaures Manganoxydul 522; Phosphors. Manganoxyd, Phosphors. Zink 523; Phosphors. Luteokobaltchlorid, Pyrophosphorsaures Natron 524; Pyrophosphors. Thallium 525.	
Unterphosphorsaure Salze . . . . .	527
Unterphosphorsaures Kali, Unterphosphors. Ammoniak 527; Unterphosphorsaures Natron 528; Unterphosphorsaurer Baryt 531.	
Unterphosphorigsaure Salze . . . . .	531
Unterphosphorigsaures Thallium, Unterphosphorigsaurer Baryt 531; Unterphosphorigsaurer Kalk, Unterphosphorigsaure Magnesia 533.	
Arsensaure Salze . . . . .	534
Arsensaures Ammoniak, Arsens. Kali 534; Arsens. Natron 535; Arsens. Ammoniak-Natron, Arsens. Kali-Natron, Arsensaurer Baryt, Arsensaures Eisenoxyd 537.	
Vanadinsaure Salze . . . . .	538
Vanadinsaurer Baryt 537; Vanadinsaures Strontian, Vanadinsaure Magnesia 538.	
Antimonsaure Salze . . . . .	540
Antimonsaures Natron, Antimonsaure Magnesia 540.	
Borsaure Salze . . . . .	540
Borsaures Ammoniak 540; Bors. Kali 541; Bors. Rubidium, Bors. Natron 542; Bors. Magnesia-Natron 544.	
Kohlensaure Salze . . . . .	545
Einfache . . . . .	545
Kohlensaures Ammoniak 545; Kohlens. Kali 546; Kohlens. Natron 548; Kohlens. Kali-Natron 552; Kohlens. Lithion, Kohlens. Thallium 553; Kohlensaure Magnesia 555.	
Doppelsalze . . . . .	556
Kohlensaures Kalk-Natron 556; Kohlens. Magnesia-Ammoniak, Kohlens. Magnesia-Kali 557; Kohlens. Zink-Kali, Kohlens. Zink-Natron, Kohlens. Nickel-Kali, Kohlens. Kobalt-Natron, Kohlens. Kupfer-Natron 558; Kohlens. Uranoxyd-Ammoniak, Kohlens. Luteokobalt-Ammoniak 559.	
Kieselsaure Salze . . . . .	560
Kieselsaures Natron 560; Kiesels. Baryt 564; Normale Silicate von Ca, Mg, Fe, Kiesels. Eisenoxydul 562.	

	Seite
Zinnsaure Salze . . . . .	563
Zinns. Kali, Zinns. Natron 563.	
Tantalsaure und niobsaure Salze . . . . .	563
Tantalsaures Kali 563; Tantals. Natron, Niobs. Kali 564.	
Molybdänsaure Salze . . . . .	565
Molybdänsaures Ammoniak 565; Molybdäns. Natron 567; Molybdäns. Magnesia, Molybdänsaures Magnesia-Ammoniak 568; Molybdäns. Blei, Molybdäns. Manganoxyd-Kali, Phosphormolybdäns. Ammo- niak 569; Phosphormolybdäns. Kali 570.	
Wolframsaure Salze . . . . .	570
Wolframsaures Ammoniak 570; Wolframs. Kali 572; Wolframs. Natron 574; Wolframs. Ammoniak-Natron 577; Wolframs. Kali-Natron, Wolframsaurer Kalk, Wolframsaures Blei 578; Metawolframsaures Ammoniak, Metawolframs. Kali, Metawolframs. Natron, Meta- wolframsaurer Baryt 579; Metawolframs. Strontian, Kieseldeka- wolframsaures Ammoniak 580; Kieseldodekawolframsäure, Kiesel- dodekawolframsaures Kali 584; Kieseldodekawolframs. Natron 582; Kieseldodekawolframsaurer Baryt 583; Kieseldodekawolframs. Kalk, Kieseldodekawolframsaure Magnesia, Kieseldodekawolframsaure Thonerde 584; Isokieseldodekawolframsäure, Kalisalz, Natronsalze 585; Kalksalz, Kalisalze (mit 41 WO <sup>3</sup> ) 586; Wolframvanadinsaures Ammoniak 587.	
Chromsaure Salze . . . . .	587
Einfache Salze . . . . .	587
Chromsaures Ammoniak 587; Zweifach chroms. Ammoniak-Quecksilber- chlorid 590; Chroms. Kali 594; Chlorchroms. Kali, Zweifach chroms. Kali-Quecksilberchlorid, Chroms. Kali-Quecksilbercyanid 595; Chroms. Rubidium 596; Chroms. Natron 597; Schwefels. Natron u. chroms. Ammoniak 598; Chroms. Lithion, Chroms. Silber 599; Chroms. Ammonsilberammonium, Chromsaurer Baryt, Chromsaure Magnesia 600.	
Doppelsalze . . . . .	601
Chromsaures Kalk-Kali, Chroms. Magnesia-Ammoniak 604; Chroms. Magnesia-Kali 602.	
Mangansaure Salze . . . . .	602
Mangansaures Kali 602.	
Uebersaure Salze . . . . .	602
Uebersaures Ammoniak 602; Uebersaures. Kali, Isomorphe Mischungen von überchlorsauren u. uebersauren Salzen 603; Uebersaures. Silber 604; Uebersauresaurer Baryt, Mangansaures und uebersaures. Kali 605.	
Tellursaure Salze . . . . .	603
Tellursaures Kali 605.	
Osmiansaure Salze . . . . .	606
Osmiansaures Kali 606.	
Schwefelsalze . . . . .	606
Natriumsulfarseniat 606; Natriumsulfantimoniat 607; Natriumselen- antimoniat, Natriumsulfostannat, Kaliumsulfomolybdat, Kalium- sulfowolframiat mit salpetersaurem Kali 608.	
Nachträge . . . . .	609

## Bemerkungen und Erläuterungen zum krystallographischen Theil.

**D**ie im vorliegenden Werke benutzte krystallographische Terminologie ist die von Weiss. Jede einfache, d. h. von isoparametrischen und zugleich physikalisch gleichwerthigen Flächen gebildete Form ist durch einen willkürlich gewählten Buchstaben bezeichnet, und die Lage ihrer Flächen gegen das gewählte Axensystem durch ihre Flächenparameter ausgedrückt. Was dieser Methode an Kürze abgeht, ersetzt sie durch die Sicherheit, mit welcher sich die Natur jeder Form aussprechen lässt.

Die Flächenneigungen oder die Kantenwinkel sind stets angegeben, wie sie am Krystall wirklich erscheinen.

Für den Krystallographen dürften die nachfolgenden Erläuterungen überflüssig sein, nicht aber für den Studirenden, welchem die Elemente der Wissenschaft vielleicht in einem anderen Gewande vorgeführt wurden.

### Reguläres System.

#### Vollflächner:

Das Oktaeder	$= a : a : a$
Das Granatoeder	$= a : a : \infty a$
Der Würfel	$= a : \infty a : \infty a$
Die Leucitoide	$= a : a : \frac{1}{n} a$
Die Pyramidenoktaeder	$= a : a : n a$
Die Pyramidenwürfel	$= a : n a : \infty a$
Die Achtundvierzigflächner	$= a : \frac{1}{n} a : \frac{1}{m} a,$

in welchen letzteren  $m > n > 1$  ist.



## Hälftflächner:

## A) Tetraedrische:

$$\text{Das Tetraeder} = \frac{1}{2} (a : a : a)$$

$$\text{Die Pyramidentetraeder} = \frac{1}{2} \left( a : a : \frac{1}{n} a \right)$$

$$\text{Die Trapezoidtetraeder} = \frac{1}{2} (a : a : n a)$$

$$\text{Die gebrochenen Pyramidentetraeder} = \frac{1}{2} \left( a : \frac{1}{n} a : \frac{1}{m} a \right)$$

## B) Pyritoedrische:

$$\text{Die Pentagondodekaeder} = \frac{1}{2} (a : n a : \infty a)$$

$$\text{Die gebrochenen Pentagondodekaeder} = \frac{1}{2} \left( a : \frac{1}{n} a : \frac{1}{m} a \right).$$

## Viertelflächner:

$$\text{Die tetraedrischen Pentagondodekaeder} = \frac{1}{4} \left( a : \frac{1}{n} a : \frac{1}{m} a \right) \#$$

## Viergliedriges System.

## Flächenzeichen

$$o \quad \text{Hauptoktaeder} = a : a : c$$

Quadratoktaeder erster Ordnung:

$$o^n \quad \text{schärfere} = a : a : n c$$

$$\frac{o}{n} \quad \text{stumpfere} = a : a : \frac{1}{n} c$$

Quadratoktaeder zweiter Ordnung:

$$d^m \quad \text{schärfere} = a : n c : \infty a$$

$$\frac{d}{n} \quad \text{stumpfere} = a : \frac{1}{n} c : \infty a$$

und zwar

$$d \quad \text{Erstes stumpferes} = a : c : \infty a$$

$$d^2 \quad \text{Erstes schärferes} = a : 2c : \infty a,$$

wobei nur die auf das Hauptoktaeder sich beziehenden kurzweg so bezeichnet sind:

$$p \quad \text{Erstes quadratisches Prisma} = a : a : \infty c$$

$$a \quad \text{Zweites quadratisches Prisma} = a : \infty a : \infty c$$

$$c \quad \text{Endfläche} = c : \infty a : \infty a$$

$$\text{Vierkantner} = a : n a : m c$$

$$\text{Vierkantige Prismen} = a : n a : \infty c$$

An einem jeden Quadratoktaeder heisst:

$2A$  der Endkantenwinkel

$2C$  der Seitenkantenwinkel.

An einem Vierkantner heisst

2  $X$  der Winkel in den Endkanten an  $a$

2  $Y$  der Winkel in den Endkanten an  $s^*$ )

2  $Z$  der Winkel in den Seitenkanten.

### Zweigliedriges System.

$a$  die auf den Beobachter gerichtete Axe,  $b$  die ihm parallele,  $c$  die senkrecht gedachte. An dem Hauptoktaeder wird immer  $a < b$  gewählt.

#### Rhombenoktaeder.

$o$	Hauptoktaeder	$= a : b : c$
$o^n$	Schärfere Oktaeder	$= a : b : nc$
$\frac{o}{n}$	Stumpfere Oktaeder	$= a : b : \frac{1}{n}c$
	Oktaeder	$= ma : nb : c.$

#### Prismen.

$p$	Erstes Paar	$= a : b : \infty c$
$p^n$	Stumpfere erste Paare	$= a : nb : \infty c$
${}^np$	Schärfere erste Paare	$= na : b : \infty c$
$p\frac{m}{n}$	Andere erste Paare	$= ma : nb : \infty c$
$q$	Zweites Paar	$= b : c : \infty a$
$\frac{q}{n}$	Stumpfere zweite Paare	$= nb : c : \infty a$
$q^n$	Schärfere zweite Paare	$= b : nc : \infty a$
$r$	Drittes Paar	$= a : c : \infty b$
$\frac{r}{n}$	Stumpfere dritte Paare	$= na : c : \infty b$
$r^n$	Schärfere dritte Paare	$= a : nc : \infty b.$

#### Hexaidflächen.

$a$	Hexaidfläche $a$	$= a : \infty b : \infty c$
$b$	Hexaidfläche $b$	$= b : \infty a : \infty c$
$c$	Hexaidfläche $c$	$= c : \infty a : \infty b.$

An einem Rhombenoktaeder heisst:

2  $A$  der Winkel in den Endkanten  $ac$

2  $B$  der Winkel in den Endkanten  $bc$

2  $C$  der Winkel in den Seitenkanten.

Der Winkel eines ersten Paares ist der an der Axe  $a$  liegende, der eines zweiten oder dritten Paares der an  $c$  liegende.

\*  $s$  die rhombische Zwischenaxe zwischen je zwei  $a$ .

### Zwei- und eingliedriges System.

Die Bezeichnung der Axen ist wie im zweigliedrigen System, nur ist die vordere Axe  $a$  von der hinteren  $a'$  unterschieden. Mit  $o$  ist der (hinten liegende) spitze Winkel der Axen  $a$  und  $c$  bezeichnet.

Jedes zwei- und eingliedrige Oktaeder zerfällt in zwei physikalisch verschiedene Augitpaare, ein vorderes  $a : mb : nc$  und ein hinteres  $a' : mb : nc$ .

Die Flächenzeichen sind im Allgemeinen dieselben wie im zweigliedrigen System, also ist

$$o = a : b : c; \quad o' = a' : b : c.$$

An einem vollständigen (oder vollständig gedachten) zwei- und eingliedrigen Oktaeder, z. B.  $o, o'$  heisst

$o : o$  der Winkel in den vorderen Endkanten  $ac$

$o' : o'$  der Winkel in den hinteren Endkanten  $a'c$

$o : o'$  der Winkel in den Endkanten  $bc$

$o : o'$  der Winkel in den Seitenkanten  $ab$

und gilt diese Reihenfolge in allen Fällen.

Auch die Prismen oder Paare werden, die ersten mit  $p$ , die zweiten mit  $q$ , die dritten mit  $r$  bezeichnet, die letzteren jedoch, da sie in zwei schiefe Endflächen, eine vordere und eine hintere zerfallen, durch  $r$  und  $r'$  unterschieden. Auch hier ist  $p : p$  der Prismenwinkel an  $a$ ,  $q : q$  und  $r : r'$  der an  $c$ .

Bei der Angabe  $p : q = \{$  bedeutet der erste Werth die Neigung  $q$  zum vorderen, der zweite die zum hinteren (an derselben Seite liegenden)  $p$ .

Die Hexaidflächen tragen die Buchstaben der Axen, auf welche sie sich beziehen. Die Hexaidfläche  $c$ , welche der Basis des Oktaeders, d. h. der Axenebene  $ab$  parallel liegt, heisst zum Unterschied die basische Endfläche.

Die physikalische Differenz der vorderen und hinteren, durch die Axenebene  $bc$  getrennten Hälften eines zwei- und eingliedrigen Krystals ist mit einer geometrischen Differenz der Richtungen  $ac$  und  $a'c$ , d. h. mit einer Abweichung der Neigung von  $a$  und  $c$  von der rechtwinkligen, verbunden. Die Fixirung beider in der Axenebene  $ac$  (Symmetrieebene) ist an und für sich willkürlich, doch sollte man dabei immer bemüht sein, solche Axen zu wählen, welche von rechtwinkligen nicht allzusehr abweichen. Wird dadurch auch die Einfachheit der parametrischen Werthe öfters gestört, so scheint doch ein Vergleich zwei- und eingliedriger Krystalle kaum möglich, so lange man bei ihnen Axenwinkel jeder Grösse, bis zu  $40^\circ$ , annimmt.

**Eingliedriges System.**

Wenn, wie hier immer angenommen ist, die Axe  $c$  senkrecht gedacht wird, verläuft  $b$  von rechts nach links,  $a$  von vorn nach hinten, dieses nach hinten aufwärts, jenes entweder nach rechts oder nach links aufwärts. Dabei wird das hintere  $a$  als  $a'$ , das linke  $b$  als  $b'$  unterschieden.

Die vier Einzelflächen, in welche ein eingliedriges Oktaeder, z. B. das Hauptoktaeder, zerfällt, tragen folgende Bezeichnung:

$$o = a : b : c \text{ vordere rechte Fläche}$$

$$o' = a : b' : c \text{ vordere linke Fläche}$$

$$o'' = a' : b : c \text{ hintere rechte Fläche}$$

$$o''' = a' : b' : c \text{ hintere linke Fläche.}$$

Aehnliches gilt für anderweitige Oktaidflächen.

Auf die Dodekaidflächen findet die frühere Bezeichnung gleichfalls Anwendung, so dass z. B.

$$p = a : b : \infty c, \quad q = b : c : \infty a, \quad r = a : c : \infty b$$

$$p' = a : b' : \infty c, \quad q' = b' : c : \infty a, \quad r' = a' : c : \infty b.$$

Für jeden eingliedrigen Krystall sind von den vorhandenen Flächen die ein Hexaid bildenden zu wählen (oder anzunehmen). Die Kantenwinkel dieses Hexaids  $A, B, C$  sind die Winkel der Axenebenen, die ebenen Winkel  $\alpha, \beta, \gamma$  sind die Winkel der Axen selbst, und zwar ist die Neigung

der Axenebenen		der Hexaidflächen
$ab : ac$	oder	$b : c = A$
$ab : bc$		$a : c = B$
$ac : bc$		$a : b = C$

gleichwie die Neigung der Axen

$$b : c = \alpha$$

$$a : c = \beta$$

$$a : b = \gamma.$$

Diese Werthe beziehen sich auf die vordere rechte Ecke des Hexaids, d. h. auf das vordere  $a$ , das rechte  $b$  und das obere  $c$  oder auf den Oktanten  $a : b : c$ .

**Sechsgliedriges System.**

Nebenaxen =  $a$ , Hauptaxe =  $c$ .

**Vollflächner.**

Dihexaeder erster Ordnung:

$d$	Hauptdihexaeder	$= a : a : \infty a : c$
$d^n$	Schärfere	$= a : a : \infty a : nc$
$\frac{d}{n}$	Stumpfere	$= a : a : \infty a : \frac{1}{n}c.$

Dihexaeder zweiter Ordnung		$= a : \frac{1}{2} a : a : \gamma c$
Sechskantner		$= a : n a : m a : \gamma c$
		$= a : \frac{1}{n} a : \frac{1}{n-1} a : \gamma c$
$p$	Erstes Prisma	$= a : a : \infty a : \infty c$
$a$	Zweites Prisma	$= a : \frac{1}{2} a : a : \infty c$
	Sechskantige Prismen	$= a : \frac{1}{n} a : \frac{1}{n-1} a : \infty c$
$c$	Endfläche	$= c : \infty a : \infty a : \infty a.$
Halftflächner (rhomboedrische).		
$r$	Hauptrhomboeder	$= a : a : \infty a : c$
Rhomboeder erster Ordnung :		
$r^n$	schärfere	$= a : a : \infty a : n c$
$\frac{r}{n}$	stumpfere	$= a : a : \infty a : \frac{1}{n} c.$
Rhomboeder zweiter Ordnung		
$r'$	Gegenrhomboeder	$= a' : a' : \infty a : \gamma c$
$2r'$	Erstes schärferes	$= a' : a' : \infty a : 2 c$
$\frac{r'}{2}$	Erstes stumpferes	$= a' : a' : \infty a : \frac{1}{2} c$
(beide auf das Hauptrhomboeder bezogen)		
	Dreikantner	$a : n a : m a : \gamma c$
		$a : \frac{1}{n} a : \frac{1}{n-1} a : \gamma c.$

An einem Dihexaeder heisst :

- 2  $A$  der Endkantenwinkel,
- 2  $C$  der Seitenkantenwinkel.

An einem Rhomboeder heisst :

- 2  $A$  der Endkantenwinkel.

An einem Sechskantner heisst :

- 2  $X$  der Winkel in den Endkanten an  $a$ ,
- 2  $Y$  der Winkel in den Endkanten an  $s^*$ ),
- 2  $Z$  der Winkel in den Seitenkanten.

An einem Dreikantner heisst :

- 2  $X$  der Winkel in den kürzeren schärferen Endkanten,
- 2  $Y$  der Winkel in den längeren stumpferen Endkanten,
- 2  $Z$  der Winkel in den Seitenkanten.

---

\*) Zwischenaxe der  $a$ ;  $s = \sqrt{\frac{1}{3}} = \frac{1}{\sqrt{3}}$ , wenn  $a = 1$ .

Die von Naumann eingeführten Symbole, welche den Vorzug der Kürze haben, sich aber zum Theil gar nicht aussprechen lassen, und wegen der Verwendung von Parenthesen, von Zeichen der Kürze und Länge, horizontal oder schief durchstrichenen Buchstaben sehr unzweckmässig sind, werden in der folgenden Uebersicht den in diesem Werke ausschliesslich benutzten Flächenzeichen von Weiss gegenübergestellt.

**Reguläres System.**

$$\begin{aligned}
 a : a : a \\
 a : a : \infty a \\
 a : \infty a : \infty a \\
 a : a : \frac{1}{m} a \\
 a : a : m a \\
 a : n a : \infty a \\
 a : m a : n a
 \end{aligned}$$

**Reguläres System.**

$$\begin{aligned}
 O \\
 \infty O \\
 \infty O \infty \\
 m O m \\
 m O \\
 \infty O n \\
 m O n.
 \end{aligned}$$

**Viergliedriges System.**

$$\begin{aligned}
 a : a : c &= o \\
 a : a : m c &= o^m \\
 a : a : \frac{1}{m} c &= \frac{o}{m} \\
 a : a : \infty c &= p \\
 a : c : \infty a &= d \\
 a : m c : \infty a &= d^m \\
 a : \frac{1}{m} c : \infty a &= \frac{d}{m} \\
 a : \infty a : \infty c &= a \\
 c : \infty a : \infty a &= c \\
 a : n a : m c \\
 a : n a : \frac{1}{m} c \\
 a : n a : \infty c
 \end{aligned}$$

**Tetragonales System.**

$$\begin{aligned}
 P \\
 \left. \begin{aligned} & \\ & \end{aligned} \right\} m P \\
 \infty P \\
 P \infty \\
 \left. \begin{aligned} & \\ & \end{aligned} \right\} m P \infty \\
 \infty P \infty \\
 0 P \\
 \left. \begin{aligned} & \\ & \end{aligned} \right\} m P n \\
 \infty P n.
 \end{aligned}$$

**Zweigliedriges System.**

$$\begin{aligned}
 a : b : c &= o \\
 a : b : m c &= o^m \\
 a : b : \frac{1}{m} c &= \frac{o}{m} \\
 n a : b : m c \\
 \frac{1}{n} a : b : \frac{1}{m} c
 \end{aligned}$$

**Rhombisches System.**

$$\begin{aligned}
 P \\
 \left. \begin{aligned} & \\ & \end{aligned} \right\} m P \\
 \left. \begin{aligned} & \\ & \end{aligned} \right\} m \check{P} n
 \end{aligned}$$

$$\begin{array}{llll}
a : nb : mc & & & \\
a : \frac{1}{n}b : \frac{1}{m}c & & & \\
a : b : \infty c & = p & \infty P & \\
na : b : \infty c & = {}^np & \infty \check{P}n & \\
a : nb : \infty c & = p^n & \infty \bar{P}n & \\
b : c : \infty a & = q & \check{P}\infty & \\
b : mc : \infty a & = q^m & & \\
b : \frac{1}{m}c : \infty a & = \frac{q}{m} & & \\
a : c : \infty b & = r & \bar{P}\infty & \\
a : mc : \infty b & = r^m & & \\
a : \frac{1}{m}c : \infty b & = \frac{r}{m} & & \\
a : \infty b : \infty c & = u & \infty \bar{P}\infty & \\
b : \infty a : \infty c & = b & \infty \check{P}\infty & \\
c : \infty a : \infty b & = c & 0 P. & 
\end{array}
\left. \begin{array}{l} \\ \\ \\ \\ \\ \\ \\ \\ \\ \\ \\ \\ \\ \\ \\ \\ \\ \\ \\ \end{array} \right\} \begin{array}{l} m \bar{P}n \\ \\ \\ \\ \\ \\ \\ \\ \\ \\ \\ \\ \\ \\ \\ \\ \\ \\ \\ \end{array}$$

**Zwei- und eingliedriges System.      Monoklines System.**

$$\begin{array}{llll}
a : b : c & = o & - P & \\
a' : b : c & = o' & + P & \\
a : b : mc & = m_o & & \\
a : b : \frac{1}{m}c & = \frac{o}{m} & & \\
a' : b : mc & = m_o' & & \\
a' : b : \frac{1}{m}c & = \frac{o'}{m} & & \\
a : nb : mc & & & \\
a' : nb : mc & & & \\
na : b : mc & & & \\
na' : b : mc & & & \\
a : b : \infty c & = p & \infty P & \\
a : nb : \infty c & = p^n & \infty Pn \text{ und } \infty \check{P}n & \\
na : b : \infty c & = {}^np & (\infty Pn) \text{ und } \infty \check{R}n & \\
b : c : \infty a & = q & (P\infty) \text{ und } \check{R}\infty & \\
b : mc : \infty a & = q^m & & \\
b : \frac{1}{m}c : \infty a & = \frac{q}{m} & & \\
a : c : \infty b & = r & \pm \check{P}\infty & \\
a' : c : \infty b & = r' & & \\
a : mc : \infty b & = m_r & & \\
a : \frac{1}{m}c : \infty b & = \frac{r}{m} & & 
\end{array}
\left. \begin{array}{l} \\ \\ \\ \\ \\ \\ \\ \\ \\ \\ \\ \\ \\ \\ \\ \\ \\ \\ \\ \end{array} \right\} \begin{array}{l} - m P \\ + m P \\ \pm m Pn \text{ und } \pm m \check{P}n \\ (\pm m Pn) \text{ und } \pm m \check{R}n \\ \\ \\ (m P\infty) \text{ und } m \check{R}\infty \\ \\ - m \check{P}\infty \end{array}$$



$$\begin{array}{lcl}
 a' : mc : \infty b & = & m p' \\
 a' : \frac{1}{m} c : \infty b & = & \frac{p'}{m} \\
 a : \infty b : \infty c & = & a \quad \infty P \infty \text{ und } \infty P \infty \\
 b : \infty a : \infty c & = & b \quad (\infty P \infty) \text{ und } \infty R \infty \\
 c : \infty a : \infty b & = & c \quad 0 P.
 \end{array}
 \left. \vphantom{\begin{array}{l} a' : mc : \infty b \\ a' : \frac{1}{m} c : \infty b \end{array}} \right\} + m P \infty$$

**Eingliedriges System.****Triklines System.**

$$\begin{array}{lcl}
 a : b : c & = & o \\
 a : b' : c & = & o' \\
 a' : b : c & = & o'' \\
 a' : b' : c & = & o''' \\
 a : b : \infty c & = & p \\
 a : b' : \infty c & = & p' \\
 b : c : \infty a & = & q \\
 b' : c : \infty a & = & q' \\
 a : c : \infty b & = & r \\
 a' : c : \infty b & = & r' \\
 a : \infty b : \infty & = & u \\
 b : \infty a : \infty & = & h \\
 c : \infty a : \infty b & = & c
 \end{array}
 \quad
 \begin{array}{l}
 p' \\
 'P \\
 ,P \\
 P, \\
 \infty P, ' \\
 \infty , 'P \\
 ,\bar{P}' \\
 ' \bar{P}, \infty \\
 ' \bar{P}', \infty \\
 \bar{P}, \infty \\
 \infty \bar{P} \infty \\
 \infty \bar{P} \infty \\
 0 P.
 \end{array}$$

Die Werthe  $m$  und  $n$  wie in den vorhergehenden Systemen.

**Sechsgliedriges System.****Hexagonales System.****Vollflächner:**

$$\begin{array}{lcl}
 a : a : \infty a : c & = & d \quad P \\
 a : a : \infty a : mc & = & d^m \\
 a : a : \infty a : \frac{1}{m} c & = & \frac{d}{m} \quad \left. \vphantom{\begin{array}{l} a : a : \infty a : mc \\ a : a : \infty a : \frac{1}{m} c \end{array}} \right\} m P \\
 2a : a : 2a : c & & P 2 \\
 2a : a : 2a : mc & & \left. \vphantom{2a : a : 2a : mc} \right\} m P 2 \\
 2a : a : 2a : \frac{1}{m} c & & \\
 a : \frac{1}{n} a : \frac{1}{n-1} a : c & & P n \\
 a : \frac{1}{n} a : \frac{1}{n-1} a : mc & & \left. \vphantom{\begin{array}{l} a : \frac{1}{n} a : \frac{1}{n-1} a : mc \\ a : \frac{1}{n} a : \frac{1}{1-n} a : \frac{1}{m} c \end{array}} \right\} m P n \\
 a : \frac{1}{n} a : \frac{1}{1-n} a : \frac{1}{m} c & & \\
 a : a : \infty a : \infty c & = & p \quad \infty P \\
 2a : a : 2a : \infty c & = & a \quad \infty P 2 \\
 a : \frac{1}{n} a : \frac{1}{n-1} a : \infty c & & \infty P n \\
 c : \infty a : \infty a : \infty a & = & c \quad 0 P
 \end{array}$$

## Rhombödrische Hälftflächner.

$$\begin{array}{lll}
a : a : \infty a : c & = r & R \\
a : a : \infty a : mc & = r^m & \left. \begin{array}{l} \\ \\ \\ \end{array} \right\} mR \\
a : a : \infty a : \frac{1}{m}c & = \frac{r}{m} & \\
a' : a' : \infty a : c & = r' & - R \\
a' : a' : \infty a : mc & = mr' & \left. \begin{array}{l} \\ \\ \end{array} \right\} - mR \\
a' : a' : \infty a : \frac{1}{m}c & = \frac{r'}{m} & \\
a : \frac{1}{n}a : \frac{1}{n-1}a : c & & Rn \\
a : \frac{1}{n}a : \frac{1}{n-1}a : mc & & \left. \begin{array}{l} \\ \\ \end{array} \right\} mRn \\
a : \frac{1}{n}a : \frac{1}{n-1}a : \frac{1}{m}c & & \\
a' : \frac{1}{n}a' : \frac{1}{n-1}a' : c & & - Rn \\
a' : \frac{1}{n}a' : \frac{1}{n-1}a' : mc & & \left. \begin{array}{l} \\ \\ \end{array} \right\} - mRn \\
a' : \frac{1}{n}a' : \frac{1}{n-1}a' : \frac{1}{m}c & &
\end{array}$$


---

## Bemerkungen zum optischen Theil.

Brechungsexponent  $n = \frac{\sin i}{\sin r}$  heisst auch relativer Brechungsexponent, weil er auf atmosphärische Luft  $= 1$  bezogen ist.

Absoluter Brechungsexponent  $= n \cdot 1,000294$ .

Brechungsvermögen (brechende Kraft)  $n^2 - 1$ . Specifisches Brechungsvermögen  $\frac{n^2 - 1}{d}$ , wo  $d$  das Volumgewicht der Substanz. Bei Gasen ist  $n^2 - 1$  oder nach Mascart  $n - 1$  proportional  $d$ .

Refractionsäquivalent  $\frac{n - 1}{d} \cdot m$ , wo  $m$  das Mol.-Gew. der Substanz.

Bei optisch einaxigen Substanzen heisst der Brechungsexponent  
des ordentlichen Strahls  $o$  oder  $\omega$ ,  
des ausserordentlichen Strahls  $e$  oder  $\varepsilon$ ,  
des mittleren Strahls  $\mu$ .

Bei optisch zweiaxigen Substanzen heisst Mittellinie (erste M.) die den spitzen Winkel der optischen Axen halbirende.

Bei ihnen sind die Hauptbrechungsexponenten der Strahlen, deren Schwingungsrichtung parallel der Axe

der grössten Elasticität  $\alpha$ ,  
der mittleren Elasticität  $\beta$ ,  
der kleinsten Elasticität  $\gamma$ .

Findet Dispersion der optischen Axen statt, d. h. sind die Winkel derselben für die verschiedenen Farben bei einer Substanz verschieden, so ist entweder der Axenwinkel für die rothen Strahlen kleiner als für die violetten,  $\varphi < \nu$ , oder grösser,  $\varphi > \nu$ .

Winkel der optischen Axen.

Der scheinbare Axenwinkel in Luft  $2E$ , derselbe in Oel  $2H$  (der spitze  $2H_a$ , der stumpfe  $2H_o$ ).

Der wahre Axenwinkel  $2V$  (oder  $2V_a$ ).

[Bei Grailich u. A. heisst  $2E$  für Roth  $(AB)_\rho$ ,  $2E$  für Blau  $(AB)_v$ ].

---

# **E l e m e n t e**

und

## **anorganische Verbindungen,**

welche nicht den Charakter von Salzen haben.

---

### **W a s s e r s t o f f. II.**

**Zusammendrückbarkeit.** — Das Gas zeigt bei steigendem Druck (bis zu 20 Atm.) eine etwas geringere Verdichtung, als dem Mariotteschen Gesetz entspricht; es verhält sich in dieser Beziehung entgegengesetzt dem Stickstoff, der Luft und der Kohlensäure. So ist die Verdichtung z. B. bei

5 Atm.	=	5,014645
10 -	=	10,056070
20 -	=	20,268720

Regnault: *Rélation des expériences etc.* Paris 1847, 329. (*Mém. de l'Acad. d. sc.* 26, 1862). Noch stärker stellt sich die geringere Verdichtung bei höheren Drucken heraus. Sie ist nämlich nach Natterer, wenn bei

	50 Atm.	=	50 Vol.	
dann bei	400 -	=	98 -	
	500 -	=	396 -	
	1000 -	=	623 -	
	1500 -	=	776 -	
	2000 -	=	899 -	

Wien. Ak. Ber. 42, 499 (Pogg. A. 99, 436). Vgl. Cailletet: *C. rend.* 70, 1134. — Budde: *J. f. pr. Ch.* (2) 9, 30. Verhältniss zwischen Dichte und Elasticität bei geringerem Druck Siljeström: *Pogg. A.* 154, 594. Die Verflüssigung des W. s. Pictet: *C. r.* 86, 765.

Ausdehnung. — Von 0° bis 100° wurde sie gefunden:

0,365659 Magnus  
0,36678 Regnault  
0,36562 Jolly.

Magnus: Pogg. A. 55, 20. — Regnault: Eb. 55, 572. — Jolly: Eb. Jubelbd. 82.

Volumgewicht. — Bei 0° und 760 mm

0,0694 Dumas  
0,0695 Dumas und Boussingault  
0,06926 Regnault (Mittel von drei Versuchen).

C. r. 20 (Pogg. A. 65, 395).

Specifische Wärme. — Gegen Luft = 1 hatten sie gefunden

	für gleiche Volume	für gleiche Gewichte
Apjohn	1,8948	27,5407
Suerman	1,5979	20,3494.

Ist nach Regnault die sp. W. der Luft, Wasser = 1 gesetzt, = 0,2375, so ist die des Wasserstoffs

Regnault	0,2356	3,409
E. Wiedemann (0,2358)		3,440,

wonach sie sich berechnen würde bei

Apjohn	0,450	6,54
Suerman	0,3795	4,826.

Man sieht hieraus nur, wie fehlerhaft diese älteren Angaben sind.

De la Roche und Bérard hatten unter Annahme der Zahl 0,2669 für Luft die Werthe

0,2444	3,8793
--------	--------

für Wasserstoff gefunden.

Das Verhältniss der sp. W. bei constantem Druck und bei constantem Vol. =  $\frac{c}{c'}$  ist = 1,44 (Jamin und Richard) oder = 1,385 (Röntgen).

Apjohn, Suerman: Ann. Ch. Phys. 63 (Pogg. A. 44, 474). — Regnault: C. r. 36 u. Rélat. d. expér. (Pogg. A. 89, 335). — Jamin: C. r. 71. — Röntgen: Pogg. A. 448, 580. — E. Wiedemann: Pogg. A. 157, 22.

Wärmeleitung. — Sie ist etwa siebenmal grösser als die der Luft.

Stefan: Wien. Ak. Ber. 65, 45. — Winkelmann: Pogg. A. 456, 497. — Boltzmann: Eb. 457, 457. — Kundt u. Warburg: Eb. 455, 337. 525. 456, 477.

**Optische Eigenschaften.** — Dulong fand das Brechungsvermögen des W., wenn Luft = 1 ist, = 0,47. Hieraus folgt für 0° und 760 mm der Brechungsexponent  $n = 1,000438$ , und das absolute Brechungsvermögen  $n^2 - 1 = 0,000277$ . Lorenz findet  $n = 1,0004387$  und berechnet aus den Versuchen von Mascart 1,0004388, aus denen von Ketteler 1,00044294. (S. atm. Luft.) Nach Croullebois ist der mittlere Brechungsexp. für weisses Licht = 1,000437 (Ann. Ch. Phys. (4) 20; 136).

Bezeichnet man mit Landolt das Product aus dem specif. Brechungsvermögen  $\frac{n-1}{d}$  und dem Atg. als Refractionsäquivalent, so ist für W. jenes = 1,30, dieses = 1,3006.

Haage: Pogg. A. 131, 147.

Die elektromagnetische Drehung der Polarisationssebene des Lichts in W. Kundt u. Röntgen: Wied. Ann. 8, 278. 10, 257.

Das Spectrum des W., mittelst des Inductionsfunken erhalten, ist theils ein Banden-, theils ein Linienspectrum. Die zahlreichen Angaben lassen noch nicht genau erkennen, ob die beobachteten Erscheinungen dem reinen Gase zukommen.

Plücker: Pogg. A. 107, 506. — Ångström: Eb. 144, 300. — Wüllner: Eb. 135, 497. 144, 481. 147, 334. — Secchi: C. r. 70, 79. — Seabroke: Phil. Mag. (4) 43, 155. — Salet: Ann. Ch. Phys. (4) 28, 5. — H. Vogel: Monatsb. Berl. Akad. 1879, 586. 1880, 192.

**Reibungscoefficient.**

Meyer: Pogg. A. 125, 186. 143, 14. 148, 526.

**Schallgeschwindigkeit.** — Nach Bender ist sie für Gase überhaupt umgekehrt proportional der Quadratwurzel aus dem Mol.-G. — Die Versuche von Kundt ergeben sie = 4164' (Mol.-G. = 2 =  $\sqrt{1,44}$ ). Ber. d. ch. Ges. 1873, 665.

**Diffusion.** — Nach Graham verhalten sich die Zeiten für den Durchgang gleicher Vol. Sauerstoff und Wasserstoff durch Capillarröhren = 1 : 0,44 = 2,27 : 1. Durch eine 0,5 mm dicke Graphitplatte verhalten sie sich wie die Quadratwurzeln aus der Dichte, und es ist die Schnelligkeit des Durchgangs direct proportional dem Druck. Durch eine solche Platte diffundirt W. fast mit gleicher Geschwindigkeit in Luft wie in den leeren Raum. — Pogg. A. 120, 445.

Deville bestimmte den Druck, welchen der in eiserne Röhren diffundirte W. erreichen kann, und Cailletet untersuchte die Diffusion des W. durch Eisen bei gewöhnlicher Temperatur.

Dewille: C. r. 59, 402. — Cailletet: Eb. 66, 847. — Vgl. Maxwell: Phil. Mag. (4) 46. — Meyer u. Springmühl: Pogg. A. 448, 526.

Wöhler beschrieb einen schönen Versuch, um die Diffusion des W. zu zeigen. Ber. d. ch. Ges. 1874, 40.

Durchgang der Electricität. — G. Wiedemann: Pogg. A. 158, 35. 252.

Absorption durch Wasser. — Der Absorptionscoefficient des W. ist für alle T. von 0 bis 25° derselbe (gleichwie bei Sauerstoff und Kohlenoxyd durch Alkohol), nämlich 0,0493, d. h. 4 Vol. Wasser löst 0,0493 Vol. W., oder 4 Vol. W. löst sich in 52,6 Vol. Wasser.

Pauli (Bunsen): Ann. Ch. Ph. 93, 4.

Absorption durch Kohle.

Angus Smith: Proc. R. Soc. 42, 424. — Hunter: J. Chem. Soc. (2) 40, 649.

Absorption durch Metalle (Palladium, Nickel, Eisen u. s. w.). Dieses Verhalten ist beim Palladium von Graham als das Resultat einer chemischen Wirkung betrachtet worden, daher hier nur beiläufig angeführt.

Graham: Pogg. A. 429, 548. 434, 451. 434, 324. 436, 347. 438, 49.

Thermochemisches Verhalten. — Ein Grm. Wasserstoff entwickelt beim Verbrennen in Sauerstoff an Wärmeeinheiten

		desgl. nach Schul-
	corrigirt	ler u. Wartha
Andrews	33808	33643
Grassi	34666	
Favre u. Silbermann	34462	34065
Than	33974	33867
Schuller u. Wartha	34426	

Wenn 4 Grm. Sauerstoff durch Verbrennen von (0,425 Grm.) Wasserstoff (4,425 Grm.) Wasser bildet, so steigt nach Despretz die T. auf 2578°.

Andrews: Pogg. A. 75, 27. 244. — Thomsen: Ber. d. ch. G. 1874, 944. — Schuller u. Wartha: Wied. Ann. 2, 359.

Bunsen fand die T. der Wasserstoffflamme in Sauerstoff = 2024° — 2833° — 2854°. Zugleich bemerkte er, dass vom W. nur etwa ein Drittel verbrennt, der Rest bei der hohen T. aber nicht mehr sich mit Sauerstoff zu verbinden vermag.

Pogg. A. 434, 464. — Vgl. Meyer: J. f. pr. Ch. (2) 40, 273.

Valerius berechnet aus Bunsen's Versuchen die Verbrennungstemperatur des W. in Sauerstoff = 4789°, in Luft = 4254°.

Jahresb. 1874, 58.



**Chlor. Cl.**

**Verdichtung.** — Es wird bei  $0^{\circ}$  durch 6,5 Atm., bei  $-35^{\circ}$  unter dem einfachen Druck flüssig. Faraday gelang es nicht, es in den starren Zustand zu versetzen. — Pogg. A. 64, 470. Ergbd. 2, 216.

Melsens erhielt es flüssig durch Absorption des Gases durch Holzkohle. C. r. 77.

Der Siedepunkt des flüssigen ist bei 760 mm =  $-33^{\circ},6$ . Regnault.

**Volumgewicht.** — Das berechnete V. G. ist  $\approx 35,5$  oder  $\approx 35,457$  (Atg. nach Stas). Ist das V. G. der Luft = 14,43, so ist das des Chlors, Luft = 4 gesetzt, entweder 2,456 oder 2,453. E. Ludwig fand, dass dies erst in höherer T. (bei  $200^{\circ}$ ) der Fall ist; bei dieser T. war es  $\approx 35,44$  (2,450), bei  $20^{\circ}$  jedoch 35,85 (2,4807). Das Ch. wäre mithin als coercibles Gas erst in höherer T. ein wirkliches Gas. — Ber. d. ch. G. 1868, 232.

V. Meyer fand, dass während fertig gebildetes Chlor auch in der höchsten T. sein V. G. behält, solches, das aus Verbindungen (z. B. Platinchlorür) durch Erhitzen frei wird, bis  $1000^{\circ}$  35,5, von  $1200^{\circ}$  ab aber nur 23,6 wiegt, d. h. auf  $\frac{2}{3}$  reducirt wird.

Während von chemischer Seite der Grund dieser Erscheinung in einer Theilbarkeit der bisher als Chloratom betrachteten Grösse gedacht werden kann, ist auch die Annahme zulässig, dass das Chlor in hoher T. einem anderen Ausdehnungsgesetze folge, wie die übrigen Gase. Vgl. Jod.

V. Meyer: B. d. ch. G. 1879, 1428. — Lieben: C. r. 89, 353.

**Spec. Wärme.** — Sie ist nach Regnault, bezogen auf Luft,

		nach Revision der Versuche
für gleiche Volume	0,2962	0,29645
- - Gewichte	0,1214	0,12099

Das Chlor folgt nicht dem für einfache permanente Gase gefundenen Gesetz, dass die sp. W. gleicher Vol. gleich sei, oder dass die sp. W. gleicher Gew. sich umgekehrt verhalte wie die Atg. oder V. G.

Regnault: C. r. 36. Rélat. des exp. (Pogg. A. 89, 335). Vgl. Strecker: Wied. Ann. 13, 20.

**Optisches Verhalten.** — Der relative Brechungsexponent  $n$  (gegen Luft) ist nach Dulong = 2,623 (Mascart fand ihn bei  $12^{\circ}$  = 2,63. C. r. 86, 321), woraus der absolute = 1,000772 und das abs. Brechungsvermögen = 0,001545 folgen.

Das Refractionsäq. Haage: Pogg. A. 131, 125.

Die Brechungsexp. für die einzelnen Farben und die Dispersion Croullebois: Ann. Ch. Phys. (4) 20.

Das elektrische Spectrum Willigen: Pogg. A. 106, 610.

Das Absorptionsspectrum Gernez: C. r. 74.

Draper hatte behauptet, dass Chlor, nachdem es dem Licht ausgesetzt gewesen, die Eigenschaft besitze, sich mit Wasserstoff im Dunkeln zu verbinden. Bunsen und Roscoe fanden diese Angabe unrichtig, was Jenen zu einer Erwiderung veranlasste.

Draper: Phil. Mag. 23, 388. 25, 4. 27, 327. (4) 44, 324. — Bunsen: Pogg. A. 400, 484.

Nach Favre und Silbermann soll das vom Sonnenlicht bestrahlte Chlor bei seiner Verbindung mit Wasserstoff mehr Wärme (39 W.-E.) entwickeln, als das nicht bestrahlte, und der gleiche Unterschied soll bei der Verbindung mit Kalium hervortreten. — Ann. Ch. Phys. (3) 36, 44. 37, 406. C. r. 27, 362.

Nach Budde erlangt Chlor durch Einwirkung stark brechbaren Lichts eine stationäre Temperaturerhöhung und eine grössere Ausdehnung als Luft, weil es eine grosse Absorptionsfähigkeit für jene Strahlen besitzt. — Pogg. A. 444, 244. Ergbd. 6, 24.

Roscoe und Schorlemmer konnten diese Angaben nicht bestätigen. Lehrb. d. Chemie 4, 403.

Reibungscoefficient. Meyer: Pogg. A. 443, 44. 448, 4. 203.

Absorption durch Wasser. — Schon aus den älteren Versuchen von Gay-Lussac und Pelouze ist bekannt, dass das Maximum der Absorption nicht bei 0°, sondern bei etwa 8° liegt und in der Bildung von Chlorhydrat seinen Grund hat. Die genauesten Versuche von Schönfeld ergeben für einige hauptsächliche Temperaturen:

	1 Vol. Wasser löst n Vol. Chlor	1 Vol. Chlor er- fordert n Vol. Wasser	1 cc = 4 Grm. Wasser enthält n Grm. Chlor	4 Grm. Chlor erfordert n Grm. Wasser
40°	2,5852	0,3870	0,00792	126
45	2,3684	0,4223	0,00744	140
20	2,4565	0,4637	0,00666	150
25	1,9504	0,5427	0,00568	176
30	1,7499	0,5744	0,00504	200

Roscoe fand, dass das Chlor, wenn es mit anderen Gasen vom Wasser absorbiert wird, zwischen 43 und 38° vom Absorptionsgesetz bedeutend abweicht.

Gay-Lussac, Pelouze: C. r. 46. — Schönfeld: Ann. Ch. Ph. 95, 8. — Roscoe: Eb. 95, 357. Vgl. ferner Berthelot: C. r. 94, 494.

Wittwer schlug vor, die durch Einwirkung des Lichts auf Chlorwasser entstehende Chlorwasserstoffsäure als Maass der photochemischen

Wirkung des Lichts zu benutzen. Bunsen und Roscoe bezweifelten dies, wogegen W. seinen Vorschlag vertheidigte.

Wittwer: Pogg. A. 94, 597. 97, 304. 106, 266. — Bunsen u. Roscoe: Eb. 96, 373.

Elektrolyse des Chlorwassers und Bildung von Ueberchlorsäure. Riche: C. r. 46.

#### Chlorhydrat.

Nach A. Nordenskiöld bildet es zweigliedrige Krystalle;  $a : b : c = 0,7 : 1 : 0,69$ . — Vet. Akad. Handl. 1874.

Wöhler's Untersuchungen über das Bestehen und Zerfallen des Hydrats: Ann. Ch. Ph. 85, 374.

Dissociationsspannung Isambert: C. r. 86, 484.

#### Chlorwasserstoff. HCl.

Ausdehnung. — Der A.-Coeff. ist  $= 0,00368$ . Regnault.

Verdichtung. — Das Gas lässt sich zu einer Flüssigkeit verdichten, diese erstarrt aber in den höchsten Kältegraden nicht. Temperatur und Druck beim Flüssigwerden sind (beobachtete Werthe):

bei 0°	26,2 Atm.	bei - 47°,2	5,83 Atm.
— 4°	23,0 —	— 55	4,26 —
— 17,8	15,0 —	— 60,5	3,37 —
— 20,5	13,88 —	— 64	2,9 —
— 30	10,66 —	— 69	2,28 —
— 36	8,53 —	— 73,3	1,8 —
— 44	7,4 —		

Faraday.

Der flüssige HCl. hat ein V. G. von etwa 1,27.

Gas-Volumgewicht  $= 18,5$  nach Biot und Gay-Lussac. Berechnet  $= 18,25$ .

Specifische Wärme bei constantem Druck für

gleiche Vol.  $= 0,2302$

— Gew.  $= 0,1845$ .

Regnault.

Optisches. — Brechungsvermögen  $= 1,527$  gegen Luft, woraus  $n = 1,000449$  und  $n^2 - 1 = 0,000899$  folgen. Dulong. (1,52 bei 12° Mascart.)

Suckow behauptet, dass ein Gemenge von Chlor und Wasserstoff im Verhältniss von 3 : 2 oder 2 : 1 Vol. im zerstreuten Licht gleichwie im grünen und rothen explodire. — Pogg. A. 32, 394.

Elektrolyse des Gases. Bunsen u. Roscoe: Pogg. A. 100, 43. —  
Buff u. Hofmann: Ann. Ch. Ph. 113, 129.

Elektrisches Leitungsvermögen. Grotrian: Pogg. Ann. 151, 385. —  
Kohlrausch: Eb. 159, 233.

Absorption durch Wasser. — Roscoe und Dittmar bestimmten die Menge des Gases, welche 1 Grm. Wasser bei 0° absorbiert, wenn der Partialdruck von jenem ein bestimmter ist. Ferner ermittelten sie die bei 760 mm absorbierten Mengen für verschiedene T. Hieraus ergibt sich:

1 Grm. Wasser absorbiert n Grm.	1 Vol. Wasser löst n Vol.
Bei 0° 0,825	504
4 0,804	492
8 0,783	477
12 0,762	466
16 0,742	454
20 0,721	441.

Die Löslichkeit nimmt unter stärkerem Druck wenig zu.

Spätere Versuche von Deicke betreffen den Absorptionscoeff., das V. G. und die Ausdehnung der Lösung. Sie geben:

1 Grm. W. absorbiert n Grm.	1 Vol. W. löst n Vol.
0° 0,823	525
4 0,797	495
8 0,780	480
12 0,763	471
18 0,734	454

Druck	Volumzunahme des Wassers	V. G. der Lö- sung
738 mm	0° 48,7 pCt.	1,2257
759	4 46,5	1,2265
765	8 46,1	1,2185
762	12 45,1	1,2147
765,5	18 43,7	1,2064.

Gehalt der gesättigten Lösung an Chlorwasserstoff:

	Roscoe	Deicke
bei 0°	45,2	45,1 pCt.
4	44,5	44,3
8	43,9	43,9
12	43,2	43,2.

Die bei  $440^{\circ}$  siedende wässrige Säure, welche etwa einem Hydrat  $\text{HCl} + 46\text{aq}$  entspricht und die nach dem Durchleiten trockner Luft bleibende Säure, die  $= \text{HCl} + 42\text{aq}$  ist, sind nur unter dem herrschenden Druck beständig. Nach Roscoe ist überhaupt eine wässrige Chlorwasserstoffsäure, welche unter einem bestimmten Druck einen festen Siedepunkt hat, gleich einer Säure, welche bei gewöhnlichem Druck bei jener T. durch Einwirkung trockner Luft constant geworden ist.

Roscoe u. Dittmar: Ann. Ch. Ph. 442, 327, 446, 243. — Deicke: Pogg. A. 449, 156.

Bei  $-48^{\circ}$  soll ein krystallisiertes Hydrat  $\text{HCl} + 2\text{aq}$  entstehen.

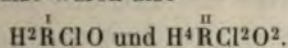
Pierre u. Puchot: C. r. 82, 45.

Thermochemisches. — 1 Grm. Wasserstoff entwickelt bei seiner Verbindung mit 35,5 Grm. Chlor 23783 W.-E. (Favre u. Silbermann) oder 22000 W.-E. (Thomsen).

C. r. 28. — Pogg. A. 448, 479.

Die Wärmeentwicklung bei der Absorption durch Wasser ( $\text{HCl} : 300 - 400 \text{H}_2\text{O}$ ) ist  $= 47344$  W.-E. Thomsen (a. a. O.). Spec. Wärme der Lösung. Thomsen: Pogg. A. 442, 337.

Thomsen schliesst aus seinen Versuchen, dass sich bei der Absorption  $\text{HCl} + \text{H}_2\text{O}$  bilde, welches als  $\text{H}^3\text{ClO}$  die wirkliche Säure sei, und er erblickt im V. G., der sp. Wärme, dem thermochemischen Verhalten dieser Säure, sowie in der Isomorphie der Salze Stützen für seine Ansicht. Die chlorwasserstoffsäuren Salze wären also



Pogg. A. Jubelbd. 435.

### Brom. Br.

Erstarrungs (Schmelz-) punkt. — Die Angaben differiren

—  $7^{\circ}$  bis  $-8^{\circ}$  Pierre —  $48^{\circ}$  bis  $-20^{\circ}$  Sérullas

—  $7^{\circ},32$  Regnault —  $24^{\circ},5$  H. Baumhauer

—  $7,2$  Philipp —  $24^{\circ}$  Quincke.

Die Zahlen  $7,2$  bis  $7,3$  sind die allein richtigen; die übrigen beziehen sich auf unreines, d. h. chlorhaltiges Brom.

Siedepunkt.  $58^{\circ}$  Andrews;  $63^{\circ}$  Stas (760 mm).

Volumgewicht.

a) des flüssigen  $= 2,966$  Balard;  $2,98-2,99$  bei  $15^{\circ}$  Löwig;  $3,4872$  Pierre (T. ?);  $2,948$  beim Siedepunkt. Ramsay.

b) des Gases  $= 80,06$  (5,54 gegen Luft) bei  $753,8$  mm. Mitscherlich. Berechnet  $= 80$  (79,75 Stas).

Auch für Bromdampf hat V. Meyer ähnliche Resultate wie beim Chlor erhalten. Der aus  $\text{PtBr}^4$  sich entwickelnde hat bei  $1570^\circ$  ein V. G. = 52,6 und 54,6 geliefert, während  $\frac{2}{3} \cdot 80 = 53,3$  ist.

S. Chlor.

Regnault: Pogg. A. 78, 123. — H. Baumhauer, Ber. d. ch. G. 1871. — Quincke: Pogg. A. 135, 642. — Mitscherlich: Eb. 29, 193. — Philipp: Ber. d. ch. G. 1879, 1424.

Spec. Wärme des festen:

Regnault: 0,08432 bei  $-78^\circ$  und  $-9^\circ$ ,  
des flüssigen:

Andrews: 0,1071

Regnault: 0,11094 40° bis 48°

0,1129 43 - 58

0,10513 — 6 - 10,

des gasförmigen:

später

bei gl. Volum = 0,2992 0,3040

- - Gewicht = 0,05518 0,05552,

wobei die Dichte = 79,15 (statt 80) vorausgesetzt ist. Regnault. Vgl. Chlor.

Latente Wärme. — Die des festen B. berechnet Regnault = 16,185. Die latente Dampfwärme ist für 1 Grm. = 45,6 oder für 1 Liter 269,6, genommen beim Siedep. unter mittlerem Druck. Andrews. Jene ist = 50,95. Regnault.

Die Capillaritätsconstante des flüssigen bestimmte Quincke: a. a. O.

Brechungsvermögen des Gases bei  $12^\circ = 3,85$ . Mascart.

Spectrum. — Das des Gases Salet: Ann. Ch. Phys. (4) 28. Das Absorptionssp. der Lösung Vogel: Monatsb. Berl. Akad. 1878, 418.

Elektrisches Verhalten. — Brom und Wasser sind Nichtleiter, aber Bromwasser ist nach De la Rive ein Leiter. Nach Riche entsteht bei der Elektrolyse Bromsäure.

Löslichkeit in Wasser.

100 Th. gesätt. Lösung enthalten an Brom	1 Th. Brom löst sich in
5° 3,60	26,8 Th. Wasser
10 3,327	29,0
15 3,266	30,0
20 3,208	30,2
30 3,126	34

Dancer: J. Ch. Soc. 15, 477. — Vgl. Slessor: N. Ed. ph. J. 7.



Verhalten des B. bei gleichzeitiger Gegenwart von Wasser und Schwefelkohlenstoff. Berthelot: C. r. 69.

Lösung in Schwefelkohlenstoff. Sp. Wärme derselben. Marignac: N. Arch. ph. nat. 39.

Absorption flüssigen Br. durch Kohle. Temperaturerhöhung von mehr als 30°. Melsens: C. r. 77.

### Bromwasserstoff. HBr.

Verdichtung. — Das Gas wird bei  $-73^{\circ},3$  flüssig, und unter  $-87^{\circ}$  fest. Faraday.

Brechungsvermögen des Gases bei  $12^{\circ} = 1,95$ . Mascart.

Absorption durch Wasser. — Nach Bineau sowie nach Roscoe und Dittmar ist die unter 760 mm bei  $126^{\circ}$  siedende wässerige Säure  $= \text{HBr} + 10 \text{ aq}$  und enthält 47,8 pCt. HBr. Ihr Verhalten unter verändertem Druck und beim Durchleiten von Luft bei verschiedener T. ist ähnlich dem der Chlorwasserstoffsäure.

Ann. Ch. Phys. 116, 214.

Nach Topsøe ist der Siedepunkt jener Säure  $125 - 125^{\circ},5$  und ihr V. G.  $= 1,490$ . Derselbe und auch Wright machten Angaben über das V. G. und den Gehalt wässriger Bromwasserstoffsäure.

Topsøe: Ber. d. ch. G. 1870, 400. — Wright: Ch. News. 23.

Elektricitätsleitung. — Kohlrausch: S. Chlorwasserstoff.

Brom und Wasserstoff verbinden sich durch den Funkenstrom langsam, Bromwasserstoff in wässriger Lösung giebt bei der Elektrolyse Bromsäure. Riche.

Thermochemisches.

Verbindungswärme von Wasserstoff und Brom. Favre: C. r. 73. — Thomsen: Pogg. A. 148, 192. 198. — Berthelot: C. r. 76. 84.

Lösungswärme: S. die beiden Letztgenannten.

Neutralisationswärme. Thomsen: Pogg. A. 138, 201. 140, 530. 143, 354. 497.

Absorptionswärme durch Kohle. Favre: Ann. Ch. Phys. (5) 1.

### J o d. J.

Zweigliedrig.  $a : b : c = 0,4866 : 1 : 0,7324$ . Mitscherlich.

$o, o^3; r; b, c.$

$s = \frac{1}{3}a : \frac{1}{6}b : c$

$n = a : \frac{1}{3}b : c$

Berechnet:		Beobachtet:	
		Mitscherlich	Marignac
$o$	$2A =$	$*135^{\circ} 52'$	$135^{\circ} 52'$
	$2B = 78^{\circ} 58'$		$78 \ 45$
	$2C =$	$*118 \ 18$	
$o^3$	$2A = 129 \ 12$		$129 \ 13$
	$2B = 56 \ 16$		
	$2C = 157 \ 28$		
$s$	$2A = 92 \ 56$		
	$2B = 89 \ 52$		
	$2C = 161 \ 58$		
$n$	$2A = 30 \ 40$		
	$2B = 154 \ 34$		
	$2C = 163 \ 10$		
	$r : r = 67 \ 12$		
	$o : b = 112 \ 4$		$112 \ 0$
	$c = 120 \ 51$		$120 \ 42$
	$o^3 : b = 115 \ 24$		$115 \ 24$
	$c = 101 \ 16$		$101 \ 9$

Durch Sublimation oder Schmelzen dünne Tafeln nach  $b$ . An den Kry-  
stallen aus Alkohol herrscht  $o^3$ , an denen aus Jodwasserstoff finden sich  
 $o$ ,  $o^3$ ,  $b$ ,  $c$ , und letztere ist die Tafelfläche; Mitscherlich fand an ihnen  
 $s$  herrschend.

Mitscherlich: Monatsber. Berl. Ak. 1855, 416. — Marignac:  
Réch. sur les form. cryst. 12.

Schmelzpunkt  $113^{\circ},6$  Regnault.

Ausdehnungscoeff. für  $1^{\circ}$

des festen =  $0,000235$

- flüssigen =  $0,000856$

Billet.

Volumgewicht. — Das feste =  $4,825$ , das flüssige =  $4,004$ , beide  
bei  $107^{\circ}$ . Billet. — V. G. des festen bei  $17^{\circ}$  =  $4,948$ .

V. G. des Gases =  $126$  ( $8,716^*$ ) Dumas,

=  $125$  ( $8,65$ ) Bineau (bei  $684^{\circ}$ ) Ber. 127 oder  
 $126,5$  Stas).

Deville und Troost hatten das V. G. des Joddampfs bei  $1000^{\circ}$  un-  
verändert gefunden.

---

\*) Gegen Luft.



V. Meyer hingegen erhielt

bei 253°	128,5 — 127,6
450	127,7
586	126
842	98,3
1027	83
1567	84 — 81,

während  $\frac{2}{3} \cdot 127 = 84,7$  wäre.

Nach Meier und Crafts beginnt die Aenderung schon zwischen 600 und 700° und es ist das V.-G. bei 4470° = 73, d. h. etwa  $\frac{2}{3}$  des normalen.

Später hat Troost seine früheren Versuche wiederholt und bei dem Siedepunkt des Schwefels gefunden bei einem Druck von

768 mm	125,7
67,2 -	118,5
48,6 -	112,0
34,5 -	106,2.

Man sieht also, dass das normale Gas-V. G. auch in niederen T. bei vermindertem Druck abnimmt, dass man daher weder eine Dissociation des Dampfes noch eine Allotropie des Jods, sondern bloß anzunehmen braucht, der Ausdehnungscoefficient des Joddampfes ändere sich mit der T. und dem Druck. (Vgl. Chlor.)

V. Meyer: Ber. d. chem. G. 1880, 394. 1103. — F. Meyer u. Crafts: Eb. 1880, 854. — A. Naumann: Eb. 1880, 1050. — Troost: C. r. 94, 54.

Später haben Crafts und F. Meyer die Dichte des Joddampfes unter vermindertem Druck, d. h. gemengt mit Luft, bestimmt und gefunden, dass dieselbe bis 700° = 127, dass aber oberhalb dieser T. eine um so raschere Abnahme der Dichte eintritt, je geringer die Tension des Dampfes ist, um schliesslich bei mehr oder minder hohen T., je nach der mehr oder minder grossen Tension, constant auf die Hälfte = 63,5 zu sinken. Dies tritt bei 0,4 Atm. bei 1350°, bei 0,2 Atm. bei 1400° ein. — C. r. 92, 39.

Spec. Wärme. — Das feste = 0,05412, Regnault; das flüssige = 0,10822, Favre u. Silbermann; das Gas s. Chlor (Strecker).

Latente Dampfwärme = 23,95. F. u. S.

Optisches. — Joddampf dispergirt das Licht umgekehrt wie andere Körper (anomale Dispersion); ein mit ihm gefülltes Prisma bricht die rothen Strahlen stärker als die blauen. — Leroux: C. r. 55, 126 (Pogg. A. 117, 659).

Joddampf, welcher rothe und blaue Strahlen hindurchlässt und deshalb violett erscheint, lässt bei grösserer Dichte nur die blauen hindurch. — Andrews: Ch. News 24.

Das Absorptionsspectrum des J. beobachteten

Plücker u. Wüllner: Pogg. A. 420, 458. — Thalen: Eb. 439, 503. — Salet: C. r. 75. Ann. Ch. Phys. (4) 28. — Conroy: Pr. R. Soc. 25, 46.

Dichroismus des J. Conroy: a. a. O.

Elektrisches Verhalten. — Festes J. ist ein unvollkommener Leiter; gegen den Strom erscheint es als Nichtleiter. Riess: Pogg. A. 64, 54.

Beetz fand, dass die Angabe von Inglis, das flüssige sei ein Leiter, nicht begründet ist. — Eb. 92, 452.

Löslichkeit. — 4 Th. Jod löst sich in

5524 Th. Wasser (40 — 42°). Wittstein,

6583 - - (6°). Dossios u. Weith.

Bei der Elektrolyse der Lösung entsteht Jodsäure. Riche.

### Jodwasserstoff. HJ.

Verdichtung. — Faraday erhielt in niederen T. flüssigen und festen Jodwasserstoff. — Pogg. A. Ergb. 2, 202.

Gas-V. G. — Gefunden 64,2 (4,44 gegen Luft). Gay-Lussac berechnet 64.

Bei 480° fängt das Gas an, sich zu zersetzen, und bei 700° ist etwa  $\frac{1}{3}$  zersetzt. Während die Zersetzung durch Platinschwamm befördert wird, verbindet derselbe ein Gemenge beider Gase theilweise. Hautefeuille: C. r. 64, 608. 704.

Brechungsvermögen des Gases bei 42° = 3,40. Mascart.

Absorption durch Wasser. — Topsøe gab eine Tabelle über den Gehalt und das V. G. der wässerigen Säure. Nach ihm siedet die durch Destillation erhaltene stärkste S. bei 427° und enthält 57,75 pCt. HJ. — Ber. d. ch. G. 1870, 402.

De Luynes giebt 426° und die Dichte 4,70 an.

Vgl. Wright: Ch. News 23.

Elektricitätsleitung s. Chlorwasserstoff.

Thermochemisches.

Bildungswärme = 6040 W.-E. Thomsen. Vgl. Berthelot (HCl u. HBr).

Lösungswärme. Bei 500 Mol. Wasser = 49210 W.-E. Thomsen, bei 700 M. 49570 W.-E. Berthelot.

Neutralisationswärme. Thomsen: Pogg. A. 438, 204. 443, 354.  
B. d. ch. G. 1872, 508.

### Fluor. Fl.

Fluorwasserstoff. HFl.

Volumgewicht = 0,9885 bei 13°, 6.

Siedepunkt = 49°, 5. Gore: J. Ch. Soc. (2) 7.

Neutralisationswärme. Ist grösser als bei anderen Säuren.  
Thomsen: Pogg. A. 438, 208.

### Sauerstoff. O.

Ausdehnung und Zusammendrückbarkeit. — Regnault erhielt für die Ausdehnung keine übereinstimmenden Resultate, weil das Quecksilber Gas absorbiert und von ihm oxydirt wird. Jolly giebt den Ausdehnungscoeff. = 0,0036743 an. — Pogg. A. Jubelbd. 82.

Sein Abweichen vom Mariotte'schen Gesetz unter hohem Druck zeigen die Versuche Natterer's:

50 Atm. = 50 Vol. 500 Atm. = 439 Vol.

400 - = 400 - 4000 - = 595 -

Wien. Ak.-B. 42, 499 (Pogg. A. 94, 436).

Verflüssigung. Pictet, s. Wasserstoff. Caillottet: C. r. 85, 4243.

Verhältniss zwischen Dichte und Elasticität bei geringerem Druck  
Siljeström: Pogg. A. 454, 588.

Volumgewicht. — Auf Luft bezogen, ist es

4,4036 Biot und Arago,

4,4026 Dulong und Berzelius,

4,4056 Th. de Saussure,

4,4057 Dumas und Boussingault,

4,40563 Regnault.

Nach der letzten Bestimmung verhalten sich die V. G. von Wasserstoff und Sauerstoff = 1 : 15,9635

= 1,0023 : 16.

Spec. Wärme. — Sie ist

	für gleiche Vol.	für gleiche Gew.
Suerman . . . . .	0,2750	0,2364
De la Roche und Bérard	0,2364	0,2347
Regnault . . . . .	0,2442	0,2182
später . . . . .	0,24049	0,21751.

**S. Wasserstoff.**

Wärmeleitung. — Winkelmann: Pogg. A. 154, 497. — Boltzmann: Eb. 157, 457.

Brechungsvermögen. — Nach Dulong gegen Luft = 1 bei gleichem Druck und gleicher Temperatur = 0,924. Hieraus wurde für 0° und 760 mm  $n = 1,000272$  und  $n^2 - 1 = 0,000544$  abgeleitet.

Lorenz giebt die Zahl  $n = 1,00027455$ . S. Atm. Luft.

Nach Croullebois ist der mittlere Brechungsexp. für weisses Licht = 1,000270.

Haage findet das spec. Brechungsvermögen = 3,00 und das Refractionsäq. = 0,1875. S. Wasserstoff.

Electromagnet. Drehung der Polarisationssebene s. Wasserstoff.

Spectrum bei verschiedener Dichte. — Wüllner: Pogg. A. 135, 497. 447, 329. Salet: Ann. Ch. Phys. (4) 28, 5. Paalzow: Monatsb. Berl. Akad. 1878, 705. Vogel: Ber. d. chem. Ges. 1879, 332.

Absorption durch Wasser. — Pauli (Bunsen) bestimmte folgende Zahlen:

1 Vol. Wasser absorbiert n Vol. Gas	1 Vol. Gas löst sich in n Vol. Wasser
0° 0,04444	24,3
5 0,03628	27,6
10 0,03250	30,8
15 0,02989	33,5
20 0,02838	34,2.

Für Alkohol ist für alle diese T. der Absorptionscoeff. derselbe, nämlich 0,28397, d. h. 1 Vol. löst sich in 3,52 Vol. Alkohol. — Ann. Ch. Ph. 93, 4.

Absorption durch Kohle. — Nach Angus Smith absorbiert sie aus Luft vorzugsweise S., aus Knallgas zuerst nur S. Die mit S. beladene Kohle giebt beim Erwärmen oder in siedendem Wasser nur Kohlensäure. — Proc. R. Soc. 12, 424. Ch. News 18, 24.

Oxydirende Kraft des absorbierten S. Grace Calvert: J. Ch. Soc. (2) 5, 293.

Thermochemisches. — Die Verbrennungswärme vieler Körper in S. wurde von Andrews, von Favre und Silbermann u. A. bestimmt. Hier mögen aus den Versuchen der Letzteren nur einige Zahlen Platz finden:

*A* die Zahl der W.-E. beim Verbrennen von je 4 Grm. der Körper; *B* die Zahl der W.-E. beim Verbrennen je eines Atoms derselben.

	<i>A</i>	<i>B</i>
Wasserstoff . . . .	34460	34460
Schwefel (zu SO <sup>2</sup> ) . .	2224	71072
Phosphor . . . . .	5953	484543
Kohlenstoff (Diamant)	7770	93240
Eisen . . . . .	4352,6	75745,6
Zink . . . . .	4292,75	84028,73
Kupfer . . . . .	683,9	43359,26
Blei . . . . .	266,4	55082,7

Andrews: Pogg. A. 75, 27. 244. — Favre und Silbermann: C. r. 26 u. 28. Ann. Ch. Ph. (3) 34. 36 u. 37.

#### Ozon (activer Sauerstoff).

Durch einen Druck von 75 Atm. wird es bei — 23° blau und anscheinend flüssig, während bei + 25° Explosion erfolgt. Die blaue Farbe des ozonisirten Sauerstoffs lässt sich schon in 4 m langen Röhren wahrnehmen. Hautefeuille: C. r. 94, 522.

Dichte. — Die Versuche, die Dichte des Ozons aus der Volumvergrößerung ozonhaltigen Sauerstoffs bei Zerstörung des Ozons zu berechnen, führten Andrews und Tait anfänglich zu dem Schluss, dass Ozon die vierfache, später, dass es die 50- oder 60fache Dichte des Sauerstoffs besitze. Dann zeigte Soret, sowohl durch Absorptionsversuche mit Terpentin- und Zimmtöl, als auch durch die Diffusion, dass das Ozon andert-halbfach so dicht als Sauerstoff, sein V. G. = 24 sei. Diesem Resultat entspricht die Annahme, Ozon sei O<sup>2</sup> + O. Andrews und Tait: Pogg. Ann. 402, 625. 442, 256. — Soret: Ebend. 424, 268. 432, 469.

Absorptionsspectrum; Verhalten in der Hitze bei Gegenwart von Stickstoff. Hautefeuille: C. r. 92, 80.

Calorisches Aequivalent. — Nach Hollmann entwickelt 4 Grm. Ozon bei seiner Umwandlung in Sauerstoff 355,5 W.-E. — Jahresber. 1868, 436.

Absorption durch Wasser. — Carius hat gefunden, dass 100 cc Wasser

bei 4°—2°,5	0,748 bis 4,346 cc Ozon *)
- 46°,5	0,644

\*, Neben Sauerstoff.

lösen. Schöne fand

bei 48° 0,881.

Hiernach wäre 4 Vol. Ozon neben Sauerstoff gelöst

in 77 bis 134 Vol. Wasser bei 4°—20,5

in 164 - - - 46°,5

- 113,5 - - - 48°.

Bekanntlich löst sich 4 Vol. Sauerstoff bei 0° in 24,3 Vol., und bei 45° in 33,2 Vol. Wasser.

Carius: Ber. d. ch. Ges. 1872, 520. 1873, 806. Ann. Ch. Ph. 174, 4. — Schöne: Ber. d. ch. Ges. 1873, 1224. Ann. Ch. Ph. 171, 87.

### Wasser. H<sup>2</sup>O.

#### I. Eis.

Krystallform. — Schon Brewster hatte aus dem optischen Verhalten auf das sechsgliedrige System geschlossen und die Entdecken zweier sehr stumpfer Rhomboeder beobachtet. — Phil. Mag. (3) 4, 245.

Schmid, welcher das optische Verhalten gleichfalls untersuchte, hielt die Form und Structur als mehr für das zweigliedrige System passend. — Pogg. Ann. 55, 472.

Bertin bestätigt durch optische Untersuchungen, dass die Eiskrystalle rhomboedrisch und positiv sind. — Ann. Ch. Phys. (3) 69, 95. (4) 1, 240.

Nach A. Nordenskiöld besitzen Schnee und Eis zwei nicht vereinbare Formen.

Die Krystalle des Schnees sind sechsseitige Prismen mit Endfläche, selten finden sich drei Dihexaederflächen, deren Neigung gegen das Prisma etwa 124°, 150° und 171° beträgt, aber diese Flächen treten nur am einen Ende auf, was älteren Beobachtungen Smithson's entspricht. An den aus der Luft niederfallenden Schneesternern fand Nordenskiöld die optische Axe senkrecht zur Ebene der Sterne, welche ihre Form einer wiederholten unsymmetrischen Ausbildung der Prismen verdanken.

Botzenhardt hatte an ihnen ein Rhomboeder gefunden, für welches er  $2A = 117^\circ 23'$  berechnet.

Krystalle von Reif bilden nach Nordenskiöld rechtwinklige, oft hohle Hexaeder, parallel der einen Zonenaxe gestreift, das Licht polarisirend, also nicht regulär. Sie müssen also vier- oder zweigliedrig sein. — Pogg. Ann. 114, 612. — Vgl. Galle: Eb. 49, 241. Listing: Eb. 122, 161.

Elasticität. — Nach Bevan ist der E.-Mod. 2100000 Fuss. — Phil. Tr. 1826, 3, 304.

Plasticität und Sprödigkeit. — Reusch: Pogg. A. 421, 576. Wied. Ann. 9, 329. — Pfaff: Pogg. A. 155, 169.

Cohäsion. — (Gletschereis) Schlagintweit: Pogg. A. 80, 209.

Regelation. — Faraday: Pogg. A. 444, 647. — Bottomley: Eb. 448, 492. — Pfaundler: Wien. Ak.-Ber. 69, 204. (Tyndall, Thomson, Helmholtz.)

Vgl. Gefrieren des Wassers.

Ausdehnung. — Nach Heinrich ist die kubische A. für  $1^{\circ} = 0,00073536$ , die lineare für  $1^{\circ} = 0,000024$ .

Brunner berechnet aus seinen Versuchen über die Dichte des Eises die lin. A. für  $1^{\circ} = 0,0000375 = \frac{4}{26700}$ . Plücker und Geissler bestimmten den Coeff. der kub. A. (das Vol. bei  $0^{\circ} = 1$ )  $= 0,0004585$ . Hiernach ist die A. des Eises grösser als die der übrigen festen Körper. Sie stimmt mit der Ausdehnung des Wassers überein, wenn dieses eine T. von  $-4^{\circ}$  und  $-5^{\circ}$  oder etwa  $43^{\circ}$  hat. — Pogg. A. 86, 238.

Dichte. — Sie ist nach Brunner bei  $0^{\circ} = 0,948$ . Er berechnet sie aus seinen Versuchen

bei $-5^{\circ}$	$= 0,94856$
$-40$	$= 0,94942$
$-45$	$= 0,94968$
$-20$	$= 0,92025$

Pogg. A. 64, 443.

Plücker und Geissler hatten bei  $0^{\circ} = 0,920$  gefunden, Kopp 0,908.

Bunsen bestimmte die Dichte bei  $0^{\circ} = 0,94667$  bis 0,94682. — Pogg. A. 444, 4.

Specif. Wärme. — Desains fand sie  $= 0,505$  bis 0,524; Person nahm 0,56, später 0,5057 und 0,5047 (zw.  $-4$  und  $-24^{\circ}$ ) an. — Pogg. A. 74, 448. 525.

Wärmeleitung, Strahlung, Diathermansie. Tyndall: Pogg. A. 403, 457.

Farbe. Schlagintweit: Pogg. A. 80, 477.

Optisches Verhalten. — Optisch einaxig positiv (s. Krystallform).

Brechungssexponent. — Der mittlere ist nach Brewster und Wollaston 4,309 und 4,340; Galle berechnete 4,3447 — 4,3248 für einzelne Farben. Bravais bestimmte ihn



für Roth	= 1,3070
- Gelb	= 1,3095
- Grün	= 1,3115
- Blau	= 1,3150
- Violet	= 1,3170.

Ann. Ch. Phys. (3) 21, 364.

Reusch fand für

	<sup>o</sup>	<sup>e</sup>
Roth	1,30598	1,30734
Grün	1,312	1,3136
Violet	1,317	1,321.

Pogg. A. 124, 573.

Die Brechungsexponenten Bertin: Instit. 1864, 208.

Elektrisches Verhalten. — Eis ist ein Nichtleiter. Die Differenz des Isolationsvermögens zwischen Eis und Wasser ist verschwindend klein. Dellmann.

Diamagnetismus. — Nachgewiesen von Brunner: Pogg. A. 79, 173.

## II. Flüssiges Wasser.

Zusammendrückbarkeit. — Perkins untersuchte sie bis zu 4000 Atm. — Phil. Tr. 1826.

Oersted begnügte sich mit 6 Atm. Pogg. A. 12, 513.

Colladon und Sturm gingen bis 24 Atm. Ann. Ch. Phys. 35, 113 (Pogg. A. 12, 39).

Z. bei verschiedener Temp. Wertheim: Pogg. A. 77, 569.

S. ferner Aimé: Ann. Ch. Phys. (3) 8, 257 (Pogg. Ergb. 1, 228). — Grassi: C. r. 27, 135. — Rankine: Phil. Mag. (4) 1, 549.

Letzterer stellt den Satz auf: Die Z. des W. ist umgekehrt proportional der Dichte, multiplicirt mit der T., diese gemessen vom absoluten Nullp. eines Lufttherm., d. h. von — 274° 6.

Im Mittel beträgt die Raumverminderung einer Wassersäule von 1 Quadr.-Cent. Querschnitt für jedes Kilogr. (bei 0°, luftfrei) 0,00004585.

Ausdehnung und Dichte. — Das Dichte-Maximum liegt bei

4°,1 u. 4,03	Hallström	4,0	Despretz
3,78	Munck	3,945	Joule u. Playfair
3,75	Stampfer	3,86	Pierre.

Versuche über die Ausdehnung und Dichte besitzen wir von

Hallström: Pogg. A. 1, 129; später Eb. 34, 220. — Stampfer: Eb. 24, 75. — Kopp: Eb. 72, 1. — Matthiessen: Eb. 128, 512. — Rossetti: Ergb. 5, 258.



Volum (bei 0° = 1)			Dichte (bei 0° = 1)	
Hällström*), Kopp			Hällström*), Kopp	
1°	0,99994994	0,99995	1,00005006	1,000053
2	91478	91	8523	92
3	89433	89	40568	415
3,9	88832		44469	
4	88837	88	44464	423
5	89669	88	40332	417
6	91908	90	8093	097
7	95532	94	4468	062
8	1,00000522	99	0,99999478	1,000014
9	6855	1,00005	93145	0,999952
10	44544	42	85491	876
11	23469	21	76537	785
12	33707	31	66304	686
13	45204	43	54816	572
14	57940	56	42094	445
15	71894	70	28158	306
16	87043	85	13033	155
17	103368	101	02299	8992
18	120847	118	896739	817
19	139460	137	60734	631
20	159184	157	44069	435
21	179999	178	20324	228
22	201885	200	798522	010
23	224819	223	75685	7780
24	248781	247	51836	544
25	273750	271	26997	293
26	299705	295	04191	035
27	326624	319	674439	6767
28	354487	347	46765	489
29	383272	376	18191	202
30	412959	406	588739	008
40		753		
50		4177		
60		1659		
70		2225		
80		2858		
90		3540		
100		4,04299		

\*, Laasch: Pogg. Ann. Erg. 3, 324.

Frankenheim hält die Beobachtungen Pierre's für genauer als die von Hällström, und hat sie deshalb berechnet. — Pogg. A. 86, 454.

Vol.		Vol.	
0° = 1		35° = 1,0056770	
1	0,9999458	40	75120
4	8820	45	95625
5	8903	50	118150
10	1,0004482	60	168720
15	7275	70	229376
20	15940	80	293600
25	27075	90	362943
30	40710	100	436490

Ausdehnungscoëff. beim Gefrieren. Plücker und Geissler: Pogg. A. 86, 238.

Kopp fand, dass 1 Vol. Wasser von 0° = 1,102 Vol. Eis von 0° giebt. Vgl. Duvernoy: Pogg. A. 117, 454.

Ausdehnung bei T. unter 4°. Weidner: Eb. 129, 300.

Ausdehnung des Meerwassers. A. Erman: Pogg. A. 12, 463.

Gefrierpunkt. — Depression durch Druck. J. u. W. Thomson: Pogg. A. 84, 163. — Clausius: Eb. 84, 168.

Schmelzen und Gefrieren. Mousson: Pogg. A. 105, 161.

Gefr. aus wässerigen Gaslösungen und Regelation des Eises. Schultz: Eb. 137, 252 (s. Eis).

Nach Carnelley ist das Schmelzen eines festen flüchtigen Körpers von dem Druck bedingt, der eine gewisse Höhe erreichen muss, und er nennt diesen Druck den kritischen Druck. Ist beim Eis der Druck geringer als 4,6 Millimeter, so schmilzt es beim Erwärmen nicht, selbst nicht oberhalb des Siedepunkts, sondern sublimirt in fester Form. — Chem. News 42, 130. 43, 19 (B. d. ch. G. 1881, 354).

Pettersson bezeichnet als kritischen Punkt denjenigen, bei welchem der Siedepunkt des flüssigen Körpers mit dem Schmelzpunkt des festen zusammenfällt.

Siedepunkt. — Die Verzögerung des Siedens in Glasgefäßen bemerkte schon Gay-Lussac. Marcet fand, dass das Sieden in Glas bei 100°,2 bis 102° erfolgt, und dass die T. im Mittel 1°,06, in Metall 0°,2 niedriger ist, als die des siedenden Wassers. — Pogg. A. 56, 170. 57, 218.

Dufour stellte viele Versuche in dieser Richtung an; er glaubt, dass die Verzögerung bei geringerem Druck bedeutender sei als bei höherem. — N. Arch. ph. nat. 21, 201. 24, 5 (Pogg. A. 124, 295).

S. ferner Grove: J. Ch. Soc. (2) 4, 263. — Krebs: Pogg. A. 433, 673, 436, 444. Ergbd. 6, 470.

Latente Schmelzwärme. — Die Wärmemenge, welche verschwindet, wenn Eis von 0° in Wasser von 0° sich verwandelt, ist seit Lavoisier's Zeit vielfach bestimmt worden.

- 1) 79°,4 De la Provostaye u. Desains,
- 2) 79,06 u. 79°,24 Regnault,
- 3) 80,025 Bunsen.

1. Ann. Ch. Phys. 3, 8, 5 (Pogg. A. 59, 463, 62, 30). — 2) Eb. 48, 9 Pogg. A. 62, 42). — 3) Pogg. A. 444, 4.

Vgl. Person: Pogg. Ann. 70, 302. 74, 525.

Wärmeleitung. — Despretz: Ann. Ch. Phys. 74, 246. — Paalzow: Pogg. A. 434, 648. — Guthrie: Phil. Mag. 35, 283. — Winkelmann: Pogg. A. 453, 484. Wied. Ann. 10, 660. — H. Weber: Eb. 10, 403, 304, 472. 44, 347.

Wärmeabsorption. — Resultate der Arbeiten Melloni's in Pogg. A. 39, 267, 457.

Specif. Wärme. — Neumann suchte dieselbe bei verschiedenen T. zu bestimmen, und schloss, dass ihr Werth bei 0° und 100° sich = 4 : 4,0476 verhalte. — Pogg. A. 23, 40.

Später hat besonders Regnault diesen Gegenstand untersucht, und die Formel

$$k_t = 4 + 0,00004 \cdot t + 0,0000009 \cdot t^2$$

gegeben, wonach die sp. W. bei 0° und 100° = 4 : 4,043 wäre.

Bosscha suchte eine Correction der Versuche als nothwendig hinzustellen. Pfaundler und Platter, Hirn, Jamin und Amaury erhielten andere Resultate, nämlich eine viel stärkere Zunahme der sp. W. mit der T., wogegen Regnault seine Resultate vertheidigte.

Neuere Versuche von Münchhausen führen zu der Formel

$$k = 4 + 0,000302 \cdot t.$$

Es ergaben sich vergleichsweise für  $k$

	Regnault	Münchhausen	Jamin
bei 20°	4,0042	4,0060	4,0235
40	4,0030	4,0424	4,0459
60	4,0056	4,0484	4,0703
80	4,0089	4,0244	4,0957
100	4,0130	4,0302	4,1220.

Diese Versuche liefern mithin höhere Werthe, jedoch bei weitem nicht die anderweitig behaupteten.

Henrichsen findet die sp. W. bei  $t^{\circ}$

$$c_t = 1 + 0,0003156 \cdot t + 0,000004045 \cdot t^2$$

und berechnet sie danach für

$$10^{\circ} = 1,0034$$

$$20^{\circ} = 1,0079$$

$$100^{\circ} = 1,071.$$

Regnault: Ann. Ch. Phys. 73, 5 und Relation (Pogg. A. 54, 72. 79, 241). — Bosscha: Pogg. Jubelbd. 549. — Pfaundler u. Platter: Pogg. A. 140, 574. 141, 537. — Hirn: C. r. 70, 592. 831. — Jamin: Eb. 664. — Henrichsen: Wied. Ann. 8, 83. — Baumgartner: Eb. 8, 648. — Wüllner: Eb. 10, 284.

Optische Eigenschaften.

Farbe. — Reines Wasser ist blau. Bunsen: Ann. Ch. Ph. 62, 44.

Vgl. Beetz: Pogg. A. 115, 137. — Wild: Eb. 134, 582.

Lichtabsorption. — Der Abs.-Coeff. ist nach Wild für 1 Par. Zoll als Wegeeinheit 0,988. — Pogg. A. 99, 272.

Glan findet für rothes Licht für 1 cm 0,9974 — 0,9988. Eb. 144, 65.

Brechungsexponenten. — Für luftfreies W. fand Landolt bei  $20^{\circ}$  für die Fraunhofer'schen Linien

<i>B</i> 1,33039	<i>F</i> 1,33710
<i>C</i> 1,33104	<i>G</i> 1,34075
<i>D</i> 1,33280	<i>H</i> 1,34403.
<i>E</i> 1,33508	

Zugleich ergeben sich die Aenderungen für gewisse T.-Intervalle. — Pogg. A. 117, 361.

Mütrich stellte ähnliche Versuche an und erhielt für gelb (zwischen *D* und *E*) bei  $18^{\circ},75$  1,33534. — Eb. 124, 429.

Den Resultaten von Landolt sind spätere von Wüllner fast identisch. Eb. 133, 1.

Vgl. Van der Willigen: Eb. 122, 191. — Ketteler: Eb. 140, 28.

Aenderung der Fortpflanzungsgeschwindigkeit des Lichts in Wasser. Rühlmann: Pogg. Ann. 132, 177. Vgl. Lorenz: Wied. Ann. 11, 97.

Elektrische Eigenschaften.

Ueber die durch die Bewegung des W. in Capillarröhren erregte elektromotorische Kraft. Haga: Wied. A. 2, 326.

Leitung. — Das W. leitet die E. über 1000 Millionen Mal schlechter als Kupfer. E. Weber.

S. Hittorf: Pogg. A. 103, 12.

Schallgeschwindigkeit. — Versuche von Colladon und Sturm im Genfersee: Pogg. A. 42, 174. — Wertheim: Eb. 77, 556. Ergbd. 2, 497.

### III. Wasserdampf.

Dichte. — Aus der Zusammensetzung des W. und dem V. G. des Sauerstoffs = 16 folgt sie = 9 (= 0,623 gegen Luft). Unter den älteren Versuchen nähern sich diesen Zahlen

	$H = 1$	Luft = 1	
Gay-Lussac	8,978	0,6235	bei 100°
Watt	9,424	0,6334	- -

Die Versuche ergeben die Dichte des gesättigten Dampfes für eine bestimmte T.; man berechnet daraus die Dichte für 0° und 760 mm, natürlich unter der Voraussetzung, dass der Dampf gleich den wirklichen Gasen seinen Gaszustand behalte und dem Mariotte'schen Gesetz folge, d. h. das Dichteverhältniss von Luft (oder  $H$ ) und Dampf für alle T. und Drucke sich gleich bleibe.

Versuche von Schmedding haben gezeigt, dass die Dichte des in gesättigter Luft enthaltenen Wasserdampfes mit der T. zunimmt, und zwar zwischen 13 und 44° von 0,646 bis 0,652. — Pogg. A. 27, 40.

Die Frage nach der Dichte des W. im Vacuo und in der Luft bei Sättigung und Nichtsättigung, für verschiedene T. und verschiedenen Druck, hat insbesondere Regnault zu lösen versucht. — C. r. 20, 4127, 4220 (Pogg. A. 65, 435. 324).

Regnault fand die Dichte im Vacuo und bei geringerem Druck der Art, dass sie nach dem Mariotte'schen Gesetz bei 100° und 760 mm = 0,62377 gegen Luft wäre. Ferner, dass diese Berechnung für Dampf bis zu 27° zulässig ist.

Das Gewicht des Dampfes. Die Spannkraft wächst mit der T., mithin ändert sich das Verhältniss des Gewichts von 1 Vol. Dampf zu dem von 1 Vol. Wasser von 0°.

Wiegt 1 Liter Luft bei 0° und 760 mm 1,293 Grm., so wiegt es bei 100° 0,9464 Grm. Mithin würde 1 Liter Wasserdampf von 100°  $0,623 \times 0,9464 = 0,5896$  wiegen. Hieraus folgt für das Gewicht von 1 Liter gesättigten Dampfes bei 0°

$$\frac{4,6}{760} \cdot \frac{373}{273} \cdot 0,5896 = 0,004876.$$

Da 1000 Grm. Wasser = 1 Liter, und  $0,5896 : 1000 = 1 : 1696$

und  $0,004876 : 1000 = 1 : 205093$ .

so bezeichnen diese Zahlen die Vol. Dampf, in welche sich 1 Vol. Wasser von 100° und von 0° verwandelt.

Aus der Tension des Dampfes berechnet sich das Gewicht eines Liters

	Tension in mm	1 Liter
bei 0°	4,60	0,004876
5	6,534	0,006804
10	9,165	0,009376
15	12,70	0,012764
20	17,39	0,01718
25	23,55	0,022874.

Spannkraft. — Aus Regnault's Versuchen über das Maximum der Sp. im luft erfüllten Raum folgen hier einige Zahlen (in mm Quecksilber).

0°	4,6	25°	23,550	70°	233,093
5	6,534	30	34,548	80	354,643
10	9,165	40	54,906	90	525,45
15	12,699	50	91,982	100	760
20	17,391	60	148,794		
120°			1491,28 = 1,96 Atm.		
135			2353,73	3,1	—
145			3125,55	4,1	—
160			4651,62	6,1	—
170			5961,66	7,85	—
180			7546,39	9,9	—
200			11688,96	15,4	—
225			19097,04	25	—

Die Spannungsmaxima sind beim Wasserdampf im leeren und im luft erfüllten Raume kaum verschieden.

Versuche über die Spannkraft des Wasserdampfes von Dulong, Arago u. A. Pogg. Ann. 18, 437.

Wrede theoretische Bestimmung der Beziehungen zwischen T. und Spannkraft. Eb. 53, 225. — Magnus: Eb. 61, 225. — Regnault: Ann. Ch. Phys. (3) 11, 273. C. r. 39 (Pogg. A. Ergbd. 2, 119. 85, 579. 93, 537).

Pouillet Theorie der elastischen Flüssigkeiten: C. r. 24, 915 (Pogg. A. Ergbd. 2, 579).

Herwig Verhalten der Dämpfe zu den Gesetzen von Mariotte u. Gay-Lussac: Pogg. A. 137, 19. 592. Derselbe über die Ausdehnung überhitzter Dämpfe: Eb. 147, 161.

**Winkelmann** Beziehung zwischen Druck, Temperatur und Dichte des gesättigten Dampfes: Wiedem. Ann. 9, 208.

**Dichte und Spannung des gesättigten Dampfes** Wüllner u. Gottrian: Wied. Ann. 41, 545.

**Temperatur des Dampfes. Spannkr. d. Dampfes von Lösungen.** — Rudberg fand, dass, unabhängig vom Siedepunkt, bei reinem Wasser oder bei Salzlösungen die T. des Dampfes stets der dem Luftdruck gleichen Spannkraft entspricht. — Pogg. A. 34, 257. 40, 55. — Prechtl: Eb. 35, 198.

Wüllner schliesst aus seinen Versuchen, dass die Verminderung der Spannkr. bei derselben T. der gelösten Salzmenge proportional sei. — Pogg. A. 103, 529. 405, 85. 440, 564. — Gerland: Eb. 424, 479.

Wüllner betrachtet den aus siedenden Lösungen entwickelten Dampf als überhitzten, also nicht gesättigten. Rudorff fand, dass Wasserdampf von 100°, in eine Salzlösung geleitet, diese stärker erhitzt. Magnus fand, dass die Dämpfe aus kochenden Salzlösungen eine höhere T. als 100° haben. Pogg. A. 442, 408.

**Latente Dampfwärme.** — Dieselbe ist nach

Dulong:	543	Brix	540
Regnault	536,5	Andrews	536,532,7 u. 544,4),
Despretz	534		

d. h. 4 Kilo Wasser von 100° erfordert, um Dampf von 100° zu werden, soviel Wärme, dass es dadurch um 536°,5 erhitzt werden würde, oder dass 536,5 Kilo um 1° erhitzt werden würden.

Dieser Betrag, welcher einer Arbeit von 227 476 Kilogrammetern entspricht, setzt sich zusammen aus einem grosseren Antheil, der für innere Arbeit (beschleunigte Mol.-Bewegung) verbraucht wird, und einem kleineren, der die innere Dampfwärme darstellt, die zu äusserer Arbeit verbraucht wird. Jener macht 496,3, dieser 40,2 W.-E. aus.

Regnault verdanken wir auch Bestimmungen der Dampfwärme für andere T. (bis zu 60° hinab). Daraus ergeben sich die W.-E., welche 1 Kilo Wasser von t° bedarf, um in Dampf von derselben T. sich zu verwandeln. Z. B.

0°	606,5	120°	522,3
20	599,5	150	500,7
40	578,8	180	479,0
60	564,7	200	464,3
80	550,6	230	444,9
100	536,5		

Brix: Pogg. A. 55, 341. — Andrews: Eb. 75, 504. — Regnault: Eb. 78, 496. — Zeuner: Eb. 110, 374.

Specifische Wärme. — Regnault fand sie

nach Gewicht = 0,475

- Volum = 0,295 (V. G. = 0,624)

und bemerkt, dass sie nahe gleich der des Eises, und nur halb so gross wie die des flüssigen W. sei. — Pogg. A. 89, 343.

Theoretische Untersuchungen: Stefan: Pogg. A. 110, 593. — Dronke: Eb. 119, 587.

Brechungsvermögen bei 12° (gegen Luft) = 0,88.

Mascart: C. r. 86, 324. — Lorenz: Wied. Ann. 11, 96.

### Unterchlorige Säure. $\text{HClO}$ .

#### Anhydrid $\text{Cl}^2\text{O}$ .

Verdichtung. — Das Gas des Anhydrids verwandelt sich durch Abkühlung in eine gelbe Flüssigkeit und nach Faraday zuletzt in einen festen rothen krystallinischen Körper, der bei  $-59^{\circ},5$  schmilzt. — Pogg. A. Ergbd. 2, 244.

Spectrum. — Das Gas giebt bei der Dicke einer Schicht von 4 m dasselbe Absorptionsspectrum wie das Anhydrid der chlorigen S. bei einigen Centim. — Gernez: C. r. 74.

Thermochemisches. — Bildungswärme der Säure. Thomsen: Ber. d. ch. G. 1873, 1553. J. f. pr. Ch. (2) 11, 183. Pogg. A. 154, 195.

Ihre thermische Reactionsconstante bei Oxydationsprocessen. Derselbe: Pogg. A. 150, 34.

Neutralisationswärme. Derselbe: Eb. 143, 373.

Thermische Erscheinungen bei ihrer Elektrolyse. Favre: C. r. 73.

### Chlorige Säure. $\text{HClO}^2$ .

#### Anhydrid $\text{Cl}^2\text{O}^3$ .

Volumgewicht. V. G. des Anhydrids in Gasform = 38,2 Millon; 37,6 und 39,3 Schiel.

Da  $\text{Cl}^2\text{O}^3 = 119$ , sollte 1 Vol. = 59,5 sein;  $\frac{119}{3}$  ist 39,7. Man könnte also auf eine Verdichtung von 5 Vol. zu 3 Vol. schliessen.

Allein später hat Brandau das V. G. = 58,8 (bei 9°), also normal gefunden, und erklärt die Abweichungen durch die Gegenwart von Wasser,



welches die Bildung von Chlorwasserstoffsäure und Chlorsäure, und dadurch die von Chlor veranlasste.

**Verdichtung.** — Es liefert eine intensiv rothbraune Flüssigkeit, welche bei etwa  $0^{\circ}$  zu sieden beginnt, unter  $0^{\circ}$  gefahrlos ist, jedoch schon bei  $8^{\circ}$  heftig explodirt. Ihr V. G. wurde = 1,33 und 1,387 ( $0^{\circ}$ ) gefunden. Brandau.

**Absorption.** — 100 Grm. Wasser lösen von dem Gase

		Druck
bei $8^{\circ},5$	4,7655 Grm.	752,9 mm
14	5,0117	756,3
21	5,4447	754.

Beim Einleiten in Wasser von  $0^{\circ}$  entsteht ein gelbes krystallinisches Hydrat. — Brandau: Ann. Ch. Ph. 151, 340.

**Spectrum.** S. unterchlorige S.

### Chlorsäure. $\text{HClO}_3$ .

Die im Vacuum concentrirte S. ist  $\text{HClO}_3 + 7\text{aq}$ , wiegt 1,282 und zersetzt sich bei weiterer Concentration. — Kammerer: Pogg. A. 138, 390.

Das V. G. verdünnter S. Thomsen: Ber. d. ch. Ges. 1874, 71.

**Elektrolyse.** — Dabei entsteht zuerst unterchlorige S., dann wird Chlor frei. — Buff: Ann. Ch. Ph. 110, 266.

**Thermochemisches.** Thomsen: Pogg. A. 143, 354. Ber. d. ch. G. 1873, 4553. J. f. pr. Ch. 2) 14, 438.

### Bromsäure. $\text{HBrO}_3$ .

**Thermochemisches.** Thomsen: J. f. pr. Ch. (2) 14, 433.

### Jodsäure. $\text{HJO}_3$ .

#### Anhydrid $\text{J}_2\text{O}_5$ .

**Krystallform der Säure.** Dimorph (?).

Es sind zwei Arten von Krystallen beschrieben worden, A. von mir und Marignac, B. von Schabus, beide zweigliedrig.

Da die Krystalle von A. etwas abweichend in ihrer Bildung und ihren Winkeln sind, so werden sie als I. und II. unterschieden.

## A.

- I.  $a : b : c = 0,589 : 1 : 1,4903$  Rammelsberg.  
 II.  $= 0,64 : 1 : 1,4995$  Marignac.

- I.  $p, q, \frac{q}{2}, q^2; c$       II.  $o, p, q, \frac{q}{2}, c$ .

I.			II.		
	Berechnet	Beobachtet	Berechnet	Beobachtet	
$o \left\{ \begin{array}{l} 2A = \\ 2B = \\ 2C = \end{array} \right.$			121° 6'	79° 45'	
$p : p =$		*119° 0'		*114 46	
$q : q = 80^\circ 4'$		80 7	79 38		
$c =$		*130 2	129 49	129 40	
$\frac{q}{2} : \frac{q}{2} = 118 28$			118 6		
$c = 149 14$		149 16	149 3	149 2	
$q^2 : q^2 = 45 34$					
$c = 112 47$		112			
$p : q = 112 52$			114 27	114 40	
$\frac{q}{2} =$			106 6	106 20	
$o : c =$				*114 42	
$p =$			155 48		
$q =$			129 48	129 49	

I. Die von mir beobachteten Krystalle sind nach den Flächen  $q$  und  $c$  prismatisch, zugleich tafelartig nach  $c$ , während  $\frac{q}{2}$  und  $q^2$  sehr schmal erscheinen. Die Endfläche ist gestreift nach der Zonenaxe. Sie sind farblos, durchsichtig, vollkommen spaltbar nach  $p$ , deutlich nach  $c$ .

II. Marignac erhielt dieselben Combinationen, jedoch ohne  $q^2$ , und fand einmal  $o$  als Tetraeder. Es waren sechsseitige Blättchen nach  $c$ , spaltbar gleich den vorigen; auf  $c$  perlmutterglänzend.

Die Verschiedenheit beider liegt allein in dem Prisma  $p$ , also in der Axe  $a$ , die sich bei ihnen  $= 40 : 11$  verhält. Vielleicht liegt hier lediglich ein Beobachtungsfehler zum Grunde.

## B.

$$a : b : c = 0,9388 : 1 : 1,3484 \text{ Schabus}$$

$$o, \frac{o}{2}, p, q, r, \frac{r}{2}, c.$$

	Berechnet	Beobachtet
$\left. \begin{array}{l} o \\ \frac{o}{2} \end{array} \right\}$	$\left\{ \begin{array}{l} 2 A = 105^{\circ} 12' \\ 2 B = 99 \quad 22 \\ 2 C = 125 \quad 8 \end{array} \right.$	
	$\left\{ \begin{array}{l} 2 A = 123 \quad 18 \\ 2 B = 119 \quad 16 \\ 2 C = 87 \quad 50 \end{array} \right.$	
	$p : p =$	$93^{\circ} 37'$
	$q : q = 74 \quad 22$	
	$r : r =$	$70 \quad 55$
	$\frac{r}{2} : \frac{r}{2} = 109 \quad 52$	
	$o : p = 152 \quad 34$	$152 \quad 33$
	$\frac{o}{2} : p = 133 \quad 55$	$133 \quad 55.$

Diese Form bildet entweder die Combination  $p, q, \frac{r}{2}$  mit dem linken Tetraeder  $\frac{o}{2}$ , Fig. 1. Oder die C.  $p, q, r$  mit beiden linken Tetraedern

Fig. 1.

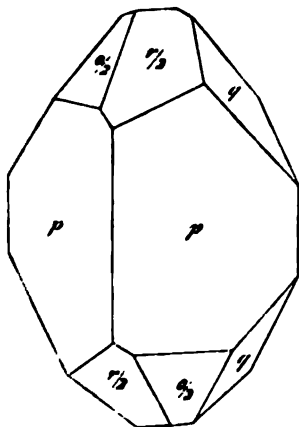
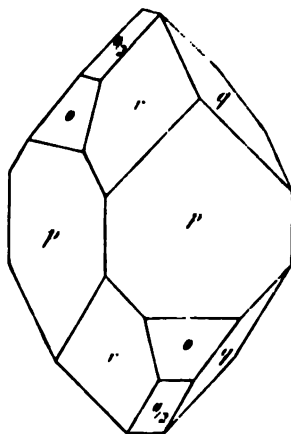


Fig. 2.



und  $\frac{o}{2}$ , Fig. 2. Die Endfläche ist öfter vorhanden, stets aber sehr untergeordnet.

Ob aus A. und B. eine Dimorphie der Jodsaure folgt, ist nach den Beobachtungen noch zweifelhaft. Zwar sind die Axen  $a$  nahe  $= 2 : 3$ , allein die Axen  $c$  sind doch nicht gleich.

Vertauscht man bei B. die Axen  $a$  und  $c$ , so würde  $a : b : c = 4,318 : 1 : 0,9388$ , also  $\frac{1}{2} a : b : c = 0,659 : 1 : 0,9388$ , während für A II.  $a : b : c$

$= 0,64 : 1 : 1,199$  ist; dann würden die  $c$  beider  $= 1 : 1,28$ , d. h. fast  $4 : 5$  sein.

Es bestehen also, wie es scheint, Beziehungen zwischen A. und B., ohne dass jedoch eine Zurückführung beider auf einander für jetzt rathsam ist. Ferner ist noch zu entscheiden, ob die Krystalle wirklich hemiedrisch und also enantiomorph sind.

Marignac: Ann. Min. (5) 9 u. 12. — Schabus: Kryst. 11. — Rammelsberg: Pogg. A. 90, 12.

Optisches. — Bei den Krystallen B. ist die optische Axenebene  $= ab$ , die Mittellinie ist  $a$ ; sie sind negativ, der scheinbare Axenwinkel  $90^\circ$  und  $\varrho > v$ . — Lang: Wien. Akad. Ber. 34.

Volumgewicht.

$J_2O_5 = 4,487$  Ditte; 4,7987 (andere Angaben),

$HJO_3 = 4,629$  Ditte.

Löslichkeit. — 1 Th. Wasser löst bei  $43^\circ$  1,874 Th. des Anhydrids. Die Lösung hat ein V. G.  $= 2,1269$ , liefert bei  $-17^\circ$  Krystalle von  $2HJO_3 + 9aq$ , die bei  $-15^\circ$  schmelzen. Kämmerer. Concentrirte wie verdünnte Lösungen sieden bei  $100^\circ$ . Derselbe. Eine Lösung vom V. G. 2,842 siedet bei  $104^\circ$ . Ditte. — Kämmerer: Pogg. A. 138, 390. — Ditte: C. r. 70, 621.

Elektrolyse der Lösung. Die Jodabscheidung, von Magnus als primär betrachtet, ist eine Folge der reducirenden Wirkung des Wasserstoffs. Buff.

Thermochemisches. — Thomsen: Ber. d. ch. G. 1873, 740. 1553. J. f. pr. Ch. (2) 11, 133. Pogg. A. 151, 198. — Ditte: C. r. 70, 935.

### Ueberjodsäure. $HJO_4$ .

Die Krystalle  $H^5JO_6$  sind anscheinend zwei- und eingliedrig, jedoch schlecht gebildet und zerfliesslich. Ich fand annähernd:

$$\begin{array}{ll} p : p = 150 - 154^\circ & q : b = 118 - 122^\circ \\ b = 100 - 104 & p : q = 114 - 115 \\ q : q = 118 - 126 \end{array}$$

Sie sind tafelförmig nach  $b$ .

Volumgewicht der Lösung. Thomsen: Ber. d. ch. G. 1874, 71.

Thermochemisches. Derselbe: Eb. 1873, 2. 1553. 740. J. f. pr. Ch. (2) 11, 133.

**Schwefel.**

Krystallform. — Die Dimorphie des Schwefels wurde von Mitscherlich entdeckt. — Mitscherlich über die Körper, welche in zwei verschiedenen Formen krystallisiren. Sitzung der Ak. d. Wiss. zu Berlin v. 26. Juni 1823.

**A. Zweigliedriger Schwefel.**

Das Axenverhältniss  $a : b : c$  ist

nach Mitscherlich = 0,8103 : 1 : 1,8967

- Scacchi = 0,813 : 1 : 1,906

- Brezina = 0,8107 : 1 : 1,9004.

Die natürlichen Krystalle, welche seit Haüy von Mitscherlich, Kupffer, Scacchi, Zepharovich, Lang, Schrauf, Brezina, Hessenberg, v. Rath u. A. beschrieben wurden, bieten eine grössere Anzahl von Rhombenoktaedern, ersten, zweiten und dritten Paaren und den Hexaidflächen dar. An den künstlichen finden sich vorzugsweise

$o, \frac{o}{3}; p, q, \frac{q}{3}; a, b, c.$

Berechnet *		Beobachtet			
		Brezina	Scacchi	Zephar.	Mitsch.
$a$	$2A = 406^{\circ} 34'$		406° 25'		
	$2B = 85 \quad 0$				84° 58'
	$2C = 443 \quad 20$			443° 20'	443 17
	$p \cdot p = 404 \quad 56$				
	$q : q = 55 \quad 30$				
	$c = 417 \quad 45$	417° 46'	417 42	417 43	
	$o : a = 437 \quad 30$	437 27			
	$c = 408 \quad 20$	408 40		408 20	
	$p =$	461 40	461 40		
	$q = 432 \quad 30$	432 32		432 35	
$\frac{o}{3}$	$2A = 126 \quad 56$				
	$2B = 443 \quad 10$				
	$2C = 90 \quad 20$				
	$\frac{q}{3} : \frac{q}{3} = 445 \quad 48$				
	$c = 447 \quad 39$	447 35	447 27		
	$q =$	450 6 24"			
	$c = 434 \quad 50$			434 50	
	$o = 453 \quad 30$	453 30		453 31	

\* Nach Brezina.

Die Messungen Brezina's beziehen sich auf flächenreiche Krysta auf Rüsthaufen der Okerhütte gebildet, und von Ulrich zuerst beschrieben. Sie zeigen ausser den genannten noch folgende Formen:

$$\frac{0}{5}, \frac{0}{7}; \frac{r}{3}$$

$$s = 3a : b : c$$

$$n = \frac{1}{2}a : b : c$$

$$t = 3a : b : \frac{4}{3}c$$

$$l = \frac{4}{3}a : b : c.$$

$$v = a : \frac{1}{4}b : c$$

	Berechnet	Beobachtet
$\frac{o}{5}$	$\left\{ \begin{array}{l} 2A = 142^{\circ} 2' \\ 2B = 132 \quad 40 \\ 2C = 62 \quad 44 \end{array} \right.$	
$\frac{o}{5} : c$	$= 148 \quad 53$	$148^{\circ} 55'$
$\frac{o}{7}$	$\left\{ \begin{array}{l} 2A = 151 \quad 8 \\ 2B = 144 \quad 40 \\ 2C = 46 \quad 38 \end{array} \right.$	
$\frac{o}{7} : c$	$= 156 \quad 44$	$156 \quad 24$
	$= 134 \quad 39$	$132 \quad 29$
$s$	$\left\{ \begin{array}{l} 2A = 67 \quad 28 \\ 2B = 140 \quad 0 \\ 2C = 128 \quad 6 \end{array} \right.$	
$s : q$	$= 160 \quad 4$	$160 \quad 4$
$o$	$= 152 \quad 29$	$152 \quad 28$
$t$	$\left\{ \begin{array}{l} 2A = 88 \quad 40 \\ 2B = 145 \quad 38 \\ 2C = 101 \quad 56 \end{array} \right.$	
$t : c$	$= 129 \quad 2$	$129 \quad 0$
$s$	$= 166 \quad 54$	$166 \quad 54$
$v$	$\left\{ \begin{array}{l} 2A = 48 \quad 40 \\ 2B = 135 \quad 54 \\ 2C = 164 \quad 32 \end{array} \right.$	
$v : s$	$= 163 \quad 46$	$164 \quad 37$
		$163 \quad 46$
$n$	$\left\{ \begin{array}{l} 2A = 150 \quad 0 \\ 2B = 33 \quad 58 \\ 2C = 164 \quad 22 \end{array} \right.$	
$n : a$	$= 161 \quad 4$	$163 \quad 25$
$o$	$= 154 \quad 29$	$154 \quad 34$

	Berechnet	Beobachtet
$l \left\{ \begin{array}{l} 2A = 92^{\circ} 54' \\ 2B = 104 \quad 24 \\ 2C = 137 \quad 46 \end{array} \right.$		
$l : n = 146 \quad 17$		$146^{\circ} 20'$

Immer herrscht das Hauptoktaeder vor.

Auch Mitscherlich und Schrauf haben künstliche Krystalle gemessen.

Das Weitere über die Formen der natürlichen Krystalle enthalten die mineralogischen Handbücher und Zeitschriften.

Spaltbar nach dem Hauptoktaeder  $o$  Mitscherlich, nach  $p$  und  $c$ , jedoch unvollkommen. — Brezina: Wien. Ak. Ber. 60. — Schrauf: Eb. 44.

#### B. Zwei- und eingliedriger Schwefel.

$a : b : c = 1,4803 : 1 : 1,338$  Mitscherlich.

$\alpha = 89^{\circ} 48'$

$o, o'; \frac{q}{2}, r, r'.$

	Berechnet	Beobachtet
$\left\{ \begin{array}{l} o : o = \\ o' : o' = \\ o : o' = 123^{\circ} 44' \\ o : o' = 116 \quad 28 \\ r : r' = \end{array} \right.$		Mitsch. $90^{\circ} 32'$ $90 \quad 48$  $95 \quad 46$
$\frac{q}{2} : \frac{q}{2} = 112 \quad 26$		
$o : r = 135 \quad 46$		
$o' : r' = 135 \quad 9$		
$\frac{q}{2} : r = 128 \quad 8$		
$\frac{q}{2} : r' = 127 \quad 59$		
$o : r' \left( \text{über } \frac{q}{2} \right) = 94 \quad 5$		
$o' : r \text{ (desgl.)} = 94 \quad 5$		
$\frac{q}{2} : o = 146 \quad 6$		
$\frac{q}{2} : o' = 145 \quad 57.$		

Fig. 3.

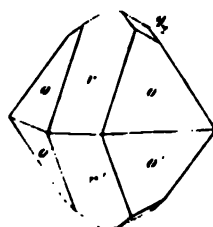


Fig. 4.

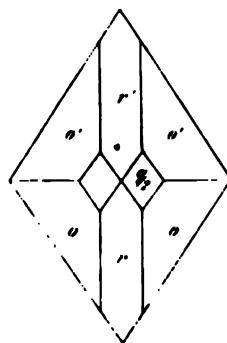


Fig. 3. 4.

Die Krystalle sind fast immer nach der Zone  $or$  verlängert, und erscheinen oft als fast rechtwinklige Prismen  $o$ , begrenzt von  $r'$  oder auch den übrigen Flächen, Fig. 5. Häufig sind Zwillinge:

Fig. 5.

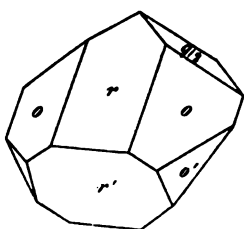
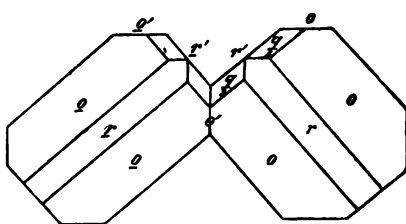


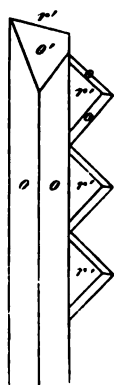
Fig. 6.



1) Zwillingsfläche ist  $r$ ; die Krystalle sind nach  $r$  oder einem  $o$  verwachsen, die  $r'$  bilden ein- und ausspringende Winkel von  $168^\circ 28'$ .

2) Zwillingsfläche ist ein  $o'$ ; bei einfacher Aneinanderwachsung bilden dann die beiden anderen  $o'$  beider Krystalle Winkel von  $179^\circ 24'$ , die beiden  $r'$  solche von  $89^\circ 42'$ , Fig. 6. Diese Zwillinge erscheinen meist so,

Fig. 7.



dass an einem grösseren Krystall sich viele kleine nach  $r'$  tafelartige Krystalle anlegen, die wie die Zähne einer Säge an jenem hervortreten. Oft beobachtet man ein ganzes Gefäß, an dem die Strahlen der einen Seite quer gegen die der anderen stehen. Senkrecht aus den Strahlen erheben sich dann Tüfelchen, d. h. durch Ausdehnung von  $r'$  tafelartige Krystalle (Quenstedt). Fig. 7.

Spaltbar nach  $o$  und  $r'$ .

Beziehungen zwischen beiden Formen.—Solche hat Kupffer zuerst hervorgehoben, namentlich insofern, als die Tangenten von  $o : o$  ( $\text{tg } 45^\circ 16'$ ) und von  $C$  des zweigliedrigen ( $\text{tg } 74^\circ 40'$ ) sich fast genau  $= 1 : 3$  verhalten.—Pogg. Ann. 2, 423.

Später suchte Pasteur beide Formen aufeinander zurückzuführen, freilich in sehr willkürlicher Art. — Ann. Ch. Phys. (3) 23, 267.

So lange man bei der zwei- und eingliedrigen Form von der ursprünglich von Mitscherlich gewählten Stellung ausgeht, dabei die  $o$  und  $r$  die Horizontalzone bilden, und der schiefe Axenwinkel  $= 84^\circ 14'$  war, tritt eine Beziehung freilich nicht klar hervor. Anders ist dies jedoch bei der von uns gewählten Stellung. Wir haben nun



	$a : b : c$	$\alpha$
Zweigliedrig . . .	0,84 : 4 : 4,90	90°
Zwei- und eingliedrig	4,48 : 4 : 4,338	89° 48'.
Hier ist $a = 4 : 4,83$ , also $= 5 : 9$ oder nahe $= 4 : 2$		
$c = 4,42 : 4$ -	$= 7 : 5$ -	$= 4\frac{1}{2} : 4$ .

Lässt man diese Verhältnisse als rationale gelten, so sind allerdings beide Formen in rein geometrischer Hinsicht von einander ableitbar.

Entstehung beider Formen. — Zwei- und eingliedrige Krystalle entstehen auch aus Lösungen. Pasteur beobachtete sie aus Schwefelkohlenstoff. Deville glaubt, dass dies der Fall sei, wenn die Lösung etwas weichen Schwefel enthalte. — C. r. 26, 48. 117.

Später fand Deville, dass alle Modificationen des Schwefels aus der Lösung in Alkohol zwei- und eingliedrige Krystalle geben. Aus der Lösung in Benzol setzen sich zuerst Prismen und einige Rhombenoktaeder ab; letztere bleiben durchsichtig, jene werden, besonders bei Berührung, trübe, und verwandeln sich in ein Aggregat von Oktaedern. Verdünntere Lösungen scheiden noch bei niederer T. Prismen ab, unter 22° jedoch nur Rhombenoktaeder. — C. r. 34, 534. 564.

Werden 2 Th. Schwefel und 1 Th. Schwefelkohlenstoff in einer zugeschmolzenen Glasröhre über 80° erhitzt und dann rasch abgekühlt, so bilden sich lange, durchsichtige Prismen, dann unter Freiwerden von Wärme Rhombenoktaeder. Die Prismen selbst verwandeln sich rasch in letztere. — Debray: C. r. 46, 576.

Nach Royer liefert die Lösung in siedendem Terpentinöl bei raschem Erkalten lange, prismatische Krystalle, bei langsamem nur Oktaeder. Erhitzt man, nach Demselben, Schwefelblumen mit unzureichender Menge Terpentinöl in einem Bad gesättigter siedender Kochsalzlösung, so verwandelt sich die ganze Menge des S. allmählig in prismatische Krystalle. — C. r. 48, 845.

Eine übersättigte Lösung in Benzol oder Toluol liefert bei derselben T. die eine oder die andere Form, oder beide gleichzeitig, je nachdem sie mit einem Krystall der einer oder anderen, oder mit beiden in Berührung kommt. — Gernez: C. r. 79, 249.

Aus Schwefeldampf entstandene rhombische Krystalle (in einem Schwefelofen) Daubrée: Ann. Min. (5) 4, 124.

Schützenberger erhielt durch Schmelzen von Schwefel Rhombenoktaeder, wenn bei 120° geschmolzen und bis 95° abgekühlt wurde. Aus dem flüssigen Schwefel sondern sich die Krystalle bei 90° ab. — C. r. 66, 746.

Nach Gernez verwandelt sich überschmolzener Sch. in zweigliedrige Krystalle, wenn solche in ihn eingetaucht werden. — C. r. 83, 217.

An Krystallen, die bei einem Brande in der sicilischen Grube Floristella sich gebildet hatten, fand v. Rath die zweigliedrige Form. — Pogg. Ann. Ergbd. 6, 356.

Derselbe beschrieb zweigliedrige Krystalle, welche sich beim Erstarren geschmolzenen Schwefels neben zwei- und eingliedrigen gebildet hatten.

Brodie behauptet, das Trübewerden der zwei- und eingliedrigen Krystalle beruhe nicht auf Umwandlung in zweigliedrige, sondern auf Erstarren von eingeschlossenem amorphem Sch., der beim Auflösen zurückbleibe. — Proc. R. Soc. 7, 24.

Die Modificationen des Schwefels. — Schrötter scheint zuerst die Unlöslichkeit des amorphen Sch. im Schwefelkohlenstoff bemerkt zu haben. — Wien. Ak. Ber. 1848. 2, 200.

Ausführliche Untersuchungen über den Einfluss des Erhitzens und Abkühlens stellte Magnus an. Nach ihm entsteht durch plötzliche Abkühlung eine schwarze amorphe Modification, welche bei 400—450° sich theilweise in eine unlösliche rothe verwandelt, die bei längerem Erhitzen auf 400° zu gelbem, löslichem, bei 300° und raschem Abkühlen wieder zu schwarzem Schwefel wird. Nach M. sind sechs Modificationen zu unterscheiden: die beiden krystallisirten löslichen, eine gelbe unlösliche (in den Schwefelblumen), eine lösliche und eine unlösliche rothe und eine schwarze. — Pogg. Ann. 92, 308. 657.

Nach Mitscherlich bilden sich der rothe und schwarze Schwefel nur bei Gegenwart einer geringen Menge Fett. — J. f. pr. Chem. 67, 369.

Magnus bestätigte die Färbung des Schwefels beim Schmelzen mit Fetten, Paraffin etc. Er bezeichnet den rothen Sch. als krümligen, erhält aber den schwarzen aufrecht. — Pogg. Ann. 99, 445. — Deville: Ann. Ch. Phys. (3) 47, 94. C. r. 44, 362.

Berthelot behauptet, es gebe nur zwei wesentliche Modificationen: den zweigliedrigen elektronegativen und den amorphen elektropositiven. — C. r. 44, 348. 378. Pogg. Ann. 100, 649.

Vgl. ferner Berthelot: C. r. 46, 474. Inst. 1858, 428. — Péan de St. Gilles: C. r. 46, 570. — Cloez: Eb. 46, 485.

Regnault hatte gefunden, dass weicher Schwefel bei 93° rasch krystallinisch wird, wobei die T. auf 440° steigt. Weber fand, dass der unlösliche Sch. bei 400°, wobei er löslich wird, Wärme entwickelt. — Pogg. Ann. 53, 265. 400, 427.

Über die Bildung des amorphen Schwefels durch Zusatz von anderen Körpern Moutier u. Diezenbacher: C. r. 60, 353.

Über amorphen Schwefel in Bläschenform Müller u. Sestini: Bull. soc. chim. (4) 7, 495. Pogg. Ann. 133, 347.

Aus späteren Versuchen von Weber folgt, dass aus unterschwefligsaurem Natron und Chlorwasserstoffsäure bei 10° flüssiger Schwefel sich abscheidet, der ein V. G. = 1,92 bis 1,927 hat, nach einiger Zeit, oder bei 100° und dann unter Wärmeentwicklung, fest wird. Der flüssige ist löslich; je nach der Art des Erstarrens behält er seine Löslichkeit ganz oder nur zum Theil. Der flüssige Sch. enthält aber etwas Wasserstoffdisulfid. Zugleich wurden die Angaben Berthelot's widerlegt. — Pogg. Ann. 141, 432.

Osann hat nachgewiesen, dass geschmolzener Sch., wenn er mit steigender T. dickflüssig wird, sich dabei ausdehnt; nach ihm ist das V. G. des dünnflüssigen = 1,927, des dickflüssigen 1,754. — Pogg. Ann. 34, 34.

Leitet man Schwefeldampf mit Hilfe eines Stroms Kohlensäure in Wasser, so erhält man gelben, weichen und undurchsichtigen Sch., V. G. = 1,87. Müller: Pogg. Ann. 127, 424.

Volumgewicht des Schwefels. —

#### A. Zweigliedriger.

	Natürlicher	Krystalle aus Schwefelkohlenst.
Marchand u. Scheerer	2,062—2,070	2,049—2,054
Deville . . . . .	2,070	2,063
Kopp . . . . .	2,069	
Pisati . . . . .	2,0748 *)	

#### B. Zwei- und eingliedriger.

	frisch	nach längerer Zeit
Marchand u. Scheerer	1,999—2,042	2,044
Deville . . . . .	1,958	2,05

#### C. Amorpher.

Marchand u. Scheerer	1,957—1,961	(durch rasches Abkühlen des dickflüssigen)
Marchand später	1,934	
Deville . . . . .	1,949—1,928	(2,054 — 2,064 nach längerer Zeit)
Müller . . . . .	1,90 — 1,92.	

\*) Bei 0° bezogen auf Wasser von 4°.

Marchand u. Scheerer: J. f. p. Ch. 24, 433. 36, 255. — Deville: C. r. 25, 857. — Pisati: Ber. d. ch. G. 1874, 364. — Müller s. o.

Schmelzpunkt. — Wenn Sch. ohne besondere Vorsicht geschmolzen wird, so erstarrt er bei 112 oder 110°. Erhitzt man aber mässig, so ist der Erstarrungspunkt nahe 115°. — Person: Pogg. Ann. 74, 517.

Nach Brodie schmilzt der zweigliedrige Sch. bei 114°,5, erleidet aber schon von 100° ab eine Umwandlung in zwei- und eingliedrigen, welcher schwerer schmilzt. Ist er nicht über 115° erhitzt, so bleibt er nach dem Erkalten durchsichtig, während stärker erhitzter undurchsichtig erstarrt.

Der zwei- und ingl. schmilzt bei 120°; er erstarrt auch bei dieser T., wenn er nicht stärker erhitzt war; in diesem Fall aber erstarrt er erst bei 111° und schmilzt dann bei dieser T. — Der unlösliche amorphe schmilzt erst über 120°. — Proc. R. Soc. 7, 24.

Auch Kopp bestimmte den Schmelzpunkt des zweigl. Sch. bei 115°.

Nach Regnault ist die T. beim Krystallisiren geschmolzenen Sch. dauernd 113°,6.

Pisati giebt 113°—113°,5 an.

Ausdehnung. — Diejenige eines natürlichen Krystalls s. Fizeau: C. r. 68, 1125.

Die kubische Ausdehnung für 1° ist nach Kopp bei T. zwischen 15° und 46° = 0,000183. — Pogg. Ann. 86, 156.

Später fand Derselbe die Ausdehnung des (natürlichen) Sch. ungleichförmig, in der Nähe des Schmelzpunktes rasch wachsend. Ist das Vol. bei 0° = 1, so ist es bei 50° = 1,010, bei 100° = 1,037, bei 115° = 1,096. Im Moment des Schmelzens vergrössert sich das Vol. um 5 pCt., und ist dann = 1,15. — Ann. Ch. Ph. 93, 129.

Nach Despretz nimmt die wahre Ausdehnung des geschmolzenen mit steigender T. ab und beträgt

zwischen 110° und 130°	0,000622
- 150	582
- 200	454
- 250	428

C. r. 7, 589.

Dagegen ist nach Kopp die Ausdehnung des geschmolzenen Sch. zwischen 126° und 152° als gleichförmig anzusehen. Er giebt das Vol. (V) bei einer T. von  $t^\circ$  über 115°

$$V = 1,1504 + t^\circ \cdot 0,000527,$$

oder, wenn das Vol. beim Schmelzpunkt (115°) = 1 ist,

$$V = 1 + t \cdot 0,000458.$$



Pisati hat gefunden, dass der Ausdehnungscoefficient des geschmolzenen Sch. bis  $150^{\circ}$  nicht ganz gleichförmig ist, zwischen  $150^{\circ}$ — $160^{\circ}$  stark abnimmt, von  $160^{\circ}$ — $300^{\circ}$  langsam wächst, ohne jedoch bei  $300^{\circ}$  den Werth von  $150^{\circ}$  zu erreichen. Seine Resultate geben im Mittel Coefficient, welche um  $\frac{1}{3}$  kleiner als bei Despretz, und um  $\frac{1}{20}$  grösser wie bei Kopp sind. — Ber. d. ch. Ges. 1874, 361. 1877, 1745.

Die Capillaritätsconstante des flüssigen Sch. bestimmte Quincke auf Grund der älteren Versuche Frankenheim's. — Pogg. Ann. 72, 178. 135, 644.

Wärme bei der molekularen Veränderung. — Wenn die zwei- und eingliedrigen Krystalle sich in zweigliedrige verwandeln, tritt eine Verdichtung ein, da die V. G. der letztern und jener sich  $= 2,05 : 2,0 = 100 : 97,56$  verhalten. Marchand und Scheerer haben dies experimentell anschaulich gemacht. Es muss also dabei Wärme frei werden und das ist von den Genannten in der That beobachtet worden. — J. f. pr. Ch. 24, 447.

Mitscherlich fand, dass die zwei- und eingl. Krystalle sogleich undurchsichtig werden, wenn man sie in eine gesättigte Auflösung von Sch. in Schwefelkohlenstoff taucht, und dass hierbei soviel Wärme frei wird, als nöthig ist, um den angewandten Sch. um etwas mehr als  $12^{\circ}$  zu erwärmen. Dasselbe Resultat ( $12^{\circ},1$ ) wurde bei Versuchen mit grossen Mengen krystallisirten Sch. beim Zerstossen erhalten. M. berechnet hieraus, dass, die spec. Wärme des Sch.  $= 0,188$  gesetzt,  $2,27$  W.-E. frei werden. — Mon.-Ber. Berl. Ak. 1852. Pogg. Ann. 88, 328.

Versuche über die Wärmeentwicklung amorpher Sch. beim Erhitzen, wobei er sich in krystallinischen (löslichen) verwandelt, beschrieb Weber (vgl. oben).

Die latente Schmelzwärme des Sch. ist nach Person für die Gewichtseinheit 9,475. — C. r. 23, 162. — Vgl. Berthelot C. r. 70, 244.

Die spec. Wärme des Sch. hatten Dulong und Petit  $= 0,188$  angegeben.

Regnault's frühere Versuche (mit geschmolzenem und erstarrtem) lieferten 0,20259. Später erkannte Derselbe den Einfluss der verschiedenen Zustände und besonders die Schwierigkeit, den Werth für den zwei- und eingliedrigen Sch. zu bestimmen. Er erhielt für

geschmolzenen . . . . .	0,1844
geschmolzen, nach 2 Monaten . . . . .	0,1803
— — — 2 Jahren . . . . .	0,1764
natürl. krystallisirten . . . . .	0,1776 (0,1764).

Bunsen erhielt bei Anwendung des Eis calorimeters 0,1742.

Regnault: Ann. Ch. Phys. 73. (3) 4, 9. — (Pogg. Ann. 62, 54. 72.)

— Bunsen: Pogg. Ann. 444, 25.

Die spec. W. des flüssigen Sch. (zw. 420—450°) fand Person = 0,234. — Pogg. Ann. 74, 447.

Siedepunkt. — Dumas hatte ihn zu 440° bestimmt. Nach Regnault ist er (für 760 mm) = 450°.

Spannkraft des Dampfes. — Regnault ermittelte sie (durch das Luftthermometer) für T. von 390° bis 570°. — Relation des expér. p. déterminer etc.

Vgl. auch Weinhold: Pogg. Ann. 449, 234.

Gas-V. G. — Die früheren Untersucher hatten dasselbe bei T. etwas oberhalb des Siedepunkts bestimmt, und so gefunden

Dumas: 93,9 — 94,4 — 95,4 — 95,6,

Mitscherlich: 99,7.

Dann zeigten Deville und Troost, dass die Dichte bei 600° = 72, bei 700° = 40, und von 862° ab constant (bis 1040° beobachtet) = 32,2 ist.

Diese Entdeckung hat wesentlich dazu beigetragen, dem Satz Avogadro's allgemein Anerkennung zu verschaffen.

Dumas: Ann. Ch. Phys. 50, 470. — Mitscherlich: Pogg. Ann. 29, 247. — Deville: C. r. 49, 239. 56, 894.

Entzündungstemperatur. — Die T., bei welcher sich Sch. an der Luft entzündet, ist nach Violette 250°.

Die Verbrennungswärme des Sch. in Sauerstoff ist nach Andrews für 4 grm (oder für 4 grm Sauerstoff) = 2307 W.-E. — Pogg. Ann. 75, 44.

Favre und Silbermann fanden für 4 Thl. krystallisirten zweigl. Sch. 2224—2226 W.-E., also für 4 At. (32) 71072 W.-E. — Ann. Ch. Phys. (3) 34, 357. 36, 5.

Berthelot giebt neuerlich für 4 Atom 69400 W.-E. an.

Optische Eigenschaften. — Nach Schönbein ist der Sch. bei — 50° fast farblos, bei 0° sehr blass. — J. f. pr. Ch. 55, 161.

Schrauf bestimmte die optischen Constanten des zweigliedrigen Sch. Wien. Ak. Ber. 44 u. 42 (Pogg. Ann. 112, 594).

Aus seinen Untersuchungen berechnete Haagen das Refraktionsäq. und das spec. Brechungsvermögen. — Pogg. Ann. 134, 417. — Vgl. Schrauf Eb. 133, 479. — Gladstone: Pr. R. Soc. 18, 49.

Bei den zweigliedrigen Krystallen ist die Axenebene *ac* die der optischen Axen, und Axe *c* die Mittellinie, der wahre Axenwinkel

$2V = 70 - 75^\circ$ . Der Charakter ist positiv; die Dispersion  $\varrho < v$ . Die Doppelbrechung ist sehr stark.

Nach Des Cloizeaux ist der scheinbare Axenwinkel in Öl 2H bei  $45^\circ$

für die rothen Strahlen	403° 48—36'
- - gelben -	404 9—12
- - blauen -	405 36—106° 46'.

Der mittlere Brechungscoeff. (bei  $47^\circ$ ) ist

2,023	Roth,
2,043	Gelb,
2,082	Blau.

Danach berechnet Des Cloizeaux den wahren Axenwinkel zu

69° 2'	für Roth,
69 5	- Gelb,
69 13	- Blau.

Cornu und Schrauf erhielten (für  $47^\circ$ ) die Coeff.

	C.	S.
Maxim.	2,240	2,2405
Mittel	2,038	2,0383
Minim.	1,958	1,9505

woraus der wahre Axenwinkel  $= 69^\circ 40'$  resp.  $72^\circ 20'$  folgt.

Brewster beobachtete zuerst die absorbirende Kraft des Sch. für das Spectrum.

Über das Spectrum des Schwefels Plücker u. Hittorf: Pr. R. Soc. 13, 453. — Salet: C. r. 73, 559. 74, 865. Bull. soc. ch. (2) 22, 543. — Gernez: C. r. 74, 803.

Über Phosphorenz Joubert: C. r. 78, 1853.

Elektrisches Verhalten. — Pyroelectricität fand Brewster.

Über die Dielektricitätsconstante Schiller: Pogg. Ann. 152, 535.

— Boltzmann: Ebend. 153, 525. Wien. Ak. B. 70, 342.

Löslichkeit. — Nach Payen lösen 100 Th. Schwefelkohlenstoff beim Sieden 73,46, bei  $46^\circ$  38,7 Th. Sch. Derselbe bestimmte auch die Löslichkeit in Benzol, Terpentinöl, Steinöl, Äther und Alkohol. — C. r. 34, 456. 508 (J. f. pr. Ch. 56, 499).

Nach Cossa lösen 100 Th.

Schwefelkohlenst.	Benzol	Chloroform	Phenol	Anilin
bei $0^\circ$ 24	$26^\circ$ 0,965	$22^\circ$ 1,205	$174^\circ$ 16,35	$130^\circ$ 85,27
15 37,15	71 4,377			
48,5 146,2				
55 181,34				

Beim Auflösen in Schwefelkohlenstoff wird Wärme gebunden. Die gesättigte Lösung siedet bei 55°. — Ber. d. ch. G. 1868. 138.

Aus einer solchen Lösung scheidet sich bei Einwirkung des durch eine Linse concentrirten Sonnenlichts unlöslicher Sch. ab. Im Spectrum des austretenden Lichts fehlen alle Strahlen zwischen *G* und *H*, sowie die ultravioletten. — Lallemand: C. r. 70. 182.

Über die Löslichkeit in Theerölen Pelouze: C. r. 68, 1179. 69, 56.

Die spec. Wärme der Lösungen in Schwefelkohlenstoff Marignac: N. Arch. ph. nat. 39, 217.

Die Lösungswärme des Sch. in Schwefelkohlenstoff Berthelot: C. r. 70. 944.

#### Jodschwefel. SJ<sup>6</sup>.

Zweigliedrig.  $a : b : c = 0.483 : 1 : 0.7236$ . v. Rath.

$o, o^3 : \frac{1}{3}p : c$ .

	Berechnet	Beobachtet
$o \left\{ \begin{array}{l} 2A = 117^\circ 52' \\ 2B = 79 \quad 8 \\ 2C = \end{array} \right.$		$117^\circ 50'$ 79 30 136 8
$o^3 \left\{ \begin{array}{l} 2A = 129 \quad 30 \\ 2B = 56 \quad 1 \\ 2C = 157 \quad 20 \end{array} \right.$		
$\frac{1}{3}p : \frac{1}{3}p = 117 \quad 45$		116—118°
$o : c =$		121° 4'
$o^3 : c = 101 \quad 20$		101 20.

Diese isomorphe Mischung von der Form des Jods krystallisirt aus der Lösung in Schwefelkohlenstoff zuerst. An den nach *c* tafelartigen Krystallen findet sich hauptsächlich *o*. Spätere (nicht analysirte) waren  $o^3, \frac{1}{3}p, c$ . Sie verlieren das Jod an der Luft und hinterlassen ein gelbes Schwefelskelet. — v. Rath: Pogg. Ann. 110, 116. — Lammers: J. f. pr. Ch. 84, 349.

Hiernach sollten beide Elemente isomorph sein. Vertauscht man beim Jod die Axen *b* und *c*, so hat man  $a : b : c$

J 0,486 : 0,732 : 1

S 0,426 : 0,526 : 1.

Die *a* sind = 1 : 1,44, die *b* = 1 : 1,4; vielleicht also jene = 1 : 1, diese = 1 : 1,5.

#### Schwefelwasserstoff. H<sub>2</sub>S.

Verdichtung. — Bei einem Druck, welcher 2 Atm. nicht übersteigt, zeigt das Gas ( $T = 7^\circ,7$ ) nach Regnault schon eine merkliche Abweichung vom Mariotte'schen Gesetz, insofern, wenn der Druck



$P = 722,5$  mm,  $P' = 1409,9$  mm, also  $\frac{P'}{P} = 1,95$  war, die Abweichung  $\frac{P'V}{P'V'} = 1,01083$  gefunden wurde.

Nach Faraday wird das Gas bei  $-85^{\circ},5$  zu einer krystallinischen Masse, die bei dieser T. schmilzt, wobei der Druck der Dämpfe geringer ist als 1 Atm. Er fand denselben

bei $-70^{\circ}$	= 1,09 Atm.	bei $-34^{\circ}$	= 3,95 Atm.
67,8	1,15	29	4,24
64	1,27	26,4	4,6
59	1,5	19	5,9
55,5	1,67	— 3,3	9,36
50	2	+ 9	13,7
42,8	2,59	11	14,6
40	2,86		

Pogg. Ann. Ergbd. 2, 208.

Regnault giebt folgende Zahlen für die Dampfspannung des flüssigen Schwefelwasserstoffs:

bei $-20^{\circ}$	4438,85 mm	= 5,8 Atm.
10	6084,57	8,0
0	8206,29	10,8
+ 10	10896,32	14,3
20	14451,51	18,7
30	18035,35	23,7
40	22582,46	29,7
50	27814,77	36,6
60	33740,16	44,4
70	40353,25	53,4

Rélat. des expériences II (frühere Versuche von ihm C. r. 50, 1063).

Melsens erhielt das Gas flüssig durch Absorption von Kohle. — C. r. 72, 784.

Spec. Wärme. Für gl. Vol. = 0,2857; für gl. Gew. = 0,2432. — Regnault.

Der Siedepunkt des flüssigen ist nach Regnault  $-64^{\circ},8$ .

Reibungscoeff. — Meyer: Pogg. Ann. 143, 44. 148, 526.

Nach Dulong ist die Brechkraft des Gases gegen Luft = 2,187,  $n = 1,000644$ ; das absolute Brechungsvermögen  $n^2 - 1 = 0,001288$ . — Pogg. Ann. 6, 393.

Neuere Untersuchungen über die Brechungsexp. und die Dispersion theilte Croullebois mit. — Ann. Ch. Phys. (4) 20, 136.

Mascart findet das Brechungsvermögen bei  $12^{\circ} = 2,42$ .

Absorption. — Die Versuche von Schönfeld ergeben für die Absorption durch Wasser und Alkohol folgende Coeff.

	Wasser	Alkohol
0°	4,3706	17,894
5	3,9652	14,776
10	3,5858	11,992
15	3,2326	9,539
20	2,9053	7,415
25	2,6044	5,623
30	2,3290	
35	2,0799	
40	1,8569	

Ann. Ch. Ph. 95, 1.

Hieraus folgt, dass 1 Vol. Gas sich löst in

	Vol. Wasser
bei 0°	0,23
10	0,28
15	0,31
20	0,34

Thermochemisches. — Bildungswärme = 4542 W.-E. — Thomsen: Pogg. Ann. 148, 378.

Nach Thomsen beträgt die Lösungswärme von 1 Mol. in 900 Mol. Wasser (bei  $18^{\circ}$ ) 4750 W.-E. — Ber. d. ch. Ges. 1873, 710.

Derselbe schliesst aus seinen thermochemischen Untersuchungen, dass Sch. auf nassem Wege sich Basen gegenüber wie eine monohydrische Säure, d. h. wie H. HS verhält, dass also die Hydrosulfüre, z. B. NaHS, die normalen Salze sind und dass die Schwefelmetalle der Alkalien gleich den Oxyden sich in Wasser nicht als solche lösen. — Pogg. Ann. 140, 522. 143, 532. 144, 643.

S. auch Berthelot: C. r. 78, 1175. 1247.

### Schweflige Säure. $\text{SO}_2$ . (Anhydrid.)

Zusammendrückbarkeit und Ausdehnung. — Nach Oersted verhält sich das Gas beim Comprimiren bis zu 2,3 Atm. nahe gleich der Luft, erleidet von da ab aber eine etwas grössere Verdichtung. Despretz bemerkte seine Abweichung vom Mariotte'schen Gesetz, und neuerlich untersuchte Amagat die Zusammendrückbarkeit des Gases bei T. von 8 bis  $250^{\circ}$ . — C. r. 73, 183.

Der Ausdehnungscoeff. ist

Magnus	Regnault	Amagat
0,0038562	0,0036696	0,00390
(Luft = 0,00369087	0,003665	0,00367).

Nach Regnault nimmt er bei stärkerem Druck merklich zu.

Nach Amagat beträgt die Ausdehnung

zwischen 0° und 10°	0,004233
bei 250°	0,003685.

Derselbe untersuchte zugleich die Abweichung vom Mariotte'schen Gesetz.

Magnus: Pogg. Ann. 55, 24. — Regnault: Rélat. d. expér. Pogg. Ann. 55, 573). — Amagat: C. r. 68, 1170. 73, 183. 74, 1299. — Roth: Wied. Ann. 11, 1. — Vgl. Potter: Phil. Mag. (4) 28, 271.

Zusammendrückbarkeit der flüssigen. — Bei — 44° unter dem Druck von 606 Atm. = 0,0003014. — Cailletet: C. r. 75, 77.

Ausdehnung der flüssigen.

Zwischen 0° und 48°	= 0,00193
- 94 - 99,5	0,00368 des Vol. bei 94°
- 108,5 - 115,5	0,00463 - - - 108,5
- 116 - 122	0,00533 - - - 116
- 122 - 127	0,006 - - - 122.

Später wurde der Ausdehnungscoeff. zwischen 0 und 130° bestimmt.

— Drion: C. r. 46, 1235. Ann. Ch. Phys. (3) 56, 5.

Früher hatte Pierre für flüssige S., deren Siedepunkt — 8° bei 759,2 mm und deren V. G. 1,4911 bei — 20°,5 war, den A. für T. zwischen — 25°,9 und — 9°,5 zu bestimmen gesucht. — Ann. Ch. Phys. (3) 21, 336.

Spannkraft der flüssigen Säure.

Bunsen		Sims
— 10°	780 mm	
5	1110	
0	1480	1162 — 1165 mm
+ 5	1910	1424 — 1421,5
10	2390	1719,5 — 1724,4
15	2930	2064,9 — 2072,3
20	3540	
25	4200	
Regnault		
— 25°	373,79 mm	
20	479,46	

Regnault		Faraday		
— 15	607,90	— 10°	760	mm
10	762,49	5	934,8	
5	946,90	0	1162,8	
0	1165,06			
+ 5	1421,14	+ 9	1565,6	
10	1719,55			
15	2064,90	18	2097,6	
20	2462,05	23	3092,8	
25	2915,97			
30	3431,80	32	3306,0	
35	4014,78	38	3921,6	
40	4670,23			
45	5403,52			
50	6220,01			
55	7125,02			
60	8123,80			
65	9221,40			

Bunsen: Pogg. Ann. 46, 97. — Sims: Ann. Ch. Ph. 118, 3.  
 — Regnault: C. r. 50, 4063 (Pogg. Ann. 111, 402). — Faraday: Pogg. Ann. Ergbd. 2, 193.

Bei — 76° wird sie fest. Faraday.

Volumgewicht der flüssigen.

Bei — 20°,5 = 1,4911 Pierre.

— 10 0,9808

0 1

+ 10° = 1,02

+ 30° = 1,0625

20 1,0408

40 = 1,0853

Andreeff: Ann. Ch. Ph. 110, 1.

Siedepunkt der flüssigen. — 8° Pierre, Andreeff. —  
 Dufour, Drion, Regnault.

Latente Dampfwärme = 94,56. Favre u. Silbermann

Specif. Wärme der gasförmigen

für gleiche Vol. 0,3414

— — Gew. 0,1544. Regnault.

Reibungscoeff. — Meyer: Pogg. Ann. 113, 14. 118, 526.

Optisches Verhalten. — Das Brechungsvermögen des Gases f.  
 Dulong 2,260, woraus  $n = 1,000665$  und  $n^2 - 1 = 0,001334$  ab-  
 leitet wurden.

Nach Stas färbt die im Dunkeln bereitete wässrige Lösung Silbersalze weiss und reducirt chlor-, brom- und jodsaures Silber ohne Abscheidung von Schwefel. War sie aber dem Lichte ausgesetzt, so ist der Silberniederschlag grau, die Flüssigkeit färbt sich und setzt Schwefelsilber ab, und bei der Reduction der Silbersalze bildet sich gleichfalls etwas Schwefelsilber.

**Elektrisches Verhalten.** — Die flüssige Säure ist ein Nichtleiter, die wässrige Lösung des Gases ein guter Leiter. Magnus.

Das Gas wird durch eine elektrischglühende Eisenspirale unter intensiver Lichtentwicklung leicht zersetzt. Der Funkenstrom wirkt langsam, wobei sich eine flüssige erstarrende Verbindung aus Schwefel und Schwefelsäureanhydrid bildet. — Buff und Hofmann: Ann. Ch. Ph. 113, 129.

Deville erhielt gleiche Resultate.

**Absorption des Gases durch Wasser.** — Aus Schönfeld's Versuchen folgt: A. 4 Vol. Wasser absorbirt  $n$  Vol., B. 4 Vol. gesättigter L. enthält  $n$  Vol. des Gases, C. V. G. der gesättigten Lösung.

	A.	B.	C.
0°	79,79	68,86	1,0609
4	77,21	67,00	
5	67,48	59,81	1,0547
10	56,65	51,38	
15	47,27	43,56	
20	39,37	36,20	1,0238
25	32,78	30,76	
30	27,16	25,82	
35	22,49	21,23	
40	18,76	17,01	0,9555

Ann. Ch. Ph. 95, 1.

Sims bestimmte für verschiedene T., wie viel Gewichtstheile des Gases von 4 Th. Wasser absorbirt werden, wenn der Partialdruck, d. h. der Druck des feuchten Gases minus dem Druck des in ihm enthaltenen Wasserdampfes, ein bestimmter (von der T. abhängiger) ist. Er fand, dass für niedrige T. die absorbirte Menge nicht proportional dem Partialdruck steigt, dass sie aber in höherer T. der Proportionalität sich immer mehr nähert, so dass es scheint, als entspreche das Gas über 40° dem Henry-Dalton'schen Gesetz. Für den Normaldruck ergiebt sich die Gewichtsmenge, welche von 4 Th. Wasser absorbirt wird,

bei 8°	58,7	Bei 32°	25,7
12	49,6	36	22,8
16	42,2	40	20,4
20	36,4	44	18,4
24	32,3	48	16,4
28	28,9	50	15,6

Qu. J. Ch. Soc. 14, 1 (Ann. Ch. Ph. 118, 333).

Die Elektrolyse der Lösung soll nach Guérout hydroschweflige S.  $H^2SO^2$  geben. — C. r. 85, 225.

Absorption durch Kohle. — Sie absorbiert 37mal soviel Vol. des Gases als Wasserstoff. — Angus Smith: Ch. News 18, 124.

Auf diese Art lässt sich das Gas verflüssigen. — Melsens: C. r. 77, 784.

Nach Favre absorbiert 1 cc Kohle (1,57 grm) im Maximo 165 Vol. Gas. Die frei werdende Wärme beträgt für 1 grm Gas 168 W.-E. — Ann. Ch. Phys. (5) 1, 209.

Thermochemisches. — Die Bildungswärme ist für 1 Mol. ( $SO^2 = 64$  Gewth.) 71072 W.-E. (s. Schwefel). Das Gas zersetzt sich bei 1200° in Schwefel und Schwefelsäureanhydrid. — Deville: C. r. 60, 347.

Die Absorptionswärme ist = 7698 W.-E., die Lösungswärme ( $SO^2$  gegen 300 aq) = 1500 W.-E. — Thomsen: Ber. d. ch. G. 1872, 1044. 1873, 710.

Die gesättigte wässrige L. zerfällt bei 200° unter Bildung von Schwefelsäure und Abscheidung von Schwefel. — Geitner: Ann. Ch. Ph. 124, 128.

Neutralisationswärme. — Thomsen: Pogg. Ann. 138, 497. 140, 530. 143, 354. 148, 177.

### Schwefelsäure. $H^2SO^4$ . (Anhydrid. $SO^3$ .)

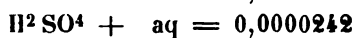
Zusammendrückbarkeit. — Sie ist für je eine Atm.

0,0000302 bei 0°. Colladon u. Sturm,

0,0000332 - 12,6. Aimé.

Aimé: Ann. Ch. Phys. (3) 8, 257.

Für verdünnte S. fand Grassi bei 13°, 6 bis 16°, 5



2 aq 250

3 aq 271

4 aq 279

5 aq 283

9 aq 315

Ann. Ch. Phys. (3) 34, 437.

Ausdehnung der Säure und ihrer Mischungen mit Wasser: Zahlreiche Versuche von Kopp: Ann. Ch. Ph. 94, 257. — Kremers: Pogg. Ann. 144, 44. 120, 493. — Marignac: N. Arch. ph. nat. 39, 273.

Capillarität. — Frankenheim: Pogg. Ann. 72, 178. — Simon: Ann. Ch. Phys. (3) 32, 5.

Erstarrungstemp. verdünnter S. — Pfaunder: Wien. Ak. B. 74, 354.

Volumgewicht.

Bei 0°	1,854	Marignac	1,857	Kolb
12	1,842	-		
24	1,834	-		

(bezogen auf Wasser von gleicher T.).

Schmelzpunkt. — Der Sch. der reinen S. ist 10°,5. Die gewöhnliche Säure ( $12\text{H}^2\text{SO}^4 + \text{aq}$ ) erstarrt bei — 0°,5 und siedet bei 338°. Die Krystalle  $\text{H}^2\text{SO}^4 + \text{SO}^3$  schmelzen bei 35°, die des Hydrats  $\text{H}^2\text{SO}^4 + \text{aq}$  bei 8°,5. — Marignac: Arch. ph. nat. 22, 225.

V. G. verdünnter Säure. — Langberg berechnete es auf Grund von Ure's Tafeln. Pogg. Ann. 60, 56.

Neue Versuche mit Hinzufügung der Beaumé'schen Aräometergrade. Bineau: Ann. Ch. Phys. (3) 24, 337. 26, 123.

Sehr sorgfältige Tabellen lieferte Kolb: Dingl. J. 209, 268.

Die Dichte und Ausdehnungscoeff. Marignac: N. Arch. ph. nat. 39, 273.

S. ferner Kremers (oben u. spec. Wärme).

Gas-V. G. — Das des Anhydrids fand Mitscherlich = 43,35 (berechnet = 40). — Pogg. Ann. 29, 193.

Das Gas-V. G. der Säure fanden

bei 343°	33,0 u. 34,5	Bineau
440	25,2	Deville u. Troost.

Es sollte =  $\frac{98}{2} = 49$  sein. Die Resultate erklären sich durch die von Wanklyn und Robinson nachgewiesene Dissociation. — Bineau: C. r. 49, 769 (Pogg. Ann. 65, 425). — Deville: C. r. 56, 894.

Spec. Wärme.

0,349 De la Rive und Marcel

0,343 zwischen 24 und 46°. Kopp.

Die spec. Wärme und die Dichte von verdünnter Säure Person: Ann. Ch. Phys. (3) 33, 437.

Die spec. Wärme und die Mol.-Wärme der Mischungen von 4 Mol. Säure und  $n$  Mol. Wasser untersuchte Marignac: N. Arch. ph. nat. 39, #47.

Calorimetrische Versuche über die spec. W. verdünnter S. Thomsen: Pogg. Ann. 442, 353, 367.

Ausführliche Untersuchungen von Pfaunder: Wien. Ak. Ber. 56. Ber. d. ch. Ges. 1870, 798.

Die latente Dampfwärme ist = 297—342 W.-E. Marignac.

Optisches. — Der Brechungsexp. der verdünnten S. wächst mit ihrer Concentration und erreicht ein Maximum, wie es scheint, bei  $H^2SO_4$  1-aq. Van der Willigen.

Elektrisches. — Ueber den Leitungswiderstand verdünnter S. Horsford: Pogg. Ann. 70, 238. — Kohlrausch und Nippold: Ebd. 130, 280, 370. — Grotrian: Eb. 151, 378. — Paalzow: Eb. 159, 233.

Hooker: Ann. Ch. Ph. 73, 1, 75, 94.

Das Anhydrid ist ein Nichtleiter; ein Gemisch von 4 Th. und 4 Th. Säure ist ein schlechter Leiter: am positiven Pol entwickelt sich Sauerstoff, am negativen entsteht eine blaue Färbung. Bei weniger Anhydrid treten an letzterem Wasserstoff und schweflige S. auf. Geuther: Ann. Ch. Ph. 109, 129.

Verdünnte S., die am negativen Pol nur Wasserstoff giebt, verhält sich nach dem Erwärmen wie concentrirte, d. h. es tritt dann statt Wasserstoff Schwefel als Ursache der blauen Färbung auf. Warburg: Pogg. Ann. 135, 114. — Vgl. Bourgois: C. r. 69, 890.

Thermochemisches. — Thomsen findet für die Bildungswärme von

$SO_2$ aus S und 3O	163230 W.-E.
- $SO_2$ - O	32160 -
$H^2SO_4$ - $SO_2$ , O, $H^2O$	71330 -
- $SO_2$ , $H^2O$ , O	63630 -
- $SO_2$ , O, $H^2$	121840 -
- $SO_2$ u. $H^2O$	21320 -

Ber. d. ch. G. 1872, 1014

Wärme beim Verdünnen der Säure. — Favre und Silbermann: C. r. 24, 1084. — Andrews: Phil. Mag. 3, 36, 511. — Thomsen: Pogg. Ann. 90, 261. Ber. d. ch. G. 1870, 496, 1873, 710. — Pfaunder: Jahresh. 1869, 122.

Wenn 4 Mol. S. und 2 Mol. Wasser, welche vor der Vermischung bei 0° das Vol. 1 haben beim Mischen eine T.-Erhöhung von 6 auf 438° zeigen, so haben sie bei dieser T. auch das Vol. 1. Hier ist die bei der Verbindung



ei werdende Wärme gleich der, durch welche die Verbindung bis zu dem ursprüngl. Vol. ihrer Bestandtheile ausgedehnt wird. — Deville: C. r. 0, 534. 584.

Neutralisationswärme. — Thomsen: Pogg. Ann. 439, 493. 440, 88. 30 443, 354. Ber. d. ch. Ges. 1872, 508. — Vgl. Berthelot: C. r. 78, 4175.

### Selen. Se.

Krystallform. — Zwei- und eingliedrig.

$$a : b : c = 0,9902 : 1 : 1,2697 \quad \text{Mitscherlich.}$$

$$o = 89^\circ 15'$$

$$o, o', \frac{o'}{2}; p, {}^2p, q, r, r'; b$$

$$s = a' : \frac{1}{3}b : c.$$

	Berechnet	Beobachtet
$o : o =$	$404^\circ 24'$	
$o' : o' =$		$+403^\circ 40'$
$o : o' =$	$403 \quad 9$	
$o : o' =$	$422 \quad 1$	
$p : p =$	$90 \quad 34$	
${}^2p : {}^2p =$	$53 \quad 34$	
$q : q =$	$76 \quad 26$	
$r : r' =$		$75 \quad 54$
$o : p =$	$454 \quad 8$	
$q =$	$444 \quad 45$	
$o' : p =$	$450 \quad 53$	
$q =$	$441 \quad 24$	
$p : q =$	$423 \quad 58$	
$r =$	$424 \quad 43$	
$q : r =$		$+412 \quad 36$
$p : r' =$	$423 \quad 55$	
$q : r' =$	$412 \quad 7$	
$\frac{o'}{2} : \frac{o'}{2} =$	$423 \quad 28$	
$p =$	$431 \quad 50$	
$q =$	$456 \quad 29$	
${}^2p : r =$	$410 \quad 54$	
$r' =$	$410 \quad 44$	
$s : s =$	$64 \quad 56$	
$p =$	$453 \quad 48$	
$q =$	$449 \quad 53$	

Fig. 8. 9. — Oft tafelartig nach  $r$ . Die Flächen  $s$  selten. — Schwarz, roth durchsichtig. — Isomorph dem zwei- und eingliedrigen Schwefel.

Mitscherlich hatte die Zone  $o'$ ,  $s$ ,  $b$  als Horizontalzone genommen und in Folge dessen die Isomorphie nicht erkannt.

Mitscherlich: Monatsb. Ak. Berl. 1855, 409. — Rammelsberg: Ebend. 1874, 188. Pogg. Ann. 152, 151.

Fig. 8.

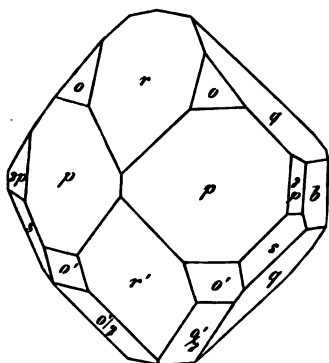
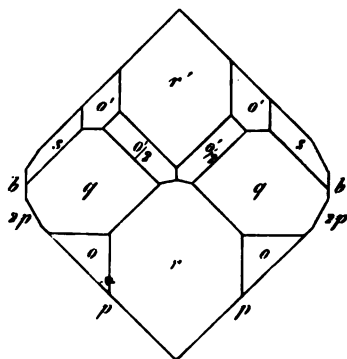


Fig. 9.



Molekularzustände. — Schon Berzelius hatte bemerkt, dass geschmolzenes S. bei raschem Abkühlen unverändert bleibt, d. h. mit glatter Fläche erstarrt, eine glasige Masse von muschligem Bruch bildet, welche in dünnen Parthieen roth durchsichtig ist, dass es aber durch langsames Abkühlen ein körniges bleigraues Ansehen erlangt, und im Bruch matt erscheint.

Jedoch die ersten genauen Beobachtungen über zwei verschiedene Zustände des S. verdanken wir Hittorf. Danach ist Selen, wenn es aus dem flüssigen Zustande in den festen übergegangen ist, entweder glasig (amorph) oder körnig.

Das glasige S. erweicht nach Wüllner schon zwischen  $40—50^{\circ}$ . Es wird durch Erhitzen unter Freiwerden von Wärme in körniges verwandelt. Bei  $125^{\circ}$  steigt seine T. rasch auf  $210—215^{\circ}$ . Ist die T. niedriger, so erfolgt die Umwandlung langsamer, bei  $80^{\circ}$  oder  $100^{\circ}$  ist die Wärmeentwicklung nicht mehr merklich. Allein wenn das glasige S. gepulvert ist, so ist die Verwandlung schon bei  $90^{\circ}$  eine so rasche, dass die T. um  $25—30^{\circ}$  steigt.

Das körnige S. schmilzt bei  $217^{\circ}$ , ohne zuvor zu erweichen; beim Abkühlen wird es allmählig dickflüssig und erhärtet endlich unter  $50^{\circ}$  als glasiges S. Dabei findet ein ganz regelmässiges Sinken der T. statt.

Hittorf fand, dass auch das gefällte rothe S. bei  $100^{\circ}$  unter Temperaturerhöhung um  $25-30^{\circ}$  dieselbe Umwandlung wie das glasige erleidet, so wie, dass es durch die Sonnenstrahlen umgewandelt wird.

Mitscherlich bestätigte Hittorf's Beobachtungen: als er S. über  $217^{\circ}$  erhitzte, dann rasch auf  $180-190^{\circ}$  abkühlte und bei dieser T. erhielt, sah er dasselbe unter einer T.-Erhöhung von  $20^{\circ}$  bald sich in körniges verwandeln.

Nach Regnault geht glasiges S. noch nicht bei  $90^{\circ}$ , sondern erst bei  $96^{\circ}$  in körniges über. Die frei werdende Wärme reicht nach ihm hin, die T. des S. um mehr als  $200^{\circ}$  zu erhöhen.

Unter den Eigenschaften der verschiedenen Modificationen, durch welche sie sich unterscheiden, ist zunächst das V. G. und die Löslichkeit in Schwefelkohlenstoff hervorzuheben.

Das Volumgewicht der zwei- und eingliedrigen Krystalle ist nach Mitscherlich 4,46—4,54. Erhitzt man sie bis  $450^{\circ}$ , so werden sie fast schwarz, und sind dann ganz unlöslich; ihr V. G. ist dann = 4,7. Durch Schmelzen und rasches Erkalten wird wieder lösliches S. erhalten.

Hiernach geht also auch das aus Schwefelkohlenstoff kryst. S. durch Erhitzen, ebenso wie das glasige, in eine andere Modification über, welche, wie es scheint, von M. als ident mit dem körnigen betrachtet wurde.

Das körnige S. ist unlöslich. Nach raschem Erkalten aber ist es löslich. Bis  $200^{\circ}$  verändert es sich nicht. Graf Schaffgotsch hatte sein V. G. = 4,73—4,80 gefunden, Neumann aber nur = 4,406. Bettendorff und Wüllner wieder 4,797. Meine Versuche geben als Min. 4,437, als Maxim. 4,59, als Mittel 4,544.

Aus der Auflösung von Selenkalium scheidet sich an der Luft schwarzes S. ab, welches mikroskopische Krystalle bildet. Diese Modification hielt Mitscherlich für ident mit dem grauen körnigen S. Sie ist wie dieses unlöslich, aber ihr V. G. ist nach Hittorf 4,808, nach Mitscherlich 4,760—4,788, nach meinen Versuchen 4,790. Nach M. verändert es sich bis  $200^{\circ}$  nicht.

Das amorphe S., durch Fällung erhalten, ist bei seiner feinen Vertheilung roth, geschmolzen ist es glasig. Das V. G. des ersteren ist nach G. Schaffgotsch 4,259—4,264, des letzteren 4,28. Eigene Versuche gaben 4,493, wiewohl diese Zahl etwas zu niedrig ist. An sich ist es wohl unlöslich, allein in Berührung mit Schwefelkohlenstoff wird es nach Mitscherlich krystallinisch und löst sich auf.

Wir haben demnach zu unterscheiden:

	V. G.
Krystall. S. durch Zersetzung von Selenalkalien	4,8 Unlöslich
Krystall. S. aus Schwefelkohlenstoff . . . . .	4,5 Löslich
Körniges S. . . . .	4,5 (4,8?) Unlöslich
Amorphes S. . . . .	4,2 Unlöslich.

Es ist bemerkenswerth, dass das V. G. des krystallisirten und des grauen (metallischen) nahe gleich ist, wenn anders letzteres 4,5 wiegt.

Berzelius: Pogg. Ann. 61, 7. — Hittorf: Ebend. 84, 244. — Mitscherlich: Monatsber. Berl. Ak. 1855, 409. — Regnault: Ann. Ch. Phys. (3) 46, 257 (Pogg. Ann. 98, 448. 426). — Neumann: Pogg. Ann. 426, 423. — Gr. Schaffgotsch: Monatsber. Berl. Ak. 1847, 422. Pogg. Ann. 90, 66. — Rammelsberg: Ebend. 1874, 488.

Es ist noch die Angabe Berthelot's beizufügen, dass das aus Selenwasserstoff durch Elektrolyse ausgeschiedene S. löslich. das aus seleniger Säure grösstentheils löslich sei, und das gelöste beim Verdunsten zu unlöslichem werde. Auch hier wie beim Schwefel wäre der elektrochemische Zustand für die Eigenschaften des Elementes bestimmt. — C. r. 48, 348. 378.

Spec. Wärme. — Regnault's ältere Versuche, ohne Kenntniss der Modificationen, hatten die Zahl 0,0837, die von De la Rive und Marce t 0,0834 gegeben. Jene beziehen sich wohl auf das körnige S., da die T. etwa 100° war. Später fand Regnault für das körnige 0,07616, für das amorphe 0,1034. Da aber letzteres viel leichter erweicht und bei 80 oder 90° schon einen bedeutenden Theil seiner latenten Schmelzwärme enthält, wiederholte er die Versuche unter 0°, und fand nun für das körnige 0,07446, für das amorphe 0,07468, d. h. beide fast gleich.

Dann fand Neumann für das körnige S. 0,086, und später Bettendorff und Wüllner 0,08404. Das aus Selenkalium abgeschiedene gab 0,08399, d. h. dieselbe Zahl, das amorphe 'glasige' bei 38° 0,095 — 0,0958, während nach dem Erweichen bei 52°, 8 0,1104, und bei 62° 0,1147 gefunden wurde. Hiernach scheinen denn doch beide Modificationen eine verschiedene sp. W. zu haben.

Regnault: Pogg. Ann. 51, 226. 98, 448. 426. — Neumann: Eb. 426, 438. — Bettendorff u. Wüllner: Eb. 133, 306.

Die Ausdehnung des geschmolzenen S. ist nach Fizeau = 0,0000368. C. r. 68, 1125.

Die Diathermansie des glasigen S. Schultz-Sellack: Monatsber. Berl. Ak. 1869, 745.

Seine Capillaritätsconstante Quincke: Pogg. Ann. 135, 624. Siedepunkt 676° 683°. Carnelly.

Gas-V. G. — Deville und Troost bestimmten es bei  $860^{\circ} = 118,3$ , bei  $1040^{\circ} = 92$ , bei  $1420^{\circ} = 83,2$ . Es nähert sich also mit steigender T. dem Atg. — C. r. 49, 239. 56, 894.

Optisches Verhalten. — Die Brechung des glasigen S. hatte Jamin bestimmt. Sirks hat dieselbe und zugleich die starke Dispersion ausführlich untersucht. — Pogg. Ann. 443, 429.

Ueber das Spectrum des S. Plücker u. Hittorf: Proc. R. Soc. 13, 453. — Werther: J. f. pr. Ch. 88, 480. — Salet: C. r. 73, 742. — Gernez: C. r. 74, 4190.

Elektrisches Verhalten. — Seebeck zeigte, dass das (glasige) S. ein Nichtleiter ist, und beim Reiben negativ elektrisch wird. — Pogg. Ann. 6, 455.

Jenes bestätigte Berzelius, dieses Bunsendorff; ebenso Riess. — Ebend. 64, 50.

Hittorf fand, dass des körnige weit besser leitet, und dass auffallenderweise sein Widerstand beim Erwärmen bedeutend abnimmt. — Ebend. 84, 214.

Mai, W. Smith und Sale fanden, dass das S. seinen Widerstand sehr ändert, wenn es dem Licht ausgesetzt ist, dass diese Wirkung nicht von den aktinischen Strahlen herrührt, sondern dass sie im Roth oder ausserhalb desselben ein Maximum ist, dass die Veränderlichkeit des Widerstandes nicht von den T.-Änderungen im S. herrührt. — Proc. R. Soc. 24. Pogg. Ann. 150, 333. Vgl. Draper u. Moss: Chem. News 33, 4.

Siemens bestätigte, dass das körnige S. im Lichte die Elektrizität besser leitet als im Dunkeln. Er erhitzte S. dauernd auf  $200$ — $240^{\circ}$ ; das S. besass nun eine weit grössere Leitungsfähigkeit (bei gew. T.) und Lichtempfindlichkeit als das nur bis  $100$ — $150^{\circ}$  erhitze. Es leitet dann die El. gleich einem Metall, d. h. abnehmend mit steigender T. Nach ihm erstreckt sich der Einfluss des Lichtes nur auf die Oberfläche.

Auch Adams hatte, entgegen den Beobachtungen Hittorf's, eine Abnahme der Leitungsfähigkeit mit steigender T. gefunden. Siemens bestätigte dann Hittorf's Angabe der zunehmenden Leitungsfähigkeit mit der T., und dass sie mit Aufnahme der latenten Schmelzwärme bei gleichbleibender T. wieder beträchtlich abnimmt. Auch die Leitungsfähigkeit des geschmolzenen S. nimmt mit der T. zu.

Weitere Versuche zeigten, dass das längere Zeit auf  $200^{\circ}$  erhitze S. eine Umwandlung erleidet, durch die seine Leitungsfähigkeit bei dieser T. bis auf etwa  $\frac{1}{3}$  ihrer anfänglichen Grösse vermindert wird. Es zeigt dann

gleich den Metallen mit sinkender T. zunehmende Leitungsfähigkeit, während S., welches nicht längere Zeit erhitzt war, sich in dieser Beziehung entgegengesetzt verhält. Rasch abgekühltes S. leitet über 16 mal besser wie bei 200°, allein diese Leitungsfähigkeit vermindert sich bald, bis sie nach einiger Zeit constant wird.

Aber das S. wird bei 200° nur dann zu einem Leiter nach Art eines Metalls, wenn es durch directes Erhitzen des amorphen erhalten war. Hatte sich aber dieses erst bei 100° in körniges verwandelt, so tritt bei 200° die Umwandlung nicht oder kaum ein. Ebenso ist krystallinisch erstarrtes S. nicht metallisch leitend.

Aus den zahlreichen Versuchen folgt, dass das krystallinisch körnige S. sich in Hinsicht auf Wärme und Elektrizität anders verhält wie die übrigen Elemente. Gleich Tellur und Kohlenstoff leitet es, entgegen den Metallen, die El. besser bei höherer T., allein es behält diese Eigenschaft nicht bei allen T. bei, sondern verliert sie bei längerer Erhitzung auf 200°, und verhält sich dann wie ein Metall. Dieser metallische Zustand ist aber nicht stabil, es bildet sich bei und nach der Abkühlung langsam wieder um in den des nichtmetallisch, sondern elektrolytisch leitenden, bei geringerer T. körnig gewordenen S. Es scheint also, dass das feste S. bei 200° in einen neuen allotropischen Zustand übergeht, der nur bei dieser T. sich erhält, bei Abkühlung aber sich nur theilweise in dem des elektrolytisch leitenden vertheilt erhält.

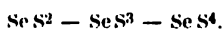
Ueber die Wirkung des Lichtes stellte Adams Versuche an, wonach entweder das Licht in dem S. eine elektromotorische Kraft entwickelt, die dem durchgehenden Strom entgegenwirkt, oder dass es die Oberfläche in einer ähnlichen Art wie bei phosphorescirenden Körpern verändert.

Siemens: Monatsber. d. Berl. Akad. 1875, 280. 1876, 95. 1877, 299. (Pogg. Ann. 156, 334. 159, 117; Wiedem. Ann. 2, 521). — Adams: Proc. R. Soc. 24 u. 25 (Pogg. Ann. 159, 622, 629). — Draper u. Moss: Chem. News 33, 1. — Forssmann: Wiedem. Ann. 2, 513.

S. ist stark diamagnetisch. — Pogg. Ann. 73, 619.

### Isomorphe Mischungen von Selen und Schwefel.

#### A. Schwefelselen.



Zwei- und eingliedrig.

$$a : b : c = 1,0546 : 1 : 0,7146 \quad \text{v. Rath.}$$

$$o = 88^\circ 46',5$$

$$o, o'; p^2, \frac{q}{2}; b.$$

	Berechnet	Beobachtet	
		v. Rath	Rathke
$\alpha =$		$\sim 119^{\circ} 30'$	
$\alpha = 118^{\circ} 5',5$		118 36	
122 46			
		$\sim 124 22$	$124^{\circ} 8'$
$\alpha = 117 49$		117 45	
$\frac{q}{2} = 140 43$		140 58	
$b = 109 38,5$		109 34	
$\alpha : b = 120 15$		120 18	
$\alpha' : b = 120 57$			
$\alpha : p^2 =$		$\sim 132 35$	
$\alpha' : p^2 = 130 43$		130 40	
$\alpha : \frac{q}{2} = 147 54,5$		147 48	
$\alpha' : \frac{q}{2} = 146 51$		147 25	

Prismatisch nach  $p^2$ ; in der Endigung oft nur  $\alpha$ .

Zwillinge nach  $\alpha : c : \infty b$ , ähnlich denen des Gypses und tafelartig nach  $b$ .

Die sehr kleinen Krystalle zeigen in der Neigung von  $p^2$  merkliche Schwankungen.

#### B. Selenschwefel.

Se S<sup>5</sup>.

Zweigligdrig. — Isomorph mit dem zweigliedrigen Schwefel, die Flächen  $\alpha$ ,  $\frac{\alpha}{3}$  und  $q$  zeigend.

Beobachtet (v. Rath)

$$\alpha \begin{cases} 2A = 106^{\circ} 38' \\ 2B = 84 58 \end{cases}$$

Schwefel und Selen schmelzen in jedem Verhältniss zusammen. Die amorphe Masse wird bei  $100^{\circ}$  krystallinisch. Löst man sie dann in Schwefelkohlenstoff auf, so krystallisiren die isomorphen Mischungen bei langsamem Verdunsten mit rother und gelber Farbe. Aus dem Gemisch Se + 2S wurden Anschüsse von Se<sup>9</sup>S<sup>5</sup>, Se<sup>7</sup>S<sup>10</sup>, SeS<sup>2</sup> erhalten. Das Gemisch Se + 3S gab Se<sup>8</sup>S<sup>15</sup>, Se<sup>5</sup>S<sup>12</sup>, SeS<sup>3</sup>; das von Se + 4S lieferte SeS<sup>2</sup>, SeS<sup>3</sup>, SeS<sup>5</sup>. Beim Umkrystallisiren von SeS<sup>2</sup> oder SeS<sup>3</sup> erhält man zuerst selenreichere rothe, dann schwefelreichere helle Anschüsse. Alle diese Krystalle sind zwei- und eingliedrigh (A), nur die hellsten (B) = SeS<sup>5</sup> sind Rhombenoktaeder, und gehen beim Umkrystallisiren zuerst selenreichere (A), dann orangerothe (B) und zuletzt Schwefel.

Bettendorf u. v. Rath: Pogg. Ann. 139, 329. — Rathke: Ann. Ch. Pharm. 152, 188. Pogg. Ann. 144, 590.

Schwefel und Selen sind unzweifelhaft isodimorph. In der zwei- und eingliedrigen Form ist für

	$a : b : c$	$\alpha$
S	4,48 : 1 : 4,338	89° 48'
Se	0,99 : 1 : 4,27	89 45
Se S <sup>n</sup>	4,05 : 1 : 0,744	88 46,5.

Also die  $a = 3 : 2 : 2$ , die  $c = 4,87 : 4,78 : 4$ ,  $= 4,05 : 1 : 0,56$ , d. h. wahrscheinlich  $= 2 : 2 : 1$ .

### Selenwasserstoff. H<sup>2</sup>Se.

Ueber seine Verbindungswärme s. Hautefeuille: C. r. 68, 1554.

### Selenige Säure. SeO<sup>2</sup>. Selensäure. SeO<sup>3</sup>.

Krystallform von SeO<sup>2</sup>.

Zwei- und eingliedrig  $a : b : c = 4,292 : 1 : 4,067$  Rammelsberg.  
 $p, q; a, c.$   $\alpha = 79^\circ 0'$

	Berechnet	Beobachtet
$p : p =$		76° 30'
$a =$	128° 45'	128 45
$a : c =$		104 0
$q : q =$	87 40	
$c =$		133 40
$p : c =$	96 47	

Die sehr kleinen Krystalle sind schwer messbar, da sie schnell feucht werden.

Das Gas-V. G. des Anhydrids SeO<sup>2</sup> fand Mitscherlich  $= 57,8$  (ber. 55,5). Pogg. Ann. 29, 226.

Die thermochemischen Verhältnisse beider S. Thomsen: Pogg. Ann. 138, 508. 544. Ber. d. chem. Ges. 1873, 740. 1553.

### Tellur. Te.

Krystallform. — Breithaupt erkannte die rhomboedrische Form. Pogg. Ann. 7, 527.

Sechsgliedrig.

$a : c = 1 : 4,3298$  G. Rose.

$r, r', p, c.$

$s = a : \frac{1}{2} a : a : c.$



Berechnet	Beobachtet	
	G. Rose	Phillips
$r (r') 2A = 86^{\circ} 57'$		
$s 2A = 74 \ 54$	$74^{\circ} 50'$	
$r : r' \text{ (Endk.)} = 130 \ 28$		
$r : c = 123 \ 4$		
$p =$	$146 \ 56$	$147^{\circ} 36'$
$s : c = 110 \ 36$		
$p = 144 \ 9$	$144 \ 10$	

Das geschmolzene Tellur bildet Krystalle des Hauptrhomboeders  $r$ . Aus einer Auflösung von Tellurkalium scheiden sich feine Nadeln der Combination  $ps$  ab, an welcher  $s$  eine dreiflächige, auf die abwechselnden Kanten von  $p$  aufgesetzte Zuspitzung bildet.

An natürlichen Krystallen beobachtet man das Prisma  $p$ , das Dihexaeder  $rr'$  und die Endfläche  $c$ . Mohs hatte auch  $s$  gefunden.

Spaltbar nach  $p$ , unvollkommen nach  $c$ . — G. Rose: Abh. d. Berl. Akad. 1849. Pogg. Ann. 77, 147. 83, 126.

Amorphes Tellur ist das aus der Lösung in Schwefelsäure durch Wasser oder das durch schweflige S. reducirte.

V. G. — Das V. G. des krystallisirten war angegeben

6,115 Klaproth

6,135 Magnus

6,18 A. Löwe

6,258 Berzelius

6,343 Müller v. Reichenstein.

Ich habe von reinem geschmolzenen T. in gepulvertem Zustande die Werthe  
6,382 — 6,395 — 6,418  
erhalten.

Das V. G. des amorphen T. ist im Mittel 5,928 nach meinen Wägungen. — Monatsber. Berl. Ak. 1875, 379.

Fizeau bestimmte die lineare Ausdehnung des (zuvor) geschmolzenen T. = 0,00001675, woraus die Verlängerung der Längeneinheit von 0 — 100° = 0,001732 folgt. — C. r. 68, 1125.

Das Gas-V. G. fanden Deville und Troost = 130 bei 1390°. — C. r. 56, 891.

Die spec. Wärme, nach Dulong und Petit = 0,0912, ist nach Regnault 0,05155, nach späteren Versuchen 0,05165 für das durch schweflige S. gefällte amorphe, und 0,04737 für das destillirte. — Pogg. Ann. 51, 227. 98, 416.

Ueber das Spectrum des Tellurs Salet: Bull. soc. chim. (2) 16, 195.  
— G. r. 74, 1190.

Das elektrische Leitungsvermögen fand Matthiessen bei  $19^{\circ},6 = 0,000777$  gegen Silber = 100 (bei  $0^{\circ}$ ). — Pogg. Ann. 103, 428.

Derselbe beobachtete sodann, dass das Leitungsvermögen beim Erhitzen bis  $70-80^{\circ}$  abnimmt, d. h. dass das T. sich wie ein Leiter erster Ordnung (ein Metall) verhält, von da ab aber zunimmt. Die T., bei welcher dies erfolgt, wird aber bei wiederholtem Erhitzen immer niedriger. — Pogg. Ann. 115, 385.

Nach Exner stehen die scheinbar unregelmässig wachsenden Widerstände nach mehrfachem Erhitzen mit der Dauer der Erwärmung und Abkühlung in directer Beziehung. Das specif. Leitungsvermögen des T. bei  $20^{\circ}$  (Silber = 100) fand Derselbe

nach Schmelzung 0,00293

nach langsamer Abkühlung 0,00437,

so dass bei Matthiessen's Versuchen die Abkühlungszeit eine mittlere gewesen zu sein scheint. — Pogg. Ann. 158, 625.

Nach Seebeck steht das T. an dem einen Ende der thermoelektrischen Spannungsreihe neben dem Antimon, während Wismuth das andere Ende bildet. — Pogg. Ann. 6, 19.

Den Diamagnetismus beobachteten Riess, Zantedeschi und Oppenheim. — J. f. pr. Ch. 71, 266.

### Tellursäure.

Hydrat  $\text{H}^2\text{TeO}^4 + 2\text{aq.}$

Zwei und eingliedrig.  $a : b : c = 1,5232 : 1 : 1,222$  Handl.

$\alpha = 82^{\circ} 59'$ .

$p, q, r, r'; a, c.$

	Berechnet	Beobachtet
$p : p =$		$66^{\circ} 58'$
$c =$	$93^{\circ} 52'$	
$q : q =$		$79 \quad 0$
$a : c =$		$97 \quad 1$
$r =$	$132 \quad 58$	
$r' =$	$124 \quad 26$	
$c : r =$	$144 \quad 3$	
$r' =$	$138 \quad 33$	

Prismatisch nach  $p$ . — Wien. Ak. B. 32.

V. G. von  $\text{TeO}^3 = 5,07 - 5,44$ , von  $\text{H}^2\text{TeO}^4 = 3,425 - 3,458$ ; vom Hydrat 3,00. Clarke.

V. G. von Tellurigsäureanhydrid  $\text{TeO}_2 = 5,93$  Schafarik, 5,75 Clarke.

Bildungswärme beider Säuren. Thomsen: Ber. d. ch. G. 1873, 1553.

### Stickstoff. N.

Zusammendrückbarkeit und Ausdehnung. — In wie weit das Stickgas dem Mariotte'schen Gesetz entspricht, lehren die Versuche Regnault's über das Verhältniss von Volum und Druck bei ihm.

	Vol.		Vol.
1 Atm.	1,000000	5 Atm.	4,968760
2 -	1,998634	10 -	9,943590
3 -	2,995944	20 -	19,788580
4 -	3,991972		

Natterer suchte die Abweichungen unter hohen Druckgraden zu bestimmen. Pog. Ann. 94, 436.

Der Ausdehnungscoefficient ist

0,0036682	Regnault.
0,0036677	Jolly.

Versuche über die Zusammendrückbarkeit. Gailletet: C. r. 88, 64. — Amagat: Eb. 88, 336. 89, 437.

Verflüssigung s. Sauerstoff.

Volumgewicht.

44,02—44,08	Mittel 44,05	Dumas u. Boussingault,
44,03—44,04	- 44,037	Regnault.

Spec. Wärme. — Wenn die der Luft gegen Wasser bei T. zwischen 40 und 100° nach Regnault = 0,2379 ist, so ist die des St., bezogen auf Luft, nach Denselben

für gleiche Vol.	0,9954	später 1,0000
- - Gew.	1,0248	- 1,0318

Oder gegen Wasser 0,2754.

Die Versuche von Apjohn (Suerman) hatten (gegen Luft) 0,9887 und 1,0469 ergeben. Regnault: Pogg. Ann. 89, 345. — Apjohn: Eb. 44, 474.

Wärmeleitung. — Winkelmann: Eb. 456, 497. — Boltzmann: Eb. 457, 457.

Diffusion. — Graham: Pogg. Ann. 129, 548. — Wroblewski: Eb. 458, 539.

Optisches. — Brechungsvermögen gegen Luft nach Dulong = 1,020, woraus  $n = 1,0003$  und  $n^2 - 1 = 0,000604$  berechnet ist.

Spectrum. — Plücker und Hittorf: Phil. Transact. 155. — Plücker: Pogg. Ann. 105, 76. — Waltenhofen: Eb. 126, 527. — Schuster: Eb. 147, 106. — Wüllner: Eb. 149, 103. Wiedem. Ann. 8, 590. — Salet: C. r. 82 (Pogg. Ann. 158, 329). — Cazin: Instit. 1876, 154. — H. Vogel, Monatsb. Berl. Akad. 1879, 586.

#### Absorption durch Wasser.

	1 Vol. Wasser löst n Vol.	1 Vol. Gas löst sich in n Vol. Wasser
Bei 0°	0,02035	49,1
5	0,01794	55,8
10	0,01607	62,2
15	0,01478	67,7
20	0,01403	71,3

Für Alkohol sind die entsprechenden Werthe

bei 0°	0,12634	7,9
20	0,11964	8,4.

Pauli (Bunsen): Ann. Ch. Ph. 93, 1.

#### Ammoniak. H<sup>3</sup>N.

Ausdehnung. — Schon Despretz hatte gefunden, dass Ammoniakgas bei 2 Atm. Druck dem Mariotte'schen Gesetz nicht mehr folge. Regnault, welcher wegen der Wirkung des A. auf Quecksilber den Ausdehnungscoeff. nicht genau bestimmen konnte, überzeugte sich, dass bei 7°,7 bis zu einem Druck von 2 Atm. die Abweichung = 2,04 ist. Nach Amagat ist dieselbe bei 100° unbedeutend.

Regnault: Relation etc. (Pogg. Ann. 55, 576). — Amagat: C. r. 68, 1170. — Roth: Wied. Ann. 11, 1. — Vgl. Andrews: Pogg. Ann. Ergb. 5, 64.

#### Ausdehnung des flüssigen Ammoniaks.

Bei — 10°	0,9805	bei + 10°	1,0215
0	1	20	1,0450

Andreoff: Ann. Ch. Ph. 110, 1.

Verdichtung. — Das Gas wird unter dem gewöhnlichen Druck bei — 33° (oder — 40°), unter dem 4,4 fachen bei 0° flüssig. Bei — 75° wird das flüssige fest. Faraday.

#### Volumgewicht. —

Des Gases.	8,57	Thomson,
	8,62	Biot und Arago.
Berechnet	8,5.	

Des flüssigen 0,6362 Andreeff,

bei 0° 0,6234 Jolly.

Ann. Ch. Ph. 117, 181.

Das feste ist dichter als flüssiges. Faraday.

Siedepunkt des flüssigen:

— 33°,7 bei 749 mm Bunsen,

— 38,7 — 760 — Regnault.

Verdampfungswärme. — Regnault: Ann. Ch. Phys. (4) 24, 375.

Spannkraft der Dämpfe des flüssigen:

	Bunsen	Regnault
bei — 30°		866 mm
20		1392
10		2144,6
5	3040 mm	
0	3610	3183,3
+ 5	4260	
10	4980	4574
15	5780	
20	6670	6387,8
30		8701

Bunsen: Pogg. Ann. 46, 97. — Regnault: Relation etc. (Pogg. Ann. 111, 411). — Vgl. auch Faraday: Pogg. Ann. Ergb. 2, 216.

Spec. Wärme des Gases.

Bei gl. Vol.	Bei gl. Gew.	Regnault	
0,2994	0,5084		
	0,5202 zwischen 100 u. 25°		} Wiedemann.
	0,5365	200 — 25	

Für constantes Vol. ist sie bei 0° und 100° — 4 : 1,184. W.

Regnault: Relation etc. (Pogg. Ann. 89, 335). — Wiedemann: Pogg. Ann. 157, 35.

Abhängigkeit der spec. W. von der T. Wüllner: Wied. Ann. 4, 321.

Reibungscoeff. des Gases. Meyer: Pogg. Ann. 143, 14, 148, 526.

Optisches. — Brechungsvermögen nach Dulong = 1,309 (1,29 bei 12°, Mascart), wonach  $n = 1,000385$  und  $n^2 - 1 = 0,000771$ . — Mittlerer Brechungsexp. für weisses Licht = 1,00039; Dispersionsvermögen = 0,1754. — Ann. Ch. Phys. (4) 20, 136.

Spectrum der Flamme des verbrennenden A. Hofmann: Pogg. Ann. 147, 92. — Dibbits: Ch. News 9, 46.

Absorption durch Wasser. — Nach Carius wird das V. G. einer bei  $t^\circ$  gesättigten Lösung (Wasser von  $4^\circ = 1$ ) durch die Formel

$$s = 0,85355 + 0,0026269 \cdot t - 0,0000333 \cdot t^2$$

ausgedrückt, so dass  $s$

für $0^\circ = 0,8535$	für $15^\circ = 0,8858$
5 $0,8658$	20 $0,8928$
10 $0,8766$	25 $0,8984$ .

Wenn hierdurch das Gew. von 1 cc gesättigter Lösung und das des darin enthaltenen A. bekannt ist, so lässt sich berechnen, wie viel Vol. Ammoniak  $V$  (bei  $0^\circ$  und 760 mm gedacht) von 1 Vol. Wasser absorbiert werden. Als Ausdruck seiner Erfahrungen giebt Carius die Interpolationsformel

$$V = 1049,624 - 29,4936 t + 0,676874 t^2 - 0,0095624 t^3,$$

wonach	für $0^\circ$	$V = 1049,6$	$15^\circ$	$V = 727,2$
	5	917,9	20	654,0
	10	812,8	25	585,9.

Aus seinen Versuchen ergibt sich der procentische A.-Gehalt bei  $14^\circ$  für die beistehenden V. G. der Lösung:

	pCt.		pCt.		pCt.
0,8844	= 36	0,9133	= 24	0,9520	= 12
0,8864	35	0,9162	23	0,9556	11
0,8885	34	0,9191	22	0,9593	10
0,8907	33	0,9221	21	0,9631	9
0,8929	32	0,9251	20	0,9670	8
0,8953	31	0,9283	19	0,9709	7
0,8976	30	0,9314	18	0,9749	6
0,9001	29	0,9347	17	0,9790	5
0,9026	28	0,9380	16	0,9831	4
0,9052	27	0,9414	15	0,9873	3
0,9078	26	0,9449	14	0,9915	2
0,9106	25	0,9484	13	0,9959	1

Auch beim Ammoniak gilt nach Carius das Dalton'sche Gesetz, dass die Menge des mit anderen Gasen gemengten Ammoniaks bei der Absorption seinem Partialdruck entspricht. Ann. Ch. Ph. 98, 129.

Nach Roscoe und Dittmar absorbiert 1 grm Wasser bei  $0^\circ$  unter dem Druck von  $P$  Meter Quecksilber  $G$  grm Ammoniak:

$P$	$G$	$P$	$G$
0,05	0,175	0,15	0,354
0,1	0,275	0,2	0,441

P	G	P	G
0,25	0,465	1,2	1,208
0,3	0,515	1,3	1,310
0,4	0,607	1,4	1,415
0,5	0,690	1,5	1,526
0,6	0,768	1,6	1,645
0,7	0,840	1,7	1,770
0,8	0,906	1,8	1,906
0,9	0,968	1,9	2,046
1,0	1,037	2,0	2,195
1,1	1,117		

Hiernach ist entgegen den Erfahrungen von Carius die bei 0° absorbierte Gasmenge dem Druck nicht entfernt proportional. Innerhalb der Druckgrenzen 0 und 1 Meter werden die gleichen Differenzen entsprechenden Zunahmen der absorbierten Mengen mit steigendem Druck immer kleiner, wenn aber der Druck über 1 Meter steigt, werden sie umgekehrt grösser.

1 gram Wasser absorbiert unter 760 mm bei t° folgende gram Ammoniak

0°	0,875	20°	0,526	40°	0,307
4	0,792	24	0,474	44	0,275
8	0,713	28	0,426	48	0,244
12	0,645	32	0,382	52	0,214
16	0,582	36	0,343	56	0,186

Ann. Ch. Ph. 112, 327.

Sims bestimmte die Absorption für verschiedene T. unter verschiedenem Druck.

m	0°	20°	40°
0,1	0,280	0,158	0,064
0,2	0,421	0,232	0,120
0,3	0,519	0,296	0,168
0,4	0,606	0,353	0,211
0,5	0,692	0,403	0,251
0,7	0,850	0,492	0,320
1,0	1,126	0,613	0,404
1,4	1,549	0,761	0,479
1,5	1,656	0,801	0,493
1,9	2,070	0,955	0,565
2,0		0,992	0,579

Die Zahlen für 0° kommen denen von Roscoe und Dittmar sehr

nahe. Je höher die T., um so mehr entspricht die Absorption dem Dalton'schen Gesetz, aber erst bei 100° genau.

Sims giebt folgende Tabelle über die Menge A. in grm, welche 1 grm Wasser unter 760 mm bei t° absorbiert:

0°	0,899	36°	0,363	72°	0,186
4	0,809	40	338	76	170
8	724	44	315	80	154
12	646	48	294	84	138
16	578	52	274	88	122
20	518	56	256	92	106
24	467	60	238	96	090
28	426	64	220	100	074
32	393	68	202		

Qu. J. Ch. Soc. 14, 1. Ann. Ch. Ph. 118, 333.

Über die Absorption des A. durch Salzlösungen Raoult: C. r. 77, 1078. Ann. Ch. Phys. (5) 4, 262.

Ältere Versuche über den Gehalt wässerigen A. von bestimmten V. G. rühren her von Griffin: Q. J. Ch. Soc. 3, 206. Neuere von Wachsmuth: Arch. Ph. (3) 80, 510.

Über die Zusammendrückbarkeit der Lösung Colladon und Sturm: Ann. Ch. Phys. 35 (Pogg. Ann. 12, 69). — Aimé: ib. (3) 8, 257 (Pogg. Ann. Ergbd. 2, 240).

Ihre spec. Wärme Thomson: Pogg. Ann. 142, 357.

Ihre Elektrizitätsleitung Kohlrausch: Wied. Ann. 6, 145.

Über das Gefrieren der Lösung de Coppet: Ann. Ch. Phys. (4) 23, 366.

Der Einfluss des Drucks auf die Exosmose der Lösung Becquerel: C. r. 75, 50.

Absorption durch Kohle. — Nach Hunter absorbiert 1 Vol. Cocosnusskohle folgende (auf 760 mm Druck reducirte) Vol. A.

0°	175,7	20°	148,6
5	169,6	25	140,4
10	163,8	30	131,9
15	157,6	35	123

Ferner unter dem Druck von n mm Quecksilber bei 0°

n	Vol.	n	Vol.
760	170,7	1369,5	180,8
1104,3	174,3	1486,5	183,5
1178	176	1795,4	188,7
1269,2	178,2	2002,6	196,7
		2608,5	209,8



Kohle, welche 170,7 Vol. absorbiert hatte, gab in der Leere 13,4 Vol. ab. J. Ch. Soc. (2) 6, 186. 8, 73. 9, 76. 10, 649.

Melsens beschrieb die Liquefaction des A. durch Kohle. C. r. 77, 784.

Nach Favre absorbiert 1 cc (1,57 grm) Kohle im Max. 178 cc. A., und es werden auf 1 grm verdichtetes Gas 494 W.-E. entwickelt. Ann. Ch. Phys. (5) 4, 209.

Thermochemisches. — Thomsen berechnet aus seinen Versuchen die Verbindungswärme von N und 3H zu 26707 W.-E., während Favre 25934 gefunden hatte. Ausserdem hat der Erstere die Lösungswärme des A. in Wasser und seine Neutralisationswärme bestimmt. Pogg. Ann. 118, 380. Ber. d. ch. Ges. 1873, 1553. — Vgl. Berthelot: C. r. 73 u. 76.

### Atmosphärische Luft.

Zusammendrückbarkeit. — Dem Mariotte'schen Gesetz gemäss ist das Volum dem Druck umgekehrt proportional, was die Function  $\frac{P_0 \cdot P_1}{P_1 \cdot P_0} - 1 = 0$  ausdrückt.

Die Versuche haben indessen gezeigt, dass selbst die vollkommensten Gase, d. h. diejenigen, welche man bisher als permanente bezeichnete, dem Gesetz nicht genau entsprechen, und dass Sauerstoff und Stickstoff, also auch Luft, ein etwas kleineres Vol. einnehmen, als dem Druck entspricht. Hier sind vor allem Regnault's Arbeiten anzuführen, denen die folgenden Zahlen für Luft entlehnt sind.

Druck in Atmosph.	Volum	Druck in Atmosph.	Volum
1	= 1	10	= 9,916
2	= 1,998	15	= 14,825
5	= 4,979	20	= 19,720

Versuche unter höherem Druck von Gailletet: C. r. 70, 1134. — Vgl. Natterer: Pogg. Ann. 94, 436.

Zusammendrückbarkeit bei höherer T. nach Regnault, berechnet von Blaserna: Pogg. Ann. 126, 594. — Versuche von Amagat: C. r. 75, 479.

Theoretisches. — Budde: J. f. pr. Ch. (2) 9, 30. — Versuche unter geringem Druck. Mendelejew: Ber. d. chem. G. 1874, 486. 1339. — Siljeström: Verhältniss zwischen Dichtigkeits- und Elasticitätsänderungen der Gase bei geringerem Druck. Pogg. Ann. 154, 454. 573.

Ausdehnung. — Der A.-Coeff. der Luft wurde bestimmt von Regnault = 0,00364166 (0° u. 760 mm) von 0—100° bei const. Vol. — Magnus = 0,00366508. Ebenso

von Jolly  $= 0,0036695$  bei  $0^\circ$ , wenig über 4 Atm. bei const. Vol.  
 - Schoop  $= 0,003638$  Mittelzahl von Versuchen zwischen 42 und  $99^\circ,6$  und den Druckgrenzen 246,3 und 832,9 mm. Wied. Ann. 42, 559.

Regnault untersuchte zugleich den A.-C. bei höherem und geringem Druck. Ann. Ch. Phys. (3) 5, 66. Mém. de l'Acad. 26, 574. (Pogg. Ann. 77, 99.) — Magnus: Pogg. Ann. 55, 20. — Jolly: Eb. Jub. 82. — S. Cazin: Ann. Ch. Phys. (4) 20, 254. — Amagat: C. r. 74, 4299.

Gewicht. — Nach Regnault wiegt in Paris 1 Liter trockne L. bei  $0^\circ$  und 760 mm 4,293487 grm. Hieraus berechnet Lasch für Berlin 4,293635. Pogg. Ann. Ergbd. 3, 324.

Kohlrausch zeigte, dass bei Corr. der Dichte des Wassers bei  $0^\circ$  und  $4^\circ$  die von Lasch gefundene Abweichung wieder eliminirt wird. Pogg. Ann. 98, 478.

Specif. Wärme. — Den früheren Arbeiten von de la Roche und Bérard und von de la Rive und Marcet folgten die von Regnault, welche neuerlich mit einem etwas abgeänderten Apparat von E. Wiedemann wiederholt wurden. Danach ist die sp. W. der Luft, die des Wassers  $= 4$  gesetzt,  $= 0,2375$  Regnault,  $0,2389$  E. Wiedemann.

Regnault hatte festgestellt, dass die sp. W. gleicher Gewichte der Gase sich weder mit der T. noch mit der Dichte ändert.

Die Bestimmungen sind bei constantem Druck gemacht.

Wird ein Luftvolum bei unverändertem Druck um  $t^\circ$  erwärmt, und dann auf sein ursprüngliches Vol. zusammengedrückt, so wird Wärme frei, d. h. seine T. steigt noch um  $t'^\circ$ . Dieselbe Wärmemenge, welche ein Vol. bei constantem Druck um  $t^\circ$  erwärmt, würde also, wenn keine Volumänderung (Ausdehnung) erfolgte, dasselbe um  $t^\circ + t'^\circ$  erwärmen. Nennt man die sp. W. bei constantem Druck  $c$ , und die bei constantem Vol.  $c'$ , so ist  $c : c' = t + t' : t$ .

1 Gewthl. Luft wird durch  $0,2375$  W.-E. um  $1^\circ$  erwärmt, und bei ungeändertem Druck um  $\frac{4}{273}$  ausgedehnt. Beträge die T.-Erhöhung bei der Compression um  $\frac{4}{273} \alpha^\circ$ , so wären  $\frac{c}{c'} = \frac{4 + \alpha}{4}$ .

Um den Werth von  $\alpha$  zu ermitteln, bedient man sich der Fortpflanzungsgeschwindigkeit des Schalles in der Luft, und darnach hat Regnault  $\frac{c}{c'} = 4,3945$  berechnet.

Diese Grösse schliesst diejenige Wärme ein, welche zur Erhöhung der T. dient, und welche  $= 4$  ist, und diejenige, welche die Ausdehnung bewirkt,  $= 0,3945$ . Beide verhalten sich nahe  $= 5 : 2$ .

Aus dem mechanischen Wärmëq. berechnet sich  $\alpha = 0,44$ .

Andererseits bestimmten  $\frac{c}{\sigma}$

Weisbach	=	4,402
Röntgen	=	4,4053
Cazin	=	4,410
Kayser	=	4,4106.

De la Roche und Bérard: Ann. Chim. 85, 72. — De la Rive und Marcet: Ann. Ch. Phys. 35, 5. — Regnault: C. r. 36, 676 und Relation (Pogg. Ann. 89, 325). — Kohlrausch: Pogg. Ann. 436, 648, 438, 579. — Witte: Eb. 438, 455. 444, 348. — Röntgen: Eb. 444, 552. — Kurz: Eb. 438, 335. 454, 473. — E. Wiedemann: Eb. 457, 4. — Kayser: Wiedem. Ann. 2, 248. — A. Naumann: Ann. Ch. Pharm. 442, 267.

Wärmeleitung. — Nachdem Magnus gefunden hatte, dass Wasserstoffgas die W. um vieles besser leite als Luft, so dass es sich den Metallen nähere, zeigte Narr, dass der Erkaltungscoeff. der Gase von ihrem physikalischen, nicht von ihrem chemischen Verhalten abhängt, und dass bezüglich der Wärmeleitung H und CO<sub>2</sub> Extreme darstellen. Stefan suchte absolute Werthe zu erhalten, und Kundt und Warburg prüften die Wärmeleitung in verdünnter Luft.

Ist die Wärmeleitung der Luft = 1, so ist sie für Wasserstoff = 5,5 Narr; 7 Stefan; 7,4 Kundt (6,5 nach Winkelmann's Corr.); 6,3 Winkelmann.

Magnus: Pogg. A. 442, 354. — Mohr: Ber. d. chem. G. 1874, 85. — Clausius: Eb. 264. — Narr: Pogg. A. 442, 423. — Stefan: Wien. Ak. B. 65, 45. — Kundt u. Warburg: Monatsb. Berl. Ak. 1875. Pogg. A. 456, 477. — Buff: Ebend. 458, 477. — Winkelmann: Eb. 456, 497. 457, 497. 459, 477. Wied. A. 4, 63. — Boltzmann: Pogg. A. 455, 337. 525. 457, 457.

Abhängigkeit der spec. Wärme von der T. und Wärmeleitung Wüllner: Wied. Ann. 4, 324. Einfluss der Dichte auf die Wärmeleitung Winkelmann: Wied. Ann. 44, 474.

Wärmestrahlung. — Die Untersuchungen über die W. der Luft finden sich von Franz: Pogg. A. 94, 337. — Tyndall: Eb. 443, 4. 446, 4. — Magnus: Eb. 442, 344. 547. — Hoorweg: Eb. 455, 385. — Buff: Eb. 458, 477.

Optisches Verhalten. — Der Brechungsexponent der Luft ist im Mittel = 1,000294 (1,00029408 Lorenz). Nach Groullebois sind die B. für die Linien

$$C = 1,0002578$$

$$E \quad 3054$$

$$G \quad 3447$$

und das Dispersionsvermögen = 0,1864. — Ann. Ch. Phys. (4) 20, 436. Vgl. Mascart: C. r. 78, 647 (Pogg. A. 453, 449). — v. Lang: Eb. 453, 448. — Lorenz: Wied. Ann. 44, 70.

Das Spectrum. Wüllner: Eb. 447, 324.

Elektromagnetische Drehung der Polarisationssebene Kundt u. Röntgen: Wied. Ann. 8, 278. 40, 257.

Lichtabsorption. Farbe. — Bravais: Instit. 1850, 440. — Jacob: Proc. Ed. R. Soc. 2, 36. — Wild: N. Arch. ph. nat. 34, 473. — Schlagintweit: Pogg. A. 84, 298. — Clausius: Eb. 449. — Brücke: Eb. 88, 363. — Lallemand: C. r. 75, 707.

Durchgang der Elektrizität. — G. Wiedemann: Pogg. A. 458, 35. 252.

### Stickstoffoxydul. N<sup>2</sup>O.

Verhältniss von Volum und Druck. — Regnault untersuchte es bei Drucken bis zu 2 Atm., und fand die Abweichung vom Mariotte'schen Gesetz = 1,00654. Nach ihm ist die Spannkraft des Gases bei

— 20°	47586,58 mm	+ 45°	37834,66 mm
10	22008,05	20	42027,88
5	24579,20	25	46644,40
0	27420,97	30	51708,55
+ 5	30558,64	35	57268,08
10	34049,09	40	63359,78.

Rélat. d. exp. (Pogg. Ann. 77, 407).

Ausdehnungscoeff. 0,0036763 Regnault

0,0037067 Jolly.

Pogg. A. 55, 573. Jubelbd. 82.

Verdichtung. — Das Gas wird flüssig und zwar

bei	unter dem Druck von	
— 87°,2	760 mm	= 4 Atm.
— 70,5	4542,8	2,03 -
— 48,3	4628,4	6,09 -
— 34,7	9450,4	12,04 -
— 15	46043,2	24,07 -
— 4,4	23636,0	34,4 -

Faraday: Pogg. A. 64, 469; Ergbd. 2, 493. 249.

Fast gleichzeitig beschrieb Natterer die Verflüssigung des Gases durch eine Compressionspumpe. Pogg. A. 62, 132.

Der Siedepunkt des flüssigen (unter einfachem Druck) ist  $-87^{\circ}$  Faraday;  $-87^{\circ},9$  Regnault.

V. G. und Ausdehnung des flüssigen A., ersteres bezogen auf Wasser von  $4^{\circ}$ :

$-5^{\circ}$	0,9576	$+10^{\circ}$	0,8964
0	0,9370	15	0,8704
$+5$	0,9177	20	0,8365.

Ausdehnung eines Vol. bei  $0^{\circ}$  zwischen den Beobachtungsgrenzen, verglichen mit der Ausdehnung der Luft. Die letzte Reihe giebt den Ausdehnungscoefficienten, bezogen auf das Vol. bei  $0^{\circ} = 1$ .

	Luft	N <sup>2</sup> O	zwischen	
$-5^{\circ}$	0,9817	0,9768		
0	1	1	$-5$ u. $0^{\circ}$	0,00428
$+5$	1,0183	1,0241	0 - 5	422
10	1,0366	1,0453	5 - 10	484
15	1,0549	1,0766	10 - 15	656
20	1,0732	1,1202	15 - 20	872.

Andreeff: Ann. Ch. Ph. 110, 1.

V. G. des Gases:	49,7 Berthollet	24,97 Colin
	23,3 Dalton	22,0 Thomsen.

Berechnet 22.

Specif. Wärme. Die sp. W. des Gases ist a) gegen Luft

bei gl. Vol.	bei gl. Gew.
1,1652	0,7631 Apjohn
1,1229	0,7354 Suerman,

b) gegen Wasser

0,3443	0,2238
--------	--------

später 0,3447 0,2262 Regnault.

0,2126 zw.  $100^{\circ}$  u.  $25^{\circ}$

0,2241 -  $200^{\circ}$  -  $25^{\circ}$  Wiedemann.

Bei constantem Vol. ist die sp. W. bei  $0^{\circ}$  und  $100^{\circ} = 1 : 1,108$ . Winkelmann.

Apjohn, Suerman: Pogg. A. 44, 474. — Regnault: Relation (Pogg. A. 89, 347). — E. Wiedemann: Pogg. A. 157, 33.

Wärmeleitung (Reibung). — Kundt und Warburg: Pogg. A. 155, 525. 156, 477. — Winkelmann: Eb. 156, 497. — Boltzmann: Eb. 157, 457.

Abhängigkeit der spec. W. von der T. und Wärmeleitung Wüllner: Wied. Ann. 4, 321.

Reibungscoeff. Meyer: Pogg. A. 443, 44. 448, 526.

Schallgeschwindigkeit und Mol. Gew. Bender: Ber. d. ch. Ges. 1873, 665.

Optisches. — Brechungsvermögen nach Dulong = 1,74, woraus  $n = 1,00053$  und  $n^2 - 1 = 0,004007$ . Vgl. Mascart: C. r. 78 (Pogg. A. 453, 449).

Elektrisches. — Durch eine elektrisch glühende Eisendrahtspirale oder durch den Flammenbogen wird das Gas schnell und vollständig zu Stickgas. Bei Anwendung einer Platinspirale entstehen rothe Dämpfe unter Volumvermehrung; später verschwinden sie und das Volum vermindert sich. Der Funkenstrom zersetzt das Gas langsam; auch hier treten Stickstoff und Sauerstoff und Stickstoffdioxyd auf. — Buff und Hofmann: Ann. Ch. Ph. 443, 429. Vgl. Andrews und Tait: Pr. R. Soc. 40, 427.

Dielektricitätsconstante. Boltzmann: Pogg. A. 455, 403.

Absorption. — Der Absorptionscoeff. A und die Vol. Wasser, welche zur Lösung von 1 Vol. Gas dienen, B:

	für Wasser		für Alkohol	
	A	B	A	B
0°	4,3052	0,766	4,478	0,24
5	4,0954	0,943		
10	0,9496	4,087	3,5408	0,28
15	0,7778	4,286		
20	0,6700	4,493	3,0258	0,33
25	0,5962	4,680		

Carius: Ann. Ch. Ph. 94, 429.

Absorption durch Kohle. Wärmeentwicklung. Favre: Ann. Ch. Phys. (5) 4, 209.

Thermochemisches. — Verbindungswärme von Stickstoff und Sauerstoff bei der Bildung von  $N^2O = 17448$  W.-E. Favre; 18346 Thomsen. Ber. d. ch. G. 1872, 475. 1879, 2062.

### Stickstoffoxyd. NO.

Verhältniss von Volum und Druck. — Nach Regnault ist die Abweichung vom Mariotte'schen Gesetz = 1,00285.

Verdichtung. — Ist durch die niedrigsten T. und durch hohen Druck nicht gelungen. Faraday. Vgl. Andrews: Pogg. A. Ergbd. 5, 64.

Specif. Wärme. — Bei constantem Druck für  
gleiche Vol. = 0,3443

- Gew. = 0,2238. Regnault.

Wärmeleitung. S. Stickstoffoxydul. — Reibungscoeff. Desgl.

Optisches. — Brechungsvermögen nach Dulong = 1,03, wonach  
 $n = 1,000303$  und  $n^2 - 1 = 0,000606$ . — Vgl. Mascart: Pogg. A.  
153, 149.

Elektrisches. — Durch eine elektrisch glühende Eisenspirale wird  
es auf  $\frac{1}{2}$  Vol. Stickgas reducirt. Der Inductionsstrom zersetzt es langsam.  
Buff und Hofmann: Ann. Ch. Ph. 113, 129.

Bildungswärme. Thomsen: Ber. d. ch. G. 1872, 174.

### Stickstoffdioxyd. $\text{NO}^2$ und $\text{N}^2\text{O}^4$ .

Ausdehnung. — In folgender Tabelle bezeichnet V das scheinbare  
Volum und D den Ausdehnungscoeff. für  $1^\circ$ .

	V	D		V	D
$0^\circ$	1	0,001445	$50^\circ$	1,08376	0,002021
10	1,0148	515	60	1,10484	230
20	1,03029	596	70	1,12828	478
30	1,04673	706	80	1,15440	768
40	1,06442	847	90	1,18365	3084.

Drion: Ann. Ch. Phys. (3) 56, 5.

Gas-V. G.	Deville	Muller	Playfair u. Wanklyn
bei $4^\circ, 2$			37,4
44,3			38,2
24,5			36,4
26,7	38,3		
28		39,0	
32		38,3	
35,4	36,5		
39,8	35,5		
49,6	32,8		
52		32,6	
60,2	30,0		
70	27,7	28,2	
79		26,6	
80,6	25,9		
90	24,8		
97,5			25,7

	Deville	Mitscherlich
bei 100°, 1	24,3	24,8
111,3	23,8	
121,5	23,4	
135	23,2	
154	22,8	
183,2	22,7	

Da  $\text{NO}^2 = 46$ , so ist das Gas-V. G. von 100° ab constant = 23,  $\text{NO}^2 = 2$  Vol. In der Nähe von 0° aber ist es = 46, also das Mol. =  $\text{N}^2\text{O}^4$  (92).

Aus jenen Zahlen lässt sich berechnen, wie viel Volumprocente von  $\text{N}^2\text{O}^4$  sich in  $\text{NO}^2$ ,  $\text{NO}^2$  zersetzt haben. So finden sich z. B. bei 26°, 7 20 pCt., bei 60° 50 pCt., bei 135° 98,7 pCt. Naumann. — Mitscherlich: Pogg. A. 29, 220. — Deville: C. r. 64, 237. — Playfair u. Wanklyn: Transact. R. Soc. Ed. 22. — Müller: Ann. Ch. Ph. 122, 4. — Naumann: Eb. Suppl. 6, 203. Vgl. Hasenbach: J. f. pr. Ch. (2) 4, 4.

Salet bestimmte den Grad der Zersetzung mittels des Absorptionsspectrums. C. r. 67, 488.

Einfluss des Drucks auf die Dissociation. A. Naumann: Ber. d. ch. Ges. 1878, 2045.

Optisches. — Brewster fand 1832, dass im Spectrum von Licht, welches durch Stickstoffdioxidgas gegangen ist, eine Reihe fester Linien sich findet, die im Violet und Blau am intensivsten sind, und dass die Farbe des Gases durch Erwärmen so dunkel wird, dass es das Sonnenlicht vollständig absorbiert. — Pogg. A. 28, 386. 38, 50.

Das Absorptionsspectrum ändert sich beim Erwärmen nicht. — Vgl. Luck: Ztsch. anal. Ch. 8, 402. — Moser: Wied. Ann. 2, 439. — H. Vogel: Monatsb. Berl. Akad. 1878, 418.

Beobachtungen am flüssigen St. von Kundt: Pogg. A. 144, 157. — Gernez: C. r. 74, 465.

Thermochemisches. Thomsen: Ber. d. ch. G. 1872, 577. 1873, 710. — Hautefeuille: C. r. 73, 378.

### Salpetrige Säure.

Anhydrid  $\text{N}^2\text{O}^3$ .

Bildungswärme. Thomsen: Ber. d. ch. G. 1872, 481.

### Salpetersäure. $\text{HNO}^3$ .

Zusammendruckbarkeit. Colladon und Sturm: Pogg. A. 42, 75.



**Ausdehnung.** Kremers: Eb. 444, 41.

**Schmelzpunkt** =  $-47^{\circ}$ . Berthelot.

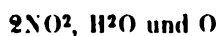
**Volumgewicht.** — Kolb gab eine Tabelle über das V. G. der Salpetersäure (4,559 bei  $0^{\circ}$ , und 4,530 bei  $45^{\circ}$ ) und ihrer Gemische mit Wasser, sowie der dabei stattfindenden Contraction. — C. r. 63, 344 (Dingl. J. 182, 43).

Mitscherlich gelang es nicht, das Gas-V. G. zu bestimmen, weil ein Theil der Säure sich zersetzte. Playfair und Wanklyn wandten Gemenge des Dampfes und von Luft an, und fanden

bei $68^{\circ},5$	32,6
40,5	34,3.

Wenn  $\text{HNO}_3 = 2$  Vol., so ist 4 Vol. = 31,5. Proc. R. S. Ed. 4, 395.

Carius fand, dass das V. G. des Dampfes, bei  $86^{\circ} = 29,6$ , mit steigender T. geringer wird und von  $250^{\circ}$  ab (bis  $312^{\circ}$ ) ziemlich constant = nahe 48 ist, d. h.  $\frac{1}{2}$  des berechneten, so dass bei dieser T. wahrscheinlich 2 Mol. Säure in



zersetzt sind. Eine Reihe von Bestimmungen des frei werdenden Sauerstoffs ergab, dass die Menge desselben über  $200^{\circ}$  sich gleich bleibt, während aus den gefundenen V. G. sich berechnen lässt, dass z. B.

bei $86^{\circ}$	9,53 pCt.	bei $220^{\circ}$	72,07 pCt.
490	49,34	256	100

der Säure zersetzt sind. — B. d. chem. G. 1871, 828. Ann. Ch. Ph. 169, 273.

Die thermochemischen Constanten der Säure ermittelte Thomsen. — Pogg. Ann. 438, 75. 90. 440, 88. 442, 337. Ber. d. ch. Ges. 1872, 481. 508. 1873, 710.

Ueber die Sättigungswärme s. ferner Andrews J. Ch. Soc. (2) 8, 432.

Ueber die Lösungs- und Verdünnungswärme der Säure Berthelot: C. r. 78, 769.

Elektrisches. — Elektrolyse Schönbein. Pogg. Ann. 47, 563.

Das elektr. Leitungsvermögen. Kohlrausch und Grotrian: Pogg. Ann. 154, 4. 245.

## Phosphor.

**Allotropie.** — Schon Berzelius unterschied drei allotropische Modificationen: 1) den fast farblosen, durchscheinenden, in der Kälte krystallinischen gewöhnlichen Ph.; 2) den weissen, weichen, undurchsichtigen, schwerer schmelzbaren; 3) den durch Sonnenlicht oder im leeren

Raum entstehenden rothen, an der Luft nicht rauchenden und schwerer flüchtigen Ph. — Pogg. Ann. 59, 76.

Schrötter gelang es dann, den rothen Ph. durch dauerndes Erhitzen des gewöhnlichen auf  $240-250^{\circ}$  zu erhalten und seine Eigenschaften zu bestimmen. Auch die als rothes Phosphoroxyd bezeichnete Substanz ist nach ihm derselbe Ph. — Pogg. Ann. 84, 276. Wien. Ak. Ber. 8, 246.

Schrötter bezeichnete ihn als amorph, weil er keine Spur von krystallinischer Beschaffenheit zeigt. Hittorf ist der Ansicht, dass der farblose amorph sei, der rothe aber dem grauen körnigen Selen analog sei, wofür auch das grössere V. G. des letzteren spreche. — Pogg. Ann. 84, 244.

Auch Mitscherlich bezeichnet den gewöhnlichen rasch erkalteten Ph. als amorph; er vermochte nicht zu entscheiden, ob der weisse undurchsichtige durch ein Krystallinischwerden aus jenem entsteht.

Ueber den weissen Ph. vergl. Baudrimont: C. r. 64, 857.

Nach Brodie wird gewöhnlicher Ph. durch Erhitzen mit einer sehr geringen Menge Jod in rothen verwandelt. — Qu. J. Ch. Soc. 5, 289.

Hittorf beobachtete die Umwandlung des Ph. in rothen durch den Funkenstrom im luftleeren Raume bei  $255^{\circ}$ , und zwar in Folge der Wärmewirkung der Funken. Er bestätigte Brodie's Angaben im Allgemeinen. Zugleich aber überzeugte er sich, dass die Bildung des rothen Ph. am schnellsten bei T. über  $300^{\circ}$ , d. h. in verschlossenen luftleeren Gefässen erfolgt, und dass hierbei ein bedeutendes Freiwerden von Wärme stattfindet. S. unten.

Geissler fand, dass die Umwandlung von Ph.-Dampf von sehr geringer Spannung in festen rothen Ph. durch den elektrischen Strom erfolgt. Pogg. Ann. 452, 474.

Nach Lallemand scheidet sich im Sonnenlicht aus einer Lösung in Schwefelkohlenstoff rother Ph. ab (vergl. Schwefel). C. r. 70, 182.

Auch die Entdeckung einer dritten Modification, des krystallisirten metallischen Ph., verdanken wir Hittorf. Derselbe entsteht, wenn gewöhnlicher oder rother Ph. im luftleeren Raume längere Zeit auf  $530^{\circ}$  erhitzt wird. — Rother Ph., längere Zeit auf  $447^{\circ}$  erhitzt, verwandelt sich in diese Modification, wie Farbe und V. G. beweisen. Er bildet schwarze, metallglänzende, blätterige Aggregate, die aus mikroskopischen, würfelförmlichen Rhomboedern bestehen, welche mit rother Farbe durchsichtig sind. Pogg. Ann. 426, 493.

Hittorf bezeichnet im Gegensatz zu dem farblosen gewöhnlichen Ph. die beiden Modificationen als metallischen Ph., und zwar den rothen

als amorph. Beide leiten die Electricität viel besser als der gewöhnliche, wenngleich sie den Metallen hierin nicht entfernt nahe kommen.

Erhitzt man rothen Ph. in luftleeren Gefässen über  $260^{\circ}$ , so verdampft ein Theil, aber der Rest schmilzt nicht und bleibt unverändert\*), sobald Spannkraft und Dichte ihr Maximum erreicht haben. Sinkt die T., so verdichtet sich der Dampf als gewöhnlicher Ph.

Während die Spannkraft des Dampfes von gewöhnlichem Ph. bei  $290^{\circ}$  (Siedepunkt) = 760 mm, ist die des rothen Ph. nach Hittorf bei  $358^{\circ}$  nur 31 mm. Wird gewöhnlicher Ph. in verschlossenen Gefässen stark erhitzt, so geht der flüssig gebliebene Theil allmählig in rothen Ph. über; die anfängliche Spannkraft und Dichte vermindern sich nach und nach, bis nach Verlauf einiger Zeit das stabile Maximum eintritt, welches mit der T. langsam wächst, und immer grösser ist, als das aus rothem Ph. bei gleicher T. entwickelte. Bei  $530^{\circ}$  fand sich das Maximum der Spannkraft =

8044 mm bei gewöhnlichem Ph.

6439 - - rothem Ph.

4430 - - kryst.-metall. Ph.

Hittorf glaubt, dass bis zum Glühen erhitzter Phosphordampf sich beim Abkühlen theilweise wie Dampf von kryst. Ph. verhält und als solcher verdichtet wird, und zwar in um so grösserer Menge je stärker er erhitzt worden war.

Lemoine bestätigte, dass die Verwandlung des rothen Ph. in gewöhnlichen unter dem einfachen Luftdruck bei T. über  $290^{\circ}$  nur sehr langsam erfolgt. Wird rother Ph. in Stickgas erhitzt, so ist die Menge des umgewandelten von dem Druck des Gases unabhängig. Nach L. ist die Umwandlung des Ph. vorzugsweise ein Resultat der Dampfspannung. Bull. soc. chim. (2) 8, 74. 46, 8.

Nach Troost und Hautefeuille nimmt Phosphordampf zunächst das der T. entsprechende Spannungsmaximum an, welches dann mit fortschreitender Bildung von rothem Ph. bis zu einem constanten Werth sinkt, der die Spannung der Umwandlung bei der nämlichen T. darstellt, so ist z. B.

	Spannungsmaximum	Umwandlungsspannung
bei $360^{\circ}$	3,2 Atm.	0,42 Atm.
440	7,5	1,75
544	26,2	
550		34
577		56

C. r. 76, 4475.

\*) Ebenso verhält sich Arsen in der Glühhitze.



Krystallform. — Der Ph. ist dimorph.

A. Regulär. — Oktaeder aus der Lösung in ätherischen Ölen (Pelletier), Granatoeder durch Erkalten des geschmolzenen, oder aus der Lösung in Chlorschwefel, oder beim Verflüchtigen im leeren Räume oder in sauerstofffreien Gasen (Mitscherlich). Nach Maskelyne zeigen sie im letzteren Fall die Flächen des Würfels, Oktaeders, Granatoeders, sowie vom Leucitoid  $a : a : \frac{4}{3}a$ , und vom Achtundvierzigflächner  $a : \frac{4}{2}a : \frac{4}{4}a$ . Granatoeder, Würfel und Oktaeder herrschen vor.

Die Krystalle sind farblos, durchsichtig, färben sich am Licht oberflächlich roth (gelb Maskelyne), diamantglänzend, stark lichtbrechend. Mitscherlich: Ann. Ch. Phys. 24, 269. Monatsber. Berl. Ak. 1855, 449. — Blondlot: C. r. 63, 397. — Maskelyne: Ber. d. ch. G. 1873, 1465 und Tagebl. d. Naturf. zu Wiesbaden 1873, 428.

B. Sechsgliedrig-rhomboedrisch. — Form des metallischen Ph. Nach Hittorf dem Würfel nahe Rhomboeder. S. oben.

Aggregationserscheinungen. — Bekanntlich bleibt der gewöhnliche Ph., nachdem er mit Kalilauge gekocht worden, lange flüssig, erstarrt aber bei Berührung mit einem festen Körper; durch starkes Schütteln verwandelt er sich in Aggregate faseriger Bündel. H. Rose: Pogg. Ann. 32, 469. — Frankenheim: Eb. 39, 376.

Über das Erstarren geschmolzenen Ph. Gernez: C. r. 63, 247.

Über Tonerzeugung beim Erstarren Cagniard-Latour: J. Chim. méd. 1832.

Leuchten des Phosphors. — Durch die übereinstimmenden Versuche von Fischer, Graham, Schrötter, Meissner u. A. ist erwiesen, dass der Ph. in sauerstofffreien Gasen und in der Barometerleere nicht leuchtet, und dass ältere entgegengesetzte Resultate ihren Grund in der nicht vollständigen Reinheit der Gase hatten. Dass er in reinem, auch feuchten Sauerstoffgas nicht leuchtet, rührt nach Müller daher; dass er sich darin nicht oxydirt. Derselbe bestätigt zugleich die ältere Erfahrung, dass der Ph. in verdünntem oder mit anderen Gasen gemengtem Sauerstoff leuchtet. Nach Schönbein ist das Leuchten an die Gegenwart von Ozon gebunden, und da dieses bei niedriger T. in der Luft sich nicht, wohl aber beim Verdünnen des Gases bildet, so leuchtet er dann auch nicht.

Graham: Pogg. Ann. 17, 375. — Schönbein: Eb. 68, 37. 75, 367. — Müller: Eb. 44, 95.

Intermittirendes Leuchten. Munck af Rosenskiöld: Eb. 32, 246.

Wärmeentwicklung. Nobili und Melloni: Eb. 27, 449.

Nach Schönbein kommt der Geruch nicht dem Dampf des Phosphors, sondern dem einer Oxydationsstufe zu, und ebenso verhält es sich mit Arsen. Pogg. Ann. 75, 377.

**Ausdehnung.** — Der gewöhnliche Ph. dehnt sich von 0° bis zu seinem Schmelzpunkte (44°) regelmässig aus, indem sein Vol. (bei 0° = 1) = 1,047 wird. Im Moment des Schmelzens erfolgt eine Volumvergrösserung = 1,052. Kopp: Ann. Ch. Ph. 93, 429. — Vgl. Erman: Pogg. Ann. 9, 569.

Nach Pisati und de Franchis ist das Vol.-Verhältniss zwischen festem und flüssigem Ph. bei 40° = 1,03446

$$44 = 1,0504.$$

Das Vol.  $V$  des festen bei  $t^\circ$ , bezogen auf das bei 0° ist

$$V = V^0 + 0,0002 \cdot t + 0,000000415 \cdot t^2.$$

Das Vol.  $V'$  des flüssigen zwischen 50 und 280°, bezogen auf das bei 50°, ist

$$V' = V^{50} + 0,0002969 (t - 50) + 0,0000002115 (t - 50)^2,$$

Fester Ph. besitzt den mittleren Ausdehnungscoeff. für 1°

$$K = 0,0003674 + 0,000000244 \cdot t.$$

Flüssiger Ph. von 50° ab

$$K' = 0,0005467 + 0,000000370 (t - 50).$$

Ber. d. ch. G. 1875, 70.

Volumgewicht.

I. Gewöhnlicher Phosphor.

Bei 40°	1,826—1,840	Schrötter,
25	1,823	} (flüssig) Gladstone,
unter 44	1,763	
44	1,88	- Schrötter.
fest		- flüssig
0°	1,83676	40° 1,74924
20	1,82324	400 1,69490
44	1,80684	200 1,60270
		280 1,53867
		(290 1,485 Ramsay).

Pisati: a. a. O.

II. Rother Phosphor.

40°	1,964	Schrötter,
	2,48	Hittorf,
	2,448	Troost.

III. Kryst.-metallischer Ph.

0°	2,34	Hittorf,
		Troost.

Gas-Volumgewicht. — Es wurde gefunden

62,9 und 65,9	bei 500°	Dumas,
66,2	- 66,5 etwa 300	Mitscherlich,
62,8	- 500	} Deville und Troost.
65,0	- bis 1040	

Dumas: Ann. Ch. Phys. 33, 337. 49, 240. — Mitscherlich: Pogg. Ann. 29, 248. — Deville: C. r. 49, 239. 56, 894.

Schmelzpunkt. — 44°,0 Kopp; 44°,2 Schrötter, Person; 44°,3 Desains; 44°,4 bis 44°,5 Pisati.

Siedepunkt. — 290° bei gewöhnlichem Druck, 287°,3 bei 762 mm. Pisati. Unter geringerem Druck:

Bei 544 mm	230°	bei 266 mm	200°
393	226	204	180
359	218	173	170
339	209	120	165

Schrötter: Wien. Ak. Ber. 4, 130.

Latente Schmelzwärme. — Desains 5,4; Person 5,0—5,2.

Specif. Wärme. — Die des gewöhnlichen Ph. im festen Zustande ist 0,4887 zwischen 10 und 30°; 0,474 zwischen — 77°,7 und + 10°, Regnault; sie ist 0,4788 zwischen — 21 und + 7°, Person; Desains fand sie = 0,2, Kopp = 0,202. Die spec. W. des flüssigen Ph. ist zwischen 44—51° = 0,2045, Person; zwischen 45 und 50° fand Desains ebenfalls 0,2.

Die spec. Wärme des rothen Ph. fand Regnault im Mittel 0,4698. Sie ist also kleiner als die des gewöhnlichen.

Nach Favre entwickelt 1 Atom Ph. beim Übergang in die rothe Modification 28246 W.-E. Demnach sind für gleiche Gewichte im gewöhnlichen Ph. 944 W.-E. mehr als im rothen. Setzt man die sp. W. des letzteren = 0,47, so würde bei momentan erfolgender Umwandlung die T. um 5359° steigen. Desains: C. r. 23, 449 (Pogg. Ann. 70, 345). — Person: C. r. 23, 469. 337 (Pogg. Ann. 70, 300. 74, 509). — Regnault: Ann. Ch. Phys. (3) 26, 209 (Pogg. Ann. 54, 230).

Capillaritätsconstante. — Quincke: Pogg. Ann. 135, 642.

Optisches. — Der Ph. gehört zu den am stärksten lichtbrechenden Körpern.

#### Brechungsexponenten

	fester Phosphor bei 25°	flüssiger Phosphor bei 30°
für die Linie A	2,1059	A 2,0389
D	2,1442	D 2,0746

fester Phosphor bei 25°	flüssiger Phosphor bei 30°
für die Linie H 2,3097 *)	F 2,1204
	G 2,1710
	H 2,2267 *)

Hieraus berechnet sich für den festen die Länge des Spectrums zu 0,2038 und die Dispersion zu 0,1784. Beim flüssigen sind Brechung und Dispersion geringer, denn es berechnet sich diese zu 0,1745 und die Länge des Sp. zu 0,1878.

Bei höherer T. nimmt die mittlere Brechung progressiv ab.

An Lösungen in Schwefelkohlenstoff wurde  $n = 1,92 - 2,07$  gefunden, bei concentrirteren  $= 1,98 - 2,20$ . Gladstone und Dale: Phil. Tr. 1858. Phil. Mag. 48, 30 (Pogg. Ann. 108, 632).

Das specif. Brechungsvermögen und das Refractionsäquivalent. Haagen: Pogg. Ann. 134, 117. — Schrauf: Eb. 133, 479. — Roux: Ann. Ch. Phys. (3) 64, 385.

Das Licht des Ph. und die Flamme des brennenden geben ein continuirliches Spectrum. Das Sp. des Ph. und seiner Lösung zeigt nur undeutlich feste Linien; die Flamme einer Lösung lässt solche nicht erkennen. Gladstone und Dale. Wasserstoffgas, welches Phosphorwasserstoff enthält, giebt ein Spectrum mit drei charakteristischen grünen Linien, was eine sehr empfindliche Reaction für Ph. abgiebt. Reines Phosphorwasserstoffgas giebt diese Linien nicht. — Vogel: Spectralanalyse S. 181. — Salet: Bull. Soc. ch. (2) 13, 289. 16, 195. — Christoffe und Beilstein: C. r. 56, 399. — K. Hofmann: Pogg. Ann. 147, 92.

Electricitätsleitung. — Der rothe Ph. ist ein schwacher Leiter; sein Leitungsvermögen verhält sich zu dem des Silbers bei 20°  $= 0,0123 : 100$ . Matthiessen: Pogg. Ann. 103, 428.

Der metallische Ph. scheint ein etwas besserer Leiter zu sein.

Lösungen. — Spec. Wärme der L. Marignac: N. Arch. ph. nat. 39, 217. Ihre Diathermansie. Schulz-Sellack: Pogg. Ann. 139, 182.

Thermochemisches. — 4 grm Ph. entwickelt beim Verbrennen in Sauerstoff 5747 W.-E. Andrews: Phil. Mag. (3) 32, 321. 426.

Die Verbrennungswärme des rothen Ph. (und sein V. G.) sind von der zu seiner Bildung benutzten T. abhängig. Nur der metallische Ph. verhält sich constant, 4 grm entwickelt beim Verbrennen 5272 W.-E.; für den gewöhnlichen rothen Ph. ergeben sich höhere Werthe. Troost und Hautefeuille: C. r. 78, 748.

\*) Oder vielmehr für das Ende des Violet.

Thermische Constanten bei der Bildung der Säuren. Favre: J. de Pharm. (3) 24. Vgl. die Säuren.

### Phosphorwasserstoff. $\text{H}^3\text{P}$ .

Verdichtung. — Das aus Ph. und Kalilauge dargestellte (also  $\text{P}^2\text{H}^4$  enthaltende) Gas verdichtete Faraday durch starke Abkühlung und 25 Atm. Druck zu einer sehr beweglichen, nicht erstarrenden Flüssigkeit, welche beim Aufhören des Druckes sogleich wieder Gasform annahm. Pogg. Ann. Ergbd. 2, 204.

Volumgewicht. — Dumas fand für das selbstentzündliche Gas 25,5, nach längerem Aufbewahren 47,6. H. Rose erhielt 46,4 — 47,2, und für das nicht selbstentzündliche aus phosphoriger Säure 46,0 — 47,7. Pogg. A. 24, 121.

In allen Fällen darf man eine Beimengung von Wasserstoff voraussetzen. Das berechnete V. G. ist = 47.

Spectrum s. Phosphor.

Elektrolyse. — P. u. A. Thénard: C. r. 76, 4508. — Hofmann: B. d. ch. G. 1871, 204.

Flüssiger Phosphorwasserstoff.  $\text{C}^2\text{H}^4$ . Gas-V. G. = 33. Croullebois: C. r. 78, 496.

### Phosphortrichlorid. $\text{PCl}^3$ .

Ausdehnung. — Pierre: Ann. Ch. Phys. (3) 20, 5. — Troost und Hautefeuille: C. r. 83, 333.

Volumgewicht. — Des flüssigen

4,6162	Pierre	4,5944	bei 47,5
		4,6004	- 42,5
		4,6094	- 7,5 Regnault.

Gas-V. G. = 70,9 Dumas. Berechnet = 68,75.

Siedepunkt. 78°,3 bei 754,5 mm Pierre,  
78,5 Andrews,  
76,7 bei 745,9 mm Haage.

Spec. Wärme des flüssigen.

0,4994	zwischen 20 und 45°
0,4987	- 45 - 40
0,2017	- 40 - 5

Regnault: Ann. Ch. Phys. (3) 9, 322.

Spec. Wärme des Dampfes

	für gleiche Vol. = 0,6386
- -	Gew. = 0,4346 Regnault.



Mittlere latente Wärme = 54,42. Andrews.

Brechungsexponent, spec. Brechung u. Refraktionsäq. Haage: Pogg. Ann. 434, 437. Das Brechungsvermögen des Gases ist bei 42° = 5,93. Mascart.

Wärmeentwicklung bei der Zersetzung durch Wasser Thomssen: Ber. d. ch. Ges. 1873, 740.

### Phosphorpentachlorid. $\text{PCl}_5$ .

Krystallform. Viergliedrig. A. Nordenskiöld: Vet. Ak. Handl. 1874.

Gas-Volumgewicht. — Mitscherlich hatte es bei 185° = 70,4 gefunden. Dann zeigte Cahours, dass die Dampfdichte mit steigender T. bedeutend abnimmt, dass sie bei 490° = 72,4, bei 300° = 52,7 ist, und dann bis 327° constant zu sein scheint. Da  $\text{PCl}_5 = 208,5$  und  $\frac{208,5}{4} = 52,1$ , so entspricht das Mol. bei jener T. in Folge von Dissociation 4 Vol. Dampf.

In niederer T. nähert sich die Dampfdichte nach Würtz der normalen Zahl 104,25. Dies beweist, dass das Pentachlorid nicht eine molekulare Verbindung  $\text{PCl}_3 \cdot \text{Cl}_2$  ist.

Mitscherlich: Pogg. Ann. 29, 224. — Cahours: C. r. 21, 625. — Würtz: C. r. 76, 604. — Vgl. Debray: C. r. 77, 423.

### Phosphoroxychlorid. $\text{POCl}_3$ .

(Phosphorylchlorid.)

Erstarrt bei -40°, schmilzt bei -40,5. Geuther u. Michaelis. V. G. — 4,7448 bei 0°. Thorpe; 4,662 bei 49,25. Mendelejeff.

Gas-V. G. 77,4 bei 454° Cahours; 78,3 Würtz. Berechnet = 76,75.

### Pyrophosphorylchlorid. $\text{P}_2\text{O}_3\text{Cl}_4$ .

V. G. 4,78 bei 7°. Siedep. 240—245°. Geuther u. Michaelis.

### Phosphortribromid. $\text{PBr}_3$ .

Ausdehnung. Pierre: Ann. Ch. Phys. (3) 45, 325. Vol. Gew. 2,9249. — Siedep. 470°,3 bei 760 mm. P.

### Phosphorpentabromid. $\text{PBr}_5$ .

Krystallform: Zweigliedrig. A. Nordenskiöld. S.  $\text{PCl}_5$ .

### Phosphordijodid. $\text{PJ}_2$ .

Krystallform. Eingliedrig.

$a : b : c = 0,9639 : 4 : 0,6484$  A. Nordenskiöld.

$A = 105^\circ 25'$   $\alpha = 106^\circ 26'$

$B = 95 \ 46$   $\beta = 98 \ 40$

$C = 82 \ 27$   $\gamma = 80 \ 30$

$o; p, r; a, b, c.$

Berechnet	Beobachtet
$a : b =$	* 82° 27'
$p = 134^{\circ} 24'$	134 35
$b : p =$	* 134 2
$c =$	* 105 25
$a : c =$	* 95 46
$b : r =$	* 107 44
$o : a = 103 56$	104 3

Dünne nach  $b$  tafelartige Krystalle von rother Farbe. Nordenskiöld:  
S. PCl<sup>3</sup>.

#### Phosphortrijodid. P<sub>2</sub>J<sub>3</sub>.

Krystallform: Sechsgliedrig.

$a : c = 4 : 1,1$ . A. Nordenskiöld.

Meist nur sechsseitige Prismen, selten in Combination mit einem Dihexaeder, dessen Seitenkanten =  $114^{\circ}$  sind.

Zwillinge, an denen die Hauptaxen Winkel von  $95^{\circ},5$  bilden. A. a. O.

#### Unterphosphorige Säure. H<sub>3</sub>PO<sub>2</sub>.

##### Phosphorige Säure. H<sub>3</sub>PO<sub>3</sub>.

Ihre thermochemischen Constanten. Thomsen: Pogg. Ann. 440, 90.  
Ber. d. ch. G. 1874, 296. J. f. p. Ch. (2) 11, 133. — Berthelot: C. r.  
84, 1011.

##### Phosphorsäure. H<sub>3</sub>PO<sub>4</sub>.

Die reine Säure schmilzt bei  $41^{\circ},75$ , bleibt bis  $38^{\circ}$  flüssig, und zeigt im Moment des Erstarrens  $40^{\circ},5$ . Berthelot.

V. G. und Gehalt der Lösungen. Schiff: Ann. Ch. Ph. 113, 183. —  
Watts: Ch. News 12, 160.

Elektricitätsleitung. Kohlrausch. S. Schwefelsäure.

Thermochemisches. Thomsen. S. o.

#### B o r.

Nur das amorphe scheint rein zu sein. Das krystallisirte enthält veränderliche Mengen Aluminium und Kohlenstoff.

Krystallform.

Viergliedrig.  $a : c = 1 : 0,5762$  Sella.

$o, o^2, d, p, a.$

$s = a : \frac{1}{2} a : c.$

Berechnet		Beobachtet		
		Sella	Sartorius	Wöhler u. Deville
$a$	$\left\{ \begin{array}{l} 2A = \\ 2C = 78^{\circ} 22' \end{array} \right.$	$\left\{ \begin{array}{l} 126^{\circ} 56' \\ 78 \quad 8 \end{array} \right.$	$\left\{ \begin{array}{l} 126^{\circ} 59' \\ 78 \quad 17 \end{array} \right.$	$\left\{ \begin{array}{l} 127^{\circ} 0' \\ 77 \quad 50 \end{array} \right.$
$a^2$	$\left\{ \begin{array}{l} 2A = 105 \quad 52 \\ 2C = 116 \quad 56 \end{array} \right.$			
$d$	$\left\{ \begin{array}{l} 2A = 138 \quad 40 \\ 2C = 59 \quad 54 \end{array} \right.$			
$s$	$\left\{ \begin{array}{l} 2X = 90 \quad 6 \\ 2Y = 151 \quad 4 \\ 2Z = 104 \quad 22 \end{array} \right.$			
$o$	$o^2 = 160 \quad 43$			160 24
$o$	$o : p = 129 \quad 11$	129 4		
$o^2$	$o^2 : p = 148 \quad 28$	148 10		148 34

Sartorius beobachtete ausserdem Oktaeder mit  $\frac{4}{3}$ ,  $\frac{7}{6}$ ,  $\frac{7}{8}$  und  $\frac{7}{10}$ . Zwillinge sind häufiger als einfache Krystalle. Zwillingsfläche ist eine Fläche des ersten stumpferen Oktaeders  $d$ . Die Krystalle sind nach einer Endkante von  $o$  (oder nach der Zwillingsfl. verlängert (Fig. 10 u. 11) und in vielfacher Wiederholung verwachsen. Zuweilen haben sie das Ansehen einfacher Krystalle, an denen die einspringenden Winkel durch eine feine Linie angedeutet sind.

Die einfachen Krystalle sind prismatisch nach  $p$  und  $a$ , von denen oft eine Fläche herrscht.

Die Flächen  $a$  und  $p$  haben den stärksten Glanz (Diamantglanz), während die  $o$  oft gekrümmt oder wie zerfressen erscheinen.

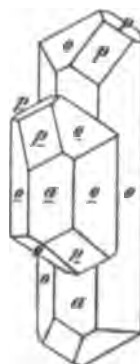
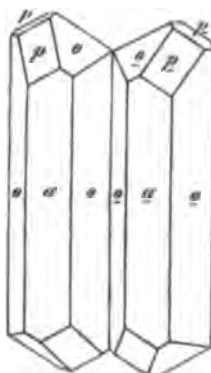
Da sie stets entweder Aluminium oder Kohlenstoff oder beide enthalten, so erklären sich hieraus vielleicht die Schwankungen in den Winkeln, welche die Beobachter gefunden haben.

Auch die Härte, welche stets grösser als die des Korunds ist, zeigt sich ungleich.

Wöhler u. Deville: Ann. Ch. Pharm. 404, 443. 347. Pogg. Ann. 100, 635. — Sartorius v. Waltershausen: a. a. O. — Sella: Mem. della R. Accad. di Torino (2) 47 (Pogg. Ann. a. a. O. 646).

Nach Wöhler nimmt mit steigendem Kohlenstoff die Durchsichtigkeit der Borkrystalle zu (abgesehen von einem Minimum färbenden amorphen K.).

\* Eine Fig. in Groth Phys. Kryst. S. 324, wo  $m = p$ ,  $m' = a$ ,  $o' = d$  zu setzen ist.



schwarze blättrige Krystalle, frei von Al, enthielten nur 2,4 pCt. C, was also  $\text{CB}^{14}$ .

Fast farblose Krystalle mit 4,2 C und 6,4 Al sind =  $\text{Al}^2\text{C}^3\text{B}^{69}$ . — Ein Krystall mit 9,9 pCt. Al (Dana und Mixer) war =  $\text{AlB}^{22}$ . — Ein Maximum von 13 pCt. Al würde  $\text{AlB}^{16}$  ergeben. — Hampe fand gelbe Krystalle  $\text{Al}^2\text{C}^2\text{B}^{18}$ .

Die Form des Bors ist der des Zinns zu vergleichen. Beide sind isomorph, denn bei ihnen sind die Axen  $c = 2 : 3$ .

Volumgewicht. — Das des amorphen B. ist unbekannt; das des krystallisierten ist je nach seiner Zusammensetzung schwankend. Wöhler fand 2,68, Hampe 2,615; für das graphitartige 2,534.

Spec. Wärme. — Regnault gelang es nicht, sie für das amorphe B. zu bestimmen, weil es, in Wasserstoff auf  $200^\circ$  erhitzt, dasselbe aufnahm und pyrophorisch wurde. Die bisherigen Versuche hatten ergeben

Amorphes B.	0,254	bei $18-18^\circ$ Kopp
Krystall. B.	0,2253	
	0,2574	10— $100^\circ$
	0,2622	
	0,230	21— $51^\circ$ Regnault.

H. Weber machte zuerst darauf aufmerksam, dass beim Bor, Silicium und Kohlenstoff, deren sp. W. viel geringer gefunden war, als sie dem Dulong-Petit'schen Gesetz zufolge sein sollte, die Bestimmungen sehr verschiedene Temperaturintervalle umfassen, und dass man die sp. W. um so grosser gefunden hatte, je grosser die Summe der Grenztemperaturen dieser Intervalle war. Er fand dann speciell für das krystallisierte Bor, dass die sp. W. desselben zwischen  $-50^\circ$  und  $260^\circ$  sich in vollkommener Analogie mit der des Kohlenstoffs, Diamants, befindet, dass sie mit einer Zunahme von 0,004707 für jeden Grad von  $-40^\circ$  bis  $50^\circ$  gleichmässig wächst und von da ab mit verlangsamer Geschwindigkeit steigt; dass auch sie sich mit steigender T. wahrscheinlich einem bestimmten Grenzwerte nähert. Weber berechnet denselben zu 1,49 und als T. mittlere Rothgluthhöhe. Die beobachteten Werte steigen von 0,1915 bis zu 0,3663, letzterer für das Intervall  $212^\circ-9$  und  $260^\circ-9$ . Wenn aber der constante Coefficient 1,49 mit dem Product aus  $100$  und der Atz. des Bors (10)

14,9 das Bor bildet, also bei anfangendem Glühen dem Dulong-Petit'schen Gesetz nahe kommt, Ann. Ch. Phys. 3. — Regnault, Ann. Ch. Phys. 3. — Weber, Mon. Mus. A. 184. 367

**Boraluminium.  $\text{AlB}^2$ .**  
(Graphitartiges Bor).

Regulär oder zwei- und eingliedrig. — Nach Sella spricht die Form der Kr. zwar für das zwei- und eingliedrige System, allein die Winkel kommen denen regulärer Combinationen sehr nahe. Ihre Wirkung auf das polarisirte Licht darf nicht als entscheidend gegen das reguläre System betrachtet werden.

Wären sie aber regulär, so würden sie partialflächig sein, indem vom Oktaeder nur drei Flächen, vom Würfel zwei, vom Leucitoeder drei, und von den Leucitoiden  $a : a : \frac{1}{2}a$ ,  $\frac{1}{2}a$  und  $\frac{1}{2}a$  nur eine Fläche vorhanden wäre. Von  $a : 2a : \infty a$  kämen zwei, von  $a : a : \frac{2}{3}a$  und von  $a : \frac{1}{3}a : \frac{1}{3}a$  auch nur eine Fläche vor.

Die Messungen der Oktaederkanten gehen von  $108^\circ 54'$  bis  $110^\circ 28'$ . — Sind die Krystalle jedoch zwei- und eingliedrig, so ist  $a : b : c = 1,72 : 1 : 2,432$   
 $\alpha = 89^\circ 49'$ .

Es sind fast immer Zwillinge, die, als regulär betrachtet, dem gewöhnlichen Gesetz folgen. — Dünne Blättchen von blassrother Farbe.

Sella: a. a. O. — Wöhler: Ann. Ch. Ph. 144, 268. — Vgl. Miller: Phil. Mag. (4) 31, 397. — Hampe: Ann. Ch. Pharm. 183, 75.

Die Formel erfordert 23,7 pCt. Al.

**Chlorbor.  $\text{BCl}^3$ .**

Volumgewicht 1,35. Wöhler und Deville.

Gas-Volumgewicht 57,16 Dumas; 57,4 und 58,8 Deville. Berechnet 58,75.

Die Tension des Gases von  $-30^\circ$  bis  $80^\circ$  bestimmte Regnault. Sie ist bei

$0^\circ$	384,32 mm
20	807,5 -
80	1248,28 -

Siedepunkt. —  $48^\circ,23$  bei 760 mm Regnault;  $47^\circ$  Wöhler und Deville.

**Brombor.  $\text{BBr}^3$ .**

V. G. 2,69. — Gas-V. G. 126,9; berechnet 125,5. — Siedepunkt  $90^\circ,5$ . Deville.

**Fluorbor.  $\text{BF}^3$ .**

Gas-V. G. 33,4 Dumas; berechnet 34.

**Borsäure.  $\text{HBO}^2$  (?).**

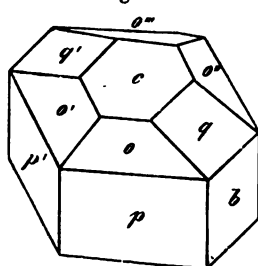
Anhydrid.  $\text{B}^2\text{O}^3$ .

Krystallform des Hydrats  $\text{HBO}^2 + \text{aq}$ . Zwei- und eingliedrig oder eingliedrig. Im Sinn des letzteren:

$o, o', o'', o'''$ ;  $p, p', q, q'$ ;  $b, c$ . (Fig. 12).

Miller fand:

Fig. 12.

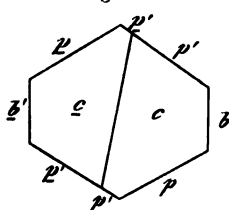


$p : p' = 118^\circ 30'$	$b : c = 75^\circ 30'$
$p : b \left. \vphantom{\begin{matrix} p : b \\ p' : b \end{matrix}} \right\} = 120 \quad 45$	$q : c = 150$
$p' : b \left. \vphantom{\begin{matrix} p : b \\ p' : b \end{matrix}} \right\} = 120 \quad 45$	$q' : c = 156$
$p : c = 99 \quad 30$	$c : o = 129$
$p' : c = 95 \quad 7$	$o' = 137$
	$o'' = 132$
	$o''' = 129$

Dünne Blättchen nach  $c$ .

Nach Kennigott wären die Kr. zwei und eingliedrig. Er fand  $p : p' = 118^\circ 4'$ ,  $p : b = 120^\circ 50'$ ;  $p : c$  nicht unter  $102^\circ$ . Zwillinge nach  $b$  (Miller); die  $c$  bilden Winkel von  $150^\circ 58'$ . Fig. 13.

Fig. 13.



Sehr vollkommen spaltbar nach  $c$ . — Miller: Pogg. A. 23, 558. — Kennigott: Wien. Ak. B. 42, 26.

Optisches. — Die Ebene der optischen Axen und die Mittellinie stehen fast genau senkrecht auf der Endfläche  $c$ . Die mittleren Axen liegen in einer Ebene, die fast parallel der Axenebene  $bc$  ist; ihr scheinbarer Winkel in Luft ist  $10-12^\circ$  ( $8^\circ$  Miller).

Durch Erwärmen wird die Lage der optischen Axen nicht verändert. Des Cloizeaux.

Volumgewicht. — Das krystallisirte Hydrat = 1,4347 bei  $15^\circ$ ; die gesättigte Lösung = 1,0248 bei  $15^\circ$ . Stolba.

Spec. Wärme. Das Anhydrid = 0,2341 Neumann.

Das geschmolzene A. ist ein Nichtleiter der Elektrizität. Lapschin.

Neutralisationswärme. Thomsen: Pogg. A. 439, 193.

## Arsen.

Krystallform. — Sechsgliedrig-rhomboedrisch.

$a : c = 1 : 1,4025$ . G. Rose.

$r, \frac{2}{3}r'$ ;  $c$ .

Berechnet

Beobachtet.

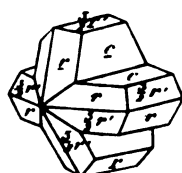
$r : 2A =$	G. Rose.	Breithaupt.
$\frac{2}{3}r' : 2A = 73^\circ 35'$	$*85^\circ 4'$	$85^\circ 26'$
$c : r = 124 \quad 42$		
$c : \frac{2}{3}r' = 112 \quad 24$		

Combinationen  $r$  und  $c$  von oktaedrischem Ansehen; oder von  $r, \frac{2}{3}r'$  und  $c$ , tafelartig durch Ausdehnung des letzteren.

Zwillinge nach einer Fläche des ersten stumpferen Rhomboeders  $\frac{r'}{2} = a' : a' : \infty a : \frac{1}{2}c$  (dessen Endkantenwinkel =  $113^\circ 59'$  sein würde).

Durchwachsung zweier Krystalle, wobei die  $c$  einspringende Winkel von  $102^\circ$  und  $78^\circ$  bilden. An den ersteren liegen die  $r$ , deren je zwei an der Zwillingsgrenze anstossende in eine Ebene fallen. Auch Anwachsungen nach  $\frac{r'}{2}$  [Endkante von  $r$ ] oder einer darauf Senkrechten. Fig. 14.

Fig. 14.



Sehr vollkommen spaltbar nach  $c$ , weniger nach  $\frac{r'}{2}$ .

Der starke Glanz macht an der Luft einem schwarzen Ueberzuge Platz. Breithaupt: Pogg. Ann. 7, 527. — G. Rose: Abh. Berl. Ak. 1849 und Pogg. Ann. 77, 448. 83, 426.

Die von Elsner und Cooke für reguläre Oktaeder gehaltenen Formen sind nicht erwiesen, sondern wahrscheinlich die erwähnte Combination von  $r$  und  $c$ . — Cooke: Am. J. Sc. (2) 34, 94.

Berzelius unterschied zwei Modificationen,  $As_\alpha$ , welches entsteht, wenn A. in Gasform mit einem anderen erhitzten Gase sich an weniger heissen Stellen condensirt, und  $As_\beta$ , wenn es sich auf Stellen nahe dem heissesten Punkte absetzt. Er sagt,  $As_\alpha$  sei dunkelgrau krystallisirt, und oxydire sich schon bei  $40^\circ$  zu schwarzem Suboxyd, während  $As_\beta$  weiss, stark metallglänzend, schwerer als jenes, und selbst bei  $80^\circ$  noch unveränderlich sei. — Pogg. Ann. 64, 7.

Hiernach hielt G. Rose eine Dimorphie und reguläre Form von  $As_\beta$  für möglich. Er wies darauf hin, dass das A. ein schwarzes, und zunächst der Probe ein graues stark glänzendes Sublimat bilde, dessen Krystalle unter dem Mikroskop allerdings wie Würfel mit Oktaederflächen aussehen. Pogg. Ann. 76, 75.

Dagegen hat Hittorf amorphes A., von muschligem Bruch, in Wasserstoff sublimirt erhalten, und Bettendorff bemerkt, dass hierbei das zunächst der Probe sich absetzende rhomboedrisch krystallisirte, das weiterhin erscheinende schwarze aber amorph sei. Bedingung für die Bildung des letzteren sei Abkühlung des Gases auf  $210-220^\circ$ . Es ist weniger leicht oxydirbar, und ist nach beiden Beobachtern viel leichter als das krystallisirte. Bei  $360^\circ$  verwandelt es sich unter Wärmentwicklung in krystallisirtes A. (S. V. G.). — Hittorff: Pogg. Ann. 426, 193. — Bettendorff: Ann. Ch. Ph. 444, 440.

Die Widersprüche zwischen diesen und Berzelius' Angaben sind evident.

Ausdehnung. — Der Coeff. der linearen A. ist  $= 0,00000559$ , d. h. die Längeneinheit erfährt von  $0-100^{\circ}$  eine Veränderung von  $0,000602$ . — Fizeau: C. r. 68, 112.

V. G.	Krystallisirt	Amorph
	5,628 Karsten	4,72 Hittorff
	5,67 Herapath	4,71 Bettendorff.
	5,959 Guibourt	
	5,395 Ludwig	
	5,728 Bettendorff	
	5,709 Mallet (geschmolzen).	

Gas-V. G. — Gefunden 155 Mitscherlich, 153 bei  $564^{\circ}$  und 147,4 bei  $860^{\circ}$  Deville und Troost. Berechnet  $= 150$ , wenn  $\text{As} = 75$ . Also 1 Mol  $= \text{As}^2 = 4$  Vol. Gas. — Mitscherlich: Pogg. A. 29, 218. — Deville: C. r. 56, 891.

Landolt und Mallet brachten A. in zugeschmolzenen Röhren bei schwacher Glühhitze zum Schmelzen. — Landolt: Verh. niederrhein. Ges. 1859. — Mallet: Ch. News 26, 97.

Sp. Wärme.	0,0844 Regnault
	0,0822 Neumann
	0,083 Wüllner und Bettendorff.

Letztere fanden für das amorphe A.  $0,0758$ , d. h. die leichtere amorphe Modification hat eine geringere sp. W., während sonst immer das Gegentheil stattfindet. — Regnault: Ann. Ch. Phys. 73, 5 und (3) 9, 322 (Pogg. Ann. 51, 213. 62, 74). — Neumann: Pogg. Ann. 126, 137. — Wüllner u. Bettendorff: Eb. 133, 303.

Refraktionsäq. des Dampfes. — Haagen: Pogg. A. 131, 117. — Schrauf: Eb. 133, 479.

Spectralverhalten. Ditte: C. r. 73, 738.

Phosphorescenz. Erst jenseit  $200^{\circ}$  und nur bei Gegenwart von Sauerstoff. Joubert: C. r. 78, 1853.

#### Arsenwasserstoff. $\text{H}^3\text{As}$ .

Verdichtung. — Flüssig bei  $-40^{\circ}$ . Stromeyer, Dumas, Soubeiran. Wird bei  $-110^{\circ}$  nicht fest. Faraday.

Dampfspannung des flüssigen:

bei $-59^{\circ},5$	744,4 mm	$-30^{\circ},5$	2523,2 mm
53,3	957,6	20,5	3602,4
46,7	1314,8	18	3959,6
37,8	1900,0	12	4742,2



Bei — 6°,7	5616,4 mm	+ 4°,4	7638 mm
0	6802	10	8785,6
		45,5	10024,4.

Faraday: Pogg. A. Ergb. 2, 216.

### Chlorarsen. $\text{AsCl}_3$ .

Volumgewicht. — Des flüssigen = 2,205 Pierre. — Gas-V. G. 91 Dumas. Berechnet 88,25.

Siedepunkt. 433°,8 bei 756,9 mm Pierre. — Ann. Ch. Phys. (3) 20, 5.

Spec. Wärme des Dampfs für gleiche Vol. = 0,7043, für gl. Gew. = 0,4422. Regnault. — C. r. 36, 676.

### Bromarsen. $\text{AsBr}_3$ .

V. G. 3,66 Boedeker.

### Jodarsen. $\text{AsJ}_3$ .

Sechsgliedrig.  $a : c = 4 : 2,998$  Friedländer.

$r, r', c$ .

Berechnet	Beobachtet
$r : 2A = 82^\circ 50'$	$83^\circ 9'$
$r : c =$	$420 \quad 4$

Spaltbar nach  $c$ . — Isomorph dem  $\text{SbJ}_3$ . — Groth Ztschr. 3, 244. — Brechung sehr stark negativ.

V. G. 4,39 Boedeker. — Gas-V. G. 232,6 Mitscherlich. Berechnet 228.

### Arsenige Säure. $\text{As}_2\text{O}_3$ .

Die Umwandlung der amorphen durch langes Liegen in oktaedrische Krystalle beobachtete zuerst Hausmann. Pogg. Ann. 79, 308.

Auch ich habe dies zu bestätigen Gelegenheit gehabt. Nach Christison schreitet die Umwandlung des durchsichtigen Glases unter Wasser nicht weiter fort. A. a. O. 36, 494.

Heteromorphie. — Wöhler entdeckte die Dimorphie, indem er an einem Röstproduct die zweigliedrige Form auffand, die Mitscherlich als die der Antimonblüthe erkannte. Pogg. Ann. 26, 477.

Später fand auch Scheurer-Kestner diese Form an sublimirter Säure; und dieselbe Beobachtung machte man in Freiberg.

Nach Debray liefert eine bei 250° bereitete wässerige Lösung fast nur Oktaeder. Durch Erhitzen trockener S. in verschlossenen Röhren erhält man nach dem Erkalten unten glasige S., in der Mitte zweigliedrige, oben reguläre Krystalle, wenn die T. unten 400°, oben 200° gewesen war.



Noch andere Flächen der Horizontalzone und ein sehr scharfes Oktaeder sind schwer zu bestimmen.

Sehr vollkommen spaltbar nach *b*, viel weniger nach *p*. Sehr glänzend, weich und biegsam.

Optisches Verhalten. — An den regulären Krystallen fand Des Cloizeaux den Brechungscoefficient bei 17°

1,748 für rothe,

1,755 — gelbe Strahlen.

Die optische Axenebene der zweigliedrigen Form ist *ac*, *Axe c* die *Axe* der kleinsten, *a* die der grössten Elasticität. Winkel der optischen Axen nahe 90°, daher wahrscheinlich *c* die (erste) Mittellinie, also der Charakter der Brechung negativ. Groth: Pogg. Ann. 137, 444. — Vgl. Nordenskiöld: S. o.

Ulrich hat Paramorphosen beobachtet, d. h. zweigliedrige Krystalle, anscheinend aus Oktaedern bestehend Ztschr. ges. Naturw. 11, 264.

Die kubische Ausdehnung der oktaedrischen Krystalle ist nach Fizeau = 0,00042378, die lineare ist also =  $\frac{1}{3}$  der kubischen.

Volumgewicht.

Amorph		Regulär		Zweigliedrig
3,698	Le Royer u.	3,720	Karsten,	3,85 Claudet,
	Desmar,	3,884	Filhol,	4,454 Groth.
3,702	Karsten,			
3,738	Guibourt,			
3,695	die porzellanart.),			
3,798	Taylor,			
3,529	die porzell.).			

Das Gas-V. G. fand Mitscherlich = 200. Danach ist das Mol. =  $\text{As}^4\text{O}^6$  = 396. S. Arsen.

Die Lichtentwicklung beim Anschliessen oktaedrischer Krystalle aus einer Auflösung der amorphen in Chlorwasserstoffsäure bemerkte H. Rose. Pogg. Ann. 35, 484.

Spec. Wärme. — Die glasige = 0,4320, die porzellanartige = 0,4309. De la Rive und Marcet.

Löslichkeit. — Bussy behauptete, die widersprechenden Angaben rühren von molekularer Umwandlung her, die undurchsichtige werde beim Kochen zu glasiger, und umgekehrt gehe bei niedriger T. letztere durch den Einfluss des Wassers in jene über. C. r. 24, 774.

Buchner fand, dass die krystallisirte durch Kochen mit Wasser amorph, die amorphe durch kaltes Wasser zu krystallisirter wird (vgl. aber

Christison). J. f. pr. Ch. (2) 8, 234. Ferner Bacaloglo: J. f. pr. Ch. 83, 444. — Girardin: J. Pharm. (3) 46, 269.

Die Bildungswärme der arsenigen S. Favre: J. Pharm. (3) 24.

Nach Troost und Hautefeuille verliert 4 Mol. 4326 W.-E., wenn es aus dem glasigen in den undurchsichtigen Zustand übergeht, und 623,7 W.-E., wenn es zu zweigliedriger Säure wird. C. r. 69, 48.

Bildungs- und Lösungswärme. Thomsen: Ber. d. ch. Ges. 1874, 935. 1002.

#### Arsensäure. $H^3AsO^4$ .

V. G. des Anhydrids = 4,25. Filhol.

V. G. der Lösungen. Schiff: Ann. Ch. Ph. 143, 483.

Neutralisationswärme. Thomsen: Pogg. Ann. 440, 96 und Ber. d. ch. Ges. 1875, 1002.

#### Schwefelarsen.

##### 1. Monosulfid. $AsS$ . (Realgar.)

Krystallform. — Zwei- und eingliedrig,  $a : b : c = 1,320 : 1 : 0,4866$ ;  $\alpha = 85^\circ 46'$ . Marignac.

Die natürlichen Krystalle sind oft flächenreiche Combinationen. Spaltbar vollkommen nach  $b$  und  $r$ .

Optisches. — Die Ebene der optischen Axen ist die Symmetrieebene  $ac$ ; die Mittellinie macht  $42^\circ 55'$  mit einer Normalen auf Fläche  $c$  und  $79^\circ$  mit einer solchen auf Fläche  $a$  (Axe  $c$ ). Sehr starke Doppelbrechung, der Winkel der Axen ist sehr gross, und wesentlich schwankend nach der Dicke von Platten, die senkrecht zur Mittellinie sind. Starke geneigte Dispersion; die den Axen eigene ist gleichfalls sehr bedeutend, so dass die Mittellinien der rothen und gelben Strahlen  $2^\circ 44'$  bilden. Axenwinkel bei  $18^\circ$  etwa

96° 20' Roth,

92 58 Gelb, Des Cloizeaux.

Das künstliche (nach Berzelius und Gelis auf trockenem Wege, oder nach Sénarmont und Nilson durch Kochen des Trisulfids mit einer Auflösung von kohlensaurem Alkali) ist krystallinisch, mehr gelb. Beim Schmelzen bleibt das natürliche gleichwie das künstliche krystallinisch.

Durch Licht und Luft wird es oxydirt, die Krystalle zerfallen zu einer gelben Masse, indem Trisulfid und arsenige S. entstehen (Kennigott, Volger, Nilson).

Das käufliche Realgar ist ein amorphes Gemenge, welches viel arsenige S. enthält. Es hat auch oft ein geringeres V. G. als das reine (dieses = 3,54 Karsten). Hausmann: Pogg. Ann. 79, 345.

Es wird in der Wärme durch einen starken elektrischen Strom zer-  
setzt. Lapschin.

## II. Trisulfid. $\text{As}_2\text{S}_3$ .

Krystallform des Auripigments. Zweigliedrig.  $a : b : c = 0,603 : 4 : 0,674$ . Mohs. (Nach Breithaupt zwei- und eingliedrig.)

Isomorph mit  $\text{Sb}_2\text{S}_3$  (Antimonglanz, bei dem  $a$  und  $c$  anderthalbfach grösser sind. Sehr vollkommen spaltbar nach  $b$ . Schmilzt nach Hausmann zu einer Masse, welche als rothes Glas erstarrt.

V. G. des krystallisirten = 3,459 (Karsten), des umgeschmolzenen = 2,761 (Hausmann).

Das im Grossen dargestellte ist wohl immer mit arseniger S. gemengt.

Diathermansie. Schultz-Sellack: Pogg. Ann. 139, 182.

## Antimon. Sb.

Krystallform. Sechsgliedrig.  $a : c = 1 : 4,3068$ . G. Rose.

Isomorph Tellur, Arsen und Wismuth.

Die natürlichen Krystalle zeigen das Hauptrhomboeder ( $r$ ), oft das zweite stumpfere ( $\frac{r}{4}$ ) und die Endfläche ( $c$ ), und sind zu Vier- und Sechslingen gruppiert.

Die künstlichen sind ausschliesslich  $r$ , woran

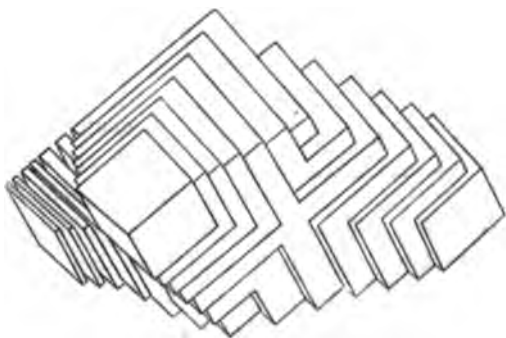
$$2A = 87^\circ 55' \text{ G. R. } (87^\circ 28' \text{ Marx, } 87^\circ 39' \text{ Mohs}).$$

Sehr vollkommen spaltbar nach  $c$ , weniger nach  $\frac{r}{2}$  ( $r : c = 123^\circ 32'$ ;  $\frac{r}{2} : c = 142^\circ 58'$ ).

Laspeyres beobachtete polysynthetische Zwillingsbildung nach einem sehr scharfen Rhomboeder ( $r^{24}$ ).

Der Stern auf der Oberfläche des Regulus Antimonii entsteht dadurch, dass viele in der Grösse stetig abnehmende Rhomboeder in paralleler Stellung mit ihren Ecken sich aneinanderreihen. Jedes von ihnen ist mit Schalen von Rhomboedern bedeckt, die aber bei den oberen in der Mitte der Flächen nicht mehr zusammenhängen und nach den Seitenecken zu immer kleiner

Fig. 17.





werden (Fig. 47). Gewöhnlich sind die Schalen in der Richtung der horizontalen Diagonalen der Rhomboederflächen nicht ausgebildet; sie zerfallen nun nach den Seitenecken hin in immer kleinere Rhomboeder, die in der oberen Endkante und in den zwei unteren Seitenkanten den Seitenecken anliegen, und besonders nach den horizontalen Diagonalen tiefe Rinnen bilden. Die nach einer Seitenecke auslaufenden Rhomboeder bilden auf diese Weise dreikantige, in der Mitte der Flächen vertiefte Spitzen, von denen nun drei von einem Mittelpunkt aus sich so verbreiten, dass ihre Axen in ein und derselben Ebene liegen und unter Winkeln von  $120^\circ$  auf einander stossen. Derartige dreistrahligte Gruppen liegen in verticaler Richtung übereinander, werden nach oben immer kleiner, und die ganze Gruppe erscheint als die Endecke eines scharfen Rhomboeders, das in der Richtung der schiefen Diagonalen eingesunken ist. Diese Erscheinung tritt auch bei regulären Krystallen ein und erzeugt die gestrickten Formen. — G. Rose: S. Arsen. — Marx: Schweigg. J. 59, 244.

Eine isomorphe Mischung aus Antimon und Blei,  $\text{PbSb}^6$  bis  $\text{PbSb}^8$  hat die Form des Antimons.

$$a : c = 1 : 4,3236 = 0,755 : 4 \text{ Laspeyres.}$$

Sie zeigt die Flächen  $r$ ,  $\frac{r'}{2}$  (Spaltungsfläche),  $2r'$ ;  $a$ ,  $c$ .

Fig. 48.



$$r (2A) = 87^\circ 7'.$$

Die Krystalle sind Rhomboeder  $r$ , oder tafelfartige Combinationen von  $r$  und  $c$ , oder prismatische Formen, d. h. Rhomboeder  $r$  nach einer Kantenrichtung verlängert.

Es sind stets Zwillinge, deren Zwillings- und Verwachsfläche eine Fläche des ersten stumpferen Rhomboeders  $\frac{r'}{2}$  ist. Fig. 48. Auch Durchkreuzungszwillinge.

Spaltbar nach  $c$ ,  $\frac{r'}{2}$ ,  $2r'$  und  $a$ . — Ztschr. d. geol. Ges. 27, 574.

Explosives A. — Wird eine Lösung von Antimonchlorid durch einen schwachen Strom zersetzt, während der positive Pol aus A. besteht, so schlägt sich, wie Gore fand, auf Kupfer, welches den negativen bildet, A. nieder. Es ist silberweiss, amorph im Bruch, leichter als gewöhnliches, und giebt durch Reiben, Schlagen oder Erhitzen eine Explosion, öfter von einer Licht-

entwicklung, stets aber von bedeutender T.-Erhöhung begleitet, wodurch es zerspringt. Dabei entwickelt sich etwas weisser Dampf, und das Metall ist nachher grau und körnig. Nach Böttger enthält es bis 6 pCt. Antimonchlorid eingeschlossen, welches jedoch erst bei der Umwandlung frei wird. Früher hatte Derselbe einen Gehalt an Wasserstoff in diesem A. vermuthet. — Gore: Phil. Mag. 9. Proc. R. Soc. 9. Ch. Gazette 1858. J. Ch. Soc. (2) 4, 365. Pogg. Ann. 95, 473, 403, 486. — Böttger: Pogg. Ann. 104, 292. Ann. Ch. Pharm. 108, 245.

Ist es amorphes A. und das Eingeschlossene unwesentlich?

Ueber Tonerzeugung durch T.-Aenderungen Seebeck: Pogg. Ann. 54, 42.

Ausdehnung. — Die kubische A. beträgt nach Kopp für  $1^{\circ}$  0,000033. — Ann. Ch. Pharm. 84, 4.

Die lineare Ausdehnung fand Matthiessen,  $V$  bei  $0^{\circ} = 1$  gesetzt, bei  $100^{\circ} = 1,003479$ . — Pogg. Ann. 130, 59.

Calvert und Johnson hatten sie zwischen  $0^{\circ}$  und  $100^{\circ} = 0,000985$  gefunden. — Rep. Brit. Assoc. 1858. Chem. News 3.

Fizeau untersuchte die Ausdehnung von Rhomboedern (von  $117^{\circ} 18'$ , also des ersten stumpferen):

	nach der Hauptaxe	senkrecht zur Hauptaxe	berechnete mittl. Ausdehn.
Coeff. d. lin. Ausdehnung:	0,00004692	0,00000882	0,00004452
Veränd. des Coeff. für $1^{\circ} = 0,94$		4,34	0,58
Berechn. Veränd. der Längeneinheit von $0 - 100^{\circ}$	0,001683	0,000895	0,001458

C. r. 68, 1125.

Volumänderung beim Schmelzen. Nies und Winkelmann, s. Zinn.

V. G. 6,715 bei  $16^{\circ}$  (Reines A.) Marchand u. Scheerer

6,715 - 13,6	} Matthiessen
6,713 - 14,4	
6,710 - 15	
Mitt. 6,713 - 14,3	

6,707 — 6,718 bei  $17 - 24^{\circ}$  Dexter

6,70 Cooke

6,697 gegen Wasser bei  $4^{\circ}$  und corr. für den leeren Raum.

Schröder. — Auch durch starken Druck ändert sich das V. G. nicht. Marchand und Scheerer.

Das explosive A. gab Gore 5,78—5,83. — Matthiessen: Pogg. Ann. 110, 24.





	Beobachtet	Berechnet
$p : p =$	$104^{\circ} 32'$	
$a =$		$140^{\circ} 46'$
$r : r =$	98 0	
$a =$		$131^{\circ} 0$
Nicklès gab an:	$p : p = 111^{\circ}$	
	$r : r = 80$	
	$p = 134$	

C. r. 48, 837.

V. G. = 4,148 C., des flüssigen = 3,641 bei  $90^{\circ}$  gegen Wasser von  $0^{\circ}$  Kopp.

Schmelzpunkt  $90^{\circ}$  K.,  $93^{\circ}$  C. Siedepunkt  $275^{\circ},4$  K.,  $280^{\circ}$  C. Kopp: Ann. Ch. Ph. 95, 307.

**Antimontrijodid. SbJ<sub>3</sub>.**

Trimorph. Cooke.

I. Sechsgliedrig.  $a : c = 1 : 1,37$  Cooke.  
 $r, 2r'; c = 0,73 : 1$

	Berechnet	Beobachtet
$r : 2A =$	$85^{\circ} 32'$	
$2r' - =$	68 40	
$c : r =$		$130^{\circ} 38'$
$2r' =$		107 32

Roth. Optisch einaxig, negativ.

V. G. 4,848 ( $24^{\circ}$ ) C.; 5,04 Cooke. Boedecker.Schmelzpunkt  $167^{\circ}$ .II. Zweigliedrig. Rhombische Tafeln von  $120^{\circ}$  und  $60^{\circ}$ .Durch Sublimation des rothen. Gelb. Wird bei  $114-120^{\circ}$  roth. Cooke.III. Zwei- u. eingliedrig.  $a : b : c = 1,6408 : 1 : 0,6682$  Cooke. $n' = \frac{1}{2} a' : b : c; p, p^2; q; a, c$  0 =  $70^{\circ} 16'$ 

	Berechnet	Beobachtet
$n' : n' =$	$118^{\circ} 24'$	$118^{\circ} 23'$
$p : p =$	65 50	
$c =$	100 34	100 36
$p^2 : p^2 =$		$104^{\circ} 40$
$p^2 : a =$	142 20	142 20
$p^2 : c =$		$105^{\circ} 30$
$q : q =$	115 40	
$a : c =$	109 44	
$n' : c =$		$126^{\circ} 40$

Spaltbar nach c. Gelb. V. G. 4,768 C.

Rammelsberg, physik. Chemie.

**Antimonige Säure.**

**Krystallform.** — A. Regulär. Künstlich dargestellt, und als *Sénarmontit*. Oktaeder. Spaltbar nach demselben. Deutung der Krystallform. Groth: Ztschr. 5. 222.

B. Zweigliedrig.  $a : b : c = 0,394 : 4 : 4,444$  als *Antimonblüthe* und künstlich (Mohs), oder  $= 0,3869 : 4 : 0,374$  nach Groth's Vorschlag. Spaltbar nach dem Prisma von  $136^{\circ} 58'$  und der Abst. der scharfen Kanten. Mitscherlich: Pogg. Ann. 49, 409. — Groth: Eb. 137, 426. — Debray: C. r. 58, 4209. — Terreil: C. r. 62, 302.

Isodimorph der arsenigen Säure.

**Volumgewicht**

der regulären		der zweigliedrigen	
natürl. 5,22—5,30	Sénarm.,	natürl. 5,56	Mohs,
- 5,20	Terreil,	- 3,70	Terreil*),
künstl. 5,14	-	künstl. 5,778	Boullay,
		- 3,72	Terreil*).

Kubische Ausdehnung der regulären Oktaeder nach Fizeau  $= 0,00005889$ .

Spec. Wärme (der zuvor geschmolzenen)  $= 0,0927$  Neumann.

**Optisches.** — Der Brechungsexponent der regulären ist nach Des Cloizeaux für Roth 2,073  
- Gelb 2,087.

Nach Demselben sind wahrscheinlich Blättchen doppelbrechender Substanz in der Masse vorhanden, wie das Verhalten im polarisirten Lichte andeutet.

An den Krystallen der Antimonblüthe sind die Axen der rothen Strahlen gewöhnlich parallel der Endfläche, die blauen in einer zu ihr senkrechten Ebene orientirt, während die gelben fast zusammenfallen. Die Dispersion ist stark, und  $\varrho > \nu$ . An anderen Krystallen (Przibram, Algier) fallen die rothen fast zusammen, während die übrigen in einer Ebene, senkrecht zur Endfläche, sich öffnen: also  $\varrho < \nu$ . Die Mittellinie ist stets parallel der Axe  $\alpha$ . Der Axenwinkel ist immer sehr klein. Des Cloizeaux.

Auf ganz trockene antimonige S. wirkt selbst ein starker elektrischer Strom nicht ein. Lapschin.

\* Diese Zahlen sollen wohl  $5^{\circ} 2'$  und  $5^{\circ} 2'$  heissen.

**Schwefelantimon.****Trisulfid.  $\text{Sb}_2\text{S}_3$ .**

Die Umwandlung des krystallisirten in amorphes durch Schmelzen und rasches Abkühlen zeigte Fuchs. — Vgl. H. Rose: Pogg. Ann. 89, 122.

Krystallform (Antimonglanz).

Zweigliedrig.  $a : b : c = 0,985 : 1 : 1,0447$  Krenner.

Sehr vollkommen spaltbar nach  $b$ .

V. G.	des amorphen		des krystallisirten
4,15	Fuchs		natürl. 4,626 Breithaupt
4,28	H. Rose		künstl. 4,752 Karsten
4,22	bei 180° get.	} Cooke	4,641 H. Rose.
4,289	- 240° grau		

Spec. Wärme des Antimonglanzes 0,084 Regnault  
0,083 Neumann.

H. Rose zeigte, dass das amorphe ein Nichtleiter, das krystallisirte ein Leiter der Electricität sei. — Vgl. Skey: Ch. News 23, 255.

**Wismuth.**

Krystallform. — Sechsgliedrig.  $a : c = 1 : 1,3035$  G. Rose. Rhomboeder, Endkantenwinkel  $= 87^\circ 40'$  G. Rose ( $89^\circ 28'$  Haidinger). Oft nach einer Kantenrichtung verlängert. Sehr vollkommen spaltbar nach der Endfläche  $c$ , weniger nach dem ersten schärferen  $2r'$ , sehr wenig nach dem ersten stumpferen Rhomboeder  $\frac{r'}{3}$ .

$$r : c = 123^\circ 36'; 2r' : c = 108^\circ 23'; \frac{r'}{2} : c = 143^\circ 2'.$$

Zwillinge häufig. Zwillings- und Verwachsungsfläche eine Fläche von  $\frac{r'}{2}$  ( $r : r' = 173^\circ 16'$ ) G. Rose: S. Arsen. — Haidinger: Wien. Ak. B. 1. — Isomorph Te, As, Sb, und dem Tellurwismuth  $\text{Bi}^2\text{Te}^3$  und  $\text{Bi}^2\text{Te}^2\text{S}$  (Tetradymit).

Ausdehnung. — Die lineare A. ist von  $0 - 100^\circ = 0,001344$  Calvert und Johnson. Die kubische A. bestimmten Kopp und Matthiessen  $= 1,0040$ , wenn  $V$  bei  $0^\circ = 1$ . Nach Fizeau beträgt an einem Rhomboeder die Ausdehnung für  $1^\circ$

in der Richtung der Hauptaxe	0,00001624
senkrecht zu ihr . . . .	0,00001208
die mittlere lineare A. . . .	0,00001334

Pogg. Ann. 135, 372. 138, 26.

## Volumgewicht:

gereinigt . . . . .	9,654	Karsten
- bei 40° . . . . .	9,799	Marchand u. Scheerer
Ob rein? Krystallisirt . . . . .	9,935	} Ch. Deville
nach d. Schmelzen u. raschen Erstarren	9,677	
bei 42°,3 . . . . .	9,823	Holtzmann
(corr. für den leeren Raum)	9,759	Schröder (Wasser von 4° = 4).

Nach Marchand und Scheerer vermindert sich das V. G. von rohem W. durch einen Druck von 400000 Kilo von 9,783 auf 9,566 und es zeigt dann kaum krystallinische Structur. — J. f. pr. Ch. 27, 209.

## Schmelzpunkt.

268°,3 Rudberg<sup>\*)</sup>

265 A. Erman

270 Person

268,3 v. Riemsdyk. — Chem. News 20, 32.

Volumänderung beim Schmelzen. Das flüssige ist um mehr als 3 pCt. leichter als das feste von gleicher T. Nies u. Winkelmann: S. Zinn.

## Spec. Wärme

des festen 0,03084 (Mittel) Regnault

des flüssigen 0,0363 zw. 370 u. 280° Person.

Die latente Schmelzwärme ist nach Letzterem = 12,64. — Ann. Ch. Phys. 3; 24, 129.

Tribe schliesst aus seinen Beobachtungen, dass das geschmolzene W. sich nicht vor dem Erstarren ausdehnt, wie dies beim Wasser der Fall ist. — J. Ch. Soc. 6, 71.

Capillaritätsconstante. — Quincke Pogg. Ann. 135, 621.

Wärmeleitung. — 1,8, wenn Silber = 100. Wiedemann. Oder 6,1 Calvert und Johnson. — Wiedemann u. Franz: Pogg. Ann. 89, 497.

Nach Matteucci leiten Stäbe, parallel der Hauptsplaltungsfläche geschnitten, die Wärme besser als solche, die in einer darauf senkrechten Richtung geschnitten sind. — C. r. 40, 544.

Das W. wäre also, nach Lang's Bezeichnung, thermisch-positiv.

Flammenreaction des W. — Bunsen Ann. Ch. Phys. 138, 257.

Elektrisches Leistungsvermögen. Verhält sich nach Matteucci in den Stäben beiderlei Art = 4,16 : 4. — C. r. 40, 544 und 42, 1133.

\* Pogg. Ann. 71, 462. Früher 264° von Rudberg gefunden.

Matthiessen fand es überhaupt  $= 1.19$  bei  $13^{\circ}.8$ , wenn Silber bei  $0^{\circ} = 100$ .

Passivität. — W. wird von Salpetersäure nicht angegriffen, wenn es in derselben mit Platin in Berührung steht. — Andrews Phil. Mag. 3 42 Pogg. Ann. 43, 121. — Schönbein: Pogg. Ann. 43, 4.

Thermoelektrisches Verhalten. — Seebeck hatte beobachtet, dass zwei Metalle, an ihrer Verbindungsstelle erwärmt, einen elektrischen Strom hervorrufen, und dass Wismuth und Antimon in dieser Beziehung die stärkste Wirkung erzeugen. A. Svanberg fand, dass Stücke, senkrecht zur kryst. Hauptaxe in der thermoelektrischen Reihe positiver, und solche parallel der Axe negativer sind, als die Masse des W. an sich. Zwei Stäbchen der ersten Art von ungleicher T. liefern bei ihrer Berührung einen Strom vom kalten zum warmen, zwei solche der zweiten Art verhalten sich entgegengesetzt. — C. r. 31. 250. Vgl. Franz: Pogg. Ann. 83. 374. — Matteucci: C. r. 40, 544.

Magnetismus. — W. ist diamagnetisch. Weber zeigte, dass es eine Polarität besitzt, die dem Sinne nach die entgegengesetzte von der des Eisens unter gleichen Umständen ist. Poggendorff, Plücker und Reich bestätigten die Polarität, welche von Quintus Icilius, Faraday und Feilitzsch bestritten wurde.

Ein Wismuthstab, dessen Längsrichtung  $=$  der Hauptaxe, stellt sich zwischen den Magnetpolen axial. Das Maximum der diamagnetischen Kraft liegt also senkrecht zu jener Axe.

Geschmolzenes flüssiges W. zeigt keinen Diamagnetismus. — Vgl. besonders Faraday: Pogg. Ann. 76, 144. Ergbd. 3. 4. — Weber: Eb. 73, 241. 87, 145. — Reich: Eb. 97. 283. — Plücker: Eb. 72. 339. 76. 576. 81, 433.

Antimonwismuth. — Die Legirung steht in der thermoelektrischen Reihe noch jenseits des Wismuths (ist negativer). — Rollmann: Pogg. A. 84, 182.

### Wismuthchlorid. $\text{BiCl}_3$ .

V. G. 4, 56. Boedecker. — Schmelzpunkt  $225 - 230^{\circ}$  Muir.

### Wismuthjodid. $\text{BiJ}_3$ .

Krystallform. Wahrscheinlich sechsgliedrig. — Nickles: C. r. 50. 872. — V. G. 5, 652. Boedecker.

### Wismuthoxyd. $\text{Bi}_2\text{O}_3$ .

Krystallform.

Zweigliedrig.  $a : b : c = 0.8465 : 1 : 1.064$  A. Nordenskiöld.

$p, q, q\frac{3}{2}; c.$	
Berechnet	Beobachtet
$p : p =$	$\approx 104^\circ 32'$
$q : q =$	$\approx 86 \quad 26$
$q\frac{3}{2} : q\frac{3}{2} = 64^\circ 8'$	

Die gelben durchscheinenden Krystalle waren durch Schmelzen von amorphem Oxyd mit Aetzkali erhalten. Lang prismatisch nach  $p$ . — Pogg. Ann. 114, 649.

### Schwefelwismuth. $\text{Bi}^2\text{S}^3$ .

Krystallform. Zweigliedrig:  $a : b = 0,9884 : 1$ . G. Rose.

Berechnet	Beobachtet		
	Künstlich		Natürlich
	G. Rose	Werther	Phillips
$p : p = 90^\circ 40'$			$94^\circ 30'*$ )
$p : b =$	$\approx 134^\circ 40'$	$135^\circ 0'$	$134 \quad 30$
$^2p : ^2p = 53 \quad 40$			
$^4p : ^4p = 28 \quad 23$			
$p^4 : p^4 = 152 \quad 14$			

Sehr vollkommen spaltbar nach  $b$  und  $c$ . — Isomorph mit  $\text{Sb}^2\text{S}^3$  und  $\text{As}^2\text{S}^3$ .

Werther hatte die Krystalle für viergliedrig und für eine niedere Schwefelungsstufe gehalten. Schneider zeigte, dass sie metallisches W. eingeschlossen enthalten\*\*). — Phillips: Pogg. Ann. 11, 476. — Werther: J. f. pr. Ch. 27, 65. — G. Rose: Pogg. Ann. 94, 401.

### Kohlenstoff.

Dimorph. — A. Diamant. Regulär. Die verschiedenen Formen des Systems. Spaltbar nach dem Oktaeder. — S. die mineralog. Werke u. Sadebeck (G. Rose): Monatsber. Berl. Ak. 1876, 578 (Abh. d. Ak. 1876). Ueber die Structur des D. ausserdem: Brewster: Pogg. Ann. 58, 450. — Göppert: Ebend. 92, 623.

B. Graphit. — Entweder sechsgliedrig-rhomboedrisch; nach Kenn-gott ein Spaltungs-rhomboeder,  $2A = 85^\circ 29'$ . Oder zwei- und eingliedrig; nach Clarke mit einem Prisma von  $118^\circ$ ; nach A. Nordenskiöld  $a : b : c = 0,707 : 1 : 0,509$ ;  $\alpha = 88^\circ 14'$ .

Spaltbar im ersten Fall vorzüglich nach der Endfläche, im zweiten

\*  $91^\circ 0'$  das künstliche.

\*\* Die Abscheidung von Metall beim Umschmelzen hatte schon Marx beobachtet.

nach der Axenebene  $bc$ . — Clarke: Ann. of Phil. N. S. 2, 417. — Poggendorff: Wien. Ak. Ber. 1854. — Nordenskiöld: Pogg. Ann. 6, 110.

**Ausdehnung.** — Nach Fizeau ist die A. des Diamants (für  $1^\circ$  an verschiedenen Stellen der Scala) nicht bloß sehr gering, sondern nimmt auch mit sinkender T. sehr rasch ab, gleich dem Wasser in der Nähe seines Expansionsmaximums, sodass ein solches auch beim D. sehr wahrscheinlich wird. Es scheint nach Fizeau's Beobachtungen bei  $-38^\circ,8$  zu liegen. Ist die Länge bei  $0^\circ = l_0$ , so ist sie  $= l_t$  bei  $t^\circ$  (über  $0^\circ$ ) =

$$l_t = l_0 (1 + at + bt^2),$$

so

$$a = 0,00000056243$$

$$b = 0,000000072385 \text{ ist.}$$

Bei dem regulären System des D. ist die kubische Ausdehnung die dreifache der linearen.

Später setzte Fizeau das Maximum bei  $-42^\circ,3$  und bei  $40^\circ$  die lineare A.  $= 0,00000418$ , die kubische  $0,00000354$ . — C. r. 60, 1161. 2, 1101. 68, 1125.

Beim Graphit ist der Coeff. der linearen Ausdehnung nach Fizeau bei  $40^\circ = 0,00000786$ .

V. G. — Diamant. Bezogen auf Wasser von  $4^\circ$  und den leeren Raum.

3,529 bei  $15^\circ$  Étoile du Sud, Dufrénoy

3,5143 (der Florentiner) Schrauf

3,524 (Brasilien) Damour

3,492 (farbl. D. von Borneo) Grailich

3,5143 Schrötter

3,5183 Baumhauer

3,520 — 3,524 (Kap-Diam.) Ders.

**Graphit.** Die Angaben der mineralogischen Lehrbücher beziehen sich auf natürlichen Gr., der von erdigen Theilen verunreinigt ist, daher die niederen Werthe\*).

Comprimirt von Borrowdale = 2,316 Poggendorff

Arendal . . . . . 2,321 Rammelsberg

Upernivik, Grönland . . . 2,298 -

Borrowdale . . . . . 2,286 -

Jenisei . . . . . 2,275 -

Ceylon . . . . . 2,257 \*\* -

Ticonderoga . . . . . 2,17 -

\* Z. B. 1,84 J. Löwe.

\*\* 2,25 und 2,26 Brodie.

Diese von mir erhaltenen Zahlen beziehen sich auf gereinigte, d. h. weniger als 1 pCt. Beimengungen enthaltende Proben.

Hohofengraphit ergab 2,30. — Poggendorff: Ann. Ergbd. 2, 363.  
— Rammelsberg: Ber. d. ch. G. 1873, 187.

Holzkohle. — Nach Violette ist das V. G. der Kohle, dargestellt

bei 350° =	1,500
432	1,709
1023	1,841
1250	1,862
1500	1,869
Platinschmelzh.	2,002
Gegl. Kienruss	2,300

Ann. Ch. Phys. (3) 39, 291.

Werther fand es bei verschiedenen Kohlen = 1,45 — 1,55 (bei einem Kohlenstoffgehalt von 87—91 pCt.). — J. f. pr. Ch. 61, 21.

Kohlenstäbe für elektrisches Licht = 1,53 — 1,63 Beetz. — Sitzungsber. Münch. Ak. 1881, 10.

Spec. Wärme. Die früheren Versuche hatten ergeben:

Diamant	Graphit
0,4192 (zw. 11° u. 3° De la Rive	0,2019 Regnault
u. Marcet	0,4981 (Hohofengr.) Regnault
0,446—0,448 Regnault	0,4883 Wüllner u. Bettendorff
	0,466 (Hohofengr.) Kopp
0,4429 (corr.) Wüllner u. Bettendorff	0,474 Kopp
	0,4864 (Hohofengr.) Wülln. u. B.

#### Kohle

Holzkohle . . . .	0,2445 Regnault
	0,2009—0,2964 De la Rive und Marcet
Thierkohle . . . .	0,2608 Regnault
Zuckerkohle . . . .	0,140—0,159—0,165 De la Rive und Marcet
Kohle aus Terpentinöl	0,1801 De la Rive und Marcet
Kokoskohle . . . .	0,200—0,203 Regnault
Gaskohle . . . .	0,2036 Regnault
	0,185 Kopp
	0,196 Wüllner und Bettendorff.

Regnault: Ann. Ch. Phys. 73, 5. 3, 1, 29. Pogg. Ann. 54, 229. 53, 261.

— De la Rive und Marcet: Bibl. univ. 28 u. 32. Pogg. Ann. 52, 120. 54, 125. — Kopp: Ann. Ch. Ph. 3. Suppl. 1. — Wüllner und Bettendorff: Pogg. Ann. 133, 293.



Die Bestimmungen an amorpher Kohle können wegen der physikalischen und chemischen Ungleichheit der Substanz wohl nicht in Vergleich kommen.

Aber auch die Differenzen bei Diamant und Graphit und die aus den Zahlen folgende geringe Atomenwärme des Kohlenstoffs sind lange unerklärt geblieben, bis H. F. Weber zeigte (s. Bor.), dass die früheren Bestimmungen bei ganz verschiedenen T.-Intervallen gemacht waren, und dass sie um so grössere Werthe gegeben haben, je grösser die Summe der Grenztemperaturen. Der Schluss, dass die spec. W. des K. in hohem Grade zunehme, wurde durch Versuche bestätigt. Danach ist die sp. W.

des Diamants		des Graphits Ceylon	
bei $-50^{\circ},5$	$= 0,0635$		$0,1138$
$-10,6$	$0,0955$		$0,1437$
$+10,7$	$0,1128$		$0,1604$
$33,4$	$0,1318$		
$58,3$	$0,1532$	$61^{\circ},3$	$= 0,1990$
$85,5$	$0,1765$		
$140$	$0,2218$	$138,5$	$0,2542$
$206$	$0,2733$	$201,5$	$0,2966$
$247$	$0,3026$	$249,3$	$0,3250$

Die Art der Zunahme lässt erwarten, dass in einer gewissen hohen T. die sp. W. eine constante werde. Versuche mit Diamant in der Glühhitze zeigten, dass bei dieser fast keine Zunahme mehr stattfindet. Diamant und Graphit erlangen von  $600^{\circ}$  an gleiche spec. Wärme. Zwischen  $600-1000^{\circ}$  sind die Werthe

	für Diamant	Graphit
$606^{\circ},7$	$0,4408$	$0,4431$
$806,5$	$0,4489$	$0,4529$
$985$	$0,4589$	$0,4674$

Das Prod. dieser Zahlen und des Atg. von C = 12 ist

$5,29$	$5,31$
$5,38$	$5,43$
$5,50$	$5,60$

Der Kohlenstoff folgt also gleichfalls dem Dulong-Petit'schen Gesetz. — Weber: Pogg. Ann. 447, 341. 454, 367. 553.

Verhalten in der Hitze. — Diamant. Jacquelin behauptet, D. erweiche zwischen Kohlenspitzen einer starken Batterie, werde schwarz, und vermindere sein V. G. von 3,336 auf 2,678. — C. r. 24, 4050.

Nach Despretz wird D. im leeren Raum von der Wirkung von 500 bis 600 Elem. zu Graphit, bildet selbst geschmolzene Kügelchen. Kohle

überhaupt erweiche, schmelze und verflüchtige sich. — C. r. 29, 709. 30, 367. 37, 369.

Gassiot beobachtete zwischen Kohlenspitzen theils Umwandlung in Kohle, theils ein Anschwellen zu weisser opaker Masse. Chem. Gazette 1850, 338. — S. Morren C. r. 70, 990.

Eine äusserliche Schwärzung durch starkes Glühen und eine geringe Verminderung des V. G. beobachtete Schrötter. — Wien. Ak. Ber. 63, 462.

G. Rose fand, dass der D. beim Glühen zwischen Kohlenspitzen im Vacuo mit Detonation in Stücke zerspringt, welche einen dünnen Graphit-anflug zeigen. Bei heftigem Glühen in einer Umhüllung fester Kohle blieb ein D. farblos, ein anderer schwärzte sich oberflächlich. Beim Verbrennen unter der Muffel entstehen auf der Oktaederfläche dreieckige Eindrücke. Der sogenannte Carbonado spritzt im Weissglühen feinen Staub umher und erhält Auswüchse. — Monatsber. Berl. Ak. 1872, 516. Pogg. Ann. 148, 497.

Baumhauer hat später das Verhalten des D. in der Glühhitze ausführlich untersucht und keine Schwärzung beobachtet. — Wiedem. Ann. 1, 462.

Graphit. — G. Rose fand, dass dichter Gr. (von Wunsiedel) fast ebenso schnell verbrennt, wie Diamant, dass aber blättriger G. weit schwerer verbrennlich ist.

Die verschiedenen Arten Gr. verhalten sich überhaupt in dieser Beziehung sehr verschieden. So werden nach meinen Erfahrungen durch schmelzenden Salpeter unter Verpuffen oxydirt Gr. von Wunsiedel, Borrowdale, Arendal, Upernivik, Alibert (Sibirien), Ceylon; nicht aber Ceylon (ein anderer), Ticonderoga, Hohofengraphit. Letzterer ist selbst im Sauerstoffstrom in der Glühhitze nur schwer zu verbrennen.

Kohle. S. oben Despretz.

Ueber den Einfluss der T. bei der Verkohlung auf die Beschaffenheit der Kohlen Violette Ann. Ch. Phys. (3) 32, 304. 39, 291.

Ausgeglühter Kienruss oxydirt sich durch darüber geleitete Luft zu Kohlensäure. — Karsten: Pogg. Ann. 109, 353.

Verbrennungswärme. — Seit Rumford sind zahlreiche Versuche zu ihrer Bestimmung gemacht worden.

1 Grm. Substanz entw. bei vollst. Verbrennung W.-E. °,	W.-E. bei Verbrennung der Substanz durch 1 Grm. Sauerstoff
Diamant F. S. . . . 7770	2914
Graphit F. S. . . . 7796,6	2924
Hohofengr. F. S. . . 7762,3	2911

\* F. S. = Favre und Silbermann.

1 Grm. Substanz entw.	
bei vollst. Verbrennung W.-E.	
Zuckerkohle F. S. .	8040 *)
Gasret.-Kohle F. S.	8047
Holzkohle F. S. .	8080
Andrews	7884
Despretz	7912
Dulong	7288.

Wenn die Verbrennungswärme von Diamant und Holzkohle hiernach = 100 : 104, so liegt der Grund wohl in dem Wasserstoffgehalt der letzteren.

Verbrennungstemperatur des Kohlenstoffs. — Ist die Verbrennungswärme von 1 Th. Kohlenstoff = 7800 W.-E. und ist die spec. W. der Kohlensäure = 0,2169, die des Stickstoffs = 0,2754, so ist jene

$$\text{in Sauerstoff} = \frac{7800}{8\frac{1}{2} \cdot 0,2169} = 9826^{\circ}$$

$$\text{— Luft} = \frac{7800}{8\frac{1}{2} \cdot 0,2169 + 8\frac{1}{2} \cdot 0,2754} = 2383^{\circ}.$$

Beide Zahlen verhalten sich = 4 : 1 (s. Kohlenoxyd). Despretz: Ann. Ch. Phys. 37, 180. — Favre u. Silbermann: Eb. (3) 34, 357. 36. 5. — Andrews: Phil. Mag. (3) 32. Pogg. Ann. 75, 27.

Optische Eigenschaften. — Der Brechungscoeff. des Diamants ist nach Des Cloizeaux

bei 20° = 2,4135	für den rothen Strahl	(2,434 Schrauf),
2,4195	- - gelben -	(2,4168 Fizeau),
2,4278	- - grünen -	

Schrauf fand ihn für die Fraunhofer'schen Linien

$$B = 2,46062$$

$$H = 2,51425$$

Landolt und Haagen haben das Refractionsäq. des Kohlenstoffs aus ihren Versuchen mit flüssigen Kohlenstoffverbindungen = 5,0 berechnet. Für den Diamant ergibt es sich nach Schrauf = 4,85. Landolt: Pogg. Ann. 123, 624. — Haagen: Eb. 134, 123.

Nur einzelne Diamantkrystalle sind homogen, so dass sie keine Wirkung auf das polarisirte Licht ausüben; die Mehrzahl liefert unregelmässige Farben und eine mehr oder weniger vollständige Auslöschung. Des Cloizeaux.

Über die Phosphorescenz des D. Riess: Pogg. Ann. 64, 334. — Gladstone: Rep. 29. Brit. Assoc.

\*. 7714 Grassi.

Ueber das Spectrum des Kohlenstoffs Watts: Phil. Mag. (4) 38, 249. 40, 100. 45, 81. 48, 369.

Elektrische Eigenschaften. — Der Diamant ist ein Nichtleiter, der Graphit ein Leiter, und zwar ist nach Matthiessen das Leitungsvermögen, das des Silbers bei  $0^\circ = 100$  gesetzt,

für einen Graphit	= 0,0693	} bei $22^\circ$
- - andern	= 0,0436	
- - dritten	= 0,00395	
- Gaskohle	= 0,0386	- 25
- Bunsen'sche Kohle	= 0,00289	- 26

Das Leitungsvermögen nimmt bei der Kohle in höherer T. zu. Pogg. Ann. 103, 428. — S. ferner W. Siemens: Monatsb. Berl. Ak. 1880, Jan. u. Wied. Ann. 10, 560. — Borgmann: Eb. 44, 1044. — Beetz: Sitzb. Münch. Ak. 1884, 10 (Wied. Ann. 42, 65).

Absorption von Gasen. — Die Selbstentzündung von Kohlenpulver ist bekannt. Nach Aubert absorbiert das in Pulverfabriken dargestellte äusserst feine Pulver die Luft viel schneller als in Stücken, dabei wird viel Wärme frei (bis  $180^\circ$ ); die Entzündung beginnt innerhalb der Masse; schwarze K. entzündet sich leichter als rothe (bei niedriger T. dargestellte), und um so eher, je schneller die K. nach ihrer Darstellung zerrieben wurde. Vermischung mit Schwefel und Salpeter rauben der K. die Selbstentzündlichkeit, wiewohl die Luftabsorption auch dann eine gewisse Temperaturerhöhung bewirkt. Ann. Ch. Phys. 45, 73 (Pogg. Ann. 20, 451).

Meyer erinnert, dass Kohlenpulver schon beim Reiben oder Schlagen sich entzündet habe. Pogg. Ann. 20, 620.

Favre untersuchte Holzkohlen verschiedener Art auf ihr Absorptionsvermögen gegen Gase, und fand, dass dasselbe (bei derselben Gasart selbst bei derselben Kohle variiert, dass die dichtesten Kohlen am wenigsten absorbieren. Unter den Gasen wird Ammoniak am stärksten absorbiert: ihm folgen Chlorwasserstoff, schweflige S., Stickstoffoxydul, Kohlensäure. aber nur bei  $H^3N$  und  $HCl$  sind die Unterschiede der einzelnen Kohlen merklich.

Die Absorptionswärme ist für  $SO^2$  und  $N^2O$  grösser, als die Verflüchtigungswärme derselben. Erstere ist für die Gewichtseinheit Gas bei allen Kohlen dieselbe, nur die absorbierte Gasmenge wechselt. C. r. 39, 729. Ann. Ch. Phys. (5) 4, 209.

Über die Menge und Natur der absorbirten und durch Erhitzen von Holzkohle ausgetriebenen Gase Reichardt: J. f. pr. Ch. 98, 458.

Die Absorption durch Kokoskohle untersuchte Hunter: J. Ch. Soc. 2) 5, 160.

Melsens hat die Absorption von Gasen zur Verflüssigung derselben benutzt, und sein Verfahren auf Chlor, Ammoniak, schweflige S., Schwefelwasserstoff, Cyan etc. angewendet. Auch über die bei der Absorption von Flüssigkeiten sich ergebende Wärmewirkung hat er Beobachtungen angestellt. C. r. 77, 781.

Absorption der Kohlensäure in Beziehung auf T. und Druck Chapuis: Wied. Ann. 42, 164.

Über die Anwendung platinirter Kohle statt Platinschwamm für die Verbindung von Gasen Stenhouse: Q. J. Ch. Soc. 8, 403 (Ann. Ch. Ph. 96, 36).

Absorption aufgelöster Stoffe. — Filhol verglich das Entfärbungsvermögen der K. mit dem anderer Körper. Ann. Ch. Phys. (3) 35, 206 (Pogg. Ann. 86, 330).

Die Farbstoffabsorption der Kohle, insbesondere für Zuckerlösungen Vierordt: Pogg. Ann. 449, 565.

Graham stellte eine Reihe von Versuchen an, welche zeigten, dass Knochenkohle die Abscheidung von vielen Salzen und ihren Lösungen bewirkt. Qu. J. Sc. N. S. 9. Pogg. Ann. 49, 439. — Vgl. Esprit: J. Pharm. 3, 16 (J. f. p. Ch. 48, 424 u. Ann. Ch. Pharm. 76, 276).

Auf die reducirende Wirkung der Kohle hierbei wies Schönbein hin Pogg. Ann. 78, 521.

### Kohlensäure. CO<sup>2</sup>.

Ausdehnungscoeff.	0,0037099	Regnault,
	0,003719	Ders. später,
	0,00369087	Magnus,
	0,003706	Jolly.

Verhältniss von Vol. und Druck. — Regnault schloss aus seinen Versuchen, dass die K. unter geringerem Druck als der atmosphärische bei 0° sehr beträchtlich vom Mariotte'schen Gesetze abweicht, ihm aber folgt, wenn die T. = 400° ist. C. r. 20, 975. Pogg. Ann. 65, 448.

Bei 7°.7 und einem Druck von 774,03 =  $p$  und 1550,63 mm =  $p'$  war  $\frac{p'}{p} = 2,003$ , und  $\frac{pV}{p'V'} = 1,00722$ , statt = 1, wie das Gesetz fordert.

Nach Regnault ist das Verhältniss zwischen

Druck	und	Volum	Druck	und	Volum
1	=	1	5	=	4,82880
2		1,98292	10		9,22620
3		2,94873	15		13,18693
4		3,89736	20		16,70540

Vgl. ferner Recknagel: Pogg. Ann. Ergbd. 5, 363 u. 445, 469. — Clausius: Verhalten der K. in Bezug auf Druck, Volum und Temperatur Wied. Ann. 9, 337. — Roth: Ebend. 11, 1. — Relation des expér. — Vgl. Blaserna: Pogg. Ann. 126, 394, 427, 474. — Amagat: C. r. 68, 4470.

Volumgewicht. 22,43 bei 0° und 760 mm. Regnault.

Versuche von Marchand hatten 20 ergeben. J. f. p. Ch. 44, 38.

Wärmeleitung. — Narr: Pogg. Ann. 142, 123. — Jamin und Richard: C. r. 75, 405, 453. — Kundt und Warburg: Pogg. Ann. 155, 525, 456, 477. — Winkelmann: Eb. 157, 497, 459, 477. — Boltzmann: Eb. 157, 457.

Reibungscoefficient. Meyer: Pogg. Ann. 143, 44, 448, 526.

Schallgeschwindigkeit. — Kundt: Pogg. Ann. 135, 337. — Bender: Ber. d. ch. G. 1873, 665.

Diffusion. — Graham: Phil. Mag. 4, 26. Pogg. Ann. 120, 445, 429, 548. — Maxwell: Phil. Mag. 4, 46, 453. — Wroblewski: Pogg. Ann. 158, 539.

Spec. Wärme. — Ältere Versuche von Dulong, De la Roche und Bérard, Apjohn: Phil. Mag. 1835. — Suerman: Pogg. Ann. 41, 474. — De la Rive und Marcet: Bibl. univ. 28 und Pogg. Ann. 52, 420.

Regnault fand zwischen — 30° und + 10°	0,48427
+ 10 — 100	0,20246
10 — 200	0,21692.

Die spec. Wärme der K. steigt also mit der T. ganz wesentlich und ist um so grösser, je grösser das T.-Intervall der Beobachtung, ein Verhalten, welches sie nach R. wahrscheinlich mit allen vom Mariotte'schen Gesetz stärker abweichenden Gasen und Dämpfen theilt.

Ist  $\lambda$  die Wärmemenge, welche die T. der Gewichtseinheit K. von 0° auf  $t^\circ$  erhöht, so kann man setzen

$$\lambda = A \cdot t + B t^2 + C t^3$$

und die drei Constanten nach den obigen Zahlen bestimmen. Ferner kann man  $\frac{d\lambda}{dt}$  als diejenige Wärmemenge bezeichnen, welche einem Gew.-Th.

K. zugeführt werden muss, damit seine T. von  $t^\circ$  auf  $(t + 1)^\circ$  steige, also als die wahre spec. Wärme. Es berechnet sich

$$\frac{d\lambda}{dt} \text{ für } t = \begin{array}{ll} 0^\circ & = 0,4870 \\ 100 & 0,2145 \\ 200 & 0,2396. \end{array}$$

Die Zunahme wird bis zu derjenigen T. reichen, bei welcher die K. dem Mariotte'schen Gesetz folgt.

Wurde der Druck im Verhältniss 1 : 12 geändert, so war keine Änderung der spec. Wärme, ebenso wenig wie bei Luft oder Wasserstoff, zu bemerken.

Wenn 0,2169 die spec. Wärme einer Gewichtseinheit K., so ist das Prod. derselben und des Gew. eines Volums (bezogen auf Luft = 1,52) = 0,3307 die spec. W. einer Volumeinheit. — Relation des expér. Früher C. r. 36, 676. Pogg. Ann. 89, 335.

Nach Röntgen ist die sp. W. bei constantem Volum ( $c_1$ ) bei  $0^\circ$  0,1415, bei  $100^\circ$  0,1702 = 1 : 1,203. Pogg. Ann. 148, 580.

Nach Winkelmann ist das Verhältniss = 1 : 1,172. Eb. 159, 177.

Die letzten Versuche rühren von E. Wiedemann her, und sind mit einfacheren Apparaten angestellt. Danach ist die spec. W. der K.

$$\begin{array}{lll} \text{zwischen } 25 \text{ und } 100^\circ & = & 0,2088 \\ 25 & - & 150 \quad 0,2152 \\ 25 & - & 200 \quad 0,2197 \end{array}$$

woraus sich die wahre (a) und die relative (b) sp. W. berechnet:

$$\begin{array}{lll} & a & b \\ \text{für } 0^\circ & = 0,1952 & 0,2985 \\ 100 & 0,2169 & 0,3316 \\ 200 & 0,2387 & 0,3650 \end{array}$$

Pogg. Ann. 157, 24.

Das Verhältniss der sp. W. bei constantem Druck und der bei constantem Volum  $\frac{c}{c'}$  ist nach Jamin und Richard = 1,29, nach Amagat = 1,299, nach Röntgen = 1,3052. C. r. 71, 336. 77. 1325.

Abhängigkeit der sp. W. von der T. und Wärmeleitung. Wüllner: Wied. Ann. 4, 321.

Reibung und Wärmeleitung. Kundt u. Warburg: Pogg. Ann. 155, 337. 525.

Flüssige und feste Kohlensäure. — Im J. 1834 gelang es Thilorier, flüssige K. durch Compression in grösserer Menge darzustellen, nachdem schon H. Davy und Faraday dieselbe erhalten hatten.

Später wandte Natterer eine mehr Sicherheit gewährende Compressionspumpe an.

Nach Thilorier steigt die Spannkraft des Dampfes der flüssigen K. von 0 bis 30° von 36 auf 73 Atm., also für 1° um etwa 1 Atm. Bei — 20° ist sie = 26 Atm.

Faraday und Regnault bestimmten sie. Der letztere fand:

bei — 25°	13007,02 mm	= 17,1 Atm.
20	15142,44	19,9
15	17582,48	23,1
10	20340,20	26,8
— 5	23441,34	30,9
0	26906,6	35,4
+ 5	30753,8	40,5
10	34998,65	46,0
15	39646,86	52,2
20	44716,58	58,8
25	50207,32	66,0
30	56119,05	73,8
35	62447,3	82,2
40	69184,45	91,0
45	76344,6	100,4

Thilorier hatte gefunden, dass die Ausdehnung der flüssigen K. grösser ist als die der gasförmigen, viermal grösser als die der Luft, und dass ihr Vol. bei 30° etwa das anderthalbfache von dem bei 0° ist. Ihr V. G. bei 0° gab er = 0,83 an.

Andreeff bestimmte dasselbe = 0,947 und ihre Ausdehnung

bei — 10°	= 0,9517
0	1
+ 10	1,0585
20	1,1457.

Feste K. stellte zuerst Thilorier dar, der die T. auf etwa — 100° schätzte. Faraday erhielt sie nicht blos schneeähnlich, sondern auch (durch vorgängiges Schmelzen) farblos und durchsichtig.

Den Siedepunkt der flüssigen bestimmte Regnault zu — 77°,75; — 78°,16; — 78°,26; der festen Berthelot zu — 78°,2. — Thilorier: Instit. N. 126. 127. Pogg. Ann. 36, 141. 41, 144. — Natterer: Pogg. Ann. 62, 132. 94, 436. — Faraday: Eb. Ergbd. 2, 208. 224. — Regnault: C. r. 28, 325. Relat. des expér. (Pogg. Ann. 77, 106). — Andreeff: Ann. Ch. Ph. 410, 4.

Während nach Andrews bei der Compression der K. bei 30°,9 unter einem Druck von 74 Atm. der Uebergang in den flüssigen Zustand noch



deutlich ist, tritt bei höherer T. unter keinem Druck eine Verflüssigung ein. Die T. von  $30^{\circ},9$  nennt er den kritischen Punkt, und glaubt, mit Rücksicht auf ältere Versuche von Cagniard de la Tour, dass dies eine allgemeine Eigenschaft coercibler Gase sei. Die Ansichten von Andrews sind von Mendelejeff einer Kritik unterworfen worden. — Andrews: Pogg. Ann. Ergbd. 5, 64. — Mendelejeff: Eb. 144, 648.

Optisches. — Dulong bestimmte das Brechungsvermögen der K. = 1,526 (Luft = 1), woraus  $n = 1,00049$  und  $n^2 - 1$  oder die absolute Brechkraft = 0,000899 folgten.

Nach Croullebois ist der Brechungsexp. für die Fraunhofer'schen Linien C, E, G, der mittlere = N und die Dispersion = A

$$\begin{aligned} N &= 1,000440 \\ C &= 395 \\ E &= 456 \\ G &= 496 \\ A &= 0,2214. \end{aligned}$$

C. r. 67, 692. Ann. Ch. Phys. (4) 20, 436. Vgl. Mascart: C. r. 78, 647. 679. (Pogg. Ann. 153, 449.) — Bleekrode: Wied. Ann. 8, 400.

Das Spectrum. Wüllner: Pogg. Ann. 144, 481.

Elektrisches. — Ueber das Verhalten der K. in Geissler'schen Röhren Plücker: Pogg. Ann. 105, 67.

Unter dem Einfluss des Funkenstroms zerfällt K. in Kohlenoxyd und Sauerstoff. Buff u. Hofmann: Ann. Ch. Ph. 113, 129. — Deville: C. r. 60, 347. — Vgl. Berthelot: C. r. 68, 1035. 1107.

Die Zersetzung durch den (funkenlosen) Inductionsstrom, wobei der Sauerstoff ozonisirt wird, A. Thénard: C. r. 74, 1280. 75, 448.

Ueber den Durchgang der El. durch K. Villari: Rendic. d. R. Ist. Lombard. (2) 3. — G. Wiedemann u. Rühlmann: Pogg. Ann. 145, 368.

Die Dielektricitätsconstante. Boltzmann: Wien. Ak. B. 69, 795. Pogg. Ann. 155, 403.

Ueber die Diffusion der K. in der Glühhitze Deville: C. r. 56, 495. 322.

Bildungswärme s. Kohlenstoff.

Absorption. — Nach Pauli (Bunsen) ist der Absorptionscoeff.

	für Wasser	für Alkohol
bei $0^{\circ}$	4,7967	4,3295
5	4,4497	3,8908
10	4,1847	3,5140
15	4,0020	3,4993
20	0,9014	2,9465

Ann. Ch. Phys. 93, 4.

Frühere Angaben von Rogers Am. J. Sc. (2) 6, 96.

Bei Prüfung des Henry-Dalton'schen Gesetzes (die absorbierte Gasmenge ist bei derselben T. proportional dem Druck) fanden **Khanikoff** und **Longuinine**, dass von 1 Vol. Wasser unter dem Druck  $p$  folgende Vol. K.\*) absorbiert werden:

$P$	Vol.	$P$	Vol.
697,74	0,9444	2002,06	2,9076
809,03	1,1619	2188,65	3,1764
1289,44	1,8647	2369,02	3,4857
1469,95	2,1623	2554,0	3,7152
		2738,33	4,0034
		3409,51	4,5006

Durch Vergleich dieser Zahlen sieht man, dass das Gesetz sich nicht erfüllt, sondern dass die Differenzen mit wachsendem Druck auch zunehmen. — Ann. Ch. Phys. [4] 11, 412.

Die Volumvermehrung des Wassers durch die Absorption **Mackenzie**: Wied. Ann. 3. 134.

Absorption durch Blut. Meyer: Jahresber. 1857, 548.

Durch Salzlösungen [phosphors. Natron etc.] **Fernet**: Ann. Ch. Phys. [3] 47, 360. — **Heidenhain** u. **Meyer**: Ann. Ch. Ph. 2 Suppl. 457. — **Buchanan**: Proc. R. Soc. 22. 192. 483.

Durch Kohle: **Angus Smith**: Ch. News 18, 424. — **Hunter**: J. Ch. Soc. [2] 9. 76. — **Favre**: Ann. Ch. Phys. [5] 1, 209.

Thermochemisches. — Lösungs- und Neutralisationswärme **Thomsen**: Pogg. Ann. 140. 516. Ber. d. ch. G. 1873, 710.

### Kohlenoxyd. CO.

Ausdehnung und Zusammendrückbarkeit. Nach **Regnault** ist der Ausdehnungscoefficient = 0,0036667.

**Natterer** fand das Verhältniss von Druck und Volum:

Druck	Volum	Druck	Volum
bei 50 Atm.	50	bei 1500 Atm.	617
100 -	100	2000 -	669
500 -	412	2500 -	708
1000 -	344	2790 -	727

Pogg. Ann. 94, 446.

Unter Drucken bis zu 2 Atm. bestimmte **Regnault** die Abweichung vom Mariotte'schen Gesetz = 1,00293. — Relat. des exper.

\* Auf 0° und 760 mm reducirt

Ueber die Permanenz Faraday: Pogg. Ann. Ergbd. 2, 217. — Aimé: Eb. 246.

Volumgewicht. — Gefunden = 44,0 Cruikshanks. Thomson. 44,04 Marchand (Ber. = 44).

Diffusion. Reibungscoeff. Graham: Phil. Trans. 1849 II. 349. — Meyer: Pogg. Ann. 443, 44. — Loschmidt: Wien. Ak. Ber. 64 u. 62. — Maxwell: Phil. Mag. (4) 46, 453.

Beziehung der Schallgeschwindigkeit und des Mol. G. Bender: Ber. d. ch. G. 1873, 665.

Spec. Wärme. — Verglichen mit Luft fanden sie

	bei gl. Volum	bei gl. Gewicht
De la Roche und Bérard	1,0340	1,0805
Apjohn. . . . .	1,0808	1,1167
Suerman . . . . .	0,9923	1,0253.

Regnault fand sie (gegen Wasser)

0,2399      0,2479

später 0,2370      0,2450 (V. G. = 0,9673

gesetzt). — E. Wiedemann bestimmte sie

zw. 25 und 100° = 0,2425

- 25 - 200      0,2426,

woraus die wahre sp. W. der Volumeinheit (Luft = 0,2389) = 0,2346 folgt. — Pogg. Ann. 157, 1.

Wärmeleitung. Winkelmann: Pogg. Ann. 156, 497. — Boltzmann: Eb. 157, 457.

Abhängigkeit der sp. W. von der T. und Wärmeleitung Wüllner: Wied. Ann. 4, 321.

Elektromagn. Drehung der Polarisationssebene Kundt und Röntgen: Wied. Ann. 8, 278.

Thermisches. — Bildungswärme: 1 Gew.-Thl. Kohlenstoff (Holzkohle) entwickelt nach Favre und Silbermann beim Verbrennen zu Kohlenoxyd 2473 W.-E., und 1 Gew.-Thl. Kohlenoxyd entwickelt beim Verbrennen zu Kohlensäure 2403 W.-E., d. h. CO = 28 Gew.-Thl. entwickeln bei der Bildung von CO<sup>2</sup> = 44 Gew.-Thl. 67284 W.-E. oder 2½ Gew.-Thl. = 1 Gew.-Thl. Kohlenstoff entwickeln  $\frac{67284}{12} = 5607$  W.-E.

Nun entwickelt 1 Gew.-Thl. Kohlenstoff bei der Verbrennung zu Kohlensäure 7800 W.-E.; es werden also beim Verbrennen von 1 Gew.-Thl. Kohlenstoff zu Kohlenoxyd 7800 — 5607 = 2193 W.-E. frei.

Die Verbrennungstemperatur des Kohlenoxyds berechnet sich,

wenn seine abs. Heizkraft = 2473 W.-E. und 7 Thl. = 11 Thl. Kohlensäure, während die sp. W. derselben = 0.245 und die des Stickstoffs = 0.2754 ist.

in Sauerstoff = 6167°

- Luft = 2632°.

Ist die Verbrennungs-T. des K. in Luft = 2383°, so würde also Kohlenoxyd beim Verbrennen in Luft eine höhere T. liefern als der Kohlenstoff selbst.

Die Verbrennungstemperatur des Kohlenstoffs in Luft, wenn er sich in Kohlenoxyd verwandelt, wird zu

$$\frac{2473}{2\frac{1}{2} \cdot 0.245 + \frac{10}{9} \cdot 0.2754} = 1377^{\circ}$$

berechnet. Da nun bei der Verbrennung zu Kohlensäure 2193° erzeugt werden, so muss in Feuerungen durch die Verwandlung derselben in Kohlenoxyd die T. um 2193 — 1377 = 816° sinken.

Ueber die T. der Flamme des Kohlenoxyds Bunsen: Pogg. Ann. 171, 161. — Valerius: Extr. des Bull. de l'Acad. Belgique 1874 Decbre.

Devilie wies das Zerfallen des K. in Kohlenstoff und Sauerstoff in der Hitze nach. — C. r. 59, 873.

Nach Buff und Hofmann erfährt trockenes K. durch den Funkenstrom keine Aenderung: bei Gegenwart von Wasser bildet sich Kohlensäure, indem Wasserstoff frei wird. — Ann. Ch. Ph. 113, 129.

Nach Deville erfolgt eine vollständige Zersetzung, falls man die entstehende Kohlensäure fortdauernd entfernt. Derselbe fand, dass K. auch bei Gegenwart von Kohle in starker Hitze zerfällt. — C. r. 60, 317.

Optisches. — Nach Dulong ist der Brechungscoeff. gegen Luft = 1.157, woraus  $n = 1.00034$  und die absolute Brechkraft  $n^2 - 1 = 0.000681$ .

Croullebois bestimmte sie

für weisses Licht im Mittel = 1.000344

- die Linie C	301
- - - E	350
- - - G	391

und die Dispersion 0.2571. — Ann. Ch. Phys. 4 20, 136.

Ueber die Beziehungen zwischen dem Brechungsvermögen und der Dichte, und über die Dispersion Mascart: C. r. 78, 617 (Pogg. Ann. 153, 149).

Spectrum. Lielegg: Wien. Ak. Ber. 55, 153. 56, 24. J. f. pr. Ch. 103, 507 Dingl. J. 187, 390. — Watts: Phil. Mag. 4 34, 437. — Wallner: Pogg. Ann. 144, 481.

**Dielektricitätsconstante.** Boltzmann: Pogg. Ann. 455, 420.

**Absorption.** — Der Absorptionscoeff. ist nach Pauli (Bunsen) für Wasser

0°	0,032874	15°	0,024324
5	29203	20	23416
10	26357		

Für Alkohol bei allen diesen T. = 0,20443. — Ann. Ch. Phys. 93, 4.

Durch eine saure oder ammoniakalische Auflösung von Kupferchlorür. Von Leblanc beobachtet, wurde die dabei entstehende Verbindung von Berthelot in fester Form erhalten. — Leblanc: C. r. 30, 483 (Pogg. A. 82, 442). — Berthelot: Ann. Ch. Phys. (3) 46, 488.

Absorption durch Kohle Angus Smith: Ch. News 48, 426.

Absorption durch flüssiges Roheisen etc. Troost u. Hautefeuille: C. r. 76, 482. 562.

Kohlenwasserstoffe. — Chlorkohlenstoff. — Cyan. S. Organische Verbindungen.

### Schwefelkohlenstoff. CS<sub>2</sub>.

**Erstarren.** Wartha erhielt den Sch. in festem Zustande mit Hilfe seiner Verdunstungskälte. — Ber. d. ch. Ges. 1870, 80.

**Volumgewicht.** 1,26394 bei 20° Haagen  
1,26354 Wüllner

Derselbe über die Dichte bei verschiedenen T. Pogg. Ann. 133, 49.

1,2665 bei 16°,06 Winkelmann  
1,2931 - 0° Pierre  
1,290 - 0 Frankenheim

S. f. spec. Wärme.

**Siedepunkt.** 46°,2 bei 744 mm Andrews  
47,9 - 755,8 Pierre  
47,7 - 745,5 Haagen.

**Zusammendrückbarkeit.** — Für 1 Atm. 0,0000635. — Amaury u. Descamps: C. r. 68, 4564.

Für 607 Atm. 0,0000980 bei 8°. Cailletet: C. r. 75, 77.

**Ausdehnung.** — Nach Pierre ist das Vol.  $V$  für eine T.  $t$  gültig für T. von  $-34^{\circ},9$  bis  $+59^{\circ},6$ ,

$$V = 1 + 0,0014398 \cdot t + 0,0000043707 \cdot t^2 + 0,0000000423 \cdot t^3.$$

Ann. Ch. Phys. (3) 45, 325.

Hirn berechnet die Volumänderung aus Versuchen, welche zwischen  $22^{\circ},39$  und  $145^{\circ},66$  angestellt waren:

	Vol.
0°	1
40	1,04946468
80	1,10607886
120	1,17544788
160	1,26572164.

Ann. Ch. Phys. (4) 10, 32. 90.

Schon früher hatte Rankine eine Formel für die A. gegeben. Pogg. Ann. Ergbd. 3, 479.

Latente Dampfwärme. — Unter Annahme der sp. W. = 0,219 findet sie Andrews = 86°,67 für 1 grm. — Pogg. Ann. 75, 504.

Ueber die Verdampfung des Sch. Stefan: Wien. Ak. Ber. 68, 385. — Avenarius: Pogg. Ann. 151, 303.

Spec. Wärme. — Regnault:

Temperaturgrenzen	Mittl. Dichte	Sp. Wärme
5—10°	1,2823	0,2179
10—15	1,275	0,2183
15—20	1,2676	0,2206

Ann. Ch. Phys. (3) 9, 322 (Pogg. Ann. 62, 80).

Schüller:

14—29,5°	0,2468
15—30	0,2442

Pogg. Ann. Ergbd. 5, 121.

Winkelmann:

4,47—5,88°	0,2575
16,08—17,5	0,2595
17,42—18,55	0,2607

Pogg. Ann. 150, 592.

Sp. W. von Mischungen mit Alkohol, Chloroform, Benzol Schüller: a. a. O. 140. 205. 211.

Mit Alkohol und Benzol Winkelmann: a. a. O. 606. 607.

Sp. Wärme des Dampfes für gl. Gewichte	0,1575
- - Volume	0,4146

Regnault: C. r. 36, 676 (Pogg. Ann. 89, 347).

Ueber die sp. W. bei T. von 30 bis 160° Hirn: Ann. Ch. Phys. (4) 10, 63. 91.

Spannkraft des Dampfes.

Regnault:	— 20°	43,48 mm	60°	1163,73 mm
	— 10	81,01	70	1554,84
	0	131,98	80	2033,77
	+ 10	203,00	90	2622,23
	20	304,78	100	3329,54
	30	436,97	120	5145,43
	40	616,99	130	6273,03
	50	856,71	140	7556,88

C. r. 50, 4063 (Pogg. Ann. 111, 407). Früher: C. r. 39, 304. 345. 397.

Ueber das Maximum der Spannkraft Rankine: Phil. Mag. (4) 8, 530.

Gas-V. G. — Die Beziehungen zwischen Druck, Vol. und T. sind von Herwig untersucht worden. Die Gas-V. G. weichen von den berechneten ab. Gleichwie für Alkohol und Chloroform ergibt sich  $\frac{PV}{P_1 V_1} = c \sqrt{a + t}$ , worin  $P$  der Druck,  $V$  das Vol.,  $a + t$  die absolute T. und  $c = 0,0595$  ist. Für vollkommene Gase ist  $\frac{PV}{a + t} = c$ . Es ist denn auch beim Sch.  $P_1 V_1 = c_1 \sqrt{a + t}$ , wo  $c_1$  eine von der Dichte des Dampfes abhängige Constante ist,  $= \frac{PV}{0,0595 (a + t)}$ . Zugleich folgt, dass die Dichte des gesättigten Dampfes der Quadratwurzel aus der absoluten T. proportional ist. — Pogg. Ann. 137, 49. 444, 83. 447, 464.

Dichte und Spannung des gesättigten Dampfes. Wüllner u. Grottrian: Wied. Ann. 44, 545.

Beziehung zwischen Druck, Temperatur und Dichte des Dampfes Winkelmann: Ebend. 9, 374.

Wärmeleitung. Winkelmann: Pogg. A. 153, 484.

Diathermansie. Schultz-Sellack: Pogg. Ann. 139, 482.

Capillarität. Frankenheim: Pogg. Ann. 72, 478. — Simon: Ann. Ch. Phys. (3) 32, 5.

Optisches. Verhalten im Sonnenlicht. — Die dunklere Färbung des Sch. beruht nach O. Löwe auf der Bildung eines sich abscheidenden braunen Sesquisulfids. — Am. J. Sc. (2) 46, 363.

Nach Sidot scheidet sich festes CS ab, welches bei 200° in seine Elemente zerfällt. — C. r. 84, 32.

Nach Haagen sind die Brechungsexponenten bei 20° für die drei Hauptlinien des Wasserstoffspectrums:

$\mu_\alpha = 1,64736$	$\alpha$ die rothe L. = C Frauenhofer
$\mu_\beta = 1,65234$	$\beta$ - grüne = F -
$\mu_\gamma = 1,67482$	$\gamma$ - violette zw. G u. H -

spec. Brechungsvermögen

$A = 1,57199$	0,4876
$B = 1,93589$	0,4517. Pogg. Ann. 131, 421.

Die Beziehungen zwischen dem Brechungsvermögen und der Dichte untersuchten Barlow: Phil. Mag. and Ann. 4, 59. — Dale und Gladstone: Phil. Transact. 1858. — Baille: C. r. 64, 4029 (Pogg. Ann. 132, 319), besonders aber Wüllner, welcher fand

$$n_\alpha = 1,64846 \quad n_\beta = 1,65267 \quad n_\gamma = 1,67515.$$

Das Resultat ist, dass auch für Sch. die Aenderungen der Brechungsexponenten und der Dichte nicht genau proportional sind. — Pogg. Ann. 433, 4. Vgl. Lorenz (s. u.)

Brechungsverhältnisse des Dampfes. Nach Dulong ist der Brechungsexp. = 5,440 (nach Mascart 5,05 bei 42°) (V. G. = 38,2 angenommen), woraus  $n = 1,0045$  und  $n^2 - 1 = 0,00304$ . Vgl. Lorenz: Wied. Ann. 44, 99.

Croullebois fand

mittlerer Brechungsexp. f. weisses Licht = 4,004554

Brech. f. Linie C . . . . . = 4502

E . . . . . = 4598

G . . . . . = 4626

und die Dispersion . . . . . = 0,07777.

Ann. Ch. Phys. (4) 20, 436.

Ueber die Drehung der Polarisationssebene unter dem Einfluss eines Elektromagnets De la Rive: Arch. ph. nat. 38, 209. — Kundt und Röntgen: Wied. Ann. 6, 332. — Dieselbe bezüglich der Polarisationssebene der strahlenden Wärme Grunmach: Dissertation. Halle 1884.

Ueber das Spectrum der Flamme von CS<sup>2</sup> und NO H. Vogel: Ber. d. ch. Ges. 1875, 96.

Elektrisches. — Ueber das Nichtleitungsvermögen Lapschin: N. Bull. Petersb. Ac. 4, 84.

Ueber das Leitungsvermögen Said Effendi C. r. 68, 4565.

Die Zersetzung des Dampfes durch elektrisch glühende Metalle Buff und Hofmann: Ann. Ch. Ph. 443, 429.

### Silicium. Si.

Amorph und krystallisirt.

Krystallform: Regulär. Oktaeder, sämtliche Winkel = 109° 28'. Des Cloizeaux. Meist tafelförmig nach einer Fläche, so auch das sogenannte graphitartige S. Miller. Granatoeder nach einer rhomboedrischen Axe verlängert. Sénarmont. Zwillinge nach einer Oktaederfläche. — Sénarmont: C. r. 42, 345. — Miller: Phil. Mag. (4) 34, 397.

Brechungsexponent = 3,736 Miller. Spec. Brechungsvermögen = 0,2824 (berechnet aus SiCl<sup>4</sup>); Refraktionsäq. = 7,90 Haagen; 6,27 (ber. aus SiO<sup>2</sup>) Schrauf.

Ausdehnung. Coeff. der linearen A. = 0,00000763. Vergrößerung der Längeneinheit von 0 — 100° = 0,00078. Fizeau.

Volumgewicht des krystallisirten S. 2,49 Wöhler; 2,34 Rammsberg; 2,197 Winkler; des graphitartigen 2,004 W.



Beim Uebergang des amorphen in das krystallisirte entwickelt  
 grm 290 W.-E. — Troost und Hautefeuille: C. r. 70, 252.

Spec. Wärme. Früher hatten gefunden:

Regnault	0,4664	Geschmolzen
	0,4733	Krystallisirt
Kopp	0,438	Geschmolzen
	0,465	Krystallisirt
	0,214	Amorph.

H. Weber fand, dass die sp. W. des S., gleich der des Bors und Kohlenstoffs, eine Function der T. ist, dass sie von  $-40^{\circ}$  bis  $232^{\circ}$  von 136 bis zu 0,2029 zunimmt, und er berechnet ihren wahrscheinlichen Werth bei  $300^{\circ}$  zu 0,2055. Hieraus würde für die Atomwärme 5,75 folgen, eine Zahl, welche der des Zirkoniums und Aluminiums nahe kommt. — Pogg. Ann. 454, 567.

Amorphes S. ist ein Nichtleiter (Berzelius), krystallisirtes ein ziemlich guter Leiter der Elektrizität (Becquerel: C. r. 56, 240). — Pulveriges ist stark magnetisch. — Pogg. Ann. 73. 619.

#### Siliciumtetrachlorid. $\text{SiCl}_4$ .

Ausdehnung. — Pierre: Ann. Ch. Phys. (3) 45, 325. — Mendelejeff: Ann. Ch. Phys. 449, 4.

Volumgewicht.

$0^{\circ}$	1,5237	Pierre	$5-10^{\circ}$	1,5083	} Regnault.
45	1,4928	Mendelejeff	40—15	1,4983	
20	1,4878	Haagen	45—20	1,4884	

Gas-V. G. 85,8 Dumas. Berechnet 85.

Siedepunkt.	56°,8	bei 760 mm	Regnault
	59	- 760 -	Pierre
	58	- 756 -	Haagen.

den absoluten S. setzt Mendelejeff auf  $230^{\circ}$ .

Spec. Wärme des flüssigen = 0,4907. Des Dampfes für gleiche Gew. = 0,4322, für gl. Vol. 0,7778. Regnault.

Dampfspannung.

$-20^{\circ}$	26,49 mm	$+30^{\circ}$	294,49 mm
10	46,46	40	429,08
0	78,02	50	607,46
$+10$	125,90	60	837,23 Regnault.
20	195,86		

Ausdehnung des Dampfes. Troost und Hautefeuille: C. r. 83, 333.

**Brechungsexponenten**

$$\mu_{\alpha} = 1,4119 \qquad A = 1,4020$$

$$\mu_{\beta} = 1,4200 \qquad B = 0,4224$$

$$\mu_{\gamma} = 1,4244$$

**Spec. Brechungsvermögen:**

$$\frac{\mu_{\alpha} - 1}{d} = 0,2768 \qquad \frac{A - 1}{d} = 0,2702.$$

Refractionsäquivalent 47,06 45,93.

Haagen: Pogg. A. 131, 122.

Spectrum. Troost u. Hautefeuille: C. r. 73, 620. — Salet: Eb. 73, 4056.

Bildungswärme. Wärme bei der Zersetzung durch Wasser. Troost und Hautefeuille: C. r. 70, 252. — Thomsen: Pogg. Ann. 139, 205. Ber. d. ch. Ges. 1873, 740.

**Siliciumtetrabromid.  $\text{SiBr}_4$ .**

Volumgewicht = 2,8428 bei 0°.

Siedepunkt 153°,4 bei 762,5 mm. Pierre.

**Fluorsilicium.  $\text{SiF}_4$ .**

Gas-Volumgewicht 54,6 J. Davy; 52 Dumas. Berechnet 52.

Wird durch elektrisches Glühen kaum zersetzt. Buß und Hofmann.

Kieselfluorwasserstoff. — Neutralisationswärme. Thomsen: Pogg. Ann. 139, 93.

**Kieselsäure.  $\text{SiO}_2$ .**

Amorph und krystallisirt.

Krystallform. Dimorph (trimorph?).

I. Quarz. Sechsgliedrig-tetartoedrisch. (Trapezoedrische Tetartoedrie.)  $a : c = 1 : 1,4$ . Endkantenwinkel des scheinbaren Dihexaeders = 133° 44', des aus den abwechselnden Flächen bestehenden (scheinbaren) Haupt- und Gegenrhomboeders = 94° 15'. Das herrschende Gesetz der Tetartoedrie spricht sich insbesondere in der Art des Vorkommens von Sechskantnern als trigonale Trapezoeder (Trapezflächen) aus, deren Enantio-morphie bewirkt, dass jeder (einfache) Krystall ein rechter oder linker ist. (Ausführlicheres gehört in die Mineralogie.)

II. Tridymit. Nach v. Rath sechsgliedrig.  $a : c = 1 : 1,63$ . 2A des Hauptdihexaeders = 127° 35'. Nach Lasaulx und Schuster eingliedrig. Der mit ihm wahrscheinlich identische Asmanit ist nach Maske-lyne zweigliedrig.  $a : b : c = 0,573 : 1 : 1,9$ .

**Elasticität des Quarzes.** — Savart bewies, dass sie in allen Richtungen senkrecht zur Hauptaxe fast gleich ist, dass von allen ihr parallelen Ebenen drei unter sich gleiche Winkel bildende gleiche E. zeigen, sowie, dass die E. nach den Flächen des ersten Prismas unter sich gleich, jedoch verschieden ist von der nach den Flächen des zweiten. Nach ihm ist die Axe der grössten E. die kleine Diagonale der Rhomboederfläche, die der mittleren die grosse, und die der kleinsten die Endkante. Ann. Ch. Phys. 40 (Pogg. Ann. 16, 227).

**Optisches Verhalten des Quarzes.** — Positiv, Brechungs-  
exp.  $o = 1,5484$ ;  $e = 1,5582$  Malus;  $o = 1,5438$ ,  $e = 1,553$  bei  $25^\circ$   
Kohlrausch. Circularpolarisation (ausführlicher in der Mineralogie \*).

**Ausdehnung des Quarzes.** — Kubische A. für  $1^\circ = 0,00004$  Kopp.

Nach der Hauptaxe 0,0008073 Pfaff. 0,000784 Fizeau.

Senkrecht darauf 0,0015447 0,001449

Beide verhalten sich also fast  $= 1 : 2$ .

Zugleich bestätigte Fizeau die theoretische Voraussetzung, dass die A. bei allen einaxigen Krystallen in einer jeden zur Hauptaxe unter  $54^\circ 44'$  geneigten Richtung gerade  $\frac{1}{3}$  der kubischen, d. h. die mittlere lineare A. sei. Diese ist für den Q. 0,00004206, jene  $= 0,00003648$ . Pfaff: Pogg. Ann. 104, 183. — Fizeau: C. r. 62 u. 66 (Pogg. Ann. 128, 586. 135, 380).

**Volumgewicht.**

Quarz	Tridymit.	Amorphe K.
2,654 Beudant,	2,3 G. v. Rath.	2,28
2,653 Gr. Schaffgotsch,	Asmanit.	
2,650 Forster.	2,245 Maskelyne.	

**Thermisches Verhalten des Quarzes.** — Wärmeleitung. — Sénarmont bewies, dass bei den einaxigen Krystallen die Isothermen Rotationsellipsoide sind, deren Axe die Hauptaxe ist. Der Qu. gehört zu den Substanzen, die ein verlängertes Ellipsoid haben. Das Verhältniss seiner thermischen Axen ist  $= 1 : 1,312$ . Sénarmont: Ann. Ch. Phys. (3) 21, 457. 22, 179 (Pogg. Ann. 74, 197. 75, 58). — Röntgen: Pogg. Ann. 151, 603. 152, 367. — Jeannettaz: C. r. 75, 1501.

**Spec. Wärme.** — 0,489 Regnault; 0,494 Neumann.

**Thermoelektricität.** — Drei elektrische Axen, welche etwa den Nebenaxen  $\alpha$  entsprechen, so dass auf den Prismenflächen die drei positiven Pole mit den drei negativen abwechseln. Hankel schliesst aus seinen Beobachtungen, der Q. sei nicht tetartoedrisch, sondern trapezoe-

\* Vgl. Landolt. Das optische Drehungsvermögen organischer Substanzen. Braunschweig 1879.

drisch-hemiedrisch mit Hemimorphie in der Richtung der Nebenaxen. Pogg. Ann. 50, 605. 434, 624.

Diamagnetismus. — Dove: Berl. Ak. Monatsber. 1874, 448.

Umwandlung. — Quarz wird durch starkes Glühen Tridymit, durch Schmelzen amorph. Amorphe K. wird durch Glühen für sich, oder durch Schmelzen mit Phosphorsalz oder mit einem Silicat zu Tridymit. G. Rose: Ber. d. ch. G. 1869, 388. — Rammelsberg: Eb. 1872, 1006.

### T i t a n. Ti.

Magnetisch. Faraday: Phil. Tr. 1846 (Pogg. Ann. 70, 32).

### Titantetrachlorid. $\text{TiCl}_4$ .

Ausdehnung.

$$V = 1 + 0,000942569 \cdot t + 0,0000043458 \cdot t^2 \\ + 0,00000000888 \cdot t^3. \quad (-22^\circ,4 \text{ bis } 134^\circ,2). \quad \text{Pierre.}$$

Volumgewicht.

Des flüssigen	4,7609	bei $0^\circ$	Pierre.
	4,7487	5—10	Regnault.
	4,7403	10—15	-
	4,7322	15—20	-
Des gasförmigen	98,8	Dumas.	Berechnet 95 (Ti = 48).

Spec. Wärme.

Des flüssigen	0,4810	bei 5—10°	Regnault.
	0,4802	10—15	
	0,4828	15—20	
Des gasförmigen	für gleiche Gew. = 0,4290		
	-	-	Vol. = 0,8564 Regnault.

Wärme bei der Zersetzung durch Wasser Thomsen: Ber. d. ch. G. 1873, 740.

### Titansäure.

Krystallform. Trimorph.

I. Rutil. Viergliedrig.  $a : c = 1 : 0,644$ .  $2A$  von  $o = 123^\circ 7',5$ . Spaltbar nach  $p$ .

II. Brookit. Zweigliedrig.  $a : b : c = 0,8448 : 1 : 0,9444$ . An  $o$   $2A = 115^\circ 43'$  und  $p : p = 99^\circ 50'$ . (Nach Schrauf zwei- und eingliedrig, der Winkel der Axen  $a$  und  $c = 89^\circ 53',5$  bis  $89^\circ 24'$ .)

III. Anatas. Viergliedrig.  $a : c = 1 : 1,778$ .  $2A$  von  $o = 97^\circ 54'$ . Spaltbar nach  $c$ .

V. G.	Rutil	Brookit	Anatas
4,24	Scheerer,	4,128—4,167 H. Rose,	3,86
4,255	} H. Rose,	4,139 Kokscharow,	4,06
4,239*)			
		4,216 Romanowsky,	3,86 Vauquelin,
		4,16 (und kryst.) id.	3,82 Mohs,
		Arkansit	Kobell,
		3,923 Rg.	3,75 Breith.
		4,05—4,08 Whitney,	3,912 H. Rose,
		4,03—4,08 Des Cloiz.	3,927 -

Amorphe Titansäure. — Durch Ammoniak gefällt.

Schwach geglüht = 3,89—3,965 H. Rose.

Läng. Zeit stark = 4,20—4,25 -

Geglühter Brookit = 4,173 -

- Anatas = 4,25 -

Künstliche Rutilkrystalle bilden sich durch Schmelzen eines Titanats mit Kieselsäure. Deville und Caron: C. r. 46, 764.

Ferner durch Glühen der amorphen S. in Chlorwasserstoffgas. Die Krystalle sind blau (vielleicht Anatas); bei Zutritt reducirender Gase sollen blaue Krystalle =  $Ti^3O_5$  entstehen. Deville: C. r. 52, 1264. 53, 161.

Nach Haute feuille durch Erhitzen von titansaurem Kali und Chlorkalium zum Weissglühen in Chlorwasserstoff. Gelbliche Krystalle V. G. 4.3. Auch bei Anwendung von Fluorverbindungen.

Nach Demselben erhält man überhaupt krystallisirte T. entweder aus dem Chlorid oder Fluorid durch Wasserdämpfe oder durch Erhitzen der amorphen T. in Chlor- oder Fluorwasserstoff. Er behauptet, dass die amorphe T. durch HCl nur in Weissglühhitze krystallisire, und zwar stets als Rutil, dass aber bei Gegenwart von HFl sich in schwächster Hitze Anatas. in stärkerer Brookit, in stärkster Rutil bilde. C. r. 57, 148. 59, 188.

G. Rose erhielt quadratische Tafeln (Anatas) durch Behandlung einer T. enthaltenden Phosphorsalzperle vor dem Löthrohr. Durch anhaltendes Erhitzen der gesättigten Perle scheinen sich mikroskopische Rutilkrystalle auszuscheiden. Das in einem Tiegel entstehende blaue Glas liefert beim Erhitzen v. d. L. durchsichtige reguläre Oktaeder ( $Ti^3O_4?$ ). Aus blauem Boraxglas scheiden sich beim Abkühlen Rutilkrystalle aus. Berl. Ak. Monatsber. 1867, 129. 450.

\* Geglüht 4,228.

Jene quadratischen Tafeln sind jedoch nach Knop aus optischen Gründen zweigliedrig: Wunder fand Winkel von  $91^{\circ} 44'$  und erklärt sie für Rhomboeder. Knop hatte sie  $= 3\text{TiO}_2 + \text{P}_2\text{O}_5$  gefunden, Wunder erklärt sie für  $\text{Na}_2\text{O} + 4\text{TiO}_2 + 3\text{P}_2\text{O}_5$ .

Knop: Ann. Ch. Ph. 157, 363. — Wunder: J. f. p. Ch. (2) 4, 339.

Ausdehnung. — Nach Kopp ist die kub. A. des Rutil für

$1^{\circ} = 0,000032$ , nach Fizeau  $= 0,00002374$ ,

die lineare nach der Hauptaxe  $= 0,00000949$ ,

senkr. zur -  $= 0,00000744$ .

C. r. 62, 1101. 1133.

Spec. Wärme der amorphen T.  $= 0,4779$  und  $0,4785$ , des Rutil  $= 0,1737$ . Schüller und Wartha: Ber. d. ch. G. 1875, 1016.

Optisches. — Rutil. Einaxig, positiv. Brechungsexp.

$o = 2,516$   $e = 2,650$  Pfaff.

Anatas. Einaxig, negativ.

Linie B Fraunh. 2,51118 2,47596

H - 2,64967 2,58062 Schrauf.

2,554 2,493 Miller.

Nach Schrauf sind die mittleren Werthe für Rutil und Anatas gleich. Nach Des Cloizeaux bringt Erhitzen keine Aenderung hervor.

Brookit. Optisch zweiaxig, positiv. Ebene der Axen = Axenebene  $ab$  (wenn  $p:p = 99^{\circ} 50'$ , Mittell.  $= a$ : kleiner Axenwinkel. Des Cloizeaux. — Ebene der rothen Axen  $= ab$ , der grünen senkrecht zu ihr  $= ac$ . Winkel der rothen Strahlen  $= 65^{\circ}$ , der grünen  $= 40^{\circ}$ . Grailich. — Die Krystalle von Oisans und Snowdon haben die Axenebene  $ab$ , die rothen Axen bilden einen grösseren Winkel als die grünen. An den Kryst. von der Tête noire ist das Verhalten, wie es Grailich fand. Durch Erhitzen entsteht eine vorübergehende oder dauernde Veränderung in der Orientirung und Entfernung der Axen. Des Cloizeaux: Pogg. Ann. 119, 494.

Neutralisationswärme. — Thomsen: Pogg. Ann. 139, 244.

### Zirkonium. Zr.

Modificationen. — Nach Troost tritt es gleich dem Bor in drei Zuständen auf. 1. Krystallisirt, in Blättchen, leicht nach zwei Richtungen unter  $93^{\circ}$  spaltbar, die gegen die herrschende Fläche unter  $403^{\circ}$  geneigt sind, sehr hart, stark glänzend, V. G.  $= 4, 15$ , schwerer schmelzbar als Si. 2. Graphitartig, durch Zersetzung von zirkonsaurem Natron

3. Amorph, mittelst Amschmelze und neben einer Legierung mit diesem gebildet, enthielt es 10 p. C. Al und 0,5 Si.

durch Eisen, graue Schuppen. 3) Amorph aus  $\text{ZrCl}^4$  durch Na; die Eigenschaften hat Berzelius beschrieben\*). C. r. 64, 409.

Franz, welcher  $3\text{KFl} + \text{ZrFl}^4$  mit Al reducirte, erhielt Zr in grossen Blättern (= 4 pCt. Al und 0,47 Si). Ber. d. ch. G. 1870, 58.

Dexter fand in einem graphitartigen 40,3 pCt. Al und 5,4 Si. Es scheint demnach diese Legirung =  $\text{Al}^2$  (Zr, Si) zu sein. Auch Meliss beschrieb diese aus Zirkon, Kryolith und Al erhaltene blätterige Masse = 42,2 Al und 6,7 Si, deren V. G. = 3,63 ist.

Spec. Wärme. — 0,0666 Mixter und Dana. Danach ist (Zr=90) die const. Zahl = 5,99. Ann. Ch. Ph. 169, 388.

Das amorphe Z. ist ein Nichtleiter der Elektrizität. Berzelius.

### Chlorzirkonium. $\text{ZrCl}^4$ .

Gas V. G. Bei  $440^\circ = 447,8$  Deville u. Troost. Berechnet = 446.

### Zirkonsäure. $\text{ZrO}^2$ .

Krystallform. — Aus der Isomorphie des Zinnsteins und Rutils mit dem Zirkon schloss G. Rose auf die Isomorphie von  $\text{SnO}^2$ ,  $\text{TiO}^2$ ,  $\text{ZrO}^2$  und  $\text{SiO}^2$ . Pogg. Ann. 107, 602.

A. Nordenskiöld erhielt krystallisirte Z. durch Schmelzen mit Borax: die mikroskopischen Kr. sind farblos, durchsichtig, viergliedrig,  $a : c = 4 : 1,006$ .

o.  $d^2$ . p.

gefunden annähernd)

o 2 A =  $109^\circ 50'$

o : p = 444 57

Optisch einaxig. Öfvers. 1860. Pogg. Ann. 114, 625.

Da beim Zirkon  $a : c = 4 : 0,64$

– Rutil 4 : 0,64

– Zinnstein 4 : 0,67,

so sind die c des  $\text{ZrO}^2$  und dieser  $\text{RO}^2 = 3 : 2$ .

Nach Wunder scheiden sich aus einer Phosphorsalzperle Combinationen von p und c (Hexaide) aus.

V. G. der krystallisirten 5,71. Nordenskiöld.

### Thorium. Th.

V. G. 7,657—7,795. Chydenius.

### Chlorthorium. $\text{ThCl}^4$ .

Rechtwinklig vierseitige Tafeln mit Randzuschärfung von  $129^\circ$  und  $143^\circ$  gegen die Tafel. Bei  $440^\circ$  noch nicht flüchtig. Chydenius.

\* Nach Phipson schwarz (durch Mg reducirt).

**Thorsäure.  $\text{ThO}_2$ .**

Krystallform. — Durch Schmelzen mit Borax erhielt A. Norden-  
söld Krystalle.

Viergliedrig.  $a : c = 1 : 0,4568$ .

	Berechnet	Beobachtet
$o \begin{cases} 2A = 162^\circ 24' \\ 2C = 25 \quad 0 \end{cases}$		
$o : p$		$102^\circ 30'$

Die  $o$  sind an beiden Enden vertieft.

Danach würde  $\text{ThO}_2$  isomorph mit den übrigen  $\text{RO}_2$  sein können, das  
Oktäeder als  $a : a : \frac{1}{2}c \left( \frac{o}{4} \right)$  dieser zu betrachten sein. Pogg. Ann. 110, 642.

Einer späteren brieflichen Mittheilung von N. zufolge wären die Kry-  
stalle jedoch regulär.

V. G. = 9,21.

**Z i n n. Sn.**

Krystallform. — Viergliedrig.  $a : c = 1 : 0,3857$ . Miller.

$o, o^1, d, d^3; a, p$ .

	Berechnet		Berechnet
$o \begin{cases} 2A = 110^\circ 24' \\ 2C = 57 \quad 14 \end{cases}$		$d \begin{cases} 2A = 150^\circ 26' \\ 2C = 42 \quad 12 \end{cases}$	
$o^1 \begin{cases} 2A = 105 \quad 48 \\ 2C = 117 \quad 8 \end{cases}$		$d^3 \begin{cases} 2A = 115 \quad 20 \\ 2C = 98 \quad 18 \end{cases}$	

Diese aus Zinnchlorür durch Reduction oder den elektrischen Strom  
gebildeten Krystalle sind dünne achtseitige Prismen  $p$ .  $a$ . jenes herrschend.

Häufig Zwillinge. Zwillingsfläche entweder ein  $o$ , Fig. 19. An ihnen  
ist  $o : o = 114^\circ 26'$ ;  $p : p = 122^\circ 47'$ . Oder ein  $o^3$ , Fig. 20, wobei  
 $o : o$  an der Zwillingsgrenze =  $174^\circ 21'$ .



Fig. 19.

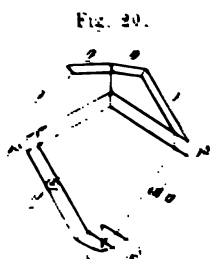


Fig. 20.

An ebenso dargestellten Kr. fand  
Frankenheim quadratische un-  
ter  $90^\circ 45'$  gegeneinander geneigte  
Flächen an den Enden, und schloss  
auf reguläre Formen.

Durch Schmelzen und Abkühlen  
erhält man nur sehr dünne acht-  
seitige Prismen.

Miller hielt diese für ident mit den viergliedrigen. Da aber die  
Prismen gleich dem durch Kalte stänglich gewordenen Zinn s. u. ein  
anderes V. G. haben wie das zuvor geschmolzene Zinn, so muss das Zinn



dimorph sein, auch wenn man noch nicht weiss, ob das geschmolzene regulär oder sechsgliedrig ist. Miller: Phil. Mag. (3) 22, 263 (Pogg. A. 58, 660). — Frankenheim: Pogg. A. 40, 456.

Zinn und Bor sind isomorph. Das Oktaeder  $o^3$  von jenem ist  $= o^2$  von diesem; die Axen  $c$  sind  $= 0,3857 : 0,5762 = 4 : 4,5$ .

Trechmann hat beim Zinnschmelzen zu Gwennap bei Redruth Krystalle beobachtet, welche nach ihm eine Dimorphie des Zinns wahrscheinlich machen.

Zweigliedrig.  $a : b : c = 0,948 : 1 : 2,584$ .

	Berechnet	Beobachtet
$o$ $\left\{ \begin{array}{l} 2A = 98^\circ 46' \\ 2B = 89 \quad 6 \\ 2C = 150 \quad 38 \end{array} \right.$		
$p : p =$	94 52	$94^\circ 46'$
$q : q =$	42 22	
$q : c =$		$*111 \quad 44$
$b =$	158 49	158 50
$\frac{q}{2} : \frac{q}{2} =$	75 20	
$c =$	127 40	127 27—48'
$o : c =$		$*104 \quad 44$
$q =$	134 33	134 30

Grau, spröde, dünne Blättchen nach  $c$ . V. G. 6,525—6,557. — The Min. Mag. and J. of the Min. Soc. 1879 Decbr.

Obwohl gewisse Winkel ( $q : b$ ,  $q : c$  und  $2C$  von  $o$ ) mit solchen der viergliedrigen Krystalle nahe übereinstimmen, der Zinngehalt auch bis 98,7 pCt. gehen soll, so lässt sich doch aus dem chemischen Verhalten schliessen, dass die Substanz nicht Zinn, sondern eine Legirung (vielleicht mit Wolfram) ist.

Ausdehnung für  $1^\circ$  zwischen 0 und  $100^\circ$

Lineare 0,002717 Calvert und Johnson

0,002296 Matthiessen

0,002269 Fizeau

Kubische 0,000069 Kopp

0,00006889 Matthiessen.

Elasticität und Schallgeschwindigkeit Wertheim: Pogg. Ann. Ergbd. 2, 4. — Masson: Eb. 56, 165.

Molekulare Modificationen und V. G. derselben.

Fritzsche beschrieb die Veränderung, welche Blockzinn in starker Kälte erlitten hatte, indem es zu stänglichen lockeren Aggregaten von geringem Zusammenhang und grauer Farbe zerfallen war. Dieselbe Veränderung wurde nach Petri an Blockzinn in den Artilleriewerkstätten zu Spandau beobachtet. Von ähnlicher Beschaffenheit erwies sich Zinn in Ringen, welches Schertel untersuchte, und das mehrere hundert Jahre in einem geschlossenen Raume des Freiburger Doms gelegen hatte. In dieser Modification hat das Zinn ein viel geringeres V. G. als in den viergliedrigen Krystallen. Durch Schmelzen und Erstarren gehen aber beide in gewöhnliches Zinn von dem höchsten V. G. über. Dieses ist

#### I. Graues Zinn.

A. Aus Russland	5,93 — 6,02 Schertel
	5,847 Rammelsberg
B. Von Freiberg	5,781 — 5,809 Schertel
	5,80 Rammelsberg
C. Von Spandau	5,957 Rammelsberg.

#### II. Viergliedriges Zinn.

7,178 Miller
7,166 Rammelsberg früher
6,969 Rammelsberg neuerlich.

#### III. Zuvor geschmolzenes Zinn.

7,290 Karsten	7,293 Miller
7,291 Brisson	7,2795 Rammelsberg

#### Kupffer.

Nach meinen Versuchen wird das V. G. von I. A durch Erhitzen bis  $400^{\circ} = 6,80$  bis  $6,834$ , nach Schertel aber schon in Aetherdampf  $= 7,23$ .

Bei I. B fand ich in gleichem Fall  $6,91$ , während Schertel schon bei  $59^{\circ} = 7,279$  beobachtete.

Bei I. C fand ich die Erhöhung  $= 7,23$ . — II. wird weder durch Kälte noch durch Erhitzen bis  $200^{\circ}$  im V. G. verändert.

Aber nicht jedes Block- oder Stangen-zinn erfährt solche molekulare Aenderung, und es ist auch nicht die Kälte deren alleinige Ursache.

Vorläufig müssen also drei Modificationen von dem V. G.  $5,8 - 7,0 - 7,3$  angenommen werden. — II. löst sich in Chlorwasserstoffsäure viel schneller auf als III. — Auch  $\frac{1}{4}$  pCt. Blei enthaltendes Zinn (Orgelpfeifen) wird nach O. Erdmann grau, stänglich und brüchig. — Fritzsche: Mem. de l'Acad. de Petersb. VIII. Ser. XV. Ber. d. ch. Ges. 2. 112. 540. —

\* Zuvor einer T von  $-24^{\circ}$  ausgesetzt

Schertel: J. f. pr. Ch. (2) 49, 322. — Rammelsberg: Ber. d. ch. Ges. 3, 724. Monatsber. Berl. Akad. 1880, 225. — O. Erdmann: J. f. pr. Ch. 52, 428. — Lewald: Dingl. J. 196, 369.

Anderweitige Bestimmungen des Volumgewichts von gewöhnlichem Zinn.

Gegossen	7,404	} Wertheim
Ausgezogen	7,343—7,342	
Gerissen	7,293	
Angelassen	7,290	
Langsam erkaltet	7,373	} Deville.
Rasch erkaltet	7,239	

Schmelzpunkt. — 222°,5 A. Erman; 228°,5 Rudberg, Riemsdyk; 235° Person; 226°,5 Nies und Winkelmann.

Latente Schmelzwärme für die Gewichtseinheit 13°,3 Rudberg; 44°,25 Person.

Volumänderung beim Schmelzen. Festes Z. schwimmt auf flüssigem bei dem Schmelzpunkte des Metalls (226°,5). Die Dichte des flüssigen ist um 0,7 pCt. grösser als die des festen. Ist die des letzteren bei 0° =  $S_0$ , bei 100° =  $S_{100}$ , so ist nach Matthiessen  $\frac{S_0}{S_{100}} = 1,0069$ , d. h. die Dichtedifferenz des festen und flüssigen beim Schmelzpunkte ist gleich der von 0° und 100°, und in der That ist das flüssige auch in höherer T. dichter als das feste, denn bei 260° schwimmt dieses auf jenem. — Nies und Winkelmann: Sitzber. Münch. Ak. 1884, 63 (Wied. Ann. 13, 43).

Capillarität des flüssigen. — Quincke: Pogg. A. 135, 642.

Es erfährt beim Schmelzen keinen Verlust durch Verflüchtigung. Riemsdyk.

Wärmeleitung. — Gegen Silber (= 100) 31,2 Despretz; 22,6 Lenz; 42,2 Calvert und Johnson; 44,5 und 45,4 (in verdünnter Luft) Wiedemann und Franz. — Pogg. A. 89, 514. 523.

Spec. Wärme.	0,0514	Dulong und Petit
	0,05623	Person
	0,0559	gegossen. Bunsen
	0,0545	durch Kälte stängl. Bunsen.

Pogg. A. 444, 27.

	Gekörnt	Banca-Z.
Zwischen 5 und 10° . . .	0,06305	0,05477
- 10 - 15 . . .	0,06367	0,05546
- 15 - 20 . . .	0,06424	0,05504
Nach der Mengungs-Methode	0,05077	0,05623 Regnault.
Sp. W. des flüssigen	0,0637 Person.	

Elektricität. — Die Leitungsfähigkeit des Z. für die E. = 47 ist nahe gleich der für die Wärme. Wiedemann: Pogg. A. 408, 403. — Aeltere Versuche von Harris: Eb. 42, 279. — Lenz: Eb. 45, 409.

Zinn gehört mit Zink und Kadmium zu denjenigen Metallen, welche ihre eigenen Salze reduciren.

Thermochemisches der Zinnverbindungen Thomsen: J. f. pr. Ch. (2) 14, 429.

#### Zinnlegirungen.

Wismuth-Zinn. — Nur die Legirung  $\text{Bi}^2\text{Sn}^3$  besitzt einen einzigen Erstarrungspunkt bei  $443^\circ$ : alle übrigen zeigen ausserdem noch einen höheren veränderlichen Punkt, bei welchem eine andere gleichzeitig vorhandene Legirung fest wird. Derselbe ist für  $\text{BiSn}^4$  und  $\text{Bi}^2\text{Sn} = 490^\circ$ ,  $\text{Bi}^3\text{Sn}^2 = 470^\circ$ ;  $\text{BiSn}^2 = 460^\circ$ ,  $\text{BiSn} = 450^\circ$ . — Rudberg: Pogg. A. 48, 240.

Elasticität. Wertheim: Eb. Ergbd. 2, 73.

Volumgewicht. — Die grösste Dichte zeigt  $\text{BiSn}^5$ , eine silberweisse krystallinisch körnige Legirung. — Riche: C. r. 55, 443.

Ausdehnung. Matthiessen: Pogg. A. 430, 64.

Thermoelektrisches Verhalten. Rollmann: Eb. 83, 77.

Antimon-Zinn. Elasticität s. d. vorige. Thermoelektrisches Verhalten: a. a. O. 84, 280.

Zinnchlorür s. Chloride.

#### Zinnchlorid. $\text{SnCl}^4$ .

Ausdehnung. — Auf das Vol. =  $V$  bei  $0^\circ = 1$  bezogen,  
 $V = 1 + 0,0014328 \cdot t + 0,0000009417 \cdot t^2 + 0,000000075798 \cdot t^3$   
 (für  $49^\circ,4$  bis  $442^\circ,6$ ) Pierre.

Volumgewicht.

Bei $0^\circ = 2,2674$ Pierre	bei $5-10^\circ$ 2,2648
15 = 2,234 Gerlach	10—15 2,2492
20 = 2,2328 Haagen	15—20 2,2268 Regnault.

Gas-V. G. 433,4 bei  $424^\circ$ . Dumas. Berechnet 430.

Siedepunkt.	$420^\circ$ bei 767 mm Dumas
	445,4 - 755,4 - Pierre
	442,5 - 752 - Andrews
	442,0 - 754,9 - Haagen.

Latente Dampfwärme für 1 grm 30,5, für 1 Liter beim Siedepunkte  $253,5$ .  
 Andrews: Pogg. A. 75, 510.

Regnault giebt die Verdampfungswärme für gesättigten Dampf von 1 Atm. zu 46,84 an.

Spec. Wärme des flüssigen

bei 5—10° = 0,4424	} im Mittel = 0,4443.
- 10—15     0,4402	
- 15—20     0,4446	

Regnault.

Spec. W. des Dampfes für gleiche Gew. = 0,0939

- - - Vol. = 0,8464 Regnault.

Brechungsvermögen. — Haagen bestimmte die Brechungsexponenten für die drei Wasserstofflinien, von denen  $\alpha$  der Fraunh. L. C,  $\beta$  der F entspricht und  $\gamma$  zwischen G und H liegt,

$$\alpha = 1,5070; \beta = 1,5225; \gamma = 1,5348,$$

und berechnete daraus das Refractionsäquivalent. — Pogg. A. 434, 447.

Spectrum. Salet: Bull. soc. ch. (2) 46, 195.

Diathermansie. Schultz-Sellack: Pogg. A. 439, 482.

Thermisches Verhalten zum Wasser. — Thomsen: Ber. d. ch. G. 1873, 710.

Auflösung. — Gehalt und V. G. — Gerlach: Dingl. J. 178, 49.

#### Zinnbromid. $\text{SnBr}_4$ .

Krystallisirt zweigliedrig. — A. Nordenskiöld: Vet. Akad. Handl. 1874.

#### Zinnoxydul. $\text{SnO}$ .

Krystallisirt in mikroskopischen Würfeln mit Granatoederflächen. Blauschwarz, braun durchsichtig, einfachbrechend, V. G. 6,47 bei 46°. — A. Nordenskiöld: Pogg. A. 414, 620.

Ist dieses durch Kochen des Hydroxyduls mit HKO erhaltene Präparat reines  $\text{SnO}$ ?

#### Zinnsäure. $\text{SnO}_2$ .

Di- oder trimorph.

A. Zinnstein. Viergliedrig,  $a : c = 1 : 0,6724$  Miller. 2A von  $\alpha = 121^\circ 40'$ . Isomorph dem Rutil. Künstlich bei Schmelzprozessen. — Abel: Qu. J. Ch. Soc. 40, 449. — Durch Glühen der amorphen Z. in Chlorwasserstoff. Deville: C. r. 53, 464.

B. Zweigliedrig (nicht gemessen). Isomorph dem Brookit. Aus Zinnchlorid und Wasserdämpfen in der Glühhitze. Daubrée: C. r. 29, 227. 39, 453.

Nach W u n d e r scheiden sich aus schmelzendem Borax künstliche Zinn-

steinkristalle, aus Phosphorsalz aber solche von Anatasform aus. Knop fand in ihnen jedoch Phosphorsäure, und beide Beobachter unterschieden dann zwei Arten von Krystallen, nämlich viergliedrige, nach Knop  $= \text{P}^2\text{O}^5 + 2\text{SnO}^2$ , nach Wunder  $= \text{NaO}^2 + \text{P}^2\text{O}^5 + \text{SnO}^2$ , und würfel-ähnliche Rhomboeder  $= \text{P}^2\text{O}^5 + \text{SnO}^2$  Knop, oder  $\text{Na}^2\text{O} + 3\text{P}^2\text{O}^5 + 4\text{SnO}^2$  Wunder. — Knop: Ann. Ch. Ph. 159, 36. — Wunder: J. f. pr. Ch. (2) 2. 206. 4, 339.

Optisches. — Die Brechungsexponenten des Zinnsteines  $\sigma = 1,912$ ,  $e = 1,856$  Pfaff sind nach Des Cloizeaux unrichtig, da der Zinnstein positiv ist. — Pfaff: Pogg. A. 127, 150. — Des Cloizeaux: Eb. 129, 479.

Ausdehnung des Zinnsteins (für  $1^\circ$ )

Lineare	Pfaff	Fizeau
Nach der Hauptaxe	0,00004860	0,0000392
Senkrecht dazu . . .	0,00004526	0,0000321
Kubische . . . . .	0,000016 Kopp	
	0,00001034 Fizeau.	

Volumgewicht. — Zinnstein  $= 7,0$ . Die zweigliedrige Modification  $= 6,72$  Daubrée.

Wärmeleitung des Zinnsteins. — Ist sie nach der Hauptaxe  $= 1$ , so ist sie senkrecht darauf  $= 0,79$ . Jeannettaz: C. r. 75, 1504.

Neutralisationswärme. Thomsen: Pogg. A. 139, 205.

#### Zinnsulfid. $\text{SnS}^2$ .

Schwarz in der Hitze. Houston: Chem. News 24, 177.

Stellung in der elektrischen Spannungsreihe. Skey: Eb. 23, 291.

#### Tantal. Ta. Niob. Nb.

##### Chloride. $\text{RCl}^5$ .

Tantalchlorid.  $\text{TaCl}^5$ . Schmelzpunkt  $= 221^\circ$  H. Rose.  $241^\circ,3$  Deville. — Siedepunkt  $= 241^\circ,6$  (753 mm Deville. — Gas-V.G.  $= 185$  bei  $360^\circ$ , 188 bei  $440^\circ$  Deville. Berechnet  $= 179,75$ .

Niobchlorid.  $\text{NbCl}^5$ . Schmelzpunkt  $= 194^\circ$  Deville. — Siedepunkt  $= 240^\circ,5$  Deville. — Gas-V. G.  $= 158$  bei  $350^\circ$  Deville. Berechnet  $= 135,75$ . (Es scheint also nicht frei von  $\text{TaCl}^5$  gewesen zu sein.)

Nioboxchlorid.  $\text{NbOCl}^3$ . Gas-V. G.  $= 113,7$  bei  $440^\circ$ , 114 bei  $860^\circ$ . Deville. Berechnet  $= 108,25$ .

#### Tantalsäure. $\text{Ta}^2\text{O}^5$ . Niobsäure. $\text{Nb}^2\text{O}^5$ .

Krystallform.

Tantalsäure. Zweigliedrig.

$a : b : c = 0,8287 : 1 : 0,8293$ . A. Nordenskiöld.

$p, q^4, r, r^3.$		
	Berechnet	Beobachtet
$p : p =$		$\sim 100^\circ 42'$
$q^4 : q^4 =$	$33^\circ 46'$	
$r : r =$		$\sim 90 \quad 21$
$r^3 : r^3 =$	$37 \quad 4$	

Durch Schmelzen von Tantalsäure mit Borax erhaltene sehr kleine Krystalle. Prismen  $p$ , durchsichtig. — (Ob frei von Nb?) — Stimmen in der Form mit dem Tantalit und Niobit überein. — A. Nordenskiöld: Pogg. A. 110, 642.

Niobsäure. Auf gleiche Art erhielt derselbe zweigliedrige Hexaide.

Aus dem V. G. (5,2—5,48) dürfte man auf einen Gehalt an Ta schliessen. — Pogg. A. 114, 627.

Volumgewicht.

Tantalsäure: 7,03—8,257 H. Rose

7,60—7,64 (aus saurem Kalisulfat)

8,04 aus Ammon-Tantalfluorid u. Schwefelsäure } Marignac

7,35 aus Chlorid und Ammoniak, gegläht. Deville.

Durch starkes Glühen wird die T. krystallinisch und ihr V. G. nimmt zu. H. Rose.

Niobsäure 4,37—4,46 aus saurem Kalisulfat } Marignac

4,54—4,53 aus dem Ammon.-Salz }

4,56 (kleinste Zahl) H. Rose.

Die zahlreichen Versuche des Letzteren beziehen sich auf eine Ta-haltige Säure.

### Vanadin. V.

V. absorbirt je nach seiner Vertheilung veränderliche Mengen Wasserstoff; an der Luft tritt Oxydation ein, wodurch das V. matt und dunkelgrau wird. Roscoe.

#### Vanadinoxchlorid. $\text{VOCl}_3$ .

(Vanadyltrichlorid.)

V. G. 4,764 bei  $20^\circ$  Schafarik

4,844 -  $44^\circ,5$  Roscoe.

Siedepunkt  $127^\circ$ .

Gas-V. G. 88,2 Roscoe. Berechnet = 86,8. — Thorpe will 116,5 gefunden haben. — Ch. News. 24, 287.

#### Vanadintetrachlorid. $\text{VCl}_4$ .

V. G. 4,858 bei  $0^\circ$ . — Gas-V. G. 99 Roscoe; berechnet = 96,7. — Siedepunkt  $154^\circ$ .

**Vanadinoxydichlorid.  $\text{VOCl}_2$ .**

(Vanadyldichlorid.)

V. G. 2, 88.

**Vanadinoxybromid.  $\text{VOBr}_2$ .**

(Vanadyltribromid.)

V. G. 2, 9673 bei  $0^\circ$ , 2, 9325 bei  $44^\circ, 5$ .**Vanadinsäure.  $\text{V}_2\text{O}_5$ .**

Krystallform: Zweigliedrig.

 $a : b : c = 0,383 : 1 : 0,959$  A. Nordenskiöld. $p, q, \frac{q}{4}; a, b, c.$ 

	Berechnet	Beobachtet
$p : p = 138^\circ 4'$		
$a = 159 \quad 2$		$159^\circ 2'$
$b =$		$*140 \quad 58$
$q : q =$		$*92 \quad 20$
$b = 133 \quad 50$		$132 \quad 48$
$\frac{q}{4} : \frac{q}{4} = 152 \quad 54$		
$b = 103 \quad 33$		$102 \quad \text{ungef.}$

Durch Schmelzung gebildete sehr kleine Prismen  $p$  mit herrschendem  $a$  und  $b$ . Vollkommen spaltbar nach  $b$ , weniger nach  $a$  und  $c$ . Stark glänzend. — Nordenskiöld: Pogg. A. 112, 160.

V. G. 3, 56 bei  $20^\circ$  Schafarik ( $\text{V}_2\text{O}_3 = 4,72$ ). — Wien. Ak. Ber. 47, 256.

Im festen Zustande ein Nichtleiter, wird die V. geschmolzen durch den elektrischen Strom zersetzt in Sauerstoff und ein blaues Oxyd. — Buff: Ann. Ch. Ph. 110, 257.

**Chrom. Cr.**

Krystallform. Viergliedrig Kenngott. Sechsgliedrig (Rhomboider) Wöhler. Regulär Zettnow. — Kenngott (Bolley): Qu. J. Ch. S. 13, 333.

V. G. 6, 81 bei  $45^\circ$  Wöhler. 6, 522 Rammelsberg.

6, 2 Loughlin.

Magnetismus. Es wirkt nicht auf die Magnethadel Wöhler. Chromoxyd und chromsaure Salze sind magnetisch Faraday.

**Chromchloride.**Chlorid.  $\text{Cr}_2\text{Cl}_6$ . V. G. = 3, 03 bei  $47^\circ$  Schafarik

2, 349 - 20 Clarke.



Chlorchromsäure.  $\text{CrCl}_2\text{O}_2$ . V. G. 4,9

4,74 bei 2° Walter.

Gas-V. G. 85,3 Walter. Ber. = 77,5.

77,5 bei 200° Carstanjen.

Siedepunkt 118°. — Walter: Pogg. A. 43, 154.

Spectrum. Gottschalk und Drechsel: J. f. pr. Ch. 89, 473.

### Chromoxyd. $\text{Cr}_2\text{O}_3$ .

Krystallform: Sechsgliedrig.  $a : c = 1 : 1,3682$  G. Rose.

$r, a, c$ .

$$n = a : \frac{1}{2}a : a : \frac{2}{3}c.$$

	Berechnet	Beobachtet		
		G. Rose	Miller	Blake
$r : 2A =$		*85° 55'	85° 52'	85° 22'
$r : c =$	122° 20'			124 55
$n \begin{cases} 2A = 128 & 0 \\ 2C = 122 & 30 \end{cases}$				
$n : r =$	154 0			
$a =$	154 45			

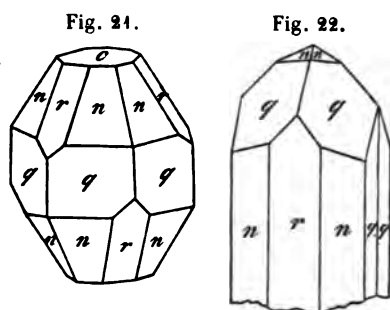
— Fig. 24 (hier und in Fig. 22 ist  $q = a$ ).

Blake beobachtete tafelartige Combinationen von  $r$  und  $c$  mit  $\frac{r'}{2}$  und fand  $\frac{r'}{2} : c = 96° 45'$ .

Die Krystalle sind nach G. Rose immer Zwillinge. Fig. 22. Zwillingsfläche ist ein  $r$ . Sie sind nach der Längendiagonale desselben verlängert, so dass Prismen  $n$  von 158° entstehen, deren stumpfe Kanten durch  $r$  abgestumpft sind. Je zwei Flächen  $a$  bilden eine auf  $n$  schief aufgesetzte vierflächige Zuspitzung. Die übrigen  $a$  stumpfen die scharfen Kanten von  $n$  ab und fallen paarweise in eine Ebene. Auch an den Enden finden sich die  $n$  sowie beide  $c$  unter einspringenden Winkeln.

G. Rose's Krystalle waren von Wöhler durch Zersetzung der Chlorchromsäure in der Hitze entstanden. Miller's und Blake's hatten sich aus chromsaurem Kali durch reducirende Ofengase gebildet.

Ebelmen erhielt Combinationen von  $r$  und  $c$ . — G. Rose: Pogg.



A. 33, 344. — Miller: Phil. Mag. (4) 46, 293. — Blake: Am. J. Sc. (2) 40, 352.

Isomorph mit Korund und Eisenglanz.

Volumgewicht des krystallisirten = 6,2 Schiff, 5,24 G. Rose.

Pyrognomisches Verhalten. — Die Lichterscheinung beim Erhitzen des Hydroxyds ist nach H. Rose nicht von einem Freiwerden von Wärme begleitet. Pogg. A. 52, 596.

Neutralisationswärme. — Thomsen: Pogg. A. 443, 497.

### Chromsäure. $\text{CrO}_3$ .

Krystallform: Zweigliedrig.

$a : b : c = 0,7246 : 1 : 0,6285$  Nordenskiöld.

$o, o^3, p, p^2, a.$

Beobachtet

$p^2 : a = 160^\circ 55'$

$\frac{p}{p} : \frac{o}{o} \quad 122 \quad 9$

Sehr kleine nach  $a$  tafelartige Prismen. Pogg. A. 444, 623.

Volumgewicht.	2,737 kryst.	} Ehlers,
	2,629 geschmolzen	
	2,849 bei $20^\circ$	Schafarik,
	2,785 kryst.	} Zettnow.
	2,80 geschmolzen	

Zettnow: Pogg. A. 443, 473.

V. G. und Gehalt ihrer Lösungen. Derselbe a. a. O.

Geschmolzene Chromsäure scheint durch den elektrischen Strom gleichsam durch die Wärme an sich in Chromoxyd und Sauerstoff zersetzt zu werden, Buff. Calorimetrische Untersuchungen bei der Elektrolyse der Ch. stellte Favre an. C. r. 73, 890. 936.

### Molybdän. Mo.

Volumgewicht. — 8,6 Debray; 8,56 Loughlin. Das erste enthielt etwas Kohlenstoff, das zweite 4,3 pCt. desselben und Kieselsäure.

Spec. Wärme. — Das durch Wasserstoff reducirte (oder theilweise reducirte) dann heftig geglühte M. gab Regnault die Zahl 0,07248, wonach die Atomwärme ( $\text{Mo} = 96$ ) = 6,93 wäre. Doch war das Metall nicht frei von Kohlenstoff.

### Molybdänpentachlorid. $\text{MoCl}_5$ .

Durch Erhitzen von M. in Chlor entstehende grüne Verbindung, welche rothe Dämpfe bildet.

Schmelzpunkt  $194^{\circ}$ ; Siedepunkt  $268^{\circ}$ ; Gas-V. G. 436 und 438 (bei  $350^{\circ}$ ): berechnet = 436,75. Debray: C. r. 66, 732.

**Molybdänsäure.  $\text{MoO}_3$ .**

Krystallform zweigliedrig.

$$a : b : c = 0,825 : 1 : 0,864 \quad \text{Nordenskiöld.}$$

$p, p^2, \frac{2}{3}p, {}^5p, q^3, q^4; a, b, c.$

	Berechnet	Beobachtet	
$p : p = 100^{\circ} 56'$		Nordenskiöld	Des Cloizeaux
$a = 140 \ 28$		$140^{\circ} \ 3'$	
$p^2 : p^2 = 135 \ 40$			
$a = 157 \ 35$		$157 \ 7$	
$\frac{2}{3}p : \frac{2}{3}p = 116 \ 30$		$118 \ 40$	
$a =$		$*148 \ 45$	$149^{\circ} \ 5'$
${}^5p : {}^5p = 27 \ 16$			
$a = 103 \ 38$			$103 \ 48$
$q^3 : q^3 = 42 \ 20$			$43 \ 12^*)$
$q^4 : q^4 = 32 \ 24$			
$c =$		$*106 \ 12$	

Leicht spaltbar nach  $c$ , auch nach  $a$  und  $b$ .

Durch Schmelzung oder Sublimation sehr dünne Tafeln nach  $b$ . Breithaupt: Berg- u. Hütt.-Ztg. 1858. No. 16. — Nordenskiöld: Pogg. A. 112, 160. — Des Cloizeaux: Nouv. Recherches.

Starke Doppelbrechung; Ebene der optischen Axen =  $ac$ , Mittell. =  $a$ . Sehr starke Dispersion der Axen um die zweite Mittell.,  $\varrho < v$ . Scheinbarer Axenwinkel in Oel: ( $13^{\circ}$ ) =  $117^{\circ} 15'$  Roth,  $119^{\circ} 23'$  Gelb,  $127^{\circ}$  Blau. Des Cloizeaux.

Volumgewicht. — 4,37—4,423; zuvor geschmolzen = 4,39 Schafarik; 4,49—4,50 Weisbach.

Die geschmolzene (flüssige) M. leitet den elektrischen Strom, und zersetzt sich in Sauerstoff und blaues Oxyd. Buff.

**Wolfram. W.**

Volumgewicht.	17,1—17,3	Bernouilly,	} im Kohlentiegel re-
	17,2	Zettnow,	
	17,9—18,2	Bern.,	} ducirt
	18,44	Zettnow,	
	17,526	Haussknecht,	} durch Wasser-
		(in mein. Lab.)	
	19,26	Roscoe,	} stoff reducirt
	17,5	-	
	18,26	-	} aus Stickstoffwolfram
			} aus dem sauren Kalisalz
			} durch Wasserstoff

\* Breithaupt.

Spec. Wärme. — 0,03636 Regnault (grau, wie Mo erhalten.  
0,03342 Ders. später. kohlehaltig).

### Wolframchloride.

WCl<sup>6</sup>. Schmelzp. 429° Blomstrand, 480° Forchers, 275° Roscoe.  
Gas-V. G. 466 u. 474 Debray; 468,8 bei 440°, 490,6 bei 350°.  
Roscoe (berechnet 498,5).

WOCl<sup>4</sup>. Gas-V. G. = 448 u. 455 Debray (berechnet = 476).

### Wolframsäure. WO<sup>3</sup>.

Krystallform. Zweigliedrig.

$a : b : c = 0,8357 : 1 : 0,8675$  Nordenskiöld.

$p, \frac{3}{2}p, \frac{3}{4}p, \frac{3}{8}p, r\frac{3}{4}, r\frac{1}{2}; b, c.$

Berechnet	Beobachtet
$p : p = 100^{\circ} 16'$	
$b = 129 \ 56$	130° 30'
$\frac{3}{2}p : \frac{3}{2}p = 77 \ 12$	
$b =$	*144 24
$\frac{3}{4}p : \frac{3}{4}p = 115 \ 52$	
$b = 122 \ 4$	121 24
$\frac{3}{8}p : \frac{3}{8}p = 145 \ 14$	
$b = 107 \ 23$	106 48
$r\frac{3}{4} : r\frac{3}{4} = 110 \ 32$	
$c = 145 \ 16$	145 0
$r\frac{1}{2} : r\frac{1}{2} = 71 \ 36$	
$c =$	*125 48

Durch Schmelzen mit Borax erhalten. Tafelartig. Nordenskiöld:  
Pogg. A. 114, 643.

Isomorph mit MoO<sup>3</sup>.

V. G. 6,302—6,384 Nord. (Kryst.) 7,14 Karsten (Pulverig).

### U r a n. U.

Volumgewicht. — Das zuvor geschmolzene = 48,4, später 48,33  
Péligot. C. r. 67, 507.

### Uranoxyde.

Das von Arfvedson durch Glühen von K<sup>2</sup>UO<sup>2</sup>Cl<sup>4</sup> in Wasserstoff erhalten, in regulären Oktaedern krystallisierte vermeintliche Uran war wohl das Dioxyd (Oxydul) UO<sup>2</sup>.

Die spec. Wärme dieses Oxyds, welches Regnault (vor Péligot's Arbeiten) für U hielt, ist 0,0649.

Das uransaure Urandioxyd, U<sup>3</sup>O<sup>8</sup> (früher Oxydoxydul) bildet ebenfalls reguläre Oktaeder; es wurde von Scheerer bei Strömsheien in Norwegen gefunden. Sein V. G. ist = 6,74. Das unreine (Uranpecherz) ist amorph.

**Uranchloride.**

Tetrachlorid.  $\text{UCl}_4$ . Oktaeder, scheinbar regulär.

Optisches Verhalten der Uranverbindungen.

Stokes machte auf die dunklen Linien im Absorptionsspectrum aufmerksam. Instit. 1852, 392.

Später untersuchten dieses Verhalten E. Becquerel: C. r. 75, 296.  
— Morton und Bolton: Chem. News 28.

Ueber die Fluorescenz des Uranglases und der Salze Salm-Horstmar: Pogg. A. 98, 343. — Hagenbach: Eb. 146, 393.

Die löslichen Verbindungen der Uransäure  $\text{UO}_3$  (Uranoxyd) mit Säuren werden im Licht zu Dioxysalzen reducirt, daher sie für photographische Zwecke vorgeschlagen wurden.

**Platin. Pt.**

Krystallform. Regulär.

Das natürliche Platin, eine isomorphe Mischung  $= \text{Pt}^m\text{Fe}^n$ , worin  $m : n = 6 : 1$  bis  $4 : 4$ , krystallisirt in Würfeln. Breithaupt: Pogg. A. 8, 500.

Oktaedrische und andere reguläre Formen wurden an zuvor geschmolzenem P. beobachtet. Mallet: Am. J. Sc. (2) 20, 340. — Kättig: J. f. pr. Ch. 190.

Die Festigkeit untersuchte Baudrimont: Ann. Ch. Phys. (3) 30, 304.

Elasticität und Schallgeschwindigkeit. — Werthheim: Pogg. A. Ergbd. 2, 60. — Kupffer: Petersb. Bull. Acad. 12, 129 und C. r. de l'Obs. d. Russ. 1852 u. 54. — Edlund: Pogg. A. 126, 565.

Ausdehnung. — Paucker untersuchte die A. des P. vergleichend mit Bezug auf Normalmaasse. Bull. Petersb. 40, 209.

Nach Calvert und Johnson ist die lineare A. zwischen 0 und  $400^\circ$  (bei gehämmertem P.) 0,000884. Chem. News. 3.

Ist die Längen- oder Volumeinheit bei  $0^\circ = 1$ , so ist sie nach Mat-  
thiessen bei  $400^\circ$

Länge	Volum
1,000886	1,002658

Pogg. A. 130, 61.

Fizeau bestimmte den A.-Coeff. des (zuvor geschmolzenen) P.  $= 0,00000899$  und die Verlängerung der Längeneinheit v.  $0-400^\circ = 0,000907$ . C. r. 68, 1125.

Volumgewicht. — 21,5 (zuvor geschm.) Deville.

Platinschwarz	26,1488 bei $47^\circ,5$	} G. Rose.
später 20,7737—22,8926	- - -	
Platinschwamm	46,634 - - -	

Pogg. A. 73, 13. 75, 403.

Spec. Wärme. — 0,0344 Dulong und Petit.

0,03350 bis 0,03980 von 100° bis 1600° Pouillet.

C. r. 2, 782. Pogg. A. 39, 574.

Gewalzt 0,03243

geschmiedet 0,03197

schwammig 0,03293 Regnault.

Regnault: Pogg. A. 62, 74.

Wärmeleitung. — Ist die des Silbers = 100, so ist Platin

100,8 Despretz,

37,9 Calvert u. Johnson,

8,4 Wiedemann u. Franz.

Das Diffusionsvermögen des Platins für Gase in hoher Temperatur E. Becquerel: C. r. 57, 855. 925. — Deville: C. r. 56, 977. 57, 894. 935 (s. Absorption).

Elektricitätsleitung. — Dieselbe ist, Silber = 100 gesetzt,

22,3 Becquerel, .

20 Harris,

8,6 E. Bequerel.

10,5 Matthiessen (bei 20°, 7).

Den Einfluss der Temperatur untersuchten Lenz: Pogg. A. 34, 448.

— E. Becquerel: Ann. Ch. Phys. (3) 17, 242 (Pogg. A. 70, 243).

Magnetismus. — P. ist nach Faraday magnetisch, jedoch schwach.

Faraday: Pogg. A. 70, 35. — Bestätigt von Kühn u. Poggendorff: Pogg. A. 71, 128.

Die Stellung des P. in der thermoelektrischen Reihe. Seebeck: Pogg. A. 6, 1. 253.

Absorption von Gasen durch Platin. — Wasserstoff wird durch Volta'sche Action vom P. aufgenommen, welches dadurch polarisirt wird. Durch Diffusion in der Glühhitze und Erkalten nimmt 1 Vol. P. als Draht 0,47 Vol., Platinschwamm 1,48 Vol., Platinfolie bei 230° 1,45 Vol., bei 97—100° 0,76 Vol. auf. Nach der Entfernung des W. durch Glühen erscheint das P. mit Bläschen bedeckt. Graham: Phil. Tr. 1866. Pogg. A. 129, 586. 134, 321.

Platinlegirungen. — Zinn-Platin. Elasticität. Wertheim: Pogg. A. Ergbd. 2, 73.

### Palladium. Pd.

Krystallform. Dimorph: Regulär und sechsgliedrig. Im regulär krystallisirten natürlichen Platin als isomorpher Bestandtheil; in sechssei-

tigen, allerdings nicht messbaren Tafeln (P. von Tilkerode). G. Rose: Pogg. A. 55, 329. 77, 150.

Ausdehnung.	Länge	Volum
Bei 0° = 1		1
100	1,001104	1,003312 Matthiessen,
	1,001189	Fizeau.

Elasticität u. Schallgeschwindigkeit. Wertheim, s. Platin.

Festigkeit. Baudrimont, s. Platin.

Volumgewicht. 11,8 Wollaston,  
12,148 Lowry,  
11,4 Deville.

Spec. Wärme. — 0,05928 Regnault. Neuere Bestimmungen von Violle ergeben sie für 0° = 0,0582. C. r. 87, 981.

Elektricitätsleitung. — Silber = 100, ist P.

15 E. Becquerel,  
12,6 Matthiessen (bei 17°.2).

Magnetismus. — P. ist schwach magnetisch. — Faraday, s. Platin.

Stellung in der thermoelektrischen Reihe. — Seebeck, s. Platin.

Absorption von Gasen durch Palladium. — Nach Graham nimmt im Vacuo geglühtes P. bei gewöhnlicher T. sein 376 faches, bei 90—97° sein 643 faches, bei 245° sein 526 faches Vol. Wasserstoff auf. Schwammiges absorbiert bei 200° sein 646 faches Vol. \*. P.-Folie aus geschmolzenem nur das 68 fache. Das absorbierte Gas entweicht zum Theil schon bei gew. T., rasch beim Glühen. Das mit H beladene P. reducirt Eisenoxydsalze, Kaliumeisencyanid, Quecksilberchlorid. Die Diffusion von P.-Blech für H ist bei gew. T. = 0, und fängt erst bei 240° an (bei welcher T. die Kohlenwasserstoffe des Leuchtgases keine Diffusion zeigen). Phil. Tr. 1866. Pogg. A. 129, 595.

Wird eine Palladiumplatte in verdünnter Schwefelsäure als negative Elektrode eines Bunsen'schen Elements benutzt, so entwickelt sich an ihr kein Wasserstoff; er wird absorbiert, und zwar in grösserer Menge als auf jede andere Art (bis zum 200 fachen Vol. des P.). Im Vacuo entweicht das Gas nicht, auch nicht in der Luft; erst bei 400° und darüber erfolgt dies. Zuweilen aber erhitzt es sich an der Luft plötzlich, indem es sich oxydirt und das Gas entlässt. Bei Anwendung von P.-Draht ändert sich die Zähigkeit wenig. Er ist in diesem Zustande magnetisch. Durch Entfernung des Wasserstoffs erfährt das Metall eine Contraction, welche meist

\* Dünne Blättchen nahmen 982 Vol. auf, d. h. 0,72 pCt. Annähernd 3 H : 4 Pd.

etwas grösser ist, als die vorhergegangene lineare Ausdehnung, aber es dehnt sich dabei nach den Seiten etwas aus. Graham berechnete das V. G. des im P. verdichteten Wasserstoffs zu 4,95, wenn die lineare Zusammenziehung durch den Verlust des H erfolgt, dagegen zu 0,85—0,87, wenn jene während der Absorption stattfindet und die scheinbare Ausdehnung dadurch geringer ist. Aus dem Verhalten der Legirungen mit Platin, Gold, Silber schliesst Graham, dass letzteres der Fall sei, und demnach würde 0,73 das mittlere V. G. des verdichteten Wasserstoffs sein.

Graham glaubte später, dass es sich hier um wirkliche Verbindungen handle; er nannte den gebundenen W. Hydrogenium, ein magnetisches Metall. Graham: C. r. 66 u. 68. Pogg. A. 434, 324. 436, 347. 438, 49. — Poggendorff: Dessen A. 136, 483.

### I r i d i u m. Ir.

Volumgewicht. Pulverig 15.863  
in Stücken 15.588 Berzelius,  
22.42 Deville,  
geschmolzen 15.93 Bunsen\*).

Spec. Wärme. — 0.03663—0.03715 Regnault. Allein es war wohl unrein, da sein V. G. nur 13.176. 0.0363 später gefunden Regn. 0.03246 u. 0.03273 zwischen 99° u. 47°. Die einer anderen Probe 0,04486.

Ist stark magnetisch. Breithaupt.

Ausdehnung des zuvor geschmolzenen.

Coef. der linearen A. = 0.000007.

Verlängerung der Längeneinheit von 0—100° = 0.000708 Fizeau.

Des geschm. Platiniridiums resp. 0.000884 u. 0.000892 Fizeau.

Die Reinheit des zu den früheren Versuchen benutzten I. ist in allen Fällen höchst zweifelhaft.

### R h o d i u m. Rh.

Volumgewicht des zuvor geschmolzenen = 12.1 Deville.

Ausdehnung des halbgeschmolzenen.

Coef. der lin. Ausdehnung 0.000055.

Verl. der Längeneinheit von 0.00055 Fizeau.

Spec. Wärme. 0.03348

später 0.03327 zw. 58° u. 24°

und 0.03365 — 47° — 11. Regnault.

\* Die meisten Werte beruhen auf einem Gehalt an Ruthenium.



**O s m i u m. Os.**

Volumgewicht. 40,0 Berzelius.

Nach dem Weissglühen 21,3—21,4, später 22,477. Deville.

Ausdehnung. Halbgeschmolzen. Coeff. der linearen Ausdehnung 0,00000657.

Verl. der Längeneinheit von 0—100° 0,000679 Fizeau.

Spec. Wärme. 0,03063. später 0,03113 zwischen 98—19°. Regnault.

Ist magnetisch. Faraday.

**Ueberosmiumsäure. OsO<sub>4</sub>.**

Gas-V. G. = 128,7 bei 246 u. 286° Deville.

Berechnet = 134, wenn Os = 198.

**R u t h e n i u m. Ru.**

Volumgewicht. 42,26 Deville

(früher 44,0—44,4 Deville; 8,6 Claus).

Ausdehnung. Halbgeschmolzen, porös. Coeff. der linearen Ausdehnung 0,00000657.

Verl. der Längeneinheit von 0—100° 0,000679 Fizeau.

**Rutheniumdioxyd. RuO<sub>2</sub>.**

Krystallform. Viergliedrig.

$a : c = 1 : 0,6686 = 1,4957 : 1$  Sénarmont.

<i>o. d. p.</i>	Berechnet	Beobachtet
$\begin{matrix} o \\ d \end{matrix} \left\{ \begin{matrix} 2A = \\ 2C = \end{matrix} \right.$	$\begin{matrix} 121^{\circ} 52' \\ 86 \quad 46 \end{matrix}$	
$\begin{matrix} d \\ p \end{matrix} \left\{ \begin{matrix} 2A = \\ 2C = \end{matrix} \right.$	$\begin{matrix} 133 \quad 42 \\ 67 \quad 32 \end{matrix}$	
$p : o =$		$133^{\circ} 24'$
$d =$	$113 \quad 9$	$113 \quad 10$
$o : d =$	$150 \quad 56$	$150 \quad 57$

Prismatisch nach *p*. In der Endigung herrscht *d*.

Die Zusammensetzung ist nicht ermittelt, sondern aus der Isomorphie mit den RO<sub>2</sub> geschlossen. (Privatmittheilung von Sénarmont.)

**Krystallform der Platinmetalle.**

Sie sind wahrscheinlich sämmtlich dimorph.

Regulär erscheinen sie bei vorherrschendem Platin und Eisen (gediegen Platin).

Sechsgliedrig ist das Osmiridium,  $\text{Ir}^m\text{Os}^a$ , bei welchem  $a:c=1:1,4105$  G. Rose. Der Endkantenwinkel des Hauptrhomboeders ist  $84^\circ 52'$ , statt dessen jedoch das Dihexaeder zweiter Ordnung  $2a:a:2a:\frac{1}{2}c$  an den durch die Endfläche und das Prisma gebildeten sechsseitigen Tafeln vorkommt. Nach der Endfläche sehr vollkommen spaltbar.

Da auch das Palladium sechsseitige Tafeln bildet, und die von Deville erhaltenen Krystalle von Osmium wahrscheinlich Rhomboeder sind, so sind die Platinmetalle in dieser Form mit Bi, Sb, As, Te isomorph. — Pogg. A. 29, 452. 54, 537. 77, 149.

### Gold. Au.

Krystallform. Regulär.

Farbe. Stein unterscheidet die Molekularfarbe, die des dichroitischen und die Körperfarbe des G. Die erstere sei braunroth oder violet. — J. f. pr. Ch. (2) 6, 172. Vgl. Faraday: Pogg. A. 101, 343.

Die Festigkeit ist an Stäben von 1 mm Querschnitt

bei  $0^\circ$  19051

100 15766

200 13094

Baudrimont: Ann. Ch. Phys. (3) 30, 304.

Ausdehnung. Die lineare A. zwischen  $0$  und  $100^\circ$  ist (für gehämmertes) 0,001374 Calvert und Johnson.

	Länge	Volum	
Bei $0^\circ = 1$		1	
100 $= 1,00147$		1,0044	Matthiessen,

für zuvor geschmolzenes ist

der Coeff. der lin. Ausdehnung 0,00001443

Verlängerung d. L.-E. v.  $0-100^\circ$  0,001451 Fizeau.

Ausdehnungswärme Buff: Pogg. A. 145, 626.

Volumgewicht. Da das natürliche G. stets Silber enthält, so ist es leichter als reines G. Ein uralisches mit 0,46 pCt. Silber und 0,35 Kupfer wiegt 19,4 (G. Rose).

Wägungen von reinem Gold:

19,258 gegossen. T.  $17^\circ,4$ .

19,3617 dasselbe gehämmert. Brisson.

19,325—19,3371 geschmolzen. T.  $17^\circ,4$

19,320—19,333 unter Soda geschmolzen

19,326—19,312 - Borax -

früher	später	
49,2689	49,2985	geschmolzen
49,3202	3282	dasselbe gepresst
49,2908	3022	dieses umgeschmolzen
49,3296	3369	dieses gepresst
49,2981	3189	durch Oxalsäure gefällt, geschmolzen
49,3336	3347	dasselbe gepresst
49,55	— 49,838	durch Eisenvitriol gefällt
49,049		dasselbe gepresst.

G. Rose: Pogg. A. 73. 1. 75. 403.

Matthiessen fand 49,261 bei 40°  
                                   269 - 12,8  
                                   269 - 15,5 } Mittel 49,265 bei 12°, 8.

Elasticität. Bevan: Phil. Mag. 2 u. 3 (Pogg. A. 31, 573). —  
 Wertheim: Pogg. A. Ergbd. 2, 1. — Edlund: Pogg. A. 126, 565. —  
 Kupffer: Bull. Petersb. 42, 129 u. C. r. de l'Obs. de Russie 1852 u. 1854.

Schmelzpunkt. 1037° Becquerel  
 1240° Riemsdyk.

Ueber die Flüchtigkeit des Goldes Elsner: J. f. pr. Ch. 99, 257.

Wärmeleitung. Ist Silber = gleich 100. so ist G. = 102,8.  
 Despretz, oder 98 Calvert und Johnson. Nur 60 Wiedemann  
 und Franz.

Spec. Wärme. 0,0298 Dulong und Petit  
 0,03244 Regnault.

Die Capillaritätsconstante des festen G., d. h. der auf 4 mm  
 Oberfläche ausgeübte Zug in grm, ist nach Quincke's Berechnung von  
 Karmarsch's Versuchen bei 45° für hart gezogenes = 1592, für gegos-  
 senes 478. Quincke hat sie auch für das flüssige G. bestimmt. — Pogg.  
 A. 134, 356. 435, 624. 438, 441.

Das Absorptionsvermögen für Gase Graham: Phil. Tr. 1866.  
 Pogg. A. 429, 606.

Elektricitätsleitung. Mit Rücksicht auf die T. Lenz: Pogg.  
 A. 45, 405. — E. Becquerel: Ann. Ch. Phys. 3 17 (Pogg. A. 70, 243).  
 — Sie ist gegen Silber bei 0° = 100 bei 21°, 8 = 72,98. Matthiessen:  
 Pogg. A. 403, 428. 409, 526.

Optisches. Das Verhalten des G. gegen das Licht Faraday: Phil.  
 Tr. 1857. — Quincke: Pogg. A. 419, 368. 429, 177.

Nach Quincke ist ein Goldblatt von 0,00016 mm noch durchsichtig.

Thermochemisches der Goldverbindungen Thomsen: J. f. pr.  
 Ch. 12 43, 348.

## Goldlegirungen.

Zinn-Gold. Krystallform. Viergliedrig.

$$a : c = 1 : 0,422 \text{ Miller.}$$

Ausser  $o$  eine Reihe von Oktaedern erster Ordnung mit  $\frac{4}{3}$ ,  $\frac{2}{3}$ ,  $\frac{1}{3}$ ,  $\frac{1}{6}$ ,  $\frac{1}{12}$ ; die Endfläche  $c$ .

Beobachtet  $d^2 : c = 139^\circ 50'$ .

	Berechnet
$o$	$\begin{cases} 2A = 137^\circ 20' \\ 2C = 64 \quad 40 \end{cases}$
$o^4$	$\begin{cases} 2A = 98 \quad 36 \\ 2C = 134 \quad 32 \end{cases}$
$d^2$	$\begin{cases} 2A = 125 \quad 44 \\ 2C = 59 \quad 40 \end{cases}$

Beobachtet an  $\text{AuSn}^5$  bis  $\text{AuSn}^9$ . — Tafelartig nach  $c$ ; sehr vollkommen spaltbar nach  $c$ . — Am besten krystallisirt  $\text{AuSn}^5 = 40 \text{ pCt. Au.}$

Isomorph mit Zinn. — Prinsep: Pogg. A. 44, 525.

Ausdehnung. Matthiessen: Pogg. A. 430, 66.

## Silber. Ag.

Krystallform. Regular. (Gediegen Silber). — Vgl. G. Rose: Pogg. A. 23, 201 u. s. w.

Festigkeit. Für 1 mm Querschnitt in grm bei  $0^\circ$  28620, bei  $100^\circ$  24526, bei  $200^\circ$  18707 oder 28324 — 23266 — 18577. — Baudrimont: Ann. Ch. Phys. 3, 30, 304.

Ueber das Verschwinden der Dehnbarkeit und Zähigkeit an dem Material des Hildesheimer Silberfundes Schertel: J. f. pr. Ch. 2, 3, 347.

Elasticität. Lagerhjelm setzt den Elasticitäts-Coeff. = 443 (Schmiedeeisen 1070. Kupfer 686). — Pogg. A. 13, 404.

Ausführlicher untersuchte Wertheim die E. und die Schallgeschwindigkeit. — Pogg. A. Ergbd. 2, 1.

Die Elasticität von Silberdraht Napiersky Pogg. A. Ergb. 3, 351. — Vgl. ferner Kupffer: C. r. de l'Obs. Russ. 1852, 1854. — Edlund: Pogg. A. 426, 539.

Volumgewicht.

Playfair u. Joule: 10,522 — 10,537. Galvan. gef. T.  $4^\circ$ .G. Rose: 10,524 — 10,528. Aus Chlorsilber. T.  $17^\circ, 4$ 

später 10,514 } T.  $14^\circ$   
 10,5337. Dasselbe gepresst

10,553 — 10,619. Durch Eisenvitriol gefällt.

Pogg. A. 73, 1, 75, 407.

Matthiessen (Holzmann) erhielt keine übereinstimmenden Resultate. Erfand 40,424—40,511, im Mittel 40,468 bei 43°, 2. — Pogg. A. 110, 26.

Ausdehnung. Der Ausdehn.-Coeff. des gegossenen S. zwischen 0—100° ist 0,001991 Calvert und Johnson. Ist das Vol. bei 0° = 1, so ist es bei 100° 1,005831 Matthiessen. — Pogg. A. 130, 50.

Nach Fizeau ist

der lineare Ausdehn.-Coeff. bei 0° 0,00001921

die Verl. der Längeneinheit bei 100° 0,001936.

Ueber die Ausdehnungswärme des S. Buff: Pogg. A. 145, 626.

Wärmeleitung. Nach Despretz verhält sie sich für Silber und Gold = 400 : 402,8, nach Calvert und Johnson = 400 : 98, nach Wiedemann und Franz = 400 : 60.

Die Wärmereflection Desains: C. r. 74, 1102. 1185.

Spec. Wärme. 0,0557 Dulong und Petit

0,05704 Regnault

0,0559 Bunsen.

Schmelzpunkt. Daniell 1223°

Prinsep 1000

Becquerel 916

Riemsdyk 1040.

Latente Schmelzwärme. S. Wertheim: Elasticität. — Person: C. r. 27, 258.

Flüchtigkeit. Stas Unters. über die Gesetze d. chem. Prop. Uebers. v. Aronstein 32. 113. — Christomanos Ztsch. anal. Ch. 7, 299.

Capillaritätsconstante. Quincke: S. Gold.

Absorption von Gasen durch Silber. Durch Glühen und Erkalten im Gase nimmt Silberdraht 0,21 Vol. H., 0,745 V. O., in Luft 0,545 V. O. auf. Aus dem Oxyd reducirtes gefrittetes S. absorhirt 0,9—0,94 V. H., 6,45—7,47 V. O., 0,48—0,54 V. CO<sub>2</sub>, 0,15 V. CO. Blattsilber in Luft 1,37 V. O., 0,2 V. N., 0,04 V. CO<sub>2</sub>. Das sauerstoffhaltige hält den Sauerstoff bei allen T. unter der Glühhitze zurück. Graham.

Lucas fand, dass das Spratzen des S. von einer Absorption von Sauerstoff herrührt, und Gay-Lussac beobachtete, dass es sein 22faches Vol. desselben absorbiren kann. — Ann. Ch. Phys. 45, 221.

H. Rose ermittelte die Umstände, unter denen diese Erscheinung eintritt oder verhindert wird. — Pogg. A. 68, 283.

Nach Levol wird der Sauerstoff durch Gold ausgetrieben. — C. r. 35, 63.

Stas bezeichnet das violette S., welches sich bei der Reduction einer alkalischen Lösung durch Milchzucker bildet, als eine besondere Modification, weil es bei  $300^{\circ}$  unter Ergluthen in weisses S. übergeht. S. o.

Ueber den Durchgang blauen Lichts durch dünne Silberblättchen Foucault: C. r. 63, 443.

Nach Quincke ist Silber bei einer Dicke von 0,00009 mm für senkrechte Strahlen noch durchsichtig. Derselbe bestimmte die Reflexion. — Pogg. A. 429, 477.

Ueber das Spectrum des Silbers Cornu: C. r. 73, 332.

Elektricitätsleitung. — Nach Becquerel verhalten sich S. und Kupfer = 4 : 4, nach E. Becquerel = 100 : 436. Nach Buff ist ihr Leitungswiderstand = 100 : 404,8, nach E. Becquerel = 100 : 94,4. Nach Matthiessen ist das Leitungsvermögen, wenn S. bei  $0^{\circ}$  = 100, für Kupfer = 72—77 bei etwa  $20^{\circ}$ .

Lenz untersuchte den Einfluss der T. auf das Leitungsvermögen, und fand das Minimum bei  $340^{\circ}$  = 59, wenn Kupfer bei  $0^{\circ}$  = 100 ist. — Pogg. A. 34, 448.

Arendtsen bestimmte den Leitungswiderstand des S. (Kupfer bei  $0^{\circ}$  = 100) für  $0^{\circ}$  = 98,69, für  $100^{\circ}$  = 132,29; für  $200^{\circ}$  = 166,08. — Pogg. A. 404, 4.

Das elektrochemische Aeq. des S. bestimmte Kohlrausch: Pogg. A. 449, 470.

#### Legirungen von Silber und Gold.

Beide Metalle sind isomorph; die Krystalle ihrer isomorphen Mischungen, wie sie im gediegen Gold erscheinen, zeigen bestimmte, freilich nicht immer einfache Atomverhältnisse, wie aus den Versuchen von Boussingault und G. Rose folgt. Im Allgemeinen =  $\text{AgAu}^n$ , lassen sie  $n$  doch sehr oft = 10, 8, 6, 4, 3, 2, 1 erkennen und die silberreichsten aus Siebenbürgen und vom Altai (Elektrum) sind immer nahe  $\text{AgAu}$  oder  $\text{Ag}^8\text{Au}^7$ . — S. G. Rose: Pogg. A. 23, 464.

Vergleicht man die V. G. des silberhaltigen Goldes mit den berechneten Zahlen ( $\text{Au} = 19,3$ ;  $\text{Ag} = 10,5$ ), so erhält man z. B.

Ged. Gold von	Ag in pCt.	V. G.	
		gefunden	berechnet
Alex. Andrejewsk . . . .	12,07	17,54	18,13
Boruschka . . . . .	16,15	17,06	17,88
Siränowski . . . . .	38,38	14,55	15,79

Die berechneten Werthe sind grösser, die Dichte ist geringer. Versuche an derartigen Legirungen wären zu wünschen.

**Ausdehnung der Legirungen von Au und Ag.** Matthiessen: Pogg. A. 430, 67.

**Platin-Silber.** Ausdehnung: Pogg. A. 68.

**Zinn-Silber.** Elasticität. Wertheim: Pogg. A. Ergbd. 2, 73.

**Antimon-Silber,  $\text{Ag}^6\text{Sb}$  und  $\text{Ag}^3\text{Sb}$ .** Zweigliedrig.  $a:b:c = 0,577:4:0,674$  Miller.

### Silberoxyd. $\text{Ag}^2\text{O}$ .

Durch Verdunsten einer Kali- und Ammoniak-haltigen Silberlösung erhielt Vogel dunkelviolette mikroskopische Krystalle von  $\text{Ag}^2\text{O}$ , welche regulär zu sein scheinen. — Pogg. A. 118, 145.

Die Neutralisationswärme bestimmte Thomsen: Pogg. A. 143, 516.

### Schwefelsilber. $\text{Ag}^2\text{S}$ .

#### Dimorph.

A. Regulär (Silberglanz) V. G. . . . . = 7,4.

B. Zweigliedrig (Akanthit)  $a:b:c = 0,688:4:0,994$  Dauber. V. G. = 7,2.

In Bezug auf Elektricitätsleitung verhält sich das Sch. nach Faraday wie ein Metall, jedoch hat Hittorf gezeigt, dass seine Leitungsfähigkeit von einer partiellen Zersetzung bedingt ist. — Faraday: Pogg. A. 31, 241. — Hittorf: Eb. 84, 4.

### Quecksilber. Hg.

**Krystallform.** Das feste spaltet nach drei rechtwinkligen Richtungen, was auf das reguläre System deutet.

**Zusammendrückbarkeit.** — Nach Oersted wäre sie für 1 Atm. nicht viel grösser als 1 Milliontel seines Vol. Canton nahm 3 Milliontel an. Colladon und Sturm fanden sie für 1 Atm. = 1,73 Milliontel, und für die drei ersten Atm. fast das doppelte der übrigen. Ihre Versuche gehen bis zu 30 Atm. — Ann. Ch. Phys. 35, 113 (Pogg. A. 42, 39).

Aimé fand 4 Milliontel für 1 Atm. (bei  $12^{\circ},6$ ). — Pogg. A. Ergbd. 2, 239.

Regnault fand 3,517 Milliontel, Grassi 2,95 Milliontel. — Ann. Ch. Phys. (3) 34, 437.

Amaury und Descamps 1,87 Milliontel bei  $15^{\circ}$  (bei 1—10 Atm.). — C. r. 68, 1564.

**Ausdehnung.** Poggendorff zeigte, dass die Versuche von Du-Long und Petit nicht ganz richtig seien. — Pogg. A. 44, 466.

Regnault fand, dass das Vol., bei  $0^{\circ} = 1$ , bei  $t^{\circ}$  ist

$$1 + 0,00017900 \cdot t + 0,0000000252316 \cdot t^2,$$

also bei	50° = 1,009043	250° = 1,046329
	100 = 1,018153	300 = 1,055973
	150 = 1,027419	350 = 1,065743
	200 = 1,036811	

Der Ausdehn.-Coeff. ist = 0,00018153. — *Rélation des expér. etc.*

Nach Militzer liegt der Ausdehnungs-Coeff. des Qu. (V. bei 0° = 1)

zwischen 0,00016497 und 0,00018333,

und ist im Mittel 0,00017405 ± 0,00000082. Pogg. A. 80, 55.

Rankine gab eine Formel für die Ausdehnung von Flüssigkeiten, welche für das Qu. mit den Versuchen sehr gut stimmende Werthe liefert. Pogg. A. Ergbd. 3, 479.

Nach Versuchen von Matthiessen ist der Ausdehn.-Coeff. im Mittel = 0,0001812. — Pogg. A. 128, 512.

Ueber die Abhängigkeit der Ausd. des Qu. von der T. Bosscha: Arch. néerland 4. Pogg. A. Ergbd. 5, 276. — Regnault: C. r. 69, 879.

Nach Ersterem ist das Vol. bei 100° = 1,048244.

Eine neue Formel Wüllner's entspricht den Versuchen Regnault's sehr genau. — Pogg. A. 153, 440.

Volumgewicht. Joule berechnet aus seinen Versuchen an festen Amalgamen das V. G. des festen Qu. = 15,49 (unter der Annahme, dass die Metalle mit ihrem ursprünglichen V. G. in den Amalgamen enthalten seien). Mallet fand es = 14,4932 bei seinem Schmelzpunkte, gegen Wasser von 4°. — Phil. Mag. (5) 4, 445.

Nach Regnault ist das V. G. des flüssigen Qu. bei 0°, gegen Wasser von 4° = 13,59599 13,59578 13,59602.

Biot und Arago hatten 13,588597 gefunden. — *Rélation des expér. Paris 1847* (Pogg. A. 74, 210).

Kopp fand 13,595. — Pogg. A. 72, 18.

Holzmann fand 13,573 bei 44°,5. — Eb. 110, 46.

Volkman erhielt, mit Rücksicht auf die Nachwirkungsdilatation des Glases für 0° Werthe von 13,59523 bis 13,59544. — Wied. Ann. 13, 209.

Balfour Stewart fand 13,594 bei 4°, reducirt auf den leeren Raum, gegen Wasser von 4°. — Proc. R. Soc. 15, 40.

Wärmeleitung. Sie ist, die des Silbers, = 100 gesetzt, 53,3 Calvert und Johnson. — Vgl. ferner Ångström: Pogg. A. 123, 628. — Paalzow: Eb. 134, 618.

Nach Herwig ist sie zwischen 40 und 160° constant. — Pogg. A. 154, 477. Wied. Ann. 10, 662. Vgl. H. F. Weber Ebend. 10, 120 zwischen 98 und 12° 11,345.



Spec. Wärme. 0,03332 Regnault.

Zwischen 20 u. 45°	0,0290	} Derselbe
- 45 - 40	0,0283	
- 40 - 5	0,0282	
- 44 - 24	0,0332 Kopp.	

Für das feste Qu. berechnet Regnault zwischen —40 und —77°,75 = 0,03436 und 0,03247.

Nach Winkelmann ist die mittlere sp. W.

zwischen 49°,6 und 49°,7	0,03342
- 442°,2 - 25°,5	0,03278.

Pogg. A. 459, 452.

Nach Winkelmann ist sie überh. für  $\rho = 0,03336 - 0,0000069 \cdot t$ .

Spec. Wärme des Gases. — Nach Kundt und Warburg ist das Verhältniss der spec. W. bei constantem Druck ( $c'$ ) zu derjenigen bei constantem Vol. ( $c$ )  $\frac{c'}{c} = K = 1,67^*$ , wie es die Theorie für ein Gas erfordert, bei welchem, wie hier, 2 Vol. = 4 Mol. = 4 At. sind. Es verhält sich also das Mol. des Quecksilbergases in Bezug auf seine mechanischen Eigenschaften wie ein materieller Punkt. — Ist die sp. W. für Luft bei constantem Vol. ( $c$ ) = 1, so folgt  $c$  für Qu. = 0,60. — Ber. d. chem. G. 1875, 945. Pogg. A. 457, 353.

Erstarrungspunkt. Ist —40°,5 Pouillet. Boutigny's Versuch mit Qu. führte Faraday aus (gefrierendes Qu. in einem glühenden Gefäss). — Ann. Ch. Phys. (3) 49, 383.

Latente Schmelzwärme. Sie ist nach Person = 2,82. Um also 1 kg Qu. zu schmelzen, bedarf man so viel Wärme, als um 1 kg Wasser um 2°,82 zu erwärmen. — C. r. 25, 334 (Pogg. A. 73, 469).

Siedepunkt. 357°,25 bei 760 mm. Regnault.

Latente Dampfwärme. 403—406 Marignac.

Gas-V. G. 404,4 Dumas

404,6 Mitscherlich

96,8 Bineau. Bei 882°.

Spannkraft des Dampfes. Die ersten Versuche stellte Avogadro an, und fand sie

bei 400° = 0,03 mm	bei 250° = 403,78 mm
150 = 4,43	300 = 302,33
200 = 49,30	350 = 655,77
	(360 760)

Ann. Ch. Phys. 49, 369 (Pogg. A. 27, 60). — Vgl. Benedix: Pogg. A. 92, 632.

\*  $K$  für Luft nach Röntgen = 1,405 genommen.

Dann theilte Regnault seine Untersuchungen mit, welche sich auf das Luftthermometer beziehen. Wir entnehmen hieraus folgende Werthe:

0°	0,02 mm	200°	19,90 mm	400°	4587,96 mm
50	0,112	250	75,75	450	3384,35
100	0,7455	300	242,45	500	6520,25
150	4,2664	350	663,18	520	8264,96.

Faraday hatte geglaubt, dass die Tension des Dampfes unter 20° F. = 0 sei. G. Karsten schloss jedoch, dass die Verdampfung des Qu. bei dieser T. noch nicht aufhöre. Brame folgerte aus Versuchen, dass bei allen T. zwischen 0° und 30° sich Quecksilberdampf bilde, der bis zu 1 Meter aufsteige. C. r. 39, 1013 (Pogg. A. 94, 468).

Merget endlich behauptet, dass das Verdampfen des Qu. ein continuirlicher Vorgang sei, der auch bei festem Qu. noch stattfinde. Auch Regnault, welcher die Tension des Dampfes noch bei 0° bestimmte, sah bei — 13° deutlich Quecksilberdampf sich bilden. C. r. 73, 1356. 4462.

Quecksilber leuchtet in der Torricelli'schen Leere. D'Anger beobachtete die Erscheinung an im Vacuo herabfallenden Tropfen. — C. r. 16, 408.

Gladstone berechnet das Refractionsäq. des Qu. zu 9,8 und das specif. Brechungsvermögen zu 0,098.

Spectrum des Dampfes Vogel: Monatsber. Berl. Akad. 1879. 586.

Leitungsvermögen für Elektricität. — Ist Silber = 100, so ist nach Becquerel Qu. = 4,7; nach E. Becquerel = 1,8; nach Matthiessen = 1,63 bei 22°. Den elektrischen Leitungswiderstand des Quecksilbers führten auf ein absolutes Mass zurück W. Weber: Abh. Gött. G. d. W. 1862. — Kohlrausch: Nachrichten von ders. 1870. — Lorenz: Pogg. A. 149. 251.

Nach de la Rive ist die Leitungsfähigkeit des festen Qu. grösser als die des flüssigen.

Die des Dampfes ist nach Herwig nicht die eines metallischen Leiters, sondern er verhält sich etwa wie ein Voltabogen. Pogg. A. 151, 350. Wied. Ann. 9. 77.

Die Synaphie des Qu. oder die Stärke der Anziehung der Theilchen suchte Fiebig zu bestimmen. Pogg. A. 114. 296.

Die Veränderungen seiner Capillarität durch T. Frankenheim: Pogg. A. 75. 229. — S. ferner Quincke: Eb. 134. 356. 135. 621. — Lippmann: Eb. 149. 516.

### Amalgame.

Ueber die Aenderung der Metalle in der elektrischen Spannungsreihe in Amalgamen und deren Constitutionswärme Regnault: C. r. 52, 535.

**Spec. Wärme der Amalgame** E. Wiedemann: Wied. Ann. 3, 248.

**Goldamalgame.** — Nach Crookewitt erhält man durch Ausessen krystallinisches A.  $\text{AuHg}^4$ , dessen V. G. = 15,412. J. f. pr. Ch. 45, 87.

In Californien (Mariposa) ist  $\text{Au}^2\text{Hg}^3$  in nadelförmigen gelblichen Krystallen, V. G. = 15,47, vorgekommen. Sonnenschein: Ztschr. d. geol. 6, 243.

Henry erhielt vierseitige Prismen  $\text{Au}^4\text{Hg}$ , durch Salpetersäure nicht greifbar. Phil. Mag. (4) 9, 458.

**Silberamalgame.** — Das natürliche ist regulär krystallisirt, und var  $\text{AgHg}$ ,  $\text{Ag}^2\text{Hg}^3$  (Moschellandsberg, Allemont) oder  $\text{Ag}^{12}\text{Hg}$  (Chile).

Crookewitt erhielt aus Qu.-u. Silberlösung  $\text{AgHg}^2$ ,  $\text{AgHg}^3$ ,  $\text{AgHg}^4$ .

Joule stellte in gleicher Art feste krystallinische A. dar, welche gegen At. Qu. 1—2—3—6—48 At. Silber enthielten, und deren V. G. von 1,68—11,42 war. J. Ch. Soc. (2) 1, 578.

Ein kryst. A.  $\text{AgHg}^3$  erwähnt E. Dumas. C. r. 69, 759.

### Quecksilberoxyd.

**Krystallform.** Zweigliedrig.

$$a : b : c = 0,6523 : 1 : 0,9456 \quad \text{Nordenskiöld.}$$

$$p, p^3, q, q^2, \frac{q}{3}, a, c.$$

	Berechnet	Beobachtet
$p : p =$	113° 46'	
$a$	146 53	147° 18'
$p^3 : p^3$	155 28	
$a$		*167 44
$q : q$	93 12	
$c$	136 36	137 50
$q^2 : q^2$	55 44	
$c$	147 52	147 30
$\frac{q}{3} : \frac{q}{3}$	145 0	
$c$		*162 30

Ausserdem noch erste und zweite Paare an den mikroskopischen nach tafelfartigen Krystallen. Sie zeigten die  $q$  nur an einer Seite jedes Endes.

Danach scheinen  $\text{HgO}$  und  $\text{PbO}$  isomorph zu sein.

Nach Des Cloizeaux wären die Kr. jedoch zwei- und eingliedrig. Nordenskiöld: Pogg. A. 114, 621. — Des Cloizeaux: Ann. Ch. Phys. (4) 20, 201.

Nach Joule und Playfair ist die kub. Ausdehnung zwischen 0—100° = 0,0058 und das V. G. = 11,136 bei 4°.

**Schwefelquecksilber. HgS.**

Krystaliform (Zinnober). Sechsgliedrig.

$$a : c = 1 : 1,145 \quad \text{Schabus.}$$

Am Hauptrhomboeder  $2A = 92^\circ 37'$ .

Gas-V. G. = 86 Mitscherlich, 77,9 V. Meyer. Wenn 200, so ist  $\text{HgS} = 232$ ; es sollte 1 Vol. = 146 sein. Sind 2 Vol. C silbergas von dem V. G. 400 mit 1 Vol. Schwefelgas ohne Verdichtung verbunden,  $\frac{232}{3} = 77,3$ ; oder ist der Zinnoberdampf dissociirt?

Zinnober ist ein Nichtleiter; das amorphe schwarze HgS Leiter. Munck af Rosenschöld: Pogg. A. 34, 438.

Der Zinnober ist circularpolarisirend; das Drehungsvermög 45—47 mal stärker als beim Quarz. Die untersuchten Krystalle waren stets linksdrehend.

Er ist positiv (attraktiv). Der Brechungsexp.  $\sigma = 2,854$ ,  $e =$  Des Cloizeaux: C. r. 44, 876 (Pogg. A. 102, 474).

**Kupfer. Cu.**

Krystaliform. Reguläres (ged. Kupfer). Bei Hüttenprocessen durch galvanische Fällung bilden sich meist Oktaeder.

Festigkeit. — Für 1 mm Querschnitt in grm

$$\text{bei } 0^\circ = 25338$$

$$100 \quad 22050$$

$$200 \quad 19839 \quad \text{Baudrimont.}$$

Nach dem Leiten eines elektrischen Stroms Dufour: Arch. pl 28, 456.

Ausdehnung.

Kub. A. von  $0-100^\circ = 0,0055$ . V. G. 8,367 bei  $4^\circ$ .

$$0,00767 - 8,446 \quad \text{Joule und Play}$$

Dieselbe für  $4^\circ = 0,000054$  Kopp.

Kub. A. Vol. bei  $100^\circ = 1,004998$  (bei  $0^\circ = 1$ ). Matthiessen.

Lin. A. zw.  $0-100^\circ = 0,001879$  gegossenes,

1769 gehämmertes, Calvert u. Joh

Lin. A.-Coeff. = 0,00001690 ged. K.

1678 künstl.

Verl. der Längeneinh. von  $0-100^\circ = 0,004708$

1698 Fizeau.

Elasticität u. Schallgeschwindigkeit. — Aeltere V. von Poisson. — Masson: Ann. Ch. Phys. (3) 3, 454 (Pogg. A. 56, 41)

Wertheim: Pogg. A. Ergbd. 2, 1. — Edlund: Eb. 425, 565. —  
Kohlrausch und Loomis: Eb. 444, 495. — Buff: Eb. Jubelbd.  
349. — Kupffer: Petersb. Ac. Bull. 44, 273.

Zusammendrückbarkeit. — 7,09 mm. Galy-Cazalas.

Volumgewicht.

8,367 u. 8,446	Joule u. Playfair,	
8,952 - 8,958	Schröder,	
8,830	geschmolzen	} Berzelius,
8,946	gezogen	
8,958	dasselbe geschlagen	
8,885—8,924	geschmolzen,	
8,935—8,948	Draht,	
8,949—8,934	gepresst,	
8,944	galvanisch gefällt.	Marchand u. Scheerer.

Dick erhielt als höchste Zahl 8,965. Percy's Metall. Ueb. u. Knapp 4, 280.

Wenig zuverlässig sind frühere Angaben von Baudrimont.

Ausdehnungswärme. — Buff: Pogg. A. 445, 626.

Wärmestrahlung. — M'Farlane: Proc. R. Soc. 20, 90.

Wärmeleitung.

Silber = 400, ist K. = 92,3 Despretz,

84,5 u. 84,4 Calvert u. Johnson.

77,4 Wiedemann u. Franz.

Einfluss der T. Ångström: Pogg. A. 148, 423.

Spec. Wärme. 0,0949 Dulong u. Petit,

0,09545 Regnault.

Schmelzpunkt. — 1330° Riemsdyk (1398° Daniell).

Capillarität. Quincke: Pogg. A. 438, 441.

Elektricitätsleitung. — Gegen Silber = 400 ist K. = 436  
Bequerel; = 400 Harris; Buff fand den Leitungswiderstand bei  
chem. reinem K. = 404,8, bei käuflichem 422,7 und 457,9. Wiede-  
mann erhielt 79,3. Matthiessen fand das Leistungsvermögen = 77,43  
und 72,06 (bei 48°, 8 und 22°, 6).

Später bestimmte Matthiessen die E.-L. für

chem. reines K.	= 93	bei 48°, 6
galv. gefällt	93,46	- 20,2
	93,02	- 48,4
dasselbe geschmolzen	92,76	- 49,3
	92,99	- 47,5

Mittel 93,08 bei 48°, 9. Pogg. A. 440, 222.

Ueber den Einfluss der T. Lenz: Pogg. A. 34, 448 und Matthiessen: a. a. O.

Nach Osann ist das durch Wasserstoff reducirte K. in hohem Grade elektrisch. Pogg. A. 52, 446.

Schröder glaubte gefunden zu haben, dass das K. schwach magnetisch sei.

Auch Dove fand, dass eisenfreies K. sehr merklich magnetisch sei, und Kuhn beobachtete, dass das chemisch reine K. durch Induction gerade wie Stabeisen stark, aber nicht dauernd magnetisch werde.

Nach Faraday ist das K. diamagnetisch.

Absorption von Gasen durch Kupfer. — Die Eigenschaft des flüssigen K., im Garherde zu spritzen, soll auch bei reinem K. eintreten. Es ist bekannt, dass Gussstücke blasig werden (dass das K. in der Form steigt), wenn beim Giessen die Luft nicht abgehalten wird. Russel und Matthiessen leiteten Gase in flüssiges Kupfer und fanden, dass nur Sauerstoff oder Luft absorbiert werden. Pogg. A. 445, 637.

Andererseits fanden Hert er und Gurlt, dass, wenn man in flüssiges hammergeares K. schweflige S. leitet, das Metall spritzt und in der Form steigt.

Schwammiges K. absorbiert in der Glühhitze und beim Erkalten 0,6 Vol., Draht 0,3 Vol. Wasserstoff. Graham. Galvanisch gefälltes K. giebt beim Glühen 4,4 Vol.-Proc. Gas, welches in 100 = 77,3 H, 44,4 CO<sub>2</sub>, 8,4 CO und 3,2 Wasserdampf ist. Lenz: Pogg. A. Ergbd. 5, 242.

Das durch Wasserstoff reducirte Kupfer wird, an der Luft bei Zutritt von Wasserstoff erhitzt, zunächst oxydiert, bei steigender T. aber wird das Oxyd unter Erglühen wieder reducirt. Henry: Phil. Mag. (3) 6, 354. — Vgl. Hofmann: Ber. d. ch. Ges. 1870, 665.

#### Kupferlegierungen.

Zinn-Kupfer. Von neueren Arbeiten sind anzuführen: Wertheim: V. G. und Elektrizität der Legierungen Cu<sup>6</sup>Sn<sup>5</sup>, Cu<sup>2</sup>Sn, Cu<sup>7</sup>Sn, Cu<sup>22</sup>Sn. Pogg. A. Ergbd. 2, 95.

Rieffel findet, dass die Legierungen stets dichter sind, als sie als Gemenge sein müssten, und dass in CuSn die Eigenschaften beider Metalle am meisten aufgehoben sind. C. r. 37. 450.

Nach Riche, welcher CuSn<sup>5</sup> bis Cu<sup>15</sup>Sn prüfte, schmelzen und erstarrten nur Cu<sup>3</sup>Sn (61.8 pCt. Cu) und Cu<sup>4</sup>Sn (68.3) unzersetzt, alle andern zerlegen sich, indem die leichtflüssigere Legierung beim Erstarren aussaigert. Die Legierungen CuSn<sup>5</sup> bis Cu<sup>2</sup>Sn (40—52 pCt. Cu) zeigen in der erstarrten

Masse oben und überhaupt in dem zuletzt Erstarrten weniger Cu, mehr Sn. Die Legirungen  $\text{Cu}^8\text{Sn}$  bis  $\text{Cu}^{10}\text{Sn}$  (73—84 pCt. Cu) sind zwar oben und unten gleich, aber der zuletzt erstarrende Theil ist ebenfalls zinnreicher.

Von 75 pCt. an sind die Legirungen gelb, die kupferärmeren weiss.

Die Trennung der Geschützbronze ist eine längst bekannte Thatsache; die dabei sich abscheidende weisse harte und spröde Legirung ist nach älteren Untersuchungen (Karsten)  $\text{Cu}^6\text{Sn}$  bis  $\text{Cu}^9\text{Sn}$ , nach Riche  $\text{Cu}^{11}\text{Sn}$  bis  $\text{Cu}^{15}\text{Sn}$ .

Nach Riche zeigen die kupferärmeren Legirungen Ausdehnung bis  $\text{CuSn}^2$ , die reicheren dagegen Verdichtung, und das Maximum derselben tritt bei  $\text{Cu}^3\text{Sn}$  ein, deren V. G. = 8,94 ist; die 89 pCt. Cu enthaltende Geschützbronze wiegt nur 8,84.

Auch das Verhalten in der Hitze, beim Bearbeiten etc. wurde geprüft. Riche: C. r. 67, 4138. 69, 343. 985. 70, 85. Ann. Ch. Phys. (4) 30, 354.

Ausdehnung. Matthiessen: Pogg. A. 430, 63.

Von den älteren Arbeiten sind besonders zu beachten Karsten: Abh. d. Berl. Ak. d. W. 1824. — Hoffmann: J. f. p. Ch. 32, 226.

Gold-Kupfer. — V. G. der Legirungen Roberts: Ann. Ch. Phys. (5) 43, 444.

Silber-Kupfer. — Karmarsch fand, dass beim Legiren beider eine Ausdehnung erfolgt. Er gab auf Grund von Versuchen eine Formel, welche erlaubt, aus dem V. G. den Silbergehalt zu berechnen. J. f. p. Ch. 43, 493.

Levol fand, dass die Legirungen nach dem Erstarren nicht homogen sind, mit Ausnahme von  $\text{Cu}^2\text{Ag}^3$  (74,8 pCt. Ag.), deren V. G. = 9,904 ist. Die silberreicheren sind nach dem Erstarren in der Mitte (gegossene Kugel) reicher an Silber als nach aussen, die ärmeren zeigen das entgegengesetzte Verhalten. Ann. Ch. Phys. (3) 36, 493.

Schmelzpunkt. — Roberts: A. Ch. Phys. (5) 43, 444.

Ausdehnung. — Matthiessen: Pogg. A. 430, 69.

Elasticität. — Wertheim: Pogg. A. Ergbd. 2, 73.

Das Verhalten der Silberkupferlegirungen gegen Silberlösungen hat Karsten untersucht: Pogg. A. 46, 464.

Amalgam. — Ein festes ist nach Joule  $\text{Ag}^4\text{Hg}^5$ . J. Ch. Soc. (2) 4, 378.

Ueber krystallisirtes Becquerel C. r. 75, 4729.

Blei-Kupfer. — Elasticität. Wertheim: a. a. O.

Wismuthantimon-Kupfer. (Speise von der Stephanshütte, Ungarn).  $\text{Cu}(\text{Sb}, \text{Bi})^2$ .

Zweigliedrig.  $a : b : c = 0,588 : 4 : 4,440$  Rammelsberg.

$p, q,$	Berechnet	Beobachtet
$p : p =$		$*419^{\circ} 4'$
$q : p$		$*82 30$
$p : q$	$412^{\circ} 24'$	$412$ ungef.

Blattrig, silberweiss. V. G. 7, 524. Rg.: Pogg. A. 128, 44.

**Kupferoxydul.  $\text{Cu}_2\text{O}$ .**

Krystallform. Regulär. Als Rothkupfererz und künstlich beim Rosten von Kupfersteinen.

Ausdehnung. — Sie ist zwischen  $49$  und  $73^{\circ}$  von Fizeau bestimmt worden, indem sie auch hier, wie beim Diamant, bei  $-4^{\circ}, 3'$  also ein Maximum der Dichte dann einträte. C. r. 60, 4164. (1133 {Pogg. A. 126, 644. 128, 583}).

Die lineare Ausdehnung für die Längeneinheit ist nach Demarcus in verschiedenen Richtungen der Krystalle ermittelt worden. 1005 {Pogg. A. 435, 378}.

V. G. 5,975 bei  $15^{\circ}$ . Wernicke.

Lichtbrechung. — Stärker als beim Diamant. Brechungsindex des brechbarsten Strahl  $= 2,8984$  Fizeau.

Für die Linien.

$B = 2,534$ ,  $C = 2,558$ ,  $D = 2,705$ ,  $E = 2,846$ ,  $F = 2$ , Wernicke: Pogg. A. 139, 443.

**Kupferoxyd.  $\text{CuO}$ .**

Krystallform. Zwei- und eingliedrig. Maskelyne.

$$a : b : c = 1,49 : 1 : 1,36.$$

$$\alpha = 80^{\circ} 28'$$

$a, a', q, a, c,$	Berechnet	Beobachtet
$a : a =$	$94^{\circ} 54'$	Jenzsch.
$a' : a'$	$85 22$	
$q : q$	$73 24$	
$a : c$	$126 12$	$126^{\circ} 28'$
$a : a'$	$99 32$	$99 39$
$a : a$	$122 56$	$122 58$
$a'$	$114 10$	$113 58$

Zwillinge nach der herrschenden Fläche  $a$ .

Maskelyne's Beobachtungen beziehen sich auf Krystalle, die von Jenzsch auf einen Offenbruch von Freiberg erhalten. Sie hielt sie für zweigliedrig. Spaltbar nach  $q$  und  $a'$ . V. G. 1133 {Jenzsch.



Scacchi beschrieb die kaukasischen Krystalle und deren Zwillinge als zwei- und eingliedrig, jedoch Kalkowsky zeigte, dass sie dem optischen Verhalten zufolge eingliedrig sein müssen. Maskelyne: Rep. Brit. Assoc. 1865. — Jenzsch: Pogg. A. 107, 647. — Scacchi: Contribuz. min. P. sec. Napoli 1874. — Kalkowsky: Groth's Ztsch. 3, 279.

Neutralisationswärme. Thomsen: Pogg. A. 143, 354.

### Schwefelkupfer. $\text{Cu}_2\text{S}$ .

Dimorph.

A. Zweigliedrig.  $a : b : c = 0,582 : 1 : 0,973$  Mohs (Kupferglanz).

B. Regulär. Oktaeder etc. (künstlich; Kupfersteine).

Isomorph in beiden Formen mit  $\text{Ag}_2\text{S}$  (Akanthit und Silberglanz).

Volumgewicht. Kupferglanz künstlich

Bis 3,8 Min. Handbücher

3,71 Kopp,

3,388 Rammelsberg.

Nach Breithaupt gäbe es noch eine sechsgliedrige Form vom V. G. = 5,586.

Elektrisches Verhalten. — Gleicht nach Hittorf ganz dem  $\text{Ag}_2\text{S}$  (s. dieses).

### Blei. Pb.

Krystallform. Regulär. Bei Hüttenprocessen bilden sich Oktaeder.

Zusammendrückbarkeit. Für 1 Atm. = 0,18 Milliontel. Galy-Cazalat.

Ueber den Widerstand des B. beim Zerdrücken Coriolis: Ann. Ch. Phys. 44, 403 Pogg. A. 20, 47).

Elasticität und Schallgeschwindigkeit. Nach Lagerhjelm ist der Elasticitäts-Coeff. (Gewichtseinheit 1 Schiffspfund; Flächeneinheit 1 Decimalquadratlinie) 418 (gegen Stabeisen = 1070).

Wertheim giebt bei 18—20°

für	den Elasticitätscoeff. nach		
	Längsschwing.	Querschwing.	Verlängerungen
gegossenes Blei	1993,4	1985,2	1775,0
gezogenes -	2278,0	1784,2	1803,0
Schallgeschwindigkeit			
gegossenes -	3,974	3,966	3,561
gezogenes -	4,257	3,764	3,787

Pogg. A. Ergbd. 2, 59. — Vgl. Buff über die Biegeelasticität: Pogg. A. Jubelband 362.

Masson fand die Schallgeschwindigkeit fast gleich der des Wassers. Pogg. A. 36, 166.

Zähigkeit. S. Percy Metallurgie 3, 6.

Ausdehnung.

Kubische Ausdehnung für  $1^{\circ} = 0,000089$  Kopp

Lineare Ausdehn. zw. 0 u.  $100^{\circ} = 0,003005$  Calvert u. Johnson

- - - 0 -  $100^{\circ} = 0,002948$  Fizeau.

Länge                      Volum

bei  $0^{\circ} = 1$

bei  $100^{\circ}$  4,008399      4,002799 Matthiessen.

Coeff. der linearen Ausdehnung bei  $40^{\circ} = 0,00002924$ .

Volumgewicht. Nach langsamem Erkalten = 11,254

- schnellem - = 11,363 Deville

gegossen . . . . . = 11,215

gezogen . . . . . = 11,169 Wertheim

11,3445 — 11,3484 bei  $0^{\circ}$  Kupffer.

Gegossen = 11,352

gewalzt = 11,358 — 11,365 bei  $0^{\circ}$  gegen Wasser von  $4^{\circ}$  Reich.

Pogg. A. 109, 544.

11,376 bei  $43^{\circ},5$  Holzman

Gegossen 11,358

gehämmert 11,387 Tookey (Percy).

Ausdehnungswärme. Buff: Pogg. A. 145, 626.

Wärmeleitung. Gegen Silber = 100 = 18,5 Despretz, 28,7  
Calvert und Johnson, 9,3 Wiedemann und Franz.

Spec. Wärme. 0,0293 Dulong und Petit.

0,0314 Regnault (zwischen 10 und  $100^{\circ}$ )

0,03065 Ders. (zwischen  $-77^{\circ},75$  und  $+40^{\circ}$ ).

des flüssigen Bleis 0,039 zwischen 440 und  $340^{\circ}$  Person

0,0402 - 450 - 350 Ders.

Schmelzpunkt.  $326^{\circ}$  Rudberg. Riemsdyk.

334 Kupffer. Person.

Volumänderung beim Schmelzen Nies und Winkelmann. Sitzungsber.  
Münch. Ak. 1884, 63. (Wied. Ann. 13, 43).

Latente Schmelzwärme. 1 Thl. Blei bedarf zum Schmelzen so  
viel Wärme, um nach Rudberg 5,858, nach Person 5,369 Thl. Wasser  
um  $1^{\circ}$  zu erwärmen.

Capillaritätsconstante. Quincke: Pogg. A. 134, 356. 135, 621.

Elektricitätsleitung. Wenn Silber = 100, ist B. nach Bec-  
querel = 11,3, nach Harris = 8,3, nach E. Becquerel = 8,8, nach  
Matthiessen 7, 77.

Lenz bestimmte den Einfluss der T. Pogg. A. 45, 405.

Ueber das Brechungsvermögen Valson: C. r. 76, 224.

Spectrum. Werther: J. f. pr. Ch. 88, 480. — Cornu: C. r. 73, 332. — Lecoq de Boisbaudran: C. r. 77, 4452.

#### Bleilegirungen.

Goldblei und Silberblei. — Elasticität. Wertheim: a. a. O. Die regulären Formen von  $\text{Pb}^7\text{Ag}^5$  s. Brögger: Groth Ztschr. 3, 492.

Amalgam. — Crookewitt erhielt durch Auspressen  $\text{PbHg}$ , V. G. 41, 93. — Horsford über das Eindringen von Qu. in Bl. Am. J. Sc. (2) 43, 305. — Joule erhielt auf elektrolytischem Wege  $\text{Pb}^2\text{Hg}^3$ , V. G. 42, 64. Dasselbe erhielt Bauer: V. G. 42, 49 bei 47°.

Arsenblei. S. Percy 3, 47.

Antimonblei. — Krystallform von  $\text{PbSb}^6$  —  $\text{PbSb}^8$  gleich der des Antimons. S. dieses. Vielfach als Hartblei aus Abzug und Abstrich der Treibarbeit dargestellt. — Riche bestimmte das V. G. der deutlich krystallinischen Legirungen  $\text{PbSb}^4$  bis  $\text{Pb}^{14}\text{Sb}$  und fand das Maximum der Contraction bei  $\text{Pb}^{10}\text{Sb}$ . C. r. 55, 443. — Aehnliche Versuche von Matthiessen: Pogg. A. 440, 28. — Ueber die Einwirkung von Chlorwasserstoffsäure v. d. Planitz: Ber. d. ch. G. 1874, 4664. — Stellung in der thermoel. Reihe. Rollmann: Pogg. A. 84, 277.

Wismuthblei. — Stellung in der thermoelektrischen Reihe Rollmann: a. a. O. — Elasticität von Antimon- u. Wismuthblei. Wertheim s. die folgenden.

Zinnblei. — Rudberg hatte gefunden, dass beide Metalle, in beliebigem Verhältniss zusammengeschmolzen, Legirungen bilden, bei deren Abkühlung die T. bei zwei Punkten stationär bleibt. Während der Erstarrungspunkt des Zinns 228°, der des Bleis 326° ist, tritt in den Legirungen in allen Fällen bei 487° ein Stillstand des Thermometers ein. Dagegen ist der veränderliche Punkt für  $\text{Pb}^3\text{Sn} = 280^\circ$ ,  $\text{Pb}^2\text{Sn} = 270^\circ$ ,  $\text{PbSn} = 240^\circ$ ,  $\text{PbSn}^2 = 200^\circ$ . Nur bei  $\text{PbSn}^3$  fehlt der veränderliche Punkt. Der Grund dieser Erscheinung, die auch für Legirungen von Sn und Zn, Sn und Bi gilt, ist der, dass sich in allen Fällen die Verbindung  $\text{PbSn}^3$  bildet, welche einen bestimmten Erstarrungspunkt hat, der tiefer liegt als der der einzelnen Metalle, während der Ueberschuss des beigemengten Metalles durch die bei seinem Festwerden frei werdende Wärme den veränderlichen Punkt liefert. — Berzelius hat hierzu bemerkt, dass es gewiss nicht das eine oder andere der beiden Metalle sei, welches den veränderlichen Punkt ergebe, sondern gleichfalls eine Legirung.

Wird z. B.  $\text{PbSn}$  geschmolzen, so krystallisirt wahrscheinlich eine bleireichere Legirung bei  $240^\circ$ , der dann bei  $187^\circ$  das Erstarren von  $\text{PbSn}^3$  folgt. — Pogg. A. 18, 240.

Bestimmungen des V. G. und des Schmelzpunktes von Zinnblei-  
legirungen.

	V. G.	Schmelzpunkt
$\text{Pb}^4\text{Sn}^3$	9,64 ( $15^\circ$ )	$236^\circ$
$\text{Pb}^5\text{Sn}^7$	9,277 ( $15^\circ$ )	184,5 (Erstarr. $184^\circ,9$ )

Pohl: Wien. Ak. B. 1850, 402.

Die von Bolley mitgetheilten Resultate ähnlicher Versuche sind nicht richtig gedeutet. — Dingl. J. 162, 217.

Auch Riche theilte Versuche mit, welche für  $\text{PbSn}^3$  die grösste Verdichtung ergeben. — C. r. 55, 143.

Elasticität. Wertheim: Pogg. A. Ergbd. 2, 75. — Stellung in der thermoelektrischen Reihe. Rollmann: S. o. 279.

Ausdehnung. Matthiessen: Pogg. A. 130, 62. — Elektricitätsleitung. Derselbe: Eb. 103, 428.

Zinn-Wismuth-Blei. — Leichtflüssige Metalle. Das Rose'sche Metall, aus 1 Thl. Blei, 1 Thl. Zinn und 2 Thl. Wismuth, ist nahe  $\text{PbSn}^2\text{Bi}^2$ , welche Formel 1,14 Thl. Zinn verlangt.

Das d'Arcet'sche Metall besteht aus 5 Thl. Blei, 3 Thl. Zinn und 8 Thl. Wismuth und ist nahe  $\text{Pb}^3\text{Sn}^3\text{Bi}^5$ , wonach  $5\frac{1}{4}$  Blei, 3 Zinn und 8,8 Wismuth erforderlich wären.

A. Erman bestimmte die Ausdehnung des Rose'schen Metalls, dessen Schmelzpunkt  $\text{er} = 93^\circ,75$  und dessen spec. Wärme  $\text{er} = 0,034$  angab. Pogg. A. 9, 557. 20, 282.

Kopp fand das V. G. bei  $40^\circ = 8,906$ ; er beobachtete eine Ausdehnung von  $0^\circ$  bis  $59^\circ = 1 : 1,0027$ , dann eine Zusammenziehung, sodass das Vol. bei  $82^\circ$  wieder  $= 1$  und bei  $95^\circ$  vor dem Schmelzen nur 0,9947 ist. Das flüssige erfährt von  $95^\circ$ — $98^\circ$  eine Ausdehnung von 1,55 pCt. — Ann. Ch. Ph. 93, 129.

Nach Person hat das d'Arcet'sche Metall (welches er als  $\text{Pb}^2\text{Sn}^2\text{Bi}^3$  bezeichnet), den Schmelzpunkt  $= 96^\circ$ , die lat. Wärme für die Gewichtseinheit, und eine spec. Wärme von

0,049	zwischen	$50^\circ$	und	$12^\circ$
0,060	-	80	-	14
0,036	-	300	-	136

Die sp. W. des Rose'schen Metalles fand er  $= 0,0494$  zwischen  $87^\circ,6$  und  $53^\circ,6$ .

Die Zeit, welche erforderlich ist, um bei etwa  $130^\circ$  die T. um 1°

sinken zu machen, ist  $\frac{4}{400}$  von der, welche zum Sinken von  $96-94^\circ$  gehört. Nach dem Erstarren sinkt die T. regelmässig bis gegen  $57^\circ$ , dann wird sie stationär, steigt selbst etwas, während das Metall in Folge starker Ausdehnung berstet. Erstarrt die Legirung durch Eintauchen in Wasser schnell, so erhitzt sie sich, noch warm, nach dem Herausnehmen sehr bedeutend.

Person hat auch die sp. W. der flüssigen Legirungen dieser Art bestimmt. — C. r. 23, 162. 25, 444. Ann. Ch. Phys. (3) 24, 129 (Pogg. A. 70, 300. 73, 472. 76, 426. 586).

Schmelz- und Erstarrungspunkt von Legirungen der drei Metalle. — Dallo: Chem. Centralbl. 1865, 834.

Ueber Ausdehnung und spec. Wärme dieser Legirungen Spring: Ann. Ch. Phys. (5) 7, 478.

Elasticität von d'Arcet's Metall Wertheim: Pogg. A. Ergbd. 2, 90.

Wärmeleitung des Rose'schen Metalles Wiedemann und Franz: Pogg. A. 89, 544. 108, 399.

Ausdehnung und Abkühlungsgeschwindigkeit E. Wiedemann: Wied. Ann. 3, 237.

Platin- und Palladiumblei. — Nach Bauer ist PbPt krystallinisch, röthlich, spröde, V. G. 15,736. Die Legirung PbPd<sup>3</sup> ist grau, krystallinisch, strengflüssig, V. G. 11,225. — Ber. d. ch. G. 1871, 449.

Elasticität. Wertheim: S. o.

### Bleioxyd. PbO.

Krystallform. Zweigliedrig.

$$a : b : c = 0,666 : 1 : 0,974 \text{ Nordenskiöld.}$$

$$o, \frac{o}{2}, \frac{a}{2}; a, c \quad s = \frac{3}{4}a : b : c \quad t = \frac{3}{2}a : b : c$$

Berechnet

Beobachtet  
Rammelsberg

$$\begin{array}{l} o \left\{ \begin{array}{l} 2A = 122^\circ 26' \\ 2B = 87 \quad 28 \\ 2C = 120 \quad 32 \end{array} \right. \\ \frac{o}{2} \left\{ \begin{array}{l} 2A = 137 \quad 10 \\ 2B = 113 \quad 32 \\ 2C = 82 \quad 24 \end{array} \right. \\ s \left\{ \begin{array}{l} 2A = 115 \quad 24 \\ 2B = 100 \quad 12 \\ 2C = 112 \quad 12 \end{array} \right. \\ t \left\{ \begin{array}{l} 2A = 110 \quad 18 \\ 2B = 110 \quad 16 \\ 2C = 106 \quad 52 \end{array} \right. \end{array}$$

98 $\frac{3}{4}$ ° ung.  
112 20'

Berechnet	Beobachtet
	Nordenskiöld
$a : o =$	*136° 16'
$s = 129^{\circ} 54'$	130 12
$t = 124\ 52$	124 39
$\frac{a}{2} : \frac{a}{2} = 128\ 14$	
$c = 154\ 7$	153 24

Die Krystalle sind dünn tafelartig nach  $a$ . Sie waren aus der Verbindung mit Kali erhalten, gleich denen, die Mitscherlich nur allgemein als Rhombenoktaeder beschreibt. Ich habe krystallisirte Bleiglätte untersucht. — Ebene der optischen Axen =  $bc$ . — Nordenskiöld: Pogg. A. 114, 649. — Mitscherlich: Monatsber. Berl. Ak. 1840, 44. — Grailich: Wien. Ak. Ber. 28, 282.

Die kubische Ausdehnung zwischen  $0 - 100^{\circ} = 0,00795$  Joule und Playfair.

Volumgewicht. 9,364 Filhol  
9,363 bei  $4^{\circ}$  Joule und Playfair  
8,02 Grailich (Krystalle).

Neutralisationswärme. Thomsen: Pogg. A. 143, 508.

### Bleidioxyd. $\text{PbO}^2$ .

Nach Wernicke ist das durch Elektrolyse einer Auflösung von Bleioxyd in Kali sich abscheidende Oxyd =  $\text{PbO}^2 + \text{aq}$ ; er bestimmte das V. G. = 6,469 und die Brechung und Dispersion. — Pogg. A. 139, 443.

Nach Munk af Rosenschöld ist  $\text{PbO}^2$  der stärkste elektronegative Elektromotor. — Pogg. A. 35, 46.

Bleidioxyd-Kali (bleisaures Kali)  $\text{K}^2\text{PbO}^3 + 3\text{aq}$ . Viergliedrig.  $a : c = 1 : 1,2216$ . Combinationen von  $o, d, p, a, c$ . — An  $o : 2A = 104^{\circ} 32'$ ;  $2C = 119^{\circ} 52'$ . — Klien: J. f. pr. Ch. (2) 20, 200.

### Schwefelblei. $\text{PbS}$ .

Krystallform. Regulär (Bleiglanz). Spaltbar nach dem Würfel. — Vgl. Sadebeck: Ztschr. d. geol. G. 26, 647.

Künstlich, z. B. bei Hüttenprozessen, gebildete Krystalle sind gewöhnlich Würfel.

Ausdehnung.

Kub. A. von  $0 - 100^{\circ} = 0,01045$  Joule und Playfair  
für  $1^{\circ} = 0,000068$  Kopp (Bleiglanz).

Lin. A. von  $0 - 100^{\circ} = 0,0018594$  Pfaff

Lin. A. für  $1^\circ$  (bei  $40^\circ$ ) senkrecht z. Würfelfl. = 0,00002014  
 auf einer künstl. Oktaederfl. = 0,00002014 Fizeau.  
 V. G. 7,7568 — 7,7593 (Bleiglanz) Beudant  
 6,924 Joule und Playfair.  
 Spec. Wärme 0,044 Regnault  
 0,051 Neumann.  
 Elektromotorische Kraft. Skey: Ch. News 23, 255.

**Thallium. Tl.**

Ausdehnung. Lin. Ausdehn. (bei  $40^\circ$ ) = 0,00003024  
 Verl. der Längeneinh. von  $0-100^\circ$  = 0,003135 Fizeau.  
 Volumgewicht. 11,862 Lamy  
 11,853 Dela Rive ( $44^\circ$ )  
 11,777—11,9 Werther.  
 Schmelzpunkt.  $290^\circ$  Lamy.  $288^\circ$  Crookes.  
 Spec. Wärme. 0,0325 Lamy.  
 Elektricitätsleitung. Silber bei  $0=100^\circ$  gesetzt, ist Tl. bei  
 $2^\circ = 8,64$ . Für eine höhere T. =  $t$  nimmt sie um  $t \cdot 0,0038$  ab. De la  
 live. Matthiessen und Vogt fanden sie bei  $0^\circ$  im Mittel = 9,163  
 und die procentische Abnahme zwischen 0 und  $100^\circ = 31,42$ . — Pogg.  
 A. 118, 431.  
 Spectrum. Lamy: C. r. 54, 1155. — Cornu: C. r. 73, 332. —  
 Nickles: C. r. 58, 132.

**Thalliumlegirungen.**

S. Carstanjen: J. f. pr. Ch. 102, 65. 129.

**Thalliumchlorür. TlCl.**

Sein Gas-V. G. fand Roscoe = 107—126; das berechnete ist 119,75.

**Thalliumoxyd. Tl<sub>2</sub>O.**

Neutralisationswärme Thomsen: Pogg. A. 143, 356.

**Indium. In.**

Ausdehnung. — Coeff. der lin. A. ( $40^\circ$ ) = 0,0000417  
 Verl. der Längeneinh. von  $0-100^\circ$  = 0,004594 Fizeau.  
 Volumgewicht. 7,362 bei  $45^\circ$  Winkler  
 7,421 - 16,8 Ders.  
 Schmelzpunkt.  $476^\circ$  Winkler.  
 Spec. Wärme. 0,0574 Bunsen.

Spectrum. Reich und Richter: J. f. pr. Ch. 90, 472. — J. Müller: Pogg. A. 424, 637. — Schrötter: Wien. Ak. Anz. 1865, 139. 1892. — Claydon und Haycock: Phil. Mag. (2) 2, 387.

Verbrennungswärme. Ditte: C. r. 72, 762. 858.

### Indiumchlorid. InCl<sup>3</sup>.

Gas-V. G. = 443,7 V. Meyer (berechnet 440,4).

### Gallium. G.

Soll oktaedrische Krystalle bilden.

Volumgewicht. 4,7; später 5,93 (bei 24°).

Schmelzpunkt. 29°, 5; später 30°, 4.

Spec. Wärme des festen 0,079 bei 23—42°

des flüssigen 0,0802 - 42—419° Berthelot.

Lat. Schmelzwärme 49,44 für T. zwischen 0 und 30°. Ders.

Das Spectrum zeigt zwei violette Linien. — Lecoq de Boisbaudran: C. r. 82, 468. 1036.

### Norwegium. Ng.

Volumgewicht 9,44.

Schmelzpunkt 350°. — Dahl: Ztschr. d. geol. Ges. 34, 480.

### Kadmium. Cd.

Krystallform. Noch nicht sicher bekannt, scheint regulär zu sein. — Kämmerer: Ber. d. ch. G. 4874, 4724.

Ausdehnung.

Kubische Ausd. für 1° = 0,000094 Kopp

- - bei 100° = 4,009478, Vol. bei 0 = 4 Matthiessen.

Lin. A. von 0—100° = 0,003323 Calvert u. Johnson

Coeff. d. lin. A. (40°) = 0,00003069

Verl. d. Lgn.-Einh. v. 0—100° = 0,003402 Fizeau.

Elasticität. Wertheim: Pogg. A. Ergbd. 2, 59.

Volumgewicht. 8,54—8,57 nach dem Schmelzen

8,667 gehämmert. Schröder

8,655 bei 40°, 5 Matthiessen.

Wärmeleitung. 57,7 gegen Silber = 100 Calvert u. Johnson.

Spec. Wärme.

20—45°      45—40°      40—5°      Mengungsmeth.

0,05938      0,05969      0,05908      0,05669 Regnault

0,0548 (calorim. Werth) Bunsen.



Schmelzpunkt. 320° Rudberg. Riemsdyk  
 345—346° Wood  
 340—320 Nies und Winkelmann.  
 Siedepunkt. 720° Becquerel  
 772 Carnelley  
 860 Deville.

Latente Schmelzwärme. 43,58 Person.

Capillarität. Quincke: Pogg. A. 433, 642.

Gas-V. G. Bei 4040° = 56,9. Ist Cd = 442, so ist 56 = 4 Vol.,  
 und 4 Mol = 4 At.

Elektricitätsleitung = 26,3 gegen Silber = 400 Becquerel;  
 = 22,1 bei 48°, 8 Matthiessen.

Spectrum. Mascart: C. r. 69, 337. — Lockyer: C. r. 75, 4846.

Verbrennungswärme. Ditte: C. r. 72, 762. 858.

#### Kadmiumlegirungen.

Amalgam. Cd<sup>2</sup>Hg<sup>3</sup> hat ein V. G. = 42,645 Crookewitt.

Zinnkadmium. Rudberg: Pogg. A. 74, 460.

Bleikadmium. Ausdehnung Matthiessen: Pogg. A. 430, 63.

Wismuth-Zinn-Blei-Kadmium geben, in dem Verhältniss von  
 7—8 : 2 : 4 : 4—2 nach Wood eine zwischen 66—74° schmelzende Legi-  
 rung. Bei dem Verhältniss von 45 : 4 : 8 : 3 ist der Schmelzpunkt 65°, 5  
 (nach Lipowitz 60°). — Hauer bestimmte V. G. und Schmelzpunkt ver-  
 schiedener ähnlicher Legirungen. — Wood: Am. J. Sc. (2) 30, 274.  
 Pogg. A. 442, 496. 447, 354. — Hauer: J. f. pr. Ch. 94, 436.

Ausdehnung und spec. Wärme. Spring: Ann. Ch. Phys. (5) 7, 478. —  
 E. Wiedemann: Wied. Ann. 3, 237.

#### Kadmiumoxyd. CdO.

Krystallform. Regulär. Nach Werther Oktaeder mit Granatoeder,  
 Würfel etc. J. f. pr. Ch. 55, 447. — Vgl. Schüler: Ann. Ch. Ph.  
 87, 34. — Sidot: C. r. 69, 204.

V. G. des krystallisirten = 8,4408 Werther.

Die Wärmeentwicklung beim Auflösen des krystallisirten und des  
 amorphen in Schwefelsäure fand Ditte verschieden, grösser bei letzterem.  
 — C. r. 73, 272.

Neutralisationswärme. Thomsen: Pogg. A. 443, 377.

#### Schwefelkadmium. CdS.

Krystallform. Sechsgliedrig (Greenockit)  $a : c = 1 : 0,84257$  Kok-  
 scharow.

Hemimorph. Dieselben Krystalle wurden auch künstlich erhalten.  
— Schüler: Ann. Ch. Ph. 87, 34. — Durocher: C. r. 32, 823.

V. G. des künstlichen krystallisirten = 4,5; des Greenockits = 4,9  
Breithaupt.

Selenkadmium CdSe, und Tellurkadmium CdTe, schwarz,  
jenes in Blättchen, dieses in regulären Krystallen, V. G. 6, 20. — Mar-  
gottet s. Selenzink.

### Z i n k. Zn.

Krystallform. Sechsgliedrig  $a : c = 1 : 2,177$  G. Rose.

$r, r', p, c.$   $r \ 2A = 72^\circ 48'.$

Beide  $r$  bilden ein Dihexaeder, an welchem

$$2A = 124^\circ 38'$$

$$2C = 136 \ 40$$

Gefunden  $r : c = *111^\circ 10'.$

Gestreifte Prismen  $p$  mit der (rauen) Endfläche  $c$  und schmalen Flä-  
chen  $r$  und  $r'$ . — Spaltbar nach  $r$  und  $c$ . Nöggerath: Pogg. A. 39, 323.  
— G. Rose: Eb. 83, 129. 85, 293. 107, 448.

Isomorph dem Magnesium und den übrigen rhomboedrischen Ele-  
menten Te, As, Sb, Bi. Die Axen  $c$  von Mg und Zn sind = 3 : 4, die von  
As und Zn = 2 : 3.

In Legirungen ist das Zink theils regulär (mit Kupfer), theils zwei-  
gliedrig (mit Antimon).

Ausdehnung. — Kub. Ausdehnung für  $1^\circ = 0,000089$  Kopp.

Kub. A. bei  $100^\circ = 1,008928$ , wenn = 1 bei  $0^\circ$  Matthiessen.

Lin. A. von  $0-100^\circ = 0,002193$  (gehämmert) Calvert u. Johnson.  
Coeff. der lin. A. ( $10^\circ$ ) 0,00002918.

Verlängerung der Längeneinheit von  $0-100^\circ = 0,002905$  Fizeau.

Elasticität. — Masson: Ann. Ch. Phys. (3) 3, 451 (Pogg. A. 56, 157).

— Wertheim: Pogg. A. Ergbd. 2, 1. — Buff: Eb. Jubelbd. 349.

Volumgewicht. — Versuche über das V. G. des Zinks je nach  
seiner Behandlung beim Schmelzen und Abkühlen sind von Bolley und  
von mir angestellt worden.

A. Nahe dem Schmelzpunkt erhalten.  $a$  langsam,  $b$  schnell abgekühlt.

B. In der Glühhitze geschmolzen.  $a$  langsam,  $b$  schnell abgekühlt.

A. a		A. b		B. a		B. b	
7,145	B.	7,172	B.	7,120	B.	7,109	B.
7,128	R.	7,147	R.	7,104	R.	7,037	R.
7,159	R.	7,133	R.	7,155	R.	7,119	R. (später).

Bolley hatte geglaubt, dass die Werthe von *A* grösser seien als die von *B*. Er fand, dass *B* spröde war, beim Walzen riss. Nach meiner Ansicht wird das V. G. durch jene Umstände zwar nicht geändert, die Versuche lehrten aber, dass das schnell abgekühlte Zink (*b*) beim Walzen reisst.

Von verdünnten Säuren wird *a* viel schneller aufgelöst wie *b*. Bolley: Ann. Ch. Pharm. 95, 294. — Rammelsberg: Monatsber. Berl. Akad. 1880, 225. — Vgl. ferner Delarive: Pogg. A. 49, 224. — Schönbein: Ebend. 43, 47.

Wärmeleitung. 37,3, wenn Silber = 100. Despretz.  
 49 Wiedemann (Pogg. A. 95, 337),  
 29,6 Ders. (Eb. 108, 397),  
 64,4 gewalzt }  
 62,8 } gegossen } Calvert u. Johnson.  
 60,8 }

Spec. Wärme. 0,0927 Dulong und Petit,  
 0,09555 Regnault,  
 0,0935 Bunsen } (calorim. Meth.).  
 0,09393 Schüller }

Schmelzpunkt. 420° Riemsdyk,  
 433,3 Person,  
 423 früher, Ders.).

Volumänderung beim Schmelzen. Die Dichte des flüssigen ist um etwa 0,2 pCt. grösser als die des festen von gleicher T. Nies und Winkelmann, s. Zinn.

Latente Schmelzwärme. 27,46  
 28,13 später } Person.

Capillarität. — Quincke: Pogg. A. 434, 356.

Siedepunkt. 894° Becquerel,  
 1035 Weinhold (Pogg. A. 440, 203),  
 1040 Deville.

Das Tönen des Z. bei T.-Änderungen Strehlke: Pogg. A. 43, 405.

Elektricitätsleitung. — Gegen Silber = 100.

33,3 Harris,  
 38,7 Becquerel,  
 27,39 bei 47°,6 Matthiessen,  
 27,3 Wiedemann.

Einfluss der Wärme auf die elektromotorische Kraft Voller: Pogg. A. 449, 394.

Verbrennungswärme. — 1 grm Zink entwickelt

1292,74 W.-E.	Favre u. Silbermann,
1357,6	- Ditte,
1317	- Woods.

### Zinklegierungen.

Antimonzink. — Die Legirungen  $\text{Zn}^n\text{Sb}$ , worin  $n = 1$  bis 6 ist, krystallisiren zweigliedrig.

$$a : b : c = 0,761 : 1 : 0,960 \quad \text{Cooke.}$$

o.  $\frac{1}{3}p$ ,  $\frac{2}{3}p$ ,  $a$ ,  $b$ ,  $c$ .

Berechnet		Beobachtet	
		Cooke	Rammelsberg
o {	2A =	118° 24'	119° ungef.
	2B = 95° 24'	95 30	95½
	2C =	115 30	
$\frac{1}{3}p : \frac{1}{3}p =$	117 20	117 0	
$\frac{2}{3}p : \frac{2}{3}p =$	120 34		120
$\frac{1}{3}p : a =$	148 40	148 30	
	b = 121 20	121 30	
$\frac{2}{3}p : a =$	150 17		150
o : c =	122 15	122 15	122½

Diese isomorphen Mischungen bilden dünne, gestreifte, vielfach verwachsene Prismen. An  $\text{ZnSb}$  mit dem V. G. 6,384 beobachtete Cooke auch die Flächen  $a$  und  $c$ , an  $\text{Zn}^3\text{Sb}^2$  (V. G. 6,327) fehlten diese Flächen.

Offenbar sind diese Mischungen isomorph dem Antimonsilber. Cooke: Pogg. A. 96, 584. — Rammelsberg: Ztschr. d. geol. Ges. 16, 623.

Elektricitätsleitung. — Elsässer: Wied. Ann. 8, 455.

Wismuth-Zink. — Rudberg fand den festen Punkt bei 257°. Fournet erhielt keine Legirung beider Metalle, und Matthiessen zeigte, dass Zink nur 2,4 pCt. Wismuth, dieses nur 8,6—14,3 pCt. Zink auflöst. Rudberg: Pogg. A. 48, 247. — Fournet: Ann. Ch. Phys. 54. 247. — Matthiessen: Pr. R. Soc. 44, 430 (J. f. pr. Ch. 84, 323).

14,3 pCt. Zn würde nahe  $\text{ZnBi}^2$  sein (ber. 13,5 Zn), während 2,4 Bi dem Verhältniss  $\text{Zn}^{130}\text{Bi}$  entsprechen würde.

Zinn-Zink. — Ausdehnung. Matthiessen: Pogg. A. 430, 73. Elektricitätsleitung. Ders. Eb. 403, 428.

Blei-Zink. — Auch diese beiden Metalle geben nur in gewissen Verhältnissen Legirungen, so dass das Max. des Zinks im Blei 1,8 pCt., das des Bleis im Zink 2,5 pCt. zu betragen scheint. Dies Verhalten ist für

die Entsilberung des Bleis durch Zink von grösster Wichtigkeit. Vgl. Percy's Metallurgie, Bd. 3 der deutschen Bearbeitung von mir S. 96.

Elasticität. — Wertheim: Pogg. A. Ergbd. 2, 73.

Zinn-Blei-Zink. — Die Erstarrungspunkte etc. solcher Legirungen wurden von A. und L. Svanberg untersucht. Pogg. A. 26, 280.

Kupfer-Zink. — Vielfach gebrauchte Legirungen.

Krystallform. Regular. Krystallisirtes Messing =  $\text{Cu}^2\text{Zn}$  Rammelsberg und  $\text{Cu}^3\text{Zn}$  Bauer. Gestrickte Formen, die Aggregate von Oktaedern zu sein scheinen. Rammelsberg: Pogg. A. 120, 54. — G. Rose: Eb. 107, 448. — Bauer: Ber. d. chem. G. 1871, 449. — Storrer: J. f. pr. Ch. 82, 239.

Das Messing besteht nach Karsten im Mittel aus 71,5 Cu und 28,5 Zn. Diese Verhältnisse entsprechen einer isomorphen Mischung  $\text{Cu}^4\text{Zn}^2$ , welche 70,9 pCt. Cu enthalten würde. Die krystallisirte Mischung  $\text{Cu}^2\text{Zn}$  mit 66,4 Cu und  $\text{Cu}^3\text{Zn}$  mit 74,5 Cu stehen jener jedenfalls sehr nahe<sup>\*)</sup>, während der Rothguss (Tomback), der nach Karsten 84,5 pCt. Cu enthält, offenbar der Mischung  $\text{Cu}^6\text{Zn}$  mit 85,4 Cu entspricht.

Nach Karsten sind unter allen Legirungen von Kupfer und Zink gerade Messing und Rothguss durch ihre Festigkeit die ausgezeichnetsten; jedenfalls lassen sich zinkreichere oft nicht mehr walzen oder hämmern.

Derselbe hebt hervor, dass die gelbe Farbe dem Messing eigenthümlich sei, und dass nicht blos die kupferreicheren, sondern auch die kupferärmeren roth seien, wie z. B. die 50 pCt. Cu enthaltende Legirung =  $\text{Cu Zn}$ .

Nach Riche findet bei der Bildung aller Kupfer-Zinklegirungen Verlichtung statt, welche bei  $\text{Cu}^2\text{Zn}^3$  und  $\text{Cu Zn}^2$  am grössten ist, welche pröde sind; denn das V. G. des ersteren ist 8,174, des letzteren 8,048.

Riche: Ann. Ch. Phys. (4) 30, 354.

Die lineare Ausdehnung des Messings ist nach Calvert und Johnson zwischen 0 und 100° = 0,001930 bei gegossenem,  
0,001828 - gehämmertem.

Elasticität der Kupfer-Zinklegirungen. Wertheim: Pogg. Ann. Ergbd. 2, 73.

Ausdehnung. — Matthiessen: Eb. 130, 66.

Der galvanische Leitungswiderstand des M. ist, Kupfer bei 0° = 100  
gesetzt, bei 0° = 388,35  
100 = 442,27  
200 = 474,95. Arndtsen: Pogg. A. 104, 1.

\* Messing von Ocker. nach Streng 62,24 Cu enthaltend, ist etwa  $\text{Cu}^3\text{Zn}^3$ .

Nach Karsten verhalten sich alle Legirungen, welche bi Zink enthalten, gegen Säuren wie Kupfer für sich; sie lösen si Säuren entweder gar nicht oder vollständig, niemals theilweise fallen aus Kupferauflösungen kein Kupfer.

Die zinkreicheren spröden Legirungen, die bei steigendem Z blaugrau aussehen, lösen sich dagegen in Säuren auf, jedoch un samer, je mehr Kupfer sie enthalten. Sie zersetzen Kupferauflösu lassen reines Kupfer zurück. Bei unzureichender Menge Säure Anwendung einer S., welche Kupfer für sich nicht auflöst, wird Fall so viel Zink aufgelöst, als zur Fällung des gelösten Kupfers lich ist, und im andern Fall der ganze Kupfergehalt als braunroth abgeschieden. Verdünnte Schwefelsäure löst alle Legirungen v auf, die unter 2½ pCt. Kupfer enthalten.

Enthält die Legirung nur wenig mehr Zink als 50 pCt., so z Kupferauflösungen, und zwar bis zu ihrer vollständigen Zerset dass also nicht blos der Ueberschuss, sondern der ganze Zinkgeh

Karsten hat gefunden, dass auch Kupfer-Silberlegirunge lösungen nicht fallen, wenn sie 78 pCt. oder mehr Silber e Kupferreichere aber bewirken die Reduction des Silbers ebenf ständig. Pogg. A. 46, 160.

Zinn-Kupfer-Zink (Bronze). — S. Hoffmann: J. f. p. Ch Kadmium-Zink. — Elektricitätsleitung. Matthiessen 403, 428.

Zinkamalgam. — Joule: J. Ch. Soc. [2] 1, 378.

### Zinkoxyd. $\text{ZnO}$ .

Krystallform. Sechsgliedrig.

$$a : c = 1 : 1.6034 = 0.62366 : 1. \quad \text{Rath.}$$

$$d, d\frac{2}{3}, d\frac{4}{3}, d\frac{8}{3}, p, a, c. \quad s = a : \frac{1}{2}a : \frac{1}{3}a : \frac{1}{3}c.$$

Berechnet		Beobachtet		
		v. Rath	G. Rose	Schabus
$d$	$\begin{cases} 2A = \\ 2C = 123^\circ 16' \end{cases}$	$127^\circ 48'$	$127^\circ 43'$	$127^\circ 42'.5$
$d\frac{2}{3}$	$\begin{cases} 2A = 145^\circ 22' \\ 2C = 73^\circ 4' \end{cases}$			
$d\frac{4}{3}$	$\begin{cases} 2A = 136^\circ 22' \\ 2C = 96^\circ 2' \end{cases}$			
$d\frac{8}{3}$	$\begin{cases} 2A = 123^\circ 26' \\ 2C = 112^\circ 46' \end{cases}$			

Berechnet		Beobachtet	
		v. Rath	Koch
$s$	$2X = 161 \ 26$	161 15	
	$2Y = 147 \ 36$	147 35	
	$2Z = 117 \ 4$		
$c : d$	$= 118 \ 22$	117 59	
$d \frac{2}{3}$	$= 143 \ 28$	143 2	
$d \frac{1}{3}$	$= 131 \ 59$		130°
$d \frac{2}{3}$	$= 108 \ 37$		108 34.

Prismatisch nach  $p$  und  $a$ . Das Dihexaeder  $d \frac{2}{3}$  kommt nach Desloizeaux oft als Rhomboeder vor.

v. Rath beobachtete die Combination des ersten Prismas  $p$ , des Dreianters  $s$  und der Endfläche  $c$  an Krystallen von Borbeck, Fig. 23, an welchen auch  $d$  vorkommt, dessen Endkanten durch  $s$  zugeschärft werden.

Zwillinge nach einer Fläche  $a : a : \infty a : \frac{2}{3} c$ , auf welcher die Verwachsungsfläche senkrecht steht. Fig. 24.

Fig. 23.

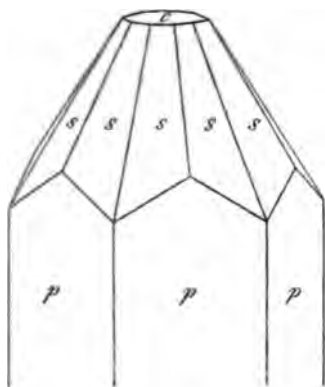
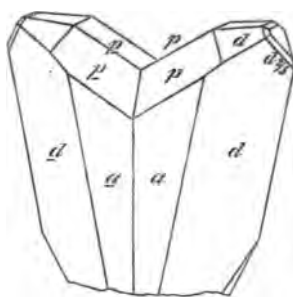


Fig. 24.



An den von v. Rath beobachteten Zwillingen waren vom zweiten Prisma  $a$  nur die beiden Flächen vorhanden, welche senkrecht zur Zwillingungs- und Verwachsungsfläche stehen, und zwei Flächen  $d$  herrschen vor.

Die beschriebenen Krystalle sind Ofenbrüche; natürliche (Rothzinkerz) sind sehr selten. — Spaltbar nach  $c$  und  $p$ .

G. Rose machte darauf aufmerksam, dass das Hauptdihexaeder  $d$  dem Dihexaeder zweiter Ordnung  $a : \frac{1}{2} a : a : \frac{2}{3} c$  beim Korund und Eisenglanz sehr nahe kommt.

Man darf  $ZnO$  (und  $BeO$ ) als isomorph mit  $Al_2O_3$ ,  $Fe_2O_3$  und  $Cr_2O_3$  betrachten. Koch: Beitr. z. Kenntniss kryst. Hüttenprod. Göttingen 1822. — Hausmann: Specim. cryst. met. u. Beitr. z. metall. Krystallkunde. —

v. Rath: Pogg. A. 122, 406. 144, 580. — Schabus: Wien. Ak. Ber. 11, 8. — Des Cloizeaux: Ann. Min. (4) 1, 482.

Farbe. — Das amorphe ist weiss, wird beim Erhitzen gelb, und nach starkem Glühen nicht wieder ganz weiss. Das krystallisirte ist gelb oder roth.

Ausdehnung. — An natürlichen Krystallen:

Lineare A. nach der Hauptaxe = 0,00000316

- - senkrecht zur Hauptaxe = 0,00000539

Kubische A. . . . . = 0,00004394 Fizeau.

Volumgewicht. — Künstliche Krystalle = 5,607—5,657 Brooks.  
5,78 bei 15° Brügelmann.

Die Zersetzung durch einen starken elektrischen Strom s. Lapschin: N. Petersb. Ak. Bull. 4, 81.

Bildungswärme, s. Zink, Verbrennungswärme.

Lösungswärme, s. Marignac: N. Arch. ph. nat. 42, 209.

Neutralisationswärme. Thomsen: Pogg. A. 143, 377.

### Zinkhydroxyd. $H^2ZnO^2$ (ob wasserhaltig?).

Zweigliedrig.  $a : b : c = 0,604 : 1 : 0,3445$  Nicklès  
(0,6068 : 1 : 0,3005 Cornu).

$o, p, r, a, b$ .

	Berechnet	Beobachtet	
		Nicklès	Cornu
$o \left\{ \begin{array}{l} 2A = 146^\circ 40' \\ 2B = 113 \ 24 \\ 2C = 67 \ 20 \end{array} \right.$			$\sim 60^\circ 40'$
$p : p =$		$\sim 117^\circ 44'$	$\sim 117 \ 30$
$b = 121 \ 8$		122 53	
$r : r =$		$\sim 120 \ 44$	
$a = 119 \ 39,5$		120 44	

Prismatisch nach  $p$ . Farblose durchsichtige Krystalle, in ammoniakalischen Zinklösungen durch Eisen oder Zink gebildet. Nicklès: Ann. Ch. Phys. (3) 22, 34. — Cornu: Bull. soc. ch. 5, 64.

### Schwefelzink. $ZnS$ .

Krystallform. — A. Regulär mit tetraedrischer Hemiedrie (Zinkblende). Vgl. Sadebeck: Ztschr. d. geol. G. 21, 620. 24, 479.

Ausdehnung. — Lineare A. für 1° = 0,000036 Kopp.

Spec. Wärme. 0,423 Regnault,

0,413 Neumann. ~



Diathermansie. — Schulz-Sellack: Pogg. A. 439, 482.

B. Sechsgliedrig (Würtzit).  $a : c = 1 : 0,8$ . Auch künstlich erhalten. Groth: Ztschr. 5, 363.

#### Selenzink. $\text{ZnSe}$ .

Röthlich, regulär. V. G. 5,40.

#### Tellurzink. $\text{ZnTe}$ .

Roth, regulär. V. G. 6,34. Margottet: C. r. 84, 1293.

### Eisen. Fe.

Krystallform. Regulär.

Das Meteoreisen von Braunau erkannte Haidinger als ein einziges Individuum, spaltbar nach den Flächen des Würfels. Pogg. A. 72, 580.

G. Rose, dem wir die wichtigsten Aufschlüsse über die Structur der Meteoreisen verdanken, bestätigte Haidinger's Angabe, und erörterte die eigenthümlichen Aetzlinien, die Neumann gefunden hatte. Er unterschied Aggregate grobkörniger Individuen (Seeläsen, Tucuman etc.), Stücke eines Krystalls mit schaliger Zusammensetzung nach den Oktaederflächen, welche die Widmanstätten'schen Figuren liefern (Bohumilitz, Arva, Schwetz, Toluca etc., überhaupt die Mehrzahl), ferner Aggregate feinkörniger Zusammensetzungsstücke, welche jene Figuren nicht, aber nadel- oder tafelförmige Krystalle beim Aetzen hervortreten lassen (Rasgata, Santa Rosa, Cap). Beschreibung und Eintheilung der Meteoriten. Abh. d. Berl. Ak. d. W. 1863. — Vgl. Tschermak: Wien. Ak. Ber. 70, 443.

Stabeisen zeigt gleichfalls die Würfelstructur oft sehr schön.

Graues Roheisen krystallisirt immer in Oktaedern, deren Zusammensetzung u. a. von mir untersucht worden ist. Wöhler: Pogg. Ann. 26, 182. — Carnall: Ztschr. d. geol. G. 10, 230. — Rammelsberg: Lehrb. d. chem. Metall. 2. Aufl. 104, 94. Monatsber. Berl. Ak. 1864, 192. Ber. d. chem. Ges. 1872, 430.

Weisses Roheisen (Spiegeleisen) erscheint in polysynthetischen Aggregaten. Ich beobachtete kleine rechtwinklig vierseitige Tafeln mit Randzuschärfungen von  $112^\circ 23'$ , was auf ein vier- oder zweigliedriges System deutet.

Ferromangan, d. h. manganreiches weisses Roheisen, bildet nach Jeremejeff reguläre Krystalle, nach einer Axe verlängert und deswegen von zweigliedrigem Ansehen. Verh. Min. Ges. Petersb. (2) 44, 246.

Mallard fand an dem 44 bis 52 pCt. Mangan enthaltenden F. Prismen von  $112^\circ 33'$ , durch starke Abstumpfung der scharfen Kanten tafelförmig,

Rammelsberg, physik. Chemie.

d. h. die von mir längst beobachtete Combination. Bei mehr als 32 pCt Mangan will er sechsseitige Prismen von  $120^\circ$ , zwei- oder sechsgliedrig beobachtet haben. Bull. Soc. min. de France 1879, Février.

Alle Roheisen sind isomorphe Mischungen.

Festigkeit. — Nach Baudrimont ist sie für 4 mm Querschnitt in grm

bei  $0^\circ$  209813 205405

400 201039 191725

200 213305 210270

Ann. Ch. Phys. (2) 30, 304. — Vgl. Morin: C. r. 36, 284. — Bresse Institut 1855, 257. — Seguin: C. r. 40, 8. — Dufour: Arch. ph. nat 28, 156.

Elasticität. — Nach Lagerhjelm besitzen alle Arten Eisen harte wie weiche, selbst Stahl, denselben Grad der Elasticität. Wird ein Stange durch ein Gewicht verlängert, so zeigt sie sich elastisch so lange bis letzteres eine gewisse Grösse erreicht, dann tritt die Elasticitätsgrenze ein, und die Stange wird dauernd verlängert. Unter Elasticitäts-Coeff (Modulus) versteht man das Verhältniss der ziehenden Kraft und der Dehnung innerhalb jener Grenze, während die über derselben erfolgend bleibende Verschiebung der Theilchen Ausdehnung heisst. Hartes Eisen zeigt eine grössere Elasticitäts-Grenze.

Lagerhjelm fand den Elasticitäts-Coeff. (die Einheit 4 Schiffspfund und 4 Decim.-Quadratlinie) = 1070. Aus Savart's akustischen Versuchen folgt 1033. Für Roheisen fand Tredgold 658. Lagerhjelm: Pogg. A. 43, 404. 47, 348. — Vgl. Vicat: Eb. 31, 108. — Masson: Ann. Ch. Phys. (3) 3, 454.

Sehr ausgedehnte Untersuchungen über die Elasticität und Schallgeschwindigkeit von Eisen und Stahl stellte Wertheim an. Pogg. A. Ergzbd. 2, 4, 3, 157.

Den Einfluss der T. untersuchten Kohlrausch und Loomis. Pogg. A. 44, 481.

Die Biegeselasticität bestimmte Buff: Pogg. A. Jubelbd. 349.

Ausdehnung. — Kub. A. für  $1^\circ$  = 0,000037 Köpp.

Lin. A. zwischen  $0-100^\circ$  Stabeisen = 0,004487

Gusseisen = 0,004417 Calvert u. Johnson

Lin. A. ( $40^\circ$ ) Verläng. d. Einh. von  $0-100^\circ$

Meteoreisen (Caille) 0,00001095 0,004443

Weiches Stabeisen 0,00001240 0,004228 Fizeau.

Volumgewicht. — Das V. G. des Stabeisens, Stahls und Roheisens ist je nach ihrer Natur und der Art ihrer Behandlung verschieden, worüber

die metallurgischen Schriften Auskunft geben. Caron bestimmte es an reinem Eisen nach dem Schmelzen = 7,880 bei 46°  
 - - - Ausschmieden 7,868  
 als Draht von 1 mm 7,847

C. r. 70, 451, 4263.

Nach Lagerhjelm erniedrigt sich das V. G. von Stabeisen an den Zerreißungsstellen von 7,824 auf 7,777. — Vgl. die Bestimmungen von Wertheim (s. Elasticität).

Zusammenhang zwischen V. G. und Kohlenstoffgehalt beim Bessemerstahl Koppmayer: Dingl. J. 241, 22.

Dichteänderung des Stahls beim Härten und Anlassen Fromme: Wied. Ann. 8, 352.

Wärmeleitung. — Sie ist, wenn Silber = 100, nach Despretz = 38,5.

Für Stabeisen = 43,6, für Stahl = 39,7 Calvert u. Johnson.

Für Eisen = 43,4, für Stahl 42,8 nach Wiedemann u. Franz.

Ueber den Einfluss der T. Ångström: Pogg. A. 418, 423.

Ueber den Einfluss des Magnetismus Holmgren: Eb. 424, 628.

Untersuchungen von H. Weber: Pogg. A. 446, 257. — Kirchhoff und Hanseman: Wied. Ann. 9, 4.

Spec. Wärme. 0,4100 Dulong u. Petit.  
 0,413795 Regnault.

Nach der calorimetrischen Methode

99° — 248° 0,412 — 0,415

475 — 522 0,4248 — 0,4284

697 — 900 0,4407 — 0,4570

Weinhold: Pogg. A. 449, 244.

Ueber die latente Wärme von Roheisen und Stahl Gruner: Ann. Min. [7] 4, 224.

Schmelzpunkt. — Zu den vorhandenen Angaben, die begreiflich nur annähernd Geltung haben, fügt Gruner als Schmelzpunkte

Weisses Roheisen 4050° — 4400°

Graues 4200

Stahl 4350 — 4400

Festes Roheisen schwimmt auf flüssigem, und doch ist kaltes festes R. dichter als flüssiges; dieses zieht sich beim Erstarren zusammen. Overzier erörtert die möglichen Ursachen dieser Erscheinung. Pogg. A. 439, 654.

Die Capillaritätsconstante. — Quincke: Eb. 434, 356.

135, 624, 438, 444.



Elektricitätsleitung. — Gegen Silber = 100 ist sie

nach Becquerel	= 21,5
- Harris	= 20
- Becquerel d. J.	= 43
- Matthiessen	= 14,44 (bei 20°, 4).

Vgl. ferner Matthiessen und Vogt: Pogg. A. 118, 431.

Ueber den Einfluss der T. Lenz: Pogg. A. 34, 418. — Matthiessen und Bose: Eb. 115, 353. — Benoit: N. Arch. ph. nat. 51, 284.

E. des Stahls in Beziehung zum Härten Barus: Wied. Ann. 7, 383.

Einfluss des Magnetismus Edlund: Pogg. A. 93, 315.

Ueber das galvanisch gefällte krystallisirte E. Jacobi: Eb. 149, 341.

Magnetismus. — Einfluss der T. Faraday: Pogg. A. 70, 24. — Gore: Phil. Mag. (4) 40, 470.

Die Magnetisirbarkeit von E. und Stahl Jamin: C. r. 77, 89.

Molekularänderungen beim Magnetisiren Barret: Phil. Mag. (4) 47, 51. — M. des pulverförmigen E. Waltenhofen: Wied. Ann. 7, 415.

Absorption von Gasen. — Durch Reduction erhaltenes pyrophorisches Eisen wird an der Luft im Wasserstoff glühend, während es sich oxydirt, und das Gas zuletzt sich entzündet. — Henny: Pogg. A. 36, 150.

Es wurde von Brunner zur Sauerstoffbestimmung der Luft empfohlen. — Pogg. A. Ergbd. 2, 509.

Die Diffusion des Wasserstoffs durch glühendes Eisen wies Deville nach. — C. r. 57, 965 (Pogg. A. 122, 331).

Nach Graham enthält das Meteoreisen von Lenarto 2,85 Vol. Gas, welches beim Glühen entweicht, und aus 85,68 pCt. H, 9,86 N und 4,46 CO besteht (Resultat eines späteren Theils der gesamten Gasmenge). Das in der Schweisshitze von Schmiedeeisen absorbierte Gas betrug in einem Versuche 2,66 Vol., in welchen ausser jenen auch CO<sup>2</sup> enthalten war. — C. r. 64, 1067 (Pogg. A. 131, 158).

Nach Mallet giebt das Meteoreisen von Augusta Co., Virginien, 3,17 Vol. Gas, worin 9,75 pCt. CO<sup>2</sup>. — Proc. R. Soc. 20, 365 (Pogg. A. 147, 134).

Weiches E. absorbierte in Graham's Versuchen 0,57 seines Vol. an Wasserstoff, welche im Vacuo erst beim Glühen entwichen. — Dünner Eisendraht liefert beim Erhitzen im Vacuo bis 12,5 Vol. Gas, grösstentheils CO. — C. r. 66, 1044 (Pogg. A. 134, 321. 129, 611).

Lenz fand, dass das galvanisch reducirte Eisen Gase, namentlich Wasserstoff enthält, deren Vol. bis zum 185fachen des E. steigen kann. Unter 100° entweicht vorzugsweise der Wasserstoff. — Pogg. A. Ergbd. 5, 242.

Nach Troost und Hautefeuille absorbiert flüssiges Roheisen leicht

Wasserstoff, weniger Kohlenoxyd. Auch Gussstahl verhält sich ähnlich, wogegen Stabeisen mehr Kohlenoxyd als Wasserstoff absorbiert. — C. r. 76, 182, 562. — Vgl. Parry: Am. Chemist 4, 254 (Jahresber. 1874, 1082).

Verbrennungswärme. — Für 4 grm Sauerstoff werden 5325 W.-E. frei. Despretz.

Literatur über die Passivität des E. Herschel: Ann. Ch. Phys. 51, 87 (Pogg. A. 32, 244). Schönbein: Pogg. A. 37, 392. 38, 444. 492. 39, 137. 40, 493. 621. 44, 44. 43, 1. 103. 44, 59. 46, 331. 59, 421. — Andrews: Eb. 45, 124. — Martens: Eb. 55, 437. 61, 121. — Rollmann: Eb. 73, 406. — Wetzlar: Eb. 73, 417. — Wöhler: Eb. 85, 448 (Meteoreisen). — Schöne: Eb. Ergbd. 5, 319. — Renard: C. r. 79, 459.

### Eisenlegirungen.

Arsen-Eisen. Krystallform. Zweigliedrig.  $a : b : c = 0,55 : 1 : 1,143$ .  $p : p = 122^\circ 26'$ .

Zinn-Eisen. — Die beim Zinnschmelzen zu Altenberg aus dem Zinn sich abscheidenden harten, weissen Härtlinge sind nach Berthier =  $\text{Fe}^1\text{Sn}$ .

Bei der Destillation von Zinnamalgam in eisernen Retorten entsteht nach Lassaing  $\text{Fe}^3\text{Sn}$ . Diese Legirung bildet quadratische Prismen von V. G. 8, 733.

Die beim Seigern des Altenberger Zinns zurückbleibenden Dörner scheinen  $\text{Fe}^3\text{Sn}^4$  zu sein.

Nöllner erhielt beim Auflösen von Bancazinn in Chlorwasserstoffsäure als Rückstand feine quadratische Prismen, V. G. 7, 446, welche  $\text{Fe}^2\text{Sn}$  sind.

Unter den Hüttenproducten von Schlackenwald beobachtete ich  $\text{Fe}^5\text{Sn}$  bis  $\text{Fe}^6\text{Sn}$ , gleichfalls Combination zweier quadratischer Prismen, V. G. 7, 534. — Diese isomorphen Mischungen besitzen vielleicht die Form des Zinns. — Vgl. Pogg. A. 120, 55.

Elasticität der Legirungen Wertheim: Pogg. A. Ergbd. 2, 73.

Wolfram-Eisen. — S. Bernoulli Pogg. A. 144, 573.

Blei-Eisen. — Aus einem schlesischen Hohofen, würfelähnliche und federartige Krystalle, gelb, zum Theil blau schillernd, V. G. 10, 56, magnetisch, waren  $\text{Pb}^2\text{Fe}$ . — Sonnenschein: Ztschr. d. géol. G. 7, 664.

Zink-Eisen. — Eine krystallinisch-körnige Legirung beider beschrieb Berthier. Sie war nahe  $\text{Zn}^8\text{Fe}$ . — Ann. Min. (3) 17, 652. — Vgl. Calvert und Johnson: Ann. Ch. Phys. (3) 45, 454. — Bayer: J. f. pr. Ch. 106, 504.

**Eisenoxydul.  $\text{FeO}$ .**

Neutralisationswärme. — Thomsen: Pogg. A. 443, 377.

**Eisenoxyd.  $\text{Fe}_2\text{O}_3$ .**

Krystallform. Sechsgliedrig-rhomboedrisch.

 $a : c = 1 : 1,36357$  (Eisenglanz).  $2A$  von  $r = 86^\circ 0'$ .

Ausdehnung des Eisenglanzes.

Kub. Ausdehn. für  $1^\circ$  . . . . . = 0,000040 Kopp

Lin. - nach der Hauptaxe = 0,0000829

- - senkr. zur - = 0,0000836

Kub. - . . . . . = 0,00002504 Fizeau.

Volumgewicht. — Eisenglanz von Elba = 5,191

5,214

5,230

5,244

5,283

vom Vesuv = 5,303

G. Rose

Rammelsb

Gefälltes Eisenoxyd, gegl. . . . . 5,469

Dasselbe, nach starkem Glühen schwarz, kryst. 5,037

H. Rose.

Spec. Wärme. (Rotheisenstein?) 0,167 Regnault

0,166 Neumann

0,173 Lallemand (amorph)

Magnetismus. — Nach den Angaben von Malaguti ist oxy freies künstliches Eisenoxyd oft magnetisch, oft nicht, und soll durch und spec. Wärme sich unterscheiden. Das natürliche magnetische (K von Elba) enthielte Oxydul. — S. Malaguti: Ann. Ch. Phys. 69, Vgl. Rammelsberg: Pogg. A. 104, 530.

Neutralisationswärme. Thomsen: Pogg. A. 443, 497.

**Eisenoxydoxydul.  $\text{Fe}_3\text{O}_4$ .**

Krystallform. Regulär (Magneteeisen). Zahlreiche Formen des Systems, vorherrschend Oktaeder und Granatoeder. Auch künstlich metallurgischen Röstprocessen etc.

Ausdehnung. Kub. Ausdehn. für  $1^\circ$  = 0,000029 Kopp

Lineare - . . = 0,000954 Pfaff.

Volumgewicht. Oktaeder, Zillerthal = 5,448

Granatoeder, Traversella = 5,406

Dergl., Balmy = 5,185 Rammelsb



**Eisenbisulfuret.  $\text{FeS}_2$ .**

Dimorph. — A. Eisenkies. Regulär, pyritoedrisch-hemiedrisch. —  
B. Speerkies. Zweigliedrig.  $a : b : c = 0,766 : 1 : 1,234$  (Sadebeck).

$$p : p = 105^\circ 5'; q : q = 78^\circ 2'.$$

Ausdehnung von A. Kub. A. für  $1^\circ = 0,000034$  Kopp.

Lin. A.  $= 0,0010084$  Pfaff.

Dieselbe senkrecht zur Würfelst.  $= 0,00000907$  Fizeau.

Volumgewicht. Eisenkies  $= 5,100$

Speerkies  $= 4,860$  Rammelsberg.

Spec. Wärme. — Speerkies

$0,135$  Regnault;  $0,133$  Neumann.

Thermoelektrisches Verhalten des Eisenkieses Friedel:  
Institut. 1860, 420. — Marbach: C. r. 45, 707. — G. Rose: Pogg. A.  
142, 1.

**Mangan. Mn.**

Volumgewicht.  $7,138 - 7,206$  Brunner.

Spec. Wärme. Des kohlehaltigen  $= 0,1441$  und  $0,1332$  Regnault.  
Nach Brunner dargestellt, etwas Si enthaltend; zwischen  $97 - 140^\circ$   
 $= 0,1217$ . Ders.

Magnetismus. — Nach Berthier ist das M. magnetisch; nach Faraday sind es seine Oxyde und Salze.

Elektrolyse von Manganverbindungen Wernicke: Pogg. A. 441,  
115. (Dabei wird  $\text{MnO}_2 + \text{H}_2\text{O}$ , dessen V. G.  $2,56 - 2,59$ , gebildet.)

**Manganoxydul.  $\text{MnO}$ .**

Krystallform. Deville erhielt es in grünen regulären Oktaedern.

Volumgewicht.  $5,091$  Rammelsberg.

**Manganoxydoxydul.  $\text{Mn}^3\text{O}_4$ .**

Krystallform. Viergliedrig (Hausmannit).  $a : c = 1 : 1,1537$ .  
 $2A$  von  $\rho = 105^\circ 54'$ . — Auch künstlich. Deville. — Vgl. Kuhlmann:  
C. r. 52, 4283.

Volumgewicht. Hausmannit  $= 4,856$

Künstlich, amorph  $= 4,710$  Rammelsberg

( $4,325$  Joule und Playfair).

Ausdehnung. Von  $0 - 100^\circ = 0,00522$  Joule und Playfair.

**Manganhydroxyd.  $\text{H}^2\text{MnO}_4$ .**

Krystallform. Zweigliedrig (Manganit).  $a : b : c = 0,844 : 1 : 0,5448$ .

$$p : p = 99^\circ 40'; q : q = 122^\circ 50'.$$

Volumgewicht.  $4,335$  Rammelsberg.

**Mangandioxyd.  $MnO_2$ .**

(Polianit. Pyrolusit.)

Krystallform zweigliedrig.

Volumgewicht (Pyrolusit) 5,026 Rammelsberg.

**Manganlegirungen.**

Kupfer-Mangan. Valenciennes: C. r. 70, 607. — Allen: Ch. News 22, 194.

Mangan-Eisen. Die Darstellung solcher Legirungen für die Stahl-fabrication Kohn: Dingl. J. 198, 205. — Prieger: Eb. 177, 303. — Thomsen: Eb. 199, 394.

Vergl. Ferromangan bei Eisen.

**Kobalt. Co.**

Ausdehnung. Das durch Wasserstoff reducirte und comprimirt K. besitzt nach Fizeau den linearen Ausdehn.-Coeff. von 0,00001236, und beträgt die Verlängerung der Einheit von 0—100° = 0,001244.

Volumgewicht. Das durch Wasserstoff reducirte pulverige K. gab mir schwankende Werthe: 8,643—9,438—9,375—9,495.

Spec. Wärme. 0,4498 Dulong und Petit

0,40629 und 0,40784	} aus Oxalat; geschmolzen,
0,40685 - 0,40707	
0,4162 - 0,41783	
0,40696 (später)	
0,4062 - 0,40727	} kohlhaltiges, durch Red- duction des Oxyds. Reg- nault.

Magnetismus. — K. wird nach Faraday sowohl durch einen Magnet als durch den Strom magnetisch, behält aber gleich weichem Eisen den M. nicht. Erst in hoher T. verliert es denselben, der beim Erkalten plötzlich wieder auftritt. (Kobaltoxyd, durch Verbrennen des K. mittelst Sauerstoff auf Kohle erhalten, und dabei geschmolzen, ist nicht magnetisch. Doch wider-ruft Faraday dies in einer späteren Mittheilung.) — Ueber die molekularen Aenderungen des K. beim Magnetisiren Barret: Phil. Mag. (4) 47, 51.

Hankel untersuchte das magnetische Verhalten von K. und Nickel im Vergleich zum Eisen an möglichst reinen gegossenen Stäben. — Wied. Ann. 4, 285.

Bei der Elektrolyse von Kobaltlösungen scheidet sich  $Co_2O_3 + 2aq$  vom V. G. 2,483 ab. — Wernicke: Pogg. A. 141, 449.

Das reducirte K. verhält sich nach Henry, wenn es pyrophorisch ist, gegen Wasserstoff bei Luftzutritt ähnlich dem Eisen.

Nach Böttger absorbirt galvanisch gefälltes K. Wasserstoff.

Thermochemisches der Verbindungen. Thomsen: J. f. pr. Ch. (2) 44, 443.



**Kobaltlegirungen.**

**Arsen-Kobalt.** — Die natürlichen isomorphen Mischungen beider (Speiskobalt, Tesseralkies etc.), theils  $\text{Co}^m\text{As}^n$ , fast immer Ni und Fe enthaltend, seltener für sich, meist mit  $\text{RS}^2$  gemischt vorkommend, sind theils regulär, theils zweigliedrig. Auch gewisse krystallisirte Kobaltspeisen (Modum) sind im Wesentlichen  $(\text{Co}, \text{Fe})^2\text{As}$  bis  $\text{R}^7\text{As}^2$ .

**Kobaltoxydoxydul.  $\text{Co}^3\text{O}^4$ .**

**Krystallform.** — Mikroskopische Oktaeder. Schwarzenberg, Gibbs und Genth.

**Volumgewicht.** 6,073 Rammelsberg.

**Absorptionsspectrum** von Kobaltverbindungen. Vogel: S. Nickel.

**Nickel. Ni.**

**Krystallform.** Wahrscheinlich regulär, denn G. Rose beobachtete gestrickte Aggregate.

**Ausdehnung.** Nach Fizeau (durch Wasserstoff reducirt und comprimirt) lin. Ausdehn.-Coeff. = 0,00004279

Verl. der Einheit von  $0 - 100^\circ = 0,001286$ .

**Volumgewicht.** 8,900 Schröder,

8,575, durch Wasserstoff reducirt und geschmolzen.

Thompson,

8,975 u. 9,264 reducirt, pulverig. Rammelsberg (früher

8,637 Brunner für das unter Glas geschmolzene).

**Spec. Wärme.** 0,4035 Dulong und Petit.

0,40863. Aus Oxalat im Gebläsefeuer (enthält etwas Kohle).

0,41136 }  
0,41207 } Zwischen Kohle reducirt, nicht ge-  
0,41232 } schmolzen.

0,41676 }  
0,41587 } desgl. geschmolzen, kohlereicher.

0,411 später. Kohlehaltig.

0,40752 }  
0,4108 } Noch später. Regnault.

**Elektricitätsleitung.** — Ueber den Leitungswiderstand reinen Nickeldrahts Arndtsen: Pogg. A. 105, 148.

**Absorption** von Wasserstoff. — Schwammiges Würfelnickel absorbiert als Elektrode sein 165faches Vol. des Gases. Nach öfterer Wieder-

holung wird es körnig und zerfällt zuletzt zu einem schwarzen Pulver. Dieses N. enthielt 8 pCt. Cu und 3 pCt. Fe. Auch reines poröses N. zeigt jenes Verhalten. — Raoult: C. r. 69, 826. — Böttger: Dingl. J. 201, 80.

Das Verhalten gegen Wasserstoff in Luft ist nach Henry ähnlich dem des Kobalts.

Bei der Elektrolyse von Nickelaufösungen scheidet sich  $\text{Ni}^2\text{O}^3 + 2\text{aq}$  vom V. G. 2,744 ab. Wernicke.

Magnetismus. — Das N. ist magnetisch. — Faraday: Pogg. A. 70, 24. — Ueber molekulare Aenderung beim Magnetisiren Barret. S. Kobalt. — Hankel's Versuche s. Kobalt.

Thermochemisches der Verbindungen: S. Kobalt.

#### Nickellegirungen.

Arsen-Nickel und Antimon-Nickel, oft gemischt mit den Eisen- oder Kobaltverbindungen, krystallisiren regulär (Chloanthit, Speiskobalt zum Th.), sechsgliedrig (Rothnickelkies, Antimonnickel) und zweigliedrig (Weissnickelkies). Auch sie sind meist mit etwas  $\text{RS}^2$  isomorph gemischt. Aehnliches gilt von den Speisen, unter denen eine viergliedrige ( $a:c = 1:1,124$ ) beobachtet wurde. — Rammelsberg: Pogg. A. 128, 441. 160, 131. Ztsch. d. geol. G. 25, 266. — G. Rose: Pogg. A. 28, 433. — Braun: Groth Ztschr. 3, 421.

Kupfer-Zink-Nickel (Neusilber, Argentan, Packfong etc.).

Ausdehnung des Drahts bei ungleicher Spannung Dahlander: Pogg. A. 145, 147.

Elasticität. Wertheim: Pogg. A. Ergbd. 2, 94.

Wärmeleitung. 6,8 gegen Silber = 100

8,8 - Kupfer = 100 Wiedemann u. Franz.

S. ferner H. Weber: Pogg. A. 146, 282.

Elektricitätsleitung. Den Leitungswiderstand fand Buff = 12,4, Silber = 1 gesetzt.

Das Leitungsvermögen ist = 7,67 bei  $18^\circ,7$ , Silber bei  $0^\circ = 100$  gesetzt. Matthiessen.

#### KupfERNickelwismuth. (Cu, Ni) (Bi, S)<sup>4</sup>.

3 Ni : 8 Cu.

Zweigliedrig.  $a:b:c = 0,7305:1:1,034$  Miller.

$o, c,$

Berechnet

Beobachtet

$$o \begin{cases} 2A = \\ 2B = 90^\circ 56' \\ 2C = 120\ 34 \end{cases}$$

$118^\circ 22'$

$o:c =$

$119\ 43$



Zwillinge nach c. Ein von Dick untersuchtes Hüttenproduct. Vollkommen spaltbar nach c. V. G. 9,46. — Miller: Phil. Mag. 1856.

### Nickeloxyd. NiO.

Krystallform. Regulär. Oktaeder. Beim Gaarmachen nickelhaltigen Kupfers beobachtet. Genth. Sandberger. — Durch Schmelzen mit Borsäure. Ebelmen.

Volumgewicht der Krystalle 6,605 Genth

6,80 Ebelmen

des amorphen 6,66 Rammelsberg.

Absorptionsspectrum der Nickellösungen. Emsmann: Pogg. A. Ergbd. 6, 334. — Vogel: Ber. d. ch. Ges. 1875, 1533 (Dessen Spectralanalyse Nördlingen 1877). Monatsber. Berl. Akad. 1878, 445 (Kobaltsalze).

### Aluminium. Al.

Die Festigkeit ist nach Burg nahe gleich der des Kupfers. Dingl. J. 151, 286.

#### Ausdehnung.

Lineare A. von 0—100° . . . = 0,002218 Calvert u. Johnson,

Coeff. der linearen A. . . . = 0,00002313

Verlang. der Einheit von 0—100° . . = 0,002336 Fizeau.

Volumgewicht. — Die Angaben 2,56—2,67—2,70 gelten für das gewöhnliche, stets Si oder Fe enthaltende Metall.

Wärmeleitung. — 66,5 gegen Silber = 100 Calvert u. Johnson.

Spec. Wärme. — 0,20556 Regnault. Es enthielt 2,4 pCt. Eisen, 6,38 Kupfer, 2,87 Silicium, war also sehr unrein. Regnault berechnet hieraus die spec. W. des reinen A. zu 0,2181. Eine andere Probe, 2 pCt. Eisen und eine Spur Silicium enthaltend, gab 0,21224, oder corrigirt 0,2143.

Elektrisches Verhalten. — Pulveriges trockenes A. ist nach Riess ein Nichtleiter. Pogg. A. 64, 53. — Vgl. auch Wöhler: Eb. 44, 456.

Das geschmolzene A. leitet jedoch nach Riess und Deville die Elektrizität, nach Letzterem etwa achtmal besser als Eisen.

Poggendorff fand sein Leitungsvermögen = 54,3 gegen Kupfer = 100.

Matthiessen fand es = 43,6 — 46,9 gegen zwei Kupfersorten, oder = 33,76 gegen Silber = 100.

Nettleton hat A. statt Platin mit Erfolg in der Grove'schen Kette benutzt. Chem. News 22, 228.

Nach Poggendorff ist es in galvanischer Beziehung positiver als Pt, Ag, Cu, Ni, Sb, Bi, negativer als Pb, Sn, Fe, Cd, Zn.

Nach Thomson liegt es in der thermoelektrischen Reihe auf Seite des Wismuths. Pogg. A. 99, 334.

Magnetismus. — Pulveriges A. ist nach Faraday schwach magnetisch. Compactes nach Deville schwach, nach Riess entschieden magnetisch.

Spectrum. — Cornu: C. r. 73, 332. — Lockyer: Eb. 75, 1816.

Es ist zu beachten, dass reines A. wahrscheinlich noch unbekannt, dass das vorhandene entweder eisen- oder siliciumhaltig ist.

#### Aluminiumlegirungen.

Kupfer-Aluminium (Aluminiumbronce). — V. G. Hirzel: Kopp Jahresber. 1858, 137. — Härte Christoffle: C. r. 48, 690. — Strange: Phil. Mag. (4) 24, 508.

Festigkeit\*) nahe gleich stahlartigem Eisen. Burg.

#### Thonerde. $\text{Al}^2\text{O}^3$ .

Krystallform. Sechsgliedrig-rhomboedrisch.  $a : c = 1 : 4,3629$  (Korund).  $2A$  von  $r = 86^\circ 4'$ . Spaltbar nach  $r$  (vorzüglich nach zwei Flächen), auch nach der Endfläche.

Künstliche Krystalle durch Schmelzen mit Borax, Ebelmen. Aus Auflösungen in zugeschmolzenen Röhren über  $350^\circ$ , Sénarmont. Durch Einwirkung von Chloraluminium auf glühenden Kalk, Daubrée. Aus Alaun im Kohlentiegel in starker Hitze, Gaudin. Durch Glühen von phosphorsaurer Th. mit schwefelsaurem Natron, Debray.

Ausdehnung. — A.-Coeff. nach d. Hauptaxe  $= 0,00068756$   
 senkrecht zur Hauptaxe  $= 0,00065543$  Pfaff.  
 nach der Hauptaxe l. o.  $= 0,000649$   
 senkrecht zur Hauptaxe  $= 0,000553$   
 kubische Ausdehnung  $= 0,004705$  Fizeau.

Volumgewicht. — Amorph, geglüht  $= 3,87-3,90$   
 nach starkem Glühen  $= 3,725-3,750$   
 im Porzellanofen geglüht  $= 3,999$ .

Sie zeigt unter dem Mikroskop keine Krystalle, im polarisirten Licht aber Farben. H. Rose.

\*) 40 pCt. Al enthaltend.

Korund. In Pulverform . . . .	= 4,0067	
nach starkem Glühen . . . .	= 3,989	
Rubin . . . . .	= 3,994	
Sapphir . . . . .	= 4,000	Graf Schaffgotsch.
Korund, farblose Kryst. . . .	= 4,022	
vor dem Knallgasgebl.		
geschmolzen . . . .	= 3,992	Deville.

Optische Eigenschaften. — Optisch einaxig negativ. Brechungs-  
exponent von

	$\alpha$	$\beta$	
	4,769	4,762	Miller,
Sapphir	4,7676—4,7682	4,7594—4,7598	
Rubin	4,7675	4,7592	Des Cloiz.
	4,835	4,786	Pfaff.

Des Cloizeaux erklärt letztere Angaben für unmöglich. Pogg. A. 127, 156. 129, 480.

Neutralisationswärme. — Thomsen: Pogg. A. 143, 497.

#### Aluminiumhydroxyde.

Hydrargillit.  $\text{H}^3\text{AlO}^3$ . Zwei- und eingliedrig. S. Des Cloi-  
zeaux: Nouv. Réch. 138, 205.

Diaspor.  $\text{H}^2\text{AlO}^4$ . Zweigliedrig.  $a : b : c = 0,4686 : 1 : 0,3019$ .

An  $\alpha$   $2A = 151^\circ 39'$ ;  $2B = 116^\circ 40'$ ;  $2C = 70^\circ 52'$ . Vollkommen  
spaltbar nach  $b$ .

#### Cer. Ce.

Volumgewicht. 5,5 Wöhler.

Spec. Wärme. 0,050 Mendelejew.

0,04479 Hillebrand. Pogg. A. 158, 71.

Magnetismus. — Nach Faraday sind alle Cersalze magnetisch.

#### Ceroxyd. $\text{Ce}^2\text{O}^3$ .

Neutralisationswärme. Thomsen: Ber. d. chem. G. 1874, 31.

#### Cerdioxyd. $\text{CeO}^2$ .

Krystallform. Regulär. — Oktaeder, Granatoeder, Würfel. Farb-  
los, durchsichtig, unlöslich in Chlorwasserstoffsäure.

V. G. 6,942 bei  $45^\circ,5$ . Nordenskiöld: Pogg. A. 114, 616.

Ueber das Spectrum Bunsen: Pogg. A. 155, 375.

#### Lanthan. La.

Spec. Wärme. 0,04485. Hillebrand.



**Lanthanoxyd.**  $\text{La}^2\text{O}^3$ .

Krystallform. Zweigliedrig.

$$a : b : c = 0,5658 : 1 : 0,6863 \quad \text{Nordenskiöld.}$$

o, p, q<sup>2</sup>, b. Berechnet = Beobachtet

$$o \left\{ \begin{array}{l} 2A = 132^\circ 50' \\ 2B = 90^\circ 0' \\ 2C = 108 \quad 40 \end{array} \right.$$

$$\begin{array}{l} p : p = 121 \quad 0 \\ b = 119 \quad 30 \end{array} \quad \begin{array}{l} 121 \quad 0 \\ 119 \quad 30 \end{array}$$

$$q^2 : q^2 = 72 \quad 40$$

Sechseckige Prismen  $pb$  mit sechsflächiger Zuspitzung  $oq^2$ .

Mikroskopisch, stark glänzend, in Chlorwasserstoffsäure leicht löslich.

V. G. = 5,296. Nordenskiöld: S. Cerdioxyd.

V. G. des geglühten: 5,94 Hermann,

6,53 Cleve.

Spectrum. — Das Chlorid giebt kein Flammenspectrum, aber ein glänzendes Funkenspectrum. Bunsen: S. Cer.

Neutralisationswärme. — Thomsen: S. Cer.

**Didym.** Di.

Spec. Wärme. 0,04563 Hillebrandt.

Spectrum. — Gladstone bemerkte in dem Spectrum des durch eine Lösung von salpetersaurem D. gegangenen Lichtes zwei dunkle Linien. Rood fand 12 Linien oder Streifen, deren einer an der Stelle der Natriumlinie liegt, so dass eine Natriumflamme, durch eine fusslange Didymlösung betrachtet, unsichtbar ist. Pogg. A. 117, 350. — Vgl. Delafontaine: Eb. 124, 635.

Bunsen beschrieb ein Verfahren, um die dunklen Absorptionsstreifen in helle Linien zu verwandeln. Ann. Ch. Pharm. 131, 255.

Derselbe wies nach, dass die Absorptionsspectren des D. je nach ihrer Intensität sehr verschieden erscheinen, indem die Breite der Streifen mit der Dicke und dem Gehalt der Flüssigkeit variiert. Es ist zur Vergleichung am besten, wenn der Gehalt an D. stets umgekehrt proportional der Flüssigkeitsschicht ist. Er untersuchte auch das krystallisirte Sulfat, und die Wirkung des polarisirten Lichtes. Pogg. A. 128, 400. — S. ferner seine Abh. Eb. 155, 375. — Thalén: Vet. Ac. Handl. 1873. — Loret: C. r. 88, No. 9. — L. Smith und Lecoq de Boisbaudran: C. r. 88, No. 23.

Ueber den Einfluss der T. auf das Spectrum der Lösungen Hartley: Chem. News 29, 448.

Neutralisationswärme. Thomsen: S. Cer.

**Yttriumgruppe.**

Nach den neueren Untersuchungen ist die Yttererde nicht bloß eine Menge von Yttererde, Erbin- und Terbinerde, sondern man hat in ihrer grössere Zahl von Erden gefunden, deren Metalle als Yttrium, Terbium, Ytterbium, Scandium, Philippium, Decipium, Samarium, Thulium s. w. bezeichnet wurden. Die Frage nach der Selbständigkeit aller dieser Körper ist jedoch noch nicht gelöst, da man kaum im Stande ist, sie voneinander zu trennen, wie sich dies aus den Arbeiten von Bahr und Wenzel, von Marignac, Delafontaine, Cleve, Nilson u. A. ergibt. Es wird daher erst später möglich sein, über die physikalischen Eigenschaften, ihr Spectralverhalten etc. sichere Angaben zu machen.

**Beryllium. Be.**

V. G. 4,64 Nilson.

Spec. Wärme. 0,654 Emerson Reynolds: Phil. Mag. (5) 3. 38.

0,4079 Nilson.

Hiernach wäre  $\text{Be} = 13$ . Also  $13 \times 0,4079 = 6,30$ .

Pulveriges B. ist ein Nichtleiter der Elektrizität. Riess.

Nach Faraday ist es sehr schwach magnetisch.

**Beryllerde. BeO.**

Krystallform. Sechsgliedrig.  $a : c = 1 : 4,587$  Ebelmen.

$d, p, c.$

Berechnet

Beobachtet

$$d \begin{cases} 2A = 127^{\circ} 56' \\ 2C = 122 \quad 44 \end{cases}$$

$$d : p =$$

$$= 151^{\circ} 22'$$

Das Dihexaeder  $d$  findet sich beim Zinkoxyd und der Thonerde (Korund), mit denen die B. isomorph ist. Ebelmen: Ann. Ch. Phys. 22, 244. 23, 34.

Volumgewicht. — Amorph, gegläht 3,096

im Porzellanofenfeuer in Krystalle verwandelt 3,024—3,027 H. Rose.

krystallisiert 3,02—3,06 Ebelmen.

Spec. Wärme = 0,247 zwischen 0 und  $400^{\circ}$  Nilson.

Neutralisationswärme. — Thomsen: Pogg. A. 443, 497.

**Beryllerdealuminat.  $\text{BeAlO}_4$ .**

(Chrysoberyll.)

Krystallform. Zweigliedrig.  $a : b : c = 0,47 : 1 : 0,58$ .

Von Ebelmen künstlich dargestellt; Combinationen  $p$ ,  $q$ ,  $a$ ,  $b$ , an denen  $p : p = 129^\circ 50'$ ;  $q : q = 120^\circ$  beobachtet wurde. Meist Zwillinge Ann. Ch. Phys. 23, 34.

Isomorph mit  $H^2RO^4$  (Diaspor, Göthit, Manganit) und mit  $R^2SiO^4$  (als Olivin).

### Magnesium. Mg.

Krystallform. Sechsgliedrig,  $a : c = 1 : 1,639$ ; (Magnesium ist isomorph dem Zink) aus einem Rhomboeder,  $2A = 80^\circ 3'$ , ableitbar. Des Cloizeaux: C. r. 90, 1401.

Ausdehnung. — Lineare A. = 0,00002694

Verl. von  $0-100^\circ = 0,002762$  Fizeau.

Spec. Wärme. — 0,2499 zwischen  $98$  und  $23^\circ$  Regnault.

Elektricität. — Das Leitungsvermögen ist bei  $17^\circ = 25,47$ , wenn Silber = 100. Matthiessen.

Ueber die Stellung des M. in der elektro-chemischen Reihe Regnault: C. r. 46, 852.

Die Verbrennungswärme des M. ist nach Woods = 4488 W.-E. Phil. Mag. (4) 30, 49.

Vergleich des Magnesiumlichts mit dem von Kerzen. Bunsen und Roscoe: Pogg. A. 108, 266. — Troost: Eb. 125, 644.

Das Spectrum. — Lockyer: C. r. 75, 1816.

### Magnesia. $MgO$ .

Krystallform. Regulär (Periklas). Oktaeder. Künstlich durch Schmelzen von borsaurer M. mit Kalk in Würfeln und Oktaedern. Ebelmen; von Chlormagnesium mit Kalk. Danbrée; durch Glühen von Magnesia in Chlorwasserstoffgas. Deville.

Ausdehnung. — Kubische A. des Periklases 0,00003129 Fizeau.

Volumgewicht.

Periklas = 3,75 Scacchi,

künstl. Krystalle = 3,636 Ebelmen,

amorph, im Porzellanofen krystallisirt = 3,65 H. Rose.

Neutralisationswärme. — Thomsen: Pogg. A. 443, 377.

Thermochemische Untersuchungen. — Thomsen: J. f. pr. Ch. (2) 11, 233. 16, 97.

### Magnesiumhydroxyd. $H^2MgO^2$ .

Krystallform. Sechsgliedrig (Brucit),  $a : c = 1 : 1,52$

$2A$  von  $r = 82^\circ 22',5$ .



**Calcium. Ca.**

Spec. Wärme.  $\left. \begin{array}{l} 0,1722 \\ 0,1686 \end{array} \right\} \text{Bunsen.}$

Elektricitätsleitung. — Bei  $16^{\circ},8 = 22,14$ , wenn Silber bei  $0^{\circ} = 100$ . Matthiessen.

Das Spectrum. — Kirchhoff und Bunsen: Pogg. A. 110, 177.  
— Blochmann: J. f. p. Ch. (2) 4, 282. — Lockyer: Pogg. A. 158, 327.

**Zink-Calcium.  $\text{Zn}^{12}\text{Ca}$ .**

Krystallform. Viergliedrig. —  $a : c = 1 : 0,46$  v. Rath.

Sehr kleine Quadratoktaeder, deren Endkanten  $= 134\frac{1}{2}^{\circ}$ . — V. G. 6,3276. Pogg. A. 136, 434.

**Kalk.  $\text{CaO}$ .**

Krystallform: Regulär. Würfel. V. G. 3,251. Brügelmann: Wied. Ann. 2, 466. 4, 277.

Volumgewicht. 3,480 Filhol. — Das Wärmespectrum des Kalklichts Lamansky: Pogg. A. 146, 200.

Bildungswärme des Hydroxyds Berthelot: C. r. 77, 24.

Neutralisationswärme Thomsen: Pogg. A. 143, 356.

Thermochemische Untersuchungen Ders.: J. f. p. Ch. (2) 46, 97.

Calciumoxysulfuret.  $\text{CaS}^4 + 4\text{H}^2\text{CaO}^2 + 14\text{aq}$ .

Krystallform. Zwei- und eingliedrig.  $p : b = 113^{\circ} 40'$ ,  $3p : b = 110^{\circ}$ ;  $q : b = 112^{\circ}$ .

Vollkommen spaltbar nach  $b : \infty a : \infty c$ , welches die Ebene der optischen Axen ist. Groth: Pogg. A. 135, 658.

**Strontium. Sr.**

Elektricitätsleitung. — 6,71 bei  $20^{\circ}$ , gegen Silber  $= 100$  bei  $0^{\circ}$ . Matthiessen.

Das Spectrum des Strontiums beobachtete zuerst Brewster. Kirchhoff und Bunsen, s. Calcium.

**Strontian.  $\text{SrO}$ .**

Krystallform, s. Kalk.

Volumgewicht. 4,644 Filhol. 4,75 (Kryst.) Brügelmann.

Strontiumhydroxyd.  $\text{H}^2\text{SrO}^2 + 8\text{aq}$ .

Krystallform. Viergliedrig.  $a : c = 1 : 0,6407$  Brooke.

*o, p, c.*

	Berechnet	Beobachtet
$\left\{ \begin{array}{l} 2A = 123^{\circ} 18' \\ 2C = 84^{\circ} 24' \end{array} \right.$		
$o : c =$		$437^{\circ} 48'$

Leicht spaltbar nach *p*, weniger nach *c*. Ann. Phil. 23, 287.Nach Filhol ist das V. G. von  $H^2SrO^2 = 3,625$  und vom Hydrat = 1,396.

Bildungswärme, s. Calcium.

Neutralisationswärme, desgl.

Thermochemisches, desgl.

**B a r y u m.** Ba.**Baryt.** BaO.

Krystallform, s. Kalk.

Volumgewicht. 5,456 Filhol. 5,722 (Kryst.) Brügelmann.

Das Product des Glühens vom Nitrat fand ich  $= Ba^3O^4$ . Rammelsberg: Ber. d. ch. Ges. 1869, 148. 1874, 542.Baryumhydroxyd.  $H^2BaO^2$ . — Nach Filhol ist das V. G. von  $H^2BaO^2 = 4,495$  und von  $H^2BaO^2 + 8aq = 4,656$ .

Bildungswärme, s. Calcium.

Neutralisationswärme, desgl.

Thermochemisches, desgl.

Spectrum. — Kirchhoff u. Bunsen, s. Calcium. — Freemant: Chem. News 48, 4.

Ueber die Darstellung von Leuchtsteinen, welche Schwefelbaryum, -strontium und -calcium enthalten, Forster: Pogg. A. 433, 94. 228.

**L i t h i u m.** Li.

Spec. Wärme. 0,9408 zwischen 100 und 27°. Regnault.

Elektricitätsleitung. — 49 bei 20°, wenn Silber bei 0° = 100. Matthiessen.

Spectrum. — Kirchhoff und Bunsen: Pogg. A. 110, 470. — Tyndall: Phil. Mag. (4) 22, 454. 473. — Frankland: Eb. 472. — Roscoe: Eb. 23, 63. — Lecoq de Boisbaudran: C. r. 76, 4263.

Neutralisationswärme. — Thomson: Pogg. A. 443, 356.

**N a t r i u m.** Na.

Krystallform. — Nach Long viergliedrig. Qu. J. Ch. Soc. 43, 422.

Volumgewicht. 0,985 Schröder.

0,9735 bei 13°, 5 Baumhauer.



Schmelzpunkt. — Erstarrungspunkt  $97^{\circ},6$  Regnault.  $95^{\circ},6$  Bunsen.

Spec. Wärme.  $0,2934$  Regnault.

Wärmeleitung.  $36,5$  gegen Silber  $= 400$ . Calvert u. Johnson.

Capillarität. — Quincke: Pogg. A. 435, 634.

Elektricitätsleitung.  $37,43$  bei  $21^{\circ},7$  gegen Silber  $= 400$  bei  $0^{\circ}$ . Matthiessen: Pogg. A. 400, 490. — Vgl. Lamy: C. r. 43, 693 (Pogg. A. 100, 165).

Magnetismus. — N. ist schwach magnetisch. S. Lamy: a. a. O.

Ist schwach diamagnetisch. Faraday.

Phosphorescenz bei der Oxydation Linnemann: J. f. p. Ch. 75, 428. — H. Baumhauer: Eb. 402, 423.

Brechungsvermögen. — Schrauf: Pogg. A. 433, 479. — Valsen: C. r. 76, 224.

Anomale Dispersion im Dampf. Kundt: Wied. Ann. 10, 324.

Spectrum. — Kirchhoff und Bunsen: Pogg. A. 440, 467. — Fizeau: C. r. 54, 493. — Rutherford: Am. J. Sc. (2) 35, 407. — Roscoe u. Schuster: Proc. R. Soc. 22, 362.

Absorption von Wasserstoff. — Sie erfolgt unter gewöhnlichem Druck nur zwischen  $300$  und  $421^{\circ}$ . Das N. wird dadurch weich, vor dem Schmelzen jedoch spröde, lässt sich im Gasstrom oder im Vacuo schmelzen, verliert aber in höherer T. den Wasserstoff. Da  $4$  Vol. Na  $237$  Vol. Gas absorbiert, so entspricht das Ganze der Formel  $\text{Na}^2\text{H}$ . V. G. 0,97. — Troost und Hautefeuille: Ann. Ch. Phys. (5) 2, 273.

### Natriumhydroxyd. $\text{HNaO}$ .

Krystallform des Hydrats  $2\text{HNaO} + 7\text{aq}$ .

Zwei- und eingliedrig.  $a : b : c = 0,896 : 1 : 0,574$  G. Rose.

$$\alpha = 76^{\circ}$$

$o, o', p, 2r', b, c$ .

Beobachtet

$$p : p = 98^{\circ}$$

$$c = 401$$

$$\frac{p}{p} : c = 137$$

$$\frac{p}{p} : 2r' = 137$$

Die Krystalle sind wegen ihrer Zerfliesslichkeit und ätzenden Eigenschaften nicht gut zu messen. Dünne Tafeln nach  $c$ , sehr vollkommen spaltbar nach  $p$ .

Farblos, durchsichtig, schmelzbar bei  $6^{\circ}$ , im flüssigen Zustande V. G.  $= 1,405$ . — Pogg. A. 449, 470.

Das V. G. von  $\text{HNaO}$  ist nach Filhol  $= 2,430$ .

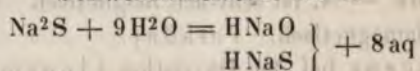
Elektricitätsleitung der Lösung Kohlrausch: Wied. Ann. 6, 1. 145.

Die Lösungswärme und die beim Verdünnen der Lösung entwickelte Wärme Berthelot: C. r. 76, 1044. — Thomsen: Pogg. A. 90, 261.

Die spec. Wärme der Lösungen Thomsen: Pogg. A. 442, 337.

Neutralisationswärme. — Thomsen: Pogg. A. 439, 193, 440, 88, 497. — Berthelot: C. r. 75, 435 u. ff.

### Schwefelnatrium. $\text{Na}_2\text{S}$ .



Krystallform. Viergliedrig.  $a : c = 1 : 0,982$  Rammelsberg.

$o, d^2, p.$	Berechnet	Beobachtet	
		Rammelsberg	Des Cloizeaux
$o \left\{ \begin{array}{l} 2A = 109^\circ 58' \\ 2C = 108 \quad 30 \end{array} \right.$		$110^\circ 0'$ $108 \quad 15$	$111^\circ 35'$
$d^2 \left\{ \begin{array}{l} 2A = 101 \quad 52 \\ 2C = 126 \quad 2 \end{array} \right.$			
$o : p =$		$*144 \quad 15$	$142 \quad 40$
$d^2 = 140 \quad 56$		$141$	
$p : d^2 = 129 \quad 4$		$129 \quad 30$	

Prismatisch nach  $p$ .

Nach Finger scheint ein Hydrat mit  $6\text{H}_2\text{O}$  zweigliedrig zu krystallisieren. — Pogg. A. 428, 472. 635.

Thermochemisches Verhalten (der Schwefelalkalien überhaupt) Sabatier: C. r. 88, 654. 99, 43. 234.

### Kalium. K.

Krystallform. S. Natrium.

Nach einer Beobachtung von Pleischl scheinen die Krystalle Würfel zu sein. — Pogg. A. 34, 434.

Schmelzpunkt.  $62^\circ,5$  Bunsen. — Vgl. Regnault: Pogg. A. 98, 442.

Siedepunkt  $749^\circ$ — $734^\circ$  Carnelty.

Spec. Wärme. 0,4695 Regnault.

Capillarität. S. Natrium.

Gas-V. G. — Ist beim Siedepunkt des Zinks nicht über 45. Also 1 Mol.  $= 2$  At. — Dewar und Dittmer: Ch. News 27, 424.

Elektricitätsleitung. — Becquerel hatte sie  $= 4,8$  gegen Silber  $= 400$  angegeben. Nach Lamy ist sie etwas geringer als beim Na-

trium, jedoch grösser als beim Eisen. Matthiessen fand sie = 20,85 bei 20°, 4 gegen Silber = 100, wonach sie für K und Na = 1 : 4,8 ist.

Magnetismus. — K. ist nach Lamy schwach magnetisch.

Phosphorescenz und Brechungsvermögen. S. Natrium.

Spectrum. — Kirchhoff und Bunsen: Pogg. A. 140, 473. — Rutherford: S. Natrium. — Roscoe und Schuster: S. Natrium. — Freemann: Ch. News 18, 4.

Absorption von Wasserdampf. — Troost und Hautefeuille erhielten ähnliche Resultate wie bei Natrium.

### Kaliumhydroxyd. HKO.

Die Krystallform des Hydrats mit 2aq scheint zweigliedrig zu sein. Schöne: Pogg. A. 134, 447.

Volumgewicht von HKO = 2,044. Filhol.

Ausdehnung der Lösungen. — Frankenheim: Pogg. A. 72, 429.

Spec. Wärme derselben. — Thomsen: Pogg. A. 142, 337.

Wärmeentwicklung beim Verdünnen. — Thomsen: S. Natriumhydroxyd.

Bildungs- und Lösungswärme Berthelot: S. Na.

Elektrolyse. — Brester: Kopp Jahresb. 1866, 86.

Elektricitätsleitung der Lösung s. HNaO.

Ueber das Gefrieren der Lösungen De Coppet: Ann. Ch. Phys. (4) 23, 366. 25, 502. 26, 98.

Neutralisationswärme. — Thomsen: Pogg. A. 143, 354.

### Rubidium. Rb. Caesium. Cs.

Spectrum. — Kirchhoff und Bunsen: Pogg. A. 143, 337. 149, 6.



## Salze.

### Fluoride.

#### Einfache Fluoride.

##### Fluorammonium. AmFl.

Sechseckige Prismen und Blättchen, welche auf das sechseckige System deuten. Sehr zerfliesslich. Marignac.

Volum- und Temperaturänderung beim Lösen. Favre und Val C. r. 77, 802.

##### Fluorammonium, saures. HAmFl<sup>2</sup>.

Viergliedrig. Isomorph dem Kaliumsalz. — Obwohl die von der Fläche begrenzten vierseitigen Prismen nach Marignac nicht genau winklig sind, sondern zwei Winkel  $= 94^{\circ} 50'$  zeigen, so hält sie Cloizeaux dennoch für viergliedrig, weil sie optisch einaxig sind. Marignac: Ann. Min. (5) 45. — Des Cloizeaux: Nouv. Rech. 4

Volumgewicht 1,244. Boedecker.

##### Fluorkalium. KFl.

Regulär. Würfel und Oktaeder. V. G. 2,454 Boedecker; Clarke. — Diffusion. Marignac: N. Arch. ph. nat. 50, 89. — Volum- und Temperaturänderung beim Lösen s. Fluorammonium.

##### Fluorkalium, saures. HKFl<sup>2</sup>.

Viergliedrig.  $a : c = 4 : 0,6008 = 4,6643 : 1$  Sénarmont.

$o, p, c.$	Berechnet	Beobachtet
$\left. \begin{array}{l} 2A \\ 2C \end{array} \right\}$	$\left. \begin{array}{l} = 125^{\circ} 30' \\ = 80 \quad 44 \end{array} \right\}$	
$o : c =$		$= 139^{\circ} 38'$
$p =$	$130 \quad 22$	$130 \quad 24$

Optisch einaxig, negativ (repulsiv). Privatmittheilung.

##### Fluornatrium. NaFl.

Regulär. Würfel und Oktaeder. — V. G. 2,558. Clarke.

**Fluornatrium, saures.**  $\text{HNaFl}^2$ .

Sechsgliedrig.  $a : c = 1 : 2,0425$ . Marignac. Beobachtet  $2A$  von  $r = 74^\circ 36'$ .

Häufig Zwillinge nach der Endfläche, an denen  $r : r = 133^\circ 26'$  berechnet,  $133^\circ 30'$  beobachtet. — Ann. Min. (5) 12.

**Fluorsilber.**  $\text{AgFl}$ .

Viergliedrig.  $a : c = 1 : 1,1366$  Marignac.

$o, \frac{o}{3}$	Berechnet	Beobachtet
$o \begin{cases} 2A = 102^\circ 12' \\ 2C \end{cases}$	$102^\circ 12'$	$102-103^\circ$ $125^\circ 14'$
$\frac{o}{3} \begin{cases} 2A = 135 \quad 0 \\ 2C = 65 \quad 32 \end{cases}$	$135 \quad 0$ $65 \quad 32$	$136$ $=$
$o : \frac{o}{3} = 150 \quad 9$	$150 \quad 9$	$150$

Oft nur  $o$ ; tritt  $\frac{o}{3}$  hinzu, so findet sich dieses nur am einen Ende. Die Krystalle sind also hemimorph und gewöhnlich sehr unsymmetrisch. Fig. 25.

Wegen Zerfliesslichkeit lassen sie sich schwer messen. — Ann. Min. (5) 12.

Volumgewicht 5,852 bei  $45^\circ$ .

Löst sich bei  $45^\circ$  in 0,55 Thl. Wasser unter Freiwerden von Wärme; die Lösung reagirt alkalisch und hat das V. G. 2,64. Aus ihr scheidet sich amorphes Salz oder krystallisirtes Hydrat ab. — Gore: Proc. R. Soc. 48, 157.

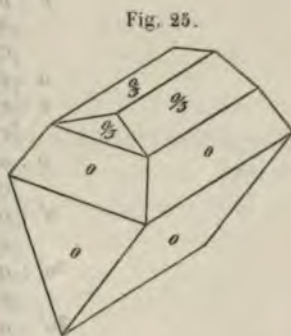


Fig. 25.

**Fluorcalcium.**  $\text{CaFl}^2$ .

Regular. Am Flussspath herrscht der Würfel. Spaltbar nach dem Oktaeder.

Ausdehnung. Die kubische für  $1^\circ = 0,000062$  Kopp. Die lineare für  $1^\circ$  (bei  $40^\circ$ )

senkrecht zur Oktaederfläche = 0,0000494

— — — — — Würfelfläche = ebenso Fizeau.

Volumgewicht. 3,183 Kenngott.

Spec. Wärme. 0,245 Regnault; 0,209 Kopp.

Optisches. Brechungsexponent für Roth 1,433, für Gelb 1,435. Des Cloizeaux.

**Fluormagnesium.  $\text{MgFl}_2$ .**

Als Sellait viergliedrig.  $a : c = 4 : 0,4677$  Strüver.  $\text{An} = 134^\circ 4'$ ,  $2C = 67^\circ 0'$ .

**Fluorzinn.  $\text{SnFl}_2$ .**

(Zinnfluorür.)

Zwei- und eingliedrig.  $a : b : c = 2,749 : 4 : 4,407$  Marignac.  
 $o = 70^\circ 36'$ .

$o, o', 2o', \frac{2}{3}o', p, r, 2r', a, c$ .

	Berechnet	Beobachtet
$o : o =$	$74^\circ 50'$	
$o' : o' =$	$87 \ 26$	$87^\circ 22'$
$o : o' =$	$145 \ 57$	
$o : o' =$	$109 \ 59$	
$2o' : 2o' =$	$47 \ 48$	
$\frac{2}{3}o' : \frac{2}{3}o' =$		$*93 \ 36$
$p : p =$		$*42 \ 35$
$a =$	$111 \ 48$	$111 \ 47$
$c =$	$96 \ 56$	$96 \ 55$
$a : c =$		$*109 \ 24$
$c : r' =$	$149 \ 29$	$149 \ 30$
$2r' =$	$123 \ 55$	$124 \ 45$
$o : a =$	$117 \ 33$	$117 \ 30$
$c =$	$129 \ 39$	$129 \ 43$
$o' : a =$	$96 \ 30$	
$c =$	$120 \ 22$	$120 \ 40$
$2o' : a =$	$104 \ 0$	$103 \ 48$
$c =$	$103 \ 4$	$103 \ 43$
$\frac{2}{3}o' : a =$	$90 \ 34$	$90 \ 35$
$c =$	$133 \ 42$	$133 \ 9$
$r' =$	$135 \ 54$	$135 \ 54$
$2r' =$	$126 \ 42$	$126 \ 46$

Kleine, nach  $c$  tafelförmige Krystalle. — Ann. Min. (5) 42.

**Fluorzink.  $\text{ZnFl}_2 + 4 \text{aq}$ .**

Zweigliedrig.  $a : b : c = 0,4895 : 4 : 0,4396$  Marignac.

$o, \frac{5}{2}p, q$ .

	Berechnet	Beobachtet
$o \left\{ \begin{array}{l} 2A = \\ 2B = 112^\circ 46' \\ 2C = \end{array} \right.$		$*140^\circ 50'$
		$113 \ 0$
		$*99 \ 20$
$\frac{5}{2}p : \frac{5}{2}p =$	$78 \ 30$	$79 \ 30$
$q : q =$	$132 \ 32$	$132 \ 44$

Herrschend  $o$  und  $q$ . Die Flächen sind ziemlich eben, liefern doppelte Bilder. — Ann. Ch. Phys. (3) 60.



**Fluoraluminium.  $\text{AlF}_6$ .**

Rhomboëder;  $2A = 88,5-89^\circ$  Deville. — V. G. 3,065—3,13.  
oedecker.

**Fluorzirkonium.  $\text{ZrF}_4 + 3 \text{ aq.}$** 

Eingliedrig.  $a : b : c = 0,7638 : 1 : 0,6389$  Marignac.

$$A = 112^\circ 6' \quad \alpha = 104^\circ 47'$$

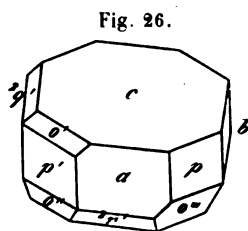
$$B = 116 32 \quad \beta = 110 59$$

$$C = 111 32 \quad \gamma = 103 53$$

$o', o'', o''', p, p', {}^2q', {}^2r', a, b, c.$

	Berechnet	Beobachtet
$a : b =$	$111^\circ 32'$	$111^\circ 34'$
$p =$		$*151 38$
$p' =$	136 40	136 36
$b : p =$	139 54	
$p' =$	111 48	
$p : p' =$		$*108 18$
$b : c =$	112 6	112 14
${}^2q' : c =$	115 42	115 32
$a : c =$	116 32	116 42
${}^2r' : c =$	99 44	99 8
$c : p =$		$*120 6$
$p' =$		$*99 41$
${}^2q' : a =$	89 48	89 38
${}^2q' : p =$	110 26	111 10
$p' =$	119 44	119 46
${}^2r' : p =$	129 36	129 0
$p' =$	133 40	133 10
${}^2q' =$	107 35	107 28
$o' : a =$	138 33	138 20
$c =$	144 11	144 20
$o'' : b =$	125 43	125 20
$c =$	136 45	137 6
$o''' : a =$	123 20	123 11
$b =$	119 15	119 42
$c =$		$*110 50$
${}^2r' =$	147 11	147 17

Fig. 26. Kleine glänzende Krystalle, deren Flächen jedoch, besonders c, etwas gekrümmt, und die sich letzterem dick tafelartig sind. — Ann. Ch. phys. (3) 9.



**Doppelfluoride \*).****1. Von Siliciumfluorid.****Ammoniumsiliciumfluorid.****I.  $\text{Am}^2\text{SiFl}^6$ .**

Dimorph. — A. Reguläre Oktaeder. — Brechungsexponenten  $f$   
 $C = 1,3682$ ;  $D = 1,3696$ ;  $F = 1,3723$  Topsøe und Christia  
 B. Sechsgliedrig.  $a : c = 1 : 0,8268$  Marignac.  
 $d, d^2, p, c$ .

	Berechnet	Beobachtet
$d \left\{ \begin{array}{l} 2A = 139^\circ 36' \\ 2C = 87 \quad 20 \end{array} \right.$		$139^\circ 28'$
$d^2 \left\{ \begin{array}{l} 2A = 127 \quad 25 \\ 2C = 124 \quad 42 \end{array} \right.$		$127 \quad 30$
$c : d =$		$*136 \quad 20$
$d^2 = 117 \quad 39$		$117 \quad 35$
$p : d = 110 \quad 12$		$110 \quad 15$

Theils tafelartige Combinationen  $cd^2$ , theils prismatische  $pcd$   
 Dihexaeder lässt sich als zwei Rhomboeder,  $2A = 106^\circ 32'$ , betrach  
 Optisch einaxig. — B bildet sich neben A in geringerer Menge un  
 wandelt sich beim Umkrystallisiren in dieses.

**II.  $\text{Am}^3\text{SiFl}^7$ .**

Würfelähnliche quadratische Prismen, doppelbrechend. Marig

**Kaliumsiliciumfluorid.  $\text{K}^2\text{SiFl}^6$ .**

Regulär. Isomorph dem Ammoniumsalz. V. G. 2,665.

Löst sich bei  $17^\circ,5$  in 833, bei  $100^\circ$  in 104,8 Theilen Wasser. S

**Natriumsiliciumfluorid.  $\text{Na}^2\text{SiFl}^6$ .**

Sechsgliedrig.  $a : c = 1 : 0,5634$  Marignac.

$d, p, a, c$ .

	Berechnet	Beobachtet
$d \left\{ \begin{array}{l} 2A = 148^\circ 22' \\ 2C = 66 \quad 6 \end{array} \right.$		$148^\circ 30'$
$d : p =$		$*123 \quad 3$
$a = 118 \quad 11$		$118 \quad 8$

Isomorph dem Ammoniumsalz, da die  $c = 3 : 2$ .

Volumgewicht 2,754 bei  $17^\circ,5$ .

Löst sich bei  $17^\circ,5$  in 153,3, bei  $101^\circ$  in 40,66 Th. Wasser. St

\*) Die Arbeiten Marignac's s. insbesondere Ann. Min. (5) 15.

**Lithiumsiliciumfluorid.**  $\text{LiSiFl}^6 + 2 \text{ aq.}$ 

Zwei- und eingliedrig.  $a : b : c = 1,2658 : 1 : 2,2443$  Marignac  
 $\alpha = 62^\circ 0'$ .

$p, q, r, r', \frac{r'}{3}, c.$	Berechnet	Beobachtet
$p : p =$	$83^\circ 38'$	$83^\circ 56'$
$q : q =$	$55 \ 20$	$55 \ 15$
$c =$		$*117 \ 40$
$c : p =$	$108 \ 14$	$108 \ 0$
$r =$	$139 \ 42$	$140 \ 0$
$r' =$		$*96 \ 36$
$\frac{r'}{3} =$		$*144 \ 40$
$p : r' =$	$122 \ 50$	$123 \ 0$
$\frac{r'}{3} =$	$94 \ 53$	$95 \ 0$
$q : r' =$	$93 \ 4$	$93 \ 20$
$\frac{r'}{3} =$	$112 \ 15$	$112 \ 18$

Spaltbar nach  $r'$ , weniger nach  $c$ .

**Baryumsiliciumfluorid.**  $\text{BaSiFl}^6.$ 

Wahrscheinlich sechsgliedrig-rhomboedrisch;  $a : c = 1 : 1,993$ .

Haushofer: Groth Zeitschr. 4, 53.

**Strontiumsiliciumfluorid.**  $\text{SrSiFl}^6 + 2 \text{ aq.}$ 

Zwei- und eingliedrig.

$p, r', c.$	Beobachtet. Marignac.
$p : p =$	$83^\circ - 86^\circ$
$c =$	$103 \ 30'$
$r' =$	$113 \ 36$

Isomorph dem Zinn- und Titansalz. S. dieses.

**Bleisiliciumfluorid.**

I.  $\text{PbSiFl}^6 + 2 \text{ aq.}$

Zwei- und eingliedrig.  $a : b : c = 1,422 : 1 : 1,4306$  Marignac  
 $\alpha = 76^\circ 16'$ .

$p, r', a, c.$	Berechnet	Beobachtet
$p : p =$		$*71^\circ 48'$
$a =$	$125^\circ 54'$	$125 \ 50$
$c =$		$*98 \ 0$
$r' =$	$111 \ 20$	$112 \ 0$
$a : c =$	$103 \ 44$	$104 \ 0$
$r' =$	$128 \ 21$	
$c : r' =$		$*127 \ 55$

Mangelhaft ausgebildete Krystalle, an denen  $a$  und  $r'$  oft fehlen, und die an der Luft feucht werden.

## II. $\text{Pb Si Fl}^6 + 4 \text{ aq.}$

Zwei- und eingliedrig.  $a : b : c = 0,7886 : 1 : 0,9736$  Marignac  
 $\alpha = 88^\circ 30'$ .

$o', p, 2p, r', a, c$

$s = 2a : b : c; s' = 2a' : b : c.$

	Berechnet	Beobachtet
$o' : o' =$	$116^\circ 20'$	
$p : p =$	$103 \ 30$	
$a =$		$*144^\circ 45'$
$c =$	$91 \ 44$	$90 \ 56$
$2p : 2p =$	$64 \ 44$	
$a =$	$122 \ 22$	$122 \ 10$
$c =$	$90 \ 48$	$90 \ 48$
$a : c =$		$*91 \ 30$
$r' =$	$140 \ 24$	$140 \ 32$
$c : r' =$	$128 \ 6$	$128 \ 0$
$s : s =$	$102 \ 56$	$101 \ 10$
$a =$	$113 \ 59$	$114 \ 40$
$s' : s' =$	$104 \ 38$	$100 \ 20$
$a =$	$112 \ 10$	$113 - 114^\circ$
$c =$		$*131 \ 24'$

Fig. 27.



Fig. 27. Ziemlich grosse Krystalle mit herrschenden  $a$  und  $c$ , oft nach letzterem tafelfartig.

## Magnesiumsiliciumfluorid. $\text{Mg Si Fl}^6 + 6 \text{ aq.}$

Isomorph dem folgenden.

## Zinksiliciumfluorid. $\text{Zn Si Fl}^6 + 6 \text{ aq.}$

Sechsgliedrig.  $a : c = 1 : 0,5173$  Marignac.

$r, a, c.$

	Berechnet	Beobachtet
$r, 2A =$		$*127^\circ 6'$
$r : c =$	$149^\circ 9'$	$149 \ 6$
$a =$	$116 \ 22$	$116 \ 22$

Ziemlich grosse Krystalle. Spaltbar nach  $a$ .

Optisch einaxig, positiv. Brechungsexponenten:

$\frac{o}{e}$ für D	C	für D	F
Magnesiumsalz 0,988	$\left\{ \begin{array}{l} o \ 1,3427 \\ e \ 1,3587 \end{array} \right.$	$\left\{ \begin{array}{l} 1,3439 \\ 1,3602 \end{array} \right.$	$\left\{ \begin{array}{l} 1,3473 \\ 1,3634 \end{array} \right.$
Zinksalz . . . 0,9905	$\left\{ \begin{array}{l} o \ 1,3808 \\ e \ 1,3938 \end{array} \right.$	$\left\{ \begin{array}{l} 1,3824 \\ 1,3956 \end{array} \right.$	$\left\{ \begin{array}{l} 1,3860 \\ 1,3992 \end{array} \right.$

Topsøe und Christiansen.

**Mangansiliciumfluorid.**  $\text{Mn Si Fl}^6 + 6\text{aq.}$ Sechsgliedrig.  $a : c = 4 : 0,5044$  Marignac. $r, a$ . —  $2A$  von  $r = 128^\circ 20'$ . — Brechungsexponenten:

$\frac{o}{e}$ für D	C	D	F
0,9875	$o \ 4,3552$	4,3570	4,3605
	$e \ 4,3724$	4,3742	4,3774 Topsøe.

**Nickelsiliciumfluorid.**  $\text{Ni Si Fl}^6 + 6\text{aq.}$ Sechsgliedrig.  $a : c = 4 : 0,5135$  Marignac. $r, 2r', a, c$ . Berechnet Beobachtet

	$2A$ von $r =$	$127^\circ 34'$
	$2r' = 97^\circ 4'$	97 10
Endkante	$r : 2r' = 138 \ 32$	
Ueber $c$	$= 99 \ 28$	99 44
	$a : r = 116 \ 13$	116 13
	$c : r = 149 \ 20$	149 44
	$2r' = 130 \ 8$	130 0

Prismatisch; in der Endigung  $r$  herrschend. Spaltbar nach  $a$ .

$\frac{o}{e}$ für D	C	D	F
0,9889	$o \ 4,3876$	4,3940	4,3950
	$e \ 4,4036$	4,4066	4,4405 Topsøe.

Thermische Constanten v. Lang: Wien. Ak. Ber. 54. Pogg. Ann. 135, 29.

**Kobaltsiliciumfluorid.**  $\text{Co Si Fl}^6 + 6\text{aq.}$ Sechsgliedrig.  $a : c = 4 : 0,524$ . $2A$  von  $r = 126^\circ 59'$  Marignac (Grailich). — Gelbbraune Krystalle.

$\frac{o}{e}$	C
0,9889	$o \ 4,3847; \ e \ 4,3972$ Topsøe.

**Kupfersiliciumfluorid.**I.  $\text{Cu Si Fl}^6 + 4\text{aq.}$ 

Zwei- und eingliedrig.

	Beobachtet	Marignac
$o : o = 138^\circ 0'$	$o : b = 111^\circ 10'$	
$o' : o' = 127 \ 0$	$r = 132 \ 30$	
$b = 116 \ 25$	$c = 143 \ 0$	

Annähernde Werthe, da die Flächen nicht glänzend genug sind. — Isomorph dem Titan- und Zinnsalz.



II.  $\text{CuSiFl}^6 + 6\text{aq.}$ Sechsgliedrig.  $a : c = 1 : 0,5394$  Marignac. $r, 2r', p, a.$ 

Beobachtet

Marignac

Ramr

 $2A$  von  $r =$  $*125^\circ 30'$  $121$ 

Ich beobachtete dreiseitige Prismen  $a$  mit einzelnen  $p$  u  
trischer Ausbildung vor  $r$ .

$\frac{o}{e}$	C	D	F
1,0009	$o \ 1,4074$	$1,4092$	$1,41$
	$e \ 1,4062$	$1,4080$	$1,41$

## 2. Von Titanfluorid.

## Ammoniumtitanfluorid.

I.  $\text{Am}^2\text{TiFl}^6$ .Sechsgliedrig.  $2A$  von  $r = 107^\circ - 108^\circ$  Marignac.

Silicium- und Zinnsalz.

II.  $\text{Am}^3\text{TiFl}^7$ .

Von der Form des entsprechenden Siliciumsalzes.

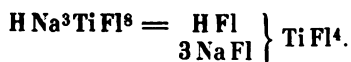
Kaliumtitanfluorid.  $\text{K}^2\text{TiFl}^6 + \text{aq.}$ Zwei- und eingliedrig.  $a : b : c = 0,9924 : 1 : 1,040$  $o = 84^\circ 18'$ .

$o, \frac{1}{3}o', p, q^2, r', a, b, c.$	Berechnet	Beobachtet
$o : o =$	$113^\circ \ 2'$	
$p : p =$		$* \ 94^\circ \ 6'$
$a =$	$135 \ 33$	$135 \ 30$
$b =$	$134 \ 27$	$134 \ 30$
$c =$		$* \ 96 \ 12$
$q^2 : q^2 =$	$51 \ 20$	
$c =$		$*115 \ 40$
$q^2 : p = \left\{ \begin{array}{l} 132 \ 44 \\ 125 \ 46 \end{array} \right.$		$132 \ 38$ $125 \ 54$
$a : c =$	$98 \ 42$	$98 \ 40$
$o : c =$	$128 \ 26$	$128 \ 0$
$\frac{1}{3}o' : \frac{1}{3}o' =$	$79 \ 22$	
$c =$	$108 \ 27$	$111 \ 20$

Dünne Blättchen nach  $c$ . — Isomorph dem Kaliumnick  
V. G. 2,080 Boedeker.

Natriumtitanfluorid.  $\text{NaTiFl}^6$ .

Sechsgliedrig. Isomorph dem Siliciumsalz. Meist sechs  
ohne deutliche Endigung.

**Natriumtitanfluorid, saures.**

Zweigligedrig.  $a : b : c = 0,9325 : 1 : 1,0373$  Marignac.

$$p, \frac{q}{2}, a, b. - s = a : 2b : c$$

	Berechnet	Beobachtet
$p : p =$	$94^\circ 0'$	
$b =$		$*133^\circ 0'$
$\frac{q}{2} : \frac{q}{2} =$		$*125 \ 20$
$b =$	$117 \ 20$	$117 \ 20$
$s \left\{ \begin{array}{l} 2A = \\ 2B = \\ 2C = \end{array} \right.$	$\begin{array}{l} 144 \ 48 \\ 90 \ 34 \\ 104 \ 28 \end{array}$	$\begin{array}{l} 144 \ 48 \\ \\ 104 \ 10 \end{array}$
$s : b =$	$109 \ 6$	$109 \ 5$
$\frac{q}{2} =$	$135 \ 17$	$135 \ 30$

Isomorph  $\text{Am}^4 \text{Sn Fl}^6$ . — Ebene der optischen Axen  $ab$ , Mittellinie  $b$ .

**Strontiumtitanfluorid.  $\text{Sr Ti Fl}^6 + 2\text{aq.}$** 

Zwei- und eingliedrig.  $a : b : c = 1,2066 : 1 : 1,2294$  Marignac

$$o = 68^\circ 54'.$$

$p, r', c.$	Berechnet	Beobachtet
$p : p =$		$* 83^\circ 44'$
$c =$		$*103 \ 50$
$r' : c =$	$123^\circ 40'$	$123 \ 48$
$p =$		$*112 \ 32$

Isomorph dem Silicium- und Zinnsalz.

**Magnesiumtitanfluorid.  $\text{Mg Ti Fl}^6 + 6\text{aq.}$** 

Sechsgliedrig.  $2A$  von  $r = 128^\circ$  Marignac.

**Zinktitanfluorid.  $\text{Zn Ti Fl}^6 + 6\text{aq.}$** 

Sechsgliedrig.  $a : c = 1 : 0,513$  Marignac.

$r, a, c.$	Berechnet	Beobachtet
$2A$ von $r =$		$*127^\circ 34'$
$r : c =$	$149^\circ 20'$	
$a =$	$116 \ 43$	

**Mangantitanfluorid.  $\text{Mn Ti Fl}^6 + 6\text{aq.}$** 

Sechsgliedrig.  $a : c = 1 : 0,515$  Marignac.

$$2A \text{ von } r = 127^\circ 24'.$$

**Kupfertitanfluorid.**  $\text{Cu Ti Fl}^6 + 4 \text{ aq.}$ 

Isomorph dem entsprechenden Silicium- und Zinnsalz. Prismatisch nach  $p$  oder tafelartig nach  $r$ . Die Winkel zeigen erhebliche Schwankungen. Marignac.

**Ammonium-Kupfertitanfluorid.**  $\text{Am Cu Ti Fl}^7 + 4 \text{ aq.}$ 

Viergliedrig.  $a : c = 1 : 1,0767$ . Marignac.

$a, d, \frac{d}{2}, p, c.$	Berechnet	Beobachtet
$o \left\{ \begin{array}{l} 2A = 107^\circ 32' \\ 2C = 113 \quad 26 \end{array} \right.$		
$d \left\{ \begin{array}{l} 2A = 117 \quad 36 \\ 2C = 94 \quad 14 \end{array} \right.$		
$\frac{d}{2} \left\{ \begin{array}{l} 2A = 140 \quad 50 \\ 2C = 56 \quad 36 \end{array} \right.$		$140^\circ 52'$
$p : o = 146 \quad 36$		$146 \quad 44$
$c : o = 123 \quad 17$		$123 \quad 10$
$d = 132 \quad 53$		$133 \quad 2$
$\frac{d}{2} =$		$*151 \quad 42$

Die Oktaederflächen sind selten. Spaltbar nach  $c$ . — Optisch einachsig.

**Kalium-Kupfertitanfluorid.**  $\text{K Cu Ti Fl}^7 + 4 \text{ aq.}$ 

Isomorph dem vorigen. — Beide Salze sind isomorph dem Ammonium-Kupferwolframoxyfluorid. Marignac.

## 3. Von Zinnfluorid.

**Ammonium-Zinnfluorid.**I.  $\text{Am}^2\text{Sn Fl}^6$ .

Sechsgliedrig.  $a : c = 1 : 0,8062$  Marignac.

$r, \frac{5}{3}r, p, c.$	Berechnet	Beobachtet
$r \quad 2A =$		$*107^\circ 40'$
$\frac{5}{3}r - = 86^\circ 34'$		$87$
$c : r = 137 \quad 3$		$137 \quad 30$
$\frac{5}{2}r = 122 \quad 48$		$123 \quad 30$
$p : r = 132 \quad 57$		$133 \quad 7.$

Das Hauptrhomboeder herrschend; oft tafelartig nach  $c$ . — Zwillinge nach  $r$ .  $r : r = 144^\circ 40' \quad 145^\circ 40'$

Meist sind zwei Zwillingsblättchen gekreuzt durchgewachsen.

Die Ausbildung ist unvollkommen, die Flächen sind gekrümmt. Man findet sich auch noch andere Rhomboeder, die jedoch nicht messbar sind.

Isomorph dem entsprechenden Silicium- und Titansalz.



II.  $\text{Am}^4\text{SnFl}^6$ .Zweigliedrig.  $a : b : c = 0,8988 : 1 : 1,0289$ . Marignac.

$p; q; r$ .	Berechnet	Beobachtet
$p : p =$		$96^\circ 6'$
$q : q =$		$88 22$
$r : r = 82^\circ 16'$		
$p : q = 118 39$		$118 36$

Oft Zwillinge nach  $q$  ( $q : q = 176^\circ 44'$ ), die als dreiseitige Blättchen erscheinen, an denen zwei Flächen  $q$  vorn einen ausspringenden, hinten einen einspringenden Winkel bilden.

Isomorph dem  $\text{HNa}^3\text{TiFl}^6$ .

## Kalium-Zinnfluorid.

I.  $\text{K}^2\text{SnFl}^6 + \text{aq}$ .Zweigliedrig.  $a : b : c = 0,850 : 1 : 1,2876$  Marignac. $o; \frac{o}{3}; \frac{o}{5}; q; r; c$ .

$s = a : \frac{1}{3}b : c$ .	Berechnet	Beobachtet
$o \left\{ \begin{array}{l} 2A = \\ 2B = 94^\circ 12' \\ 2C = \end{array} \right.$		$109^\circ 18'$
$\frac{o}{3} \left\{ \begin{array}{l} 2A = 138 4 \\ 2B = 130 14 \\ 2C = 67 4 \end{array} \right.$		$126 36$
$\frac{o}{5} \left\{ \begin{array}{l} 2A = 152 18 \\ 2B = 147 18 \\ 2C = 43 22 \end{array} \right.$		
$s \left\{ \begin{array}{l} 2A = 50 20 \\ 2B = 138 26 \\ 2C = 152 54 \end{array} \right.$		$50 25$
$q : q = 75 40$		
$r : r = 66 52$		
$q : c = 127 50$		$127 56$
$r : c = 123 26$		$123 25$
$o : c = 116 42$		$116 40$
$r = 144 39$		$145 0$
$\frac{o}{3} : c = 146 28$		$146 40$
$\frac{o}{5} : c = 158 19$		$158 0$
$s : c = 103 33$		$103 20$

Dünne Tafeln und Blättchen nach  $c$  oder oktaedrische Formen.

Isomorph dem entsprechenden Natrium-Tantalfluorid.

II.  $\text{HK}^3\text{SnFl}^8$ .

Zwei- und eingliedrig.  $a : b : c = 0,6278 : 4 : 0,4859$  Ma  
 $o = 86^\circ 20'$

$o; o'; p; b; c.$	Berechnet	Beobachtet
$o : o =$	$136^\circ 48'$	$136^\circ 50'$
$o' : o' =$	$139 \ 40$	$139 \ 6$
$o : o' =$	$110 \ 19$	
$o : o' =$	$84 \ 48$	
$p : p =$		$*115 \ 52$
$b =$	$122 \ 4$	$122 \ 4$
$c =$	$93 \ 6$	$93 \ 0$
$o : b =$	$110 \ 25$	
$p =$		$*134 \ 5$
$o' : b =$	$111 \ 36$	$111 \ 50$
$p =$		$*130 \ 43$

Dünne Prismen  $p$ . — Zwillinge nach  $a$ , wodurch die Endig-  
 gliedrig erscheint.

Isomorph dem Salze  $\text{HK}^3\text{NbOFl}^7$ .

**Lithium-Zinnfluorid.**  $\text{Li}^2\text{SnFl}^6 + 2\text{aq.}$ 

Zwei- und eingliedrig. Marnag.

Kleine Krystalle, Prismen  $p$  von  $94^\circ 30'$ , mit einer schi-  
 schärfung durch ein Augitpaar  $o$ , dessen Kanten  $= 137^\circ 30'$ .  
 $o : p = 116^\circ 10'$ . — Stets Zwillinge, auch die kleinen anschein-  
 fachen Krystalle ( $p : p = 168^\circ 30'$ ).

Wahrscheinlich isomorph dem  $\text{Li}^2\text{SiFl}^6 + 2\text{aq.}$

**Strontium-Zinnfluorid.**  $\text{SrSnFl}^6 + 2\text{aq.}$ **Calcium-Zinnfluorid.**  $\text{CaSnFl}^6 + 2\text{aq.}$ 

Zwei- und eingliedrig.

$p : c.$	Beobachtet
	Sr Ca
$p : p =$	$82^\circ\text{—}83^\circ$ $84^\circ 45'$
$p : c =$	$103 \ 46'$ $103 \ 30$

Isomorph dem  $\text{SrSiFl}^6 + 2\text{aq.}$

**Baryum-Zinnfluorid.**  $\text{BaSnFl}^6 + 3\text{aq.}$ 

Zwei- und eingliedrig.  $a : b : c = 0,747 : 4 : 0,822$  Ma  
 $o = 74^\circ 30'$

$o'; p; q^2; r, \frac{r'}{2}; a : b : c.$

	Berechnet	Beobachtet
$o' : o' =$		*116° 44'
$p : p = 108^{\circ} 30'$		
$b = 125 \ 45$		125 40
$c = 102 \ 34$		102
$q^2 : q^2 = 64 \ 32$		
$c = 122 \ 46$		122 26
$a : c =$		*105 30
$c : r =$		*140 40
$\frac{r'}{2} = 148 \ 8$		148 20
$o' : a = 123 \ 44$		123 40
$b = 121 \ 53$		121 54
$c = 118 \ 4$		117 44

Dünne Blättchen nach c.

**Blei-Zinnfluorid.**  $\text{Pb Sn Fl}^6 + 3 \text{ aq.}$

Zwei- und eingliedrig.  $a : b : c = 0,748 : 1 : 0,856$  Marignac.  
 $\alpha = 75^{\circ} 42'$

Die Flächen des vorigen, ohne a, anstatt  $q^2$  jedoch q.

	Berechnet	Beobachtet
$o' : o' =$		*115° 44'
$p : p = 108^{\circ} 6'$		
$b = 125 \ 57$		126 40
$c = 104 \ 32$		104 50
$q : q = 100 \ 40$		
$c = 140 \ 20$		140 15
$c : r =$		*139 12
$\frac{r'}{2} = 147 \ 10$		147 20
$o' : b = 122 \ 8$		122 8
$c =$		*117 24
$q = 134 \ 42$		134 45
$p : q = 102 \ 44$		102 0
$r = 131 \ 36$		131 46
$q : r = 125 \ 40$		125 40

Vom Ansehen des ihm isomorphen Baryumsalzes. Die Fläche c ist parallel den Kanten mit q gestreift.

**Magnesium-Zinnfluorid.**  $\text{Mg Sn Fl}^6 + 6 \text{ aq.}$

Sechsgliedrig-rhomboedrisch.  $r; a.$

$2A$  von  $r = 127^{\circ}$  Marignac.

Granatoederähnliche Combinationen, deren Flächen gekrümmt sind.

**Zink-Zinnfluorid.**  $\text{Zn Sn Fl}^6 + 6 \text{ aq.}$

Sechsgliedrig.  $a : c = 1 : 0,549.$  Marignac.

$r; 2r'; a; c.$	Berechnet	Beobachtet	
$r : 2A =$		$127^{\circ} 8'$	
$2r' - =$	$96^{\circ} 38'$	$96 50$	
$r : 2r' =$	$98 54$	$99 14$	über c
	$= 138 19$		Endk.
$a : r =$	$116 26$	$116 26$	
$2r' =$	$131 41$	$131 35$	

Isomorph dem Silicium- und Titansalz, sowie den übrigen  
+ 6 aq. (Mg, Mn, Ni, Co).

**Mangan-Zinnfluorid.**  $Mn Sn Fl^6 + 6 aq.$

Sechsgliedrig.  $a : c = 1 : 0,545$  Marignac.

$r; a.$   $2A$  von  $r = 127^{\circ} 22'.$

Isomorph den Salzen von Si und Ti.

**Nickel-Zinnfluorid.**  $Ni Sn Fl^6 + 6 aq.$

Sechsgliedrig.  $2A$  von  $r =$  etwa  $127^{\circ}.$

**Kadmium-Zinnfluorid.**  $Cd Sn Fl^6 + 6 aq.$

Sechsgliedrig. Gleich dem Nickelsalz. Drei abwechselnde F  
herrschen vor.

**Kupfer-Zinnfluorid.**  $Cu Sn Fl^6 + 4 aq.$

Zwei- und eingliedrig.  $a : b : c = 0,7536 : 1 0,5593$  Mari  
 $o = 75^{\circ} 50'$

$o; o'; a; b; c.$	Berechnet	Beobachtet
$o : o =$		$137^{\circ} 42'$
$o' : o' =$		$127 6$
$o : o' =$	$114^{\circ} 16'$	$114 15$
$o : o' =$	$85 4$	$85 6$
$a : c =$	$104 10$	$104 6$
$o : a =$	$131 37$	
$b =$	$111 24$	
$c =$	$142 41$	$142 44$
$o' : b =$	$116 27$	$116 30$
$c =$	$114 7$	$114 14$

Isomorph dem Silicium- und Titansalz.

4. Von Zirkoniumfluorid.

**Ammonium-Zirkonfluorid.**

I.  $Am^2 Zr Fl^6.$

Zweigliedrig.  $a : b : c = 0,5738 : 1 0,659$  Marignac.

$p, \frac{r}{2}, a, b, c.$  —  $n = 2a : b : c.$

	Berechnet	Beobachtet
$n \left\{ \begin{array}{l} 2A = \\ 2B = 128^\circ 46' \\ 2C = 82 \ 20 \end{array} \right.$		$\sim 120^\circ 30'$
$p : p =$		$\sim 120 \ 18$
$b = 119 \ 54$		119 50
$\frac{r}{2} : \frac{r}{2} = 120 \ 16$		
$c = 150 \ 8$		150 0
$n : a = 115 \ 37$		115 40
$b = 119 \ 45$		119 43
$c = 138 \ 50$		139 0

Tafelartig nach  $b$ , von sechsgliedrigem Ansehen. In der Endigung oft nur  $c$ , die  $n$  meist unvollzählig,  $a$  und  $\frac{r}{2}$  selten.

## II. $\text{Am}^3\text{ZrF}^{17}$ .

Regulär. Oktaeder, selten Würfel. Marignac hält es für isomorph mit den entsprechenden Salzen von Silicium und Titan, obwohl diese viergliedrig zu sein scheinen.

### Kalium-Zirkonfluorid.

#### I. $\text{K}^2\text{ZrF}^{16}$ .

Zweigliedrig.  $a : b : c = 0,5715 : 1 : 0,6063$  Marignac.

$o, p, q, q^2, q^4, q^{\frac{1}{2}}, \frac{q}{6}, r, b, c$ .

$s = a : \frac{1}{3}b : c$	Berechnet	Beobachtet
$o \left\{ \begin{array}{l} 2A = \\ 2B = 95^\circ 34' \\ 2C = 78 \ 35 \end{array} \right.$		$\sim 134^\circ 50'$ 95 24
$s \left\{ \begin{array}{l} 2A = 77 \ 25 \\ 2B = 125 \ 51 \\ 2C = 129 \ 12 \end{array} \right.$		
$p : p =$	120 30	120 20
$b =$	119 45	120
$q : q =$	117 32	118 4
$q^2 : q^2 =$		$\sim 79 \ 1$
$q^4 : q^4 =$	44 49	44 48
$q^{\frac{1}{2}} : q^{\frac{1}{2}} =$	132 14	
$\frac{q}{6} : \frac{q}{6} =$	168 28	168 26
$r : r =$	86 37	86 40
$c =$	133 18	133 30
$o : b =$	112 35	112 37
$p =$	140 42	140 50
$q =$	137 47	137 38
$s : b =$	141 17	141 24
$o =$	141 28	141 20

Fig. 28.

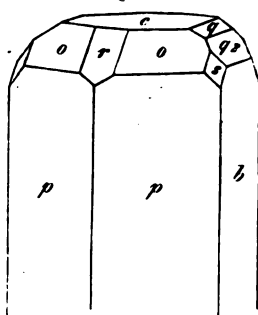


Fig. 28. Dünne Prismen  $pb$  mit sechs-

flächiger Zuspitzung  $oq^2$  oder niedrige Prismen  $p$  mit mehrfacher Zuspitzung durch die zweiten Paare.

## II. $K^3ZrFl^7$ .

Regulär.

## III. $KZrFl^5 + aq$ .

Zwei- und eingliedrig. Schlecht ausgebildete Combinationen  $p$  und  $o$ .

Beobachtet

$$\begin{array}{ll} p : c = 133-134^\circ & o' : o' = 118-124^\circ \\ c : r' = 119-120 & c = 114-118 \\ & p = 110-114 \text{ Marignac} \end{array}$$

## Natrium-Zirkonfluorid. $Na^5Zr^2Fl^{13}$ .

Zwei- und eingliedrig.  $a : b : c = 2,1077 : 1 : 1,516$  Marignac  
 $o = 82^\circ 58'$ .

$o, \frac{o}{2}, p, p^3, 2r, r', 2r', c$ .

	Berechnet	Beobachtet
$o : o =$		$84^\circ 44'$
$\frac{o}{2} : \frac{o}{2} =$	$111^\circ 27'$	
$p : p =$	51 6	54 30
$c =$		93 2
$p^3 : p^3 =$	110 14	109 30
$c =$	95 46	96 10
$c : 2r =$	129 30	129 25
$r' =$	141 28	141 30
$2r' =$	120 0	120 18
$p : 2r =$	111 20	111 40
$p^3 : 2r =$	134 24	133 58
$2r' =$	130 54	130 20
$o : c =$		123 10
$\frac{o}{2} : c =$	144 26	141 10

Fig. 29.

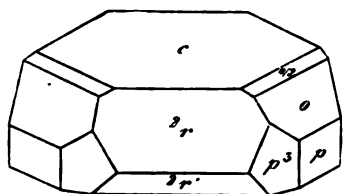


Fig. 29. Sehr kleine glänzende stalle, meist tafelartig nach  $c$ . Oft Zwil durchwachsung, anscheinend nach  $4r$ .

## Magnesium-Zirkonfluorid. $MgZrFl^6 + 5aq$ .

Zwei- und eingliedrige Combinationen  $p, c, 2r'$  mit glänzenden stark gekrümmten Flächen, so dass die Messungen sehr abweichende Werthe geben. Marignac.

## Mangan-Zirkonfluorid.

### I. $MnZrFl^6 + 5aq$ .

Zwei- und eingliedrig.  $a : b : c = 2,09 : 1 : 1,2515$  Marignac  
 $o = 56^\circ 50'$

$o, p, 2r', c.$  —  $s' = \frac{1}{3}a' : b : c.$

	Berechnet	Beobachtet
$o : o =$	$109^{\circ} 7'$	$109^{\circ} 50'$
$s' : s' =$	$110 \ 20$	$110 \ 30$
$p : p =$		$*59 \ 30$
$c =$		$*105 \ 45$
$2r' : c =$	$111 \ 49$	$111 \ 40$
$p =$	$106 \ 33$	$106 \ 24$
$o : c =$		$*140 \ 0$
$s' : c =$	$92 \ 19$	$92 \ 8$
$o =$	$121 \ 51$	$121 \ 45$

Oft tafelartig nach  $c$ . — Zwillinge nach  $c$ . — Ebene der optischen Axen  $ac$ .

II.  $Mn^2ZrFl^8 + 6 aq.$

Zwei- und eingliedrig.  $a : b : c = 1,371 : 1 : 0,836$  Marignac.

$o = 61^{\circ} 19'.$

$o', 2o', p, 2r' a, b, c.$

	Berechnet	Beobachtet
$o' : o' =$	$100^{\circ} 48'$	$100^{\circ} 50'$
$2o' : 2o' =$	$76 \ 3$	$76 \ 0$
$p : p =$		$*79 \ 28$
$a =$	$129 \ 44$	$129 \ 40$
$c =$		$*107 \ 52$
$c : a =$	$118 \ 41$	$119 \ 12$
$2r' =$	$111 \ 11$	$111 \ 36$
$o' : a =$	$96 \ 29$	$96 \ 36$
$c =$		$*127 \ 55$
$p =$	$114 \ 43$	$115 \ 0$
$2o' : c =$	$102 \ 52$	$103 \ 0$
$2r' =$	$128 \ 2$	$128 \ 0$

Blassrothe, ziemlich glänzende Krystalle, oft nur  $p$  und  $c$  zeigend. Spaltbar nach  $c$ . — Ebene der optischen Axen  $ac$ .

### Zink-Zirkonfluorid.

I.  $ZnZrFl^6 + 6 aq.$

Sechsgliedrig.  $a : c = 1 : 0,5176$  Marignac.

$r, 2r' a, c.$

	Berechnet	Beobachtet
$2A$ von $r =$		$*127^{\circ} 14'$
$2r' =$	$96^{\circ} 46'$	
$r : 2r' =$	$99 \ 2$	$98 \ 52$
	$= 138 \ 23$	über $c$
$a : r =$	$116 \ 23$	$116 \ 21$
$2r' =$	$131 \ 38$	$131 \ 42$

Endk.

Spaltbar nach  $a$ .

II.  $\text{Zn}^2\text{ZrFl}^8 + 42\text{aq.}$ 

Zwei- und eingliedrig. Isomorph den folgenden.

Beobachtet

$o : o = 109^\circ 50'$	$o : q = 149^\circ$
$o' : o' = 80$	$r = 145$
$q : q = 69 50$	$o' : r' = 131$
$o : c = 132$	

Sehr complicirte und zwillingsartig verwachsene Krystalle. Marign

## Nickel-Zirkonfluorid.

I.  $\text{NiZrFl}^6 + 6\text{aq.}$ 

Isomorph dem Zinksalz.

II.  $\text{Ni}^2\text{ZrFl}^8 + 42\text{aq.}$ Zwei- und eingliedrig.  $a : b : c = 1,245 : 1 : 1,6327$  Marign $o = 60^\circ 50'.$  $o, o', q, r, r', 2r', a, c.$ 

Berechnet

Beobachtet

$o : o =$		$= 110^\circ 0'$
$o' : o' = 81^\circ 27'$		
$q : q = 70 18$		70 8
$c = 125 9$		125 5
$a = 106 18$		106 10
$a : c = 119 40$		119 0
$r =$		$= 154 30$
$r' = 134 26$		
$c : r = 144 40$		144 43
$r' = 106 24$		106 8
$2r' : a = 158 21$		158 30
$c = 97 34$		97 30
$o : a = 137 40$		137 42
$c =$		$= 131 56$
$q = 148 37$		148 30
$r = 145 0$		145 0
$o' : a = 117 44$		117 6
$r' = 130 44$		131 0

Fig. 30.



Meist Zwillinge nach  $a$  und zugleich nach Fig. 30. In dieser Art gruppieren sich drei stalle, wiewohl ohne scharfe Zwillingsgrenze

Kadmium-Zirkonfluorid.  $\text{Cd}^2\text{ZrFl}^8 + 6\text{aq.}$ Zwei- und eingliedrig.  $a : b : c = 1,384 : 1 : 0,838$  Marign $o = 60^\circ 17'.$ Die Flächen des isomorphen Mangansalzes und  $o.$



	Berechnet	Beobachtet
$o : o =$	$105^{\circ} 31'$	$105^{\circ} 30'$
$o' : o' =$		$*100 \ 30$
$2o' : 2o' =$	$75 \ 24$	$75 \ 20$
$p : p =$	$79 \ 31$	$79 \ 50$
$a =$	$129 \ 46$	$130 \ 0$
$a : c =$	$119 \ 43$	$120 \ 0$
$c : 2r' =$	$110 \ 47$	$110 \ 44$
$o =$	$131 \ 42$	$132 \ 8$
$o' : a =$	$95 \ 32$	$95 \ 8$
$c =$		$*127 \ 55$
$2o' : a =$	$112 \ 53$	$113 \ 20$
$c =$		$*102 \ 32$

**Kupfer-Zirkonfluorid.****I.  $\text{Cu}^2\text{ZrFl}^8 + 12\text{aq.}$** 

Zwei- und eingliedrig.  $a : b : c = 1,255 : 1 : 1,4727$  Marignac.  
 $o = 74^{\circ} 32'.$

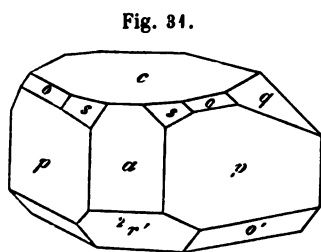
$o, o', q, r', c.$	Berechnet	Beobachtet
$o : o =$	$110^{\circ} \ 7'$	$110^{\circ} 20'$
$o' : o' =$		$*79 \ 40$
$q : q =$	$70 \ 20$	
$c =$		$*125 \ 40$
$c : r' =$		$*105 \ 28$
$o : c =$	$132 \ 55$	$132-134^{\circ}$
$o' : c =$	$99 \ 47$	$100^{\circ} \ 0'$
$q =$	$136 \ 42$	$136 \ 46$
$r' =$	$129 \ 35$	$129 \ 32$

Isomorph dem entsprechenden Nickelsalz.

**II.  $\text{Cu}^3\text{Zr}^2\text{Fl}^{14} + 16\text{aq.}$** 

Zwei- und eingliedrig.  $a : b : c = 1,08 : 1 : 1,034$  Marignac.  
 $s = \frac{1}{2}a : b : c. \quad o = 88^{\circ} 44'.$

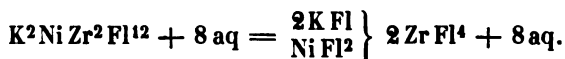
$o, o', \frac{o'}{2}, p, q, 2r'; a, b, c.$	Berechnet	Beobachtet
$o : o =$	$107^{\circ} 22'$	
$o' : o' =$	$105 \ 40$	$105^{\circ} 36'$
$o : o' =$	$112 \ 41$	
$o : o' =$	$109 \ 46$	
$\frac{o'}{2} : \frac{o'}{2} =$	$129 \ 30$	
$s : s =$	$129 \ 26$	
$p : p =$		$*85 \ 38$
$a =$	$132 \ 49$	$132 \ 50$
$b =$	$137 \ 11$	$137 \ 6$
$c =$	$91 \ 12$	$91 \ 11$



Berechnet	Beobachtet
$q : q = 89^{\circ} 16'$	
$c = 134 \ 38$	$133^{\circ} 52'$
$a : c =$	$* 91 \ 46$
$2r' = 152 \ 3$	
$c : 2r' =$	$* 116 \ 11$
$p : q = 120 \ 50$	$121 \ 30$
$2r' = 126 \ 54$	$126 \ 51$
$o : c = 126 \ 10$	$125 \ 48$
$o' : a = 122 \ 48$	$122 \ 58$
$c = 124 \ 34$	$124 \ 40$
$p = 94 \ 18$	$94 \ 20$
$\frac{o'}{2} : c = 144 \ 27$	$144 \ 36$
$s : a = 143 \ 33$	$143 \ 30$
$b = 115 \ 17$	$115 \ 30$
$c = 115 \ 58$	$115 \ 53$
$p = 149 \ 19$	$149 \ 10$

Schöne blaue Krystalle, Fig. 34, an  $s$  am seltensten ist.

### Kalium-Nickel-Zirkonfluorid.



Zwei- und eingliedrig.  $a : b : c = 0,6588 : 4 : 4,1773$  Marig  
 $o = 84^{\circ} 20'$ .

$o', \frac{o}{2}, p, q, \frac{q}{2}, r, r'; a, b, c$

$s = a : \frac{1}{3}b : c$

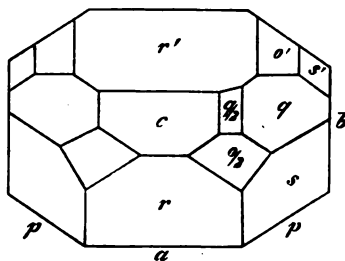
$s' = a' : \frac{1}{3}b : c.$

Berechnet	Beobachtet
$o' : o' = 118^{\circ} \ 4'$	
$\frac{o}{2} : \frac{o}{2} = 134 \ 43$	
$s : s = 84 \ 35$	
$s' : s' = 79 \ 48$	
$p : p =$	$* 113^{\circ} 30'$
$b = 123 \ 15$	$123 \ 12$
$c = 94 \ 44$	$95 \ 0$
$q : q = 80 \ 53$	$81 \ 8$
$b = 139 \ 33$	$139 \ 26$
$a = 94 \ 53$	$95 \ 20$
$\frac{q}{2} : \frac{q}{2} = 119 \ 12$	
$b = 120 \ 24$	$120 \ 20$
$a = 93 \ 40$	$93 \ 50$
$a : c =$	$* 95 \ 40$

	Berechnet	Beobachtet
$a : r =$	152 13	
$r' =$	149 31	
$c : r =$	123 27	123 36
$r' =$		*114 49
$p : q =$	117 57	118 0
$r =$	137 43	137 45
$r' =$	136 15	136 5
$q : r =$	110 57	111 5
$r' =$	105 48	105 50
$o' : a =$	137 42	137 20
$b =$	120 53	120 55
$c =$	111 7	111 10
$\frac{o}{2} : c =$	135 35	136 0
$r =$	151 48	152 10
$s : b =$	137 42	137 46
$c =$	111 46	112 0

Sehr kleine, aber scharf ausgebildete Kristalle. Fig. 32. Die Flächen  $\frac{o}{2}$ ,  $s$ ,  $s'$ ,  $\frac{q}{2}$  sind selten. — Zuweilen Zwillinge nach  $c$ .

Fig. 32.



### 5. Von Tantalfluorid.

#### Ammonium-Tantalfluorid. $\text{Am}^2\text{TaFl}^7$ .

Viergliedrig.  $a : c = 1 : 1,275$  Marignac.

	Berechnet	Beobachtet
$o \left\{ \begin{array}{l} 2A = 103^\circ 36' \\ 2C = 122 \quad 0 \end{array} \right.$		$103^\circ 30'$
$o : c =$		*119 0

Tafelartig nach  $c$ . — Optisch einaxig.

#### Kalium-Tantalfluorid. $\text{K}^2\text{TaFl}^7$ .

Zweiglig.  $a : b : c = 0,668 : 1 : 0,637$  Marignac.

	Berechnet	Beobachtet
$o, p, b. \left\{ \begin{array}{l} 2A = 130^\circ 30' \\ 2B = 102 \quad 24 \\ 2C = 97 \quad 44 \end{array} \right.$		$131^\circ 0'$
$p : p =$		*112 30
$b =$	123 45	123 50
$o : b =$		*114 45
$p =$	138 54	

Feine Nadeln  $p, b$ . — Nicht isomorph dem vorigen.

#### Natrium-Tantalfluorid. $\text{Na}^2\text{TaFl}^7 + \text{aq.}$

Zweiglig.  $a : b : c = 0,838 : 1 : 1,2746$  Marignac.

$o, \frac{q}{2}, r, b, c.$

	Berechnet	Beobachtet
$\left. \begin{array}{l} 2A = \\ 2B = \\ 2C = \end{array} \right\} o$	$\left. \begin{array}{l} 93^{\circ} 38' \\ 126 \quad 30 \end{array} \right\}$	$\begin{array}{l} *110^{\circ} \quad 0' \\ \end{array}$
$\frac{q}{2} : \frac{q}{2} =$	114 58	
$c =$	117 30	118
$r : r =$	66 40	
$c =$		*123 20
$o : b =$	125 0	125 0
$c =$	116 45	117 0

Isomorph dem  $K^2SnFl^6 + aq$ .

## 6. Von Niobfluorid und Nioboxyfluorid

### Kalium-Niobfluorid. $K^2NbFl^7$ .

Zweiglig.  $a : b : c = 0,668 : 1 : 0,635$  Marignac.

$p, q, b$ .

	Berechnet	Beobachtet
$p : p =$		*112° 30'
$b =$	123° 45'	124
$q : q =$		*115 40
$b =$	122 25	120 30

Sehr kleine warzenförmig gruppierte Prismen. — Isomorph dem T:

### Ammonium-Nioboxyfluorid.

#### I. $Am^2NbOFl^5$ .

Zweiglig.  $a : b : c = 0,8366 : 1 : 1,0058$  Marignac.

$q, \frac{q}{2}, r^2, r^{\frac{2}{3}}, c$ .

	Berechnet	Beobachtet
$q : q =$	89° 40'	
$c =$		*134° 50'
$\frac{q}{2} : \frac{q}{2} =$	126 36	
$c =$	153 48	153 20
$r^2 : r^2 =$	45 40	
$c =$		*112 35
$r^{\frac{2}{3}} : r^{\frac{2}{3}} =$	102 36	
$c =$	141 48	141 30

Dünne Tafeln nach  $c$ .

#### II. $Am^3NbOFl^6$ .

Reguläre Oktaeder; bisweilen Würfel. Einfach brechend. Ma

III.  $Am^5Nb^3O^3Fl^{14} + aq = (5AmFl + 3NbOFl^3) + aq$

Sechsgliedrig.  $a : c = 1 : 0,394$  Marignac.

$d, a, c.$	Berechnet	Beobachtet
$d \begin{cases} 2A = 155^\circ 59' \\ 2C = 49 \quad 8 \end{cases}$		$155^\circ 52'$ $49 \quad 6$
$d : a =$		$*111 \quad 7$
$c = 155 \quad 26$		

Selten ist  $c$ . Optisch einaxig.

### Kalium-Nioboxyfluorid.

#### I. $K^2NbOF^{15} + aq.$

Zwei- und eingliedrig.  $a : b : c = 0,992 : 1 : 0,980$  Marignac.  
 $\alpha = 76^\circ 14'.$

$\alpha', \frac{1}{2}\alpha', \frac{3}{2}\alpha', p, r', a, c.$

	Berechnet	Beobachtet
$\alpha' : \alpha' = 104^\circ 24'$		
$\frac{1}{2}\alpha' : \frac{1}{2}\alpha' = 95 \quad 44$		
$\frac{3}{2}\alpha' : \frac{3}{2}\alpha' =$		$*90^\circ 10'$
$p : p = 92 \quad 8$		$92 \quad 0$
$c = 99 \quad 52$		$100 \quad 0$
$a : c = 103 \quad 46$		
$r' = 127 \quad 40$		
$c : r' =$		$*128 \quad 34$
$c : \alpha' = 119 \quad 31$		
$\frac{1}{2}\alpha' = 107 \quad 43$		$107 \quad 35$
$\frac{3}{2}\alpha' = 94 \quad 10$		$94$
$r' =$		$*126 \quad 34$

Sehr dünne Blättchen nach  $c$ . — Wahrscheinlich isomorph  $K^2TiFl^6 + aq.$

#### II. $K^3NbOF^{16}.$

Regulär? Würfelähnlich mit schwankenden Winkeln von  $90-90^\circ,5$ .

Optisch verhält es sich weder wie reguläre noch wie viergliedrige Krystalle. Marignac.

#### III. $K^3Nb^3O^3Fl^{14} + aq.$

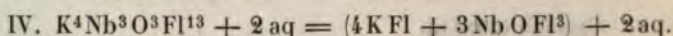
Zwei- und eingliedrig.  $a : b : c = 0,596 : 1 : 0,40$  Marignac.  
 $\alpha = 75^\circ 32'.$

$p, q, r, \frac{r}{3}, b.$

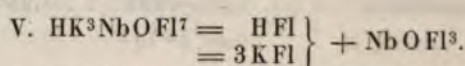
	Berechnet	Beobachtet
$p : p =$		$*120^\circ 0'$
$b = 120^\circ 0'$		$120 \quad 0$
$q : q = 137 \quad 40$		$137 \quad 0$
$b = 144 \quad 10$		$144 \quad 30$
$p = 142 \quad 28$		$112 \quad 35$
$r : \frac{r}{3} =$		$*162 \quad 30$
$p =$		$*126 \quad 38$
$q = 144 \quad 34$		$144 \quad 30$

	Berechnet	Beobachtet
$\frac{r}{3} : p = 112^{\circ} 21'$		$111^{\circ} 50'$
$q = 156 \quad 0$		$155 \quad 0$

Ist das Salz sechsgliedrig wie das Ammoniumsalz?



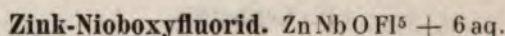
Scheinbar rektanguläre Prismen, bisweilen mit schwacher Abspaltung zweier gegenüberliegender Ecken. Schlecht messbar, vielleicht gliedrig. Marignac.



Zwei- und eingliedrig.  $a : b : c = 0,6279 : 1 : 0,4796$  Marignac  
 $o = 86^{\circ} 46'$ .

$o, o', p, a, b, c.$	Berechnet	Beobachtet	
		Marignac	Rammelsberg
$o : o = 136^{\circ} 43'$		$136^{\circ} 34'$	
$o' : o' =$		$138 \quad 50$	$137^{\circ} 45'$
$p : p =$		$*115 \quad 50$	$116 \quad 42$
$b = 122 \quad 5$		$122 \quad 5$	
$c = 92 \quad 45$		$92 \quad 51$	
$o : b = 111 \quad 38$		$111 \quad 46$	
$p =$		$*134 \quad 8$	
$o' : b = 110 \quad 35$		$110 \quad 30$	
$p = 130 \quad 30$			

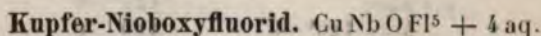
Dünne Prismen  $pb$ , an denen die  $o$  und  $c$  oft fehlen. — Isomorph  $HK^3S$



Sechsgliedrig.  $a : c = 1 : 0,549$  Marignac.

$r; 2r'; a.$	Berechnet	Beobachtet
$r : A = 127^{\circ} 8'$		$127^{\circ} 6'$
$2r' - =$		$*96 \quad 36$
$a : r = 116 \quad 26$		$116 \quad 25$
$2r' = 131 \quad 42$		$131 \quad 40$

Theils Combination  $2r'$  und  $a$ , theils Prisma  $a$ , von  $r$  und  $2r'$  begrenzt. Isomorph den Salzen  $R^{\text{II}}SiFl^6 + 6aq$ , sowie denen von  $Ti, Zr$  un-



Zwei- und eingliedrig.  $a : b : c = 0,7627 : 1 : 0,5628$  Marignac  
 $o = 76^{\circ} 44'$

$o; o'; p; b; c.$	Berechnet	Beobachtet
$o : o = 136^{\circ} 30'$		$136^{\circ} 30'$
$o' : o' = 126 \quad 57$		$126 \quad 40$
$p : p =$		$*106 \quad 50$

	Berechnet	Beobachtet
$p : b =$	$126^{\circ} 35'$	$126^{\circ} 30'$
$c =$		$*100 \ 40$
$o : b =$	$111 \ 45$	$111 \ 40$
$c =$		$112 \ 20$
$o' : b =$	$116 \ 31$	$116 \ 25$
$c =$	$132 \ 35$	$132 \ 30$

## 7. Von Molybdänoxyfluorid.

## Ammonium-Molybdänoxyfluorid.

I.  $\text{Am Mo O}^2\text{Fl}^3 + \text{aq.}$ Zweigliedrig.  $a : b : c = 0,526 : 1 : 0,883$  Marignac.

$p; q; a.$	Berechnet	Beobachtet
$p : p =$		$*124^{\circ} 30'$
$q : q =$		$*97 \ 6$
$a : p =$	$154^{\circ} 50'$	$154 \ 45$
$p : q =$	$108 \ 12$	$108 \ 15$

II.  $\text{Am}^2\text{Mo O}^2\text{Fl}^4 + \text{aq.}$ 

Isomorph dem folgenden.

Kalium-Molybdänoxyfluorid.  $\text{K}^2\text{Mo O}^2\text{Fl}^4 + \text{aq.}$ 

Eingliedrig. Marignac.

 $\frac{o'}{2}; \frac{o''}{2}; p; p'; q; q'; \frac{q'}{2}; r; r'; a; b; c.$ 

	Berechnet	Beobachtet
$a : b =$	$86^{\circ} 41'$	$86^{\circ} 30'$
$p =$	$132 \ 24$	$132 \ 30$
$p' =$	$135 \ 49$	$135 \ 45$
$b : c =$	$108 \ 21$	$109$
$c : q =$	$129 \ 2$	
$q' =$	$81 \ 36$	
$\frac{q'}{2} =$	$122 \ 4$	$122 \ 6$
$a : c =$		$*99 \ 50$
$c : r =$	$106 \ 51$	$107$
$r' =$		$*123 \ 0$
$p : c =$		$*96 \ 20$
$p' : c =$	$109 \ 35$	$109$
$p : r =$	$134 \ 51$	$134 \ 30$
$r' =$		$*122 \ 0$
$q : r' =$	$110 \ 44$	
$q' : r =$	$92 \ 40$	
$\frac{o'}{2} : c =$	$107 \ 39$	$108$
$r =$	$137 \ 25$	$137 \ 40$
$\frac{o''}{2} : c =$	$135 \ 50$	$135$
$r' =$		$*143 \ 43$

**Zink-Molybdänoxyfluorid.**  $\text{Zn Mo O}^2\text{Fl}^4 + 6 \text{ aq.}$ Sechsgliedrig.  $a : c = 4 : 0,5466$ . Marignac.

$r; 2r'; a.$	Berechnet	Beobachtet
$r \ 2A = 127^\circ 20'$		
$2r' - =$		$96^\circ 50'$
$2r' : a = 134 \ 30$		134 30

**Kobalt-Molybdänoxyfluorid.**  $\text{Co Mo O}^2\text{Fl}^4 + 6 \text{ aq.}$ 

Isomorph dem vorigen.

$$2A \text{ von } r = 127^\circ 20'$$

$$r : a = 116 \ 28 \text{ Marignac, Delafontaine.}$$

**Kadmium-Molybdänoxyfluorid.**  $\text{Cd Mo O}^2\text{Fl}^4 + 6 \text{ aq.}$ 

Isomorph den vorigen.

$$2A \text{ von } r = 127^\circ 23'$$

$$r : a = 116 \ 48 \text{ Marignac, Delafontaine.}$$

## 8. Von Wolframoxyfluorid.

**Ammonium-Wolframoxyfluorid.**I.  $\text{Am W O}^2\text{Fl}^3 + \text{aq.}$ Zweigliedrig.  $a : b : c = 0,5224 : 4 : 0,727$  Marignac.

$o; p; q^2; b; c.$	Berechnet	Beobachtet
$\left. \begin{array}{l} 2A = 134^\circ 2' \\ 2B = 83 \ 14 \\ 2C = 115 \ 0 \end{array} \right\} o$		$134^\circ 20'$
$p : p =$		$124 \ 50$
$b = 117 \ 35$		117 30
$q^2 : q^2 = 69 \ 2$		
$c = 124 \ 31$		124 14
$p = 112 \ 25$		112 35
$o : b = 112 \ 59$		112 50
$c =$		$122 \ 30$
$p = 147 \ 30$		147 36
$q^2 = 128 \ 47$		128 34

Isomorph dem entsprechenden Molybdänsalz.

II.  $\text{Am}^2\text{W O}^2\text{Fl}^4.$ Zweigliedrig.  $a : b : c = 0,8258 : 4 : 1,0047$  Marignac.

$o^2; q; \frac{q}{2}; r^2; c.$	Berechnet	Beobachtet
$\left. \begin{array}{l} 2A = 105^\circ 16' \\ 2B = 85 \ 24 \\ 2C = 144 \ 50 \end{array} \right\} o^2$		$105^\circ 0'$
$q : q = 89 \ 44$		89 56



	Berechnet	Beobachtet
$q : c =$		*134 52
$\frac{q}{2} : \frac{q}{2} =$	126 40	
$c =$	153 20	153 30
$r^2 : r^2 =$	44 40	
$c =$		*112 20

Rechtwinklig vierseitige Tafeln nach  $c$ , durch  $q$  und  $r^2$  zugeschärft, während  $o^2$  und  $\frac{q}{2}$  sehr zurücktreten, oder fast rechtwinklige Prismen  $q$ , durch  $r^2$  zugeschärft oder durch  $o^2$  zugespitzt.

Isomorph dem  $\text{Am}^2\text{NbOFl}^5$ .

### III. $\text{Am}^3\text{WO}^3\text{Fl}^3$ .

Reguläre Oktaeder. Einfach brechend.

Isomorph den  $\text{R}^3\text{ZrFl}^7$  und  $\text{R}^3\text{NbOFl}^6$ .

### Kalium-Wolframoxyluorid.

#### I. $\text{KW O}^2\text{Fl}^3 + \text{aq.}$

Zweigliedrig.  $a : b : c = 0,5205 : 4 : 0,7348$  Marignac.

$o; p; q^2; b; c.$	Berechnet	Beobachtet
$\left. \begin{matrix} 2A \\ 2B \\ 2C \end{matrix} \right\} o$	$\begin{matrix} = 133^\circ 46' \\ = 83 \quad 2 \\ = \end{matrix}$	$\begin{matrix} 133^\circ 36' \\ 82 \quad 54 \\ *115 \quad 26 \end{matrix}$
$p : p =$		*124 40
$q^2 : q^2 =$	68 28	
$c =$	124 14	124 10
$b =$	145 46	146 0
$p =$	112 35	112 40
$\left. \begin{matrix} b \\ c \\ p \\ q^2 \end{matrix} \right\} o$	$\begin{matrix} = 113 \quad 7 \\ = 122 \quad 17 \\ = 147 \quad 43 \\ = 128 \quad 41 \end{matrix}$	$\begin{matrix} 113 \quad 0 \\ 122 \quad 20 \\ 147 \quad 40 \\ 128 \quad 43 \end{matrix}$

Prismatisch nach  $p$  gleich dem Ammoniumsalz, dem es, gleichwie dem Molybdänsalz, isomorph ist.

#### II. $\text{K}^2\text{W O}^2\text{Fl}^4 + \text{aq.}$

Vier- oder achtseitige dünne Tafeln, die entweder zwei- und eingliedrig oder eingliedrig sind. — Vgl.  $\text{Am}^2\text{Mo O}^2\text{Fl}^4 + \text{aq.}$

### Natrium-Wolframoxyluorid. $\text{Na}^2\text{W O}^2\text{Fl}^4$ .

Prismen von  $145^\circ 40'$  mit breiter Abstumpfung der scharfen Kanten unter  $122^\circ 40'$ , mit einer auf die stumpfen aufgesetzten Zuschärfung von  $104^\circ$ . Die Krümmung der Flächen verhindert genaue Messungen.

**Zink-Wolframoxfluorid.**  $\text{ZnWO}_2\text{F}_4 + 40 \text{ aq.}$ 

Eingliedrig. Marignac.

 $o'', o''', p, p', r', b, c.$ 

	Berechnet	Beobachtet
$b : p =$		*117° 26'
$p' =$		*128 20
$p : p' = 114^\circ 44'$		114 44
$c =$		*113 50
$p' : c = 109 28$		109 40
$b : c =$		*91 20
$c : r' = 116 30$		117 0
$r' : p = 117 13$		117 0
$p' = 124 15$		124 2
$o'' : o''' = 114 35$		
$b = 128 59$		128 50
$c = 111 16$		111 0
$p' = 139 16$		
$r' = 132 8$		
$o''' : b' = 116 26$		116 30
$c =$		*113 0
$p = 133 10$		
$r' = 162 27$		

Gut ausgebildete, fast rechtwinklige Prismen  $bc$ , tafelartig.  
Die  $o$  und  $r'$  sehr untergeordnet.

**Kupfer-Wolframoxfluorid.**  $\text{CuWO}_2\text{F}_4 + 4 \text{ aq.}$ Zwei- und eingliedrig.  $a : b : c = 0,7648 : 1 : 0,5495$  Mar $o = 76^\circ 46'$ 

$o; o'; p; q; b; c.$	Berechnet	Beobachtet
$o : o' = 136^\circ 25'$		
$o' : o' =$		*126° 56'
$p : p = 106 40$		
$c = 100 35$		100 30
$q : q = 122 32$		
$c = 151 16$		151 30
$o : c =$		*112 20
$q = 150 46$		150 30
$o' : b = 116 32$		116 30
$c =$		*132 40

Isomorph dem Kupfer-Nioboxyfluorid.

**Ammonium-Kupfer-Wolframoxfluorid.**  $\text{AmCuWO}_2\text{F}_5 + 4$ Viergliedrig.  $a : c = 1 : 1,0954$  Marignac. $o; d; p; c.$ 

	Berechnet
$o \left\{ \begin{array}{l} 2A = 107^\circ 8' \\ 2C = 114 6 \end{array} \right.$	

	Berechnet	Beobachtet
$d \left\{ \begin{array}{l} 2A = \\ 2C = 95^{\circ} 10' \end{array} \right.$		$*117^{\circ} 4'$
$o : c = 122 \ 52$		123
$d : c = 132 \ 25$		132—133°
$p = 121 \ 28$		121—122

Prismen  $p$ ,  $c$ , an den Ecken durch  $d$ , an den Endkanten durch  $o$  abgeumpft. — Isomorph den entsprechenden Titansalzen von K und Am.

## 9. Von Arsenfluorid ( $\text{AsFl}^5$ ).

### Kalium-Arsenfluorid.

#### I. $2\text{K}^2\text{AsFl}^7 + \text{aq.}$

Zweigliedrig.  $a : b : c = 0,8847 : 1 : 0,6453$  Marignac.

$o; p; p^2; q; q^2; b; c.$	Berechnet.	Beobachtet.
$o \left\{ \begin{array}{l} 2A = 124^{\circ} 56' \\ 2B = 117 \ 0 \\ 2C = 88 \ 30 \end{array} \right.$		
$p : p =$		$*97^{\circ} 0'$
$b = 131 \ 30$		131 25
$p^2 : p^2 = 132 \ 16$		132 4
$p = 162 \ 22$		162 25
$q : q = 114 \ 20$		
$c =$		$*117 \ 10$
$q^2 : q^2 = 75 \ 32$		
$c = 127 \ 46$		127 40
$o : c = 135 \ 45$		135 35
$q = 148 \ 30$		148 36

Prismatisch nach  $p$ . In der Endigung besonders  $c$ .

#### II. $4\text{KAsFl}^6 + \text{aq.}$

Zweigliedrig.  $a : b : c = 0,840 : 1 : 1,2585$  Marignac.

$o; o^2; 2p; q\frac{2}{3}; q^2; r; r^2; a; b; c.$

	Berechnet	Beobachtet
$o \left\{ \begin{array}{l} 2A = 110^{\circ} 0' \\ 2B = 93 \ 56 \\ 2C = 117 \ 4 \end{array} \right.$		
$o^2 \left\{ \begin{array}{l} 2A = 102 \ 54 \\ 2B = 84 \ 13 \\ 2C = 151 \ 20 \end{array} \right.$		$103^{\circ} 30'$ 84 0
$2p : 2p = 61 \ 32$		61 20
$q\frac{2}{3} : q\frac{2}{3} = 100 \ 0$		
$c = 140 \ 0$		140 20
$q^2 : q^2 = 43 \ 20$		
$c =$		$*111 \ 40$
$r : r = 67 \ 26$		

	Berechnet	Beobachtet
$r : c =$	$123^{\circ} 43'$	$123^{\circ}$
$r^2 : r^2 =$	$36 \ 54$	
$c =$	$108 \ 27$	$108$
$o : c =$	$117 \ 4$	$117 \ 10'$
$o^2 : c =$		$*104 \ 20$
$q^2 =$	$132 \ 6$	$132 \ 0$

Tafelartig nach  $c$ , seltener nach  $a$ .

## 10. Von Antimonfluorid ( $\text{SbFl}^3$ ).

### Ammonium-Antimonfluorid.

#### I. $\text{Am Sb Fl}^6$ .

Sechsgliedrig. Sechsseitige Prismen, von einem Rhomboeder  
an dem  $2A$  etwa  $= 96^{\circ}$ . Marnag.

#### II. $4 \text{Am}^2 \text{Sb Fl}^7 + \text{aq}$ .

Zweigliedrig.  $a : b : c = 0,9827 : 1 : 1,110$  Marnag.

$o; p; b; c$ .	Berechnet	Beobachtet
$\left\{ \begin{array}{l} 2A = \\ 2B = \\ 2C = \end{array} \right.$	$\left\{ \begin{array}{l} 106^{\circ} 41' \\ 103 \ 40 \\ 116 \ 50 \end{array} \right.$	$\left\{ \begin{array}{l} 107^{\circ} 10' \\ 103 \ 40 \\ - \end{array} \right.$
$p : p =$		$*91 \ 0$
$b =$	$134 \ 30$	$134 \ 25$
$o : b =$	$126 \ 40$	$126 \ 30$
$p =$		$*148 \ 23$

Tafelartig nach  $b$ . Herrschend  $p, b, c$ . Auch ein  $q$  kommt zuw.

### Kalium-Antimonfluorid. $\text{K}^2 \text{Sb Fl}^7 + \text{aq}$ .

Zwei- und eingliedrig.  $a : b : c = 1,804 : 1 : 1,134$  Mar  
 $o = 89^{\circ} 16'$ .

$o; o'; p; q; 2r; 2r'; a$ .	Berechnet	Beobachtet
$o : o =$	$93^{\circ} 20'$	$92^{\circ} 50'$
$o' : o' =$	$91 \ 59$	
$o : o' =$	$135 \ 40$	
$o : o' =$	$104 \ 16$	
$p : p =$		$*58 \ 0$
$a =$	$119 \ 0$	$119 \ 0$
$q : q =$		$*83 \ 16$
$a =$		$*91 \ 0$
$p : q \left\{ \begin{array}{l} = \\ = \end{array} \right.$	$\left\{ \begin{array}{l} 131 \ 28 \\ 130 \ 11 \end{array} \right.$	$\left\{ \begin{array}{l} 131 \ 40 \\ 130 \ 11 \end{array} \right.$
$a : 2r =$	$141 \ 52$	$141 \ 40$
$2r' =$	$140 \ 42$	$141$
$2r : p =$	$112 \ 55$	$112 \ 30$

	Berechnet	Beobachtet
$2r : q$	$= 115 \ 4$	$115 \ 50$
$o$	$= 133 \ 44$	$133 \ 30$
$o : a$	$= 113 \ 21$	$113 \ 0$
$p$	$= 142 \ 25$	$142 \ 30$
$o' : a$	$= 111 \ 39$	$112$

Bisweilen Zwillinge nach  $a$  oder  $q$ .

## 11. Von Berylliumfluorid.

### Kalium-Berylliumfluorid. $K^2BeFl^4$ .

Zweigliedrig.  $a : b : c = 0,5708 : 1 : 0,7395$  Marignac.

$o; \frac{o}{2}; p; q^2; b; c.$	Berechnet	Beobachtet
$o \left\{ \begin{array}{l} 2A \\ 2B \\ 2C \end{array} \right.$	$\left\{ \begin{array}{l} = 131^\circ 22' \\ = 87 \ 40 \\ = 112 \ 20 \end{array} \right.$	$131^\circ 20'$
$\frac{o}{2} \left\{ \begin{array}{l} 2A \\ 2B \\ 2C \end{array} \right.$	$\left\{ \begin{array}{l} = 145 \ 31 \\ = 117 \ 26 \\ = 73 \ 26 \end{array} \right.$	$\begin{array}{l} 145 \ 10 \\ 117 \ 50 \end{array}$
$p : p$	$=$	$*120 \ 34$
$q^2 : q^2$	$= 68 \ 8$	
$c$	$= 124 \ 4$	$124 \ 0$
$o : c$	$=$	$*123 \ 50$
$p$	$= 146 \ 10$	
$\frac{o}{2} : c$	$= 143 \ 17$	$143 \ 22$

Arch. d. sc. nat. Mars 1873.

### Ammonium-Berylliumfluorid. $Am^2BeFl^4$ .

Zweigliedrig.  $a : b : c = 0,5688 : 1 : 0,7503$  Marignac.

$o, p, q, q^2, b, c.$	Berechnet	Beobachtet
$o \left\{ \begin{array}{l} 2A \\ 2B \\ 2C \end{array} \right.$	$\left\{ \begin{array}{l} = 131^\circ 22' \\ = 87 \ 36 \\ = 112 \ 16 \end{array} \right.$	$\begin{array}{l} 131^\circ 44' \\ 87 \ 36 \end{array}$
$p : p$	$= 120 \ 44$	
$b$	$= 119 \ 38$	$119 \ 30$
$q : q$	$= 107 \ 14$	
$q^2 : q^2$	$= 68 \ 20$	
$c$	$=$	$*124 \ 10$
$o : c$	$= 123 \ 52$	$123 \ 55$
$q$	$=$	$*133 \ 48$

Die Krystalle sind prismatisch nach der Axe  $a$  und oft tafelfartig nach  $c$ .



**Natrium-Berylliumfluorid.**  $\text{Na}^2\text{BeFl}^4$ .

Dimorph.

A. Zweigliedrig.  $a : b : c = 0,8243 : 1 : 0,3693$  Marignac. $p, r, r^2, b$ .

	Berechnet	Beobachtet
$p : p$	$= 104^\circ 0'$	$104^\circ$
$b$	$=$	$*129 30'$
$r : r$	$=$	$*134 44$
$r^2 : r^2$	$= 96 46$	
$r$	$= 162 46$	$162 25$
$p : r$	$= 108 23$	$108-108\frac{3}{4}^\circ$
$r^2$	$= 120 59$	$121$

Sehr klein, glänzend, jedoch die Flächen mehrere Bilder gebend. Ob Zwillinge?

B. Zwei- und eingliedrig.  $a : b : c = 0,69303 : 1 : 0,99126$  $o = 80^\circ 40'$  Marignac.

$o, o', p, q, r', c$	Berechnet	Beobachtet
$o : o$	$= 124^\circ 52'$	$125^\circ 20'$
$o' : o'$	$=$	$*117 20$
$p : p$	$=$	$*111 46$
$c$	$=$	$* 97 42$
$q : q$	$= 91 46$	
$c : r'$	$= 118 33$	$118 30$
$c : o'$	$= 114 5$	$114 15$
$q : o'$	$= 130 57$	$130 50$
$p : o$	$= 152 2$	$152 30$
$o'$	$= 148 43$	$148 32$

Sehr klein, prismatisch nach  $p$ .

## 12. Von Aluminiumfluorid.

**Natrium-Aluminiumfluorid** (Kryolith).  $\text{Na}^6\text{AlFl}^{12}$ .Eingliedrig.  $a : b : c = 0,967 : 1 : 1,389$  Websky.

$A = 89^\circ 44'$	$\alpha = 89^\circ 44'$
$B = 90 48$	$\beta = 90 48$
$C = 90 3$	$\gamma = 90 3$

Spaltbar nach  $p, p'$  und  $c$  ( $p : p' = 94^\circ 57'$ ,  $p : c = 90^\circ 2'$ ,  $p' : c = 90^\circ 24'$ ).

Spec. Wärme 0,238 Kopp.

Optisches Verhalten. Des Cloizeaux: Ann. Min. 11 u. 14. — Websky: Jahrb. Min. 1867.

Zwei- und eingliedrig nach Form und optischem Verhalten. Krenner: Jahrb. f. Min. 1877, 504.

## Chloride.

### Einfache Chloride.

#### Chlorammonium. Am Cl.

Regulär. Am häufigsten das Leucitoeder  $a : a : \frac{1}{2}a$ . Seltener Oktaeder und Würfel mit dem Granatoeder und der Achtundvierzigflächner  $a : \frac{1}{2}a : \frac{1}{2}a$  (S. vom Vesuv. Scacchi).

Das Leucitoeder, in der Richtung einer rhomboedrischen Axe verlängert, Fig. 33, gleichsam als Combination eines Rhomboeders  $r$ , eines Dreikantners  $s$  und des ersten Prismas  $p$ .

Sehr gewöhnlich sind Partialformen des Leucitoeders, namentlich Vierkantner, entstanden durch das Fehlen von vier an einer Oktaederecke liegenden Flächen und ihren Parallelen.

Naumann beschrieb scharfe Rhomboeder, mit Zuschärfung der Endkanten. Jene sind die schärferen Rhomboeder von  $a : a : \frac{1}{2}a$ , letztere die Hälften des Pyramidenwürfels  $a : 2a : \infty a$ . Diese Krystalle hatten sich bei der Zersetzung von euchromsaurem Ammoniak durch Chlorwasserstoffsäure gebildet.

Aus einer stark sauren und heissen mit Wasser überschichteten Lösung schossen Trapezoeder an, von acht gleichschenkligen Trapezoiden begrenzt, Partialformen von  $a : a : \frac{1}{2}a$ , durch Wegfallen der an zwei gegenüberliegenden Oktaederecken vorhandenen Flächen, und einer Hemiedrie des bleibenden Vierkantners. Manche dieser Trapezoeder sind überdies hemimorph, d. h. ihre obere Hälfte ist aus  $a : a : \frac{1}{2}a$ , die untere aus  $a : a : \frac{2}{3}a$  entstanden.

Solche Trapezoeder combiniren sich mit Partialformen des Leucitoeders. Fig. 34 ist ein Trapezoeder aus  $a : a : \frac{1}{2}a$ , an welchem  $l = a : a : \frac{1}{2}a$  Abstumpfungen der Endkanten und unsymmetrisch aufgesetzte vierflächige Zuspitzungen der Endecken bildet.

In Fig. 35 ist ein wie oben erwähntes hemimorphes Trapezoeder mit dem Leucitoeder combinirt.

Fig. 33.



Fig. 34.

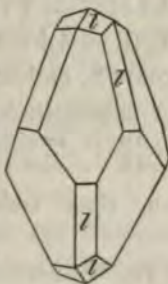


Fig. 35.





Zwillinge. Durchwachsungen zweier Würfel nach einer Oktaederfläche. Verwachsungen zweier Leucitoeder nach einer Würfelfläche, in vielfacher Wiederholung, mit paralleler Stellung und abnehmender Grösse der einzelnen Krystalle, wodurch die bei raschem Anschliessen gewöhnlichen feder-, stern- und baumförmigen Aggregate entstehen.

Scacchi beobachtete am S. vom Vesuv ausser den Zwillingen nach einer Oktaederfläche an den Krystallen, die  $a : \frac{1}{2}a : \frac{1}{3}a$  haben, Zwillinge nach einer Leucitoederfläche. — Marx: Schweigg. J. 54, 299. — Naumann: J. f. pr. Ch. 50, 44. 340. — Scacchi: Rendicont. Acc. Nap. 1872 Octobr. Contribuz. min. — Grailich: Wien. Ak. Ber. 15, 270.

Optisches. Brechungsverhältnisse Grailich: Kryst. opt. Untersuchungen. 1858.

Volumgewicht. — 1,533 bei 4° Joule und Playfair, 1,522 Schiff, 1,550 Buignet.

Gas-V. G. — Bei 350° = 44,6, bei 4040° = 44,4 Deville. Vgl. Pebal: Ann. Ch. Pharm. 123, 499. Than: Ebend. 131, 129.

Ausdehnung.

Kubische Ausdehnung von 0—100° = 0,0191 Joule und Playfair.

Lineare - (bei 40°) = 0,000062546 Fizeau.

Spec. Wärme. — 0,373 Kopp

0,3908 Neumann

0,38 Tollinger.

Tollinger: Wien. Ak. B. 64, (2) 349.

Die latente Verdampfungswärme von 4 grm bestimmte Marnignac = 706 W.-E. Die nahe Uebereinstimmung dieser Zahl mit der Verbindungswärme von HCl und NH<sup>3</sup>, die nach Favre und Silbermann bei 350° = 715 W.-E. sein würde, machen es sehr wahrscheinlich, dass der Salmiak als Dampf grossentheils in jene beiden zerfällt. — C. r. 67, 877. Vgl. Horstmann: Ber. d. chem. G. 1869, 137.

Löslichkeit. — 1 Liter bei 45° gesättigte L. enthält 259,92 grm S. und hat ein V. G. = 1,075209 Michel und Krafft. Eine Lösung, welche folgende Procente S. enthält, hat bei 45° das beistehende V. G.:

5 pCt. = 1,0158	20 pCt. = 1,0593
40 - = 1,0308	25 - = 1,0730
45 - = 1,0452	26,297 = 1,0766

Gerlach: Spec. Gew. der gebräuchlichsten Salzlösungen. Freiberg 1859.

Von 100 Th. Wasser werden gelöst



bei 0°	28,40	bei 60°	55,04
40	32,84	70	59,48
20	37,28	80	63,92
30	41,72	90	68,36
40	46,16	100	72,80
50	50,60	110	77,24

Der Siedepunkt der gesättigten Lösung ist 115°,8 (bei 748 mm). — Alluard: C. r. 59, 500.

400 Th. Wasser lösen bei 10° 33,3  
48,75 36,7

in der Siedhitze 87,3 Th. — G. J. Mulder: Jahresb. 1866, 65.

Nach Sorby scheiden sich aus einer bei 20° gesättigten Lösung durch einen Druck von 164 Atm. 1,043 pCt. des Salzes aus. — Proc. R. Soc. 12, 538.

Die Veränderungen des V. G. einer Salmiaklösung durch Temperatur untersuchte Gerlach. S. o.

Beim Lösen von 3 Th. Salmiak in 10 Th. Wasser findet nach Rüdorff das Maximum der T.-Erniedrigung von 13°,3 auf — 5°,1 statt. — Ber. d. chem. G. 1869, 68 (Pogg. A. 436, 276).

Nach Thomsen beträgt die Wärmebindung beim Lösen von 1 Mol. in 200 Mol. Wasser 3880 W.-E.

Die spec. Wärme der Lösungen Schüller: Pogg. A. 436, 235. — Thomsen: Eb. 442, 359. — Winkelmann: Eb. 449, 4.

Ueber den Gefrierpunkt der Lösungen De Coppet: Ann. Ch. Phys. (4) 23, 366. 25, 502. 26, 98.

Capillarität Buliginsky: Pogg. A. 434, 440. — Decharme: Ann. Ch. Phys. (4) 27, 228.

Transpiration Hübener: Pogg. A. 450, 248.

Dissociation der Lösungen Dibbits: Ber. d. ch. Ges. 1872, 820. — Leeds: Am. J. Sc. (3) 7, 197.

Löslichkeit in Alkohol. — 100 Th. Alkohol von 0,939 lösen

bei 4°	44,2 Th.	bei 38°	23,6 Th.
8	42,6 -	56	30,4 -
27	49,4 -		

Gerardin: Ann. Ch. Phys. (4) 5, 429.

Das galvanische Leistungsvermögen der Salmiaklösungen Kohlrausch und Grotrian: Pogg. A. 454, 4. 215. — Lenz: Eb. 460, 425.

### Chlorkalium. KCl.

Regulär. Würfel, oft mit den Flächen des Oktaeders (Sylvin). Nach Tschermak finden sich auch Leucitoide, Pyramidenwürfel, ein

Pyramidenoktaeder und mehrere Achtundvierzigflächner (S. von Kalusz). — Wien. Ak. Ber. 63.

Bisweilen nur Oktaeder (aus Potaschelösungen; aus solchen von jodsaurem Kali). Angeblich auch Granatoeder am Würfel (bei Gegenwart von Quecksilberchlorid). — Bonsdorff: Pogg. A. 47, 426.

#### Ausdehnung.

Kubische Ausdehnung von 0—400° = 0,04094 Joule und Playfair.

Lineare - bei 40° = 0,000038026 Fizeau.

Volumgewicht. 4,978 Joule und Playfair. — 4,994 Filhol. — 4,995 Schiff. — 4,998 Schröder. — 4,986 Buignet.

Spec. Wärme 0,1663 Neumann.

Diathermansie. Knoblauch: S. Chlornatrium.

Schmelzpunkt 738° Carnelley; 730° Braun.

Die Flüchtigkeit des Ch. s. Bunsen: Ann. Ch. Ph. 438, 257.

Löslichkeit. — 4 Liter bei 45° gesättigter Lösung enthält 308,794 grm Salz, und die Lösung hat ein V. G. = 4,480949 Michel u. Krafft.

Eine Lösung, welche folgende Procente Salz enthält, hat bei 45° ein

V. G. von	5 pCt.	4,0325	20 pCt.	4,4364
	40 -	4,0658	24,9 -	4,4723 Gerlach.
	45 -	4,4004		

400 Th. der bei 45°,6 gesättigten L. enthalten 24,74—24,84 Th. Salz; diese L. hat ein V. G. = 4,474. — Page und Keightley: J. Ch. Soc. (2) 10, 566.

Ueber die Löslichkeit und die Aenderungen der T. beim Lösen Thomsen: J. f. pr. Ch. (2) 44, 440. 47, 466. — Rüdorff: Pogg. A. 448, 456. 555. — Rechenberg: J. f. pr. Ch. (2) 49, 443.

Das V. G. der Lösungen Schiff: Ann. Ch. Ph. 408, 326. — Kremers: Pogg. A. 95, 440. 96, 39. 400, 394. — Gerlach: S. Chlorammonium. — Sorby: Phil. Mag. (4) 48, 84. — Favre und Valson: C. r. 77, 802.

Der Siedepunkt der gesättigten L. ist nach Kremers = 440°; der einer 40 procent. = 404°,4, einer 20 procent. = 403°,4 nach Gerlach.

Die Dampfspannung der Lösungen Wüllner: Pogg. A. 403, 529.

Ueber die Wärmeerscheinungen beim Verdünnen der Lösungen Favre: C. r. 54, 346.

Die spec. Wärme der Lösungen Andrews: Pogg. A. 66, 57. — Winkelmann: Pogg. A. 449, 4. 492. — Thomsen: Ber. d. ch. Ges. 1873, 740. — Berthelot: C. r. 77, 24. 78, 4722.

Wärmeleitung der Lösungen Winkelmann: Pogg. A. 453, 484.

Brechungsverhältnisse der Lösungen Kremers und Beer: Pogg. A.



401, 433. — Fouqué: C. r. 64, 421. — Gladstone: Phil. Mag. (4) 36, 311. — Sauber: Pogg. A. 417, 585.

Gefrierpunkt. De Coppet: S. Chlorammonium.

Capillarität. Diffusion: desgl.

Galvanischer Leitungswiderstand und Leitungsvermögen Horsford: Pogg. A. 70, 238. — Kohlrausch und Lenz: S. Chlorammonium.

Löslichkeit in Alkohol. — Schiff: Ann. Ch. Ph. 418, 362. — Gerardin: Ann. Ch. Phys. (4) 5, 429.

### Chlorrubidium. RbCl.

Regulär. Würfel. Luftbeständig. — V. G. 3,209 Clarke. — 400 Th. Wasser lösen bei 1° 76,38, bei 7° 82,89 Th. auf. Bunsen.

Ueber seine Flüchtigkeit Bunsen: Ann. Ch. Ph. 138, 257.

### Chlorcaesium. CsCl.

Regulär. Würfel. Nach Streng Rhomboeder. Flüchtigkeit s. vorher.

### Chlorlithium. LiCl.

Regulär. Würfel. Troost erhielt Oktaeder. Hermann beschrieb Krystalle eines sehr leicht zersetzbaren Hydrats  $\text{LiCl} + 2\text{aq}$ , welches dem des Chlornatriums ähnlich zu sein scheint<sup>\*)</sup>. — Pogg. A. 45, 484.

Schmelzpunkt 602° Carnelley.

Ueber die Flüchtigkeit im Vergleich zu der der übrigen Chloralkalien H. Rose: Pogg. A. 34, 432. — Bunsen: S. Chlorrubidium.

Spec. Wärme. 0,2824 zwischen 97° und 43° Regnault.

Volumgewicht. 4,998 Kremers. — 2,074 Schröder.

Löslichkeit. — 1 Th. des Salzes löst sich

bei 0° in 1,57 Th. Wasser

20 - 1,24

65 - 0,96

95 - 0,77 (80° 0,87)

140 - 0,72 (96 0,78) spätere Angabe

160 - 0,69 Kremers.

Das V. G. einer n-procentigen Lösung ist

10 pCt. 1,0580      40 pCt. 1,2557

20 - 1,1172      43,2 - 1,2827

30 - 1,1819

Gerlach.

Auch Kremers bestimmte das V. G. der Lösungen.

<sup>\*)</sup> Die Zusammensetzung dieses Hydrats ist später von Troost bestätigt worden.

Ihr Brechungsvermögen Kremers und Beer: Pogg. A. 401, 433. — Fouqué: C. r. 64, 424.

Ihr Siedepunkt ist

bei 40 pCt.	402°,3	bei 30 pCt.	449°,9
20 -	409,2	40 -	435,6 Gerlach.

Ihr elektrisches Leitungsvermögen Kohlrausch: S. Chlorkalium.

Die Capillarität des geschmolzenen Quincke: Pogg. A. 435, 636. 438, 454. — Decharme: Ann. Ch. Phys. (4) 27, 228.

Spectrum. — Cornu: C. r. 73, 332.

### Chlorthallium. $\text{TiCl}_3$ .

Schmelzpunkt. 434° Carnelley.

Gas-V. G. bei 860 — 1026° = 107 — 426 Roscoe; berechnet 449,75.

### Chlornatrium. $\text{NaCl}$ .

#### a. Anhydrid.

Regulär. Gewöhnlich Würfel. Aus Lösungen von kohlensaurem Natron, von Borsäure oder Harnstoff sollen Oktaeder anschliessen; auch Krystalle aus den Natronseen Aegyptens sind Oktaeder, oft mit Granatoeder und Würfel (Bertrand); aus Harn erhielt Knop  $a : \frac{3}{4}a : \frac{3}{5}a$ , wozu beim Umkrystallisiren der Würfel trat.

In einem verlassenen Sinkwerk von Berchtesgaden fand Kobell am Würfel den Pyramidenwürfel  $a : 2a : \infty a$ , jedoch nur mit der Hälfte der Flächen, so dass die Combination wie zwei Rhomboeder aussieht, deren schärferes die Seitenkanten des stumpferen zuschärft. Zuweilen fehlt die Hälfte des Würfels; dann bilden drei Flächen des schärferen Rhomboeders das eine Ende. Noch andere abnorme Bildungen, auch Zwillinge nach dem gewöhnlichen Gesetz. Knop: Ann. Ch. Ph. 427, 68. — v. Kobell: J. f. p. Ch. 84, 420.

Ehrenberg fand bei mikroskopischer Beobachtung, dass sich zuerst sechsseitige Tafeln bilden, welche aber schnell in Würfel sich verwandeln. Jene gehören vielleicht dem Hydrat an. Pogg. A. 36, 240.

Spaltbar nach dem Würfel. Reusch brachte durch die Körnerprobe das Granatoeder zum Vorschein. Pogg. A. 432, 443.

Aetzfiguren Sohncke: Pogg. A. 457, 329. — Exner: Eb. 458, 349.

Die Cohäsionsverhältnisse ermittelte Sohncke: Pogg. A. 437, 477.

Elasticität. Voigt: Pogg. A. Ergbd. 7, 4. — Groth: Eb. 457, 445.

Ausdehnung. — Lin. A. (bis 40°) = 0,00004039 Fizeau.



Volumgewicht. — 2,207 Grassi.

2,240 Filhol.

2,195 . . . . . } Deville.

2,204 (nach dem Schmelzen)

2,148 Schiff.

2,145 Buignet.

2,1543 Haagen.

2,137 Rüdorff.

Spec. Wärme. — 0,2070 Neumann.

Diathermansie. — Melloni hatte gefunden, dass das Steinsalz ein vollkommen diathermaner Körper für alle Wärmequellen ist. Spätere Untersuchungen von Provostaye und Desains. Nach Buff ist jedoch die D. keine vollkommene. Buff: Pogg. A. 158, 177. — Provostaye: C. r. 36, 84. 4073. — Melloni: Eb. 38, 429 (Pogg. A. 89, 84). — Desains: C. r. 66, 1246 (Pogg. A. 134, 472). — Knoblauch: Pogg. A. 120, 177. 136, 66. 139, 150.

Schmelzpunkt. — 776° Carnelley; 960° Braun.

Capillarität des geschmolzenen: Quincke, s. Chlorlithium.

Brechungsexponenten.

Roth (C Fraunh.) = 1,54046 .

Grün (F - ) 1,55349

Violet (G H - ) 1,56056 Haagen.

Vgl. Grailich: Krystallogr.-optische Untersuchungen.

Spectrum. — Cornu, s. Chlorlithium.

Löslichkeit. — 100 Theile Wasser lösen

Fehling		Mulder	
bei 12°	35,91 Th.	bei 10°	35,8 Th.
100	39,02 -	18,7	36,0 -
		Siedhitze	40,4 -

1 Liter bei 15° gesättigter L. enthält 318,479 grm Salz und hat ein V. G. = 1,207148. Michel u. Krafft.

V. G. der Lösungen bei folgendem Procentgehalt:

	Gerlach	Dahlmann
5 pCt.	1,0362	1,037
10	1,0734	1,074
15	1,1115	1,112
20	1,1511	1,154
25	1,1923	1,192
26,4	1,2043	1,204

Dahlmann: Jahresber. 1854, 323.

Einfluss des Druckes Sorby: Proc. R. Soc. 12, 538.

Sind in 100 Theilen Wasser folgende Mengen gelöst, so ist das V. G.

bei 19°,5	6,84 Th. = 1,0459	29,25 Th. = 1,1710
	13,98 - 1,0894	36,11 - 1,2034
	21,26 - 1,1301	Kremers.

Ist der Procentgehalt an Salz der beistehende, so ist das V. G. bei 20°

2,094 = 1,0201	11,76 = 1,0847
5,88 1,0402	17,64 1,1299
8,82 1,0617	26,46 1,2021 Kremers.

Ferner:

1,379 = 1,01	8,182 = 1,06	14,774 = 1,11	21,079 = 1,16
2,753 1,02	9,519 1,07	16,06 1,12	22,299 1,17
4,124 1,03	10,848 1,08	17,334 1,13	23,504 1,18
5,482 1,04	12,167 1,09	18,596 1,14	24,694 1,19
6,836 1,05	13,476 1,10	19,845 1,15	25,867 1,20

Vgl. Neumann: Pogg. A. 113, 382. — Rossetti: Eb. Ergbd. 5, 271. — Hofmann: Eb. 133, 575. — Page und Keightley: J. Ch. Soc. (2) 10, 566.

Ausdehnung der Lösungen. Kremers: Pogg. A. 100, 394. — Marignac: N. Arch. ph. nat. 39, 273. — Schmidt: Pogg. A. 107, 244, 539.

Siedepunkt. — Der gesättigten L. 109° Kremers.

der 5 procentigen	100°,9
15 -	103,3
25 -	107,6 Gerlach.

Vgl. Legrand: Ann. Ch. Phys. 53, 424 (Pogg. A. 37, 379).

Latente Lösungswärme und spec. W. der Lösung Person: Ann. Ch. Phys. (3) 33, 437, 448. — Rüdorff: Pogg. A. 136, 276. — Thomsen: Ber. d. ch. Ges. 1873, 710. Pogg. A. 142, 357, 369. — Favre und Valson: C. r. 77, 802. — Winkelmann: Pogg. A. 149, 23. — Schüller: Eb. 136, 70, 235. — Marignac: N. Arch. ph. nat. 39, 217.

Wärmeleitung. Paalzow: Pogg. A. 134, 618. — Lundquist und Winkelmann: Eb. 153, 481.

Wärmeerscheinungen beim Verdünnen Favre: C. r. 51, 316.

Gefrieren. Rüdorff: Pogg. A. 144, 63, 445, 599. — De Coppet: Ann. Ch. Phys. (4) 23, 366.

Spannkraft der Dämpfe. Wüllner: Pogg. A. 103, 529.

Diffusion. Graham: Ann. Ch. Ph. 77, 56, 129, 80, 197, 421, 1. — Marignac: N. Arch. ph. nat. 50, 89.

Brechungsverhältnisse der Lösungen. Kremers und Beer: Pogg. 104, 123. — Fouqué: C. r. 64, 121. — Haagen: Pogg. A. 134, 117. — Schmidt: Eb. 107, 539. — Sauber: Eb. 117, 586.



Galvanischer Leitungswiderstand. Horsford: Pogg. A. 70, 238. — Kohlrausch: Wied. Ann. 6, 1. 145. S. Chlorammonium. — Lenz: Eb. — Schmidt: Pogg. A. 107, 553.

Löslichkeit in Alkohol. Wagner: J. f. p. Ch. 40, 448. — Schiff: Ann. Ch. Ph. 118, 362. — Gerardin: Ann. Ch. Phys. (4) 5, 129.

b. Hydrat.  $\text{NaCl} + 2\text{aq}$ .

Zwei- und eingliedrig.  $a : b : c = 1,129 : 1 : 0,682$  Hankel.

$$\alpha = 81^\circ 42'.$$

$o; o'; p; p^2; a; b.$	Berechnet	Beobachtet
$o : o =$	$122^\circ 52'$	
$o' : o' =$		$116^\circ 30'$
$o : o' =$	127 0	
$o : o' =$	84 22	
$p : p =$	83 38	
$b =$	131 49	136
$p^2 : p^2 =$	121 36	
$a =$	158 48	150
$o : a =$		$122^\circ 0'$
$o' : a =$		$111^\circ 0'$

Die Messungen sind nur annähernd. Prismatisch nach  $p$ .

Frankenheim beobachtete bei  $8^\circ$  rhombische Tafeln von  $136^\circ$ .

Die Ebene der optischen Axen scheint  $bc$  zu sein.

Die Krystalle verwandeln sich bekanntlich schon bei  $0^\circ$  in das wasserfreie Salz \*).

Sie sind offenbar isomorph denen des Bromnatriums. Frankenheim: Pogg. A. 37, 632. — Hankel: Eb. 53, 623.

### Chlorsilber. $\text{AgCl}$ .

Krystallform. Regulär. Granatoeder (Silberhornerz und aus der Lösung in Ammoniak); Oktaeder (galvanisch gebildet, nach Becquerel).

Die verschiedenen Zustände des Ch. Stas: C. r. 73, 998.

Ausdehnung. — Kub. A. (bis  $40^\circ$ ) = 0,000032938 Fizeau.

Vgl. Rodwell: Proc. R. Soc. 25, 292.

Volumgewicht.

5,517 Schiff.

5,594 (geschmolzen) Schröder; 5,505 Rodwell.

5,7 (frisch gefällt) Mohr.

4,957 (des flüssigen beim Schmelzpunkt) Rodwell.

Spec. Wärme. — 0,0894 Neumann.

\* Vgl. die Beobachtungen Ehrenberg's (oben S. 252).

Diathermansie. Schulz-Sellack: Pogg. A. 439, 482.

Capillarität. Quincke: Pogg. A. 435, 636.

Brechung und Dispersion. Wernicke: Pogg. A. 442, 560.

Schmelzpunkt. — 457° Carnelley; 350° Rodwell.

Verhalten am Licht. — Es wird unter Schwefelsäure (oder Alkohol) nicht geschwärzt. Seebeck: Pogg. A. 9, 472. Auch nicht bei Gegenwart von Chlor. Morren: Chem. News 46, 286. Auch nicht, wenn es in der Wärme gefällt ist Pohl: Wien. Ak. Ber. 6, 574.

Bei der Schwärzung wird Chlor frei. Guthrie: Qu. J. Ch. Soc. 40, 74.

Neben Chlor bildet sich  $\text{Ag}^2\text{Cl}$ , auch bei Ausschluss von Wasser. H. Vogel: Pogg. A. 449, 497.

Die Bildung von  $\text{Ag}^2\text{Cl}$  wiesen auch Hartwich, Wittstein und Mulder nach. Jahresber. 1858, 626.

Ueber den Zusammenhang der optischen und chemischen Lichtabsorption Schulz-Sellack: Pogg. A. 443, 464, 439.

Die Lichtempfindlichkeit des Ch. Vogel: Ber. d. ch. Ges. 1874, 545, 976.

Die chemische Wirkung des Sonnenspectrums auf Silberhaloidsalze. Derselbe: Pogg. A. 453, 248.

#### Quecksilberchlorür. $\text{Hg}^2\text{Cl}^2$ .

Krystallform. Viergliedrig.  $a : c = 1 : 4,7444$  Brooke.

$o; d; p; a; c$ . Berechnet

Beobachtet

		Brooke	Schabus
$o$	$2A = 98^\circ 8'$		$98^\circ 41'$
	$2C = 135 50$		135 40
$d$	$2A = 104 22$		
	$2C = 120 46$		
$o : c =$		*112 5	
$d : a = 150 8$		150 10	
$c = 119 52$		119 50	

Brooke mass natürliche, Schabus künstliche Krystalle.

Zwillinge nach  $d$  und einer auf dieser senkrechten Fläche.

Spaltbar nach  $o$ , wenig nach  $a$ . Brooke: Ann. of Phil. 22, 285. —

Schabus: Jahrb. geol. Reichsanst. 1852, 448.

Brechungsexponent.

$o = 1,96; e = 2,60$  für Roth. Sénarmont.

Volumgewicht. — 6,56 Schiff.

Gas-V. G. — 420,6 Mitscherlich; 448,7 Deville (berechnet 447,75).

Wärmeleitung. — v. Lang: Pogg. A. 435, 29.

Verdampfungswärme. — Marignac: C. r. 67, 877.



**Quecksilberchlorid.  $\text{HgCl}_2$ .**Zweigliedrig.  $a : b : c = 0,6693 : 4 : 0,9356$  Mitscherlich. $o; p; p^2; q; \frac{q}{2}; q^2; r; b; c.$ 

	Berechnet	Beobachtet	
		Mitscherlich	v. Lang.
$o$	$\left\{ \begin{array}{l} 2A = 122^\circ 26' \\ 2B = 89 38 \\ 2C = 118 4 \end{array} \right.$		
	$p : p = 111 40$		
	$p^2 : p^2 = 112 30$		
	$q : q =$	$*93^\circ 48' *$	$93^\circ 44'$
	$\frac{q}{2} : \frac{q}{2} = 129 50$		
	$q^2 : q^2 = 56 14$		
	$r : r =$	$*71 55$	

Aus Auflösungen prismatische Krystalle  $r$  mit  $o$  und  $b$ . Das sublimierte bildet  $p, q, b$ , untergeordnet  $\frac{q}{2}, q^2, p^2$  und  $c^{**}$ . Spaltbar nach  $q$  und  $b$ . Brooke. Nach  $r$  ausgezeichnet. Grailich. — Mitscherlich: Pogg. A. 28, 118. — v. Lang: Wien. Ak. B. 45, 119.

Ebene der optischen Axen ist  $ab$ ; die Axe  $a$  ist die erste Mittellinie. Grailich.

Volumgewicht. — 5,32 Schiff.

Schmelzpunkt. —  $302^\circ$  Carnelley. Ist der Druck geringer als 120 mm, so schmilzt es nicht. Haass: Ber. d. ch. G. 1880, 2203.

Gas-V. G. — 144,6 Mitscherlich (berechnet 135,5).

**Quecksilberoxychlorid.  $\text{HgCl}_2 + 2\text{HgO}$ .**Zwei- und eingliedrig.  $a : b : c = 0,9178 : 4 : 0,9978$  Blaas $o = 65^\circ 30'.$  $p, q, \frac{q}{2}, 2r, a, b, c.$ 

	Berechnet	Beobachtet
$p : p =$		$*100^\circ 16'$
$q : q =$		$*95 34$
$a =$		$*107 53$
$\frac{q}{2} : \frac{q}{2} =$	$134^\circ 8'$	
$q =$	$162 11$	$162 16$
$a : c =$	$114 30$	$114 33$
$2r =$	$136 29$	$136 55$
$p : q =$	$134 48$	$132 5$
$\frac{q}{2} =$	$123 42$	$124 6$

\* 52' sublimiert.

\*\* Vgl. Groth. Phys. Kryst. Fig. 415.

Rammelsberg, physik. Chemie.

Prismatisch, tafelartig nach  $a$ , schwarz.

V. G. 8,63. Groth: Ztschr. 5, 283.

### Kupferchlorür. $\text{Cu}^2\text{Cl}^2$ .

Regulär. Tetraeder nach Mitscherlich und Becquerel.

Volumgewicht. — 3,70 Schiff.

Gas-V. G. — 402 V. Meyer. Berechnet 98,9.

### Kupferammoniumchlorür. $\text{N}^2\text{H}^6\text{Cu}^2\text{Cl}^2$ .

Regulär (?). Angeblich Granatoeder nach Ritthausen.

### Kupferchlorid. $\text{CuCl}^2 + 2\text{aq}$ .

Zweigliedrig.  $a : b : c = 0,9179 : 4 : 0,4627$  Marignac.

$p; r; r^3; a; b; c$ . Berechnet Beobachtet

$p : p =$	$94^\circ 54'$
$a = 137^\circ 27'$	137 27
$r : r = 126 30$	
$c =$	$153 15$
$r^3 : r^3 = 66 58$	

Prismatisch nach  $p$ ; die  $r$  und  $r^3$  sind seltener.

Zwillinge nach einer Fläche  $q^2$ ; Verwachsungen, bei welchen die  $a$  in eine Ebene fallen.

$$c : c = 85^\circ 34' \quad 86^\circ 36'$$

Sehr leicht spaltbar nach  $b$  und  $c$ .

Wahrscheinlich isomorph  $\text{BaCl}^2 + 2\text{aq}$ .

An trockner Luft nicht zerfließlich. Marignac: Recherches sur les formes cryst. Genève 1855.

Optische Axenebene =  $ab$ ; Mittellinie =  $a$ . Der mittlere Brechungs-coeff. ist 1,684 für Roth, 1,685 für Gelb.

Der Axenwinkel für Gelb ist etwa  $82^\circ 40'$ . Nach späteren Beobachtungen findet sich eine merkliche Dispersion der Axen, und zwar  $q < v$ , und es ergab sich ihre Neigung (Des Cloizeaux)

$$2H = \begin{Bmatrix} 95^\circ & 0' \\ 95 & 57 \\ 98 & 35 \end{Bmatrix} \text{ woraus } 2V = \begin{Bmatrix} 80^\circ & 2' & \text{Roth} \\ 80 & 40 & \text{Gelb} \end{Bmatrix}$$

Volumgewicht. — 2,47 Bödecker.

Lösungen. — Procentgehalt und V. G. Franz: J. f. p. Ch. (2) 5, 274.

Volumänderung und Wärmeentwicklung beim Lösen. Favre und Valson: C. r. 79, 968.

**Chlorblei.  $\text{PbCl}_2$ .**Zweigliedrig.  $a : b : c = 0,5943 : 1 : 0,5949$  Schabus.(Geometrisch viergliedrig.  $a : c = 1 : 1,682$ .)

$o; o^2; q; q^4; b; c.$	Berechnet	Beobachtet
$o \left\{ \begin{array}{l} 2A = \\ 2B = 98^\circ 34' \\ 2C = 98 \ 42 \end{array} \right.$		$*134^\circ 24'$ 98 45
$o^2 \left\{ \begin{array}{l} 2A = 123 \ 58 \\ 2B = 75 \ 42 \\ 2C = 133 \ 32 \end{array} \right.$		433 24
$q : q = 118 \ 30$		
$c = 149 \ 15$		449 17
$q^4 : q^4 = 45 \ 36$		
$b = 157 \ 12$		457 10
$q = 143 \ 33$		443 33
$o : b =$		$*112 \ 48$
$c = 130 \ 39$		430 44,5
$q = 139 \ 17$		439 22,5
$o^2 : o = 162 \ 35$		462 33,5

Schabus: Wien. Ak. Ber. 1850.

Schmelzpunkt. —  $404^\circ$  Carnelley;  $580^\circ$  Braun.Gas-V. G. bei  $1070^\circ = 133,8$  Roscoe; berechnet 139.

Electricitätsleitung. — Braun: Pogg. A. 154, 185. — E. Wiedeman: Eb. 348.

**Eisenchlorür.****A. Anhydrid.  $\text{FeCl}_2$ .**

Sechseitige optisch einaxige Tafeln. Sénarmont.

Volumgewicht. — 2,528 Filhol.

**B. Hydrat.  $\text{FeCl}_2 + 4\text{aq.}$** Zwei- und eingliedrig.  $a : b : c = 1,1946 : 1 : 1,6354$  Schabus. $o = 69^\circ 24'$ .

$o, o', a, c.$	Berechnet	Beobachtet	
		Schabus	Scacchi
$o : o =$		$*104^\circ \ 0'$	
$o' : o' =$		$*84 \ 10$	$84^\circ 30'$
$o : o' = 106^\circ 39'$		106 20	
$o : o' = 128 \ 52$		130 0	
$a : c = 110 \ 36$			
$a : o = 133 \ 48$			
$o' = 119 \ 33$			
$c : o = 126 \ 35$		126 10	126 50
$o' =$		$*104 \ 33$	103 59



Meist rhombische Tafeln  $c$  mit Randzuschärfung durch  $o$  und  $o'$  \*).

Zwillinge nach  $c$ , so dass beide Augitpaare umgekehrt liegen, wobei die einspringenden Winkel oft fehlen. Vielfache Wiederholungen an dünnen Tafeln. — Spaltbar nach  $c$ , weniger nach  $o'$ .

Scacchi hält die Zwillinge für einfache zweigliedrige Krystalle, an welchen zwei Rhombenoktaeder vollzählig, zwei partialflächig erscheinen. Schabus: Wien. Ak. B. 4850. — Scacchi: Pogg. A. 409, 369.

Volumgewicht. — 4,937? 2,462?

### Eisenchlorid. $\text{FeCl}^6$ .

Sechsgliedrig.  $a : c = 1 : 1,235$  Nordenskiöld: Vet. Ak. Handl. 1874.

Gas-V. G. bei  $440^\circ = 464,6$  Deville (berechnet 462,5).

Das Hydrat  $\text{FeCl}^6 + 6\text{aq}$  schmilzt bei  $31^\circ$ , das mit  $42\text{aq}$  bei  $35^\circ,5$  Ordway.

Bei der Elektrolyse concentrirter Lösungen bildet sich Chlortür. Buff: Ann. Ch. Ph. 440, 257. — Kohlrausch: Pogg. A. 97, 397. 559.

Gehalt und Dichte der Lösungen. Franz: J. f. p. Ch. (2) 5, 274.

Magnetisches Verhalten derselben. G. Wiedemann: J. f. p. Ch. (2) 9, 445. Wied. Ann. 5, 45.

### Manganchlorür. $\text{MnCl}^2 + 4\text{aq}$ .

Dimorph.

A. Zwei- und eingliedrig.  $a : b : c = 1,4409 : 1 : 1,6406$  Magnac.  $o = 69^\circ 43'$ .

$o, o', \frac{q}{2}, c$ .

	Berechnet	Beobachtet
$o : o =$	$103^\circ 36'$	$106^\circ 0'$
$o' : o' =$		$86^\circ 0'$
$o : o' =$	$103^\circ 57'$	
$o : o' =$	$137^\circ 0'$	
$\frac{q}{2} : \frac{q}{2} =$	$105^\circ 2'$	
$c : o =$		$126^\circ 30'$
$o' =$		$103^\circ 50'$

Tafelartig nach  $c$ . Ann. Min. (5) 42. — Isomorph mit  $\text{FeCl}^2 + 4\text{aq}$ .

Setzt man  $o' = p^2, \frac{q}{2} = o', c = r'$ ,

so wird  $a : b : c = 2,445 : 1 : 0,847$   
 $o = 88^\circ 56'5''$ .

\* Ueber die Stellung der Krystalle s.  $\text{MnCl}^2 + 4\text{aq}$ .

B. Zwei- und eingliedrig.  $a : b : c = 1,1525 : 1 : 0,6445$   
 Rammelsberg.  $\alpha = 80^\circ 35'$ .

$o, o', p, {}^2p, q, a, b.$	Berechnet	Beobachtet
$o : o =$	$125^\circ 4'$	$124^\circ 45'$
$o' : o' =$	$118 \ 44$	
$o : o' =$	$129 \ 45$	
$o : o' =$	$80 \ 28$	$79 \ 52$
$p : p =$	$82 \ 40$	$82 \ 30$
$a =$		$*131 \ 20$
${}^2p : {}^2p =$	$47 \ 28$	$47 \ 38$
$a =$	$113 \ 44$	$113 \ 55$
$b =$	$156 \ 16$	$156 \ 50$
$p =$	$162 \ 24$	$162 \ 53$
$q : q =$		$*115 \ 6$
$a =$		$*97 \ 56$
$o : a =$	$121 \ 38$	$121 \ 23$
$q =$	$156 \ 18$	$156 \ 16$
$o' : a =$	$108 \ 37$	$108 \ 5$
$q =$	$153 \ 27$	$153 \ 18$

Fig. 36.

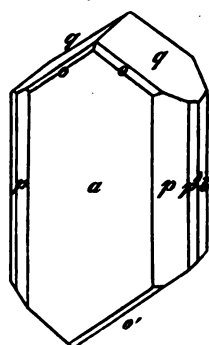


Fig. 36.

Prismatisch nach  $p$ . Undeutlich spaltbar.

Marignac bestätigte Form und Wassergehalt\*).

Volumgewicht. 2,04 Boedecker.

**Chlorkobalt.**  $\text{CoCl}_2 + 6\text{aq}^{**}$ .

Zwei- und eingliedrig.  $a : b : c = 1,252 : 1 : 0,949$  Marignac.  
 $\alpha = 82^\circ 53'$ .

$p, r, r', a.$	Beobachtet	
	Marignac	Brooke
$p : p =$	$*77^{\circ} 40'$	$77^{\circ} 20'$
$a : r =$	131 30	
$a : r' =$	122 25	
$r : r' =$	105 55	106 20
$p : r =$	114 30	
$r' =$	109 30	109 31

Tafelartig nach  $a$ . — Zwillinge nach  $p$ .

Ebene der optischen Axen  $= ac$ ; die Mittellinie geht  $r'$  fast parallel.  
 Groth. — Brooke: Ann. Phil. 23, 364. — Marignac: Réch. — Groth:  
 Pogg. A. 135, 664.

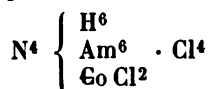
\*) Was Schabus (Preisschrift S. 408) gemessen hat, war schwerlich Mangan-chlorür.

\*\*) Ein älterer Versuch von mir hatte 8 aq gegeben.

Gehalt und V. G. der Lösungen. Franz: S. Eisenchlorid. – Favre und Valson: C. r. 79, 968.

### Kobaltammoniumchlorid.

#### I. Purpureokobaltchlorid.

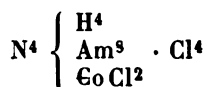


Viergliedrig.  $a : c = 1 : 1,0916$  Dana.

$o, p, a.$	Berechnet	Beobachtet
$o \left\{ \begin{array}{l} 2A = \\ 2C = 114^\circ 8' \end{array} \right.$		$*107^\circ 12'$

Purpurroth. Dichroismus. V. G. 1,802 Dana.

#### II. Luteokobaltchlorid.



Zweigliedrig.  $a : b : c = 0,6585 : 1 : 0,6769$  Dana.

$o\frac{3}{2}, p, {}^3p, q, q^3, c.$	Berechnet	Beobachtet
$o\frac{3}{2} \left\{ \begin{array}{l} 2A = 122^\circ 10' \\ 2B = 85 \quad 30 \\ 2C = 123 \quad 6 \end{array} \right.$		
$p : p =$		$*113^\circ 16'$
${}^3p : {}^3p = 53 \quad 42$		
$q : q = 111 \quad 48$		
$q^3 : q^3 =$		$*52 \quad 26$

Hemimorph. Die Flächen  ${}^3p$  finden sich nur an einem Ende  $c$   $b$  und  $o\frac{3}{2}$  erscheint nur mit vier in einer Zone liegenden Flächen. — lich roth. Dichroismus. V. G. 1,7016.

#### III. Luteokobalt-Platinchlorid.

Verbindung von 1 Mol. des Chlorids mit  $3\text{PtCl}^4$  und  $24\text{aq}$ .

Gelbe Nadeln, rhombische Prismen  $p$  mit Abstumpfung  $a$  un auf  $a$  aufgesetzten schiefen Endfläche  $c$ .

$$p : p = 107^\circ 10'$$

$$a : c = 114 \quad 15$$

Häufig Zwillinge nach  $c$ . Dana. Am. J. Sc. (2) 23 u. 24.

#### Chlornickel. $\text{Ni Cl}^2 + 6\text{aq}$ .

Zwei- und eingliedrig.  $a : b : c = 1,251 : 1 : 0,942$  Marign  
 $o = 83^\circ 2'.$

$p, q, r, r', a.$	Berechnet	Beobachtet
$p : p =$	$77^{\circ} 52'$	$78^{\circ} 0'$
$a =$	$128 \ 56$	$129 \ 0$
$a : r =$		$*131 \ 32$
$a : r' =$		$*122 \ 30$
$r : r' =$	$105 \ 58$	$105 \ 58$
$p : r' =$		$*104 \ 44$
$r =$	$114 \ 38$	$114 \ 48$
$q : q =$	$93 \ 50$	$94 \ 0$
$a =$	$95 \ 10$	$95 \ 30$
$p =$	$126 \ 1$	$125 \ 44$
$r' =$	$124 \ 15$	$124 \ 32$

Prismatisch nach  $p$ . — Zwillinge nach einem  $p$ , wobei die  $a$  und  $q$  zurücktreten. Fig. 37. — Vollkommen spaltbar nach  $r'$ . — Isomorph dem Kobaltsalz. — Gehalt, V. G. und Volumänderung der Lösungen s. Chlorkobalt.

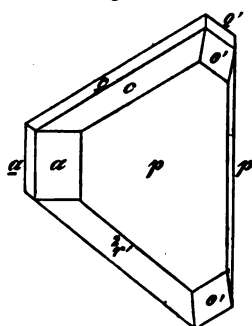
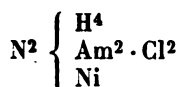


Fig. 37.

### Nickelammoniumchlorid.



Regulär. Oktaeder mit Würfel und Granatoeder. — Erdmann: J. f. pr. Ch. 7, 266.

### Chlorkadmium. $\text{CdCl}_2$ .

Volumgewicht. 3,625 Boedecker.

1 Th. löst sich

bei  $20^{\circ}$  in 0,71 Th.

bei  $80^{\circ}$  in 0,70 Th.

- 40 - } 0,72 - - 100 - 0,67 - Wasser. Kremers.

- 60 -

Derselbe bestimmte das V. G. bei verschiedenen T. und Gehalten. — Pogg. A. 103, 57. 104, 33. 105, 360.

### Chlorzink. $\text{ZnCl}_2$ .

Volumgewicht. 2,753 Boedecker.

Von Lösungen, die gegen 100 Th. Wasser enthalten

an Chlorzink ist das V. G. ( $19^{\circ},5$ )

16,7 Th. 1,1331

38,8 - 1,2714

56,3 - 1,3677

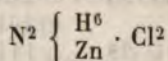
92,4 - 1,5336

Bestimmungen von V. G. der Lösungen bei verschiedenen T. und Gehalten Kremers: S. vorher. Vgl. Frankenheim: Pogg. A. 72, 422.

Capillarität. Pogg. A. 72, 478.

Beziehung zwischen Brechungsindex und Dichte Wüllner: Pogg. A. 433, 4. — Fouqué: C. r. 64, 421.

### Zinkammoniumchlorid.



Zweigliedrig.  $a : b : c = 0,9474 : 4 : 0,9523$  Marignac.

$p, q, r, c.$	Berechnet	Beobachtet
$p : p =$		*94° 56'
$q : q = 92^\circ 48'$		93 0
$r : r = 87 52$		
$c : q = 436 24$		436 30
$r = 433 56$		434 2
$p : q =$		*117 47

Prismatisch nach  $p$ . — Zwillinge nach einem  $p$ , sodass die anderen Winkel von  $170^\circ 8'$  bilden. — Ann. Min. (5) 42.

### Chlormagnesium. $\text{MgCl}^2$ .

Hydrat  $\text{MgCl}^2 + 6\text{aq}$ .

Zwei- und eingliedrig.  $a : b : c = 4,3506 : 4 : 0,8485$  Marignac.

$o = 83^\circ 23'$ .

$o, {}^2o, p, p^3, {}^3p, a.$	Berechnet	Beobachtet
$o : o =$		*113° 0'
${}^2o : {}^2o = 94^\circ 6'$		
$p : p =$		*73 25
$p^3 : p^3 = 434 48$		
${}^3p : {}^3p = 27 54$		
$a = 403 57$		404
$p : o = 437 24$		437 20
${}^2o = 454 33$		454
$o : a =$		*119 20

Sehr zerfliesslich, und deshalb schlecht messbar. — Isomorph dem Nickel- und Kobaltsalz. — V. G. 4,558. Filhol.

Lässt sich im Wasserstoffstrom verflüchtigen. Deville und Caron.

Löslichkeit. — Angaben über das V. G. der Lösungen, ihren Siedepunkt, ihre Ausdehnung und die Volumänderungen beim Verdünnen. — Gerlach: Spec. Gew. von Salzlösungen. Freiberg 1859. — Schiff: Ann. Ch. Ph. 107, 293. 108, 326. 118, 90. — Oudemans: Zeitschr. anal. Ch. 7, 449.

Ihre galvanische Leitungsfähigkeit Kohlrausch: Pogg. A. 454, 4. 215.



**Chlorcalcium.**  $\text{CaCl}_2$ .Hydrat  $\text{CaCl}_2 + 6\text{aq.}$ 

Sechsgliedrig.

 $2A$  von  $r$  etwa  $= 129^\circ$  $r : p = 119-121^\circ$  Marignac.Isomorph dem Strontiumsalz. — Doppelbrechung negativ; die Brechungsexponenten  $o = 1,417$ ;  $e = 1,393$  für Gelb.

Groth: Pogg. A. 135, 662.

Volumgewicht.

 $\text{CaCl}_2$  $\text{CaCl}_2 + 6\text{aq.}$ 

2,24 Filhol

1,612 bei  $40^\circ$  Kopp

2,205 Schiff

1,704 Favre.

2,16 Favre

Spec. Wärme des Hydrats

des festen unter  $0^\circ$  . . . . .  $= 0,345$ des flüssigen (zw.  $33,5$  u.  $80^\circ$ )  $= 0,555$  Person.Latente Schmelzwärme für 1 Th.  $= 40,7$  Person.Schmelzpunkt des Anhydrids  $723^\circ$  Carnelley; des Hydrats  $29^\circ$  Kopp,  $28^\circ,5$  Person.Dehnt sich von  $0-20^\circ$  von  $1:1,007$  aus, bis  $29^\circ$  auf  $1,02$ , vergrößert im Moment des Schmelzens sein Vol. um  $9,6$  pCt., sodass es bei  $29^\circ$  für den flüssigen Zustand  $= 1,118$  ist. Kopp.

Die Zusammendrückbarkeit der gesättigten Lösung untersuchte Grassi: C. r. 27, 153. Ann. Ch. Phys. (3) 31, 437.

Volumgewicht und Gehalt der Lösungen. — Schiff: Ann. Ch. Ph. 108, 326. — Kremers: Pogg. A. 99, 435. 103, 57. 104, 133. 105, 360. — Gerlach: S. Chlormagnesium. — Mulder: Jahresb. 1866, 66. — Hammerl: Wien. Ak. Ber. 72, 287.

Procentgehalt der Lösung an $\text{CaCl}_2$		Siedepunkt
Babo	Gerlach	
	10	101 $^\circ,4$
19,05		102,5
	20	104,2
29,72		105,1
	30	109,7
	40	118
44		110
66,7		117,7
103,67		129,7
157,95		146,5

Babo: Jahresb. 1847—48, 93.

Wärme beim Verdünnen Favre: C. r. 54, 346. — Fav  
Valson: C. r. 77, 577. 802. 79, 968. 4036.

Durch Auflösen von 25 Th. Hydrat in 40 Th. Wasser sinkt die  
10°,8 auf - 42°,4. Rüdorff. — Vgl. De Coppet: Ann. Ch. P  
23, 366. 25, 502. 26, 98.

Brechungsverhältnisse Kremers und Beer: Pogg. A. 404, 4  
Spec. Wärme. Person: Ann. Ch. Phys. (3) 33, 437.

Die T. und die Spannung der Dämpfe siedender Lösungen  
S. o. — Magnus: Pogg. A. 442, 408. — Wüllner: Eb. 440, 50

### Chlorstrontium. $\text{SrCl}^2$ .

Hydrat.  $\text{SrCl}^2 + 6\text{aq}$ .

Sechsgliedrig.  $a : c = 4 : 0,5084$  Marignac.

$r, p$ .

Berechnet

Beobachtet

$$r \ 2A =$$

$$*128^\circ \ 0'$$

$$r : p = 120^\circ \ 25'$$

$$120 \ 45-50'$$

Volumgewicht.  $\text{SrCl}^2 = 2,96$  Filhol.  $\text{SrCl}^2 + 6\text{aq} =$

Buignet.

Schmelzpunkt des Anhydrids 829° Carnelley; 940° Br

Löslichkeit. Kremers: Pogg. A. 92, 497. 103, 57. 104,

Volumgewicht der Lösungen. Kremers: Pogg. A. 99, 4  
vorher. — Gerlach: S. Chlorcalcium. — Mulder: Desgleichen  
Wasser lösen 50,7  $\text{SrCl}^2$  bei 44°,5.)

Lösungswärme; Volumänderung der Lösungen; Fav  
Valson: C. r. 77, 577. 802. 79, 968. 4036. — Berthelot: C. r.

Gefrierpunktserniedrigung. De Coppet: S. Chlor  
— Rüdorff: Pogg. A. 445, 599.

Siedepunkt der gesättigten L. = 114° Kremers. — V  
grand: Pogg. A. 37, 383.

Löslichkeit in Alkohol.

400 Th. von

0,9904 lösen 49,8  $\text{SrCl}^2 + 6\text{aq}$ .

0,9665 35,9

0,9088 49,2

0,8322 3,2

Gerardin: Ann. Ch. Phys. (4) 5, 429.

### Chlorbaryum. $\text{BaCl}^2$ .

Hydrat.  $\text{BaCl}^2 + 2\text{aq}$ .

Zweigliedrig.  $a : b : c = 0,6068 : 4 : 0,6338$  v. Kobell.

$o, {}^2p, {}^3p, p^4, q, q^2, q^3, r, a, b, c$ .

$s = a : \frac{1}{3}b : c$ .

Berechnet		Beobachtet		
		v. Kobell	Marignac	Haidinger
o	$2A = 132^{\circ} 40'$			
	$2B = 97 \ 9$		$96^{\circ} 50'$	$98^{\circ} 40'$
	$2C = 104 \ 25$		$102 \ 28$	$101 \ 39$
s	$2A = 74 \ 30$			
	$2B = 127 \ 56$			
	$2C = 130 \ 30$		$131 \ 58$	
p	$p = 117 \ 30$			
$^2p$	$^2p = 78 \ 58$			
	$b = 110 \ 31$		$110 \ 57$	
$^3p$	$^3p = 57 \ 34$			
	$b = 151 \ 13$		$151 \ 40$	
$p^4$	$p^4 = 162 \ 46$			
	$b = 98 \ 37$		$98 \ 45$	
q	$q = 115 \ 6$			$115 \ 19$
	$b = 122 \ 22$		$123 \ 12$	
$q^2$	$q^2 = 76 \ 32$			$76 \ 36$
	$b = 141 \ 44$		$142 \ 35$	
$q^3$	$q^3 = 54 \ 32$			
	$b = 152 \ 44$		$152 \ 57$	
r	$r =$	$*87^{\circ} 30'$	$86 \ 40$	$87 \ 5$
o	$b = 113 \ 40$		$114 \ 14$	
	$r =$	$*156 \ 20$		

Fig. 38.

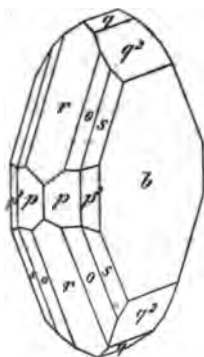


Fig. 38. Tafelartig nach  $b$ . Spaltbar nach  $b$ . — Isomorph  $\text{CuCl}_2 + 2\text{aq}$ , da ihre  $a = 3:2$ , ihre  $c = 3:4$  sind. — Haidinger: Edinb. J. Sc. 1, 101. — v. Kobell: Schwgg. J. 64, 298.

Optisches Verhalten. — Ebene der opt. Axen =  $ac$ , Mittellinie =  $c$ .  
für Roth  $\alpha = 1,657$ ;  $\beta = 1,644$ ;  $\gamma = 1,628$ ;  $2V = 84^{\circ} 50'$  (berechnet)  
für Gelb  $1,660$   $1,646$   $1,635$   $= 83 \ 46$

Die directe Beobachtung ergab

$2V$  für Roth  $= 84^{\circ} 23' \ 85^{\circ} 18' \ 84^{\circ} 58'$   
Gelb  $84 \ 4 \ 85 \ 0 \ 84 \ 20$

Deutliche Dispersion;  $\rho > v$ . — Des Cloizeaux: Nouv. Réch. 49.  
— Vgl. Grailich: Wien. Ak. B. 27.

Volumgewicht.

$\text{BaCl}_2 = 3,75$  Filhol;  $3,70$  Kremers;  $3,844$  Favre.

$\text{BaCl}_2 + 2\text{aq} = 3,052$  Schiff;  $3,081$  Buignet;  $3,054$  Joule u. Playfair.

Ausdehnung. Kub. Ausd. v.  $0-100^{\circ} = 0,00987$  Joule u. Playfair.

Lösung. 1 Liter bei  $15^{\circ}$  gesättigte L. enthält

$328,073 \text{ BaCl}_2$  } V. G. ( $15^{\circ}$ )  $1,2823$   
 $384,074 \text{ Hydrat}$  } Michel und Krafft.



Gehalt einer Lösung.

5 pCt. $\text{BaCl}^2$	V. G = 4,0458
40 - -	4,0954
45 - -	4,1485
20 - -	4,2064
25 - -	4,2702
25,97 -	4,2827 Gerlach.

Sind in 100 Th. Wasser gelöst

$\text{BaCl}^2$ 8,88,	so ist das V. G. 4,0760 (19°, 5)
48,24 - - -	4,1524
27,53 - - -	4,2245
35,44 - - -	4,2837 Kremers.

Aenderung des V. G. bestimmter Lösungen bei T. von 0—400° Kremers: Pogg. A. 100, 394.

Volumgewicht der Lösungen. Schiff: Ann. Ch. Ph. 408, 326. — Gerlach: S. Chlorcalcium.

Lösungswärme und Volumänderung Favre und Valson: C. r. 77, 577, 802. — Thomsen: Ber. d. ch. Ges. 1873, 710.

Thermische Wirkungen beim Verdünnen. Favre: C. r. 54, 346.

Gefrierpunktserniedrigung. De Coppet: S. Chlorcalcium. — Rüdorff: S. Ebend.

Siedepunkt. Enthält die Lösung

$\text{BaCl}^2$	so ist der S.
40 pCt.	400°, 6 (V. G. 4,0448)
20 -	404,9 ( - 4,0486) Gerlach.

Brechungsverhältnisse. Kremers und Beer: Pogg. A. 104, 433.

Löslichkeit in Alkohol. — In 100 Th. bei 45° gesättigter Lösung sind enthalten

in 80 pCt. Alkohol	0,5 $\text{BaCl}^2 + 2\text{aq}$
- 60 - -	3,4 -
- 40 - -	9,3 -
- 30 - -	42,8 - Schiff.

100 Theile Alkohol lösen an  $\text{BaCl}^2 + 2\text{aq}$

von 0,9904 = 25,1 Thl.
- 0,9793 = 47,3 -
- 0,9573 = 8,18 -
- 0,939 = 5,41 -
- 0,8967 = 2,38 - Gerardin.

### Goldchlorid. $\text{AuCl}^3$ .

Lösungswärme des krystallisirten Thomsen Ber. d. ch. G. 1873, 710.

**Aluminiumchlorid.**  $\text{AlCl}_3$ .Hydrat  $\text{AlCl}_3 + 12\text{aq.}$ 

Sechseckige Prismen mit rhomboedrischer Zuspitzung, an welcher etwa  $= 138^\circ$  ist. Bunsdorff: Pogg. A. 27, 279.

Gas-V. G. des wasserfreien

$$\left. \begin{array}{l} \text{bei } 350^\circ \\ - 440 \end{array} \right\} = 135 \text{ (berechnet } 133,8).$$

Ist geschmolzen ein guter Elektricitätsleiter und wird in seine Elemente zerlegt. Buff.

Geruch bestimmte V. G. und Siedepunkt der Lösungen, s. Chlorcalcium.

**Cerchlorid.**  $\text{Ce}_2\text{Cl}_6 + 15\text{aq.}^*$ 

Eingliedrig. Wahrscheinlich isomorph dem folgenden.

**Lanthanchlorid.**  $\text{La}_2\text{Cl}_6 + 12\text{aq.}^*$ Eingliedrig.  $a : b : c = 1,4593 : 1 : 0,8659$  Marignac.

$$\begin{array}{ll} A = 90^\circ 20' & \alpha = 91^\circ 3' \\ B = 114^\circ 27' & \beta = 114^\circ 28' \\ C = 88^\circ 30' & \gamma = 88^\circ 42' \end{array}$$

 $o, o', o'', o''', p, p', 2r, 2r', a, b, c.$ 

	Berechnet	Beobachtet
$o : o' =$	$123^\circ 42'$	$123^\circ 43'$
$o'' : o''' =$	$104^\circ 45'$	$102^\circ 0'$
$o : o'' =$	$120^\circ 36'$	
$o' : o''' =$	$120^\circ 30'$	
$o : o''' =$	$94^\circ 7'$	
$o' : o'' =$	$95^\circ 42'$	
$a : b =$		$88^\circ 30'$
$p =$		$132^\circ 40'$
$p' =$	$134^\circ 44'$	$134^\circ 40'$
$b : c =$		$90^\circ 20'$
$a : c =$		$114^\circ 27'$
$c : 2r =$	$139^\circ 57'$	$140^\circ 3'$
$2r' =$		$105^\circ 40'$
$p : c =$	$107^\circ 4'$	$107^\circ 0'$
$p' : c =$	$106^\circ 4'$	$106^\circ 40'$
$a : o =$	$133^\circ 9'$	$132^\circ 58'$
$o' =$	$134^\circ 50'$	$134^\circ 36'$
$o'' =$	$106^\circ 45'$	$106^\circ 44'$
$o''' =$	$104^\circ 40'$	$104^\circ 40'$
$b : o =$	$117^\circ 42'$	$117^\circ 40'$
$o'' =$	$130^\circ 2'$	$130^\circ 0'$
$o' =$	$118^\circ 36'$	$118^\circ 40'$

\* Nach meiner Analyse.

	Berechnet	Beobachtet
$b : o''' = 128^{\circ} 43'$		$127^{\circ} 50'$
$c : o = 142 \quad 5$		$142 \quad 0$
$o' = 140 \quad 58$		$140 \quad 55$
$o'' = 123 \quad 20$		$123 \quad 30$
$o''' = 123 \quad 48$		$123 \quad 56$

Tafelartig nach  $c$ . — Farblos. An feuchter Luft zerfliessend.

Schabus hat als Lanthanchlorid die Krystalle des Sulf geschrieben.

### Didymchlorid. $\text{Di}^2\text{Cl}^6 + 12\text{aq}$ .

Zwei- und eingliedrig.  $a : b : c = 1,2368 : 4 : 1,5432$  Mar  
 $o = 86^{\circ} 49'$ .

$p, q, r, b, c$ .	Berechnet	Beobachtet
$p : p =$		$*78^{\circ} \quad 0'$
$q : q =$		$*67 \quad 0$
$r : c = 134^{\circ} 10'$		$132$
$p = 119 \quad 44$		$119 \quad 30$

Prismatisch nach  $p$ .

Approximative Messungen wegen Zerfliesslichkeit.

Man sollte Isomorphie mit dem Lanthansalz erwarten, das jedoch leicht im Wassergehalt abweicht.

### Chlorplatin.

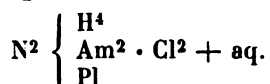
Platinchlorür.  $\text{Pt Cl}^2$ .

Volumgewicht. — 5,87 Boedecker.

Platinchlorid. Hydrat  $\text{Pt Cl}^4 + 8\text{aq}$  oder  $\text{H}^2\text{Pt Cl}^6 + 6\text{aq}$  (No)

Volumgewicht. — 2,434 Boedecker.

### Ammonplatindiammonchlorür.

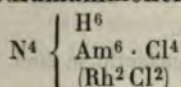


Viergliedrig.  $a : c = 4 : 0,5625$  Sella.

$o, d, a, c$ .	Berechnet	Beobachtet
$o \left\{ \begin{array}{l} 2A = 127^{\circ} 46' \\ 2C = 77 \quad 0 \end{array} \right.$		$127^{\circ} 46'$ $77 \quad 3$
$d \left\{ \begin{array}{l} 2A = 139 \quad 26 \\ 2C = 58 \quad 42 \end{array} \right.$		
$o : a =$		$*116 \quad 7$

Herrschend  $o$ . — Die Salze von Reiset und Peyrone haben Form. — Optisch einaxig. Mem. R. Accad. Torino (2) 47.



**Rhodiumammonchlorid.**

Zweiglig.  $a : b : c = 0,635 : 4 : 0,595$  Keferstein.

Beobachtet

$$p : p = 115^\circ 9'; \quad q : q = 118^\circ 30'.$$

S. Ammon-Iridiumchlorid.

**Zinnchlorür.  $\text{SnCl}_2$ .**

Zweiglig. A. Nordenskiöld: Vet. Akad. Handl. 1874.

Gas - V. G. bei  $6-700^\circ = 186-189$ ; bei  $900^\circ = 90-96,4$ .

V. Meyer. Ein Mol.  $= \text{Sn}^2\text{Cl}^4$  würde also in 2 Mol.  $\text{SnCl}_2$  zerfallen.

Berechnet

$$\text{Sn}^2\text{Cl}^4 = 378 \quad \frac{1}{2} = 189$$

$$\text{SnCl}_2 = 189 \quad \frac{1}{2} = 94,5.$$

Hydrat.  $\text{SnCl}_2 + 2\text{aq}$  (Zinnsalz).

Zwei- und eingliedrig.  $a : b : c = 0,7805 : 4 : 1,245$  Marignac.

$$o = 86^\circ 14'.$$

$$o, o', {}^3p, a. \quad - \quad s = 3a : b : c.$$

$$s' = 3a' : b : c.$$

Berechnet

Beobachtet

$$o : o = 114^\circ 44'$$

$$o' : o' = 111 \quad 32$$

$$s : s = 86 \quad 58$$

$$s' : s' = 83 \quad 6$$

$${}^3p : {}^3p =$$

$$a = 130 \quad 35$$

$$o' : a = 133 \quad 49$$

$$s : a =$$

$${}^3p =$$

$$86^\circ 30'$$

$$83 \quad 42$$

$$*84 \quad 40$$

$$130 \quad 35$$

$$134 \quad 0$$

$$*140 \quad 37$$

$$*144 \quad 34$$

Prismatisch nach  ${}^3p$ , tafelartig nach  $a$ .

Löslichkeit. — 4 Liter bei  $45^\circ$  gesättigter Lösung enthält 1333 grm krystallisirten Salzes und hat ein V. G.  $= 1,827$ . Also 4 Th. Salz in 2,7 Th. Wasser. Michel und Krafft: Ann. Ch. Phys. (3) 44, 474.

Eine Lösung von folgendem Procentgehalt hat bei  $45^\circ$  folgende V. G.

pCt.	V. G.	pCt.	V. G.	pCt.	V. G.
5	1,0331	30	1,2300	55	1,5106
10	1,0684	35	1,2779	60	1,5823
15	1,1050	40	1,3298	65	1,6598
20	1,1442	45	1,3850	70	1,7452
25	1,1855	50	1,4454	75	1,8399

Gerlach: Dingl. J. 186, 131.

	Berechnet	Anteile der zugehörigen
$b : o''' = 128''$		
$c : o = 142$		Zinn.
$o' = 14$		
$o'' = 1$		
$o''' =$		vide.
Tafelartig nach c. — F		
Schabus hat als		II und R.
schrieben.		

Chlorid. ( $\text{AmCl} + \text{MgCl}^2 +$   
 $c = 0,9713 : 4 : 0,701$  Mariq

Zwei- und ein	Berechnet	Beobachtet
	$\angle A = 120^\circ 46'$	
	$\angle B = 118^\circ 50'$	
$p, q, r, b$	$\angle C = 90^\circ 20'$	
	$\angle A = 102^\circ 48'$	
	$\angle B = 100^\circ 4'$	
	$\angle C = 127^\circ 10'$	
	$a : p =$	$91^\circ 40'$
	$a = 135^\circ 50'$	$135^\circ 50'$
	$o : c = 134^\circ 50'$	$134^\circ 30'$
	$o^2 : c =$	$116^\circ 25'$

Willinge nach r, an denen

$c : c = 110^\circ 36'$	$110^\circ 17'$
$p : p = 107^\circ 44'$	$107^\circ 52'$

mit dem folgenden.

umgewicht. — 1,456 Boedecker.

**Ammonium-Magnesiumchlorid.** ( $\text{KCl} + \text{MgCl}^2 + 6\text{aq}$ ) (C)  
 niedrig.  $a : b : c = 0,589 : 4 : 0,6877$  Marignac  
 $a, o, p, q, q^2, q^4, r^2, b, c$ .

	Berechnet	Beobachtet
		Marignac Des Cloizeaux Ra
$\angle A = 134^\circ 48'$	$134^\circ 28'$	
$\angle B = 92^\circ 14'$	$91^\circ 54'$	
$\angle C = 107^\circ 8'$		
$\angle A = 123^\circ 8'$		
$\angle B = 72^\circ 8'$	$72^\circ 16'$	
$\angle C = 139^\circ 30'$		
$\angle A = 140^\circ 44'$		
$\angle B = 109^\circ 26'$		
$\angle C = 84^\circ 42'$		
$p : p =$	$119^\circ 0'$	$118^\circ 37'$
$b = 120^\circ 30'$	$120^\circ 40'$	(Hessenberg)
$q^2 : q^2 = 72^\circ 2'$		





Berechnet	Beobachtet		
	Marignac	Des Cloizeaux	Rammelsberg
$q^2 : c = 126^\circ 4'$	$125^\circ 30'$	$125^\circ 45'$	
$q^4 : q^4 = 39 56$			
$c = 109 58$	109 50	108 50	
$q^4 : q^4 = 94 58$			
$c = 137 29$	137 24	137 15	
$r^2 : r^2 = 46 22$			
$a : b = 114 6$	114 20		
$c =$	$126 25$	$126 0$	$126^\circ 18'$
		$126 28$	
$p = 143 34$		(Hessenberg)	143 20
$o^2 : b = 118 26$	118 30		
$c = 110 15$	110 10	110 2	110 43
$p = 150 5$			149 45
$o = 163 49$			163 50
$q^2 = 126 4$	126 10		
$o^2 : c = 137 54$	137 48		
$p : q^2 = 114 44$	114 24		
$q^4 = 118 29$	118 40		
$q^4 = 110 4$	110 26		

Von sechsgliedrigem Ansehen. Fig. 39.

Isomorph dem Ammoniumsals; ihre  $a$  sind  $= 5 : 3$ .

Optische Axenebene  $= ac$ , Mittellinie

$= c$ . Dispersion der Axen gering,  $\varrho < v$ .

Scheinbarer Axenwinkel

$$2H = 70^\circ 15'$$

$$= 70 28$$

$$2E = 115^\circ 4' \text{ Roth}$$

$$= 117 0 \text{ Blau Des Cloizeaux.}$$

Luftbeständig; gegentheilige Angaben beziehen sich auf beigemengtes Chlormagnesium. Rammelsberg. — Des Cloizeaux: Nouv. Recherch. 46. — Hessenberg: Min. Notizen Nr. 7, 42. — Marignac: Ann. Min. 3) 12.

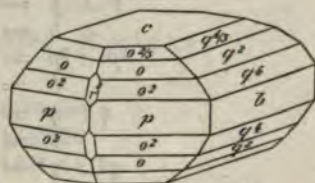
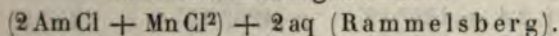


Fig. 39.

### Ammonium-Manganchlorür.



Regulär. Granatoeder mit Würfelflächen. Rammelsberg.

### Kalium-Eisenchlorür. $(2\text{KCl} + \text{FeCl}_2) + 2\text{aq}$ .

Zwei- und eingliedrig.  $a : b : c = 0,5036 : 1 : 0,7367$  Schabus.

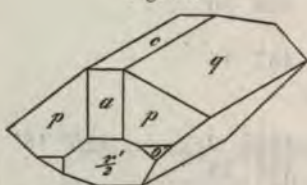
$$\alpha = 75^\circ 14'.$$

$$o', p, q, \frac{r'}{2}, a, c.$$

	Berechnet	Beobachtet
$o' : o' = 130^\circ 34'$		$130^\circ 30'$
$p : p =$		$128 50$
$q : q =$		$109 5$

Rammelsberg, physik. Chemie.

Fig. 40.



	Berechnet	Beobachtet
$a : c =$		$^{*}104^{\circ} 46'$
$\frac{p'}{2} : a = 116^{\circ} 44'$		116 30
$c = 139 \quad 0$		138 44
$o' : c = 111 \quad 36$		111 33

Prismatisch nach  $p$  oder  $q$ . Fig. 40.  
glatt, die  $q$  gestreift nach den Kanten  $qc$

Unvollkommen spaltbar nach  $\frac{p'}{2}$ . —

2,162. — Schabus: Wien. Ak. Ber. 4

### Ammonium-Zinkchlorid.

#### I. $2\text{AmCl} + \text{ZnCl}_2$ .

Zweigligdrig.  $a : b : c = 0,7224 : 1 : 0,5696$  Marignac.

$o, p, {}^2p, q, q^3, a, b.$	Berechnet	Beobachtet
$\left\{ \begin{array}{l} 2A \\ 2B \\ 2C \end{array} \right.$	$\begin{array}{l} = 131^{\circ} 48' \\ = 111 \quad 8 \\ = 88 \quad 26 \end{array}$	
$p : p$	$= 108 \quad 20$	
$b =$		$^{*}125^{\circ} 50'$
${}^2p : {}^2p$	$= 69 \quad 24$	
$b =$	$145 \quad 18$	145 40
$q : q$	$= 120 \quad 40$	
$b =$		$^{*}119 \quad 40$
$q^3 : q^3$	$= 60 \quad 40$	
$q^3 : b$	$= 149 \quad 40$	149 45
$o : a$	$= 124 \quad 26$	124 0
$b =$	$114 \quad 6$	114 23
$p =$	$134 \quad 13$	133 50

#### II. $3\text{AmCl} + \text{ZnCl}_2$ (Marignac).

Zweigligdrig.  $a : b : c = 0,7827 : 1 : 0,6916$  Marignac.

$o, p, q, q^2, a, b.$	Berechnet	Beobachtet
$s = a : \frac{1}{2}b : c.$		Marignac Rammelsberg
$\left\{ \begin{array}{l} 2A \\ 2B \\ 2C \end{array} \right.$	$\begin{array}{l} = 125^{\circ} 42' \\ = 107 \quad 58 \\ = \end{array}$	$\begin{array}{l} 125^{\circ} 45' \\ 108 \quad 0 \\ ^{*}96 \quad 36 \end{array}$
$\left\{ \begin{array}{l} 2A \\ 2B \\ 2C \end{array} \right.$	$\begin{array}{l} = 87 \quad 56 \\ = 125 \quad 14 \\ = 117 \quad 18 \end{array}$	$\begin{array}{l} 124^{\circ} 45' \\ 108 \quad 8 \\ \end{array}$
$p : p$	$=$	$^{*}103 \quad 56$
$a =$	$141 \quad 58$	104 30
$b =$	$128 \quad 2$	142 0
$q : q$	$= 110 \quad 40$	127 58
$b =$	$124 \quad 40$	110 33
		124 42

	Berechnet	Beobachtet	
		Marignac	Rammelsberg
$q^2 : q^2 =$	71 44		
$b =$	144 8	144° 6'	144° 12'
$q =$	160 32		160 28
$o : a =$	126 4		126 0
$b =$	117 23	117 23	
$p =$	138 48	138 45	138 42
$q =$	143 59	144 4	143 45
$s : b =$	136 2	135 54	
$q^2 =$	152 37	152 45	
$p : q =$	110 34	110 25	

Zuweilen Zwillinge nach  $p$ . — Aus den Messungen folgt, dass wir dasselbe Salz untersuchten, allein ich habe es durch die Analyse als  $\text{AmCl} + \text{ZnCl}_2$  (also gleich dem vorigen) erkannt\*). Dieser Gegenstand bedarf einer wiederholten Prüfung.

Volumgewicht von  $2\text{AmCl} + \text{ZnCl}_2 = 4,72-4,77$  Boedecker, 1,879 Schiff.

#### Kalium-Zinkchlorid. $2\text{KCl} + \text{ZnCl}_2$ .

Zweigliedrig.  $a : b : c = 0,7177 : 1 : 0,5386$  Marignac.

$o, p, \frac{3}{2}p, 2p, 3p, q, q^3, a, b$ .

	Berechnet	Beobachtet
$o \left\{ \begin{array}{l} 2A = \\ 2B = \\ 2C = \end{array} \right.$	$\begin{array}{l} 131^\circ 18' \\ 109 50 \\ 90 2 \end{array}$	$\begin{array}{l} 131^\circ 26' \\ 109 44 \\ \end{array}$
$p : p =$	108 40	108 40
$b =$		125 40
$\frac{3}{2}p : \frac{3}{2}p =$	85 46	
$\frac{2}{2}p : \frac{2}{2}p =$	69 44	
$\frac{3}{2}p : \frac{3}{2}p =$	49 50	
$b =$	155 5	155 40
$q : q =$	119 28	119 30
$b =$		120 16
$q^3 : q^3 =$	63 30	
$o : b =$	144 21	144 17
$p =$	135 4	135 0
$q =$	144 55	144 52

Isomorph dem entsprechenden Ammoniumsalz. — V. G. 2,297 Schiff.

#### Natrium-Zinkchlorid. $(2\text{NaCl} + \text{ZnCl}_2) + 3\text{aq}$ .

Sehr kleine nicht messbare sechsseitige Prismen mit Endfläche und Dihexaederflächen. — Marignac: Ann. Min. (5) 12.

\*] Pogg. A. 94, 509.



Bere

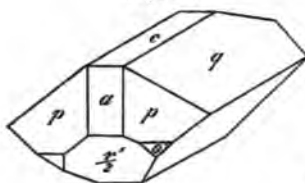
$$a : c =$$

$$\frac{a'}{2} : a = 116$$

$$c = 13'$$

$$o' : c = 11$$

Fig. 40.



Prismatisch na  
glatt, die  $q$  gestre

Unvollkomme

2,162. — Scha

### Ammonium-Zinke

#### I. $2\text{AmCl} + \text{Z}$

Zweigliedrig.  $a : b : c = 0,7224 : 1$

$o, p, {}^2p, q, q^3, a, b$ . Berechnet

$$o \begin{cases} 2A = 131^\circ 48' \\ 2B = 114 \quad 8 \\ 2C = 88 \quad 26 \end{cases}$$

$$p : p = 108 \quad 20$$

$$b =$$

$${}^2p : {}^2p = 69 \quad 24$$

$$b = 145 \quad 18$$

$$q : q = 120 \quad 40$$

$$b =$$

$$q^3 : q^3 = 60 \quad 40$$

$$q^3 : b = 149 \quad 40$$

$$o : a = 124 \quad 2'$$

$$b = 114$$

$$p = 134 \quad ;$$

#### II. $3\text{AmCl} +$

Zweigliedrig.  $a : b : c = 0$

$o, p, q, q^2, a, b$ . Berechnet

$$s = a : \frac{1}{2}b : c.$$

$$o \begin{cases} 2A = 125^\circ 12' \\ 2B = 107 \quad 58 \\ 2C = \end{cases}$$

$$s \begin{cases} 2A = 87 \quad 51 \\ 2B = 125 \quad 1 \\ 2C = 117 \quad 1 \end{cases}$$

$$p : p =$$

$$a = 111 \quad 5$$

$$b = 128$$

$$q : q = 110$$

$$b = 121$$

Doppelchloride.

277

Chlorid.  $(2\text{KCl} + \text{HgCl}_2) + \text{aq.}$

$n_D^{20} = 1,0775$  Rammelsberg.

Beobachtet

Landorff

Grailich

$109^\circ 45'$

Krystalle tafelartig  
Rammelsberg: Eb.

Scheinbarer Axenwinkel  
 $24'$  beim Austritt. Disper-  
siv, das Kaliumsalz negativ.

$\text{AmCl} + \text{SnCl}_2 + \text{aq.}$

Beobachtet Rammelsberg

$r : r = 83^\circ 45'$

Chlorid.  $(2\text{KCl} + \text{SnCl}_2) + \text{aq.}$

$n_D^{20} = 0,6864 : 1 : 0,7604$  Marignac.

Berechnet

Beobachtet

Marignac

Rammelsberg

$\alpha = 126^\circ 0'$

$\beta = 97 42$

$\gamma = 106 40$

$\delta = 88 56$

$\epsilon = 117 22$

$\zeta = 124 0$

$\eta = 142 28$

$\theta = 90 42$

$\iota = 101 44$

$\mu : \rho =$

$111^\circ 4'$

$110^\circ 40'$

Berechnet		Beobachtet	
		Marignac	Rammelsberg
$p : a$	$= 145^{\circ} 32'$	$145^{\circ} 32'$	$145^{\circ} 37'$
$b$	$= 124 \ 28$		$124 \ 28$
$2p : 2p$	$= 72 \ 8$		
$q : q$	$= 105 \ 32$		
$b$	$= 127 \ 14$	$127 \ 15$	
$q^2 : q^2$	$= 66 \ 40$		
$b$	$= 146 \ 40$	$146 \ 40$	
$r : r$	$=$	$84 \ 10$	$83 \ 20$
$a$	$= 137 \ 35$	$137 \ 55$	
$o : a$	$= 131 \ 24$	$131 \ 24$	
$b$	$= 117 \ 0$	$116 \ 58$	
$p$	$= 143 \ 20$	$143 \ 27$	
$s : b$	$= 135 \ 32$	$135 \ 32$	
$t : b$	$= 108 \ 46$		$108-109^{\circ}$
$r$	$= 161 \ 14$		$162$

Fig. 42.

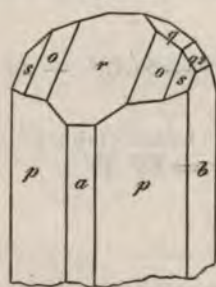


Fig. 43.



Fig. 42 (Marignac); Fig. 43 (nach meinen Beobachtungen).

Lange durchsichtige Prismen  $p$ , an denen  $t$  und  $c$  sehr klein; dicke weisse Krystalle  $= p, b, r$ .

**Ammonium-Uranychlorid.**  $(2 \text{ Am Cl} + \text{UO}^2 \cdot \text{Cl}^2) + 2 \text{ aq.}$

Eingliedrig. Isomorph dem folgenden. Grailich fand:

$$p : b = 119^{\circ} 30' \quad o'' : b = 104^{\circ} 30' \\ c = 97$$

**Kalium-Uranychlorid.**  $(2 \text{ K Cl} + \text{UO}^2 \cdot \text{Cl}^2) + 2 \text{ aq.}$

Eingliedrig.

$o, o'', p, p', q^2, b, c$ .

## Beobachtet

	De la Provostaye	Rammelsberg
$b : p =$	$119^{\circ} 30'$	$119^{\circ} 8'$
$p' =$	$118 \ 50$	
$c : p' =$	$96 \ 5$	
$b : c =$	$80 \ 45$	$81 \ 7$
$q^2 : b =$	$136 \ 6$	$136 \ 0$
$c =$	$124 \ 30$	$124 \ 45$
$b : o =$	$409 \ 0$	
$o'' =$	$404 \ 40$	
$c : o =$	$449 \ 45$	
$o'' =$	$433 \ 5$	

Prismatisch nach  $bc$  oder tafelartig nach  $c$ . De la Provostaye:  
Ann. Ch. Phys. (3) 6, 465. — Grailich: Kryst.-opt. Unters. 85.

B. Von <sup>I</sup>R und <sup>IV</sup>R.Kalium-Platinchlorür.  $2KCl + PtCl^2$ .

Viergliedrig.  $a : c = 1 : 0,416$  Nordenskiöld.

$o, p, c$ .

Berechnet

Beobachtet

$$o \begin{cases} 2A = \\ 2C = 60^{\circ} 56' \\ o : p = 120 \ 28 \\ c = 149 \ 32 \end{cases}$$

$$*137^{\circ} 58'$$

Vet. Akad. Handl. 1874.

Volumgewicht. — 3,30 Clarke.

Kalium-Palladiumchlorür.  $2KCl + PdCl^2$ .

Viergliedrig.  $a : c = 1 : 0,407$  Nordenskiöld.

$o, p$ .

Berechnet

Beobachtet

$$o \begin{cases} 2A = \\ 2C = 59^{\circ} 54' \\ o : p = 119 \ 57 \end{cases}$$

Nordenskiöld

Bodewig

$$*138^{\circ} 40'$$

$$138^{\circ} 28'$$

$$119 \ 55$$

$$120 \ 3$$

Im reflectirten Licht braungrün, im durchfallenden nach  $c$  röthlich,  
senkrecht dazu grün. Bodewig: Groth's Ztschr. 4, 73.

Ammonium-Iridiumchlorid.  $(3AmCl + IrCl^3) + 3aq$ .

Zweiglig.  $a : b : c = 0,8746 : 1 : 0,495$  Keferstein.

$p, p\frac{3}{2}, q, a, b$ .

Berechnet

Beobachtet

$$p : p =$$

$$*97^{\circ} 39'$$

$$p\frac{3}{2} : p\frac{3}{2} = 119^{\circ} 30'$$

$$q : q =$$

$$*127 \ 19$$

Pogg. A. 99, 280.



**Natrium-Iridiumchlorid.**  $(3 \text{ NaCl} + \text{IrCl}_3) + 12 \text{ aq.}$ Sechsgliedrig.  $a : c = 1 : 0,5029$  Marignac.

$r, 2r', c.$	Berechnet	Beobachtet
$2A$ von $r =$	$104^\circ 44'$	$104^\circ 43'$
$2r' =$	$78 \ 48$	$78 \ 23$
$c : r =$		$*134 \ 50$
$2r' =$	$116 \ 26$	$116 \ 30$
$r : 2r' =$	$129 \ 9$	$129 \ 42$

Grosse braunroth durchsichtige Krystalle, an denen  $2r'$  vorherr**Ammonium-Rhodiumchlorid.**  $(3 \text{ AmCl} + \text{RhCl}_3) + 3 \text{ aq.}$ 

Isomorph dem Iridiumsals. — Keferstein fand:

$$p : p = 98^\circ 30'; \quad q : q = 127^\circ 34'.$$

**Doppelchloride**  $\overset{\text{I}}{\text{R}}^{\text{IV}}\text{RCl}^6.$  $\overset{\text{I}}{\text{R}} = \text{Am, K, Rb, Cs, Tl.}$  $\overset{\text{IV}}{\text{R}} = \text{Pt, Pd, Ir, Sn.}$ 

Regulär. Oktaeder; öfter Würfelflächen, selten das Granat (Salze des Zinns).

 $\text{Am}^2\text{PtCl}^6$ . — V. G. 2,955—3,009 Boedecker. Löslich in 4 Wasser von  $45^\circ$ , in 80 Th. von  $100^\circ$  Crookes. $\text{K}^2\text{PtCl}^6$ . — V. G. 3,586 Boedecker. — Löslich in 89,3 Th. von  $45^\circ$ , in 49,3 Th. von  $100^\circ$  Bunsen. In 108 resp. 19 Th. Crookes. $\text{Rb}^2\text{PtCl}^6$ . — Löslich in

709 Th. W. von  $20^\circ$ , in 158 Th. von  $100^\circ$  Bun  
 740 - - - 45, - 157 - - - Cro

$\text{Cs}^2\text{PtCl}^6$ . In 1266 Th. von  $20^\circ$ , in 265 Th. von  $100^\circ$  Bun  
 - 1308 - - - 45, - 261 - - - Cro

 $\text{Tl}^2\text{PtCl}^6$ . — In 15585 Th. von  $45^\circ$ , in 1948 Th. von  $100^\circ$  Cro $\text{Am}^2\text{PdCl}^6$ . — V. G. 2,448 Topsøe. $\text{K}^2\text{PdCl}^6$ . — V. G. 2,738 Topsøe. $\text{K}^2\text{SnCl}^6$ . — Optisches Verhalten Topsøe: Pogg. A. Ergbd. 6**Natrium-Platinchlorid.**  $(2 \text{ NaCl} + \text{PtCl}_4) + 6 \text{ aq.}$ 

Eingliedrig.

$o'', o''', p, p', q, q', b, c.$	Berechnet	Beobachtet
$p : p' =$		$*136^\circ 58'$
$b =$		$*149 \ 32$
$p' : b =$	$103^\circ 30'$	$103 \ 30$
$b : c =$		$*91 \ 20$
$q : b =$	$126 \ 11$	$125 \ 52$
$q' : b =$	$124 \ 24$	$124 \ 4$
$p : c =$	$123 \ 41$	$123 \ 10$
$p' : c =$		$*126 \ 24$



	Berechnet	Beobachtet
$p : q =$	$136^{\circ} 24'$	$136^{\circ} 10'$
$p : q' =$	$99 \ 25$	$99 \ 32$
$p' : q' =$	$128 \ 46$	$128 \ 47$
$o'' : b =$	$105 \ 45$	$105 \ 50$
$c =$		$*122 \ 36'$
$p' =$	$97 \ 29$	$97 \ 30$
$o''' : b =$	$119 \ 44$	$119 \ 48$
$c =$	$117 \ 58$	$117 \ 43$
$p =$	$98 \ 39$	$98 \ 53$
$q' =$	$132 \ 35$	$132 \ 20$
$o'' =$	$134 \ 32$	$134 \ 22$

Prismatisch nach  $p$ , oft tafelartig nach  $b$ . Marignac:

### C. Von $\overset{\text{I}}{\text{R}}$ und $\overset{\text{III}}{\text{R}} \overset{\text{VI}}{(\text{R})}$ .

#### Ammonium-Goldchlorid.

##### I. $4 (\text{Am Cl} + \text{Au Cl}^3) + 5 \text{aq.}$

Zwei- und eingliedrig.  $a : b : c = 1,219 : 1 : 1,2492$  Topsöe.  
 $o = 77^{\circ} 27'$ .

$o, o', p, r', a, b, c.$	Berechnet	Beobachtet
$o : o =$	$114^{\circ} 11'$	$114^{\circ} 2'$
$o' : o' =$	$104 \ 40$	
$p : p =$	$99 \ 54$	$99 \ 59$
$a =$		$*130 \ 3$
$p : c =$	$98 \ 2$	$98 \ 9$
$a : c =$	$102 \ 33$	$102 \ 37$
$r' =$	$129 \ 36$	$129 \ 19$
$c : r =$	$127 \ 51$	$127 \ 42$
$o : c =$	$116 \ 15$	
$p =$	$145 \ 44$	$146 \ 3$
$o' : c =$		$*127 \ 47$
$p =$	$149 \ 57$	$150 \ 15$

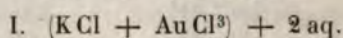
Tafelartig nach  $a$ ; die  $o$  und  $o'$  klein. Topsöe: Wien. Ak. Ber. 69.

##### II. $2 (\text{Am Cl} + \text{Au Cl}^3) + 5 \text{aq.}$

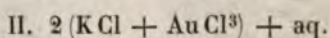
Zweigliedrig.  $a : b = 0,5059 : 1$  Topsöe.

$p, a, c.$	Berechnet	Beobachtet	
		Topsöe	Darmstädter
$p : p =$	$126^{\circ} 38'$	$126^{\circ} 18'$	$126^{\circ} 18'$
$a =$		$*116 \ 44$	$116 \ 34$

Darmstädter: Ann. Ch. Ph. Suppl. 5, 127. — Topsöe: Vet. Akad. Handl. 1874.

**Kalium-Goldchlorid.**Zweiglig.  $a : b = 0,858 : 1$  Topsöe.

$p, a, c.$	Berechnet	Beobachtet
		Topsöe = Darmstädter
$p : p = 98^\circ 39'$		$98^\circ 42'$
$a =$		$98^\circ 20'$
		*130 38

Zwei- und eingliedrig.  $a : b : c = 1,918 : 1 : 1,361$  Topsöe.  
 $0 = 84^\circ 35',5.$ 

$o, p, a, c.$	Berechnet	Beobachtet
$o : o = 98^\circ 22'$		$98^\circ 22'$
$p : p =$		*55 17
$a = 117 39$		117 41
$a : c = 95 24,5$		95 29
$p : c =$		*92 34
$o : a = 110 6$		110 4
$c = 121 25$		121 24
$p =$		*116 4

Prismatisch nach  $a$  und  $p$ , feine Nadeln, Zwillinge nach  $a$ .**Natrium-Goldchlorid.**  $(\text{Na Cl} + \text{Au Cl}^3) + 2 \text{aq.}^*$ Zweiglig.  $a : b : c = 0,70 : 1 : 0,546$  Marignac.

$o, p, q^2, b.$	Berechnet	Beobachtet
$o \begin{cases} 2A = 133^\circ 24' \\ 2B = 111 42 \\ 2C = 87 42 \end{cases}$		$111^\circ 46'$
$p : p =$		*110 0
$b = 125 0$		125 0
$q^2 : q^2 = 84 58$		
$b = 137 31$		137 50
$p = 115 4$		115 23
$o : b = 113 18$		113 12
$p =$		*133 36
$q^2 = 141 20$		141 13

Prismatisch nach  $p$ . Kleine schwach glänzende Krystalle.**Rubidium-Eisenchlorid.**  $6 \text{Rb Cl} + \text{Fe Cl}^6.$ Zweiglig.  $p : p = 132^\circ; r : r = 72^\circ.$ 

Godeffroy: Archiv Pharm. (3) 9, 343.

\*) S. Weber: Pogg. A. 134, 443.

**Kalium-Indiumchlorid.**  $(6 \text{ KCl} + 2 \text{ InCl}_3) + 3 \text{ aq.}$ Viergliedrig.  $a : c = 1 : 0,8496$  Groth.

$o, p, a, c.$	Berechnet	Beobachtet
$o \left\{ \begin{array}{l} 2A = 115^\circ 16' \\ 2C = 98 \quad 24 \end{array} \right.$		
$o : c =$		$*130^\circ 47'$

R. Meyer: Das Indium. Leipzig 1868. Auszug: Ann. Ch. Ph. 50, 137.

**Kalium-Dithalliumchlorid.**  $(6 \text{ AmCl} + \text{Th}^2\text{Cl}_6) + 4 \text{ aq.}$ **Ammonium-Dithalliumchlorid.**  $(6 \text{ KCl} + \text{Th}^2\text{Cl}_6) + 4 \text{ aq.}$ Viergliedrig.  $a : c = 1 : 0,7954$  Rammelsberg.

$o, d, p, a, c.$	Berechnet	Beobachtet
$o \left\{ \begin{array}{l} 2A = 116^\circ 12' \\ 2C = 96 \quad 44 \end{array} \right.$		$*115^\circ 58'$ 96 40
$d \left\{ \begin{array}{l} 2A = 127 \quad 46 \\ 2C = 77 \quad 0 \end{array} \right.$		
$o : c =$		$*134 \quad 38$
$d : a = 128 \quad 30$		128 40
$o = 148 \quad 6$		148 0

Pogg. A. 446, 597.

**Ammonium-Wismuthchlorid.**I.  $5 \text{ AmCl} + 2 \text{ BiCl}_3$ .Sechsgliedrig.  $a : c = 1 : 1,9728$  Rammelsberg.

$r, 2r', c.$	Berechnet	Beobachtet
$r (2A) = 75^\circ 4'$		
$2r' (2A) = 64 \quad 28$		$64^\circ 48'$
$c : r = 113 \quad 42$		113 32
$2r' =$		$*102 \quad 22$
$r : 2r' \text{ (Endk.)} = 122 \quad 14$		122 18
$- \text{ (Seitenk.)} = 143 \quad 56$		144 0

Tafelartig nach  $c$ . Fast stets Zwillinge nach  $c$ .

$r : r = 132 \quad 36$	132 42
$2r' : 2r' = 155 \quad 16$	155 15

Meist fehlen die einspringenden Winkel, selbst die Rhomboederflächen wachsen über die Zwillingsfläche fort. Pogg. A. 406, 445.

II.  $2 (2 \text{ AmCl} + \text{BiCl}_3) + 5 \text{ aq.}$ 

Isomorph dem folgenden.

	Beobachtet
$o \left\{ \begin{array}{l} 2A = 115^\circ 38' \\ 2B = 76 \quad 30 \\ 2C = 145 \quad 0 \end{array} \right.$	$q : q = 58^\circ 0'$ $o : c = 107 \quad 20$

**Kalium-Wismuthchlorid.**  $2(2\text{KCl} + \text{BiCl}_3) + 5\text{aq.}$ Zweigliedrig.  $a : b : c = 0,6873 : 4 : 4,7979$  Ramme $o, p, q, \frac{q}{3}, c.$ 

	Berechnet	Beobachtet
$o \left\{ \begin{array}{l} 2A = 114^\circ 36' \\ 2B = 76 \quad 22 \\ 2C = 145 \quad 0 \end{array} \right.$		$114^\circ 22'$
$p : p =$		$145 \quad 0$
$q : q = 58 \quad 40$		$*144 \quad 0$
$c = 149 \quad 5$		$149 \quad 20$
$\frac{q}{2} : \frac{q}{2} = 148 \quad 8$		
$c = 149 \quad 4$		$149 \quad 12$
$q = 150 \quad 4$		$149 \quad 50$
$o : c = 107 \quad 30$		$107 \quad 26$
$p =$		$*162 \quad 30$

Meist tafelartig nach  $c$ . Spaltbar nach  $c$ .**Kalium-Antimonchlorid.**  $2\text{KCl} + \text{SbCl}_3.$ Zweigliedrig. Combinationen  $o$  mit  $b$  und  $c$  und mehreren Paaren. Schlecht messbar. Rammelsberg. $o : c = 107-109^\circ; q : c = 143^\circ.$ **Rubidium-Antimonchlorid.**  $6\text{RbCl} + \text{SbCl}_3.$ Sechsgliedrig.  $a : c = 4 : 1,836$  Godeffroy. $d, p, c.$ 

	Berechnet	Beobachtet
$d \left\{ \begin{array}{l} 2A = 126^\circ 14' \\ 2C = \end{array} \right.$		$*129^\circ 30'$

Arch. Pharm. (3) 9, 343.

D. Von  $\overset{\text{II}}{\text{R}}$  und  $\overset{\text{II}}{\text{R}}.$ **Calcium-Magnesiumchlorid.**  $(\text{CaCl}_2 + 2\text{MgCl}_2) + 12\text{aq}$  (TachyRhomboeder von nahe  $90^\circ$  (Spaltungsform). Des Cloizeaux Réch. 20.**Baryum-Kadmiumchlorid.**  $(\text{BaCl}_2 + \text{CdCl}_2) + 4\text{aq.}$ Eingliedrig.  $a : b : c = 0,856 : 4 : 0,5067$  Murmann.

$A = 92^\circ 44'$	$\alpha = 90^\circ 51'$
$B = 106 \quad 19$	$\beta = 106 \quad 24$
$C = 90 \quad 0$	$\gamma = 89 \quad 12$

 $o, o', o'', o''', p, p', a, b, c.$

Berechnet		Beobachtet	
		Murmann	Rammelsberg.
$o : o' = 138^{\circ} 55'$			$138^{\circ} 30'$
$o'' : o''' = 128 \ 34$			$128 \ 40$
$o : o'' = 125 \ 44$			
$o' : o''' = 124 \ 0$		$123^{\circ} 30'$	$123 \ 40$
$o : o''' = 74 \ 24$			
$o' : o'' = 74 \ 37$			
$a : b =$		$*90 \ 0$	$90 \ 0$
$p : p' =$		$*104 \ 8$	$104 \ 30$
$a = 140 \ 34$		$140 \ 23$	$140 \ 50$
$b = 129 \ 26$		$128 \ 54$	
$c =$		$*104 \ 19$	
$p' : c =$		$100 \ 44$	$104 \ 0$
$b : c = 92 \ 44$			
$a : c = 106 \ 49$			
$o = 128 \ 29$			
$o' = 129 \ 36$		$129 \ 34$	$128 \ 9$
$c : o = 148 \ 3$		$147 \ 55$	$146 \ 6$
$o' = 146 \ 39$			
$o'' = 138 \ 44$		$137 \ 50$	$137 \ 44$
$o''' = 137 \ 33$		$137 \ 5$	
$p : o = 136 \ 16$		$136 \ 24$	
$o'' = 118 \ 8$		$118 \ 14$	
$p' : o' =$		$*134 \ 5$	$134 \ 45$
$o'' = 120 \ 32$		$121 \ 36$	$121 \ 20$

Fig. 44.

Zwillinge nach b. Fig. 45.

Fig. 44.

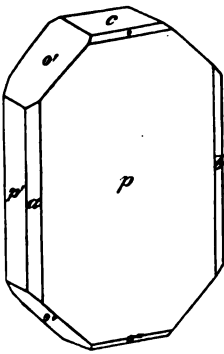
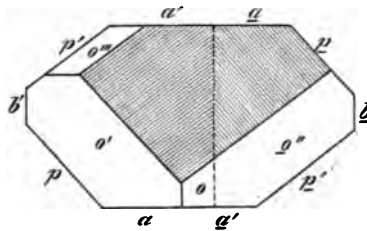


Fig. 45.



Volumgewicht. — 2,95 Clarke.

Das optische Verhalten prüften Murmann und Rotter. Wien.  
Ak. Ber. 34.

**Strontium-Kadmiumchlorid.** ( $\text{Sr Cl}^2 + 2 \text{Cd Cl}^2$ ) + 7 aq (Hauer)  
Isomorph dem folgenden. Sehr zerfliesslich.

**Calcium-Kadmiumchlorid.** ( $\text{Ca Cl}^2 + 2 \text{Cd Cl}^2$ ) + 7 aq (Hauer)  
Zwei- und eingliedrig.  $a : b : c = 1,8728 : 1 : 1,8085$  Graili  
 $\alpha = 74^\circ 16'$ .

$o', p, \frac{1}{2}p, p\frac{1}{2}, a, b$ .

Fig. 46.

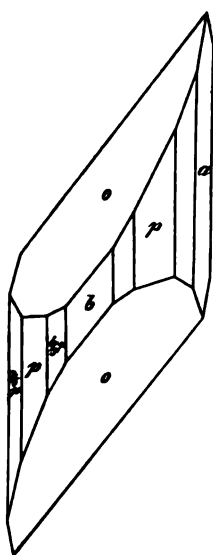
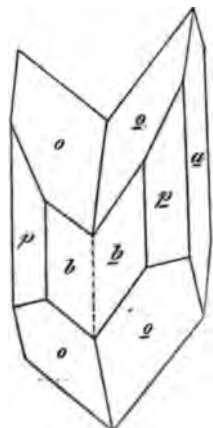


Fig. 47.



	Berechnet	Beobachtet
$o' : o' =$	$92^\circ 0'$	$94^\circ 51'$
$p : p =$	$56 \quad 12$	
$a =$		$*118 \quad 6$
$\frac{1}{2}p : a =$	$111 \quad 50$	$111 \quad 30$
$p\frac{1}{2} : a =$	$143 \quad 10$	$142 \quad 50$
$o' : a =$		$*134 \quad 0$
$p =$		$*119 \quad 57$

Fig. 46.

Zwillinge nach  $a$ . Fig. 47.

Die Flächen der Horizontalzone sind gestreift  
nach der Kante  $op$ . — Vollkommen spaltbar  
an  $a$  und  $p$ .

Kryst.-opt. Unters. (Wien. Ak. Ber. 27).

#### Magnesium-Kadmiumchlorid.

( $\text{Mg Cl}^2 + 2 \text{Cd Cl}^2$ ) + 12aq (Hauer).

Zweigliedrig.  $a : b : c = 0,943 : 1 : 0,303$   
 $o, p, p^2, a, b$ . Grai

	Berechnet	Beobachtet
$o \begin{cases} 2A = 147^\circ 50' \\ 2B = 144 \quad 40 \\ 2C = 48 \quad 52 \end{cases}$		$147^\circ 0'$
$p : p =$		$*95 \quad 12$
$b = 132 \quad 24$		$132 \quad 36$
$p^2 : p^2 = 130 \quad 54$		$130 \quad 0$
$p = 162 \quad 9$		$162 \quad 0$
$o : a = 107 \quad 40$		$107 \quad 40$
$p =$		$*114 \quad 16$

Die Vorderflächen  $o$  sind grösser. — Sehr  
fliesslich.

Optische Axenebene =  $bc$ , Mittellinie  $c$ . P.  
Grailich.

#### Nickel-Kadmiumchlorid.

I. ( $2\text{Ni Cl}^2 + \text{Cd Cl}^2$ ) + 12aq (Hauer).

Sechsgliedrig.  $a : c = 1 : 1,175$  Grailich.



$d, p, a, c.$	Berechnet	Beobachtet
$d \left\{ \begin{array}{l} 2A = 132^\circ 32' \\ 2C = 107 \quad 10 \\ d : c = 126 \quad 25 \\ p = \end{array} \right.$		$126^\circ 40'$ *143 35

Zwölfseitige Prismen, an denen  $d$  die abwechselnden Endkanten schmal abstumpft.

Optisch einaxig, negativ. — Grailich: a. a. O.

## II. $(\text{NiCl}^2 + 2\text{CdCl}^2) + 12\text{aq}$ (Hauer).

Zweigliedrig.  $a : b : c = 0,9126 : 1 : 0,3431$  Grailich.

$o, p, q, a, b.$	Berechnet	Beobachtet
$o \left\{ \begin{array}{l} 2A = 144^\circ 24' \\ 2B = 140 \quad 50 \\ 2C = 49 \quad 0 \\ p : p = 95 \quad 14 \\ b = \\ q : q = 160 \quad 25 \\ o : p = \end{array} \right.$		$49^\circ 10'$ 95 11 *132 23 *144 30

Optische Axenebene  $bc$ , Mittellinie  $c$ ; positiv;  $q > v$ . Grailich.

## Kobalt-Kadmiumchlorid. $(\text{CoCl}^2 + 2\text{CdCl}^2) + 12\text{aq}$ .

Isomorph dem vorigen. Sehr zerfliesslich.

$$\begin{array}{l} p : p = 95^\circ 44' \\ a = 137 \quad 0 \\ b = 132 \quad 28 \end{array}$$

Das optische Verhalten s. Grailich.

## Calcium-Quecksilberchlorid. $(\text{CaCl}^2 + 5\text{HgCl}^2) + 8\text{aq}$ .

Regulär. Oktaeder (Tetraeder?). — Bonsdorff: Pogg. A. 47, 431.

## Mangan-Quecksilberchlorid. $(\text{MnCl}^2 + \text{HgCl}^2) + 4\text{aq}$ .

Zweigliedrig.  $a : b : c = 0,6494 : 1 : 1,0587$  Bonsdorff.

$p, q.$	Berechnet	Beobachtet
$p : p =$		*144° 0'
$q : q =$		* 86 45
$p : q = 143^\circ 20'$		

Lässt sich die Form auf  $\text{BaCl}^2 + 2\text{aq}$  beziehen, und ist es eine isomorphe Mischung? — A. a. O. 247.

E. Von  $\overset{\text{II}}{\text{R}}$  und  $\overset{\text{III}}{\text{R}}$  oder  $\overset{\text{VI}}{\text{R}}$ .

**Magnesium-Goldchlorid.**  $(\text{MgCl}^2 + 2\text{AuCl}^3) + 8\text{aq.}$

Zwei- und eingliedrig.  $a : b : c = 1,344 : 1 : 1,7517$  Topsöe.  
 $\alpha = 83^\circ 59'$ .

$o, o', \frac{o}{2}, \frac{o'}{2}, r, r' c.$	Berechnet	Beobachtet
$o : o =$	$90^\circ 36'$	$91^\circ 30'$
$o' : o' =$		$83 \ 36$
$\frac{o}{2} : \frac{o}{2} =$	$105 \ 0$	$105 \ 2$
$\frac{o'}{2} : \frac{o'}{2} =$	$100 \ 44$	
$c : r =$	$131 \ 24$	$130 \ 15$
$r' =$	$123 \ 40$	$123 \ 42$
$o =$		$*117 \ 38$
$o' =$		$*111 \ 44$
$\frac{o}{2} =$	$134 \ 42$	$134 \ 32$
$\frac{o'}{2} =$		$*130 \ 38$
$o' : r' =$	$131 \ 48$	$131 \ 54$

Ziemlich grosse gelbe Krystalle, tafelförmig nach  $c$  und nach der verlängert. Zuweilen fehlt ein Theil der Flächen und die Ausbildung sehr unsymmetrisch. — Topsöe: Vet. Ak. Handl. 1874.

**Nickel-Goldchlorid.**  $(\text{NiCl}^2 + 2\text{AuCl}^3) + 8\text{aq.}$

Isomorph den vorigen.

$a : b : c = 1,311 : 1 : 1,756$  Topsöe.  
 $\alpha = 84^\circ 18'$ .

	Berechnet	Beobachtet
$o : o =$	$89^\circ 45'$	
$o' : o' =$		$*83 \ 45$
$o : r =$	$134 \ 38$	$134 \ 46$
$o' : r' =$	$131 \ 52,5$	$131 \ 55$
$c : r =$	$130 \ 56$	$131 \ 2$
$r' =$	$123 \ 43$	$123 \ 45$
$o =$	$117 \ 24$	$117 \ 30$
$o' =$		$*111 \ 45$

Grosse grüne Tafeln nach  $c$ .

**Kobalt-Goldchlorid.**  $(\text{CoCl}^2 + 2\text{AuCl}^3) + 8\text{aq.}$

Eingliedrig.  $a : b : c = 0,9238 : 1 : 0,9112$  Topsöe.

$A = 104^\circ 6'$	$\alpha = 103^\circ 23'$
$B = 102 \ 45$	$\beta = 101 \ 25$
$C = 94 \ 57$	$\gamma = 92 \ 5$



$p, p', q, r, r', 2r', a, b, c.$

	Berechnet	Beobachtet
$a : b =$	$94^{\circ} 57'$	$94^{\circ} 59'$
$p : p' =$	$94 \ 59$	$95 \ 5$
$a : p =$	$449 \ 43$	
$p' =$		$*135 \ 12$
$b : p =$	$135 \ 14$	$135 \ 16$
$p' =$	$139 \ 45$	$139 \ 44$
$c : p =$		$*92 \ 10$
$p' =$	$108 \ 3$	$108 \ 18$
$b : c =$		$*104 \ 6$
$q : c =$	$129 \ 30$	
$b =$	$154 \ 36$	
$a : c =$	$102 \ 15$	$102 \ 14$
$r : a =$		$*138 \ 22$
$c =$	$134 \ 54$	$134 \ 30$
$r' : a =$	$124 \ 38$	$124 \ 17$
$c =$	$133 \ 7$	$133 \ 35$
$2r' : r' =$	$158 \ 44$	$158 \ 7$

Grosse braungelbe Krystalle.

**Mangan-Goldchlorid.**  $(\text{Mn Cl}^2 + 2 \text{Au Cl}^3) + 8 \text{aq.}$

Isomorph dem Kobaltsalz.

	Beobachtet		Beobachtet
$a : p =$	$129^{\circ} 8'$	$p' : c =$	$108^{\circ} 17'$
$a : p' =$	$135 \ 14$	$a : c =$	$102 \ 18$
$p : p' =$	$95 \ 34$	$r =$	$124 \ 0$

Topsöe.

**Zink-Goldchlorid.**  $(\text{Zn Cl}^2 + 2 \text{Au Cl}^3) + 8 \text{aq.}$

Isomorph dem Magnesiumsalz.

	Beobachtet
$c : r' =$	$123^{\circ} 38'$
$o' =$	$111 \ 32$
$\frac{o}{2} : \frac{o}{2} =$	$105 \ 14$

Zerfliesslich. Topsöe.

**Quecksilber-Lanthanchlorid.**  $(9 \text{Hg Cl}^2 + \text{La}^2 \text{Cl}^6) + 24 \text{aq.}$

**Quecksilber-Didymchlorid.**  $(9 \text{Hg Cl}^2 + \text{Di}^2 \text{Cl}^6) + 24 \text{aq.}$

Regulär. Würfel. Einfach brechend. Marignac: Ann. Min. (5) 12.

F. Von  $\overset{\text{H}}{\text{R}}$  und  $\overset{\text{IV}}{\text{R}}$ .

**Baryum-Platinchlorid.**  $(\text{Ba Cl}^2 + \text{Pt Cl}^4) + 4 \text{aq.}$

Zwei- und eingliedrig.  $a : b : c = 0,9645 : 1 : 1,4949$  Topsöe.

$o = 77^{\circ} 45'.$

$o', q, 2r, a, c.$	Berechnet	Beobachtet
$o' : o' =$	$97^{\circ} 41'$	$97^{\circ} 6'$
$q : q =$	$111 \ 13$	
$c =$	$124 \ 24$	$124 \ 16$
$a =$	$96 \ 53$	$96 \ 53$
$a : c =$		$*102 \ 15$
$c : 2r =$	$146 \ 57$	$147 \ 15$
$o' : a =$		$*127 \ 17$
$c =$	$107 \ 41$	$107 \ 39$
$q =$	$135 \ 50$	$135 \ 51$

Tafelartig nach  $c$  und nach Axe  $b$  verlängert.

Vollkommen spaltbar nach  $c$ .

Ebene der optischen Axen  $= ac$ ; die Mittellinie ist gegenseitige Endfläche unter etwa  $45^{\circ}$  geneigt. Topsøe: Vet. Ak. Han

### Magnesium-Platinchlorid.

I.  $(Mg Cl^2 + Pt Cl^4) + 6 aq.$

Sechsgliedrig.  $a : c = 1 : 0,5169$  Topsøe.

$r, a.$	Berechnet	Beobachtet.
$r (2A) =$		$*127^{\circ} 17'$
$r : a =$	$116^{\circ} 21',5$	$116 \ 16$

Prismatisch, wobei eine Fläche von  $a$  oft vorherrscht.

Die gelben Krystalle zerfallen an der Luft unter Aufnahme von Wasser. Dieselbe Form haben bei analoger Zusammensetzung:

	$c$	$2A$
Mangan-Platinchlorid	0,531	$126^{\circ} 40'$
Eisen-Platinchlorid	0,5144	$127 \ 30$
Nickel-Platinchlorid	0,5162	$127 \ 22$
Kobalt-Platinchlorid	0,514	$127 \ 32$
Kadmium-Platinchlorid	0,5235	$126 \ 46$
Zink-Platinchlorid	0,5169	$127 \ 18$
Kupfer-Platinchlorid	0,5219	$126 \ 53$
Ferner	$2A$	V. G.
$Mg Pd Cl^6 + 6 aq$	$127^{\circ}$	$2,124$
Carmoisinroth, zerfliesslich.		
$Ni Pd Cl^6 + 6 aq$	$127^{\circ} 14'$	$2,353$
$Zn Pd Cl^6 + 6 aq$	$127 \ 10$	$2,359$

Bonsdorff: Pogg. Ann. 17. — Topsøe: Dansk. Vid. Selsk. 1868. 1869.

II.  $(Mg Cl^2 + Pt Cl^4) + 12 aq.$

Sechsgliedrig.  $a : c = 1 : 0,7057$  Topsøe.

$r, 2r', a.$ 

	Berechnet	Beobachtet
$r (2A) =$	$113^{\circ} 40'$	$113^{\circ} 55'$
$2r' (2A) =$	$84 \ 54$	$85 \ 4$
$r : a =$	$123 \ 10$	
$2r' : a =$	$137 \ 34,5$	$137 \ 36$
$r : 2r' =$	$132 \ 25,5$	$132 \ 24$

$2r'$  fehlt oft und tritt stets untergeordnet auf;  $r$  ist herrschend, aber oft unsymmetrisch.

Dieselbe Form hat das entsprechende

	$c$	$2A$
Mangan-Platinchlorid	0,7073	$113^{\circ} 34'$
$(\text{Mn Cl}^2 + \text{Pt Cl}^4) + 12 \text{ aq.}$		Topsöe: a. a. O.

**Blei-Platinchlorid.**  $(\text{Pb Cl}^2 + \text{Pt Cl}^4) + 3 \text{ aq.}$

Regulär. Würfel. Flächen meist gekrümmt. Topsöe.

Isomorph sind unter sich und den Platinsalzen

	$2A$ von $r$
$(\text{Mg Cl}^2 + \text{Sn Cl}^4) + 6 \text{ aq}$	$128^{\circ} \ 0'$
$(\text{Mn Cl}^2 + \text{Sn Cl}^4) + 6 \text{ aq}$	$127 \ 7$
$(\text{Ni Cl}^2 + \text{Sn Cl}^4) + 6 \text{ aq}$	$128 \ 17$
$(\text{Co Cl}^2 + \text{Sn Cl}^4) + 6 \text{ aq}$	$127 \ 50$

Jørgensen, s. Topsöe.

G. Von  $\overset{\text{IV}}{\text{R}}$  und  $\overset{\text{VI}}{\text{R}}$ .

**Cer-Platinchlorid.**  $(\text{Ce}^2 \text{Cl}^6 + 2 \text{Pt Cl}^4) + 24 \text{ aq}$  (26 aq?).

Viergliedrig.  $a : c = 1 : 1,4383$  Marignac.

$o, p, c.$

	Berechnet	Beobachtet
	Marignac	Topsöe
$o \left\{ \begin{array}{l} 2A = 106^{\circ} 10' \\ 2C = 116 \ 20 \end{array} \right.$	$106^{\circ} 0-20'$	$116^{\circ} 34'$
$o : c =$	$\approx 121 \ 50$	$122 \ 6$

Optisch einaxig, positiv. Marignac: Arch. sc. ph. nat. 1873.

Mars. — Topsöe: Vet. Ak. Handl. 1874.

Gleiche Form hat nach Topsöe das Lanthansalz.

**Aluminium-Platinchlorid.**  $(\text{Al}^2 \text{Cl}^6 + 2 \text{Pt Cl}^4) + 30 \text{ aq.}$

Eingliedrig.  $a : b : c = 1,558 : 1 : 0,837$  Schrauf.

Wegen unvollständiger Mittheilung der Beobachtungselemente kann hier nur auf die Abhandlung verwiesen werden. Welkow: Ber. d. chem. G. 1874, 304.

**Bromide.****Einfache Bromide.****Bromammonium.** AmBr.

Volumgewicht 2,379 Schröder. 2,266 Boedecker.

Gas-V. G. bei  $440^{\circ} = 24,4$

- 860 = 24,7 Deville.

Volumänderung und Wärmeentwicklung beim Lösen. Thomsen  
Ber. d. ch. G. 1873, 740. — Favre und Valson: C. r. 77, 862.

**Bromkalium.**

Regulär. Würfel. — Optische Eigenschaften: Brechungsexponenten  
Topsöe: Pogg. A. Ergbd. 6, 499. — Vgl. Marbach: Eb. 94, 442.

Kub. Ausdehnung ( $40^{\circ}$ ) = 0,000042007 Fizeau.

Volumgewicht 2,69 Schröder. 2,742 Clarke.

Schmelzpunkt  $703^{\circ}$  Carnelley.

Löslichkeit. V. G. und Siedepunkt der Lösungen Kremers: Pogg.  
A. 95, 410. 96, 39. 97, 4. 99, 25. 58. 105, 360. — Favre: C. r. 54, 316.

(Siedepunkt der gesättigten Lösung =  $442^{\circ}$ .) — Brechungsverh. der  
Lösungen Kremers: Pogg. A. 104, 133. — Sauber: Eb. 417, 577.

Elektricitätsleitung Kohlrausch s. NaCl.

Lösungswärme. Thomsen: Ber. d. ch. G. 1873, 740. — Favre und  
Valson: S. Bromammonium.

**Bromrubidium.** RbBr.

Regulär. Würfel.

Volumgewicht 2,78 Clarke.

**Bromthallium.** TlBr.

Schmelzpunkt  $463^{\circ}$ . Carnelley.

**Bromnatrium.****I. NaBr.**

Regulär. Würfel.

Volumgewicht 3,079 Kremers, 3,498 Favre.

**II. NaBr + 2aq.**

Zwei- und eingliedrig.  $a : b : c = 4,1738 : 4 : 0,6469$  Mitscherlich.

$\alpha = 82^{\circ} 46'.$

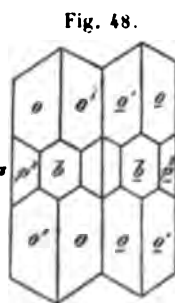
$a, a', p^2, a, b.$	Berechnet	Beobachtet
$o : o =$		$123^\circ 46'$
$o' : o' =$		$118 \ 32$
$o : o' = 130^\circ 24'$		
$o : o' = 80 \ 25$		
$p^2 : p^2 = 119 \ 34$		
$a =$		$149 \ 47$

Häufig Zwillinge nach  $a$ . Fig. 48. — Isomorph  $\text{NaCl} + 2\text{aq.}$  — Pogg. A. 17, 385.

Ebene der opt. Axen  $ac$ , Mittellinie fast normal auf Fläche  $a$ . — Des Cloizeaux: Nouv. Réch. 124.

Volumgewicht 2,465 Favre.

Lösungen. V. G. und Volumänderung s. Bromkalium.



### Bromlithium. $\text{LiBr}$ .

Volumgewicht 3,402 Clarke.

Löslichkeit. Kremers: Pogg. A. 403, 57. 404, 133. 405, 360.

### Bromsilber. $\text{AgBr}$ .

Regulär. Würfel.

Volumgewicht. Gefälltes 6,39—6,52

geschmolzenes 6,32—6,43. Schröder.

Kub. Ausdehnung (bei  $40^\circ$ ) = 0,000034687. Fizeau.

Schmelzpunkt  $434^\circ$  Carnelley,  $380^\circ$  Rodwell. Derselbe über die Ausdehnung beim Schmelzen. S. Chlorsilber.

Diathermansie Schulz-Sellack: Pogg. A. 439, 482.

Brechung und Dispersion Wernicke: Pogg. A. 442, 560.

Verhalten zum Licht. H. Vogel: Pogg. A. 419, 497. 425, 329. 450, 453. 453, 248. — Schulz-Sellack: Eb. 443, 439.

### Quecksilberbromid. $\text{HgBr}_2$ .

Isomorph dem Chlorid. Nach Handl ist  $p : p = 111^\circ 26'$ . Derselbe beobachtete ein spitzes Oktaeder, an dem  $2A = 112^\circ 40'$  appr. — Aus beiden Werthen berechnet Derselbe  $a : b : c = 0,682 : 1 : 0,997$ .

Spaltbar vollkommen nach  $c$ . — S. Bromblei.

Volumgewicht 5,73 Clarke.

### Bromblei. $\text{PbBr}_2$ .

Zweigliedrig.  $a : b : c = 0,594 : 1 : 1,160$  Hjortdahl.

$n = a : \frac{1}{2}b : c$ ;  $o, q, q^2, c$ .

	Berechnet	Beobachtet	
		Hjortdahl	Nordenski
$o$	$2A =$	$*123^{\circ} 27'$	
	$2B = 75^{\circ} 56'$		
	$2C = 133 \ 38$	133 53	
$n$	$2A = 87 \ 2$	86 58	
	$2B = 103 \ 52$		
	$2C = 144 \ 20$	144 24	
$q$	$q : q = 118 \ 46$		$119^{\circ} \ 9$
$c$	$c = 149 \ 23$	149 24	
$q^2 : q^2$	$= 80 \ 24$		
$c$	$=$	$*130 \ 12$	130 18

Prismatisch nach  $q$ ,  $q^2$ ,  $c$ . — Isomorph  $\text{PbCl}_2$ . — Hjort  
Ztschr. 3, 302. — Nordenskiöld: Vet. Akad. Handl. 1874.  
Volumgewicht 6,644 ( $17^{\circ}$ ) Kremers.

### Bromkadmium.

#### I. $\text{CdBr}_2$ .

Volumgewicht 4,74—4,94 Boedecker.

Gas-V. G. bei  $944^{\circ} = 134$ . Berechnet 136. — V. Meyer  
Ges. 1879, 1284.

#### II. $\text{CdBr}_2 + 4\text{aq}$ .

Zweigliedrig.  $a : b = 0,595 : 1$  Handl.

$p : p = 118^{\circ} 30'$ .

Löslichkeit. Kremers: Pogg. A. 103, 57. 104, 133.  
Favre: C. r. 77, 802.

### Kadmiumammonbromid. $\text{N}^2\text{H}^6\text{Cd} \cdot \text{Br}_2$ .

Regulär. Oktaeder.

### Bromzink. $\text{ZnBr}_2$ .

Zweigliedrig.  $a : b : c = 0,924 : 1 : 1,264$ .

Nordenskiöld: Vet. Akad. Handl. 1874.

### Zinkammonbromid. $\text{N}^2\text{H}^6\text{Zn} \cdot \text{Br}_2$ .

Regulär. Oktaeder.

### Manganbromür. $\text{MnBr}_2 + 4\text{aq}$ .

Zwei- und eingliedrig.  $a : b : c = 0,645 : 1 : 1,165$  M

$o = 80^{\circ} 54'$ .

$o$ ,  $o'$ ,  $p$ ,  $q$ ,  $c$ .

	Berechnet	Beobachtet
$o : o =$	$124^{\circ} 46'$	
$o' : o' =$	$118 \ 42$	
$o : o' =$	$80 \ 48$	
$o : o' =$	$130 \ 7$	
$p : p =$		$*115^{\circ} \ 0'$
$q : q =$	$82 \ 0$	
$c =$		$*131 \ 0$
$p : c =$		$*97 \ 40$
$q \left\{ \begin{array}{l} = 119 \ 32 \\ = 108 \ 58 \end{array} \right.$		$120 \ 0$ $109 \ 30$
$c : o =$	$121 \ 43$	$121 \ 0$
$o' =$	$108 \ 40$	$109 \ 0$

Isomorph  $\text{Mn Cl}^2 + 4 \text{ aq Form B.}$

### Brommagnesium. $\text{Mg Br}^2$ .

Volumgewicht der Lösungen Kremers: S. d. folg.

### Bromcalcium. $\text{Ca Br}^2$ .

Volumgewicht 3,32. Boedecker.

Löslichkeit und Brechungsverhältnisse der Lösungen Kremers:

Logg. A. 99, 445. 404, 433. 403, 64. 404, 433. 408, 445.

### Brombaryum.

#### I. $\text{Ba Br}^2$ .

Volumgewicht 4,23. Schiff.

#### II. $\text{Ba Br}^2 + 2 \text{ aq.}$

Zweigliedrig.  $a : b : c = 0,3758 : 1 : 0,4348$  Handl.

$o, {}^2p, q, q^3, r, b.$

${}_{30}^3 = a : \frac{1}{4}b : c.$

	Berechnet	Handl	Beobachtet Werther	Rammelsberg
$o \left\{ \begin{array}{l} 2A = 148^{\circ} 46' \\ 2B = 86 \ 36 \\ 2C = 102 \ 2 \end{array} \right.$			$86^{\circ} 26'$	$86^{\circ} 37'$
${}_{30}^3 \left\{ \begin{array}{l} 2A = 99 \ 4 \\ 2B = 109 \ 42 \\ 2C = 120 \ 42 \end{array} \right.$		$99^{\circ} \ 0'$ $107 \ 40$	$109 \ 31$	$98 \ 45$ $108 \ 50$
${}^2p : {}^2p = 106 \ 8$		$105 \ 59$	$106 \ 42$	$106 \ 40$
$b =$		$*126 \ 56$	$126 \ 54$	$127 \ 4$
$q : q = 133 \ 0$		$133 \ 0$	$132 \ 46$	$132 \ 45$
$b = 143 \ 30$			$143 \ 22 (143^{\circ} 50')$	$143 \ 20$
$q^3 : q^3 = 74 \ 56$				
$b = 142 \ 32$		$142 \ 29$	$142 \ 50$	$142 \ 45$

Berechnet	Beobachtet	
	Handl	Rammelsberg
$q^3 : q = 150^\circ 58'$		$150^\circ 38'$
$r : r = 84 \ 40$		
$o : b = 105 \ 52$	$106^\circ \ 1'$	$105 \ 50$
$q = 133 \ 48$		$133 \ 40$
$^2p = 138 \ 44$	$138 \ 19$	$138 \ 5$
$^3o^3 : b =$	$*130 \ 27$	$130 \ 15$
$o = 155 \ 24$		$155 \ 24$
$q = 135 \ 41$	$135 \ 43$	$135 \ 45$
$^2p = 148 \ 44$	$148 \ 44$	$148 \ 45$
$^2p : q = 103 \ 52$		
$^3q = 118 \ 28$	$118 \ 24$	

Die Krystalle sind prismatisch nach  $^2p$  und  $b$ . Die Gesamtheit ihrer Flächen zeigt Fig. 49, allein derartige vollständige Combinationen finden sich nicht, sondern die Krystalle sind hemimorph und partialflächig.

Fig. 49.

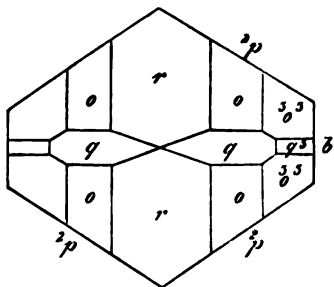


Fig. 50.

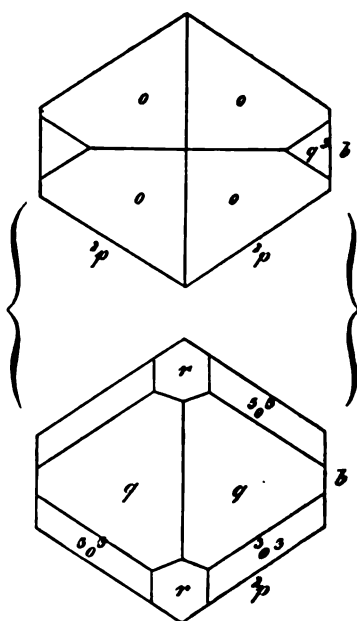


Fig. 50 zeigt das obere und untere Ende eines Krystalls; an jenem tritt das Rhombenoktaeder  $o$ , an diesem  $^3o^3$  auf, und während sich das zweite zugehörige Paar  $q$  des Hauptoktaeders mit  $^3o^3$  in Combination findet, bemerkt man das dreifach schärfere, oder das dem Oktaeder  $^3o^3$  zugehörige in Verbindung mit  $o$ . Auch das dritte Paar  $r$  findet sich gerade an dem Ende, an welchem das Hauptoktaeder fehlt. Ansichten derartiger Krystalle geben die Figg. 51 und 52.

Es finden sich aber auch Krystalle, an welchen beide Enden gleich beschaffen sind. beide Rhombenoktaeder jedoch nur als Partialformen



d. h. nur mit je vier in einer Zone liegenden Flächen. Fig. 53 in den zweiten Paaren findet sich an einem und demselben Ende nur je eine Fläche, z. B. in Fig. 53 von  $q^3$  die rechte, von  $q$

Fig. 51.

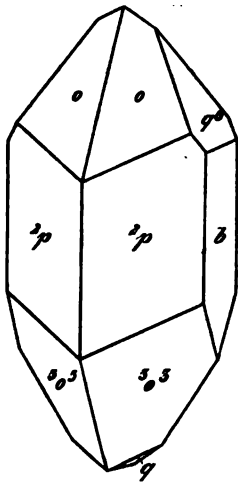
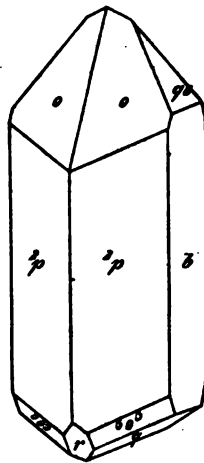


Fig. 52.



Erscheinung  
rystallin ein  
singliedriges  
indem die  
bc als Me-  
(klinodiago-  
tschnitt), die  
ls ein zwei-  
edriges Ok-  
r als vorde-  
nteres Augit-  
weiten Paare  
schiefe End-  
h darstellen.  
ser Combina-

Berechnet

Beobachtet

		Handl	Werther	Rammelsbg.
: $3_0^3$ links	=	123° 40'	123° 32'	
: $q$ -	=	103 58	123° 30'	124° 0'
: $q$ -	=	117 54		118 15
				117 20

Fig. 53.

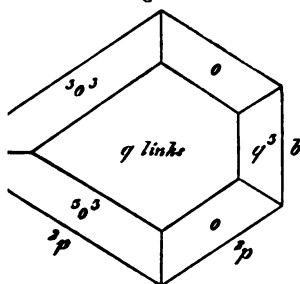
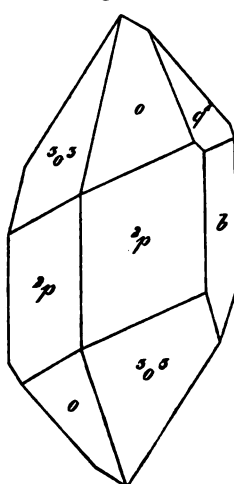


Fig. 54.



her beobachtetete partialflächige  
nen und hielt sie für zwei- und  
. Er fand, jedoch selten, beide  
Ende, und ebenso beide  $q^3$  nur  
ystallen.

Isomorph dem Chlorid. — Handl: Wien. Ak. Ber. 32 (1858). — Lang: Unters. üb. d. phys. Verh. kryst. Kr. 2. Reihe. Wien 1858 (Wien. Ak. Ber. 34). — Werther: J. f. pr. Chem. 94, 467. — Rammelsberg: Pogg. A. 122, 616.

Ebene der optischen Axen =  $bc$ . Axenwinkel =  $102^\circ$ . Dispersion beträchtlich,  $q < v$ . v. Lang.

Volumgewicht 3,69 Schiff, 3,674 bei  $24^\circ$  Clarke.

Volumgewicht der Lösungen. Kremers: Pogg. A. 97, 4. 99, 25. 58. 435. 405, 360.

Volumänderung und Wärmeentwicklung beim Lösen. Favre: C. r. 77, 802.

### Bromstrontium.

#### I. $\text{SrBr}^2$ .

Volumgewicht 3,895 Favre.

#### II. $\text{SrBr}^2 + 6\text{aq}$ .

Volumgewicht 2,358. Favre.

Löslichkeit etc. S. das vorige und  $\text{CaBr}^2$ .

## Doppelbromide.

### Kalium-Tellurbromid.

#### I. $2\text{KBr} + \text{TeBr}^4$ .

Zweigliedrig.  $a : b : c = 0,671 : 4 : 0,916$  Baker.

$a, b, c$ .

	Berechnet	Beobachtet
$a \left\{ \begin{array}{l} 2A = \\ 2B = \\ 2C = 117^\circ 25' \end{array} \right.$		$123^\circ 40'$ $89 \quad 36$
$a : b = 118 \quad 25$		
$c = 121 \quad 48$		

Das Oktaeder erscheint als zwei Tetraeder. — J. Chem. Soc. 35, 712 (1879).

Dies und das folgende sind der Form nach dieselben, also wahrscheinlich auch gleich zusammengesetzt.

#### II. $(2\text{KBr} + \text{TeBr}^4) + 3\text{aq}$ .

Zweigliedrig.  $a : b : c = 0,6864 : 4 : 0,9434$  Grailich.

$a, q, \frac{q}{2}, c$ .

	Berechnet	Beobachtet
$o \left\{ \begin{array}{l} 2A = 121^{\circ} 55' \\ 2B = \\ 2C = \end{array} \right.$		$122^{\circ} 10'$ *90 3 *118 2
$q : q = 93 \ 20$		93 45
$\frac{q}{2} : \frac{q}{2} = 129 \ 35$		129 20
$c = 154 \ 48$		154 22

Grosse rothe Rhombenoktaeder. Ebene der optischen Axen  $bc$ , Mittellinie  $c$ ; negativ;  $2E$  etwa  $50^{\circ}$ ;  $q > v$ . — Grailich und Lang: Unters. über das phys. Verh. kryst. Körper. Wien. Ak. Ber. 27.

**Ammonium-Wismuthbromid.**  $2(2 \text{ Am Br} + \text{Bi Br}^3) + 5 \text{ aq.}$

Zweigliedrig.  $a : b : c = 0,686 : 1 : 1,758$  Nicklès.

$o, q, b, c.$	Berechnet	Beobachtet
$o \left\{ \begin{array}{l} 2A = \\ 2B = 76^{\circ} 34' \\ 2C = \end{array} \right.$		*114° 50' 75 45 *144 20
$q : q = 59 \ 16$		
$c = 119 \ 38$		119 35
$o : c = 107 \ 50$		108 0

Gelbe Krystalle; oft nur  $o$  und  $c$ . Isomorph dem entsprechenden Chlorid. S. Antimonbromid.

**Ammonium-Platinbromid.**  $\text{Am}^2 \text{Pt Br}^6$ .

**Kalium-Platinbromid.**  $\text{K}^2 \text{Pt Br}^6$ .

Regulär. Oktaeder mit Würfel. Topsøe.

**Ammonium-Zinnbromid.**  $\text{Am}^2 \text{Sn Br}^6$ .

Regulär.

Volumgewicht 3,505 Topsøe.

**Natrium-Platinbromid.**  $\text{Na}^2 \text{Pt Br}^6 + 6 \text{ aq.}$

Eingliedrig. — Isomorph dem Chlorid. Topsøe: Wien. Ak. Ber. 69 (2), 61.

**Magnesium-Platinbromid.** (Mangan-Zink-Kobaltsalz).  $\text{RPt Br}^6 + 12 \text{ aq.}$

Sechsgliedrig. Topsøe.

	Axe $c$ ( $a = 1$ )	$2A$ von $r$
Mg Salz	0,6974	114° 12'
Mn -	0,7025	113 53
Zn -	0,6989	114 6
Co -	0,6979	114 10

Isomorph den Chloriden.

**Nickel-Platinbromid.**  $\text{Ni Pt Br}^6 + 6 \text{ aq.}$ Sechsgliedrig.  $a : c = 1 : 0,5136$  Topsöe.2 A von  $r = 127^\circ 34'$ . —  $r$  und  $a$ . Braungrün.**Kupfer-Platinbromid.**  $\text{Cu Pt Br}^6 + 8 \text{ aq.}$ 

Zweigliedrig. Zerfliesslich.

**Ammonium (Kalium)-Dithalliumbromid.**  $(3 \text{ R Br} + \text{Th}^2 \text{Br}^6) + 3 \text{ aq.}$ 

Regulär, wenigstens scheinbar. Würfel mit Oktaeder und Granatoeder, Rammelsberg. — S. Chlorid.

**Baryum-Kadmiumbromid.**  $(\text{Ba Br}^2 + \text{Cd Br}^2) + 4 \text{ aq.}$ 

Eingliedrig. Murmann.

$$\begin{array}{ll}
 p : p' = 100^\circ 42' & o' : c = 138^\circ 44' \\
 a = 140 \ 24 & p' = 121 \ 30 \\
 b = 129 \ 45 & c : p' = 100 \ 39
 \end{array}$$

Optisches Verhalten. Murmann und Rotter: Wien. Ak. B. 34, 435.

**Jodide.****Einfache Jodide.****Jodammonium.** Am J.

Regulär. Würfel. Spaltbar nach dem Würfel.

Volumgewicht 2,498 Boedecker.

Gas-V. G. bei  $440^\circ = 37,4$ 

860 = 40,2 Deville

(Mol. = 145;  $\frac{145}{4} = 36,25$ ).

Brechungsexponenten Topsöe: Pogg. A. Ergbd. 6, 499.

Wärmeentwicklung beim Lösen. Thomsen: Ber. d. ch. Ges. 1873, 710. — Favre und Valson: C. r. 77, 802.

**Jodkalium.** KJ.

Regulär. Würfel; meist unsymmetrisch; öfter Oktaederflächen. Durchsichtige Krystalle zeigten mir auch Oktaeder mit Würfelflächen, oder auch Granatoeder, nach einer Axe prismatisch verlängert, zuweilen eine einzelne Würfelfläche an dem Ende.

Brechungsexponenten	C	D	F
	1,6584	1,6666	1,6871

Topsöe: S. das vorige.



Volumgewicht. 3,056 Filhol. 2,850 Schiff. 2,970 Buignet.

Ausdehnung. Kub. Ausdehnung = 0,000042653 (40°) Fizeau.

Schmelzpunkt 639° Carnelley, 666° Braun.

Diathermansie. Schultz-Sellack: Pogg. A. 439, 182.

Löslichkeit, V. G. der Lösungen. Kremers: Pogg. A. 95, 110. 96, 39.

97, 1. 99, 25. 58. 108, 115. — Schiff: Ann. Ch. Ph. 108, 326.

100 Th. Wasser lösen bei 44°, 5 139,8 Th. Mulder.

Siedepunkt der gesättigten L. = 449° Kremers.

Brechungsvermögen. Kremers: Pogg. A. 401, 13. — Sauber: Eb. 117, 577.

Wärmeentwicklung beim Verdünnen. Favre: C. r. 50, 1150. — Fouqué: C. r. 64, 121.

Beim Lösen von 440 Th. in 100 Th. Wasser sinkt die T. von 40°, 8 auf -11°, 7. Rudorff.

Das Gefrieren der Lösungen. De Coppet: Ann. Ch. Phys. (4) 23. 25. 26.

Thermisches beim Lösen. Thomsen: Ber. d. ch. Ges. 1873, 710. — Favre und Valson: C. r. 77, 802.

Zusammendrückbarkeit der Lösungen. Grassi: Ann. Ch. Phys. (3) 17, 437.

Elektr. Leitungsvermögen. E. Becquerel: Ann. Ch. Phys. (3) 17, 267. ferner NaCl.

### Jodrubidium. RbJ.

Regulär. Würfel mit Oktaeder, spaltbar nach jenem. Reissig.

Volumgewicht. 3,023 Clarke.

### Jodnatrium. NaJ.

Regulär. — Schmelzpunkt 639° Carnelley.

#### Hydrat. NaJ + 2aq.

Nach Mitscherlich isomorph dem Chlorid und Bromid.

Volumgewicht von NaJ 3,45 Filhol. 3,654 Favre. NaJ + 2aq = 2,448 F.

Lösungen. Kremers: S. Jodkalium. — Favre: C. r. 77, 577.

Spec. Wärme der Lösung; Thermisches. S. Jodkalium.

### Jodlithium. LiJ.

Löslichkeit. S. Jodbaryum.

**Jodsilber. AgJ.**Sechsgliedrig.  $a : c = 1 : 0,8196$  Zepharovich. $d(o), d^2(i), d^4(u), d^{\frac{4}{3}}(\pi), d^{\frac{2}{3}}(e), d^{\frac{2}{3}}(\nu), d^{\frac{1}{3}}(\mu); a, c.$  $s(\beta) = a : \frac{1}{2}a : a : \frac{2}{3}c' (\frac{2}{3}c? \frac{1}{2}c?)$ .

Berechnet

Beobachtet

Zepharovich Des Cloizeaux\*)

$d \ 2A = 139^{\circ} 48'$	$139^{\circ} 46'$	
$2C =$	$*86 \ 50$	
$d^2 \ 2A = 127 \ 32$		
$2C = 124 \ 18$	$124 \ 15$	
$d^4 \ 2A = 122 \ 12$		
$2C = 150 \ 24$		
$d^{\frac{4}{3}} \ 2A = 144 \ 52$	$144 \ 19$	
$2C = 75 \ 16$		
$d^{\frac{2}{3}} \ 2A = 149 \ 4$		
$2C = 64 \ 30$		
$d^{\frac{1}{3}} \ 2A =$		
$2C = 50 \ 38$		
$s \ 2A = 145 \ 28$		
$2C = 72 \ 50$		
$c : d = 136 \ 35$	$136 \ 33$	
$d^4 = 104 \ 48$	$105 \ 44$	$104^{\circ} 52'$
$d^2 = 117 \ 54$	$117 \ 53$	$118 \ 4$
$d^{\frac{4}{3}} = 142 \ 52$	$142 \ 10$	
$d^{\frac{2}{3}} = 147 \ 45$	$148 \ 15$	
$d^{\frac{1}{3}} = 154 \ 44$	$155 \ 20$	$155 \ 35$
$a : s = 126 \ 25$	$126 \ 40$	

Fig. 55.

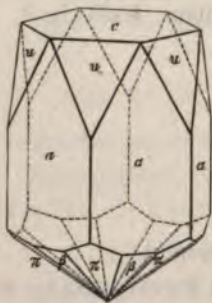


Fig. 57.



Fig. 56.



Die Bestimmung von  $d^2, d^4, d^{\frac{1}{3}}$  und  $s$  ist etwas unsicher.

Die Krystalle sind hemimorph.

Fig. 55 eine prismatische Combination des zweiten Prismas  $a$ , die am einen Ende die Endfläche  $c$  und das Dihexaeder  $d^4$ , am anderen  $d^{\frac{4}{3}}$  und  $s$  hat.

Fig. 56 eine pyramidale, mit herrschendem  $d^4$  neben  $c$ , während unten nur  $s$  auftritt.

Fig. 57 zeigt oben  $c, d, d^2$ , unten  $d, d^2, d^{\frac{2}{3}}$  und  $s$ .

\*) Natürliches von Chañarcillo.

Vollkommen spaltbar nach c. Braungelb oder grün, diamantglänzend.

Optisch einaxig, positiv.

Sie waren durch Eintragen von Silber und Jod in Jodwasserstoffsäure im Laufe längerer Zeit erhalten. — Zepharovich: Groth Ztschrft. 4, 119.

Geometrisch isomorph dem gleichfalls hemimorphen Schwefelkadmium (Greenockit).

Färbt sich beim Erhitzen tiefgelb.

Ausdehnung. Es zieht sich beim Erwärmen zusammen, und dehnt sich beim Abkühlen aus (wenigstens bei T. zwischen  $-10^{\circ}$  und  $+70^{\circ}$ ). Fizeau hat die Ausdehnungskoeffizienten des krystallisirten, das zuvor geschmolzen, und des gefällten amorphen bestimmt. — C. r. 64, 314. 774. Pogg. A. 132, 292. Vgl. Rodwell Proc. R. Soc. 31, 291.

Volumgewicht 5,50 Filhol. 5,35 Schiff.

Kryst. natürl. 5,677 Damour.

- künstl. 5,669 - 5,54 Deville.

Zuvor geschmolzen 5,687 Deville, 5,69 Damour, 5,67 Rodwell.

Amorph gefällt 5,65 Schröder, 5,57 Damour, 5,807 Deville.

Schmilzt bei  $400^{\circ}$  ( $530^{\circ}$  Carnelley,  $450^{\circ}$  Rodwell). — Vgl. Rodwell: Ch. N. 30, 288. 31, 4.

Optisches Verhalten. — Des Cloizeaux u. Fizeau: S. o. — Wernicke: Pogg. A. 442, 560. (Schultz-Sellack: Eb. 444, 331.)

Verhalten zum Licht. — Vogel: Pogg. A. 449, 497. 425, 329. 453, 118. — Reissig: J. f. pr. Ch. 96, 405. — Carey Lea: Am. J. Sc. (2) 12, 498. — Schultz-Sellack: Pogg. A. 443, 464. — Reynolds: Ch. N. 27, 33.

### Kupferjodür. $\text{Cu}_2\text{J}_2$ .

Krystallform. Regulär. Tetraeder. Meusel: Ber. d. ch. G. 1870. 123.

Volumgewicht 4, 41 Schiff.

Wird in höherer T. fast schwarz. Houston.

### Quecksilberjodür. $\text{Hg}_2\text{J}_2$ .

Viergliedrig.  $a : c = 1 : 1,6726$  Des Cloizeaux.

$\alpha$ ,  $a$ ,  $c$ .

Berechnet

Beobachtet

$$\alpha \begin{cases} 2A = 98^{\circ} 44' \\ 2C = 134^{\circ} 40' \end{cases}$$

$$\alpha : c =$$

$$= 112^{\circ} 55'$$

Meist tafelartig durch Vorherrschen einer Fläche  $a$ . — Spaltbar nach  $c$ . ellgelb, sich bräunend. — Starke positive Brechung. — Isomorph dem Chlorür. Des Cloizeaux: C. r. 84, 4448.

**Quecksilberjodid.  $\text{HgJ}_2$ .**

Dimorph.

A. Roth's. Viergliedrig.  $a : c = 1 : 4,9955$  Mitscherlich. $o, c.$ 

Berechnet

Beobachtet

$$o \left\{ \begin{array}{l} 2A = 96^\circ 24' \\ 2C = 144 \quad 0 \\ o : c = \end{array} \right. \quad *109^\circ 30'$$

Meist tafelartig nach  $c$ . Spaltbar nach  $c$ . — Pogg. A. 28, 116.Ausdehnung. — Kubische  $A. = 0,000023877$  Fizeau.B. Gelbes. Zweigliedrig.  $p : p = 114^\circ 30'$  Mitscherlich; 114° Schiff.

Isomorph den folgenden Mischungen. — Bei seiner Umwandlung in A. wird Wärme frei. Weber: Pogg. A. 100, 127.

Schmelzpunkt des Jodids 253—254° Köhler. Vgl. Rodwell: Proc. R. Soc. 28, 284.

**Quecksilberbromojodid.**Zweigliedrig.  $a : b : c = 0,6443 : 1 : 0,9494$  Groth. $o, 2o, 4o, p, c.$ 

Berechnet

Beobachtet

$$o \left\{ \begin{array}{l} 2A = 124^\circ 11' \\ 2B = 87 \quad 40 \\ 2C = 119 \quad 0 \end{array} \right. \quad \begin{array}{l} \\ \\ \\ \end{array}$$

$$2o \left\{ \begin{array}{l} 2A = 117 \quad 22 \\ 2B = 72 \quad 32 \\ 2C = 117 \quad 10 \end{array} \right. \quad \begin{array}{l} \\ \\ \\ \end{array}$$

$$4o \left\{ \begin{array}{l} 2A = 115 \quad 14 \\ 2B = 67 \quad 26 \\ 2C = 163 \quad 14 \end{array} \right. \quad \begin{array}{l} \\ \\ \\ \end{array}$$

$$p : p = \quad \quad \quad *114^\circ 25'$$

$$o = \quad \quad \quad *119 \quad 30$$

$$2o = 163 \quad 35$$

$$4o = 171 \quad 37$$

$$c : o = 120 \quad 30 \quad \quad \quad 120 \quad 32$$

$$2o = 106 \quad 25 \quad \quad \quad 106 \quad 49$$

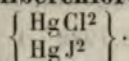
$$4o = 98 \quad 23 \quad \quad \quad 98 \quad 35$$

Prismatisch nach  $p$ . Spaltbar nach  $c$ . Zwillinge nach  $p$ . Gelb.Ebene der optischen Axen =  $ab$ . Mittellinie  $b$ .

Offenbar ist es eine isomorphe Mischung, und sind das gelbe Jodid sowie das Bromid unter sich isomorph. Groth: Ber. d. d. chem. Ges. 1869. S. 574.

\* Fig. in Groth Phys. Kryst. S. 339, wo  $o'' = o$ ,  $o' = 2o$  und  $o = 4o$  zu setzen ist.



**Quecksilberchlorojodid.**

Diese isomorphe Mischung existirt in einer rothen und einer gelben Modification, welche den einzelnen Salzen isomorph sind. Köhler: Ber. d. chem. Ges. 1879, 1187.

**Jodblei. PbJ<sub>2</sub>.**

Sechsgliedrig.  $a : c = 4 : 4,3048$  Nordenskiöld.

$d, d^{\frac{3}{2}}, c.$

Berechnet

Beobachtet

$$d \left\{ \begin{array}{l} 2A = 130^{\circ} 48' \\ 2C = 112 \quad 46 \end{array} \right.$$

$$d^{\frac{3}{2}} \left\{ \begin{array}{l} 2A = 115 \quad 36 \\ 2C = 132 \quad 10 \end{array} \right.$$

$$c : d =$$

$$d^{\frac{3}{2}} = 113 \quad 55$$

$$123^{\circ} 37'$$

$$115 \quad 16$$

Sehr dünne sechsseitige Blättchen. Die Axen  $c$  verhalten sich bei

$$\text{AgJ} \quad \text{PbJ}_2 \quad \text{CdJ}_2$$

$$= 1,63 : 4,30 : 4,06$$

$$= 1,44 : 1,23 : 1$$

l. h. nahe  $= 6 : 5 : 4$ . Nordenskiöld: Vet. Ak. H. 1874.

Kubische Ausdehnung 0,000033598 Fizeau.

Volumgewicht 6,384 Filhol; 6,07 Schiff.

**Jodkadmium. CdJ<sub>2</sub>.**

Sechsgliedrig.  $a : c = 4 : 4,0627$  Nordenskiöld.

$d, d^3, p, c.$

Berechnet

Beobachtet

Nordenskiöld Grailich

$$d \left\{ \begin{array}{l} 2A = 134^{\circ} 24' \\ 2C = 101 \quad 36 \end{array} \right.$$

$$d^3 \left\{ \begin{array}{l} 2A = 122 \quad 48 \\ 2C = \end{array} \right.$$

$$c : d = 129 \quad 42$$

$$d^3 = 105 \quad 42$$

$$p : d = 140 \quad 48$$

$$122^{\circ} 21'$$

$$149 \quad 36$$

$$130^{\circ} \quad 9'$$

$$105 \quad 26$$

Tafelartig nach  $c$ . Spaltbar nach  $c$ . Optisch einaxig. Steht geometrisch dem CdS und ZnO nahe. Nordenskiöld: Vet. Ak. H. 1874. — Grailich: Wien. Ak. Ber. 27, 181.

Kubische Ausdehnung. 0,000029461 Fizeau.

Volumgewicht 4,576 Boedecker.

Löslichkeit. Kremers: Pogg. A. 103, 57. 104, 133. 144, 60.

**Jodzink. ZnJ<sub>2</sub>.**

Regulär. Oktaeder. (?)

Volumgewicht 4,696 Boedecker.

Löslichkeit. Kremers, s. Jodkalium.

**Zinkammoniumjodid.**  $N^2(H^4Am^2Zn)J^2$ .Zweigliedrig.  $a : b : c = 0,7922 : 1 : 0,5754$  Rammelsberg $o, q, a, b$ .

Berechnet

Beobachtet

$$\begin{array}{lcl}
 o \left\{ \begin{array}{l} 2A = 130^\circ 2' \\ 2B = 115 \quad 44 \\ 2C = 85 \quad 38 \end{array} \right. & & \\
 q : q = 120 \quad 40 & & \\
 b = & & 419^\circ 55' \\
 o : q = & & 447 \quad 52
 \end{array}$$

Die  $o$  fehlen oft theilweise oder ganz; ein  $q$  herrscht meist vor,  
 $q$  glasglänzend,  $b$  perlmutterglänzend. Pogg. A. 90, 49.

**Nickelammoniumjodid.**  $N^2(H^2Am^4Ni)J^2$ .

Regulär (?). Oktaeder. Rammelsberg.

**Jodmagnesium.**  $MgJ^2$ .

Löslichkeit. Kremers: Pogg. A. 103, 57. 104, 133. 11

**Jodcalcium.**  $CaJ^2$ .

Desgleichen.

**Jodstrontium.**  $SrJ^2$ .

Volumgewicht 4,415. — Löslichkeit. S. die vorigen.

**Jodbaryum.**  $BaJ^2 + 2aq$ .

Isomorph dem Chlorid und Bromid.

 $2p : 2p = 106^\circ 18'$ ;  $2p : b = 126^\circ 40'$ .

Zerfliesslich. Werther: J. f. pr. Ch. 94, 334.

Volumgewicht von  $BaJ^2 = 4,917$  Filhol; von einem  $BaJ^2$  —  
 $= 3,672$  bei  $20^\circ$  Clarke.

Löslichkeit. S. oben.

**Zinnjodid.**  $SnJ^4$ .Zweigliedrig.  $a : b : c = 0,9925 : 1 : 0,9942$  Nordenskiöld $o, \frac{o}{2}, p^2$ .

Berechnet

Beobachtet

$$\begin{array}{lcl}
 o \left\{ \begin{array}{l} 2A = 109^\circ 50' \\ 2B = 109 \quad 6 \\ 2C = \end{array} \right. & & \begin{array}{l} 109^\circ 34' \\ 109 \quad 13 \\ 409 \quad 22 \end{array} \\
 \frac{o}{2} \left\{ \begin{array}{l} 2A = 132 \quad 4 \\ 2B = 131 \quad 42 \\ 2C = 70 \quad 26 \end{array} \right. & & \\
 p^2 : p^2 = 127 \quad 12 & & 126 \quad 35 \\
 o : \frac{o}{2} = 160 \quad 32 & &
 \end{array}$$

Von regulärem Aussehen. Zuweilen prismatisch nach  $p^2$ . Vet. Akad. 1. 1874.

Volumgewicht 4,696 Boedecker.

Diathermansie der Lösung in Schwefelkohlenstoff Schulz-Sellack: Pogg. A. 139, 182.

### Jodaluminium. $\text{AlJ}^6$ .

Gas-V. G. bei  $440^\circ = 390,2$  (ber. 408,4).

### Jodthallium.

Dithalliumjodid.  $\text{Tl}^2\text{J}^6$ .

Zweigliedrig.  $a : b : c = 0,835 : 4 : 2,370$  Nicklès.

$p, r, a.$	Berechnet	Beobachtet
$p : p =$		$\approx 100^\circ 15'$
$a = 440^\circ 8'$		440 38
$r : r = 38 50$		
$a =$		$\approx 160 35$

C. r. 58, 537.

### Doppeljodide.

#### Ammonium-Quecksilberjodid. $2\text{AmJ} + \text{HgJ}^2$ .

Gas-V. G. bei  $350^\circ = 93,8$  }  
                   440 = 92,2 } Deville.

Mol. G. = 744;  $\frac{1}{8} = 93$ .

#### Ammonium-Antimonjodid.

I.  $(\text{AmJ} + \text{SbJ}^3) + 2\text{aq}$ .

Viergliedrig.  $a : c = 4 : 0,789$  Nicklès.

$o, d, p, a, c.$	Berechnet	Beobachtet
$o \left\{ \begin{array}{l} 2A = 146^\circ 26' \\ 2C = 96 20 \end{array} \right.$		
$d \left\{ \begin{array}{l} 2A = 128 2 \\ 2C = 76 34 \end{array} \right.$		
$o : c =$		$\approx 131^\circ 50'$
$p = 138 40$		138 40
$d : a = 128 17$		128 30

Zuweilen auch ein  $\frac{o}{n}$ . J. de Ph. et de Ch. (3) 40, 277.

II.  $2(2\text{AmJ} + \text{SbJ}^3) + 5\text{aq}$ .

Isomorph dem entsprechenden Chlorid und Bromid. Nicklès.

#### Kalium-Antimonjodid.

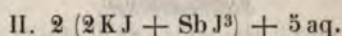
I.  $2(\text{KJ} + \text{SbJ}^3) + 3\text{aq}$ .

Zweigliedrig.  $a : b : c = 0,742 : 4 : 4,481$  Nicklès.



$o, p, r\frac{2}{3}, a, c.$	Berechnet	Beobachtet
$\left\{ \begin{array}{l} 2A = 127^{\circ} 54' \\ 2B = 103 \quad 26 \\ 2C = 101 \quad 0 \end{array} \right.$		
$p : p =$		$*106^{\circ} 50'$
$r\frac{2}{3} : r\frac{2}{3} = 73 \quad 50$		
$c = 126 \quad 55$		$127 \quad 0$
$o : p =$		$*140 \quad 30$

Nicklès a. a. O.



Isomorph dem Ammoniumsalz. Vgl. Schäffer: Pogg. A. 409

**Natrium-Wismuthjodid.**  $(NaJ + BiJ^3) + aq.$ Zwei- und eingliedrig.  $a : b : c = 0,864 : 4 : 0,717$  Nicklès

$o = 77^{\circ} 40'.$

$p, r', a, c.$	Berechnet	Beobachtet
$p : p =$	$99^{\circ} 40'$	
$a =$		$*139^{\circ} 40'$
$c = 99 \quad 23$		
$a : c =$		$*102 \quad 20$
$r' : a = 122 \quad 45$		$122 \quad 0$
$c =$		$*135 \quad 25$

Prismatisch nach der Verticalzone. J. de Ph. et de Ch. (8) 40,

**Kalium-Thalliumjodid.**  $(3KJ + Tl^2J^6) + 3aq.$ 

Regulär. Oktaeder mit Würfel. Rammelsberg: Pogg. A. 446

**Ammonium-Platinjodid.**  $Am^2PtJ^6.$ Regulär. Oktaeder mit Würfel ( $o : o$  gefunden  $= 109^{\circ} 20'$ ).**Kalium-Platinjodid.**  $K^2PtJ^6.$ 

Regulär. Würfel; oder Oktaeder mit Würfel und Andeutung Granatoeder.

	Gefunden	Berechnet
$o : a =$	$125^{\circ} 47'$	$125^{\circ} 46'$

Topsøe: Krystallografisk-kemisk Undersøgelse over Platinet belthaloidsalte. Oversigt K. D. V. Selsk. Forh. 1869.

**Natrium-Platinjodid.**  $Na^2PtJ^6 + 6aq.$ Zwei- und eingliedrig.  $b : c = 4 : 0,694$  Topsøe.

$o, a, b.$	Beobachtet
$o : o =$	$144^{\circ} 42'$
$a =$	$*100 \quad 33$
$b =$	$*124 \quad 20$

Prismatisch nach  $a$  und  $b$ , tafelartig nach  $a$ . Zwillinge nach  $a$ . Braun, metallglänzend. Topsøe, a. a. O.

### Nickel-Platinjodid.

I.  $\text{NiPtJ}_6 + 6 \text{ aq.}$

Sechsgliedrig.  $a : c = 1 : 0,5486$  Topsøe.

$r, a, \frac{r'}{2}$   $2A$  von  $r = 127^\circ 40'$

$r : a = 116 \ 40 \ (116^\circ 40')$

Beide im Gleichgewicht. Ausserdem das zweifach schärfere Rhomboeder. Die Messungen sind nur annähernde.

Grünlichbraun, metallglänzend, jedoch rasch matt werdend.

II.  $\text{NiPtJ}_6 + 9 \text{ aq.}$

Sechsgliedrig.  $a : c = 1 : 1,8788$  Topsøe.

$r, \frac{r'}{2}, a, c.$

	Berechnet	Beobachtet
$r : r (2A) =$		$103^\circ 43'$
$r : a = 128^\circ 9'$		128 0
$c = 114 \ 45$		114 37
$\frac{r'}{2} = 114 \ 52$		114 52

Topsøe, a. a. O.

Isomorph mit dem letzteren sind:

Magnesium-Platinjodid  $\text{MgPtJ}_6 + 9 \text{ aq.}$

Mangan-Platinjodid  $\text{MnPtJ}_6 + 9 \text{ aq.}$

Zink-Platinjodid  $\text{ZnPtJ}_6 + 9 \text{ aq.}$

Kobalt-Platinjodid  $\text{CoPtJ}_6 + 9 \text{ aq.}$

Eisen-Platinjodid  $\text{FePtJ}_6 + 9 \text{ aq.}$

	Axe $c$	$2A$ des Hauptrhomboeders
Mg salz	1,870	$103^\circ 36'$
Mn salz	1,868	103 35
Zn salz	1,868	103 35
Co salz	1,876	103 40
Fe salz	1,867	103 33

Topsøe, a. a. O.

**Calcium-Platinjodid.**  $\text{CaPtJ}_6 + 12 \text{ aq.}$

Sechsgliedrig.  $a : c = 1 : 0,827$  Topsøe.

Combinationen eines Rhomboeders von  $111^\circ 34'$  Endkantenwinkel, und des ersten schärferen. Selten messbar. Topsøe, a. a. O.

**Chlorsaure und überchlorsaure S****Chlorsaure Salze (Chlorate).****Chlorsaures Kali.  $\text{KClO}_3$ .**

Zwei- und eingliedrig.  $a:b:c=0,8256:4:2,3502$  Ra  
 $\alpha=89^\circ 47'$ .

$o, o', \frac{o}{3}, \frac{q}{2}, r, r', c$ .

	Berechnet	Beobachtet	
		Rammelsberg	Brooke
$o : o = 104^\circ 44'$			
$o' : o' =$		$*104^\circ 22'$	$104^\circ 0'$
$o : o' \text{ (Kante } bc) =$		$*149 \quad 6$	
$\frac{o}{3} : \frac{o}{3} = 121 \quad 44$			
$\frac{q}{2} : \frac{q}{2} = 82 \quad 0$			
$c = 131 \quad 0$		130 8	
$c : r = 109 \quad 33$			
$r' = 109 \quad 56$		109 30	
$r : r' \text{ (an } c) = 39 \quad 29$		38 27	
$c : o = 105 \quad 49$		105 35	
$o' =$		$*105 \quad 35$	105 30
$o : r = 142 \quad 7$			
$o' : r' = 142 \quad 44$		142 30	
$r = 127 \quad 34$		127 50	
$\frac{o}{3} : c = 129 \quad 35$		129 45	
$o' = 124 \quad 50$			

Eine Figur s. Groth phys. Krystallographie, in welcher  $o =$  zu setzen ist.

Tafelartig nach  $c$ , meist dünne Blättchen. — Zwillinge nach wachungen, so dass die  $o'$  und  $r$  einspringende Winkel bilden.

	Berechnet	Beobachtet	
		Rammelsberg	
$o' : o' = 148^\circ 50'$		$148^\circ 40'$	
$r : r = 140 \quad 54$			

Spaltbar nach  $c$  und  $o'$  (nach  $p?$ ). — Brooke: Ann. of pl  
Haidinger: Ed. J. Sc. 4, 403.

Optische Axenebene  $ac$ .  $2E = 28^\circ$  ungefähr.

Volumgewicht = 2,326 (bei  $4^\circ$ ), 2,35 (bei  $47^\circ$ ) Krems  
Ausdehnung von  $0-100^\circ = 0,04744$  Joule und Playfair.

Schmelzpunkt  $334^\circ$  Pohl.

Spec. Wärme 0,494 Kopp; 0,240 Regnault.

Löslichkeit. — Siedepunkt der gesättigten L. = 105°. Eine Lösung in 100 Th. Wasser von 5,42 Th. hat ein V. G. = 1,0344

6,25 - - - - = 1,0377 Kremers.

Lösungswärme Thomsen: Ber. d. chem. Ges. 1873, 740.

Refractionsäquiv. Gladstone: J. Ch. Soc. (2) 8, 404.

### Chlorsaures Natron. $\text{NaClO}_3$ .

Regulär-tetartoedrisch.

An diesem Salze wurde das gleichzeitige Vorkommen scheinbarer tetraedrischer und pyritoedrischer Hemiedrie von mir zuerst beobachtet. Nachdem Marbach Circularpolarisation nachgewiesen, erklärte Naumann jene Formen für tetartoedrische, welche nur das Ansehen hemiedrischer haben, gleichwie die scheinbaren Vollflächner (Würfel, Granatoeder) als Viertelflächner zu betrachten sind.

Oft Würfel, deren Kanten durch das Granatoeder, und deren abwechselnde Ecken durch das Tetraeder abgestumpft sind. Tritt das Pentagondodekaeder  $a : 2a : \infty a$  (Pyritoeder) hinzu, so sind die Würfelkanten unsymmetrisch zugespitzt. Auch das Tetraeder ist wohl herrschend.

Groth beobachtete einen (rechtsdrehenden) Krystall mit beiden Tetraedern, ferner Trapezoidtetraeder  $a : a : \frac{1}{2}a$  in Combination mit dem homologen Tetraeder und einer einzelnen Würfelfläche (Aufwachungsfläche). Auch Würfel, an den abwechselnden Ecken durch ein Trapezoidtetraeder zugespitzt, welches bisweilen vorherrscht, dessen Flächen aber stark gerundet sind \*).

Zwillinge: Zwei Krystalle, ein rechts- und ein linksdrehender, durchdringen sich senkrecht, d. h. symmetrisch in Bezug auf die Würfelfläche.

Ueber die Bedingungen, unter denen die besonderen Combinationen und die Zwillinge entstehen, berichtete Groth. Jacobsen untersuchte die Bedingungen der Bildung der hemiedrischen Flächen. — Rammelsberg: Pogg. A. 90, 45. — Marbach: Eb. 94, 482. 94, 449. 99, 454. — Naumann: Eb. 95, 465. — Groth: Eb. 158, 216. — Jacobsen: Eb. 113, 498. — Gernez: C. r. 66, 853 (Pogg. A. 434, 623).

Marbach fand rechts- und linksdrehende Krystalle.

Die Combination des rechten Pentagondodekaeders mit dem rechten Tetraeder, oder des linken mit dem linken drehen rechts, die des linken P. mit dem rechten T. oder umgekehrt drehen links. In beiden Fällen ist

\*. S. die Fig. 236 in Groth Phys. Kryst., wo  $h$  den Würfel,  $o$  die Tetraeder,  $d$  das Granatoeder und  $p$  das Pentagondodekaeder bedeuten.



die Drehung bei gleicher Dicke gleich stark; sie ist letzterer proporti und nach allen Richtungen gleich. Marbach fand die Drehung 6—7 schwächer als beim Quarz. Die Lösung des Salzes besitzt kein Drehu vermögen. Ausserdem beobachtete Marbach Lamellar-Polarisation.

Groth dagegen fand an einem einfachen rechtsdrehenden Kry beide Tetraeder, sodass also nur die beiden sich gegenseitig ausschlies den Pentagondodekaeder den Sinn der Drehung bestimmen. Auch füh an, dass die Lösung nach Bothe schwach (rechts) drehend sei.

Das Drehungsvermögen bestimmte Sohneke: Wied. Ann. 3, 51

Nach Marbach verliert das Salz durch Schmelzen sein Drehu vermögen.

Volumgewicht 2,289 Boedecker.

Löslichkeit. — 1 Th. erfordert folgende Mengen Wasser:

bei 0°	4,22	bei 80°	0,57
12	4,01	100	0,49
40	0,84	115	0,39
60	0,68		Kremers.

Der Siedepunkt der gesättigten L. liegt über 125°.

Eine Lösung, welche in 100 Th. Wasser enthält

2,46 Th. hat das V. G.	4,0492
4,98 - - - -	4,0384
7,49 - - - -	4,0567
10,24 - - - -	4,0762
12,29 - - - -	4,0908
	Kremers.

Chlorsaures Silber.  $\text{AgClO}_3$ .

Viergliedrig.  $a : c = 1 : 0,9325$  Marignac.

$d, d^4, p, a, c.$

$v = a : \frac{1}{2}a : c.$

Berechnet

Beobachtet

Marignac Rammels

\*122° 20' 122° 20'

$$d \begin{cases} 2A = \\ 2C = 86^\circ 0' \end{cases}$$

$$d^4 \begin{cases} 2A = 93 50 \\ 2C = 150 0 \end{cases}$$

$$v \begin{cases} 2X = 133 26 \\ 2Y = 93 40 \\ 2Z = 128 46 \end{cases}$$

$$v : a = 143 45$$

$$p = 148 48$$

$$d = 150 2$$

93 50 (Wächter)

150 0

Fig. 58.

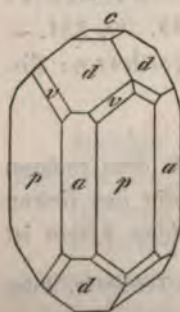


Fig. 58.

Marignac: Réch. sur les form. cryst. — Wäch J. f. pr. Ch. 30, 321.

Volumgewicht 4,43 Schröder.



**Chlorsaurer Strontian.**  $\text{SrCl}^2\text{O}^6$ ).Zweigliedrig.  $a : b : c = 0,9174 : 1 : 0,5997$  Topsøe.

o, p.

$s = a : \frac{1}{2}b : c.$

	Berechnet	Beobachtet
$\left. \begin{array}{l} o \\ p \end{array} \right\} \begin{array}{l} 2A = \\ 2B = \\ 2C = \end{array}$	$\begin{array}{l} 126^\circ 40' \\ \\ \end{array}$	$\begin{array}{l} 126^\circ 55' \\ 121 \ 25 \\ 83 \ 44 \end{array}$
$\left. \begin{array}{l} p \\ s \end{array} \right\} \begin{array}{l} p : p = \\ 2A = \\ 2B = \\ 2C = \end{array}$	$\begin{array}{l} 94 \ 56 \\ 67 \ 20 \\ 144 \ 44 \\ 124 \ 50 \end{array}$	
$\left. \begin{array}{l} o \\ s \end{array} \right\} \begin{array}{l} o : p = \\ s : o = \end{array}$	$\begin{array}{l} 134 \ 35,5 \\ 150 \ 20 \end{array}$	$\begin{array}{l} 134 \ 49 \\ 150 \ 7 \end{array}$

Von den Flächen  $s$  finden sich nur die vier oberen;  $o$  herrschend. —  
Zerfliesslich. — Wien. Ak. Ber. 66.

**Chlorsaurer Baryt.**  $\text{BaCl}^2\text{O}^6 + \text{aq.}$ Zwei- und eingliedrig.  $a : b : c = 1,4446 : 1 : 1,2048$  Rammelsberg.

$o = 85^\circ 0'.$

$s' = a' : \frac{1}{2}b : c.$

 $p, q, r, a, c.$ 

	Berechnet	Beobachtet		
		Rammelsberg	Kopp	Wächter
$p : p =$		$82^\circ 30'$	$83^\circ 0'$	$82^\circ 21'$
$c =$		$93 \ 48$		
$q : q =$		$79 \ 36$	$79 \ 40$	$79 \ 36$
$r : a =$	$138^\circ 54'$			
$c =$	$136 \ 9$	$136 \ 15$		
$p : r =$	$119 \ 46$	$119 \ 33$		
$q : r =$	$117 \ 30$	$117 \ 54$		
$s' : s' =$	$60 \ 4$			
$a =$	$110 \ 22$			
$c =$	$109 \ 8$			
$q =$	$154 \ 2$	$154 \ 30$	(Des Cloizeaux).	

Ebene der optischen Axen =  $ac$ ; starke Doppelbrechung; die Dispersion der Axen und die geneigte Dispersion sehr schwach. Zwischen der Mittellinie der rothen und blauen Axen wurde etwa  $0^\circ 46'$  beobachtet. Bei  $14^\circ$  macht die Mittellinie der gelben Axen Winkel von  $28^\circ 50'$  mit einer Normale auf Fläche  $c$ , von  $74^\circ 44'$  mit einer solchen auf  $r$ , und von  $143^\circ 50'$  mit einer auf der vorderen Fläche  $a$ . Der scheinbare Axenwinkel in Luft

$2E = 86^\circ 57'$  Roth

$87 \ 44$  Blau Des Cloizeaux.

<sup>\*)</sup> Dieses Salz ist nach meinen Untersuchungen wasserfrei. Auch die von Wächter beschriebenen grossen pyramidalen Krystalle waren wasserfrei.

Lichtentwicklung beim Krystallisiren Hutstein: Arch. Ph. (2) 77, 13

Volumgewicht 2,988 Boedecker.

Spec. Wärme 0,457 Kopp.

Löslichkeit. 1 Th. des wasserfreien Salzes erfordert

bei 0°	4,38 Th. Wasser	bei 60°	4,29 Th.
- 20	2,70 - -	- 80	4,02 -
- 40	1,92 - -	- 100	0,79 - Kremers.

Lösungswärme. Thomsen: Ber. d. ch. G. 1873, 740.

### Chlorsaures Blei. $\text{PbCl}_2\text{O}^6 + \text{aq.}$

Zwei- und eingliedrig.  $a : b : c = 1,1385 : 1 : 0,9486$  Marignat  
 $\alpha = 87^\circ 0'$ .

$p, r, a, b, c.$	Berechnet	Beobachtet
$p : p =$		$82^\circ 40'$
$a = 131^\circ 20'$		131 40
$b = 138 40$		138 50
$c = 92 0$		92 0
$a : c =$		$93 0$
$r = 131 24$		
$c : r =$		$144 26$

Isomorph dem vorigen; ihre  $c$  verhalten sich  $= 5 : 4$ .

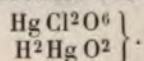
**Chlorsaures Nickel.**  $\text{NiCl}_2\text{O}^6 + \text{aq.}$

**Chlorsaures Kobalt.**  $\text{CoCl}_2\text{O}^6 + \text{aq.}$

**Chlorsaures Kupfer.**  $\text{CuCl}_2\text{O}^6 + \text{aq.}$

Regulär. Oktaeder; bisweilen mit dem Würfel. — Wächter: J. pr. Ch. 30, 321.

### Chlorsaures Quecksilberoxyd, basisches.



Zweigliedrig.  $a : b : c = 0,7974 : 1 : 0,6459$  Topsøe.

$o, p, r, r^3, a, b, c.$	Berechnet	Beobachtet
$\left. \begin{array}{l} 2A \\ 2B \\ 2C \end{array} \right\} o$	$\left. \begin{array}{l} = 126^\circ 42' \\ = 111 32 \\ = 92 2 \end{array} \right\}$	
$p : p =$		$102^\circ 52'$
$a = 141 26$		141 27
$b = 128 34$		
$r : r =$		$102 0$
$a = 129 0$		129 0
$r^3 : r^3 = 44 44$		

Prismatisch nach der Horizontalzone, und tafelartig nach  $a$ . Selten  $o, r^3$  und  $c$ .

Sehr glänzend. Vollkommen spaltbar nach  $a$ , gut nach  $c$ . — Wien.  
Ak. Ber. 66.

### Ueberschlorsäure Salze (Perchlorate).

#### Ueberschlorsäures Ammoniak. $\text{AmClO}_4$ .

Zweigliedrig.  $a : b : c = 0,7926 : 1 : 0,644$  Mitscherlich.

$p, r, c$ .

Beobachtet

	Mitscherlich	Groth
$p : p =$	$103^\circ 42'$	$103^\circ 38'$
$r : r =$	$102 \quad 5$	$101 \quad 54$

Sehr kleine Krystalle, die ausserdem nur noch  $c$  zeigen. Andere Formen, wie sie beim Kalisalz vorkommen, erscheinen zuweilen, doch schlecht ausgebildet (s. das folgende). Groth: Pogg. A. 135, 669.

Spaltbar nach  $p$  und  $c$ .

Volumgewicht = 4,873 bei  $24^\circ,5$  Clarke.

#### Ueberschlorsäures Kali. $\text{KClO}_4$ .

Zweigliedrig.  $a : b : c = 0,7847 : 1 : 0,6396$  Groth.

$o^2, p, q^2, r, a, b, c$ .

Berechnet

Beobachtet

Groth Mitscherlich

$o^2$	$\left\{ \begin{array}{l} 2A = 112^\circ 31',6 \\ 2B = 89 \quad 28,6 \\ 2C = 128 \quad 36,8 \end{array} \right.$		
$p : p =$		$103^\circ 57',7$	$103^\circ 59'$
$q^2 : q^2 =$	$76 \quad 0,9$	$75 \quad 59,2$	
$r : r =$		$101 \quad 22$	$101 \quad 19$
$p : q^2 =$	$119 \quad 2$	$118 \quad 58$	
$r =$	$119 \quad 55$	$119 \quad 58$	
$q^2 : r =$	$118 \quad 28$	$118 \quad 25$	

Meist  $p, r, c$ ; oft auch tafelartig nach  $c$ , durch  $q^2$  und  $r$  an den Rändern zugespitzt. Auch unsymmetrisch nach  $p$  und  $r$ , wozu dann  $o^2$  und  $q^2$  untergeordnet treten.

Spaltbar vollkommen nach  $c$ , etwas weniger nach  $p$ . Mitscherlich: Pogg. A. 25, 300. — Groth: Eb. 133, 193.

Volumgewicht 2,54 Kopp.

Spec. Wärme 0,490 Kopp.

Löslichkeit. In 88 Th. Wasser von  $40^\circ$ , in 5,5 Th. von  $100^\circ$  Rutstein.

1 Th. bedarf bei	$0^\circ$	442,9 Th.	$50^\circ$	45,5 Th.
	25	52,5 -	100	5,04 -

zur Lösung. Muir: Ch. News 33, 15.

**Ueberchlorsaures Thallium.  $\text{TlClO}_4$ .**

Zweigliedrig.  $a : b : c = 0,7978 : 1 : 0,6449$  Rosc  
 $p, r, c.$

	Beobachtet
$p : p =$	$^{*}102^{\circ} 50'$
$r : r =$	$^{*}102 \quad 6$

Prismatisch nach  $r$  und  $c$ .

Volumgewicht 4,844.

Löslich in 10 Th. Wasser von  $15^{\circ}$ . J. Ch. Soc. (2) 4, 1

**Ueberchlorsaurer Baryt.  $\text{BaCl}^2\text{O}^8 + 4\text{aq}$** 

Sechsgliedrig.  $a : c = 1 : 0,6623$  Marignac.  
 $d, d^2, p.$

	Berechnet	Beobachtet
$d \left\{ \begin{array}{l} 2A = \\ 2C = \end{array} \right.$	$144^{\circ} 38'$ $74 \quad 50$	
$d^2 \left\{ \begin{array}{l} 2A = \\ 2C = \end{array} \right.$	$130 \quad 32$ $113 \quad 36$	
$p : d =$		$^{*}127^{\circ} 25'$
$d^2 =$	$146 \quad 48$	$147 \quad 0$

Prismatisch nach  $p$ . — Krystalle aus Alkohol zeigen Wasser  $d^2$ .

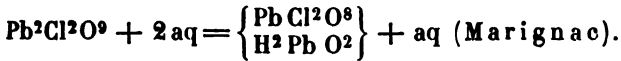
**Ueberchlorsaures Blei.****I. Normales.  $\text{PbCl}^2\text{O}^8$ .**

Zweigliedrig.  $a : b : c = 0,7668 : 1 : 1,0904$  Ramn  
 $s = a : \frac{1}{2}b : c.$

	Berechnet	Beobachtet
$o, \frac{o}{2}, 2p, a, b, c.$		
$o \left\{ \begin{array}{l} 2A = \\ 2B = \\ 2C = \end{array} \right.$	$92^{\circ} 16'$ $121 \quad 40$	$^{*}115^{\circ} 48'$ $122 \quad 50$
$\frac{o}{2} \left\{ \begin{array}{l} 2A = \\ 2B = \\ 2C = \end{array} \right.$	$132 \quad 6$ $116 \quad 2$ $83 \quad 42$	
$s \left\{ \begin{array}{l} 2A = \\ 2B = \\ 2C = \end{array} \right.$	$58 \quad 44$ $147 \quad 0$ $137 \quad 58$	$139 \quad 30$
$2p : 2p =$	$66 \quad 2$	
$b =$	$146 \quad 54$	$147 \quad 18$
$o : b =$	$122 \quad 6$	$122 \quad 20$
$c =$		$^{*}119 \quad 10$
$\frac{o}{2} : c =$	$138 \quad 9$	$136 \quad 42 \quad (137^{\circ})$
$o =$	$161 \quad 1$	$161 \quad 8$
$s : c =$	$111 \quad 1$	$111 \quad 15$

Die Messungen stimmen zum Theil nicht gut, auch fa  
 $91^{\circ} 30' - 45'.$

II. Basisches (Halb).



Zwei- und eingliedrig. Dimorph.

A.  $\alpha : b : c = 4,5483 : 4 : 4,9038$  Marignac.

$$o = 63^\circ 5'.$$

$$s' = \frac{1}{2}a' : b : c. - p, r', 2r', a, c.$$

	Berechnet	Beobachtet	
		Marignac	Rammelsberg
$p : p =$		$*74^\circ 50'$	$74^\circ 50'$
$a = 125^\circ 55'$			126 0
$a : c = 116 55$			
$r' : a = 131 4$			130 45
$c = 112 4$		112 40	112 50
$2r' : a = 156 3$			153 15
$c = 87 2$		87 7	85 40
$p : c =$		$*105 24$	
$r' =$		$*112 40$	
$2r' = 122 25$		122 30	
$s' : s' = 104 34$		104 32	
$c = 92 24$		92 25	
$2r' = 142 47$		142 44	

Die Combinationen  $p, c$  sind rhomboederähnlich. Die übrigen Flächen treten sehr untergeordnet hinzu;  $a$  wurde von mir beobachtet.

B.  $\alpha : b : c = 0,9965 : 4 : 0,6645$  Marignac.

$$o = 86^\circ 51'.$$

$$n' = a' : \frac{1}{2}b : c. - p, q, r, r'.$$

	Berechnet	Beobachtet
$p : p =$		$*90^\circ 47'$
$q : q =$		$*113 2$
$p = 114^\circ 50'$		114 50
$r : r' = 112 39$		112 50
$p : r = 114 32$		114 25
$r' =$		$*111 44$
$q : r = 134 30$		134 25
$r' = 133 24$		133 24
$n' : n' = 82 52$		83 0
$r' = 131 26$		131 48

Die fast rechtwinkligen Prismen  $p$  sind durch die  $q$  und  $r$  vierflächig zugespitzt, zu denen  $n'$  untergeordnet tritt.

Nach Marignac entstehen beide Formen aus der nämlichen Auflösung gleichzeitig, und lassen sich, wenn auch nicht nach Belieben, in einander verwandeln. Die A gaben beim Umkrystallisiren oft B, aber auch umgekehrt.



Die A sind durchsichtig und beständig; die B, anfangs stark g  
verlieren bald einen Theil des Glanzes und der Durchsichtigkeit u  
sich dann nicht mehr klar auf.

Merkwürdiger Weise habe ich noch eine dritte Form erhalten  
Zweigliedrig.  $a : b : c = 0,5614 : 1 : 0,6451$ .

$o, p, {}^2p, q^2, q^4, r, \frac{r}{2}, a, b, c$ .

	Berechnet	Beobachtet
$o \left\{ \begin{array}{l} 2A = \\ 2B = \\ 2C = \end{array} \right.$	$\begin{array}{l} 134^{\circ} 6' \\ 92 \quad 0 \\ 105 \quad 36 \end{array}$	
$p : p =$		$*121^{\circ} 22'$
$a =$	150 41	150 41
$b =$	119 49	118 30
${}^2p : {}^2p =$	83 22	
$a =$	131 41	
$b =$	138 49	137 30
$p =$	161 0	160 45
$q^2 : q^2 =$	75 34	
$c =$	127 47	127 50
$b =$	142 43	142 5
$q^4 : q^4 =$	42 22	
$c =$	111 11	110 40
$b =$	158 49	
$r : r =$	82 4	82 5
$c =$	131 2	130 52
$a =$		$*138 \quad 58$
$\frac{r}{2} : \frac{r}{2} =$	120 44	
$c =$	150 7	150 20
$r =$	160 55	164 5
$o : c =$	127 42	126 45
$p =$	142 48	143 24

Kleine durchsichtige glänzende Krystalle, prismatisch nach  
denen die  $q$  gekrümmt und unvollzählig.

Es ist jedoch ihre Zusammensetzung noch zu untersuchen.

#### Ueberchlorsaures Blei-Kali.

Die Formel  $KClO^4 + 7(Pb^2Cl^2O^9 + 3aq)$  wird von Marig  
nicht sicher betrachtet.

Zweigliedrig.  $a : b : c = 0,7706 : 1 : 0,9605$  Marignac.

$o, \frac{o}{2}, p, q^2, b, c$ .

	Berechnet	Beobachtet
$o \left\{ \begin{array}{l} 2A = \\ 2B = \\ 2C = \end{array} \right.$	$\begin{array}{l} 118^{\circ} 0' \\ 96 \quad 4 \\ 115 \quad 48 \end{array}$	$\begin{array}{l} 118^{\circ} 10' \\ 96 \quad 45 \end{array}$

	Berechnet	Beobachtet
$\frac{o}{2} \left\{ \begin{array}{l} 2A = 135^{\circ} 40' \\ 2B = 121 \quad 20 \\ 2C = 76 \quad 24 \end{array} \right.$		$136^{\circ} 0'$
$p : p =$		$*104 \quad 46$
$q^2 : q^2 =$		$*55 \quad 0$
$o : b = 121 \quad 0$		$121 \quad 4$
$c = 122 \quad 26$		$122 \quad 28$
$\frac{o}{2} : c = 144 \quad 48$		$144 \quad 52$

Sehr kleine, aber scharfe und glänzende Krystalle.

Marignac hält sie für isomorph mit  $\text{KClO}_4$ . Ihr K-Gehalt bleibt beim Umkrystallisiren derselbe.

## Bromsaure Salze.

(Bromate).

### Bromsaures Kali. $\text{KBrO}_3$ .

Sechsgliedrig.  $a : c = 1 : 1,3542$  Marignac.

$r$ ;  $\frac{r'}{2}$ ;  $a$ ;  $c$ .

	Berechnet	Beobachtet	
		Marignac	Rammelsberg
$r (2A) =$		$*86^{\circ} 48'$	$85^{\circ} 30'$
$\frac{r}{2} (2A) = 115^{\circ} 32'$		$115 \quad 22$	
$c : r = 122 \quad 36$		$122 \quad 46$	
$\frac{r'}{2} = 141 \quad 59$		$141 \quad 46$	
$r : \frac{r'}{2} = 133 \quad 9$		$133 \quad 10$	$133 \quad 0$
$a = 136 \quad 51$		$136 \quad 45$	

Aus reiner oder salpetersaurer Lösung erhielt Marignac nur  $r$ , aus einer Bromkalium enthaltenden hemimorphe Formen, am einen Ende  $r$ , am anderen  $\frac{r'}{2}$  und  $c$  und eine Fläche von  $r$  zeigend, nach welcher sie tafelförmig sind.

Volumgewicht. — 3,274 Kremers. 3,323 Clarke. 3,248 Topsøe.

Löslichkeit. — 1 Th. löst sich in 17,45 Th. Wasser von  $17^{\circ},4$ . Pohl.

1 Th. erfordert bei  $0^{\circ} 32,43$  bei  $60^{\circ} 4,39$

20 14,44 80 2,95

40 7,55 100 2,04 Th. Wasser. Kremers.



Siedepunkt der gesättigten L.  $102^{\circ}$ .

Brechungsverhältnisse Gladstone: J. Ch. Soc. (2) 8, 101.

### Bromsaures Natron. $\text{NaBrO}^3$ .

Regulär-tetartoedrisch.

Ich beobachtete Combinationen vom Oktaeder, Granatoeder und W in der unteren Hälfte bei Ausdehnung der Würfelfläche, mit welcher aufgewachsen sind, sehr verkürzt.

Oder beide Tetraeder und zwischen ihnen das Trapezoidtetraeder

$a : a : 2a$ .	Berechnet	Beobachtet
$o^r : t = 164^{\circ} 12'$		$163-164^{\circ}$
$o^l : t = 125 \ 16$		$125-125\frac{1}{2}^{\circ}$

Marbach beschrieb auch Oktaeder d. h. beide Tetraeder im Gewicht mit Würfelflächen.

Beide Tetraeder sind gleich glänzend.

Marbach erhielt künstlich auch Pyritoederflächen, und zwar an den Ecken des herrschenden Tetraeders bald das rechte bald das P. auf.

Circularpolarisation. Marbach fand Krystalle, die er als r und linksgewendete betrachtet, optisch gleich.

Derselbe untersuchte das Verhalten der Krystalle in einer Auflösung von chlorsaurem Natron. Vgl. letzteres. — Rammelsberg: Po 52, 85.

Volumgewicht. — 3,339 Kremers.

Löslichkeit. — 4 Th. löst sich

bei $0^{\circ}$ in 3,63 Th.	bei $60^{\circ}$ in 4,60
20 2,61	80 4,32
40 4,99	100 4,4 Th. Wasser. Kremer

### Bromsaures Natron-Bromnatrium.

$(2 \text{NaBrO}^3 + \text{NaBr}) + 2\text{aq}$ . Marignac.

Zwei- und eingliedrig.  $a : b : c = 1,2715 : 1 : 0,9094$  Marignac  
 $o', p, p^3, a, b, c.$   $o = 80^{\circ} 44'.$

	Berechnet	Beobachtet.
		Marignac Kokscharow*).
$o' : o' =$		$103^{\circ} 20'$
$p : p =$		$77 \ 6 \quad 77^{\circ} 12'$
$a = 128^{\circ} 36'$		$128 \ 33$

\*) Die Messungen Kokscharow's beziehen sich auf ein Salz, welches Fritzsche =  $(3 \text{NaBrO}^3 + 2 \text{NaBr}) + 3 \text{aq}$  wäre.

Berechnet	Beobachtet	
	Marignac	Kokscharow
$p : c = 95^{\circ} 47'$	$95^{\circ} 45'$	$95^{\circ} 44'$
$p^3 : p^3 = 134 \ 36$		
$a = 157 \ 48$	157 0	
$a : c = 99 \ 15$		99 17
$o' : a = 112 \ 28$	112 24	
$b = 128 \ 46$	128 20	
$p =$	+136 20	136 44

Meist feine Nadeln.

Häufig Zwillinge nach  $a$ . An der durch die  $o'$  gebildeten Endigung ist

$$o' : o' = \begin{cases} 135^{\circ} 2' & 135^{\circ} 10' \\ 93 \ 33 & 93 \ 24 \end{cases}$$

Marignac: Ann. Min. (5) 12. — Kokscharow: Ann. Ch. Pharm. 04, 186.

### Bromsaures Silber. $\text{AgBrO}_3$ .

Viergliedrig.  $a : c = 1 : 0,943$  Marignac.

$\frac{o}{2}$ ,  $d$ ,  $p$ ,  $a$ ,  $c$ .

$v = a : \frac{1}{2}a : c$	Berechnet	Beobachtet
$\frac{o}{2} \left\{ \begin{array}{l} 2A = 133^{\circ} 50' \\ 2C = 67 \ 22 \end{array} \right.$		
$d \left\{ \begin{array}{l} 2A = 121 \ 58 \\ 2C = 86 \ 38 \end{array} \right.$		
$v \left\{ \begin{array}{l} 2X = 132 \ 20 \\ 2Y = \\ 2Z = 129 \ 15 \end{array} \right.$		$132^{\circ} 30'$
$\frac{o}{2} : p = 123 \ 41$		123 38
$d : a =$		+133 49
$c = 136 \ 41$		136 40
$p = 119 \ 1$		119 1
$v : a = 143 \ 55$		143 5
$p = 149 \ 0$		149 2

Fig. 59.

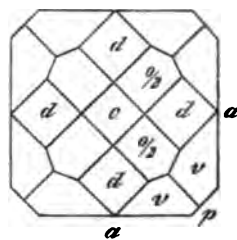


Fig. 59.

Kleine opake glänzende Krystalle. — Isomorph dem  $\text{AgClO}_3$ .

Volumgewicht 5,498—5,215 Clarke.

### Bromsaures Blei. $\text{PbBr}_2\text{O}_6 + \text{aq.}$

Isomorph dem chlorsauren Blei. — Genauere Messungen fehlen.

### Bromsaurer Baryt. $\text{BaBr}_2\text{O}_6 + \text{aq.}$

Zwei- und eingliedrig.  $a : b : c = 1,1486 : 1 : 1,2136$  Marignac.  
 $o = 86^{\circ} 58'$ .

$\frac{o}{2}, \frac{o'}{2}, p, q, r, r', a, b, c.$

	Berechnet	Beobachtet	
		Marignac	Rammels
$\frac{o}{2} : \frac{o}{2} =$	124° 40'	124° 36'	
$\frac{o'}{2} : \frac{o'}{2} =$	122 34		
$\frac{o}{2} : \frac{o'}{2} =$	131 24		
$\frac{o}{2} : \frac{o'}{2} =$	77 34		
$p : p =$		*82 10	82° 20'
$b =$	138 55	138 50	
$c =$	91 59	92 15	
$q : q =$	79 4	79 0	78 30
$b =$	140 28	140 30	
$a : c =$	93 2	93 10	
$c : r =$	138 1	138 6	
$r' =$	131 59		
$a : r' =$	135 9	135 0	
$p : q =$	$\begin{cases} 124 & 0 \\ 127 & 7 \end{cases}$	$\begin{cases} 123 & 56 \\ 127 & 0 \end{cases}$	
$p : r =$		*119 14	
$r' =$	117 46	118 2	
$q : r =$		*116 46	
$r' =$	115 7	114 40	
$\frac{o}{2} : b =$	117 40	117 20	
$c =$	112 0	112 15	
$\frac{o'}{2} : b =$	118 43	117 42	

Sehr kleine flächenreiche glänzende Krystalle. — Isomorph sauren Baryt.

Volumgewicht des wasserfreien 4,039 Clarke.

**Bromsaurer Strontian.**  $\text{SrBr}^2\text{O}^6 + \text{aq.}$

Zwei- und eingliedrig.  $a : b : c = 1,1642 : 1 : 1,2292$  Ram m  
 $o = 89^\circ 0'.$

$p, q, r, a, b, c.$	Berechnet	Beobachtet
$p : p =$		*81° 20'
$a =$	130° 40'	130 30
$q : q =$		*78 15
$a : c =$		*91 0
$r : a =$	137 2	
$c =$	133 58	

Pogg. A. 52, 84. 90, 18. — Isomorph dem Barytsalz.

**Bromsaurer Kalk.**  $\text{Ca Br}^2\text{O}^6 + \text{aq.}$ 

Zwei- und eingliedrig.  $a : b : c = 1,2046 : 1 : 1,0839$  Marignac.  
 $\alpha = 82^\circ 6'$ .

$o, o', p, p^2, \frac{q}{2}, r', {}^3r, b.$

$s = a : \frac{1}{2}b : c.$

$s' = a' : \frac{1}{2}b' : c.$  Berechnet

Beobachtet

$o : o =$

$*106^\circ 22'$

$o' : o' =$

$*98 \ 41$

$o : o' =$

$*117 \ 4$

$o : o' = 109^\circ 4'$

$s : s = 67 \ 30$

$s' : s' = 60 \ 24$

$s : s' = 138 \ 27$

$s : s' = 133 \ 32$

$p : p = 79 \ 86$

80 0

$b = 140 \ 2$

140 0

$p^2 : p^2 = 118 \ 22$

118 20

$b = 120 \ 49$

120 50

$\frac{q}{2} : \frac{q}{2} = 123 \ 32$

123 37

${}^3r : r' = 71 \ 40$

71 40

$o' : b = 130 \ 40$

130 40

$s : b = 146 \ 45$

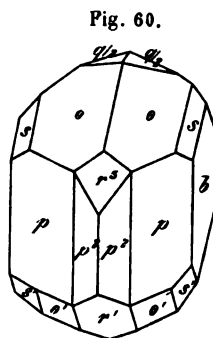
146 40

$s' : b = 149 \ 48$

149 53

Fig. 60.

Isomorph den vorigen.



**Bromsaure Magnesia.**  $\text{Mg Br}^2\text{O}^6 + 6 \text{aq.}$

**Bromsaurer Nickel.**  $\text{Ni Br}^2\text{O}^6 + 6 \text{aq.}$

**Bromsaurer Kobalt.**  $\text{Co Br}^2\text{O}^6 + 6 \text{aq.}$

**Bromsaurer Zink.**  $\text{Zn Br}^2\text{O}^6 + 6 \text{aq.}$

**Bromsaurer Kupfer.**  $\text{Cu Br}^2\text{O}^6 + 6 \text{aq.}$

Regulär. Oktaeder.

Das Nickel- und Kobaltsalz wirken stark auf das polarisirte Licht, gleichsam als ob Lamellen einer doppelbrechenden Substanz eingemengt sind, welche die Circulärpolarisation, falls solche vorhanden ist, verdecken.

Marbach: Pogg. A. 94, 414. 99, 465.

Volumgewicht des Kupfersalzes 2,583. Topsøe.

**Bromsaurer Didym.**  $\text{Di}^2\text{Br}^6\text{O}^{15} + 18 \text{aq.}$

Sechsgliedrig.  $a : c = 1 : 0,573$  Marignac.

$d, p.$ 

	Berechnet	Beobachtet
$d \begin{cases} 2A = 147^\circ 58' \\ 2C = 67 \quad 6 \end{cases}$		$148^\circ 2'$
$d : p =$		$*123 \quad 30$

Rosenrothe stark glänzende Prismen mit selten deutlichen  $d$ -Spaltbar nach  $p$ . Optisch einaxig.

Auch das Lanthansalz bildet sechsseitige Prismen.—Ann. M

### Bromsaures Kadmium.

#### I. $\text{CdBr}^2\text{O}^6 + \text{aq.}$

Zwei- und eingliedrig.  $a : b : c = 1,095 : 1 : 0,7298$  Ramme  
 $\alpha = 76^\circ 32'.$

 $p, q, r, r', a.$  $s' = a' : \frac{1}{2}b : c.$ 

	Berechnet	Beobachtet
$p : p =$	$86^\circ 24'$	$86^\circ 40'$
$a =$		$*133 \quad 12$
$q : q =$	$109 \quad 16$	$109 \quad 30$
$p =$	$106 \quad 58$	$106 \quad 45$
$r : p =$		$*117 \quad 42$
$q =$		$*135 \quad 20$
$s' : s' =$	$73 \quad 44$	
$p =$	$138 \quad 38$	$138 \quad 35$
$q =$	$148 \quad 20$	$148 \quad 17$

Fig. 64.

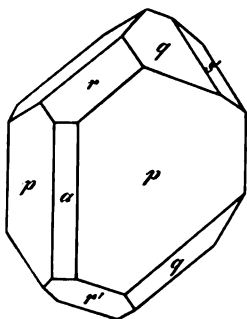


Fig. 62.

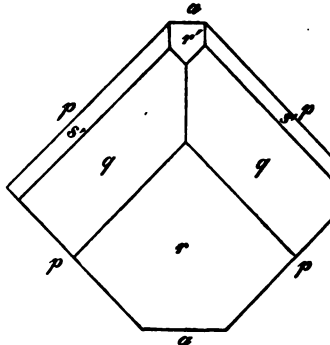


Fig. 64, 62. Prismen  $p$ . Oft nach der Zone  $p, q, r, s$  v Zwillinge nach  $r$ .

#### II. $\text{CdBr}^2\text{O}^6 + 2\text{aq.}$

Zweigliedrig.  $a : b : c = 0,9884 : 1 : 0,7392$  Topsøe

$s = a : 2b : c.$

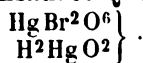
$v = \frac{1}{2}a : b : c.$

		Berechnet	Beobachtet
$p, p^2, \frac{1}{2}p, q, q^2, r, b, c.$			
o	$\infty A$	$= 118^\circ 44'$	
	$\infty B$	$= 117 \quad 58$	
	$\infty C$	$= 92 \quad 52$	
$p^-$	$= p$	$= 90 \quad 40$	
	$b$	$= 134 \quad 40$	$134^\circ 40'$
$q$	$= q$	$= 107 \quad 4$	$106 \quad 59$
	$b$	$= 126 \quad 28$	$126 \quad 34$
	$c$	$= 143 \quad 32$	$143 \quad 29$
$r$	$= r$		$*106 \quad 25$
	$c$	$= 143 \quad 12$	$143 \quad 19$
o	$= b$	$= 120 \quad 38$	$120 \quad 55$
	$c$	$= 133 \quad 34$	$133 \quad 38$
	$p$	$= 136 \quad 26$	$136 \quad 36$
$p$	$= q$	$= 148 \quad 59$	$149 \quad 15$
	$r$	$= 149 \quad 22$	$149 \quad 24$
	$q$	$= 144 \quad 42$	$144 \quad 47$
$q$	$= r$	$= 145 \quad 13$	$145 \quad 20$
	$r$	$= 130 \quad 5$	$130 \quad 6$
	$s$		
s	$\infty A$	$= 117 \quad 2$	
	$\infty B$	$= 109 \quad 54$	
	$\infty C$	$= 79 \quad 40$	
$p^2$	$= p^2$		$*52 \quad 36$
	$b$	$= 116 \quad 18$	$116 \quad 23$
$s$	$= b$	$= 106 \quad 29$	$106 \quad 50$
	$c$	$= 140 \quad 10$	$140 \quad 15$
	$p^2$	$= 129 \quad 50$	$129 \quad 37$
v	$\infty A$	$= 134 \quad 52$	$133 \quad 14$
	$\infty B$	$= 78 \quad 32$	
	$\infty C$	$= 118 \quad 8$	
v	$= b$	$= 112 \quad 34$	$112 \quad 14$
	$c$	$= 120 \quad 56$	$121 \quad 12$
	$p^2$	$= 149 \quad 4$	$149 \quad 5$
$q^2$	$= o$	$= 160 \quad 45$	$160 \quad 46$
	$q$	$= 129 \quad 44$	$129 \quad 35$
	$q^2$	$= 68 \quad 10$	
$\frac{1}{2}p$	$= b$	$= 145 \quad 55$	$145 \quad 49$
	$= \frac{1}{2}p$	$= 68 \quad 0$	
	$b$	$= 146 \quad 0$	$146 \quad 0$

Fig. 63, 64.

Volumgewicht 3,758. — Topsöe:  
Wien. Ak. Ber. 66.

### Basisch bromsaures Quecksilberoxyd.



Zweigliedrig.  $a : b : c = 0,7997 : 4 : 0,6278$  Topsöe.

Fig. 63.

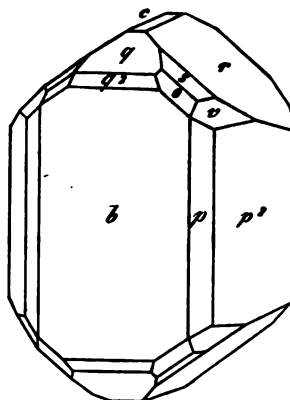
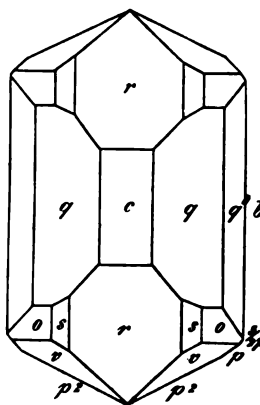


Fig. 64.



$o, p, r, \frac{r}{2}, a, b.$		Berechnet	Beobachtet
$o$	$\left\{ \begin{array}{l} 2A = \\ 2B = \\ 2C = \end{array} \right.$	$\left\{ \begin{array}{l} 127^{\circ} 26' \\ 112 \ 46 \\ 90 \ 48 \end{array} \right.$	
	$p : p =$		$102^{\circ} 42'$
	$a =$	$141 \ 21$	$141 \ 24$
$r$	$r : r =$	$103 \ 44$	$103 \ 24$
	$a =$		$128 \ 8$
$\frac{r}{2}$	$\frac{r}{2} : \frac{r}{2} =$	$137 \ 8$	
	$a =$	$111 \ 26$	$111 \ 49$

Isomorph dem Chlorat.

Volumgewicht 5,815.

## Jodsaure und überjodsaure Salz

### Jodsaure Salze (Jodate).

#### Jodsaures Ammoniak. $\text{AmJO}^3$ .

Viergliedrig.  $a : c = 1 : 1,014$  Marignac.

$o, o^2, d, d^2, p, a, c.$

	Berechnet	Beobachtet	Berechnet	Beobachtet
$o$	$2A = 109^{\circ} 6'$	$109^{\circ} 9'$	$o : a = 125^{\circ} 27'$	$125^{\circ} 2$
	$2C = 140 \ 12$		$c =$	$124 \ 5$
$o^2$	$2A = 96 \ 44$	$96 \ 9$	$o^2 : a = 131 \ 53$	$131 \ 5$
	$2C = 141 \ 32$		$c = 109 \ 14$	$109$
$d$	$2A = 149 \ 32$		$d : c = 134 \ 36$	$134 \ 3$
	$2C = 90 \ 48$		$d^2 : c = 116 \ 45$	$116$
$d^2$	$2A = 101 \ 16$			
	$2C = 127 \ 30$			

Meist nur Prismen  $a, c$ , seltener  $p$ , und die stets sehr untergeord. Oktaeder.

Nach Marbach wirken sie auf das polarisirte Licht. Sie v. früher für regulär gehalten.

Isomorph  $\text{AgClO}^3$  und  $\text{AgBrO}^3$ . Geometrisch isomorph den reg.  $\text{RClO}^3$ ,  $\text{RBrO}^3$  und  $\text{RJO}^3$ .

Volumgewicht 3,337 Clarke.

#### Jodsaures Kali.

##### 1) Normales. $\text{KJO}^3$ .

Regulär. Würfel mit dem Granatoeder. Marignac.

Volumgewicht 3,979 Kremers.



Löslichkeit. — 1 Th. erfordert

bei 0°,5	49,02 Th.	bei 45°,8	5,95 Th.
- 9,4	44,85 -	- 69,2	3,67 -
- 22,2	40,97 -		

nach späteren Versuchen

bei 0°	24,44 Th.	bei 60°	5,40 Th.
- 20	42,29 -	- 80	4,02 -
- 40	7,76 -	- 100	3,40 -

Die gesättigte L. siedet bei 102°. Kremers.



Ich beschrieb zwei- und eingliedrige Krystalle. Dieselben beobachtete auch Schabus, welcher ausserdem eine zweigliedrige Form nach-  
1. Endlich fand Marignac noch eine dritte, zwei- und eingliedrige  
2. Das Salz ist also trimorph.

A. Zweigliedrig.  $a : b : c = 0,8744 : 1 : 1,4445$  Schabus.

$o, o\frac{1}{2}, o^2, p, r, \frac{r}{2}, a, b, c.$

Berechnet		Beobachtet	
		Schabus	Marignac
$o$	$2A = 141^\circ 4'$		$110^\circ 33'$
	$2B = 99 \quad 0$		$98 \quad 34$
	$2C = 118 \quad 58$		
$o\frac{1}{2}$	$2A = 124 \quad 2$		$119 \quad 50$
	$2B = 111 \quad 44$		$110 \quad 32$
	$2C = 97 \quad 2$		
$o^2$	$2A = 104 \quad 54$		$102 \quad 0$
	$2B = 87 \quad 22$		$86 \quad 10$
	$2C = 147 \quad 10$		
$p : p =$		$97^\circ 56'$	$97 \quad 50$
$b = 131 \quad 2$			$131 \quad 5$
$r : r = 76 \quad 2$			
$c = 128 \quad 1$		$128 \quad 5$	$127 \quad 23$
$\frac{r}{2} : \frac{r}{2} = 144 \quad 48$			
$c = 147 \quad 24$		$147 \quad 20$	$146 \quad 37$
$o : a$	$= 130 \quad 30$		$130 \quad 30$
	$b = 124 \quad 28$		$124 \quad 38$
	$c = 120 \quad 31$	$120 \quad 30$	$119 \quad 30 - 120^\circ 30'$
$o\frac{1}{2} : a$	$= 124 \quad 23$		$124 \quad 43$
	$b = 119 \quad 29$		$119 \quad 28$
	$c =$	$*131 \quad 29$	$130 \quad 30 - 131^\circ 30'$
$o^2 : a = 136 \quad 19$			

<sup>\*</sup> Von Marignac und auch von mir gefunden.

Berechnet	Beobachtet
$o^2 : b = 129^\circ 3'$	Marignac 128° 54'
$c = 106 \ 25$	105—107°

Fig. 65.

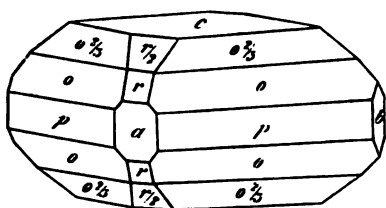


Fig. 65. Dick tafelartig nach

Die  $r$ ,  $\frac{r}{2}$  und  $o\frac{1}{2}$  treten zurück  
wurde von Marignac bemerkt.

Die Krystalle sind klein, aber  
und stark glänzend. Unvollkon-  
spaltbar nach  $c$ .

B. Zwei- und eingliedrig.  $a:b:c = 1.44916 : 1 : 2.6225$  Marig  
 $o = 88^\circ 4'$ .

$o, o', \frac{o}{3}, \frac{o'}{4}, \frac{o'}{5}, p^2, q, \frac{q}{2}, \frac{q}{3}, \frac{q}{6}, \frac{q}{8}, \frac{r'}{2}, a, c.$

$n = a : 2b : c; \frac{n}{6} = a : 2b : \frac{1}{6}c.$

Berechnet	Marignac	Beobachtet	Schab
$o : o = 87^\circ 48'$	87° 40'		
$o' : o' = 86 \ 24$			
$o : o' = 101 \ 44$			
$o : o' = 147 \ 55$			147° 30
$p^2 : p^2 = 120 \ 16$			
$a = 150 \ 8$	150 \ 5		149 \ 50
$c = 91 \ 44$	91 \ 50		
$q : q = 44 \ 46$			
$c = 110 \ 53$	110 \ 50	111° 15'	
$a = 90 \ 44$	91 \ 5		
$\frac{q}{2} : \frac{q}{2} = 74 \ 42$			
$c = 127 \ 21$	127 \ 30	127 \ 47	129 \ 0
$q = 163 \ 32$		163 \ 30	
$a = 91 \ 10$	91 \ 15		
$\frac{q}{4} : \frac{q}{4} = 113 \ 32$			
$c = 146 \ 46$	146 \ 40	147 \ 0	
$\frac{q}{2} = 160 \ 35$		160 \ 50	
$a = 91 \ 37$	91 \ 40		
$\frac{q}{5} : \frac{q}{5} = 124 \ 40$			
$c = 152 \ 20$	150—153°		
$a = 91 \ 43$	91 \ 30'		

Berechnet	Beobachtet		
	Marignac	Rammelsberg	Schabus
$\frac{q}{6} : \frac{q}{6} = 132^{\circ} 48'$			
$c = 156 \ 24$	156° 30'		
$a = 91 \ 46$			
$\frac{q}{8} : \frac{q}{8} = 143 \ 44$			
$c = 161 \ 52$	159—162°		
$a : c = 91 \ 56$	92 0'	90°	92° 44'
$\frac{r}{2} : c = 130 \ 7$			130
$p^2 : \frac{q}{2} = 114 \ 26$	114 35		
$o : a = 129 \ 33$	129 40	129 30	129 20
$c =$	107 43		108
$p^2 = 155 \ 38$	155 30		
$\frac{q}{2} = 138 \ 48$		138 44	
$o' : a = 128 \ 43$	128 36		128 9
$c = 104 \ 52$			
$\frac{o}{3} : \frac{o}{3} = 111 \ 14$			
$a = 120 \ 54$	121 3		
$c = 131 \ 31$	131 25	132 12	
$o = 155 \ 42$		155 25	
$\frac{o'}{4} : \frac{o'}{4} = 120 \ 30$			
$a = 114 \ 12$	114 0		
$c = 138 \ 28$	138 50		
$\frac{o'}{5} : \frac{o'}{5} = 129 \ 6$			
$a = 110 \ 33$	110 50		
$c = 144 \ 47$	144 37		
$n : n = 125 \ 6$			
$a = 114 \ 34$		114	
$c = 112 \ 15$		110 20	
$\frac{n}{6} : \frac{n}{6} = 157 \ 10$			
$a = 112 \ 2$			
$c = 156 \ 36$	156 45		
en Zwillingen:			
$a : a =$	133 20		130
$c : c =$	129 28		

Stets Zwillinge. a; Zwillingfläche ist die (nicht beobachtete) rechte r.

Fig. 66. Aneinanderwachsung, wobei je zwei o in eine Ebene fallen.

Oder Durchkreuzung, Fig. 67. b) Zwillingsfläche ist c. Fig. 68, rere Fall.  $n$  wurde von mir, und  $\frac{r'}{2}$  von Schabus beobachtet.

Spaltbar sehr vollkommen nach  $c$ , welches Perlmutterglanz ze

Fig. 66.

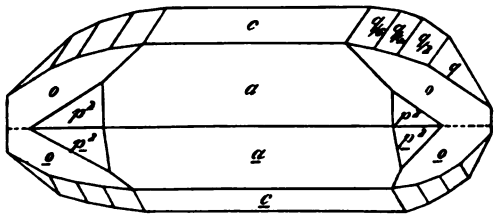


Fig. 67.

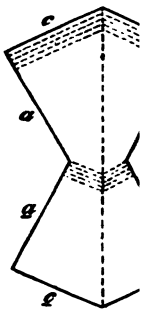
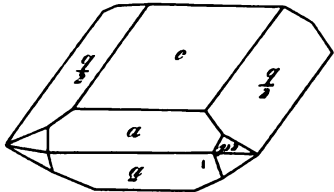


Fig. 68.



C. Zwei- und eingliedrig.  $a:b:c=0,8565:4:4,2948$  M  
 $\alpha = 84^{\circ} 46'$ .

$o, o\frac{1}{4}, o\frac{2}{3}, p, q, q^2, r, r', \frac{r}{2}, \frac{r'}{2}, c.$

	Berechnet	Beobachtet
$o : o$	$= 113^{\circ} 2'$	
$p : p$	$=$	$99^{\circ} 30'$
$c$	$=$	$96 40$
$q : q$	$= 76 0$	
$c$	$= 128 0$	$128 20$
$q^2 : q^2$	$= 42 40$	
$c$	$= 114 20$	$111 0$
$c : r$	$= 129 27$	$129 40$
$r'$	$= 117 47$	$117 25$
$\frac{r}{2}$	$= 146 40$	$145 - 148^{\circ}$
$\frac{r'}{2}$	$= 139 51$	$140 20$
$p : q$	$\left\{ \begin{array}{l} = 115 52 \\ = 125 30 \end{array} \right.$	$\left\{ \begin{array}{l} 115 46 \\ 125 15 \end{array} \right.$
$r$	$= 131 4$	$131 8$
$r'$	$= 128 7$	$128 - 129$
$q : r$	$= 113 2$	$112 51$
$\frac{r}{2}$	$= 120 46$	
$\frac{r'}{2}$	$= 118 4$	$118 - 120$

	Berechnet	Beobachtet
$o : c$		$122^{\circ} 0'$
$p$	$= 154^{\circ} 40'$	
$r$	$= 146 31$	$146 10 - 40'$
$o\frac{1}{2} : o\frac{1}{2}$	$= 118 46$	$118 35$
$c$	$= 128 27$	$128 20 - 130^{\circ}$
$o\frac{1}{2} : o\frac{1}{2}$	$= 121 30$	$122 30$
$c$	$= 123 17$	$130 - 132^{\circ}$

Ausserdem noch, wie es scheint,  $r\frac{1}{2}$ ,  $r\frac{2}{3}$ ,  $r\frac{1}{3}$  und  $\frac{2}{3}r'$ . Aber die Kleinheit der Krystalle und ihre Verwachsung erschweren genaue Messungen.

Trotz einzelner Uebereinstimmungen lässt sich diese Form nicht auf B. zurückführen.

Es sind sehr kleine und dünne Blättchen nach  $c$ , mit sehr schmalen Randflächen, unter denen  $q$  und  $r$  hervortreten, die das rechtwinklig vierseitige Ansehen der Tafeln bedingen.

Nach Marignac bilden sich die zweigliedrigen Krystalle besonders in Lösungen, die etwas  $KJO^3$  enthalten. Die Form B. ist die gewöhnliche, aus schwach sauren Flüssigkeiten. C. entsteht öfters neben jenen beiden und pflegt zuerst anzuschliessen, löst sich aber später wieder auf, und verwandelt sich in B. Uebrigens fand Marignac alle drei Formen nebeneinander.



Eingliedrig.	Beobachtet	Rammelsberg.
$p : p' = 124^{\circ} 30'$		$c : p = 107^{\circ} 40'$
$b = 115 9$		$p' = 115 23$
$p' : b = 120 48$		$o : p = 130 18$
$b : c = 80 50$		

Fast dieselben Werthe fand Marignac.

#### Jodsaures Natron. $NaJO^3 + 5aq.$

Zweigliedrig.  $a : b : c = 0,9534 : 1 : 0,6607$ . Rammelsberg.

$o, p, q, a, b.$	Berechnet	Beobachtet
$o \left\{ \begin{array}{l} 2A \\ 2B \\ 2C \end{array} \right.$	$\begin{array}{l} = 123^{\circ} 0' \\ = 119 56 \\ = 87 30 \end{array}$	
$p : p =$		$92^{\circ} 45'$
$a =$	$136 22$	$136 25$
$b =$	$133 38$	$133 28$
$q : q =$	$113 6$	$113 25$
$b =$	$123 27$	$123 12$
$o : p =$		$133 45$

\* Soll wohl  $120-123^{\circ}$  heissen.

Prismatisch nach  $p$ , herrschend  $a$  und  $b$ .

Die farblosen durchsichtigen bei niederer Temperatur gebildeten Krystalle verwandeln sich schnell in feine Nadeln  $\text{NaJO}^3 + \text{aq.}$  — Pogg. A. 90, 4: Volumgewicht von  $\text{NaJO}^3 = 4,277$  Kremers.

Löslichkeit. — 1 Th. wasserfreies Salz löst sich

bei  $0^\circ$  in 39,75 Th. bei  $60^\circ$  in 4,79 Th.

- 20 - 11,03 - - 80 - 3,61 -

- 40 - 6,95 - - 100 - 2,95 - Wasser. Kremer

#### Jodsaures Silber. $\text{AgJO}^3$ .

Aus der Lösung in Ammoniak scheidet es sich in sehr kleinen rechteckig vierseitigen Tafeln mit Randzuschärfung ab, die nicht messbar sind. Die Tafelfläche macht mit der nicht gestreiften Zuschärfungsfläche etwa  $127\frac{1}{2}^\circ$ . Marignac.

Ist es viergliedrig oder zwei- und eingliedrig?

Volumgewicht des krystallisirten 5,402 Clarke (bei  $16^\circ, 5$ , Wasser bei  $4^\circ = 1$ ).

#### Jodsaurer Baryt. $\text{BaJ}^2\text{O}^6 + \text{aq.}$

Zweigliedrig. — Von der Form des chlor- und bromsauren Baryt doch sind die sehr kleinen Krystalle nicht genau messbar. Marignac fand:

$$p : p = 84^\circ 40' - 82^\circ 30'$$

$$q : q = 76 - 80^\circ$$

$$p : q = 127^\circ 10' - 50'$$

$$p : r = 119^\circ 40' - 50'$$

$$q : r = 114^\circ 40' - 116^\circ 30'$$

Löslichkeit. — 1 Th. wasserfreies Salz löst sich bei  $13^\circ, 5$  in 3048 Th., bei  $100^\circ$  in 684 Th. Wasser. Kremers.

Volumgewicht des wasserfreien = 5,218 — 5,285. Clarke.

#### Jodsaurer Kalk. $\text{CaJ}^2\text{O}^6 + 6\text{aq.}^*$

Zweigliedrig.  $a : b : c = 0,4357 : 1 : 0,5234$  Sénarmont.

$o, o^3, p, q^3, q^4, b, c$ .

	Berechnet	Beobachtet	Berechnet	Beobachtet
$o$	$2A = 143^\circ 0'$	$142^\circ 58'$	$q^3 : q^3 = 65^\circ 0'$	
	$2B = 86 28$		$c = 122 30$	$122^\circ 29'$
	$2C = 105 46$		$q^4 : q^4 = 51 6$	
			$c = 115 33$	$115 30$
$o^3$	$2A = 134 26$		$o : c =$	$127 22$
	$2B = 125 20$		$o^3 : c = 104 17$	$104 20$
	$2C = 154 26$			
	$p : p =$	$132 55$		

Marignac erhielt dieselben Resultate. — Sénarmont: Mitthlg.

\*. Krystalle aus salpetersaurer Lösung nach Marignac. In dem gefallten krystallinischen Salz fand ich 5 aq.

**Jodsaure Magnesia.**  $\text{MgJ}^2\text{O}^6 + 4\text{aq.}$ 

Zwei- und eingliedrig.  $a : b : c = 1,249 : 1 : 1,265$  Marignac.  
 $\alpha = 79^\circ 20'.$

$\alpha, \alpha', p, \frac{r}{2}, a, c.$

	Berechnet	Beobachtet
$\alpha : \alpha =$	$102^\circ 30'$	$102^\circ - 104^\circ$
$\alpha' : \alpha' =$	91 54	91 — 92
$\alpha : \alpha' =$	113 20	
$\alpha : \alpha' =$	116 15	
$p : p =$		$78^\circ 20'$
$c =$	96 43	
$a : c =$		$100^\circ 40'$
$a : \frac{r}{2} =$	125 8	
$c : \frac{r}{2} =$		$155^\circ 32'$
$\alpha : a =$	127 5	$126\frac{1}{2} - 127\frac{1}{2}^\circ$
$c =$	126 43	$126 - 127$
$\alpha' : a =$	117 35	117 — 118
$c =$	117 2	116 — 118

Nur  $c$  und  $\frac{r}{2}$  sind eben,  $a$  ist vertical gestreift, die übrigen geben Doppelbilder,  $\alpha$  und  $\frac{r}{2}$  sind sehr klein, fehlen auch oft. Vollkommen spaltbar nach  $a$ . — Marignac: Ann. Min. (5) 12.

Volumgewicht. = 3,30 bei  $13^\circ,5$  Clarke.

**Jodsaures Kali-Chlorkalium.**

$\text{HKJ}^2\text{O}^6 + \text{KCl.}$  Marignac.

Zweigliedrig.  $a : b : c = 0,8713 : 1 : 0,7709$  Rammelsberg.

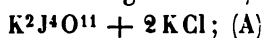
$v = 2a : b : c. - p, r, \frac{r}{2}, a, b, c.$

	Berechnet	Beobachtet
$v \left\{ \begin{array}{l} 2A = \\ 2B = \\ 2C = \end{array} \right.$	$\begin{array}{l} 109^\circ 38' \\ 141 24 \\ 83 16 \end{array}$	$141^\circ 45'$
$p : p =$	97 52	97 53
$a =$		$138^\circ 56'$
$b =$	134 4	131 34
$r : r =$	97 0	
$a =$		$130^\circ 30'$
$\frac{r}{2} : \frac{r}{2} =$	132 16	132 10
$c =$	156 8	156 18
$a =$	113 52	114 0
$r =$	162 22	162 26

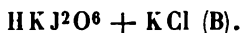
Kleine aber gut ausgebildete farblose durchsichtige Krystalle matisch nach  $p$  oder nach  $r$ , oft unsymmetrisch,  $v$  nicht immer  $v$

Marignac fand fast dieselben Werthe. Er macht auf die  $n$  einstimmung mit der zweigliedrigen Form von  $\text{HKJ}^2\text{O}^6$  aufmer  $a : b : c = 0,874 : 4 : 4,414$  ist, die Axen  $c$  also  $= 4 : 4,48$  d. l  $2 : 3$  sind.

Was die Zusammensetzung des Salzes betrifft, so hatte ich  $v$  wie früher Serullas, wasserfrei angenommen, d. h.



Marignac aber fand



Die Rechnung fordert für

	A.	B.
$\text{H}^2\text{O}$	—	1,94
$\text{K}^2\text{O}$	20,64	20,24
J	55,76	54,68
Cl	7,79	7,64

Ich fand 20,9 — 20,97  $\text{K}^2\text{O}$ , 54,0 — 56,7 J, 7,7 — 8,17 Cl  
nac fand 2,47 pCt. Wasser; seine Formel ist jedenfalls die wa  
lichere. — Marignac: Réch. p. 44. — Rammelsberg: Pogg.

**Jodsaures Natron-Jodnatrium.**  $(2\text{NaJO}^3 + 3\text{NaJ}) + 20$

Sechsgliedrig.  $a : c = 1 : 1,478$  Marignac.

$$r, r', \frac{5}{4}r, \frac{3}{2}r, \frac{3}{2}r', 2r, \frac{5}{2}r', 5r, \frac{3}{4}r, \frac{5}{8}r', p, c.$$

	Berechnet			
2A von $r(r')$	$\frac{5}{4}r,$	$\frac{3}{2}r, \frac{3}{2}r'$	$2r$	$\frac{5}{2}r'$
	$83^\circ 18'$	$76^\circ 44' \quad 72^\circ 30'$		$65^\circ 4' \quad 64^\circ 20' \quad 93^\circ 56'$
beobachtet	76 20		*67° 35'	

	Berechnet	Beobachtet	
		Marignac	Rammelsber
$c : \frac{5}{8}r' =$	133° 9'	132° 40'	
$\frac{3}{4}r =$	128 0	128 0	
$r =$	120 22	120 15	120° 30'
$\frac{5}{4}r =$	115 7	114 50	
$\frac{3}{2}r =$	111 22	111 30	
$2r =$	106 20	106 24	105 52
$\frac{5}{2}r' =$	103 12	103 0	
$\frac{5}{4}r =$	96 41	96 38	
$\frac{3}{4}r : \frac{5}{8}r' =$	128 22	128 9	
$r' : 2r =$	123 47	123 40	
$\frac{3}{4}r : r' =$	127 15	127 40	
$\frac{5}{4}r =$	113 35	113 30	



Dünn, tafelartig nach  $c$ . Unter den Rhomboedern sind  $r$  und  $r'$  am häufigsten und oft vorherrschend; dann folgt  $2r$ .

Auch aus meinen Versuchen folgt für dieses Doppelsalz die von Marignac gegebene Formel.

Früher schon hatte Mitscherlich auf demselben Wege sechsseitige Prismen mit Endfläche, optisch einaxig, erhalten, die aber  $(\text{NaJO}_3 + \text{NaJ}) + 10 \text{ aq.}$  waren — Marignac: Ann. Min. (5) 42. — Mitscherlich: Pogg. A. 44, 462, 47, 484. — Rammelsberg: Eb. 425, 447.

Jodsaures Natron-Bromnatrium. Ein Doppelsalz von der Formel  $(\text{NaJO}_3 + 2\text{NaBr}) + 9 \text{ aq.}$  nach meiner Analyse bildet sehr dünne, sechsseitige Blättchen. Berl. Ak. Ber. 1862, 437.

#### Jodsaures Natron-Chlornatrium.

$(2\text{NaJO}_3 + 3\text{NaCl}) + 9 \text{ aq.}$  Rammelsberg.

Eingliedrig.  $a : b : c = 4,4309 : 4 : 4,0436$  Rammelsberg.

$$A = 104^\circ 0' \quad \alpha = 102^\circ 57'$$

$$B = 100 \quad 36 \quad \beta = 99 \quad 9$$

$$C = 97 \quad 16 \quad \gamma = 94 \quad 56$$

$$o, o', o'', o''', \frac{o'}{2} p, p', q, q', r, r', a, b, c.$$

$$n = \frac{1}{2} a' : b' : c.$$

Berechnet		Beobachtet	
$o : o' = 110^\circ 6'$		$a : b = 97^\circ 16'$	
$o'' : o''' = 99 \quad 23$		$b : c = 104 \quad 0$	
$o : o'' = 121 \quad 44$		$a : c = 100 \quad 36$	
$o' : o''' = 118 \quad 28$			
$o : o''' = 111 \quad 51$			
$o' : o'' = 104 \quad 12$			
$p : p' = 82 \quad 11$		$82^\circ 18'$	
$a = 135 \quad 14$		$135 \quad 12$	
$b = 142 \quad 2$		$142 \quad 4$	
$p' : a = 126 \quad 57$		$126 \quad 54$	
$b = 135 \quad 47$		$135 \quad 46$	

Berechnet		Beobachtet	
$p : c = 106^\circ 36'$	$106^\circ 37'$	$o'' : a = 110^\circ 30'$	
$p' : c = 86 \quad 14$	$86 \quad 5$	$b = 133 \quad 49$	
$q : q' = 88 \quad 2$	$88 \quad 18$	$c = 130 \quad 15$	$130^\circ 42'$
$c =$	$141 \quad 15$	$p' = 143 \quad 31$	$143 \quad 30$
$b = 142 \quad 45$	$142 \quad 42$	$q = 148 \quad 11$	
$a = 104 \quad 19$	$104 \quad 25$	$r' = 142 \quad 5$	$144 \quad 45$
$q' : c = 126 \quad 47$	$126 \quad 45$	$o''' : a = 124 \quad 10$	$124 \quad 40$
$b = 129 \quad 13$	$129 \quad 18$	$b = 126 \quad 48$	
$a = 92 \quad 25$	$92 \quad 30$	$c = 112 \quad 43$	$112 \quad 25$

	Berechnet	Beobachtet		Berechnet	B
$r : a =$		$*137^{\circ} 52'$	$o''' : p =$	$140^{\circ} 41'$	
$c =$	$142^{\circ} 44'$	$142 \ 43$	$q' =$	$143 \ 25$	
$b =$	$104 \ 4$	$104 \ 10$	$r' =$	$137 \ 18$	
$r' : a =$	$126 \ 2$	$126 \ 15$	$\frac{o''}{2} : a =$	$119 \ 38$	
$c =$	$133 \ 15$	$133 \ 15$	$b =$	$100 \ 55$	
$o : a =$	$127 \ 46$		$c =$	$146 \ 44$	
$b =$	$134 \ 24$		$o' =$	$158 \ 19$	
$c =$	$135 \ 26$	$135 \ 40$	$p' =$	$120 \ 0$	
$p =$	$151 \ 10$	$151 \ 18$	$n : a =$	$144 \ 28$	
$q =$	$153 \ 33$	$153 \ 25$	$b =$	$118 \ 17$	
$r =$	$149 \ 40$	$149 \ 40$	$c =$	$101 \ 12$	
$o' : a =$	$127 \ 22$	$127 \ 20$	$q' =$	$123 \ 7$	
$b =$	$115 \ 30$		$o'' =$	$159 \ 42$	
$c =$	$124 \ 33$	$124 \ 35$			
$p' =$	$140 \ 44$	$140 \ 35$			
$q' =$	$145 \ 3$	$145 \ 0$			
$r =$	$140 \ 26$				

Die vollständigsten Combinationen enthalten alle Flächen. Fig. 6 Die Krystalle sind oft symmetrisch, tafelartig nach  $c$ ; oder prismat der Zone  $p, c, o''$ , oder nach  $p', c, o''$ .

Fig. 69.

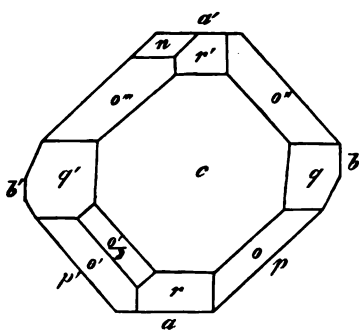


Fig. 70.

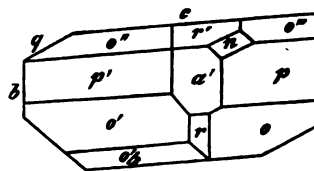
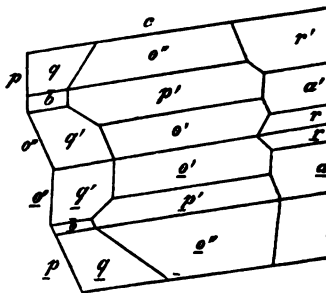


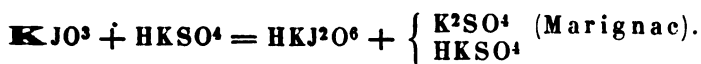
Fig. 71.



Zwillinge. Zwillingsfläche  $c$ . Fig. 71.  $p : p$  berechnet = beobachtet  $146^{\circ} 46'$ . Durchsichtig, glasglänzend.

Rammelsberg: Pogg. A. 115, 584.

## Jodschwefelsaures Kali.



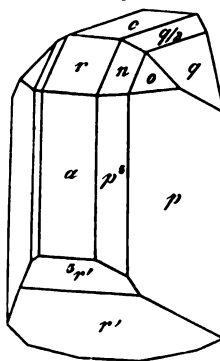
Zw e i- und eingliedrig.  $a : b : c = 1,9286 : 1 : 1,0377$  Marignac.  
 $\alpha = 86^\circ 52'$ .

$o, p, p^2, p^3, q, \frac{q}{2}, r, r', 3r', a, c.$

$n = a : 2b : c.$	Berechnet	Beobachtet
$p :$	$p =$	$*54^\circ 53'$
	$a = 117^\circ 26'$	117 28
	$c = 91 29$	91 40
$p^2 :$	$p^2 = 92 10$	
	$a = 136 5$	136° 0
	$c = 92 20$	
$p^3 :$	$p^3 = 114 36$	
	$a = 147 18$	147 25
$q :$	$q = 87 58$	88 11
	$c = 133 59$	134 3
	$a = 92 15$	92 0
	$p = \begin{cases} 128 16 \\ 130 58 \end{cases}$	$\begin{cases} 128 17 \\ 130 59 \end{cases}$
$\frac{q}{2} :$	$\frac{q}{2} = 125 14$	125 30
	$c = 152 37$	152 45
$a :$	$c = 93 8$	94
	$r =$	*120 42
	$r' = 115 50$	115 40
$a :$	$3r' = 147 22$	147 20
$c :$	$r = 152 26$	
	$r' = 151 2$	
	$3r' = 119 30$	
$p :$	$r = 103 37$	103 37
	$r' = 101 30$	101 25
$p^2 :$	$r = 111 35$	
	$r' = 108 11$	108 12
$q :$	$r = 128 7$	128 10
	$r' = 127 31$	127 32
$\frac{q}{2} :$	$r' = 141 4$	141 15
$o :$	$o = 96 30$	
	$a = 112 24$	
	$c = 131 24$	131 40
	$p = 140 5$	
	$r = 138 15$	138 19
$n :$	$n = 131 54$	
	$a = 117 47$	
	$c = 144 3$	

ungef.

Fig. 72.



	Berechnet	Beobachtet
$n : p^2 =$	428° 27'	
$r =$	155 57	158° 0'
$o =$	162 18	

Fig. 72. Zuweilen fehlt  $o$ , und  $r'$  dehnt sich stark aus.

Nach Serullas wäre das Doppelsalz wasserfrei, aus Bijodat

Bisulfat =  $\left\{ \begin{array}{l} K^2J^4O^{11} \\ K^2S^2O^7 \end{array} \right\}$  zusammengesetzt.

Ich hatte ebenfalls ein wasserfreies Salz untersucht, welches aber Formel  $\left\{ \begin{array}{l} K^2J^4O^{11} \\ 4K^2S^2O^7 \end{array} \right\}$  entsprach. Die gleichzeitig gemessenen Krystalle sind offenbar  $HKSO^4$  gewesen. — Marignac: Réch. p. 47. — Rammelsberg: Pogg. A. 97, 92.

### Ueberjodsaure Salze (Perjodate).

#### Ueberjodsaures Ammoniak.

##### 1) Normales. $AmJO^4$ .

Viergliedrig.  $a : c = 1 : 1,537$  Rammelsberg.

$o, d.$	Berechnet	Beobachtet
		Rammelsberg      Groth
$o \left\{ \begin{array}{l} 2A = 100^\circ 4' \\ 2C = 130 34 \end{array} \right.$		100° 0'      100° 42'
		130 30      130 44
$d \left\{ \begin{array}{l} 2A = 107 18 \\ 2C = \end{array} \right.$		107 17      113 20
		*113 54      113 20
$o : d = 140 2$		140 0

Bald  $o$ , bald  $d$  herrschend. — Spaltbar nach  $c$ , weniger nach  $o$ . — Op einaxig, positiv. — Rammelsberg: Pogg. A. 134, 379.

##### 2) Halb. $Am^4J^2O^8 + 3aq$ .

Sechsgliedrig.  $a : c = 1 : 1,6242$  Rammelsberg.

$r, \frac{r'}{2}, 2r', a, c.$

	Berechnet	Beobachtet
$r (2A) =$	80° 20'	80° 25'
$\frac{r'}{2} - =$	107 22	
$2r' - =$	66 24	
$c : r =$	118 4	118 18
$\frac{r'}{2} =$	136 50	137 32
$2r' =$	104 56	
$r : \frac{r'}{2} \text{ (Endk.)} =$		*130 10
$- \text{ (Stk.)} =$	105 6	
$r : 2r' \text{ (Endk.)} =$	123 12	
$- \text{ (Stk.)} =$	118 14	

Die Flächen  $a$  und  $c$  treten untergeordnet auf;  $r$  herrscht vor.

Nach Groth findet sich zuweilen ein Rhomboeder als Viertelflächner des Sechskantners.

Optisch einaxig: Doppelbrechung positiv, schwach. Pogg. A. 434, 384.

### Ueberjodsaures Kali.

#### 4) Normales. $\text{KJO}^4$ .

Zweigliedrig.  $a : b : c = 0,785 : 4 : 0,6502$  Rammelsberg.

$p, r, c$ .

	Berechnet	Beobachtet
$p : p =$		$\sim 103^\circ 44'$
$r : r =$		$\sim 100 \quad 44$
$c = 140^\circ 22'$		$140 \quad 22$
$p = 120 \quad 7$		

Ausserdem ein Rhombenoktaeder, wahrscheinlich  $\frac{1}{4}a : b : c$ .

Sehr kleine glänzende Krystalle. Isomorph  $\text{KClO}^4$  und  $\text{KMnO}^4$ .

#### 2) Halb. $\text{K}^4\text{J}^2\text{O}^8 + 9\text{aq}$ .

Eingliedrig.  $a : b : c = 0,6763 : 4 : 0,7425$  Groth.

$A = 99^\circ 7'$	$\alpha = 97^\circ 47',5$
$B = 122 \quad 43,5$	$\beta = 122 \quad 25$
$C = 85 \quad 45,5$	$\gamma = 90 \quad 42$

$o, o', \frac{o}{2}^*)$ ,  $p, p', q, q', r, a, b, c$ . —  $x = \frac{1}{4}a' : b : c$ .

	Berechnet	Beobachtet	
		Groth	Rammelsberg
$a : b = 85^\circ 15',5$		$85^\circ 24'$	
$p =$		$\sim 148 \quad 54,5$	$149^\circ 0'$
$p' = 154 \quad 46,5$		$151 \quad 47,5$	$151 \quad 26$
$b : p =$		$\sim 116 \quad 24$	$116 \quad 48$
$b' : p' = 123 \quad 38$		$123 \quad 16$	$123 \quad 30$
$p : p' = 120 \quad 44$		$120 \quad 42$	$120 \quad 30$
$b : c = 99 \quad 7$			
$q = 127 \quad 35$		$127 \quad 28$	$127 \quad 33$
$c : q = 149 \quad 59$			
$q' = 146 \quad 43$			$146 \quad 38$
$b' : q' = 144 \quad 40$		$143 \quad 48$	$144 \quad 45$
$q : q' = 118 \quad 45$			$118 \quad 35$
$a : c = 57 \quad 47$			
$r : a = 120 \quad 53$		$120 \quad 52$	$124 \quad 25$
$c = 116 \quad 24$			
$p : c = 66 \quad 40$		$66 \quad 5$	
$p' : c = 58 \quad 4$			
$q : a = 148 \quad 47$		$148 \quad 22$	$148 \quad 50$
$p' = 134 \quad 4$		$133 \quad 43$	
$r = 142 \quad 44$		$142 \quad 39,5$	

\*) y der Fig.

	Berechnet	Beobachtet	
		Groth	Rammelsberg
$q' : a = 116^\circ 58',5$			
$r = 111 \ 42,5$		$111^\circ 53'$	
$b' : r =$		$94 \ 13$	
$o : o' = 117 \ 0$		$116 \ 52$	$117^\circ 4'$
$a =$		$112 \ 27$	$113 \ 22$
$b =$		$124 \ 34$	$124 \ 58$
$c = 116 \ 34$		$116 \ 35$	
$p = 129 \ 35$		$129 \ 29$	
$q = 129 \ 16$		$129 \ 14$	$129 \ 20$
$r = 149 \ 39$		$149 \ 34,5$	$149 \ 36$
$o' : a = 119 \ 49$		$119 \ 50$	$119 \ 32$
$b' = 118 \ 26$		$118 \ 33$	$118 \ 36$
$r = 147 \ 24$		$147 \ 14$	$147 \ 28$
$\frac{o}{2} : a = 87 \ 19$			
$c = 145 \ 45,5$		$145 \ 24$	
$o = 151 \ 19$		$151 \ 11$	
$x : a = 163 \ 35$		$162 \ 58$	
$c = 136 \ 3$			
$o = 83 \ 58$		$84 \ 38$	

Fig. 73.

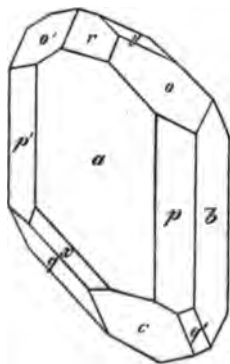


Fig. 73. Die Flächen  $c$ ,  $q$ ,  $q'$ ,  $\frac{o}{2}$  fehlen oft. Interessant ist die Horizontalzone, doch ist der Halbwinkel wechselnd, und es kommen auch unsymmetrische Formen vor.

Häufig Zwillinge nach  $b$ .

	Berechnet	Beobachtet	
		Groth	Rammelsberg
$o : (o) = 110^\circ 52'$		$110^\circ 45'$	
$a : (a) = 170 \ 34$		$170 \ 36$	$170^\circ 3'$

Die Flächen sind glatt und glänzend, ausgenommen  $b$  und  $x$ , welches letztere gekrümmt ist.

Die optischen Eigenschaften sind von Groth untersucht worden Pogg. A. 434, 536.

### Ueberjodsaures Natron.

#### 1) Normales.

A. Wasserfrei.  $\text{NaJO}_4$ .

Viergliedrig.  $a : c = 1 : 1,59$  Rammelsberg.

	Berechnet	Beobachtet
$o, d.$		
$\left\{ \begin{array}{l} 2A = 99^\circ 30' \\ 2C = 132 \ 4 \end{array} \right.$		$\left\{ \begin{array}{l} 99^\circ 30' \\ 132 \ 10 \end{array} \right.$

	Berechnet	Beobachtet
$d \left\{ \begin{array}{l} 2A = 106^{\circ} 28' \\ 2C = 115 \quad 40 \\ o : d = \end{array} \right.$		$106^{\circ} 34'$ $115 \quad 42$ $139 \quad 45$

Bald  $o$ , bald  $d$  herrschend. — Isomorph dem  $\text{AmJO}^4$ .

B. Hydrat.  $\text{NaJO}^4 + 3\text{aq.}$

Sechsgliedrig-tetartoedrisch und hemimorph.  $a : c = 1 : 1.094$  Ramsdalsberg.

$r, \frac{r'}{2}, 2r', a, c.$

$s = 2a : a : 2a : \frac{1}{2}c.$

$t = a' : \frac{1}{2}a' : \frac{1}{2}a' : \frac{1}{2}c.$

$z = a' : \frac{1}{2}a' : \frac{1}{2}a' : \frac{1}{2}c (?)$

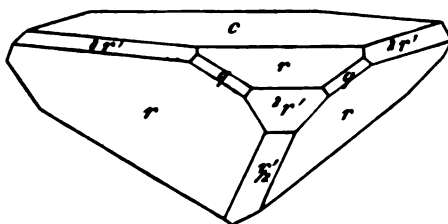
	Berechnet	Beobachtet
$r, 2A =$	$94^{\circ} 28'$	$94^{\circ} 20'$
$\frac{r'}{2} - =$	$127 \quad 54$	
$2r' - =$		$72 \quad 44$
$r : \frac{r'}{2} \text{ (Endk.)} =$	$137 \quad 14$	
$r : 2r' \text{ ( - )} =$	$126 \quad 22$	$126 \quad 22$
$\text{(Stk. )} =$	$120 \quad 2$	$120 \quad 3$
$c : r =$	$128 \quad 22$	$128 \quad 43$
$\frac{r'}{2} =$	$117 \quad 44$	
$2r' =$	$111 \quad 36$	$111 \quad 31$
$a : r =$	$132 \quad 46$	$132 \quad 0$
$2r' =$	$143 \quad 38$	

Die Krystalle haben ein tetraederähnliches Ansehen, weil sie nur an dem oberen (freien) Ende die sehr ausgedehnte Endfläche tragen, welche an dem unteren Ende fehlt. An diesem ist das Hauptrhomboeder herrschend, zu dem die beiden anderen untergeordnet treten. Am oberen Ende sind die Flächen  $r$  und  $2r'$  nur klein,  $\frac{r'}{2}$  fehlt ganz.

Das zweite Prisma  $a^*$ ) tritt sehr zurück. Fig. 74. Seltener sind Krystalle, an deren unterem Ende das erste schärfere  $2r'$  herrscht.

Später fand Groth diejenigen Formen, welche die Tetartoedrie der Krystalle beweisen; jedoch sind sie selten, sehr klein und zum Theil nicht messbar.

Fig. 74.



\*. q der Fig.

Die Endkanten des Hauptrhomboeders werden schief abgestumpft durch die Flächen  $s$ , Fig. 75, welche einem Ditetraeder angehören, d. h. einem trigonotypen Hälftflächner eines Dihexaeders zweiter Ordnung  $2a : a : 2a$ . Sie liegen also in der Endkantenzone des Hauptrhomboeders, zwischen ihm und dem ersten stumpferen. Sie scheinen stets links von  $r$  zu liegen, d. h. ihre stumpfere Neigung  $= 154^\circ 22'$  (beob.  $154^\circ$ ) der rechten Fläche  $r$  zuzukehren (linke Ditetraeder).

Fig. 75.

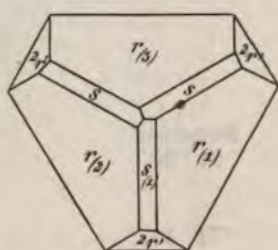
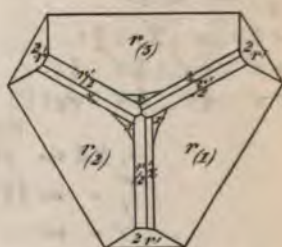


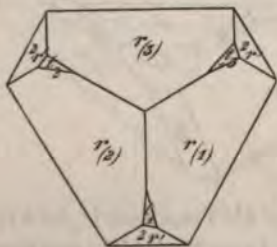
Fig. 76.



Die Endkanten von  $r$  werden ferner schief abgestumpft durch die Flächen  $z$ , Fig. 76, welche einem trigonalen Trapezoeder angehören, d. h. einem Viertelflächner eines Sechskantners oder dem Hälftflächner eines Dreikantners, und zwar einem Trapezoeder zweiter Ordnung, d. h. einem Trapezoeder, welches aus dem Dreikantner entstanden ist, der seiner Lage nach dem Gegenrhomboeder von  $r$  entspricht. Es finden sich die Flächen sowohl des linken als auch des rechten Trapezoeders, jedoch an einem Krystalle stets bloß die einen. Ihr Zeichen ist unsicher, weil sie durch Wölbungen einerseits in  $r$ , andererseits in  $\frac{r'}{2}$  übergehen.

Die Ecken von zwei  $r$  und einem  $2r'$  sind schief abgestumpft durch die kleinen Flächen  $t$ , Fig. 77, gleichfalls einem Trapezoeder zweiter Ordnung angehörig, dessen Zeichen aus den Messungen folgt.

Fig. 77.



	Berechnet	Beobachtet
$t : c =$	$39^\circ 53'$	$41^\circ 18'$
$t : r$ (links) $=$	$124 \ 50$	$126 \ 9$
$r$ (rechts) $=$	$148 \ 54$	$147 \ 38$

Zwillinge. Zwillingfläche ein  $a$ , Verwachsung nach der darauf senkrechten Endfläche. Sie zeigen nur  $r$ ,  $\frac{r'}{2}$  am einen,  $c$  am anderen

Ende, und unterscheiden sich von symmetrischen Verwachsungen nach demselben dadurch, dass die gleichartigen Rhomboederflächen sich an der Grenze



nicht gegenüberliegen. Da der eine Krystall rechts-, der andere linksdrehend ist, so zeigen sie im polarisirten Licht die Airy'schen Spiralen.

Circularpolarisation, wie Ulrich nachwies, theils links-, theils rechtsdrehend. Linke zeigen die rechten Trapezflächen  $z$  und umgekehrt. Die Grösse der Drehung übertrifft die des Quarzes. Die Lösung ist inactiv. — Rammelsberg: Pogg. A. a. o. — Groth: Eb. 437, 436. 458, 223.

### Ueberjodsaures Lithion. $\text{LiJO}_4$ .

Viergliedrig.  $a : c = 4 : 4,5272$  Rammelsberg.

$o, d.$		Berechnet	Beobachtet
$o$	$\left\{ \begin{array}{l} 2A \\ 2C \end{array} \right.$	$\left\{ \begin{array}{l} = 100^\circ 48' \\ = 129 \ 58 \end{array} \right.$	$\left\{ \begin{array}{l} 100^\circ 43' \\ 130 \ 47 \end{array} \right.$
	$d$	$\left\{ \begin{array}{l} 2A \\ 2C \end{array} \right.$	$\left\{ \begin{array}{l} 107 \ 6 \\ *113 \ 41 \end{array} \right.$
	$o : d$	$= 140 \ 9$	$140 \ 5$

Isomorph  $\text{AmJO}_4$  und  $\text{NaJO}_4$ .

### Ueberjodsaures Silber.

4. Normal  $\text{AgJO}_4$ .

Viergliedrig.  $a : c = 4 : 4,6348$  Rammelsberg.

	Berechnet	Beobachtet
$o$	$\left\{ \begin{array}{l} 2A \\ 2C \end{array} \right.$	$\left\{ \begin{array}{l} = 99^\circ 6' \\ = 98-100^\circ \\ *133^\circ 40' \end{array} \right.$

Oefter auch  $d$ .

Sehr kleine orangerothe durchsichtige und glänzende Krystalle. Isomorph dem vorigen.

2. Halb.  $\text{Ag}_4\text{J}_2\text{O}_9 + 3\text{aq.}$

Sechsgliedrig.  $a : c = 4 : 2,065$  Rammelsberg.

$r, \frac{r'}{2}, c.$		Berechnet	Beobachtet
$r, 2A$	$=$		$*74^\circ 0'$
$\frac{r'}{2}, 2-$	$=$	$96^\circ 52'$	
$c : r$	$=$	$112 \ 45$	$112 \ 34$
$\frac{r'}{2}$	$=$	$129 \ 59$	$129 \ 45$
$r : \frac{r'}{2}$ (Endk.)	$=$	$127 \ 0$	$127 \ 0$

An den kleinen gelben stark glänzenden Kr. herrscht  $r$ ; oft sind sie nach einer Kantenzone verlängert. — Isomorph mit dem Ammoniaksalz.

### Ueberjodsaurer Strontian. $\text{SrJ}_2\text{O}_8 + 6\text{aq.}$

Wahrscheinlich eingliedrige Combinationen von  $p, p', b, c$  mit zwei Oktaidflächen  $o, o'$  und einer einzelnen  $x$ .

**Jodsaure Salze.**

**Beobachtet**

$a : b = 80 : 15$	$p : c = 144^{\circ} 50'$
$a : c = 8 : 45$	$c : o' = 98^{\circ} 10'$
$a : b = 8 : 45$	$o' : p = 118^{\circ} 30'$
$a : b = 12 : 30$	$p' : c = 142^{\circ} 45' - 143^{\circ}$
	$c : x = 149$
$a : b = 127 : 0$	$o = 99 - 102$
$a : b = 118$	$x : o = 130^{\circ} 45'$
$a : b = 120 : 30$	$p' = 144 - 142^{\circ} 45'$
	$o : p' = 146^{\circ} 45' - 147^{\circ}$

... kleinen grossen farblosen oder weissen Krystalle  
... ihre Flächen nicht eben und glänzend ge-  
... zwei- und eingliedrig. — Pogg. A. 134. 402

**Ueberjodsaures Kadmium.**

Halb.  $\text{Cd}^2\text{J}^2\text{O}^9 + 9\text{aq.}$

...  $a : b : c = 0.595 : 1 : 0.795$  Rammeisb.

	Berechnet	Beobachtet
$p : p = 118^{\circ} 30'$		
$b =$		$120^{\circ} 45'$
$2p : 2p = 80^{\circ} 6'$		
$b = 139^{\circ} 57'$		$140^{\circ} 0'$
$q : q = 103^{\circ} 0'$		
$b =$		$128^{\circ} 30'$

... kleine rechtwinklig vierseitige Tafeln  $b$  von unvoll-  
...

**Ueberjodsaure Magnesia.**

Halb.  $\text{Mg}^2\text{J}^2\text{O}^9 + 15\text{aq.}$

... zwei- und eingliedrig ? .

... Sehr kleine rhombische Prismen von  $116^{\circ}$ , durch Ausdeh-  
... einen Fläche tafelartig, mit gerader Abstumpfung der scharfen K:  
... einer auf die stumpfen aufgesetzten schiefen Endfläche, unter  
... gegen die Prismenflächen geneigt.

**Ueberjodsaures Nickel.**

Viersiebentel.  $\text{Ni}^2\text{J}^2\text{O}^{35} + 49$  oder  $63\text{aq.}$

... Zwei- und eingliedrig ? .

... Kleine rechtwinklig vierseitige Prismen mit einer unter  $118^{\circ}$   
... auf die eine, rechtwinklig auf die andere Prismenfläche aufgesetzt  
... Fläche. Auf der hintern Seite eine entsprechende mit etwa  $123^{\circ}$   
... andere Flächen, die aber wegen Kleinheit und unvollkommene  
... der Krystalle nicht näher zu bestimmen sind.



**Salpetersaure Salze.**

(Nitrate.)

**Einfache\*).****Salpetersaures Ammoniak.  $\text{AmNO}_3$ .**Zweigliedrig.  $a : b : c = 0,5834 : 1 : 0,736$  Marignac. $s = a : \frac{1}{2}b : \frac{1}{2}c, o\frac{1}{2}, q\frac{1}{2}, r\frac{1}{2}, c.$ 

	Berechnet Marignac	Beobachtet v. Lang
$o\frac{1}{2} \begin{cases} 2A = 136^\circ 48' \\ 2B = 100 \quad 44 \\ 2C = 95 \quad 44 \end{cases}$		
$s \begin{cases} 2A = 102 \quad 32 \\ 2B = 115 \quad 40 \\ 2C = 110 \quad 58 \end{cases}$	$102^\circ 20'$ 115 0 111 6	$112^\circ 46'$ 82 5
$q\frac{1}{2} : q\frac{1}{2} =$	*84 20	
$c = 132 \quad 40$	134 24	
$r\frac{1}{2} : r\frac{1}{2} = 93 \quad 40$	93 0	
$s : q\frac{1}{2} =$	*147 34	147 26
$r\frac{1}{2} = 144 \quad 46$	144 44	
$o\frac{1}{2} = 163 \quad 7$		

Prismatisch nach der Axe  $a$ . Fig. 78. Spaltbar nach  $c$ . — Marignac:  
Ann. Min. (5) 42. — v. Lang: Wien. Ak. B. 34.

Wahrscheinlich giebt es auch, gleichwie beim Kalisalz, eine sechsgliedrige unbeständige Form.

Ebene der optischen Axen  $= ab$ , Mittellinie  $= b$ ; negativ: scheinbarer Axenwinkel  $= 59^\circ 30'$ .

Volumgewicht 4,794 Schröder; 4,709 Schiff; 4,723 Buignet.

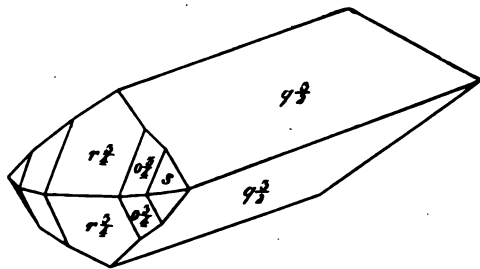
Spec. Wärme. — 0,43 Tollinger: Wien. Ak. B. 64.

Löslichkeit. — 100 Th. Wasser lösen bei  $10^\circ$  485 Th. Townsend Harris; bei  $49^\circ,5$  483 Th. Mulder.

1 Th. löst sich bei  $25^\circ$  in 2,293 Alkohol von 66,8 Gew. pCt. Pohl.

\* Ihre Lösungswärme Thomsen: Ber. d. chem. Ges. 1877, 4024.

Fig. 78.



3 Th. Salz und 5 Th. Wasser bewirken ein Sinken der T. auf  $-13^{\circ},6$ . Rüdorff.

Die thermischen Aenderungen beim Lösen und die sp. W. d. gen. — Favre und Valson: C. r. 77, 802. — Thomsen: 142, 337. — Winkelmann: Pogg. A. 149, 1.

Gefrierpunkterniedrigung der Lösungen. De Coppet: Phys. (4) 23. 25. 26.

Ihre Elektricitätsleitung. Kohlrausch: Wied. Ann. 6, 1  
Bildungswärme. Berthelot: C. r. 78.

### Salpetersaures Kali. $\text{KNO}_3$ .

Dimorph.

A. Sechsgliedrig.

Wenn ein Tropfen der Lösung krystallisirt, so entstehen pische Rhomboeder. Auch durch Fällung gesättigter Lösungen Alkohol sollen sie sich bilden. Die ebenen Winkel  $= 102^{\circ} 30'$  ein Rhomboeder, dessen Endkantenwinkel  $= 106^{\circ} 36'$  ist. Darnach isomorph den rhomboedriscen Nitraten von R (Na u. s.

Man hat das Rhomboeder mit beiden Prismen, der Endfläche sten stumpferen und einem Dreikantner aus der Kantenzone d rhomboeders combinirt gefunden.

Allein diese Krystalle verwandeln sich schnell in die zweig Frankenheim: Pogg. A. 40, 447. 92, 334. 93, 14.

B. Zweigliedrig.  $a : b : c = 0,594 : 1 : 0,704$  Mill

$o, p, {}^2p, q, \frac{q}{2}, q^2, q^4, b$ .

	Berechnet	Beobachtet		
		Rammelsberg	Miller	Schr
$o \left\{ \begin{array}{l} 2A = 134^{\circ} 22' \\ 2B = 91 \ 40 \\ 2C = 108 \ 4 \end{array} \right.$				
$p : p =$		119 24	$\approx 118^{\circ} 50'$	118 $^{\circ}$
${}^2p : {}^2p = 80 \ 28$				
$q : q =$			$\approx 109 \ 56$	
$b = 125 \ 32$		125 6		
$q^2 : q^2 = 71 \ 0$			71 0	
$q = 160 \ 32$		160 44		
$q^4 : q^4 = 39 \ 10$				
$\frac{q}{2} : \frac{q}{2} = 141 \ 16$			141 22	
$o : a = 134 \ 10$				
$b = 114 \ 19$				
$c = 125 \ 58$				

Prismatisch nach  $p$ , oft tafelartig nach  $b$ . Fig. 79, 80.

Zwillinge nach  $p$  gleich dem Aragonit.

Spaltbar unvollkommen nach  $b$

und  $p$ . — Miller: Pogg. A. 50, 376. —  
Schrauf: Wien. Ak. B. 44.

Ebene der optischen Axen =  $bc$ ,  
Mittellinie =  $c$ , Neigung der Axen in  
Luft =  $8^\circ 40'$ . — Miller: Phil. Mag.  
(3) 17, 38.

Der scheinbare Axenwinkel ist  
=  $6^\circ 15'$  für Roth,  $8^\circ 45'$  für Blau. —  
Grailich und v. Lang.

Die Brechungsexponenten be-  
stimmte Schrauf: Pogg. A. 412, 594. — Kohlrausch: Groth Ztschr.  
1, 100.

Volumgewicht. 2,443 Grassi; 2,096—2,108 ( $4^\circ$ ) Joule und  
Playfair; 2,086 Schröder; 2,100 Schiff; 2,126 Buignet; 2,44  
Kopp; 2,07 Page.

Ausdehnung. Kubische von  $0-100^\circ = 0,01967$ . Joule und Play-  
fair.

Spec. Wärme. Das feste, zuvor geschmolzene Salz = 0,2343 Neu-  
mann, 0,23875 (zwischen  $0-100^\circ$ ) Regnault. — Das geschmolzene  
(zwischen  $435$  und  $350^\circ$ ) = 0,3384 Person.

Schmelzpunkt =  $339^\circ$  Person;  $338^\circ$  Grf. Schaffgotsch;  $342^\circ$   
Braun;  $353^\circ$  Carnelley.

Latente Schmelzwärme = 46,18 für die Gew.-Einheit. Person. —  
Person: C. r. 23 (Pogg. A. 70, 300). Ann. Ch. Phys. (3) 24 (Pogg. A.  
74, 527).

Capillarität des geschmolzenen Salpeters Quincke: Pogg. A. 135,  
621, 138, 141.

Lösungen. 1 Liter bei  $15^\circ$  gesättigter L. enthält 221,903 Grm und  
hat ein Volumgewicht = 1,134036. Michel und Krafft.

1 Th. löst sich bei  $0^\circ$  in 7,5 Th., bei  $10^\circ$  in 3,9 Th. Wasser. Bunsen.

Eine Lösung, welche enthält

5 pCt.,	hat ein Volumgewicht = 1,0321
10 - - -	= 1,0652
15 - - -	= 1,0998
20 - - -	= 1,1360
21,074 - -	= 1,1442 Gerlach.

Fig. 79.

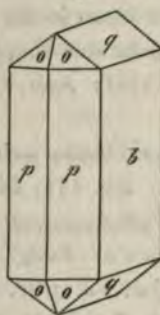


Fig. 80.





400 Th. gesättigter L. (bei 45°, 6) enthalten 20,66 (20,82) Th. Salz d. h. gegen 1 Th. Salz 3,84 (3,80) Th. Wasser, und ihr Volumgewicht ist = 1,44423 (1,44225). — Page und Keightley. — J. Ch. Soc. (2) 40, 566

400 Th. Wasser lösen in der Siedhitze 327,4 Th. Salpeter. Mulder Das Volumgewicht der Lösungen. Kremers: Pogg. A. 95, 440. 96 39. 444, 44. — Schiff: Ann. Ch. Ph. 408, 326. — Schmidt: Pogg. A. 407, 244. 539.

Ausdehnung der Lösung beim Erwärmen. Schmidt: Pogg. A. 407 244. — Kremers: Eb. 444, 44.

Thermische Erscheinungen beim Lösen; latente Lösungswärme; Schmelzwärme. — Andrews: Pogg. A. 66, 57. — Person: s. lat. Schmelzwärme. — Schmidt: a. a. O. 255. — Schüller: Pogg. A. 436, 253. — Thomsen: 442, 360. 370. Ber. d. ch. Ges. 1873, 740. — Winkelmann: Pogg. A. 449, 48. 24. 25. 28. — Favre: C. r. 51, 316. — Rüchardt: Pogg. A. 436, 376. — Berthelot: C. r. 78, 4722.

Siedepunkt der gesättigten Lösung 418° Kremers. Dampfspannung beim Sieden Legrand: Pogg. A. 37, 385. — Babo: Jahresb. 4, 93. — Magnus: Pogg. A. 442, 408.

Gefrierpunkt. Rüchardt: Pogg. A. 445, 599. — De Coppet: Ann. Ch. Phys. (3) 23. 25. 26.

Capillarität. Buliginski: Pogg. A. 434, 440.

Löslichkeit in Alkohol. Schiff: Ann. Ch. Ph. 418, 362. — Gerardin: Ann. Ch. Phys. (4) 5, 429.

Brechungsverhältnisse. Schmidt: Pogg. A. 407, 539. — Saubert: Eb. 417, 590. — Fouqué: C. r. 64, 424. — Gladstone: Phil. Mag. (4) 36, 344.

Elektricitätsleitung. Schmidt: S. o. — Braun: Pogg. A. 454, 476. — Bloxam: Ch. News 49, 289. — Kohlrausch: S. Ammoniaksalz.

Magnetisches Verhalten. Faraday: Pogg. A. 69, 299. — Plücker: Eb. 72, 330. — Knoblauch und Tyndall: Eb. 81, 488. — Graßhoff: Wien. Ak. B. 32.

### Salpetersaures Natron. $\text{NaNO}_3$ .

Sechsgliedrig.  $a : c = 1 : 0,8276$  Brooke.

$r, 2r'$	Berechnet	Beobachtet		
		Brooke	Rammelsberg	Schrauf
$2r (2A) =$		$406^\circ 30'$	$406^\circ 30'$	$405^\circ 50' (406^\circ 30')$
$2r' (2A) =$	$79^\circ 46'$		$79^\circ 40'$	Sénarmont
$r : 2r' =$	$\left\{ \begin{array}{l} 429 \ 53 \\ 406 \ 5 \end{array} \right.$	Endk.	$429 \ 40$	
		Stk.	$405 \ 30$	

Meist nur  $r$ , nach einer Kante oft verlängert.

Vollkommen spaltbar nach  $r$ . — Brooke Ann. Phil. 21, 452. — Schrauf: Wien. Ak. B. 41.

Krystallisirt auf Kalkspath, so dass die Axen und die Hauptschnitte der Hauptrhomboeder beider parallel sind. Sénarmont.

Die Brechungsexponenten sind

für  $o = 1,586$  1,585  
 -  $e = 1,336$  Des Cloizeaux 1,335 Kohlrausch.

Für die Fraunhofer'schen Linien

	B	H
$o =$	1,57933	1,62598
$e =$	1,33455	1,34396 Schrauf.

Kubische Ausdehnung von  $0-100^\circ = 0,0128$ . Joule u. Playfair.

Volumgewicht 2,264 (bei  $4^\circ$ ) Joule u. Playfair; 2,256 Schröder; 2,24 Kopp; 1,90 Page.

Schmelzpunkt.  $340^\circ,5$  Person;  $343^\circ$  Grf. Schaffgotsch;  $330^\circ$  Carnelley;  $344^\circ$  Braun.

Latente Schmelzwärme 62,975 Person.

Spec. Wärme des geschmolzenen (zw.  $430$  u.  $320^\circ$ )  $= 0,443$ .

Derselbe.

Capillarität des geschmolzenen. Quincke: S. salpeters. Kali.

Löslichkeit. 400 Th. Wasser lösen

bei $0^\circ$	70,94 Th.	bei $60^\circ$	131,11 Th.
- 10	78,57 -	- 70	142,31 -
- 20	87,97 -	- 80	153,72 -
- 30	98,26 -	- 90	165,55 -
- 40	109,01 -	- 100	178,18 -
- 50	120,00 -	- 110	194,26 -
		- 119,4	213,43 -

Maumené: C. r. 58, 84.

In 100 Th. gesättigter Lösung sind 45,74 (45,85) Th. Salz enthalten und das Volumgewicht jener ist 1,4378 Page und Keightley.

Volumgewicht der Lösungen (und Aenderung beim Verdünnen). — Kremers: Pogg. A. 95, 110. 96, 39. 114, 44. — Schiff: Ann. Ch. Ph. 108, 326.

Zusammendrückbarkeit. — Grassi: C. r. 27, 453. Ann. Ch. Phys. (3) 34, 437.

Thermische Aenderungen beim Lösen. — Favre: C. r. 54, 316. — Favre und Valson: Eb. 77, 802. — Berthelot: Eb. 78, 1722.

Beim Lösen von 75 Th. in 100 Wasser sinkt die T. von  $43^\circ,2$  auf  $5^\circ,3$ . Rudorff.



Latente Lösungswärme. Person: Ann. Ch. Phys. (3) 33, 44.  
Spec. Wärme der Lösungen. — Person: a. a. O. 437. — Sch  
Pogg. A. 436, 70, 235. — Winkelmann: Eb. 449, 4.

Siedepunkt der gesättigten L. 422°. Kremers. — Einfluss a  
Siedepunkt des Wassers. Legrand: Pogg. A. 37, 388. — T. der L  
siedender Lösungen Magnus: Eb. 442, 408.

Spannkraft der Dämpfe. Babo: Jahresb. 4, 93.

Gefrierpunkt. De Coppet: S. salpeters. Kali. — Brechungsver  
Fouqué: C. r. 64, 424. — Gladstone: Phil. Mag. (4) 36, 344.

Elektricitätsleitung: s. Ammoniaksalz und Kalisalz.

Löslichkeit in Alkohol. 4 Th. bei 26° in 4,74 Th. A. von 64,4  
pCt. Pohl. — Schiff: Ann. Ch. Ph. 448, 362. — Gerardin: An  
Phys. (4) 5, 429.

4 Th. bei 49° in 408 Th. A. von 93 Vol.-pCt., und in 43,5 T  
62 pCt. Wittstein.

Bildungswärme Berthelot: C. r. 78.

### Salpetersaures Rubidium. $\text{RbNO}_3$ .

Sechsgliedrig.  $a : c = 4 : 0,7097$  Bunsen.

$d, p, a$ .

Berechnet

Beobachtet

$$d \begin{cases} 2A = 443^\circ 0' \\ 2C = 78 \quad 40 \end{cases}$$

$$d : p =$$

$$= 429^\circ 20'$$

Pogg. A. 113, 337.

### Salpetersaures Caesium. $\text{CsNO}_3$ .

Sechsgliedrig.  $a : c = 4 : 0,713$  Bunsen.

$d, d\frac{3}{4}, p, a; c$ .

$s = 2a : a : 2a : c$ .

Berechnet

Beobachtet



Fig. 84.

$$d \begin{cases} 2A = 442^\circ 56' \\ 2C = 78 \quad 58 \end{cases}$$

$$d\frac{3}{4} \begin{cases} 2A = 462 \quad 4 \\ 2C = 36 \quad 48 \end{cases}$$

$$s \begin{cases} 2A = 446 \quad 44 \\ 2C = 71 \quad 0 \end{cases}$$

$$d : c = 440 \quad 34$$

$$p =$$

$$d\frac{3}{4} : c = 461 \quad 51$$

$$s : c = 444 \quad 30$$

$$a = 425 \quad 30$$

$$d = 461 \quad 28$$

$$= 429^\circ 29'$$

$$461 \quad 48$$

$$444 \quad 39$$

$$425 \quad 28$$

$$461 \quad 41$$

Fig. 84.



Das erste schärfere Dihexaeder =  $2a : a : 2a : \frac{1}{2}c$ , von welchem  $2A = 106^\circ 40'$ , besteht aus zwei Rhomboedern, deren  $2A = 106^\circ 40'$ .  
Dies beweist die Isomorphie mit dem Natronsalz.

### Salpetersaures Thallium.

A. Thalliumnitrat.  $\text{TiNO}_3$ .

Zweigliedrig.  $a : b : c = 0,544 : 4 : 0,654$  Miller.

$o, \frac{o}{2}, p, 2p; r; b$ .

Berechnet

Beobachtet

	Marignac	Rammelsberg	Des Cloiz.	Lang
$2A = 136^\circ 13'$		$136^\circ 0'$	$136^\circ 10'$	
$2B = 86 \quad 15$		$86 \quad 20$	$86 \quad 18$	$86^\circ 9'$
$2C = 110 \quad 5$			$110 \quad 10$	$110 \quad 14$
$p = 125 \quad 52$			$125 \quad 45$	
$b =$	$117^\circ 4'$		$117 \quad 7$	$117 \quad 1$
$r : r = 76 \quad 16$		$75 \quad 52$		
$b : b = 111 \quad 53,5$			$111 \quad 53$	$111 \quad 51$
$p =$	$115 \quad 2,5$			
$r = 158 \quad 6,5$		$158 \quad 25$		

Prismatisch nach  $p$ . Ich beobachtete Combinationen  $o, b$  oder feine  $r$  Axen merklich,  $\varphi < \psi$ . Bei  $19^\circ$  ist der Axenwinkel  $2H = 68^\circ 32'$ . — Miller: Proc. R. Soc. 1865. — Des Cloizeaux: S. Thalliumsulfat.

Ohne Spaltbarkeit.

Ebene der optischen Axen =  $ac$ , Mittellinie =  $c$ , negativ. Dispersion  $r$  Axen merklich,  $\varphi < \psi$ . Bei  $19^\circ$  ist der Axenwinkel

$$\begin{aligned} 2H &= 68^\circ 32' & 2E &= 111^\circ 16' \text{ Roth} \\ &= 69 \quad 35 & &= 111 \quad 59 \text{ Blau.} \end{aligned}$$

Des Cloizeaux (vgl. auch Miller u. Lang: Wien. Ak. Ber. 55, 446).

Löslichkeit. 1 Th. in 9,4 Th. Wasser von  $45^\circ$ . Crookes.

B. Dithalliumnitrat.  $\text{Ti}^2\text{N}^6\text{O}^{16} + 6 \text{ aq.}$

Sechsgliedrig.

$r, \frac{r'}{2}, a$ .

Beobachtet

$$\begin{aligned} r (2A) &= 104—102^\circ \\ r : a &= 129—132 \end{aligned}$$

Die Krystalle zerfliessen sehr schnell und bräunen sich in Folge von Zersetzung. Rammelsberg.

### Salpetersaures Lithion. $\text{LiNO}_3$ .

Rhomboeder von etwa  $106^\circ$  Endkantenw. Stark doppeltbrechend. Des Cloizeaux.

# Salpetersaure Salze.

Kremer T. in rhombischen Prismen. Krem

... scheint regulär zu sein; ausserdem giebt es zwe  
... vergängliche ist regulär, das andere polarisir  
... Pogg. A. 93, 23.

... such.

... gewicht. 2,334 Kremers.

... zeit. Derselbe: Pogg. A. 93, 4. 99, 25. 58.

... gewicht und Ausdehnung der Lös. Derselbe: Eb. 444

## Salpetersaures Silber. $\text{AgNO}_3$ .

... gliedrig.  $a : b : c = 0,943 : 1 : 1,3697$  Brooke.

... c, b, c.

...  $\frac{1}{2}a : b : c$ .

	Berechnet	Brooke	Beobachtet Rammelsberg	Sea
$\angle A$	$104^\circ 20'$			
$\angle B$		$98^\circ 51'$		
$\angle C$		$126^\circ 48'$	$126^\circ 30'$	
$a$	$134 \ 56$			
$b$	$60 \ 34$			
$c$	$145 \ 26$			
$p^1$	$p^2 = 129 \ 34$	$129 \ 30$	$130 \ 30$	
$r$	$r = 69 \ 6$			
$o$	$o : b = 127 \ 50$			$128^\circ$
$c$	$c = 116 \ 36$		$116 \ 35$	$116$

Rechtwinklig vierseitige Tafeln nach  $c$  mit Zuschärfung der Rā durch  $o$  und die  $p^2$  an zwei gegenüberliegenden Ecken. Oder sechsse Prismen aus  $c$  und zwei Flächen  $o$ .

Scacchi beobachtete die vier Flächen  $o$  nur am einen Ende, am deren fehlten sie. Krystalle, durch freiwilliges Verdunsten der Lösung halten, zeigten  $o$  tetraedrisch, daneben die  $s$  und  $r$ . — Brooke: Phil. 23, 462. — Scacchi: Pogg. A. 109, 365.

Bei den Nitraten des Kaliums und Silbers sind die Axen  $a = 1$  :  $c = 1 : 1,97$ , also fast  $= 2 : 3$  und  $1 : 2$ . Beide sind isomorph.

Andererseits, wenn am Silbersalz  $c = a$ ,  $a = c$  und  $b = 2b$  nommen würde, wäre  $a : b : c = 0,53 : 1 : 0,726$ , nahe dem Kalisalz.

Volumgewicht. 4,328 Schröder.

Spec. Wärme. 0,4395 Neumann.

Optisches. Ebene der optischen Axen  $= ab$ , Mittellinie  $=$  Bei  $14^\circ$  ist

$$2H = 75^{\circ} 6', \text{ also } 2E = 126^{\circ} 37' \text{ Roth} \\ 76 \ 59 \quad - \quad 133 \ 50 \text{ Blau.}$$

Des Cloizeaux. Vgl. v. Lang: Wien. Ak. B. 34.

Schmelzpunkt  $198^{\circ}$  Pohl;  $224^{\circ}$  Carnelley.

Löslichkeit. 4 Th. erfordert an Wasser

bei $0^{\circ}$	0,82	bei $85^{\circ}$	0,44
49,5	0,44 *)	110	0,09 Kremers.
54	0,20		

Die gesättigte L. siedet über  $125^{\circ}$  (Kremers).

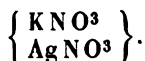
Elektricitätsleitung s. Ammoniaksalz.

Lösungswärme. Thomsen: Ber. d. ch. G. 1873, 710.

Löslichkeit in Alkohol. — Eder: J. f. pr. Ch. (2) 17, 44.

Bildungswärme. Berthelot: C. r. 78.

### Salpetersaures Silber-Kali.



Zwei- und eingliedrig.  $a : b : c = 0,820 : 4 : 0,6963$  Friedländer.  
 $o = 82^{\circ} 43'.$

$q, r, r', a, c.$	Berechnet	Beobachtet
$a : c =$		$*97^{\circ} 47'$
$q : q = 108^{\circ} 48'$		108 40
$r : c = 134 \ 50$		134 48
$r' : c =$		$*136 \ 27$
$q : c =$		$*125 \ 36$
$r' = 114 \ 58$		114 59

Tafelartig nach c.

Die optische Axenebene ist für Roth  $ac$ , für Gelb und Grün senkrecht dazu. Doppelbrechung sehr stark negativ; die erste Mittellinie macht mit  $axe$  hinten  $9^{\circ} 25'$ . — Groth Ztschr. 3, 245.

Schon früher haben Russell und Maskelyne diese Verbindung (Mischung?) beobachtet und als zwei- und eingliedrig erkannt. J. Chem. Soc. 1877, 843.

Aus der gemeinsamen Lösung beider Salze krystallisiren isomorphe Mischungen, z. B.  $\left\{ \begin{array}{l} 3 \text{KNO}_3 \\ \text{AgNO}_3 \end{array} \right\}$ , welche die prismatische Form des Salpeters haben. — H. Rose: Pogg. A. 106, 320.

Sind sie zwei- und eingliedrig?

\* Bei  $11^{\circ}$  0,783. Schnauss.

Rammelsberg, physik. Chemie.

**Salpetersaures Silber-Natron.**

Aus Lösungen von 1 Mol. Natronsalz und 2 Mol. Silbersalz schießt zuerst letzteres an, dann folgen zweigliedrige (hemiedrische) Kr., welche  $\text{Ag} : 33 \text{Na}$  enthalten. Später folgen Rhomboeder, in welchen  $\text{Ag} : \text{Na} = 1 : 2-10$  gefunden wird.

Enthält die Lösung Quecksilberniträt, so entstehen besonders grosse Rhomboeder,  $\text{Ag} : \text{Na} = 1 : 10$ .

Die Bildung der rhomboedrischen Mischungen erfolgt nur bei überschüssigem Natronsalz, im andern Fall scheidet sich zweigliedriges Silbersalz aus. — H. Rose: Pogg. A. 102, 436. 106, 320.

**Salpetersaurer Baryt.  $\text{BaN}^2\text{O}^6$ .**

Regulär, tetartoedrisch. Gewöhnlich nur Oktaeder mit Würfelflächen.

Seacchi beobachtete an Krystallen aus Lösungen, welche salpetersaures Natron enthielten, das Oktaeder als zwei durch Grösse verschiedene

Tetraeder, ein grösseres glänzendes, hier als rechtes ( $o^r$ ) betrachtet, und ein kleineres, unebenes ( $o^l$ ), das auch wohl fehlte. Ausserdem der Würfel ( $n$ ), das Pyritoeder  $a : 2a : \infty a$  ( $p$ ) und das Tetartoeder (tetraedrische Pentagondodekaeder)  $s$ , den Viertel-flächner von  $a : \frac{1}{2}a : \frac{1}{4}a$ . In der beistehenden Fig. 82 ist

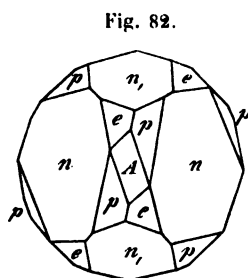


Fig. 82.

$$\begin{array}{lll} n = o^r & A = a & p = s \\ n' = o^l & e = p & \end{array}$$

Lewis beschrieb einen flächenreichen Krystall, an welchem nur ein Tetraeder, hier als das rechte gedacht, vorkommt. Die scheinbaren Voll-

Fig. 83.

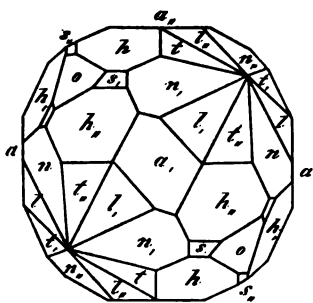
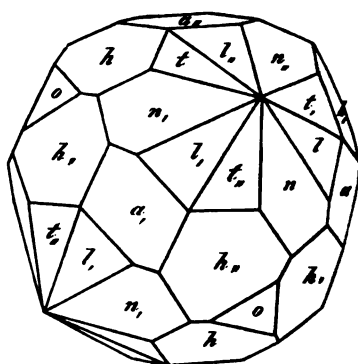


Fig. 84.



und Hälftflächner sind auch hier natürlich als Viertel-flächner aufzufassen. Fig. 83 und 84.

		in den Fig.
Würfel . . . . .	$a : \infty a : \infty a = a$	$a$
R. Tetraeder . . . . .	$a : a : a = o_r$	$o$
R. Pyramidentetraeder	$a : a : \frac{1}{2}a = l_r^2$	$s$
L. Pyramidentetraeder	$a : a : \frac{1}{2}a = l_l^3$	$l$
R. Tetartoeder . . . . .	$a : \frac{1}{2}a : \frac{1}{2}a = s_r$	$h$
L. Tetartoeder . . . . .	$a : \frac{1}{2}a : \frac{1}{2}a = s_l$	$t$
L. Tetartoeder . . . . .	$a : \frac{1}{3}a : \frac{1}{3}a = n_l$	$n$

Die beiden  $s$  bilden also einen pyritoedrischen Häufteflächner, ein gewöhnliches Pentagondodekaeder. — Lewis: Groth Ztschr. 2, 64.

Später bemühte sich Wulff, Krystalle von Barytnitrat (Strontian- und Natriumnitrat) mit den selteneren Flächen darzustellen, und beobachtete folgende Kombinationen:

Fig. 85. Herrschend der Würfel ( $h$ ). Das rechte Tetraeder klein, das linke gross; das linke Pyritoeder.

Fig. 86. Würfel; beide Tetraeder klein, das linke jedoch grösser; Flächen  $\lambda$ , deren Zeichen (ob Leucitoide?) sich nicht ermitteln liess.

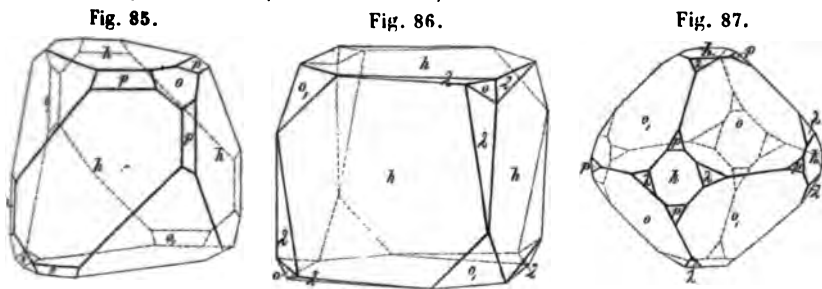
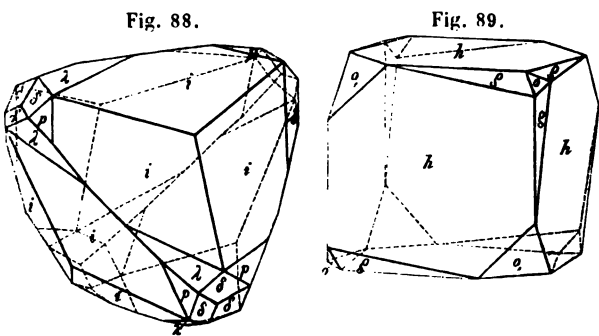


Fig. 87. Beide Tetraeder fast im Gleichgewicht, herrschend; Würfel; linkes Pyritoeder ( $p$ ), linkes Tetartoeder  $s_l = a : \frac{1}{2}a : \frac{1}{2}a$  ( $\lambda$ ). Aus Lösungen mit salpetersaurem Natron.

Fig. 88. Herrschend das rechte Pyramidentetraeder  $l^2 = a : a : \frac{1}{2}a$  ( $i$ ); das linke Pyritoeder ( $p$ ); das linke Tetartoeder  $s$  ( $\lambda$ ), und das linke Trapezoidtetraeder  $a : a : 2a$  ( $\delta$ ). Daneben auch beide Tetraeder, beide glänzend.

Fig. 89. Würfel mit beiden Tetraedern, das linke grösser; ein linkes Tetartoeder ( $\varphi$ ).



Wulff unterscheidet, seinen Beobachtungen zufolge, zwei Modificationen von Krystallen des Salzes, welche ausser dem Würfel zeigen

## A.

Positive	Negative
Rechtes Tetraeder	Linkes Tetraeder
- Pyritoeder	- Pyritoeder
Pyramidentetraeder $a : a : \frac{1}{2}a$	Pyramidentetraeder $a : a : \frac{1}{2}a$
- $a : a : \frac{1}{2}a$	
- $a : a : \frac{1}{2}a$	
Tetartoeder $(a : \frac{1}{2}a : \frac{1}{2}a) l$	Trapezoidtetraeder $a : a : 2a$
- $(a : \frac{1}{m}a : \frac{1}{n}a) l$	

## B.

Rechtes Tetraeder	Linkes Tetraeder
	- Pyritoeder
Tetartoeder $(a : \frac{1}{2}a : \frac{1}{2}a) r (?)$	Pyramidentetraeder $a : a : \frac{1}{n}a$
- $(a : \frac{1}{m}a : \frac{1}{n}a) r$	

Wulff: Groth Ztschr. 4, 122. — Vgl. Baumhauer-Ebend. 1, 51.

Zwillinge nach einem o. — Scacchi: Pogg. A. 109, 356.

Henriquez beobachtete Krystalle, an denen das Pyritoeder vorherrscht, daneben Würfel und Oktaeder. — Groth Ztschr. 3, 365.

Manche Krystalle zeigen, gleich dem des Strontiansalzes, eine Wirkung auf das polarisirte Licht, andere nicht. — Marbach: Pogg. A. 94, 448.

Wulff konnte Circularpolarisation nicht beobachten.

Die Brechungsexponenten sind

	Topsöe	Fock
der mittlere	1,5744	1,5746
für C	1,5665	
- D	1,5742	
- F	1,5825	

Topsöe: Pogg. A. Ergbd. 6, 499. — Fock: Groth Ztschr. 4, 585.

Aetzfiguren: S. Baumhauer und Wulff a. a. O.

Ausdehnung. Kubische von 0—100° = 0,00452. Joule und Playfair.

Volumgewicht 3,464 (bei 4°) Joule und Playfair; 3,20 Filh (bei 17°, 5); 3,228 Kremers; 3,23 Schröder; 3,404 Buignet.

Spec. Wärme. 0,1492 Neumann.

Löslichkeit. — 1 Liter bei 15° gesättigter L. enthält 78,268 gr Salz; V. G. = 1,06398 Michel und Krafft.

Sind in 100 Th. Wasser gelöst

4,80 Th., so ist das V. G. 4,0445  
 3,63 - - - - - 4,0292  
 5,47 - - - - - 4,0436  
 7,48 - - - - - 4,0593  
 9,04 - - - - - 4,0707 Kremers.

me. Thomsen: Ber. d. ch. G. 1873, 740. — Berthe-

lung Favre: C. r. 54 u. 77.

ler Lösungen. Thomsen: Pogg. A. 442, 365. 372.

### Salpetersaurer Strontian.

A. Anhydrid.  $\text{SrN}^2\text{O}^6$ .

Oktaeder mit Würfel, nach Seacchi bisweilen Pyritoeder-  
 ff beobachtete tetraedrische Ausbildung; auch vereinzelte  
 en. S. Barytnitrat.

an bei gekreuzten Polarisationssebenen durch zwei Würfel-  
 beobachtet man ein diagonales Kreuz aus zwei hellen Linien,  
 Würfelkanten parallel sind; sind die Linien parallel der Po-  
 ene, so erscheinen sie dunkel. Das Salz besitzt vielleicht Cir-  
 ation. — Marbach: Pogg. A. 94, 442.

lungsexponent = 4,5667 Fock.

ngewicht. 2,857 Filhol; 2,962 Schröder; 2,305 Buig-  
 -Favre.

B. Hydrat.  $\text{SrN}^2\text{O}^6 + 4\text{aq}$ .

- und eingliedrig.  $a : b : c = 0,6547 : 1 : 0,8976$  Sénarmont.  
 $\alpha = 88^\circ 50'$ .

$p, {}^3p, q, \frac{q}{2}, r', a, b$ .

$= a' : 2b : c$ .

	Berechnet	Beobachtet		
		Sénarmont	Rammelsberg	Brooke
$\angle : o' =$	$123^\circ 48'$			
$\angle : s' =$	$150 \quad 6$			
$\angle : p =$		$113^\circ 35'$	$113^\circ 30'$	$113^\circ 40'$
$\angle : {}^3p =$	$53 \quad 58$	$54 \quad 0$	$54 \quad 20$	
$\angle : p =$	$150 \quad 11$		$150 \quad 8$	$150 \quad 40$
$q : q =$	$96 \quad 42$	$96 \quad 0$		
$\angle : a =$	$90 \quad 52$			
$\frac{q}{2} : \frac{q}{2} =$		$134 \quad 40$		$134 \quad 46$
$\angle : a =$	$94 \quad 4$			
$\alpha : r' =$		$143 \quad 20$		
$p : r' =$	$132 \quad 16$	$132 \quad 20$		

**Wasserstoff**

**Wasserstoff**

Wasserstoff	Wasserstoff	Wasserstoff
1	2	3
4	5	6
7	8	9
10	11	12
13	14	15
16	17	18
19	20	21
22	23	24
25	26	27
28	29	30
31	32	33
34	35	36
37	38	39
40	41	42
43	44	45
46	47	48
49	50	51
52	53	54
55	56	57
58	59	60
61	62	63
64	65	66
67	68	69
70	71	72
73	74	75
76	77	78
79	80	81
82	83	84
85	86	87
88	89	90
91	92	93
94	95	96
97	98	99
100	101	102

Die Wasserstoff-Atome sind in der Natur als Moleküle  $H_2$  vorhanden. Sie sind farblos, geruchlos und schmelzen bei  $-252,8^\circ C$ .



Die Wasserstoff-Atome sind in der Natur als Moleküle  $H_2$  vorhanden. Sie sind farblos, geruchlos und schmelzen bei  $-252,8^\circ C$ . Die Wasserstoff-Atome sind in der Natur als Moleküle  $H_2$  vorhanden. Sie sind farblos, geruchlos und schmelzen bei  $-252,8^\circ C$ .

Die Wasserstoff-Atome sind in der Natur als Moleküle  $H_2$  vorhanden. Sie sind farblos, geruchlos und schmelzen bei  $-252,8^\circ C$ .

Die Wasserstoff-Atome sind in der Natur als Moleküle  $H_2$  vorhanden. Sie sind farblos, geruchlos und schmelzen bei  $-252,8^\circ C$ .

Die Wasserstoff-Atome sind in der Natur als Moleküle  $H_2$  vorhanden. Sie sind farblos, geruchlos und schmelzen bei  $-252,8^\circ C$ .

Die Wasserstoff-Atome sind in der Natur als Moleküle  $H_2$  vorhanden. Sie sind farblos, geruchlos und schmelzen bei  $-252,8^\circ C$ .

Wasserstoff	Wasserstoff	Wasserstoff	Wasserstoff
1	2	3	4
5	6	7	8
9	10	11	12
13	14	15	16
17	18	19	20
21	22	23	24
25	26	27	28
29	30	31	32
33	34	35	36
37	38	39	40
41	42	43	44
45	46	47	48
49	50	51	52
53	54	55	56
57	58	59	60
61	62	63	64
65	66	67	68
69	70	71	72
73	74	75	76
77	78	79	80
81	82	83	84
85	86	87	88
89	90	91	92
93	94	95	96
97	98	99	100

Favre und Valson: C. r. 77, 377.

Thermische Erscheinungen beim Lösen. — Favre: C. r. 77, 302. — Thomsen: Ber. d. ch. Ges. 1873, 719.

Siedepunkt der gesättigten Lösung =  $107,5^\circ C$ . Kremers.

**Halpetersaurer Kalk.  $CaN_2O_6 + 4aq$**

Zwei- und eingliedrig.  $a : b : c = 4,5835 : 1 : 0,1$   
 rhomb.  $\alpha = 84^\circ 53'$

$a, a', p, p', q, r, r', a, b$





	Berechnet	Beobachtet
$o : o =$	$118^{\circ} 32'$	
$o' : o' =$	$113 \ 10$	$113^{\circ} 14'$
$o : o' =$	$140 \ 42$	
$o : o' =$	$77 \ 49$	
$p : p =$	$65 \ 4$	
$a =$		$*122 \ 32$
$p^2 : p =$	$103 \ 40$	
$a =$	$144 \ 55$	$142 \ 10$
$q : q =$	$111 \ 30$	$111 \ 30$
$a =$	$96 \ 42$	$96 \ 54$
$a : r =$	$120 \ 10$	$119 \ 55$
$r' =$		$*106 \ 30$
$r : r' =$	$133 \ 20$	
$p : r =$	$105 \ 41$	
$r' =$	$98 \ 47$	
$o : a =$	$115 \ 35$	$115 \ 50$
$p =$	$131 \ 32$	$131 \ 35$
$o' : a =$		$*103 \ 43$
$p =$	$126 \ 17$	$126 \ 17$

Oefter tafelartig nach  $a$ . — Analog dem Strontiansalz, vielleicht bei anders gewählter Stellung. Nicht sehr zerfliesslich. Marignac.

Volumgewicht des Anhydrids 2,24 Filhol. 2,472 Kremers.

Schmelzpunkt des krystallisirten  $44^{\circ}$ . — Ordway: Am. J. Sc. (2) 17, 14.

Volumgewicht der Lösungen Franz: J. f. pr. Ch. (2) 5, 274.

Lösungswärme. Berthelot: C. r. 77, 24. Dieselbe und Volumänderung Favre: Eb. 802. Spannkraft der Dämpfe siedender Lösungen. Babo, s. salpetersaures Kali.

Siedepunktsverzögerung Legrand: Ebend.

Brechungsvermögen der Lösungen. Fouqué: C. r. 64, 124.

### Salpetersaure Magnesia. $MgN^2O^6 + 6aq$ .

Zwei- und eingliedrig.  $a : b : c = 0,519 : 1 : 0,9698$  Marignac.  
 $o = 87^{\circ} 5'$ .

$p, q, \frac{q}{2}, c$	Berechnet	Beobachtet	
		Marignac	Chodnow
$p : p =$		$*125^{\circ} 12'$	$122^{\circ} 30'$
$c =$		$*92 \ 36$	
$q : q =$	$94^{\circ} 50'$		
$c =$		$*135 \ 55$	
$\frac{q}{2} : \frac{q}{2} =$	$128 \ 20$		
$c =$	$154 \ 10$	$154 \ 30$	

# Salpetersaure Salze

42

Salpetersaures Nickel.  $\text{NiN}^2\text{O}^6 + 6\text{aq.}$  Spaltbar nach  $p$ . Sehr zerfliesslich.

Schmilzt bei  $90^\circ$  und siedet bei  $443^\circ$ . Ordway.

Volumgewicht der Lösungen. Schiff: Ann. Ch. Ph. 108, 1

Zeitschr. anal. Ch. 7. 449.

Verh. auf den Gefrierpunkt auch Ni, Zn, Mn, Cd, Cu, Sr-sal

Ann. A. 145. 599.

## Salpetersaures Nickel. $\text{NiN}^2\text{O}^6 + 6\text{aq.}$

Zwei- und einliedrig.  $a : b : c = 0.5834 : 1 : 0.9567$  Mari

$\alpha = 78^\circ 34'$

$a$	$q^2$	$2p$	$2r$	$a : c$	Berechnet	Beobachtet
		$2p : 2p =$				$82^\circ 20'$
		$c =$				$97 30$
	$q^2 : q^2 =$				$56^\circ 8'$	
	$2r : c =$					$129 30$
	$a =$				$151 56$	
	$2r : c =$				$112 47$	$113$
	$a =$				$145 47$	
	$a : c =$				$101 26$	
	$2p : q^2 =$				$107 25$	
	$2r =$				$125 31$	$125 40$
	$2r' =$				$123 3$	$122 40$

$a$  und  $q^2$  wurden nur beim Kobaltsalz gefunden. — Die  $M$  sind nicht scharf, doch scheint das Salz isomorph dem vorigen zu :

Die bei niederer T. entstehenden Krystalle enthalten ebenfalls besitzen aber vielleicht eine andere Form.

Schmilzt bei  $56^\circ,7$ , siedet bei  $436^\circ,7$ . Ordway.

Volumgewicht. 2,065 Clarke. — V. G. der Lösungen S. Kalksalz.

Die Farbe ändert sich beim Erhitzen der Lösung, wird mehr Houston.

Dem Spectrum fehlen Roth und Violett ganz. Emsmann : Ergbd. 6, 334.

## Salpetersaures Kobalt. $\text{CoN}^2\text{O}^6 + 6\text{aq.}$

Isomorph dem Nickelsalz. Ohne die Flächen  $2r'$ .

Beobachtet					
$2p : 2p =$	$82^\circ$	$2r : c =$	$129^\circ 10'$		
$c =$	$97-98^\circ$	$a : c =$	$104 50$		
$q^2 : c =$	$148$	$2p : q^2 =$	$108$		
		$2r =$	$125 20$	$M$	$a$

Volumgewicht. 4,83 Boedecker.

Volumgewicht der Lösungen. Franz: S. Nickelsalz.



**Salpetersaures Kadmium.**  $\text{CdN}^2\text{O}^6 + 4\text{aq.}$ 

Volumgewicht. 2,45 Clarke.

Schmilzt bei  $59^{\circ},5$  und siedet bei etwa  $132^{\circ}$ . Ordway.

Volumgewicht der Lösungen. Franz: S. o.

**Salpetersaures Zink.**  $\text{ZnN}^2\text{O}^6 + 6\text{aq.}$ 

Volumgewicht 2,063 Clarke.

Volumgewicht der Lösungen. Franz.

**Salpetersaures Mangan.**  $\text{MnN}^2\text{O}^6 + 6\text{aq.}$ Der Schmelzpunkt des Zinksalzes ist  $36^{\circ},4$ , des Mangansalzes  $25^{\circ},8$ ;Siedepunkte sind  $134^{\circ}$  und  $129^{\circ},5$ . Ordway.**Salpetersaures Kupfer.**  $\text{CuN}^2\text{O}^6 + 6\text{aq.}$ Schmilzt bei  $26^{\circ},4$  und bildet Krystalle des Hydrats mit 3 aq. welches  $144^{\circ},5$  schmilzt und bei  $170^{\circ}$  siedet. Ordway.

Volumgewicht der Lösungen. Franz: S. o.

Elektricitätsleitung. E. Becquerel: Ann. Ch. Phys. (3) 17, 267.

**Salpetersaures Blei.**  $\text{PbN}^2\text{O}^6$ .

Regulär. Tetartoedrisch. Oktaeder und Würfel; oft jenes als zweifachtrieder; hierzu tritt öfters das Pyritoeder. Ist das grosse Tetraeder das rechte, so ist das Pyritoeder das linke.

Bisweilen erscheint ausserdem ein Trapezoidtetraeder  $a : a : \frac{3}{4}a$  und ein Viertelächner eines Achtundvierzigflächners, wahrscheinlich  $a : \frac{3}{4}a : \frac{3}{4}a$ , dessen Flächen zu je dreien dem rechten Tetraeder anliegen (letztere Form einmal beobachtet). Nur selten übertrifft das linke Tetraeder an Ausdehnung das rechte. — Wulff: Groth Ztschr. 4, 122. — Vgl. Knop: Pharm. Centr. 1853, 47.

Brechungsexponenten: C = 1,7780; D = 1,7820; F = 1,8065. Bunsen, Roscoe und Christiansen.

Kubische Ausdehnung von 0 bis  $100^{\circ} = 0,00839$ . Joule und Gay-Lussac.Volumgewicht. 4,472 ( $4^{\circ}$ ) Dieselben; 4,584 Filhol; 4,509 Schröter; 4,235 Buignet.

Spec. Wärme 0,4473 Neumann.

Löslichkeit. — 1 Th. löst sich

bei $0^{\circ}$	in	2,58	Th. Wasser.	Kremers
- 10	-	2,07	-	Ders.
- 17,5	-	1,99	-	Karsten
- 22,3	-	1,71	-	Kopp
- 24,7	-	1,59	-	Ders.

Meist nur  $p, c$ . Spaltb.  
Schmilzt bei  $90^{\circ}$  und si  
Volumgewicht der Lös  
Oudemans: Zeitschr. an.  
Einfluss auf den Gefri  
dorff: Pogg. A. 445, 590

**Salpetersa**

Zwei- und eingliedri

$2p, q^2, 2r, 2r', a, c$

$$2p : 2p =$$

$$q^2 : q^2 =$$

$$2r : c =$$

$$2r' : c =$$

$$a : c =$$

$$2p : q^2 =$$

$$2r : c =$$

$$2r' : c =$$

$a$  und  $q^2$  wurden nur  
sind nicht scharf, doch schei  
Die bei niederer T. ent  
besitzen aber vielleicht eine a  
Schmilzt bei  $56^{\circ}, 7$ , siedet  
Volumgewicht. 2,06  
S. Kalksalz.

Die Farbe ändert sich bei  
Houston.

Dem Spectrum fehlen Roth  
Ergbd. 6, 334.

**Salpetersaures**

Isomorph dem Nickelsalz.

$$2p : 2p = 82^{\circ}$$

$$c = 97$$

$$q^2 : c = 418$$

Volumgewicht. 1,83 B.

Volumgewicht der Lösungen

Salze.

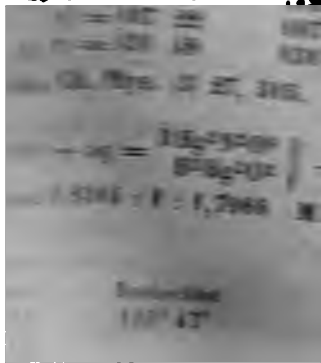
Wasser. Kremers.

Ders.

enthalt 161.49 grm und h

Kremers: Pogg.

1873.



**Salpetersaures Kadmium.**  $\text{CdN}^2\text{O}^6 + 4\text{aq.}$ 

Volumgewicht. 2,45 Clarke.

Schmilzt bei  $59^{\circ},5$  und siedet bei etwa  $132^{\circ}$ . Ordway.

Volumgewicht der Lösungen. Franz: S. o.

**Salpetersaures Zink.**  $\text{ZnN}^2\text{O}^6 + 6\text{aq.}$ 

Volumgewicht 2,063 Clarke.

Volumgewicht der Lösungen. Franz.

**Salpetersaures Mangan.**  $\text{MnN}^2\text{O}^6 + 6\text{aq.}$ Der Schmelzpunkt des Zinksalzes ist  $36^{\circ},4$ , des Mangansalzes  $25^{\circ},8$ ; ihre Siedepunkte sind  $131^{\circ}$  und  $129^{\circ},5$ . Ordway.**Salpetersaures Kupfer.**  $\text{CuN}^2\text{O}^6 + 6\text{aq.}$ Schmilzt bei  $26^{\circ},4$  und bildet Krystalle des Hydrats mit 3 aq, welches bei  $114^{\circ},5$  schmilzt und bei  $170^{\circ}$  siedet. Ordway.

Volumgewicht der Lösungen. Franz: S. o.

Elektricitätsleitung. E. Becquerel: Ann. Ch. Phys. (3) 17, 267.

**Salpetersaures Blei.**  $\text{PbN}^2\text{O}^6$ .

Regulär. Tetartoedrisch. Oktaeder und Würfel; oft jenes als zwei Tetraeder; hierzu tritt öfters das Pyritoeder. Ist das grosse Tetraeder das rechte, so ist das Pyritoeder das linke.

Bisweilen erscheint ausserdem ein Trapezoidtetraeder  $a : a : \frac{3}{2}a$  und der Viertelflächner eines Achtundvierzigflächners, wahrscheinlich  $a : \frac{3}{2}a : \frac{1}{2}a$ , dessen Flächen zu je dreien dem rechten Tetraeder anliegen (letztere Form einmal beobachtet). Nur selten übertrifft das linke Tetraeder an Ausdehnung das rechte. — Wulff: Groth Ztschr. 4, 122. — Vgl. Knop: Pharm. Centr. 1853, 17.

Brechungsexponenten: C = 1,7780; D = 1,7820; F = 1,8065. Topsøe und Christiansen.

Kubische Ausdehnung von 0 bis  $100^{\circ}$  = 0,00839. Joule und Playfair.Volumgewicht. 4,472 ( $4^{\circ}$ ) Dieselben; 4,584 Filhol; 4,509 Schröder; 4,235 Buignet.

Spec. Wärme 0,4173 Neumann.

Löslichkeit. — 1 Th. löst sich

bei $0^{\circ}$	in	2,58	Th.	Wasser.	Kremers
- 10	-	2,07	-	-	Ders.
- 17,5	-	1,99	-	-	Karsten
- 22,3	-	1,71	-	-	Kopp
- 24,7	-	1,59	-	-	Ders.

bei 25° in 1,65 Th. Wasser. Kremers

- 45	- 1,25	-	-	} Ders.
- 65	- 0,99	-	-	
- 85	- 0,83	-	-	
- 100	- 0,72	-	-	

1 Liter bei 15° gesättigter L. enthält 464,49 grm und hat = 1,390. Michel und Krafft.

Volumgewicht der Lösungen. Kremers: Pogg. A. 96, 39. — Schiff: Ann. Ch. Ph. 108, 326.

Lösungswärme. Thomsen: B. d. ch. Ges. 1873, 710. Thelot: C. r. 77, 24.

Spec. Wärme der Lösungen. Thomsen: Pogg. A. 142, Siedepunkt derselben 103°, 5. Kremers.

### Salpetersaures Quecksilberoxydul.

I. Normales.  $\text{Hg}^2\text{N}^2\text{O}^6 + 2\text{aq} (\text{HgNO}^3 + \text{aq})$ .

Zwei- und eingliedrig  $a : b : c = 1,1503 : 1 : 0,83$  rignac.  $o = 76^\circ 42'$ .

$o', p, q, r, r', a, b$ .

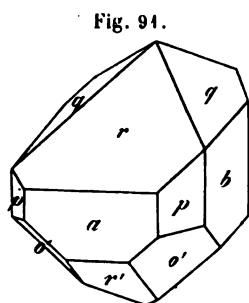


Fig. 91.

	Berechnet	Beobachtet
$o' : o' =$	$106^\circ 36'$	
$p : p =$		$*83^\circ 40'$
$q : q =$	102 2	
$a =$	100 44	100 43
$a : r =$		$*134 45$
$r' =$	116 35	
$r : r' =$		$*108 40$
$o' : b =$	126 42	126 0
$p =$	133 42	
$q =$	126 48	
$p : r =$	118 0	118 3
$r' =$	107 22	107 26
$q : r =$	134 48	134 48

Fig. 91. — Marignac: Ann. Ch. Phys. (3) 27, 345.

II. Dreiviertel.  $\text{Hg}^3\text{N}^6\text{O}^{19} + \text{aq} = \left. \begin{matrix} 3\text{Hg}^2\text{N}^2\text{O}^6 \\ 11^2\text{Hg}^2\text{O}^2 \end{matrix} \right\} + \text{aq}$

Zweigliedrig.  $a : b : c = 0,8344 : 1 : 1,7966$  Marié

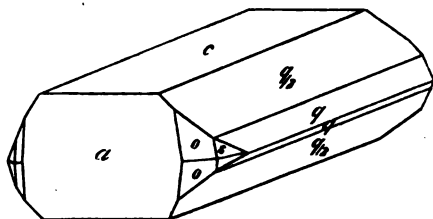
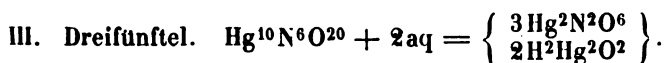
$o, q, \frac{q}{2}, r, a, c$ .

$s = a : \frac{1}{2}b : c$ .

	Berechnet	Beobachtet
$o \left\{ \begin{matrix} 2A = 105^\circ 56' \\ 2B = 87 40 \\ 2C = 140 50 \end{matrix} \right.$		$105^\circ 47'$
		140 52

	Berechnet	Beobachtet
$s$	$2A = 67^{\circ} 4'$	
	$2B = 119 50$	
	$2C = 153 10$	$153^{\circ} 0'$
	$q : q = 58 12$	$58 20$
	$\frac{q}{2} : \frac{q}{2} =$	$*96 8$
	$q = 161 2$	$160 58$
$r$	$r =$	$*49 40$
	$c = 114 50$	$114 40$
$o$	$a = 136 25$	$136 22$
	$r = 142 58$	$142 55$
$s$	$o = 160 34$	$160 30$

Fig. 92.

Fig. 92. Prismatisch nach  $q$  und  $c$  oder tafelartig nach  $c$ .

Eingliedrig.  $a : b : c = 1,3094 : 1 : 1,1916$  Marignac.

$A = 98^{\circ} 30'$	$\alpha = 94^{\circ} 5'$
$B = 111 2$	$\beta = 109 43$
$C = 103 25$	$\gamma = 101 11$

$o, o', o'', o''', \frac{o'''}{2}, p, p', \frac{p'}{2}, q, q', \frac{q'}{2}, r, r', 2r, 2r', \frac{r'}{2}, 3r, a, b, c.$   
 $n' = \frac{1}{2}a : b' : c.$

	Berechnet	Beobachtet	
		Marignac	Rammelsberg
$o$	$o : o' = 108^{\circ} 55'$		
	$o'' : o''' = 87 20$		
	$o : o'' = 122 46$		
	$o' : o''' = 113 13$		
	$o : o''' = 118 7$		
	$o' : o'' = 104 42$		
	$a : b =$	$*103^{\circ} 25'$	$104^{\circ} 12'$
	$p = 136 57$	$136 57$	$136 15$
	$p' = 120 41$		
	$b : p =$	$*146 28$	$146 50$
	$p' = 135 51$	$135 44$	
	$\frac{p'}{2} : a = 144 56$		
	$b = 111 39$	$111 26$	
	$p' = 155 48$		
	$b : c =$	$*98 30$	$98 30$
	$q : b = 142 33$		
	$c =$	$*135 57$	
	$q' : b' = 135 13$		$135 10$
	$c = 125 52$	$126 24$	$126 40$
	$\frac{q'}{2} : b' = 113 18$		
	$c = 148 17$		

	Berechnet	Beobachtet	
		Marignac	Ramm e
$a : c =$		$111^{\circ} 2'$	$110^{\circ}$
$r = 114^{\circ} 0'$			$114$
$r' = 131 15$			
$c : r = 117 2$		$117 3$	$116$
$r' = 127 43$		$127 34$	
$2r = 133 56$		$134 0$	
$2r' = 101 1$		$101 0$	
$3r = 127 37$		$127$	ungef.
$\frac{r'}{2} = 152 38$		$152 38$	$152$
$p : c = 107 55$		$107 49$	
$p' : c = 97 43$		$97 48$	
$\frac{p'}{2} : c = 104 48$		$104 48$	
$a : q = 112 32$		$112 35$	
$q' = 93 36$		$93 38$	
$b : r = 103 42$		$103 48$	
$r' = 86 29$		$86 25$	
$2r = 103 56$			
$2r' = 80 48$		$80 25$	
$3r = 104 1$			
$\frac{r'}{2} = 92 28$		$92 29$	
$o : a = 135 54$		$136 2$	
$b = 134 46$		$134 3$	
$c = 134 4$		$133 52$	
$o' : a = 126 3$		$125 55$	
$b = 116 49$		$116 38$	
$c = 132 44$		$132 44$	$131$
$o'' : a' = 101 20$		$101 22$	
$b = 134 40$			
$c = 123 7$		$123 4$	
$o''' : a' = 120 44$		$121 3$	
$b' = 138 0$		$138 0$	
$c = 107 49$		$108 4$	
$\frac{o'''}{2} : a' = 102 40$			
$b' = 119 38$			
$c = 134 0$		$134 2$	
$n' : a = 114 44$		$115 7$	
$b' = 103 40$			
$c = 128 36$		$128 40$	

Fig. 93 und 94.

Das Dreiviertel-Nitrat wurde von C. Mitscherlich, L. Gerhard für Zweidrittel-Nitrat, und das Dreifünftel-Nitrat vo



Halb-Nitrat erklärt. Doch stimmen die Analysen in beiden Fällen mit rignac's Formeln besser überein.

Fig. 93.

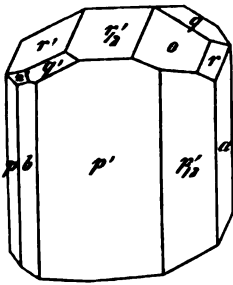
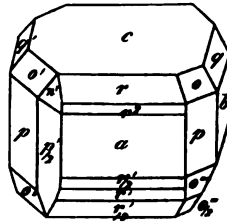
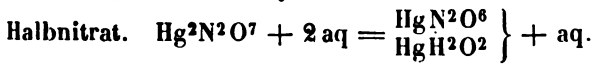


Fig. 94.



Salpetersaures Quecksilberoxyd.



Zweigliedrig.  $a : b : c = 0,6975 : 4 : 0,5487$  Marignac.

$o, p, 2p, q, \frac{q}{2}, a, b, c.$

$s = a : \frac{1}{2}b : c; n = \frac{1}{2}a : b : c.$

	Berechnet
$o$	$2A = 134^\circ 48'$
	$2B = 113 \quad 8$
	$2C = 84 \quad 24$
$s$	$2A = 100 \quad 26$
	$2B = 123 \quad 34$
	$2C = 103 \quad 50$
$n$	$2A = 147 \quad 42$
	$2B = 74 \quad 48$
	$2C = 115 \quad 40$
$p$	$p : p = 110 \quad 12$
	$b = 124 \quad 54$
$2p$	$2p : 2p = 70 \quad 16$
	$b =$
$q$	$q : q = 125 \quad 10$
	$c = 152 \quad 35$
$\frac{q}{2}$	$\frac{q}{2} : \frac{q}{2} = 150 \quad 56$
	$c = 165 \quad 28$
$o$	$o : b = 112 \quad 36$
	$c = 137 \quad 48$
$s$	$s : b = 129 \quad 47$
	$c =$
$n$	$n : b = 106 \quad 9$
	$c = 122 \quad 25$

Beobachtet

$124^\circ 50'$

$*144 \quad 22$

$152 \quad 47$

$165 \quad 40$

$112 \quad 40$

$137 \quad 54$

$129 \quad 43$

$*128 \quad 5$

$105 \quad 54$

$122 \quad 45$

Fig. 95.

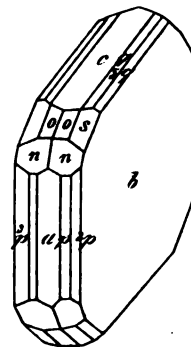
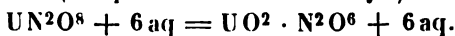


Fig. 95. — Tafelartig nach  $b$ . — Spaltbar nach  $b$ , weniger nach  $a$  und  $2p$ .

### Salpetersaures Uranoxyd.

(Salpetersaures Uranyl.)



Zweigliedrig.  $a : b : c = 0,8737 : 4 : 0,6088$  De la Provostaye

$o, q, a, b$ .	Berechnet	Beobachtet		
		De la Provostaye.	Schabus	Rammelsberg
$o \left\{ \begin{array}{l} 2A = 127^\circ 0' \\ 2B = 118 \quad 30 \\ 2C = 85 \quad 32 \end{array} \right.$			$127^\circ 6'$ 118 5	117° 44'
$q : q =$		*117° 20'	117 25,5	
$b = 121 \quad 20$			121 17	
$o : a = 120 \quad 45$		121 20 *)	120 57,5	120 48
$b = 116 \quad 30$		116 30 *)	116 27	
$q =$		*149 15	149 2,5	149 11

De la Provostaye: Ann. Ch. Phys. (3) 5, 48.

Oft tafelartig nach  $b$ .

Ebene der opt. Axen  $ac$ , Mittell.  $c$ ; positiv:  $2E = 67^\circ 6'$ ,  $2F = 45^\circ 15'$ ;  $q < v$ . Grailich und Lang.

Mittlere Brechungsexponenten:

	1,4950 Roth	1,4994 Grün
	1,4967 Gelb	1,5023 Blau.
Hieraus	$2E$	$2F$
	Roth $68^\circ 15'$	$44^\circ 5'$
	Blau $69 \quad 15$	$44 \quad 27$ Lang.

Trichroitisch: grün, grüngelb, gelb.

Fluorescenz. Hagenbach: Pogg. A. 146, 395.

Volumgewicht. 2, 807 Boedeker.

Schmilzt bei  $59^\circ,5$ , beginnt bei  $118^\circ$  zu sieden. Ordway.

Schwach diamagnetisch. Grailich.

Brechungsverhältnisse der Lösungen. Sauber: Pogg. A. 117, 57'

### Salpetersaures Wismuth.

I. Normales.  $\text{BiN}^3\text{O}^9 + 9\text{aq}$ .

Eingliedrig.  $a : b : c = 0,8053 : 4 : 0,6172$  Rammelsberg.

$A = 96^\circ 40'$	$\alpha = 99^\circ 4'$
$B = 103 \quad 5$	$\beta = 104 \quad 26$
$C = 84 \quad 0$	$\gamma = 79 \quad 6$

$o'', o''', p, p', q, q', \frac{q'}{2}, r, r', a, b, c$ .

$s''' = a' : \frac{1}{2} b' : c$ .

\*) Grailich.

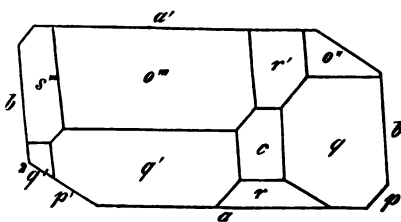
Berechnet	Beobachtet	
	Rammelsberg	Schabus
$a : b =$	* 84° 0'	80° 50'
$p =$	* 138 20	
$p' = 145^{\circ} 44'$	145 46	145 3
$b : p' = 133 46$	133 44	
$p : p' = 403 34$	403 37	
$b : c =$	* 96 40	
$q = 126 7$	126 7	
$q' = 116 23$	116 26	115 59
$c : q =$	* 150 33	
$q' = 146 57$	146 58	147 5
$q : q' = 117 30$	117 30	118 9
$\frac{q'}{2} : b = 137 58$	137 53	
$c = 125 22$		
$q' = 158 25$	158 30	
$a : c =$	* 103 5	
$r = 135 44$	135 49	
$r' = 119 44$	119 30	
$c : r = 147 23$	147 45	
$r' = 137 43$	138 45	
$a : q = 96 9$	96 45	
$q' = 106 54$	106 48	107 3
$b : r = 90 41$	90 26	
$o'' : a = 117 38$		
$b = 127 48$	128 0	
$c = 130 30$		
$p' = 133 54$	133 54	
$r' = 154 27$	154 8	
$o''' : a = 112 58$	112 44	112 48
$b = 108 52$	108 53	108 35
$c = 130 56$	131 48	
$q' = 140 44$	140 44	
$r' = 148 53$	149 42	
$s''' : b = 134 58$	134 48	
$o''' = 156 54$	156 55	

Fig. 96. — Spaltbar nach  $a$ .

Volumgewicht 2,736 Joule  
und Playfair; 2,823 Clarke.

Brechungsverhältnisse der Lösung  
Baden-Powell: Pogg. A.  
69, 414. — Ditscheiner: Wien.  
Ak. Ber. 49.

Fig. 96.



II. Basisches.  $2\text{BiN}^2\text{O}^8 + \text{aq.}$ 

Eingliedrig.

Beobachtet

$$p : p' = 122^\circ 40'$$

$$p : c = 123 \quad 35$$

$$p' : c = 112 \quad 52$$

Des Cloizeaux: C. r. 84, 1162.

Salpetersaures Didym.  $\text{Di}^2\text{N}^6\text{O}^{18} + 12\text{aq.}$ Eingliedrig.  $a : b : c = 2,4035 : 4 : 4,8597$  Topsöe.

$$A = 96^\circ 58'$$

$$\alpha = 97^\circ 30'$$

$$B = 119 \quad 43,5$$

$$\beta = 110 \quad 54$$

$$C = 90 \quad 8$$

$$\gamma = 92 \quad 47,5$$

$$\frac{o''}{2}, p, p', p^3, q, q', c.$$

$$s' = a' : \frac{1}{3} b' : c.$$

Berechnet

Beobachtet

$$p : p' = 137^\circ 42'$$

Topsöe

M

$$137^\circ 40'$$

$$43$$

$$p : b =$$

$$*111 \quad 47$$

$$41$$

$$p : b' =$$

$$*111 \quad 32$$

$$41$$

$$p : c = 111 \quad 59$$

$$111 \quad 50$$

$$41$$

$$p' : c = 106 \quad 33$$

$$106 \quad 29$$

$$41$$

$$q : q' =$$

$$q : q' =$$

$$q' =$$

$$b : q = 111 \quad 33$$

$$111 \quad 39$$

$$43$$

$$q' = 125 \quad 42$$

$$125 \quad 30$$

$$43$$

$$p^3 : b = 139 \quad 44$$

$$140 \quad 0$$

$$43$$

$$b : c = 96 \quad 58$$

$$96 \quad 40$$

$$41$$

$$\frac{o''}{2} : b =$$

$$*112 \quad 47$$

$$41$$

$$c = 135 \quad 45$$

$$134 \quad 47$$

$$43$$

$$s' : b =$$

$$*126 \quad 25$$

$$43$$

$$\frac{o''}{2} = 121 \quad 18$$

$$121 \quad 22$$

$$43$$

Fig. 97.

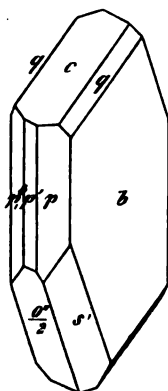


Fig. 97. — Ziemlich grosse röthliche Krystalle, tafelartig nach  $q$  und  $s'$  untergeordnet und seltener. Einmal wurde  $a$  beobachtet.

Spaltbar vollkommen nach  $b$ . — Marignac: Arch. sc. nat.

Topsöe: Vet. Akad. H. 1874.

Das Absorptionsspectrum Erk: Jenaische Ztschr. f. Med. u. Na

Salpetersaures Lanthan.  $\text{La}^2\text{N}^6\text{O}^{18} + 12\text{aq.}$ 

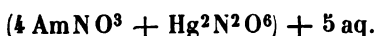
Eingliedrig. Des Cloizeaux.

		Beobachtet		
$a : b$	$= 90^{\circ} 40'$		$b' : q^2$	$= 129^{\circ} 0'$
$b : p$	$\left\{ = 129 \ 45$		$a : c$	$= 104 \ 0$
$p' :$	$\left\{ = 113 \ 5$		$a' : r'$	$= 116 \ 30$
$b : c$	$= 113 \ 5$		$p : c$	$= 113 \ 40$
$b' : q$	$= 100 \ 48$		$p' : c$	$= 84 \ 42$

Schmilzt bei  $40^{\circ}$  und siedet bei  $126^{\circ}$  Ordway.

### Doppelsalze.

#### Salpetersaures Quecksilberoxydul-Ammoniak.



Zweigliedrig.  $a : b : c = 0,6924 : 1 : 0,365$  Rammeisberg.

$o, p, b.$	Berechnet	Beobachtet
$o \left\{ \begin{array}{l} 2A \\ 2B \\ 2C \end{array} \right.$	$\begin{array}{l} = 144^{\circ} 42' \\ = 127 \ 48 \\ = 65 \ 20 \end{array}$	$144^{\circ} 40'$
$p : p =$		$*110 \ 36$
$b =$	$124 \ 42$	$124 \ 40$
$o : b =$	$107 \ 54$	$107 \ 55$
$p =$		$*122 \ 40$

Prismatisch nach  $p$ . — Pogg. A. 109, 377.

Salpetersaures Lanthan-Ammoniak.  $(4 \text{ AmNO}^3 + \text{La}_2\text{N}_6\text{O}^{18}) + 8 \text{ aq.}$

Salpetersaures Didym-Ammoniak.  $(4 \text{ AmNO}^3 + \text{Di}_2\text{N}_6\text{O}^{18}) + 8 \text{ aq.}$

Zwei- und eingliedrig.

Lanthansalz  $a : b : c = 1,248 : 1 : 2,134$  Marignac.

$$o = 67^{\circ} 40'.$$

$o, o', p, r', c.$	Berechnet	Beobachtet	
		La.	Di.
$o : o =$	$98^{\circ} 43'$	$98^{\circ} 50'$	
$o' : o' =$		$*78 \ 40$	$78^{\circ} 40'$
$p : p =$	$82 \ 4$	$81 \ 54^*)$	$82 \ 0$
$c =$		$*104 \ 45$	$105 \ 0$
$r' =$	$122 \ 34$	$122 \ 30$	
$c : r' =$	$102 \ 3$	$102 \ 0$	$104 \ 45$
$o =$	$123 \ 25$	$123 \ 25$	
$o' =$		$*97 \ 36$	$97 \ 40$
$o' : r' =$	$129 \ 20$	$129 \ 20$	$129 \ 25$

Arch. sc. nat. 1873 Mars.

Spaltbar nach  $c$ .

Ebene der opt. Axen  $a, c$ , Mittell. etwa  $35^{\circ}$  mit der Normalen auf Fläche  $c$ , und  $400^{\circ}$  mit einer solchen auf Fläche  $a$ .  $2E = 8-10^{\circ}$ ; Dispersion

<sup>\*)</sup>  $82^{\circ} 48'$  Des Cloizeaux.

Rammeisberg, physik. Chemie.

stark,  $\varrho > v$ ; der Axenwinkel ändert sich mit der T. für die verschied. Farben; bei  $0^\circ$  sind die rothen Axen merklich weiter als die violetten, noch mehr bei  $15^\circ$ , und die Wärme der Hand genügt, um die letzteren zusammenfallen zu sehen. Des Cloizeaux.

### Salpetersaures Cer-Ammoniak.

Zwei- und eingliedrig.

$p : p = 82^\circ 50'$ ;  $p : c = 113^\circ$ . Des Cloizeaux.

Isomorph mit den vorhergehenden.

Leicht spaltbar nach c.

Die Ebene der opt. Axen ist parallel der Axe  $b$ ; sie ist unter  $33^\circ$  gegen eine Normale auf die Endfläche  $c$  und unter  $100^\circ$  gegen eine solche auf die vordere Kante  $\frac{p}{p}$  geneigt. Die Mittellinie ist parallel der Symmetrieebene  $ac$  und macht  $123^\circ$  mit dem vorderen Theil der Axe  $a$ . Die Dispersion der Axen ist ziemlich stark;  $\varrho < v$ . —  $2E = 27^\circ 18'$  Roth, 30 Violett. Die horizontale D. ist sehr deutlich. Die T. scheint die Axen weniger zu beeinflussen als beim vorigen.

Eine Mischung des Cer- und Lanthansalzes ( $p : p$  etwa  $83^\circ$ ), isomorph mit den einzelnen und von gleicher Spaltbarkeit, zeigt die rothen Axen nicht getrennt in einer zur Axe  $a$  parallelen Ebene, die grünen mehr getrennt in derselben Ebene, die violetten zu einer einzigen vereinigt;  $\varrho > v$ . Zwischen  $0-15^\circ$  bleibt die Ebene der rothen Axen parallel der Ebene der grünen fallen zusammen und die violetten trennen sich in einer Ebene parallel der Axe  $b$ . Bei  $17^\circ,5$  fallen die rothen zusammen; über  $18^\circ$  öffnen sich sämmtliche Axen in der Ebene, die bei  $15^\circ$  nur die violetten enthielt. Mittell. bleibt stets normal zur Axe  $b$ , und liegt unter  $123^\circ$  gegen eine Normale auf das vordere  $a$ . Des Cloizeaux: Ann. Min. 14 (1858).

Die Isomorphie des Cersalzes mit den vorigen bedingt für das Salz die Formel  $(4\text{AmNO}_3 + \text{Ce}_2\text{N}_6\text{O}_{18}) + 8\text{aq}$ , entsprechend denen, die Rognac aufgestellt hat.

Holzmann hat\*) farblose zerfliessliche Krystalle erhalten, deren Analyse zu  $(3\text{AmNO}_3 + \text{Ce}_2\text{N}_6\text{O}_{18}) + 12\text{aq}$  führen würde.

Derselbe hatte\*) kleine glänzende Krystalle eines Kalisalzes dargestellt, deren Zusammensetzung nicht ganz sicher  $(4\text{KNO}_3 + \text{Ce}_2\text{N}_6\text{O}_{18}) + 4\text{aq}$  angegeben ist.

\*) J. f. pr. Ch. 84, 76.

\*\*) A. a. O. 82, 129.

**Salpetersaures Cerdioxyd-Ammoniak.** ( $2\text{AmNO}_3 + \text{CeN}^4\text{O}^{12}$ \*)).

Zwei- und eingliedrig.  $a : b : c = 4,4685 : 4 : 4,888$  Des Cloi-  
aux.  $\alpha = 89^\circ 39'$ .

$p, q, r, r'; a, b, c.$	Beobachtet	Berechnet
$p : p =$	$81^\circ 7'$	
$a =$		$430^\circ 33',5$
$b =$	$439 \ 26,5$	$439 \ 37$
$c =$	$90 \ 43$	
$q : q =$	$55 \ 48$	$55 \ 28$
$b =$	$452 \ 6$	$452 \ 34$
$r : r' =$	$62 \ 30$	$62 \ 30$
$a =$	$449 \ 21$	
$c =$		$424 \ 0$
$r' : a =$	$448 \ 9$	$447 \ 40$
$c =$		$424 \ 30$
$a : c =$	$90 \ 21$	$90$

Tafelartig nach  $b$ .

Zwillinge: das  $r$  des einen verwächst mit dem  $r'$  des anderen, so dass

$$\begin{aligned} c : c &= 447^\circ 30' \\ r : r' &= 425 \ 0 \\ q : q &= 452 \ 24 \end{aligned}$$

Die  $b$  sind vertical gestreift.

Orangeroth. Spaltbar nach  $r'$ ; zerfliesslich.

Starke Doppelbrechung; die optische Axenebene und die Mittell. sind  
alle Farben senkrecht zur Symmetrieebene. Die Dispersion ist sehr  
stark,  $q < v$ . Die drehende Dispersion ist sehr deutlich; die Entfernung  
der Ebene der grünen und rothen Axen ist etwa  $4^\circ$ . Die Ebene der gelben  
bildet Winkel von nahe

$$\begin{array}{ccccccc} 23^\circ \ 8' & \text{mit einer Normalen auf die Endfläche } c \\ 84 \ 38 & - & - & - & - & r \\ 35 \ 52 & - & - & - & - & r'. \end{array}$$

Für die Ebene der rothen sind diese Winkel

$$22^\circ \ 44', \quad 84^\circ \ 44', \quad 36^\circ \ 46'.$$

Der scheinbare Axenwinkel  $2E$  in Luft bei  $43^\circ$  für Roth  $= 408^\circ \ 3'$

Gelb  $= 409 \ 45$

Grün  $= 442 \ 25$

Ohne die optische Prüfung könnte man die Krystalle leicht für zwei-  
gliedrig halten. — Des Cloizeaux Nouv. Réch. 448.

**Salpetersaures Cerdioxyd-Kali.**  $2\text{KNO}_3 + \text{CeN}^4\text{O}^{12}$  Rammelsb.\*).  
Isomorph dem vorigen.

\* Nach Analogie des Kalisalzes angenommen.

\*\* Ich fand 30,39 CeO<sub>2</sub> und 45,38 K<sub>2</sub>O.

		Beobachtet	
		Des Cloizeaux	Rammelsberg
$p : b$	$= 144^{\circ} 44'$		
$c : r$	$= 122 \ 40$		$124^{\circ} 45'$
$r'$	$= 123 \ 51$		$123 \ 15$
$r : r'$	$= 66 \ 8$		$66 \ 40-30'$

Dieselben Zwillinge.

Die Ebene der optischen Axen ist gegen  $r'$  schwach geneigt in dem stumpfen Winkel  $cr'$ . Die Mittellinie ist parallel Axe  $b$  tiv. — Des Cloizeaux: Nouv. Réch.

**Salpetersaure Ceroxyd-Magnesia.** ( $\text{Ce}^2\text{N}^6\text{O}^{18} + 3\text{MgN}^2\text{O}^6$ )

Sechsgliedrig-rhomboedrisch.  $a:c=4:4,539$  Ra

$r, \frac{r}{2}, 2r', c.$	Berechnet	Beobachtet		
		Rammelsberg	Carius	Des
$2A$ von $r =$		$82^{\circ} 0'$		
$- \frac{r'}{2} =$	$409^{\circ} 46'$		$409^{\circ} 36'$	44
$- 2r' =$	$67 \ 2$	$66 \ 54$		
$c : r =$	$419 \ 22$	$419 \ 20$		
$\frac{r'}{2} =$	$438 \ 23$	$438 \ 20$	$438 \ 8$	
$2r' =$	$405 \ 42$	$405 \ 46$		
$r : \frac{2r'}{2} \left\{ \begin{array}{l} \text{Endk.} \\ \text{Stk.} \end{array} \right.$	$\left\{ \begin{array}{l} = 434 \ 0 \\ = 402 \ 45 \end{array} \right.$	$\left\{ \begin{array}{l} 430 \ 58 \\ 402 \ 8 \end{array} \right.$		
$r : 2r' \left\{ \begin{array}{l} \text{Endk.} \\ \text{Stk.} \end{array} \right.$	$\left\{ \begin{array}{l} = 423 \ 34 \\ = 434 \ 56 \end{array} \right.$	$\left\{ \begin{array}{l} 435 \ 0 \end{array} \right.$		
$\frac{r'}{2} : 2r' \text{ Stk.} =$	$447 \ 49$	$447 \ 20$		

Oft tafelartig nach  $c$ , oder nach einer Fläche  $\frac{r'}{2}$ .

Dieses Doppelsalz ist farblos oder schwach röthlich. Aus sungen, welche Cerdioxydnitrat enthalten, schießt es in Folge ei sener Flüssigkeit in rothen Krystallen an, und wurde von Bunse mann und Carius für ein Salz von  $\text{CeO}^2$  gehalten, bis ich ze es durch Umkrystallisiren ohne Formänderung als reines  $\text{Ce}^2\text{C}$  halten wird.

Aus rohen Ceritoxiden dargestellt, enthält es Lanthan und D ist dann gelblich oder violett gefärbt. — Stark doppelbrechend. — J. f. pr. Ch. 75, 324. — Rammelsberg: Pogg. A. 108, 435.

**Salpetersaures Ceroxyd-Nickeloxyd** ( $\text{Ce}^2\text{N}^6\text{O}^{18} + 3\text{NiN}^2\text{O}^6$ )

Isomorph dem vorigen.

Carius fand



$$2A \text{ von } \frac{r'}{2} = 110^{\circ} 46'$$

$$c : r = 119 \quad 55$$

$$\frac{r'}{2} = 139 \quad 24$$

$$r : \frac{r'}{2} (\text{Stk.}) = 100 \quad 56.$$

**Salpetersaure Lanthan-Magnesia.**

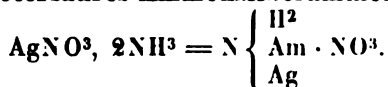
**Salpetersaures Lanthan-Manganoxydl.**

**Salpetersaures Lanthan-Zinkoxyd.**

Bilden Rhomboeder von  $109^{\circ} 7' \left( \frac{r'}{2} \right)$ , besitzen also analoge Zusammen-  
setzungen mit den vorigen. — Stark doppelbrechend.

**Metallammoniumnitrate.**

**Salpetersaures Ammonsilberammonium.**

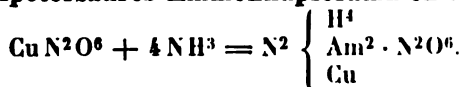


Zweigliedrig.  $a : b : c = 0,7567 : 1 : 0,5945$  Marignac.

$p, q, b.$

	Berechnet	Beobachtet
$p : p =$		$105^{\circ} 46'$
$b = 127^{\circ} 7'$		127 15
$q : q =$		$118 \quad 32$
$b = 120 \quad 44$		120 40
$p = 107 \quad 58$		107 59

**Salpetersaures Ammonkupferammonium.**



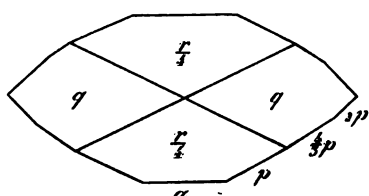
Zweigliedrig.  $a : b : c = 0,5475 : 1 : 0,635$  Marignac.

$p, 2p, \frac{1}{2}p, q, \frac{r}{4}, a.$

	Berechnet	Beobachtet
$p : p =$		$122^{\circ} 35'$
$a = 154^{\circ} 48'$		154 40
$2p : 2p = 84 \quad 48$		
$a = 132 \quad 24$		132 30
$\frac{1}{2}p : \frac{1}{2}p = 107 \quad 44$		
$a = 143 \quad 52$		144 0
$q : q =$		$115 \quad 10$
$\frac{r}{4} : \frac{r}{4} = 147 \quad 40$		
$a = 106 \quad 10$		106 15
$q = 144 \quad 10$		144 15
$q : p = 106 \quad 55$		105 10
$2p = 143 \quad 49$		143 46

Die Flächen der Horizontalzone sind nach der Zonenaxe gest

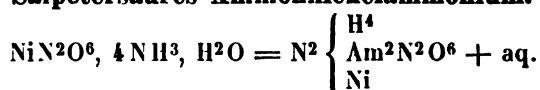
Fig. 98.



Zwillinge nach  $a$ , an denen eine Ebene fallen und die springende Winkel bilden. F Ann. Min. (5) 12.

Vielleicht isomorph dem Si

### Salpetersaures Ammonnickelammonium.

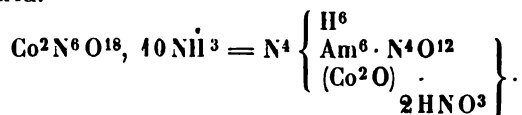


Regulär. Oktaeder, zuweilen mit dem Würfel.

### Salpetersaures Ammonkobaltammonium.

#### 1) Roseonitrat.

A. Anhydrid.



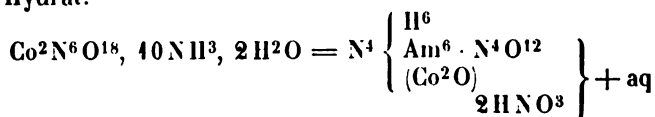
Viergliedrig.  $a : c = 4 : 0,6246$  Dana.

$o, d, p, a.$

	Berechnet	Beobachtet
$o \left\{ \begin{array}{l} 2A = 124^\circ 20' \\ 2C = \end{array} \right.$		$*82^\circ 40'$
$d \left\{ \begin{array}{l} 2A = 136 \quad 40 \\ 2C = 63 \quad 44 \end{array} \right.$		
$o : a = 117 \quad 50$		
$d = 152 \quad 40$		

Auch ein Vierkantner  $a : \frac{1}{3}a : c$  ist beobachtet.

B. Hydrat.



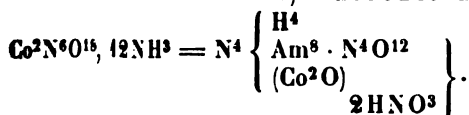
Zwei- und eingliedrig.  $a : b : c = 0,7984 : 1 : 1,0338$  De  
 $o = 85^\circ 3'.$

$p, r, r', a, b.$

	Berechnet	Beobachtet
$p : p =$		$*103^\circ 0'$
$a : r =$		$*136 \quad 30$
$r' =$		$*140 \quad 30$
$r : r' = 83^\circ 30'$		
$p : r = 124 \quad 46$		
$r' = 127 \quad 9$		

Dana: Am. J. Sc. (2) 23 u. 24.

2) Luteonitrat.

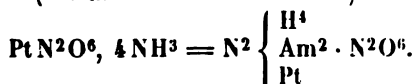


Viergliedrig.  $a : c = 4 : 4,046$  Dana.

$o, o^3, c.$	Berechnet	Beobachtet
$o$	$\left\{ \begin{array}{l} 2A = 109^\circ 2' \\ 2C = \end{array} \right.$	$110^\circ 20'$
$o^3$	$\left\{ \begin{array}{l} 2A = 92 \ 56 \\ 2C = 153 \ 52 \end{array} \right.$	

Salpetersaures Ammonplatinammonium.

(Nitrat von Reiset's Basis).



Zwei- und eingliedrig.  $a : b : c = 4,3549 : 4 : 4,0477$  Sella.  
 $o = 67^\circ 42'.$

$o', 2o, p, q, r, r', \frac{2}{3}r, a, b, c.$   
 $n' = 2a' : b : c.$

	Berechnet	Beobachtet
$o' : o' = 93^\circ 8'$		$92^\circ 54'$
$2o : 2o = 111 \ 40$		
$n' : n' = 94 \ 0$		
$p : p =$		$77 \ 22$
$a = 128 \ 44$		$128 \ 44$ (128° 34' A. Nordenskiöld)
$c = 104 \ 4$		
$q : q = 93 \ 40$		
$a = 106 \ 25$		$107 \ 7$
$a : c =$		$112 \ 48$
$r = 144 \ 4$		$144 \ 17$
$r' = 111 \ 34$		
$c : r = 151 \ 48$		
$r' = 135 \ 40$		
$\frac{2}{3}r' : a = 96 \ 34$		
$c = 163 \ 45$		
$p : q \left\{ \begin{array}{l} = 135 \ 49 \\ = 110 \ 56 \end{array} \right.$		
$r = 119 \ 4$		
$r' = 103 \ 15$		
$o' : a =$		$105 \ 27$
$p = 111 \ 43$		$111 \ 53$
$2o : a = 132 \ 7$		
$c = 123 \ 39$		
$n' : a = 90 \ 32$		$90 \ 0$
$c = 130 \ 30$		

Fig. 99.

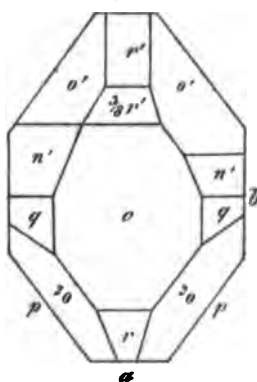


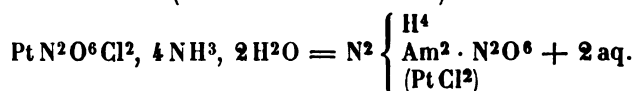
Fig. 100.



Fig. 99, 100. — Meist sechsseitige Tafeln durch Vorherrschen v. deren Ränder durch  $p$ ,  $q$ ,  $o'$  zugeshärft sind. — Sella: Mem. R. Torino (2) 17.

### Salpetersaures Ammonchlorplatinammonium.

(Nitrat von Gros' Basis).



Zwei- und eingliedrig.  $a : b : c = 0,7544 : 1 : 0,749$  Rammberg.  
 $o = 74^\circ 0'$ .

$p, r, r' a, c.$	Berechnet	Beobachtet
$p : p =$	$109^\circ 0'$	$109^\circ 0'$
$a =$		$*144 30$
$c =$	$105 22$	
$a : c =$	$109 0$	$110$ ungef.
$r =$	$146 11$	
$r' =$		$*143 30$
$c : r =$	$142 49$	
$r' =$		$*145 30$

Prismatisch nach  $p$ .

### Salpetrigsaure Salze.

(Nitrite.)

#### Salpetrigsaures Silber. $\text{AgNO}^2$ .

Zweigliedrig.  $a : b : c = 0,5596 : 1 : 8616$  Rammelsberg.

$p, q.$	Berechnet	Beobachtet
$p : p =$		$*121^\circ 33'$
$q : q =$		$*98 30$
$p =$	$108^\circ 36'$	$108-109^\circ$

Sehr feine Prismen  $p$ , dünn durch Vorherrschen der einen Fläche  $q$  selten deutlich. Vielleicht zwei- und eingliedrig.

#### Salpetrigsaurer Baryt. $\text{Ba N}^2\text{O}^4 + \text{aq.}$

Sechsgliedrig.  $a : c = 1 : 2,569$ . Rammelsberg.

$d, p, c.$	Berechnet	Beobachtet
$d \left\{ \begin{array}{l} 2A = \\ 2C = \end{array} \right.$	$123^\circ 26'$ $142 48$	$122^\circ 42'$ $142 52$
$d : c =$		$*108 36$
$p =$	$161 24$	$161 0$

Kleine, meist matte sechsseitige Prismen, die öfters gekrümmt! Die Endfläche selten deutlich.

**Salpetrigsaures Kalk-Kali.**  $(\text{KNO}_2 + \text{CaN}_2\text{O}_4) + 3\text{aq.}$ Zweigligdrig.  $a : b : c = 0,646 : 4 : 0,642$  Topsöe. $o, p, q, r, a, b.$ 

	Berechnet	Beobachtet
$o \left\{ \begin{array}{l} 2A = 131^\circ 0' \\ 2B = 100 \quad 42 \\ 2C = 99 \quad 36 \end{array} \right.$		
$p : p = 114 \quad 14$		
$a = 147 \quad 7$		$147^\circ 0'$
$q : q = 114 \quad 34$		
$b = 122 \quad 43$		$122 \quad 30$
$r : r = 90 \quad 20$		
$a = 134 \quad 50$		$134 \quad 53$
$o : a =$		$*129 \quad 54$
$b =$		$*114 \quad 30$
$p = 139 \quad 48$		$138 \quad 40$
$q = 140 \quad 6$		$144 \quad 15$
$r = 155 \quad 30$		$155 \quad 30$

Grosse farblose Krystalle, prismatisch nach  $p$ , tafelartig nach  $a$ .Spaltbar nach  $b$ .

Die Flächen sind zerfressen und spiegeln schlecht.

Optisch zweiaxig; Ebene der optischen Axen  $= ac$ ; erste Mittell.  $= c$ .

Topsöe: Wien. Ak. Ber. 73 (1876).

**Salpetrigsaures Nickel-Kali.**  $(4\text{KNO}_2 + \text{NiN}_2\text{O}_4) + \text{aq.}$ 

Regulär. Oktaeder. — Braun, spaltbar nach dem O., einfachbrechend. — Topsöe: S. o. — Rammelsberg: Pogg. A. 118, 282.

**Salpetrigsaures Kadmium-Kali.**  $2\text{KNO}_2 + \text{CdN}_2\text{O}_4.$ Zweigligdrig.  $a : b : c = 0,53845 : 4 : 0,9632$  Topsöe.

$p, \frac{2p}{2}, \frac{q}{2}, q^2, b.$	Berechnet	Beobachtet
$p : p = 123^\circ 24'$		
$b =$		$*118^\circ 48'$
$2p : 2p = 85 \quad 46$		
$b = 137 \quad 7$		$136 \quad 50$
$\frac{q}{2} : \frac{q}{2} = 133 \quad 54$		$134 \quad 10$
$q^2 : q^2 = 54 \quad 54$		$54 \quad 50$
$b =$		$*152 \quad 33$
$b = 113 \quad 3$		

Schwach gelblich, prismatisch nach  $p$ , von glänzenden Flächen.**Salpetrigsaures Blei-Kali.**  $(2\text{KNO}_2 + \text{PbN}_2\text{O}_4) + \text{aq.}$ Zweigligdrig.  $a : b : c = 0,5447 : 4 : 0,9038$  Topsöe. $o, p, \frac{q}{2}, \frac{q}{4}, b, c.$

	Berechnet	Beobachtet
$\alpha \left\{ \begin{array}{l} 2A = 132^{\circ} 0' \\ 2B = 74 \ 42 \\ 2C = 53 \ 30 \end{array} \right.$		$132^{\circ} 0'$
$p : p =$	$125 \ 48$	$125 \ 49,5$
$b =$		$*117 \ 6$
$\frac{q}{2} : \frac{q}{2} =$	$131 \ 22$	
$b =$	$114 \ 19$	$114 \ 17$
$c =$	$155 \ 41$	$155 \ 49$
$\frac{q}{4} : \frac{q}{4} =$	$154 \ 32$	
$b =$	$102 \ 44$	$102 \ 33$
$c =$	$167 \ 16$	$167 \ 18,5$
$\alpha : b =$	$114 \ 0$	$114 \ 0$
$p =$		$*153 \ 15$
$q =$	$127 \ 21$	
$c =$	$116 \ 45$	$116 \ 38$

Rothgelb, prismatisch nach  $p$ ; die  $\alpha$  und  $q$  sehr schmal. Glänzend. Spaltbar vollkommen nach  $b$ .

Offenbar ist das Salz isomorph mit dem vorigen, obwohl dasselbe 1 Lang 4 Mol. Wasser enthalten soll (Rammelsberg).

#### Salpetrigsaures Quecksilberoxyd-Kali. $2\text{KNO}_2 + \text{HgN}_2\text{O}_4$ .

Zweigliedrig.  $a : b : c = 0,8675 : 1 : 0,7645$  Topsøe.

$2p, q, r, a, b.$	Berechnet	Beobachtet
$2p : 2p =$	$59^{\circ} 54'$	$59^{\circ} 54',5$
$a =$	$119 \ 57$	$119 \ 45$
$b =$	$150 \ 3$	$150 \ 0$
$q : q =$	$105 \ 12$	
$b =$		$*127 \ 24$
$r : r =$	$97 \ 13$	
$a =$		$*131 \ 23,5$

Prismatisch nach  $q$  oder tafelartig nach  $a$ . Untergeordnet einige Oederflächen.  $2p$  sehr schmal. Gelb, durchsichtig.

#### Salpetrigsaure Doppelsalze von Platinoxidul.

H. Topsøe Krystallografiske Undersøgelser over en række Dobb. Platonitriter. (Overs. K. D. Vidensk. Selsk. Forh.) Kjøbenhavn 1879. Auszug in Groth's Ztschr. 4, 469.

#### Ammonium-Platinnitrit. $\text{Am}_2\text{PtN}_4\text{O}_8 + 2\text{aq.}$

Zweigliedrig.  $a : b : c = 0,494 : 1 : 9094$ .

$\frac{a}{2}, p, q, b, c.$

	Berechnet	Beobachtet
$\alpha$ $\left\{ \begin{array}{l} 2A = 143^\circ 6' \\ 2B = 98 \quad 44 \\ 2C = 94 \quad 48 \end{array} \right.$		
$p : p = 127 \quad 42$		$127^\circ 40'$
$b =$		$116 \quad 9$
$q : q = 95 \quad 26$		
$b =$		$132 \quad 17$
$c = 137 \quad 43$		$137 \quad 34$
$p = 107 \quad 15$		$107 \quad 19$
$\frac{\alpha}{2} : b = 108 \quad 27$		$108 \quad 17$

Prismatisch nach  $p$ , tafelartig nach  $a$ ;  $\frac{\alpha}{2}$  ist schmal und meist unvollständig. Spaltbar nach  $b$ .

#### Kalium-Platinnitrit. $K^2PtN^4O^8$ .

Zwei- und eingliedrig.  $a : b : c = 0,6058 : 1 : 0,7486$ .  
 $\alpha = 83^\circ 47', 5$ .

$\frac{\alpha'}{2}, p, b, c.$	Berechnet	Beobachtet
$p : p = 117^\circ 53'$		$117^\circ 46'$
$b = 124 \quad 3,5$		$124 \quad 10$

#### Rubidium-Platinnitrit.

A.  $Rb^2PtN^4O^8$ .

Zwei- und eingliedrig.  $a : b : c = 0,6442 : 1 : 0,7403$ .  
 $\alpha = 84^\circ 59'$ .

$\alpha', \frac{\alpha'}{2}, p, q, b, c.$	Berechnet	Beobachtet
$\alpha' : \alpha' = 128^\circ 20'$		
$\frac{\alpha'}{2} : \frac{\alpha'}{2} = 144 \quad 40$		
$p : p =$		$117^\circ 5'$
$b = 124 \quad 27,5$		$124 \quad 29$
$c =$		$94 \quad 18$
$q : q = 109 \quad 26$		
$c =$		$144 \quad 43$
$p : q \left\{ \begin{array}{l} = 114 \quad 14 \\ = 103 \quad 55 \end{array} \right.$		$114 \quad 34$
$\alpha' : c = 123 \quad 37$		$104 \quad 12$
$\frac{\alpha'}{2} : c = 144 \quad 33$		$123 \quad 48$

Diese Form bildet sich bei  $60-70^\circ$ . Feine Prismen  $p$ , an denen die Augitpaare selten sind.

B.  $Rb^2PtN^4O^8 + 2aq$ .

Zwei- und eingliedrig.  $a : b : c = 2,0409 : 1 : 1,7935$ .  
 $\alpha = 88^\circ 20'$ .

$\frac{o'}{2}, p, r', a, c.$	Berechnet	Beobachtet
$\frac{o'}{2} : \frac{o'}{2} =$	100° 46'	
$p : p =$	52 54	52° 57'
$a =$		*116 27
$c =$	90 45	90 47
$a : c =$		*94 40
$r' : c =$		*137 32
$a =$	130 48	130 49
$p =$	106 55	106 58
$\frac{o'}{2} : c =$	134 35	134 57

Prismatisch nach  $p$ , oder tafelartig nach  $c$ ; die  $\frac{o'}{2}$  sind selten schmal.

Topsöe hält das Salz für isomorph mit dem des Ammoniums, in fern bei letzterem  $b : a : c = 2,0367 : 1 : 1,8522$  ist.

#### Caesium-Platinnitrit. $\text{Cs}^2\text{PtN}^4\text{O}^8$ .

Zwei- und eingliedrig.  $a : b : c = 1,6122 : 1 : 0,629$ .  
 $o = 80^\circ 10', 5$ .

$o, o', p, \frac{r'}{2}, a, c.$	Berechnet	Beobachtet
$o : o =$		*122° 40'
$o' : o' =$	116° 55'	
$p : p =$		*64 23
$a =$	122 42	122 25
$c =$	95 43	95 22
$a : c =$	99 49,5	100 5
$\frac{r'}{2} =$	122 45	121 30
$o : a =$	115 44	115 48
$c =$	115 38	115 30
$p =$		*129 55
$o' : a =$	100 44	100 ungef.
$c =$	111 0	111 50
$p =$	122 47	

Prismatisch nach  $p$ ;  $\frac{r'}{2}$  sehr selten; spaltbar nach  $p$ .

Topsöe macht auf die Beziehungen zwischen diesem und dem Lithium- und Rubidiums Salze aufmerksam (z. B.  $p : p$  der letzteren  $= o' : c$ ). Bei passend gewählter Stellung dürften sie sich als isomorph ergeben.

#### Thallium-Platinnitrit. $\text{Tl}^2\text{PtN}^4\text{O}^8$ .

Zwei- und eingliedrig.  $a : b : c = 1,231 : 1 : 1,9035$ .  
 $o = 74^\circ 30'$ .



$o', p, q, \frac{r}{2}, a, c.$	Berechnet	Beobachtet
$o' : o' =$		$404^{\circ} 46'$
$p : p = 80^{\circ} 46'$		80 34
$a =$		$430^{\circ} 8$
$c = 99 55$		99 54
$q : q = 98 0$		
$c = 439 0$		439 42
$a = 404 38$		404 20
$a : c =$		$405^{\circ} 30$
$\frac{r}{2} : a = 444 45$		444 22
$c =$		$413^{\circ} 45$
$p = 420 44$		420 23
$o' : a = 409 46$		
$c = 425 38$		425 53
$p = 434 28$		434 44

Prismatisch nach der Verticalzone mit herrschenden  $a$  und  $c$ ;  $o'$  ist selten.

#### Silber-Platinnitrit. $\text{Ag}^2\text{PtN}^4\text{O}^8$ .

Zwei- und eingliedrig.  $a : b : c = 0,966 : 1 : 0,509$ .  
 $o = 81^{\circ} 59', 5$ .

$o, o', p, p^2.$	Berechnet	Beobachtet
$p : p =$		$92^{\circ} 33'$
$p^2 : p^2 = 128^{\circ} 53'$		127 54
$o' : p = 122 45$		122 27

Spaltbar nach  $a$ .

#### Natrium-Platinnitrit.

Zwei- und eingliedrig.  $a : b = 1,598 : 1$ .  
 $o = 65^{\circ} 43'$ .

$p, a, c.$	Beobachtet
$p : p = 69^{\circ} 9'$	
$c = 403 23$	
$a : c = 114 47$	

Topsüe lässt es zweifelhaft, ob die Krystalle zweigliedrig seien. afelartig nach  $a$ ,

#### Lithium-Platinnitrit. $\text{Li}^2\text{PtN}^4\text{O}^8 + 3 \text{ aq.}$

Zweigliedrig.  $a : b : c = 0,9576 : 1 : 0,7505$ .

$s = a : \frac{1}{2} b : c$ . —  $o, p, r, a, b$ .

	Berechnet
$o \left\{ \begin{array}{l} 2 A = 418^{\circ} 50' \\ 2 B = 445 54 \\ 2 C = 94 40 \end{array} \right.$	

	Berechnet	Beobachtet
$s \left\{ \begin{array}{l} 2A = 80^\circ 28' \\ 2B = 133 \quad 8 \\ 2C = 118 \quad 52 \end{array} \right.$		
$p : p =$		$^*92^\circ 28'$
$b = 133 \quad 46$		133 50
$a = 136 \quad 44$		136 24
$r : r =$		$^*403 \quad 53$
$a = 128 \quad 3$		127 58
$p = 116 \quad 27$		116 34

Prismatisch nach  $p$ ; herrschend  $p$  und  $r$ .

**Baryum-Platinnitrit.**  $\text{Ba Pt N}^4\text{O}^8 + 3 \text{ aq.}$

Zwei- und eingliedrig.  $a : b : c = 1,7475 : 1 : 3,0$ .

$$o = 88^\circ 48'.$$

$o, o', \frac{2}{3}o, \frac{5}{3}o', a, c.$

	Berechnet	Beobachtet
$o : o =$	$67^\circ 34'$	
$o' : o' =$	66 33	
$\frac{2}{3}o : \frac{2}{3}o =$	63 28	
$\frac{5}{3}o' : \frac{5}{3}o' =$	78 44	
$o : o' =$		$^*123^\circ \quad 0'$ (Kante $bc$ )
$a : c =$	94 12	
$o : c =$		$^*106 \quad 44$
$o' : c =$		$^*105 \quad 35$
$\frac{2}{3}o : c =$	112 42	112 48
$\frac{5}{3}o' : c =$	117 2	116 51
$o : a =$	118 48	
$o' : a =$	118 12	118 24

Tafelartig nach  $c$  und  $o$ .

**Strontium-Platinnitrit.**  $\text{Sr Pt N}^4\text{O}^8 + 3 \text{ aq.}$

Zwei- und eingliedrig.  $a : b : c = 1,7863 : 1 : 2,805$ .

$$o = 86^\circ 55'.$$

$o, o', \frac{o}{4}, \frac{o}{6}, \frac{2}{7}o, \frac{3}{7}o, a, c.$

	Berechnet	Beobachtet
$o : o =$	$68^\circ 29'$	
$o' : o' =$	65 54	$66^\circ \quad 5'$
$o : o' =$		$^*124 \quad 20$ (Kante $bc$ )
$\frac{2}{3}o : \frac{2}{3}o =$	77 2	
$\frac{3}{7}o : \frac{3}{7}o =$	108 47	
$\frac{o}{4} : \frac{o}{4} =$	114 44	
$\frac{o}{6} : \frac{o}{6} =$	131 56	
$a : c =$	93 5	94 52

	Berechnet	Beobachtet
$c : o =$		*108 40
$\frac{o'}{o} =$		*105 54
$\frac{3}{2}o =$	146° 16'	146 17
$\frac{3}{2}o =$	138 8	138 25
$\frac{o}{4} =$	141 50	142 30
$\frac{o}{6} =$	152 10	152 33

Tafelartig nach  $c$ ; spaltbar nach  $c$ ,  $o$ ,  $o'$ .

**Blei-Platinnitrit.**  $\text{PbPtN}^4\text{O}^8 + 3\text{aq.}$

Zwei- und eingliedrig.  $a : b : c = 1,8266 : 1 : 2,3845$ .

$$o = 87^\circ 42'.$$

$o, \frac{o'}{2}, p, a, c.$	Berechnet	Beobachtet
$o' : o' =$	68° 10'	
$\frac{o'}{2} : \frac{o'}{2} =$	89 4	
$p : p =$		*57° 26',5
$c =$	91 6	91 22
$a : c =$		*92 18
$c : o' =$		*109 14
$\frac{o'}{2} =$	125 38	125 15
$a : o' =$	116 5	115 57
$\frac{o'}{2} =$	111 30	111 40
$p : o' =$	159 40	159 42
$\frac{o'}{2} =$	143 16	143 7

Prismatisch nach  $p$ . Auch ein etwas zweifelhaftes  $\frac{3}{4}o'$  fand sich vor.

Spaltbar nach  $p$ .

Isomorph dem Baryum- und Strontiumsalz, wenn beim Bleisalz  $o' = o$  und  $\frac{3}{4}o = o'$  genommen wird, so dass  $a : b : c = 1,8266 : 1 : 2,727$ ;  $o = 86^\circ 49'$  wird.

**Kadmium-Platinnitrit.**  $\text{CdPtN}^4\text{O}^8 + 3\text{aq.}$

Zwei- und eingliedrig.  $a : b : c = 1,0628 : 1 : 1,586$ .

$$o = 81^\circ 35',5.$$

$o, o', p, c.$	Berechnet	Beobachtet
$o' : o' =$		*93° 36'
$p : p =$	87° 8'	86 49
$c =$	95 47	94 37
$o' : p =$	154 16	154 52
$p =$		*95 14 ( $p$ links)
$c =$		*109 57

Oктаиде  $po'$ . Zwillinge; Zwillingsaxe die Normale der Spaltbar nach  $c$ .

**Magnesium-Platinnitrit.**  $MgPtN^4O^8 + 5aq.$

Zwei- und eingliedrig.  $a : b : c = 0,61 : 1 : 0,41.$   
 $\alpha = 81^\circ 24', 5.$

$p, q, r, b.$	Berechnet	Beobachtet
$p : p =$	$117^\circ 48'$	$117^\circ 58'$
$b =$		$*121 \quad 6$
$q : q =$	$135 \quad 51$	$135 \quad 55$
$b =$	$112 \quad 5$	$112 \quad 10$
$p : q \left\{ =$		$*108 \quad 13$
$\quad \quad \quad =$		$*94 \quad 20$
$r : p =$	$123 \quad 11$	$123 \quad 26$
$q =$	$142 \quad 29$	$143 \quad 0$

Auch  $2a' : b : c$  wurde einmal beobachtet. — Prismatis Spaltbar nach  $b$ .

**Kobalt-Platinnitrit.**  $CoPtN^4O^8 + 8aq.$

Eingliedrig.  $a : b : c = 0,6996 : 1 : 0,88.$

$A = 86^\circ 56'$	$\alpha = 82^\circ 59'$
$B = 107 \quad 39$	$\beta = 101 \quad 55$
$C = 95 \quad 44$	$\gamma = 95 \quad 4$

$p, p', r', a, b, c.$	Berechnet	Beobachtet
$a : b =$		$*95^\circ 34'$
$p : a =$		$*144 \quad 33$
$p' : b =$	$119^\circ 43'$	$119 \quad 41$
$b : c =$	$86 \quad 56$	$86 \quad 54$
$p' : c =$	$107 \quad 12$	$107 \quad 5$
$a : c =$		$*107 \quad 39$
$r' =$		$*135 \quad 10$
$b : r' =$		$*82 \quad 22$

Prismatisch nach  $b, c$ , den beiden Spaltungsflächen.

**Nickel-Platinnitrit.**  $NiPtN^4O^8 + 8aq.$

Isomorph dem vorigen.

	Beobachtet
$p' : b =$	$119^\circ 54'$
$a : b =$	$95 \quad 0$
$b : c =$	$86 \quad 30$
$p' : c =$	$107 \quad 34$

Tafelartig nach  $a$ .

**Mangan-Platinnitrit.**  $MnPtN^4O^8 + 8aq.$

Eingliedrig.  $a : b = 0,7025 : 1.$

**Zink-Platinitrit.**  $\text{ZnPtN}^4\text{O}^8 + 8\text{aq.}$ **Eingliedrig.** — Beide sind isomorph den vorhergehenden Salzen.**Silber-Palladiumnitrit.**  $\text{Ag}^2\text{PdN}^4\text{O}^8.$ **Zwei-** und eingliedrig.  $a : b : c = 0,6463 : 1 : 0,305$  Topsøe.

$$o = 80,57',5.$$

**p, q, b.**

	Berechnet	Beobachtet
$p : p =$	$114^\circ 54'$	$114^\circ 24'$
$b =$		$*122 \ 23$
$q : q =$		$*146 \ 28$
$p =$		$*91 \ 38$

**Braugelbe** sechsseitige Nadeln  $pb$ .**Verbindungen salpetrigsaurer Salze mit Platinjodür.**

Die Form und das optische Verhalten sind von Groth, Calderon, van't Hoff, Howe und Fock untersucht worden. — Groth Ztschr. 4, 492.

 $(2 \text{KNO}^2 + \text{PtJ}^2) + 2\text{aq.}$  — Viergliedrig  $a : c = 1 : 0,5944$ . —  $o, a$ . $(2 \text{RbNO}^2 + \text{PtJ}^2) + 2\text{aq.}$  — Eingliedrig.  $a : b : c = 0,9448 : 1 : 0,5873$ . —  $a = 84^\circ 44'$ ,  $\beta = 98^\circ 20'$ ,  $\gamma = 87^\circ 24'$ . $o, o', o'', o''', a, b, c$ . $(2 \text{CsNO}^2 + \text{PtJ}^2) + 2\text{aq.}$  — Zwei- und eingliedrig.  $a : b : c = 0,9425 : 1 : 0,6502$ ;  $o = 84^\circ 39'$ . $o, o', a, b$ . $(2 \text{NaNO}^2 + \text{PtJ}^2) + 4\text{aq.}$  — Eingliedrig.  $a : b : c = 0,9049 : 1 : 0,7126$ .

$$A = 99^\circ 25' \quad B = 110^\circ 4' \quad C = 84^\circ 27'$$

$$\alpha = 102 \ 9 \quad \beta = 111 \ 23 \quad \gamma = 80 \ 31.$$

 $(\text{BaN}^2\text{O}^4 + \text{PtJ}^2) + 4\text{aq.}$  — Zwei- und eingliedrig.  $a : b : c = 0,843 : 1 : 0,5435$ ;  $o = 67^\circ 47'$ . $a' : \frac{1}{2}b : c; \frac{1}{2}a' : \frac{1}{2}b : c; p, q, r, b$ . $(\text{SrN}^2\text{O}^4 + \text{PtJ}^2) + 8\text{aq.}$  — Zwei- und eingliedrig.  $a : b : c = 0,9475 : 1 : 1,81$ ;  $o = 60^\circ 57'$ . $\frac{o'}{2}, p, q, c$ . $(\text{MgN}^2\text{O}^4 + \text{PtJ}^2) + 8\text{aq.}$  — Zwei- und eingliedrig.  $a : b : c = 0,489 : 1 : 0,3724$ ;  $o = 80^\circ 30'$ . $p, q, r, b$ . $(\text{CaN}^2\text{O}^4 + \text{PtJ}^2) + 6\text{aq.}$  — Zwei- und eingliedrig.  $a : b : c = 1,415 : 1 : 1,824$ ;  $o = 47^\circ 40'$ . $o, p, a, b$ .

Die Salze von K, Rb und Cs sind nicht isomorph, wiewissen Winkeln sich nahestehen. Ebenso lassen sich das l vergleichen.

**Salpetrigsaures Diaminkobalt-Kali.**  $K^2(Co, 4NH^3)N^3O^1$

Zweigliedrig.  $a : b : c = 0,5944 : 4 : 4,432$  Wer

$o, p, q, c.$	Berechnet	Beobachtet
$o \begin{cases} 2A = 124^\circ 40' \\ 2B = 76 \quad 34 \\ 2C = 134 \quad 36 \end{cases}$		
$p : p =$		$*148^\circ 48'$
$q : q =$		$*82 \quad 54$
$c = 134 \quad 27$		$134 \quad 22$
$o : p = 155 \quad 48$		$155 \quad 54$
$q = 148 \quad 17$		
$c = 144 \quad 12$		

$o$  ist als rechtes Tetraeder vorhanden.

**Salpetrigs. Diaminkobalt-Ammoniak.**  $Am^2(Co, 4NH^3)N^3O$

Zweigliedrig.  $a : b : c = 0,5938 : 4 : 4,437$  Wer

$o, p, q, q^2, \frac{q}{2}, c.$	Berechnet	Beobachtet
$o \begin{cases} 2A = 124^\circ 30' \\ 2B = 76 \quad 38 \\ 2C = 134 \quad 38 \end{cases}$		
$p : p =$		$*148^\circ 35'$
$q : q =$		$*82 \quad 40$
$c = 134 \quad 20$		$134 \quad 24$
$\frac{q}{2} : \frac{q}{2} = 120 \quad 46$		
$c = 150 \quad 23$		$150 \quad 26$
$q = 160 \quad 57$		
$q^2 : q^2 = 47 \quad 28$		$47 \quad 29$
$b = 132 \quad 32$		$132 \quad 34$
$c = 143 \quad 44$		
$\frac{q}{2} = 143 \quad 21$		$143 \quad 17$

$o$  tritt als Tetraeder auf. — Braun. — J. f. pr. Ch.

**Schwefelsaure Salze.**

(Sulfate.)

**Einfache.****Schwefelsaures Ammoniak.**4) Normales.  $\text{Am}^2 \text{SO}^4$ .Zweigliedrig.  $a : b : c = 0,5643 : 1 : 0,734$  Mitscherlich. $\alpha, \beta, \gamma, \delta, \epsilon, \zeta, \eta, \theta, \iota, \kappa, \lambda, \mu, \nu, \xi, \omicron, \pi, \rho, \sigma, \tau, \upsilon, \phi, \chi, \psi, \omega$ 

	Berechnet	Beobachtet		
		Mitscherlich	Lang	Rammelsberg
$2A =$	$134^\circ 52'$			
$2B =$	$87 \quad 26$			
$2C =$	$112 \quad 40$			
$p : p =$		$*121^\circ 8'$	$121^\circ 12'$	
$b =$	$119 \quad 26$			$119^\circ 56'$
$p : p =$	$64 \quad 8$			
$q : q =$	$107 \quad 40$			$107 \quad 30'$
$c =$	$143 \quad 50$		$143 \quad 48$	
$q^2 : q^2 =$		$*68 \quad 45$	$68 \quad 39$	
$q =$	$160 \quad 38$		$160 \quad 29$	
$\sigma : p =$	$146 \quad 5$		$145 \quad 50$	

Die Ausbildung der Krystalle und die Zwillinge sind die des isomorphen Kalisalzes. Spaltbar nach  $c$ .Ebene der optischen Axen  $ac$ , Mittellinie  $a$ ; positiv;  $\rho < \nu$ ;  $2E = 85^\circ 30'$ . Lang.Dispersion der Axen sehr schwach;  $2E = 87^\circ 44'$  Roth,  $88^\circ 47'$  Blau.

Beim Erwärmen wird der Axenwinkel grösser. Des Cloizeaux.

Mitscherlich: Pogg. A. 48, 168. — Lang: Wien. Ak. Ber. 34. — Vgl. Eroseff: Ebend. 55.

Volumgewicht. 4,764 Joule und Playfair; 4,628 Schiff; 4,771 Schröder; 4,750 Buignet; 4,765 Clarke.

Kubische Ausdehnung von  $0-100^\circ = 0,04093$ . Joule und Playfair.Löslichkeit. 1 Liter bei  $45^\circ$  gesättigter Lösung enthält 499,644 gm Salz und hat ein V. G. = 4,2482. Michel und Krafft.100 Th. der bei  $46-47^\circ$  gesättigten Lösung enthalten 42,7 Th. Salz. Hauer. Also lösen 100 Th. Wasser 74,5 Th.100 Th. Wasser lösen bei  $40^\circ$  73 Th. Salz. Mulder.

100 Th. Wasser lösen nach Alluard

bei 0°	71,00 Th.	bei 60°	86,90 Th.
- 10	73,65 -	- 70	89,55 -
- 20	76,30 -	- 80	92,20 -
- 30	78,95 -	- 90	94,85 -
- 40	81,60 -	- 100	97,50 -
- 50	84,25 -		

Der Siedepunkt der gesättigten L. ist nach Demselben 107°,5.

Volumgewicht der Lösungen Schiff: Ann. Ch. Ph. 408, 326.

Beim Lösen von 3 Th. Salz in 4 Th. Wasser sinkt die T. von auf 6°,8. Rüdorff. — Pogg. A. 445, 599. — Vgl. De Coppet: Ch. Phys. (4) 23. 25. 26.

Thermische und Volumänderungen beim Lösen. Favre und Val C. r. 73. 75. 77.

Lösungswärme s. schwefelsaures Kali.

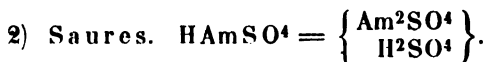
Specif. Wärme der Lösungen. Thomsen: Pogg. A. 442, 362.

Elektrolyse der Lösung Bourgois: C. r. 69, 890.

Elektricitätsleitung derselben Kohlrausch: Wied. Ann. 6, 4.

Löslichkeit in Alkohol. 1 Th. in 247,4 th. A. von 66,8 Gew.-Pro 25°. Pohl.

Diamagnetismus Grailich und Lang: Wien. Ak. Ber. 32.



Zweigliedrig.  $a : b : c = 0,7436 : 1 : 0,6428$  Marignac.

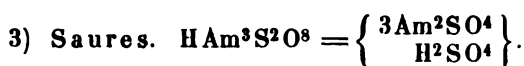
$a, p, q, b, c.$	Berechnet	Beobachtet
$o \left\{ \begin{array}{l} 2A = 129^\circ 22' \\ 2B = 109 \quad 48 \\ 2C = 94 \quad 32 \end{array} \right.$		
$p : p = 106 \quad 44$		106° 50'
$b =$		*126 38
$q : q = 117 \quad 0$		116 50
$c =$		*148 30
$p = 108 \quad 40$		107 50

Prismatisch nach  $q$ .

Vertauscht man die Axen, indem man  $a = b$ ,  $b = c$  und  $c = a$  so ist  $a : b : c = 0,824 : 1 : 1,345$ .

Da bei  $\text{HKS}^4$   $a : b : c = 0,861 : 1 : 1,935$  ist, so scheinen diese Salze in dieser Stellung isomorph zu sein, insofern die  $a$  gleich, die  $c$  sind. Es würden dann die angegebenen Formen des Ammoniaksalzes gleiche Zeichen erhalten:  $o = o\frac{2}{3}$ ,  $p = q\frac{2}{3}$ ,  $q = r\frac{2}{3}$ ,  $b = c$ ,  $c = a$ .





**Zwei-** und **eingliedrig.**  $a : b : c = 1,7396 : 1 : 2,648$  Marignac.  
 $\alpha = 77^\circ 54'$ .

$\alpha, \alpha', \frac{\alpha}{3}, q, a, c.$

	Berechnet	Beobachtet	
		Marignac	Wyrouboff
$\alpha : \alpha =$		$*75^\circ 4'$	$75^\circ 6'$
$\alpha' : \alpha' =$	$64^\circ 36'$	65 0	
$\alpha : \alpha' =$	122 34	122 45	
$\alpha : \alpha' =$	143 19		
$\frac{\alpha}{3} : \frac{\alpha}{3} =$	109 8		
$q : q =$	42 44		
$c =$	111 7	111 0	
$a : c =$		*102 6	102 0
$\alpha : a =$	122 3	122 0	
$c =$		*113 50	113 40
$\alpha' : a =$	115 23	115 10	
$c =$	102 54	103 0	102 5
$\frac{\alpha}{3} : c =$	138 2	138 0	

**Tafelartig nach c.** — Wyrouboff: Bull. Soc. min. 1880. No. 6.  
**Isomorph**  $\text{HK}^3\text{S}^2\text{O}^8$ .

### Schwefelsaures Kali.

1) Normales.  $\text{K}^2\text{SO}^4$ .

**Zweigliedrig.**  $a : b : c = 0,5727 : 1 : 0,7464$  Mitscherlich.

$\alpha, \frac{\alpha}{3}, p, {}^3p, q, q^2, a, b, c.$

	Berechnet	Beobachtet		
		Mitscherlich	Rammelsberg	Scacchi
$\alpha \left\{ \begin{array}{l} 2A = \\ 2B = \\ 2C = \end{array} \right.$	$\left\{ \begin{array}{l} 131^\circ 8' \\ 87 30 \\ 112 40 \end{array} \right.$		$131^\circ 15'$	
$\frac{\alpha}{3} \left\{ \begin{array}{l} 2A = \\ 2B = \\ 2C = \end{array} \right.$	$\left\{ \begin{array}{l} 145 16 \\ 117 12 \\ 73 48 \end{array} \right.$		112 30	
$p : p =$		*120° 24'	120 30	120° 18'
${}^3p : {}^3p =$	60 24			60 18
$q : q =$	106 32			
$q^2 : q^2 =$		*67 38		
$\alpha : p =$	146 20		146 30	Grailich
$\frac{\alpha}{3} =$	160 34		160 30	Ders.

Der Habitus der Krystalle ist verschieden; entweder sind sie prismatisch nach  $p$  (Fig. 401), oder dihexaederähnlich (Fig. 402).

Fig. 401.

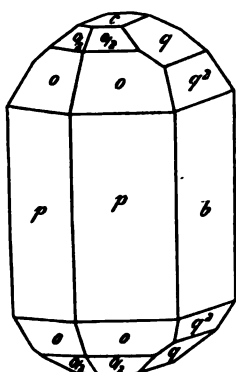
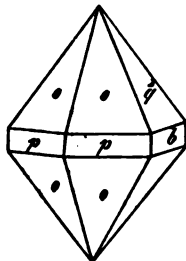


Fig. 402.



Sehr häufig Zwillinge nach einem  $p$ , indem zwei oder drei Krystalle (ähnlich wie beim Aragon oder Weissbleierz) verwachsen (Fig. 401). Scacchi fand, dass auch die scheinbaren Dihexaeder oft Zwillinge sind und dass auch  $2p$  Zwillingflächen auftreten — Mitscherlich: Pogg. A. 48, 469. 58, 468.

Scacchi: Mem. d. R. Accad. d. Sc. di Torino (2) 24. Ztschr. d. ges. 45, 49.

Spaltbar nach  $b$  und  $c$ .

Ebene der optischen Axen  $bc$ , Mittellinie  $c$ ; positiv;  $\rho < v$ .

$2E = 100^\circ 52'$ ;  $2V = 66^\circ 54'$ ;  $\beta = 1,494$ . Sénarmont.

Nach Des Cloizeaux ist  $\alpha = 1,497$ ,  $\beta = 1,4935$ ,  $\gamma = 1,41$  wonach  $2V = 66^\circ 30'$ ,  $2E = 109^\circ 57'$  (beobachtet  $107-109^\circ$ ).

Bei  $15^\circ$  ist

$$2H = \begin{cases} 68^\circ 3',5 \\ 67^\circ 53,5 \\ 67^\circ 34' \end{cases} \quad \text{wonach } 2E = \begin{cases} 110^\circ 15' \text{ Roth} \\ 110^\circ 24' \text{ Grün} \\ 110^\circ 26' \text{ Blau.} \end{cases}$$

Der scheinbare Axenwinkel vergrößert sich beim Erwärmen von  $155^\circ,8$  um  $10^\circ$ . Des Cloizeaux. — Vgl. Topsøe: Pogg. A. Erg. 6, 537.

Volumgewicht. 2,625 Filhol; 2,656 Joule und Playfa 2,653 Schiff; 2,658 Schröder.

Kub. Ausdehnung von  $0-100^\circ = 0,0107$ . Joule und Playfa

Löslichkeit. 4 Liter bei  $15^\circ$  gesättigter Lösung enthält 98,439 g und hat ein V. G. = 1,07744. Michel und Krafft.

100 Th. bei  $15^\circ,6$  gesättigter Lösung enthalten 8,48 Th. Salz; 100 Th. kommen auf 100 Th. Wasser 9,26 Th., oder auf 1 Th. Salz 10,79 Th. Wasser Page und Keightley.

Sind in 100 Th. Wasser

gelöst	so ist das V. G. nach Kremers
2,46	1,0492
4,98	1,0334
7,49	1,0567
10,24	1,0762
12,29	1,0908

Procentgehalt und V. G. der Lösung bei 45° nach Gerlach:

4 pCt. = 1,0082	7 pCt. = 1,0579
3 - = 1,0245	9 - = 1,0750
5 - = 1,0411	9,92 = 1,0834

Letzterer untersuchte auch die Volumänderung durch die T. S. Specif. Gewichte der gebräuchlichsten Salzlösungen. Freiberg 1859. — Vgl. Kremers: Pogg. A. 114, 41. — Hofmann: Ebend. 133, 600.

Lösungswärme Thomsen: Ber. d. chem. Ges. 1873, 710.

Wärmewirkung und Volumänderung beim Lösen und Verdünnen Favre: C. r. 54. 73. 75. 77.

Spec. Wärme der Lösung Andrews: Pogg. A. 66, 56. — Thomsen: Ebend. 112, 364. 372.

Spannkraft der Dämpfe Wüllner: Pogg. A. 103, 529.

Brechungsverhältnisse Hoffmann: Pogg. A. 133, 606. 649.

Elektricitätsleitung s. Ammoniaksalz.



Zweigliedrig.  $a : b : c = 0,864 : 1 : 1,9347$  Marignac.

$o, \frac{o}{3}, p^2, q, q^2, r, \frac{r}{2}, a, c.$

	Berechnet	Marignac	Beobachtet Scacchi	Kobell
$o$	$2 A = 103^\circ 36'$	$103^\circ 42'$	$103^\circ 38'$	$104^\circ 0'$
	$2 B =$	$88 42$		
	$2 C = 112 44$			$112 30$
$\frac{o}{3}$	$2 A = 125 24$	$125 26$		
	$2 B = 115 38$			
	$2 C = 89 20$			
$p^2$	$p^2 = 133 24$	$133 30$		
	$a = 156 42$	$156 44$		
$q$	$q = 54 40$			
	$c = 117 20$	$117 27$		
$q^2$	$q^2 = 28 58$			
	$c = 104 29$	$104 25$		
$r$	$r = 48 0$			
	$c = 114 0$	$114 0$		
$\frac{r}{2}$	$\frac{r}{2} = 83 22$			
	$c = 134 44$	$134 39$		

	Berechnet	Beobachtet	
		Marignac	Scacchi
$o : a =$	$135^{\circ} 54'$		$135^{\circ} 37'$
$c =$		$*108^{\circ} 38'$	
$q =$	$134 \quad 6$	$134 \quad 3$	
$\frac{o}{3} : c =$	$135 \quad 20$	$135 \quad 12$	

Ueber die Isomorphie mit dem entsprechenden Ammoniaksalz s.

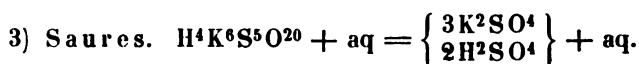
Nach Mitscherlich und Marignac giebt es noch eine zwei- doch nicht näher bekannte zwei- und eingliedrige Form.

Ebene der optischen Axen  $ab$ , Mittellinie  $a$ , positiv,  $2E = 8\varphi < v$ ; Dispersion gering.

Volumgewicht. 2,478 Joule und Playfair.

Löslichkeit. Auf  $K^2S^2O^7$  berechnet, bedarf 1 Th. bei  $0^{\circ}$  2, 20° 2,08, bei  $100^{\circ}$  0,68 Th. Wasser. Die gesättigte L. siedet bei Kremers.

Lösungs- und Verbindungswärme Berthelot: C. r. 77, 24.

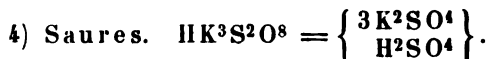


Zwei- und eingliedrig.  $a : b : c = 1,670 : 1 : 2,530$  Scacchi  
 $o = 76^{\circ} 57'$ .

$o', r', a, c.$	Berechnet	Beobachtet
$o' : o' =$	$65^{\circ} 44'$	
$a : c =$		$*103^{\circ} 3'$
$r' : c =$	$114 \quad 2$	
$a =$	$112 \quad 55$	
$o' : a =$		$*102 \quad 46$
$c =$	$115 \quad 40$	
$r' =$		$*122 \quad 52$

Tafelartig nach  $a$ .

Dieses Salz schießt nach Scacchi aus Lösungen von 1 Mol. d malen und 4 Mol. Säure an. Vgl. das folgende.



Zwei- und eingliedrig.  $a : b : c = 1,7696 : 1 : 2,628$  Marignac  
 $o = 77^{\circ} 18'$ .

$o, o', q, r', a, c.$	Berechnet	Beobachtet
		Marignac
$o : o =$		$*74^{\circ} 56'$
$o' : o' =$	$63^{\circ} 52'$	
$o : o' =$	$123 \quad 22$	$123 \quad 5$
$o : o' =$	$112 \quad 53$	
$q : q =$	$12 \quad 36$	

Berechnet	Beobachtet	
	Marignac	Scacchi
$q : c = 111^{\circ} 48'$	$111^{\circ} 40'$	
$a : c = 102 \ 42$	$103 \ 0$	
$r' : a = 142 \ 22$		
$c =$	$*114 \ 56$	$114^{\circ} 55'$
$o : c =$	$*114 \ 15$	
$q = 152 \ 43$	$152 \ 40$	
$o' : c = 102 \ 53$	$102 \ 48$	
$r' = 121 \ 56$	$122 \ 0$	

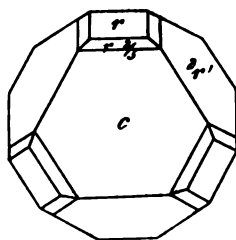
Dünne sechsseitige Tafeln nach  $c$ , oder rhomboedrische oder oktaedrische Combinationen bei Vorherrschen der  $o$ .

Isomorph dem entsprechenden Ammoniaksalz.

Es bildet sich nach Scacchi beim Verdampfen der Lösung von  $\text{HKSO}_4$ , nach Abscheidung von  $\text{K}_2\text{SO}_4$ .

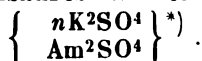
Scacchi hält beide Salze für sechsgliedrig, indem er  $o$  und  $r'$  als Hauptrhomboeder  $r$ ,  $o'$  und  $a$  als das erste schärfere  $2r'$  und  $q$  als  $2a : a : 2a : \frac{1}{2}c$  betrachtet, wie er denn auch ein  $r\frac{1}{2}$  anführt. Fig. 103. Dann wäre  $a : c = 1 : 1,863$ . — Scacchi: *Prodotti chim. crist. Napoli 1867*. — Vgl. Wyröhoff b. Ammoniaksalz.

Fig. 103.



Die Formen dieses sauren Kalisulfats und des vorhergehenden sind offenbar dieselben. Sind beide in der That verschieden zusammengesetzt?

#### Schwefelsaures Ammoniak-Kali.



Zweigliedrig.  $a : b : c = 0,57 : 1 : 0,7476$  Lang.

Isomorphe Mischung mit den Flächen des Kalisulfates.

	Berechnet	Beobachtet
$2A =$		$*134^{\circ} 44'$
$o \left\{ \begin{array}{l} 2B = 87^{\circ} 10' \\ 2C = 112 \ 58 \end{array} \right.$		$*112 \ 35$
$3p : 3p = 60 \ 38$		
$q^2 : q^2 =$		$*67 \ 33$

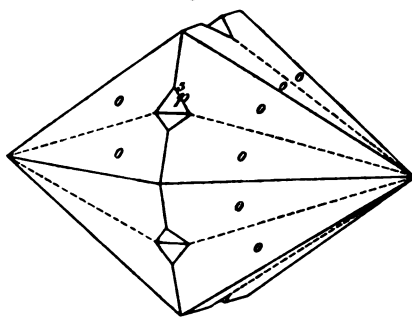
Fast immer Zwillinge oder Drillinge. Fig. 104.

Optisches Verhalten Lang: Wien.

Ak. Ber. 34.

<sup>\*</sup>, Nach Tschermak wäre  $n = 10$ .

Fig. 104.



**Schwefelsaures Rubidium.  $\text{Rb}^2\text{SO}^4$ .**Zweigliedrig.  $a : b : c = 0,578 : 1 : 0,747$  Bunsen.

$o, q^2$ .	Berechnet	Beobachtet	
		Bunsen	Lang
$o \left\{ \begin{array}{l} 2A = \\ 2B = 87^\circ 30' \\ 2C = \end{array} \right.$		$*134^\circ 6'$	
$q^2 : q^2 = 67 \ 44$		$*143 \ 6$	$142^\circ 41'$
$o = 130 \ 42$		$67 \ 47$	
		$430 \ 30$	

Schöne grosse dihexaedrische Krystalle. Bunsen: Pogg. A. 41  
Ebene der optischen Axen  $ac$ , Mittellinie  $a$ , negativ. Lang.

**Schwefelsaures Caesium.  $\text{Cs}^2\text{SO}^4$ .**

Zweigliedrig. Isomorph dem Rubidium- und Kaliumsalz.

Lang beobachtete  $p : b = 120^\circ 8'$ ;  $q^2 : b = 143^\circ 30'$ ;  $o : b = 11$ 

Optisches Verhalten: Wien. Ak. Ber. 55.

**Schwefelsaures Natron.**

## 4) Normales.

A. Wasserfreies.  $\text{Na}^2\text{SO}^4$ .Zweigliedrig.  $a : b : c = 0,5948 : 1 : 1,250$  Mitscherlich. $o, p, r, c$ . —  $s = a : \frac{1}{2}b : c$ .

	Berechnet	Beobachtet	
		Marignac	Scacchi
$o \left\{ \begin{array}{l} 2A = \\ 2B = 74^\circ 48' \\ 2C = \end{array} \right.$		$*123^\circ 43'$	$123^\circ 39'$
		$*135 \ 44$	$74 \ 36$
$s \left\{ \begin{array}{l} 2A = 63 \ 52 \\ 2B = 122 \ 52 \\ 2C = 153 \ 50 \end{array} \right.$			$135 \ 24$
			$63 \ 48$
			$123 \ 2$
$p : p = 118 \ 46$			$153 \ 44$
$r : r = 50 \ 40$			$118 \ 37$
			$54 \ 2$

Scacchi mass Krystalle aus Salzefflorescenzen von Vesuvlav 1855. — An künstlichen Krystallen fand ich fast nur Zwillinge: Spaltbar nach  $c$ , weniger nach  $o$ . — Mitscherlich: Pogg. A. 42, Scacchi: Mem. sull' incend. vesuv. 1855.

Ebene der opt. Axen  $ab$ , Mittell.  $b$ , Dispersion der Axen sehr se  
Des Cloizeaux fand bei  $46^\circ$

$$2H_a = \begin{cases} 83^\circ 24' \\ 83 \ 42 \\ 82 \ 58 \end{cases}, \text{ also } 2E = \begin{cases} 154^\circ 26' \text{ Roth} \\ 155 \ 0 \text{ Grün} \\ 156 \ 30 \text{ Blau} \end{cases}$$

und demnach

$$2V = \begin{Bmatrix} 83^\circ 5' \\ 82 52 \\ 82 39 \end{Bmatrix} \quad \beta = \begin{Bmatrix} 1,470 \\ 1,475 \\ 1,483 \end{Bmatrix} \quad \begin{matrix} \text{Roth} \\ \text{Grün} \\ \text{Blau.} \end{matrix}$$

Am künstlichen Krystallen beobachtete Derselbe  $2E = 152^\circ 42'$  Roth,  $153^\circ 0'$  Blau.

Die hier gewählte Stellung der Krystalle ist eine solche, dass die Formen des Kali- und Natronsulfats vergleichbar werden, denn ihre  $a$  sind  $= 0,5727 : 0,5948$ , also nahe gleich; ihre  $c$  sind  $= 0,7464 : 1,25 = 1 : 1,67 = 3 : 5$ . Dann ist beiden wenigstens die Spaltungsfläche  $c$  gemein.

Allein die optische Orientirung ist eine andere:

	Ksalz	Nasalz
Ebene der opt. Axen	$bc$	$ab$
Mittellinie	$c$	$b$

Mitscherlich stellte die Krystalle des Natronsulfates so, dass die Axen  $b$  und  $c$  vertauscht sind, dass also  $a : b : c = 0,4734 : 1 : 0,8$  ist. Dann sind die  $a$  beider  $= 6 : 5$ , die  $c = 2 : 3$ ,  
und

	Ksalz	Nasalz
die Ebene der opt. Axen	$bc$	$ac$
die Mittellinie	$c$	$c$

Stellt man endlich die Krystalle des Natronsulfates so, dass ihre optische Orientirung mit der Axenbezeichnung übereinstimmt, so hat man die von uns gewählte ganz zu vertauschen, d. h.  $a = b$ ,  $b = c$ ,  $c = a$  zu setzen, so dass  $a : b : c = 2,442 : 1 : 1,69$  würde. In diesem Fall wären beim Kali- und Natronsalz die  $a = 1 : 4$ , die  $c = 1 : 2$ .

Schmelzpunkt.  $865^\circ$  Carnelley;  $1280^\circ$  Braun.

Volumgewicht. 2,684 Favre; 2,693 Schröder.

Löslichkeit. 100 Th. Wasser lösen nach Diacon

bei $0^\circ$	4,53 Th.	bei $24^\circ,4$	25,92 Th.
-	17,9 16,28 -	- 33	50,84 -

B. Hydrat mit 7 Mol. Wasser.  $\text{Na}_2\text{SO}_4 + 7 \text{ aq.}$

Schöne aber schnell trübe werdende Krystalle, welche es unentschieden lassen, ob sie vier- oder zweigliedrig sind. Für den letzten Fall ist nach Marnag

$$\begin{array}{ll} p : b = 133^\circ - 135^\circ & b : q = 133^\circ - 135^\circ \\ p^3 : b = 107 - 109 & \frac{q}{3} = 107 - 109 \\ p : q = 118,5 - 119 & \end{array}$$

C. Hydrat mit 10 Mol. Wasser.  $\text{Na}_2\text{SO}_4 + 10 \text{ aq.}$

(Glaubersalz).

Zwei- und eingliedrig.  $a : b : c = 1,116 : 1 : 1,238$  Haidinger.  
 $\alpha = 72^\circ 45'$ .

$o, o', \frac{o}{2}, \frac{o'}{2}, o^2, p, {}^2p, q, q^2, r', \frac{r}{2}, \frac{r'}{2}, a, b, c.$

Berechnet	Haidinger	Beobachtet Brooke	Rammel
$o : o = 110^\circ 42'$			
$o' : o' = 93 \ 42$			
$o : o' = 109 \ 4$			
$o : o' = 117 \ 6$			
$\frac{o}{2} : \frac{o}{2} = 130 \ 38$			
$o^2 : o^2 = 97 \ 40$			
$p : p =$	$*86^\circ 34'$		
$a = 133 \ 15$		$133^\circ 48'$	
$c = 102 \ 4$			$102^\circ$
${}^2p : {}^2p = 50 \ 24$			
$q : q = 80 \ 36$	$80 \ 24$	$80 \ 24$	
$c = 130 \ 18$			$130$
$b = 139 \ 42$		$139 \ 48$	
$q^2 : q^2 = 45 \ 56$			
$q = 162 \ 40$		$162 \ 38$	
$a : c =$	$*107 \ 45$	$107 \ 44$	$107$
$r' =$	$*130 \ 10$	$130 \ 45$	
$\frac{r'}{2} = 104 \ 44$			$103$
$c : \frac{r}{2} = 147 \ 34$			$147$
$o' : c = 112 \ 42$			$112$
$p = 145 \ 14$			$146$

Die Krystalle sind oft prismatisch nach der Verticalzone, oft *abc* nach der Horizontalzone. Fig. 105—108. Zwillinge nach *a*.

Fig. 105.

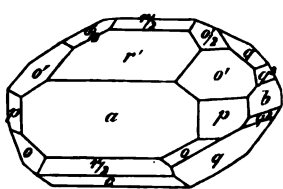
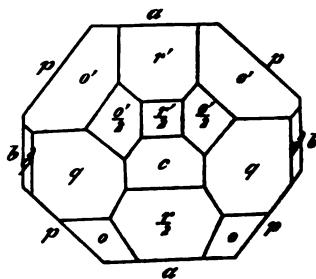


Fig. 106.



Spaltbar nach *a*. — Haidinger: Mohs Grundriss der Mineralog.  
 Brooke: Ann. Phil. 23, 24. — Zepharovich: Groth Ztschr. 3, 4  
 Ebene der opt. Axen parallel Axe *b*, unter  $12^\circ 24'$  geneigt gegen  
 Normale auf Fläche *c* und unter  $11^\circ 53'$  gegen eine solche auf  $\frac{r}{2}$ ; 1  
 linie *b*. Nach späteren Beobachtungen bilden die Ebenen der



rothen Strahlen  
 $59^{\circ} 4'$   
 13 11

blauen Strahlen  
 $63^{\circ} 29'$   
 8 46

mit einer Normale auf  
 Axe  $c$  :  
 -  $a$

Fig. 107.

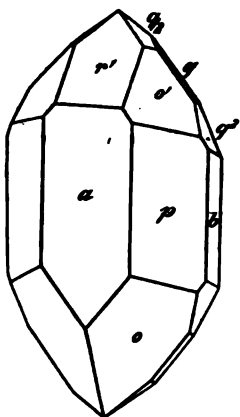
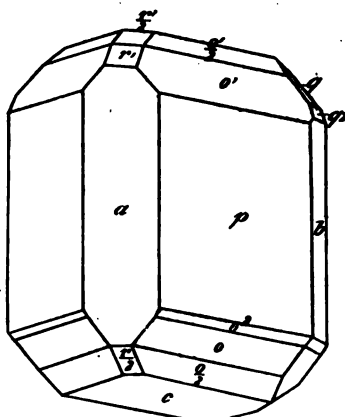


Fig. 108.



Sie treten also ziemlich auseinander. Auch lässt sich die drehende Dispersion wahrnehmen, während die der Axen selbst sehr schwach ist;  $\varphi > v$ . Es fand sich

$$2H = \begin{cases} 73^{\circ} 35' \\ 72 \quad 51 \end{cases} \quad \text{wonach } 2E = \begin{cases} 122^{\circ} 48' \text{ Roth} \\ 122 \quad 42 \text{ Blau.} \end{cases}$$

Gewisse gelbliche, eine Spur Vanadin enthaltende, in den Winkeln aber nicht abweichende Krystalle ergaben die Mittell. in der Axenebene  $ac$  und positiv, mit ausgezeichneter horizontaler Dispersion. Bei ihnen bildeten die Ebenen der

rothen Strahlen  
 $69^{\circ} 45'$   
 2 30

blauen Strahlen  
 $70^{\circ} 34'$   
 0 41

mit einer Normale auf  
 Axe  $c$   
 -  $a$

Hier war  $\varphi < v$ , und annähernd  $2H = 58^{\circ} 0'$ , also  $2E = 90^{\circ} 45'$  Gelb. Des Cloizeaux. — Vgl. Miller: Pogg. A. 55, 634.

Volumgewicht. 1,52 Filhol; 1,471 Buignet; 1,455 Favre.

Löslichkeit. 1 Liter bei  $15^{\circ}$  gesättigter Lösung enthält 290,364 grm krystallisirten Salzes und hat ein Volumgewicht = 1,10847. Michel und Krafft.

Volumgewicht der Lösungen. Kremers: Pogg. A. 95, 110. 96, 39. — Schmidt: Eb. 402, 430. — Schiff: Ann. Ch. Ph. 108, 326. — Gerlach: S. schwefels. Kali.

Beim Lösen von 1 Th. Salz in 5 Th. Wasser sinkt die T. von  $42^{\circ},5$  auf  $5^{\circ},7$ . Rudorff.

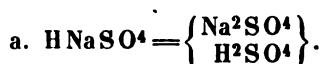
Temperatur- und Volumänderung beim Lösen. Favre: 75. 77.

Spec. Wärme der Lösungen. Schüller: Pogg. A. 436, 70. rignac: N. Arch. ph. nat. 39, 247.

Elektricitätsleitung s. schwefels. Ammoniak und salpeters. K  
Uebersättigte Lösungen: Löwel: Ann. Ch. Phys. (3) 29, 62. 37, 455. 49, 32. — Lieben Wien. Ak. Ber. 42, 774. — Schi Ch. Ph. 406, 444. — Terreil: C. r. 54, 504. — Baumhauer: Ch. 404, 449. — De Coppet: Bull. soc. chim. (2) 47, 446. 434. — Tscherbatschew: Ber. d. ch. Ges. 1873, 4459. — T son: Phil. Mag. (4) 44, 223. 45, 385. — Violette: C. r. 76, 4 — Gernez: C. r. 76. 89.

Lösungswärme. Thomson: Ber. d. chem. G. 1873, Berthelot: C. r. 77, 24. 78, 4722.

## 2. Saures.



Eingliedrig.  $a : b : c = 0,8224 : 4 : 4,2702$  Marignac.

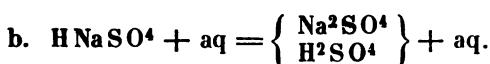
$$\begin{array}{ll} A = 95^\circ 40' & \alpha = 94^\circ 57' \\ B = 93 \ 49 & \beta = 94 \ 50 \\ C = 93 \ 20 & \gamma = 94 \ 44,5 \end{array}$$

$\frac{a'}{2}, p, p', q', r, r', a, c.$

	Berechnet	Beobachtet
$p : p' =$	$104^\circ 40'$	
$a : p =$		$*144^\circ 50'$
$p' =$	$142 \ 50$	
$c : p =$		$*95 \ 40$
$p' =$		$*89 \ 40$
$q' =$	$127 \ 44$	
$a : c =$	$93 \ 49$	$93 \ 0$
$r : a =$	$147 \ 59$	
$c =$		$*125 \ 20$
$p : r =$	$134 \ 0$	$133 \ 45$
$r' =$	$128 \ 28$	$128 \ 40$
$p' : r =$	$130 \ 29$	
$\frac{a'}{2} : a =$	$127 \ 4$	
$c =$	$165 \ 46$	
$p' =$	$104 \ 24$	

Oft tafelartig nach  $p$ .

Die bei  $50^\circ$  sich abscheidenden Krystalle trüben sich an der L

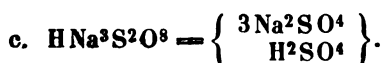


Zwei- und eingliedrig.  $a : b : c = 1,839 : 4 : 0,9913$  Marignac.  
 $o = 88^\circ 42'$ .

$o, o', r', a. - s = \frac{1}{2}a : b : c; s' = \frac{1}{2}a' : b : c.$

	Berechnet	Beobachtet
$o : o =$		$*98^\circ 20'$
$o' : o' =$	$97^\circ 46'$	97 0
$s : s =$	125 24	125 22
$s' : s' =$	124 28	
$a : r' =$	117 19	
$o : a =$		$*111 45$
$o' : a =$	110 9	
$r' =$	138 38	
$s : a =$	139 24	
$o =$		$*152 24$
$s' : a =$	138 34	
$o' =$	154 35	

Oft sehr grosse nach  $o$  prismatische oder nach einem  $o$  tafelartige Krystalle.



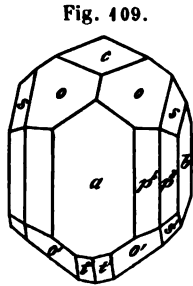
Zwei- und eingliedrig.  $a : b : c = 1,7216 : 4 : 0,9484$  Marignac.  
 $o = 77^\circ 50'$ .

$o, o', p^2, p^4, a, b, c.$

$s = a : \frac{1}{2}b : c; s' = a' : \frac{1}{2}b : c; t' = a' : 2b : c.$

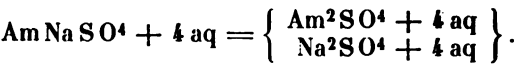
	Berechnet	Marignac	Beobachtet Scacchi
$o : o =$	$106^\circ 24'$	$106^\circ 24'$	
$o' : o' =$	96 20		
$o : o' =$	136 20		
$o : o' =$	94 20		
$s : s =$	67 30		
$s' : s' =$	58 22		
$s : s' =$	150 48		
$s : s' =$	125 24		
$t' : t' =$	134 46		
$p^2 : p^2 =$	99 50	99 40	
$a =$	139 55	139 45	
$c =$	99 17	99 15	
$p^4 : p^4 =$	134 22		
$a =$	157 11	156 50	
$c =$	103 13		
$a : c =$		$*102 10$	$102^\circ 13'$
$o : a =$	119 30	119 19	119 22
$b =$		$*126 48$	126 52

	Berechnet	Beobachtet	
		Marignac	Scacchi
$o : c =$		$*136^{\circ} 9'$	$133^{\circ} 49'$
$o' : a = 104^{\circ} 40'$		103 50	103 57
$b = 131 50$		132 7	131 55
$c = 129 34$		129 40	
$s : a = 109 59$		109 57	108 53
$b = 146 15$		146 20	146 18
$c = 120 2$			120 2
$s' : a = 99 13$		99 16	99 5
$b = 150 49$		151 0	150 52
$c = 114 37$		114 30	114 37
$t' : a = 104 20$		104 10	107 12
$b = 114 7$		111 20	114 9
$c = 141 10$		141 28	141 10



Prismatisch nach der Horizontalzone oder tafel nach  $a$ . Fig. 409. Ziemlich glänzend und luftbeständig.  
Dieses Salz scheidet sich aus Lösungen des  $\text{HNaSO}_4$  erst an. Es ist isomorph dem entsprechenden Kalisalz.

Schwefelsaures Ammoniak-Natron.



Zweigliedrig.  $a : b : c = 0,4859 : 1 : 0,3166$  Mitscherlich.

$o, p, 2p, q, q^2, r, r^2, r^4, b, c.$

$$n = \frac{1}{2} a : b : c.$$

	Berechnet	Beobachtet
		Marignac v.
$o \left\{ \begin{array}{l} 2A = 150^{\circ} 18' \\ 2B = 116 18 \\ 2C = 71 50 \end{array} \right.$		
$n \left\{ \begin{array}{l} 2A = 158 10 \\ 2B = 77 40 \\ 2C = 106 36 \end{array} \right.$		
$p : p =$		$*128^{\circ} 10'$
$2p : 2p = 91 38$		
$a = 135 49$		133
$q : q =$		$*144 52$
$q^2 : q^2 = 115 20$		
$r : r = 113 50$		
$r^2 : r^2 = 76 0$		
$a = 142 30$		144
$r^4 : r^4 = 21 44$		

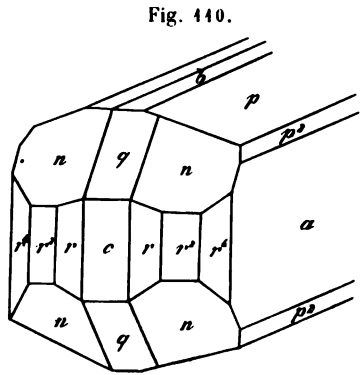


Fig. 440. — Mitscherlich: Pogg. 58, 469. — v. Lang: Wien. Ak. Ber. 45

**Schwefelsaures Kali-Natron.**

$$1) \text{ Normales. } \left\{ \begin{array}{l} m \text{ K}^2\text{SO}^4 \\ n \text{ Na}^2\text{SO}^4 \end{array} \right\}.$$

Die Krystalle des Kalisulfats sind zwar zweigliedrig und optisch zwei-axig, weichen jedoch in ihrer Form nicht viel von sechsgliedrigen ab, insofern das Prisma  $p, p, b$  mit zwei Winkeln von  $120^\circ 24'$  und vier solchen von  $119^\circ 48'$  fast als ein sechsgliedriges Prisma erscheint. Dasselbe gilt von der Combination  $3p, 3p, a$ , deren Winkel  $= 120^\circ 42'$  und  $119^\circ 36'$  sind. In der Endigung bilden die vier Flächen  $o$  und die  $q^2$  ein scheinbares Dihexaeder; jene sind unter  $146^\circ 20'$  auf die  $p$ , diese unter  $146^\circ 41'$  auf die  $b$  aufgesetzt, während die Winkel  $o : o (2A)$  und  $o : q^2$  ebenfalls nahe gleich sind. In gleicher Art entsteht aus  $\frac{o}{2}$  und  $q$  ein solches Dihexaeder.

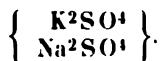
Diese geometrische Annäherung an das sechsgliedrige System ist um so grösser, je mehr der Winkel des ersten Paares ( $p : p$ ) sich  $120^\circ$  nähert, oder das Axenverhältniss  $a : b$  dem von  $0,57735 : 1 = 1 : \sqrt{3}$  nahe kommt. In diesem Fall sind die Flächen eines jeden Rhombenoktaeders  $a : b : \gamma c$  gegen die Axe  $c$  ebenso geneigt, wie die eines zweiten Paares  $b : 2\gamma c : \infty a$ , also  $o^n = q^{2n}$ . Und eben solche Gleichheit findet statt in den Neigungen der Rhombenoktaeder  $3a : b : \gamma c$  und der dritten Paare  $3a : 2\gamma c : \infty b$ .

Man hat lange geglaubt, dass eine solche geometrische Gleichheit mit sechsgliedrigen Formen bei zweigliedrigen und zwei- und eingliedrigen in Wirklichkeit nicht vorkomme. Indessen hat der Glimmer diese Ansicht widerlegt.

Wenn es nun beim schwefelsauren Kali nur einer ganz geringen Winkeländerung bedarf, so sehen wir, dass die isomorphen Mischungen mit Natronsulfat unter Umständen den ursprünglichen zweigliedrigen Charakter bewahren, gewöhnlich aber wirklich sechsgliedrig und optisch ein-axig auftreten.

**A. Zweigliedrige Mischungen.**

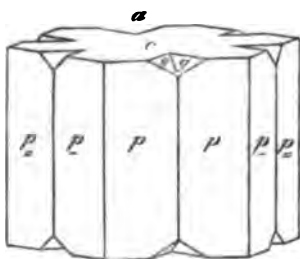
Bisher nur an Krystallen beobachtet, welche mit Steinsalz zu Roccamuto auf Sicilien vorkommen, und die nahezu



Beobachtet wurde

Rammelsberg, physik. Chemie.

Fig. 114.



$$p : p = 120^\circ 30'; \quad p : q = 107^\circ 0'; \quad q : c = 143^\circ 40'.$$

Es sind immer Drillinge (Fig. 111, 112); manche scheinbar boedrisch (Fig. 113). — G. v. Rath: Pogg. A. Ergbd. 6, 359.

Fig. 112.

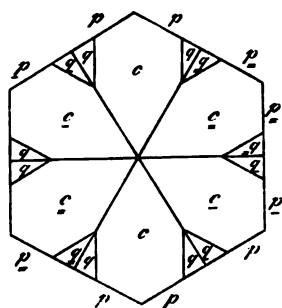
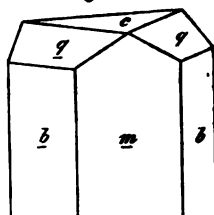


Fig. 113.



### B. Sechsgliedrige Mischungen.

$a : c = 1 : 1,30$  Mitscherlich.

$$d = r, r'; \quad \frac{d}{2} = \frac{r}{2}, \frac{r'}{2}; \quad p, a.$$

Berechnet

Beobachtet

Mitscherlich

Scacchi

$$\begin{aligned} d \left\{ \begin{array}{l} 2A = 131^\circ 2' \\ 2C = 112^\circ 0' \end{array} \right. \\ \frac{d}{2} \left\{ \begin{array}{l} 2A = 145^\circ 20' \\ 2C = 73^\circ 8' \end{array} \right. \\ c : d = \\ \frac{d}{2} = 143^\circ 26' \end{aligned}$$

$$124^\circ 0'$$

$$123^\circ 43'$$

$$(126^\circ 37' \text{ Sénar})$$

Beide Dihexaeder treten oft als Rhomboeder (mit und ohne rhomboeder) auf.

Es ist also hier

$$\begin{aligned} &\text{aus } p \text{ und } b \text{ das erste Prisma } p, \\ &- \frac{3}{2}p - a - \text{zweite} - a, \\ &- o - q^2 - \text{Dihexaeder } d, \\ &- \frac{o}{2} - q - - - \frac{d}{2} \end{aligned}$$

geworden.

Drillinge, die durch die physikalische Differenz von  $r$  und  $r'$  erkennen geben. Spaltbar nach  $c$ .

Scacchi, welcher seine Beobachtungen an einem Salz an vischen Lavaeffloreszenzen anstellte, erblickt in dem Uebergang d gliedrigen Form in die sechsgliedrige nicht sowohl eine geometr vielmehr eine bloß physikalische Aenderung, eine Erscheinung, d Polysymmetrie bezeichnet.

Im Jahre 1843 beschrieb Mitscherlich zuerst rhomboedrische, optisch einaxige Krystalle, aus Kelplauge gewonnen. Er läugnerte ihren Natrongehalt, der in der Mutterlauge doch bedeutend ist, und hob die grosse Aehnlichkeit mit der gewöhnlichen zweigliedrigen Form des Kalisulfats hervor.

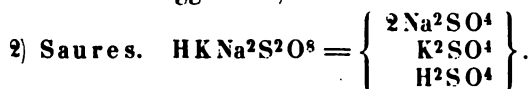
Später fand Penny in solchen Krystallen aus Kelplauge 3 At. Kalium gegen 1 At. Natrium.

Sénarmont beschrieb grünliche Krystalle, Nebenproduct von der Darstellung chromsauren Kalis.

H. Rose beobachtete beim Anschliessen der Krystalle aus gemeinsamer Lösung beider Sulfate eine Lichtentwicklung, und fand in jenen zwischen 0 und 35 pCt. Natronsulfat.

Scacchi bestätigte diese Angaben durch zahlreiche eigene Versuche.

So weit die vorhandenen Analysen reichen, ist die sechsgliedrige Form in allen Mischungen nachgewiesen, welche das Atomverhältniss Na : K von 3 bis 1 : 5 enthalten. — Mitscherlich: Pogg. A. 58, 468. — Scacchi: Ztschr. d. geol. Ges. 17, 35. 56 (z. Th. aus seiner Abhandlung über die Polysymmetrie). — Sénarmont: Mittheilung. — Penny: J. f. pr. h. 67, 216. — H. Rose: Pogg. A. 52, 452. — Hauer: J. f. pr. Ch. 83, 356.

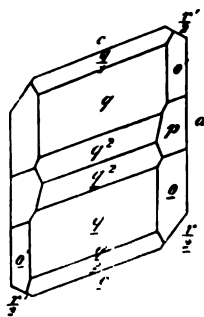


Zwei- und eingliedrig.  $a : b : c = 0,6764 : 1 : 1,12$  Scacchi.  
 $\alpha = 69^\circ 22'.$

$o, o', p, q, \frac{q}{2}, q^2, \frac{r}{2}, \frac{r'}{2}, a, c.$

Berechnet	Beobachtet
$o : o =$	$129^\circ 22'$
$o' : o' = 113^\circ 42'$	112 0
$p : p = 115 20$	
$a =$	$147 40$
$c = 107 17$	107 19
$q : q = 87 18$	
$c = 133 39$	133 39
$\frac{q}{2} : \frac{q}{2} = 124 42$	
$q^2 : q^2 = 51 0$	
$c = 115 30$	115 7
$a : c =$	$110 38$
$\frac{r}{2} = 144 35$	144 12
$\frac{r'}{2} = 116 56$	116 15
$c : o = 130 15$	130 14
$o' = 102 33$	102 54

Fig. 114.



Illinge. Fig. 114. Spalthar nach  $c$ , weniger nach  $a$ .

**Schwefelsaures Lithion.  $\text{Li}_2\text{SO}_4 + \text{aq.}$** 

Zwei- und eingliedrig.  $a : b : c = 1,6402 : 1 : 1,6928$  S  
 $\alpha = 87^\circ 30', 5.$

$$p, p^2, r, \frac{r}{3}, r', \frac{r'}{3}, a.$$

$$m' = a' : \frac{2}{3}b : c.$$

$$n = 3a : \frac{2}{3}b : c; n' = 3a' : \frac{2}{3}b : c.$$

Berechnet	Scacchi	Beobachtet Rammelsberg
$m' : m' = 103^\circ 4'$		
$n : n = 104 20$		
$n' : n' = 98 56$		
$p : p = 63 44$		$65^\circ 18'$
$a =$	$*121^\circ 52'$	
$p^2 : p^2 = 102 22$		$103 40$
$p = 160 44$		$160 35$
$r : r' = 87 8$		
$a : r =$	$*137 37$	
$r' =$	$*135 45$	$136 12$
$\frac{r}{3} = 111 34$		$110 25$
$\frac{r'}{3} = 107 5$		
$r : \frac{r}{3} = 153 54$		$152 36$
$r' : \frac{r'}{3} = 142 20$		$140 40$
$p : r = 112 36$		
$r' = 112 4$		
$\frac{r}{3} = 104 2$		$104 10$
$\frac{r'}{3} = 98 56$		$100 15$
$p^2 : \frac{r'}{3} = 103 14$		$104 45$

Aus meinen Messungen hatte ich  $a : b : c = 0,8278 : 1$   
 $\alpha = 70^\circ 29'$  berechnet, indem ich  $p^2 = p, p = 2p, \frac{r}{3} = 1$   
nahm.

Meine Krystalle waren prismatisch nach der Verticalzon  
artig nach c.

Nach Scacchi, welcher die drei Augitpaare angiebt, k  
 $r', \frac{r}{3}$  und  $\frac{r'}{3}, a$  und  $m'$  an allen Krystallen vollzählig vor, alle  
der übrigen Formen lassen sich zwei Arten von Krystallen un

1) Solche, an denen die beiden  $p^2$  nur an der linken, n  
rechten Seite erscheinen. Fig. 115.



2) Solche, an denen das Umgekehrte stattfindet. Fig. 446.  
 Jene nennt er rechte, diese linke Krystalle. Beide bilden sich gleich-  
 ig in gleichen Mengen; bringt man aber einen rechten oder linken  
 Krystall hinein, so erzeugen sich von da an nur Krystalle seiner Art.  
 Aus der Lösung rechter Krystalle erhält man rechte und linke.

Fig. 445.

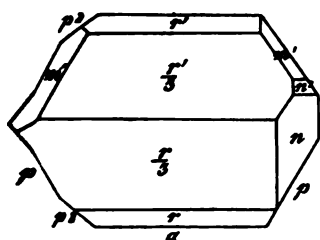
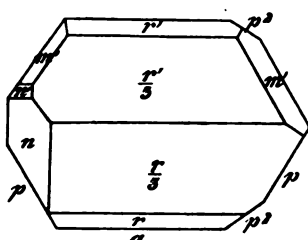


Fig. 446.



Die  $\frac{r}{3}$  und  $\frac{r'}{3}$  sind polyedrisch. Scacchi sieht hierin den Grund der  
 Einkindendifferenzen und ist der Ansicht, dass das System eigentlich zwei-  
 liedrig sei. Aus neutralen Lösungen erhielt er Krystalle, deren  $\frac{r'}{3}$  sehr  
 gross waren, während die  $\frac{r}{3}$  fast verschwanden.

Zwillinge entstehen nach Scacchi nur in Lösungen, welche etwas  
 Kalisulfat enthalten. Bei Krystallen derselben Art ist  $\frac{r'}{3}$  Zwillingsfläche,  
 liegen  $a$ , wenn rechte mit linken verwachsen. Fig. 447.

Spaltbar nach  $a$ , weniger nach  $p$ .

Pyroelektrisch. Bei sinkender T. wird das Ende,  
 an welchem die  $p^2$  liegen, negativ.

Diese Angaben Scacchi's verdienen weiter ver-  
 folgt zu werden. — Rammelsberg: Pogg. A. 428, 344.

— Scacchi: Atti d. Accad. d. Sc. di Napoli. 8. (1868).

— Grailich: Kryst.-opt. Untersuchungen. 134.

Ebene der optischen Axen  $ac$ ; Mittellinie des stump-  
 fen Winkels  $b$ . Grailich.

Volumgewicht des wasserfreien 2,21 Kremers.

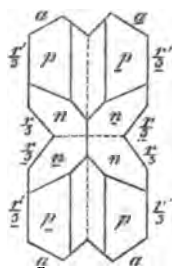
Schmelzpunkt. 822° Carnelley.

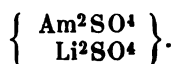
Löslichkeit. Nach Kremers erfordert 4 Th. wasserfreies Salz

bei	0°	2,83 Th. Wasser	65°	3,30 Th. Wasser
	20	2,94 - -	100	3,42 - -
	45	3,06 - -		

Volumgewicht der Lösungen Derselbe: Pogg. A. 95, 468. 444, 44.

Fig. 447.



**Schwefelsaures Ammoniak-Lithion.**

Dimorph.

A. Zweigliedrig.  $a : b : c = 0,5773 : 1 : 0,9642$  Scacchi. $o, p, q, q^2, r, b, c. - s = a : \frac{1}{2}b : c.$ 

	Berechnet	Beobachtet Scacchi	Wyrouboff
$o \left\{ \begin{array}{l} 2A = 127^\circ 20' \\ 2B = 79 \quad 36 \\ 2C = 125 \quad 2 \end{array} \right.$			125° 6'
$s \left\{ \begin{array}{l} 2A = 90 \quad 56 \\ 2B = 104 \quad 56 \\ 2C = 137 \quad 4 \end{array} \right.$			
$p : p =$		*120° 0'	119 57
$q : q = 92 \quad 16$			433 46
$b = 133 \quad 52$			
$q^2 : q^2 = 54 \quad 58$			
$c = 117 \quad 29$		117 30	117 28
$r : r = 64 \quad 58$			
$o : c =$		*117 29	117 28

Meist Zwillinge oder Drillinge vom Ansehen einfacher Krystall

Optisch zweiaxig. Ebene der optischen Axen  $bc$ , Mittellinie  $= 63^\circ 30'$  Roth,  $64^\circ 32'$  Grün. Wyrouboff. — Bull. soc. min. 1886Diese Mischung erscheint geometrisch sechsgliedrig. Ist die echende von Kali- und Lithionsulfat wirklich sechsgliedrig und optisch axig, so wiederholt sich hier bei beiden das Verhältniss von  $\text{K}^2\text{S}$  seiner Mischung mit  $\text{Na}^2\text{SO}^4$ .B. Zweigliedrig.  $a : b : c = 0,5832 : 1 : 0,5984$  Scacchi. $o, p, q, \frac{q}{2}, q\frac{3}{2}, r, r\frac{3}{2}, b, c.$  $n = \frac{1}{2}a : \frac{3}{2}b : c; v = \frac{1}{2}a : b : c.$ 

	Berechnet	Beobachtet
$o \left\{ \begin{array}{l} 2A = 134^\circ 40' \\ 2B = 97 \quad 18 \\ 2C = 99 \quad 48 \end{array} \right.$		
$p : p = 119 \quad 30$		
$b =$		*120° 15'
$q : q = 118 \quad 14$		
$r : r = 88 \quad 34$		
$n \left\{ \begin{array}{l} 2A = 137 \quad 14 \\ 2B = 66 \quad 22 \\ 2C = 131 \quad 51 \end{array} \right.$		
$q\frac{3}{2} : q\frac{3}{2} = 96 \quad 28$		

	Berechnet	Beobachtet
$q\frac{1}{2} : b =$		$\approx 131^{\circ} 46'$
$v \left\{ \begin{array}{l} 2A = 150^{\circ} 36' \\ 2B = 59 \quad 13 \\ 2C = 129 \quad 5 \end{array} \right.$		
$\frac{q}{2} : \frac{q}{2} =$	146 42	
$r\frac{1}{2} : r\frac{3}{2} =$	52 0	

Tafelartig nach  $b$  und spaltbar nach  $b$ .

Scacchi konnte keine Mischung beider Sulfate in anderen Verhältnissen darstellen. Bei gewöhnlicher T. erscheinen beide Formen neben einander, durch T.-Änderung wandelt sich aber die eine leicht in die andere um, da über  $27^{\circ}$  B. löslicher ist als A., während unter  $22^{\circ}$  das Umgekehrte stattfindet. Keine von beiden ist vorzugsweise beständig.

### Schwefelsaures Kali-Lithion.

#### 1) Normales.

a) Wasserfrei.  $\left\{ \begin{array}{l} K^2SO^4 \\ Li^2SO^4 \end{array} \right\}$ .

Sechsgliedrig.  $a : c = 1 : 1,665$  Rammelsberg.

$d, \frac{d}{2}, p, c.$

	Berechnet	Beobachtet	
		Rammelsberg	Schabus
$d \left\{ \begin{array}{l} 2A = 127^{\circ} 20' \\ 2C = 125 \quad 0 \end{array} \right.$		$127^{\circ} 38'$ 125 0	$127^{\circ} 15'$
$\frac{d}{2} \left\{ \begin{array}{l} 2A = 139 \quad 26 \\ 2C = 87 \quad 48 \end{array} \right.$			
$c : d =$	117 30	117 30	117 17
$\frac{d}{2} =$	136 6		
$p : d =$		$\approx 152 \quad 30$	152 43

Scacchi fand  $\frac{d}{2}$  nur an Krystallen aus Ammoniumsulfat enthaltenden Lösungen.

Optisch einaxig. Schabus.

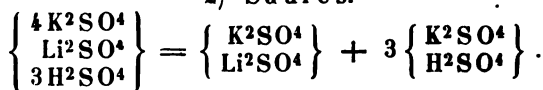
Auch mir ist es nicht gelungen, eine anders zusammengesetzte Mischung zu erhalten.

Schabus beschrieb das Salz als wasserfreies Lithionsulfat. — Rammelsberg: Pogg. A. 128, 311.

b) Hydrat.  $\left\{ \begin{array}{l} K^2SO^4 + aq \\ 4(Li^2SO^4 + aq) \end{array} \right\}$ .

Von der Form des reinen Lithionsalzes. Sehr kleine Krystalle aus der Mutterlauge des vorigen. Rammelsberg.

## 2) Saures.



Viergliedrig.  $a : c = 1 : 0,6847$  Scacchi.

$o, \frac{1}{3}o, 2o, d^4, d^8, p, c.$

Berechnet

$$\begin{array}{l} o \left\{ \begin{array}{l} 2A = 121^\circ 4' *) \\ 2C = 88 \quad 10 \end{array} \right. \\ \frac{1}{3}o \left\{ \begin{array}{l} 2A = 112 \quad 0 \\ 2C = 104 \quad 32 \end{array} \right. \\ 2o \left\{ \begin{array}{l} 2A = 102 \quad 8 \\ 2C = 125 \quad 24 \end{array} \right. \end{array} \quad \begin{array}{l} d^4 \left\{ \begin{array}{l} 2A = 96^\circ 46' \\ 2C = 139 \quad 54 \end{array} \right. \\ d^8 \left\{ \begin{array}{l} 2A = 94 \quad 52 \\ 2C = 159 \quad 48 \end{array} \right. \end{array}$$

Prismatisch nach  $p$  oder tafelartig nach  $c$ . Spaltbar nach  $c$ .

Scacchi macht auf eine gewisse Beziehung zu der zweigliedrig Form des sauren Kalisulfats aufmerksam ( $o : c = 135^\circ 55', \frac{o}{3} : \text{Kalisalz} = 135^\circ 20'$ ). Aber er hat vergebens versucht, Krystalle des einen in der Lösung des anderen zu vergrössern.

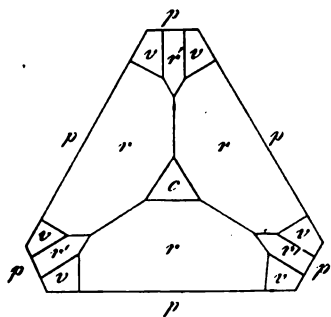
## Schwefelsaures Natron-Lithion.

a) Wasserfrei.  $\text{NaLiSO}^4 = \left\{ \begin{array}{l} \text{Na}^2\text{SO}^4 \\ \text{Li}^2\text{SO}^4 \end{array} \right\}.$

Sechsgliedrig.  $a : c = 1 : 2,4606$  Scacchi.

$d (r, r'), p, c. - v = 2a : a : 2a : \frac{1}{3}c.$

Fig. 118.



	Berechnet	Beobachtet
$d \left\{ \begin{array}{l} 2A = 148^\circ 24' \\ 2C = 66 \quad 0 \end{array} \right.$		
$v \left\{ \begin{array}{l} 2A = 145 \quad 4 \\ 2C = 73 \quad 46 \end{array} \right.$		
$d : p =$		$*123^\circ$
$c = 147 \quad 0$		
$v = 162 \quad 32$		

$d$  erscheint immer als  $r$  und  $r'$ , wenn jenes vorherrscht, und welche die kanten von  $v$  abstumpfen. Fig. 118.

$2A$  von  $r (r') = 123^\circ 43'.$

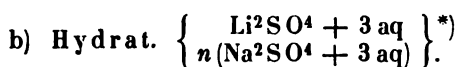
Drei abwechselnde Flächen von gross und glänzend, die drei anderen schmal und uneben; nur Kr aus sauren Lösungen zeigen öfter die letzteren gross.

Am einen Ende der Krystalle sind die Flächen des Hauptrhomb am anderen die des Gegenrhomboders gross und glänzend.

\*) Beobachtet.

Nach Scacchi bildet sich dieses Salz bei etwa 50°. Die Krystalle aus neutralen Lösungen phosphoresciren beim Reiben, verlieren aber diese Eigenschaft an der Luft bald. Solche aus sauren Lösungen phosphoresciren nicht.

Sie sind pyroelektrisch. Bei sinkender T. zeigen beide Enden negative Elektricität.



Sechsgliedrig.  $a : c = 1 : 0,902$  Rammelsberg.

$r, 2r', 4r, a, c.$

$$x = 2a : a : 2a : \frac{1}{3}c; y = 2a : a : 2a : \frac{1}{3}c.$$

	Berechnet	Beobachtet
$2A$ von $r = 102^\circ 40'$		
- - $2r' = 77 \ 20$		$77^\circ 25'$ $77^\circ 32'$ Mitscherl. 77 40 Scacchi
- - $4r = 65 \ 46$		
$x \left\{ \begin{array}{l} 2A = 125 \ 0 \\ 2C = 134 \ 50 \end{array} \right.$		125 40
$y \left\{ \begin{array}{l} 2A = 134 \ 46 \\ 2C = 100 \ 30 \end{array} \right.$		
$c : r =$		*133 50
$2r' = 115 \ 38$		115 38
$4r = 103 \ 30$		103 35
$x = 112 \ 35$		
$y = 129 \ 45$		
$r : 2r' = 110 \ 32$		110 30 (Stk.)
$128 \ 40$		128 40 (Endk.)
$a = 128 \ 46$		128 8
$2r' : a = 141 \ 20$		141 20
$4r : a = 147 \ 22$		147 15
$x : 2r' = 152 \ 30$		152 30
$y : 2r' = 151 \ 17$		151 ungef.
$x = 162 \ 50$		162 30

Fig. 119, 120. — Grössere Krystalle sind sehr symmetrisch ausgebildet. Das Dihexaeder zweiter Ordnung  $x$  erscheint in der Diagonalzone des ersten schärferen Rhomboeders  $2r'$ , während  $y$  in der Diagonalzone des Hauptrhomboiders  $r$  liegt, und  $2r'$  die Endkanten des zweiten (vierfach) schärferen  $4r$  abstumpft.

Aber auch unsymmetrische Combinationen sind nicht selten, z. B. solche von zwei- und eingliedrigem Ansehen, durch Verlängerung nach der Diagonalzone von  $r$  entstanden.

\* Nach meinen Versuchen ist  $n = 2$  und 3.

Farblos oder weiss; mit einem  $c$  aufgewachsen, und dann in der Hälfte oft sehr verkürzt. — Mitscherlich: Pogg. A. 58, Rammelsberg: Eb. 128, 344.

Fig. 119.

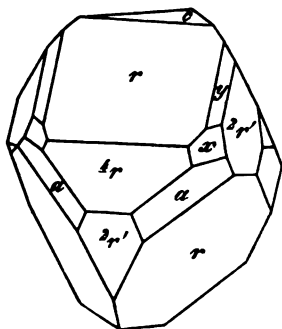
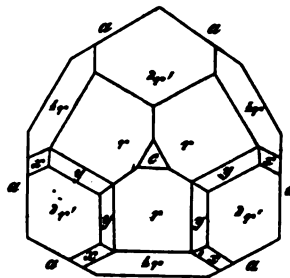


Fig. 120.



### Schwefelsaures Thallium. $\text{Th}^2\text{SO}_4$ .

Zweigliedrig.  $a : b : c = 0,5539 : 1 : 0,7349$  Lang.

$o, p, q, q^2, \frac{r}{2}, a, b, c$ .

	Berechnet	Beobachtet	
		Lang	Des Cloizeaux
$o \left\{ \begin{array}{l} 2A \\ 2B \\ 2C \end{array} \right.$	$\begin{array}{l} = 132^\circ 20' \\ = 86 \quad 20 \\ = 113 \quad 0 \end{array}$	$\begin{array}{l} 132^\circ 12' \\ 112 \quad 46 \end{array}$	
$p : p$	$= 122 \quad 2$		
$b$	$=$	$*118 \quad 59$	$118^\circ 55'$
$q : q$	$= 107 \quad 36$		
$c$	$= 143 \quad 48$	$143 \quad 39$	$143 \quad 40$
$q^2 : q^2$	$= 68 \quad 40$		
$c$	$=$	$*124 \quad 20$	$124 \quad 0$
$q$	$= 160 \quad 32$	$160 \quad 30$	
$\frac{r}{2} : \frac{r}{2}$	$= 113 \quad 6$		
$a$	$= 123 \quad 27$		$123 \quad 30$
$c$	$= 146 \quad 33$		$146 \quad 20$
$o : b$	$= 113 \quad 50$	$113 \quad 49$	$114 \quad 0$
$c$	$= 123 \quad 30$	$123 \quad 31$	$122 \quad 40$
$q$	$= 133 \quad 10$	$133 \quad 10$	
$p$	$= 146 \quad 30$	$146 \quad 20$	

Prismatisch nach  $bq^2c$  und tafelartig nach  $b$ .

Ebene der optischen Axen  $ac$ ; positiv; Doppelbrechung s Lang.

Mittellinie =  $a$ ; Dispersion in Öl schwach,  $\varphi < v$ . Bei  $49^\circ$

$$2H = 90^\circ 35' \text{ und } 94^\circ 39' \text{ Roth,} \\ 94 \ 22 \ - \ 92 \ 0 \text{ Blau.}$$

es Cloizeaux: Ann. Ch. Phys. (4) 47.

### Schwefelsaures Silber. $\text{Ag}^2\text{SO}^4$ .

Zweigliedrig.  $a : b : c = 0,5712 : 1 : 1,238$  Mitscherlich.

$o, r, c; - s = a : \frac{1}{2}b : c$ .

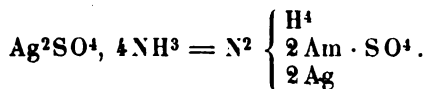
	Berechnet	Beobachtet
$o \left\{ \begin{array}{l} 2A = \\ 2B = 72^\circ 34' \\ 2C = \end{array} \right.$		$*125^\circ 11'$
$s \left\{ \begin{array}{l} 2A = 65 \ 26 \\ 2B = 121 \ 12 \\ 2C = 153 \ 50 \end{array} \right.$		$*136 \ 20$
$r : r = 49 \ 32$		

Isomorph  $\text{Na}^2\text{SO}^4$ . Auch hier dehnen sich oft zwei Flächen  $o$  in den Seitenkanten zu einem herrschenden Prisma aus. Spaltbar nach  $c$ , weniger nach  $o$ . — Pogg. A. 12, 138.

Volumgewicht 5,44 Filhol; 5,425 Schröder.

Löslichkeit. In 68,58 Th. Wasser von  $100^\circ$ . Kremers.

### Schwefelsaures Ammoniumsilberammonium.



Viergliedrig.  $a : c = 1 : 0,5328$  Mitscherlich.

$o, p, a, c$ .

	Berechnet	Beobachtet
$o \left\{ \begin{array}{l} 2A = 129^\circ 38' \\ 2C = 74 \ 0 \end{array} \right.$		
$o : p =$		$*127^\circ 0'$

Herrschend  $a$  und  $c$ . — Pogg. A. 12, 144.

Schwefelsaurer Baryt.  $\text{BaSO}^4$  (Schwerspath).

Schwefelsaurer Strontian.  $\text{SrSO}^4$  (Cölestin).

Schwefelsaurer Kalk.  $\text{CaSO}^4$  (Anhydrit).

Schwefelsaures Blei.  $\text{PbSO}^4$  (Bleivitriol).

Eine isomorphe zweigliedrige Gruppe, in welcher

	$a$	:	$c$
Ba	0,8446	:	1,3127
Sr	0,7766	:	1,2815
Ca	0,8954	:	1,0053
Pb	0,7755	:	1,2178

## Volumgewicht.

Schwerspath, krystallisirt . . .	4,485	G. Rose
Schwefelsaurer Baryt, gefällt . .	4,53	Ders.
- - - - -	4,54	Schröder
- - - - -	4,95	Pietrowsky
- Strontian, gefällt	3,77	Filhol
- - - - -	3,707	Schröder
- Kalk . . . . .	3,402	Filhol
- Blei . . . . .	6,30	Ders.

## Schwefelsaurer Kalk.

Hydrat.  $\text{CaSO}_4 + 2\text{aq}$  (Gips).

Zwei- und eingliedrig.  $a : b : c = 0,689 : 1 : 0,444$  Des Cl  
zeaux.  $\alpha = 80^\circ 57'$ .

1 Th. Gips löst sich in 388 Th. Wasser, 1 Th. Anhydrit ( $\text{CaSO}_4$ )  
492 Th. bei  $15-20^\circ$ . Tipp.

400 Th. bei  $120,5$  gesättigter Gipslösung enthalten 0,254 Th.; a  
1 Th. in 397,4 Th. Wasser. Lecoq de Boisbaudran.

Schwefelsaure Beryllerde.  $\text{BeSO}_4 + 4\text{aq}$ .Viergliedrig.  $a : c = 1 : 0,669$  Topsöe.

o, a.	Berechnet	Beobachtet	
		Awdejew	Nordenskiöld
$o \left\{ \begin{array}{l} 2A = \\ 2C = \\ o : a = \end{array} \right.$			
	$121^\circ 54'$	$121^\circ 50',5$	$121^\circ 53'$
	$86 \quad 49,5$	$86 \quad 49,5$	$86 \quad 59$
	4,5		

Wird  $a = p$  und  $o = d$  gesetzt, so ist  $a : c = 1 : 0,9462$ .

Oft sind zwei gegenüberliegende Flächen  $o$  ausgedehnt.

Zwillinge nach einer Fläche  $o$ . — Optisch einaxig, negativ.

Volumgewicht = 4,725. — Topsöe: Wien. Ak. Ber. 66 (187  
Pogg. A. Ergbd. 6, 530. — Awdejew: Pogg. A. 56, 443. — Norde  
skiöld: Vet. Ak. Handl. 1874.

## Schwefelsaure Magnesia.

1)  $\text{MgSO}_4 + \text{aq}$ . (Kieserit).

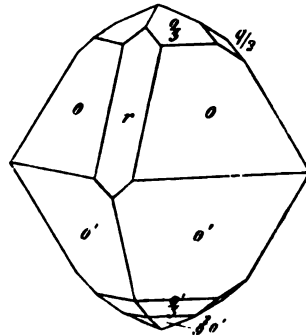
Zwei- und eingliedrig.  $a : b : c = 0,94474 : 1 : 0,7445$  Tsch  
mak.  $\alpha = 88^\circ 53'$ .

$o, o', \frac{o}{3}, \frac{o'}{3}, \frac{2}{3}o', \frac{q}{2}, r$ .



Berechnet	Beobachtet
$o : o = 102^{\circ} 26'$	
$o' : o' =$	$101^{\circ} 32'$
$o : o' = 93 \quad 0$	$93 \quad 0$
$o : o' = 137 \quad 42$	$137 \quad 50$
$\frac{o}{3} : \frac{o}{3} = 128 \quad 9$	
$\frac{o'}{3} : \frac{o'}{3} =$	$127 \quad 10$
$\frac{q}{3} : \frac{q}{3} = 104 \quad 2$	
$o : \frac{o}{3} = 152 \quad 26$	$152 \quad 30$
$o' : \frac{o'}{3} =$	$151 \quad 40$
$\frac{o}{3} : \frac{o'}{3} = 168 \quad 50$	$169 \quad 0$

Fig. 121.

Fig. 121. Spaltbar nach  $o'$  und  $\frac{o'}{3}$ , weniger nach  $o$ ,  $r$  und  $\frac{q}{3}$ .

Die Krystalle des K. von Hallstadt sind oft gross, in Steinsalz eingewachsen. Die Flächen  $o'$  und  $\frac{o'}{3}$  sind die glänzendsten. Fläche  $r$  ist nur als Spaltungsfläche beobachtet.

Bläulicher Lichtschein auf den vollkommensten Spaltungsflächen. Die Ebene der optischen Axen ist  $ac$ ; ihr scheinbarer Winkel ist  $\approx 90^{\circ}$ .

Tschermak macht auf die Aehnlichkeit der Form mit dem Lazulith aufmerksam. — Tschermak: Wien. Ak. Ber. 63.

2)  $MgSO^4 + 6aq.$ 

Zwei- und eingliedrig.  $a : b : c = 1,404 : 1 : 1,6623$  Marignac.  
 $o = 81^{\circ} 26'$ .

$o, \frac{o'}{3}, 2o', p, r', 2r', a, c.$

Berechnet	Beobachtet
$o : o = 89^{\circ} 28'$	
$\frac{o'}{3} : \frac{o'}{3} = 104 \quad 40$	$104^{\circ} 54'$
$2o' : 2o' = 71 \quad 54$	
$p : p =$	$71 \quad 32$
$c : c =$	$95 \quad 0$
$a : c = 98 \quad 34$	$98 \quad 20$
$c : r' = 125 \quad 8$	$124 \quad 30$
$2r' : 2r' = 105 \quad 27$	$104 \quad 50$
$o : c =$	$119 \quad 55$
$2o' : c = 99 \quad 0$	$98 \quad 45$
$\frac{o'}{3} : c = 131 \quad 48$	$131 \quad 30$

Fig. 122.

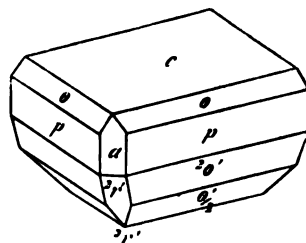


Fig. 122.

3)  $\text{MgSO}_4 + 7 \text{ aq.}$  (Bittersalz).Zweigliedrig.  $a : b : c = 0,99 : 1 : 0,571$  Brooke. $o, p, q, q^2, r, r^2, a, b.$  $n = \frac{1}{3} a : b : c$  ( $\frac{1}{3} o$  der Fig. 123). $s = a : \frac{1}{3} b : c$  ( $o \frac{1}{3}$  der Fig. 123).

	Berechnet	Brooke	Beobachtet Rammelsberg
$o$	$2A =$	$127^\circ 22'$	
	$2B = 126^\circ 48'$		
	$2C = 78 \quad 6$		$78^\circ 22'$
$n$	$2A = 139 \quad 0$		
	$2B = 89 \quad 54$		
	$2C = 104 \quad 18$		
$s$	$2A = 90 \quad 36$		
	$2B = 128 \quad 54$		
	$2C = 104 \quad 0$		
$p$	$p : p =$	$90 \quad 34$	$90 \quad 39$
	$b = 134 \quad 43$		$134 \quad 41$
$q$	$q : q = 120 \quad 34$		
$q^2$	$q^2 : q^2 = 82 \quad 24$		
$r$	$r : r = 120 \quad 4$		
	$a = 119 \quad 58$	$120 \quad 0$	
$r^2$	$r^2 : r^2 = 84 \quad 52$		
$p$	$p : r = 110 \quad 47$		$110 \quad 52$
$o$	$o : r = 153 \quad 41$		$153 \quad 40$

Fig. 123, 124. — Brooke: Ann. of Phil. 22, 40. — Haide Pog. A. 6, 194. — Mitscherlich: Eb. 11, 323.

Fig. 123.

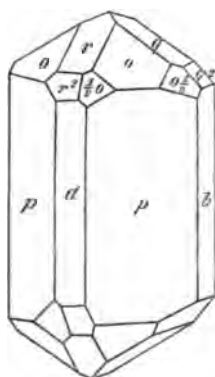
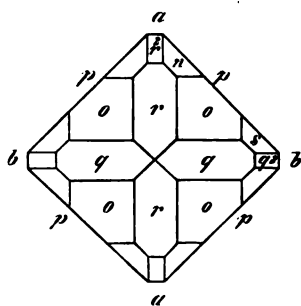


Fig. 124.

Oft erschei  
Oktaeder, beso  
als Tetraeder.Spaltbar nac  
niger nach  $r$ .Optische Ax  
 $= ab$ ; Mittellin  
negativ.  $\beta =$   
 $2V = 50^\circ 52'$ ; 2  
2' Miller,  $78^\circ$   
Cloiseaux.  
persion der A  
schwach:  $q >$ scheinbare Axenwinkel für Roth und Violett ist öfter fast gleich. 8  
schieden gefunden :

2 E = 77° 59'      78° 5'      78° 44' Roth.  
           77 43      77 44      78 3 Violett. Des Cloizeaux.

Vergl. Topsøe: Pogg. A. Ergb. 6, 545. — Kohlrausch: Groth Ztschr. 4, 400.

Nach Grailich verräth sich an vollflächigen Krystallen oder den Aetzfiguren durch Wasser die hemiedrische Natur. Wien. Ak. Ber. 27.

Derselbe über Diamagnetismus der Krystalle. Eb. 32.

Volumgewicht. — 4,754 Filhol, 4,683 Joule und Playfair, 4,685 Schiff, 4,675 Baignet.

Kub. Ausdehnung von 0—100° = 0,04049 Joule u. Playfair.

Löslichkeit. 4 Liter bei 15° gesättigter L. enthält 644,847 grm kryst. Salz und hat ein V. G. = 1,2752. Michel und Krafft.

In 100 Th. Wasser lösen sich

bei 0° 24',7      bei 40° 47,0 Th.

- 25 37,4      - 55 52,8 - wasserfreies Salz. Tobler.

Vergl. Schiff: Ann. Ch. Ph. 108, 326. — Oudemans: Ztschr. anal. Ch. 7, 449.

Nach Gerlach ist das V. G. der Lösung

mit 5 pCt. MgSO <sup>4</sup> =	1,0545
bei 10 -	1,4053
- 15 -	1,4622
- 20 -	1,2224
- 25 -	1,2848
- 25,248	1,2880

Beim Lösen von 85 Th. Bittersalz in 100 Th. Wasser sinkt die T. von 41°,1 auf 3°,1. Rudorff.

Übersättigte Lösungen und die Bildung des Hydrats mit 6 aq, sowie die Löslichkeit beider Hydrate, Löwel: Ann. Ch. Phys. (3) 43, 405.

Thermische und Volumänderung beim Lösen. Favre und Valson: C. r. 73. 75. 77.

Spec. Wärme. Des wasserfreien Sulfats = 0,224, mit aq = 0,264, mit 7aq = 0,407 Neumann.

Galvanischer Leitungswiderstand der Lösung. Paalzow: Monatsber. Berl. Ak. 1868, 486.

### Schwefelsaures Zink.

4) ZnSO<sup>4</sup> + 6 aq.

Isomorph dem Magnesia(Nickel-Kobalt-)salz.

Beobachtet

p : p = 73° 44'  
           a = 126 40

p : c = 94° 30'  
           a : c = 98 35 Marignac.

2)  $\text{ZnSO}_4 + 7\text{aq.}$ Zweiglig.  $a : b : c = 0,9804 : 1 : 0,563$  $o, p, q, r, a, b.$ 

Berechnet

$$\begin{aligned}
 o \left\{ \begin{aligned} 2A &= 127^\circ 56' \\ 2B &= 126 \quad 50 \\ 2C &= 77 \quad 38 \end{aligned} \right. \\
 p : p &= \\
 a &= 135 \quad 36 \\
 b &= 134 \quad 26 \\
 q : q &= 121 \quad 14 \\
 b &= \\
 r : r &= 120 \quad 16 \\
 a &= 119 \quad 57 \\
 o : a &= 116 \\
 p &= 128 \\
 q &= 17
 \end{aligned}$$

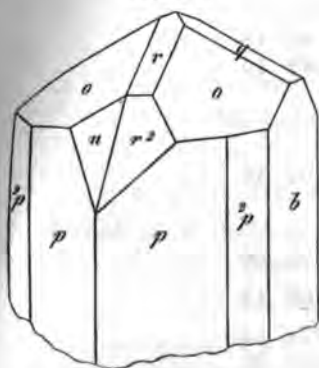
Broc

Auch hier erste	.8	129 10
eder. Spaltbar n	.22 51	122 48
Optisch gl	= 123 34	123 50
64° 18' Sen	c = 98 59	98 45
später 2E =	$\frac{o}{2} : a = 109 \quad 51$	109 30
salz. S. r	c = 134 39	134 38

Diese Form bildet sich, wenn die Auflösung bei 50  
A. 7°

2)  $\text{NiSO}_4 + 7\text{aq.}$ Zweiglig.  $a : b : c = 0,9815 : 1 : 0,5656$  M: $o, p, {}^2p, q, r, r^2, b. - n = \frac{1}{2}a : b : c.$ 

Fig. 126.



	Berechnet
$o \left\{ \begin{aligned} 2A &= 127^\circ 48' \\ 2B &= \\ 2C &= 77 \quad 50 \end{aligned} \right.$	
$n \left\{ \begin{aligned} 2A &= 139 \quad 20 \\ 2B &= 89 \quad 50 \\ 2C &= 104 \quad 10 \end{aligned} \right.$	
$p : p =$	
$q : q = 121 \quad 2$	
$b = 119 \quad 29$	
$r : r = 120 \quad 6$	
$r^2 : r^2 = 81 \quad 54$	
$r = 160 \quad 54$	
$p : q = 110 \quad 10$	
$r = 110 \quad 52$	
$q : r = 138 \quad 58$	

**Schwefelsaures Nickel.**1)  $\text{NiSO}_4 + 6\text{aq.}$ 

Dimorph.

A. Viergliedrig.  $a : c = 1 : 1,906$  Mitscherlich. $o, \frac{o}{2}, \frac{o}{3}, d, d\frac{2}{3}, a, c.$ 

Berechnet

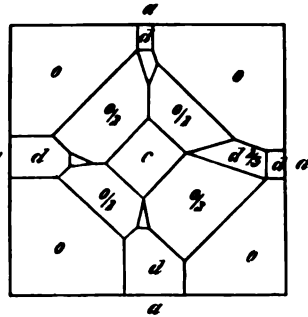
Beobachtet

Mitscherl. Brooke

$2A = 96^\circ 57'$
$2C =$
$2A = 140 \quad 48$
$2C = 106 \quad 50$
$2A = 123 \quad 36$
$2C = 83 \quad 52$
$2A = 102 \quad 28$
$2C = 124 \quad 38$
$2A = 112 \quad 30$
$2C = 103 \quad 36$
$c : o = 140 \quad 24$
$\frac{o}{2} = 126 \quad 35$
$\frac{o}{3} = 138 \quad 4$
$d = 147 \quad 44$
$d\frac{2}{3} = 128 \quad 42$

 $139^\circ 47',5$  $140^\circ 40'$  $126 \quad 24$  $147 \quad 37$ 

Fig. 125.

Fig. 125. — Spaltbar nach  $c$ , weniger nach  $a$ .Diese Form, in welcher Mitscherlich früher  $7\text{aq}$  angenommen hatte, bildet sich nach Marignac bei  $30 - 40^\circ$ .B. Zwei- und eingliedrig.  $a : b : c = 1,3723 : 1 : 1,6749$  Marignac. $o = 81^\circ 43'.$  $o, o', \frac{2}{3}o, \frac{2}{3}o', 2o', \frac{o'}{2}, p, r, r', \frac{2}{3}r', 2r, 2r', a, c.$ 

Berechnet

Beobachtet

$o : o = 90^\circ 58'$	$91^\circ 48'$
$o' : o' = 82 \quad 50$	$82 \quad 40$
$o : o' = 115 \quad 37$	
$o : o' = 128 \quad 47$	
$\frac{2}{3}o : \frac{2}{3}o = 102 \quad 30$	
$\frac{2}{3}o' : \frac{2}{3}o' = 94 \quad 28$	$94 \quad 40$
$\frac{2}{3}o : \frac{2}{3}o' = 122 \quad 54$	
$\frac{2}{3}o : \frac{2}{3}o' = 107 \quad 54$	
$2o' : 2o' = 74 \quad 4$	$73 \quad 59$
$\frac{o'}{2} : \frac{o'}{2} = 105 \quad 42$	$105 \quad 43$
$p : p =$	$72 \quad 44$
$a = 126 \quad 22$	$126 \quad 20$

Berechnet	Beobachtet
$p : c =$	$94^{\circ} 54'$
$a : c = 98^{\circ} 17'$	98 25
$r = 144 \quad 3$	
$2r = 159 \quad 3$	
$\frac{3}{2}r' = 149 \quad 36$	
$2r' = 156 \quad 42$	
$c : r = 134 \quad 14$	134 13
$2r = 119 \quad 11$	119 5
$\frac{3}{2}r' = 112 \quad 7$	
$2r' = 105 \quad 4$	104 45
$p : r = 118 \quad 44$	
$r' = 115 \quad 53$	115 42
$\frac{3}{2}r' = 123 \quad 0$	122 55
$o : a = 125 \quad 15$	125 30
$c =$	$119 \quad 49$
$o' : a = 119 \quad 8$	
$c = 111 \quad 54$	112 0
$\frac{2}{3}o : a = 122 \quad 54$	
$c = 129 \quad 15$	129 10
$\frac{3}{2}o' : a = 114 \quad 18$	
$c = 122 \quad 54$	122 48
$2o' : a = 123 \quad 34$	123 50
$c = 98 \quad 59$	98 45
$\frac{o'}{2} : a = 109 \quad 54$	109 30
$c = 131 \quad 39$	131 38

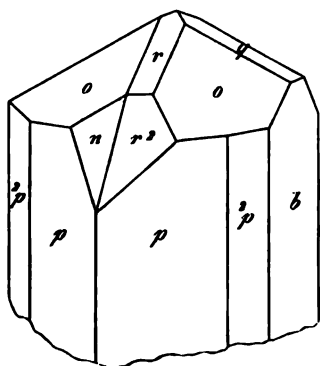
Diese Form bildet sich, wenn die Auflösung bei 50—70° k

2)  $\text{NiSO}_4 + 7 \text{aq.}$

Zweigliedrig.  $a : b : c = 0,9845 : 1 : 0,5656$  Marigna

$o, p, {}^2p, q, r, r^2, b.$  —  $n = \frac{1}{2}a : b : c.$

Fig. 126.



	Berechnet	Beob.
$o \left\{ \begin{array}{l} 2A \\ 2B \\ 2C \end{array} \right.$	$2A = 127^{\circ} 48'$	127
	$2B =$	$126$
	$2C = 77 \quad 50$	
$n \left\{ \begin{array}{l} 2A \\ 2B \\ 2C \end{array} \right.$	$2A = 139 \quad 20$	
	$2B = 89 \quad 50$	
	$2C = 104 \quad 10$	
$p : p =$		94
$q : q = 124 \quad 2$		124
$b = 119 \quad 29$		119
$r : r = 120 \quad 6$		
$r^2 : r^2 = 84 \quad 54$		
$r = 160 \quad 54$		160
$p : q = 110 \quad 10$		110
$r = 110 \quad 52$		110
$q : r = 138 \quad 58$		

	Berechnet	Beobachtet
$o : q$	$= 153^{\circ} 22'$	$153^{\circ} 22'$
$n : b$	$= 110 \ 20$	$110 \ 23$
$q$	$= 134 \ 55$	$134 \ 52$

Spaltbar nach  $b$ . Fig. 126. — Diese Form bildet sich bei  $15-20^{\circ}$ .

Das viergliedrige Hydrat ist optisch negativ; die Brechungsexponenten sind für  $o = 1,513$ , für  $e = 1,585$ . — Reusch: Pogg. A. 91, 347. — Vgl. Topsøe: Eb. Ergbd. 6, 530. 549.

Das zweigliedrige verhält sich optisch wie Bittersalz und Zinkvitriol, d. h. die optische Axenebene ist  $ac$ , die Mittellinie  $c$ ; negativ;  $e > v$ ;  $2E = 64^{\circ} 42'$ ,  $2V = 42^{\circ} 28'$ . Grailich.

Das zweigliedrige Salz verwandelt sich mit der Zeit oder beim Erwärmen in das viergliedrige, wobei die Krystalle mit Beibehaltung ihrer Form undurchsichtig werden. Nach Des Cloizeaux fällt hierbei die optische Axe des letzteren mit der Mittellinie des zweigliedrigen nahe zusammen.

Volumgewicht von  $\text{NiSO}_4 + 7\text{aq} = 1,934$  Schiff.

Wärmeleitung. Lang: Pogg. A. 135, 29.

Spec. Wärme des wasserfreien 0,246, des Hydrats mit  $\text{aq}$  0,237, mit  $7\text{aq}$  0,344. Neumann.

Das viergliedrige Salz ist in hohem Grade atherman. Reusch.

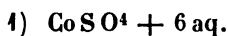
Magnetisches Verhalten. Grailich: Wien. Ak. Ber. 32.

Löslichkeit. Tobler: Ann. Ch. Ph. 95, 493.

Elektrolyse der Lösung. Merrick: Jahresb. 1874, 307.

Thermochemisches. Favre: C. r. 73. 75. 77.

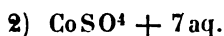
### Schwefelsaures Kobalt.



Isomorph dem Zinksalz.

	Beobachtet	
$p : p$	$= 71^{\circ} 52'$	$a : c = 98^{\circ} 44'$
$a$	$= 126 \ 0$	$c : r' = 124 \ 10$
$c$	$= 95 \ 6$	$2r' = 105 \ 0$

Marignac.



Zwei- und eingliedrig.  $a : b : c = 1,4835 : 1 : 1,4973$  Brooke.  
 $o = 75^{\circ} 5'$ .

$o, s, s^*), p, q, \frac{q}{s}, r, r', \frac{r}{s}, b, c$ .

\*) S. schwefelsaures Eisenoxydul.

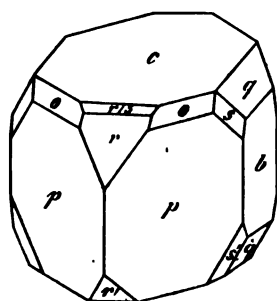


Fig. 127.

Berechnet	Beob:
	Brooke
$o : o = 102^{\circ} 30'$	
$s : s = 63 \ 52$	
$s' : s' = 54 \ 30$	
$s : s' = 135 \ 11$	
$s : s' = 145 \ 0$	
$p : p =$	$82^{\circ} 20'$
$b = 138 \ 50$	
$c =$	$99 \ 45$
$q : q = 69 \ 48$	
$c = 124 \ 39$	$124 \ 0$
$\frac{q}{3} : \frac{q}{3} = 128 \ 30$	
$c : r = 137 \ 49$	$135 \ 55$
$r' =$	$148 \ 53$
$\frac{r}{3} = 159 \ 49$	
$p : r = 123 \ 46$	
$r' = 118 \ 22$	
$o : b = 128 \ 45$	
$c = 124 \ 59$	
$p = 152 \ 46$	
$s : b = 148 \ 4$	
$c = 142 \ 53$	
$s' : c = 102 \ 7$	
$r' = 145 \ 45$	

Fig. 127. — Brooke: Ann. Phil. 22, 120.

Ueber die Beziehung der Krystalle auf nahe rechtwinklig isomorphe Eisensalz.

Volumgewicht 4,924 Schiff.

100 Th. Wasser lösen vom wasserfreien Salz

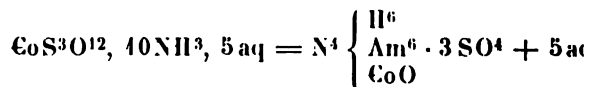
bei 3°	26,2	bei 35°	46,3
- 40	30,5	- 44	50,4
- 20	36,4	- 50	55,2
- 24	38,9	- 60	60,4
- 29	40,0	- 70	65,7 T

Thermische Verhältnisse der Lösungen Favre und Vals

75. 77. — Thomsen: Ber. d. ch. G. 1873, 740.

### Schwefelsaures Ammoniumkobaltammonium

#### A. Schwefelsaures Roseokobalt.



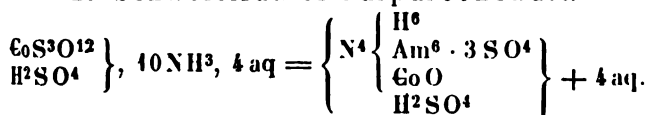
Vergliedrig.  $a : c = 4 : 1,085$  Dana.



$o, o^2, d, p, a, c.$	Berechnet	Beobachtet	
		Dana	Rammelsberg
$o \begin{cases} 2A = \\ 2C = 413^\circ 50' \end{cases}$		$407^\circ 20'$	$407^\circ 35'$ 113 38
$o^2 \begin{cases} 2A = 400 26 \\ 2C = 430 30 \end{cases}$			
$d \begin{cases} 2A = 417 20 \\ 2C = 94 42 \end{cases}$			
$o : a = 126 20$			126 40
$c = 123 5$			123 30 ungef.

Entweder  $o$  oder  $d$  herrschend. Ich beobachtete Combinationen der ersten Art, woran jedoch nur die  $o$  glänzend waren.

#### B. Schwefelsaures Purpureokobalt.

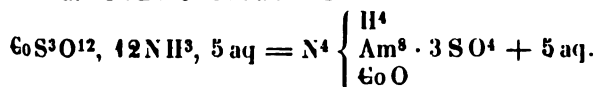


Zweiglig.  $a : b : c = 0,376 : 1 : 0,546$  Dana.

$o, p, p^2, q, b.$	Berechnet	Beobachtet
$o \begin{cases} 2A = 145^\circ 32' \\ 2B = 76 18 \\ 2C = 114 20 \end{cases}$		
$p : p = 138 42$		
$2p : 2p =$		$406^\circ 0'$
$q : q =$		$422 42$

Das Oktaeder soll als Tetraeder auftreten.

#### C. Schwefelsaures Luteokobalt.



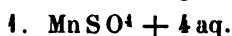
Zweiglig.  $a : b : c = 0,654 : 1 : 0,673$  Dana.

$o^{\frac{1}{2}}, o^{\frac{3}{2}}, p, \frac{1}{2}p, q, q^3, r, r^3, c.$

	Berechnet	Beobachtet
$o^{\frac{1}{2}} \begin{cases} 2A = 136^\circ 26' \\ 2B = 110 52 \\ 2C = 85 22 \end{cases}$		
$o^{\frac{3}{2}} \begin{cases} 2A = 122 28 \\ 2B = 85 18 \\ 2C = 123 4 \end{cases}$		
$p : p =$		$413^\circ 38'$
$\frac{1}{2}p : \frac{1}{2}p = 94 6$		
$q : q =$		$412 8$
$q^3 : q^3 = 52 54$		
$r : r = 88 22$		
$r^3 : r^3 = 35 54$		

Die beiden Oktaeder erscheinen partialflächig, und zwar rechts, das andere links. Auch  $q$  nur einseitig. Dichroismus.

### Schwefelsaures Manganoxydul.



Dimorph.

A. Zwei- und eingliedrig.  $a : b : c = 0,8643 : 1 : 0,5874$   
 $\alpha = 89^\circ 7'.$

$p, p^2, q, 2r, 2r', b, c.$  —  $n' = \frac{1}{2} a' : b : c.$

	Berechnet	Beobachtet	
		Sénarmont	Marignac
$n' : n' = 144^\circ 22'$			
$p : p = 98 \ 20$			$98^\circ 20'$
$b =$		$130^\circ 50'$	
$c =$		$90 \ 40$	$90 \ 43$
$p^2 : p^2 = 133 \ 46$			$133 \ 47$
$b = 113 \ 22$		$113 \ 29$	
$c = 90 \ 48$			$90 \ 48$
$q : q = 149 \ 40$			$149 \ 36$
$c = 149 \ 35$			$149 \ 48$
$b =$		$120 \ 25$	
$c : 2r = 126 \ 26$			$127 \ 41$
$2r' = 125 \ 47$		$126 \frac{1}{2}$	$126$
$n' : p = 145 \ 42$		$146 \frac{1}{2}$	

Fig. 128.

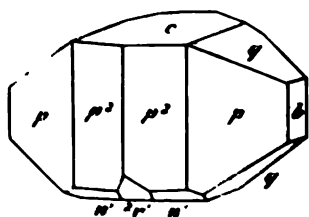


Fig. 129.

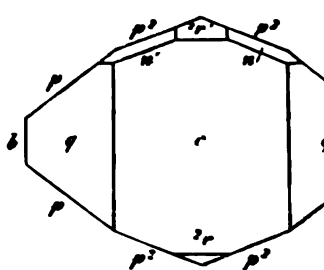
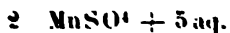


Fig. 128, 129. — Dieses Hydrat krystallisirt bei  $30-40^\circ$ ,  
 stalle verwittern und zerfallen an der Luft.

B. Zweigliedrig. Messungen sind nicht bekannt.



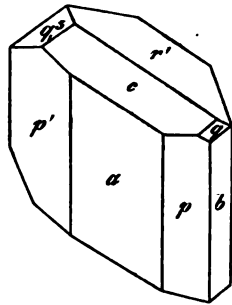
Eingliedrig.  $a : b : c = 0,5449 : 1 : 0,5268$  Marignac.

$A = 116^\circ 10'$	$\alpha = 113^\circ 5'$
$B = 113 \ 32$	$\beta = 109 \ 44$
$C = 102 \ 58$	$\gamma = 94 \ 0$

$p, p', q, {}^2q', {}^3q', r', a, b, c.$

	Berechnet	Beobachtet
$a : b =$	$102^\circ 58'$	$103^\circ 10'$
$b : p =$		$*128 \ 50$
$p' =$		$*109 \ 0$
$p : p' =$	$122 \ 10$	$122 \ 10$
$c : p =$	$121 \ 6$	$121 \ 30$
$p' =$		$*98 \ 30$
$b : c =$		$*116 \ 10$
$q =$	$159 \ 52$	
$b' : {}^2q' =$	$121 \ 43$	$123$
${}^3q' =$	$139 \ 33$	$139 \ 22$
$a : c =$	$113 \ 32$	$113 \ 40$
$r' =$		$*118 \ 8$
${}^3q' =$	$92 \ 39$	$92 \ 15$
$b : r' =$	$103 \ 25$	$103 \ 12$
$p : q =$	$129 \ 39$	
$r' =$	$105 \ 50$	$105 \ 45$
$p' : {}^3q' =$	$117 \ 47$	$117 \ 18$
$r' =$	$125 \ 43$	$125 \ 37$

Fig. 130.

Fig. 130. — Unvollkommen spaltbar nach  $c$ .

Isomorph  $\text{Cu SO}_4 + 5 \text{aq}$ . Um beide zu vergleichen, muss man setzen

Mangansalz	Kupfersalz	Mangansalz	Kupfersalz
$p =$	$p'$	${}^3q' =$	${}^2q$
$p' =$	$p$	$r' =$	$o'$
$q =$	${}^2q'$	$c =$	$q'$

### 3) $\text{Mn SO}_4 + 7 \text{aq}$ .

Zweigliedrig. Isomorph dem Magnesia-, Nickel- und Zinksalz.

Optisches der Mangansulfate. Bei dem Hydrat mit  $4 \text{aq}$  ist die Ebene der optischen Axen parallel Axe  $b$  und nahe parallel der Axenebene  $ab$ ; Mittellinie  $a$ . Dispersion der Axen stark,  $\rho > \nu$ . Sénarmont.

Die Ebene der rothen Axen und ihre Mittellinie bilden Winkel von

$84^\circ 45'$  mit der Norm. von Fläche  $c$

$34 \ 54 \quad - \quad - \quad - \quad - \quad - \quad - \quad {}^2r$

$4 \ 21 \quad - \quad - \quad - \quad - \quad - \quad - \quad$  auf Kante  $p : p$  vorn.

Für die Ebene der blauen Axen sind diese Winkel  $83^\circ 15'$ ,  $30^\circ 24'$  und  $5^\circ 54'$ . Die Entfernung beider Ebenen bedingt die schöne horizontale Dispersion.

$2E = 105^\circ 58'$  Roth;  $105^\circ 45'$  Gelb;  $104^\circ 43'$  Blau. Des Cloizeaux.

Volumgewicht. Das des Anhydrids ist 3,1 Boedeker.

Spec. Wärme des Anhydrids 0,182, des Hydrats mit  $5 \text{aq}$  0,338. Neumann.

Lösungsgl. V. G. der Lösung des Hydrats mit dem  
Dingl. J. 184. 121.

Thermische und Volumänderungen beim Lösen. Favre u.  
Ber. 73. 75. 77.

Lösungswärme Thomson. Ber. d. ch. Ges. 1873. 710.

### Schwefelsaures Eisenoxyd.



Dimorph.

A. Zweigliedrig. — Messungen sind nicht bekannt.

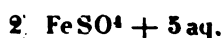
B. Zwei- und eingliedrig.  $a : b : c = 0,8716 : 1 : 0,5833$   
 $\alpha = 88^\circ 34'.$

$p, p^2, q, q^2, r^2, b, c.$

	Berechnet	Beobachtet
$p : p =$		$92^\circ 49'$
$b =$	$131^\circ 10'$	$131^\circ 7'$
$c =$	$90^\circ 50'$	$90^\circ 41'$
$p^2 : p^2 =$	$132^\circ 46'$	$133^\circ 0'$
$b =$	$113^\circ 37'$	$113^\circ 33'$
$c =$		$91^\circ 0'$
$q : q =$		$119^\circ 30'$
$c =$	$119^\circ 45'$	$119^\circ 40'$
$q^2 : q^2 =$	$81^\circ 12'$	
$c =$	$130^\circ 36'$	$130^\circ 131'$
$r^2 : c =$	$127^\circ 33'$	$128^\circ$
$p =$	$110^\circ 7'$	$110^\circ 111'$
$p^2 =$	$102^\circ 32'$	$102^\circ$

Die  $p$  sind glatt: die  $q$  und  $q^2$  gestreift nach  $c$ .

Blassgrün. Spaltbar nach  $b$ . Isomorph dem Mangansalz



Eingliedrig. Isomorph dem Mangansalz.

$a : b : c = 0,5547 : 1 : 0,5339$  Marignac.

$A = 116^\circ 29'$	$\alpha = 113^\circ 21'$
$B = 114^\circ 5'$	$\beta = 110^\circ 32'$
$C = 103^\circ 48'$	$\gamma = 93^\circ 24'$

$o'', p, p', q', r', a, b, c.$

	Berechnet	Beobachtet
$a : b =$	$103^\circ 48'$	$103^\circ 30'$
$p =$		$154^\circ 8'$
$p' =$	$147^\circ 44'$	$147^\circ 44'$
$p : p' =$		$121^\circ 52'$
$p : c =$		$121^\circ 40'$

	Berechnet	Beobachtet
$p' : c =$		$98^{\circ} 44'$
$r' =$		$125 \ 35$
$b : c = 116^{\circ} 29'$		$116 \ 20$
$c : q' = 149 \ 54$		$149 \ 30$
$a : c = 114 \ 5$		$114 \ 20$
$r' = 117 \ 50$		$117 \ 30$
$c : r' = 128 \ 5$		$128 \ 10$
$o'' : a = 107 \ 2$		$107 \ 10$
$b = 126 \ 25$		$126 \ 30$
$c = 133 \ 35$		$133 \ 56$

Ausserdem  $p^6, 2q'$ . Grünlichblau. Kleine Krystalle.

Aus einer schwefelsauren Lösung scheidet sich dieses Hydrat später das gewöhnliche ab. — Ann. Min. (5) 9, 9.

Bezüglich der Stellung der Krystalle im Vergleich zum Kupfervitriol  $MnSO^4 + 5aq$ .

### 3) $FeSO^4 + 7aq$ (Eisenvitriol).

Zwei- und eingliedrig.  $a : b : c = 1,1828 : 1 : 1,5427$  Zepharovich.  
 $o = 75^{\circ} 44', 5$ .

$$o, \frac{o}{2} : \frac{o'}{2}, p, q, \frac{q}{3}, r, r', \frac{r}{3}, \frac{r}{4}, b, c.$$

$$n = \frac{1}{2} a : b : c.$$

$$s = a : \frac{1}{4} b : c.$$

$$s' = a' : \frac{1}{4} b : c.$$

	Berechnet	Beobachtet		
		Zepharov.	Rammelsb.	Brooke
$o : o = 101^{\circ} 26'$			$101^{\circ} 35'$	
$\frac{o}{2} : \frac{o}{2} = 121 \ 0$				
$\frac{o'}{2} : \frac{o'}{2} = 128 \ 44$		$128^{\circ} 40'$		
$n : n = 127 \ 14$				
$s : s = 62 \ 54$				
$s' : s' = 54 \ 16$				
$p : p =$		$82 \ 12$	$82 \ 36$	$82^{\circ} 20'$
$b = 138 \ 54$		$138 \ 54$		$82^{\circ} \ 2'$
$c =$		$99 \ 19$	$98 \ 50$	$99 \ 2$
$q : q = 67 \ 33$		$67 \ 24$		
$c =$		$123 \ 47$	$123 \ 45$	$123 \ 55$
$b = 146 \ 14$		$146 \ 15$	$146 \ 17$	
$\frac{q}{s} : \frac{q}{s} = 127 \ 0$				
$c = 153 \ 30$		$153 \ 33$		
$c : r = 136 \ 16$		$136 \ 14$	$135 \ 50$	$136 \ 10$
$\frac{r}{s} = 159 \ 10$		$159 \ 7$		$159 \ 0$
				$69 \ 17$

Berechnet	Beobachtet		
	Zepharov.	Rammelsb.	Brooke
$c : r' = 118^{\circ} 14'$	$118^{\circ} 25'$	$118^{\circ} 40'$	$119^{\circ} 15'$
$p : r = 123 \ 53$	$123 \ 55$		
$r' = 119 \ 0$		$118 \ 58$	
$q = 135 \ 45$	$135 \ 45$		
$q : r = 113 \ 41$	$113 \ 40$		
$o : c = 124 \ 1$			
$\frac{o}{2} : c = 139 \ 51$			
$p = 139 \ 28$			$139 \ 28$
$\frac{o'}{2} : c = 104 \ 49$	$104 \ 49$		
$r = 96 \ 38$	$96 \ 39$		

Fig. 131, 132. — Oktaedrische Combinationen  $p$ ,  $c$ ,  $r'$ .

Manche Flächenpaare, wie  $\frac{q}{3}$  und die Augitpaare, sind n vollständig.

Fig. 131.

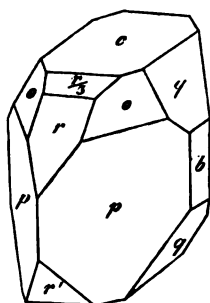


Fig. 132.

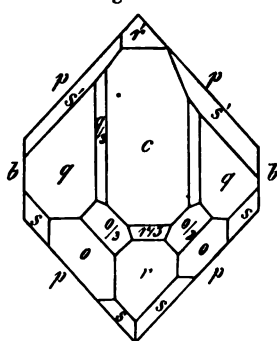


Fig.



Haüy hielt die Krystalle für rhomboedrisch, d. h. er nal für ein Rhomboeder, welche Stellung Fig. 133 versinnlicht.

Mohs verwechselte die Neigungen von  $r$  und  $r'$  gegen die G. Rose bemerkte und ich bei meinen Messungen bestätigte.

Spaltbar nach  $c$ , weniger nach  $p$ . — Brooke: Ann. Phil. : Mohs: Anfangsgr. d. Naturg. d. Mineralreichs. — G. Rose: 239. — Zepharovich: Wien. Ak. Ber. 79.

Man kann den Krystallen jedoch auch eine solche Stellung, das System ein nahe rechtwinkliges wird. Eine schiefe Endfläc diejenige, in deren Diagonalzone  $\frac{o}{2}$  fällt, würde gegen  $r'$  unter neigt sein. Betrachtet man sie als die (fehlende) basische En

,  $s'$ ,  $b$  als Horizontalzone und die Augitpaare  $n$  und  $\frac{q}{3}$  als das Haupt-  
r, so wird  $c$  eine schiefe Endfläche  $a : c : \infty b$ ,  $\frac{o}{2}$  aber das zweite  
 $c : \infty a$ .

in ist  $a : b : c = 1,042 : 1 : 0,553$ .  
 $o = 88^\circ 44'$ .

Die alten Flächen	werden jetzt
$\frac{q}{3} = 3b : c : \infty a$	wird $o' = a' : b : c$
$n = \frac{1}{2}a : b : c$	$o' = a' : b : c$
$o = a : b : c$	$u' = a' : \frac{1}{2}b : \frac{1}{2}c$
$s = a : \frac{1}{2}b : c$	$s' = 2a' : \frac{1}{2}b : c$
$q = b : c : \infty a$	$t = a : \frac{1}{2}b : c$
$p = a : b : \infty c$	$v' = \frac{1}{2}a' : \frac{1}{2}b : c$
$s' = a' : \frac{1}{2}b : c$	$2p = 2a : b : \infty c$
$\frac{o}{2} = a : b : \frac{1}{2}c$	$q = b : c : \infty a$
$r = a : c : \infty b$	$\frac{r'}{2} = 2a' : c : \infty b$
$c = c : \infty a : \infty b$	$r = a : c : \infty b$
$\frac{r}{3} = 3a : c : \infty b$	$\frac{r'}{4} = 4a' : c : \infty b$
$r' = a' : c : \infty b$	$a = a : \infty b : \infty c$

l nur Fläche  $b$  = der Symmetrieebene  
lt ihren Werth. — Fig. 134.  
ist jetzt am Hauptoktaeder

$$o : o = 127^\circ 0'$$

$$o' : o' = 127^\circ 44'$$

vgl. Pape: Pogg. A. 425, 532.

dieser Stellung ist das Eisen-(Kobalt-  
-)sulfat geometrisch isomorph dem  
edrigen Magnesium-(Zink-Nickel)-sul-  
z. B.

$$a : b : c \quad o$$

$$+ 7aq = 1,042 : 1 : 0,553 \quad 88^\circ 44'$$

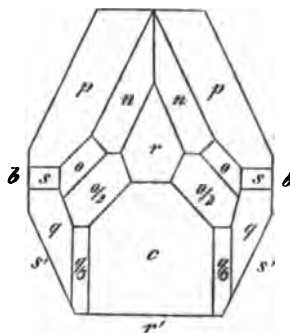
$$+ 7aq = 0,99 : 1 : 0,571 \quad 90^\circ 0'$$

h in der nahen Gleichheit entsprechender Winkel zu erkennen giebt:

Eisenvitriol	Bittersalz
$o : o = 127^\circ 0'$	127° 22'
$o' : o' = 127^\circ 44'$	
$q : q = 121^\circ 0'$	120 37
$r : a = 118^\circ 44'$	119 53
$r' : a = 119^\circ 45'$	

ide Formen stehen zu einander in einer ähnlichen Beziehung, wie  
eigliedrige des schwefelsauren Kalis und die sechsgliedrige des  
elsauren Kali-Natrons.

Fig. 134.



Optisches (mit Zugrundelegung der üblichen Stellung, der  $s$  Axen  $ac = 75^\circ 44'$ ).

Ebene der optischen Axen  $= ac$ . Die geneigte Dispersion ist so, daß die Mittellinie der rothen Axe fällt mit der der blauen fast zusammen. Die (spitze oder erste) Mittellinie der rothen Axen ist geneigt unter

$75^\circ 45'$  gegen eine Normale auf die Fläche  $c$

13 17 - - - - -  $r'$

150 55 - - - - - vordere Kante  $\frac{p}{p}$ .

Die Axenwinkel sind bei  $46^\circ$

$2H_a = 86^\circ 54'$	$2V_a = 86^\circ 44'$	$\beta = 1,469$ Roth
$2H_o = 94 \ 13$	$2V_o = 86 \ 2$	
$2H_a = 86 \ 49$	$2V_a = 86 \ 40$	$\beta = 1,470$ Gelb
$2H_o = 94 \ 24$	$2V_o = 85 \ 46$	
$2H_a = 86 \ 33$	$2V_a = 86 \ 33$	$\beta = 1,478$ Blau.
$2H_o = 94 \ 46$	$2V_o = 85 \ 44$	

Das Mittel ist

$$2V = \begin{cases} 86^\circ 24' 30'' \text{ Roth} \\ 86 \ 13 \quad \text{Gelb} \\ 85 \ 53 \ 13 \text{ Blau Des Cloizeaux.} \end{cases}$$

In Folge nicht homogener Beschaffenheit der Krystalle verhalten sich im Stauroskep oft wie eingliedrig. v. Kobell. Sauber. Gr.

Verwitterungs-Ellipsoid Pape: Pogg. A. 425, 632. — Vgl. E. Jeff: Wien. Ak. Ber. 56 (2) 63.

Volumgewicht des wasserfreien  $= 2,844$  Filhol, des krystallisirten (7aq)  $= 4,904$  Filhol,  $4,884$  Schiff,  $4,902$  Buignet, Joule und Playfair.

Kub. Ausdehnung des krystallisirten von  $0 - 100^\circ = 0$  Joule und Playfair.

Spec. Wärme des Hydrats mit 3aq  $= 0,247$ , mit 7aq  $=$  Neumann.

Löslichkeit und V. G. der Lösungen. — Gerlach: Dingl. 429. — Schiff: Ann. Ch. Ph. 108, 326.

400 Th. Wasser lösen an wasserfreiem Salz

bei $0^\circ$	15,8	bei $45^\circ$	42,9
- 10	49,9	- 55	47,0
- 20	26,0	- 70	56,5 Tobler.
- 30	32,6		

Lösungswärme. Thomsen: Ber. d. chem. Ges. 1873, 740

**Schwefelsaures Eisenoxyd.**  $FeS^3O^{12} + 9aq$  (Coquimbite) Sechsgliedrig.  $a : c = 1 : 1,562$  G. Rose.

$d, p, c$ .



$$d\ 2A = 128^\circ 8'; \ 2C = 58^\circ 0'.$$

Pogg. A. 27, 310.

Dissociation der Lösung G. Wiedemann: Wied. Ann. 5, 45.

### Schwefelsaures Kupfer.

#### I. Normales.

4) Wasserfrei.  $\text{CuSO}_4$ . (Hydrocyan. Scacchi.)

Zweigliedrig.  $a : b : c = 0,7968 : 1 : 0,565$  Scacchi.

$o, p, {}^2p, q, q^2, b$ .

$n = \frac{1}{2}a : b : c$ .	Berechnet	Beobachtet
$o \left\{ \begin{array}{l} 2A \\ 2B \\ 2C \end{array} \right.$	$\begin{array}{l} 2A = 131^\circ 10' \\ 2B = 116 \ 38 \\ 2C = 84 \ 24 \end{array}$	
$n \left\{ \begin{array}{l} 2A \\ 2B \\ 2C \end{array} \right.$	$\begin{array}{l} 2A = 123 \ 56 \\ 2B = 78 \ 0 \\ 2C = 113 \ 34 \end{array}$	
$p : p$	$p = 102 \ 54$	
${}^2p : {}^2p$	${}^2p = 64 \ 12$	
$b$	$b =$	$147^\circ 54'$
$q^2 : q^2$	$q^2 = 83 \ 2$	
$q : q$	$q = 121 \ 4$	
$b$	$b =$	$149 \ 28$

Fumarolenproduct des Vesuvs. Not. min. Mem. I. 1873.

2)  $\text{CuSO}_4 + 3 \text{aq}$ .

Zwei- und eingliedrig.  $a : b : c = 0,4322 : 1 : 0,5523$  Scacchi.

$$o = 83^\circ 35'.$$

$o, o', p, q^2, a, b$ .	Berechnet	Beobachtet
$o : o$	$o = 144^\circ 24'$	
$o' : o'$	$o' =$	$140^\circ 36'$
$o : o'$	$o : o' = 83 \ 29$	
$o : o'$	$o : o' = 108 \ 29$	
$p : p$	$p =$	$133 \ 32$
$q^2 : q^2$	$q^2 = 84 \ 40$	
$p : q^2$	$\left\{ \begin{array}{l} = 114 \ 8 \\ = 102 \ 51 \end{array} \right.$	
$o : p$	$o : p =$	$146 \ 20$
$o' : p$	$o' : p = 142 \ 9$	

Zwillinge nach  $a$ .

Die Krystalle sind nur unvollständig ausgebildet.

Scacchi erhielt dieses Hydrat aus einer Auflösung von Kupfervitriol in verdünnter Schwefelsäure.

Die Krystalle ziehen Feuchtigkeit an. Rendic. d. R. Acc. d. Sc. Napoli 1870.

3)  $\text{CuSO}_4 + 5 \text{ aq}$  (Kupfervitriol).Eingliedrig.  $a : b : c = 0,5656 : 1 : 0,550$  Kupffer.

$$A = 94^\circ 22' \quad \alpha = 97^\circ 39'$$

$$B = 105 \ 38 \quad \beta = 106 \ 49$$

$$C = 79 \ 19 \quad \gamma = 77 \ 37$$

 $o''', p, p', {}^2p, p', q, q', {}^2q, {}^2q', a, b, c.$ 

$$s'' = a' : \frac{1}{2}b : c. \quad s''' = a' : \frac{1}{2}b' : c.$$

Berechnet	Beobachtet	M
	Kupfer	
$a : b =$	$*79^\circ 19'$	
$p = 149^\circ 9'$		11
$p' = 154 \ 1$		
$b : p =$	$*110 \ 10$	11
$p' = 126 \ 41$	$126 \ 40$	
$p : p' =$	$*123 \ 10$	
${}^2p : a = 126 \ 37$		
$b = 132 \ 43$		
$b : c =$	$*94 \ 22$	
$q =$	$*121 \ 40$	
$q' = 114 \ 54$	$114 \ 57$	
$c : q = 152 \ 42$		
$q' = 150 \ 44$		
$b : {}^2q = 139 \ 9$	$139 \ 13$	
${}^2q' = 135 \ 8$		
$c : {}^2q = 135 \ 11$		
${}^2q' = 130 \ 30$		
$a : c =$	$*105 \ 38$	
$p : c = 107 \ 17$		
$p' : c = 100 \ 43$		
${}^2p : c = 105 \ 17$		
$q : a = 98 \ 19$		
$q' : a = 109 \ 38$	$109 \ 38$	
${}^2q : a = 92 \ 37$	$92 \ 26$	
${}^2q' : a = 109 \ 24$		
$o''' : a' = 120 \ 48$		12
$b' = 103 \ 26$	$103 \ 27$	
$c = 125 \ 6$		
$p = 127 \ 37$	$127 \ 40$	
$q' = 129 \ 34$		12
$s'' : s''' = 97 \ 19$		
$a' = 121 \ 3$		
$b = 138 \ 45$		
$c = 117 \ 20$		
$o''' = 117 \ 49$		
$s''' : a' = 111 \ 12$		
$b' = 123 \ 56$		
$c = 117 \ 8$		

Berechnet

$$s''' : o''' = 159^\circ 30'$$

$$2p = 137 \ 37$$

$$2q' = 139 \ 24$$

Fig. 435—437\*).

Fig. 435.

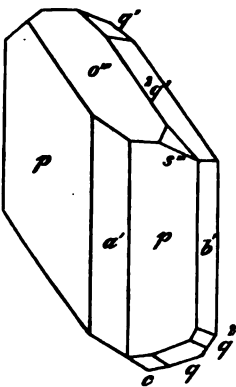
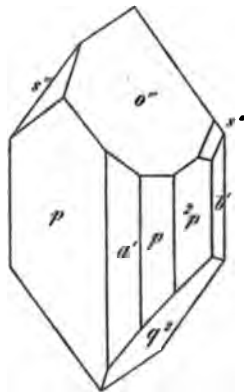


Fig. 436.

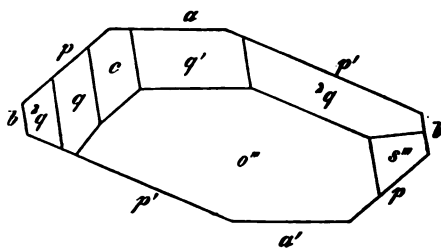


Spaltbar sehr unvollkommen nach  $o'''$  und  $p$ . — Kupffer: Pogg. A. 8, 217.

Zum Vergleich mit den isomorphen Salzen  $MnSO_4 + 5aq$ ,  $MnSeO_4 + 5aq$  etc. ist die Stellung der Krystalle jedoch zu ändern. Während  $a$  und  $b$  ihre Zeichen behalten, wird

$$\begin{array}{lll} p = p' & 2q' = q & o''' = r' \\ p' = p & c = q' & s''' = o'' \\ 2p = 2p' & q' = c & s'' = o''' \\ p_1 = p^2 & 2q = 3q' & \\ & q = 2q' & \end{array}$$

Fig. 437.



Dann ist berechnet

$$\begin{array}{ll} a : b = *100^\circ 41' & \\ p = 154 \ 1 & \\ p' = 149 \ 9 & \\ b : p = 126 \ 44 & \\ p' = *110 \ 10 & \\ p : p' = *123 \ 40 & \\ b : c = 114 \ 54 & \\ q = 135 \ 8 & \end{array}$$

$$\begin{array}{ll} b : q' = *94^\circ 22' & \\ 2q' = 121 \ 40 & \\ 3q' = 139 \ 9 & \\ c : q = 130 \ 30 & \\ q' = 150 \ 44 & \\ 3q' = 135 \ 11 & \\ q : q' = 152 \ 42 & \\ a : c = 109 \ 38 & \end{array}$$

\* In Fig. 437 ist  $2q$  rechts =  $2q'$  zu lesen.

$$\begin{aligned}
 a : r' &= 120 \ 48 \\
 q &= 109 \ 24 \\
 q' &= *105 \ 38 \\
 {}^2q' &= 98 \ 49 \\
 {}^3q' &= 92 \ 37 \\
 q' : p &= 100 \ 43 \\
 p' &= 107 \ 47
 \end{aligned}$$

Dann ist  $a : b : c = 0,5264 : 1 : 0,5623$ ;

$$\begin{aligned}
 A &= 114^\circ 54' & \alpha &= 112^\circ 48' \\
 B &= 109 \ 38 & \beta &= 109 \ 49 \\
 C &= 100 \ 44 & \gamma &= 92 \ 54
 \end{aligned}$$

Optisches. Die Mittellinie liegt im hinteren rechten Oktaeder zu ihrer normalen Ebene würde mit  $p'$  einen Winkel von  $72^\circ 53'$ ,  $a$  einen solchen von  $84^\circ 34'$  und mit  $p^2$   $43^\circ 44'$ . Die Doppelbrechung negativ,  $\rho < v$ ;  $2V = 56^\circ 2'$ . Die Hauptbrechungsexponenten

$$\alpha = 1,5156; \quad \beta = 1,5394; \quad \gamma = 1,5464.$$

Pape: Pogg. A. Ergbd. 6, 35. — Kohlrausch: Groth Ztsch.

Pape untersuchte die Beziehungen der beim Verwittern von Kupfervitriol entstehenden Figuren zu dem Krystallsystem. Danach Verwitterungsellipsoid des Kupfervitriols mit einem rechtwinkligen Krystallsystem zusammen. — Pogg. A. 133, 364.

Derselbe über das Zusammenfallen der thermischen und optischen Axen. Ebend. 1354.

Volumgewicht.  $\text{CuSO}_4 = 3,53$  Filhol. —  $\text{CuSO}_4 + 5\text{H}_2\text{O} = 2,24$ — $2,29$  Joule und Playfair;  $2,302$  Buignet;  $2,302$  Dorff.

Kub. Ausdehnung von  $0$ — $100^\circ = 0,00532$ — $0,00953$ . Playfair.

Wärmeleitung Pape: Wied. Ann. 1, 426.

Spec. Wärme. —  $\text{CuSO}_4 = 0,184$ . —  $\text{CuSO}_4 + aq = 0,242$ ;  $\text{CuSO}_4 + 5aq = 0,346$  Neumann.

Löslichkeit. — 1 Liter bei  $45^\circ$  gesättigter L. enthält  $1,1859$   $\text{CuSO}_4 + 5aq$  und hat ein V. G.  $= 1,1859$ . Michel und Kraus. 400 Th. Wasser lösen

	nach Tobler	nach Pfaff
bei $0^\circ$	17,0	15,407
- 20	24,3	
- 35	28,6	
- 54	36,4	

wasserfreies Salz. Vgl. Schiff: Ann. Ch. Pharm. 108, 326.

Volumgewicht der Lösungen Gerlach: Dingl. J. 184, 429.

Gefrierpunktserniedrigung. Rüdorff: Pogg. A. 445, 599.

Thermische und Volumänderungen. Favre und Valson: C. r. 73.

75. 77.

Einfluss des Drucks auf die Löslichkeit. Sorby: Proc. R. Soc. 42, 538.

Einfluss fremder Salze Diacon: Jahresb. 1866, 64.

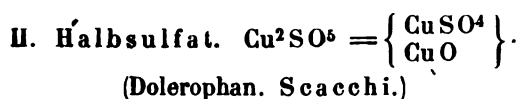
Lösungswärme Thomsen: Ber. d. chem. Ges. 1873, 710.

Wärmeleitung Paalzow: Pogg. A. 434, 618.

Brechungsverhältnisse Fouqué: C. r. 64, 121.

Elektricitätsleitung und Leitungswiderstand Horsford: Pogg. A. 70, 238. — Kohlrausch: s. schwefels. Ammoniak. — Becker: Ann. Ch. Ph. 73, 4. — Paalzow: Monatsber. Berl. Akad. 1868, 486. — Favre: C. r. 73, 4186.

Absorptionsspectrum Vogel: Monatsber. Berl. Akad. 1878, 442.



(Dolerophan. Scacchi.)

Zwei- und eingliedrig.  $a : b : c = 4,475 : 4 : 4,4808$  Scacchi.

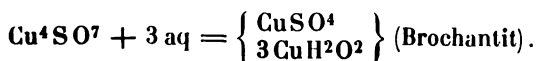
$\alpha = 66^\circ 8'$ .

$\alpha', \frac{1}{2}\alpha', \frac{3}{4}\alpha', r', \frac{1}{2}r', \frac{3}{4}r', a, b, c.$

$3a : b : c; 3a : b : \frac{1}{2}c; \frac{1}{3}a : b : \frac{1}{2}c.$

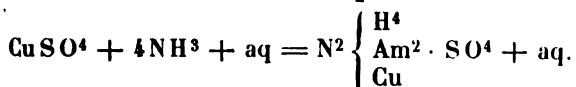
Aus den Fumarolensalzen des Vesuvs. — Note mineralog. I. Mém. 1873.

### III. Viertelsulfat.



Zweigliedrig.  $a : b : c = 0,7789 : 4 : 0,2505$  G. Rose. Oder zwei- und eingliedrig.  $\alpha = 89^\circ 27',5$ .

### Schwefelsaures Ammonkupferammonium.



Zweigliedrig.  $a : b : c = 0,889 : 4 : 0,590$  Marignac.

$\alpha, p, \frac{1}{2}p, p^2, q, a, b.$

$m = \frac{1}{3}a : b : c.$

	Berechnet	Beobachtet
$\alpha$	$2A = 127^\circ 38'$	$127^\circ 40'$
$p$	$2B = 110 \quad 28$	
$\frac{1}{2}p$	$2C = 83 \quad 14$	
$p^2$	$2A =$	$*140 \quad 54$
$q$	$2B =$	$*82 \quad 20$
$a$	$2C = 110 \quad 56$	

	Berechnet	Beobachtet
$p : p$	$= 96^{\circ} 43'$	
$b$	$= 134 \ 38$	$134^{\circ} 40'$
${}^2p : {}^2p$	$= 58 \ 42$	
$b$	$= 150 \ 39$	$150 \ 38$
$p\frac{3}{4} : p\frac{3}{4}$	$= 118 \ 40$	
$b$	$= 120 \ 40$	$120 \ 50$
$p^2 : p^2$	$= 132 \ 4$	
$b$	$= 113 \ 58$	$113 \ 30$
$q : q$	$= 118 \ 53$	$118 \ 57$
$o : a$	$= 119 \ 46$	$119 \ 38$
$b$	$= 116 \ 11$	$116 \ 20$
$c$	$= 131 \ 37$	$131 \ 30$
$m : a$	$= 138 \ 50$	$138 \ 50$

Die Flächen  $b$  und  ${}^2p$  herrschen in der Horizontalzone. Zulänge nach  ${}^2p$ . — Marignac: Recherches 26.

### Isomorphe Mischungen der Sulfate von $\overset{\text{II}}{\text{R}}$ .

a) Mit 4 Mol. Wasser. (Zweiggliedrig.)

(Mn, Fe)  $\text{SO}^4 + 4\text{aq}$ , blassrothe Krystalle, die viel Mangan enthalten.

b) Mit 5 Mol. Wasser. (Eingliedrig.)

(Cu<sup>n</sup>Mg)  $\text{SO}^4 + 5\text{aq}$ ,  $n = 9-7$ .

(Cu<sup>n</sup>Zn)  $\text{SO}^4 + 5\text{aq}$ ,  $n = 10-5$ .

(Cu, Mn)  $\text{SO}^4 + 5\text{aq}$ ,  $n\text{Cu} : \text{Mn}$  und  $\text{Cu} : n\text{Mn}$ .

(Cu<sup>n</sup>Fe)  $\text{SO}^4 + 5\text{aq}$ ,  $n = 18$ .

c. Mit 7 Mol. Wasser.

α. Zweigliedrige (Bittersalzform).

(Zn, Mg)  $\text{SO}^4 + 7\text{aq}$ .  $n\text{Zn} : \text{Mg}$  und  $\text{Zn} : n\text{Mg}$ .

(Mg<sup>n</sup>Fe)  $\text{SO}^4 + 7\text{aq}$ .  $n > 3$ .

(Zn<sup>n</sup>Fe)  $\text{SO}^4 + 7\text{aq}$ .  $n > 3$ .

(Zn, Mn)  $\text{SO}^4 + 7\text{aq}$ .  $n\text{Zn} : \text{Mn}$  und  $\text{Zn} : n\text{Mn}$ .

β. Zwei- und eingliedrige (Eisenvitriolform).

(Fe<sup>n</sup>Mg)  $\text{SO}^4 + 7\text{aq}$ .  $n = 1$  oder  $> 1$ .

(Fe, Mn)  $\text{SO}^4 + 7\text{aq}$ .  $n\text{Fe} : \text{Mn}$  und  $\text{Fe} : n\text{Mn}$ .

(Fe, Zn)  $\text{SO}^4 + 7\text{aq}$ .  $n\text{Fe} : \text{Zn}$  und  $\text{Fe} : n\text{Zn}$ , wo  $n < 4$ .

(Mg<sup>n</sup>Cu)  $\text{SO}^4 + 7\text{aq}$ .

(Zn<sup>n</sup>Cu)  $\text{SO}^4 + 7\text{aq}$ .

(Fe, Cu)  $\text{SO}^4 + 7\text{aq}$ .  $\text{Cu} : n\text{Fe}$  und  $\text{Fe} : n\text{Cu}$ .

Ich habe durch eine Reihe von Versuchen die vorstehend mein angegebenen Resultate erhalten. Leider eignen sich die I

Mischungen fast nie, um den Einfluss der isomorphen Grundverbindungen auf die Winkel der Mischungen zu erkennen.

Die zwei- und eingliedrigen von Fe und Mg gaben:

$$\begin{array}{ll} p : p = 82^{\circ} 5' & q : b = 146^{\circ} 0' \\ c = 98 48 & \frac{o}{2} : p = 138 35 \\ c : r = 135 36 & s' : b = 135 47 \\ r' = 118 50 & \\ p : r' = 118 40 & \end{array}$$

Solche Krystalle sind häufig sehr unsymmetrisch gebildet. An den eben angeführten herrschen die  $p$  mit  $r'$ , rhomboidische Prismen bildend, deren scharfe Kanten durch  $q$  schief abgestumpft sind. Fig. 438. — Rammelsberg: Pogg. A. 94, 324.

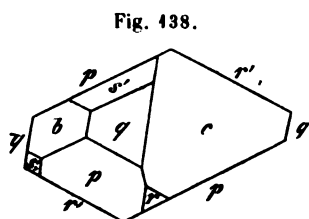


Fig. 438.

Zepharovich mass später Krystalle, in denen Mg : Fe = 2 : 7 und 8 : 11 war. — Wien. Ak. Ber. 79.

#### Schwefelsaures Kadmium. $3\text{CdSO}_4 + 8\text{aq.}$

Zwei- und eingliedrig.  $a : b : c = 0,7992 : 1 : 0,69$  Rammelsberg.  
 $o = 62^{\circ} 2'$ .

$o, o', p, p^2, q^2, r', b, c.$  —  $n' = \frac{1}{2} a' : b : c.$

	Berechnet	Beobachtet		
$o = o = 138^{\circ} 16'$		Rammelsberg	Kopp	Sénarmont
$o' = o' = 115 36$		115° 48'	116° 44'	
$o = o' = 108 37$				
$o = o' = 93 25$				
$n' = n' = 136 44$				
$p = p =$		*109 34	109 0	
$c =$		*112 32	110 50	
$p^2 = p^2 = 54 4$				
$q^2 = q^2 = 78 44$		78 35	78 30	
$c =$		*129 22		
$b = 140 38$		140 40		144° 3'
$c : r' = 127 59$				128 2
$o : c = 145 12$		145		
$p = 147 20$				
$o' : c = 121 23$		121 24		
$p = 126 5$		126 10		
$n' : c = 96 37$				

Fig. 439.

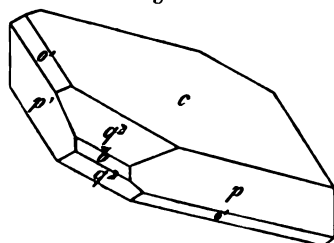


Fig. 439. — Sénarmont. S. Des Cloireaux: Nouv. Réch.

Die Krystalle des Kadmiumsulfats lassen sich auf ein minder schiefes Axensystem beziehen, wenn man annimmt

$$\begin{aligned}
 o' &= a : b : c &= o \\
 p &= a' : b : c &= o' \\
 o &= \frac{1}{2} a' : b : c &= s' \\
 {}^3p &= a' : \frac{1}{2} b : c &= v' \\
 q^2 &= a : b : \infty c &= p \\
 n' &= 2b : c : \infty a &= \frac{q}{2} \\
 r' &= a : c : \infty b &= r \\
 c &= a : \infty b : \infty c &= a
 \end{aligned}$$

Dann ist  $a : b : c = 1,2307 : 1 : 0,8009$   
 $o = 82^\circ 3'.$

	Berechnet	Beobachtet		Sei
		Rammelsberg	Kopp	
$o : o = 115^\circ 52'$		$115^\circ 48'$	$116^\circ 44'$	
$o' : o' = 108 \ 46$		$109 \ 34$	$109 \ 0$	
$s' : s' = 138 \ 0$				
$v' : v' = 54 \ 4$				
$p : p = 78 \ 44$		$78 \ 35$	$78 \ 30$	
$a =$		$129 \ 22$		
$b = 140 \ 38$		$140 \ 40$		1
$a : r =$		$127 \ 58$		1
$o : a = 121 \ 23$		$121 \ 24$		
$o' : a = 126 \ 5$		$126 \ 10$		
$o' : a =$		$112 \ 32$	$110 \ 50$	
$s' : a = 145 \ 12$				
$\frac{q}{2} : a = 96 \ 37$				

Die Ebene der optischen Axen und ihre Mittellinie steht zur Symmetrieebene  $ac$ , die Ebene der

rothen	blauen	Axen bildet
$79^\circ 46'$	$78^\circ 57'$	mit der Norm. auf $r'$
$131 \ 44$	$130 \ 55$	- - - - $c$ .

Drehende Dispersion merklich; die den Axen eigene Dispersion  $q < v$ .

Eine Platte, senkrecht zur

	spitzen	stumpfen Mittellinie
$2H_a$	$\left\{ \begin{array}{l} 95^\circ 32' 30'' \\ 95 \ 46 \\ 96 \ 2 \ 30 \end{array} \right.$	$\left\{ \begin{array}{l} 100^\circ 16' \text{ Roth} \\ 100 \ 0 \ 40'' \text{ Gelb} \\ 99 \ 46 \text{ Blau.} \end{array} \right.$

Hieraus folgt für die wahren Winkel und mittleren Brech-  
 cienten

$$2V = \begin{cases} 87^\circ 57' \\ 88 \ 9 \\ 88 \ 23 \end{cases} \quad \beta = \begin{cases} 1,563 \text{ Roth} \\ 1,565 \text{ Gelb} \\ 1,576 \text{ Blau.} \end{cases}$$

Des Cloizeaux.

Volumgewicht 3,05 Boedeker.



Lösungswärme. Thomsen: Ber. d. chem. Ges. 1873, 710.  
Favre und Valson: a. a. O.

### Schwefelsaures Chromoxyd. $\text{CrS}^3\text{O}^{12} + 15\text{aq.}$

Regulär. Oktaeder. — Schrötter: Pogg. A. 53, 522.

### Schwefelsaure Thonerde. $\text{AlS}^3\text{O}^{12} + 27\text{aq.}$

Sechsgliedrig.  $a : c = 1 : 1,5408$  Rammelsberg.

$r, \frac{r'}{2}$	Berechnet	Beobachtet
$r (2A) =$		*82° 8'
$\frac{r'}{2} (2A) =$	109° 58'	
$r : \frac{r'}{2} =$	134 4	134 45

In der Combination herrscht  $r$  vor; es finden sich Andeutungen eines Dreikantners. Auch kommen Krystalle vor, gebildet von einem Dreikantner von gleichen oder nahe gleichen Endkantenwinkeln (127° 20' ungefähr), welche abwechselnd durch ein Rhomboeder abgestumpft sind. An Stelle der Seitenkanten erscheint auch das Prisma.

Die Krystalle dieses Hydrats, welche sich bei 0° bilden, verwandeln sich mit Beibehaltung ihrer Form schnell in das Hydrat mit 18aq (Haarsalz); sie bestehen dann aus sehr feinen Prismen und lassen sich deshalb nicht genau messen.

Volumgewicht des Hydrats mit 18aq = 1,569 Filhol; 1,767 Favre; des wasserfreien = 2,672. Derselbe.

Thermische Verhältnisse beim Lösen Favre: C. r. 73. 75. 77.

### Schwefelsaures Ceroxyd.

1)  $\text{CeS}^3\text{O}^{12} + 8\text{aq.}$

A. Zweigliedrig.  $a : b : c = 0,9609 : 1 : 0,8749$  Marignac.

$0, 0\frac{1}{2}, 0\frac{2}{3}, 0^2, \frac{2}{3}p, q, q^4, b, c.$

	Berechnet	Beobachtet Marignac
$0 \left\{ \begin{array}{l} 2A = \\ 2B = \\ 2C = 103^\circ 16' \end{array} \right.$		*114° 12'
$0\frac{1}{2} \left\{ \begin{array}{l} 2A = 106 52 \\ 2B = 103 20 \\ 2C = 118 36 \end{array} \right.$		*111 10 103 10
$0\frac{2}{3} \left\{ \begin{array}{l} 2A = 102 32 \\ 2B = 98 44 \\ 2C = 129 10 \end{array} \right.$		

	Berechnet	Beobachtet
		Marignac
$o^2$	$2A = 99^\circ 48'$	$99^\circ 47'$
	$2B = 95 \ 48$	$95 \ 56$
	$2C = 136 \ 48$	
	$\frac{3}{4}p : \frac{3}{4}p = 108 \ 26$	$108^\circ 36'$
	$q : q = 97 \ 38$	$97 \ 52$
	$q^4 : q^4 = 34 \ 54$	

Marx beobachtete Combinationen  $\frac{3}{4}p, q, c$ . — Marx: Sci 52, 483. — Marignac: Arch. sc. ph. nat. 8, 265.

Ebene der optischen Axen  $ab$ , Mittellinie  $b$ ; Dispersion  $s$   
 $q > v$ .

		also $2E$
$2H =$	$\begin{cases} 75^\circ 43' \\ 75 \ 33,5 \\ 74 \ 52 \end{cases}$	$\begin{cases} 128^\circ 44' \text{ Roth} \\ 128 \ 8 \text{ Gelb} \\ 127 \ 54 \text{ Blau} \end{cases}$
		Des Cloi

B. Zwei- und eingliedrig.  $a : b : c = 1,465 : 1 : 1,8824$  Raiberg.  
 $o = 73^\circ 28'$ .

$p, r, r', a, c$ .	Berechnet	Beobachtet
$p : p =$		$*70^\circ 44'$
$c =$		$*99 \ 30$
$a : c = 106^\circ 32'$		
$r = 148 \ 35$		$148 \ 30$
$r' = 136 \ 43$		
$c : r = 137 \ 57$		$138 \ 30$
$r' =$		$*117 \ 15$
$r : r' = 75 \ 42$		$75 \ 52$

Prismatisch nach  $p$ .

Röthlichgelbe Krystalle, aus dem Filtrat vom basischen Diox erhalten, wenn eine Lösung des rothen Oxyd-Dioxydsulfats durch Wasser sich zersetzt. Sie enthielten nur geringe Mengen Lant Didym.

Obgleich die Analyse auf 9 aq hindeutet, habe ich vorläufig genommen, weil diese Krystalle mit denen von  $\text{DiS}^3\text{O}^{12} + 8\text{aq}$  zu sein scheinen. Es ist nämlich

beim Ce-salz	beim Di-salz
$p : p = 70^\circ 44'$	$n' : n' = 70^\circ 48'$
$c = 99 \ 30$	$c = 99 \ 39$
$c : r' = 117 \ 15$	$a : c = 118 \ 8$
$r = 138 \ 30$	$c : r' = 138 \ 49$
$a : c = 106 \ 32$	$2r' : c = 106 \ 55$

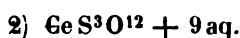
Zu bemerken ist, dass Marignac für A. früher 9 aq annahm.

Nun hat Des Cloizeaux röthliche zwei- und eingliedrige I von Cersulfat beschrieben, deren Wassergehalt nicht bekannt ist.

Winkeln  $p : p = 70^\circ 35'$ ,  $p : c = 95^\circ 58'$  und  $a : c = 100^\circ 22'$  würde  
 $b = 4,4363 : 4$  und  $o = 79^\circ 38'$  folgen. Spaltbar nach  $p$ .

Diese Krystalle sind immer Zwillinge nach  $a$ .

Ebene der optischen Axen parallel Axe  $b$ ; unter  $33^\circ 24'$  geneigt gegen  
 ante  $\frac{p}{p}$ , unter  $66^\circ 58'$  gegen Axe  $a$ . Mittellinie  $b$ . Dispersion sehr schwach;  
 $E = 120^\circ 40'$  Roth,  $122^\circ 58'$  Blau ( $18^\circ$ ). Des Cloizeaux: Ann. Min. 14  
 (1858). Nouv. Rech. 172.



Sechsgliedrig.  $a : c = 1 : 0,734$  Marignac.

$$d, \frac{d}{2}, p. \quad s = 2a : a : 2a : c$$

$$s^2 = 2a : a : 2a : 2c.$$

	Berechnet	Beobachtet
$d \left\{ \begin{array}{l} 2A = \\ 2C = \end{array} \right.$	$142^\circ 22'$ 80 20	$142^\circ 30'$
$\frac{d}{2} \left\{ \begin{array}{l} 2A = \\ 2C = \end{array} \right.$	157 34 45 46	
$s \left\{ \begin{array}{l} 2A = \\ 2C = \end{array} \right.$	145 40 72 20	72 40
$s^2 \left\{ \begin{array}{l} 2A = \\ 2C = \end{array} \right.$	134 16 111 16	
$p : d =$		130 40
$\frac{d}{2} =$	112 53	112 55
$s : d =$	164 11	

Arch. sc. ph. nat. 1873. — Isomorph dem Lanthansalz.



Sechsgliedrig.  $a : c = 1 : 0,743$  Marignac.

$d, p.$	Berechnet	Marignac	Beobachtet	Topsöe
$d \left\{ \begin{array}{l} 2A = \\ 2C = \end{array} \right.$		$*142^\circ 0'$	Schabus	$142^\circ 38'$
	84° 16'		80° 32'	80 34
$p : d =$	130 28		130 46	

Sehr feine Nadeln.

Optisch einaxig, positiv.  $\omega = 1,564$ ,  $\epsilon = 1,569$  für die Mitte des  
 Roth. Des Cloizeaux.

Volumgewicht 2,827 Topsöe.

Wurde von Marignac früher für zweigliedrig gehalten und von  
 Schabus als Chlorlanthan beschrieben.

Isomorph dem Cersalz.

**Schwefelsaures Didym.  $\text{DiS}^3\text{O}^{12} + 8\text{aq.}$**

Zwei- und eingliedrig.  $a : b : c = 2,9686 : 4 : 2,0065 \text{ M}$   
 $o = 64^\circ 52'$ .

$o, o', r, r', a, c.$

$$\begin{aligned} n &= \frac{1}{2}a : b : c & m' &= \frac{1}{2}a' : b : c \\ n' &= \frac{1}{2}a' : b : c & l' &= a' : 3b : c. \end{aligned}$$

Berechnet		Beobachtet		
	Marignac	Rammelsb.	Bunsen	
$o : o = 78^\circ 42'$	$78^\circ 50'$		$77^\circ 30'$	
$o' : o' =$	$*54 \ 42$			
$o : o' = 143 \ 59$	$143 \ 49$		$144 \ 30$	
$o : o' = 124 \ 43$				
$n : n = 97 \ 44$				
$n' : n' = 70 \ 18$	$70 \ 0$			
$n : n' = 113 \ 19$				
$n : n' = 132 \ 51$				
$a : c =$	$*118 \ 8$	$118^\circ 30'$	$118 \ 15$	
$r = 142 \ 27$				
$r' = 103 \ 3$		$103 \ 12$	$103 \ 7$	
$c : r = 155 \ 40$	$155 \ 38$			
$r' = 138 \ 49$	$138 \ 40$	$138 \ 30$	$138 \ 55$	
$o : a = 120 \ 7$	$120 \ 10$		$119 \ 40$	
$c = 125 \ 14$	$125 \ 10$			
$o' : a = 95 \ 54$	$95 \ 52$	$95 \ 55$		
$c =$	$*110 \ 3$			
$r' = 117 \ 6$	$117 \ 6$			
$n : c = 127 \ 30$	$127 \ 50$			
$n' : a = 114 \ 0$	$113 \ 50$	$113 \ 55$	$114 \ 0$	
$c = 99 \ 39$	$99 \ 50$	$99 \ 45$		
$o' = 161 \ 54$			$162 \ 33$	
$m' : m' = 90 \ 38$	$90 \ 45$			
$a = 128 \ 12$	$128 \ 14$	$127 \ 0$		
$n' = 151 \ 27$		$149 \ 48$		
$l' : l' = 113 \ 50$	$113 \ 40$			
$c = 129 \ 5$	$129 \ 0$			
$r' = 146 \ 55$	$147 \ 0$			

Fig. 140 (wo  $m'$  statt  $m$  zu lesen) und 141. — Die  $m'$  he vor. — Zwillinge nach  $a$ . Fig. 142.

Die Flächen  $c$  und  $m'$  sind gestreift parallel den Kanten mit Spaltbar sehr vollkommen nach  $c$ .

Nachdem die frühere Formel des Didymsulfats in Folge der Atg. des Di nicht mehr  $3 \text{DiSO}^4 + 8 \text{aq.}$ , sondern  $\text{DiS}^3\text{O}^{12} + 8$  steht dennoch eine Analogie zwischen ihm und dem Kadmiums +  $8 \text{aq.}$

Ich hatte beide und das dem Didymsalz ganz gleiche Yttriumsulfat  
r vielmehr die isomorphe Mischung der Sulfate der Yttererden) für

Fig. 140.

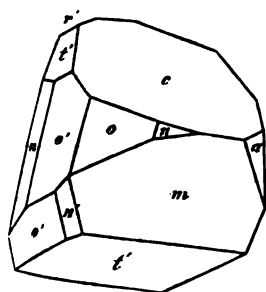
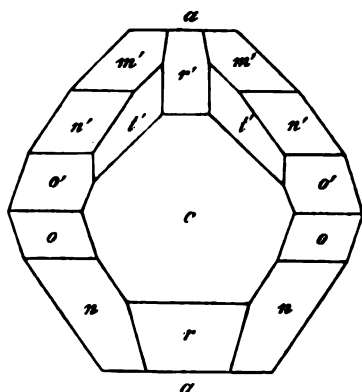


Fig. 141.



orph erklärt. Bei der angenommenen Stellung der Krystalle ist

	$a : b : c$	$o$
beim Kadmiumsals	$0,7992 : 1 : 0,690$	$62^\circ 2'$
- Didymsalz	$2,9686 : 1 : 2,006$	$61 52$

Die Axen  $a$  sind  $= 1 : 3,7$  oder nahe  $1 : 4$

- -  $c$  -  $= 1 : 2,9$  - -  $1 : 3$ .

Kämen beim Didymsalz die Augitpaare  
 $b : \frac{1}{3}c$  und  $\frac{1}{3}a' : b : \frac{1}{3}c$  vor, so würden sie  
 $o$  und  $o'$  des Kadmiumsals entsprechen  
es wäre

	beim Di-salz	Cd-salz
$o : o = 140^\circ 44'$		$138^\circ 46'$
$o' : o' = 147 58$		$146 44$ (Kopp).

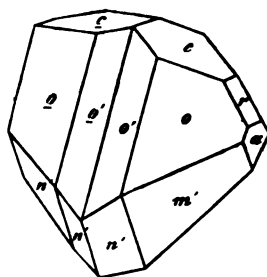
Setzt man beim Didymsalz  $a = 4a$ ,  $c = 3c$ ,

halten die einzelnen Formen folgende Ausdrücke:

$o$	wird $4a : b : 3c = \frac{1}{3}a : \frac{1}{3}b : c$
$o'$	- $4a' : b : 3c = \frac{1}{3}a' : \frac{1}{3}b : c$
$n$	- $2a : b : 3c = \frac{2}{3}a : \frac{1}{3}b : c$
$n'$	- $2a' : b : 3c = \frac{2}{3}a' : \frac{1}{3}b : c$
$m'$	- $\frac{1}{3}a' : b : 3c = \frac{1}{3}a' : \frac{1}{3}b : c$
$t'$	- $\frac{1}{3}a' : 3b : 3c = \frac{1}{3}a' : b : c$
$r$	- $a : c : \infty b = \frac{1}{3}a : c : \infty b$
$r'$	- $a' : c : \infty b = \frac{1}{3}a' : c : \infty b$

si  $a : b : c = 0,7421 : 1 : 0,6688$  ist. Weit einfachere Zeichen ergeben  
wenn man  $\frac{1}{3}a = 0,9895 = a$  nimmt, weil dann

Fig. 142.



$$\begin{aligned}
 o \text{ und } o' &= a : \frac{1}{3}b : c \\
 t' &= a' : b : c \\
 n \text{ und } n' &= \frac{1}{3}a : \frac{1}{3}b : c \\
 m' &= \frac{1}{3}a' : \frac{1}{3}b : c = a' : b : 3c \\
 r \text{ und } r' &= a : c : \infty b.
 \end{aligned}$$

Freilich ist keine dieser Flächen beim Kadmiumsalz bisher beobachtet worden. Kopp hält beide Salze nicht für isomorph, weil er keine isomorphen Mischungen von ihnen erhalten konnte.

Auch für das Didymsalz dürfte eine passendere Stellung der Krystalle zu suchen sein, wobei vielleicht die Augitpaare  $o$  und  $n'$ , so wie  $n$  und  $n'$  als zusammengehörige Oktäidflächen anzunehmen wären. — Marius: Arch. sc. ph. nat. 11, 24. — Bunsen: Pogg. A. 428, 402. — Ramberg: S. Kadmiumsulfat. — Kopp: Ber. d. ch. Ges. 1879, 909.

Schabus hielt dies Salz für Didymchlorid.

Ebene der optischen Axen parallel Axe  $b$ ; Mittellinie  $b$ . Bei 40° Des Cloizeaux

$$\begin{aligned}
 2H_a &= \begin{cases} 92^\circ 44' \\ 92 & 48 \\ 93 & 48 \end{cases} & 2H_o &= \begin{cases} 104^\circ & 2' \text{ Roth} \\ 100 & 57 \text{ Gelb} \\ 100 & 46 \text{ Blau} \end{cases} \\
 \text{woraus} & & & \\
 2V &= \begin{cases} 86^\circ 49' \\ 86 & 23 \\ 86 & 42 \end{cases} & \beta &= \begin{cases} 1,554 \\ 1,553 \\ 1,566 \end{cases}
 \end{aligned}$$

Die Axenebene bildet einen Winkel von etwa  $8^\circ$  mit der Normale zur Fläche  $c$  und von  $53^\circ 52'$  mit der des vorderen  $a$ .

Bunsen über das optische Verhalten und das Absorptionsspectrum

#### Schwefelsaures Cer-Didym. $\text{RS}^3\text{O}^{12} + 15 \text{ aq.}$

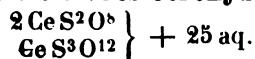
Zwei- und eingliedrig.  $a : b : c = 0,937 : 1 : 0,347$  Ramberg.  $o = 86^\circ 44'$ .

$p, p^2, q, b, c.$	Berechnet	Beobachtet
$p : p =$		$^*93^\circ 50'$
$c =$		$^*92 & 45$
$p^2 : p^2 = 129^\circ 25'$		130 38
$p = 164 & 59$		162 0
$q : q = 144 & 50$		144 42
$b =$		$^*109 & 50$

Violette Krystalle, auf  $p$  vertical, auf  $c$  parallel der Kante  $qc$  gespalten nach  $b$  und  $c$ .

Diese Krystalle gaben:  $\text{SO}^3$  27,62,  $\text{Di O}^3$  35,22,  $\text{Ce O}^3$  4,34, aq. enthalten also 1 At. Ce gegen 8 At. Di und in diesem ein wenig La.

#### Schwefelsaures Ceroxyddioxyd.



Sechsgliedrig.  $a : c = 1 : 2,3538$  Rammeisberg.

$d, d^s, p, c.$ 

$$h = 2a : a : 2a : \frac{2}{3}c.$$

Berechnet		Beobachtet	
		Rammelsbg.	Schabus
$d \left\{ \begin{array}{l} 2A = 124^\circ 2' \\ 2C = \end{array} \right.$		$*139^\circ 30'$	$123^\circ 47'$
$d^s \left\{ \begin{array}{l} 2A = 120 \quad 4 \\ 2C = 174 \quad 52 \end{array} \right.$			
$h \left\{ \begin{array}{l} 2A = 130 \quad 8 \\ 2C = 144 \quad 56 \end{array} \right.$		130 8	
$c : d = 110 \quad 15$		110 0	109 30
$d^s = 92 \quad 34$			92 30
$h = 122 \quad 32$		122 37	
$p : d = 159 \quad 45$		159 39	

In der Combination herrscht entweder  $p$  oder  $d$ ; im ersten Fall tritt das hexaeder zweiter Ordnung  $h$  hinzu.

Die Flächen  $d$  sind glatt,  $p$  horizontal gestreift,  $c$  etwas gewölbt. Gelbroth, durchsichtig. Dichroismus. — Rammelsberg: Pogg. A. 108, 45.

Optisches. Für die Mitte des Roth ist  $\omega = 1,564—1,569$ ;  $\varepsilon = 1,560—1,565$ . Des Cloizeaux.

### Schwefelsaure Yttererde. $\text{YS}^{3012} + 8\text{aq.}$

Zwei- und eingliedrig.  $a : b : c = 3,404 : 4 : 2,0346$  Rammelsberg.  
 $\alpha = 64^\circ 48'.$

 $o, o', r, r', a, c.$ 

$$n' = \frac{1}{2}a' : b : c.$$

Berechnet		Beobachtet	
		Rammelsberg	Topsöc
$o : o =$		$*77^\circ 42'$	$78^\circ 0'$
$o' : o' = 53^\circ 48'$			
$o : o' = 145 \quad 19$		144 50	
$o : o' = 125 \quad 5$			
$n' : n' = 68 \quad 18$		68 53	69 0
$a : c =$		$*118 \quad 12$	117 2
$r = 142 \quad 0$		142 0	
$r' = 104 \quad 44$		102 10	
$c : r =$		$*156 \quad 12$	156 31
$r' = 140 \quad 4$			
$r : r' = 146 \quad 16$		146 5	
$o : a = 119 \quad 27$		119 30	
$c = 124 \quad 48$		125 10	125 13
$r = 128 \quad 36$		128 35	
$o' : a = 95 \quad 14$		95 0	
$c = 140 \quad 7$		140 13	
$n' : a = 112 \quad 45$		112 37	113 24
$c = 100 \quad 7$		99 44	99 46
$o = 127 \quad 48$		127 45	126 41

Fig. 143.

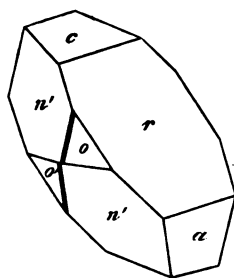


Fig. 143. — Die von mir gemessenen Krystalle enthielten säm Erden der Yttriumgruppe, welche sich im Gadolinit finden.

Blassroth;  $c$  oft gekrümmt,  $n'$  gestreift. — Rammelsberg A. 115, 579. — Topsöe: Vet. A. Handl. 1874.

Volumgewicht. 2,530 Topsöe.

### Schwefelsaure Erbinerde. $\text{ErS}^3\text{O}^{12} + 8\text{aq.}$

Zwei- und eingliedrig.  $a : b : c = 3,1903 : 1 : 2,11$  Topsö  
 $\alpha = 61^\circ 32'$ .

Flächen des Yttriumsalzes.

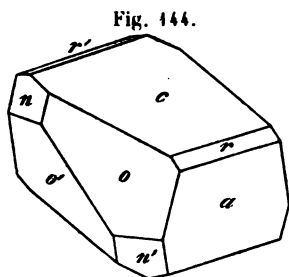


Fig. 144.

	Berechnet	Beobachtet
$o : o =$	$75^\circ 33$	$75^\circ 49'$
$n' : n' =$	$66 \ 44$	$66 \ 46$
$a : c =$		$*118 \ 28$
$r =$	$112 \ 49$	$112 \ 57$
$r' =$	$101 \ 52$	$102 \ 53$
$c : r =$	$156 \ 9$	$156 \ 12$
$r' =$		$*139 \ 40$
$o : a =$	$119 \ 0$	$119 \ 36$
$c =$	$124 \ 4$	$123 \ 54$
$n' : a =$	$112 \ 24$	$113 \ 17$
$c =$		$*99 \ 35$

Fig. 144. — Schöne gelbrothe Krystalle, an denen  $o$ ,  $a$   $c$  im Gewicht,  $r$  und  $r'$  nur sehr schmal,  $n'$  sehr klein. Alle sind stark g namentlich  $o$  parallel  $a$ ; auch der Parallelismus fehlt öfter, daher ungen vielfach schwankend.

Spaltbar gleich dem vorigen.

Das Yttrium- und Erbiumsalz sind isomorph dem Didym- u Kadmiumsulfat. Rammelsberg.

### Schwefelsaures Uranoxydul. $\text{US}^2\text{O}^8 + 8\text{aq.}$

Zweigliedrig.  $a : b : c = 0,2123 : 1 : 0,1449$  De la Prov  
 $o$ ,  $^8p$ ,  $q$ ,  $a$ ,  $b$ . Berechnet

	Berechnet	Beobachtet
		Provostaye      Rammelsbe
$o \left\{ \begin{array}{l} 2A = \\ 2B = 113^\circ \ 2' \\ 2C = 68 \ 44 \end{array} \right.$		$166^\circ 30'$ $167^\circ \ 4'$
$^8p : ^8p = 60 \ 58$		$61 \ 22$
$a = 120 \ 29$	$120 \ 30$	$120 \ 40$
$b = 149 \ 31$	$149 \ 30$	$150 \ 2$
$q : q = 163 \ 50$	$164 \ 0$	$164 \ 14$
$b =$	$98 \ 5$	
$o : a = 123 \ 29$		$123 \ 48$
$p = 146 \ 31$	$146 \ 25$	



Rechtwinklige Prismen  $ab$ ; in der Endigung  $o$  herrschend. — De la  
 ovostaye: Ann. Ch. Phys. (3) 5, 48.

**Schwefelsaure Thorerde.**  $\text{ThS}^2\text{O}^8 + 9\text{aq.}$

Zwei- und eingliedrig.  $a : b : c = 0,598 : 1 : 0,658$  A. Norden-  
 sköld.  $o = 84^\circ 50'$ .

$p, q, r, r', a, b, c.$

	Berechnet	Beobachtet			
		Nordenskiöld	Marignac	Topsöe	Rammelsb.
$p : p = 118^\circ 50'$			$119^\circ 0'$	$119^\circ 9'$	$119^\circ 16'$
$a = 149 \ 25$		$149^\circ 33'$	$149 \ 30$	$149 \ 37$	$(118 \ 30)$
$b =$		$*120 \ 35$	$120 \ 30$		$121 \ 0$
$c = 97 \ 36$				$96 \ 22$ $(97 \ 49)$	
$q : q = 113 \ 54$			$111 \ 44$	$113 \ 17$	$113 \ 25$
$c =$		$*146 \ 57$			
$a = 97 \ 24$		$96 \ 51$	$97 \ 5$		
$a : c =$		$*98 \ 40$	$98 \ 20$	$98 \ 24$	$98 \ 30$

Fig. 445. Marignac beobachtete noch meh-  
 rere zweite Paare.

Die  $a$  und  $p$  fand ich etwas gekrümmt, die  
 $q$  und  $c$  sich vielfach wiederholend.

Zwillinge nach  $a$ . — Spaltbar vollkommen  
 nach  $c$ .

Volumgewicht. 2,767 Topsöe.

Nordenskiöld: Pogg. A. 119, 50. — Ma-  
 rignac: Bibl. univ. 48 (1863). — Topsöe: S.  
 Yttriumsulfat.

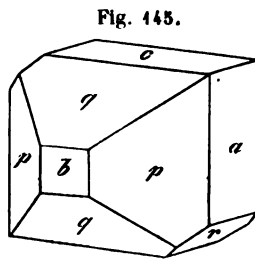
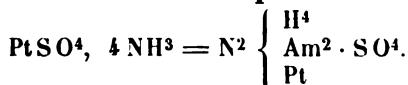


Fig. 445.

**Schwefelsaures Ammoniumplatinammonium.**



Viergliedrig.  $a : c = 1 : 1,028$  Sella.

$o, d^2, p, a, c.$

	Berechnet	Beobachtet		
		Sella	Topsöe	Nordenskiöld.
$o \left\{ \begin{array}{l} 2A = \\ 2C = 110^\circ 56' \end{array} \right.$		$108^\circ 45'$ $111 \ 1$	$108^\circ 47'$ $110 \ 48$	$108^\circ 44'$ $110 \ 58$
$d^2 \left\{ \begin{array}{l} 2A = 101 \ 2 \\ 2C = 128 \ 6 \end{array} \right.$		$101 \ 0$ $128 \ 8$		
$o : c = 124 \ 32$		$124 \ 30$	$124 \ 35$	$124 \ 33$
$d^2 : a = 154 \ 3$		$154 \ 4$	$154 \ 50$	
$c = 115 \ 57$		$115 \ 56$		
$o = 140 \ 34$		$140 \ 30$	$140 \ 37$	$140 \ 34$

Das nach Peyrone dargestellte Salz bildet Combinationen  $o$ ,  $d^2$  dem nach Reiset herrscht  $a$  (auch Zwillinge nach  $d^2$ ).

Topsøe fand an dicktafelartigen Krystallen der ersten Art an Die Flächen  $o$  und  $d^2$  sind glatt und glänzend.

Isomorph mit dem Ammoniumsilberammoniumsulfat (seleniat, c ihre  $\rho$  sind  $= 4 : 2$ . In diesen Salzen steht  $2\text{Ag}$  für  $\text{Pt}$ .

Optisch einaxig; die Ringe erweitern sich beim Einschiebe Quarzplatte. Q. Sella: Sulle forme cristalline di alcuni sali di Platino Accad. Torino (2) 47. — Topsøe: Wien. Ak. Ber. 66. — Nordens Vet. Akad. Handl. 1874.

### Doppelsulfate.

**Schwefelsaurer Kali-Kalk.**  $(\text{K}^2\text{SO}^4 + \text{CaSO}^4) + \text{aq.}$

Dimorph.

A. Zweigliedrig.  $a : b : c = 0,95 : 4 : 0,7545$  Miller.

$p, p^4, q, b.$

	Berechnet	Beobachtet
$p : p =$		$*92^\circ 56'$
$p^4 : p^4 =$	$153^\circ 46'$	
$q : q =$		$*105 56$
$p =$	$444 30$	

Durchsichtige blättrige Krystalle, von Phillips bei der Dar von Weinsäure beobachtet.

B. Zwei- und eingliedrig.  $a : b : c = 1,37 : 4 : 0,8738$  Ze vich.  $o = 76^\circ 0'$ .

(Syngenit. Kaluszit.)

$o, o', 2o', p, p^2, p^3, q, r, r', 2r', a, b, c.$

$e' = \frac{1}{2}a' : b : c; i = \frac{1}{4}a : b : c.$

	Berechnet	Beobachtet	
		Zepharovich	Rumpf
$p : p =$	$73^\circ 54'$		
$a : p =$	$126 57$		$126^\circ 44'$
$p^2 =$	$146 23$		
$p^3 =$		$*156^\circ 6'$	$156 4$
$2p =$	$140 37$	$140 37$	$140 36$
$q : q =$	$99 24$		
$c =$	$139 42$	$139 44$	
$a : c =$		$*104 0$	$103 54$
$r =$	$132 42$	$132 44$	$134 42$
$r' =$	$112 42$	$112 47$	$114 49$
$2r' =$	$136 49$	$137 54$	
$p : c =$	$98 22$	$98 20$	

	Berechnet		Beobachtet	
	Zepharovich		Rumpf	
$p : q =$	444	7	443	59
$a : o =$	424	20	425	27
$o' =$	407	5	407	7
$2o' =$	447	53	447	57
$e' =$	428	44	428	44

Fig. 146.

Fig. 146. — An künstlichen Krystallen

nden

	Miller	Lang
$p : p =$	$74^{\circ} 4'$	$74^{\circ} 20'$
$a : c =$	403 22	
$r =$	433 32	433 47

Spaltbar nach  $p$  und  $a$ .

Ebene der optischen Axen parallel

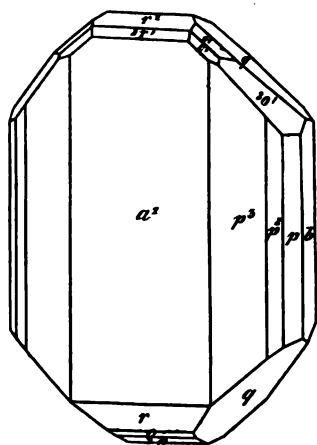
Axe  $b$ .

Volumgewicht 2,603.

Zepharovich: Wien. Ak. Ber. 67. —

Rumpf: Tschermak Min. Mitth. 1872. —

Miller: Qu. J. Chem. Soc. 3, 348.

**Schwefelsaurer Natron-Kalk.**  $\text{Na}_2\text{SO}_4 + \text{CaSO}_4$ . (Glauberit.)Zwei- und eingliedrig.  $a : b : c = 1,24 : 4 : 0,787$ .  
 $\alpha = 68^{\circ} 46'$ .**Schwefelsaure Ammoniak-Magnesia.**  $(\text{Am}^2\text{SO}_4 + \text{MgSO}_4) + 6\text{aq}$ .Zwei- und eingliedrig.  $a : b : c = 0,7438 : 4 : 0,4864$  Brooke.  
 $\alpha = 74^{\circ} 50'$ . $o, o', p, 2p, 3p, q, 2r, 2r', b, c$ .

	Berechnet	Beobachtet			
		Brooke	Rammelsberg	Heusser	Murmann
$o =$	$442^{\circ} 20'$				
$o' =$	430 50				
$o' =$	449 39				
$o' =$	76 55				
$p =$		*409 30'	409° 12'	409° 34'	409° 38'
$b =$	425 45		425 20		
$c =$		*404 45			
$2p =$	67 50				
$b =$	446 5		444 37		
$3p =$	50 22				
$q =$	430 24				
$c =$	455 42	454 40	454 33	454 56	454 43

	Berechnet	Beobachtet		
		Brooke	Rammelsberg	Heusser
$c : 2r' = 138^{\circ} 34'$				
$2r' =$		$*115^{\circ} 30'$	$115^{\circ} 24'$	
$p : 2r' = 134 \ 47$				
$2r' = 126 \ 12$				$126^{\circ} 56'$
$o : p = 137 \ 29$			$137 \ 44$	
$o' : c = 135 \ 49$		$135 \ 40$		

Fig. 147.

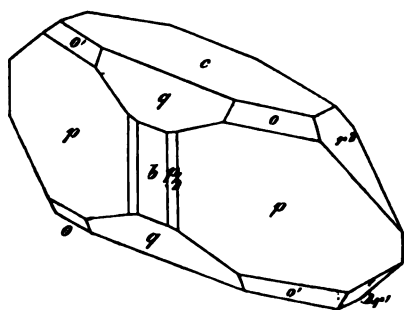


Fig. 147. — Die  $o$  und  $b$  immer vollzählig. — Brooke Phil. 23, 117. — Heuss A. 91, 506. — Murman Ak. Ber.

Ebene der optischen A  
Scheinbarer Axenwinkel  
Roth,  $77^{\circ} 28'$  für Gelb, 76  
Grün,  $75^{\circ} 50'$  für Blau.

Brechungscoefficienten:  
 $1,46772$  Roth  $1,4786$   
 $1,47369$  Gelb  $1,4846$

woraus die wahren Axenwinkel

$50^{\circ} 46' 44''$  Roth  $49^{\circ} 47' 5''$  Grün  
 $50 \ 44 \ 24$  Gelb  $48 \ 52 \ 45$  Blau Heusser.

Vgl. Sénarmont: Pogg. A. 86, 35. — Murmann und  
Wien. Ak. Ber. 34. — Topsøe: Pogg. A. Ergb. 6, 572.

Volumgewicht. 1,717 Joule und Playfair; 1,680  
1,762 Buignet.

Kub. Ausdehnung von  $0-100^{\circ} = 0,00746$  Joule und  
100 Th. Wasser lösen

bei $0^{\circ}$	9,2	bei $45^{\circ}$	25,6
- 10	14,2	- 50	30,0
- 15	15,7	- 60	36,4
- 20	17,9	- 75	45,3 Th. Tobler
- 30	19,1		

**Schwefelsaure Kali-Magnesia.** ( $K^2SO^4 + MgSO^4$ ) +  
Zwei- und eingliedrig.  $a : b : c = 0,7425 : 1 : 0,4965$  B  
 $o = 74^{\circ} 52'$ .

$o', p, q, 2r', a, b, c.$

	Berechnet	Beobachtet	
		Brooke	Rammelsberg
$o' : o' = 130^{\circ} 50'$			
$p : p =$		$*108^{\circ} 45'$	$108^{\circ} 40'$
$a = 144 \ 22,5$			

Berechnet	Beobachtet		
	Brooke	Rammelsberg	Murmann
$p : c = 102^{\circ} 15'$	$102^{\circ} 20'$		$102^{\circ} 5'$
$q : q = 128 \ 48$			
$c = 154 \ 24$	$154 \ 30$	$154^{\circ} 35'$	$154 \ 54$
$a : c =$	$*105 \ 8$		$104 \ 55$
$2r' = 138 \ 7$			$138 \ 28$
$c : 2r' =$	$*116 \ 45$		$116 \ 34$

Optische Axenebene =  $ac$ ; die Mittellinie macht  $95^{\circ} 40'$  mit einer Normale auf die Endfläche  $c$  und  $167^{\circ}$  mit einer solchen auf die vordere Fläche  $a$ ;  $\beta = 1,462$  für die Mitte des Roth,

$2E = 73^{\circ} 5'$  und  $72^{\circ} 20'$ , woraus  $2V = 47^{\circ} 37'$  Roth,  
 $72 \ 19 - 74 \ 16$  Violett.

Geeignete Dispersion sehr merklich; stark unsymmetrische Farben wider Ringsysteme Des Cloizeaux. — Murmann und Rotter: S. 133 vorige. — Topsøe: Desgl. 574.

Volumgewicht. 2,053 Joule und Playfair.

Kub. Ausdehnung von  $0-100^{\circ} = 0,00937$  Dieselben.

Löslichkeit. — Tobler: Ann. Ch. Ph. 95, 493. — Schiff: Eb. 113, 183.

#### Schwefelsaure Rubidium-Magnesia.

Schwefelsaure Cäsium-Magnesia.  $(R^2SO^4 + MgSO^4) + 6aq$ .

Schöne grosse Krystalle, isomorph den analogen. — Bunsen: Pogg. A. 113, 351. 370.

Schwefelsaure Thallium-Magnesia.  $(Tl^2SO^4 + MgSO^4) + 6aq$ .

Zwei- und eingliedrig.  $a : b : c = 0,742 : 1 : 0,5$  Werther.

$o = 73^{\circ} 36'$ .

$p, q, 2r', b, c$ .

Beobachtet

$p : p = *109^{\circ} 6'$

$c = *103 \ 18$

$q : c = *159 \ 22$

J. f. pr. Ch. 92, 132.

Schwefelsaure Natron-Magnesia.  $(Na^2SO^4 + MgSO^4) + 4aq$  (Bloedit).

Zwei- und eingliedrig.  $a : b : c = 1,3494 : 1 : 0,6705$  Groth.

$o = 79^{\circ} 22'$ .

$o, o', \frac{o'}{2}, 2o', p, p\frac{3}{2}, p^2, p^3, 2p, q, q^2, 2r', a, b, c$ .

$\frac{n}{n'} \left\{ \begin{array}{l} a \\ a' \end{array} \right. : \frac{1}{2} b : c; z = a : \frac{1}{2} b : c; s' = \frac{1}{2} a' : b : c;$

Rammelsberg, physik. Chemie.

$\frac{s'}{2} = a' : 2b : c; t' = \frac{1}{3} a' : b : c.$			
Berechnet		Beobachtet	
		Groth	Rath B
$o : o =$		$122^\circ 17',5$	$122^\circ 16'$
$o' : o' = 114^\circ 50'$			
$\frac{o}{3} : \frac{o}{3} = 143 \quad 0,5$			
$2o' : 2o' = 88 \quad 20$			
$p : p = 74 \quad 0$		$74 \quad 0$	
$c = 96 \quad 23$			
$q : q = 113 \quad 14$		$113 \quad 10$	
$c =$		$*146 \quad 37$	
$c : 2r' = 129 \quad 54$		$129 \quad 56$	$129 \quad 46$
$o : c =$		$*143 \quad 5$	
$p = 133 \quad 18$			$133 \quad 25$
$q = 158 \quad 56$			$158 \quad 56$
$o' : c = 137 \quad 48$		$137 \quad 50$	
$q = 156 \quad 26$		$156 \quad 25$	
$q^2 : q^2 = 74 \quad 23$		$74 \quad 20$	
$2p : 2p = 44 \quad 49$		$44 \quad 47$	
$n : n = 84 \quad 34$		$84 \quad 34$	
$n' : n' = 135 \quad 3$			
$n : c = 129 \quad 56$		$129 \quad 56$	
$o = 161 \quad 7$		$161 \quad 8$	$161 \quad 5$
$p^2 : p^2 = 112 \quad 54$		$112 \quad 54$	
$p = 160 \quad 33$		$160 \quad 32$	$160 \quad 34$
$s' : s' = 125 \quad 9$			
$c = 124 \quad 34$		$124 \quad 27$	
$2r' = 152 \quad 35$		$152 \quad 32$	
$\frac{s'}{2} : \frac{s'}{2} = 144 \quad 33$			
$c = 147 \quad 2$		$146 \quad 34$	
$z : z = 64 \quad 38$			
$o = 149 \quad 40$		$149 \quad 0$	
$n = 168 \quad 33$		$168 \quad 34$	
$p^3 : p^3 = 132 \quad 18$			
$t' : t' = 148 \quad 28$			
$s' = 166 \quad 35$		$166 \quad 44$	
$p^{\frac{3}{2}} : p^{\frac{3}{2}} = 97 \quad 2$			
$p = 168 \quad 29$		$168 \quad 25$	
$p : q = 110 \quad 3$		$110 \quad 2$	$110 \quad 13$

Fig. 148, 149. Die Messungen von Groth und Rath b auf Krystalle von Stassfurt, die von Brezina auf solche von H

Herrschende Flächen sind  $p, q, o, c$ .

Ebene der optischen Axen  $ac$ ; negativ; die Mittellinie

spitzen Winkel  $o$ . — Brezina: Wien. Akad. Ber. 60. — Groth: Ztschr. d. geol. G. 23, 670. — G. v. Rath: Pogg. A. 144, 586.

Fig. 148.

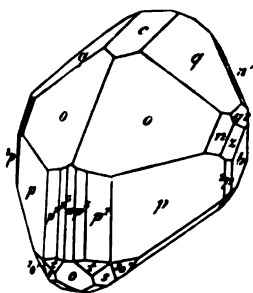
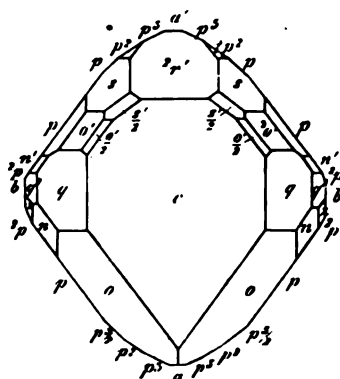


Fig. 149.



### Schwefelsaures Ammoniak-Zink. $(\text{Am}^2\text{SO}_4 + \text{ZnSO}_4) + 6\text{aq}$ .

Zwei- und eingliedrig.  $a : b : c = 0,7352 : 1 : 0,4996$  Marignac.  
 $o = 73^\circ 46'$ .

Die Flächen des Magnesiasalzes, und  $q^2$ ,  $a$ .

Berechnet	Beobachtet		
	Marignac	Murmann	Kobell
$o : o = 144^\circ 30'$			
$o' : o' = 130 \quad 0$			
$o : o' = 117 \quad 59$			
$o : o' = 78 \quad 29$			
$p : p =$	$109^\circ 42'$	$109^\circ 34'$	$111^\circ 0'$
$c =$	$103 \quad 37$	$103 \quad 34$	$106 \quad 14$
$p : p = 70 \quad 40$			
$p : p = 50 \quad 0$			
$q : q = 129 \quad 0$			
$c = 154 \quad 30$		$154 \quad 43$	$155 \quad 0$
$q^2 : q^2 = 93 \quad 10$			
$a : c = 106 \quad 44$			
$c : q =$	$115 \quad 4$		
$o : c = 135 \quad 2$			$134 \quad 53$

v. Kobell: J. f. pr. Ch. 28, 492. 34, 320. — Marignac: Ann. Min. (5) 42. — Murmann: S. Mg-salze.

Optisches. Sénarmont: Pogg. A. 86, 64. — Murmann und Rotter: a. a. O.

Volumgewicht. 1,910 Schiff.

Löslichkeit. Tobler: S. Mg-salz.

**Schwefelsaures Kali-Zink.**  $(K_2SO_4 + ZnSO_4) + 6aq.$ 

Zwei- und eingliedrig.  $a : b : c = 0,7446 : 1 : 0,5098$  Ram-  
berg.  $\alpha = 74^\circ 33'.$

$p, 2p, q, 2r', b, c.$

	Berechnet	Beobachtet	
		Rammelsberg	Teschemacher
$p : p =$		*108° 40'	108° 40'
$c =$		*102 30	102 20
$2p : 2p =$	69° 44'		
$q : q =$	127 40		
$c =$	153 50	154 48	
$2r' : c =$		*115 42	
$p =$	127 43		

Teschemacher: Kastn. Arch. 13, 197.

Optisches. Murmann und Rotter: a. a. O.

Volumgewicht. 2,24 Joule und Playfair; 2,153 Schiff

Kubische Ausdehnung von 0—100° = 0,00829 Jou-  
Playfair.

**Schwefelsaures Thallium-Zink.**  $(Tl_2SO_4 + ZnSO_4) + 6 a$ 

Zwei- und eingliedrig.  $a : b : c = 0,7406 : 1 : 0,4956$  Wer-  
 $\alpha = 73^\circ 39'.$

	Berechnet	Beobachtet	
		Werther	Des Cloizeaux
$\alpha' : \alpha' =$	130° 40'		
$p : p =$		*109° 12'	
$c =$		*103 46	103° 24'
$q : q =$		*129 4	
$c =$	154 45		154 47—3
$a : c =$	106 21		106 40
$c : 2r' =$	115 41		115 32
$\alpha' : c =$	135 54		135 44

Werther: S. Mg-salz. — Des Cloizeaux: S. Thalliumsulfat

Optische Axenebene  $ac$ , Mittellinie negativ, unter  $59^\circ 40'$  geg-  
Normale auf die Fläche  $c$ ,  $44^\circ 10'—45'$  gegen eine solche auf  $a$  geneigt

$$2H = \begin{cases} 76^\circ 26' \\ 78 46 \end{cases} \quad 2E = \begin{cases} 130^\circ 40' & \text{Roth} \\ 137 45 & \text{Blau. Des Cloizeaux} \end{cases}$$

**Schwefelsaures Natron-Zink.**  $(Na_2SO_4 + ZnSO_4) + 4aq.$ 

Zwei- und eingliedrig.  $a : b : c = 1,344 : 1 : 1,422$  Miller.  
 $\alpha = 79^\circ 38'.$

$$\frac{\alpha}{2}, p, p^2, \frac{q}{2}, \frac{r'}{2}, c.$$



Berechnet	Beobachtet
$\frac{o}{2} : \frac{o}{2} = 120^\circ 2'$	
$p : p =$	$74^\circ 12'$
$c =$	$96 43$
$p^2 : p^2 = 113 4$	
$c = 98 38$	
$r' : c =$	$150 6$
$p = 101 38$	
$\frac{o}{2} : c = 141 29$	
$p = 134 44$	

Scacchi hob die Poliedrie der Flächen  $\frac{q}{2}$  hervor.

Isomorph dem Magnesiasalz (Blödit). — Miller: Phil. Mag. (3) 31,

340. — Scacchi: Sulla Poliedria p. 76.

**Schwefelsaures Ammoniak-Nickel.**  $(Am^2SO^4 + NiSO^4) + 6aq.$

Isomorph dem folgenden.

Beobachtet	
Murmann	Marignac
$o' : o' =$	$129^\circ 30'$
$p : p = 109^\circ 40'$	$109 20$
$c = 103 0$	
$q : q = 129 40$	
$c = 154 50$	$154 23$
$2r' : c = 116 0$	
$p = 127 30$	$127 36$
$o' : c = 134 56$	$136 0$
$p = 121 31$	

**Schwefelsaures Kali-Nickel.**  $(N^2SO^4 + NiSO^4 + 6aq.$

Zwei- und eingliedrig.  $a : b : c = 0,7365 : 4 : 0,4964$  Brooke.  
 $o = 74^\circ 54'.$

$o', p, 2p, q, 2r', b, c.$

Berechnet		Beobachtet		
		Brooke	Rammelsberg	Murmann
$o' = 130^\circ 44'$				
$p =$		$109^\circ 40'$	$109^\circ 20'$	$109^\circ 5'$
$b = 125 25$			$125 20$	$125 48$
$c =$		$102 45$	$101 28$	$102 43$
$2p = 68 20$				
$q = 128 48$				
$c = 154 24$		$154 32$		$154 23$
$b = 145 36$				$145 42$
$c =$		$146 17$	$146 17$	

Optisches. Sénarmont: a. a. O. — Murmann und Rotter: Desgl.

Löslichkeit. Tobler: a. a. O. — Hauer: J. f. pr. Ch. 74, 433.

**Schwefelsaures Thallium-Nickel.**  $(\text{Th}^2\text{SO}^4 + \text{NiSO}^4) +$ 

Zwei- und eingliedrig.  $a : b : c = 0,743 : 4 : 0,499$  Wer  
 $o = 73^\circ 21'.$

Beobachtet

$$\begin{array}{ll} p : p = *109^\circ 6' & o' : o' = 130^\circ 5' \\ c = *103 \ 30 & 2r' : c = 115 \ 14 \\ q : q = *128 \ 55 \end{array}$$

S. Magnesiumsalz.

**Schwefelsaures Ammoniak-Kobalt.**  $(\text{Am}^2\text{SO}^4 + \text{CoSO}^4)$ 

Zwei- und eingliedrig.  $a : b : c = 0,739 : 4 : 0,4985$  Mar  
 $b = 73^\circ 4'.$

$o, o', p, {}^2p, q, {}^2r', a, b, c.$

	Berechnet	Beobachtet
$o : o =$	$141^\circ 20'$	$141^\circ 21'$
$o' : o' =$	$130 \ 20$	$130 \ 20$
$o : o' =$	$118 \ 12$	
$o : o' =$	$78 \ 47$	
$p : p =$		$*109 \ 28$
$c =$	$103 \ 45$	$103 \ 46$
$q : q =$	$129 \ 0$	$129 \ 30$
$a : c =$		$*106 \ 56$
${}^2r' =$	$137 \ 52$	
$c : {}^2r' =$		$*115 \ 12$
$p : {}^2r' =$	$127 \ 16$	$127 \ 20$
$o : q =$	$153 \ 9$	$153 \ 13$
$o' : c =$	$135 \ 3$	$135 \ 6$
$q =$	$145 \ 2$	$145 \ 5$

**Schwefelsaures Kali-Kobalt.**  $(\text{K}^2\text{SO}^4 + \text{CoSO}^4) + 6$ 

Beobachtet

$$\begin{array}{ll} p : p = 109^\circ 21' & p : c = 104^\circ 58' \\ a = 144 \ 42 & o : c = 146 \ 30 \text{ Murmann.} \\ b = 125 \ 5 \end{array}$$

Optisches beider Kobaltsalze s. Sénarmont und Murmann.

Volumgewicht des Am-salzes = 1,873

- K - 2,154 Schiff.

Löslichkeit s. Tobler und Hauer a. a. O.

**Schwefelsaures Ammoniak-Manganoxydul.**  $(\text{Am}^2\text{SO}^4 + \text{MnSO}^4)$ 

Zwei- und eingliedrig.  $a : b : c = 0,736 : 4 : 0,497$  Mur  
 $o = 72^\circ 58'.$

$o, o', p, {}^2p, {}^3p, q, {}^2r', a, b, c.$

	Berechnet	Beobachtet		
		Murmann	Scacchi	Grailich
$o : o =$	$442^{\circ} 40'$			
$o' : o' =$	$430 \ 27$			
$o : o' =$	$448 \ 4$			
$p : p =$		$*109^{\circ} 44'$		$109^{\circ} 25'$
$a =$	$444 \ 52$	$444 \ 20$	$444^{\circ} 44'$	
$b =$	$425 \ 8$	$425 \ 3$		
$c =$	$403 \ 52$		$403 \ 36$	
$^2p : ^2p =$	$70 \ 48$			
$a =$	$425 \ 44$		$425 \ 17$	
$c =$	$99 \ 46$		$99 \ 34,5$	
$p =$	$160 \ 32$	$160 \ 43$		
$^3p : ^3p =$	$50 \ 42$	$54 \ 30$		
$a =$	$445 \ 24$		$445 \ 26,5$	
$b =$	$454 \ 39$	$455 \ 34$		
$q : q =$	$429 \ 8$			
$c =$	$454 \ 34$	$454 \ 24$	$454 \ 47$	
$a =$	$405 \ 20$		$405 \ 6$	
$a : c =$		$*107 \ 2$	$106 \ 44$	$108 \ 48$
$^2r' =$		$*137 \ 54$		
$c : ^2r' =$	$445 \ 4$	$445 \ 42$	$445 \ 48$	
$o : a =$	$432 \ 43$		$434 \ 44$	
$b =$	$409 \ 45$		$409 \ 23$	
$c =$	$446 \ 42$		$446 \ 47$	
$o' : a =$	$409 \ 43$		$409 \ 28$	
$b =$	$444 \ 47$		$444 \ 47,5$	
$c =$	$435 \ 0$		$435 \ 27$	

Prismatisch nach  $p$  oder nach der Verticalzone mit herrschenden  $c$  und  $^2r'$ .

Das optische Verhalten untersuchten Grailich: Kr. opt. Unt. — Murmann und Rotter: Wien. Ak. Ber. 34.

### Schwefelsaures Kali-Manganoxydul.

#### 1) $(K^2SO^4 + MnSO^4) + 6aq.$

Nach Mitscherlich isomorph mit dem vorigen und den analogen Salzen. Scacchi gelang die Darstellung nicht, er erhielt stets das Hydrat mit 4 aq.

Indessen giebt Sénarmont das optische Verhalten an. Pogg. A. 86, 64.

#### 2) $(K^2SO^4 + MnSO^4) + 4aq.$

Zwei- und eingliedrig.  $a : b : c = 1,2485 : 1 : 1,0324$  Marignac.  
 $o = 85^{\circ} 0'.$

$o, o', p, p^2, p^3, q^2, ^2r, ^2r', a, b, c.$

$$m = \frac{1}{3} a : b : c.$$

$$m' = \frac{1}{3} a' : b : c.$$

	Berechnet	Marignac	Beobachtet Scacchi	Sc.
$o : o = 105^{\circ} 30'$			$105^{\circ} 40'$	
$o' : o' =$		$*100^{\circ} 42'$	$100 \quad 28$	
$o : o' = 120 \quad 3$				
$o : o' = 105 \quad 43$				
$m : m = 139 \quad 4$		$139 \quad 10$	$139 \quad 0$	
$p : p = 77 \quad 36$				$78^{\circ}$
$a =$		$*128 \quad 48$		
$c = 93 \quad 7$		$93 \quad 48$		
$p^3 : p^3 = 134 \quad 58$				
$a = 157 \quad 29$		$157 \quad 30$	$137 \quad 30$	
$c = 94 \quad 36$		$94 \quad 37$	$94 \quad 32,5$	
$q^2 : q^2 = 51 \quad 52$				
$c = 115 \quad 56$			$116 \quad 30$	$115$
$b = 154 \quad 4$		$154 \quad 10$		
$a = 92 \quad 10$		$92 \quad 7$	$92 \quad 7$	
$a : c = 95 \quad 0$		$95 \quad 0$	$94 \quad 55$	$95$
$2r = 150 \quad 13$		$150 \quad 16$		$149$
$2r' = 147 \quad 33$		$147 \quad 40$		$146$
$c : 2r = 124 \quad 47$			$124 \quad 29$	
$2r' = 117 \quad 27$				
$2r : p = 122 \quad 57$		$123 \quad 6$		
$q^2 = 104 \quad 26$		$104 \quad 25$		
$2r' : p = 121 \quad 55$		$121 \quad 48$		
$q^2 = 101 \quad 38$		$101 \quad 40$		
$o : a = 122 \quad 33$		$122 \quad 25$	$122 \quad 38$	
$c = 129 \quad 8$			$128 \quad 51$	
$o' : a =$		$117 \quad 20$	$117 \quad 32$	
$c = 125 \quad 9$			$124 \quad 55$	
$p = 144 \quad 43$		$144 \quad 50$		
$2r' = 135 \quad 59$		$136 \quad 3$		
$m' : a = 150 \quad 54$		$150 \quad 53$	$150 \quad 57,5$	

Fig. 450.

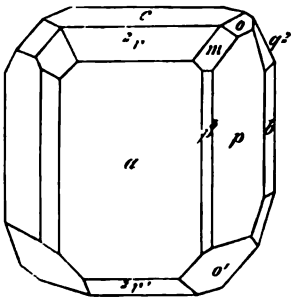


Fig. 450. — Meist tafelartig n  
Zwillinge nach  $a$ . Am freien Ende  
vier  $o'$  ein Rhombenoktaeder.

Wenig spaltbar nach  $c$  (Marignac  
(Schabus).—Schabus: Wien. Ak. B

3)  $(K^2SO_4 + MnSO_4) + 2H_2O$

Eingliedrig.  $a : b : c = 1,235$   
Marignac.

$$A = 102^{\circ} 42' \quad \alpha = 94^{\circ}$$

$$B = 113 \quad 0 \quad \beta = 110$$

$$C = 111 \quad 3 \quad \gamma = 107$$

$\sigma'', p', \frac{p}{3}, \frac{p'}{3}, q, \frac{q'}{2}, r', a, b, c.$ 

	Berechnet	Beobachtet	
		Marignac	Scacchi
$a : b =$		*111° 3'	109° 47'
$p' = 118^\circ 12'$		118 26	
$p' : c = 96 \ 45$		96 55	
$\frac{p}{3} : c =$		*111 0	111 11
$\frac{p'}{3} : a =$		*115 32	115 54
$c =$		*106 25	106 44
$b : c = 102 \ 12$		102 24	102 47
$q' : c = 117 \ 53$		118 10	
$r' = 116 \ 44$		117 25	
$\frac{q'}{2} : c = 111 \ 53$		112 21	
$r' = 121 \ 9$		122 30	
$a : c = 113 \ 0$		113 10	113 23
$r' : a =$		*130 36	
$b = 100 \ 9$		100 30	
$c = 116 \ 24$		116 20	116 31
$p' = 111 \ 13$		112 0	
$\frac{p}{3} = 118 \ 33$		119 30	
$\frac{p'}{3} = 124 \ 54$		124 31	
$\sigma'' : c = 119 \ 53$		120 40	
$r' = 125 \ 44$		126 30	

Zwillinge nach  $r'$ .

Sehr kleine röthliche Krystalle, deren Flächen mehrfache Bilder geben. — Scacchi: Il Giambattista Vico. Fasc. 6 (1857) und Sulla Poliea, p. 43.

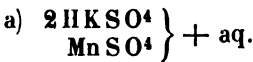
4)  $2(\text{K}^2\text{SO}^4 + \text{MnSO}^4) + 3 \text{ aq.}$ 

Zwei- und eingliedrig.  $a : b : c = 0,9735 : 1 : 1,958$  Scacchi.  
 $\sigma = 76^\circ 0'.$

$\frac{\sigma'}{2}, \frac{\sigma'}{3}, p, q, r, r', c.$	Berechnet	Beobachtet
$\frac{\sigma'}{2} : \frac{\sigma'}{3} = 104^\circ 54'$		
$\frac{\sigma'}{3} : \frac{\sigma'}{3} = 117 \ 12$		
$p : p = 93 \ 16$		
$c = 100 \ 8$		
$q : q =$		*55° 32'
$r : r' =$		*52 2
$c = 127 \ 18$		
$r' : c = 104 \ 44$		
$q : r =$		*106 24

Prismatisch nach  $p$ . — Eignet sich nicht zu genauen Messungen. Unvollkommen spaltbar nach  $c$ .

Schwefelsaures Manganoxydul und saures schwefelsaures

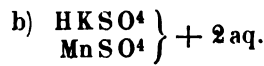


Zweigliedrig.  $a : b : c = 0,7058 : 1 : 1,9376$  Scacchi.

$o, q^2, q\frac{2}{3}, \frac{q}{2}, r, \frac{r}{3}, a, b, c.$

	Berechnet	Beobachtet
$o \left\{ \begin{matrix} 2A = \\ 2B = 76^\circ 56' \\ 2C = \end{matrix} \right.$		$*112^\circ 54'$
$q^2 : q^2 =$	28 56	
$q\frac{2}{3} : q\frac{2}{3} =$	75 30	$*146 \ 51$
$\frac{q}{2} : \frac{q}{2} =$	94 44	
$r : r =$	40 2	
$\frac{r}{3} : \frac{r}{3} =$	95 4	

Tafelartig nach  $c$ . Die zweiten und dritten Paare sind gestrichelt. Die ersten Paare sind gestrichelt. Auch  $c$  erscheint gebrochen. Die  $o$  finden sich in grösseren Krystallen.



Eingliedrig.

$\frac{o}{2}, \frac{o''}{2}, p, p', q', 2r, 2r', a, b, c.$

	Beobachtet (Scacchi).
$p : a =$	$115^\circ 5'$
$a : 2r =$	129 46
$p : 2r' =$	104 4
$\frac{o''}{2} : a =$	$116^\circ 17'$
$b =$	106 45

Fig. 151.

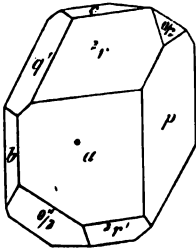


Fig. 152.

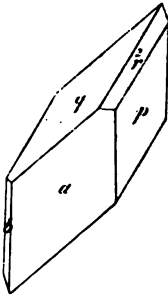


Fig. 151, 152. — Diese beiden Salze erhielt Scacchi aus seinen Lösungen durch langsames Verdunsten. — Il Giambattista Vico F. 6

**Schwefelsaures Natron-Manganoxydul.**Zwei- und eingliedrig.  $a : b : c = 1,344 : 1 : 1,336$  Scacchi.  
 $\alpha = 80^\circ 42'.$ 

$$\frac{o}{2}, \frac{o'}{2}, p, p^2, {}^2p, \frac{q}{2}, r', a, b, c.$$

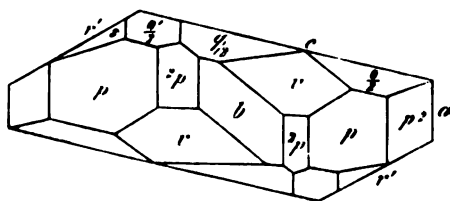
$$s' = a' : 2b : c; v = 3a : \frac{2}{3}b : c.$$

	Berechnet	Beobachtet	
		Scacchi	Marignac
$\frac{o}{2} : \frac{o}{2} =$	$121^\circ 54'$		
$\frac{o'}{2} : \frac{o'}{2} =$	$115 \quad 24$		
$p : p =$	$74 \quad 2$		
	$b =$	$142^\circ 59'$	
	$c =$	$95 \quad 35$	$96^\circ 30'$
$p^2 : p^2 =$	$112 \quad 54$		$112 \quad 40$
${}^2p : {}^2p =$	$41 \quad 18$		
$\frac{q}{2} : \frac{q}{2} =$	$113 \quad 42$		
	$c = 146 \quad 36$	$146 \quad 27$	
$\frac{o}{2} : a =$	$119 \quad 2$	$121 \quad 31$	
	$b = 119 \quad 3$	$118 \quad 44$	
	$c = 142 \quad 45$	$142 \quad 59$	
$\frac{o'}{2} : a =$	$105 \quad 47$		
	$b = 122 \quad 18$		
	$c = 138 \quad 14$	$138 \quad 26$	
$s' : s' =$	$125 \quad 54$		
	$a = 125 \quad 3$	$123 \quad 26$	
	$b = 117 \quad 3$	$117 \quad 45$	
	$c = 125 \quad 23$	$125 \quad 29$	
$v : v =$	$61 \quad 56$		
	$a = 106 \quad 36$	$107 \quad 6$	
	$b = 149 \quad 2$	$148 \quad 43$	
	$c = 117 \quad 57$	$118 \quad 13$	
$a : c =$	$99 \quad 18$		
	$r' = 130 \quad 9$		
$c : r' =$		$130 \quad 33$	$130 \quad 20$

Fig. 153 (wo  $s'$  statt  $s$  zu lesen ist).

Marignac beobachtete nur  $\frac{1}{2}p^2, c, r'$  und ein anderes Augit-  
ger, unter  $153^\circ 24'$  gegen  $c$  ge-  
legt ( $a : b : \frac{1}{2}c?$ ). — Scacchi:  
vd. chim. crist. Napoli 1867.

Fig. 153.



2)  $(\text{Na}^2\text{SO}^4 + \text{MnSO}^4) + 2\text{aq.}$ 

Schon Marignac untersuchte Krystalle dieses Hydrats, ohne das ihm gelang, sie mit Sicherheit zu messen.

Scacchi beschreibt sie als tafelartige Combinationen von dihexaëischem Ansehen. Aber obwohl er die Neigung der scheinbaren Endflächen gegen die anstossenden Flächen =  $112^\circ 29'$  und  $113^\circ 44'$  und eine Kr der letzteren =  $113^\circ 12'$  fand, glaubt er doch nicht, dass sie sechsglied seien. Auch sind es fast stets Zwillinge. S. o.

3)  $3\text{Na}^2\text{SO}^4 + 4\text{MnSO}^4 + 8\text{aq.}$ 

Sechsgliedrig.  $a : c = 1 : 0,725$ . Scacchi.

$r, \frac{r'}{2}, 2r'.$	Berechnet	Beobachtet
$2A$ von $r = 112^\circ 26'$		$112^\circ 24'$
$\frac{r'}{2} =$		$*140 \ 54$
$2r' = 83 \ 56$		$83 \ 54$
$\frac{r'}{2} : 2r' = 143 \ 35$		$143 \ 33$

$r$  herrscht vor. — A. a. O.

**Schwefelsaures Ammoniak-Eisenoxydul.**  $(\text{Am}^2\text{SO}^4 + \text{FeSO}^4) -$ 

Zwei- und eingliedrig.  $a : b : c = 0,7466 : 1 : 0,495$ . Murmann  
 $\alpha = 73^\circ 12'.$

$\alpha', p, q, 2r', a, b, c.$

	Berechnet	Beobachtet	
		Murmann	Kopp
$\alpha' : \alpha' = 130^\circ 30'$			
$p : p =$		$*108^\circ 53'$	$108^\circ 30'$
$b = 125 \ 33$		$125 \ 31$	
$c =$		$*103 \ 36$	
$q : q = 129 \ 17$			
$c = 154 \ 39$		$154 \ 44$	
$a : c = 106 \ 48$			$106 \ 48$
$2r' = 137 \ 17$			
$c : 2r' =$		$*115 \ 55$	
$\alpha' : c = 135 \ 35$		$135 \ 27$	

Optisches Verhalten. Sénarmont und Murmann: a. a. O.

Volumgewicht 4,843. Schiff.

Löslichkeit. Tobler: Ann. Ch. Ph. 95, 493. — Schiff: 108, 326.

**Schwefelsaures Kali-Eisenoxydul.**  $(\text{K}^2\text{SO}^4 + \text{FeSO}^4) + 6\text{aq.}$ 

Zwei- und eingliedrig.  $a : b : c = 0,7447 : 1 : 0,5039$  Marignac  
 $\alpha = 75^\circ 27'.$



$o', p, 2p, q, 2r', a, b, c.$  —  $s' = a' : \frac{1}{2}b : c.$

	Berechnet	Beobachtet	
		Marignac	Murmann
$o' : o' =$	$130^{\circ} 30'$	$130^{\circ} 40'$	
$p : p =$	$108 \ 40$		$107^{\circ} 53'$
$a =$	$144 \ 20$	$144 \ 35$	
$c =$	$101 \ 47$	$101 \ 42$	$102 \ 22$
$2p : 2p =$	$70 \ 0$		
$p =$	$160 \ 40$		$160 \ 35$
$q : q =$		$*128 \ 0$	
$c =$	$154 \ 0$	$154 \ 0$	$153 \ 12$
$a =$	$103 \ 3$	$102 \ 53$	
$a : c =$		$*104 \ 33$	$104 \ 16$
$2r' =$	$138 \ 54$		$138 \ 56$
$2r' : c =$		$*116 \ 36$	$116 \ 41$
$p =$	$127 \ 43$	$127 \ 40$	$126 \ 31$
$o' : c =$	$135 \ 22$	$135 \ 20$	$135 \ 53$
$p =$	$122 \ 54$		$122 \ 35$
$s' : s' =$	$87 \ 52$		

Marignac: Réch. 19.

Optisches. Topsöe: Pogg. A. Ergbd. 6, 578 und das Vorige.

Volumgewicht 2,18 Schiff.

Löslichkeit: s. Ammoniaksalz.

**Schwefelsaures Thallium-Eisenoxydul.**  $(\text{Th}^2\text{SO}^4 + \text{FeSO}^4) + 6\text{aq.}$

Zwei- und eingliedrig.  $a : b : c = 0,7085 : 4 : 0,4966$  Werther.

$o = 74^{\circ} 8'.$

$o', p, q, 2r', a, c.$	Beobachtet
$o' : o' =$	$130^{\circ} 47'$
$p : p =$	$*109 \ 22$
$c =$	$*102 \ 53$
$q : q =$	$*128^{\circ} 57'$
$2r' : a =$	$137 \ 50$
$c =$	$115 \ 45$

**Schwefelsaures Natron-Eisenoxydul.**  $(\text{Na}^2\text{SO}^4 + \text{FeSO}^4) + 4\text{aq.}$

Zwei- und eingliedrig.  $a : b : c = 1,349 : 4 : 1,3387$  Marignac.

$o = 79^{\circ} 33'.$

$p, p^2, \frac{q}{2}, r', c.$	Berechnet	Beobachtet
$p : p =$		$*74^{\circ} \ 0'$
$c =$		$*96 \ 16$
$p^2 : p^2 =$	$112^{\circ} 52'$	$112 \ 48$
$c =$	$98 \ 41$	$98 \ 40$
$q : q =$	$113 \ 18$	
$r' : c =$	$130 \ 3$	$130 \ 0$
$p =$	$112 \ 30$	$112 \ 36$
$p^2 =$		$*122 \ 0$

Dünne rhomboidische Blättchen.

**Schwefelsaures Ammoniak-Eisenoxyd.**

**Schwefelsaures Kali-Eisenoxyd** (Eisenalaun).  $(\text{K}^2\text{SO}^4 + \text{FeS}^2\text{O}^{12}) + 2\text{H}_2\text{O}$ .  
Regulär. Oktaeder und Würfel.

Brechungsexponenten. Topsöe: Pogg. A. Ergbd. 6, 546.

**Schwefelsaures Ammoniak-Kupfer.**  $(\text{Am}^2\text{SO}^4 + \text{CuSO}^4) + 6\text{H}_2\text{O}$   
Zwei- und eingliedrig.  $a : b : c = 0,7433 : 1 : 0,4838$  Miller.  
 $\alpha = 73^\circ 54'$ .

$a', p, q, 2r', a, c$ .	Berechnet	Beobachtet
$a' : a' =$	$134^\circ 28'$	
$p : p =$		$*108^\circ 56'$
$c =$	103 3	
$q : q =$	127 40	
$c =$		$*153 50$
$a : c =$		$*106 6$
$2r' =$	136 50	138 47
$c : 2r' =$	117 4	115 6
$a' : a =$	109 11	110 49
$c =$	136 27	134 29

Phil. Mag. (3) 6, 105 (Pogg. A. 36, 477).

Optisches Verhalten. Murmann und Rotter: Wien. Ak. Ber.  $\Xi$

Grailich: Kr. opt. Unt.

Volumgewicht. 1,894 Joule und Playfair; 1,934 Schiff.  
Kub. Ausdehnung von  $0-100^\circ = 0,00664$  Joule und Play

**Schwefelsaures Kali-Kupfer.**  $(\text{K}^2\text{SO}^4 + \text{CuSO}^4) + 6\text{H}_2\text{O}$ .  
Zwei- und eingliedrig.  $a : b : c = 0,77 : 1 : 0,493$  Brooke.  
 $\alpha = 74^\circ 56'$ .

$p, q, 2r', b, c$ .	Berechnet	Beobachtet
$p : p =$		$*107^\circ 35'$
$c =$		$*104 30$
$q : q =$	$129^\circ 44'$	
$q : c =$	154 52	154 20
$c : 2r' =$		$*116 20$
$p : 2r' =$	125 13	

Ann. Phil. 23, 118.

Optisches. S. das vorhergehende.

Volumgewicht. 2,164 Joule und Playfair; 2,137 Schiff.  
Kub. Ausdehnung von  $0-100^\circ = 0,00904$  Joule und Play

**Schwefelsaures Ammoniak-Kadmium.**  $(\text{Am}^2\text{SO}^4 + \text{CdSO}^4) + 6\text{H}_2\text{O}$   
Zwei- und eingliedrig.  $a : b : c = 0,743 : 1 : 0,4945$  Ramberg.  
 $\alpha = 72^\circ 19'$ .

$o, o', p, {}^2p, {}^3p, q, {}^2r', a, b, c.$

	Berechnet	Beobachtet
$o : o =$	$141^{\circ} 46'$	
$o' : o' =$	$130 \ 24$	
$p : p =$		$*109^{\circ} 24'$
$a =$	$144 \ 42$	$144 \ 47$
$b =$	$125 \ 18$	$125 \ 18$
$c =$	$104 \ 21$	$104 \ 33$
${}^2p : {}^2p =$	$70 \ 28$	
$a =$	$125 \ 14$	$125 \ 20$
$b =$	$144 \ 46$	$144 \ 37$
$p =$	$160 \ 32$	$160 \ 32$
${}^3p : {}^3p =$	$50 \ 26$	
$a =$	$115 \ 13$	$115 \ 18$
$b =$	$154 \ 47$	$154 \ 42$
$p =$	$150 \ 31$	$150 \ 30$
$q : q =$	$129 \ 34$	
$c =$	$154 \ 47$	$154 \ 49$
$a =$	$105 \ 57$	$105 \ 15$
$a : c =$	$107 \ 41$	$107 \ 23$
${}^2r' =$	$137 \ 9$	$137 \ 20$
$c : {}^2r' =$	$115 \ 10$	$115 \ 10$
$o : c =$	$146 \ 42$	$146 \ 30$
$p =$	$137 \ 39$	$137 \ 15$
$o' : c =$		$*135 \ 18$
$p =$		$*120 \ 21$
$q =$	$145 \ 16$	$145 \ 25$

tafelartig nach c.

1 umgewicht. 2,073 Schiff.

### Schwefelsaures Kali-Kadmium.

1)  $(K^2SO^4 + CdSO^4) + 6aq.$

morph dem vorigen.

2)  $(K^2SO^4 + CdSO^4) + 2aq.$

3gliedrig.

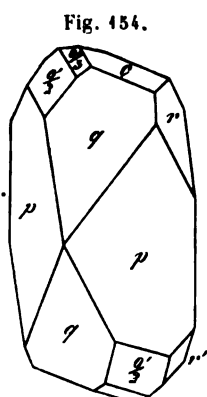
	Beobachtet
$p : p' =$	$101^{\circ} 10'$
$a =$	$132 \ 16$
$c =$	$94 \ 27$
$p' : c =$	$79 \ 54$
$q' : b =$	$132^{\circ} 42'$
$c =$	$125 \ 33$
$p =$	$108 \ 46$
$p' =$	$122 \ 42$

morph dem entsprechenden Seleniat. — Krenner: Pogg. A. 76.

3)  $(2K^2SO^4 + CdSO^4) + 3aq$  (Hauer).

wei- und eingliedrig.  $a : b : c = 0,9873 : 1 : 2,0246$  Krenner.

$\frac{1}{2}, \frac{o'}{3}, p, q, r, r', a, b, c.$



	Berechnet	Beobachtet
$\frac{o'}{2} : \frac{o'}{2} =$	103° 16'	103° 16'
$\frac{o'}{3} : \frac{o'}{3} =$	116 40	
$p : p =$		*92 39
$q : q =$	54 6	
$c =$		*116] 57
$c : r =$	127 30	127 26
$r' =$	103 33	103 29
$p : c =$	100 42	
$q =$		*134 21
$r =$	132 45	
$r' =$	129 56	129 40
$q : r =$	106 8	105 59
$r' =$	96 34	96 29
$\frac{o'}{2} : c =$	117 57	117 54
$p =$	144 24	144 32
$\frac{o'}{3} : c =$	134 39	
$p =$	127 39	
$\frac{o'}{2} =$	166 48	166 49

Fig. 154. — Die  $p$  sind nach der Zone  $pc$  gestreift. Grosse lichte Krystalle. — S. das vorige.

### Schwefelsaures Uranoxyd-Ammoniak. ( $\text{Am}^2\text{SO}_4 + \text{UO}_2 \cdot \text{SO}_4$ )

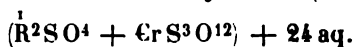
Zwei- und eingliedrig.  $a : b : c = 1,428 : 1 : 1,226$  De la staye.  
 $\alpha = 78^\circ 0'$ .

$p, 2p, r, r', a, c.$	Berechnet	Beobachtet
$p : p =$	74° 10'	
$a =$		*125° 35'
$c =$	96 57	
$2p : 2p =$	38 36	
$a =$	109 48	109 40
$a : c =$	102 0	
$r =$		*137 30
$r' =$	124 38	
$c : r =$		*144 30
$r' =$	134 22	

Ann. Ch. Phys. (3) 5, 54.

### Schwefelsaures Chromoxyd-Ammoniak.

### Schwefelsaures Chromoxyd-Kali (Chromalaun).



Regulär. Oktaeder.

Brechungsverhältnisse. Grailich: S. d. folgende.

Volumgewicht des Kalisalzes 1,856 Joule und Playfair, 1,845 Schiff.

Kub. Ausdehnung von  $0-100^{\circ} = 0,00524$  Joule und Playfair.

Volumgewicht der Lösungen Franz: J. f. pr. Ch. (2) 5, 274.

Thermisches Verhalten beim Lösen. Favre: C. r. 74. 75. Thomson: Ber. d. ch. Ges. 1873, 710.

Absorptionsspectrum, s. Kupfersulfat.

### Schwefelsaures Thonerde-Ammoniak.

**Schwefelsaures Thonerde-Kali (Alaun).**  $(\text{K}^2\text{SO}_4 + \text{Al}_2\text{SO}_4) + 24 \text{ aq.}$

Regulär. Oktaeder. Aus neutralen Lösungen Würfel (kubischer Alaun). Granatoederflächen. Der Pyramidenwürfel  $a : 2a : \infty a$  wurde von Leudant, Kopp und Weber beobachtet. Zeigt keine Tetartoedrie. Wulff: Groth Ztschr. 5, 81.

Einfluss der Lösung auf die Krystallbildung Klocke: Verh. d. naturf. Ges. zu Freiburg Bd. 7. — Aetzfiguren Derselbe: Groth Ztschr. 2, 126. — Weber: Pogg. A. 109, 379. — Hauer: J. f. pr. Ch. 94, 244.

Brechungsverhältnisse. Grailich: Kr. opt. Unters. 137. — Sauber: Pogg. A. 117, 577. Nach Fock ist  $n = 1,4557$ . Groth Ztschr. 4, 594.

Volumgewicht. Kalialaun 1,754 Joule und Playfair, 1,722 Schiff, 1,757 Buignet. Ammoniakalaun 1,622 Schiff, 1,653 Buignet.

Kub. Ausdehnung des Kalialauns von  $0-100^{\circ} = 0,00368$  Joule und Playfair.

Löslichkeit. Kalialaun: 1 Liter bei  $15^{\circ}$  gesättigter Lösung enthält 403,42 grm Salz und hat ein V. G.  $= 1,04877$  Michel und Krafft.

Übersättigte Lösungen Löwel: Ann. Ch. Phys. (3) 43, 405.

Ammoniakalaun. 1 Th. löst sich bei  $17^{\circ},5$  in 11,44 Th. Wasser. Pohl.

Thermische und Volumänderung beim Lösen. Favre und Valson: C. r. 74 und 75. — Thomson: a. a. O.

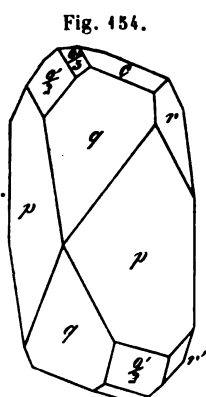
Rubidium- u. Cäsiumalaun. Bunsen: Pogg. A. 113, 351. 370.

Thalliumalaun. Des Cloizeaux, s. Thalliumsulfat.

Nach Fock ist  $n = 1,4888$ . Herrscht er in isomorphen Mischungen mit Kalialaun vor, so ist  $n$  noch grösser. Groth Ztsch. 4, 594.

**Schwefelsaures Cerdioxyd-Ammoniak.**  $(3 \text{ Am}^2\text{SO}_4 + \text{CeS}^2\text{O}_5) + 4 \text{ aq.}$

Zwei- und eingliedrig.  $a : b : c = 0,8144 : 1 : 0,6877$  Schabus.  
 $\alpha = 83^{\circ} 29'.$



	Berechnet	Beobachtet
$\frac{o'}{2} : \frac{o'}{2} =$	$103^{\circ} 16'$	$103^{\circ} 16'$
$\frac{o'}{3} : \frac{o'}{3} =$	$116 \ 40$	
$p : p =$		$*92 \ 39$
$q : q =$	$54 \ 6$	
$c =$		$*116 \ 57$
$c : r =$	$127 \ 30$	$127 \ 26$
$r' =$	$103 \ 33$	$103 \ 29$
$p : c =$	$100 \ 42$	
$q =$		$*134 \ 21$
$r =$	$132 \ 45$	
$r' =$	$129 \ 56$	$129 \ 10$
$q : r =$	$106 \ 8$	$105 \ 59$
$r' =$	$96 \ 34$	$96 \ 29$
$\frac{o'}{2} : c =$	$117 \ 57$	$117 \ 54$
$p =$	$144 \ 24$	$144 \ 32$
$\frac{o'}{3} : c =$	$134 \ 39$	
$p =$	$127 \ 39$	
$\frac{o'}{2} =$	$166 \ 48$	$166 \ 19$

Fig. 154. — Die  $p$  sind nach der Zone  $pc$  gestreift. Grosse luftbedingte Krystalle. — S. das vorige.

**Schwefelsaures Uranoxyd-Ammoniak.**  $(Am^2SO^4 + UO^2 \cdot SO^4) +$

Zwei- und eingliedrig.  $a : b : c = 1,428 : 1 : 1,226$  De la Pr  
staye.

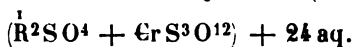
$$o = 78^{\circ} 0'.$$

$p, 2p, r, r', a, c.$	Berechnet	Beobachtet
$p : p =$	$74^{\circ} 10'$	
$a =$		$*125^{\circ} 35'$
$c =$	$96 \ 57$	
$2p : 2p =$	$38 \ 36$	
$a =$	$109 \ 48$	$109 \ 40$
$a : c =$	$102 \ 0$	
$r =$		$*137 \ 30$
$r' =$	$124 \ 38$	
$c : r =$		$*144 \ 30$
$r' =$	$134 \ 22$	

Ann. Ch. Phys. (3) 5, 54.

**Schwefelsaures Chromoxyd-Ammoniak.**

**Schwefelsaures Chromoxyd-Kali** (Chromalaun).



Regulär. Oktaeder.

Verhältnisse. Grailich: S. d. folgende.

Molekulargewicht des Kalisalzes 1,856 Joule und Playfair, 1,845

therm. Ausdehnung von 0—100° = 0,00524 Joule und Playfair.

Molekulargewicht der Lösungen Franz: J. f. pr. Ch. (2) 5, 274.

thermisches Verhalten beim Lösen. Favre: C. r. 74. 75. Thomson: Ber. d. ch. Ges. 1873, 710.

Absorptionsspectrum, s. Kupfersulfat.

#### Schwefelsaures Thonerde-Ammoniak.

**Schwefelsaures Thonerde-Kali** (Alaun).  $(R^2SO^4 + AlS^3O^{12}) + 24 aq.$   
 hexagonal. Oktaeder. Aus neutralen Lösungen Würfel (kubischer  
 Granatoederflächen. Der Pyramidenwürfel  $a : 2a : \infty a$  wurde von  
 Schenk, Kopp und Weber beobachtet. Zeigt keine Tetartoedrie.  
 Schenk: Groth Ztschr. 5, 81.

Einfluss der Lösung auf die Krystallbildung Klocke: Verh. d. naturf.

in Freiburg Bd. 7. — Aetzfiguren Derselbe: Groth Ztschr. 2, 126. —

Schenk: Pogg. A. 109, 379. — Hauer: J. f. pr. Ch. 94, 244.

Verhältnisse. Grailich: Kr. opt. Unters. 137. —

Schenk: Pogg. A. 117, 577. Nach Fock ist  $n = 1,4557$ . Groth Ztschr.

Molekulargewicht. Kalialaun 1,751 Joule und Playfair, 1,722

Schenk, 1,757 Buignet. Ammoniakalaun 1,622 Schiff, 1,653 Buignet.

therm. Ausdehnung des Kalialauns von 0—100° = 0,00368 Joule  
 und Playfair.

Löslichkeit. Kalialaun: 1 Liter bei 15° gesättigter Lösung enthält  
 100 grm Salz und hat ein V. G. = 1,04877 Michel und Krafft.

gesättigte Lösungen Löwel: Ann. Ch. Phys. (3) 43, 405.

Ammoniakalaun. 1 Th. löst sich bei 17°,5 in 44,44 Th. Wasser.

thermische und Volumänderung beim Lösen. Favre und Valson:  
 4 und 75. — Thomson: a. a. O.

Ammonium- u. Cäsiumalaun. Bunsen: Pogg. A. 113, 351. 370.

Bariumalaun. Des Cloizeaux, s. Thalliumsulfat.

Nach Fock ist  $n = 1,4888$ . Herrscht er in isomorphen Mischungen  
 vor, so ist  $n$  noch grösser. Groth Ztsch. 4, 594.

**Schwefelsaures Cerdioxyd-Ammoniak.**  $(3 Am^2SO^4 + CeS^2O^8) + 4 aq.$

wei- und eingliedrig.  $a : b : c = 0,8144 : 1 : 0,6877$  Schabus.  
 $\alpha = 83^\circ 29'.$

$o, o', q, a, b, c.$

	Berechnet	Beobachtet	
		Schabus	Rammelsberg
$o : o = 127^{\circ} 20'$			
$o' : o' =$		*122° 2'	122° 5'
$q : q = 111 \ 18$			
$c = 145 \ 39$			146 \ 17
$b = 124 \ 24$			124 \ 30
$a = 95 \ 22$			
$a : c =$		*96 \ 34	96 \ 30
$o : a = 128 \ 28$			128 \ 30
$b = 116 \ 20$			116 \ 2
$c = 135 \ 22$		135 \ 25	136 \ 0
$q = 146 \ 54$			147 \ 26
$o' : a = 121 \ 14$			121 \ 30
$b = 118 \ 59$			118 \ 30
$c =$		*129 \ 53	
$q = 143 \ 24$			144 \ 5

Zwillinge nach  $r'$ .

Die Flächen  $o, o', c$  sind glatt,  $a$  und  $b$  öfter gekrümmt. Sie kommen spaltbar nach  $b$ . Gelbroth, durchsichtig, trichromatisch. — bus: S. 403.

**Schwefels. Cerdioxyd-Kali.**  $(2K^2SO^4 + CeS^2O^8) + 2aq.$  Mari

Zwei- und eingliedrig.  $a : b : c = 1,2453 : 1 : 2,094$  Mari  
 $o = 79^{\circ} 20'.$

$o, o', \frac{o}{3}, \frac{q}{2}, \frac{r'}{2}, a, b, c.$

	Berechnet	Beobachtet
$o : o =$		*92° 23'
$o' : o' = 83^{\circ} 8'$		83 \ 4
$\frac{o}{3} : \frac{o}{3} = 122 \ 10$		
$\frac{q}{3} : \frac{q}{3} = 88 \ 22$		
$c = 134 \ 11$		134 \ 0
$b = 135 \ 49$		
$a : c = 100 \ 40$		100 \ 44
$\frac{r'}{2} = 135 \ 40$		135 \ 40
$c : \frac{r'}{2} = 123 \ 40$		
$o : a = 129 \ 56$		129 \ 50
$b = 133 \ 48$		
$c =$		*116 \ 20
$o' : a = 124 \ 0$		124 \ 6
$b = 138 \ 26$		138 \ 30
$c =$		*104 \ 20



	Berechnet	Beobachtet
$\frac{o}{3} : a$	$= 122^{\circ} 22'$	
$b$	$= 118 \ 55$	
$c$	$= 141 \ 44$	$= 141^{\circ} 30'$

Kleine gelbe, sehr gut ausgebildete Krystalle, von theils oktaedrischem Habitus (Combination  $o, o', \frac{r'}{2}, a, c$ ). theils tafelartig nach  $c$  (Combination  $\frac{q}{2}, b, c$ , öfter mit  $\frac{o}{3}$ ).

Die Formen des vorigen und dieses Salzes scheinen nahe verwandt, denn die  $a$  sind  $= 2 : 3$ , die  $c = 1 : 3$ . Dennoch weicht ihre Zusammensetzung ab, und meine Analysen des Ammoniaksalzes lassen keine andere Deutung zu.

**Schwefelsaures Lanthan-Ammoniak.**  $(Am^2SO^4 + La^2S^3O^{12}) + 8 aq.$

Zwei- und eingliedrig.

Sehr kleine Krystalle, Combinationen zweier Prismen  $p$  und  $p^2$  und der Flächen  $b, q$  und  $\frac{q}{2}$ .

	Beobachtet
$p : b = 129-132^{\circ}$	$\frac{q}{2} : b = 94-96^{\circ}$
$p^2 : b = 112-114$	$p : c = 96$
$q : b = 108-110$	$p : q = 108$ Marignac.

### Verbindungen von Sulfaten mit anderen Salzen.

**Schwefelsaures Natron-Fluornatrium.**  $NaFl + Na^2SO^4$ .

Sechsgliedrig (?). Dünne sechsseitige Blättchen, anscheinend Combinationen dreier Rhomboeder mit der Endfläche.

$$\begin{aligned} c : r &= 116-116,5^{\circ} \\ \frac{r'}{2} &= 133-135 \\ 2r' &= 103-105 \end{aligned}$$

Die Endfläche ist gekrümmt, die  $r$  sind horizontal gestreift. — Marignac: Ann. Min. (5) 12.

**Schwefelsaure Magnesia-Chlorkalium.**  $(KCl + 2MgSO^4) + 3 aq$  (Kainit).

Zwei- und eingliedrig.  $a : b : c = 1,218 : 1 : 0,586$  Gröth.  
 $o = 85^{\circ} 5'.$

$$\begin{aligned} o, o', p, r^2, a, b, c. \\ x = a' : \frac{1}{2} b : c. \end{aligned}$$

	Berechnet	Beobachtet
$o \angle o' =$	$125^{\circ} 59'$	$126^{\circ} 12'$
$o' : o' =$	$122 \ 49$	$122 \ 49$
$o : o' =$	$134 \ 57,5$	$135 \ 0$
$o : o' =$		$*74 \ 13$
$p : p =$	$78 \ 57$	
$c =$	$93 \ 7$	
$a : c =$	$94 \ 55$	$94 \ 59$
$r^2 =$	$136 \ 26,5$	
$c : r^2 =$	$138 \ 28$	$138 \ 16$
$o : a =$		$*116 \ 8$
$b =$	$117 \ 0,4$	
$c =$	$144 \ 2$	$144 \ 3$
$o' : a =$		$*108 \ 54,5$
$b =$	$118 \ 35$	$118 \ 35$
$c =$	$144 \ 45$	$144 \ 44$
$x : a =$	$101 \ 6,4$	
$b =$	$148 \ 33$	$148 \ 36$
$o' =$	$150 \ 2,5$	$150$ ungef.

Fig. 155.

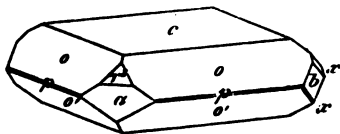


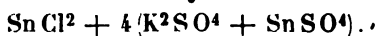
Fig. 155. — Die Krystalle die in Stassfurt, vielleicht als Bildung, vorkommen, sind klein nach  $c$ . Ihre Flächen sind zu eben, besonders  $c$ ;  $p$  ist selten schmal.

Spaltbar sehr vollkommen nach  $a$ , weniger nach  $p$  und  $b$ .

Die optische Axenebene ist  $ac$ .

Doppelbrechung nicht stark, negativ. — Groth: Pogg. A.

### Schwefelsaures Zinnoxidul-Kali-Zinnchlorür.



Sechsgliedrig.  $a : c = 1 : 0,7485$  Marignac.

$d, p.$	Berechnet	Beobachtet
$d \begin{cases} 2A = \\ 2C = \end{cases}$	$141^{\circ} 50'$	$142^{\circ} \ 0'$
$d : p =$	$130 \ 50$	$*81 \ 40$
		$130 \ 50$

Kleine, ziemlich glänzende Krystalle, welche aus Zinncl schwefelsaurem Kali direct entstehen.

### Schwefelsaures und salpetersaures Natron. $2(\text{NaNO}_3 + \text{Na}_2\text{S}$

Zweigliedrig.  $a : b : c = 0,74 : 1 : 0,685$  Marignac.

$p, p^3, q, b, c.$	Berechnet	Beobachtet
$p : p =$	$107^{\circ} \ 0'$	$106^{\circ} \ 54'$
$b =$		$*126 \ 30$

	Berechnet	Beobachtet
$p^3 : p^3 =$	$152^\circ 18'$	$152^\circ 0'$
$b =$	103 51	104 0
$q : q =$	111 10	
$b =$		$124 25$
$p =$	109 39	109 30
$p^3 =$	97 47	97 30

Dünne Tafeln oder Blättchen nach  $b$ .

## Schwefligsaure Salze.

(Sulfite.)

### Schwefligsaures Ammoniak.

1) Normales.  $\text{Am}^2\text{SO}^3 + \text{aq}$ .

Zwei- und eingliedrig.  $a : b : c = 1,5386 : 1 : 0,7976$  Rammels-  
erg.  $\alpha = 82^\circ 27'$ .

$\alpha', p, p^2, q, 2r', a, c$ .

	Berechnet	Beobachtet	
		Rammelsberg	Marignac
$\alpha' : \alpha' =$	$106^\circ 48'$		$107^\circ 45'$
$p : p =$		$66^\circ 30'$	67 0
$a =$	123 15		123 35
$c =$		$94 8$	94 24
$p^2 : p^2 =$	105 20		106 0
$c =$	96 0		96 22
$p =$	160 35	160 20	160 30
$q : q =$		103 20	104 20
$c =$	144 40	141 22	142 12
$a : c =$	97 33	97 22	97 50
$c : 2r' =$	130 3	130 20	130 20
$\alpha' : c =$	134 40	134 48	135 20

Fig. 156. — Die Flächen sind  
kalt, doch nicht recht glänzend.

Anm. Ich hatte dieses Salz für  
zweifachsaures mit 5aq gehalten,  
welchen Irrthum Marignac berich-  
tigt hat. — Marignac: Ann. Min.  
[5] 12.

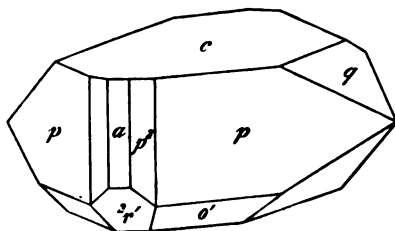


Fig. 156.

2) Saures.  $\text{Am}^2 \text{S}^2 \text{O}^5$  (?).

Marignac beobachtete ziemlich grosse, scheinbar zweigliedrig doch zerfliessliche Krystalle, an denen  $p : b = 114-116^\circ$ ,  $p : q = 111-113^\circ$ . Sehr vollkommen spaltbar nach  $b$ .

## Schwefligsaures Kali, saures.

1)  $\text{K}^2 \text{S}^2 \text{O}^5$ .

Zwei- und eingliedrig.  $a : b : c = 1,4628 : 1 : 1,2227$  Ma  
 $\alpha = 48^\circ 15'$ .

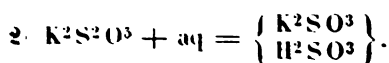
$\frac{\sigma'}{2}$ ,  $p$ ,  $p^2$ ,  $\frac{r}{2}$ ,  $r'$ ,  $2r'$ ,  $c$ .

$n = \frac{1}{2} a : b : c$ .  $m' = \frac{1}{2} a' : b : c$

	Berechnet	Beobachtet
$p : p =$		$85^\circ 0'$
$c =$		$116 44$
$p^2 : p^2 =$	$122^\circ 46'$	
$p =$	$161 7$	$161 30$
$c =$	$125 46$	$125 50$
$c : \frac{r}{2} =$	$166 17$	$166-168^\circ$
$r' =$	$125 25$	$125^\circ 30'$
$2r' =$	$95 11$	$95 48$
$p : 2r' =$	$122 52$	$123 10$
$p^2 : r' =$	$101 15$	$101 5$
$\frac{\sigma'}{2} : \frac{\sigma'}{2} =$	$119 44$	
$n : n =$	$139 13$	
$c =$	$113 19$	$113$
$m' : m' =$	$130 41$	$130 40$
$c =$	$107 50$	$107 49$
$r' =$	$121 19$	$121 10$
$2r' =$	$151 37$	$151 40$

Tafelartig nach  $c$ . Stets Zwillinge nach  $c$ . Leicht spaltbar 1

Setzt man  $2r' = a$ ,  $p^2 = \sigma'$ , so wird  $r' = r \frac{3}{2}$ ,  $\frac{r}{2} = \frac{r'}{3}$ ,  $p =$   
 etc. und  $a : b : c = 0,731 : 1 : 0,745$   
 $\alpha = 84^\circ 12'$ .



Zwei- und eingliedrig.  $a : b : c = 0,927 : 1 : 1,292$  Mari  
 $\alpha = 85^\circ 14'$ .

$s' = a' : \frac{1}{2} b : c = p, r, \frac{r}{3}, \frac{r'}{3}, a, c$ .

	Berechnet	Beobachtet
$p : p =$		$^{\circ}94^{\circ} 30'$
$c =$		$^{\circ}93 30$
$a : c =$	$94^{\circ} 46'$	
$r =$	$158 41$	
$\frac{r}{5} =$	$120 5$	
$\frac{r'}{3} =$	$126 37$	
$c : r =$	$116 5$	$116 0$
$\frac{r}{5} =$	$154 41$	$154$
$\frac{r'}{3} =$	$138 37$	
$p : r =$		$^{\circ}133 10$
$s' : s' =$	$59 4$	
$a =$	$117 3$	
$c =$	$98 43$	
$p =$	$167 47$	

Prismatisch (nadelförmig) nach der Verticalzone mit starker Streifung.

### Schwefligsaures Natron.

Normales.  $\text{Na}^2\text{SO}^3 + 6\text{aq}^*)$ .

Zwei- und eingliedrig.  $a : b : c = 1,048 : 1 : 0,765$  Rammelsberg.

$o = 86^{\circ} 24'$ .

$o, o', \frac{3}{2}p, r, 2r', a, c.$

$r' = 2a' : b : c.$

$u = \frac{2}{3}a : b : c.$

	Berechnet	Beobachtet	
		Rammelsberg	Marignac
$o : o =$	$73^{\circ} 6'$		
$o' : o' =$	$70 44$		
$\frac{3}{2}p : \frac{3}{2}p =$		$^{\circ}65^{\circ} 0'$	$65^{\circ} 0'$
$a =$	$122 30$	$122 30$	$122 30$
$c =$	$92 28$		$92 0$
$a : c =$		$^{\circ}93 36$	$93 36$
$r =$	$128 28$	$128 46$	
$2r' =$	$144 8$		
$c : r =$		$^{\circ}145 8$	$144 40$
$2r' =$	$122 16$	$121 54$	$121 16$
$p : r =$	$109 32$		$109 45$
$2r' =$	$115 49$		$115 55$
$o : c =$	$119 15$	$118 50$	
$o' : c =$	$117 40$	$117 48$	
$v' : v' =$	$62 28$		

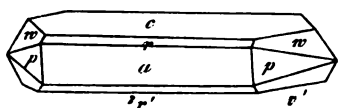
\*. Nach meinen späteren Versuchen. Früher hatte ich 7 aq angenommen, wie dies auch von Marignac geschehen ist.

	Berechnet	Beobachtet	
		Rammelsberg	Marignac
$v' : a =$	$98^{\circ} 43'$		$98^{\circ} 55'$
$c =$	119 5		118 40
$r =$	106 36		106 50
$w : w =$	102 20		
$a =$	133 44	$133^{\circ} 50'$	
$c =$	114 0	113 48	

Fig. 157. — Prismatisch nach der Verticalzone. Spaltbar nach  $c$ , wenig nach  $a$ . Verwittert rasch.

Nach Des Cloizeaux ist die Ebene der optischen Axen parallel der Axenebene  $ab$ , die Mittellinie senkrecht zur Axe  $c$ . Die Axen sind sehr genähert,  $\varrho < v$ ,  $2E = 38^{\circ}$  etc.

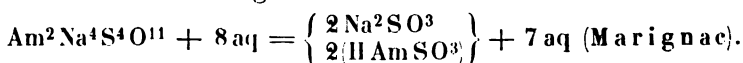
Fig. 157.



Frische Krystalle zeigen ebenfalls beträchtliche Dispersion, ihre Axen bilden jedoch einen noch kleineren Winkel, und ihre Ebene ist für weisses und rothes Li

$= ac$ , die Mittellinie nahe  $22^{\circ}$  gegen eine Normale auf Axe  $c$  und  $108^{\circ}$  gegen eine solche auf Axe  $a$ ; wogegen die Ebene der violetten Strahl senkrecht zu jener und etwa  $22^{\circ}$  mit einer Normalen auf Axe  $c$  bildet.  $40^{\circ}$  haben die Krystalle nur eine Axe für die Strahlen zwischen Grün und Blau, folglich  $\varrho > v$ .

#### Schwefligsaures Ammoniak-Natron.



Scheinbar ein- und zweigliedrige Krystalle, an denen Marignac fand

$p : p =$	$97^{\circ} 52'$	$p : 2r' =$	$137^{\circ} 46'$
$c =$	130 50	$c : r' =$	116 10
$r' =$	127 40	$2r' =$	140

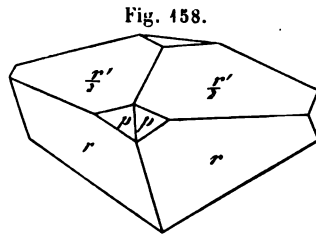
#### Schwefligsaure Magnesia. $\text{MgSO}^3 + 3\text{aq}$ .

Sechsgliedrig. Hemimorph.  $a : c = 1 : 1,03$  Werther.

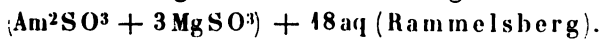
$r, \frac{r'}{2}, p, c$ .

	Berechnet	Beobachtet	
		Werther	Rammelsberg
$2A : r =$		$96^{\circ} 58'$	$97^{\circ} 8' (97^{\circ} 49' \text{ Des Cloizeaux})$
$\frac{r'}{2} =$	$127^{\circ} 28'$		
$r : \frac{r'}{2} =$	81 13		81 6 (Seitenkante)
$\frac{r'}{2} : c =$	149 16	148 43	149 27

Fig. 158. — Beide Rhomboeder sind nur zur Hälfte vorhanden, und die Endfläche findet sich bloß an  $\frac{r'}{2}$ , dem oberen (freien) Ende. Des Cloiseaux beobachtete sternförmige Zwillinge. — Des Cloiseaux: Nouv. Réch. — Werther: J. f. r. Chem. 35, 52.



### Schwefligsaure Ammoniak-Magnesia.



Zwei- und eingliedrig.  $a:b:c = 1,961:1:0,8654$  Marignac.  
 $\alpha = 54^\circ 42'.$

$\alpha', p, 3p, \frac{3}{2}r', \frac{1}{2}r', a, c.$

	Berechnet	Beobachtet	
		Marignac	Rammelsberg
$p:p =$		$64^\circ 0'$	
$a = 122^\circ 0'$		122 50	122° 45'
$c =$		107 50	
$3p:3p = 23 32$		23 40	
$a = 101 46$		101 50	
$a:c = 125 48$		125 20	124 22
$2r' = 108 59$		108 50	
$\frac{1}{2}r' = 94 9$		94 0	
$\alpha':\alpha' = 98 26$		98 10	
$a = 96 57$		96 52	
$c =$		132 50	134 20
$p = 119 20$			119 40

Gewöhnlich herrscht ein  $p$  vor. Gestreift in der Verticalzone nach der  $\alpha$ -Achse. Spaltbar nach  $a$ .

Bei der angenommenen Stellung fällt die Fläche  $\frac{3}{2}r'$  nach vorn. Wenn man  $\frac{1}{2}r' = c$  und  $c = r'$  setzt, also  $p:p = 64^\circ$ ,  $a:c = 90^\circ 44'$ ,  $a:r' = 125^\circ 18'$  ist, so wird  $a:b:c = 1,60:1:1,453$  und  $\alpha = 89^\circ 16'$ . Dann ist  $\frac{1}{2}r' = \frac{r'}{2}$  und  $\alpha' = 4a':\frac{1}{2}b:c$ .

### Schwefligsaures Zink. $2\text{ZnSO}_3 + 5\text{aq}.$

Zwei- und eingliedrig (?).  $a:b:c = 0,8358:1:0,8211$  Marignac.  
 $\alpha = 86^\circ 20'.$

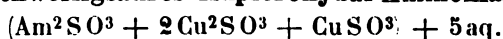
$\alpha, p, q, r, a, b, c.$	Berechnet	Beobachtet
$p:p = 100^\circ 20'$		
$p:a =$		140° 10'
$c = 92 50$		92 50
$a:c =$		93 40
$r = 136 21$		

	Berechnet	Beobachtet
$r : c =$	$137^{\circ} 49'$	$137^{\circ} 40'$
$p =$	$123 \ 45$	$123 \ 40$
$q : q =$	$101 \ 20$	
$c =$		$140 \ 40$
$a =$	$92 \ 50$	$92 \ 45$
$p =$	$116 \ 22$	$116 \ 42$
$r =$	$124 \ 39$	$124 \ 30$
$o : o =$	$120 \ 56$	
$a =$	$129 \ 4$	$128 \ 30$
$b =$	$119 \ 32$	$119 \ 40$
$c =$	$129 \ 45$	$129 \ 40$
$p =$	$143 \ 5$	
$q =$	$143 \ 49$	
$r =$	$150 \ 28$	

Die kleinen Krystalle sind nach  $c$  tafelartig und in der Richtung Verticalzone verlängert. Gewöhnlich bestehen sie nur aus  $a$ ,  $c$ ,  $p$  Flächen  $p$  und  $q$  finden sich fast immer nur an einer Seite der Ax-Zwillinge dieser Art; Zwillingfläche =  $b$ .

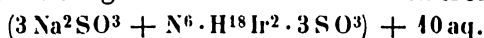
Marignac lässt es zweifelhaft, ob  $a$  und  $c$  vielleicht einem 7-drigen Prisma angehören. — Marignac: Ann. Min. (5) 12.

#### Schwefligsaures Kupferoxydul-Ammoniak.



Quadratische Prismen. Des Cloizeaux.

#### Schwefligsaures Iridammonium-Natron.



Rhomboeder;  $2A = 66^{\circ} 30'$ . Zuweilen die Endfläche. Krystalle. — Wulff (Birnbäum): Ber. d. ch. Ges. 1879, 1544.

## Unterschwefelsaure Salze.

(Hyposulfate.)

#### Unterschwefelsaures Kali. $\text{K}^2\text{S}^2\text{O}^6$ .

Sechsgliedrig.  $a : c = 1 : 0,6467$  Weiss.

$d, p, a, c.$	Berechnet	Beobachtet	
		Weiss	Heeren
$d \left\{ \begin{array}{l} 2A = \\ 2C = \end{array} \right.$	$\begin{array}{l} 145^{\circ} 42' \\ 73 \ 30 \end{array}$	$145^{\circ} 46'$	$145^{\circ} 43'$
$d : c =$		$143 \ 45$	$143 \ 20$
$p =$	$126 \ 45$		$126 \ 39$
$p : a =$	$150 \ 0$		$149 \ 57$
			$(150 \ 8)$





Prismatisch nach *p*.

Heeren: Pogg. A. 7, 72. — Weiss: Wien. Ak. Ber. 37, 374.

Optisch einaxig, positiv. Circularpolarisation; für Platten von 4 mm Dicke ist die Drehung für die Fraunhofer'schen Linien:

C	D	E	F
6°, 182	8, 385	10, 54	12, 33

Pape: Pogg. A. 139, 324.

Bichat, welcher angiebt, hemiedrische Formen beobachtet zu haben, fand die Grösse der Drehung = 40, wenn Quarz = 100 ist. Nach Topsøe sind die Brechungsexponenten für

	C	D	F
$o =$	1,4532	1,4550	1,4595
$e =$	1,5119	1,5153	1,5239

Bichat: C. r. 77, 1189. — Topsøe: Pogg. A. Ergb. 6, 499.

#### Unterschwefelsaures Rubidium. $\text{Rb}^2\text{S}^2\text{O}^6$ .

Sechsgliedrig.  $a : c = 1 : 0,6307$  Piccard.

$d, p, a, c$ .

$n = a : \frac{1}{2}a : a : c$ .	Berechnet	Beobachtet
$d \left\{ \begin{array}{l} 2A = \\ 2C = 72^\circ 4' \end{array} \right.$		*145° 47'
$n \left\{ \begin{array}{l} 2A = 133 52 \\ 2C = 103 12 \end{array} \right.$		
$d : c =$	143 56	143 57
$n =$	126 4	126 6
$n : a =$	141 36	141 38
$c =$	128 24	128 23

J. f. pr. Ch. 86, 456.

Die optischen Constanten bestimmte Topsøe. S. Kalisalz.

#### Unterschwefelsaures Lithion. $\text{Li}^2\text{S}^2\text{O}^6 + 2\text{aq}$ .

Zweigliedrig.  $a : b : c = 0,9657 : 1 : 0,578$  Rammelsberg.

$o, p, p^3, r, a, b$ .

$s = a : \frac{1}{2}b : c$ .	Berechnet	Beobachtet
$o \left\{ \begin{array}{l} 2A = 127^\circ 16' \\ 2B = 125 12 \\ 2C = 79 30 \end{array} \right.$		129° 16' 126 6
$s \left\{ \begin{array}{l} 2A = 90 28 \\ 2B = 137 44 \\ 2C = 104 56 \end{array} \right.$		90 0
$p : p =$	92 0	94 50
$a =$	136 0	136 0
$b =$		*134 0
$p^3 : p^3 =$	144 18	

	Berechnet	Beobachtet
$p^3 : p$	$= 153^\circ 51'$	$153^\circ 25'$
$r : r$	$= 118 \ 12$	$118 \ 20$
$a$	$= 120 \ 54$	$120 \ 33$
$o : a$	$= 117 \ 24$	$117 \ 25$
$b$	$= 116 \ 22$	$116 \ 25$
$r$	$=$	$*153 \ 38$
$p$	$= 129 \ 45$	$129 \ 52$
$s : a$	$= 111 \ 23$	
$b$	$= 134 \ 46$	$134 \ 55$
$r$	$= 135 \ 14$	$135 \ 25$
$o$	$= 161 \ 36$	$161 \ 37$
$p : r$	$= 111 \ 41$	$111 \ 46$

Farblose durchsichtige oft sehr grosse Krystalle, prismatisch nach Zieht Feuchtigkeit an. Isomorph dem Natronsalz. — Rammelsbe Pogg. A. 128, 320 (Anal. 66, 84).

Optisches. Die Brechungsexponenten sind für

	C	D	F
$\alpha$	$= 1,5462$	$1,5487$	$1,5548$
$\beta$	$= 763$	$788$	$887$
$\gamma$	$= 565$	$602$	$680$

Die Ebene der optischen Axen ist  $bc$ , die Mittellinie  $= c$ .

Winkel der optischen Axen:

der wahre	$= 78^\circ 16'$
- scheinbare	$= 159 \ 49$

Topsöe: Pogg. A. Ergbd. 6, 499.

#### Unterschwefelsaures Natron. $\text{Na}_2\text{S}_2\text{O}_6 + 2\text{aq.}$

Zweiggliedrig.  $a : b : c = 0,989 : 1 : 0,594$  Heeren.

$o, p, p^2, r, a.$

$s = a : \frac{1}{3}b : c.$

	Berechnet	Beobachtet			
		Heeren	Des Cloiz.	Rammelsb.	Grailich Bak.
$o \left\{ \begin{array}{l} 2A \\ 2B \\ 2C \end{array} \right.$	$\begin{array}{l} = 126^\circ 2' \\ = 125 \ 22 \\ = 80 \ 24 \end{array}$	$\begin{array}{l} \\ 125^\circ 18' \\ \end{array}$	$\begin{array}{l} 126^\circ 10' \\ \\ \end{array}$	$\begin{array}{l} 126^\circ 15' \\ 125 \ 0 \\ 80 \ 30 \end{array}$	$\begin{array}{l} 125^\circ \\ 125 \\ \end{array}$
$s \left\{ \begin{array}{l} 2A \\ 2B \\ 2C \end{array} \right.$	$\begin{array}{l} = 88 \ 56 \\ = 137 \ 42 \\ = 106 \ 42 \end{array}$		$\begin{array}{l} 88 \ 30 \\ 138 \ 40 \end{array}$	$\begin{array}{l} 88 \ 30 \\ \end{array}$	$\begin{array}{l} 88 \\ 137 \end{array}$
$p : p$	$=$	$90 \ 38$	$90 \ 21$	$90 \ 25$	$90$
$a$	$= 135 \ 19$	$135 \ 12$	$135 \ 8$	$135 \ 0$	$135^\circ 15'$
$p^2 : p^2$	$= 127 \ 22$			$126 \ 45$	
$a$	$= 153 \ 44$			$153 \ 45$	
$p$	$= 161 \ 38$			$161 \ 40$	
$r : r$	$=$	$*118 \ 0$		$118 \ 30$	$117$

	Berechnet		Beobachtet			
			Heeren	Des Cloiz.	Rammelsb.	Grailich
$r : a$	$= 121^{\circ} 0'$		$121^{\circ} 6'$	$121^{\circ} 3'$	$121^{\circ} 20'$	$121^{\circ} 11'$
$o : p$	$= 130 12$		$130 9$	$130 29$	$130 15$	$130 7$
$r$	$= 153 4$		$152 54$	$153 40$	$153 0$	$153 0$
$s : r$	$= 134 28$			$133 48$	$134 30$	
$o$	$= 164 27$		$164 23$	$160 41$	$161 30$	

Fig. 159. — Prismatisch nach  $p$ . —  
Sehr vollkommen spaltbar nach  $p$ .

Heeren: Pogg. A. 7, 76. — Des  
Cloizeaux: Nouv. Réch. — Grailich:  
Kryst.-opt. Unters.

Doppelbrechung ziemlich stark. Ebene  
der optischen Axen  $= ab$ , spitze Mittellinie  
 $= a$ . Scheinbarer Axenwinkel

	Roth	Blau
in Oel	$74^{\circ} 49'$	$77^{\circ} 23'$
- Luft	$126 38$	$134 40$

Dispersion der Axen ziemlich gross,  $\rho < v$ .

	für Roth	Gelb	Blau
Mittlere Brechungsexponenten	1,487	1,490	1,495
Kleinste	-	84	87

Diamagnetisch. Die Axe der stärksten Action  $=$  Axe  $b$ .

Des Cloizeaux: Nouv. Réch. — Vgl. Grailich und v. Lang:  
Wien. Ak. Ber. 27 und 37. — Baker: Chem. News 1877, 203. Novbr.

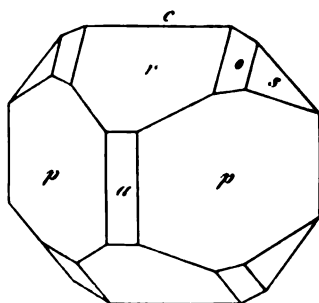
### Unterschwefelsaures Silber. $\text{Ag}_2\text{S}^2\text{O}^6 + 2\text{aq.}$

Zweigliedrig.  $a : b : c = 0,985 : 4 : 0,58$  Heeren.

$o, s, p, r, a, b$ .

	Berechnet		Beobachtet	
			Heeren	Baker
$o$	$2A$	$= 126^{\circ} 54'$	$126^{\circ} 52'$	$126^{\circ} 51'$
	$2B$	$= 125 51$	$126 0$	$125 55$
	$2C$	$= 79 10$		$79 8$
$s$	$2A$	$= 90 2$		$90 2$
	$2B$	$= 137 52$		
	$2C$	$= 104 56$		$104 52$
$p$	$p$	$= 90 52$		$90 38$
	$b$	$=$	$134 34$	
$r$	$r$	$= 148 54$		$148 59$
	$p$	$= 144 44$		
$o$	$p$	$=$	$129 35$	
	$r$	$= 153 27$	$153 30$	
	$s$	$= 164 34$	$161 36$	

Fig. 159.



Prismatisch nach  $p; s$  untergeordnet. — Isomorph dem Lithionatsalz. Heeren: Pogg. A. 7, 191. — Baker: S. Natrons. Optisches. Topsöe: s. Lithionsalz.

Kraut stellte eine isomorphe Mischung gleicher Mol. Nat Silbersalz dar. Ann. Ch. Pharm. 118, 95.

### Unterschwefelsaurer Baryt.

1)  $\text{BaS}^2\text{O}^6 + 2\text{aq.}$

Zwei- und eingliedrig.  $a : b : c = 0.9338 : 1 : 1.313$  Lang  
 $\alpha = 88^\circ 50'$ .

$o, o', 2o', p, 2p, q, q^2, 2r', a, b, c.$

$n = a : \frac{1}{2}b : c; \quad s = \frac{1}{4}a : b : c;$

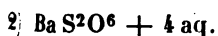
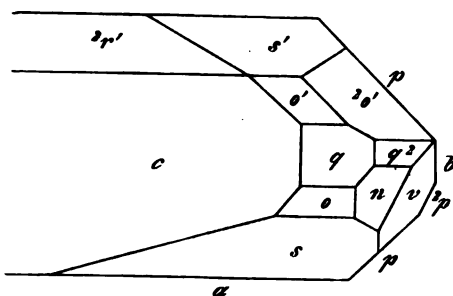
$v = \frac{1}{2}a : \frac{1}{4}b : c; \quad s' = \frac{1}{4}a' : b : c.$

Berechnet	Lang	Beobachtet	
		Heeren	Rammelsberg
$o : o = 104^\circ 24'$			
$o' : o' = 106 \quad 34$			
$2o' : 2o' = 96 \quad 56$			
$p : p = 93 \quad 56$			
$a = 136 \quad 58$		$137^\circ 42'$	137
$c = 91 \quad 0$			
$q : q = 74 \quad 36$			
$c =$	$127^\circ 18$	$127 \quad 32$	
$q^2 : q^2 = 41 \quad 42$			
$b = 159 \quad 9$	$160 \quad 30$		
$a : c =$	$91 \quad 10$		91
$2r' = 160 \quad 18$			
$c : 2r' =$	$108 \quad 32$	$108 \quad 39$	
$o : a = 130 \quad 51$		$130 \quad 39$	130
$c = 116 \quad 8$	$116 \quad 40$		
$o' : a = 130 \quad 2$			
$c = 118 \quad 50$	$118 \quad 30$		
$2o' : b = 131 \quad 32$	$132 \quad 0$		
$c = 103 \quad 46$		$103 \quad 42$	
$2p : 2p = 56 \quad 20$			
$b = 151 \quad 50$	$154 \quad 15$		
$n : n = 66 \quad 4$			
$a = 117 \quad 4$		$116 \quad 45$	117
$b = 146 \quad 58$			146
$c = 108 \quad 3$		$108 \quad 15$	107
$v : v = 58 \quad 54$			
$b = 150 \quad 33$	$150 \quad 43$		
$s : s = 154 \quad 12$			
$s' : s' = 154 \quad 2$			

\* Senarmont.

Fig. 160. — Heeren: a. a. O. — Lang: Wien. Ak. Ber. 45. — Ebene der optischen Axen  $ac$ . — S. Brio: Wien. Ak. Ber. 60 (Pogg. A. 130, 643).

Fig. 160.



Zwei- und eingliedrig.  $a:b$ :

$c = 1,2215:1:1,4272$  Marign.

$\alpha = 85^\circ 44'$ .

$\alpha, \alpha', \frac{\alpha'}{2}, p, q, r, a, c$ .

	Berechnet	Beobachtet	
		Marignac	Heeren Walchner
$\alpha : \alpha = 102^\circ 54'$		102° 54'	
$\alpha' : \alpha' = 98 \ 44$		98 46	
$\alpha : \alpha' = 116 \ 59$		117 14	
$\alpha : \alpha' = 110 \ 58$			
$\frac{\alpha'}{2} : \frac{\alpha'}{2} = 124 \ 34$		124 34	
$p : p =$		*78 46	78° 0' 78° 30'
$c = 92 \ 42$		92 43	
$q : q = 83 \ 18$			
$a : c =$		*94 16	
$r : c =$		*139 16	
$\alpha : c = 126 \ 21$		126 20	
$\alpha' : c = 122 \ 44$		122 44	
$p = 144 \ 37$			145 0 145 0
$\frac{\alpha'}{2} : c = 143 \ 3$		143 5	

Spaltbar nach  $p$ . Verwitternd. — Walchner: Schwgg. J. 47, 245.

Volumgewicht: 3,058 bei  $24^\circ$ . Clarke.

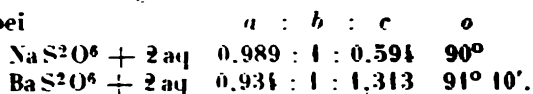
### Unterschwefelsaures Baryt-Natron.

Schiff erhielt  $(\text{Na}^2\text{S}^2\text{O}^6 + \text{Ba S}^2\text{O}^6) + 3 \text{ aq}$ , beschrieb jedoch die Form desselben nicht. Ann. Ch. Ph. 105, 240.

Kraut beschrieb ein Salz  $(\text{Na}^2\text{S}^2\text{O}^6 + \text{Ba S}^2\text{O}^6) + 4 \text{ aq}$  in nicht messbaren Krystallen. Ebend. 118, 95.

Bei Wiederholung dieser Versuche erhielt ich Krystalle von der Form des Natronsalzes, in denen  $\text{Ba} : \text{Na} = 1 : 12, 1 : 3, 4 : 5$  At. — In Krystallen des zweiten Anschusses von gleicher Form fanden sich beide Elemente  $= 1 : 10, 1 : 60$ , einzelne Krystalle erwiesen sich hier und aus dem dritten Anschuss als reines Natronsalz. Mithin bilden beide Salze in der

That isomorphe Mischungen, welche die Form des Natronsalzes men. Nun ist bei



Ihre Mischungen beweisen

- 1 dass sie isomorph sind.
- 2 dass die Verschiedenheit des Systems kein Grund ist, sol von der Isomorphie auszuschliessen.

#### Unterschwefelsaurer Strontian. $\text{SrS}^2\text{O}^6 + 4\text{aq}$ .

Sechsgliedrig.  $a : c = 1 : 1.5024$  Heeren.

$d, c$ .	Berechnet	Beobachtet	
		Heeren	Senarmont
$d \left\{ \begin{array}{l} 2A = 128^\circ 40' \\ 2C = \end{array} \right.$		$120^\circ 0'$	$119^\circ 54'$
$d : c = 120 \quad 0$			

Tafelartig. Die  $d$  sind uneben. — Spaltbar nach  $c$  unvollkon Heeren: Pogg. A. 7, 177.

Nach Baumbauer sprechen die Aetzfiguren hier und beim nicht für trapezödrische Tetartoedrie. — Groth Ztschr. f. Kryst.

Nach Senarmont ist die Hauptaxe die Axe der grössten Elasticität negativ. Circularpolarisation. Pape fand rechts- und drehende Krystalle und bestimmte die Grösse der Drehung. 139, 233.

Die Brechungsexponenten sind für

	C	D	F
für $o$	1.5266	1.5296	1.5371
$e$	232	252	312

Topsöe: Pogg. A. Ergbd. 6, 499.

Nach Fock sind sie für

	C	D	F
$\omega$	1.5289	1.5294	1.5297
$\epsilon$	1.5250	1.5254	1.5253

Groth Ztschr. 4, 594.

Ueber das Verwitterungsellipsoid Pape: Pogg. A. 125, Sohncke: Groth Ztschr. 4, 225.

#### Unterschwefelsaurer Kalk. $\text{CaS}^2\text{O}^6 + 4\text{aq}$ .

Sechsgliedrig.  $a : c = 1 : 1.4976$  Topsöe.

$r, r', c$ .	Berechnet	Beobachtet
$r (r') \left\{ \begin{array}{l} 2A = 128^\circ 42' \\ 2C = \end{array} \right.$		$119^\circ 52', 5$
$r (r') : c = 120 \quad 4$		



Zuweilen sehr kleine Flächen von  $a : a : \frac{1}{2}c$ , gleichfalls als Dihexaeder.

Zwillinge nach  $c$ . Wien. Ak. Ber. 65.

Optischer Charakter wie beim vorigen. Circularpolarisation; die Grösse der Drehung bestimmte Pape. S. oben.

Die Brechungsexponenten s. Topsøe a. a. O.

Wärmeleitung. Lang: Wien. Ak. Ber. (Pogg. A. 435, 29).

Verwitterungsellipsoid s. Strontiansalz.

### Unterschwefelsaures Blei. $\text{PbS}^2\text{O}^6 + 4\text{aq.}$

Sechsgliedrig mit trapezoedrischer Tetartoedrie.  $a : c = 1 : 1,546$  Brezina.

$r, r', 2r, 2r', \frac{r}{2}, \frac{r'}{2}, \frac{2}{3}r, \frac{2}{3}r', \frac{r}{3}, \frac{2}{11}r, d$  ( $a : \frac{1}{2}a : a : c$ ),  $\frac{d}{2}, \frac{d}{3}, p, a, c$ .

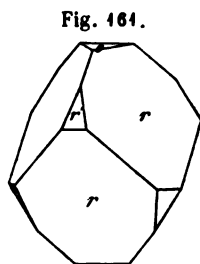
Rhomboeder	Dihexaeder	
$2A$	$2A$	$2C$
$r$ und $r' = 82^\circ 28'$	$d = 123^\circ 18'$	$143^\circ 30'$
$2r - 2r' = 67 \ 44$	$\frac{d}{2} = 130 \ 40$	$113 \ 40$
$\frac{r}{2} - \frac{r'}{2} = 140 \ 26$	$\frac{d}{3} = 138 \ 22$	$90 \ 36$
$\frac{2}{3}r = 97 \ 46$		
$\frac{r}{3} = 128 \ 48$		
$\frac{2}{11}r = 149 \ 34$		

Neigung dieser Flächen gegen die Endfläche  $c$ :

Berechnet	Beobachtet	
	Brezina	Groth
$r =$	$*119^\circ 44'$	$119^\circ 45'$
$2r = 105^\circ 56'$	$105 \ 44$	$106 \ 0$
$\frac{r}{2} = 138 \ 48$	$138 \ 43$	$139 \ 0,5$
$\frac{2}{3}r = 130 \ 36$	$130 \ 49$	
$\frac{r}{3} = 149 \ 44$	$149 \ 33$	
$\frac{2}{11}r = 162 \ 24$		
$d = 108 \ 15$	$107 \ 40$	
$\frac{d}{2} = 123 \ 25$	$123 \ 20$	
$\frac{d}{3} = 134 \ 42$	$134 \ 35$	

Der Habitus der Krystalle ist ein dreifach verschiedener:

A. Rhomboedrische Krystalle. Sehr kleine Krystalle zeigen nur das Hauptrhomboeder, von dessen Flächen die Aufwachungsfläche und ihre Parallele am grössten sind. An grösseren treten das Gegenrhomboeder ( $r'$ ) und die Endfläche untergeordnet



hinzu. Fig. 161. Die Rhomboederflächen sind oft horizontal gest. Diese Formen finden sich gleich häufig an rechten und linken Krystallen. Häufig herrscht die Endfläche  $c$  vor; es entstehen tafelförmige Krystalle. Fig. 162. Hierbei treten die Rhomboeder  $\frac{r}{2}$ ,  $\frac{r'}{2}$  und  $\frac{3}{2}r'$  auf. Fig.

Fig. 162.

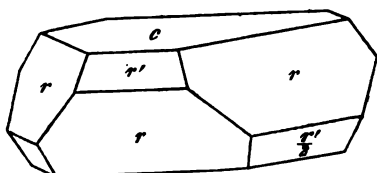
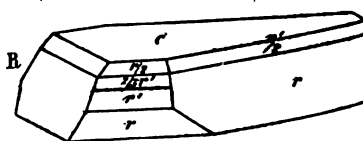


Fig. 163.



Beim Fortwachsen treten am oberen Ende neue Flächen hinzu, so dass das Hauptrhomboeder nicht mehr überwiegt, während es am unteren bleibend bleibt, meist sogar allein vorhanden ist, so dass die Krystalle weilen hemimorph erscheinen.

Das  $\frac{3}{2}$  fach stumpfere Rhomboeder tritt an linken Krystallen fast ausnahmsweise als  $\frac{3}{2}r$ , an rechten (Fig. 163) als  $\frac{3}{2}r'$  auf. Die beiden enantiomorphen Krystalle unterscheiden sich mithin hier durch nicht-enantiomorphe Formen, und es lassen sich hierdurch beide auch ohne die Gegenwart tetartoedrischer Formen unterscheiden.

Das Dihexaeder zweiter Ordnung  $\frac{d}{2}$ , welches die Kanten des Haupt- und Gegenrhomboeders abstumpft, ist sehr häufig, und immer vollflächig.

Die Dihexaeder  $d$  und  $\frac{d}{3}$  aber erscheinen an einfachen Krystallen niedriger als Ditetraeder oder trigonale Pyramiden (Trigonoeder). Fig. 164, 165.

Fig. 164.

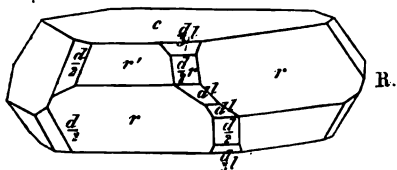
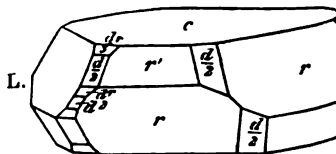


Fig. 165.



An rechten Krystallen (Fig. 164) treten linke Ditetraeder auf, sie liegen links vom Hauptrhomboeder; an linken treten rechte auf (Fig. 165) rechts liegend vom Hauptrhomboeder. Beim Quarz zeigen dieselben Flächen (Rhombenflächen) das entgegengesetzte Verhalten, aber auch für unterschwefelsaure Blei würde das Nämliche gelten, wenn man die Bedeutung von Haupt- und Gegenrhomboedern umkehrte, was nur wegen der Ueberwiegens des ersten unnatürlich erscheinen möchte.



Das zweite Prisma  $a$  kommt zuweilen vor, und zwar als trigonales (Fig. 165), an linken wie an rechten Krystallen.

Die Rhomboeder  $\frac{r}{2}$  und  $\frac{r'}{2}$ ,  $2r$  und  $2r'$ , sowie das erste Prisma  $p$  finden sich an beiden Arten, letzteres jedoch selten.

B. Dihexaedrische Krystalle. Sie zeigen das Haupt- und Gegenrhomboeder im Gleichgewicht; ausserdem die Endfläche, sowie die übrigen Flächen.

C. Trigonale Krystalle. Sind Zwillinge mit herrschendem Hauptrhomboeder.

Zwillinge sind sehr häufig. Zwillingungsfläche ist  $c$ . Beide Krystalle sind gleichnamige (rechte oder linke), seltener ungleichnamige. — Breina: Wien. Ak. Ber. 64 (1871). — Groth: Pogg. A. 135. 663. — Heenan: Eb. 7, 183.

Optisch positiv. Sénarmont.

Die Brechungsexponenten sind

	für C	D	F
für $o$	1,6295	1,6351	1,6481
- $e$	1,492	1,531	1,666

Optische: Pogg. A. Ergbd. 6, 499.

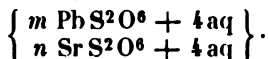
Circularpolarisation; rechts und links drehende Krystalle\*). Die Ursache der Drehung untersuchte Pape, dem es gelang, künstlich Trapezien zu erhalten. Ausser dem zweiten Prisma (als trigonales)  $a : \frac{1}{2}a : \frac{1}{2}c$  ein Dreikantner  $a : \frac{1}{4}a : \frac{1}{2}a : \frac{1}{10}c = a : \frac{1}{2}a : \frac{3}{4}a : \frac{1}{3}c$ . Es fehlt jedoch noch an Flächen, welche den Sinn der Drehung im Voraus zu bestimmen erlauben.

Die Lösung ist inactiv. — Pogg. A. 139, 224.

Wärmeleitung. S. v. Lang bei Kalksalz. — Pape: Pogg. A. 135, 40.

Verwitterungsellipsoid s. Strontiansalz.

#### •      Unterschwefelsaurer Blei-Strontian.



Sechsgliedrig.  $a : c = 1 : 1,5$ . Sénarmont.

$r, \frac{r'}{2}, 2r', \frac{3}{2}r', p, a, c$ .

	Berechnet
$2A$ von $r =$	$82^{\circ} 50'$
$\frac{r'}{2} =$	$110 \quad 56$
$2r' =$	$67 \quad 22$
$\frac{3}{2}r' =$	$98 \quad 14$

\* R. und L. der Fig.

	Berechnet	Beobachtet
$c : r =$		$120^{\circ} 0'$
$\frac{r'}{2} =$	$139^{\circ} 7'$	$139 50$
$2r' =$	$106 6$	$105 50$
$\frac{3}{2}r' =$	$130 54$	$130 55$ Mittheilung

Eine Lösung des optisch positiven Bleisalzes und des negativ tiansalzes giebt Krystalle derartiger isomorpher Mischungen, die narmont bei einem gewissen Verhältniss für die Mitte des keine Doppelbrechung zeigen. — Pogg. A. 86, 68.

Pape konnte an Krystallen solcher Mischungen keine Dreh nehmen und glaubt, die Ursache sei die zu geringe Dicke dersel

In den Mischungen scheint die Aenderung der Brechungs dem Mischungsverhältniss zu folgen. — Fock s. Strontiansalz.

#### Unterschwefelsaure Magnesia. $\text{MgS}^2\text{O}^6 + 6\text{aq.}$

Eingliedrig.  $a : b : c = 0,6997 : 1 : 1,0444$  Topsöe.

$A = 88^{\circ} 44'$	$\alpha = 89^{\circ} 32'$
$B = 118 12$	$\beta = 118 10$
$C = 93 33$	$\gamma = 93 21$

$\frac{o'}{2}, \frac{o''}{2}, p, p', r', b, c.$

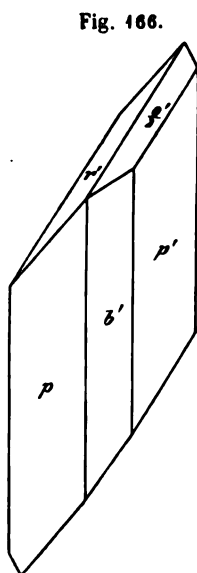


Fig. 166.

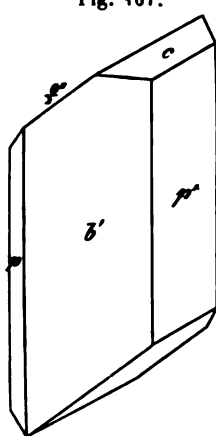


Fig. 167.

	Berechnet
$p : p' =$	
$b : c =$	$124^{\circ} 43'$
$c : p =$	$113 42$
$p' : b =$	$86 34$
$p' : c =$	$128 34$
$p : b =$	$129 57$
$\frac{o'}{2} : b =$	$114 51$
$c : p' =$	$128 53$
$p' : c =$	$88 47$
$p : c =$	$113 1$
$r' : c =$	$138 20$
$\frac{o''}{2} : b =$	$117 41$
$p : b =$	$117 22$
$p' : b =$	

Fig. 166, 167. — Endflächen sind selten. — Spaltbar vo nach  $p$  und  $p'$ .

Volumgewicht 4,666. — Wien. Ak. Ber. 65.



**Unterschwefelsaures Mangan.**1)  $\text{MnS}^2\text{O}^6 + 6 \text{ aq.}$ Eingliedrig.  $a : b : c = 0,694 : 1 : 1,0307$  Marignac.

$A = 88^\circ 43'$

$\alpha = 86^\circ 32'$

$B = 117 \ 44$

$\beta = 117 \ 24$

$C = 93 \ 55$

$\gamma = 95 \ 4$

Berechnet

Beobachtet

$p : p' = 116^\circ 41'$

Marignac

Topsøe

$b : p' =$

$*124^\circ 30'$

$116^\circ 30'$

$p =$

$*118 \ 50$

$118 \ 44$

$b : c =$

$*88 \ 43$

$c : r' =$

$*103 \ 30$

$p = 111 \ 31$

$p' = 111 \ 28$

$r' : b = 84 \ 46$

$86 \ 40$

$p = 130 \ 58$

$130 \ 40$

$p' =$

$*129 \ 20$

Spaltbar nach  $p$ ,  $p'$  und  $b$ .Die Krystalle sind sehr klein und meist unvollkommen gebildet. —  
isomorph dem vorigen.2)  $\text{MnS}^2\text{O}^6 + 3 \text{ aq.}$ Zweigliedrig.  $a : b : c = 0,4906 : 1 : 0,5562$  Guthe. $o, 2p, c.$ 

Berechnet

Beobachtet

$2A =$

$*139^\circ 36'$

$2B =$

$*90 \ 32$

$2C = 103^\circ 16'$

$2p : 2p = 91 \ 6$

$91 \ 13$

$o : c = 128 \ 22$

Durch freiwillige Verdunstung erhalten. — Kraut: Ann. Ch. Ph.  
18, 98.**Unterschwefelsaures Zink.**  $\text{ZnS}^2\text{O}^6 + 6 \text{ aq.}$ Eingliedrig und isomorph dem Magnesium- und Mangansalz. Die  
Krystalle zeigen keine Endflächen. Topsøe fand

$b : p' = 124^\circ 26'$

$p = 118 \ 42$

$p : p' = 117 \ 2$

Volumgewicht 1,915.

**Unterschwefelsaures Kadmium.**  $\text{CdS}^2\text{O}^6 + 6 \text{ aq.}$ Eingliedrig.  $a : b : c = 1,203 : 1 : 0,9797$  Topsøe.

$A = 89^\circ 45'$

$\alpha = 83^\circ 45'$

$B = 106 \ 47$

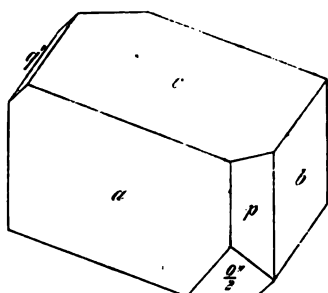
$\beta = 107 \ 52$

$C = 67 \ 42$

$\gamma = 66 \ 55$

$\frac{o''}{2}, p, q', a, b.$ 

Fig. 168.



	Berechnet	Beobachtet
$a : b =$		$\sim 67^\circ 42',5$
$p : a =$		$\sim 117^\circ 51'$
$b = 129^\circ 52'$		129 46
$b : c =$		$\sim 89^\circ 15'$
$a : c =$		$\sim 106^\circ 47'$
$p : c = 103^\circ 40'$		103 3
$q' : c = 134^\circ 59'$		134 55
$\frac{o''}{2} : a = 130^\circ 40'$		130 36
$b = 102^\circ 26'$		102 40
$c =$		$\sim 107^\circ 37'$
$q' = 114^\circ 49'$		114 40

Fig. 168. — Farblose, oft ziemlich grosse Krystalle, an denen  $\frac{o''}{2}$  untergeordnet sind. Meist tafelartig nach  $a$ , und nach  $b$  vielfach wachsen. — Vollkommen spaltbar nach  $a$ , weniger nach  $p$ .

Wahrscheinlich isomorph den vorhergehenden.

Zerfliesslich. V. G. 2, 272. — Topsøe: Wien. Ak. Ber. 65.

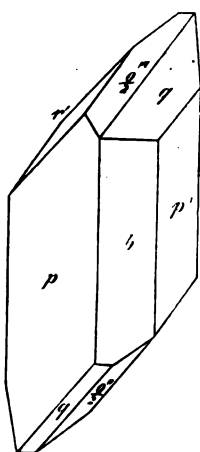
#### Unterschwefelsaures Nickel. $\text{NiS}^2\text{O}^6 + 6\text{aq.}$

Eingliedrig.  $a : b : c = 0,70 : 1 : 1,018$  Topsøe.

$A = 88^\circ 38'$	$\alpha = 89^\circ 29'$
$B = 118^\circ 17'$	$\beta = 118^\circ 15'$
$C = 93^\circ 52'$	$\gamma = 93^\circ 37'$

 $\frac{o''}{2}, \frac{o'''}{2}, p, p', q, q', r', b.$ 

Fig. 169.



	Beobachtet	Berechnet
$p : p' =$		$\sim 116^\circ 58'$
$b : p =$		$\sim 118^\circ 42'$
$p' = 124^\circ 20'$		124 49
$q = 134^\circ 42'$		134 50
$q' = 132^\circ 42'$		
$q' : p = 128^\circ 59'$		128—129°
$p' = 132^\circ 2'$		
$r' : b = 93^\circ 44'$		93 44'
$p =$		$\sim 128^\circ 48'$
$p' =$		$\sim 130^\circ 20'$
$\frac{o''}{2} : p = 90^\circ 9'$		90 0
$p' = 117^\circ 41'$		117 10
$b = 117^\circ 22'$		118 30
$\frac{o'''}{2} : p = 115^\circ 9'$		116 0
$p' = 132^\circ 2'$		130 0
$r' =$		$\sim 138^\circ 40'$

Fig. 169. — Isomorph den analogen Salzen.

Oft tafelartig nach  $p$ , prismatisch nach der Horizontalzone. — Vollkommen spaltbar nach  $p$  und  $p'$ , weniger nach  $b$ . — V. G. 1,908.

**Unterschwefelsaures Kobalt.**  $\text{CoS}^2\text{O}^6 + 8\text{aq}$  (6aq?).

Eingliedrig.  $a : b : c = 1,1518 : 1 : 1,1228$  Topsöe.

$A = 107^\circ 36'$	$\alpha = 108^\circ 44'$
$B = 90 10$	$\beta = 85 12$
$C = 105 21$	$\gamma = 106 4$

$o, p, a, b, c.$	Berechnet	Beobachtet
$a : b =$		*105° 21'
$p : a = 120^\circ 16'$		119 40
$b = 134 23$		134 30
$b : c =$		*72 24
$a : c =$		*90 10
$p : c =$		*105 35
$o : a =$		*117 48
$c = 117 28$		117 38
$p = 136 46$		

Schöne Krystalle, nach  $a$  und  $c$  prismatisch, oder tafelartig nach  $c$ . Die sind matt. Vollkommen spaltbar nach  $c$ , weniger nach  $a$ .

Volumgewicht = 4,8456. — Topsöe: a. a. O.

**Unterschwefelsaures Eisenoxydul.**  $\text{FeS}^2\text{O}^6 + 7\text{aq}$  (6aq?).

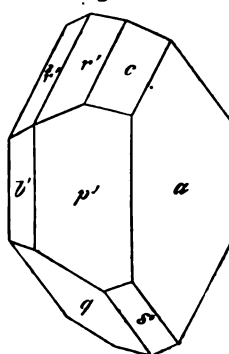
Eingliedrig.  $a : b : c = 2,223 : 1 : 0,9433$  Topsöe.

$A = 98^\circ 58'$	$\alpha = 107^\circ 40'$
$B = 117 8$	$\beta = 120 36$
$C = 102 44$	$\gamma = 109 22$

$s'' = \frac{1}{2}a' : b : c.$  —  $p', q, r', 2r', a, b, c.$

	Berechnet	Beobachtet
$a : b =$		*102° 44'
$p' =$		*105 58
$b : p' = 154^\circ 19'$		154 19
$b : c =$		*98 58
$q = 135 50$		135
$c : q = 135 30$		135 45
$a : c = 117 8$		117 4
$r' = 94 44$		94 30
$c : r' = 154 33$		
$2r' = 128 28$		
$a : q =$		*122 9
$b : q = 125 32$		125 50
$p : c =$		*112 13
$q = 143 5$		143 20
$r' = 106 59$		106 58
$s' : a = 104 48$		104 47
$c = 116 50$		117 3

Fig. 170.



	Berechnet	Beobachtet
$s' : p = 125^{\circ} 38'$		$125^{\circ} 47'$
$q = 136 \ 4$		$135 \ 40$
$2r' = 129 \ 55$		$134$

Fig. 470. — Hellgrün; oft fehlt ein Theil der Flächen. Spaltb. kommen nach  $a$ , weniger nach  $p$ .

Volumgewicht. 4,875. — Topsöe: a. a. O.

#### Unterschwefelsaures Kupfer. $\text{CuS}^2\text{O}^6 + 5\text{aq.}$

Eingliedrig.  $a : b : c = 0,9527 : 1 : 0,579$  Topsöe.

$A = 113^{\circ} 40'$	$\alpha = 117^{\circ} 34',5$
$B = 95 \ 28$	$\beta = 105 \ 32,5$
$C = 70 \ 14$	$\gamma = 65 \ 37$

$o'''$ ,  $p$ ,  $r'$ ,  $a$ ,  $b$ ,  $c$ .

	Berechnet	Beobachtet
		Topsöe
$a : b =$		$*70^{\circ} 14'$
$p = 130^{\circ} 27',5$		$*130 \ 28$
$b : p =$		$*119 \ 46,5$
$c =$		$*95 \ 28$
$a : c =$		$*113 \ 40$
$r' = 104 \ 46$		$104 \ 44$
$c : r' = 141 \ 34$		$141 \ 41$
$o''' : b = 105 \ 40,5$		$105 \ 43$
$c = 137 \ 50$		
$p = 105 \ 36$		$105 \ 15$
$p : c = 146 \ 34$		$146 \ 35$
		Rammelsber
		$130^{\circ} 30'$
		$95 \ 30$

Vollkommen spaltbar nach  $a$ , weniger nach  $r'$ . — Topsö. Akad. H. 1874.

Die Formel des Salzes ist durch meine Versuche bestätigt, 20,59 Kupfer, 18,28 Schwefel und 28,5 Wasser gaben.

#### Unterschwefelsaures Didym. $\text{DiS}^6\text{O}^{18} + 12\text{aq.}$

Sechsgliedrig.  $a : c = 1 : 1,296$  Topsöe.

$d$ , $p$ , $a$ , $c$ .	Berechnet	Beobachtet
$d \left\{ \begin{array}{l} 2A = \\ 2C = \end{array} \right.$	$130^{\circ} 52'$	$130^{\circ} 56'$
$d : c = 123 \ 44,5$		$*112 \ 34$
$p = 146 \ 15,5$		$123 \ 42,5$
		$146 \ 15$

Grosse braunrothe Krystalle, meist tafelförmig nach einem  $d$ . Optisch einaxig, positiv. — Vet. Ak. Handl. 1874.

#### Unterschwefelsaures Kali-Chlornatrium. $\text{K}^2\text{S}^2\text{O}^6 + \text{NaCl}$

Viergliedrig.  $a : c = 1 : 0,9335$  Pape.

$o, p,$	$a, c.$	Berechnet	Beobachtet
$o$	{	$2A = 109^\circ 34'$	$*127^\circ 9'$
		$2C = 105 42$	
		$o : c =$	
		$p = 142 51$	
		$a = 125 13$	

Oft **scheinbar** reguläre Combinationen. Die Winkel differiren nicht unbedeutend.

Optisch einaxig, negativ (ohne Circularpolarisation). — Pogg. A. 139, 224.

## Unterschwefligsaure, trithionsaure, pentathionsaure, selentrithionsaure und disulfammonsäure Salze.

### Unterschwefligsaure Salze.

Unterschwefligsaures Natron.  $\text{Na}^2\text{S}^2\text{O}^3 + 5\text{aq.}$

Zwei- und eingliedrig.  $a : b : c = 0,7016 : 1 : 0,549$  De la Provostaye.

$$o = 76^\circ 2'.$$

$$m' = a' : 2b : c. — n' = a' : \frac{2}{3}b : c.$$

$$o', p, p^2, \frac{q}{2}, a, b, c.$$

	Berechnet	Beobachtet	
		Dela Provostaye	Sénarmont
$p : p = 141^\circ 30'$			
$b = 124 15$			$124^\circ 15'$
$p^2 : p^2 =$		$*142^\circ 24'$	
$b = 108 48$			$108 45$
$c : p = 104 34$			
$p^2 =$		$*103 42$	$103 40$
$\frac{q}{2} : \frac{q}{2} = 150 40$			
$b = 104 55$			$105 0$
$a : c = 103 58$			
$o' : o' =$		$*128 46$	
$m' : m' = 153 2$			
$b = 103 29$			$103 30$
$n' : n' = 108 32$			
$b = 125 44$			$125 45$

De la Provostaye: Ann. Ch. Phys. (3) 3, 353. — Sénarmont: Mittheilung.

Die Ebene der optischen Axen steht senkrecht auf der Symmetrieebene ac, und macht  $54^\circ 55'$  mit einer Normalen auf die Ebene ab und  $49^\circ$  mit

einer solchen auf Axe  $c$  (für Roth); oder  $56^\circ 55'$  und  $47^\circ$  (für Viol. Mittellinie ist parallel der Axe  $b$ . —  $2E = 100-110^\circ$  Sénarmont. Ch. Phys. (3) 44, 336. (Mit einer Berichtigung durch Des Clois:

Der Axenwinkel ist veränderlich, er ist in Luft mitunter  $g$   $150^\circ$ . Die Dispersion der Axen ist schwach in Öl,  $\varrho > v$ , dagegen in Luft,  $\varrho < v$ . Bei  $12^\circ$  ist

$$2E = 154^\circ 1' \text{ Roth, } 154^\circ 14' \text{ Gelb, } 155^\circ 57' \text{ Blau.}$$

$$2H = \begin{cases} 82^\circ 44' \\ 82 \quad 42 \\ 82 \quad 30 \end{cases} \text{ wonach } 2E = \begin{cases} 151^\circ 19' \text{ Roth} \\ 151 \quad 47 \text{ Gelb} \\ 154 \quad 4 \text{ Blau.} \end{cases}$$

Der Unterschied von  $2E$  aus directer Beobachtung und nachleitung aus  $2H$  scheint theils auf der schwachen Brechung des ( darin zu liegen, dass bei Platten von Körpern schwacher mittl chung, welche allein die Messung so grosser Winkel ( $150-155^\circ$ ) der geringste Fehler im Parallelismus solche von mehreren Grade führen kann. — Des Clois: *Annales de Chimie et de Physique*. Nouv. Réch.

Schmelzpunkt  $= 45^\circ$ ; V. G. nach dem Erstarren  $= 1,736$  Ausdehnung bei  $20^\circ = 1,002$ , bei  $45^\circ = 1,007$ , wenn das Vol.  $b$  ist. Beim Schmelzen tritt eine Vergrösserung von  $5,4$  pCt. ein, so Vol. des flüssigen bei  $45^\circ = 1,058$  ist. — Kopp: *Ann. Ch. Ph.*

Das Volumgewicht ist  $1,734$  Schiff;  $1,672$  Buignet.

Schmelzpunkt  $48^\circ$ . Tr.

Spec. Wärme  $0,4447$  des festen,  $0,569$  des geschmolzenen

Latente Schmelzwärme für  $1$  grm  $37,6$  bei  $9^\circ,86$ .

naglia: *Wien. Ak. Ber.* 72, 669.

Volumgewicht der Lösungen.

Bei  $19^\circ$  und  $6,32$  pCt. Salz  $= 1,0338$

$12,64 \quad - \quad - \quad = 1,0674$

$18,96 \quad - \quad - \quad = 1,1030$

$25,28 \quad - \quad - \quad = 1,1396$

$37,92 \quad - \quad - \quad = 1,2170$

$56,88 \quad - \quad - \quad = 1,3434$

Schiff: *Ann. Ch. Ph.* 113, 183.

Lösungswärme. Thomsen: *Ber. d. ch. Ges.* 1873, 740

Beim Lösen von  $110$  Th. Salz in  $100$  Th. Wasser sinkt die T.

auf  $-8^\circ$ . Rüdorff.

Übersättigte Lösungen. H. Baumhauer: *J. f. pr. Ch.* 104

**Unterschwefligsaurer Strontian.**  $\text{SrS}^2\text{O}^3 + 5\text{aq.}$

Zwei- und eingliedrig.  $a : b : c = 1,2946 : 1 : 2,5848$  M.

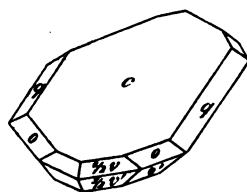
$\rho = 72^\circ 28$ .



$o, o' \rightarrow q, a, c. \rightarrow v = \frac{1}{2} a : b : c; v' = \frac{1}{2} a' : b : c.$

	Berechnet	Beobachtet	
		Marignac	Rammelsberg
$o : o = 90^{\circ} 30'$			
$o' : o' =$		$*76^{\circ} 34'$	
$o : o' = 106 \ 49$			$105^{\circ} 50'$
$o : o' = 145 \ 32$		$145 \ 34$	$145 \ 30$
$v : v = 121 \ 28$		$121 \ 25$	
$v' : v' = 114 \ 14$		$114 \ 10$	
$v : v' = 67 \ 12$			
$v : v' = 151 \ 32$			
$q : q =$		$*44 \ 40$	$44 \ 26$
$c = 142 \ 5$			$142 \ 27$
$a = 96 \ 30$			
$a : c = 107 \ 32$		$108 \ 0$	
$o : a = 130 \ 0$			
$c = 117 \ 12$		$117 \ 13$	$117 \ 30$
$q = 145 \ 30$		$145 \ 40$	
$o' : a = 122 \ 41$			
$c =$		$*97 \ 46$	$96 \ 54$
$q = 140 \ 49$		$140 \ 54$	
$v : a = 148 \ 24$			
$c = 115 \ 54$		$116 \ 5$	
$q = 128 \ 6$		$128 \ 15$	
$v' : a = 144 \ 24$			
$c = 92 \ 34$			
$q = 119 \ 6$		$119 \ 9$	

Fig. 174. — Zwillinge nach  $c$ . Erscheinen zweigliedrig, da am einen Ende vier Flächen  $o$  und  $v$ , am andern die  $o'$  und  $v'$  auftreten.



Spaltbar nach  $c$ .

Starke Doppelbrechung. Axenwinkel sehr gross; Ebene der Axen senkrecht auf  $ac$ . Die spitze Mittellinie positiv, senkrecht auf Axe  $b$ . Die Ebenen der blauen und rothen Strahlen differiren kaum um  $7-8'$ . Die horizontale Dispersion ist demnach fast Null. Die Mittellinie der Axen, die den gelben Strahlen entsprechen, macht  $11^{\circ} 3'$  mit einer Normale auf Axenebene  $ab$ ,  $75^{\circ} 52'$  mit einer solchen auf der vorderen Kante von  $3r'$ ,  $90^{\circ} 44'$  mit einer auf die untere Kante  $\frac{o'}{o}$ .

Die Dispersion der scheinbaren Axen in Öl ist sehr schwach, und  $e < v$ . Ihre Entfernung ist bei  $20^{\circ}$

$2H = 84^{\circ} 57'$  Roth,  $85^{\circ} 4'$  Gelb,  $85^{\circ} 22'$  Blau.

Des Cloizeaux: Nouv. Réch.

Volumgewicht. 2,15—2,20 Clarke.

Unterschwefligsaurer Kalk.  $\text{CaS}^2\text{O}^3 + 6\text{aq.}$ Eingliedrig.  $a : b : c = 0,7828 : 4 : 1,517$  Zepharovic

$$A = 72^\circ 43' \quad \alpha = 72^\circ 30'$$

$$B = 98 \quad 7 \quad \beta = 98 \quad 34$$

$$C = 90 \quad 42 \quad \gamma = 92 \quad 46$$

$$o, o'', o''', \frac{o''}{2}, p, p', q, q', \frac{q'}{2}), r, r', \frac{r'}{2}, a, b, c.$$

	Berechnet	Beobachtet	
		Zepharovich	Mitscher
$o : o'' = 100^\circ 36'$		$100^\circ 42'$	
$o'' : o''' = 105 \quad 41$			
$o : o''' = 134^\circ 39$		$134 \quad 39$	
$a : b = 90 \quad 42$		$90 \quad 9$	
$p : p' = 104 \quad 54$		$104 \quad 54$	$104^\circ 50$
$a : p = 144 \quad 4$		$144 \quad 11$	
$p' = 140 \quad 54$		$140 \quad 48$	
$b : p = 129 \quad 44$		$129 \quad 44$	
$p' =$		$*128 \quad 57$	
$c : p = 85 \quad 33$			
$p' =$		$*107 \quad 48$	
$b : c = 72 \quad 43$		$72 \quad 44$	$72 \quad 58$
$q : q' = 66 \quad 22$			
$b : q =$		$*141 \quad 36$	
$q' = 152 \quad 2$		$152 \quad 8$	
$c : q =$		$*111 \quad 47$	
$p : q = 124 \quad 32$		$124 \quad 34$	
$\frac{q}{2} : c = 137 \quad 49$		$137 \quad 46$	
$a : c = 98 \quad 7$		$98 \quad 7$	$98 \quad 24$
$r : r' = 56 \quad 30$		$56 \quad 25$	
$a : r = 153 \quad 34$		$153 \quad 27$	
$b : r = 82 \quad 30$		$82 \quad 26$	
$r' = 98 \quad 53$			
$c : r =$		$*124 \quad 33$	
$r' = 111 \quad 57$		$111 \quad 54$	
$\frac{r'}{2} : a = 128 \quad 27$		$128 \quad 29$	
$r' = 158 \quad 28$		$158 \quad 27$	
$p : r = 127 \quad 43$			
$r' = 125 \quad 10$			
$p' : r = 141 \quad 10$		$141 \quad 21$	
$q : r = 103 \quad 58$		$103 \quad 51$	
$r' = 95 \quad 18$			
$q' : r = 112 \quad 4$			
$r' = 107 \quad 17$			
$o : a = 142 \quad 32$		$142 \quad 29$	
$A = 118 \quad 47$		$118 \quad 42$	

• Mitscherlich.

	Berechnet	Beobachtet
$o : c = 108^{\circ} 54'$		$108^{\circ} 54'$
$p = 156 \ 39$		$156 \ 38$
$q = 132 \ 56$		$132 \ 53$
$r = 143 \ 43$		$143 \ 42$
$o'' : a = 138 \ 4$		$138 \ 8$
$b = 121 \ 32$		$121 \ 36$
$c = 97 \ 18$		
$p' = 155 \ 24$		$155 \ 24$
$q = 126 \ 27$		
$r' = 139 \ 35$		$139 \ 39$
$o''' : a = 130 \ 9$		
$b = 132 \ 47$		$132 \ 45$
$c = 146 \ 27$		$146 \ 29$
$p = 158 \ 0$		$159 \ 1$
$q' = 136 \ 1$		
$r' = 146 \ 6$		$146 \ 5$
$\frac{o''}{2} : a = 126 \ 45$		
$b = 110 \ 9$		
$c = 119 \ 36$		$119 \ 36$
$o'' = 157 \ 42$		$157 \ 40$
$p' = 133 \ 6$		
$\frac{p'}{2} = 147 \ 3$		

Die von Mitscherlich untersuchten Krystalle waren prismatisch nach der Horizontalzone, die von Zepharovich meist nach der Axe  $a$ . S. 172—175.

Fig. 172.

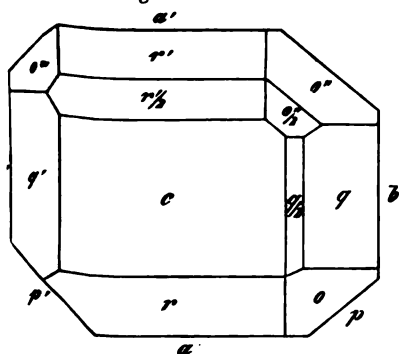
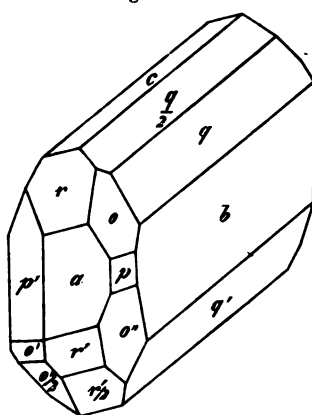


Fig. 173.

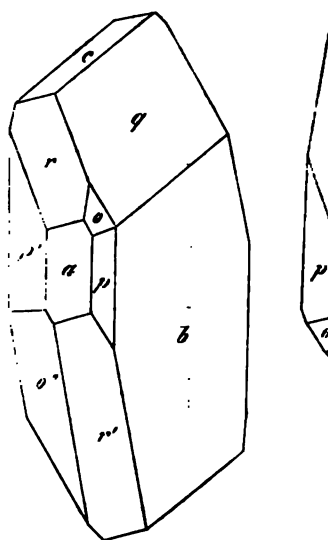


Mitscherlich hatte  $a : b = 90^{\circ}$  gefunden, (Differenz 2—3'), und empfahl für das Salz das sogenannte diklinoedrische System aufgestellt. Nach Zepharovich ist zwar die Neigung schwer genau zu messen, doch

**Unterschwefligsaure Salze.**

Prismen von  $b : p'$  (Werthe aus 46)  
 und glänzend,  $p'$  sehr schmal und  
 und bisweilen hemimorph. Fig. 176.

Fig. 173.



spaltbar nach  $c$ . — Mitscherlich: Pogg.  
 Wien. Ak. Ber. 45.

**Unterschwefligsaure Magnesia.  $MgS^2O^3 + 6a$**

Verhältniß:  $b : c = 0,70 : 4 : 0,74$  Rammel

	Berechnet	Beobachtet
$2A =$	$123^\circ 48'$	$123^\circ 40'$
$2B =$	—	$104 \quad 44$
$2C =$	$100 \quad 56$	
$2p =$	$31 \quad 52$	
$2r =$	$105 \quad 56$	$106 \quad 0$
$2p' =$	$107 \quad 0$	
$2a =$	$124 \quad 20$	
$2b =$	$117 \quad 50$	$117 \quad 55$
$2c =$	$127 \quad 38$	$127 \quad 40$
$2q =$	—	$118 \quad 6$
$2q' =$	$112 \quad 22$	$112 \quad 12$

schwache Prismen  $ab$ , tafelartig nach  $a$ .

schwach spaltbar nach  $b$ .

**Unterschwefligsaures Nickel.**  $\text{NiS}^2\text{O}^3 + 6\text{aq.}$ 

Isomorph dem Magnesiasalz.

Beobachtet  $\alpha : a = 127^\circ 30'$ . Rammelsberg.**Trithionsaure Salze.****Trithionsaures Kali.**  $\text{K}_2\text{S}^3\text{O}^6$ .Zweiglig.  $a : b : c = 0,7464 : 4 : 0,4245$  De la Provostaye. $s = a : \frac{1}{4}b : c. - p, p^2, q, a, b.$ 

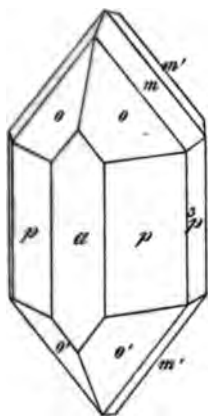
	Berechnet	De la Provostaye	Beobachtet Rammelsberg	Baker
$s$	$2A = 107^\circ 42'$			$108^\circ 48'$
	$2B = 134 \ 24$			
	$2C = 92 \ 0$			
$p : p =$	$108 \ 46$			
$p^2 : p^2 =$		$440^\circ 35'$	$441^\circ 25'$	$440 \ 29$
$a =$	$160 \ 17$		$160 \ 16$	
$b =$	$109 \ 43$		$109 \ 50$	
$p =$	$164 \ 5$	$164 \ 15$		
$q : q =$		$434 \ 0$		$434 \ 23$
$b =$	$443 \ 0$		$443 \ 8$	

Dünne Prismen, an denen die  $s$  sehr schmal und gekrümmt sind.Die von mir beobachteten Combinationen  $a, p^2, b, q$  waren tafelförmig nach  $a$ . — Baker: Chem. News 1877. Novbr.**Pentathionsaure Salze.****Pentathionsaures Kali.**  $\text{K}_2\text{S}^5\text{O}^{10}$ .Zwei- und eingliedrig.  $a : b : c = 0,9285 : 4 : 1,264$  Rammelsberg. $\alpha = 78^\circ 45'$ . $\alpha, \alpha', p, 3p, \frac{r'}{3}, a.$  $m = 3a : b : c.$  $m' = 3a' : b : c.$ 

	Berechnet	Beobachtet
$\alpha : \alpha =$		$442^\circ 42'$
$\alpha' : \alpha' =$		$404 \ 38$
$\alpha : \alpha' =$	$99^\circ 0'$	$98 \ 55$
$\alpha : \alpha' =$	$123 \ 16$	$123 \ 30$
$m : m =$	$87 \ 14$	$87 \ 15$
$m' : m' =$	$78 \ 38$	$78 \ 22$
$m : m' =$	$148 \ 27$	$148 \ 0$
$m : m' =$	$105 \ 34$	
$p : p =$	$95 \ 24$	$95 \ 42$

\* Aus schwefliger Säure und Schwefelwasserstoff. Die Formel durch die Analyse von mir bestätigt.

Fig. 177.



	Berechnet	Beobachtet
$p : a = 137^{\circ} 42'$		$137^{\circ} 45'$
${}^3p : {}^3p = 40 \quad 40$		
$a = 110 \quad 5$		109 54
$p = 152 \quad 23$		154 53
$\frac{p'}{3} : a = 104 \quad 29$		104 35
$a : o = 134 \quad 40$		134 30
$m = 112 \quad 27$		112 40
$o' =$		*126 20
$m' = 99 \quad 6$		99 12
$o : m = 157 \quad 47$		158 45
$o' : m' = 152 \quad 46$		152 44

Fig. 177. — Stets mit einem  $a$  aufgewelches sehr vorherrscht. — Farblos, durchsicht**Selenitrithionsaure Salze.****Selenitrithionsaures Kali.  $K^2S^2SeO_6$ .**Zwei- und eingliedrig.  $a : b : c = 1,505 : 1 : 0,6447$  Rath  
 $o = 86^{\circ} 34'$ . $n = a : \frac{1}{2}b : c$ . —  $p, r, r', a$ .

	Berechnet	Beobachtet
$n : n =$		* $81^{\circ} 38'$
$p : p =$		* $67 \quad 18$
$a = 123^{\circ} 39'$		123 53
$a : r = 116 \quad 4$		
$r' = 110 \quad 15$		109 35 — $110^{\circ} 54'$
$r : r' = 133 \quad 41$		133 6
$p : r' = 101 \quad 3$		100 29 — 101 23
$n : a = 106 \quad 41$		106 42
$r = 130 \quad 49$		130 51
$r' = 116 \quad 50$		117 25
$p =$		* $142 \quad 6$

Prismatisch nach der Verticalzone, deren Flächen  $a$  und  $r'$  uneben  
J. f. pr. Ch. 2<sup>e</sup> 4, 33.**Disulfammonsäure Salze.****Disulfammonsäures Kali.  $K^2H^3NS^2O_6$ .**

Sulfamidinsaures Kali. Frémy.)

Zweigliedrig.  $a : b : c = 0,577 : 1 : 0,374$  Friedland

$o, o^2, q^2, q^4, c$	Berechnet	Beobachtet
$o : 2A \quad \left. \vphantom{\begin{matrix} o : 2A \\ o : q^2 \\ o : c \\ q^2 : c \end{matrix}} \right\} =$	$144^{\circ} 7'$	$144^{\circ} 14'$
$o : q^2 \quad \left. \vphantom{\begin{matrix} o : 2A \\ o : q^2 \\ o : c \\ q^2 : c \end{matrix}} \right\} =$		* $143 \quad 12$
$o : c \quad \left. \vphantom{\begin{matrix} o : 2A \\ o : q^2 \\ o : c \\ q^2 : c \end{matrix}} \right\} =$		
$q^2 : c \quad \left. \vphantom{\begin{matrix} o : 2A \\ o : q^2 \\ o : c \\ q^2 : c \end{matrix}} \right\} =$		

\*  $p : p = 120^{\circ}$  angenommen.

	Berechnet	Beobachtet
$\frac{o^2}{q^4} : c$	$\} = 123^\circ 48'$	$124^\circ 30'$ ungef.
$q^4 : c$		

Stets Drillinge wie Aragonit. Tafelartig nach c.

Ebene der optischen Axen  $bc$ , Mittellinie  $c$ ;  $2H_a = 74^\circ$  (für Gelb).  
 v. Ztschr. 4, 624.

Hier nach stimmt das Salz in Form und optischem Verhalten mit dem  
 schwefelsauren Kali überein.

## Selsaure Salze.

(Seleniate.)

### Einfache.

Ihre Isomorphie mit den schwefelsauren und chromsauren Salzen entdeckte Mitscherlich. Pogg. A. 42, 437.

Die neueren Untersuchungen ihrer Form und ihres optischen Verhaltens verdanken wir Topsøe: Wien. Akad. Ber. 65, 66. Pogg. A. Ergbd. 6, 499. (Optisches.)

### Selsaures Ammoniak.

4) Normales.  $\text{Am}^2\text{SeO}^4$ .

Dimorph.

A. Zweigliedrig.  $a : b : c = 0,8007 : 1 : 0,7499$  v. Lang.

$n = 2a : b : c. - 2p, q, \frac{r}{2}, a, b.$

	Berechnet	Beobachtet
$o \left\{ \begin{array}{l} 2A = 111^\circ 38' \\ 2B = 138 \ 54 \\ 2C = 82 \ 58 \end{array} \right.$		$82^\circ 24'$
$2p : 2p =$	63 58	
$a =$	121 59	122 0
$q : q =$	106 46	106 44
$b =$	126 52	126 31
$\frac{r}{2} : \frac{r}{2} =$	129 48	129 34
$a =$	115 6	114 33
$q : \frac{r}{2} =$		*136 26
$n : \frac{r}{2} =$		*145 49

Optisches Verhalten s. Topsøe. — v. Lang: Wien. Ak. Ber. 45.  
 Ramsberg, physik. Chemie.

B. Zwei- und eingliedrig.  $a : b : c = 1,2065 : 1 : 1,9041$   
 $\alpha = 64^\circ 27'$ .

$o, o', q, \frac{r'}{2}, a, c.$	Berechnet	Beobachtet
$o : o = 104^\circ 8'$		
$o' : o' = 80 42$		
$o : o' = 103 26$		$103^\circ 36'$
$o : o' = 134 44$		$134 54$
$q : q = 60 28$		$60 35$
$c =$		$*120 44$
$a = 102 33$		$102 33$
$a : c =$		$*115 33$
$\frac{r'}{2} =$		$*144 34$
$c : \frac{r'}{2} = 132 53$		$132 57$
$o : a = 136 0$		$135 58$
$c = 127 0$		$127 12$
$o' : a = 120 34$		$120 26$
$c = 98 11$		$98 7$
$q : o = 146 33$		$146 34$
$o' = 136 53$		$136 58$

Fig. 178.

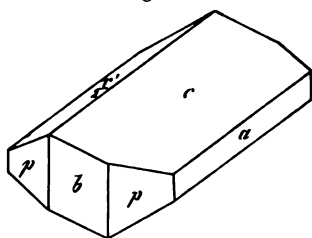


Fig. 178. — Tafelartig nach herrschen der Verticalzone.

Oft unsymmetrisch durch Fehlen der Flächen. — Zwillinge nach c.

Setzt man  $c = r, \frac{r'}{2} = r',$

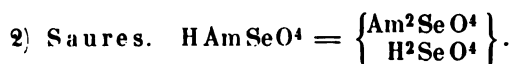
wird  $a : b : c = 4,366 : 1 : 1,904 ; c$

Man kann dann  $\frac{4,366}{4} = 1,091 =$

Vollkommen spaltbar nach  $a$  und  $c$ .

Die Ebene der optischen Axen liegt senkrecht zu  $ac$ .

Volumgewicht 2,16—2,19.



Zweigliedrig.  $a : b : c = 0,568 : 1 : 0,712$  Topsöe.

$p, q, a, b.$	Berechnet	Beobachtet
$p : p = 120^\circ 48'$		$119^\circ 45'$
$b =$		$*119 36$
$q : q = 111 42$		$109 6$
$p =$		$*106 6$

Meist tafelartig nach  $b$ ; die  $q$  untergeordnet.

Volumgewicht 2,409. — Isomorph dem entsprechenden



**Selensaures Kali.**

Formales.  $K^2SeO^4$ .

= 0,5724 : 1 : 0,7296 Mitscherlich.

$$p^2 : q^2 = 68^\circ 12'.$$

Axen =  $bc$ , die Mittellinie =  $c$ . Positiv. Die Brechungsexponenten wurden bestimmt. Topsøe.

$$\text{res. } HKSeO^4 = \left\{ \begin{array}{l} K^2SeO^4 \\ H^2SeO^4 \end{array} \right\}.$$

$b : c = 0,5173 : 1 : 0,448$  Topsøe.

Berechnet	Beobachtet
= 142° 37'	
= 103 14	
= 88 39	88° 28'
= 134 44	
= 114 8	113 57
= 128 23	129 2
=	108 44,5
=	144 37
= 89 9	
= 121 16	
= 115 59	
= 135 25	135 17
= 153 16	153 24
= 96 16	
= 134 52	134 49
= 162 16	162 18

$b$ .

Die  $a$  sehr vorherrschend.

Entsprechenden von Marignac untersuchten Sulfat.

Mineralogisk-kemiske Undersøgelser over de Selensure

(Wien. Akad. Ber. 65. 66.

**Selensaures Thallium.  $Tl^2SeO^4$ .**

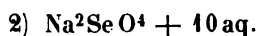
Anal. — v. Lang: Wien. Ak. Ber. 55, 445.

**Selensaures Natron.**

1)  $Na^2SeO^4$ .

$b : c = 0,602 : 1 : 1,226$  Mitscherlich.

An $o$	Berechnet	Beobachtet
$2A =$		$*123^{\circ} 13'$
$2B =$	$75^{\circ} 42'$	
$2C =$		$*134 \ 22$



Zwei- und eingliedrig.  $a : b : c = 1,106 : 1 : 1,238$   
 $o = 72^{\circ} 6'$ .

$o', p, q, a, b, c.$	Berechnet	Beobachtet
$p : p =$	$87^{\circ} 5'$	
$c =$	$102 \ 13$	
$q : q =$	$80 \ 38$	$80^{\circ} 54'$
$c =$		$*130 \ 19$
$a =$		$*101 \ 28$
$a : c =$	$107 \ 54$	$108 \ 2$
$o' : o' =$	$93 \ 26$	$93 \ 22$
$a =$		$*118 \ 13$
$c =$	$112 \ 26$	$112 \ 32$
$p =$	$115 \ 21$	
$q =$	$110 \ 19$	$110 \ 21$

Prismatisch nach der Horizontalzone und zugleich oft tafelförmig.  
 Die  $o'$  klein. Spaltbar nach  $a$ . Leicht verwitternd.

Volumgewicht = 4,584.

#### Selensaures Lithion. $\text{Li}_2\text{SeO}_4 + \text{aq.}$

Zwei- und eingliedrig.  $a : b : c = 1,6803 : 1 : 2,59$   
 $o = 72^{\circ} 29'$ .

$p, r, r', a, b, c.$	Berechnet	Beobachtet
$p : p =$		$*63^{\circ} 57'$
$a =$	$121^{\circ} 58'$	$121 \ 57$
$b =$	$118 \ 2$	
$c =$		$*99 \ 10$
$a : c =$	$107 \ 31$	$107 \ 20$
$r' =$	$109 \ 59$	
$r =$		$*152 \ 40$
$c : r' =$	$112 \ 30$	$112 \ 9$
$r =$	$134 \ 51$	$135 \ 18$

Zwillinge: Verwachsungen nach der Fläche eines hinteren Endes, welches nicht genau messbar ist. Dünne Blättchen nach  $c$ , wassergrün glänzend; die übrigen Flächen sehr schmal, gestreift, nicht messbar.

Spaltbar nach  $c$ . Farblos, durchsichtig.

Volumgewicht = 2,439. — Topsöe: a. a. O.

Setzt man  $c = a$  und  $a = c$ , und nimmt  $\frac{2}{3}a = a$ , so wird

$$a : b : c = 1,730 : 1 : 1,680$$

in Uebereinstimmung mit dem Sulfat.

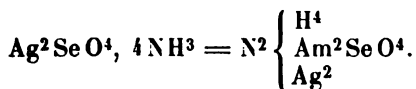
**Selensaures Silber.**  $\text{Ag}^2\text{SeO}^4$ .

**Zweigliedrig.**  $a : b : c = 0,5945 : 1 : 1,256$  Mitscherlich.

**Die Flächen des Sulfats.**

	Berechnet	Beobachtet
$\left. \begin{array}{l} 2A = \\ 2B = \\ 2C = \end{array} \right\} o$	$73^\circ 54'$	$*123^\circ 30'$ $*135 \ 42$

**Selensaures Ammoniumsilberammonium.**

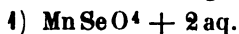


**Viergliedrig.**  $a : c = 1 : 0,538$  Mitscherlich.

$o, p, a, c.$

$$o : p = *127^\circ 16'.$$

**Selensaures Mangan.**



**Zweigliedrig.**  $a : b : c = 0,996 : 1 : 0,8847$  Topsöe.

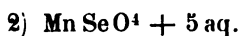
$o, r, b.$

	Berechnet	Beobachtet
$\left. \begin{array}{l} 2A = \\ 2B = \\ 2C = \end{array} \right\} o$	$113^\circ 2'$ $102 \ 52$	$113^\circ 1'$ $*112 \ 43$
$r : r =$	$96 \ 46$	
$o : b =$		$*123 \ 29$

Isomorph dem Kadmiumsals. Bildet sich bei  $50-60^\circ$ .

Optisches Verhalten. Topsöe, s. o.

Volumgewicht 2,949.



**Eingliedrig.**  $a : b : c = 0,555 : 1 : 0,5393$  Topsöe.

$A = 115^\circ 54'$	$\alpha = 113^\circ 11'$
$B = 112 \ 47$	$\beta = 109 \ 35$
$C = 102 \ 45$	$\gamma = 92 \ 58$

$p, p', q, \frac{q'}{3}, r', a, b, c.$

	Berechnet	Beobachtet
$a : b =$	$102^\circ 15'$	$102^\circ 23'$
$p =$		$*153 \ 37$
$p' =$	$147 \ 42$	$147 \ 47$
$b : p =$		$*128 \ 38$
$p' =$	$110 \ 3$	$109 \ 45$

	Berechnet	Beobachtet
$p : p' = 121^{\circ} 19'$		$121^{\circ} 24'$
$b : c = 115 \ 54$		
$q = 136 \ 25$		$136 \ 29$
$c : q = 159 \ 30$		$159 \ 29$
$\frac{q'}{3} = 140 \ 24$		$139 \ 45$
$a : c = 112 \ 47$		$113 \ 24$
$r' = 118 \ 45$		$118 \ 44$
$c : p =$		$*120 \ 32,5$
$p' = 97 \ 45$		
$b : r' = 103 \ 36$		
$a : q = 112 \ 18$		$112 \ 23$
$p : q =$		$*129 \ 15$
$p' : q =$		$*94 \ 48$
$p : r' = 106 \ 7$		$105 \ 53$
$q : r' = 124 \ 38$		$124 \ 37$

Oft tafelartig nach  $a$ . — Isomorph dem Sulfat.

Volumgewicht 2,334.

#### Selensaure Magnesia. $\text{Mg Se O}_4 + 6 \text{ aq.}$

Zwei- und eingliedrig.  $a : b : c = 1,385 : 4 : 1,685$  To  
 $o = 81^{\circ} 28'$ .

$2o', \frac{o'}{2}, p, r', 2r', a, c.$

	Berechnet	Beobachtet
$p : p = 72^{\circ} 15'$		$72^{\circ} 16'$
$c = 95 \ 1$		$94 \ 57$
$a : c = 98 \ 32$		
$r' = 137 \ 12$		
$c : r' = 124 \ 16$		$124 \ 19$
$2r' = 104 \ 53$		
$a : 2r' = 103 \ 35$		
$2r' : 2r' = 74 \ 12$		
$r' = 98 \ 5$		
$r' = 166 \ 9$		$166 \ 10$
$2r' = 112 \ 54$		
$\frac{o'}{2} : \frac{o'}{2} = 74 \ 16$		$74 \ 12$
$r' = 131 \ 31$		$131 \ 27$
$r' =$		$*133 \ 28$
$2r' = 117 \ 19$		$117 \ 26$
$2r' =$		$*115 \ 38$
$\frac{o'}{2} =$		$*137 \ 20$

Meist tafelartig nach  $c$ . Oder auch nach einer Fläche von  $\frac{o'}{2}$ . —

bei nach  $c$  tafelförmig

Volumgewicht = 4,925

Die Krystalle dieses Hydrats bilden sich bei 6—8°. Es gelang Topsöe nicht, deutliche Krystalle anderer Hydrate zu erhalten.

Ebene der optischen Axen  $ac$ ; die Mittellinie macht mit der Normalen auf  $r$  einen Winkel von 35° 36'. Negativ. Die Axenwinkel und Brechungs-  
exponenten wurden ermittelt.

**Selensaures Nickel.**  $\text{NiSeO}_4 + 6\text{aq.}$

Viergliedrig.  $a : c = 1 : 4,8364$  Topsöe.

$o, d, a, c.$	Berechnet	Beobachtet	
		Topsöe	Mitscherlich
$o \begin{cases} 2A = 97^\circ 25' \\ 2C = 137 \ 53 \end{cases}$		$97^\circ 34'$ 438 3	438° 56'
$d \begin{cases} 2A = 103 \ 13 \\ 2C = 122 \ 52 \end{cases}$			
$o : c =$		444 4	
$d = 138 \ 42$		438 45	
$d : c = 448 \ 34$		448 37	

Spaltbar nach  $c$ . — Bildet sich bei niederer und höherer Temperatur.  
Volumgewicht 2,344.

**Selensaures Kobalt.**

4)  $\text{CoSeO}_4 + 5\text{aq.}$

Eingliedrig. Isomorph dem Mangan- und Kupfersalz.

	Beobachtet.	Topsöe.
$a : p = 147^\circ 28'$		$p : q' = 97^\circ 30'$
$p' = 151 \ 36 - 155^\circ 42'$		$2q' = 92 \ 46$
$2q' = 111 \ 52 - 112 \ 44$		$p' : q' = 122 \ 30$
$q : 2q' = 159 \ 17$		$2q' = 129 \ 42$

Bildet sich bei 50—60°.

Volumgewicht 2,542.

2)  $\text{CoSeO}_4 + 6\text{aq.}$

Zwei- und eingliedrig.  $a : b : c = 4,374 : 4 : 4,6815$  Topsöe.  
 $o = 84^\circ 46'$ .

$o, \frac{o'}{2}, \frac{2}{3}o', 2o', p, r', 2r' a, c.$

	Berechnet	Beobachtet
$o : o = 90^\circ 53'$		90° 38'
$\frac{o'}{2} : \frac{o'}{2} = 105 \ 35$		
$2o' : 2o' = 74 \ 5$		
$\frac{2}{3}o' : \frac{2}{3}o' = 94 \ 23$		
$p : p = 72 \ 47$		
$a : c = 98 \ 44$		98 25
$r' = 137 \ 34$		

	Berechnet	Beobachtet
$a : 2r' =$	$156^{\circ} 48'$	
$c : r' =$		$*124^{\circ} 42'$
$2r' =$	404 59	405 7
$p : c =$	94 53	95 0
$o : c =$	119 44	119 52
$p =$	155 9	155 5
$\frac{o'}{2} : c =$		$*134 33$
$p =$	133 34	133 33
$2o' : c =$	98 57	98 55
$p =$	166 10	166 8
$\frac{3}{2}o' : c =$	122 45	
$p =$	142 22	

Spaltbar nach  $r'$ .

Volumgewicht 2,175.

Krystallisirt bei mittleren Temperaturen.

3)  $\text{CoSeO}_4 + 7\text{aq.}$

Zwei- und eingliedrig.  $a : b : c = 1,1833 : 1 : 1,545 \text{ Top}$   
 $o = 75^{\circ} 3'.$

$p, q, r', b, c.$	Berechnet	Beobachtet
$p : p =$		$*82^{\circ} 24'$
$c =$		$*99 46,5$
$q : q =$	$67^{\circ} 38'$	
$c =$	123 49	124 0
$p =$	136 2	135 30
$c : r' =$	117 44	117 51
$p : r' =$	118 57	118 59
$q : r' =$	105 1	104 57

Symmetrische Combinationen, an denen nur  $b$  untergeordnet.

Isomorph mit dem Sulfat.

Bildet sich bei T. von  $4-6^{\circ}$ , und geht in höherer in das Hydrat  
 6aq über.

Volumgewicht 2,135.

### Selensaures Zink.

4)  $\text{ZnSeO}_4 + 5\text{aq.}$

Eingliedrig. Topsoë.

	Beobachtet	Beobachtet
$a : p =$	$117^{\circ} 34'$	$q' : a = 112^{\circ} 35'$
$p' =$	153 47	$b = 116 0$
$b : p =$	110 4	$p' : q' = 120 24$
$p' =$	128 42	$2q' : q = 160 7$
$p : p' =$	124 17	$p = 128 53$
$2q : a =$	112 2	

Volumgewicht 2,591.



Viergliedrig.  $a : c = 4 : 4,895$  Topsöe.

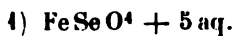
$a, \frac{a}{2}, d, a, c.$	Berechnet	Beobachtet	
		Topsöe	Mitscherlich
$\frac{a}{2}$	$2A =$	$97^\circ 0'$	
$\frac{a}{2}$	$2C = 139^\circ 4'$	$138 56$	$138^\circ 53'$
$\frac{a}{2}$	$2A = 110 58$		
$\frac{a}{2}$	$2C = 106 32$		
$d$	$2A = 102 35$		
$d$	$2C = 124 22$		
$c : a$	$= 110 28$	$110 29$	
$d$	$= 138 30$	$138 28$	

Oktaedrisch oder nach  $c$  tafelartig. Spaltbar nach  $c$ . Isomorph dem Sulfat.

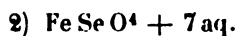
Volumgewicht 2,325.

Optisch negativ.

### Selensaures Eisenoxydul.



Eingliedrig, gleich den übrigen analogen Seleniaten. Topsöe.



Zwei- und eingliedrig. Topsöe.

Beobachtet	
$p : p = 82^\circ 20'$	$c : r' = 119^\circ 9'$
$c = 99 34$	

Isomorph dem Kobaltseleniat und dem Eisensulfat.

Die Krystalle verwandeln sich bei gewöhnlicher T. rasch in die des Sulfats.

### Selensaures Kupfer. $\text{Cu Se O}_4 + 5 \text{ aq.}$

Eingliedrig.

$a'', s'', s''', p, p', q^2, q', a, b, c.$

Beobachtet	
$a : b = 79^\circ 6'$	$o''' : a = 120^\circ 54'$
$p = 118 55$	$b = 102 57$
$p' = 153 44$	$s'' : a = 124 7$
$b : p' = 127 16$	$o''' = 157 44$
$p : p' = 122 48$	$s''' : o''' = 117 43$
$b : q^2 = 110 1$	$q' : o''' = 129 42$
$a : q^2 = 92 15$	$p : o''' = 127 38$
	$p' : o''' = 108 14$

<sup>\*)</sup> S. das Sulfat.

Isomorph dem Sulfat. Für den Vergleich mit dem Mangan  
zweite Stellung des Kupfersulfats zum Grunde zu legen.

Volumgewicht 2,559.

**Selensaures Kadmium.**  $\text{Cd Se O}^4 + 2 \text{ aq.}$

Zweigliedrig.  $a : b : c = 0,9753 : 1 : 0,8764$  Topsöe.

$o, r^2, b.$

	Berechnet	Beobachtet
$o \left\{ \begin{array}{l} 2A = \\ 2B = 111^\circ 54' \\ 2C = 102 \quad 53 \end{array} \right.$		$*113^\circ 48'$ 112 5 103 34
$r^2 : r^2 =$		$*58 \quad 11$
$c = 142 \quad 24$		142 19
$o : b = 123 \quad 6$		122 30

Tafelartig nach  $b$ . Die Flächen geben theilweise mehrf.  
Farblos, durchsichtig, starkglänzend. Spaltbar nach  $b$ .

Ebene der optischen Axen  $bc$ , Mittellinie  $b$ .

Volumgewicht 3,632. — Isomorph dem Mangansalz.

**Selensaure Beryllerde.**  $\text{Be Se O}^4 + 4 \text{ aq.}$

Zweigliedrig.  $a : b : c = 0,940 : 1 : 1,041$  Topsö

$o, p, {}^2p, r.$

	Berechnet	Beobachtet
$o \left\{ \begin{array}{l} 2A = 110^\circ 40' \\ 2B = 105 \quad 0 \\ 2C = 113 \quad 20 \end{array} \right.$		
$p : p =$		$*93 \quad 32'$
${}^2p : {}^2p = 56 \quad 0$		
$p : {}^2p = 161 \quad 14$		161 6
$r : r =$		$*84 \quad 9$
$p : r = 122 \quad 44$		122 47
$o : p = 146 \quad 40$		
$r = 145 \quad 5$		145 30

Prismatisch nach  $p$ , selten Spuren von  $a$ .

Zwillinge nach  $a$ ; die Axen  $b$  und  $c$  sind vertauscht. Re  
Durchkreuzung.

Ebene der optischen Axen  $ab$ , Mittellinie  $a$ . — V. G. 2,05

Topsöe hält das Salz für isomorph mit dem Sulfat, trotz  
den Systems und optischen Verhaltens.

**Isomorphe Mischungen aus schwefel- und selen-  
Beryllerde.**

Aus gleichen Mol. beider Salze wurden Krystalle erhalten  
etwa 2Se : 3S, und welche zweigliedrig und zweiaxig wa

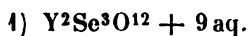
Aus 1 Mol. Seleniat und 3 Mol. Sulfat bildeten sich zuerst



drige Krystalle = Se : 8 S, dann zweigliedrige, in welchen Se : S = 1 : 4 und 1 : 2 war.

Dasselbe war der Fall bei dem Verhältniss 4 : 5 Mol.; die viergliedrigen enthielten Se : 7—8—10 S, die zweigliedrigen 3 Se : 7 S. — Wien. Ak. Ber. 66 (1872).

### Selensaure Yttererde.



Zweigliedrig.  $a : b : c = 0,9358 : 1 : 0,4829$  Topsöe.

$o, p \frac{2}{3}, b.$

$n = a : \frac{1}{3}b : c; s = a : \frac{2}{3}b : c.$

	Berechnet	Beobachtet
$o \left\{ \begin{array}{l} 2A = 133^\circ 32' \\ 2B = 130 \quad 10 \\ 2C = 70 \quad 30 \end{array} \right.$		$133^\circ 5'$ $130 \quad 15$
$n \left\{ \begin{array}{l} 2A = 163 \quad 43 \\ 2B = \\ 2C = 56 \quad 48 \end{array} \right.$		$163 \quad 32$ $*126 \quad 0$ $56 \quad 43$
$s \left\{ \begin{array}{l} 2A = 108 \quad 51 \\ 2B = 136 \quad 12 \\ 2C = 87 \quad 26 \end{array} \right.$		$109 \quad 0$ $136 \quad 15$
$p \frac{2}{3} : p \frac{2}{3} = 116 \quad 5$		$116 \quad 0$
$b : o = 113 \quad 14$		$114 \quad 1$
$n =$		$*98 \quad 8$
$s = 125 \quad 35$		$125 \quad 34$
$p \frac{2}{3} = 121 \quad 58$		$121 \quad 52$

Fig. 479. — Tafelartig nach  $b$ ; öfter hemimorph, insofern am unteren Ende von den 3 Oktaedern nur  $n$  auftritt.

Streifung auf  $b$  parallel der Kante mit den Oktaederflächen.

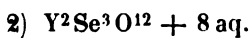
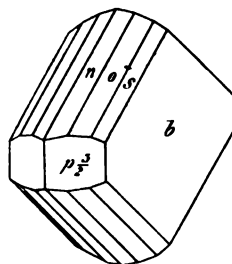
Sehr häufig Zwillinge nach  $b$ . — Spaltbar nach  $b$  und  $p \frac{2}{3}$ .

Volumgewicht 2,780.

Ebene der optischen Axen =  $ac$ , Mittellinie =  $c$ . Winkel der Axen in Öl =  $73^\circ 30'$ , woraus  $2E = 123^\circ 0'$  folgt. Axendispersion beträchtlich;

$\rho < v$ . — Topsöe: Vet. Ak. Handl. 1874.

Fig. 479.



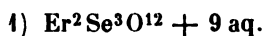
Zwei- und eingliedrig.

Vollkommen isomorph dem Sulfat. Farblose, nach  $b$  tafelartige Krystalle oder rhomboedrische Combinationen  $o'$  und  $b, c$ .

Zwillinge nach  $b$ .

Die Streifung der Flächen verursacht Schwankungen der W  
im Ganzen mit denen des Sulfats übereinstimmen. Topsöe.  
Volumgewicht 2,895.

### Selen-saure Erbinerde.



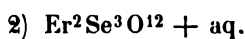
Zweigliedrig.  $a : b : c = 0,930 : 1 : 0,4807$  Topsöe.  
Mit den Flächen des Yttriumsalzes.

	Berechnet	Beobachtet
$o$	$2A = 133^\circ 45'$	
	$2B = 130 \quad 2$	$130^\circ \quad 4'$
	$2C = 70 \quad 27$	
$n$	$2A = 163 \quad 48$	$163 \quad 45$
	$2B =$	$*125 \quad 55$
	$2C = 56 \quad 50$	$56 \quad 50$
$s$	$2A = 109 \quad 7$	$109 \quad 46$
	$2B = 136 \quad 4$	$135 \quad 57$
	$2P = 87 \quad 46$	
$p\frac{3}{4} : p\frac{1}{4} =$	$116 \quad 24$	$117 \quad 3$
$b : o =$	$113 \quad 8$	$113 \quad 9$
$n =$	$98 \quad 6$	$98 \quad 9$
$s =$		$*113 \quad 27$
$p\frac{3}{4} =$	$121 \quad 48$	$121 \quad 45$

Schwach röthliche tafelartige Krystalle, an welchen  $p\frac{3}{4}$   
Gleichgewicht. Auch hier erscheinen  $o$  und  $s$  nur am einer  
Spaltbar vollkommen nach  $b$ .

Optisch gleich dem Yttriumsalz;  $2H = 6^\circ 30'$ , also  $2V =$   
Dispersion  $\varrho < v$ .

Volumgewicht 3,171.



Zwei- und eingliedrig.  $a : b : c = 3,0218 : 1 : 2,0012$  T.  
 $o = 61^\circ 45'$ .

$o', r, r', a, c$ . —  $n' = \frac{1}{2} a' : b : c$ .

	Berechnet	Beobachtet
$o' : o' =$		$*54^\circ \quad 4'$
$n' : n' =$	$69^\circ 29'$	
$a : c =$		$*118 \quad 45$
$r =$	$142 \quad 8$	$142 \quad 31$
$r' =$		$*101 \quad 41$
$c : r' =$	$139 \quad 34$	
$o' : a =$	$95 \quad 47$	$95 \quad 24$
$c =$	$110 \quad 14$	$110 \quad 9$
$n' : a =$	$113 \quad 46$	$113 \quad 30$
$c =$	$99 \quad 47$	$99 \quad 51$

Kleine, schwach röthliche sechsseitige Tafeln. — Spaltbar sehr vollkommen nach  $c$ , gut nach  $a$ .

Volumgewicht 3,546.

**Selensaures Didym.**  $\text{Di}^2\text{Se}^3\text{O}^{12} + 8\text{aq.}$

Isomorph den entsprechenden Seleniaten und Sulfaten, jedoch nicht genau messbar. Spaltbar vollkommen nach  $c$  und  $r$ , auch nach  $a$ .

Volumgewicht 3,223 und 3,255. — Topsöe.

**Selensaure Thorerde.**  $\text{ThSe}^2\text{O}^8 + 9\text{aq.}$

Zwei- und eingliedrig.  $a : b : c = 0,5984 : 1 : 0,6542$  Topsöe.

$$\alpha = 81^\circ 34'.$$

	Berechnet	Beobachtet
$p : p =$		$118^\circ 45',5$
$a =$	$149^\circ 23'$	$149 \quad 25$
$b =$	$120 \quad 37$	$120 \quad 38$
$c =$	$97 \quad 45$	$97 \quad 42$
$q : q =$		$114 \quad 11$
$c =$	$147 \quad 5$	$147 \quad 6$
$a : c =$	$98 \quad 26$	$98 \quad 24,5$
$p : q =$		$99 \quad 50$

Vorherrschend  $p$  und  $q$ ;  $b$  klein oder fehlend. Die Flächen stark glänzend. — Zwillinge nach  $a$ . — Spaltbar vollkommen nach  $b$ , gut nach  $c$ .

Volumgewicht 3,026. — Topsöe: Vet. Ak. Handl. 1874.

Isomorph dem Sulfat.

**Doppelsalze.**

I.  $(\text{R}^1\text{SeO}^4 + \text{R}^2\text{SeO}^4) + 6\text{aq.}$

Isomorph den entsprechenden Sulfaten. Die Flächen  $p$ ,  $q$ ,  $2r'$ ,  $b$ ,  $c$  finden sich bei allen; ausserdem  $\alpha'$ ,  $2p$ ,  $3p$  und  $a$ . Topsöe.

a) Salze von Ammonium.

	$a$	$c$	$\alpha$
Mg	0,7444	0,4968	$73^\circ 23'$
Ni	0,7378	0,5042	$44$
Co	0,7444	0,5037	$37$
Fe	0,7405	0,5042	$47$
Zn	0,7416	0,5062	$49$
Cu	0,7488	0,5126	$27,5$
Mn	0,7416	0,4993	$46$
Cd	0,7388	0,5001	$55,5$

Beobachtet.				
	$p : p$	$q : q$	$c : 2r$	$\lambda$
Mg	109° 13'	129° 5',5	115° 49'	2,
Ni	24	128 24,5	19	
Co	9	25	2	
Fe	10	37	36	
Zn	5	24	24	
Cu	108 23	129 5	34	
Mn	109 6	128 57	53	
Cd	27	40	37	

b) Salze von Kalium.

Beobachtet						
	<i>a</i>	<i>c</i>	<i>o</i>	<i>p : p</i>	<i>q : q</i>	<i>2r</i>
Mg	0,7447	0,5014	75° 43',5	108° 22'		116'
Ni	0,7450	0,5060	7	28*)	128° 4'	117
Co	0,7379	0,5056	50	50	127 56	116
Fe	0,7407	0,5007	45	39		
Zn	0,7444	0,5075	46	24	127 54	
Cu	0,7489	0,5230	76 44	107 50	126 35	

v. Rath: Pogg. A. 115, 483. 116, 364.

Das optische Verhalten ist von Topsøe untersucht wor



Eingliedrig.

1) Von Ammonium.

	$a : b$	$b : c$	$a : c$	V. G.
Cd	119° 11'	98° 14'	99° 4'	3,376

2) Von Kalium.

Mn	115° 43'	92° 33'	97° 24'	3,070
Zn	117 21	92 58	98 45	3,21
Cd	115 50			

Selensaures Thonerde-Ammoniak (Kali).  $(R^I Se O^4 + Al Se$

Isomorph dem gewöhnlichen Alaun.

Volumgewicht (K-salz) 1,974. Weber.

Die Brechungsexponenten bestimmte Topsøe. — Web 108, 615. — Wohlwill: Ann. Ch. Pharm. 114, 191.

Isomorphe Mischungen von Sulfaten und Seleni  
S. Wohlwill: a. a. O. — Gerichten: Ebend. 168,

\*) v. Rath.

## Phosphorsaure Salze.

### (Phosphate.)

#### Phosphorsaures Ammoniak.

##### I. Diammoniumphosphat. $\text{HAm}^2\text{PO}^4$ .

Zw **e**i- und eingliedrig.  $a : b : c = 1,0443 : 1 : 1,198$  Mitscherlich **c**h.  $\alpha = 87^\circ 59'$ .

$$\frac{1}{2}p, \frac{r}{3}, a, c.$$

$$t = 3a : b : c. t' = 3a' : b : c.$$

	Berechnet	Beobachtet	
		Mitscherlich	Brooke
$t : t' =$		$84^\circ 30'$	$84^\circ 15'$
$t' : t' =$	$83^\circ 8'$		
$t : t' =$	$144 \ 40$		
$t : t' =$	$103 \ 40$		
$\frac{1}{2}p : \frac{1}{2}P =$	$66 \ 40$		
$a : c =$	$92 \ 4$		
$\frac{r}{3} : a =$		$109 \ 44$	$109 \ 32$
$c =$	$158 \ 15$		
$\frac{1}{2}p : c =$	$91 \ 7$		
$\frac{r}{3} =$	$100 \ 42$		
$t : a =$		$105 \ 23$	$105 \ 50$
$c =$	$128 \ 48$		
$t : a =$	$102 \ 57$		
$c =$	$128 \ 2$		

Fig. 480.

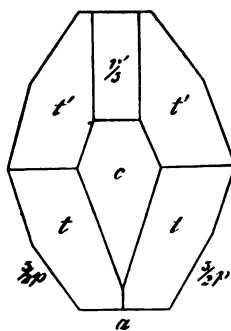


Fig. 480. — Prismatisch nach  $t$  (von Mitscherlich als  $p$  betrachtet). — Brooke : Ann. Phil. 22, 285. — Mitscherlich : Ann. Ch. Phys. 49, 185.

Volumgewicht: 1,678 Buignet (fraglich ob dieses Phosphat oder  $\text{H}^2\text{AmP O}^4$ ).

##### II. Ammoniumphosphat. $\text{H}^2\text{AmPO}^4$ .

Viergliedrig.  $a : c = 1 : 0,7124$  Mitscherlich.

$\alpha, p.$

	Berechnet	Beobachtet	
		Mitscherlich	Rammelsberg
$\alpha \begin{cases} 2A = 119^\circ 46' \\ 2C = \end{cases}$		$90^\circ 25'$	$119^\circ 50'$
$\alpha : p = 135 \ 43$			$90 \ 22$
			$135 \ 15$

Oft unsymmetrisch, und  $p$  herrschend. — Mitscherlich : Ann. Ch. Phys. 49, 364.

Volumgewicht: 1,758 Schiff.

## Optisches. Brechungsexponenten

 $o = 1,512-1,519; e = 1,476-1,477$  Sénarmont.

Für	C	D	F	
$o$	$1,5212$	$1,5246$	$1,5314$	$\frac{o}{e} = 1,0307$ Topsøe.
$e$	$1,4768$	$1,4792$	$1,4847$	

Wärmeleitung. — v. Lang: Wien. Ak. Ber. 54. Pogg. A. 43

## Phosphorsaures Kali.

Kaliumphosphat.  $H^2KPO^4$ .Viergliedrig.  $a : c = 1 : 0,664$  Mitscherlich.

$o, p$ .	Berechnet	Beobachtet	
		Mitscherlich	Brooke.
$o \left\{ \begin{array}{l} 2A = 122^\circ 6' \\ 2C = \end{array} \right.$		$86^\circ 24'$	$122^\circ 2'$
$o : p = 133 \ 42$			$133 \ 45$

Brooke: Ann. Phil. 23, 540.

Oft nur  $o$ ; Krystalle aus sauren Auflösungen zeigen  $p$  gekrümmt  
 $o$  emailweiss, mat., und schwankende Winkel. Mitscherlich.

Volumgewicht: 2,298 Schiff; 2,403 Buignet.

## Brechungsexponenten

 $o = 1,505-1,510; e = 1,465-1,472$  Sénarmont.

Für	C	D	F	
$o$	$1,5064$	$1,5095$	$1,5154$	$\frac{o}{e} = 1,028$ Topsøe.
$e$	$1,4664$	$1,4684$	$1,4734$	

Wärmeleitung. S. Ammoniumsalz.

## Phosphorsaures Natron.

I. Trinatriumphosphat.  $Na^3PO^4 + 12aq$ .

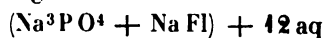
Zweigliedrig (?).

Rhombische Prismen mit Abstumpfung der scharfen Kanten u  
 rader Endfläche.

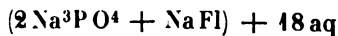
Volumgewicht des wasserfreien 2,511 Clarke.

## Trinatriumphosphat - Fluornatrium.

Beide Salze verbinden sich zu Doppelsalzen, welche in regulären  
 edern anschliessen. Briegleb stellte



dar, während ich



erhielt. Dasselbe Resultat gaben Krystalle aus Sodalaugen, welche  
 wenig Vanadinsäure enthalten, durch Schwefeleisennatrium gelblich  
 gefärbt sind und deren Fluorgehalt Baumgarten nachwies. — B

leb: Ann. Ch. Phys. 97, 95. — Rammelsberg: Pogg. A. 427, 458. — Monatsber. Berl. Akad. 1864, 650. 1880, 777. — Thorpe: J. Ch. Soc. (2) 10, 660.

## II. Dinatriumphosphat.

### 1) $\text{HNa}_2\text{PO}_4 + 7\text{aq.}$

Isomorph dem entsprechenden Kali-Natronphosphat und dem Natronarseniat. Haidinger vermochte es wegen mangelnden Glanzes der Flächen nicht zu messen. Pogg. A. 46, 640.

### 2) $\text{HNa}_2\text{PO}_4 + 12\text{aq.}$

Zwei- und eingliedrig.  $a : b : c = 1,7442 : 1 : 1,4324$  Mitscherlich.  $\alpha = 58^\circ 30'$ .

$o, o', p, q\frac{2}{3}, r', 2r', a, b, c.$

$m' = a' : 3b : c; n' = a' : 4b : c.$

	Berechnet	Mitscherlich	Beobachtet Brooke.	Rammelsb:
$o : o =$	$105^\circ 0'$	$106^\circ 48'$		
$o' : o' =$	$73 0$			
$o : o' =$	$126 38$			
$o : o' =$	$112 27$			
$p : p =$		$*67 50$	$67^\circ 30'$	$67^\circ 44'$
$a =$	$123 55$		$123 45$	
$b =$	$146 5$		$146 15$	
$c =$	$106 57$			
$q\frac{2}{3} : q\frac{2}{3} =$	$104 42$	$103 45$		
$c =$	$140 51$			$142 6$
$a : c =$		$*121 30$	$121 14$	
$r' =$	$109 48$			
$2r' =$	$142 42$			
$c : r' =$		$*129 12$	$129 12$	
$2r' =$	$95 48$			
$a : o =$	$132 2$			
$o' =$	$101 20$			
$c : o' =$	$112 4$		$112 27$	
$m' : m' =$	$134 30$			
$n' : n' =$	$142 40$			

Mitscherlich führt ausserdem zwei stumpfere erste Paare mit den Winkeln  $123^\circ 30'$  und  $130^\circ 17'$  an, welche sich den Werthen von  $p^3$  nähern.

Fig. 181. — Die gewählte Stellung mit ihren sehr schiefen Axen  $a$  und  $c$  lässt sich mit einer anderen vertauschen, wenn man

$$\begin{array}{lll} o' = 3o & m' = m = \frac{1}{3}a : b : c & r' = 3r \\ p = 3o' & n' = n = \frac{1}{4}a : b : \frac{3}{4}c & a = 3r' \\ o = \frac{o'}{3} & q\frac{2}{3} = c & 2r' = a \end{array}$$

setzt, während  $b$  und  $c$  ihre Bedeutung behalten. Dann ist

$$a : b : c = 1,7445 : 1 : 0,8186$$

$$\alpha = 84^\circ 12'.$$

Fig. 484.

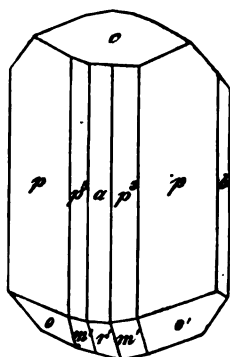
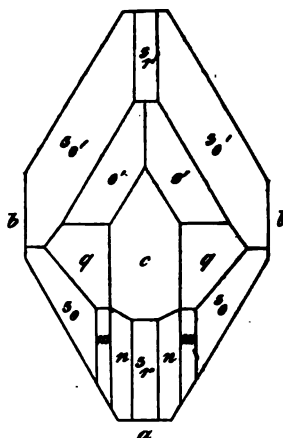


Fig. 483.



Berechnet	Mitscherlich	Beobachtet Brooke	Ramm
$\frac{o'}{s} : \frac{o'}{s} = 105^\circ 4'$	106° 18'		
$s_o : s_o = 73 \quad 0$			
$s_o' : s_o' =$	67 50	67° 30'	67° 1
$m : m = 131 \quad 30$			
$n : n = 142 \quad 40$			
$q : q = 101 \quad 40$	103 45		
$c = 140 \quad 50$			142
$a : c = 95 \quad 48$			
$s_r = 146 \quad 36$			
$s_r' = 142 \quad 42$			
$c : s_r =$	*129 12	129 12	
$s_r'' =$	*121 30		
$s_r : s_r' = 70 \quad 42$			
$s_o : a = 119 \quad 46$			
$c = 112 \quad 5$			
$s_o' : a = 116 \quad 21$			
$c = 106 \quad 57$			
$\frac{o'}{s} : a = 105 \quad 58$			
$c = 135 \quad 26$			
$m : a = 139 \quad 33$			
$c = 125 \quad 11$			
$n : a = 142 \quad 45$			
$c = 126 \quad 47$			



Fig. 182. — Die Krystalle sind in dieser Stellung nach dem hintern Augitpaar  $\gamma'$  prismatisch. — Mitscherlich: Ann. Ch. Phys. (2) 49, 449. — Brooke: Ann. Phil. 22, 286.

Optisches. Die Ebene der optischen Axen ist die Symmetrieebene  $ac$ , die Mittellinie bildet mit einer Normale auf die Axenebene  $ab^*$  einen Winkel von  $64^\circ 35'$  und mit einer solchen auf  $r'$  den von  $448^\circ 7'$ . Sénarmont. — Vgl. Miller: Pogg. A. 55, 627. — Des Cloizeaux: Nouv. Rech. 156.

Volumgewicht. 4,586 (bei  $8^\circ$ ) Kopp; 4,525 Schiff; 4,550 Buignet.

Ausdehnung von  $0-35^\circ = 0,005$ . Kopp.

Spec. Wärme. Zwischen  $2^\circ$  und  $-20^\circ = 0,454$  (0,4077 später) Person.

Schmelzpunkt.  $35^\circ$  Kopp;  $36^\circ,4$  Person.

Volumvermehrung beim Schmelzen = 5,4 pCt. (Kopp). Die spec. Wärme des geschmolzenen und wieder erstarrten ist = 0,676—0,776 (Person). Die latente Schmelzwärme für 1 Th. Salz ist 54,65 (66,8 später) Person.

Löslichkeit. — 1 Liter bei  $45^\circ$  gesättigter L. enthält 448,269 grm Salz und hat ein V. G. = 1,0469. Michel und Krafft.

1 Th. Salz erfordert bei  $45^\circ$  6,7, bei  $20^\circ$  5,8, bei  $25^\circ$  3,2 Th. Wasser; Neese. Bei  $46^\circ$  4,8 Th. A. Müller. — Vgl. Poggiale: Jahresh. 1863, 481.

Volumgewicht der Lösungen. — Schiff: Ann. Ch. Ph. 108, 326. 413, 483.

Lösungswärme und spec. Wärme der Lösungen. — Person: Ann. Ch. Phys. (3) 33, 437. — Thomsen: Ber. d. ch. Ges. 1873, 740.

Beim Lösen von 44 Th. in 100 Th. Wasser sinkt die T. von  $40^\circ,8$  auf  $7^\circ,1$ . Rudorff.

Einfluss auf den Siedepunkt. — Legrand: Pogg. A. 37, 388.

Spannkraft der Dämpfe aus siedenden Lösungen. — Wüllner: Eb. 440, 564.

### III. Natriumphosphat. $H^2NaPO^4 + aq$ .

Dimorph. Zweigliedrig.

A.  $a:b:c = 0,847:4:0,50$  Mitscherlich.

\* In der Stellung Mitscherlich's.

$o, p, q, q^2$ .

	Berechnet	Beobachtet
$o \begin{cases} 2A = 133^\circ 48' \\ 2B = 122 \quad 36 \\ 2C = 76 \quad 38 \end{cases}$		
$p : p =$		$*101^\circ 30'$
$q : q =$		$*126 \quad 53$
$q^2 : q^2 = 90 \quad 0$		
$p : q = 106 \quad 26$		
$q^2 = 116 \quad 35$		

Prismatisch nach  $p$ .B.  $a : b : c = 0,934 : 1 : 0,957$  Mitscherlich. $o, p, r, r\frac{2}{3}; a, c$ .

	Berechnet	Mitscherlich	Beobachtet Scacchi
$o \begin{cases} 2A = 112^\circ 28' \\ 2B = 106 \quad 58 \\ 2C = 109 \quad 0 \end{cases}$			
$p : p =$		$*93^\circ 54'$	
$r : r = 88 \quad 36$			
$c =$		$*134 \quad 18$	
$r\frac{2}{3} : r\frac{2}{3} = 111 \quad 20$			
$o : a = 126 \quad 31$			126 48
$c = 125 \quad 30$			125 9

Prismatisch nach  $p$ .

Die Bedingungen der Bildung beider Formen scheinen noch unbekannt zu sein. Scacchi beobachtete bei B. einen zwei- und eingliedrigen Typus, vielleicht Partialflächigkeit. Sind die Krystalle zwei- und eingliedrig? — Pogg. A. 109, 369.

Unter der Voraussetzung, dass beide Arten von Krystallen zweigliedrig, beide physikalisch und chemisch gleich seien, lassen sie sich doch vereinigen. Verwandelt man nämlich

in A	in B
$p \text{ in } r$	$r \text{ in } q$
$q - q^2$	$r\frac{2}{3} - q\frac{2}{3}$
$q^2 - q$	$a - b$
$o - a : \frac{1}{3}b : c$	$b - a$
	$o - a : \frac{1}{3}b : c$

so wird

$$a : b : c$$

$$\text{für A.} = 0,817 : 1 : 1,0$$

$$\text{— B.} = 0,803 : 1 : 1,025.$$

Das Hauptoktaeder würde folgende Winkel haben

A.	B.
$2A = 115^\circ 22'$	$115^\circ 24'$
$2B = 98 \quad 11$	$96 \quad 32$
$2C = 115 \quad 22$	$117 \quad 10$

r das zweite Paar  $q$  käme dann bei beiden vor; die A. wären prismatisch  $r$ , die B. nach  $p$ .

**Phosphorsaures Ammoniak-Natron** (Phosphorsalz).



ei- und eingliedrig.  $a : b : c = 2,8828 : 4 : 4,8646$  Mitscher-  
o  $= 80^\circ 42'$ .

$\frac{o'}{2}$ ,  $p$ ,  $p^3$ ,  $r$ ,  $2r$ ,  $r'$ ,  $2r'$ ,  $a$ ,  $c$ .

	Berechnet	Beobachtet
$\frac{o}{2} : \frac{o'}{2} = 144^\circ 0'$		
$\frac{o'}{2} : \frac{o'}{2} = 94 52$		
$\frac{o}{2} : \frac{o'}{2} = 153 25$		
$\frac{o}{2} : \frac{o'}{2} = 88 28$		
$p : p =$		$*38^\circ 44'$
$p^3 : p^3 = 92 48$		94 38
$a : c =$		$*99 48$
$r = 129 32$		
$r' =$		$*146 8$
$2r = 145 49$		145 43
$2r' = 138 56$		
$c : r = 149 46$		
$r' = 144 34$		
$2r = 133 29$		
$2r' = 129 46$		
$p : c = 93 4$		
$r = 102 7$		
$r' = 98 24$		
$2r = 105 55$		
$2r' = 104 29$		
$\frac{o}{2} : a = 109 46$		
$c = 137 46$		
$\frac{o'}{2} : a = 96 49$		
$c = 134 46$		

Fig. 183.

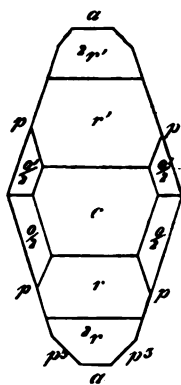
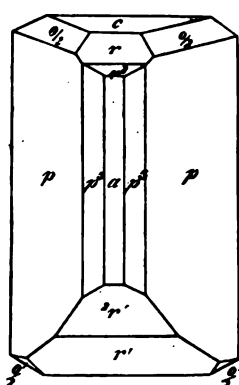


Fig. 184.



183, 184. — Mitscherlich: Ann. Ch. Phys. (2) 49, 399.

lsgewicht. 4,554 Schiff.

illiarität des geschmolzenen. — Quincke: Pogg. A. 435, 624.

lungswärme. Thomsen: S.  $\text{HNa}^2\text{PO}^4$ .

**Phosphorsaures Kali-Natron.**  $\text{HKNaPO}^4 + 7 \text{ aq.}$

ei- und eingliedrig.  $a : b : c = 4,2278 : 4 : 4,3574$  Mitscher-  
o  $= 83^\circ 39'$ .

$o, o', p, p^2, r', a, b, c.$

	Berechnet	Beobachtet
$o : o =$	$98^\circ 40'$	
$o' : o' =$	$92 \ 24$	
$o : o' =$	$113 \ 20$	
$o : o' =$	$120 \ 25$	
$p : p =$		$78^\circ 40'$
$c =$	$94 \ 1$	
$p^2 : p^2 =$	$116 \ 54$	$117 \ 20$
$c =$	$95 \ 24,5$	
$a : c =$		$96 \ 21$
$r' =$	$135 \ 2$	
$c : r' =$		$128 \ 37$
$o : a =$	$125 \ 58$	
$c =$	$122 \ 49$	
$o' : a =$	$120 \ 42$	
$c =$	$116 \ 46$	

Oft tafelartig nach  $c$ . — Mitscherlich: a. a. O. 396.

Isomorph mit  $\text{HNa}^2\text{PO}^4 + 7\text{aq}$ .

Anm. Mitscherlich giebt 50,4 pCt. Wasser an; dies  $v$  (berechnet 50,7 pCt.) entsprechen. Die Formel verlangt 47,5 pC hat 7aq bestätigt. Ann. Ch. Ph. 112, 94. Also ist der Wasser Rücksicht auf das Kalisalz und die beiden analogen Arseniate zu Volumgewicht: 4,674 Schiff.

### Phosphorsaures Thallium.

1.  $2(\text{HTl}^2\text{PO}^4) + \text{aq}$  oder  $\text{HTl}^2\text{PO}^4 + \text{aq}$ .

Zweigliedrig.  $a : b : c = 0,9344 : 4 : 0,7848$  Des Cloiz

$o, p^{\frac{2}{3}}, {}^3p, r, a.$	Berechnet	Beobachtet
$p : p =$	$94^\circ 4'$	
$a =$		$137^\circ 2'$
$p^{\frac{2}{3}} : p^{\frac{2}{3}} =$	$108 \ 10$	
$a =$	$144 \ 5$	$144 \ 1$
${}^3p : {}^3p =$	$39 \ 22$	
$a =$	$109 \ 41$	$109 \ 26$
$r : r =$	$99 \ 58$	
$a =$		$130 \ 4$


Tafelartig nach  $a$ .

Starke Dispersion der Axen,  $q > v$ . Der scheinbare Axen  
Öl Luft bei  $20^\circ$

$2H = 82^\circ 20'$	$2E = 149^\circ 35'$ Roth
$= 80 \ 23$	$= 145 \ 2$ Blau.

Des Cloizeaux: Ann. Ch. Phys. (4) 47, 340.

Die Form des Salzes steht der von  $\text{H}^2\text{NaPO}^4 + \text{aq}$  (Form B)

Die Axen  $a$    $b$ , die  $c = 5 : 6$ . Vielleicht ist der Wasser

Amey nicht ganz genau bestimmt. S. Rammelsberg: Ber. d. ch. G. 1870, 276.

II.  $\text{H}^2\text{TiPO}_4$ .

Zwei- und eingliedrig.  $a : b : c = 3,175 : 4 : 4,4577$  Des Cloizeaux.  $\alpha = 88^\circ 16'$ .

$o, o', 2r, 2r', 4r, 4r', a, c$ .

	Berechnet	Beobachtet
$o : o =$	$74^\circ 44'$	$75^\circ 0'$
$o' : o' =$	$73 \ 30$	
$o : o' =$	$150 \ 52$	$151 \ 0$
$o : o' =$	$113 \ 36$	
$a : c =$		$*94 \ 44$
$2r =$	$133 \ 34$	$133 \ 15$
$4r =$	$154 \ 54$	
$2r' =$	$134 \ 38$	$134 \ 34$
$4r' =$	$154 \ 3$	
$c : 2r =$	$138 \ 13$	$138 \ 29$
$4r =$	$119 \ 53$	
$2r' =$	$136 \ 37$	$136 \ 43$
$4r' =$	$117 \ 13$	$116 \ 12$
$o : a =$		$*105 \ 20$
$c =$	$122 \ 50$	$122 \ 54$
$o' : a =$	$103 \ 39$	$103 \ 44$
$c =$	$122 \ 50$	$122 \ 54$

Prismatisch nach der Verticalzone. Zwillinge nach  $c$ . Leicht spaltbar nach  $a$ .

Volumgewicht. 4,723.

Die Ebene der optischen Axen steht senkrecht zur Symmetrieebene, die Mittellinie ist negativ und fast senkrecht auf  $2r$ . Die Dispersion der Axen ist sehr stark, ihr scheinbarer Winkel ist bei  $13^\circ$

$$\begin{array}{ll} 2H = 43^\circ 43' & 2E = 66^\circ 10' \text{ Roth} \\ = 60 \ 50 & = 96 \ 58 \text{ Blau.} \end{array}$$

Isomorph  $\text{HAm}^2\text{PO}_4$ , denn die Axen

$$\begin{array}{l} a \text{ sind} = 4 : 3 \\ c \quad \quad = 5 : 6. \end{array}$$

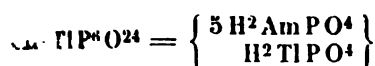
## Phosphorsaures Thallium-Ammoniak.

$$\text{Am}^5\text{TiP}^2\text{O}^8 \text{ Lamy} = \left\{ \begin{array}{l} 5\text{Am}^3\text{PO}_4 \\ \text{Ti}^3\text{PO}_4 \end{array} \right\} \text{ oder } \left\{ \begin{array}{l} \text{Am}^3\text{PO}_4 \\ \text{TiAm}^2\text{PO}_4 \end{array} \right\}.$$

Viergliedrig.  $a : c = 1 : 0,7107$  Des Cloizeaux.

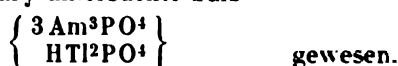
$o, p$	Berechnet	Beobachtet
		Des Cloizeaux      Rammelsberg
$\left\{ \begin{array}{l} 2A = \\ 2C = \end{array} \right.$	$\left\{ \begin{array}{l} 90^\circ 18' \\ 90^\circ 18' \end{array} \right.$	$\left\{ \begin{array}{l} *119^\circ 50' \\ 120^\circ 30' \end{array} \right.$
$o : p =$	$135 \ 9$	$135 \ 0$

... einaxig. negativ.  
... an einem Salz angestellt, welches



... des Thalliumsalzes mit  $\text{H}^2\text{AmPO}^4$  folgt.

... von Lamy untersuchte Salz



... von K und  $\text{NH}^4$  durch H ist durch die Thalliumsa  
... Rammelsberg: S. o.

### Ammoniak-Magnesia (Struvit, Guanit $\text{H}^2\text{MgPO}^4 - 6\text{H}_2\text{O}$ )

... niedrig.  $a : b : c = 0,5666 : 4 : 0,9424$  Sadebeck.

...  $2p, q, q^2, r, b, c$ .

Gerechnet	Sadebeck Marx		Beobachtet		
			Meyn	Rammelsb.	Teschem. Utri
83° 34'			83° 42'		83° 51'
138 34				138° 52'	138 1
	95° 16'	95° 10'	95 44	95 6	
132 37				132 40	
57 28	57 46	57 10	57 15		57° 30' 58
131 16					131 0 151
118 44					118 30 119
	63 44	63 30	63 29		63
121 50					121
	112 56				
92 12					
70 38					
133 18					
133 54					133 20
112 21					112 20

Die Krystalle sind

1. oktaedrisch. Fig. 185. Am oberen Ende  $q$  und  $r$ , am unteren Ende  $r$  sind stark horizontal gestreift;  $c$ , welches bisweilen bauchig.

2. prismatisch. Fig. 186; auch hier tritt  $r$  unten auf.

3. Die Krystalle sind nach der Axe  $b$  verlängert, also die  $r$  sind

4. Nach Axe  $a$  verlängert: hier findet sich das erste Paar  $2p$ . Fig. 11  
Unten  $q^2$  und Andeutungen von  $s$ .

• An Braunschweiger Krystallen 138° 20' und 95° 10'.



Die von Teschemacher untersuchten Krystalle aus Guano kommen vierten Typus nahe.

Fig. 185.

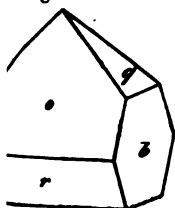


Fig. 186.

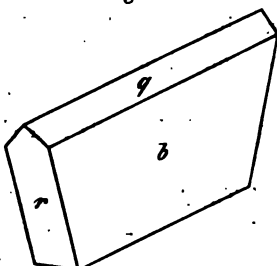
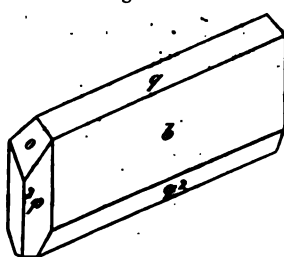


Fig. 187.



Australische Krystalle, Fig. 188, sind nach Ulrich dadurch ausgezeichnet, dass sie  $c$  an beiden Enden,  $q$  am einen,  $q$  und  $q^2$  am anderen,  $r$  an einem Ende tragen. Sie sind nicht hemimorph, die Flächen erscheinen unvollzählig.

Die mikroskopischen Krystalle gehören bald dem einen, bald dem andern Typus an.

Zwillinge nach der Fläche  $c$ : haben die Axen gemein, die Enden der Axe  $c$  liegen beiden Krystallen entgegensetzt. Dabei ist entweder —  $c$  Zwillingfläche (Krystalle von Burg Fig. 189, oder +  $c$  Krystalle von Braunschweig), Fig. 190. Immer sind beide Krystalle ungleich gross, auch gegen einander verschoben. — Vgl. auch Sadebeck: Groth Ztschr. 4, 42.

Fig. 188.

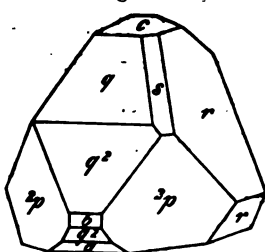


Fig. 190.

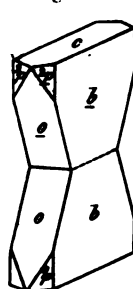
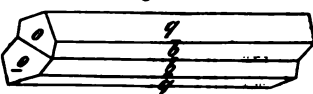


Fig. 189.



Vollkommen spaltbar nach  $c$ , weniger nach  $b$ .

Durch Aetzversuche hat sich Sadebeck überzeugt, dass die Krystalle tetraedrisch sind.

Axe  $c$  ist die pyroelektrische Axe; das obere Ende stellt den antilogen dar.

Meyn: Amtl. Ber. d. Naturf.-Vers. in Kiel 1846 S. 246. — De la Provostaye: C. r. 53, 442. — Teschemacher: Phil. Mag. (3) 28, 546. — Marx (Ulex): Ueber den Struvit. Hamburg 1846. — Ulrich: Contrib. to the Min. of Victoria. Melbourne 1870. — Sadebeck: Tschermak Min. Mitth. 1877. 443.

Optisches. Ebene der optischen Axen = Axenebene  $ab$ ,  
linie =  $b$ . Scheinbarer Axenwinkel  $2E =$

$46^{\circ} 32'$  Roth;  $47^{\circ} 30'$  Gelb;  $48^{\circ} 46'$  Violett.

Also  $\varphi < v$ . Der Axenwinkel scheint zu variiren (Miller  $59^{\circ} 30'$ ,  
 $60^{\circ} 30'$ ). Mittlerer Brechungsexponent  $\beta$  bei  $48^{\circ} = 1,497$  Roth  
Gelb. — Des Cloizeaux.

Löslichkeit. — 4 Th. wasserfreies Salz löst sich bei  $20^{\circ}$  in  
13497 Th. Wasser

34048 - Mischung von 4 Th. Ammoniak (0,964) und 4 Th.

36764 - - - 4 - - und 4 Th. Wasser

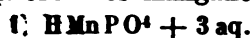
45206 - - - 2 - - - 4 - -

52442 - - - 3 - - - 4 - -

60883 - Ammoniak. Ebermayer.

4 Th. löst sich bei mittlerer T. in 45293 Th. Wasser und in 45  
ammoniakhaltigen Wassers. Fresenius. — Vgl. Kubel: Ztsch  
Ch. 8, 425. — Heintz: Eb. 9, 46.

### Phosphorsaures Manganoxydul.



Zweigliedrig.  $a : b : c = 0,911 : 1 : 0,938$  Des Cloizeau

$a, \frac{a}{2}, 3p, \frac{r}{2}, r^2, a, b, c.$

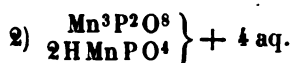
Berechnet		Beobachtet	
		Des Cloizeaux	Haushofer
$a$	$2A =$	$113^{\circ} 40'$	$112^{\circ} 34'$
	$2B = 106^{\circ} 10'$	106 35	107 8
	$2C = 108 40$	108 43	109 26
$\frac{a}{2}$	$2A = 134 44$		
	$2B = 130 2$		
	$2C = 69 42$		
$3p$	$3p = 57 32$		
	$r = 151 44$	152	
$r^2$	$r^2 = 51 46$	52 3	
	$r = 115 53$	115 49	
$\frac{r}{2}$	$\frac{r}{2} = 125 32$		
	$r = 152 46$		154 2
$a$	$a = 117 44$		116 16
	$c =$	$125 40$	126 59
$\frac{a}{2}$	$c = 154 9$		146 8

Tafelartig nach  $c$ . Herrschend  $c$ , die übrigen Flächen sehr kl  
Ebene der optischen Axen = Axenebene  $ab$ . Mittellinie =  $a$ .  
von der Axen schweb.  $\varphi < v$ . Annähernd bei  $44^{\circ}$



$2E = 418^\circ 27'$  Roth,  $419^\circ 20'$  Blau.

es Cloizeaux: Nouv. Réch. 84. — Haushofer: Groth Ztschr. 2, 198.



Zwei- und eingliedrig.  $a : b : c = 1,9927 : 1 : 1,7122$  Haushofer.  
 $o = 82^\circ 26'$ .

$p, r', a, c.$	Berechnet	Beobachtet
$p : p =$		$53^\circ 42'$
$a = 416^\circ 51'$		117 40
$a : c =$		$97^\circ 34'$
$r' =$		$132^\circ 19'$
$c : r' = 130 \quad 7$		130 8

Sehr kleine Krystalle, deren  $p$  vertical gestreift sind. S. o.

### Phosphorsaures Manganoxyd.

Das Absorptionsspectrum der Lösung Hoppe-Seyler: J. f. pr. Ch. 90, 303.

**Phosphorsaures Zink.**  $\text{H}^4\text{ZnP}^2\text{O}^8 + 2\text{aq.}$

Eingliedrig.  $a : b : c = 0,6224 : 1 : 0,74$  Demel.

$A = 86^\circ 48'; \quad B = 107^\circ 44'; \quad C = 69^\circ 42'$   
 $\alpha = 87^\circ 22'; \quad \beta = 107^\circ 32'; \quad \gamma = 69^\circ 32'.$

$o, o', o'', o''', 2p, r', a, b, c.$

	Berechnet	Beobachtet
$a : b =$		$69^\circ 42'$
$2p : b = 131^\circ 53'$		132 12
$c = 100 \quad 25$		100 28
$b : c =$		$86^\circ 18'$
$a : c =$		$107^\circ 44'$
$o : a = 136 \quad 44$		136 55
$b = 97 \quad 47$		97 45
$c = 139 \quad 26$		139 20
$o' : a = 147 \quad 7$		146 55
$b = 124 \quad 58$		125 10
$c = 132 \quad 15$		132 20
$o'' : a = 134 \quad 10$		133 58
$b =$		$130^\circ 22'$
$c =$		$140^\circ 33'$
$o''' : a = 120 \quad 0$		120 2
$b = 106 \quad 3$		106 6
$c = 120 \quad 53$		

Prismatisch nach  $a$  und  $b$ .

Die vorstehenden berechneten Zahlen rühren von Groth her. — Wien. k. Ber. 79. — Groth Ztschr. 5, 653.

**Phosphorsaures Luteokobaltchlorid.**

(Zusammensetzung nicht bekannt.)

Zweigligdrig.  $a : b : c = 0,9866 : 1 : 1,044$  Braun. $p, q^2, r, a, c.$ 

	Berechnet	Beobachtet
$p : p = 90^\circ 46'$		$90^\circ 42'$
$q^2 : q^2 = 51 \ 41$		
$c =$		$*115 \ 23,5$
$r : r = 86 \ 46$		
$c =$		$*133 \ 23$

Ann. Ch. Ph. 125, 189.

**Pyrophosphate.****Pyrophosphorsaures Natron.**  $\text{Na}^4\text{P}^2\text{O}_7 + 10 \text{ aq.}$ Zwei- und eingliedrig.  $a : b : c = 1,2872 : 1 : 1,890$  Handl.  
 $\alpha = 81^\circ 43'.$  $p, q, r, r', c.$ 

	Berechnet	Handl.	Haidinger	Scacchi	Rammelsb.
$p : p =$		$*76^\circ 45'$			$77^\circ 45'$
$c =$		$*95 \ 6$			
$q : q = 56^\circ 46'$					
$c = 118 \ 8$		118 0			
$r : r' = 68 \ 46$			$68^\circ 42'$	$67^\circ 40'$	67 50
$c : r = 129 \ 46$		129 48			129 37
$r' = 118 \ 30$		118 28	118 22		119 40
$p : q \text{ vorn} = 137 \ 26$		137 25			
$\text{hint.} = 130 \ 39$		130 36			130 0
$p : r =$		$*121 \ 46$		121 34	
$r' = 119 \ 38$		119 44		119 27	
$q : r = 107 \ 35$		107 34			107 30
$r' = 102 \ 56$		102 55			

Fig. 191.

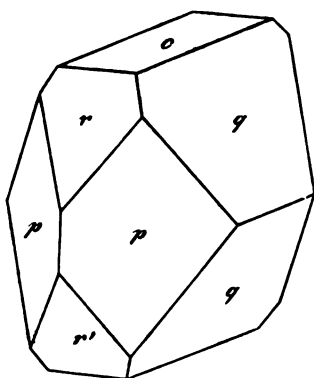
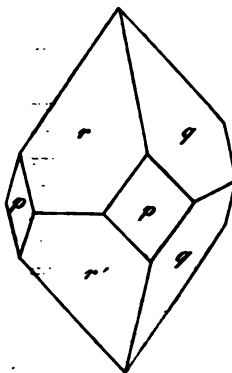


Fig. 192.



94, 492. — Haidinger beobachtete auch  $a' : \frac{1}{2}b : c$ . Scacchi  
 weilen nur an einer Seite. — Haidinger: Pogg. A. 46, 540. —  
 : S. salpeters. Baryt. — Handl: Wien. Ak. Ber. 32.  
 umgewicht: 4,836 Joule und Playfair; 4,772 Clarke,  
 2,38 Derselbe.

### Pyrophosphorsaures Thallium.

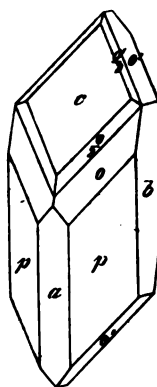
#### 1) $\text{Th}^4\text{P}_2\text{O}_7$ .

i- und eingliedrig.  $a : b : c = 1,4274 : 1 : 1,2921$  Des  
 ux.  $\alpha = 66^\circ 0'$ .

$\frac{a}{2}, \frac{a'}{2}, p, a, b, c$ .

	Berechnet	Beobachtet
$\alpha : \alpha =$		$*107^\circ 6'$
$\alpha' : \alpha' =$	$82^\circ 46'$	82 43
$\alpha : \alpha' =$	120 12	120 20
$\alpha : \alpha' =$	112 51	
$\frac{a}{2} : \frac{a}{2} =$	129 8	
$\frac{a'}{2} : \frac{a'}{2} =$	113 38	
$p : p =$		$*74 58$
$a =$	127 29	127 27
$b =$	142 31	142 34
$c =$	104 20	104 43
$a : c =$		$*144 0$
$\alpha : a =$	134 19	
$b =$	126 27	126 27
$c =$	133 30	133 24
$p =$	150 50	150 40
$\alpha' : a =$	108 29	108 30
$b =$	138 37	138 30
$c =$	113 39	113 37
$p =$	142 4	142 0
$\frac{a}{2} : b =$	145 25	
$c =$	148 22	148 40
$p =$	135 58	136 20
$\frac{a'}{2} : a =$	138 3	138 57
$b =$	123 44,5	
$p =$	117 36,5	

Fig. 493.



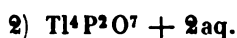
493. — Häufig Zwillinge nach  $a$ . — Leicht spaltbar nach  $p$ .  
 umgewicht = 6,786.

Ebene der optischen Axen ist fast parallel der basischen Endfläche  
 tellinie ist negativ, und bildet Winkel von  $86^\circ 44'$  bis  $87^\circ 4',5$  mit

einer Normalen auf Fläche  $c$ , und von  $20^\circ 44'$  bis  $24^\circ 4',5$  mit einer  $a$  auf Fläche  $a$ . Die eigenthümliche Dispersion der Axen ist sehr stark; der scheinbare Winkel ist bei  $24^\circ$

$2E = 125^\circ 48'$  Roth,  $112^\circ 30'$  Gelb,  $89^\circ 47'$  Grün,  $52^\circ 34'$  Blau.

Dieses wasserfreie Salz erweicht bei  $120^\circ$ ; in Wasser zersetzt zum Theil unter Abscheidung eines schwerer löslichen basischen



Zwei- und eingliedrig.  $a : b : c = 2,1022 : 1 : 1,921$  Gloizeaux.  
 $\alpha = 65^\circ 3'$ .

$o', p, p^2, \frac{q}{2}, a, c.$

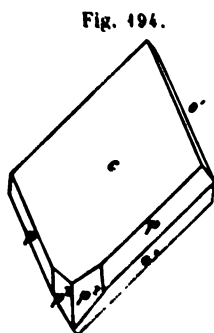


Fig. 194.

	Berechnet	Beobachtet
$p : p =$		$55^\circ 22'$
$a = 117^\circ 41'$		117 32
$c = 101 48$		101 17
$p^2 : p^2 = 92 46$		91 48
$p = 161 48$		161 35
$c = 107 47$		107 40
$a : c =$		$114 57$
$\frac{q}{2} : \frac{q}{2} = 97 52$		
$o' : o' = 61 16$		60 48
$c =$		$107 40$
$p = 151 2$		
$p : \frac{q}{2} = 136 50$		136 0
$o' : \frac{q}{2} = 112 34$		113 33

Fig. 194. — Tafelartig nach  $c$ .

Die Ebene der optischen Axen ist senkrecht zur Axenebene  $ac$ . Mittellinie ist negativ, bildet Winkel von  $47^\circ 41'—40'$  mit einer Norm auf Fläche  $c$ , und  $17^\circ 19'—23'$  mit einer solchen auf Fläche  $a$ . Die horizontale Dispersion ist schwach; die Mittellinie der rothen und der blauen Axen nur  $= 0^\circ 29'$ ; die eigenthümliche Dispersion der Axen ist merklich  $\varphi < \psi$ . Ihr scheinbarer Winkel bei  $20^\circ$  etwa

$$\begin{array}{ll} 2H = 64^\circ 21' & 2E = 102^\circ 38' \text{ Roth} \\ = 65 55 & = 107 2 \text{ Blau.} \end{array}$$

Dieses Salz krystallisirt aus der Mutterlauge des vorigen; es ist leichter als dieses und verliert das Wasser unterhalb der Glühhitze, (schmolzen bildet es ein klar bleibendes Glas.

## Unterphosphorsaure Salze. (Hypophosphate.)

### Unterphosphorsaures Kali.

Saures.  $2\text{HKPO}^3 + \text{aq.}$

Zweigliedrig.  $a : b : c = 0,6792 : 4 : 0,8508$  Fresenius.

$s = 2a : b : c.$

$p, q, b, c.$

	Berechnet	Beobachtet
$s \begin{cases} 2A = 129^\circ 0' \\ 2B = 108 \ 24 \\ 2C = 93 \ 10. \end{cases}$		$125^\circ 16' \text{ appr.}$
$p : p =$		$*111 \ 38$
$q : q =$		$*99 \ 13$
$p : q = 111 \ 21$		

Prismatisch nach  $p$  und  $b$ . Spaltbar nach  $b$ .

Beide optische Axen sind durch  $b$  in  $a$  sichtbar. — Fresenius: Groth Ztschr. 3, 644.

### Unterphosphorsaures Ammoniak.

1) Saures.  $\text{HAmPO}^3.$

Zweigliedrig.  $a : b : c = 0,6323 : 4 : 0,825$  Haushofer.

$p, \frac{q}{2}, b.$

	Berechnet	Beobachtet
$p : p =$		$*115^\circ 23'$
$\frac{q}{2} : \frac{q}{2} = 135^\circ 10'$		
$\frac{q}{2} : b =$		$*112 \ 25$
$p : \frac{q}{2} = 101 \ 46$		$101 \ 35$

Istes isomorph mit dem wasserhaltigen Kalisalze? Sind beide chemisch verschieden? — Haushofer: Groth Ztschr. 3, 608.

2) Saures.  $2\text{HAmPO}^3 + \text{aq}^*).$

Zwei- und eingliedrig.  $a : b : c = 1,6692 : 4 : 1,4905$  Fresenius.

$o = 75^\circ 47.$

$o', p, p^2, r, 2r', c.$

	Berechnet	Beobachtet
$p : p =$		$*63^\circ 26'$
$c =$		$*97 \ 25$
$p^2 : p^2 = 104^\circ 45'$		$102 \ 23$

<sup>\*)</sup> Diese Formel ist zweifelhaft.

	Berechnet	Beobachtet
$p^2 : c =$	$101^\circ 0'$	$101^\circ 25'$
$r : c =$	$139 \ 45$	$139 \ 50$
$2r' : c =$		$*107 \ 58$
$o : c =$	$114 \ 53$	$117 \ \text{appr.}$

Kleine trübe Prismen  $p$ , von rauhen Flächen, schlecht  
A. a. O. 609.

### Unterphosphorsaures Natron.

#### 1) Normales. $\text{Na}_2\text{PO}_3 + 5\text{aq.}$

Zwei- und eingliedrig.  $a : b : c = 0,6122 : 1 : 0,9526$  Fr  
 $o = 78^\circ 12'$ .

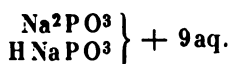
$^2p, q, q^2, r, r', c.$

	Berechnet	Beobachtet
$^2p : ^2p =$		$*79^\circ 40'$
$q : q =$	$94^\circ 0'$	
$c =$	$137 \ 0$	
$q^2 : q^2 =$	$56 \ 24$	
$c =$	$118 \ 12$	
$a : c =$	$101 \ 48$	
$r =$	$150 \ 55$	
$r' =$	$144 \ 5$	
$c : r =$	$130 \ 53$	
$r' =$	$114 \ 7$	
$^2p : r =$		$*115 \ 0$
$r' =$		$*121 \ 15$
$q : r' =$	$135 \ 0$	$135 \ 32$
$q^2 : r' =$	$101 \ 28$	$101 \ 32$

Prismatisch nach der Verticalzone; spaltbar nach  $b$ . Häufig  
nach  $r'$ .

Optische Axenebene  $ac$ , die Mittellinie geht durch den  
Groth Ztschr. 3, 610.

#### 2) Normales und saures.



Zwei- und eingliedrig.  $a : b : c = 1,5592 : 1 : 1,51$   
hofer.  $o = 77^\circ 33'$ .

$o, o', p, q\frac{2}{3}, q\frac{1}{3}, r, ^3r, r', ^3r' \frac{2}{3}r', c.$

$v = a' : b : \frac{7}{3}c (\frac{1}{3}c^2).$

$x = a' : b : \frac{1}{3}c (3c^2)$

	Berechnet	Beobachtet
$p : p =$		$66^\circ 36'$
$c =$		$*96 \ 48$
$q\frac{2}{3} : c =$	$138^\circ 29'$	$137 \ 19$



	Berechnet	Beobachtet
$q\frac{1}{2} : c =$	$132^{\circ} 7'$	$132^{\circ} 7'$
$q^3 : c =$	$102 44$	$102 33$
$r : c =$		$141 57$
$2r : c =$	$119 48$	$119 55$
$r =$	$157 51$	$157 56$
$r' : c =$	$129 54$	$130 0$
$\frac{1}{2}r' : c =$	$115 49$	$115 35$
$3r' : c =$	$97 29$	$98 42$
$o : c =$	$124 36$	$124 35$
$r =$	$115 3$	$114 57$
$o' : c =$	$114 18$	$112 37$ appr.
$v : c =$	$105 26$	$105 20$
$x : x =$	$114 22$	$114 30$
$c =$	$93 13$	$93 27$
$o =$	$169 59$	$170 0$

Meist tafelartig nach  $c$ . Die Flächen  $r, v, x$  treten nur in der vorderen,  $o, r', \frac{1}{2}r', 3r'$  nur in der hinteren,  $q\frac{1}{2}$  und  $q\frac{3}{2}$  nur in ihrer oberen,  $r^3$  nur in ihrer unteren Hälfte auf, und nur an einzelnen Krystallen finden sich Andeutungen der correspondirenden Flächen, daher die Krystalle hemimorph erscheinen. Fig. 195 und 196.

Fig. 195.

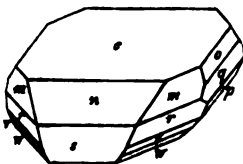
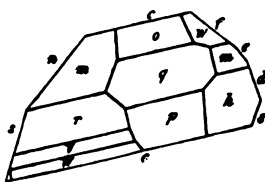


Fig. 196.



Zwillinge. Zwillingsfläche ist eine Fläche senkrecht zur Axe  $a$ ; beide Krystalle erscheinen nur mit ihren vorderen Hälften, umgekehrt verwachsen wie Bild und Spiegelbild; die  $c$  fallen in eine Ebene und die Zwillinge zeigen zweigliedrige Symmetrie.

Die Ebene der optischen Axen liegt senkrecht zu  $ac$ , die erste Mittellinie nahe senkrecht zu Fläche  $c$ . — Haushofer: Groth Ztschr. 3, 606.

### 3) Saures. $\text{HNaPO}_3 + 3\text{aq.}$

Zwei- und eingliedrig.  $a : b : c = 2,043 : 1 : 3,3473$  Rammelsberg.  
 $o = 81^{\circ} 38'$ .

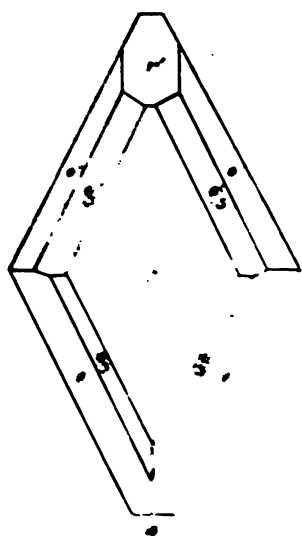
$o, o', \frac{o}{3}, \frac{o'}{3}, r', a, c.$

	Berechnet	Beobachtet		
		Rammelsberg	Haushofer	Fresenius
$o : o =$		$63^{\circ} 16'$	$64^{\circ} 17'$	$63^{\circ} 41'$
$o' : o' =$	$56^{\circ} 48'$		$57 30$	
$o : o' =$	$129 20$	$129 20$		
$o : o' =$	$149 46$	$149 40$	$149 36$	

Rammelsberg, physik. Chemie.

		Berechnet	Beobachtet		
			Rammelsberg	Haushofer	Fi
$\frac{o}{3}, \frac{o'}{3}$	$\frac{o}{3} : \frac{o}{3}$	$= 95^{\circ} 6'$			
	$\frac{o'}{3} : \frac{o'}{3}$	$= 88 \quad 4$		$88^{\circ} 49'$	
	$a : c$	$= 98 \quad 22$	$98^{\circ} 30'$		
	$r' =$	$146 \quad 28$	$146 \quad 30$		
	$c : r' =$	$115 \quad 40$	$115 \quad 0$	$115 \quad 10$	
	$o : a =$		$*117 \quad 48$		
	$c =$		$*108 \quad 34$	$108 \quad 52$	$4$
	$o' : a =$	$113 \quad 22$	$113 \quad 18$		
	$c =$	$101 \quad 40$	$101 \quad 45$	$102 \quad 20$	$4$
	$r' =$	$118 \quad 24$	$119 \quad 0$		
	$\frac{o}{3} : c =$	$131 \quad 17$	$132 \quad \text{appr.}$	$130 \quad \text{appr.}$	$4$
	$o =$	$157 \quad 17$	$157$		
	$\frac{o'}{3} : c =$	$126 \quad 50$	$126 \quad 55$	$127 \quad 27$	$4$
	$o' =$	$154 \quad 50$	$154 \quad 55$	$155 \quad 10$	

Fig. 197.



Die von mir beobachteten Kryst  
tafelartig nach  $c$  (der Aufwachungsflä  
ausgedehntesten sind die  $o$ , während  
fehlen. — Fig. 197.

Nach Haushofer sind sie auch  
tisch nach  $o$  welche er als verticale  
 $p = a : b : \infty c$  genommen und danac  
stem berechnet hat mit dem Ax  
 $o = 52^{\circ} 33'$ .

Zwillinge nach  $r'$ .

		Berechnet	Beobachte	
			Rammelsb.	Haush.
$c : r' =$		$129^{\circ} 40'$	$128^{\circ} 22'$	$129^{\circ}$
$o' : c =$		$123 \quad 12$		

Spaltbar nach  $c$ . — Farblos, dur  
stark glänzend

Optische Axenebene  $ac$ : Mittell  
senkrecht auf  $c$ . Doppelbrechung posit

ser ius bestimmte und berechnete die Axenwinkel.

Haushofer: *Groß Zischn.* I. 823. 3. 625. — Fresenius: E

Die Form dieses Salzes verliert mit der von  $\text{Na}_2\text{PO}_4 +$   
glichen zu werden. Ihre Axen  $a$  sind gleich:  $a = b$  ist bei bei  
nahe gleich.



**Unterphosphorsaurer Baryt.**



**Zwei-** und eingliedrig.  $a : b = 1,848 : 1$  Fresenius.  
 $o = 57^\circ 4'.$

**p, a, c.**

Beobachtet  
 $a : c = *122^\circ 56'$   
 $p : p = *65 \ 38$   
 $c = 106 \ 17$

**Prismatisch** nach  $a$  und  $c$ . — Fresenius: Groth Ztschr. 3, 644.

**Unterphosphorigsaure Salze.**  
(Hypophosphite.)

**Unterphosphorigsaures Thallium.**  $\text{H}_2\text{TlPO}_2$ .

**Zweigliedrig.**  $a : b : c = 0,786 : 1 : 0,805$  Rammelsberg.

**o, p, b.**

	Berechnet	Beobachtet
$o \left\{ \begin{array}{l} 2A = 124^\circ 18' \\ 2B = 102 \ 50 \\ 2C = 105 \ 0 \end{array} \right.$		$124^\circ \ 0$ $103 \ 0$
$p : p =$		$*103 \ 40$
$o =$		$*142 \ 30$

Monatsber. Berl. Akad. 1872, 444.

**Unterphosphorigsaures Lithion.**  $\text{H}_2\text{LiPO}_2$ .

**Zwei-** und eingliedrig.  $a : b : c = 1,6228 : 1 : 1,9518$  Rammelsberg.  
 $o = 79^\circ 52'.$

**q, r', a, c.**

	Berechnet	Beobachtet
$q : q =$		$*55^\circ \ 0$
$c = 117^\circ 30'$		$117 \ 22$
$a = 94 \ 40$		
$a : c =$		$*100 \ 8$
$c : r' =$		$*123 \ 40$
$a : r' = 136 \ 12$		$136 \ 5$
$q : r' = 94 \ 28$		

**Prismatisch** nach der Verticalzone.

**Kleine**, farblose, durchsichtige Krystalle. A. a. O. 416.

**Unterphosphorigsaurer Baryt.**  $\text{H}^4\text{BaP}_2\text{O}_4 + \text{aq.}$

**Zwei-** und eingliedrig.  $a : b : c = 1,575 : 1 : 2,00$  Rammelsberg.  
 $o = 79^\circ 40'.$

$\frac{p}{2}, \frac{q}{2}, p, q, r, r', \frac{r'}{2}, a, c.$

$s = \frac{1}{2}a : b : c.$  Berechnet

Beobachtet  
Rammelsberg      Topsøe

$$\frac{o}{2} : \frac{o}{2} = 104^{\circ} 46'$$

$$\frac{o'}{2} : \frac{o'}{2} = 95 \ 34$$

$$s : s = 111 \ 32$$

$$p : p = 65 \ 40$$

$$c = 95 \ 35$$

$$q : q =$$

$$a = 94 \ 39$$

$$a : c =$$

$$r =$$

$$r' = 137 \ 57$$

$$\frac{r'}{2} = 114 \ 51$$

$$c : r = 134 \ 30$$

$$r' = 121 \ 43$$

$$\frac{r'}{2} = 114 \ 49$$

$$p : r = 116 \ 39$$

$$r' = 113 \ 44$$

$$q : r = 108 \ 27$$

$$r' = 103 \ 44$$

$$\frac{o}{2} : a = 120 \ 21$$

$$c = 133 \ 44$$

$$\frac{o'}{2} : a = 108 \ 8$$

$$c = 127 \ 16$$

$$s : a = 141 \ 2$$

$$c = 114 \ 35$$

$$q = 133 \ 37$$

$$112^{\circ} \ 0'$$

$$111^{\circ} \ 7$$

$$*53 \ 40$$

$$94 \ 30$$

$$94 \ 18$$

$$*100 \ 20$$

$$99 \ 53$$

$$*155 \ 50$$

$$155 \ 29$$

$$137 \ 30$$

$$138 \ 28$$

$$134 \ 15$$

$$134 \ 0$$

$$122 \ 30$$

$$121 \ 47$$

$$115 \ 8$$

$$116 \ 30$$

$$116 \ 32$$

$$113 \ 0$$

$$113 \ 58$$

$$109 \ 15$$

$$108 \ 26$$

$$104 \ 20$$

$$103 \ 57$$

Fig. 198.

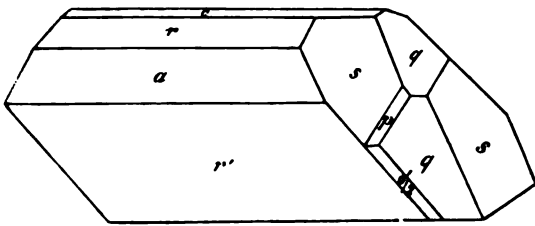
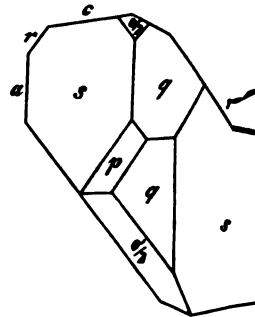


Fig. 199.

Fig. 198, 199. — Zwillinge nach  $r'$  sehr häufig.

isch nach der Verticalzone und oft tafelartig nach  $a$ . In der  $e$   $s$  und  $q$  (oft nur ein  $q$ ) herrschend. Die  $r'$  oft stark gestreift. berg: a. a. O. 448. — Topsøe: Vet. Akad. Handl. 1874. gewicht. 2,872 Clarke.

**Unterphosphorigsaurer Kalk.**  $H^4CaP^2O^4$ .

und eingliedrig.  $a : b : c = 0,86934 : 1 : 1,2002$  Ram-  
 $o = 75^\circ 42'$ .

$r', a, b, c$ . —  $s' = 3a' : b : c$ .

	Berechnet	Beobachtet	
		Rammelsberg	Schabus
: $o' =$		*103° 40'	103° 56'
: $s' =$	80° 52'		
: $p =$	43 16		
: $c =$	95 24		
: $c =$		*103 40	
: $r' =$	139 20		
: $r' =$	115 52		
: $a =$		*126 25	126 35
: $c =$	110 4		
: $a =$	97 44	99 30	99 37
: $c =$	125 24	125 50	
: $o' =$	151 3	152 30	

ig nach  $a$ . Zwillinge nach  $a$ . Die  $s$  bilden ein- und aus-  
Vinkel von  $164^\circ 32'$  (gef.  $163^\circ$  ungef. Rammelsberg).

stalle sind meist dünne Blättchen, die auf  $a$  Perlmutterglanz  
 $p$  sind uneben, in ihrem Zeichen überhaupt nicht sicher. In  
 $g$  ist oft  $s'$  allein vorhanden, herrscht immer vor;  $c$  ist sehr  
eich nicht beobachtet. — Rammelsberg: a. a. O. 426. —  
3. 400.

**erphosphorigsaure Magnesia.**  $H^4MgP^2O^4 + 6aq$ .

k-, Kobalt- und Nickelsalz von gleichem Wassergehalt. Sind  
d krystallisiren in anscheinend regulären Oktaedern.

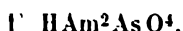
ewicht des Zinksalzes 2,046, des Kobaltsalzes 1,841, des  
1,856 bei  $49^\circ$ . Clarke.

arsensaure Salze.

## Arsensaure Salze.

Arsenate.

### Arsensaures Ammoniak.



zwei- und eingliedrig.  $a : b : c = 0,918 : 1 : 1,1715$  Mitscherlich.  
 $\alpha = 88^\circ 47'.$

	Berechnet	Beobachtet	
		Mitscherlich	Rammelsberg
$\alpha =$	$84^\circ 20'$	$+85^\circ 54'$	$83^\circ 50'$
$\beta =$	$67^\circ 34'$		
$\gamma =$	$123^\circ 47'$		$123^\circ 15'$
$\delta =$	$91^\circ 13'$		
$\frac{r}{s} =$		$+109^\circ 8'$	
$\frac{r}{t} =$	$169^\circ 39'$		
$\frac{r}{u} =$		$+105^\circ 46'$	$106^\circ 0'$

Querschnitt dem Phosphat.



zwei- und eingliedrig.  $a : b : c = 1 : 0,715$  Mitscherlich.

	Berechnet	Beobachtet	
		Mitscherlich	Topsøe
$\alpha =$	$119^\circ 36'$		$119^\circ 53'$
$\beta =$		$+90^\circ 41'$	$90^\circ 10'$

mit eckförmig durch Vorherrschen einer Fläche. — Topsøe:

Querschnitt.

Molekulargewicht. 2,249 Schiff; 2,308 Topsøe.

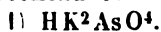
Refraktionsindex ist für

$$n_D = 1,577 \quad e = 1,524 \text{ Sénarmont.}$$

	D	F	
$n_D$	1,5216	1,5314	$\frac{D}{F} = 1,0307$ Topsøe u. Christian
$n_F$	1,4792	1,4847	

Wärmeleitung. v. Lang: Wien. Ak. Ber. 54. Pogg. A. 132

### Arsensaures Kali.



zwei- und eingliedrig.  $a : b : c = 0,9875 : 1 : 1,176$  Rammsen.  
 $\alpha = 87^\circ 32'.$

$$l = 3a : b : c. - \frac{1}{2}p, \frac{r'}{3}, a, c.$$

	Berechnet	Beobachtet
$l : l =$	$86^{\circ} 6'$	
$\frac{1}{2}p : \frac{1}{2}p =$	$68 \quad 0$	$68^{\circ} 0'$
$a =$		$^{*}124 \quad 0$
$a : c =$	$92 \quad 28$	$92 \quad 0$
$\frac{r'}{3} =$		$^{*}109 \quad 30$
$c : \frac{r'}{3} =$	$158 \quad 2$	$158 \quad 0$
$\frac{1}{2}p : \frac{r'}{3} =$	$100 \quad 46$	$100 \quad 30$
$l : \frac{r'}{3} =$		$^{*}120 \quad 0$
$\frac{1}{2}p =$	$439 \quad 44$	$440 \quad 0$

Die Krystalle trüben sich schnell, erlauben daher keine genaue ssung. Isomorph  $\text{HAm}^2\text{PO}^4$ .

2)  $\text{H}^2\text{KAsO}^4$ .

Viergliedrig.  $a : c = 1 : 0,666$  Mitscherlich.

$o, p.$	Berechnet	Beobachtet
		Mitscherlich      Topsøe
$o \begin{cases} 2A = \\ 2C = 86^{\circ} 34' \\ o : p = 433 \quad 17 \end{cases}$		$^{*}122^{\circ} 0' \quad 122^{\circ} 8' \quad 86 \quad 24 \quad 433 \quad 9$

Volumgewicht. 2,832 Schiff; 2,862 Topsøe.

Brechungsexponenten

für  $o = 1,594$

$e = 1,536$  Sénarmont.

$$\begin{matrix} C & D & F \\ = 1,5632 & 1,5674 & 1,5762 \\ = 1,5446 & 1,5479 & 1,5252 \end{matrix} \quad \frac{o}{e} = 1,0325 \text{ Topsøe u. Christiansen.}$$

Wärmeleitung. S. Ammoniumsalz.

Arsensaures Natron.

1.  $\text{HNa}^2\text{AsO}^4$ .

4)  $\text{HNa}^2\text{AsO}^4 + 7 \text{aq.}$

Zwei- und eingliedrig.  $a : b : c = 1,2273 : 4 : 1,3487$  Haidinger.

$$o = 83^{\circ} 0'.$$

$$o, o', p, p^2, q, r', a, b, c.$$

$$s' = a' : \frac{1}{2}b : c; v' = a' : 2b : c.$$

	Berechnet	Beobachtet
		Haidinger      Rammelsberg
$o : o =$	$99^{\circ} 42'$	
$o' : o' =$	$92 \quad 46$	
$o : o' =$	$113 \quad 24$	
$o : o' =$	$120 \quad 4$	$120^{\circ} 0'$
$p : p =$		$^{*}78^{\circ} 56' \quad 78 \quad 40$

Berechnet	Beobachtet	
	Haidinger	Rammelsberg
$p : b = 140^{\circ} 37'$		$140^{\circ} 33'$
$c = 94 \ 26$		
$p^2 : p^2 = 117 \ 18$		
$c = 95 \ 58$		
$q : q = 73 \ 32$		
$a : c =$	$*97^{\circ} \ 0'$	
$r' = 134 \ 33$		$134 \ 20$
$c : r' =$	$*128 \ 27$	$127 \ 55$
$o : a = 126 \ 13$		
$c = 123 \ 18$		$123 \ 30$
$\bar{p} = 151 \ 8$		$150 \ 44$
$o' : a = 120 \ 23$		
$c = 116 \ 38$		$116 \ 25$
$p = 147 \ 56$		
$r' = 136 \ 8$		$136 \ 8$
$s' : s' = 54 \ 58$		
$a = 108 \ 54$		
$v' : v' = 128 \ 38$		
$c = 124 \ 5$		$124 \ 30$
$p^2 = 139 \ 57$		$139 \ 30$
$o' = 161 \ 49$		$162 \ 25$

Fig. 200, 201. — Prismatisch nach der Horizontal- oder Verticalen  $o'$  herrscht vor  $o$ ; die  $p^2$  und  $r'$  sind oft sehr schmal. Haidinger.

Fig. 200.

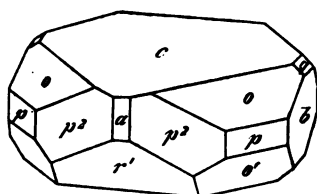
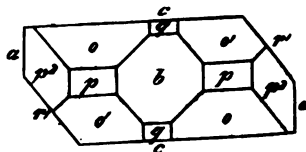


Fig. 201.



Ich beobachtete an Krystallen, welche nach der Zone  $p^2c$  prismatisch waren, das Augitpaar  $v'$ , welches in diese Zone fällt.

Spaltbar nach  $a$ . — Haidinger: Pogg. A. 46, 640.

Isomorph dem  $\text{HNa}^2\text{PO}^4 + 7\text{aq}$  und  $\text{HKNaPO}^4 + 7\text{aq}$ .

2)  $\text{HNa}^2\text{AsO}^4 + 12\text{aq}$ .

Isomorph dem entsprechenden Phosphat.

Ebene der optischen Axen  $ac$ ; die Mittellinie ist unter  $64^{\circ} 35'$  die Normale der Fläche  $c$  geneigt. Sénarmont.

Volumgewicht. 4,67 Schiff.

Volumgewicht der Lösungen. Derselbe: Ann. Ch. Ph. 443, 483

II.  $\text{H}^2\text{Na AsO}^4 + \text{aq.}$

Isomorph der Form A. des entsprechenden Phosphats.

Volumgewicht. 2,585 Schiff.

**Arsensaures Ammoniak-Natron.**  $\text{HNa Am AsO}^4 + 4 \text{ aq.}$

Isomorph dem entsprechenden Phosphat. Mitscherlich.

Volumgewicht. 4,838 Schiff.

**Arsensaures Kali-Natron.**  $\text{HK Na AsO}^4 + 7 \text{ aq.}$

Isomorph dem  $\text{HNa}^2\text{AsO}^4 + 7 \text{ aq}$  und den entsprechenden Phosphaten. Mitscherlich.

Volumgewicht. 4,884 Schiff.

**Arsensaurer Baryt.**  $\text{H}^4\text{Ba As}^2\text{O}^8.$

Zwei- und eingliedrig.  $a : b : c = 1,460 : 1 : 0,625$  Schabus.  
 $\alpha = 74^\circ 26'.$

P, q, b.	Berechnet	Beobachtet
$p : p =$		$84^\circ 36'$
$q : q =$	$446^\circ 0'$	
$b =$		$422 \quad 0$
$p =$		$425 \quad 0$

Zwillinge nach a.

Die unvollkommen gebildeten Krystalle erlaubten keine genauen Messungen.

Löslichkeit von arsensaurem Baryt Field: Qu. J. Ch. Soc. 44, 6.

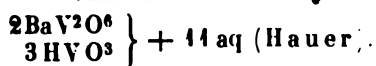
**Arsensaures Eisenoxyd.**  $\text{Fe As}^2\text{O}^8 + 4 \text{ aq.}$

Bourgeois hat diese Verbindung, den Skorodit, krystallisiert dargestellt. Nach Des Cloizeaux und Jeannettaz stimmen die Krystalle auch in jeder Hinsicht mit den natürlichen überein. C. r. 90, 223.

**Vanadinsaure Salze.**

(Vanadate.)

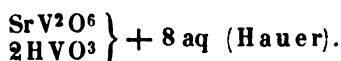
**Vanadinsaurer Baryt.**



Eingliedrig. Grailich.

$\alpha, \alpha'', p, p', r', c.$	Beobachtet
$p : p' = 96^\circ 13'$	$c : r' = 123^\circ 0'$
$c = 447 \quad 45$	$\alpha = 119 \quad 45$
$p' : c = 440 \quad 32$	$\alpha'' = 95 \quad 30$
$r' = 444 \quad 33$	$\alpha' : p = 447 \quad 0$

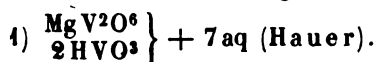
Kryst. opt. Unters. Wien 1858. S. 497.

**Vanadinsaurer Strontian.**

Zwei- und eingliedrig.  $a : b : c = 0,842 : 1 : 1,045$  Gra  
 $o = 84^\circ 46'$ .

$o, o', a, b, c.$	Berechnet	Beobachtet
$o : o =$		$*117^\circ 24'$
$o' : o' =$	$110^\circ 0'$	108 54
$o : o' =$	97 31	97 49—56'
$o : o' =$	116 37	117 48
$a : c =$		$*98 44$
$o : a =$	134 4	134 22
$b =$	121 18	121 18
$c =$		$*126 16$
$o' : a =$	127 28	127 52
$b =$	125 0	
$c =$	117 7	115 56

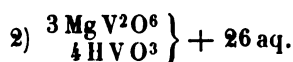
Sehr kleine Oktaeder  $o, o'$ , deren Ecken durch die Hexaïde gestumpft sind. — Grailich: a. a. O. 196.

**Vanadinsäure Magnesia.**

Zwei- und eingliedrig. Grailich.

$p, q, r, r', a, c.$	Beobachtet
$p : p =$	$68^\circ 40'$
$c : q =$	120 43
$r =$	136 20

Die Kleinheit der Krystalle erlaubte keine weiteren Messun  
 A. a. O. 198.



A. Eingliedrig.  $a : b : c = 0,997 : 1 : 1,009$  Baker.

$A =$	$87^\circ 3'$	$\alpha =$	$89^\circ 24'$
$B =$	104 29	$\beta =$	104 20
$C =$	84 44	$\gamma =$	82 22

$o''', p, p', p^2, p^2, \frac{q}{2}, \frac{q'}{2}, r', a, b, c.$

	Berechnet	Beobachtet
$a : b =$		$*84^\circ 44'$
$p =$	$132^\circ 8'$	132 4
$p' =$	155 54	156 34
$p^2 =$	152 52	154 50
$b : p' =$	129 50	129 54



	Berechnet	Beobachtet
$b : p^2 =$	109° 6'	109° 6'
$c =$		*87 3
$\frac{q}{2} =$	114 10	114 35
$\frac{q'}{2} =$	118 18	118 4
$c : \frac{q}{2} =$	153 15	153 23
$\frac{q'}{2} =$	154 17	154 32
$\frac{q}{2} : \frac{q'}{2} =$	127 32	127 39
$a : c =$		*104 29
$r' =$		*128 52
$c : r' =$	126 56	126 40
$p : \frac{q}{2} =$		*115 50
$o''' : b =$	125 44	125 30
$p =$	139 32	139 29
$r' =$	139 41	139 38

Braune kurz prismatische Krystalle, tafelartig nach  $b$ .

Verwachsungen in der Art, dass die  $b$  in eine Ebene fallen, und dass die Axe  $a$  des einen Krystalls =  $c$  des anderen ist.

B. Eingliedrig.  $a : b : c = 0,793 : 1 : 0,676$  Baker.

$A =$	95° 0'	$\alpha =$	93° 35'
$B =$	103 10	$\beta =$	101 30
$C =$	108 13	$\gamma =$	106 55

$o', o'', p, r', a, b, c$ .

	Berechnet	Beobachtet
$a : b =$		*108° 13'
$p =$	135° 42'	136 5
$b : p =$		*116 14
$a : c =$		*103 10
$r' =$	124 11	124 7
$c : r' =$		*132 38
$o' : o'' =$	93 26	93 24
$c =$	133 28	133 3
$r' =$	147 47	147 14
$a =$		*128 20
$b =$	101 26	101 4
$o'' : c =$	139 58	139 54
$a =$	110 16	110 6

Rothe prismatische Krystalle. Journ. Chem. Soc. 35, 713 (1879).

**Antimonsaure Salze.**

(Antimoniäte.)

**Antimonsaures Natron.**  $2\text{NaSbO}_3 + 7\text{aq}$  oder  $\text{H}^2\text{Na}^2\text{Sb}_2\text{O}_7 + 6\text{aq}$ .Viergliedrig.  $a : c = 1 : 1,008$  Haushofer.

o, c.

Berechnet

Beobachtet

$$o \begin{cases} 2A = \\ 2C = 109^\circ 58' \\ o : c = 125 \quad 1 \end{cases} \quad \begin{matrix} \\ \\ 125 \quad 0 \end{matrix}$$

Auch beide Prismen kommen vor, so wie  $o^2$ . — Zwillinge.

Schon von Mitscherlich für viergliedrig, von G. Rose für regulär gehalten. — Haushofer: Groth Ztschr. 4, 49. — Mitscherlich: Pogg. A. 49, 440. — G. Rose: Eb. 86, 448.

Optisch einaxig.

**Antimonsaure Magnesia.** $\text{MgSb}_2\text{O}_6 + 10\text{aq}$  oder  $\text{H}^2\text{MgSb}_2\text{O}_7 + 9\text{aq}$  (Haushofer).

Sechsgliedrig. Prisma und Endfläche. Neben diesen bilden sich auch zwei- und eingliedrige Krystalle.

Das Zink-, Kobalt- und Nickelsalz zeigen dieselben Formen. — Haushofer: S. das vorige.

**Borsaure Salze.**

(Borate.)

**Borsaures Ammoniak.**1) Zweifach.  $\text{Am}^2\text{B}^4\text{O}_7 + 4\text{aq}$ .Viergliedrig.  $a : c = 1 : 0,828$  Rammelsberg.

o, d, p, a, c.

Berechnet

Beobachtet

$$o \begin{cases} 2A = \\ 2C = 99^\circ 2' \\ d \begin{cases} 2A = 126 \quad 22 \\ 2C = 79 \quad 16 \\ o : a = 122 \quad 32 \end{cases} \end{cases} \quad \begin{matrix} \text{Rammelsberg} \\ *114^\circ 55' \\ \\ 124 \quad \text{ungef.} \end{matrix} \quad \begin{matrix} \text{Miller} \\ 115^\circ 43' \end{matrix}$$

Die Krystalle sind schwer messbar, da sie schnell trübe werden und Ammoniak verlieren. — Zwillinge. Miller: Pogg. A. 23, 558. — Rammelsberg: Eb. 90, 20.

2) Fünffach.  $\text{AmB}^5\text{O}_8 + 4\text{aq}$ .Zweiglig.  $a : b : c = 0,9827 : 1 : 0,840$  Rammelsberg.

$o, q, a, c$ . Berechnet

Beobachtet

	Rammelsberg	Schabus	Laurent
$2A =$	$116^{\circ} 0'$	$115^{\circ} 58'$	$115^{\circ} 15'$
$2B = 114^{\circ} 44'$	$114 39$	$114 33$	$114 48$
$2C =$	$98 15$	$98 28$	
$q : q = 101 58$		$100 44$	
$o : a = 122 38$	$122 24$	$122 1$	
$c = 130 52$	$131 0$	$130 46$	

Stets Zwillinge nach  $q$ .Die am Rande liegenden  $o$  sind grösser als die übrigen.Spaltbar nach  $a$ . — Laurent et Gerhardt: C. r. des trav. de Chimie 1850, 33. — Rammelsberg: Pogg. A. 95, 199.Ebene der optischen Axen  $= ab$ , Mittellinie  $= a$ . Positiv. Scheinbarer Axenwinkel in Luft  $= 46^{\circ} 30'$  Roth,  $48^{\circ} 24'$  Blau. — Grailich und Lang: Wien. Ak. Ber. 27. — Lang: Eb. 45.**Borsaures Kali.**I) Einfach.  $KBO_2^*$ .Zwei- und eingliedrig.  $a : b : c = 2,744 : 1 : 2,676$  Schabus.  
 $o = 86^{\circ} 6'$ .

$o, o', r', a, c$ .	Berechnet	Beobachtet
$o : o =$	$56^{\circ} 46'$	
$o' : o' =$	$53 36$	
$o : o' =$	$142 12$	
$o : o' =$	$144 16$	
$a : c =$		$93^{\circ} 52'$
$r' =$	$132 48$	$132 25$
$c : r' =$		$133 50$
$o : a =$	$110 7$	
$c =$	$110 32$	
$o' : a =$	$107 44$	
$c =$		$108 12$
$r' =$	$116 48$	$117 0$

Die Flächen sind glänzend, aber selten eben. Tafelartig nach  $a$  oder prismatisch nach  $c$  und vier in einer Zone liegenden Oktaederflächen.

II. Dreifach.

1)  $2KB^3O_5 + 5aq$ .Zweigliedrig.  $a : b : c = 0,5285 : 1 : 0,9206$  Reissig.

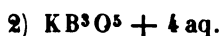
$p, q, r, b$ .	Berechnet	Beobachtet
$p : p =$		$124^{\circ} 17'$
$q : q =$	$94^{\circ} 44'$	

\* Die Analyse der gemessenen Krystalle fehlt. Atterberg beschrieb  $2KB^3O_5 + 3aq$ .

	Berechnet	Beobachtet
$q : b =$		$*432^{\circ} 38'$
$r : r =$	$59^{\circ} 44'$	
$p : q =$	$108 \ 27$	
$r =$	$140 \ 4$	
$q : r =$	$111 \ 30$	

Bildet sich aus der Lösung von 4 Mol. Säure in 2 Mol. Kalicarbonat

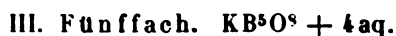
6°. Luftbeständige, glänzende Krystalle. — Ann. Ch. Ph. 427, 33.



Zweiglig.  $a : b : c = 0,77 : 4 : 0,70$  Laurent.

$p^3, q, r, a, b.$	Berechnet	Beobachtet
$p^3 : p^3 =$	$151^{\circ} 40'$	
$b =$	$165 \ 35$	$164^{\circ} 0'$
$q : q =$	$110 \ 0$	
$b =$		$*425 \ 0$
$r : r =$	$95 \ 30$	
$a =$		$*432 \ 45$

Die Flächen  $a$  und  $b$  herrschen. — S. Ammoniaksalz.

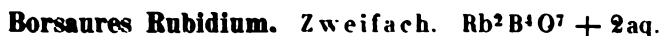


Zweiglig.  $a : b : c = 0,9707 : 4 : 0,8054$  Rammelsber

$o, a, b.$	Berechnet	Beobachtet
$o \left\{ \begin{array}{l} 2A = \\ 2B = \\ 2C = \end{array} \right.$	$98^{\circ} 48'$	$*116^{\circ} 24'$
$o : b =$	$121 \ 48$	$*114 \ 46$
		$121 \ 30$

Häufig Zwillinge nach  $q$ . Lang.

Isomorph dem Ammoniaksalz. v. Lang: Wien. Ak. Ber. 45.



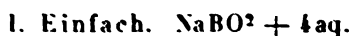
Zweiglig.

$p, b, c.$

Beobachtet:  $p : p = 97^{\circ} 37'$ ;  $p : b = 131^{\circ} 4'$ .

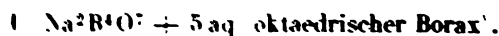
Reissig: Ann. Ch. Ph. 427, 33.

### Borsaures Natron.



Die Form ist nicht näher bekannt. Die von Hahn beschriebene stalle waren Borax. — Arch. Pharm. 2 99, 146.

Spec. Wärme des wasserfreien 0,2364. Neumann.



Sechsgliedrig.  $a : c = 1 : 1,87$  Arzruni.

, c.

	Berechnet	Beobachtet
2A von r =		*76° 22'
$\frac{r'}{2} = 101^{\circ} 2'$		
c : r = 114 49		117 7
$\frac{r'}{2} = 132 46$		131 52
r : $\frac{r'}{2} = 128 11$		128 38 (Endk.)
= 112 25		112 40 (Seitk.)

Kombination r, c wurde früher für ein reguläres Oktaeder gehalten durch Wasseraufnahme bald trübe.

ch einaxig, positiv. Nach Marbach, der die Krystalle für regulär wirken sie auf das polarisirte Licht gleich gewissen bromsauren und anderen regulären Verbindungen so, als wären dünne Blättchen der Substanz in die Masse der einfachbrechenden eingemischt. — Marbach: Pogg. A. 99, 465. — Arzruni: Eb. 158, 250.

2)  $\text{Na}^2\text{B}^4\text{O}^7 + 10\text{aq}$  (Borax).

- und eingliedrig. a : b : c = 1,0995 : 1 : 0,5629 Rammelsberg  
o = 73° 25'.

o', p, q<sup>4</sup>, a, b, c.

	Berechnet	Beobachtet	
		Rammelsberg	Sénarmont
o' : o' =		*122° 34'	
2o' : 2o' = 96° 32'			
p : p =		*87 0	87° 0'
a = 133 30		133 30	133 30
b = 136 30		136 30	136 30
c = 101 20			
q <sup>4</sup> : q <sup>4</sup> = 49 44			
a : c =		*106 35	106 25
o' : a = 101 38		101 30	
b = 118 43		118 30	
c = 139 30		139 15	139 30
p = 119 10		119 52	
2o' : a = 117 6			
c = 115 53			
p = 142 47		143 30	
o' = 156 23		156 40	

202, 203. — Zwillinge nach a gleich denen des Augits. Am Ende der vier Flächen o' mit Winkeln von 122° 34' und 156° 44', am Ende der Flächen c = 146° 50'.

Bar nach a, weniger nach p.

Volumgewicht 4,692 (wasserfrei = 2,367) Filhol; 4,6 net; 4,744 (wasserfrei = 2,374) Favre und Valson.

Fig. 202.

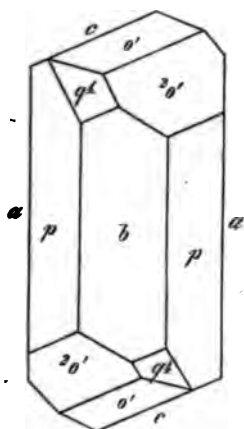
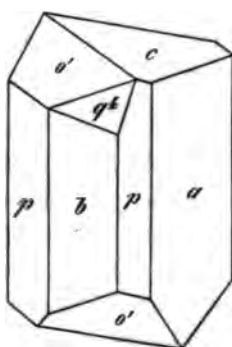


Fig. 203.



## Optisches.

der optischen Axen  
 lel der Axe  $b$ ; für  
 det sie einen W  
 $108^{\circ}35'$  mit einer N  
 Fläche  $c$  und von  
 einer solchen auf d  
 Fläche  $a$ ; für Roth  
 Winkel =  $406^{\circ}31'$   
 $40^{\circ}$ . Die Mittellinie  
 mittlere scheinbar  
 =  $59^{\circ}$ ;  $\beta = 1,47$ .  
 mont.

Ausser der  
 oder drehenden

ist auch die gewöhnliche Dispersion der Axen merklich,  $\rho > v$ .

$2E = 59^{\circ}30'$  Roth,  $56^{\circ}50'$  Violett.

$$\left. \begin{array}{l} \alpha = 1,473 \\ \beta = 1,470 \\ \gamma = 1,447 \end{array} \right\} \text{ also } 2V = 39^{\circ}44', 2E = 59^{\circ}8'.$$

Die Messung in Luft hat  $58^{\circ}59'$  gegeben. Durch Erwärmen Winkel etwas grösser, und auch die drehende Dispersion wird auff zwischen  $24^{\circ},5$  und  $86^{\circ}$  erleidet die Ebene der rothen Axen ein von  $3^{\circ}26'$ . Des Cloiseaux. — Vgl. Murmann: Wien. Ak. Tschermak: Ebend. 57. — Miller: Pogg. A. 37, 374. — Ta 39, 284. — Kohlrausch: Groth Ztschr. 4, 400.

Ätzfiguren. H. Baumhauer: Pogg. A. 153, 75.

Capillarität des geschmolzenen Borax Quincke: Eb. 135,

Löslichkeit. 1 Liter bei  $45^{\circ}$  gesättigter Lösung enthält 3 Salz und hat ein V. G. = 1,0499. Michel und Krafft. — S. F Valson: C. r. 77, 577.

Lösungswärme. Dieselben: Eb. 77, 802.

Drehungsvermögen einer Mannit enthaltenden Lösung. Vig: 78, 448.

**Borsaures Magnesia-Natron.** ( $\text{Na}^2\text{B}^4\text{O}^7 + \text{Mg}^2\text{B}^6\text{O}^{11}$ ) + 3

Zwei- und eingliedrig.  $a : b : c = 1,176 : 1 : 1,120$  Ramm  
 $\alpha = 67^{\circ}32'$ .

$\sigma', p, q, c.$	Berechnet	Beobachtet
$\sigma' : \sigma' =$	$92^\circ 44'$	$94^\circ 21'$
$p : p =$		$85 \quad 44$
$c =$		$105 \quad 0$
$q : q =$		$88 \quad 0$
$c =$	$134 \quad 0$	$134 \quad 24$
$\sigma' : c =$	$115 \quad 5$	$116 \quad 20$
$p =$	$144 \quad 55$	$140 \quad 33$

Niedrige Prismen  $p$ ;  $c$  parallel  $q$  gestreift oder gewölbt. — Pogg. A. 49, 451.

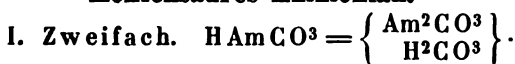
Nimmt man  $\sigma' = \sigma$ ,  $q = \sigma'$ ,  $c = r'$ , so ist  $a : b : c = 1,120 : 1 : 1,741$ ;  $\sigma = 76^\circ 0'$ .

## Kohlensaure Salze.

(Carbonate.)

### Einfache.

#### Kohlensaures Ammoniak.



Zweigliedrig.  $a : b : c = 0,6724 : 1 : 0,40$  G. Rose.

$p, q, r, a, b, c.$

	Berechnet	Beobachtet			
	G. Rose	Miller	Dewille	Ditsch. Rammelsb.	
$p : p =$	$112^\circ 9'$	$111^\circ 48'$	$111^\circ 30'$	$111^\circ 37'$	$111^\circ 30'$
$a =$	$146^\circ 4', 5$			$145 \quad 48$	$146 \quad 0$
$q : q =$	$136 \quad 25$	$135 \quad 40$	$136 \quad 5$		
$c =$	$138 \quad 12,5$			$157 \quad 20$	
$r : r =$	$118 \quad 33$	$117 \quad 40$			
$c =$	$149 \quad 16,5$			$148 \quad 30$	
$p : q =$	$104 \quad 56$				
$r =$	$115 \quad 5$		$115 \quad 40$	$115 \quad 27$	$115 \quad 40$
$q : r =$	$142 \quad 58$		$142 \quad 30$		

Das Prisma  $p$  herrscht vor, ist aber oft niedrig; auch tafelartig nach  $a$ . Vollkommen spaltbar nach  $p$ .

Die von mir gemessenen Krystalle stammten aus Leuchtgasapparaten; sie sind nach Rudorff und nach Mandelblüh von gleicher Zusammensetzung, wie sie Dewille für das Bicarbonat zuerst richtig angegeben hat.

— G. Rose: Pogg. A. 46, 400. — Miller: Eb. 23, 558. — Dewille: Ann. Ch. Phys. (3) 40, 87. — Ditscheiner: Wien. Ak. Ber. 44. — Rudorff: Ber. d. chem. Ges. 1870, 228.

Ebene der optischen Axen =  $ac$ , Mittellinie =  $c$ ; negativ. Scheinbarer Axenwinkel =  $67^\circ 20'$  Ditscheiner.

Mittellinie =  $a$ .  $2E = 67\frac{1}{2}$ — $68^\circ$ . Dispersion der Axen sehr  $\rho < \gamma$ ;  $2E = 66^\circ 35'$  Roth.  $66^\circ 41'$  Violett. Des Cloizeaux.

Nach Frankenheim gäbe es auch eine zwei- und eingliedrige — Pogg. A. 93. 20.

Löslichkeit. Dibbitts: J. f. pr. Ch. 2 14. 117.

Bildungswärme. Berthelot: C. r. 73.

Thermische Verhältnisse beim Lösen. Favre und Vaisson: C. 802. 907.

II. Anderthalbfach.  $\left\{ \begin{array}{l} 2\text{Am}^2\text{CO}_3 \\ \text{H}^2\text{CO}_3 \end{array} \right\} = 2\text{aq.}$

Zweigliedrig.  $a : b : c = 0.6635 : 1 : 0.4585$  Deville.

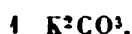
$\alpha$ .  $a$ .  $b$ .

	Berechnet	Beobachtet
$2A =$	$138^\circ 40'$	$138^\circ 40'$
$2B =$		$115^\circ 45'$
$2C =$	$79^\circ 20'$	$79^\circ 25'$
$\alpha : a =$	$122^\circ 8'$	$122^\circ 10'$
$b =$		$110^\circ 40'$

Rechtwinklige Prismen  $ab$ . durch  $\alpha$  vierflächig zugespitzt. Deville: S. o.

### Kohlensaures Kali.

#### I. Einfach.



Volumgewicht: 2.267 Filhol.

Schmelzpunkt:  $838^\circ$  Carnelley;  $1150^\circ$  Braun.

Spec. Wärme. 0.2046 Neumann.

Capillarität des geschmolzenen. Quincke: Pogg. A. 135 138. 144.

Löslichkeit.

	Gehalt an Salz	V. G.	Gehalt an Salz	V. G.
Bei $15^\circ$	5 pCt. =	1.0157	30 pCt. =	1.3011
	10 - =	1.0928	35 - =	1.3589
	15 - =	1.1418	40 - =	1.4187
	20 - =	1.1929	45 - =	1.4804
	25 - =	1.2458	50 - =	1.5444

Die gesättigte Lösung enthält 52.024 pCt. und wiegt 1.5708. Ge-  
Volumänderung beim Erwärmen. Gerlach: Sp. G. der ge-  
lichsten Salzlösungen. Freiberg 1859.

Gefrierpunkt. De Coppet: Ann. Ch. Phys. 3 23. 25. 2

Diffusion. Marignac: Ann. Ch. Phys. 5 2. 546.

Einfluss auf den Siedepunkt. Legrand: Pogg. A. 37. 384.

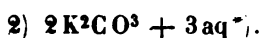
Spannkraft der kochenden Lösungen. Babo: Jahresber.



Elektricitätsleitung der Lösung. Kohlrausch: Wied. Ann. 6, 4. 445.

Thermochemisches. Berthelot: S. Kohlens. Ammoniak und C. r.

78, 1722.



Zwei- und eingliedrig.  $a : b : c = 0,993 : 4 : 0,854$  Rammelsberg.  
 $o = 68^\circ 36'$ .

$o, o', p, q, r', b$ .

	Berechnet	Beobachtet	
		Rammelsberg	Kenngott
$o : o =$	$125^\circ 20'$	$125^\circ 9'$	$126^\circ 30'$
$o' : o' =$		$106 \quad 0$	$108 \quad 45$
$o : o' =$	$112 \quad 59$		
$o : o' =$	$99 \quad 24$		
$p : p =$		$96 \quad 30$	$97$
$b =$	$134 \quad 45$	$134 \quad 45$	
$q : q =$	$103 \quad 2$		
$p : r' =$		$110 \quad 30$	
$o : b =$	$117 \quad 20$	$117 \quad 20$	
$p =$	$146 \quad 27$	$146 \quad 30$	
$o' : b =$	$127 \quad 0$	$127 \quad 0$	
$q =$	$144 \quad 23$	$140 \quad 45$	
$r' =$	$143 \quad 0$	$143 \quad 0$	

Zwillinge nach o. Kenngott.

Meist unsymmetrisch. Zerfliesslich.

Marignac bestätigte meine Messungen. — Kenngott: Ann. Ch.

Ph. 133, 374.



Zwei- und eingliedrig.  $a : b : c = 2,678 : 4 : 4,342$  Brooke.  
 $o = 76^\circ 35'$ .

$p, r, 2r', a, c$ .

	Berechnet	Beobachtet				
		Brooke	Levy	Rammelsb.	Dewille	Sénarm.
$p =$		$42^\circ 0'$	$42^\circ 40'$	$42^\circ 0'$	$42^\circ 3'$	
$a =$	$141^\circ 0'$			$111 \quad 5$		
$c =$		$103 \quad 25$	$103 \quad 44$	$102 \quad 55$		
$r =$	$126 \quad 35$			$127 \quad 5$	$126 \quad 50$	$126^\circ 46'$
$2r' =$	$127 \quad 33$			$127 \quad 38$	$127 \quad 45$	$127 \quad 40$
$r =$		$156 \quad 50$			$156 \quad 49$	$156 \quad 49$
$2r' =$	$129 \quad 2$	$128 \quad 50$			$128 \quad 49$	$128 \quad 49$
$c =$	$140 \quad 24$					
$r =$	$102 \quad 20$					
$2r' =$	$102 \quad 37$					

\* Nach Marignac, Pohl und Städeler. Ich hatte nur  $\frac{1}{3}$  des Wassergehalts inden.

Prismatisch nach  $c$ ,  $r$ ,  $2r'$ . Spaltbar nach  $a$ ,  $c$ ,  $r$ . — Brooke: Phil. 22, 42. — Levy: Qu. J. Sc. 45, 286. — Deville: S. Ammonium

Eine optische Axe macht einen Winkel von  $56^\circ 45'$  mit einer Norm auf  $r$ ; beide neigen sich in Öl unter  $83^\circ$ :  $\mu = 1.482$  Miller.

Man sollte Isomorphie mit dem zweigliedrigen  $\text{HAmCO}_3$  erwarten. Eine gewisse Uebereinstimmung findet statt, wenn beim Kalisalz  $a$   $r$  und  $2r' = p$ ,  $p = q$  und  $c =$  einer Fläche  $p^2$  genommen würde.

Nach Frankenheim wäre das Salz dimorph, die zweite Form j sehr vergänglich. Pogg. A. 93, 20.

Löslichkeit. 100 Th. Wasser lösen bei  $10^\circ$  24.4 Th. Mu 27,7 Th. Dibbitts.

Bei  $0^\circ$  22,45, bei  $15^\circ$  30,4, bei  $20^\circ$  33,2 Th. — Dibbitts: J. Ch. 2, 10, 417.

### Kohlensaures Natron.

#### 1. Einfach.



Zweigliedrig.  $a : b : c = 0.8268 : 1 : 0.8088$  Marignac.

$v = 2a : b : c$ . —  $p, q^2, r, \frac{r}{2}, a, b, c$ .

	Berechnet	Beobachtet
$v \begin{cases} 2A = 108^\circ 0' \\ 2B = 138 \quad 22 \\ 2C = 86 \quad 46 \end{cases}$		
$p : p =$		$100^\circ 50'$
$b = 129 \quad 35$		129 36
$q^2 : q^2 = 63 \quad 28$		
$p = 122 \quad 49$		
$r : r = 91 \quad 16$		
$a = 134 \quad 22$		134 25
$\frac{r}{2} : \frac{r}{2} = 127 \quad 52$		
$a =$		$116 \quad 4$
$p = 109 \quad 48$		
$q^2 = 118 \quad 12$		
$v : a = 110 \quad 49$		110 40
$c = 136 \quad 37$		136 22

Dünne Blättchen nach  $c$ , oder tafelartig nach  $a$ , oder prismatisch  $b, q^2$  und  $c$ .



Zweigliedrig.  $a : b : c = 0.751 : 1 : 0.360$  Rammelsberg.

$o, p^2, \frac{1}{2}p, q^2, a, b$ .

$s = a : \frac{1}{2}b : c$ . —  $t = \frac{1}{2}a : b : c$ .

	Berechnet	Beobachtet
o	$2A = 144^{\circ} 0'$	$144^{\circ} 0'$
	$2B = 134 \ 24$	$134 \ 0$
	$2C = 64 \ 56$	
s	$2A = 113 \ 58$	
	$2B = 137 \ 28$	
	$2C = 84 \ 48$	
t	$2A = 142 \ 6$	
	$2B = 146 \ 30$	
	$2C = 54 \ 28$	
$p^2 : p^2$	$= 138 \ 50$	
$b$	$= 140 \ 35$	$140 \ 30$
$\frac{1}{2}p : \frac{1}{2}p$	$= 83 \ 42$	
$a$	$= 134 \ 36$	$134 \ 35$
$b$	$=$	$*138 \ 24$
$p^2$	$= 152 \ 44$	$152 \ 42$
$q^2 : q^2$	$= 108 \ 26$	
$b$	$= 125 \ 47$	$125 \ 45$
$o : b$	$= 108 \ 0$	$107 \ 48$
$s : b$	$= 123 \ 4$	$123 \ 0$

204, 205. —

rat erhielt ich  
ch Schmelzen  
nlichen, theils  
erlaugen von  
Natron. Es  
pCt. Wasser.  
obachtete zu-  
bildung (Pogg.  
Marignac  
Zusammen-  
d Form, und  
dem die Flä-

$b : c$ ,  $a : b : 2c$  und  $2a : b : \infty c$ .

inger beschrieb ein zweigliedriges Natroncarbonat mit  $47\frac{1}{2}$  pCt.,  
mehr als 4 Mol. Wasser. Die beiden Winkel  $83^{\circ} 50'$  und  $107^{\circ} 50'$   
sich jedoch auf das vorliegende zu beziehen. Pogg. A. 5, 369.

3)  $\text{Na}_2\text{CO}_3 + 10 \text{ aq}$  (Soda).

und eingliedrig.  $a : b : c = 1,4186 : 4 : 1,4828$  Mohs.

$r', a, b.$   $o = 57^{\circ} 40'$

Fig. 204.

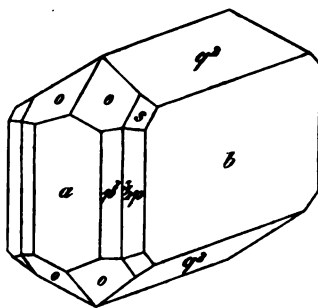
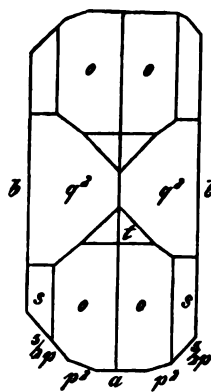


Fig. 205.



Berechnet		Beobachtet	
	Mohs	Brooke	Sénar
$o' : o' =$	$76^{\circ} 28'$	$76^{\circ} 12'$	76
$p : p =$	$79 \ 40$	$79 \ 44$	79
$b = 140^{\circ} 10'$		$140 \ 8$	
$r' : a =$	$121 \ 8$	$121 \ 20$	121
$p = 109 \ 20$			
$o' : a = 108 \ 40$		$108 \ 48$	
$b = 141 \ 46$		$141 \ 54$	
$p = 143 \ 55$			

Rhombische Tafeln  $b$  mit Zuschärfung der Ränder durch  $o'$  und Spaltbar nach  $a$ , wenig nach  $b$ .

Anm. Es wäre zweckmässiger, die Flächen  $o'$  und  $p$  als das Haupt- oder zu betrachten. — Mohs: Pogg. A. 5, 369. — Brooke: Ann. Phil. 2

Ebene der optischen Axen parallel Axe  $b$ , welche die Mittellinie macht etwa  $40^{\circ}$  mit einer Normalen auf Fläche  $a$  und  $48^{\circ} 52'$  mit solchen auf  $r'$ . Sénarmont.

Volumgewicht. Wasserfrei = 2,509 Filhol, 2,407 Favrehydrat mit 40 aq = 1,463 Buignet; 1,456 Favre.

Schmelzpunkt des Anhydrids  $818^{\circ}$  Carnelley,  $960^{\circ}$  Brühl. Lösungen.

Löwel behauptet, es gebe zwei Hydrate mit 7 aq von ungleicher Löslichkeit; er hat diese und die des gewöhnlichen Hydrats bei Ann. Ch. Phys. (3) 33, 334. 43, 488.

1 Liter bei  $15^{\circ}$  gesättigter L. enthält 178,754 grm Anhydrid = 1 grm Hydrat mit 40 aq und hat ein V. G. = 1,166987. Michel und K

Das Maximum der Löslichkeit liegt nach Payen und Löwel 36— $38^{\circ}$ . 100 Th. Wasser lösen bei  $14^{\circ}$  16,4 Th., bei  $36^{\circ}$  833 Th. 104 $^{\circ}$ , dem Siedepunkt der gesättigten Lösung, nur 445 Th. des gewöhnlichen Hydrats. Nach Löwel befindet sich über  $38^{\circ}$  das Hydrat 4) in Lösung, welches sich in kaltem Wasser leichter löst als in heissem.

Salzgehalt

(wasserfrei) V. G.

4 pCt. = 1,042

6 - = 1,063

8 - = 1,0843

Salzgehalt V. G.

10 pCt. = 1,1057

12 - = 1,1274

14 - = 1,1495

14,354 = 1,1535 Gerlach.

100 Th. Wasser und 40 krystallisiertes Salz ergeben ein Sinken von  $10^{\circ},7$  auf  $1^{\circ},6$ . Rüdorff.

Volumgewicht der Lösungen. Thermische und Volumänderungen. Lösen. Favre und Valson: C. r. 51, 316; 77, 577. 802. 79, 4 Schiff: Ann. Ch. Ph. 108, 326.

Lösungswärme. Thomsen: Ber. d. ch. Ges. 1873, 710.

Elektricitätsleitung s. Kalisalz.

Thermochemisches. Berthelot: C. r. 73, 951.

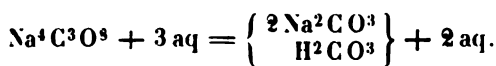
Zusammendrückbarkeit der Lösung. Grassi: C. r. 27, 153. Ann.

Ch. Phys. (3) 31, 437.

Brechungsverhältnisse. Fouqué: C. r. 64, 121.

Einfluss auf den Siedepunkt. S. Kohlens. Kali.

## II. Anderthalbfach.



(Trona, Urao.)

Zwei- und eingliedrig.  $a : b : c = 2,277 : 1 : 1,804$  Haidinger.  
 $\alpha = 86^\circ 24'$ .

$p, r, r'$ .	Berechnet	Beobachtet
$p : p =$		$47^\circ 30'$
$r : r' =$		$103 \quad 15$
$p : r = 105^\circ 42'$		
$r' =$		$103 \quad 15$

Des Cloizeaux fand untergeordnet noch einige schmale Flächen  
 r Verticalzone, nach welcher die Krystalle prismatisch sind (feine Nadeln).

Vollkommen spaltbar nach r.

Starke Doppelbrechung. Die Axen der einzelnen Farben liegen fast  
 in derselben Ebene parallel Axe b und senkrecht zur Fläche r; Mittel-  
 linie = b. Dispersion der Axen schwach,  $\varrho < \nu$ ; der scheinbare Axen-  
 winkel schwankend in Folge eingeschalteter Theilchen. Gefunden bei  $45^\circ$

$$2H_a = \left. \begin{array}{c} 78^\circ 43' \\ 79 \quad 1 \end{array} \right\}, \text{ also } 2E = \left\{ \begin{array}{c} 136^\circ 46' \text{ Roth} \\ 140 \quad 42 \text{ Blau.} \end{array} \right.$$

Eine Spaltungslamelle, normal zur stumpfen Mittellinie, zeigte keine  
 horizontale Dispersion und gab

$$2H_o = \left\{ \begin{array}{c} 107^\circ 0' \text{ Roth} \\ 106 \quad 50 \text{ Blau.} \end{array} \right.$$

Hieraus folgt

$$2V = \left\{ \begin{array}{c} 76^\circ 32' \\ 76 \quad 47 \end{array} \right. \quad \beta = \left\{ \begin{array}{c} 1,500 \text{ Roth} \\ 1,514 \text{ Blau.} \end{array} \right.$$

Des Cloizeaux: Nouv. Réch. — Haidinger: Pogg. A. 5, 367.



Zwei- und eingliedrig.  $a : b : c = 0,7645 : 1 : 0,3582$  Schabus.  
 $\alpha = 86^\circ 41'$ .

$\alpha, \alpha', p, r, a, b$ .

## Berechnet

$a' : a' =$	Mohs
$p : p =$	$76^{\circ} 28'$
$b = 140^{\circ} 10'$	$79 \quad 46$
$r' : a =$	$121$
$p = 109 \quad 20$	
$a' : a = 108 \quad 40$	
$b = 141 \quad 46$	
$p = 143 \quad 55$	

Rhombische Tafeln  $b$  rSpaltbar nach  $a$ , we

Anm. Es wäre zwe

eder zu betrachten. —

Ebene der opti

jene macht etwa 1

solchen auf  $r'$ . S

Volumen

drat mit 10 aq

Schme

Lösun

Löw

Löslichk

Ann. c

g

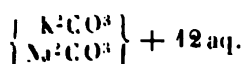
grm

drei Bicarbonate nicht

eignet.

Th. Wasser lösen bei  $40^{\circ}$  8,3 Th. Ma

## Kohlensaures Kali-Natron.

angliedrig.  $a : b : c = 0.739 : 4 : 0.814$  Ma $\alpha = 76^{\circ} 36'.$ 

$$\frac{1}{2} b : c$$

$$\frac{1}{4} b : c$$

$$a, q, \frac{q}{2}, \frac{q}{4}, c, r, a, b, c.$$

Berechnet

Marignac

Beobachtet

Zepharovich

s

$$= 78^{\circ} 28'$$

$$= 46^{\circ} 10'$$

$$= 108^{\circ} 18'$$

$$= 144 \quad 47$$

$$= 141 \quad 47$$

$$= 143 \quad 55$$

$$p^2 = 141 \quad 28$$

$$a = 130 \quad 16$$

$$p : r = 59 \quad 38$$

$$a = 143 \quad 40$$

$$a = 143 \quad 41$$

$$q : r = 103 \quad 11$$

$$b = 142 \quad 25$$

$$a = 100 \quad 27$$

$$108^{\circ} 18'$$

$$144 \quad 47$$

$$141 \quad 47$$

$$143 \quad 55$$

$$160 \quad 30$$

$$124 \quad 40$$

$$103 \quad 11$$

$$142 \quad 25$$

$$100 \quad 23$$

$$128 \quad 9$$

Berechnet	Beobachtet		
	Marignac	Zepharovich	Sénarmont
$\frac{a}{b} : \frac{a}{c} = 136^\circ 48'$			
$b = 111 \ 36$	444° 29'		
$\frac{a}{d} : \frac{a}{f} = 157 \ 36$			
$c = 168 \ 48$		168° 47'	
$q = 152 \ 49$		153 \ 4	
$a : c = 103 \ 24$			
$r = 143 \ 53$		143 \ 46	
$r' =$	*131 \ 48		
$\therefore r = 139 \ 34$		139 \ 46	
$r' =$	*124 \ 48		
$\therefore r' = 84 \ 49$	84 \ 17		84° 42'
$\therefore r' = 130 \ 59$	130 \ 50		
$r' = 122 \ 46$	122 \ 46	122 \ 36	
$\therefore r = 126 \ 36$	126 \ 50		
$r' = 116 \ 35$	116 \ 35	116 \ 37	116 \ 45
$s : a = 115 \ 4$			
$c = 111 \ 17$			
$r' = 129 \ 29$	129 \ 40		
$s : a = 104 \ 42$			
$c = 102 \ 33$			

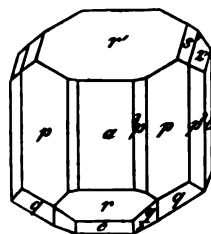
Fig. 206. — Zepharovich: Wien. Ak. Ber. 52.

— Knop: Ann. Ch. Ph. 130, 247.

Volumgewicht des wasserfreien = 2,563, des krystallisirten 4,633.

1 Th. löst sich bei 12°,5 in 0,75 Th., bei 45° in 0,54 Th. Wasser; letztere Lösung hat ein V. G. = 1,3657. — Stolba: J. f. pr. Ch. 94, 406.

Fig. 206.



### Kohlensaures Lithion. $\text{Li}_2\text{CO}_3$ .

Volumgewicht 2,444 (bei 17°,5). Kremers.

Löslichkeit. 4 Th. erfordert bei 102° 128,5 Th., bei 100° 150,24 Th. Wasser, bei 13° 130 Th. Kremers. (Scheint nicht richtig.)

Ueber das Funkenspectrum. Lecoq de Boisbaudran: C. r. 76, 1263.

### Kohlensaures Thallium. $\text{Tl}_2\text{CO}_3$ .

Zwei- und eingliedrig.  $a : b : c = 1,3956 : 1 : 1,9586$  Des Cloizeaux.

$\alpha = 85^\circ 43'$ .

o

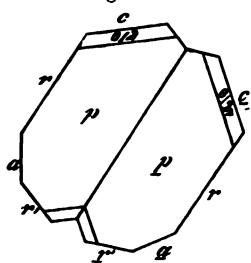
	Berechnet	Beobachtet	
		Des Cloizeaux	Mille
$p : p = 71^{\circ} 26'$		$71^{\circ} 22'$	
$a =$		$*125 \ 43$	
$c = 92 \ 47$		$92 \ 44$	
$q : q = 54 \ 46$		$53 \ 55$	
$c = 117 \ 8$		$116 \ 59$	
$a : c = 94 \ 47$		$94 \ 50$	
$r = 146 \ 40$		$146 \ 12$	$147^{\circ} 53$
$r' =$		$*142 \ 57$	
$c : r = 128 \ 37$		$128 \ 36$	$128 \ 35$
$r' =$		$*122 \ 16$	
$r : r' = 70 \ 53$		$70 \ 52$	$68 \ 57$
$\frac{o}{3} : \frac{o}{3} = 104 \ 52$			
$a = 119 \ 23$			
$c = 131 \ 24$		$131 \ 48$	
$p = 144 \ 23$		$144 \ 23$	
$q = 147 \ 35$		$147 \ 35$	
$r = 138 \ 57$		$138 \ 50$	
$p : q = 134 \ 28$		$134 \ 20$	
$r = 149 \ 0$		$149 \ 5$	
$r' = 117 \ 46$		$117 \ 48$	

Die Krystalle sind gewöhnlich nach  $b$  verlängert, d. h. nach der Verticalzone.

Zwillinge nach  $r$ . Fig. 207.

Berechnet	Beobachtet
$c : c = 102^{\circ} 46'$	$102^{\circ} 40'$

Fig. 207.



Leicht spaltbar nach  $c$  und  $r'$ .

Diamantglanz, Farbe weiss oder gelblich.

Volumgewicht = 7,464.

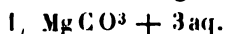
Die Ebene der optischen Axen ist senkrecht zur  $ac$  und fast senkrecht zur basischen  $I$ . Die Mittellinie des spitzen Winkels ist senkrecht zur Axe  $b$ . Doppelbrechung gisch; die Dispersion der Axen sehr stark.

Die horizontale Dispersion kaum merklich. Der Axenwinkel bei  $48^{\circ}$

$2H = 67^{\circ} 34'$	$2E = 109^{\circ} 43'$ Roth
$71 \ 20$	$119 \ 2$ Blau.

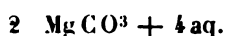
Löslichkeit. Bei  $15^{\circ}$  in 24,8 Th., bei  $100^{\circ}$  in 3,6 Wasser. Des Cloizeaux s. Thalliumsulfat. — Miller: Proc. R. S.



**Kohlensaure Magnesia.**

Combination eines  $p$  von etwa  $116^\circ$ , von  $b$  und  $c$ ,  
 tritt  $q : q = 133^\circ$ .

Aggregat sehr feiner gestreifter Prismen. Marignac.



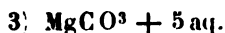
Ein- und eingliedrig.  $a : b : c = 1,6366 : 1 : 0,9654$  Marignac.  
 $\alpha = 78^\circ 27'$ .

$p, p^2, q, r', 2r', a, c.$

$a' : \frac{1}{2}b : c.$

	Berechnet	Beobachtet
$o : o =$	$106^\circ 10'$	$106^\circ 18'$
$o' : o' =$	$96 \ 14$	$96 \ 12$
$o : o' =$	$134 \ 35$	$133 \ 47$
$o : o' =$	$96 \ 14$	
$p : p =$		$163 \ 54$
$a =$	$121 \ 57$	$121 \ 57$
$c =$		$96 \ 5$
$p^2 : p^2 =$	$102 \ 34$	
$a =$	$141 \ 17$	$141 \ 15$
$q : q =$	$93 \ 12$	
$c =$	$136 \ 36$	$136 \ 42$
$a =$	$98 \ 22$	$98 \ 25$
$a : c =$	$101 \ 33$	$101 \ 40$
$r' =$	$111 \ 41$	
$2r' =$	$135 \ 0$	
$c : r' =$	$146 \ 46$	$146 \ 50$
$2r' =$	$123 \ 27$	$123 \ 40$
$o : a =$	$119 \ 42$	$120 \ 9$
$c =$		$135 \ 45$
$o' : a =$	$105 \ 43$	$105 \ 40$
$c =$	$128 \ 31$	$128 \ 37$
$r' =$	$138 \ 7$	$138 \ 6$
$s' : s' =$	$58 \ 16$	
$c =$	$114 \ 2$	$113 \ 40$
$r' =$	$119 \ 8$	$119 \ 12$

glänzende, an der Luft verwitternde Krystalle.



Ein- und eingliedrig.  $a : b : c = 1,1156 : 1 : 1,7817$  Brooke.  
 $\alpha = 72^\circ 20'$ .

$a, b, c.$	Berechnet	Beobachtet
$p : p =$		$186^\circ 30'$
$b =$	$136^\circ 45'$	
$c =$		$102 \ 0$

	Berechnet	Beobachtet
$q : q =$	$64^{\circ} 0'$	
$c =$		$*120^{\circ} 30'$
$a : c =$	$107 40$	

Prismatisch nach  $ac$ . — Ist dieses Salz mit dem vorigen identisch  
Brooke: Ann. Phil. 22, 375.

### Doppelsalze.

**Kohlensaures Kalk-Natron.**  $(Na_2CO_3 + CaCO_3) + 5aq.$  (Gay-l  
Zwei- und eingliedrig.  $a : b : c = 1,4918 : 1 : 1,4471$  Arzruni  
 $\alpha = 78^{\circ} 46'$ .

(Aus den Messungen des natürlichen Gay-Lussits von Phillips  
rechnet sich  $a : b : c = 1,49 : 1 : 1,45$ ;  $\alpha = 78^{\circ} 27'$ .)

$\frac{\alpha'}{2}, p, q, c.$	Berechnet	Beobachtet	
		Künstlich Arzruni	Natürlich Phillips
$\frac{\alpha}{2} : \frac{\alpha}{2} =$	$110^{\circ} 30'$	$110^{\circ} 6'$	$110^{\circ} 30'$
$p : p =$		$*68 42$	$68 50$
$c =$	$96 24$	$97 4$	$96 30$
$q : q =$		$*70 20$	$70 30$
$c =$	$125 40$	$125 36$	
$p =$		$*137 35$	$137 45$
$\frac{\alpha'}{2} : c =$	$136 40$	$137 6$	
$p =$	$127 0$	$126 27$	
$q =$	$152 45$	$152 36$	$152 20$

Die künstlichen Krystalle sind theils Combinationen  $p, q, \frac{\alpha'}{2}$ ,  
wobei  $c$  selten und schmal ist, theils solche  $p, q, c$ , an denen  $\frac{\alpha'}{2}$  sehr  
geordnet auftritt. Die Flächen sind vielfach uneben, auch gestreift.

Die natürlichen Gay-Lussit-Krystalle zeigen starke Doppelbre-  
chung, die optischen Axen parallel Axe  $b$ , welche die Mittellin-  
ie drehende Dispersion merklich; die rothen und blauen Axen liegen in  
der Ebene, welche bei  $44^{\circ}$  ungefähr

mit einer Normale auf	Roth	Blau
Fläche $c$	$26^{\circ} 24'$	$24^{\circ} 44'$
— $r$	$23 30$	$25 0$

Dispersion der Axen stark,  $\rho < r$ .

$2E = 54^{\circ} 38'$  Roth:  $52^{\circ} 53'$  Blau. T.  $17^{\circ}$ . Des Cloizeau

Auch an den künstlichen Krystallen fand Arzruni die Ebenen der  
optischen Axen unter etwa  $21^{\circ}$  gegen die Normale auf Fläche  $c$  (nach  
Geneigt).

Der künstliche Gay-Lussit krystallisirt aus Sodalaugen und wurde von mir untersucht. — Rammelsberg (Arzruni): Monatsber. Berl. Ak. 1880, 777.

**Kohlensaures Magnesia-Ammoniak.**  $(\text{Am}^2\text{CO}^3 + \text{MgCO}^3) + 4\text{aq.}$

Zweigliedrig.  $a : b : c = 0,756 : 1 : 0,607$  Deville.

$p, q, b.$

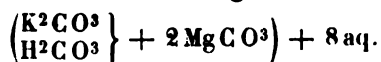
Beobachtet

$$p : p = 105^\circ 48'$$

$$q : q = 117^\circ 30'$$

Ann. Ch. Phys. (3) 35, 460.

**Kohlensaures Magnesia-Kali.**



Eingliedrig.  $a : b : c = 0,4262 : 1 : 0,5944$  Marignac.

$$A = 40^\circ 22' \quad \alpha = 38^\circ 51'$$

$$B = 109^\circ 57' \quad \beta = 114^\circ 26'$$

$$C = 84^\circ 23' \quad \gamma = 75^\circ 33'$$

$$\frac{o}{2}, p, p', {}^3p, {}^3p', q^2, r, a, b, c.$$

$$s = a : \frac{1}{2}b : c.$$

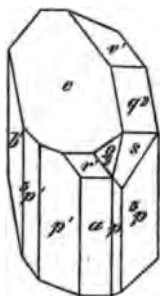
$$v' = a' : \frac{1}{2}b : c.$$

Berechnet

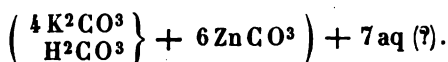
Beobachtet

$a : b =$		$84^\circ 23'$
$p =$	$146^\circ 46'$	
$p' =$	$149^\circ 52'$	
$p : p' =$	$116^\circ 38'$	
$b : p =$	$117^\circ 37'$	
$p' =$		$125^\circ 45'$
${}^3p =$	$150^\circ 29'$	$150^\circ 39'$
${}^3p' =$	$153^\circ 0'$	$152^\circ - 154^\circ$
$p : c =$	$83^\circ 21'$	
$p' : c =$		$134^\circ 30'$
${}^3p' : c =$	$143^\circ 11'$	$143^\circ 0'$
$c : b' =$		$139^\circ 38'$
$q^2 : b =$	$119^\circ 8'$	$118^\circ 40'$
$c =$	$101^\circ 44'$	$101^\circ 30'$
$a =$	$108^\circ 41'$	
$p' =$	$90^\circ 31'$	$91^\circ 16'$
${}^3p =$	$126^\circ 59'$	$126^\circ 26'$
$a : c =$	$109^\circ 57'$	$110^\circ 10'$
$r : c =$	$146^\circ 55'$	
$b =$	$122^\circ 58'$	
$p' =$	$157^\circ 50'$	$157^\circ 35'$
$\frac{o}{2} : b =$	$119^\circ 26'$	$119^\circ 40'$
$c =$	$131^\circ 44'$	$131^\circ 50'$

Fig. 208.



	Berechnet	Beobachtet
$s : b = 122^\circ 27'$		$122^\circ 37'$
$v' : a = 108 \ 2$		$108 \ 0$
$b =$		$*104 \ 24$
$c = 108 \ 54$		$109 \ 0$
$q^2 = 137 \ 20$		$137 \ 5$
$p' = 140 \ 37$		$140 \ 30$
$p = 99 \ 36$		
$^3p = 94 \ 36$		$94 \ 30$

Fig. 208. — Sämmtlich Zwillinge nach *b*. — ~~Marig~~  
nac: Ann. Min. (5) 42.**Kohlensaures Zink-Kali.**

Sechsseitige Prismen. Deville.

**Kohlensaures Zink-Natron.**  $(3 \text{Na}^2\text{CO}^3 + 7 \text{ZnCO}^3) + 8 \text{aq} (?)$ .

Oktaeder und Tetraeder (?). — Deville: Ann. Ch. Phys. (3) 33, 71

**Kohlensaures Nickel-Kali.**  $(\text{K}^2\text{CO}^3 + \text{NiCO}^3) + 4 \text{aq}$ .Zweigligedrig.  $a : b : c = 0,57 : 4 : 0,59$  Deville. $p, q, b$ .

	Berechnet	Beobachtet
$p : p = 120^\circ 34'$		
$b =$		$*119^\circ 43'$
$q : q = 118 \ 48$		
$b =$		$*120 \ 36$

A. a. O. 35, 460.

**Kohlensaures Kobalt-Natron.**  $(\text{Na}^2\text{CO}^3 + \text{CoCO}^3) + 4 \text{aq}$ .Zwei- und eingliedrig.  $a : b : c = 1,229 : 4 : 1,096$  Deville.  
 $o = 65^\circ 52'$ . $p, q, b, c$ .

	Berechnet	Beobachtet
$p : p =$		$*83^\circ 25'$
$b = 138^\circ 47'$		$137 \ 45$
$c =$		$*106 \ 48$
$q : q =$		$*90 \ 0$

**Kohlensaures Kupfer-Natron.**  $(\text{Na}^2\text{CO}^3 + \text{CuCO}^3) + 3 \text{aq}$ .Zwei- und eingliedrig.  $a : b : c = 0,954 : 4 : 1,76$  Deville.  
 $o = 79^\circ 29'$ .

$q, r', \frac{r'}{s}, c.$

Beobachtet

$$p : p = 93^\circ 50'$$

$$c : r = 126 \ 20$$

$$r' = 110 \ 0$$

$$\frac{r'}{s} = 115 \ 25$$

$$r' : \frac{r'}{s} = 114 \ 35$$

$$q : q = 64^\circ 6'$$

$$r = 94 \ 15$$

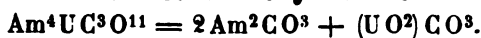
$$r' = 115 \ 34$$

$$p : r = 125 \ 35$$

$$r' = 133 \ 32$$

Axenverhältniss ist aus den drei ersten Winkeln abgeleitet. Es ber die Rechnung für die übrigen Winkel z. Th. gar nicht mit der ung, und auch die Figur kann nicht richtig sein. — Deville: S. o.

### Kohlensaures Uranoxyd-Ammoniak.



i- und eingliedrig.  $a : b : c = 0,9333 : 1 : 0,8364$  De la Pro-  
o =  $80^\circ 0'$ .

$\alpha : \frac{1}{2}b : c.$  —  $p, q, r, r', a, b.$

Berechnet

Beobachtet

De la Provostaye

Keferstein

$$p : p = 94^\circ 50'$$

$$a =$$

$$b = 132 \ 35$$

$$q : q = 101 \ 2$$

$$b = 129 \ 29$$

$$a : r = 137 \ 22$$

$$r' = 126 \ 16$$

$$r : r' =$$

$$p : r = 122 \ 48$$

$$r' =$$

$$s : s = 82 \ 52$$

$$137^\circ 35'$$

$$132 \ 30$$

$$129 \ 35$$

$$127 \ 0$$

$$96 \ 22$$

$$116 \ 20$$

$$92^\circ 53'$$

$$99 \ 58$$

$$96 \ 7$$

$$115 \ 44$$

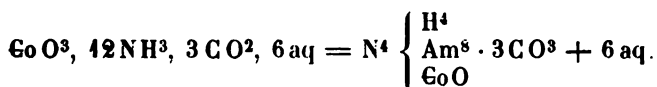
$$83 \ 4$$

edem kommt ein noch genauer zu bestimmendes hinteres Augit-  
vielleicht  $s' = a' : \frac{1}{2}b : c.$

kleine Krystalle. — Ann. Ch. Phys. (3) 5, 48. — Keferstein:  
99, 275.

umgewicht: 2,773 Husemann.

### Kohlensaures Luteokobalt.



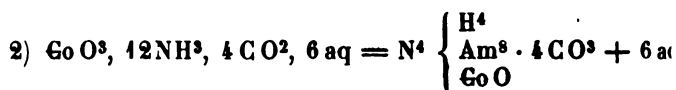
igliedrig.  $a : b : c = 0,6448 : 1 : 0,646$  Dana.

b.

Beobachtet

$$p : p = 116^\circ 50'$$

$$q : q = 114 \ 16$$



Zwei- und eingliedrig.  $a : b : c = 1,131 : 1 : 0,849$  Dan  
 $o = 74^\circ 44'$ .

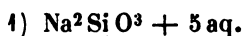
$o, p, 2r', a, b, c.$	Berechnet	Beobachtet
$p : p =$		$*85^\circ 54'$
$c = 102^\circ 20'$		
$a : c =$		$*108 \ 46$
$2r' = 140 \ 8$		
$c : 2r' =$		$*111 \ 46$
$o : o = 122 \ 6$		
$c = 139 \ 46$		
$p = 142 \ 34$		

Am. J. Sc. (2) 23.

## Kieselsaure Salze.

(Silicate.)

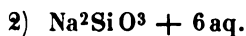
### Kieselsaures Natron. Normales oder Bisilikat.



Zwei- und eingliedrig.  $a : b : c = 0,696 : 1 : 1,20$  Hes  
 $o = 84^\circ 40'$ .

$o, o', \frac{o'}{3}, q, \frac{q}{2}, r.$	Berechnet	Beobachtet
$o : o = 120^\circ 16'$		
$o' : o' = 115 \ 48$		$115^\circ \ 0'$
$o : o' = 84 \ 40$		
$o : o' = 129 \ 7$		
$\frac{o'}{3} : \frac{o'}{3} = 154 \ 0$		
$q : q =$		$*79 \ 54$
$\frac{q}{2} : \frac{q}{2} = 118 \ 20$		
$r : q = 111 \ 17$		$110\frac{1}{2} - 111\frac{1}{2}^\circ$
$o' =$		$*114^\circ 58'$
$o = 147 \ 57$		$149 - 151^\circ$

Von hemimorpher Ausbildung, da die  $o, \frac{o'}{3}$  und  $\frac{q}{2}$   
 Ende vorkommen. — J. f. pr. Ch. (2) 5, 397.



Undeutliche, vielleicht eingliedrige Krystalle. — !  
 A. 43, 135.

3)  $\text{Na}^2\text{SiO}_3 + 8\text{aq.}$ 

l eingliedrig.  $a : b : c = 0,6352 : 1 : 0,6721$  Ammon.  
 $\alpha = 70^\circ 12'.$

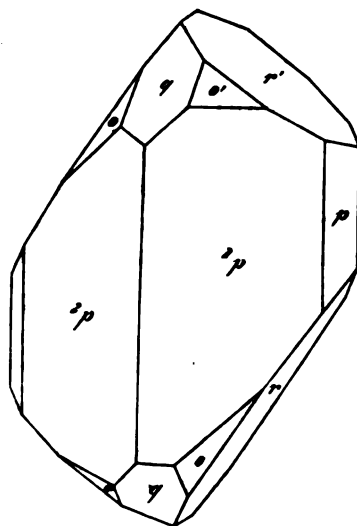
$p, q, r, r'.$

$b : c.$

$b : c.$

Berechnet	Beobachtet
$138^\circ 50'$	
123 48	$124^\circ 3'$
126 40	
102 25	
89 56	
70 40	
123 32	
127 7	
118 46	118 20
	$79^\circ 50'$
115 24	$86^\circ 34'$
135 24	
121 35	
132 58	133 24
117 44	116 46
122 40	122 20
	$112^\circ 56'$
151 54	151 40
134 58	134 50

Fig. 209.



— Oft prismatisch nach  $2p$ ; bisweilen  $r$  und  $r'$ , namentlich chend. Die  $o$  und  $n$  fehlen häufig. — Ammon, über einige 1862.

4)  $\text{Na}^2\text{SiO}_3 + 9\text{aq.}$ 

Fig.  $a : b : c = 0,6888 : 1 : 0,3378$  N. Nordenskiöld.

—  $v = \frac{1}{2}a : \frac{1}{2}b : c.$

	Berechnet	Beobachtet
$\left. \begin{array}{l} o \\ v \end{array} \right\} \begin{array}{l} 2A = \\ 2B = \\ 2C = 61^\circ 32' \end{array}$		$146^\circ 15'$
$\left. \begin{array}{l} v \\ q^2 : q^2 \end{array} \right\} \begin{array}{l} 2A = 92 \frac{1}{2} \\ 2B = 119 \ 28 \\ 2C = 118 \ 40 \end{array}$		$130 \ 40$
$q^2 : q^2 = 111 \ 54$		

3, 135.

## Kieselsaurer Baryt.

Normal.  $3\text{BaSiO}_3 + 2\text{aq.}$

Fig.  $a : b : c = 0,8837 : 1 : 0,3774$  Pisani.

, physik. Chemie.

$p, r, a, c.$ 

Beobachtet

$$p : p = 97^\circ 4'$$

$$r : r = 133 45$$

Ausserdem kleine Flächen eines Oktaeders  $s$ , welches gal

$$s : s = 129^\circ 25', s : p = 145^\circ 25', s : c = 119^\circ 1$$

und vielleicht  $\frac{3}{4}a : \frac{3}{4}b : c$  ist.Optische Axenebene =  $bc$ , Mittellinie =  $c$ , negativ. Si  
sion,  $\varrho < v$ . Axenwinkel in Luft

$$2E = 58^\circ 44' \text{ Roth, } 66^\circ 22' \text{ Grün.}$$

Pisani: C. r. 1876. Novbr.

## Normale Silicate von Ca, Mg, Fe.

Sie sind krystallisirt z. Th. künstlich rein dargestellt wor  
 $\text{MgSiO}_3$  von Ebelmen, theils bilden sie sich in isomorpher  
Schlacken. Alle haben die Augitform.

## Kieselsaures Eisenoxydul.

Halb- (Singulo-) silicat.  $\text{Fe}^2\text{SiO}_4$ .

(Frisch-Puddel-Stahlschlacke etc.)

Zweigliedrig.  $a : b : c = 0,9227 : 1 : 1,1626$  Mitsch

$$p, p^2, p\frac{4}{3}, \frac{2}{3}p, \frac{5}{3}p, q, \frac{a}{2}, r, a, b, c.$$

Berechnet

Beobachtet

	Mitscherlich	Miller	Rammelsber
$p : p = 94^\circ 20'$	$94^\circ 36'$	$94^\circ 0$	
$p^2 : p^2 =$	$130 28$	$130 30$	$130^\circ 14'$
$p\frac{4}{3} : p\frac{4}{3} = 110 38$		$110 40$	
$\frac{2}{3}p : \frac{2}{3}p = 71 42$		$72 0$	
$\frac{5}{3}p : \frac{5}{3}p = 46 52$		$48 0$	
$q : q =$	$84 24$		
$b = 139 48$			$139 22$
$\frac{a}{2} : \frac{a}{2} = 119 40$		$119 20$	
$r : r = 76 52$		$75 20$	
$p : q = 121 2$			
$p^2 : q = 108 31$			
$p : r = 125 4$			
$q : r = 113 55$			

Meist Combinationen,  $p^2, q, b$  als Oblong- oder RectanguSpaltbar nach  $c$ , weniger nach  $b$ . — Miller: Pogg. AMitscherlich: Abh. Berl. Ak. 1822—23, S. 25. — Bot  
Ch. 78, 225. — Ebelmen: Ann. Ch. Phys. (3) 33, 34. —  
berg: Lehrb. d. metall. Chemie. 2. Aufl.

\*) Bothe.



Zu den künstlich erhaltenen krystallisirten Silicaten gehört vor allen der Orthoklas der Kupferschieferöfen. Aber es sind auf synthetischem Wege von Ebelmen, Daubrée u. A. auch viele andere Silicate erhalten worden.

## Zinnsaure Salze.

(Stannate.)

**Zinnsaures Kali.**  $K^2SnO^3 + 3aq.$

Sechsgliedrig.  $a : c = 1 : 0,985$  Marignac.

$r, 2r, c.$	Berechnet	Beobachtet	
		Marignac	Rammelsberg
$r, 2A = 98^\circ 51'$		$98^\circ 30' - 99^\circ 10'$	
$2r' - =$		$75 \quad 6$	$76^\circ 28'$
$c : r = 134 \quad 19$		$134 \quad 10 \quad (49)$	
$2r' = 113 \quad 44$		$113 \quad 40$	
$r : 2r' = 127 \quad 33$		$127 \quad 30$	$127$

Oft Zwillinge nach  $r$ .

Die Flächen meist etwas gekrümmt. Milchweiss, selten durchsichtig.

Spaltbar nach  $c$ . Optisch einaxig.

Die von mir beobachteten Krystalle des Salzes sind wohl ident mit diesem, obgleich sie zweigliedrig oder zwei- und eingliedrig erscheinen. — Marignac: Ann. Min. (5) 15.

**Zinnsaures Natron.**  $Na^2SnO^3 + 3aq.$

Herrschend ein Rhomboeder ( $2A = 84^\circ$ ) und die Endfläche; daneben das vierfach schärfere und ein undeutlicher Dreikantner. Marignac.

## Tantalsaure und niobsaure Salze.

### Tantalsaure Salze.

(Tantalate.)

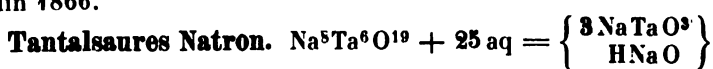
**Tantalsaures Kali.**  $K^3Ta^6O^{19} + 16aq = 2 \left\{ \begin{smallmatrix} 3 KTaO^3 \\ HKO \end{smallmatrix} \right\} + 15aq.$

Zwei- und eingliedrig.  $a : b : c = 0,71638 : 1 : 0,93632$  Marignac.  
 $o = 84^\circ 44'.$

$o', p, q, b, c.$	Berechnet	Beobachtet
$p : p =$		$109^\circ 0'$
$b = 125^\circ 30'$		$125 \quad 30$
$c =$		$94 \quad 20$
$q : q = 85 \quad 0$		
$c = 132 \quad 30$		$132 \quad 25$

	Berechnet	Beobachtet
$o' : o' =$	$131^{\circ} 8'$	
$c =$		$*134^{\circ} 45'$
$p =$	$130 \ 55$	

Isomorph mit dem niobsauren Kali. — Marignac: Arch. :  
Juin 1866.



Sechsgliedrig.  $a : c = 1 : 0,272$  Marignac.

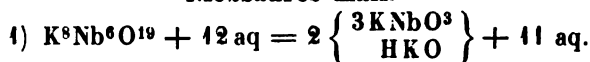
$d, c.$	Berechnet	Beobachtet
$d \left\{ \begin{array}{l} 2A = \\ 2C = \end{array} \right.$	$111^{\circ} 52'$	$*131^{\circ} 4'$
$d : c =$	$124 \ 4$	$124 \ 14$

Tafelartig nach  $c$ . Optisch einaxig.

### Niobsaure Salze.

(Niobate.)

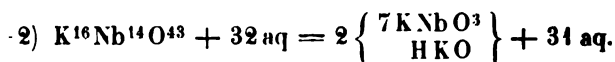
#### Niobsaures Kali.



Zwei- und eingliedrig.  $a : b : c = 0,71094 : 4 : 0$   
rignac.  $o = 85^{\circ} 42',5.$

$o', p, q^2, b, c.$	Berechnet	Beobachtet
$o' : o' =$	$130^{\circ} 46'$	
$p : p =$		$*109^{\circ} 20'$
$b =$	$125 \ 20$	$125 \ 20$
$c =$		$*94 \ 30$
$q^2 : q^2 =$	$83 \ 28$	
$c =$	$131 \ 44$	$132 \ 40$
$o' : b =$	$114 \ 37$	$114 \ 42$
$c =$		$*136 \ 6$
$p =$	$131 \ 24$	

Prismatisch nach  $p$  und  $b$ . Farblos, oft ziemlich gross.  
verwitternd. — Bibl. univ. et Revue suisse 23.



Zweigliedrig.  $a : b : c = 0,9584 : 4 : 0,7083$  Marigna

$o, a, b, c.$	Berechnet	Beobachtet
$o \left\{ \begin{array}{l} 2A = \\ 2B = \\ 2C = \end{array} \right.$	$117^{\circ} 48'$	$*120^{\circ} 40'$
$o : c =$	$94 \ 20$	$118 \ 0$
		$*134 \ 20$

Ziemlich grosse, aber nicht gut spiegelnde Krystalle.

## Molybdänsaure Salze. (Molybdate.)

### Molybdänsaures Ammoniak.

#### I. Einfach. $\text{Am}^2\text{MoO}_4$ .

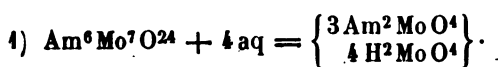
Zwei- und eingliedrig.  $a : b : c = 1,757 : 1 : 1,206$  Marignac.  
 $o = 80^\circ 7'$ .

$p, q, r, r', a.$	Berechnet	Beobachtet
$p : p =$		$*60^\circ 0'$
$q : q = 80^\circ 10'$		
$r : r' = 111 \ 22$		111 35
$a : r = 131 \ 3$		131 0
$r' =$		$*117 \ 35$
$p : r =$		$*109 \ 10$
$r' = 103 \ 23$		103 0
$q : r = 123 \ 26$		123 30
$r' = 120 \ 44$		121 30

Dünne Blättchen nach  $r$ . — Verwittert rasch unter Verlust von Ammoniak.

Die von Marignac gewählte Stellung, wonach  $r = c$ ,  $r' = 2r'$  und  $q = o'$  wären, würde einen Winkel der Axen  $a$  und  $c = 48^\circ 57'$  bedingen, sodass  $o'$  nicht nach hinten, sondern nach vorn geneigt wäre.

#### II. Siebendrittelfach.



Zwei- und eingliedrig.  $a : b : c = 0,6297 : 1 : 0,2936$  v. Rath.  
 $o = 88^\circ 48'$ .

$o, 2o', p, p^3, a, b.$	Berechnet	v. Rath	Beobachtet	Marignac	Haidinger	Keferst.
$o : o =$		$*150^\circ 26'$		$150^\circ 24'$		$150^\circ 42'$
$2o' : 2o' = 133^\circ 4'$		133 3			$133^\circ 18'$	133 39
$p : p =$		$*115 \ 37$			109 10	
$a = 147 \ 28$		147 55				
$b = 122 \ 12$		122 6		$122-123^\circ$		
$p^3 : p^3 = 156 \ 17$		156 2				
$3 = 101 \ 51$		102 4		99 0		100 24
$p = 159 \ 39$		159 39			159 50	

Berechnet		Beobachtet	
$o : b = 104^{\circ} 47'$	v. Rath	Marignac	Keferstein
$p =$	$104^{\circ} 48'$	$104^{\circ} 48'$	
$2o' : b = 113 \ 28$	$*149 \ 38$		
$p = 137 \ 20$	$113 \ 32$	$113 \ 45$	
$o = 115 \ 23$	$137 \ 0$	$137 \ 10$	
	$115 \ 37$	$115 \ 59$	$116^{\circ} 17'$

v. Rath fand ausserdem  $a : \frac{1}{2}b : c$  und Marignac beobachtete auch  $o'$ ,  $2o$  und  $a : \frac{1}{2}b : c$ .

Fig. 210.

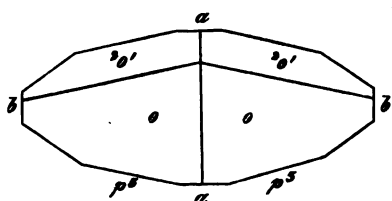


Fig. 210. — In der Horizontalkrone, die stark gestreift ist, herrscht  $p^2$ ,  $b$  ist schmal,  $a$  selten. In der Endigung überwiegt  $o$ . Perlmutterglanz auf  $b$ . Spaltbar nach  $b$ .

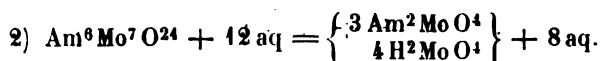
Ebene der optischen Axen  $ac$ ; Doppelbrechung stark, die Dispersion der Axen ist schwach,  $q < v$ ; die geneigte

Dispersion sehr merklich; die Mittellinien der rothen und blauen Axen differiren um etwa  $19'$ . Beide bilden Winkel von

$87^{\circ} 28'$ Roth	} mit der Normalen auf Fläche $a$ ,
$87 \ 9$ Blau	
$19 \ 48$ Roth	} mit einer solchen auf die Kante $a' : 2c$ .
$19 \ 29$ Blau	

$2H$  bei  $46^{\circ} = 94^{\circ} 34'$  Roth,  $94^{\circ} 52'$  Gelb,  $92^{\circ} 50'$  Blau. Des Cloizeau: Haidinger: Edinb. J. Sc. 4, 100. — Keferstein: Pogg. A. 99, 277. — v. Rath: Ebend. 110, 101.

Dies ist das gewöhnliche Salz, früher für das zweifachsaure gehalten.



Zwei- und eingliedrig.  $a : b : c = 0,4977 : 1 : 0,746$  Rammelsberg.  $o = 73^{\circ} 25'$ .

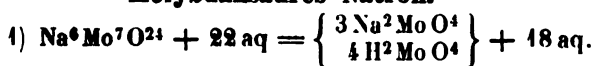
$o$ ,  $o'$ ,  $p$ ,  $q$ ,  $\frac{r'}{2}$ ,  $a$ ,  $b$ ,  $c$ .

Berechnet	Beobachtet
$o : o = 144^{\circ} 6'$	
$o' : o' = 130 \ 22$	
$o : o' = 78 \ 24$	$77^{\circ} 40'$
$o : o' = 114 \ 11$	
$p : p = 129 \ 0$	$129 \ 45$
$b = 115 \ 30$	$115 \ 29$
$c = 97 \ 3$	
$q : q = 108 \ 52$	$109 \ 40$
$b =$	$*125 \ 34$

	Berechnet	Beobachtet
$q : a =$	$103^{\circ} 25'$	$103^{\circ} 16'$
$a : c =$	$106 \ 35$	$106 \ 50$
$\frac{r'}{2} : a =$		$115 \ 50$
$c =$		$137 \ 35$
$o : a =$	$146 \ 10$	$145 \ 37$
$q =$	$137 \ 15$	$137 \ 12$
$o' : a =$	$135 \ 26$	$135 \ 28$
$q =$	$121 \ 9$	$120$ ungef.

Prismatisch nach  $p$  oder nach der Verticalzone. — Pogg. A. 127, 298.

### Molybdänsaures Natron.



Zwei- und eingliedrig.  $a : b : c = 2,093 : 1 : 2,024$  Zenker.

$$o = 76^{\circ} 35'.$$

$o, o', r, r', a, b, c.$

	Berechnet	Beobachtet
$o : o =$	$76^{\circ} 42'$	
$o' : o' =$		$63^{\circ} 32'$
$o : o' =$	$132 \ 52$	
$o : o' =$	$131 \ 8$	
$a : c =$		$103 \ 25$
$r : r' =$	$94 \ 58$	
$a : r =$	$127 \ 5$	
$r' =$	$140 \ 57$	
$c : r =$	$142 \ 28$	
$r' =$	$129 \ 30$	
$o : a =$	$118 \ 38$	
$c =$	$149 \ 48$	
$r =$	$128 \ 6$	
$o' : a =$		$108 \ 30$ ( $118^{\circ} 30'$ ist Druckfehler)
$c =$	$109 \ 34$	
$r' =$	$124 \ 46$	

Meist Zwillinge. Zwillingsfläche  $a$ ; die Krystalle sehen wie einfache aus, ähnlich den Augitzwillingen. Glasglanz; ohne deutliche Spaltbarkeit. Zenker: J. f. pr. Ch. 58, 486.

Starke Doppelbrechung. Die optischen Axen öffnen sich für alle Farben in Ebenen parallel der Axe  $b$ . In Luft bilden sie mit einer Normale auf

	Roth	Gelb	Blau
die vordere Fläche $a$	$5^{\circ} 4'$	$5^{\circ} 25'$	$6^{\circ} 55'$
die basische Endfläche	$71 \ 34$	$74 \ 40$	$69 \ 40$

In Öl ist die den Axen eigene Dispersion schwach,  $\rho > v$ ; dagegen zeigt sich die horizontale Dispersion sehr deutlich durch die Farben der Ringsysteme. Eine zur Mittellinie normale Platte gab bei  $16^{\circ}$

1. The first step is to identify the problem or goal. This involves understanding the current situation and what needs to be achieved.

2. Next, you need to gather information. This can be done through research, interviews, or data analysis.

3. Once you have the information, you can start to develop a plan. This plan should outline the steps you need to take to achieve your goal.

4. After you have a plan, you need to implement it. This involves putting the plan into action and monitoring progress.

5. Finally, you need to evaluate the results. This involves comparing the actual results to the expected results and making adjustments as needed.

**Zepharovich mass Krystalle.**

- I. Mo : 24 S  
 II. 2 Mo : 15 S  
 III. 4 Mo : 3 S.

Sie hatten die Form der Doppelsulfate und die Flächen  $o'$ ,  $p$ ,  $q$ ,  $2r'$ ,  $b$ ,  $c$ .

I.	II.	III.
$c : p = 104^\circ 14'$	$104^\circ 16'$	
$q = 155 \ 26$	$155 \ 14$	$154^\circ 5'$
$2r' = 115 \ 30$	$115 \ 34$	$116 \ 14$
$o' = 135 \ 19$	$135 \ 26$	
$p : q = 108 \ 2$		$107 \ 0$

Die I. waren durchsichtig, II. meist trübe durch beginnende Verwitterung, III. undurchsichtig mit gekrümmten und gebrochenen Flächen.

**Molybdänsaures Blei.  $PbMoO_4$ .**

Als Gelbbleierz viergliedrig,  $a : c = 1 : 1,5737$  (Mohs),  $2A$  von  $o = 99^\circ 40'$ . An künstlichen Krystallen fand Manross diesen Winkel  $= 99^\circ 43'$ . — Ann. Ch. Pharm. 82, 358. — Vgl. Hausmann: Ebend. I, 224.

**Molybdänsaures Manganoxyd-Kali.  $K^5MnMo^8O_{28} + 6aq$ .**

Sechsgliedrig.  $a : c = 1 : 0,805$  Struve.

Orangerothe Rhomboeder,  $2A = 107^\circ 45'$ . Ebenso das Ammoniakdz. — J. f. pr. Ch. 64, 460.

**Phosphormolybdänsaures Ammoniak.**

1)  $3Am^2O + P^2O_5 + 22MoO_3 + 12aq^*)$ .

Zwei- und eingliedrig.  $a : b : c = 0,5092 : 1 : 0,8466$  Nordenkiöld.

$o = 89^\circ 1'$ .

$o'$ ,  $r'$ ,  $a$ ,  $b$ ,  $c$ .

$n' = a' : 2b : c$ .

	Berechnet	Beobachtet
$o' : o' = 126^\circ 2'$		
$b = 116 \ 59$		$116^\circ 34'$
$c = 117 \ 30$		$117 \ 53$
$n' : n' = 154 \ 26$		
$b = 104 \ 17$		$104-105^\circ$
$c : r' =$		$*120 \ 18'$
$a : r' = 148 \ 43$		
$c =$		$*90 \ 59$

Sehr kleine gelbe glänzende Krystalle, deren Winkel etwas schwanken. Zwillinge nach einer Fläche der Verticalzone; haben die Flächen  $b$  gemein. Vet. Akad. H. 1874.

<sup>\*)</sup> Dies ist die Formel des gewöhnlichen nichtkrystallisirten Salzes.

	$2 H_2O + 5 MoO_3 + 7 aq.$
In einem	entsprechenden Kalisalz.
Axen ziemlich	<b>Moody'sches MoO<sub>3</sub>-Kali.</b>
Es wurde	$2 H_2O + 5 MoO_3 + 7 aq.$
$2 H_2O$	$0,720 : 4 : 0,715$ Rammelsberg.
woraus	
	Berechnet Beobachtet
	$127^{\circ} 12'$ $127^{\circ} 15'$
	$102 \quad 8$ $101 \quad 55$
folgt. De-	$101 \quad 30$
	$108 \quad 30$
	$125 \quad 45$
	$108 \quad 52$
Zwei-	$125 \quad 34$
bis $128^{\circ}$ .	$90 \quad 24$
	$116 \quad 54$
	$140 \quad 45$
	$141 \quad 4$
Eber-	$153 \quad 6$
bis $94^{\circ}$ .	
	kleine nicht sehr glänzende farblose
	sehr schön sehen.
Der	$K_2O + 2 P_2O_5 + 10 MoO_3 + 20 aq.$
Hexaide	$0,983 : 4 : 0,821$ Rammelsberg
sein soll	
	Berechnet Beobachtet
	$115^{\circ} 34'$ $116^{\circ} 20'$
<b>Molybd:</b>	$114 \quad 20$ $114 \quad 10$
Zw	$99 \quad 0$
$a =$	$122 \quad 50$
$b =$	$122 \quad 15$
$c =$	$130 \quad 30$
	die Hexaidflächen $a$ und $b$ . — Rammelsberg:
	$117, 575.$

## Wolframsaure Salze.

(Wolframate.)

Se-	
Bi-	<b>Wolframsaures Ammoniak.</b>
Messung-	$Am^2W^{12}O_{41} + 11 aq = \{ Am^2W^{12}O_{41} \} + 11 aq.$
gliedrig	

Ein wasserlösliches Salz. Die gewöhnliche Modification. Die Krystalle, die in Form und Winkeln an die bekannten Krystalle von  $Am^2W^{12}O_{41}$  erinnern; sie schienen ihm jedoch stets etwas anders zu sein, und er ist geneigt, sie für e





zu halten. Meist sind es Prismen von etwa  $94^\circ$ , mit einer unter  $111^\circ$  und  $119^\circ$  gegen dessen Flächen geneigten schiefen Endfläche.

B. Prismatisches Salz.

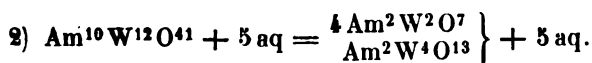
Eingliedrig.  $a : b : c = 0,62206 : 1 : 1,4137$  Marignac.

$A = 58^\circ 53'$ ;  $B = 94^\circ 25'$ ;  $C = 82^\circ 48'$

$\alpha = 59 \quad 9$ ;  $\beta = 90 \quad 37$ ;  $\gamma = 84 \quad 50$

$o'', p, p', q, a, b, c.$	Berechnet	Beobachtet
$a : b =$	$82^\circ 48'$	
$p =$		$*112^\circ 6'$
$p' =$	$116 \quad 44$	
$b : p =$	$120 \quad 42$	$121 \quad 4$
$p' =$	$130 \quad 28$	
$p : p' =$		$*108 \quad 50$
$b' : c =$	$121 \quad 7$	$121 \quad 35$
$q : c =$	$102 \quad 43$	$103 \quad 0$
$a : c =$	$94 \quad 25$	$94 \quad 20$
$p : c =$		$*75 \quad 20$
$p' : c =$		$*110 \quad 10$
$o'' : c =$	$120 \quad 12$	$119 \quad 50$
$b =$	$103 \quad 19$	$103 \quad 48$
$a =$	$138 \quad 27$	$138 \quad 18$
$p : q =$	$112 \quad 32$	$112 \quad 30$
$p' : q =$	$117 \quad 4$	$117 \quad 24$

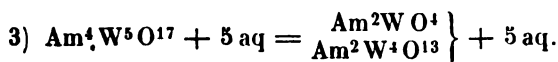
Die Krystalle sind nach der Zone  $pc$  verlängert und oft tafelförmig nach  $c$ .



Zwei- und eingliedrig.  $a : b : c = 1,0266 : 1 : 0,7732$  Marignac.  
 $\alpha = 70^\circ 10'$ .

$o', p, c.$	Berechnet	Beobachtet
$o' : o' =$	$108^\circ 28'$	$107^\circ 40'$
$p : p =$		$*91 \quad 0$
$c =$		$*104 \quad 0$
$o' : c =$		$*126 \quad 0$
$p =$	$130 \quad 0$	

Die Krystalle haben ein rhomboedrisches Ansehen und sind gewöhnlich nur Combinationen von  $p$  und  $c$ . Sie sind klein, hart und glänzend; ihre Flächen sind gestreift, so dass die Winkel sich nicht genau messen lassen. Oft sind sie nach  $c$  zwillingsartig verwachsen.



Eingliedrig.  $a : b : c = 0,734 : 1 : 0,692$  Marignac.

$o, o', o'', o''', q, q', a, c.$

	Berechnet	Beobachtet
$o'' : o''' =$	$89^\circ 42'$	$89^\circ 50'$
$a : c =$	95 29	95 15
$o : a =$	126 48	126 30
$c =$		*126 5
$o' : a =$	134 26	134 43
$c =$	107 0	106 44
$o'' : a =$	121 15	121 0
$c =$	121 0	121 5
$o''' : a =$	129 29	129 23
$c =$		*100 5
$q : c =$	134 42	134 48
$q' : c =$	72 3	72 0
$o : q =$		147 24
$o'' : q =$	145 6	145 4
$o' : q' =$	140 15	140 10
$o''' : q' =$	138 50	138 30
$q =$	145 35	145 43
$a : q =$	93 39	93 46
$q' =$	94 44	94 37

Die Krystalle sind sehr kleine achtseitige Blättchen, d. h. Combinationen des eingliedrigen Oktoids mit der sehr vorherrschenden Endfläche  $c$ , der Hexaidfläche  $a$ , und den beiden Flächen  $q$  des zweiten Paares.

Zwillinge: 1) Zwillingsfläche ist  $c$ ; die Flächen  $a$  bilden ein- und ausspringende Winkel. 2) Zwillingsfläche ist  $c$ ; die Flächen  $a$  beider Individuen fallen in eine Ebene. Da  $c$ ,  $p$  und  $q''$  eine Zone bilden, so könnte man die Krystalle für zwei- und eingliedrig halten (die Rechnung ist unter dieser Voraussetzung gemacht). Allein dann müsste man eine Hemiedrie aller Flächen annehmen, und  $o'$ ,  $o'''$  und  $q'$  würden sehr complicirte Zeichen erhalten.

### Wolframsaures Kali.

#### 1) $K^2WO_4$ .

Eingliedrig (?). Marignac.

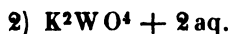
$\frac{o'''}{2}, p', r', a, c.$	Beobachtet
$p : p =$	*46° 30'
$a : p' =$	*113 15
$c =$	*102 20
$c : p =$	118 50
$p' =$	*108 35
$r' : a =$	*120 38
$p : r' =$	98° 40'
$p' : r' =$	56° 30'
$\frac{o'''}{2} : a =$	77 40
$p' =$	108 42
$p =$	64 0
$c =$	122 0

Die Krystalle sind kleine anscheinend sechsseitige Prismen mit parallelen Flächen, jedoch nicht einfach, sondern Zwillinge, deren Natur sich nicht vollständig ermitteln liess.

Verwachsung findet parallel  $a$  statt, so dass zwei Flächen  $r'$  einen rechten Winkel bilden. Die beiden Flächen  $p$  sind gleichgeneigt gegen  $c$  eine schiefe Neigung gegen sie hat, woraus sich ergibt, dass das rechte  $p$  sei identisch mit dem linken ( $p'$ ), gehöre zu einem anderen Individuum an. Auch bemerkt man in der That an der Fläche eine Streifung, hervorgebracht durch sehr schmale Flächen.

Fläche  $\frac{o'''}{2}$  ist vielleicht die basische Endfläche eines Individuums, dem in  $p$  erscheinenden parallel ist; auch sind die Neigungen der Flächen gegen  $p'$ ,  $a$  und  $p$  die nämlichen wie die von  $c$ , aber sie stimmen nicht genau, weder in der Zone  $p'$ ,  $c$ ,  $p$ , noch in der  $p'$ ,  $r'$ ,  $p$ , sie weichen davon nur wenig ab.

Es bleibt die Form der Krystalle noch unbestimmt, da man nur die Flächen  $p'$ ,  $a$ ,  $c$ ,  $r'$  als einem Individuum angehörig betrachten kann und diese zur Bestimmung eines eingliedrigen Krystalls nicht ge-



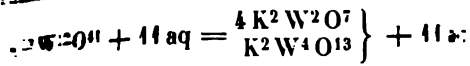
zwei- und eingliedrig.  $a : b : c = 1,0007 : 1 : 0,7823$  Marignole  
 $\alpha = 69^\circ 4'$ .

$p, p^2, \frac{q}{2}, r, r', \frac{r}{4}, a, b.$

	Berechnet	Beobachtet
$o : o =$	$109^\circ 3'$	$109^\circ 0'$
$o' : o' =$	$127 13$	
$o : o' =$	$116 26$	
$o : o' =$	$94 3$	
$p : p =$	$93 52$	$93 45$
$a =$	$136 56$	
$b =$	$133 4$	$133 8$
$p^2 : p^2 =$	$129 55$	$130 0$
$b =$	$115 3$	$114 55$
$\frac{q}{2} : \frac{q}{2} =$		$139 50$
$b =$	$110 5$	$110 0$
$a : r =$	$140 40$	$141$
$r' =$		$144 28$
$\frac{r}{4} =$	$120 38$	$124$
$r' : \frac{q}{2} =$		$134 15$
$o : a =$	$133 51$	
$b =$	$116 23$	$116 14$
$o' : a =$	$109 43$	
$b =$	$125 28$	$125 20$
$p =$	$129 59$	$129 44$

... und prismatisch durch Ausdehnung des ...  
... und  $\frac{r}{4}$  fehlen oft.

... an feuchter Luft, und verwittert ...



$$c = 0,6304 : 4 : 4,402 \text{ Marnag}$$

$$\begin{aligned} \alpha &= 58^\circ 51' & \alpha &= 59^\circ 4' \\ \beta &= 93 \text{ } 54 & \beta &= 90 \text{ } 32 \\ \gamma &= 93 \text{ } 6 & \gamma &= 84 \text{ } 47 \end{aligned}$$

Die  
des ein-  
Hexaidr  
Zw  
ausspr  
dividu  
man di  
dieser  
aller F  
erhalte

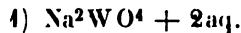
Berechnet

Beobachtet

=		83° 6'
= 441° 20'		441 34
= 446 10		445 54
= 421 46		421 42
=		130 44
=		58 54
=		102 40
=		93 54
= 105 30		
= 410 0		
= 137 5		136 58
= 423 0		423 44
= 138 5		
= 415 47		415 30

... entsprechenden Ammoniaksalz. Tafelartig nach  
... in diesem Fall oft Zwillinge nach c, so dass  
... Winkel bilden.

### Wolframsaures Natron.



$$b : c = 0,810 : 4 : 0,658 \text{ Rammeisberg.}$$

Berechnet

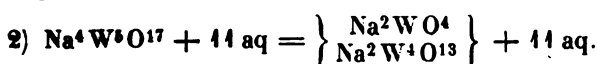
Beobachtet

	Rammeisberg	Marnag
126° 52'		126° 50'
110 48	111° 42'	
91 0	92 35	
128 32		90 39
101 58		102 40
117 4		117 4
	133 44	134 0
	136 28	



Berechnet	Beobachtet	
	Rammelsberg	Marignac
$o^2 : b = 124^\circ 36'$		$124^\circ 25'$
$c = 115 \ 34$	$115^\circ 5'$	$115 \ 40$
$o = 161 \ 50$	$161 \ 40$	

Tafelartig nach c.

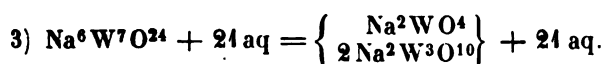


Zwei- und eingliedrig.  $a : b : c = 0,6056 : 1 : 0,790$  Marignac.  
 $o = 78^\circ 3'$ .

$o, o', c. \rightarrow n = 2a : b : c.$

Berechnet	Beobachtet
$o' : o' =$	$*124^\circ 0'$
$c =$	$*115 \ 0$
$o : o = 133^\circ 33'$	$133 \ 32$
$c =$	$*130 \ 25$
$n : n = 118 \ 51$	$118 \ 32$
$c = 100 \ 54$	

Rhombische Prismen  $o'$  mit der Endfläche  $c$  und schmäler Zuschärfung  
 der scharfen Kanten  $o'c$  durch  $o$  und  $n$ .



Eingliedrig.  $a : b : c = 0,9295 : 1 : 0,5234$  Marignac.

$A = 92^\circ 46'$	$\alpha = 99^\circ 27'$
$B = 96 \ 36$	$\beta = 101 \ 41$
$C = 90 \ 0$	$\gamma = 99 \ 2$

$o, o''', p, p', q^2, a, b, c.$

Berechnet	Beobachtet
$a : b =$	$*90^\circ 0'$
$\left. \begin{array}{l} p \\ p' \end{array} \right\} = 137^\circ 15'$	
$\left. \begin{array}{l} b : p \\ p' \end{array} \right\} = 132 \ 45$	$132 \ 44$
$p : p' =$	$132 \ 48$
$b : c = 92 \ 46$	$*94 \ 30$
$c : q^2 = 135 \ 20$	$92 \ 40$
$a : q^2 = 94 \ 28$	$135 \ 40$
$a : c =$	$94 \ 22$
$c : p =$	$*96 \ 36$
$p' = 92 \ 57$	$*96 \ 44$
$o : a = 120 \ 38$	$92 \ 55$
$b = 115 \ 13$	$120 \ 40$
$c = 115 \ 0$	$115 \ 19$
$o''' : a = 112 \ 9$	$115 \ 30$
$b = 113 \ 25$	$112 \ 15$
$c =$	$113 \ 12$
	$*140 \ 8$

Year	Month	Day	Time	Location	Remarks
1912	12	22	10:30	100	100
1912	12	23	10:30	100	100
1912	12	24	10:30	100	100
1912	12	25	10:30	100	100
1912	12	26	10:30	100	100
1912	12	27	10:30	100	100
1912	12	28	10:30	100	100
1912	12	29	10:30	100	100
1912	12	30	10:30	100	100
1912	12	31	10:30	100	100
1913	1	1	10:30	100	100
1913	1	2	10:30	100	100
1913	1	3	10:30	100	100
1913	1	4	10:30	100	100
1913	1	5	10:30	100	100
1913	1	6	10:30	100	100
1913	1	7	10:30	100	100
1913	1	8	10:30	100	100
1913	1	9	10:30	100	100
1913	1	10	10:30	100	100
1913	1	11	10:30	100	100
1913	1	12	10:30	100	100
1913	1	13	10:30	100	100
1913	1	14	10:30	100	100
1913	1	15	10:30	100	100
1913	1	16	10:30	100	100
1913	1	17	10:30	100	100
1913	1	18	10:30	100	100
1913	1	19	10:30	100	100
1913	1	20	10:30	100	100
1913	1	21	10:30	100	100
1913	1	22	10:30	100	100
1913	1	23	10:30	100	100
1913	1	24	10:30	100	100
1913	1	25	10:30	100	100
1913	1	26	10:30	100	100
1913	1	27	10:30	100	100
1913	1	28	10:30	100	100
1913	1	29	10:30	100	100
1913	1	30	10:30	100	100
1913	1	31	10:30	100	100
1913	2	1	10:30	100	100
1913	2	2	10:30	100	100
1913	2	3	10:30	100	100
1913	2	4	10:30	100	100
1913	2	5	10:30	100	100
1913	2	6	10:30	100	100
1913	2	7	10:30	100	100
1913	2	8	10:30	100	100
1913	2	9	10:30	100	100
1913	2	10	10:30	100	100
1913	2	11	10:30	100	100
1913	2	12	10:30	100	100
1913	2	13	10:30	100	100
1913	2	14	10:30	100	100
1913	2	15	10:30	100	100
1913	2	16	10:30	100	100
1913	2	17	10:30	100	100
1913	2	18	10:30	100	100
1913	2	19	10:30	100	100
1913	2	20	10:30	100	100
1913	2	21	10:30	100	100
1913	2	22	10:30	100	100
1913	2	23	10:30	100	100
1913	2	24	10:30	100	100
1913	2	25	10:30	100	100
1913					

Die herrschende Form ist die eines niedrigen Prismas  $pp'b$ , welches bald durch Ausdehnung von  $b$ , bald durch Überwiegen von  $c$  tafelartig wird. Prismatische Combinationen  $bc$  sehen rechtwinklig aus, mit vierseitiger Zuspitzung durch die  $p$  und  $o$ . Die Flächen  $a$  und  $q$  sind selten.

Die Krystalle sind bald farblos, bald weiss und trübe.

Eine der optischen Axen steht nahe senkrecht auf  $c$ ; der die farbigen Linien durchsetzende schwarze Streif ist parallel der Kante  $cp'$ .— Scheibler: J. f. pr. Ch. 83, 273.

B. Mit 25 Mol. Wasser.

Zwei- und eingliedrig.  $a : b : c = 0,805 : 1 : 0,959$  Marignac.  
 $o = 73^\circ 34'$ .

$o, o', c.$	Berechnet	Beobachtet
$o : o =$	$124^\circ 41'$	$125^\circ 12'$
$o' : o' =$		$110 \quad 12$
$c =$		$114 \quad 20$
Stk.) $o : o' =$	$113 \quad 20$	
$c =$		$132 \quad 20$

Prismatisch nach  $o'$ , von denen eine Fläche oft vorherrscht.

Die Krystallflächen, obwohl ziemlich glänzend, sind stark gestreift. Möglicherweise wären es eingliedrige Formen.

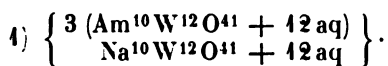
C. Mit 24 Mol. Wasser.

Eingliedrig. Marignac.

$o, o', o'', o''', b, c.$	Beobachtet
$o : o' =$	$109^\circ 10'$
$o : o'' =$	$94 \quad 54$
$o' : o''' =$	$94 \quad 28$
$b : c =$	$90 \quad 30$
$o =$	$132 \quad 0$
$o' =$	$120 \quad 0$
$b : o'' =$	$119^\circ 10'$
$o'' =$	$128 \quad 10$
$c : o =$	$113 \quad 50$
$o' =$	$116 \quad 15$
$o'' =$	$122 \quad 20$
$o''' =$	$117 \quad 54$

Die Oktaidflächen herrschen vor. Die meisten Flächen geben bei der Messung mehrere Bilder und die Winkel zeigen erhebliche Schwankungen.

Wolframsaures Ammoniak-Natron.



Perlmutterglänzende rhombische Blättchen; die Ränder sind zuge-  
 schärft, die Randflächen sind unter  $104-102^\circ$  und  $102-104^\circ$  gegen die  
 Tafelfläche geneigt, während sie unter sich  $88-89^\circ$  machen.

Die sehr kleinen Krystalle gestatten keine brauchbaren Messungen.

$$2) \left\{ \begin{array}{l} 3 (\text{Am}^{10} \text{W}^{12} \text{O}^{41} + 15 \text{aq}) \\ 2 (\text{Na}^{10} \text{W}^{12} \text{O}^{41} + 15 \text{aq}) \end{array} \right\}.$$

Zweigliedrig.  $a : b : c = 0,9044 : 1 : 1,4469$  Marignac.

$o, b, c.$

	Berechnet	Beobachtet
$o \left\{ \begin{array}{l} 2A = \\ 2B = 95^\circ 44' \\ 2C = 130 \quad 20 \end{array} \right.$		$*105^\circ 40'$ 95 20
$o : b = 127 \quad 25$		127 30
$c =$		$*144 \quad 50$

Neben  $o$  herrscht  $c$  vor.

### Wolframsaures Kali-Natron.

$$1) \left\{ \begin{array}{l} 4 (\text{K}^{10} \text{W}^{12} \text{O}^{41} + 15 \text{aq}) \\ \text{Na}^{10} \text{W}^{12} \text{O}^{41} + 15 \text{aq} \end{array} \right\}.$$

Scheinbar eingliedrige Hexaide mit Winkeln von  $103\text{---}104^\circ$ ,  $101^\circ 30'$  und  $87^\circ 30'\text{---}88^\circ$ .

$$2) \left\{ \begin{array}{l} 8 (\text{K}^{10} \text{W}^{12} \text{O}^{41} + 25 \text{aq}) \\ 3 (\text{Na}^{10} \text{W}^{12} \text{O}^{41} + 25 \text{aq}) \end{array} \right\}.$$

Eingliedrig. Marignac.

$o, o', o'', o''', a, c.$

	Beobachtet
$a : c = 95^\circ 40'$	$a : o'' = 122^\circ 50'$
$o : o' = 88 \quad 35$	$c : o = 144 \quad 40$
$o'' : o''' = 83 \quad 44$	$o' = 120 \quad 40$
$a : o = 128 \quad 20$	$o'' = 110 \quad 20$
$o' = 120 \quad 48$	$o''' = 113 \quad 26$
$o'' = 117 \quad 34$	

Oft tafelartig nach  $c$ . Häufig zwillingsartig verwachsen. Destalle sind ziemlich glänzend, die Flächen jedoch gekrümmt, da Kantenwinkel veränderlich.

### Wolframsaurer Kalk. $\text{CaWO}_4$ (Scheelit).

Viergliedrig.  $a : c = 1 : 1,527$  Manross.

	Berechnet	Beobachtet
		Manross      Scheelit n. Daub.
$o \left\{ \begin{array}{l} 2A = 100^\circ 40' \\ 2C = \end{array} \right.$		$*130^\circ 20',5$ $130^\circ 33'$

Künstlich durch Schmelzen von wolframsaurem Natron mit Calcium erhalten.

An den Scheelitkrystallen wird dies  $o$  gewöhnlich als  $d^2$  (erstes feres Oktaeder) betrachtet. — Manross: Ann. Ch. Pharm. 84, 243. 8

### Wolframsaures Blei. $\text{PbWO}_4$ (Scheelbleierz).

Viergliedrig.  $a : c = 1 : 1,5647$  Manross.



Berechnet	Beobachtet
	Manross      Scheelbleierz n. Kerndt
$^o \begin{cases} 2A = \\ 2C = 134^o 22' \end{cases}$	$\begin{matrix} *99^o 46' \\ 134^o 25' \end{matrix}$

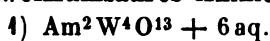
Durch Schmelzen mit Chlorblei erhalten.

Volumgewicht = 8,23.

Isomorph mit dem vorigen und  $\text{PbMoO}_4$ . — A. a. O. 82, 357.

### Metawolframsaure Salze.

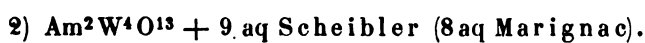
#### Metawolframsaures Ammoniak.



Zwei- und eingliedrig.  $a : b : c = 0,8424 : 4 : 0,7963$  Marignac.  $o = 84^o 54'$ .

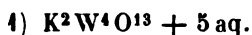
$p, q, c.$	Berechnet	Beobachtet
$p : p =$		$*102^o 4'$
$c =$		$*94 0$
$q : c =$		$*144 35$
$p : q \begin{cases} = 116^o 42' \\ = 109 38 \end{cases}$		$\begin{matrix} 116 39 \\ 109 20 \end{matrix}$

Meist tafelartig nach  $c$ , dünne Blättchen. — Marignac: Ann. Ch. Phys. (4) 3.



Quadratoktaeder.

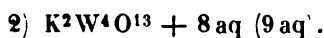
#### Metawolframsaures Kali.



Zwei- und eingliedrig (2). Marignac.

Sehr feine Prismen  $p$  mit Abstumpfung der stumpfen Kanten  $a$  und der scharfen  $b$ . In der Endigung öfter eine Fläche von  $q$  (oder eines  $o$ ).

Beobachtet
$p : p = 127^o 0'$
$q = 130 0$
$q : b = 119 0$



Quadratoktaeder.

#### Metawolframsaures Natron. $\text{Na}^2\text{W}^4\text{O}^{13} + 8\text{aq (9aq).}$

Quadratoktaeder.

Ich fand  $2A = 107 - 108\frac{1}{2}^o$ ,  $2C = 109^o 10' - 110^o 20'$ .

#### Metawolframsaurer Baryt. $\text{Ba W}^4\text{O}^{13} + 9\text{aq.}$

Viergliedrig.  $a : c = 1 : 4,06$  Rammelsberg.

Granatoederähnliche Combinationen von  $o, a, c$ .

# Kieselwolframsaure Salze.

	Berechnet	Beobachtet	
		Rammelsberg	Scheibler
$\angle A =$	$107^{\circ} 56'$	$107^{\circ} 35'$	$107^{\circ} 47'$
$\angle C =$		$112 36$	$112 55$
$b : c =$	$123 42$	$123 40$	$123 32$
$a =$	$126 2$	$126 0$	$126 7$

Scheibler: J. f. pr. Ch. 83, 284.

## Metawolframsaurer Strontian. $\text{SrW}^4\text{O}_{13} + 8\text{aq.}$

Viergliedrig.  $a : c = 4 : 0,7673$  Rammelsberg.

a, b, c.	Berechnet	Beobachtet
$\left. \begin{array}{l} \angle A = \\ \angle C = \end{array} \right\}$	$\left. \begin{array}{l} 117^{\circ} 20' \\ 94 12 \end{array} \right\}$	$117^{\circ} 30' \text{ bis } 118^{\circ} 3$ $94 12 \quad 94^{\circ} 12' \text{ bis}$
$b : a =$	$121 20$	$120 12$
$c =$	$132 39$	

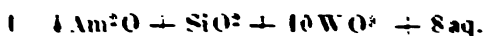
Kleine violette trübe Krystalle, herrschend  $\alpha$ .

Die Quadratoktaeder dieser Salze kommen dem regulären na; die Combinationen und das optische Verhalten erweisen sie als vie

# Kieselwolframsaure Salze.

## 1. Von Kieseldekawolframsäure.

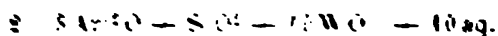
### Kieseldekawolframsaures Ammoniak.



Zweigliedrig.  $a : b : c = 0,5890 : 1 : 0,4773$  Marign

a, b, c.	Berechnet	Beobachtet
$\left. \begin{array}{l} \angle A = \\ \angle B = \\ \angle C = \end{array} \right\}$	$\left. \begin{array}{l} 139^{\circ} 18' \\ 107 38 \\ 86 30 \end{array} \right\}$	$107^{\circ} 50$
$b : c =$	$119 0$	$119 0$
$a =$	$133 45$	$136 45$

Ährige Prismen  $\alpha$  mit der Endfläche  $\alpha$ . Selten sind die sehr



Combinationen eines Prismas  $\alpha$  mit zwei  $116^{\circ}$ , eines stumpf



## II. Von Kieseldodekawolframsäure.

Säure.  $\text{SiO}_2 + 12 \text{WO}_3$ .

A. Mit 33 Mol. Wasser.

Viergliedrig.  $a : c = 1 : 1,0423$  Marignac.

$o, \alpha, c.$	Berechnet	Beobachtet
$o \begin{cases} 2A = 109^\circ 9' \\ 2C = \end{cases}$		$109^\circ 4'$
$o : c = 124 \ 57$		$110 \ 6$
$a = 125 \ 25$		$125 \ 0$
		$125 \ 30$

Die Krystalle sind oft blosse Oktaeder, dem regulären fast gleich; oft mit  $c$ , seltener  $a$  hinzu.

Sie sind optisch einaxig. — Marignac: Ann. Chim. Phys. (4) 3.

B. Mit 26 Mol. Wasser.

Sechsgliedrig.  $a : c = 1 : 1,264$  Marignac.

$r, 2r', c.$	Berechnet	Beobachtet
$r, 2A =$		$88^\circ 48'$
$2r' - = 69^\circ 58'$		$69 \ 46$
$r : c = 124 \ 25$		$124 \ 22$
$2r' : c = 108 \ 54$		$109 \ 0$
$r : 2r' = 124 \ 59$		(Endk.)
$= 126 \ 44$		$126 \ 38$ (Stk.)

Die Krystalle sehen fast wie Combinationen vom Oktaeder und Würfeln aus.

Oft Zwillinge nach  $r$ . — Optisch einaxig.

## Kieseldodekawolframsaures Kali.

1)  $(2\text{K}_2\text{O} + \text{SiO}_2 + 12\text{WO}_3) + 18 \text{aq.}$ Sechsgliedrig.  $a : c = 1 : 0,6585$  Marignac.

$d, p.$	Berechnet	Beobachtet
$d \begin{cases} 2A = \\ 2C = 74^\circ 30' \end{cases}$		$144^\circ 46'$
$d : p = 127 \ 15$		$74 \ 25$
		$127 \ 20$

Die Prismenflächen sind vertical gestreift.

2)  $(3\text{K}_2\text{O} + \text{SiO}_2 + 12\text{WO}_3) + 30 \text{aq.}$ 

Zwei- und eingliedrig.  $a : b : c = 1,2143 : 1 : 0,8484$  Marignac.  
 $o = 77^\circ 44'.$

$o, o', r, r', a, b.$  —  $v' = a' : \frac{3}{2} b : c.$

Berechnet	Beobachtet
$o : o =$	$*116^{\circ} 20'$
$o' : o' = 105^{\circ} 34'$	105 20
$o : o' =$	$*123 48$
$o : o' = 94 44$	94 38
$a : r = 133 0$	133 40
$r' = 116 28$	116 40
$o : a = 125 25$	125 30
$b = 121 49$	121 45
$r = 118 44$	
$o' : a = 110 47$	
$b = 127 43$	127 20
$v' : v' = 126 48$	
$a = 113 26$	
$b = 116 54$	116 30

Einfache Krystalle sind sehr selten. Meist Zwillinge nach  $a$ , Durcheinanderwachsung.

Die Flächen  $b$  sind gestreift parallel den Kanten mit  $o'$ , eben gleichwie  $r'$  und  $v$ .

### Kieseldodekawolframsaures Natron.

#### I. $2\text{Na}_2\text{O} + \text{SiO}_2 + 12\text{WO}_3$ .

##### 1) Mit 13 Mol. Wasser.

#### Eingliedrig. Marignac.

$p, p', q, q', b, c.$	Beobachtet
$p : p' = 93^{\circ} 30'$	$c : q' = 127^{\circ} 30'$
$c : p = 95 22$	$q : p = 123 50$
$p' = 94 24$	$p' = 57 30$
$b : c = 92 40$	$q' : p = 116 55$
$c : q = 130 0$	$p' = 54 40$

##### 2) Mit 20 Mol. Wasser.

#### A. Eingliedrig. Marignac.

$o, p, p', a, c.$	Beobachtet
$p : p' = 88^{\circ} 20'$	$c : p' = 89^{\circ} 40'$
$a = 133 46$	$o : c = 125 30$
$a : c = 93 32$	$p' = 94 45$
$c : p = 95 7$	

Fläche  $o$  ist sehr selten. Farblose durchsichtige Krystalle, nach  $c$ , weniger nach  $p$ .

#### B. Eingliedrig. Marignac.

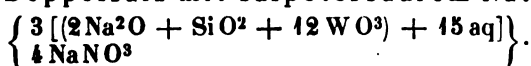
##### $o, o' o'', p, p', q^2, 2r', b, c.$

$p, p' = 95^{\circ} 20'$	Beobachtet
$b : p' = 133^{\circ} 50'$	
$b : p = 130 50$	$c : p = 108 0$

Beobachtet	
$c : p' = 125^{\circ} 20'$	$o : p = 104^{\circ} 0'$
$b : c = 77 50$	$q^2 = 144 50$
$q^2 : c = 124 50$	$o' : c = 154 30$
$2r' : c = 103 50$	$b = 119 0$
$b = 98 25$	$2r' = 93 0$
$p : q^2 = 142 0$	$o'' : c = 125 50$
$2r' = 125 20$	$b = 116 0$
$p' : 2r' = 110 40$	$2r' = 129 0$
$o : c = 148 16$	$o = 123 10$
$b = 102 46$	

Am seltensten sind die  $o$  und  $q^2$ .

### 3. Doppelsalz mit salpetersaurem Natron.



Eingliedrig. Marignac.

Beobachtet	
$p, p', a, b, c.$	
$a : b = 94^{\circ} 30'$	$c : p = 89^{\circ} 10'$
$b : p' = 116 30$	$p' = 90 30$
$a : c = 90 5$	

Stets Zwillinge nach  $b$ , an welchen  $a : a = 177^{\circ} 0'$ , während die  $c$  in eine Ebene fallen.



Mit 17 Mol. Wasser.

Eingliedrig. Marignac.

Beobachtet	
$p, p' q', r, b, c.$	
$p : p' = 95^{\circ} 0'$	$r : c = 130^{\circ} 10'$
$b : p = 130 30$	$p = 127 24$
$c : p = 95 40$	$p' = 127 30$
$p' = 94 30$	$q' : p = 116 20$
$b : c = 92 0$	$p' = 125 24$
$q' : c = 127 30$	

### Kieseldodekawolframsaurer Baryt. $2\text{BaO} + \text{SiO}_2 + 12\text{WO}_3$ .

4) Mit 16 Mol. Wasser.

Zwei- und eingliedrig.  $a : b : c = 2,078 : 1 : 2,639$  Marignac.  
 $o = 80^{\circ} 47'$ .

$o, o', r, r', c.$	Berechnet	Beobachtet
$o : o =$	$67^{\circ} 24'$	$67^{\circ} 40'$
$o' : o' =$		$59 36$
$a =$	$119 48$	$119 48$
$c =$		$105 27$
$r' : c =$	$122 25$	$122 24$
$r =$	$104 3$	$104 0$

	Berechnet	Beobachtet
$c : r =$	$133^{\circ} 32'$	
$o : r' =$	$97 \ 31$	$97^{\circ} 38'$
$c =$		$*112 \ 35$
$r =$	$123 \ 46$	

Meist prismatisch nach  $o'$ .

2) Mit 24 Mol. Wasser.

Sechsgliedrig.  $a : c = 1 : 2,6812$  Marignac.

$r, \frac{r'}{2}, a, c.$	Berechnet	Beobachtet
$r (2A) =$		$*69^{\circ} \ 0'$
$\frac{r'}{2} (2A) =$	$86^{\circ} 39'$	
$r : c =$	$107 \ 54$	$107 \ 56$
$a =$	$115 \ 30$	$115 \ 30$
$\frac{r'}{2} : c =$	$122 \ 51$	$123 \ 0$
$r =$	$124 \ 30$	$124 \ 28$

Meist oktaedrische Combinationen aus  $c$  und  $r$ . Spaltbar

**Kieseldodekawolframsaurer Kalk.**  $2\text{CaO} + \text{SiO}_2 +$   
Mit 24 Mol. Wasser.

Isomorph dem vorigen.  $2A$  von  $r = 69^{\circ} 12'$ . Marignac.

**Kieseldodekawolframsaure Magnesia.**  $2\text{MgO} + \text{SiO}_2 +$   
Mit 18 Mol. Wasser.

Eingliedrig. Marignac.

$o', o'', p, p', 2q', b, c.$  —  $r = a : \frac{1}{3}b : c.$

	Beobachtet	
$p : p' = 135^{\circ} 44'$		$o' : b = 104^{\circ} 20'$
$b : p = 112 \ 46$		$c = 132 \ 0$
$p' = 112 \ 0$		$o'' : b = 107 \ 50$
$c : p = 90 \ 50$		$c = 134 \ 0$
$p' = 88 \ 30$		$2q' = 110 \ 54$
$b : c = 93 \ 10$		$v : b = 132 \ 10$
$2q' : c = 140 \ 0$		$c = 124 \ 30$
$p = 103 \ 30$		$p = 137 \ 40$
$p' = 102 \ 40$		

Farblose, durchsichtige, luftbeständige Krystalle.

**Kieseldodekawolframsaure Thonerde.**  $2\text{AlO}_3 + 3\text{SiO}_2$   
Mit 93 Mol. Wasser.

Reguläre Oktaeder, einfach brechend. Marignac.



**Isokieseldodekawolframsäure.**

Diese isomere Modification entsteht durch Kochen der Lösung der  
zen.



**Eingliedrig. Marignac.**

$o'', o''', \frac{o'''}{2}, p, p', q, q', b, c.$

Beobachtet	
$p : p' = 127^\circ 34'$	$c : q = 124^\circ 25'$
$b : p = 112 \ 14$	$q' = 124 \ 30$
$p' = 120 \ 12$	$o'' : b = 124 \ 0$
$c : p = 119 \ 46$	$c = 98 \ 20$
$p' = 117 \ 24$	$o''' : c = 99 \ 0$
$b : c = 90 \ 10$	$\frac{o'''}{2} : c = 134 \ 40$

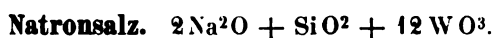


Mit 9 Mol. Wasser.

**Zweigliedrig.**  $a : b : c = 0,8243 : 1 : 0,6655$  Marignac.

$o, p, r^2, b, c.$	Berechnet	Beobachtet
$o \begin{cases} 2A = 125^\circ 14' \\ 2B = 125 \ 16 \\ 2C = 92 \ 36 \end{cases}$		
$p : p =$		$*101^\circ 0'$
$b = 129 \ 30$		
$r^2 : r^2 = 63 \ 32$		
$c = 121 \ 46$		122    ungef.
$p =$		$*131 \ 0$
$o : b = 117 \ 23$		117 \ 30
$c = 133 \ 42$		133 \ 30
$p = 136 \ 18$		

Theils niedrige Prismen  $p, c, r^2$ , theils tafelartige Combinationen  $c, o, b$ .  
Die Krystalle eignen sich nicht zu genauen Messungen.



Mit 12 Mol. Wasser.

**Sechsgliedrig.**  $a : c = 1 : 1,3277.$  Marignac.

$r, \frac{r''}{2}.$	Berechnet	Beobachtet
$2A \text{ von } r =$		$*87^\circ 0'$
$\frac{r''}{2} = 116^\circ 24'$		116 \ 40
$\frac{r''}{2} : r = 133 \ 30$		133 \ 30

**Kalksalze.**I.  $(2\text{CaO} + \text{SiO}_2 + 12\text{WO}_3) + 22\text{aq.}$ 

Eingliedrig. Marignac.

 $o'''$ ,  $p$ ,  $p'$ ,  $q^2$ ,  $b$ ,  $c$ .

Beobachtet

$b : p = 115^\circ 40'$	$q^2 : c = 138^\circ 0'$
$p' = 106 40$	$p = 127 54$
$c : p = 116 10$	$o''' : b = 117 0$
$p' = 118 20$	$c = 110 30$
$b = 89 50$	$q^2 = 92 20$

II.  $(5\text{CaO} + 2\text{SiO}_2 + 24\text{WO}_3) + 50\text{aq.}$ 

Eingliedrig. Marignac.

Beobachtet

$p : p' = 116^\circ 10'$	$b : c = 104^\circ 0'$
$b : p = 129 0$	$o'' : b = 117 0$
$p' = 115 0$	$c = 133 50$
$c : p = 106 40$	$o''' : b = 113 14$
$p' = 96 30$	$c = 123 20$

**Thonerdesalz.**  $(\text{AlO}_3 + 3\text{SiO}_2 + 36\text{WO}_3) + x\text{aq.}$ 

Eingliedrig. Marignac.

 $\frac{o'''}{2}$ ,  $p$ ,  $p'$ ,  $r'$ ,  $a$ ,  $b$ ,  $c$ .

Beobachtet

$p : p' = 104^\circ 48'$	$r' : p = 103^\circ 40'$
$a = 119 20$	$p' = 120 50$
$c : p = 110 0$	$\frac{o'''}{2} : b = 128 10$
$p' = 107 40$	$c = 130 0$
$a : c = 121 20$	$r' = 119 20$
$c : r' = 109 24$	

Sehr häufig Zwillinge nach  $p'$ .**Kalisalze.**I.  $(4\text{K}_2\text{O} + \text{SiO}_2 + 11\text{WO}_3) + \text{aq.}$ Zweigliedrig.  $a : b : c = 0,8873 : 1 : 0,4122$  Marignac. $o$ ,  $p$ ,  $r$ ,  $a$ ,  $b$ .

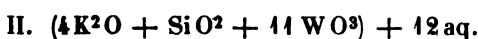
Berechnet

Beobachtet

$o \begin{cases} 2A = 139^\circ 0' \\ 2B = 133 32 \\ 2C = 63 42 \end{cases}$	$139^\circ 0'$
$p : p = 96 50$	
$b = 131 35$	131 30
$r : r = 130 10$	130 0
$a =$	*114 55
$p = 108 22$	108 36
$o : a = 113 14$	113 0
$b =$	*110 30
$p = 121 54$	121 36
$r = 159 30$	



Ist dies ein Doppelsalz oder ein Salz der Dekasäure?



Eingliedrig. Marignac.

$o''', \frac{o'''}{2}, p, p', 2r', c.$

Beobachtet	
$p : p' = 65^\circ 40'$	$o''' : c = 94^\circ 0'$
$c : p = 118 \quad 0$	$2r' = 124 \quad 50$
$p' = 97 \quad 30$	$\frac{o'''}{2} : c = 122 \quad 0$
$2r' : c = 94 \quad 0$	$p' = 124 \quad 0$
$p = 123 \quad 30$	
$p' = 112 \quad 0$	

Auch dieses Salz ist zweifelhaft.

**Wolframvanadinsaures Ammoniak.**  $(Am^2O + WO^3 + 3V^2O^5) + 6aq.$

Anscheinend reguläre dunkelbraune Oktaeder mit Würfelflächen. —

Rammelsberg: Ber. d. ch. Ges. 4, 158.

## Chromsaure Salze.

(Chromate.)

Einfache.

**Chromsaures Ammoniak.**

1) Einfach.  $Am^2CrO^4.$

Zweigliedrig.  $a : b : c = 0,5088 : 1 : 0,714$  Wyruboff.

$o^3, q^3, c.$

	Berechnet	Beobachtet
$o^3 \left\{ \begin{array}{l} 2A = 127^\circ 20' \\ 2B = 58 \quad 40 \\ 2C = 156 \quad 0 \end{array} \right.$		
$q^3 : q^3 =$		$*50^\circ 15'$
$o^3 : c = 102 \quad 0$		
$q^3 =$		$*119 \quad 20$

Prismatisch nach  $q^3$ . Zwillinge nach  $q^3$ .

Isomorph dem Sulfat ( $a : b : c = 0,564 : 1 : 0,734$ ).

Ebene der optischen Axen =  $bc$ , Mittellinie =  $b$ , negativ.  $2E$  für Roth =  $122^\circ 58'$ .

Wyruboff: S. Doppelsalz mit Natronsulfat.

Schabus beschrieb als chromsaures Ammoniak ein ganz anderes Salz, welches Pohl nach einer blossen Chrombestimmung für  $Am^{10}Cr^4O^{17}$  hielt, was nicht wahrscheinlich ist.

Zwei- und eingliedrig.  $a : b : c = 0,746 : 1 : 0,4955$  Sch  
 $o = 73^\circ 45'$ .

$o, o', p, q, 2r', a, b, c$ .

Berechnet		Beobachtet	
$o : o =$	$144^\circ 4'$		
$o' : o' =$	$130 36$		
$p : p =$		$*108^\circ 48'$	
$c =$		$*103 9$	
$q : q =$	$129 8$		
$a : c =$	$106 15$	$106 8$	
$2r' =$	$137 32$		
$c : 2r' =$	$116 13$		
$o : a =$	$131 23$		
$c =$	$146 9$	$146 40$	
$p =$	$137 0$		
$q =$	$153 15$		
$o' : a =$	$109 44$		
$c =$		$*135 39$	
$p =$	$121 11$		
$q =$	$145 38$		

Prismatisch nach  $p$ . Gelb.

## 2) Zweifach. $\text{Am}^2\text{Cr}^2\text{O}^7$ .

Zwei- und eingliedrig.  $a : b : c = 1,027 : 1 : 1,7665$  Ra  
 berg.  $o = 86^\circ 18'$ .

$o, o', \frac{o}{6}, \frac{o'}{6}, q, r, r', 2r', b, c$ .

Berechnet		Beobachtet		
		Rammelsberg	Schabus	Weiss
$o : o =$	$98^\circ 28'$	$98^\circ 15'$	$98^\circ 2'$	
$o' : o' =$	$95 16$	$95 30$	$94 55$	
$o : o' =$	$99 22$		$99 45$	
$o : o' =$		$*135 50$	$135 40$	$135^\circ 40'$
$\frac{o}{6} : \frac{o}{6} =$	$148 40$			
$\frac{o'}{6} : \frac{o'}{6} =$	$147 56$			
$\frac{o}{6} : \frac{o'}{6} =$	$149 18$			
$\frac{o}{6} : \frac{o'}{6} =$	$44 50$			
$q : q =$	$59 8$			
$c =$	$119 34$			$119 34$
$b =$	$150 26$			$150 11$
$c : r =$	$122 55$	$123 24$	$122 48,5$	$122 30$
$r' =$	$117 23$		$117 44$	
$2r' =$	$102 46$			
$o : b =$	$130 46$	$130 22$		$130 52$

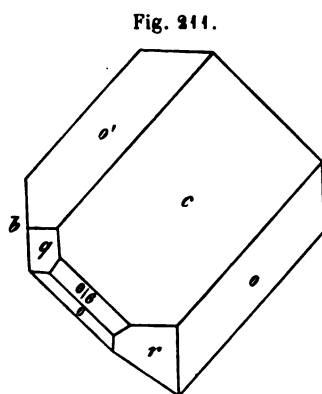
Berechnet			Beobachtet		
	Rammelsberg		Schabus	Weiss	Brooke
$o : c = 114^\circ 18'$	$114^\circ 25'$		$114^\circ 8,5'$	$114^\circ 11'$	$114^\circ 0'$
$q = 140 27$			$140 42$		
$r = 139 44$	$139 45$		$139 2$	$138 40$	
$b =$	$*132 22$			$132 11$	
$c =$	$*109 52$		$110 4,5$	$110 8$	$110 10$
$q = 138 55$			$138 48$	$137 27$	
$\frac{p}{6} : o = 136 27$	$135$	ungef.			
$\frac{o'}{6} : o' = 132 33$	$132$	-			

Brooke: Ann. Phil. 6, 287. — Schabus: Pogg. A. 416, 420. — Weiss: Wien. Ak. Ber. 37<sup>\*)</sup>. — Rammelsberg: Pogg. A. 418, 458.

Fig. 244. — Tafelartig nach  $c$  oder unsymmetrische tetraederähnliche Combinationen  $o, o', c$ , zu denen die fehlenden Flächen, jedoch sehr untergeordnet treten.

Isomorph dem Kalisalz.

Volumgewicht: 2,367 Schiff, 2,45 Schröder, 4,944 Clarke.



### 3) Dreifach. $\text{Am}^2\text{Cr}^3\text{O}^{10}$ .

Zweigliedrig.  $a : b : c = 0,8446 : 4 : 0,8376$  Wyrouboff.

$o, p, \frac{r}{2}, a, b, c$ .

$n = 2a : b : c$		Berechnet	Beobachtet
$o \left\{ \begin{array}{l} 2A = \\ 2B = \\ 2C = \end{array} \right.$	$2A =$	$118^\circ 30'$	
	$2B =$		$105^\circ 30'$
	$2C =$	$104 48$	
	$p : p =$	$99 38$	$99 34$
	$a =$		$*139 49$
$2p : 2p =$		$61 16$	$61 38$
$\frac{r}{2} : \frac{r}{2} =$		$128 18$	$127 48$
	$a =$	$115 51$	$116 27$
$n \left\{ \begin{array}{l} 2A = \\ 2B = \\ 2C = \end{array} \right.$	$2A =$	$105 58$	
	$2B =$	$143 22$	$138 40 (?)$
	$2C =$	$88 28$	
$o : a =$			$*127 15$
$p =$		$142 24$	
$n : a =$		$108 19$	$110 57 (?)$

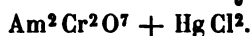
<sup>\*)</sup> Seine beiden Salze sind ein und dasselbe.

Tafelartig nach  $a$ ; spaltbar nach  $a$ .

Ebene der optischen Axen  $ac$ , Mittellinie  $a$ , positiv.  $2E_a = 44^\circ 30'$   
 $\varrho < v$ . — Bull. Soc. Min. 1880 Nr. 6.

Isomorph dem Kalisalz.

**Zweifach chromsaures Ammoniak-Quecksilberchlorid.**



Zwei- und eingliedrig.  $a : b : c = 1,270 : 1 : 0,983$  Zepharovich  
 $\alpha = 85^\circ 57'$ .

$o'$ ,  $2o'$ ,  $p$ ,  $2p$ ,  $q$ ,  $q^2$ ,  $r$ ,  $r'$ ,  $a$ ,  $c$ .

	Berechnet	Beobachtet	
		Zepharovich	Rammelsberg.
$p : p =$	$76^\circ 42'$		
$a =$		$*128^\circ 21'$	$128^\circ 35'$
$c =$	93 44	93 37	93 45
$2p : 2p =$	43 7	43 4	
$p =$	163 43	163 42	
$q : q =$	91 46		
$c =$	135 38	135 56	135 48
$q^2 : q^2 =$	54 41	54 25	
$c =$	117 6	117 42	117 40
$a : c =$	95 57	96 7	95 50
$r =$		$*131 24$	131 40
$r' =$	124 4	123 58	124 40
$c : r =$		$*144 33$	144 40
$r' =$	140 0	140 18	
$p : q =$	120 9	119 37	
$r =$	114 14		
$r' =$	110 20		
$a : q =$	94 15		
$q^2 =$	92 42		
$q : r =$	125 37	125 43	125 20
$r' =$	123 42		
$q^2 : r =$	111 47	111 51	
$r' =$	110 25		
$o' : o' =$	78 34		
$c =$	126 23	126 33	
$2o' : 2o' =$	96 44		
$c =$	108 39	109 4	
$o' =$	162 47	162 40	
$p =$	157 40	157 25	
$2p =$	153 27	153 33	

Fig. 242, 243. — Oft prismatisch nach der Verticalzone. **Zu**  
 finden sich die beiden Seiten der Krystalle ungleich ausgebildet, **w**

in den Enden der herrschenden Prismen der Fall ist. Spaltbar nach  $c$  und  $r$ . — Wien. Ak. Ber. 34, 47.

Die Formel ist durch eine Analyse meinerseits bestätigt.

Fig. 212.

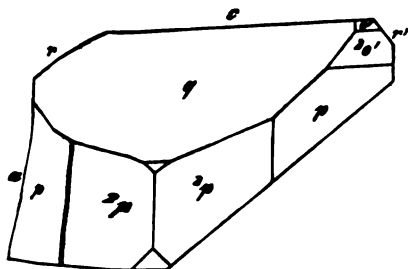
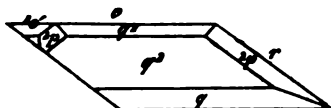


Fig. 213.



### Chromsaures Kali.

1) Einfach.  $K^2CrO^4$ .

Dimorph.

A. Zweigliedrig.  $a : b : c = 0,5695 : 4 : 0,7297$  Mitscherlich.

$o, p, \frac{3}{2}p, q, q^2, \frac{r}{2}, a, b, c$ .

	Berechnet	Beobachtet	
		Mitscherlich	Grailich
$2A =$	$131^\circ 38'$		
$2B =$	$88 \quad 0$		
$2C =$	$111 \quad 42$		
$p : p =$		$120^\circ 44'$	
$\frac{3}{2}p : \frac{3}{2}p =$	$60 \quad 42$		
$q : q =$	$107 \quad 46$		
$q^2 : q^2 =$		$68 \quad 50$	
$\frac{r}{2} : \frac{r}{2} =$	$114 \quad 42$		$114^\circ 35'$

Zwillinge wie beim isomorphen Kalisulfat. Pogg. A. 48, 468.

Isomorphe Mischungen vom Sulfat und Chromat. — Rammelsberg: Pogg. A. 94, 324. — Groth Eb. 133, 244.

B. Sechsgliedrig.

Aus Lösungen, welche kohlensaures Natron enthielten, schießt das Salz nach Sénarmont in sechsseitigen, optisch einaxigen Tafeln an, über deren Natrongehalt nichts bekannt ist.

Ebene der optischen Axen beim zweigliedrigen Salz  $bc$ , Mittellinie  $b$ , negativ.  $2E = 92^\circ$  Sénarmont und Grailich;  $94^\circ 40'$  Des Cloizeaux;  $97^\circ 30'$  Topsøe;  $q < v$ . Bei  $47^\circ$  fand Des Cloizeaux später  $2E = 400^\circ 32'$  Roth,  $95^\circ 40'$  Grün,  $93^\circ 40'$  Blau.

Durch Erwärmen werden diese Winkel merklich grösser. S. Topsøe, Pogg. A. Ergbd. 6, 544.

An tafelartigen Krystallen von sechsgliedrigem Ansehen, Zwillingen nach einem  $p$  wie beim Sulfat, fand Des Cloizeaux einen Uebergang von optisch zweiaxiger und einaxiger Substanz; sie zeigen nämlich zwei sehr naheliegende Axen in der Ebene  $bc$ , Mittellinie jedoch  $c$ . Bei der Umwandlung nähern sich also die beiden Axen ihrer stumpfen Mittellinie, die bei diesen Zwillingen ihren Werth behält (positiv) und mit der einzigen Axe der einaxigen zusammenfällt. Bei dem Uebergange des zweiaxigen Sulfats in das einaxige ist es dagegen die spitze Mittellinie des ersteren, welche zur Axe des einaxigen wird, indem sie gleichfalls ihren (positiven) Werth behält.

Kub. Ausdehnung von  $0-100^\circ = 0,044$ . Joule und Playfair.

Volumgewicht 2,723 Dieselben; 2,691 Schiff.

Spec. Wärme 0,4840 Neumann.

Schwach diamagnetisch, Orientirung wie beim Sulfat. Grailich.

Löslichkeit. — 1 Liter bei  $45^\circ$  gesättigter Lösung enthält 397,316 grm und das V. G. ist 2,30326. Michel und Krafft.

400 Th. Wasser lösen

bei $0^\circ$	53,90 Th.	bei $30^\circ$	64,96 Th.
- 10	60,92 -	- 50	69,0 -
- 20	62,94 -	- 100	79,4 -

Der Siedepunkt der gesättigten Lösung ist  $404^\circ,2$ . Alluard.

Brechungsverhältnisse der Lösung Fouqué: C. r. 64, 424. Spectrum Vierordt: Ber. d. ch. Ges. 1872, 34. Lichterscheinung beim Krystallisiren der Mischungen von Chromaten und Sulfaten H. Rose: Pogg. A. 53, 585.

Lösungswärme. Thomsen: Ber. d. ch. Ges. 1873, 740.

2) Zweifach.  $K^2Cr^2O_7$ .

Eingliedrig.  $a : b : c = 1,0446 : 1 : 1,8445$  Schabus.

$A = 98^\circ 9'$	$\alpha = 98^\circ 0'$
$B = 96 24$	$\beta = 96 3$
$C = 94 45$	$\gamma = 90 54,5$

$o', o'', p, p', q, q', \frac{q}{2}, \frac{q'}{4}, \frac{3}{4}q', r, \frac{r}{5}, r', a, b, c.$

	Berechnet	Beobachtet
$a : b =$		$94^\circ 45'$
$p = 135^\circ 26'$		135 27
$p' = 133 40$		133 42,5
$b : p = 136 49$		136 48
$p' = 135 36$		135 32,5

Berechnet	Beobachtet
$p : p' = 89^{\circ} 6'$	
$b : c =$	$*98^{\circ} 9'$
$q = 153 \quad 2$	153 3
$q' = 149 \quad 13$	149 14
$c : q = 125 \quad 6$	125 6
$q' =$	$*112 \quad 37,5$
$q : q' = 57 \quad 43$	
$\frac{q}{2} : c = 111 \quad 37$	111 35
$\frac{q'}{4} : c = 154 \quad 30$	154 29
$\frac{1}{2}q' : c = 141 \quad 29$	141 20
$a : c = 96 \quad 24$	
$r =$	$*152 \quad 14$
$r' = 149 \quad 11$	149 11
$c : r =$	$*124 \quad 10$
$r' = 111 \quad 26$	111 25
$\frac{r}{5} : c = 161 \quad 15$	161 6
$c : p = 100 \quad 10$	100 11
$p' = 94 \quad 30$	94 20
$b : r = 95 \quad 16$	95 17
$o' : o''' = 94 \quad 54$	
$b = 127 \quad 8$	127 5
$c = 110 \quad 43$	110 42
$p' = 157 \quad 47$	157 58
$r = 137 \quad 36$	137 38
$o''' : c = 102 \quad 11$	102 9
$p = 157 \quad 39$	157 40
$q' = 136 \quad 40$	136 41,5

Fig. 244.

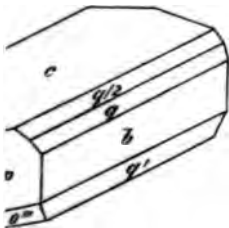
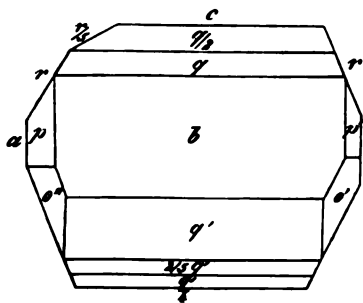


Fig. 245.



245. — Meist tafelartig nach  $c$ . Spaltbar sehr vollkommen  
er nach  $a$  und  $b$ . Permutterglanz auf  $c$ . — Schabus : Wien.

dem Ammoniumsalz.

g, physik. Chemie.

Kub. Ausdehnung von  $0-100^{\circ} = 0,0422$  Joule und Plavungsgewicht: 2,692 Joule und Playfair; 2,689 Schiff. 2,724 Schiff.

Pleochroismus Beer: Pogg. A. 82, 429. Asterismus und Aetzbaumhauer: Eb. 140, 274.

Electrolyse. Das geschmolzene Salz wird so zersetzt, die Kraft des Stroms sich gegen die beiden darin enthaltenen Elemente  $K^2CrO^4$  und  $CrO^3$  richtet, jenen in  $K^2$  und  $CrO^4$ , diesen in  $Cr^2O^3$  zerlegt; starke Sauerstoffentwicklung fast ausschliesslich am  $+$  Pol und am  $-$  Pol sich Chromoxyd ablagert, gemengt mit  $K^2CrO^4$  und Buff.

Löslichkeit. 4 Th. erfordert

bei $0^{\circ}$	20,44 Th.	bei $60^{\circ}$	4,98 Th. Wasser	
- 10	44,84 -	- 80	4,37 -	-
- 20	7,65 -	- 100	0,98 -	-
- 40	3,43 -			Kremer

100 Th. Wasser lösen

bei $0^{\circ}$	4,6 Th.	bei $50^{\circ}$	35,0 Th.
- 10	7,4 -	- 60	45,0 -
- 20	42,4 -	- 80	68,6 -
- 30	48,4 -	- 100	94,4 -
- 40	25,9 -		

Siedepunkt der gesättigten Lösung  $403^{\circ},4$  Alluard.

4 Liter bei  $45^{\circ}$  gesättigter Lösung enthält 88,803 grm und V. G. = 1,0648. Michel und Krafft.

3) Dreifach.  $K^2Cr^3O^{10}$ .

Zwei- und eingliedrig.  $a : b : c = 0,844 : 4 : 0,832$  Naumann  
 $\alpha = 79^{\circ} 0'$ .

$p, p^2, q, \frac{q}{2}, b$ .

$n' = a' : 2b : c$ .	Berechnet	Beobachtet
$n' : n' =$	$144^{\circ} 40'$	
$p : p =$	100 44	$100^{\circ} 20'$
$p^2 : p^2 =$		*135 0
$q : q =$		*104 32
$\frac{q}{2} : \frac{q}{2} =$	135 34	
$p^2 : \frac{q}{2} =$		*104 0

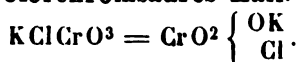
Die  $n'$  sind sehr klein oder fehlen.

Spaltbar nach  $b$ . — J. f. pr. Chem. 46, 485.

Ueber die Stellung der Krystalle und ihr optisches Verhalten. Rouboff: Bull. Soc. min. 1880 Nr. 6.



**Chlorchromsaures Kali.**



Zwei- und eingliedrig.  $a : b : c = 0,9879 : 1 : 1,066$  Wyruboff.  
 $\alpha = 89^\circ 40'$ .

$\alpha, p, q, \frac{r}{2}, a, c.$	Berechnet	Beobachtet
$o : o =$	$108^\circ 48'$	
$p : p =$	$90 \quad 42$	
$c =$	$90 \quad 20$	$90^\circ 44'$
$q : q =$	$86 \quad 20$	
$c =$		$133 \quad 40$
$a : c =$		$90 \quad 20$
$\frac{r}{2} : a =$	$153 \quad 3$	
$c =$	$115 \quad 46$	$115 \quad 52$
$o : c =$		$124 \quad 20$
$p =$	$145 \quad 54$	$145 \quad 40$

Tafelartig nach  $c$ . Dünne Blättchen von mangelhafter Ausbildung.  
 Oft Zwillinge nach  $c$ .

Ebene der optischen Axen  $ac$ . — A. a. O.

**zweifach chromsaures Kali-Quecksilberchlorid.**  $\text{K}_2\text{Cr}_2\text{O}_7 + \text{HgCl}_2(\text{Rg.})$ .

Zweigliedrig.  $a : b : c = 0,6535 : 1 : 0,8832$  Rammelsberg.

$\alpha, p, q, \frac{q}{2}, b.$	Berechnet	Beobachtet
$o \begin{cases} 2A = \\ 2B = \\ 2C = \end{cases}$	$\begin{cases} 124^\circ 44' \\ \\ 115 \quad 56 \end{cases}$	$\begin{cases} 124^\circ 10' \\ *89 \quad 35 \\ \end{cases}$
$p : p =$		$*113 \quad 40$
$b =$	$123 \quad 10$	
$q : q =$	$97 \quad 6$	
$b =$	$134 \quad 27$	
$\frac{q}{2} : \frac{q}{2} =$	$132 \quad 20$	
$q =$	$162 \quad 23$	$163$ ungef.
$o : p =$	$147 \quad 58$	$147 \quad 25$
$q =$	$134 \quad 48$	$133 \quad 45$ ungef.
$b =$	$117 \quad 38$	

Prismatisch nach  $p$ ; die zweiten Paare sind sehr klein und gleich den  
 Endflächen oft unvollständig entwickelt.

**Chromsaures Kali-Quecksilbercyanid.**



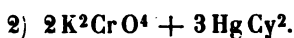
Zweigliedrig.  $a : b : c = 0,7942 : 1 : 1,4947$  Wyruboff.

$p, q, \frac{r}{2}, a, b, c.$

	Berechnet	Beobachtet
$p : p =$		$*103^{\circ} 5'$
$b =$	$128^{\circ} 28'$	
$q : q =$	$67 \ 34$	
$c =$		$*123 \ 47$
$\frac{r}{2} : \frac{r}{2} =$	$93 \ 30$	
$c =$	$136 \ 45$	$136 \ 52$

Prismatisch nach  $qc$ . Spaltbar nach  $p$ .

Ebene der optischen Axen  $bc$ , Mittellinie positiv =  $c$ .  $2H_a = 6$   
 Roth,  $48^{\circ} 20'$  Grün,  $2H_o = 144^{\circ}$  Roth, woraus  $2V = 57^{\circ} 48'$   
 $2E = 99^{\circ} 22'$  Roth,  $69^{\circ} 6'$  Grün, und  $\mu = 1,594$ . Starke Dispersion



Zwei- und eingliedrig.  $a : b : c = 3,17 : 1 : 3,37$  Wyruboff  
 $o = 73^{\circ} 40'$ .

$o, o', r, \frac{1}{2}r', a, c.$	Berechnet	Beobachtet
$a : c =$		$*106^{\circ} 20'$
$o : c =$		$*111$
$o : o' =$		$*117 \ 5$ (Stk.)
$o' : c =$	$104^{\circ} 44'$	$104 \ 53$
$r : a =$	$144 \ 25$	
$c =$	$111 \ 55$	$111$

Sehr dünne rhombische Blättchen nach  $c$ , kaum messbar.

Ebene der optischen Axen parallel Axe  $b$ . — Wyruboff:  
 Soc. min. 1880 Nr. 6.

### Chromsaures Rubidium.

1) Einfach.  $Rb^2CrO^4$ .

Zweigliedrig.  $a : b : c = 0,5665 : 1 : 0,749$  Piccard.

$o, \frac{o}{2}, p, q, q^2, b.$	Berechnet	Beobachtet
$o \left\{ \begin{array}{l} 2A = \\ 2B = \\ 2C = \end{array} \right.$	$\left\{ \begin{array}{l} 131^{\circ} 26' \\ \\ 113 \ 24 \end{array} \right.$	$\left\{ \begin{array}{l} 131^{\circ} 24' \\ *86 \ 46 \\ 113 \ 18 \end{array} \right.$
$\frac{o}{2} \left\{ \begin{array}{l} 2A = \\ 2B = \\ 2C = \end{array} \right.$	$\left\{ \begin{array}{l} 145 \ 18 \\ 116 \ 28 \\ 74 \ 9 \end{array} \right.$	
$p : p =$	$120 \ 56$	
$q : q =$	$106 \ 20$	
$q^2 : q^2 =$		$*67 \ 27$
$o : p =$	$146 \ 28$	$146 \ 39$
$\frac{o}{2} =$	$160 \ 40$	$160 \ 34$

Prismatisch nach  $q, b, c$ . Isomorph dem Kalisalz. — J. 1  
 86, 455.

2) Zweifach.  $\text{Rh}^2\text{Cr}^2\text{O}_7$ .

Dimorph.

A. Zwei- und eingliedrig.  $a : b : c = 0,596 : 1 : 0,3388$  Wyrouboff.  
 $\alpha = 87^\circ 8'$ .

$x' = a' : \frac{1}{2}b : c$ . —  $p, {}^2p, r', a, b$ .

	Berechnet	Beobachtet
$p : p$	$148^\circ 20'$	
$a =$	$149 \ 40$	$149^\circ 20'$
${}^2p : {}^2p$	$58 \ 28$	
$a =$		$149 \ 44$
$p =$	$150 \ 4$	$149 \ 50$
$a : r' =$	$117 \ 26$	$117 \ 26$
$x' : x' =$	$95 \ 52$	
$a =$	$110 \ 0$	$110 \ 0$
$r' =$		$137 \ 56$
${}^2p =$		$138 \ 44$

Prismatisch nach der Verticalzone und tafelförmig nach  $c$ . Spaltbar nach  $b$ .

Ebene der optischen Axen parallel Axe  $b$ , Mittellinie negativ  $= b$ . Ebene macht  $60^\circ 20'$  mit Fläche  $a$  und  $57^\circ$  mit der Kante  $ar'$  (dem vorderen unteren  $r'$ ). Doppelbrechung sehr stark,  $2H_a = 82^\circ$ ,  $2H_o = 95^\circ 40'$ , also  $2V = 83^\circ 46'$ .

B. Eingliedrig.

$\alpha, p, r, a, c$ .

	Beobachtet
$a : p =$	$149^\circ 23'$
$c =$	$98 \ 55$
$r =$	$125 \ 15$
$p : c =$	$92^\circ \ 6'$
$\alpha : a =$	$107 \ 40$

Die Zahl der Flächen genügt zur Berechnung nicht. Vollkommen spaltbar nach  $a$ .

Durch  $a$  sieht man eine der optischen Axen; die Axenebene macht  $23^\circ$  mit der Kante  $ac$  und  $66^\circ 30'$  mit der Kante  $at$  (?); die Mittellinie ist positiv und unter etwa  $30^\circ$  gegen eine Normale auf Fläche  $a$  geneigt;  $2E_a = 107^\circ 42'$ .

400 Th. Wasser lösen bei  $10^\circ$  5 Th., bei  $26^\circ$  8 Th. des Salzes; von  $35^\circ$  ab steigt die Löslichkeit schnell, und bei  $60^\circ$  lösen sich 35 Th. — Bull. Soc. min. de France 1884 No. 5.

Chromsaures Natron.

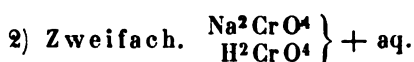
1) Einfach.  $\text{Na}^2\text{CrO}_4 + 10\text{aq}$ .

Zwei- und eingliedrig.  $a : b : c = 1,1127 : 1 : 1,2496$  Brooke.  
 $\alpha = 72^\circ 17'$ .

$\frac{\alpha'}{2}, p, q, a, b, c$ .

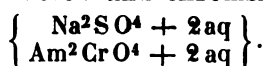
	Berechnet	Beobachtet
$\frac{o'}{2} : \frac{o'}{2} =$	$117^\circ 48'$	
$p : p =$		$*86^\circ 40'$
$c = 102$	3	101 46
$q : q =$		$*80$ 4
$c = 130$	2	130 8
$a : c =$		$*107$ 43
$\frac{o'}{2} : a =$	102 54	
$c =$	136 4	
$p =$	121 56	

Meist tafelartig nach  $b$ .



Prismen von  $97^\circ 42'$ , begrenzt von drei Flächen, die mit einer Pflache eine Zone bilden und gegen diese unter  $114^\circ 12'$ ,  $83^\circ$  und geneigt sind. — Siewert: Ztschr. f. d. ges. Naturw. 19, 11.

#### Schwefelsaures Natron und chromsaures Ammoniak.



Zweigliedrig.  $a : b : c = 0,47805 : 1 : 0,6437$  Wyrout

$o, p, q, r, b, c.$

	Berechnet	Beobachtet
$o \left\{ \begin{matrix} 2A = 138^\circ 0' \\ 2B = 82 54 \\ 2C = 112 22 \end{matrix} \right.$		$137^\circ 44'$
$p : p =$		$*128$ 54
$q : q = 114 28$		114 18
$q : c = 147 14$		
$r : r = 73 12$		
$c =$		$*126$ 36
$o : a = 138 33$		
$b = 111 0$		111 8

Tafelartig nach  $b$ . — Isomorph dem Doppelsulfat. — Spalt/ kommen nach  $p$ .

Ebene der optischen Axen  $bc$ , Mittellinie negativ  $= b$ .

$2H_a = 93^\circ 15'$ Roth	$2H_o = 108^\circ$
80 15 Grün	129° 30'
$2V = 82 53$ Roth	
70 56 Grün	

Vertauscht man  $a$  und  $c$ , also  $a : b : c = 0,6437 : 1 : 0$ .  
 $p = q$  und  $q = p$ , und dann ist das Salz mit  $\text{Li}^2\text{CrO}^4 + 2\text{aq}$  is  
 Wyruboff: Bull. Soc. min. de France 1879 Nr. 6.

**Chromsaures Lithion.**Einfach.  $\text{Li}^2\text{CrO}^4 + 2\text{aq.}$ weigliedrig.  $a : b : c = 0,662 : 1 : 0,4663$  Rammelsberg.

$^2p, ^3p, q, r, a, b.$	Berechnet	Beobachtet
$p : p =$	$113^\circ 0'$	
$b =$		$*123^\circ 30'$
$^2p : ^2p =$	$74 \quad 8$	
$b =$	$112 \quad 56$	$113 \quad 20$
$^3p : ^3p =$	$53 \quad 28$	
$b =$	$153 \quad 16$	$153 \quad \text{ungef.}$
$q : q =$		$*130 \quad 0$
$b =$	$115 \quad 0$	$115 \quad 0$
$p =$	$103 \quad 29$	$103 \quad 45$
$r : r =$	$109 \quad 40$	
$q =$	$137 \quad 48$	$138 \quad 0$

herrscheidend  $p$  und  $q$ . Rothbraun, zerfliesslich. — Pogg. A. 128, 322.  
isomorph dem vorigen.

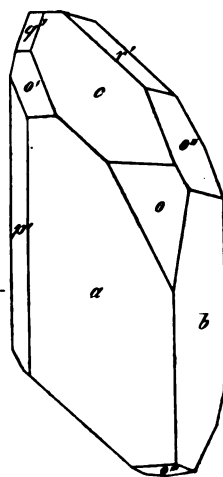
**Chromsaures Silber.**Zweifach.  $\text{Ag}^2\text{Cr}^2\text{O}^7.$ Eingliedrig.  $a : b : c = 1,533 : 1 : 1,0545$  Schabus.

$A = 101^\circ 39',5$	$\alpha = 91^\circ 35'$
$B = 122 \quad 49$	$\beta = 120 \quad 56$
$C = 109 \quad 25,5$	$\gamma = 105 \quad 43$

 $o, o', o'', o''', p', q', r', a, b, c.$ 


	Berechnet	Beobachtet	
		Schabus	Teschemacher
$o : o' =$	$117^\circ 15'$		
$o'' : o''' =$	$84 \quad 42$		
$o : o'' =$	$134 \quad 44$		
$o' : o''' =$	$120 \quad 0$		
$k. \left\{ \begin{array}{l} o : o''' = \\ o' : o'' = \end{array} \right.$	$108 \quad 54$ $88 \quad 23$		
$\alpha : b =$		$*109^\circ 25',5$	$110^\circ 5'$
$p' =$		$*114 \quad 23,5$	
$b : p' =$	$136 \quad 11$		
$c =$		$*101 \quad 39,5$	$101 \quad 5$
$q' : c =$	$134 \quad 22$		
$b =$	$126 \quad 59$		
$\alpha : c =$		$*122 \quad 49$	$123 \quad 0$
$r' : a =$	$101 \quad 29$		
$c =$		$*135 \quad 36$	
$o : a =$	$111 \quad 44$	$111 \quad 43,5$	
$b =$	$133 \quad 39$	$133 \quad 38,5$	
$c =$	$142 \quad 6$		
$o' : a =$	$128 \quad 5$	$128 \quad 7$	

Fig. 216.

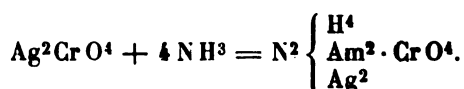


### Chromsaure Salze.

Berechnet	Beobachtet Schabus
$o' : b = 109^{\circ} 7'$	$108^{\circ} 56'$
$c = 141 \ 29$	$144 \ 31$
$o'' : a = 96 \ 26$	$96 \ 25$
$o''' : a = 111 \ 56$	$111 \ 46$
$b = 138 \ 40$	

Fig. 216. — Tafelartig nach  $a$  oder prismatisch nach der Zone  — Schabus 185. — Teschemacher: Phil. Mag. 1827, 345.  
Verglichen mit dem Kalisalz sind ihre  $a = 1 : 4,5$ , ihre  $c = 1$

### Chromsaures Ammonsilberammonium.



Viergliedrig.  $a : c = 1 : 0,5478$  Mitscherlich.

$o, p, a, c.$

Beobachtet  
 $o : p = 127^{\circ} 47'$

Isomorph dem Sulfat und Seleniat. — Pogg. A. 42, 444.

### Chromsaurer Baryt. $\text{BaCrO}^4.$

Zweigliedrig.

Annähernd ist

$$\begin{aligned} p : p &= 102^{\circ} 41' \\ q : q &= 114 \\ r : r &= 103 \ 30 \end{aligned}$$

Bourgeois: C. r. 88, 382.

### Chromsaure Magnesia. $\text{MgCrO}^4 + 7\text{aq.}$

Zweigliedrig. Isomorph dem Sulfat.

$$p : p = 90^{\circ} 34'; \quad o : p = 129^{\circ} 41'.$$

$o$  als Tetraeder. — Grailich und Murmann: Wien. Ak. B.

Ebene der optischen Axen  $ab$ , Mittellinie  $b$ , negativ;  $2E$   
 $\varphi < v$  Grailich, Topsøe, Sénarmont;  $\varphi > v$  Beer.  $2E =$   
 $2V = 143^{\circ} 6'$  Topsøe. Brechungsexponenten

	$\alpha$	$\beta$	$\gamma$
C	1,5434	1,5633	1,5815
D	1,5211	1,5680	1,5500

Fock bestimmte dieselben an isomorphen Mischungen mit  
fat. — Groth Ztschr. 4, 604.

Diamagnetisch. Grailich: Wien. Ak. Ber. 32. — Plüsch  
A. 82, 73.

# Doppelsalze.

**Chromsaures Kalk-Kali.** ( $\text{K}^2\text{CrO}_4 + \text{CaCrO}_4$ ) + 2 aq.

g.  $a : b : c = 1,3025 : 1 : 1,1568$  Rammelsberg.

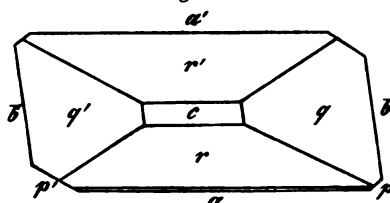
$$\begin{array}{ll} A = 84^\circ 40' & \alpha = 85^\circ 19' \\ B = 94 \ 45 & \beta = 94 \ 0 \\ C = 84 \ 44 & \gamma = 84 \ 37 \end{array}$$

$q', r, \frac{1}{2}r, r', a, b, c.$

Berechnet Beobachtet

	*84° 44'
24° 38'	
	*132 56
39 36	
45 50	145 47
94 16	
96 40	
	*84 40
27 34	127 44
33 40	
37 9	
44 40	
93 43	
99 20	
	*94 45
34 27	134 27
29 11	129 3
	*140 18
36 4	136 11
96 22	96 18
56 45	157 6

Fig. 217.



**Magnesia-Ammoniak.** ( $\text{Am}^2\text{CrO}_4 + \text{MgCrO}_4$ ) + 6 aq.

1 eingliedrig.  $a : b : c = 0,751 : 1 : 0,493$  Murmann.  
 $\alpha = 73^\circ 29'.$

$q, q, 2r', a, b, c.$

	Berechnet	Beobachtet
$\alpha : \alpha =$	120° 30'	
$\alpha' : \alpha' =$	141 12	
$\frac{\alpha'}{2} : \frac{\alpha'}{2} =$	94 48	
$p : p =$		*108° 29'
$b =$	125 45	125 46
$c =$	103 20	
$q : q =$	129 24	
$c =$	154 42	154 45
$a : c =$	106 34	

### Mangansäure und übermangansäure Salze.

	Berechnet	Beobachtet
$2r' : c =$		$*116^{\circ} 28'$
$p =$		$*126 \ 25$
$o : c = 146^{\circ} 27'$		146 13
$o' : c = 135 \ 56$		135 32
$p = 120 \ 44$		120 48
$\frac{o'}{2} : q = 144 \ 39$		144 15

Wien. Ak. Ber. 27.

**Chromsaures Magnesia-Kali.**  $(K^2CrO^4 + MgCrO^4) + 2aq-$   
Gipsähnliche Krystalle. Schweizer: J. f. pr. Ch. 39, 257.

### Mangansäure Salze.

(Manganate.)

**Mangansäures Kali.**  $K^2MnO^4$ .

Zweigliedrig.  $a : b : c = 0,5638 : 4 : 0,757$  Mitscherlich.

$o, o^2, p, q^2, q^4, b, c$ .

Vollkommen isomorph dem schwefelsauren (selen-chromsauren)

Beobachtet

$p : p = *124^{\circ} 10'; \quad q^2 : q^2 = *67^{\circ} 0'.$

Pogg. Ann. 25, 293.

### Uebermangansäure Salze.

(Permanganate.)

**Uebermangansäures Ammoniak.**  $AmMnO^4$ .

Zweigliedrig.  $a : b : c = 0,814 : 4 : 0,656$  Groth.

$o^2, p, q^2, r, c$ . Berechnet

Beobachtet

	Groth	Mitsche
$o \left\{ \begin{array}{l} 2A = 110^{\circ} 45' \\ 2B = 91 \ 28 \\ 2C = 128 \ 36 \end{array} \right.$		
$p : p =$	$*101^{\circ} 42'$	$102^{\circ}$
$q^2 : q^2 = 74 \ 38$		
$r : r =$	$*102 \ 18$	$102$

Mitscherlich: Pogg. A. 25, 300. — Groth: Eb. 4:



**Uebermangansaures Kali.  $\text{KMnO}_4$ .**

Fig.  $a : b : c = 0,7974 : 1 : 0,6492$  Groth.

$r, a, b, c$ .

	Beobachtet	
	Groth	Mitscherlich
$l = 141^\circ 36'$		
$p = 90 \quad 21,5$		
$r = 128 \quad 44$		
$a = 102 \quad 51$	$102^\circ 51'$	$103^\circ \quad 1'$
$b =$	$75 \quad 41$	
$c =$	$101 \quad 42$	$101 \quad 40$

nach  $r$ . Spaltbar vollkommen nach  $c$ , weniger nach  $p$ .

Spektrum. — Hoppe-Seyler: J. f. pr. Ch. 90, 303. —  
Sb. Berl. Ak. 1878, 412.

Dispersion. Brechungsverhältnisse der Lösung. Kundt:  
17. 164.

des von den Krystallen reflectirten Lichts. E. Wiede-  
A. 151, 625.

Wärme. — Thomsen: Ber. d. ch. Ges. 1873, 710. —  
r. 77, 24.

**Mischungen von überchlorsauren und übermangan-  
sauren Salzen.**

Wie ich hatte die Isomorphie dieser Salze entdeckt, denen ich  
jodsaure Kali anreichte. Einige Versuche über ihre Mischung  
von mir angestellt. Pogg. A. 128, 169.

Groth diese Mischungen, namentlich mit Bezug auf die  
studirt.

3 Krystalle von  $\text{KClO}_4$ , welche nur 0,3 pCt.  $\text{KMnO}_4$  ent-

$$q^2 : q^2 = 76^\circ 30' - 77^\circ 44'$$

$$r : r = 101 \quad 28 - 101 \quad 38$$

er erste Winkel hier grösser als bei den beiden Salzen.

Krystalle, prismatisch nach  $p$  oder tafelförmig nach einem  $r$ ,  
rhomboëdrisch am einen Ende; andere wiesen  $a : \frac{7}{4}b : \infty c$   
messbare Oktaeder auf.

Beim gleichen Mol. beider Salze entstanden schwarze An-  
mol. Perchlorat gegen 1 Mol., und B. 11 Mol. jenes gegen  
anat. An ihnen fand sich

A.	B.
$p : p = 104^{\circ} 7'$	
$r : r = 101 40$	$104^{\circ} 34'$
$q^2 : q^2 =$	$76 4$

Auch hier entsprechen die Winkel in keiner Weise denen Salze.

Auch Mischungen der Ammoniumsake, blau durchsichtig, arm an Mangan, ergaben:

$p : p = 103^{\circ} 10'$	$r : r = 102^{\circ} 6'$
$q^2 : q^2 = 75 54,5$	$p : q^2 = 119 49$

Groth: Pogg. A. 133, 193.

### Uebersmangansaurer Silber. $\text{AgMnO}_4$ .

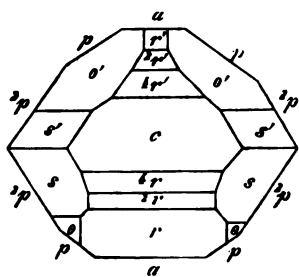
Zwei- und eingliedrig.  $a : b : c = 0,7447 : 1 : 1,3705$   
 $\alpha = 86^{\circ} 3'$ .

$o, o', p, 2p, r, r', 2r, 2r', 4r, 4r', a, c$ .

$s = 2a : b : c$ . —  $s' = 2a' : b : c$ .

	Berechnet	Beob.
$o : o =$	$115^{\circ} 12'$	
$o' : o' =$	$112 40$	
$o : c' =$	$85 46$	
$o' =$	$132 54$	
$s : s =$	$91 34$	
$s' : s' =$	$87 36$	
$s : s' =$	$123 0$	
$s : s' =$	$117 32$	
$p : p =$	$106 48$	
$c =$	$93 0$	
$2p : 2p =$		$67^{\circ}$
$c =$		$92$
$a : c =$	$93 57$	
$r =$	$152 24$	
$r' =$	$150 37$	
$2r =$	$134 45$	
$2r' =$	$135 34$	
$a : 4r =$	$117 9$	
$4r' =$	$111 25$	
$c : r =$	$121 33$	
$r' =$	$115 26$	
$2r =$		$139$
$2r' =$	$135 34$	
$4r =$	$156 48$	
$4r' =$	$148 54$	
$o : a =$	$138 26$	
$c =$	$116 43$	
$o' : a =$	$136 48$	

Fig. 218.



	Berechnet
$o' : c$	$= 110^{\circ} 53'$
$s : a$	$= 120 \ 18$
$c$	$= 122 \ 51$
$s' : a$	$= 116 \ 42$
$c$	$= 119 \ 37$

Fig. 248.

**Uebermangansaure Baryt.**  $\text{BaMn}^2\text{O}^6$ .

Isomorph dem Sulfat etc. Mitscherlich hat Messungen nicht bekannt gemacht. Pogg. A. 25, 301.

**Mangansaures und übermangansaures Kali.**

Zusammensetzung unbekannt.

Zwei- und eingliedrig.  $a : b : c = 4,7176 : 4 : 4,357$  Sénarmont.  
 $o = 65^{\circ} 24'$ .

$o', \frac{o'}{2}, p, r', 2r, 2r', \frac{r'}{2}, c$ .

	Berechnet	Beobachtet
$p : p$	$=$	$65^{\circ} 17'$
$c$	$=$	$103 \ 0$
$c : r'$	$=$	$133 \ 2$
$2r$	$= 139^{\circ} \ 7'$	$139 \ 15$
$2r'$	$= 103 \ 22$	$103 \ 45$
$\frac{r'}{2}$	$= 153 \ 58$	$153 \ 51$
$o' : o'$	$= 77 \ 4$	
$\frac{o'}{2} : \frac{o'}{2}$	$= 110 \ 6$	
$o' : c$	$= 115 \ 9$	$115 \ 8$
$p$	$= 141 \ 51$	
$r'$	$= 128 \ 32$	
$\frac{o'}{2} : c$	$= 138 \ 27$	$139 \ 45$
$p$	$= 118 \ 33$	

Prismatisch nach der Verticalzone. Mittheilung.

**Tellursaure Salze.**

(Tellurate.)

**Tellurisaures Kali.**  $\text{K}^2\text{TeO}^4$ .

Zweigliedrig.  $a : b : c = 0,5566 : 4 : 0,7293$  Handl.  
 $o, q^2 a, c$ .

	Berechnet	Beobachtet
$o$	$2A =$	$132^{\circ} 16'$
	$2B = 86^{\circ} 52'$	
	$2C =$	$112 \ 36$
$q^2 : q^2$	$= 68 \ 52$	$69 \ 11$

Isomorph mit dem Sulfat und Seleniat.

Optisch ganz gleich dem Sulfat. — Lang, Handl: Wien. Ak.  
— v. Lang: Eb. 45.

Die Darstellung dieses Salzes ist mir und Anderen nicht gelu  
Ist das gemessene Salz analysirt worden? War es vielleicht sch  
saures Kali?

## Osmiamsaure Salze.

(Osmiamate.)

**Osmiamsaures Kali.**  $K^2Os^2N^2O^6$ .

Viergliedrig.  $a : c = 1 : 1,1336$  Nordenskiöld.

$o, d^2$ .

Berechnet

Beobachtet

$$\begin{array}{l} o \left\{ \begin{array}{l} 2A = \\ 2C = 116^\circ 6' \end{array} \right. \\ d^2 \left\{ \begin{array}{l} 2A = 99 \ 22 \\ 2C = 132 \ 24 \end{array} \right. \\ o : d^2 = 139 \ 44 \end{array}$$

\*106° 16'

J. f. pr. Chem. 44, 404.

## Schwefelsalze.

(Sulfosalze.)

**Natriumsulfarseniat.**  $Na^2AsS^4 + 8aq$ .

Zwei- und eingliedrig.  $a : b : c = 0,6678 : 1 : 1,0393$   
melsberg.  $o = 80^\circ 0'$ .

$o', \frac{o'}{2}, p, q, a, b, c$ .

Berechnet

Beobachtet

$$\begin{array}{ll} p : p = 113^\circ 20' & 113^\circ 40' \\ a = & *146 \ 40 \\ b = 123 \ 20 & 123 \ 15 \\ c = & *100 \ 30 \\ q : q = 88 \ 40 & 88 \ 50 \\ c = & *134 \ 20 \\ b = 135 \ 40 & 136 \ 0 \\ a = 96 \ 57 & \\ a : c = 100 \ 0 & \\ o' : o' = 117 \ 48 & \end{array}$$

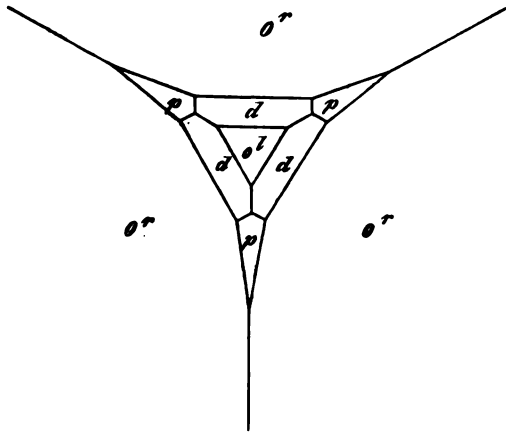
	Berechnet	Beobachtet
$\frac{o'}{2} : \frac{o'}{2} =$	$132^{\circ} 42'$	
$o' : a =$	$131 \quad 45$	
$b =$	$124 \quad 6$	
$c =$	$111 \quad 35$	
$p =$	$147 \quad 55$	$147^{\circ} 50'$
$q =$	$128 \quad 48$	
$\frac{o'}{2} : a =$	$118 \quad 36$	
$b =$	$113 \quad 54$	
$c =$	$133 \quad 40$	$113\frac{1}{2}$ ungef.
$p =$	$126 \quad 20$	$127 \quad -$
$o' =$	$158 \quad 25$	$157 \quad -$

Herrschend  $p$ ,  $a$ ,  $b$ ,  $c$ . Die Flächen  $o'$  und  $\frac{o'}{2}$  sind sehr klein.

**Natriumsulfantimoniat.**  $\text{Na}^3\text{SbS}^4 + 9 \text{ aq.}$

Regulär-hemiedrisch (tetartoedrisch). Tetraeder  $\frac{o^r}{2}$ , mit Abstumpfung der Ecken durch das Gegentetraeder  $\frac{o^i}{2}$ , der Abstumpfung der Kanten beider durch das Granatoeder  $d$  und einer auf die Kanten des herrschenden Tetraeders aufgesetzten dreiflächigen Zuspitzung durch das Pyritoeder  $p = a : 2a : \infty a$ .

Fig. 219.



	Berechnet	Beobachtet
$d : d =$	$120^{\circ}$	$120^{\circ}$
$\frac{o}{2} =$	$144 \quad 44'$	$144 \quad 30'$
$p =$	$161 \quad 34$	$161 \quad 30$
$p : p =$	$143 \quad 8$	$142-143^{\circ}$

# Schwefelsalze.

wegen des Zusammenvorkommens beider Arten  
als tetartoedrische aufzufassen. Circular

**Natriumselenantimoniat.**  $\text{Na}^3\text{SbSe}^4 + 9\text{aq.}$

mit dem vorigen. — Hofacker: Ann. Ch. Ph.

**Natriumsulfostannat.**  $\text{Na}^4\text{SnS}^4 + 12\text{aq}$  (Rammelsb  
Zweigliedrig.  $a : b : c = 0,944 : 4 : 0,372$  Ramme

	Berechnet	Beobachtet
$\left. \begin{array}{l} 2A = \\ 2B = 138^\circ 8' \\ 2C = 57 48 \end{array} \right\}$		$\begin{array}{l} 142^\circ 0' \\ 138 \quad 0 \\ 57 \quad 48 \end{array}$
$p : p = 95 \quad 20$		95 15
$b =$		132 20
$o : b = 109 \quad 0$		109 0
$p = 118 \quad 34$		118 16

Farblose oder gelbliche, oft sehr grosse Krystalle; tafel-  
wobei die  $o$  und  $p$  der einen Seite öfter zu fehlen scheinen.

$\text{Na}^2\text{SnS}^3 + 2\text{aq}$  soll gelbe reguläre Oktaeder bilden. K

**Kaliumsulfomolybdat.**  $\text{K}^2\text{MoS}^4.$

Zweigliedrig.  $a : b : c = 0,6535 : 4 : 0,3739$  Ram

$p, 2p, r, a, b.$

	Berechnet	Beobachtet
$p : p = 113^\circ 40'$		113° 30'
$a =$		146 50
$b = 123 \quad 40$		123 30
$2p : 2p = 74 \quad 50$		
$a = 127 \quad 25$		127 20
$r : r =$		120 27
$a = 119 \quad 46,5$		119 40
$r : p = 114 \quad 34$		114 45
$2p = 99 \quad 37$		

Vorherrschend  $b$  über  $a$ , die  $p$  nur schmal.

**Kaliumsulfowolframat mit salpetersaurem Kali.**  $\text{K}^2\text{WS}^4$

Zweigliedrig.  $a : b : c = 0,7476 : 4 : 0,7945$  Nordens

$o, p, q.$

	Berechnet	Beobachtet
$\left. \begin{array}{l} 2A = 120^\circ 52' \\ 2B = \\ 2C = 105 \quad 58 \end{array} \right\}$		$\begin{array}{l} 100^\circ 30' \\ \\ 105 \quad 58 \end{array}$
$p : p = 106 \quad 26$		
$q : q = 103 \quad 4$		
$o : p =$		142 59
$q = 140 \quad 15$		140 18

Die Flächen  $p$  und  $q$  sind nur schmal. — Vet. Akad. Han

## Nachträge.

### Wasserstoff.

Einfluss der Temperatur auf die Zusammendrückbarkeit Amagat: C. r. 90, 995.

Wärmeleitung. Graetz: Wied. Ann. 44, 434.

Die Brechungsexponenten. Ketteler: Pogg. Ann. 424, 390.

Spectrum der Wasserstoffflamme Huggins: Proc. R. Soc. 30, 576.

Das Spectrum des Wasserstoffs. Wallner: Wied. Ann. 44, 355.

Verbrennungswärme. Schuller: Wied. Ann. 44, 226.

### Chlor.

Das Verhältniss der spec. Wärme bei constantem Druck und bei constanter Temperatur Strecker: Wied. Ann. 43, 20, 544.

### Chlorwasserstoff.

Nach Ansdell ist das V. G. des flüssigen bei  $0^{\circ} = 0.908$ .

Derselbe bestimmte das Vol. des gesättigten Dampfes beim Verflüssigungspunkte und das des flüssigen bei bestimmtem Druck. Proc. R. Soc. , 447.

### Brom.

Siedepunkt  $59^{\circ},27$ .

Volumgewicht		Volum
$0^{\circ}$	3,48828	4
$59,27$	2,98218	1,069 Thorpe.

Spec. Wärme des Dampfes, ihr Verhältniss für constanten Druck und istante T. Strecker: Wied. Ann. 43, 20, 544.

### Jod.

Spec. Wärme des Dampfes. Strecker: S. Brom.

### Sauerstoff.

Das Spectrum. Paalzow und H. Vogel: Wied. Ann. 43, 336.

**Wasser.**

Ausdehnung durch die Wärme. Volkmann: Wied. Ann. 44, 9.  
 Brechungsexponent. Gladstone und Dale: Phil. Mag. (4) 47,  
 Elektromagnetische Drehung der Polarisationssebene der strahl  
 Wärme. Grunmach: Wied. Ann. 44, 85.

**Schwefel.**

Verbrennungswärme des zweigliedrigen 71080 W.-E.

des zwei- und eingliedrigen 71720 -

Thomsen: Ber. d. ch. Ges. 1880, 959.

**Schweflige Säure.**

Brechungsexponenten. Ketteler: Pogg. Ann. 424, 390.

**Tellur.**

Schmelzpunkt 452° Carnelley.

**Stickstoff.**

Einfluss der Temperatur auf die Zusammendrückbarkeit. A n n a  
 C. r. 90. 995.

**Atmosphärische Luft.**

Wärmeleitung. Graetz: Wied. Ann. 44, 232.

Brechungsexponenten. Ketteler: Pogg. Ann. 424, 390.

**Stickstoffdioxyd.**

Siedepunkt 28° Dulong; 26° Gay-Lussac; 22° Pélige  
 Thorpe.

Volumgewicht		Volum
0°	1,4903	1
24,6	1,43958	1,03523 Thorpe.

**Phosphor.**

Latente Schmelzwärme. Pettersson: J. f. ps. Ch. (2) 24,

**Phosphortrichlorid.**

Siedepunkt 75°, 95.

Volumgewicht		Volum
0°	1,61275	1
75,95	1,46845	1,09827 Thorpe.

**Phosphoroxychlorid.**

Siedepunkt 107°, 23.

Volumgewicht		Volum
0°	1,71163	1
107,23	1,50967	1,13378 Thorpe.



**Phosphortribromid.**

Siedepunkt 172°, 9.

	Volumgewicht	Volum
0°	2,92314	1
172,9	2,49544	1,4714 Thorpe.

**Arsen.**

Verflüchtigungspunkt zwischen 446 und 457°. Conchey: Chem. news 41, 489.

1 Mol. Arsen =  $As^1$  = 2 Vol. (nicht =  $As^2$  = 4 Vol.).**Antimon.**

Wärme- und Elektrizitätsleitung. Lorenz: Wied. Ann. 43, 422. 582.

**Wismuth.**

Desgl. und H. F. Weber: Monatsb. Berl. Akad. 1880, 457.

**Kohlensäure.**

Einfluss der T. auf die Zusammendrückbarkeit. Amagat: C. r. 0, 995.

Wärmeleitung. Graetz: S. Atm. Luft.

Brechungsexponenten. Ketteler: Pogg. Ann. 124, 390.

**Schwefelkohlenstoff.**

Siedepunkt 46°, 04.

	Volumgewicht	Volum
0°	1,29215	1
46,04	1,22242	1,05704 Thorpe.

Brechungsexponenten. Baden-Powell: Pogg. Ann. 69, 110.

**Siliciumtetrachlorid.**

Siedepunkt 57°, 57.

	Volumgewicht	Volum
0°	1,52,408	1
57,57	1,40294	1,08635 Thorpe.

**Titantetrachlorid.**

Siedepunkt 136°, 4.

	Volumgewicht	Volum
0°	1,76041	1
136,4	1,52223	1,15647 Thorpe.

**Zinn.**

Wärme- und Elektrizitätsleitung. H. F. Weber: Monatsb. Berl. Akad. 80, 457. — Kirchhoff und Hanseemann: Wied. Ann. 43, 406. — Lorenz: Eb. 43, 422. 582.

### **Zinnchlorid.**

Siedepunkt 113°, 9.

Volumgewicht		Volum
0°	2,27875	1
113,9	1,97843	1,15197 Thorpe.

### **Vanadinoxchlorid.**

Siedepunkt 127°, 19.

Volumgewicht		Volum
0°	1,86534	1
127,19	1,63073	1,14387 Thorpe.

### **Chlorchromsäure.**

Siedepunkt 115°, 9.

Volumgewicht		Volum
0°	1,96101	1
115,9	1,7578	1,1156 Thorpe.

### **Silber.**

Wärme- und Elektricitätsleitung. H. F. Weber: Monatsber. Akad. 1880, 457.

### **Quecksilber.**

Desgl. Derselbe a. a. O.

Bezüglich der Wärmeleitung ist im letzten Satze S. 168  
H. F. Weber: Wied. Ann. 10, 490.

Specifische Wärme. Petersson: J. f. pr. Ch. (2) 24, 129.

### **Kupfer.**

Desgl. Derselbe; ferner Kirchhoff und Hansemann: Wied. Ann. 13, 406. — Lorenz: Eb. 13, 422. 582.

### **Blei.**

Desgl. Dieselben.

Spec. Wärme 0,0304 (15°). Kirchhoff und Hansemann.

### **Kadmium.**

Desgl. Weber und Lorenz: a. a. O.

### **Zink.**

Desgl. Dieselben.

Spec. Wärme 0,0921 (15°). Kirchhoff und Hansemann.

Siedepunkt in Luft 929—954°, in Wasserstoff 916—925°, in Salzsäure 1067—1072°. — Deville und Troost: C. r. 90, 727.

**Kupfer-Zink** (Messing). Wärme- und Elektricitätsleitung  
und Lorenz: a. a. O.

**Eisen.**

**Physikalische Veränderung von Eisen und Stahl durch Erhitzen und schnelles Abkühlen.** Wrightson: Dingl. J. 236, 35.

**Wärme- und Elektrizitätsleitung** Kirchhoff (und Hansemann) und Lorenz: a. a. O.

**Nickel.**

**Neusilber.** Wärme- und Elektrizitätsleitung. Lorenz: Wied. Ann. 13, 422. 582.

**Aluminium.**

Desgl. Lorenz: a. a. O.

**Magnesium.**

Desgl. Derselbe.

Spectrum s. Lithium.

**Lithium.**

Spectrum Liveing: Proc. R. Soc. 30, 93.

**Natrium.**

Ausdehnungscoefficient (wahrer)

für 0° 0,00014178

- 80 0,0003639 De Luacchi.

Volumgewicht bei 0° 0,97678 Derselbe.

- beim Sieden 0,7414 Ramsay.

Gas-V. G. 24,9 bis 26,4 (vorläufige Bestimmungen). Dewar und Scott: Proc. R. Soc. 29, 490.

**Kalium.**

Gas-V. G. 40,6 bis 44. Dieselben.

**Chlornatrium.**

Brechungsexponenten des Steinsalzes. Baden-Powell: Pogg. Ann. 69, 110.

## Verbesserungen.

---

Seite	Zeile	3 v. u. lies	Dichte.
- 26	- 16	-	64,2 Gay-Lussac. Berechnet.
- 29	- 14	-	Hautefeuille.
- 30	- 8	-	zweigliedrig.
- 53	- 4 v. o.	-	geben.
- 61	- 4	-	fällt.
- 63	- 4 v. u.	-	Marcet.
- 65	- 5 v. o.	-	Berthelot.
- 68	- 16	-	bestimmend.
- 85	- 5	-	S. (statt A.)
- 97	- 2	-	Haagen.
	- 3	-	131, 117.
	- 22	-	Phosphorylchlorid.
- 98	- 13	-	Sechsgliedrig.
- 103	- 5 v. u.	-	Wärmeentwicklung.
- 113	- 1 v. o.	-	Berechnet. Beobachtet.
- 114	- 4	-	fehlt $\text{Sb}^2\text{O}^3$ .
- 115	- 11	-	getr.
- 119	- 4 v. u.	-	Brodie.
- 121	- 20 v. o.	-	0,3250.
- 122	- 4 v. u.	-	fehlt %.
- 125	- 19 v. o.	-	aus ihren.
- 132	- 16	-	131, 161.
- 133	- 8	-	von Kupferchlorür wird es absor
- 135	- 18 v. u.	-	Optisches.
	- 11	-	Fraunhofer.
- 137	- 9	-	0,1907; des.
- 140	- 9	-	fehlt $\text{TiO}^2$ .
- 142	- 14	-	Winkel.
- 146	- 2 v. o.	-	stängligen.
	- 3 v. u.	-	stänglich.
- 156	- 12	-	Volumgewicht.
- 157	- 19	-	Wertheim.
- 158	- 18 v. o.	-	Becquerel.
- 159	- 12 v. u.	-	Diffusion.
- 160	- 5	-	füge hinzu: von 0—100°.
- 169	- 19	-	Pouillet.
- 172	- 21	-	Regulär.
- 173	- 15 v. o.	-	Percy's Metallurgie. Übers. von
- 178	- 18	-	Holzmann.
- 183	- 16	-	0° = 100.
- 187	- 7	-	De la Rive.
- 189	- 17 v. u.	-	Messing.

- Seite 496 Zeile 9 v. o. lies Elektricitätsleitung.
- 499 - 4 v. u. - Al n.
  - 200 - 46 - - Die Literatur über Faraday's Versuche ist:  
Pogg. Ann. 37, 423 und 65, 643.
  - 208 - 42 - - Daubrée.
  - 249 - 4 v. o. - Li<sup>2</sup>.
  - 222 - 7 - - von,
  - 226 in der Ueberschrift: Zinnfluorid.
  - 228 Zeile 49 v. u. lies 4: 0,5593.
  - 247 - 6 v. o. - Salmiak vom Vesuv.
  - 259 - 46 v. u. - Sechseitige.
  - - 49 - - Wiedemann.
  - 260 - 4 - - Fe (nicht Fe).
  - 282 - 44 v. o. - Beobachtet.
  - 283 - 9 u. 10 v. o. Die Symbole Am und K in den Formeln sind  
zu vertauschen.
  - 284 - 44 v. o. lies 449 statt 419.
  - 292 - 9 - - fehlt K Br.
  - 308 - 47 v. u. - Dithallium (statt Thallien).
  - 323 - 45 v. o. - 79° 56'.
  - 370 - 3 v. u. - \*\*).
  - 374 - 2 - - \*\*).
  - 384 - 46 - - Na<sup>2</sup>PtN<sup>4</sup>O<sup>8</sup>.
  - 426 - 40 - - Rhomboeder.
  - 430 - 9 v. o. - Kupffer.
  - 432 - 49 v. u. - 435,4.
  - 513 - 4 v. o. - Ann. Ch. Pharm.
  - 530 - 3 v. u. - Na<sup>2</sup>PO<sup>3</sup>.
  - 545 - 3 - - Rüdorff.
  - 595 - 4 v. o. - Chlorchromsaures.
-

Druck von Breitkopf & Härtel in Leipzig.

**HANDBUCH**  
**DER**  
**KRYSTALLOGRAPHISCH-PHYSIKALISCHEN**  
**CHEMIE**

**BEARBEITET**

**VON**

**C. F. RAMMELSBERG**

DR. UND PROFESSOR DER CHEMIE AN DER UNIVERSITÄT, MITGLIED DER AKADEMIE DER  
WISSENSCHAFTEN ZU BERLIN.

**ABTHEILUNG II.**  
**ORGANISCHE VERBINDUNGEN.**

**MIT 124 HOLZSCHNITTEN.**



**LEIPZIG**

**VERLAG VON WILHELM ENGELMANN**

**1882.**

Das Uebersetzungsrecht vorbehalten.

System  
nicht  
die grö-  
Säure  
führt.

diesem R  
alle  
Anga  
bekant  
ihrei  
H  
krystall  
Abtheil  
J  
abges  
abweiche  
ver  
blei  
Beit  
bei d  
zw  
sehen.  
enth  
namen  
anbau  
Seite  
n



## VORWORT.

Systematische Anordnung der organischen Verbindungen ist nicht möglich; es wurden daher in der vorliegenden Abtheilung grösseren Gruppen: Cyanmetalle und Salze der wichtigsten Säuren zusammengestellt, der Rest aber in alphabetischer Reihung, wobei die nothwendigsten Synonymen Berücksichtigung

dem Reste, dessen Umfang schon jetzt ein sehr bedeutender ist, und alle Verbindungen ausgeschlossen, für welche weder krystallographische Angaben noch Bestimmungen ihrer sonstigen physikalischen Eigenschaften bekannt sind, abgesehen von denen, welche die untersuchenden Autoren in ihren Abhandlungen mitgetheilt haben, und welche daher in den Handbüchern und Zeitschriften sich finden.

Krystallographische und das rein physikalische Element haben Theilungen des Werkes eine sehr verschiedenartige Behandlung. Jenes ist möglichst vollständig wiedergegeben, weil der abgeschlossene Gebiet, dessen Material weit zerstreut und in jedem äusseren Gewande gesucht werden muss, zu einem Ganzen vereinigen wollte, welches erkennen lässt, was in ihm noch fehlt, und — es mag ihm dies verziehen werden — weil er Beiträge für dieses Gebiet geliefert hat.

Bei diesem Verfahren nahe, die wichtigen Beziehungen anzudeuten zwischen der Krystallform der Körper und ihrer chemischen Eigenschaften, allein ein derartiges Unternehmen, für welches das Werk enthält, würde dem Plane desselben nicht entsprochen haben, wesentlich für die organischen Verbindungen, nur bei systematischer Anordnung des Stoffes durchführen lassen. Für diesen Zweck verwendeten von Mitscherlich, Marignac, Topsøe, Bodeker u. A. die Grundlage bilden.

Die physikalischen Eigenschaften der Körper sind nach allen Richtungen und in so weitem Umfange Gegenstand der Forschung, daß ihre Behandlung in dem Werke nothwendig eine fragmentarische sein mußte und sich vielfach auf Nachweise der betreffenden Literatur stützen mußte.

Die ihrem Titel nach im Text abgekürzt angeführten Werke und Werke bedürfen wohl keiner Erläuterung; es seien nur folgende aufgeführt:

Schabus: das in dem Vorwort der ersten Abtheilung S. 10 erwähnte Werk.

Des Cloizeaux: Nouvelles recherches sur les propriétés optiques des cristaux. Paris 1867 (nebst den früheren Abhandlungen in les mines Bd. 11 (1857) und 14 (1858)).

Grailich: Krystallographisch-optische Untersuchungen.

Regnault: Relation des expériences pour déterminer les lois et les données numériques, qui entrent dans le calcul des vapeurs. Paris 1847. (Auch in den Mémoires de l'Académie 1847.)

Berlin, im März 1882.

C. Rammels

# INHALT

## DER ZWEITEN ABTHEILUNG.

	Seite
III	
IV	
V	
VI	
VII	
VIII	
IX	
X	
XI	
XII	
XIII	
XIV	
XV	
XVI	
XVII	
XVIII	
XIX	
XX	
XXI	
XXII	
XXIII	
XXIV	
XXV	
XXVI	
XXVII	
XXVIII	
XXIX	
XXX	
XXXI	
XXXII	
XXXIII	
XXXIV	
XXXV	
XXXVI	
XXXVII	
XXXVIII	
XXXIX	
XL	
XL I	
XL II	
XL III	
XL IV	
XL V	
XL VI	
XL VII	
XL VIII	
XL IX	
XL X	
XL XI	
XL XII	
XL XIII	
XL XIV	
XL XV	
XL XVI	
XL XVII	
XL XVIII	
XL XIX	
XL XX	
XL XXI	
XL XXII	
XL XXIII	
XL XXIV	
XL XXV	
XL XXVI	
XL XXVII	
XL XXVIII	
XL XXIX	
XL XXX	
XL XXXI	
XL XXXII	
XL XXXIII	
XL XXXIV	
XL XXXV	
XL XXXVI	
XL XXXVII	
XL XXXVIII	
XL XXXIX	
XL XL	
XL XL I	
XL XL II	
XL XL III	
XL XL IV	
XL XL V	
XL XL VI	
XL XL VII	
XL XL VIII	
XL XL IX	
XL XL X	
XL XL XI	
XL XL XII	
XL XL XIII	
XL XL XIV	
XL XL XV	
XL XL XVI	
XL XL XVII	
XL XL XVIII	
XL XL XIX	
XL XL XX	
XL XL XXI	
XL XL XXII	
XL XL XXIII	
XL XL XXIV	
XL XL XXV	
XL XL XXVI	
XL XL XXVII	
XL XL XXVIII	
XL XL XXIX	
XL XL XXX	
XL XL XXXI	
XL XL XXXII	
XL XL XXXIII	
XL XL XXXIV	
XL XL XXXV	
XL XL XXXVI	
XL XL XXXVII	
XL XL XXXVIII	
XL XL XXXIX	
XL XL XL	
XL XL XL I	
XL XL XL II	
XL XL XL III	
XL XL XL IV	
XL XL XL V	
XL XL XL VI	
XL XL XL VII	
XL XL XL VIII	
XL XL XL IX	
XL XL XL X	
XL XL XL XI	
XL XL XL XII	
XL XL XL XIII	
XL XL XL XIV	
XL XL XL XV	
XL XL XL XVI	
XL XL XL XVII	
XL XL XL XVIII	
XL XL XL XIX	
XL XL XL XX	
XL XL XL XXI	
XL XL XL XXII	
XL XL XL XXIII	
XL XL XL XXIV	
XL XL XL XXV	
XL XL XL XXVI	
XL XL XL XXVII	
XL XL XL XXVIII	
XL XL XL XXIX	
XL XL XL XXX	
XL XL XL XXXI	
XL XL XL XXXII	
XL XL XL XXXIII	
XL XL XL XXXIV	
XL XL XL XXXV	
XL XL XL XXXVI	
XL XL XL XXXVII	
XL XL XL XXXVIII	
XL XL XL XXXIX	
XL XL XL XL	
XL XL XL XL I	
XL XL XL XL II	
XL XL XL XL III	
XL XL XL XL IV	
XL XL XL XL V	
XL XL XL XL VI	
XL XL XL XL VII	
XL XL XL XL VIII	
XL XL XL XL IX	
XL XL XL XL X	
XL XL XL XL XI	
XL XL XL XL XII	
XL XL XL XL XIII	
XL XL XL XL XIV	
XL XL XL XL XV	
XL XL XL XL XVI	
XL XL XL XL XVII	
XL XL XL XL XVIII	
XL XL XL XL XIX	
XL XL XL XL XX	
XL XL XL XL XXI	
XL XL XL XL XXII	
XL XL XL XL XXIII	
XL XL XL XL XXIV	
XL XL XL XL XXV	
XL XL XL XL XXVI	
XL XL XL XL XXVII	
XL XL XL XL XXVIII	
XL XL XL XL XXIX	
XL XL XL XL XXX	
XL XL XL XL XXXI	
XL XL XL XL XXXII	
XL XL XL XL XXXIII	
XL XL XL XL XXXIV	
XL XL XL XL XXXV	
XL XL XL XL XXXVI	
XL XL XL XL XXXVII	
XL XL XL XL XXXVIII	
XL XL XL XL XXXIX	
XL XL XL XL XL	
XL XL XL XL XL I	
XL XL XL XL XL II	
XL XL XL XL XL III	
XL XL XL XL XL IV	
XL XL XL XL XL V	
XL XL XL XL XL VI	
XL XL XL XL XL VII	
XL XL XL XL XL VIII	
XL XL XL XL XL IX	
XL XL XL XL XL X	
XL XL XL XL XL XI	
XL XL XL XL XL XII	
XL XL XL XL XL XIII	
XL XL XL XL XL XIV	
XL XL XL XL XL XV	
XL XL XL XL XL XVI	
XL XL XL XL XL XVII	
XL XL XL XL XL XVIII	
XL XL XL XL XL XIX	
XL XL XL XL XL XX	
XL XL XL XL XL XXI	
XL XL XL XL XL XXII	
XL XL XL XL XL XXIII	
XL XL XL XL XL XXIV	
XL XL XL XL XL XXV	
XL XL XL XL XL XXVI	
XL XL XL XL XL XXVII	
XL XL XL XL XL XXVIII	
XL XL XL XL XL XXIX	
XL XL XL XL XL XXX	
XL XL XL XL XL XXXI	
XL XL XL XL XL XXXII	
XL XL XL XL XL XXXIII	
XL XL XL XL XL XXXIV	
XL XL XL XL XL XXXV	
XL XL XL XL XL XXXVI	
XL XL XL XL XL XXXVII	
XL XL XL XL XL XXXVIII	
XL XL XL XL XL XXXIX	
XL XL XL XL XL XL	
XL XL XL XL XL XL I	
XL XL XL XL XL XL II	
XL XL XL XL XL XL III	
XL XL XL XL XL XL IV	
XL XL XL XL XL XL V	
XL XL XL XL XL XL VI	
XL XL XL XL XL XL VII	
XL XL XL XL XL XL VIII	
XL XL XL XL XL XL IX	
XL XL XL XL XL XL X	
XL XL XL XL XL XL XI	
XL XL XL XL XL XL XII	
XL XL XL XL XL XL XIII	
XL XL XL XL XL XL XIV	
XL XL XL XL XL XL XV	
XL XL XL XL XL XL XVI	
XL XL XL XL XL XL XVII	
XL XL XL XL XL XL XVIII	
XL XL XL XL XL XL XIX	
XL XL XL XL XL XL XX	
XL XL XL XL XL XL XXI	
XL XL XL XL XL XL XXII	
XL XL XL XL XL XL XXIII	
XL XL XL XL XL XL XXIV	
XL XL XL XL XL XL XXV	
XL XL XL XL XL XL XXVI	
XL XL XL XL XL XL XXVII	
XL XL XL XL XL XL XXVIII	
XL XL XL XL XL XL XXIX	
XL XL XL XL XL XL XXX	
XL XL XL XL XL XL XXXI	
XL XL XL XL XL XL XXXII	
XL XL XL XL XL XL XXXIII	
XL XL XL XL XL XL XXXIV	
XL XL XL XL XL XL XXXV	
XL XL XL XL XL XL XXXVI	
XL XL XL XL XL XL XXXVII	
XL XL XL XL XL XL XXXVIII	
XL XL XL XL XL XL XXXIX	
XL XL XL XL XL XL XL	
XL XL XL XL XL XL XL I	
XL XL XL XL XL XL XL II	
XL XL XL XL XL XL XL III	
XL XL XL XL XL XL XL IV	
XL XL XL XL XL XL XL V	
XL XL XL XL XL XL XL VI	
XL XL XL XL XL XL XL VII	
XL XL XL XL XL XL XL VIII	
XL XL XL XL XL XL XL IX	
XL XL XL XL XL XL XL X	
XL XL XL XL XL XL XL XI	
XL XL XL XL XL XL XL XII	
XL XL XL XL XL XL XL XIII	
XL XL XL XL XL XL XL XIV	
XL XL XL XL XL XL XL XV	
XL XL XL XL XL XL XL XVI	
XL XL XL XL XL XL XL XVII	
XL XL XL XL XL XL XL XVIII	
XL XL XL XL XL XL XL XIX	
XL XL XL XL XL XL XL XX	
XL XL XL XL XL XL XL XXI	
XL XL XL XL XL XL XL XXII	
XL XL XL XL XL XL XL XXIII	
XL XL XL XL XL XL XL XXIV	
XL XL XL XL XL XL XL XXV	
XL XL XL XL XL XL XL XXVI	
XL XL XL XL XL XL XL XXVII	
XL XL XL XL XL XL XL XXVIII	
XL XL XL XL XL XL XL XXIX	
XL XL XL XL XL XL XL XXX	
XL XL XL XL XL XL XL XXXI	
XL XL XL XL XL XL XL XXXII	
XL XL XL XL XL XL XL XXXIII	
XL XL XL XL XL XL XL XXXIV	
XL XL XL XL XL XL XL XXXV	
XL XL XL XL XL XL XL XXXVI	
XL XL XL XL XL XL XL XXXVII	
XL XL XL XL XL XL XL XXXVIII	
XL XL XL XL XL XL XL XXXIX	
XL XL XL XL XL XL XL XL	
XL XL XL XL XL XL XL XL I	
XL XL XL XL XL XL XL XL II	
XL XL XL XL XL XL XL XL III	
XL XL XL XL XL XL XL XL IV	
XL XL XL XL XL XL XL XL V	
XL XL XL XL XL XL XL XL VI	
XL XL XL XL XL XL XL XL VII	
XL XL XL XL XL XL XL XL VIII	
XL XL XL XL XL XL XL XL IX	
XL XL XL XL XL XL XL XL X	
XL XL XL XL XL XL XL XL XI	
XL XL XL XL XL XL XL XL XII	
XL XL XL XL XL XL XL XL XIII	
XL XL XL XL XL XL XL XL XIV	
XL XL XL XL XL XL XL XL XV	
XL XL XL XL XL XL XL XL XVI	
XL XL XL XL XL XL XL XL XVII	
XL XL XL XL XL XL XL XL XVIII	
XL XL XL XL XL XL XL XL XIX	
XL XL XL XL XL XL XL XL XX	
XL XL XL XL XL XL XL XL XXI	
XL XL XL XL XL XL XL XL XXII	
XL XL XL XL XL XL XL XL XXIII	
XL XL XL XL XL XL XL XL XXIV	
XL XL XL XL XL XL XL XL XXV	
XL XL XL XL XL XL XL XL XXVI	
XL XL XL XL XL XL XL XL XXVII	
XL XL XL XL XL XL XL XL XXVIII	
XL XL XL XL XL XL XL XL XXIX	
XL XL XL XL XL XL XL XL XXX	
XL XL XL XL XL XL XL XL XXXI	
XL XL XL XL XL XL XL XL XXXII	
XL XL XL XL XL XL XL XL XXXIII	
XL XL XL XL XL XL XL XL XXXIV	
XL XL XL XL XL XL XL XL XXXV	
XL XL XL XL XL XL XL XL XXXVI	
XL XL XL XL XL XL XL XL XXXVII	
XL XL XL XL XL XL XL XL XXXVIII	
XL XL XL XL XL XL XL XL XXXIX	
XL XL XL XL XL XL XL XL XL	
XL XL XL XL XL XL XL XL XL I	
XL XL XL XL XL XL XL XL XL II	
XL XL XL XL XL XL XL XL XL III	
XL XL XL XL XL XL XL XL XL IV	
XL XL XL XL XL XL XL XL XL V	
XL XL XL XL XL XL XL XL XL VI	
XL XL XL XL XL XL XL XL XL VII	
XL XL XL XL XL XL XL XL XL VIII	
XL XL XL XL XL XL XL XL XL IX	
XL XL XL XL XL XL XL XL XL X	
XL XL XL XL XL XL XL XL XL XI	
XL XL XL XL XL XL XL XL XL XII	
XL XL XL XL XL XL XL XL XL XIII	
XL XL XL XL XL XL XL XL XL XIV	
XL XL XL XL XL XL XL XL XL XV	
XL XL XL XL XL XL XL XL XL XVI	
XL XL XL XL XL XL XL XL XL XVII	
XL XL XL XL XL XL XL XL XL XVIII	
XL XL XL XL XL XL XL XL XL XIX	
XL XL XL XL XL XL XL XL XL XX	
XL XL XL XL XL XL XL XL XL XXI	
XL XL XL XL XL XL XL XL XL XXII	
XL XL XL XL XL XL XL XL XL XXIII	
XL XL XL XL XL XL XL XL XL XXIV	
XL XL XL XL XL XL XL XL XL XXV	
XL XL XL XL XL XL XL XL XL XXVI	
XL XL XL XL XL XL XL XL XL XXVII	
XL XL XL XL XL XL XL XL XL XXVIII	
XL XL XL XL XL XL XL XL XL XXIX	
XL XL XL XL XL XL XL XL XL XXX	
XL XL XL XL XL XL XL XL XL XXXI	
XL XL XL XL XL XL XL XL XL XXXII	
XL XL XL XL XL XL XL XL XL XXXIII	
XL XL XL XL XL XL XL XL XL XXXIV	
XL XL XL XL XL XL XL XL XL XXXV	
XL XL XL XL XL XL XL XL XL XXXVI	
XL XL XL XL XL XL XL XL XL XXXVII	
XL XL XL XL XL XL XL XL XL XXXVIII	
XL XL XL XL XL XL XL XL XL XXXIX	
XL XL XL XL XL XL XL XL XL XL	
XL XL XL XL XL XL XL XL XL XL I	
XL XL XL XL XL XL XL XL XL XL II	
XL XL XL XL XL XL XL XL XL XL III	
XL XL XL XL XL XL XL XL XL XL IV	
XL XL XL XL XL XL XL XL XL XL V	
XL XL XL XL XL XL XL XL XL XL VI	
XL XL XL XL XL XL XL XL XL XL VII	
XL XL XL XL XL XL XL XL XL XL VIII	
XL XL XL XL XL XL XL XL XL XL IX	
XL XL XL XL XL XL XL XL XL XL X	
XL XL XL XL XL XL XL XL XL XL XI	
XL XL XL XL XL XL XL XL XL XL XII	
XL XL XL XL XL XL XL XL XL XL XIII	
XL XL XL XL XL XL XL XL XL XL XIV	
XL XL XL XL XL XL XL XL XL XL XV	
XL XL XL XL XL XL XL XL XL XL XVI	
XL XL XL XL XL XL XL XL XL XL XVII	
XL XL XL XL XL XL XL XL XL XL XVIII	
XL XL XL XL XL XL XL XL XL XL XIX	
XL XL XL XL XL XL XL XL XL XL XX	
XL XL XL XL XL XL XL XL XL XL XXI	
XL XL XL XL XL XL XL XL XL XL XXII	
XL XL XL XL XL XL XL XL XL XL XXIII	
XL XL XL XL XL XL XL XL XL XL XXIV	
XL XL XL XL XL XL XL XL XL XL XXV	
XL XL XL XL XL XL XL XL XL XL XXVI	
XL XL XL XL XL XL XL XL XL XL XXVII	
XL XL XL XL XL XL XL XL XL XL XXVIII	
XL XL XL XL XL XL XL XL XL XL XXIX	
XL XL XL XL XL XL XL XL XL XL XXX	
XL XL XL XL XL XL XL XL XL XL XXXI	
XL XL XL XL XL XL XL XL XL XL XXXII	
XL XL XL XL XL XL XL XL XL XL XXXIII	
XL XL XL XL XL XL XL XL XL XL XXXIV	
XL XL XL XL XL XL XL XL XL XL XXXV	
XL XL XL XL XL XL XL XL XL XL XXXVI	
XL XL XL XL XL XL XL XL XL XL XXXVII	
XL XL XL XL XL XL XL XL XL XL XXXVIII	
XL XL XL XL XL XL XL XL XL XL XXXIX	
XL XL XL XL XL XL XL XL XL XL XL	
XL XL XL XL XL XL XL XL XL XL XL I	
XL XL XL XL XL XL XL XL XL XL XL II	
XL XL XL XL XL XL XL XL XL XL XL III	
XL XL XL XL XL XL XL XL XL XL XL IV	
XL XL XL XL XL XL XL XL XL XL XL V	
XL XL XL XL XL XL XL XL XL XL XL VI	
XL XL XL XL XL XL XL XL XL XL XL VII	
XL XL XL XL XL XL XL XL XL XL XL VIII	
XL XL XL XL XL XL XL XL XL XL XL IX	
XL XL XL XL XL XL XL XL XL XL XL X	
XL XL XL XL XL XL XL XL XL XL XL XI	
XL XL XL XL XL XL XL XL XL XL XL XII	
XL XL XL XL XL XL XL XL XL XL XL XIII	
XL XL XL XL XL XL XL XL XL XL XL XIV	
XL XL XL XL XL XL XL XL XL XL XL XV	
XL XL XL XL XL XL XL XL XL XL XL XVI	
XL XL XL XL XL XL XL XL XL XL XL XVII	
XL XL XL XL XL XL XL XL XL XL XL XVIII	
XL XL XL XL XL XL XL XL XL XL XL XIX	
XL XL XL XL XL XL XL XL XL XL XL XX	
XL XL XL XL XL XL XL XL XL XL XL XXI	
XL XL XL XL XL XL XL XL XL XL XL XXII	
XL XL XL XL XL XL XL XL XL XL XL XXIII	
XL XL XL XL XL XL XL XL XL XL XL XXIV	
XL XL XL XL XL XL XL XL XL XL XL XXV	
XL XL XL XL XL XL XL XL XL XL XL XXVI	
XL XL XL XL XL XL XL XL XL XL XL XXVII	
XL XL XL XL XL XL XL XL XL XL XL XXVIII	
XL XL XL XL XL XL XL XL XL XL XL XXIX	
XL XL XL XL XL XL XL XL XL XL XL XXX	
XL XL XL XL XL XL XL XL XL XL XL XXXI	
XL XL XL XL XL XL XL XL XL XL XL XXXII	
XL XL XL XL XL XL XL XL XL XL XL XXXIII	
XL XL XL XL XL XL XL XL XL XL XL XXXIV	
XL XL XL XL XL XL XL XL XL XL XL XXXV	
XL XL XL XL XL XL XL XL XL XL XL XXXVI	
XL XL XL XL XL XL XL XL XL XL XL XXXVII	
XL XL XL XL XL XL XL XL XL XL XL XXXVIII	
XL XL XL XL XL XL XL XL XL XL XL XXXIX	
XL XL XL XL XL XL XL XL XL XL XL XL	
XL XL XL XL XL XL XL XL XL XL XL XL I	
XL XL XL XL XL XL XL XL XL XL XL XL II	
XL XL XL XL XL XL XL XL XL XL XL XL III	
XL XL XL XL XL XL XL XL XL XL XL XL IV	
XL XL XL XL XL XL XL XL XL XL XL XL V	
XL XL XL XL XL XL XL XL XL XL XL XL VI	
XL XL XL XL XL XL XL XL XL XL XL XL VII	
XL XL XL XL XL XL XL XL XL XL XL XL VIII	
XL XL XL XL XL XL XL XL XL XL XL XL IX	
XL XL XL XL XL XL XL XL XL XL XL XL X	
XL XL XL XL XL XL XL XL XL XL XL XL XI	
XL XL XL XL XL XL XL XL XL XL XL XL XII	
XL XL XL XL XL XL XL XL XL XL XL XL XIII	
XL XL XL XL XL XL XL XL XL XL XL XL XIV	
XL XL XL XL XL XL XL XL XL XL XL XL XV	
XL XL XL XL XL XL XL XL XL XL XL XL XVI	
XL XL XL XL XL XL XL XL XL XL XL XL XVII	
XL XL XL XL XL XL XL XL XL XL XL XL XVIII	
XL XL XL XL XL XL XL XL XL XL XL XL XIX	
XL XL XL XL XL XL XL XL XL XL XL XL XX	
XL XL XL XL XL XL XL XL XL XL XL XL XXI	
XL XL XL XL XL XL XL XL XL XL XL XL XXII	
XL XL XL XL XL XL XL XL XL XL XL XL XXIII	
XL XL XL XL XL XL XL XL XL XL XL XL XXIV	
XL XL XL XL XL XL XL XL XL XL XL XL XXV	
XL XL XL XL XL XL XL XL XL XL XL XL XXVI	
XL XL XL XL XL XL XL XL XL XL XL XL XXVII	
XL XL XL XL XL XL XL XL XL XL XL XL XXVIII	
XL XL XL XL XL XL XL XL XL XL XL XL XXIX	
XL XL XL XL XL XL XL XL XL XL XL XL XXX	
XL XL XL XL XL XL XL XL XL XL XL XL XXXI	
XL XL XL XL XL XL XL XL XL XL XL XL XXXII	
XL XL XL XL XL XL XL XL XL XL XL XL XXXIII	
XL XL XL XL XL XL XL XL XL XL XL XL XXXIV	
XL XL XL XL XL XL XL XL XL XL XL XL XXXV	
XL XL XL XL XL XL XL XL XL XL XL XL XXXVI	
XL XL XL XL XL XL XL XL XL XL XL XL XXXVII	
XL XL XL XL XL XL XL XL XL XL XL XL XXXVIII	
XL XL XL XL XL XL XL XL XL XL XL XL XXXIX	
XL XL XL XL XL XL XL XL XL XL XL XL XL	
XL XL XL XL XL XL XL XL XL XL XL XL XL I	
XL XL XL XL XL XL XL XL XL XL XL XL XL II	
XL XL XL XL XL XL XL XL XL XL XL XL XL III	
XL XL XL XL XL XL XL XL XL XL XL XL XL IV	
XL XL XL XL XL XL XL XL XL XL XL XL XL V	
XL XL XL XL XL XL XL XL XL XL XL XL XL VI	
XL XL XL XL XL XL XL XL XL XL XL XL XL VII	
XL XL XL XL XL XL XL XL XL XL XL XL XL VIII	
XL XL XL XL XL XL XL XL XL XL XL XL XL IX	
XL XL XL XL XL XL XL XL XL XL XL XL XL X	
XL XL XL XL XL XL XL XL XL XL XL XL XL XI	
XL XL XL XL XL XL XL XL XL XL XL XL XL XII	
XL XL XL XL XL XL XL XL XL XL XL XL XL XIII	
XL XL XL XL XL XL XL XL XL XL XL XL XL XIV	
XL XL XL XL XL XL XL XL XL XL XL XL XL XV	
XL XL XL XL XL XL XL XL XL XL XL XL XL XVI	
XL XL XL XL XL XL XL XL XL XL XL XL XL XVII	
XL XL XL XL XL XL XL XL XL XL XL XL XL XVIII	
XL XL XL XL XL XL XL XL XL XL XL XL XL XIX	
XL XL XL XL XL XL XL XL XL XL XL XL XL XX	
XL XL XL XL XL XL XL XL XL XL XL XL XL XXI	
XL XL XL XL XL XL XL XL XL XL XL XL XL XXII	
XL XL XL XL XL XL XL XL XL XL XL XL XL XXIII	
XL XL XL XL XL XL XL XL XL XL XL XL XL XXIV	
XL XL XL XL XL XL XL XL XL XL XL XL XL XXV	
XL XL XL XL XL XL XL XL XL XL XL XL XL XXVI	
XL XL XL XL XL XL XL XL XL XL XL XL XL XXVII	
XL XL XL XL XL XL XL XL XL XL XL XL XL XXVIII	
XL XL XL XL XL XL XL XL XL XL XL XL XL XXIX	
XL XL XL XL XL XL XL XL XL XL XL XL XL XXX	
XL XL XL XL XL XL XL XL XL XL XL XL XL XXXI	
XL XL XL XL XL XL XL XL XL XL XL XL XL XXXII	
XL XL XL XL XL XL XL XL XL XL XL XL XL XXXIII	
XL XL XL XL XL XL XL XL XL XL XL XL XL XXXIV	
XL XL XL XL XL XL XL XL XL XL XL XL XL XXXV	
XL XL XL XL XL XL XL XL XL XL XL XL XL XXXVI	
XL XL XL XL XL XL XL XL XL XL XL XL XL XXXVII	
XL XL XL XL XL XL XL XL XL XL XL XL XL XXXVIII	
XL XL XL XL XL XL XL XL XL XL XL XL XL XXXIX	
XL XL XL XL XL XL XL XL XL XL XL XL XL XL	
XL XL XL XL XL XL XL XL XL XL XL XL XL XL I	
XL XL XL XL XL XL XL XL XL XL XL XL XL XL II	
XL XL XL XL XL XL XL XL XL XL XL XL XL XL III	

Schwefelecyanchromkalium, Calciumrhodanid - Quecksilbercyanid  
 Cerrhodanid-Quecksilbercyanid, Lanthanrhodanid-Quecksilbercyanid  
 Didymrhodanid-Quecksilbercyanid, Yttriumrhodanid-Quecksilber-  
 nid 36; Erbiumrhodanid-Quecksilbercyanid 37.

#### Oxalsäure und deren Salze . . . . .

Oxalsäure 38; Oxalsaures Ammoniak 40; Oxals. Kali 42; Oxals. Kali-  
 Ammoniak 45; Oxals. Rubidium, Oxals. Thallium 46; Oxals. Natron 49;  
 Oxals. Lithion, Oxals. Baryt 50; Oxals. Kalk, Oxals. Ceroxyd, Oxals.  
 Beryllerde-Ammoniak 54; Oxals. Beryllerde-Kali, Oxals. Zinnoxysul-  
 Kali 53; Oxals. Kupferoxyd-Kali 54; Oxals. Kupferoxyd-Ammoniak 55;  
 Oxals. Kupferoxyd-Kali-Ammoniak, Oxalsaures Uranoxyd-Kali 56;  
 Oxalsaures Uranoxyd-Ammoniak, Oxals. Thonerde-Ammoniak 57;  
 Oxals. Thonerde-Kali, Oxals. Eisenoxyd-Ammoniak, Oxals. Eisenoxyd-  
 Kali 58; Oxals. Eisenoxyd-Natron, Oxals. Chromoxyd-Ammoniak,  
 Oxals. Chromoxyd-Kali 59; Oxals. Chromoxyd-Natron 64; Oxals.  
 Antimonoxyd-Kali 62; Oxals. Antimonoxyd-Natron 63; Zweifach schwe-  
 felsaures Ammoniak-Oxalsäure 64.

#### Mellithsäure und deren Salze . . . . .

Mellithsäure, Mellithsaures Ammoniak 64; Melliths. Kali, Melliths. Silber-  
 Kali, Melliths. Thonerde 65.

#### Ameisensäure und deren Salze . . . . .

Ameisensäure 66; Ameisensaures Ammoniak, Ameisens. Lithion, Ameisens.  
 Baryt, Ameisens. Strontian 69; Ameisens. Kalk, Ameisens. Mangan 74;  
 Ameisens. Mangan-Baryt, Ameisens. Zink 72; Ameisens. Zink-Baryt 73;  
 Ameisens. Kadmium 73; Ameisens. Kadmium-Baryt, Ameisens. Kupfer  
 74; Ameisens. Kupfer-Baryt, Ameisens. Kupfer-Strontian 75; Ameisens.  
 Blei 78.

#### Essigsäure und deren Salze . . . . .

Essigsäure 78; Essigsaures Kali, Essigs. Natron 84; Essigs. Lithion, Essigs.  
 Thalliumsquoxyd 83; Essigs. Baryt 84; Essigs. Strontian, Essigs.  
 Magnesia, Essigs. Mangan 85; Essigs. Eisenoxydul, Essigs. Kobalt 86;  
 Essigs. Nickel, Essigs. Zink 87; Essigs. Kadmium, Essigs. Blei 88;  
 Essigs. Kupfer, Essigs. Kupferammonium 89; Essigs. Didym, Essigs.  
 Yttrium 90; Essigs. Erbium, Essigs. Uranoxyd 94; Essigs. Blei-Natron  
 92; Essigs. Kupfer-Kali, Essigs. Kupfer-Kalk, Essigs. Uranoxyd-Am-  
 moniak 93; Essigs. Uranoxyd-Kali, Essigs. Uranoxyd-Natron, Essigs. Ura-  
 noxyd-Silber, Essigs. Uranoxyd-Strontian 94; Essigs. Uranoxyd-Ka-  
 li 95; Essigs. Uranoxyd-Magnesia 95; Essigs. Uranoxyd-Manganoxydul 96;  
 Essigs. Uranoxyd-Nickel, Essigs. Uranoxyd-Kobalt, Essigs. Uranoxy-  
 d-Zink 97; Essigs. Uranoxyd-Kadmium, Essigs. Uranoxyd-Kupfer 98;  
 Essig-salpeters. Strontian 99; Essigs. Kalk-Chlorcalcium 100.

#### Traubensäure und deren Salze . . . . .

Traubensäure 100; Traubensaures Ammoniak 102; Traubens. Kali 103;  
 Traubens. Kali-Ammoniak 104; Traubens. Natron 105; Traubens. Am-  
 moniak-Natron 106; Traubens. Kali-Natron, Traubens. Thallium 107;  
 Traubens. Lithion 109; Traubens. Ammoniak (Kali)-Lithion, Traube-  
 ns. Natron-Lithion 110; Traubens. Antimonoxyd-Kali 111.

#### Weinsäure und deren Salze . . . . .

Weinsäure 111; Weinsaures Ammoniak 116; Weins. Kali 119; Weins. K-  
 Ammoniak, Weins. Natron 122; Weins. Ammoniak-Natron 123; We-  
 ns.

Natron 124; Weins. Rubidium, Weins. Cesium, Weins. Thallium 127, Weins. Thallium-Natron 128; Weins. Lithion, Weins. Ammoniak-Lithion 130; Weins. Kali-Lithion 131; Weins. Baryt, Weins. Strontian 132; Weins. Ammoniak-Strontian 133; Weins. Kalk, Weins. Magnesia-Natron 136; Weins. Manganoxydul-Kali, Weins. Antimonoxyd, Weins. Antimonoxyd-Ammoniak 137; Weins. Antimonoxyd-Kali 138; Weins. Antimonoxyd-Rubidium, Weins. Antimonoxyd-Thallium 139; Weins. Antimonoxyd-Silber, Weins. Antimonoxyd-Natron, Weins. Antimonoxyd-Strontian 140; Weins. Antimonoxyd-Strontian und salpetersaurer Strontian, Weins. Antimonoxyd-Kali, Weins. Antimonoxyd-Kalk und salpetersaurer Kalk 141; Weins. Arsenoxyd-Ammoniak 142; Weins. Arsenoxyd-Strontian und salpetersaures Kali, Weins. Arsenoxyd-Strontian und salpetersaures Ammoniak 143.	
Citronensäure und deren Salze . . . . .	144
Citronensäure 144; Citronensaures Kali, Citronens. Ammoniak 145; Citronens. Natron 147.	
Äpfelsäure und deren Salze . . . . .	149
Äpfelsäure, Äpfelsaures Ammoniak 149; Äpfels. Kalk 150; Äpfels. Mangan 151.	
Organische Verbindungen, alphabetisch . . . . .	151
Acetamid, salpeters. Acetamid 154; Acetanilid, Aceton 152; Acetothiamid, Acetparatoluidid 153; Acetylchlorid, Aconsäure, Aesculetin, Aethenylsodi-phenylamidin 154; Aethylameisensäures, Aethyl. butters., Aethyl. essigs. 155; Aethyl. kohlenst., Aethyl. oxals., Aethyl. salpeters. 156; Aethylather 157; Aethylalkohol 158; Aethylamin, Aethylaminalaun, Aethylamin. oxals. 162; Aethylammonium-Goldchlorid 163; Aethylammonium-Kupferchlorid, Aethylammonium-Platinbromid, Aethylammonium-Platinchlorid 164; Aethylammonium-Quecksilberchlorid, Aethylammonium-Zinnchlorid, Aethylanilin, bromwasserstoffsäures, Aethylanilin. jodwasserstoffsäures, Aethylanilin-Kadmiumbromid 165; Aethylanilin-Zinnbromid, Aethylbenzhydroxamsäure 166; Aethylbromid 167; Aethylchlorid, Aethyl-chininjodid, Aethyljodid 168; Aethylen 169; Aethylenchlorid 170; Aethylenchlorid, Monochlor-, Aethylenchlorid, Dichlor-, Pentachlor-athan, Aethylendiamin, schwefelsäures 171; Aethylensulfocarbonat, Aethylenargentamin-Aethylidenammoniumnitrat, Aethylidenchlorid 172; Aethylidenchlorid, Monochlor-, Aethylphenylsemicarbazid, Aethylpipe-ridin-Platinchlorid, Aethylschwefelsaurer Baryt 173; Aethylschwefels. Kadmium 174; Aethylschwefels. Kali, Aethylschwefels. Kalk, Aethylschwefels. Kobalt 175; Aethylschwefels. kupfer, Aethylschwefels. Zink, Aethylsulfobenzoes. Ammoniak, Aethylweins. Kali 176; Manin. salpeters., Aldehyd 177; Aldehydammoniak, Allantoin 178; Alloxan, Alloxansäure, Allylaminbromid, chlorwasserstoffsäures, Amarin, schwefels. 172; Amidobenzoensäure, Ortho-, Amidoglycerinsäure, Amidohydro-zimmtsäure, Amidoisobuttersäure 180; Amidoisovaleramid, chlorwasser-stoffsäures, Amidoisovaleramid-Platinchlorid 181; Amidosulphenol, Ortho-, Orthodinitrobenzol, Orthodinitrotoluol, Amygdalin, Amylalko-hol 182; Amylaminalaun, Amylidenanilin, Amylsulfoharnstoff, Anemo-nin 183; Angelicasäure, Anilin 184; Anilin. oxalsäures, Anilin. salpeters., Anilin. bromwasserstoffs., Anilin-Kadmiumbromid 185; Anis-benzanishydroxylamin, Anisdibenzhydroxylamin, Anissäure, Anthracen 186; Anthracendisulfosaures Natron, Anthrachmon, Asaron, Asparagin 187; Asparaginsäure, Asparaginsaures Natron 189; Asparaginsäure,	

- chlorwasserstoffsäure, Aurin, Azobenzol 190; Azooxybenzol, Azophenylamin, chlorwasserstoffsäures 191.
- Barbitursäure 191; Base  $C^{19}H^{13}N$ , Benzamid 192; Benzanisbenzhydroxylamin 193; Dibenzanishydroxylamin, Anisdibenzhydroxylamin 194; Anisbenz-anishydroxylamin 195; Dianisbenzhydroxylamin, Benzdianishydroxylamin 196; Tribenzhydroxylamin 197; Benzenylisodiphenylamidin, Benzenylisodiphenylamidin, chlorwasserstoffsäures 198; Benzenyltolylsulfophenylamidin, Benzil 199; Benzimidothiäthyl, Benzodiphenylthiamid, Benzo- zoesäureanhydrid 200; Benzoessäure 201; Benzoesaures Ammoniak, Benzoës. Kalk, Benzoës. Glycol 202; Benzoës. Phenyl, Benzoësäure Aether, Benzol 203; Benzolhexachlorid, Benzolsulfinsäures Diazobenzol, Benzolsulfomonochloranilid 205; Benzoylbenzoessäure, Benzoylcyanid 206; Benzoylditolylamin, Benzoylmethylanilin, Benzoylsulfophenylimid- chlorid 207; Benzoylsuperoxyd, Benzyl, Benzylphenylhydracin, Benzylsulfid 208; Berberonsäure, Bernsteinsäureanhydrid, Bernsteinsäure 209; Bernsteinsäures Ammoniak, Bernsteins. Natron 210; Bernsteins. Magnesia 212; Bernsteins. Manganoxydul, Bernsteins. Strontian 213; Bernsteins. Kobalt, Betain, chlorwasserstoffs., Beta-Orcin, Bornes- kampher, Brenzweinsäure 214; Brenzweins. Kali, Brenzweins. Ammoniak, Brenzweins. Magnesia 215; Bromacetamid, Bromacetanilid 216; Bromacrylsäure, Bromacryls. Kali, Bromalid, Bromanilin, Para- 217; Bromanilin, chlorwasserstoffs., Brombrenzweinsäure, Bromchlorath 218; Bromchlorkohlenstoff, Bromcinchonin, Bromdichroinsäure, Bromdichromacin, Bromhydrotiglinensäure 219; Bromjodnitrophenol, Bromisatin 219; Bromkohlenstoff, Brommesitylensäure 220;  $\alpha$ -Brommesitylsaurer Baryt, Brommetasulphophenylpropionsäure, Para-, Brommetasulphophenylpropionsaurer Kalk, saurer (Para-) 221; Brommetasulphophenylpropion- Baryt, saurer, Bromnitrobenzoessäure 222; Bromnitrobenzoesäures Aethyl, Bromnitrobenzol, Meta-, Bromnitrodracylsaures Aethyl, Bromnitrophenol 223; Bromorthobromacetanilid, Bromorthonitrobenzoesaures Natron 224; Brucin, schwefelsäures, Buttersäure, Buttersaurer Baryt 225; Butters. Kalk-Baryt, Butters. Kupfer, Butylpiperidin-Platinchlorid, Iso- 226; Butylpiperidin-Zinnchlorid, Iso-, Butylschwefelsäure Baryt, Iso- 227.
- Caffein, Calophyllumharz 227; Campher, Camphocarbonsäure, Cantharidin 228; Chinasäure 228; Chinidin, Chinidin, chlorwasserstoffsäures, Chinin salpeters. 229; Chinin, schwefels., Chinin, saures selens. 230; Chinin, Schwefelcyanwasserstoff-, Chinon, Chloracetamid 231; Chloracetylbenzol, Chloräther 232; Chloral, Chloralalkoholat, Chloralhydrat, Chloralid 233; Chloranilin, Chloranilin, Chlorwasserstoff-, Chlorbenzol, Chlorbromnaphthalinbromid 234; Chlordinitrobenzol, Chlorisatin, Chlorkohlenstoff 235; Bromchlorkohlenstoff, Chlormilchsäure 236; Chlornaphthalinchlorid, Chlordibromnaphthalinchlorid, Chlornitrobenzol, Meta-, Chloroform 237; Chlorophyll, Chloroxaläthyltribromid, Chloroxaläthyl-Platinchlorid 238; Chloroxamäthan, Chlorsuccsäure, Cholelsäure 239; Cholesterin, Chrysen, Cinchonidin, Cinchonidin, chlorwasserstoffsaures 240; Cinchonin, Cinchonin, chlorwasserstoffsäures, Cinchoninchlorid, Cinchonintrijodid, Cinchonin, schwefelsäures 242; Cinchonin, überchlors., Cinchonin, rechtsweins. 242; Cinchonin, Schwefelcyanwasserstoff-, Cinchotenidin, Cinchotin, Citrabrombrenzweinsäure 243; Citraconsaurer Kalk, saurer, Citrodianil, Cocain 244; Codein 245; Codein, schwefelsäures, Columbin, Coniin, Chlorwasserstoff- 246; Coniin, brom-



wasserstoffsäures 247; Coniin, Jodwasserstoffs., Coniin, saures weinsäures 248; Copaivaharz, Crotonsäure, Cubeben-Kampher, Cumarin 249; Cuminsäure 250; Comolsulfonsäure, Pseudo-, Cyankrinyl, Cyanursäure 251; Cyanursäures Aethyl, Cyanurs. Methyl, Cyanylsäure, Cy-molsulfonsäure 252; Cytisin, salpetersäures 253.

Soxalsäures Aethyl 253; Diacetylhydrazobenzol, Diacetylphenolphthalein, Diäthoxalsäure, Diäthoxalsäurer Baryt, Diäthylammonium-Platinchlorid 254; Diäthylammonium-Platinbromid, Diäthylammonium-Zinnchlorid 255; Diäthylammonium-Goldchlorid, Diäthylanilin, bromwasserstoffsäures 256; Diäthylanilin-Zinnchlorid, Diäthylanilin-Zinnbromid, Diäthyl-Conydrin-Platinchlorid, Diäthyl-Conydrin, Jodwasserstoffsäures 257; Diäthylguanidin, chlorwasserstoffs., Diäthylguanidin-Platinchlorid 258; Diäthylphenylhydrazonbromid, Dianisbenzhydroxylamin, Diamidosulfobenzol, Meta- 259; Dibenzamid, Dibenzanishydroxylamin, Dibenzhydroxamsäures Aethyl 260; Dibenzoylphenylglycerins. Aethyl 261; Dibenzoylphenylglycerins. Methyl, Dibrombarbitursäure, Dibrombernsteins. Diäthyl 262; Dibrombernsteins. Dimethyl, Dibrombrenztraubensäure, Dibrombuttersäure 263; Dibromfluoren, Dibromhydrotiglinssäure 264; Dibromnaphthalintetrachlorid, Dibromnitrophenol, Dibromorthonitrophenol, Dibromphenyl, Para- 265; Dibrompropionsäure 266; Dichloracetamid, Dichloracetanilid, Dichloracetonsulfid von Natrium 267; Dichloracrylsäure, Dichloräthylenchlorid, Dichlornaphthalintetrabromid, Dichlornaphthalintetrachlorid, Dicyanamid, Dicyansäure 268; Diglycolsäure, Diglycolsäures Kali, Dimidoanisnitril, Dijodorthonitrophenol 269; Dimethyl, fumarisäures, Dimethyl, traubens., Dimethacrylsäure 270; Dimethylacryls. Kupfer, Dimethylamin, Dimethyläthylphenylammoniumjodid 271; Dimethyläthylphenylammonium-Zinkjodid, Dimethylamin-Goldchlorid 272; Dimethylamin-Platinbromid, Dimethylamin-Platinchlorid 273; Dimethylamin-Zinnchlorid, Dimethylanilin-Platinbromid, Dimethylanilin-Zinnchlorid, Dimethylguanidin, chlorwasserstoffsäures 274; Dimethylguanidin-Platinchlorid 275; Dimonobromphenyldichloräthylen, Dimonobromphenyltrichloräthan 276; Dimonochlorphenyldichloräthylen, Dinitranilin 277; Dinitrobenzoesäure, Dinitrobenzoesäures Natrium, Dinitrobenzol 278; Dinitrobromphenol 279; Dinitrochlorbenzol 280; Dinitrochlorphenol, Dinitrodimonochlorphenyltrichloräthan,  $\beta$ -Dinitrodiphensaurer Baryt 281; Dinitrodiphens. Methyl, Dinitrodiphenylbenzol, Dinitrodiphenylmethan, Iso- 282; Dinitrohephtylsäure, Dinitrojodbenzol 283; Dinitromesitylen, Dinitromethylhypogallussäure,  $\beta$ -Dinitronaphtalin,  $\alpha$ -Dinitroparadichlorbenzol 284; Dinitroparaxylol, Dinitrophenol, Dinitrotetrabrombenzol 285; Dinitrotoluol, Ortho-, Dinitrotribrombenzol 286; Dioxindol, Diparatylsulfobarnstoff,  $\delta$ -Diphenol 287; Diphen-säure, Diphenisäures Methyl 288; Diphen-s. Methyl, Iso-, Diphenyl, Diphenylamin, Diphenyldibromäthan, Diphenyldimethylbarnstoff 289; Diphenylketon, Diphenyltribromäthan 290; Diphenyltrichloräthylen 291; Disulfometholsäures Ammoniak, Ditolylnitrosamin, Ditolyltrichloräthan, Dulcit 292; Durol 294.

Erythrit 294; Eulyt 295.

Fluoranthen, Fluorenalkohol 295; Fucusin, salpetersäures, Fulminurs. Kali, Fulminurs. Ammoniak 296; Fulminurs. Baryt, Fulminurs. Strontian 297; Fumars. Ammoniak, Furfurin, Furfurin, salpetersäures 288; Furfurin, überchlors. 299.

Gallussäure, Glutaminsäure, chlorwasserstoffsäure, Glyceraminsäure 299; Glycerin, Glycin 300; Glycin, chlorwasserstoffsäures, Glycin, oxals. 301; Glycin, salpeters., Glycin, schwefels., Glycolsäure 302; Glycosamin 303, chlorwasserstoffsäures, Guanidin, kohls., Guanidin, schwefels. 303; Guanidin, milchs., Gurjunharz 304.

Haematoxylin 304; Harmalin, Harmin, Harnstoff, Harnstoff, äpfelsaurer 305, Harnstoff, bernsteins., Harnstoff, citronens. 306; Harnstoff, fumars., Harnstoff, galluss., Harnstoff, maleins. 307; Harnstoff, oxals., Harnstoff, parabrom-, 308; Harnstoff, salpeters., Harnstoff, weins., Harnstoff-Chlornatrium 309; Harnstoff-Salpeters. Silber, Harnstoff-Salpeters. Magnesia 310; Hemipinsäure, Hexabromacetone 311; Hexachlorbenzol, Hexäthyläthylendiphosphonjodid, Hexäthyläthylendiphosphonchlorid-Platinchlorid, Hexäthyläthylendiphosphonchlorid-Platinchlorid 312; Hexamethyläthylendiphosphonbromid, Hexerinsäure, Hippursäure 313; Hippursaurer Kalk 314; Homocinchonidin, Huanukin, Hydantoinensäure, Hydrindinsäure, Hydrobenzoinanhydrid 315; Hydrochinon 316; Hydrochinonmonoätherschwefelsaures Kali, Hydrocoerulignon, Hydrocyanalidin 317; B. Para-, Hydrocyanarbodiphenylimid, Hydrosantonid, Hydrosantonsäure, Hydroxyisovaleriansäure 318; Hydriilsaures Ammoniak, Hypocaffein 319.

Imidoisovaleronitril 319; Imidopropionitril, Indigblau, Indol, Iso-, Isoindol 320; Jodbuttersäure, Jodoform 321; Jodstibmethylum, Jodsuccinimide 322; Jodwasserstoff-Benzimidothialäther 323; Isäthionsaurer Baryt, Isatin, Isobuttersäure, Isomalsäure, Isobuttersaurer Baryt, Isobutylpiperidin 323; Isobutylschwefelsaurer Baryt, Isodinitrodiphenylmethan, Isodihydrobenzoinanhydrid, Isonitrophensäure, Isopropylamin, Isopropylperidin, Itabrombrenzweinsäure, Itaconanilsäure, Itaconsäureanhydrid 324; Itaconsäure 325.

Kaffein, Kakodylsäure, Kampher, Kampher, Borneo- 325; Kampherderivate 326; Kamphersäure 326; Kampherkohlenwasserstoff 327; Kampherkohlenwasserstoffchlorid 327; Kamphoronsäure, Oxy- 328; Kampherderivat  $C_9H_{12}O_6$  329; Kamphoronsäure, Hydrooxy-, Kampher, Morphinbrom-, Kampher, Dibrom-, Pimelinsäure 331; Kamphylsäure, Sulfo-, Kamphylsaures Blei-, Sulfo- 332; Kohlenwasserstoff  $C_{13}H_{18}$ , Kreatin 333; Kreatinin 334.

Lactonsaurer Kalk, Laricinsäure 334; Leucaurin, Lutidin-Platinchlorid 335.

Malamid, Maleinsäure 335; Maleinsäureanhydrid, Maleinsaures Natrium 336; Malonsäure, Malonsaures Kali 337; Malons. Kalk; Malon-, Kadmium, Malons. Kobalt 338; Malons. Kupfer, Malons. Mangan 339; Malons. Natron, saures, Malons. Zink, Malonaminsäure 340; Mandelsäure, Mannit 341; Maticocampher 342; Maynasharz, Melamin, Melanpyrin, Melanilin 343; Menthol, Mesaconsaurer Baryt, Mesitylsäure 344; Mesitylsulfonsäure, Metabromnitrobenzol, Metabromorthonitrobenzoesaures Natron, Metachlornitrobenzol, Metadinitrobenzol, Metanitril, Metanitrilbenzylchlorid, Metanitrilbenzoesäure, Metanitrilbenzylglyoxylamid, Metasantonin, Metasantonsäure, Metasulfophenylpionsaurer Baryt, Metaxylidin, Methan 345; Methenylorthophenylendianilin 346; Methyläther, Methylalkohol 347; Methyl, ameisensaures 348; Methyl, buttersaures, Methyl, citrons., Methyl, essigs., Methyl, oxals. 349; Methyl, propions., Methyl, salicyls., Methyl, valerians., Methylammonalaun, Methylammonium-Platinchlorid 350; Methylammonium-Zinnchlorid, Methylanilin-Kadmiumbromid, Methylanilin-Zinnbromid 351.



**Methylbromid**, **Methylchlorid**, **Methyljodid**, **Methylchininperjodidsulfat** 352; **Methylcrotonsäure**, **Methyldiäthylammonium-Platinchlorid**, **Methylkamphersäure** 353; **Methylnormeconsäure**, **Methylphenylharnstoffchlorid**, **Methylpiperidin**, **chlorwasserstoffsäures**, **Methylpiperidin-Goldchlorid**, **Methylschwefelsaurer Baryt** 354; **Methylschwefels. Kali**, **Methylstrychninhydrat**, **Methylumbellsäure** 355; **Methyluramin-Goldchlorid**, **Methyluramin-Platinchlorid** 356; **Milchsäure**, **Milchsaures Kupfer**, **Milchs. Zink**, **Milchzucker** 357; **Monobrombrenzweinsäure**, **Monobromkampher**, **Monochloracetamid**, **Monochloräthylenchlorid**, **Monochloräthylidenchlorid**, **Mononitroheptylsäure**, **Mononitrophenol**, **Morphin** 358; **Morphin**, **schwefelsaures**, **Morphin**, **valerians.** 359; **Myose**, **Myrocarpin** 360.

**Naphtalin** 360; **Naphtalin**, **pikrinsaures**, **Naphtalintetrachlorid** 364; **Naphtalintetrachlorid**, **Monochlor-**, **Naphtalintetrachlorid**, **Dibrom-**, **Naphtalintetrabromid**, **Chlorbrom-**, **Naphtalintetrachlorid**, **Monochlordibrom-** 362; **Naphtalintetrabromid**, **Dichlor-**, **Naphtalintetrachlorid**, **Dichlor-**, **Naphtionsaures Natron** 363; **Naphtionsaurer Kalk**, **Naphtions. Magnesia**, **Narcotin** 364; **Nicotin-Quecksilberchlorid**, **Nicotinsäure**, **chlorwasserstoffsäure**, **Nitranilin** 365; **Nitroacetanilid**, **Para-**, **Nitrobenzalchlorid**, **Meta-** 366; **Nitrobenzoesäure** 367; **Nitrobenzoesaurer Baryt**, **Ortho-**, **Nitrobenzoes. Baryt**, **Para-** 368; **Nitrobenz. Magnesia**, **Para-**, **Nitrobenzoes. Aethyl** 369; **Nitrobenzol**,  $\alpha$ -**Nitrochlorbenzoesäure** 371; **Nitrochlorphenol**, **Nitrocuminol**, **Nitrocuminsäure** 372; **Nitrodibrompropionsaures Aethyl**, **Nitrodijodbenzol**, **Nitroglycerin** 373; **Nitroheptylsäure**, **Mono-**, **Nitrohydrophenylpropionsaures Aethyl**, **Para-**, **Nitrodjodbenzol**, **Nitromannit**,  $\beta$ -**Nitromesitylsäure** 374; **Nitrometabromnitrobenzol**, **Nitrometachlornitrobenzol** 375; **Nitrometadibrombenzol**, **Nitroparadichlorbenzol** 376; **Nitromonobromzimmtsaures Aethyl**, **Para-**, **Nitroorthochlornitrobenzol**, **Nitronaphtalin-Silbersulfat** 377; **Nitrophenol**, **Para-**, **Nitrophensäure**, **Nitrophensaures Silber** 378; **Nitrophensäure**, **Iso-**, **Nitrophensaurer Baryt** 379; **Nitrophens. Aethyl**, **Iso-**, **Nitrophens. Natron**, **Iso-**, **Nitrophenphosphors. Kali** 380; **Nitrophenolsulfons. Natron** 381; **Nitrophenolsulfons. Kali**, **Nitrophenylbenzoesäure** 382; **Nitrophenylglyoxylamid**, **Meta-**, **Nitrosoäthylphenylharnstoff**, **Nitrosodimethylanilin** 383; **Nitrosoterpen** 384; **Nitrotoluidin**, **Nitrotoluol**, **Para-** 385; **Nitrotribrombenzol** 386; **Nitrozimmtsaures Aethyl**, **Ortho-**, **Nonäthylformyltriphosphinchlorid-Platinchlorid** 387.

**min**, **Orcin** 387; **Orcin**, **Beta-**, **Orthoamidbenzoesäure**, **Orthoamidosulphphenol**, **Orthodinitrobenzol**, **Orthodinitrotoluol**, **Orthodinitrobenzoesäure**, **Orthonitrodibrompropionsaures Aethyl**, **Orthothioameisensäure**, **Orthotolubenzaldehyd**, **Oxamid** 388; **Oxaminsaures Ammoniak**, **Oxaminsaures Aethyl**, **Oxykamphoronsäure**, **Oxybenzoesäure**, **Para-**, **Oxyinchomeronsäure** 389.

**verin**, **chlorwasserstoffsäures**, **Para-Azophenol**, **Parabansäure** 390; **Parabromacetanilid**, **Parabromanilin**, **Parabromorthobromacetanilid**, **Paradibromphenyl**, **Paradinitrobenzol**, **Parahydrocyanalidin**, **Paranitranilin**, **Paranitroacetanilid**, **Paranitrobenzoesäure**, **Paranitrodibrompropionsäure**, **Paranitrophenol**, **Paraoxybenzoesäure**, **Parasantonid**, **Parasantoninsäure**, **Paratartramid**, **Paratoluidin**, **Paratolyhydracin**, **Paratolyphenylketon**, **Paratolyurethan** 391; **Patschoulikampher**, **Pentabromacetone**, **Pentabromorcin**, **Pentabromresorcin** 392; **Pentachloräthan**, **Perchloräther**, **Phenol**, **Phenoldisulfosaures Kali** 393; **Phenoldisulfos.**

Ammoniak, Phenoldisulfos. Baryt 394; Phenolmetabrombenzoesäure, Phenolparasulfos. Kali, Phenolparasulfos. Kupfer 395; Phenolparasulfos. Natron 396; Phenolparasulfos. Mangan, Phenolparasulfos. Zink 397; Phenolschwefels. Kali, Phenylacetyldiamin, unterschwefligsaures, Phenylharnstoff 398; Phenylmonobrompropionsäure, Phenyldibrompropionsäure, Phenyldibrompropionsäures Methyl 399; Phenyldibrompropionsäure. Aethyl, Phenyl-Thiosinamin, Phenylxanthogenamid 400; Phloretinsäure, Phlorobromin, Phosphäthyljodid, Phosendinitrophenol, Pikrinsäure 401; Phenoxydinitrophenol, Photosantonsäure, Phtalsäureanhydrid 402; Phtalsäure, Phtalsäures Ammoniak, saures Phtalyläthylhydroxylamin 403; Phtalylchloridderivate, Picolinsäure-Ammoniak 404; Picolinsäure. Magnesia, Picolinsäure, chlorwasserstoffsäure, Picolinsäure, Chlorwasserstoff — Platinchlorid 405;  $\alpha$ -Picolin-Platinchlorid, Pikramid 406; Pimelinsäure, Piperidin, chlorwasserstoffsäures Piperidin, oxalsäures, Piperidinsulfocarbonat 408; Piperidin-Platinchlorid, Piperidin-Harnstoff-Platinchlorid 408; Piperidin-Goldchlorid, Piperidin-Zinnchlorid, Piperin 409, Piperin-Chlorwasserstoff-Quecksilberchlorid, Propionsäure 410; Propionsäurer Baryt, Propionsäure. Baryt-Kalk, Propionsäure. Baryt-Strontian, Propionsäure. Blei-Kalk, Propionsäure. Baryt-Magnesia, Propionsäure. Blei-Magnesia 411; Propionsäure. Kupfer-Propylammonium-Goldchlorid, Propylammonium-Platinchlorid 412; Propylammonium-Quecksilberchlorid, Propyljodid, Propylpiperidin-Platinchlorid, Iso- 414; Propylpiperidin-Zinnchlorid, Proteinstoffe 415; Pseudocumolsulfonsäure, Pseudotropin-Platinchlorid 416.

Quercit 416.

Ratanhin, chlorwasserstoffsäures 416; Ratanhin, schwefelsäures, Resorcin 417; Resorcinmonoätherschwefels. Kali, Rhodallin, Rohrzucker 418; Rohrzucker-Chlornatrium 422.

Sacharin, Safranin 422; Salicin, Salicylaldehyd 423; Salicylsäure 424; Salicylsäures Ammoniak, Salicylsäure. Methyl, Salicylsäure. Silber, Salicylsäure. Zinn 425; Santonin, Isomere des Santonins 426; Santonsäure 428; Santonsäure. Natron, Santonsäure. Methyl, Santonsäure. Aethyl 429; Santonsäure. Benzyl, Santonylchlorür, Santonylbromür 430; Santonsäure, Meta-, Santonsäure. Methyl, Meta- 431; Santonylchlorür, Meta-, Santonsäure, Para-, Santonsäure. Methyl, Para-, Santonsäure. Aethyl, Para- 432; Santonsäure, Photogen, Santonid, Hydro-, Santonsäure, Hydro-, Santonsäures Kali, Hydro- 433; Santonsäure. Natron, Hydro-, Sarcosin, Schleimsäures Natron, Selenodiglycolsäure 434; Senfol, Senfolessigsäure, Serin 435; Sinamin, Sorbin, Spartein, Chlorwasserstoff-Spartein-Platinchlorid, Chlorwasserstoff-Spartein-Quecksilberchlorid, Strychnin 436; Strychnin, schwefelsäures 437; Strychnintrijodid, Styphninsäures Ammoniak 439; Styphninsäure. Kupfer-Ammoniak 440; Succinylbernsteinsäure. Diäthyl, Sulfamin, Ammoniak, saures 441; Sulfanilsäure. Baryt, Sulfanilsäure. Natron, Sulfhydantoin 442; Sulfobenzaminsäures Aethyl, Sulfokamphylsäure, Sulfotriäthylallylphosphodiamin 443; Sulfotriäthylphenylphosphodiamin, Sulfocamphylsäurer Baryt, Sulfophenylpropionsäure. Baryt, saurer (Meta-) 444.

Tartramid 445, Tartraminsäure, Taurin 446; Tellurmethyljodid, Terpinol 447, Terpin 448; Tetracetylchinasäureäther, Tetrachlorbenzol 450; Teträthyläthylphosphaminchlorür-Platinchlorid, Teträthylammonium-Goldchlorid, Teträthylammonium-Kupferchlorid 451; Teträthylammonium-Platinchlorid, Teträthylammonium-Quecksilberchlorid 452; Teträthylammoniumtrijodid 453; Teträthylphosphonium - Platinchlorid

Teträthylphosphonjodid 455; Tetramethylammoniumjodid, Tetramethylammoniumjodochlorid, Tetramethylammoniumtrijodid 456; Tetramethylammoniumpentajodid, Tetramethylammonium - Goldchlorid, Tetramethylammonium - Kupferchlorid 457; Tetramethylammonium-Platinchlorid, Tetramethylammonium-Platinbromid, Tetramethylammonium-Quecksilberchlorid 458; Tetramethylammonium, chromsaures, Tetramethylammonium, dichromsaures, Tetramethylantimonjodid, Tetramethylammoniumjodid 460; Tetramethylammonium, salpetersaures, Thein-Quecksilbercyanid, Thialdin 464; Thialdin, chlorwasserstoffsäures, Thialdin, schwefels. 462; Thioameisensäure-Benzyläther, Ortho-, Thiodiglycolamid, Thiosinnamin 463; Thiosinnamin-Jodäthyl 464; Thiosinnamin, Phenyl-, Thiosinnaminjodochlorür 465; Thiosinnaminindijodür, Thiosinnaminindibromür 466; Thiosinnäthylamin-Platinchlorid 467; Thymol, Tolantetrachlorid, Tolubenzaldehyd, Ortho- 468; Toluidinchlorid, Toluidin, salpetersaures 469; Toluidin-Zinnchlorid, Para-, Toluol 470; Toluolparasulfosäure-Paratoluid, Toluolorthosulfamid, Toluolsäure 474; Tolyhydracin, Para-, Tolyphenylketon, Para- 472; Tolyurethan, Para- 473; Traubenzucker, Traubenzucker-Chlornatrium 474; Traubenzucker-Bromnatrium, Trehalose, Triacetondiamin, saures, oxalsaures, Triäthyläthylenbromür - Arsonbromid 475; Triäthyläthylenbromür - Phosphonbromid, Triäthyläthylenbromür - Phosphonchlorid - Platinchlorid, Triäthyläthylenphosphammonchlorür-Platinchlorid 476; Triäthyläthyl-oxidyphosphonchlorür - Platinchlorid, Triäthylamin, saures oxalsaures, Triäthylamin, salpetersaures, Triäthylammonium-Goldchlorid 477; Triäthylammonium - Kupferchlorid, Triäthylammonium - Platinchlorid 478; Triäthylammonium-Platinbromid, Triäthylammonium-Quecksilberchlorid 479; Triäthylbenzylammoniumperjodid 480; Triäthylglycin-Platinchlorid, Triäthylmethylphosphonchlorür - Platinchlorid, Triäthylphosphinoxychlorür - Platinchlorid 484; Triäthylphosphinoxyd - Zinkjodid, Triäthylphosphin - Platinchlorür 482; Triäthylphosphinsulfid, Triäthylphosphinsulfocarbonat, Triäthylselenchlorid-Platinchlorid 483; Tribenzhydroxylamin, Tribenzylamin, Tribenzylamin - Alaun, Tribenzylamin-Platinchlorid 484; Tribenzylamin, chlorwasserstoffsäures, Tribenzylamin, salpeters., Tribenzylamin, schwefels., Tribromacetamid, Tribrommesitylen 485; Tribrommilchsäure-Chloralid, Trichlormilchsäure-Bromalid, Tribromnaphtalintetrabromid, Tribromphenolbenzoat 486; Trichloracetamid, Trimethyläthylenbromür-Phosphonbromid, Trimethyläthylammoniumpentajodid, Trimethylamylammoniumtrijodid 487; Trimethylaminalaun, Trimethylamin, oxalsaures (saures), Trimethylammonium - Goldchlorid 488; Trimethylammonium - Kadmiumbromid, Trimethylammonium - Kadmiumchlorid, Trimethylammonium - Kupferchlorid 489; Trimethylammonium-Platinbromid, Trimethylammonium-Platinchlorid, Trimethylammonium-Quecksilberchlorid 490; Trimethylammonium - Zinnchlorid, Trimethylglycolammoniumchlorid 492; Trimethylphenylammonium - Zinkjodid, Trimethylphenylammonium, trichromsaures 493; Trinitranisol, Trinitrobenzoesäure, Trinitrobenzol, Trinitrochlorbenzol 494; Trinitrodiphenylbenzol, Trinitromesitylen, Trinitrophenol 495; Trinitrophensaures Ammoniak, Trinitrophens. Kali 496; Trinitrophens. Thallium, Trinitrophens. Strontian, Trinitrophloroglucin, Trinitrotoluol 497; Triphenylamin, Triphenylbenzol 498; Tropidin-Platinchlorid 499; Tropin-Platinchlorid, Tyrosin, chlorwasserstoff-500; Tyrosin, schwefelsaures 504.

	Seite
Valeral, Valeriansäure 504; Valeriansaures Aethyl, Valerians. Amyl, Valerians. Methyl, Valerians. Kupfer 502; Vanillin, Violursäure 503.	
Xanthoxylin, Xylidin, chlorwasserstoffsäures, Meta- 503.	
Zimmtsäure, Zimmtsäures Aethyl 504; Zinndiäthylchlorid, Zinndimethylchlorid, Zinndimethyl-Platinchlorid 505; Zinndimethyl, ameisensäures, Zinndimethyl, schwefels., Zinndipropylchlorid 505; Zinnphenylchlorid, Zinntriäthyl, schwefels., Zinntriäthyl, selen. 507; Zinntrimethyl, schwefels., Zuckersaures Kali, saures 508.	
Nachträge . . . . .	509
Acetylorthoamidobenzoesäure, Aethylammonium-Quecksilberchlorid 509; Aethylparatolylsulfon, Aethyltrimethylammonium-Goldchlorid, Aethyltrimethylammonium - Kupferchlorid 510; Aethyltrimethylammonium-Platinchlorid, Aethyltrimethylammonium-Quecksilberchlorid 511; Amidodimethylpropionsaures Kupfer 512; Amidodimethylpropionsäure-Platinchlorid, Amidotrimethyloxybutyronitril, Atropin-Platinchlorid 513.	
Benzaldiacetonamin, Benzylidenphenyldiamin-Chlorwasserstoff, Bromphenylessigsäure, Ortho- 514; Butylaldehydammoniak, Iso- 515.	
Carboamidosulfoessigsäures Kali, Cumarin, buttersaures 515; Cumarin, propionsaures 516.	
Daturin, Diacetonalkamin-Platinchlorid, Diäthylammonium-Quecksilberchlorid 516; Dibrompyroxanthintetrabromid 517; Dijodnitrobenzol, Dimethylammonium-Goldchlorid, Dimethylammonium-Kupferchlorid 518; Dimethylammonium-Platinbromid, Dimethylammonium-Platinchlorid, Dimethylammonium-Quecksilberchlorid 519; Dimethyldiäthylammonium-Goldchlorid 520; Dimethyldiäthylammonium-Quecksilberchlorid 521.	
Formobromanilid 523.	
Hyoseyamin-Platinchlorid 523.	
Methylammonium-Goldchlorid 523; Methylammonium-Kupferchlorid, Methylammonium-Quecksilberchlorid 524; Methylorthoxyphenylacrylsäure 525; Methylorthoxyphenylangelicasäure, Methylorthoxyphenylcrotonsäure 526; Methyltriäthylammonium-Goldchlorid, Methyltriäthylammonium-Kupferchlorid, Methyltriäthylammonium-Platinchlorid, Methyltriäthylammonium - Quecksilberchlorid 527; Methyltriäthylphosphonchlorid 529.	
Nitrophenylessigsäure, Ortho- 529.	
Propylbenzoesäure, Iso-, Pyren 529; Pyroxanthin 530.	
Sulfobenzoesäures Kali-, Ortho- 530.	
Thiobenzoesäures Benzyl, Thiobenzolsulfonsaures Phenyl 530; Thiotolylsulfonsaures Toly, Para-, Tribromchloraceton, Tribromnitrobenzol, Tritoluylen 531.	
Verbesserungen . . . . .	

## Cyan und Cyanverbindungen.

### Cyan. CN.

Verdichtung. Bussy gelang es, mit Hilfe flüssiger schwefliger Säure das C. flüssig und fest darzustellen. Serullas und Oersted wandten Druck an. Nach Bunsen wird es bei  $-25^{\circ}$  bis  $-30^{\circ}$  flüssig und erstarrt einige Grade tiefer; der Siedepunkt des flüssigen ist  $-20^{\circ},7$  bei 750 mm. — Bunsen: Pogg. A. 46, 97.

Nach Faraday ist das V. G. des flüssigen = 0,866.

Bunsen fand die Dampfspannung des flüssigen

bei $-20^{\circ}$	= 800 mm	+ $5^{\circ}$	2440 mm	= 3,2	Atm.
- 15	= 4100	-	+ 10	2880	- = 3,8 -
- 10	= 1410	-	+ 15	3330	- = 4,4 -
- 5	= 1730	-	+ 20	3800	- = 5 -
- 0	= 2070	=			2,7

Untersuchungen gleicher Art liegen von Faraday vor. — Pogg. A. Erzd. 2, 193.

Verdichtung durch Kälte. — Loir und Drion: Bull. Soc. ch. 1860. Durch Druck Hofmann: Ber. d. ch. G. 1870, 663.

Nach Regnault ist die Abweichung des C. vom Mar. Gesetz bei einem Druck bis zu 2 Atm. = 1,02353.

Reibungscoefficient. — Meyer: Pogg. A. 143, 14. 448, 526.

Optisches. Das Brechungsvermögen ist nach Dulong = 2,832, wonach  $n = 1,000834$  und  $n^2 - 1 = 0,001668$ .

Nach Croullebois ist  $n$

für weisses Licht (Mittel)	= 1,000829
- d. Linie C	804
- - - E	834
- - - G	895

und die Dispersion = 0,1094. — Ann. Ch. Phys. (4) 20, 136. S. ferner Ketteler: Pogg. A. 124, 390.

Der Brechungsexponent des flüssigen Cyans ist nach Brewster = 1,316, nach Bleekrode = 1,325.

Das durch seine sehr deutliche Zusammengesetztheit ausgezeichnete Bandenspectrum der Cyanflamme beobachteten schon Faraday. Her-

schel und Talbot, dann Draper, Böttger und Attfield. Später untersuchten es Dibbitts und Wüllner genauer. — Pogg. A. 422, 444, 517.

Die Zersetzung durch Elektrizität beschrieben Buff und Hofmann. Ann. Ch. Ph. 113, 429.

Vergl. auch Andrews und Tait Proc. R. Soc. 40, 427. — Berthelot: C. r. 82, 1360.

Bildungs- und Verbrennungswärme. — Berthelot: C. r. 78, 1085.

Absorption durch Kohle. Hunter: Phil. Mag. (4) 25, 364. J. Soc. (2) 9, 76. 40, 649. Melsens (welcher dadurch das Cyan flüssig stellte): C. r. 77, 784.

### Cyanwasserstoff. HCy.

Das V. G. des flüssigen ist bei 20,2 = 0,706 Cooper.

Die Dampfspannung der verdünnten Säure untersuchten Buignot und Buignet: Ann. Ch. Phys. (4) 3, 245.

Dieselben prüften die T.- und Volumänderungen beim Vermischen S. mit Wasser. A. a. O. 234, 240.

Das Brechungsvermögen des Gases ist nach Dulong = 1,534 Mascart = 1,49, wonach  $n = 1,000451$  und  $n^2 - 1 = 0,000903$ .

Cooper bestimmte das Brechungsverhältniss  $\mu^*$

für Linie A (äusserstes Roth) = 1,2705

- - - H (äusserstes Violett) = 1,2804

bei 22°. Daraus die Dispersion = 0,0035. Phil. Mag. (3), 44, 186.

Buignot und Buignet: A. a. O. 234.

Bildungs- und Verbrennungswärme s. Cyan.

Neutralisationswärme Thomsen: Pogg. A. 438, 211. — Berthelot: C. r. 73, 448.

### Cyanverbindungen (\*\*).

#### Einfache Cyanide.

#### Cyanammonium. AmCy.

Regulär.

Gas-Volumgewicht bei 100° = 41,4 Deville. (4 Vol.) = 41.

Bildungs- und Lösungswärme. — Berthelot: C. r. 73,

— — — — —  

$$*) \mu = \frac{\sin \frac{1}{2} D + J}{\sin \frac{1}{2} J}, \text{ wo } J \text{ der Brechungswinkel des mit der Substanz getragenen Prismas, und } D \text{ den Winkel zwischen dem einfallenden und austretenden Strahl bezeichnet.}$$

\*\*) Als solche sind nur die Cyanmetalle in Betracht gezogen.

**Cyankalium. KCy.**

Regulär. Würfel und Oktaeder.

Volumgewicht 4,52 Boedecker.

Elektrolyse. Die Produkte sind HKO, CO<sup>2</sup> und NH<sup>3</sup>. Schlagdenhauffen.

Thermochemisches. Berthelot: S. o. und 78, 1085.

**Cyansilber. AgCy.**

Volumgewicht 3,943 Giesecke, 3,988 Schröder.

Bildungswärme. — Berthelot: C. r. 77, 388.

**Cyankupfer. (Kupfercyanür.) Cu<sup>2</sup>Cy<sup>2</sup>.**Zwei- und eingliedrig.  $a : b = 1,67 : 1$  Dauber.

$$o = 64^{\circ} 34'$$

 $p, a, c.$ 

Beobachtet

$$p : p = 68^{\circ} 33'$$

$$c = 109 \ 44$$

$$(a : c = 118 \ 26)$$

Stark glänzende lichtbrechende Prismen, vollkommen spaltbar nach  $c$ . Werden beim Erhitzen weiss, undurchsichtig. — Ann. Ch. Ph. 74, 206. 78, 370.

**Cyanquecksilber. HgCy<sup>2</sup>.**Viergliedrig.  $a : c = 1 : 0,4596$  De la Provostaye. $o, d^2, a, c.$  Berechnet

Beobachtet

De la Provost.

Haidinger

Brooke

$$\begin{array}{l}
 o \left\{ \begin{array}{l} 2A = \\ 2C = 66^{\circ} \ 2' \end{array} \right. \\
 d^2 \left\{ \begin{array}{l} 2A = 122 \ 50 \\ 2C = 85 \ 40 \end{array} \right. \\
 a : o = 112 \ 40 \\
 d^2 = 132 \ 35
 \end{array}$$

$$134^{\circ} \ 40'$$

$$134^{\circ} \ 36'$$

$$66 \ 8$$

$$122 \ 46$$

$$85 \ 47$$

$$112^{\circ} \ 40'$$

$$132 \ 45$$

Fig. 1.

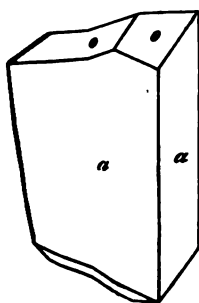


Fig. 2.

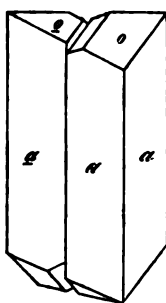
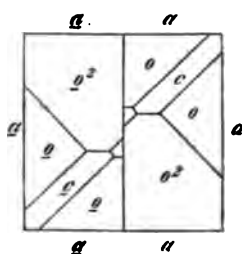


Fig. 3.



Oft ist in der Endigung nur  $d^2$  als Tetraeder vorhanden. Oder von den  $o$  ist eine tetraedrische Hälfte mehr oder weniger vorherrschend. Auch wohl nur drei Flächen  $o$  finden sich. — Fig. 1.

Oefter sind zwei Krystalle der letzten Art mit einander verwachsen, wobei dann  $c$  parallel einem  $o$  gestreift ist, und die  $d^2$  horizontale Kanten mit  $o$  bilden. — Fig. 2, 3. — Brooke: Ann. Phil. 22, 43. — De la Provostaye: Ann. Ch. Phys. (3) 6, 159. — Haidinger: Ed. J. Soc. 3, 65.

Volumgewicht 4,011 Schröder, 4,026 bei 46° Clarke.  
Thermochemisches. — Berthelot: S. o.

**Cyanquecksilber-Salpetersaures Silber.**  $2\text{AgNO}_3 + \text{HgCy}^2$ .

Zweigliedrig.  $a : b : c = 0,6473 : 1 : 0,447$  Hahn.

$o, p, q, b, c$ .

Beobachtet

$$p : p = 114^\circ 10'$$

$$q : q = 131^\circ 50'$$

Spaltbar nach  $b$  und  $p$ . — Arch. Pharm. (2) 97, 44.

**Thalliumcyanürcyanid.**  $\text{Ti}^2\text{Cy}^4$ .

Zweigliedrig.  $a : b : c = 0,98 : 1 : 1,53$  Moesta.

$o$ .

Beobachtet  $2A = 100^\circ 55'$ ,  $2B = 99^\circ 3'$ , wonach  $2C = 130^\circ 47'$  (beobachtet  $126^\circ 8'$ ). — Ber. d. chem. G. 1878, 91.

Ist vielleicht viergliedrig. S. Groth: Ztschr. 5, 653.

## Doppelcyanide.

**Kalium-Silbercyanid.**  $\text{KCy} + \text{AgCy}$ .

Regulär. Oktaeder.

**Kalium-Quecksilbercyanid.**  $2\text{KCy} + \text{HgCy}^2$ .

Regulär. Oktaeder.

Volumgewicht 2,462 bei 21°,5 Clarke.

**Kalium-Kadmiumcyanid.**  $2\text{KCy} + \text{CdCy}^2$ .

Regulär. Oktaeder.

**Kalium-Zinkcyanid.**  $2\text{KCy} + \text{ZnCy}^2$ .

Regulär. Oktaeder.

Brechungsexponenten. Grailich: Kryst.-opt. Unters. S. 127.

**Kalium-Kupfercyanür.**

$1\ 2\text{KCy} + \text{Cu}^2\text{Cy}^2$ .

Zwei- und eingliedrig.  $a : b : c = 0,9482 : 1 : 0,9645$ . Rammelsberg.  
 $o = 77^\circ 8'$ .

\* Das Thalliumsals soll Tetraeder zeigen: ebenso das Quecksilbersalz. — Frommüller Ber. d. ch. Ges. 1878, 91.



$q, 2r, 2r', c.$	Berechnet	Beobachtet
$o : o =$	$418^{\circ} 24'$	
$p : p =$		$*94^{\circ} 30'$
$c =$		$*99 \ 25$
$q : q =$	$93 \ 32$	$93 \ 30$
$c =$	$436 \ 46$	$436 \ 30$
$c : 2r =$	$426 \ 43$	$426 \ 36$
$2r' =$		$*105 \ 25$
$p : 2r =$	$432 \ 23$	$432 \ 0$
$2r' =$	$430 \ 47$	$430 \ 42$
$o : c =$	$434 \ 54$	$432 \ 4$
$p =$	$447 \ 34$	$447 \ 22$

natisch nach der Verticalzone.

2)  $6 \text{ K Cy} + \text{Cu}^2 \text{Cy}^2.$

- und eingliedrig.  $a : b : c = 0,833 : 4 : 0,5984$  Rammels-  
 $o = 74^{\circ} 20'.$

$q^2, c.$	Berechnet	Beobachtet
$o : o =$		$*434^{\circ} 40'$
$p : p =$		$*102 \ 32$
$c =$		$*102 \ 40$
$q^2 : q^2 =$	$81^{\circ} 54'$	
$o : c =$	$442 \ 59$	$444 \ 40$
$p =$	$439 \ 44$	$440 \ 30$

aboeederähnliche Combinationen  $pc$ , an denen  $o$  und  $q^2$ , die Flächen  
 $t$ , nicht sonderlich glänzend sind. — Pogg. A. 106, 494.  
sches Verhalten. — Grailich: Kryst.-opt. Unters. 129.

**Kalium-Nickelcyanid.** ( $2 \text{ K Cy} + \text{NiCy}^2 + \text{aq.}$

- und eingliedrig.  $a : b : c = 1,9465 : 4 : 2,3453$  Rammels-  
 $o = 72^{\circ} 50'.$

$a, c.$	Berechnet	Beobachtet
$p : p =$		$*56^{\circ} 32'$
$c =$	$98^{\circ} \ 2'$	$97 \ 58$
$q : q =$	$48 \ 6$	$48 \ 32$
$c =$		$*114 \ 3$
$a : c =$		$*107 \ 40$

prismatisch nach  $p$ . Zwillinge nach  $a$ , so dass die  $c$  einen ein-  
den Winkel  $= 445^{\circ} 40'$  bilden.

gelb. Verticalstreifung auf  $p$ , diagonale auf  $c$ . — Pogg. A. 90. 35.  
ne der optischen Axen senkrecht auf  $ac$ . Starke Dispersion,  
Axenwinkel etwa  $20^{\circ}$ . Grailich.  
umgewicht 4,873 Clarke.

**Baryum-Nickelcyanid.** ( $\text{Ba Cy}^2 + \text{NiCy}^2 + 3 \text{ aq.}$

- und eingliedrig.  $a : b : c = 0,8713 : 4 : 0,4959$  Handl.  
 $o = 75^{\circ} 22'.$

$p, q, a.$	Berechnet	Beobachtet
$p : p =$	$99^{\circ} 44'$	$99^{\circ} 45'$
$a =$		$*139 \ 52$
$q : q =$	$128 \ 44$	$128 \ 55$
$a =$		$*103 \ 40$
$p =$	$\begin{cases} 136 \ 28 \end{cases}$	$*84 \ 0$

Die Flächen meist etwas gebogen. — Wien. Ak. Ber. 32.

**Strontium-Nickelcyanid.**  $(\text{Sr Cy}^2 + \text{Ni Cy}^2) + x \text{aq.}$

Zwei- und eingliedrig.  $a : b : c = 4,524 : 4 : 4,194$  Handl.  
 $o = 78^{\circ} 49'.$

$o, p, a, c.$	Berechnet	Beobachtet
$o : o =$		$*99^{\circ} 37'$
$p : p =$		$*67 \ 39$
$c =$		$*96 \ 42$
$a : c =$	$104^{\circ} 41'$	
$o : c =$	$129 \ 25$	
$p =$	$146 \ 47$	

**Ammonium-Eisencyanür.**  $(4 \text{ Am Cy} + \text{Fe Cy}^2) + 3 \text{aq.}$

Isomorph dem Kaliumsalz.

$p : p = 136^{\circ} 45' \quad p : b = 144^{\circ} 34'.$

**Kalium-Eisencyanür.** (Gelbes Blutlaugensalz.)

$(4 \text{ K Cy} + \text{Fe Cy}^2) + 3 \text{aq.}$

Zwei- und eingliedrig.  $a : b : c = 0,3962 : 4 : 0,4008$  Wyb.  
 hoff.  $o = 89^{\circ} 27'.$

$s' = a' : \frac{1}{2} b : c. — p, q, r, r', b.$

	Berechnet	Beobachtet	
		Wyrouboff	Bunsen Brooke
$s' : s' =$	$121^{\circ} 44'$		
$p : p =$		$*136^{\circ} 53'$	$136^{\circ} 22' \quad 137^{\circ}$
$b =$	$111 \ 33,5$		$111 \ 52 \quad 111 \ 30'$
$q : q =$		$*136 \ 19$	
$r : r' =$	$90 \ 55$		
$p : r =$	$140 \ 44$		
$r' =$	$139 \ 33$	$139 \ 53$	
$q : r =$	$134 \ 44$	$134 \ 30$	
$r' =$		$*134 \ 10$	
$s' : b =$	$119 \ 23$	$120 \ 34$	$119 \ 40 \quad 119 \ 9$

Fig. 4. — Sehr vollkommen spaltbar nach  $b$ .

Lange für eingliedrig,  $b$  für die Endfläche gehalten.

Optisches Verhalten. — Die Krystalle zeigen eigenthümliche Erscheinungen, sie verhalten sich bald wie einaxig, bald wie zwei- Des Cloizeaux gelangte schliesslich zu dem Resultat, sie seien doc

Berechnet	Beobachtet			
	Bunsen	Murmann	Rammelsb.	Des Cloiz.
$\sigma' : \sigma' = 116^\circ 52'$				
$\sigma' : s' = 78 \ 46$				
$p : p = 99^\circ 40'$				
$a = 439 \ 50$	439 44	439 57		
$b = 430 \ 40$	430 7	430 48	430 28'	
$q : q = 404 \ 6$	404 0			
$b = 427 \ 57$	427 58	427 45		
$r : r' = 94 \ 34$			93 56	
$r : a = 436 \ 48$				
$r' : a = 428 \ 38$				
$a : c = 97 \ 34$				
$p : q \left\{ \begin{array}{l} = 418 \ 33 \\ = 408 \ 30 \end{array} \right.$	118 35 408 30	418 40 408 36		
$r = 423 \ 51$	423 44	423 49		
$r' = 418 \ 30$	418 22	418 35	118 46	
$q : r = 427 \ 39$	427 45			
$r' = 423 \ 5$	423 0	423 5		
$\sigma' : r' = 448 \ 26$	448 30			448 26'
$s' : b = 440 \ 52$				442 (142° Wyr.)
$r' = 429 \ 8$	429 5			428 (Wyrub.)
$q = 445 \ 44$				444 (Des Cl.)

Fig. 6. — Tafelartig nach  $b$ , auch wohl nach  $r$ . — Bunsen: Pogg. A. 36, 443. — Murmann: Wien. Ak. Ber. 34. — Des Cloizeaux: Nouv. Rech. — Wyruboff: S. o.

Spalther nach  $p$ .

Ebene der optischen Axen =  $ac$ ; Doppelbrechung nicht bedeutend, positiv; die Mittellinie liegt zwischen den Normalen auf  $r$  und  $a$ , und bildet mit jener einen Winkel von  $27^\circ$ . Eine Platte, parallel der Mittellinie geschnitten, gab den stumpfen Axenwinkel in Öl =  $104^\circ 53'$  ( $q < v$ ), also den wahren =  $99^\circ 0'$ ; eine solche, senkrecht zur Mittellinie geschnitten, gab den spitzen Axenwinkel =  $84^\circ 56'$ , also den wahren =  $80^\circ 44'$ . Murmann.

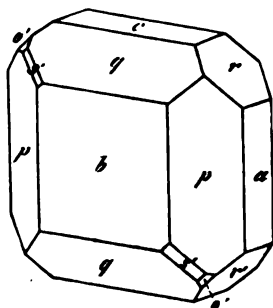
Die Dispersion der Axen ist (in Öl) schwach:

$q > v$ ; die geneigte Dispersion zeigt sich in den Farben der Hyperbeln.

Die Mittellinien der rothen und blauen Axen divergiren um  $0^\circ 27'$ . Bei

	rothen	gelben	blauen Axen
Die Mittellinien der			
mit einer Normalen auf die vord. Fl. $a$	45° 46'	45° 40'	44° 49'
auf $r$	27 56	28 2	28 23
auf Kante $\frac{q}{q}$	67 40	67 46	67 37
auf das hintere $r'$	113 22	113 28	113 49

Fig. 6.



$$2H_a = \begin{cases} 85^\circ 39' \\ 85^\circ 37' 30'' \\ 85^\circ 23' 30'' \end{cases}, \text{ woraus } 2E = \begin{cases} 170^\circ 27' \text{ Roth} \\ 172^\circ 9' \text{ Gelb} \\ \text{Totale Blau} \\ \text{Reflex. in Luft} \end{cases}$$

$$2H_o = \begin{cases} 104^\circ 4' \text{ Roth} \\ 104^\circ 24' \text{ Gelb} \\ 105^\circ 20' \text{ Blau.} \end{cases}$$

Mit Hilfe des scheinbaren Winkels berechnet sich

$$2V = \begin{cases} 81^\circ 32' & \beta = 1,526 \text{ Roth} \\ 81^\circ 25' & 1,529 \text{ Gelb} \\ 80^\circ 55' & 1,544 \text{ Blau Des Cloir} \end{cases}$$

Vergl. Wyrouboff.

### Ammonium-Lithium-Eisencyanür und Kalium-Lithium-Eisenc



Zwei- und eingliedrige, z. Th. wenig deutliche Krystalle. — Wyrouboff: Ann. Ch. Phys. (4) 24, 274.

### Baryum-Eisencyanür. $(2\text{BaCy}^2 + \text{FeCy}^2) + 6\text{aq}.$

Zwei- und eingliedrig.  $a : b : c = 1,0457 : 1 : 0,9534$  Wyrouboff  
 $\alpha = 72^\circ 44'.$

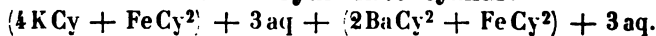
$n' = a' : 2b : c. — q, r, r', a, b.$

	Berechnet	Beobachtet.
$n' : n' =$	$135^\circ 44'$	
$r' =$	$157^\circ 37'$	$157^\circ 25'$
$q : q =$		$95^\circ 22'$
$b =$	$132^\circ 19'$	$132^\circ 20'$
$a =$	$134^\circ 56'$	
$a : r =$		$142^\circ 44' (142^\circ 49' \text{ Bun})$
$r' =$	$124^\circ 43'$	$124^\circ 29'$
$r : r' =$	$87^\circ 27'$	$87^\circ 32'$
$q =$		$127^\circ 0'$

Herrschend  $a, b, r, r'.$  — Vollkommen spaltbar nach  $b.$

Ebene der optischen Axen  $= ac$ ; die Mittellinie ist positiv, um  $23^\circ 17'$  gegen eine Normale auf die vordere Fläche  $a$ , und unter gegen eine solche auf die basische Endfläche geneigt; der Axenwinkel  $= 66^\circ 30'.$

### Kalium-Baryum-Eisencyanür.



Sechsgliedrig.  $a : c = 1 : 1,57$  Bunsen.

$r, c.$	Berechnet	Beobachtet
		Bunsen Scacchi
$r (2A) =$	$81^\circ 22'$	$81^\circ 29'$ $81^\circ 28'$
$r : c =$		$118^\circ 53'$ $118^\circ 57'$

Scacchi beobachtete auch das erste und das vierfach stumpfere

$$\frac{r''}{3} (2A) = 408^\circ 52' \quad 109^\circ$$

$$\frac{r}{4} (2A) = 438 \quad 43$$

Oft tafelartig nach  $c$ . Zwillinge nach  $c$ . Spaltbar nach  $r$ .

Optisch positiv. Grailich. — Bunsen: Pogg. A. 36, 415. —

Scacchi: Prod. chim. Napoli 1867.

**Strontium-Eisencyanür.**  $(2 \text{SrCy}^2 + \text{FeCy}^2) + 8 \text{aq.}$

Eingliedrig.  $a : b : c = 0,253 : 1 : 0,6753$  Wyruboff.

$$\alpha = 116^\circ 34'; \quad \beta = 91^\circ 26'; \quad \gamma = 84^\circ 42'.$$

$o''$ ,  $p$ ,  $p'$ ,  $q$ ,  $b$ ,  $c$ .

Beobachtet

$$\begin{array}{ll} p : p' = 148^\circ 44' & b : c = 116^\circ 40' \\ b : p' = 140 \quad 23 & q : c = 139 \quad 0 \\ c : p = 96 \quad 24 & o'' : p = 143 \quad 26 \\ p' = 97 \quad 45 & \end{array}$$

Die Krystalle haben zum Theil ein zwei- und eingliedriges Ansehen.

**Calcium-Eisencyanür.**  $(2 \text{CaCy}^2 + \text{FeCy}^2) + 12 \text{aq.}$

Eingliedrig.  $a : b : c = 0,5345 : 1 : 1,2524$  Wyruboff.

$$\alpha = 136^\circ 54'; \quad \beta = 104^\circ 28'; \quad \gamma = 77^\circ 42'.$$

$o$ ,  $o'$ ,  $o''$ ,  $\frac{o}{2}$ ,  $\frac{o''}{2}$ ,  $\frac{3}{2}o$ ,  $\frac{3}{2}o''$ ,  $p$ ,  $p'$ ,  $q$ ,  $\frac{q}{2}$ ,  $q\frac{3}{2}$ ,  $q^2$ ,  $b$ ,  $c$ .

Berechnet

Beobachtet

$p : p' =$	$116^\circ 4'$	$116^\circ 4'$
$b : p = 143^\circ 4'$	$143 \quad 30$	$143 \quad 30$
$p' =$	$100 \quad 52$	$100 \quad 52$
$c : p =$	$132 \quad 28$	$132^\circ 19' - 133^\circ 26'$ Bunsen)
$p' =$	$92 \quad 7$	$92 \quad 7$
$b : c = 135 \quad 30$	$135 \quad 14$	$135 \quad 14$
$c : q =$	$97 \quad 24$	$97 \quad 24$
$q^2 = 113 \quad 2$	$113 \quad 42$	$113 \quad 42$
$\frac{q}{2} = 144 \quad 54$	$144 \quad 55$	$144 \quad 55$
$q\frac{3}{2} = 126 \quad 23$	$125 \quad 30$	$125 \quad 30$
$o = 122 \quad 25$	$122 \quad 34$	$122 \quad 34$
$o' = 144 \quad 14$	$143 \quad 20$	$143 \quad 20$
$o'' = 119 \quad 30$	$119 \quad 47$	$119 \quad 47$
$\frac{3}{2}o = 152 \quad 37$	$151 \quad 35$	$151 \quad 35$
$\frac{3}{2}o'' = 120 \quad 36$	$122$	ungef.
$\frac{p}{2} = 140 \quad 52$	$144 \quad 41$	$144 \quad 41$
$\frac{p'}{2} = 138 \quad 49$	$138 \quad 49$	$138 \quad 49$

vollkommen spaltbar nach  $p'$ . — Bunsen: Pogg. A. 36, 416. — Wyruboff: S. Kaliumsalz.

**Kalium-Eisencyanid.  $6\text{K Cy} + \text{Fe Cy}^6$ .**

Zwei- und eingliedrig.  $a : b : c = 1,2876 : 1 : 0,80115$  Mar  
 $\alpha = 89^\circ 54'$ .

$o, o', p, p^2, q, a.$

$$s = \frac{1}{2} a : b : c$$

$$\zeta = a : \frac{1}{2} b : c$$

$$\gamma' = 2 a' : b : c$$

$$\delta = \frac{2}{3} a : b : c$$

$$\delta' = \frac{2}{3} a' : b : c$$

$$y = \frac{1}{3} a : b : c$$

$$\alpha' = \frac{1}{3} a' : b : c$$

	Berechnet		Beobachtet		
	Marignac	De Cloiz.	Handl	Schal	
$o : o' = 111^\circ 36'$	$111^\circ 24'$		$111^\circ 20'$	$111^\circ$	
$o' : o' = 111 \quad 30$					
$o : o' = 128 \quad 12$					
$o : o' = 90 \quad 49$					
$p : p =$	$*75 \quad 40$	$75^\circ 39'$	$75 \quad 21$	$75 \quad 1$	
$q : q = 102 \quad 36$	$102 \quad 23$			$76$	
$o : a = 115 \quad 58$	$115 \quad 54$				
$p = 135 \quad 28$	$135 \quad 28$				
$o' : a = 115 \quad 50$	$115 \quad 52$		$115 \quad 44$	Scacchi	
$p = 135 \quad 24$					
$p^2 : p^2 = 114 \quad 28$					
$s : s = 126 \quad 44$					
$a = 134 \quad 12$	$134 \quad 8$		$133 \quad 57$	Sc.	
$\zeta : \zeta = 80 \quad 56$					
$\gamma' : \gamma' = 105 \quad 9$	$105 \quad 2$	$105 \quad 10$			$104$
$a = 103 \quad 34$	$103 \quad 41$		$103 \quad 33$	Sc.	
$\delta : \delta =$	$*119 \quad 20$	$119 \quad 15$			$119$
$a = 126 \quad 7$	$126 \quad 4$		$125 \quad 52$	Sc.	
$p =$	$*139 \quad 30$	$139 \quad 32$			
$\delta' : a = 126 \quad 0$	$126 \quad 0$				
$y : y = 115 \quad 20$	$114 \quad 36$				
$a = 121 \quad 12$	$120 \quad 50$				
$\alpha' : \alpha' = 108 \quad 0$	$107 \quad 34$				
$a = 109 \quad 56$	$110 \quad 12$				
$p = 132 \quad 19$	$132 \quad 30$				

Fig. 7. — Einfache Krystalle sind selten, parallel der Fläche vielfach wiederholend. Meist Zwillinge nach  $a$ . Sind dann in der Richtung bloß die  $\delta$  und  $\gamma'$  vorhanden, so besteht das eine Ende scheinbaren Rhombenoktaeder  $\delta$ , das andere aus  $\gamma'$ .

Aber bloß die  $q$  und  $\gamma'$  erscheinen vollzählig, die übrigen  $A$  treten nur an dem einen Ende auf, so dass eine mehr oder minder ständige Hemimorphie eintritt.

Fig. 8 die vordere, Fig. 9 die hintere Ansicht eines Zwillings auf beiden Seiten der durch die Mitte von  $q$  gedachten Zwillingsliegenden Flächen des nämlichen Endes sind in Folge jener Hemimorphie fast immer verschiedener Art.

Die Flächen  $\zeta$ ,  $\alpha'$  und  $y$  sind selten: auch  $p^2$  führt Marign

Die Krystalle wurden von Kopp und von mir für zwei- und eingliedrig erklärt, von Schabus, Handl und Scacchi für zweigliedrig erklärt, wostaurososkopischen Beobachtungen von Kobell und Sauber sprach. Durch die späteren Messungen Marignac's, welcher zahlreiche Formen kennen lehrte, durch die von Des Cloizeaux, besonders

Fig. 7.

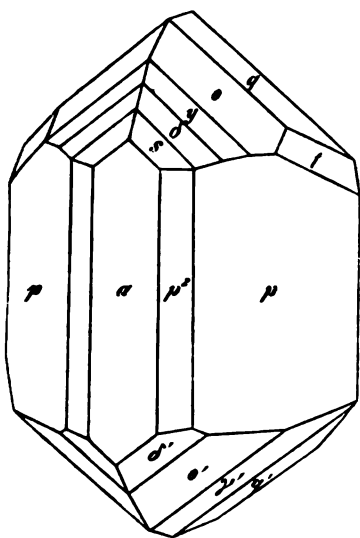


Fig. 8.

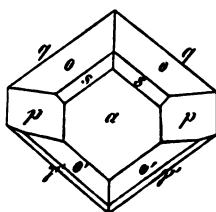
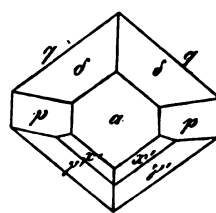


Fig. 9.



durch die optischen Untersuchungen des Letzgenannten, ist die Richtigkeit der früheren Ansicht ausser Zweifel gesetzt. Bei der nahen Gleichheit von  $a$  und  $c$  konnten Messungen allein nicht entscheiden.

Die Krystalle sind tafelförmig nach  $a$ , prismatisch nach der Horizontalzone, bisweilen auch nach der Verticalzone. Spaltbar nach  $a$ .

Des Cloizeaux, Marignac: *Nouv. Rech.* — Schabus, Handl, 1841: *Wien. Ak. Ber.* 31. 32. — Kobell: *Ann. Ch. Pharm.* 124, 83. Scacchi: *S. Barytnitrat*.

Die Doppelbrechung ziemlich stark, Ebene der optischen Axen  $ac$ ; die Winkel der mittleren Axen macht  $86^\circ 7'$  mit einer Normale auf das vordere Ende,  $39^\circ 44'$  mit einer solchen auf die Kante  $\delta\delta$ . Sehr dünne Zwillingen parallel der Axenebene  $ac$  zeigen im weissen parallel polarisirten Licht, dass die Maximum-Auslöschung in jedem der Krystalle bei  $5^\circ 53'$  der Kante  $ap$  erfolgt. Der scheinbare Axenwinkel variiert und die Messungen erschweren die Beobachtung. Die Dispersion der Axen ist stark, v. Eine Platte, senkrecht zur Mittellinie, ergab bei  $15^\circ$

$$2E = 71^\circ 20' \text{ Roth} \quad 75^\circ 52' \text{ Gelb} \\ (70 \quad 30 \text{ Lang})$$

Beim Erwärmen wird der Winkel grösser. Des Cloizeaux.

Lichtabsorption. — Beer: Pogg. A. 82, 729.

Pleochroismus. — Schabus: S. o.

Reducirende Wirkung des Lichts. — H. Vogel: Ber. d. chem. 4874, 90.

Volumgewicht. 4,8004 Schabus, 4,845 Wallace, 4,847 Buignet.

100 Th. Wasser lösen

bei 4°,4	33	Th.	V. G. = 4,454
- 10	36	-	- = 4,464
- 15,6	40,8	-	- = 4,478
- 37,8	58,8	-	- = 4,225
- 100	77,5	-	- = 4,250

Siedepunkt der gesättigten Lösung 104°,4. — Wallace: Qu. Soc. 7, 77. — Vgl. Schiff: Ann. Ch. Pharm. 443, 183.

Elektrolyse. — Schlagdenhauffen: J. d. Pharm. (3) 44

Magnetismus. Nach Faraday sind beide Cyaneisenkalium diamagnetisch. Nach Plücker ist das rothe paramagnetisch, was (lich und Lang bestätigen. — Plücker: Pogg. A. 84, 457. — (lich: Wien. Ak. Ber. 32.

**Natrium-Eisencyanid.**  $(6\text{NaCy} + \text{FeCy}^6) + 3\text{aq.}$

Niedrige sechsseitige Prismen mit gewölbter matter Endfläche.

**Blei-Eisencyanid.**  $(3\text{PbCy}^2 + \text{FeCy}^6) + 8\text{aq.}$  (Gintl).

Zwei- und eingliedrig.  $a : b : c = 1,044 : 1 : 0,6478$  Zepharc  
 $\alpha = 71^\circ 32'.$

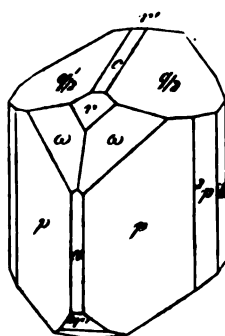
$p, p^2, \frac{q}{2}, r, r', 2r', a, b, c.$  —  $s' = a' : 2b : c.$

	Berechnet	Beobachtet	
		Zepharovich	Rammelsber
$p : p =$		$90^\circ 44',5$	$91^\circ 20'$
$a = 135^\circ 22'$			433 40
$p^2 : p^2 = 126 \ 16$			
$a = 153 \ 8$		454 56	
$s' : s' = 144 \ 52$			
$\frac{q}{2} : \frac{q}{2} = 144 \ 57$		445 3	443 30
$c = 162 \ 29$		462 34	
$b = 107 \ 32$		407 28	
$a : c =$		$108 \ 27,5$	
$r = 134 \ 45$		434 40	
$r' =$		$107 \ 55$	
$2r' = 134 \ 37$			
$\frac{q}{2} : p = 90 \ 8$		90 9	
$r = 148 \ 45$		448 33	
$r' = 140 \ 9$		440 2	



Berechnet	Beobachtet
$s' : a = 107^\circ 4'$	Zepharovich 106° 55'
$\frac{q}{2} = 145 22$	145 20
$r' = 162 26$	162 29

Fig. 40.



Ich beobachtete ausserdem ein schärferes  $q$  mit dem Winkel von  $94^\circ 18'$ ;  $q\frac{1}{2}$  würde  $89^\circ 52'$  erfordern.

Fig. 40. — Häufig sind Zwillinge, welche die Flächen der Horizontalzone gemein, die der Vertikalzone entgegengesetzt liegen haben; Verwachsungsfläche ist  $b$  oder ein  $p$ . — Zepharovich: ien. Ak. Ber. 59.

**Kalium-Blei-Eisencyanid.**  $(2K Cy + 2Pb Cy^2 + Fe Cy^6) + 3aq$ .  
Zweigliedrig.  $a : b : c = 0,5842 : 1 : 0,541$  Wyruboff.

$o, \frac{o}{2}, p, q, q^2, b, c$ .

	Berechnet	Beobachtet
$o \left\{ \begin{array}{l} 2A = 136^\circ 48' \\ 2B = 101 24 \\ 2C = 94 44 \end{array} \right.$		
$\frac{o}{2} \left\{ \begin{array}{l} 2A = 125 46 \\ 2B = 76 44 \\ 2C = 130 40 \end{array} \right.$		126° 15'
$p : p = 119 40$		
$b =$		120 40
$q : q = 123 40$		
$q^2 : q^2 = 85 30$		
$o : c =$		132 53
$p = 137 7$		137 38
$\frac{o}{2} : c = 114 55$		114 50
$p = 155 5$		155 20

Von sechsgliedrigem Ansehen, auch tafelförmig nach  $b$ . Durchwachsungszwillinge nach  $b$ . — Ann. Ch. Phys. (5) 40.

**Kalium-Kobaltcyanid.**  $6K Cy + Co Cy^6$ .

Zwei- und eingliedrig.  $a : b : c = 1,286 : 1 : 0,8093$  Topsöe.  
 $o = 89^\circ 43',5$ .

Isomorph dem Eisensalz.

$o, \gamma, \delta, p, p^2, q, a$ .

Berechnet		Beobachtet	
$p : p =$	Topsöe 75° 44'	Handl	Rammelsberg
$\gamma : \gamma = 104^\circ 38'$	405 0		103° 50'

Berechnet		Beobachtet	
	Topsøe	Handl	Ram
$\delta : \delta = 119^\circ 40'$	119° 18'	119° 7'	12
$q : a = 90 \ 42$	91 33		
$p : q = 119 \ 56,5$	119 49		
$\gamma : a = 103 \ 33,5$	103 48	103 44	
$\delta : q = 143 \ 48$	143 20		
$p =$	139 49		
$a = 126 \ 24$	126 20	126 16	12
$\gamma =$	88 35		

Prismatisch nach  $p$ ; unter den Augitpaaren herrscht  $\delta$  vor, beobachtet am einen Ende  $o$  und  $\gamma$ , am andern  $o$  und  $\delta$ .

Häufig Zwillinge nach  $a$  wie beim Eisensalz.

Vollkommen spaltbar nach  $a$ .

Volumgewicht. 4,943 Topsøe; 4,906 Budecker.

Ebene der optischen Axen  $= ac$ . Die Mittellinie bildet einen Winkel von etwa  $3^\circ 30'$  und ist positiv; der Axenwinkel  $= 31^\circ 40' [32^\circ 30' \text{ Lang}]$ . Dispersion der Axen beträchtlich, Topsøe: Wien. Ak. Ber. 66, 5. — Lang und Handl: Eb. 3

Dieselbe Form hat das Ammoniumsalz. Lang fand

$$p^2 : a = 147^\circ 30'$$

$$\delta : a = 126 \ 32$$

$$\gamma : a = 104 \ 0$$

Wien. Ak. Ber. 45.

Eine isomorphe Mischung von je 4 Mol. des Kobalt- und -zinks zeigte  $o$ ,  $\gamma$ ,  $\delta$ ,  $a$ ,  $b$  und

$$\gamma : \gamma = 104^\circ 54'$$

$$\gamma : a = 103^\circ 48'$$

$$\delta : \delta = 119 \ 5$$

$$\delta : a = 116 \ 5 \text{ Murman}$$

Nach Lang treten die Augitpaare oft bloß an einem Ende auf. Wien. Ak. Ber. 45.

Elektrolyse des Kobaltsalzes. S. Eisensalz.

#### Kalium-Mangancyanid. $6 \text{ K Cy} + \text{Mn Cy}^6$ .

Isomorph den vorigen. Ich fand

$$p : p = 75^\circ 18'$$

$$\gamma : \gamma = 104^\circ 35'$$

$$a = 127 \ 45$$

$$a = 103 \ 25$$

Meist Zwillinge.

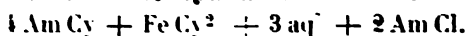
Der optische Charakter ist der des Eisen- und Kobaltsalzes.

Wien. Ak. Ber. 31.

#### Kalium-Chromcyanid. $6 \text{ K Cy} + \text{Cr Cy}^6$ .

Isomorph dem vorigen.

#### Ammonium-Eisencyanür-Chlorammonium.



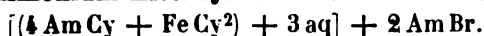
Sechsgliedrig.  $a : c = 1 : 1,032$  Bunsen.

$r, 2r', c.$	Berechnet	Beobachtet
$r; 2A =$		$96^{\circ} 52'$
$2r'; 2A =$	$74^{\circ} 0'$	$74 30$
$c : r =$	$130 0$	$130 0$
$2r' =$	$412 45$	$412 50$
$r : 2r' \text{ Endk.} =$	$427 0$	$426 59$
Stk. =	$417 45$	$416 50$

Pogg. A. 36, 404.

Optisch negativ. — Grailich bestimmte die Brechungsexponenten opt. Unt. 433.

#### Ammonium-Eisencyanür-Bromammonium.

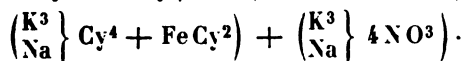
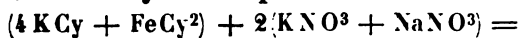


Sechsgliedrig.  $a : c = 1 : 0,9998$  Bunsen.

$r, 2r', c.$	Berechnet	Beobachtet
$r 2A =$	$98^{\circ} 14'$	
$2r' - =$		$74^{\circ} 45'$
$c : r =$	$130 54$	
$2r' =$	$413 25$	
$r : 2r' \text{ Endk.} =$	$427 22,5$	$427 8$
Stk. =	$445 44$	

Die Flächen sind gekrümmt. — A. a. O.

#### Kalium-Eisencyanür-salpetersaures Kali-Natron.



Sechsgliedrig.  $a : c = 1 : 0,8585$  v. Lang.

$r, 2r, 2r', \frac{3}{2}r, \frac{3}{2}r', \frac{1}{2}r', c.$	Berechnet	Beobachtet
$r 2A =$	$109^{\circ} 52'$	
$\frac{1}{2}r - =$	$114 54$	
$\frac{3}{2}r - =$	$87 22$	
$2r - =$	$78 42$	
$c : r =$	$135 45$	$135^{\circ} 0'$
$\frac{1}{2}r' =$		$144 35$
$\frac{3}{2}r =$	$123 23$	$123 10$
$2r =$	$416 46$	$416$

Tafelartig nach  $c$ . Die Rhomboeder  $\frac{3}{2}r$  und  $2r$  sind untergeordnet.

Ausnahme von  $c$  sind alle Flächen ziemlich matt.

Phosphorescirt beim Reiben oder Schütteln mit blaugrünem Licht. — Monatsber. Berl. Akad. 1866, 83.

#### Silber-Eisencyanid-Ammoniak. $2(6 \text{ Ag Cy}^{\circ} + \text{Fe Cy}^6) + 3 \text{ NH}_3 + \text{aq.}$

Zwei- und eingliedrig.  $a : b : c = 0,9994 : 1 : 0,767$  Zepharovich.

$$o = 85^{\circ} 25'.$$

Kunzeberg, physik. Chemie II.

$o, o', p, p^2, {}^2p, a, b, c.$

Berechnet	Beobachtet
$o : o =$	$*119^{\circ} 24'$
$o' : o' = 115^{\circ} 28'$	
$o : o' = 117 \ 18$	117 36
$o : o' = 94 \ 35$	
$p : p = 90 \ 13$	
$b = 134 \ 53$	134 49
$c = 93 \ 15$	
$p^2 : p^2 = 127 \ 3$	127 20
$a = 153 \ 31$	153 34
${}^2p : {}^2p = 53 \ 18$	
$a : c = 94 \ 35$	
$o : a = 124 \ 0$	124 0
$c = 134 \ 28$	
$p =$	$*138 \ 47$
$o' : a = 118 \ 42$	
$c = 130 \ 57$	130 38
$p = 135 \ 48$	135 30

Fig. 11.

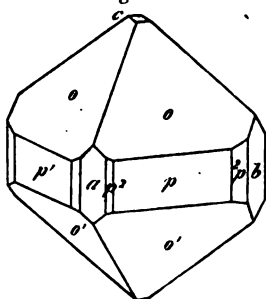
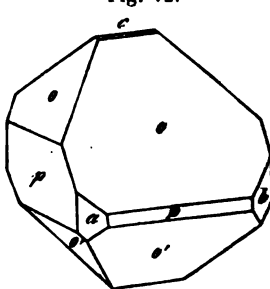


Fig. 12.



Die sehr kleinen grünschwarzen Krystalle sind gewöhnlich oktaedrisch durch Vorherrschen von  $o$  und  $o'$ . Die nahe Gleichheit ihrer Endwinkel und die nahe Rechtwinkligkeit von  $p$  lassen sie viergliedrig erscheinen. Fig. 11. — Oft unsymmetrisch Fig. 12. — Zepharo Wien. Ak. Ber. 59.

**Kadmium-Eisencyanid-Ammoniak.**  $(3\text{CdCy}^2 + \text{FeCy}^6) + 4\text{N}$

Zwei- und eingliedrig.  $a : b : c = 1,623 : 1 : 2,017$  Wyrou  
 $o = 85^{\circ} 22'.$

$p, r, r', c.$	Berechnet	Beobachtet
$p : p =$		$*63^{\circ} 24'$
$c =$		$*92 \ 20$
$c : r' =$		$*126 \ 0$
$r = 131^{\circ} 16'$		131 43
$r : r' = 77 \ 16$		77 37
$p : r = 114 \ 49$		114 30
$r' = 113 \ 34$		

**Prismatisch** nach der Verticalzone und tafelartig nach dem stark ge-  
 ziffen *c*. Roth. — Ann. Ch. Phys. (5) 40.

**Kalium-Platincyaur.** ( $2\text{K Cy} + \text{Pt Cy}_2 + 3\text{aq}$ ).

Zweigliedrig.  $a : b : c = 0,8795 : 4 : 0,2736$  Grailich.

$\alpha, p, q, b$ .	Berechnet	Beobachtet	
		Grailich	L. Gmelin
$\alpha$	$\begin{cases} 2A = 150^\circ 42' \\ 2B = 146 \quad 36 \\ 2C = 45 \quad 0 \end{cases}$		
$p : p =$		$97^\circ 21'$	$97^\circ 0'$
$q : q = 149 \quad 24$		$149 \quad 20$	
$b =$		$105 \quad 48$	
$p = 400 \quad 2$			
$\alpha : p = 142 \quad 30$			$142 \quad 0$

Feine Prismen, an denen die Endflächen  $\alpha$  und  $q$  selten deutlich oder vollzählig.

Ebene der optischen Axen  $= bc$ , Mittellinie  $= c$ , positiv. Sehr starke Dispersion der Axen,  $q > c$ . Des Cloizeaux fand den scheinbaren Axenwinkel  $2E$  in Luft

$78^\circ$  Roth;  $57\text{—}58^\circ$  Grün;  $39\text{—}40^\circ$  Blau.

**Pleochroismus.** Im durchfallenden Licht senkrecht gegen die Axe gelb, parallel der Axe blau. Im reflectirten Licht, wenn die Einfallsebene senkrecht zur Axe steht, ist  $O$  glasglänzend,  $E$  matt; steht jene parallel der Axe, so erscheint  $O$  glänzend,  $E$  mit blauem Lichtschein; bei Reflexion von  $\alpha$  Endfläche sind  $O$  und  $E$  gleich blau\*). — Haidinger: Pogg. A. , 324.

Nach Stokes rührt das Blau von Fluorescenz her. Die Lösung fluorescirt nicht. A. a. O. 96, 541. — Böttger: Eb. 97, 333. — Werther: f. pr. Ch. 65, 349. — Hagenbach: Pogg. A. Jubelbd. 310.

Ueber das Verhalten der Krystalle im Spectrum Grailich: Kryst.-u. Unters. Gekrönte Preisschrift. Wien 1858. S. 99.

**Ammonium-Platincyaur.** ( $2\text{Am Cy} + \text{Pt Cy}_2 + 2\text{aq}$  (3 aq?)).

Die gelben Krystalle sind nicht messbar. Sie fluoresciren stark (die Lösung nicht). — Grailich: a. a. O. 102.

**Natrium-Platincyaur.** ( $2\text{Na Cy} + \text{Pt Cy}_2 + 3\text{aq}$ ).

Zwei- und eingliedrig.  $a : b = 1,7856 : 4$  Grailich.

$\alpha = 84^\circ 26'$ .

$p, p^2, {}^2p, a, b, c$ .	Beobachtet	
$p : p = 58^\circ 48'$	$p : {}^2p = 166^\circ 17'$	
$a = 119 \quad 22$	$a : c = 95 \quad 34$	
$p^2 = 160 \quad 44$		

\*,  $O$  das ordentliche,  $E$  das ausserordentliche Bild im Dichroskop.

Cyanverbindungen.

Mehrere Augitpaare undeutlich.  
Stets Zwillinge nach  $a$ . — A. a. O. 103.

**Kalium-Natrium-Platincyannür.**

Aus gleichen Mol. beider Salze. Vielleicht  
 $\begin{cases} 2\text{KCy} + \text{PtCy}_2 + 3\text{aq} \\ 2\text{NaCy} + \text{PtCy}_2 + 3\text{aq} \end{cases}$

Zwei- und eingliedrig.  $a : b : c = 0,8546 : 1 : 0,4743$  Graili  $\angle h$ .  
 $\alpha = 84^\circ 52'$ . Beobachtet

$p, q, b$ . Berechnet  
 $p : p = 99^\circ 40'$   $*130^\circ 25'$   
 $b =$   $*154 \ 46$   
 $q : q =$   $*102 \ 23,5$   
 $p =$

Körperfarbe und Axenfarben orange; lebhafter Flächenschiller; Flourescenz schön grün.  
 Optische Axenebene parallel  $b$ ; Mittellinie  $= a$ . Negativ,  $q < v$ .  
 A. a. O. 113.

**Kalium-Lithium-Platincyannür.**

Zweigliedrig.  $\begin{cases} (2\text{KCy} + \text{PtCy}_2) + 3\text{aq} \\ (2\text{LiCy} + \text{PtCy}_2) + 3\text{aq} \end{cases}$ .  
 $a : b : c = 0,4447 : 1 : 0,7466$  Schabus. Beobachtet

$p, q, b, c$ . Berechnet  
 $p : p =$   $*132^\circ 30'$  Grailich  
 $b = 143^\circ 45'$   $*108 \ 45$   $132^\circ 6'$   
 $q : q =$   $125 \ 33$   $143 \ 57$   
 $b = 144 \ 22$   $108 \ 44$   
 $c =$   $125 \ 48$   
 $144 \ 24$

Bei diesem und dem Kaliumsalz sind die  $a = 1,9 : 1$ , die Ebene der optischen Axen  $= bc$ , Mittellinie  $= c$ . Positiv deutlich. — Grailich: a. a. O. 114. — Schabus: Best. gest. 43.

**Rubidium-Platincyannür.**  $(2\text{RbCy} + \text{PtCy}_2) + 3$

Zwei- und eingliedrig.  $a : b : c = 0,9254 : 1 : 0,4933$   
 $\alpha = 80^\circ 40'$ . Beobachtet

$p, r, r', a, b$ . Berechnet  
 $p : p = 95^\circ 12'$   $*137 \ 36$   
 $a =$   $132 \ 24$   $132 \ 28$   
 $b = 126 \ 44$   $126 \ 46$   
 $a : r =$   $*142 \ 39$   
 $r =$   $*120 \ 37$

**Baryum-Platincyannür.**  $(\text{Ba Cy}^2 + \text{Pt Cy}^2) + 4 \text{ aq.}$   
 und eingliedrig.  $a : b : c = 0.8698 : 4 : 0.4794$  Schabus.  
 $\alpha = 75^\circ 53'$ .

, *b*.

berechnet

Beobachtet

	Schabus	Murmann	Sénarmont	Rammelsb.
	$99^\circ 42'$	$99^\circ 41'$		$99^\circ 48'$
$90^\circ 54'$		139 52	$140^\circ 0'$	140 0
0 9		130 8	130 0	130 25
	*130 8	130 3	130 15	130 38
4 56		114 57	114 56	114 50
	*104 7			

: Wien. Ak. Ber. 34. — Schabus: Eb. 1850. — Sénarmont: Eb.

afelartig nach *b*.

der optischen Axen  $= ac$ , Mittellinie  $= c^*$ ). Dispersion sehr  
 so die Hyperbeln für Roth und Grün getrennt erscheinen. In

$$(AB) \gamma \rho = 18^\circ 44'$$

$$- \rho = 23 \ 39$$

$$(AB) \gamma \rho = 27^\circ 43' \text{ und } AB \gamma \rho = 16^\circ 28'$$

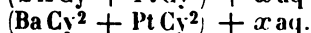
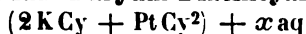
$$- \rho = 35 \ 0$$

$$- \rho = 20 \ 54 \text{ Murmann.}$$

Boisjean fand  $2E = 35^\circ 13'$  Roth;  $34^\circ 16'$  Gelb;  $27^\circ 46'$  Grün.  
 Farbe gelb, in allen Hauptschnitten fast gleich intensiv. Ober-  
 : die Prismenflächen erscheinen bei senkrechter Incidenz farb-  
 bläulich, was bei  $45^\circ$  ein Maximum wird, von da bis  $80^\circ$  Blau

senz grün, besonders an den Flächen der Endigung deutlich. —  
 a. a. O. 104. — Haidinger: Pogg. A. 71, 326. — Hagen-  
 146, 402; Jubelbd. 311.

### Kalium-Baryum-Platincyannür.



und eingliedrig.  $a : b : c = 1.416 : 4 : 0.923$  Grailich.  
 $\alpha = 87^\circ 49'$ .

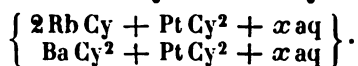
$n = \frac{1}{2} a : b : c$ .	Berechnet	Beobachtet
$n : n =$	$129^\circ 54'$	$129^\circ 52'$
$o : o =$	95 22	
$o' : o' =$	100 32	
$b =$		$129 \ 44$
$o' : p =$		$95 \ 48$
$a =$	116 7	
$o =$	104 54	
$b : n =$		$115 \ 3$
$o =$	132 19	132 20

nahe parallel *c*.

# Cyanverbindungen.

Herrschend  $o'$  und  $n$ ; oft überwiegt eine Fläche  $n$ .  
Die  $o'$  und  $b$  vertical gestreift. — A. a. O. 448.

## Rubidium-Baryum-Platincyanür.



Zwei- und eingliedrig.  $a : b : c = 4,754 : 4 : 4,074$  I  
 $o = 83^\circ 34'$ .

$o' p^2, \frac{a}{2}, r, r', a, b, c.$	Berechnet	Beobachtet
$o' : o' =$	$92^\circ 22'$	$92^\circ 24'$
$p^2 : p^2 =$		$97 \ 54$
$\frac{a}{2} : \frac{a}{2} =$	$123 \ 50$	
$a : c =$	$96 \ 26$	
$r =$	$150 \ 19$	
$r' =$	$146 \ 44$	
$c : r =$	$126 \ 10$	
$r' =$	$146 \ 47$	
$r : r' =$		$117 \ 6$
$o' : r' =$	$136 \ 11$	
$p^2 =$	$149 \ 9$	$149 \ 8$
$a =$		$136 \ 11$
$b =$	$133 \ 49$	$133 \ 42$
$\frac{a}{2} =$	$134 \ 23$	$134 \ 21$

Wien. Ak. Ber. 50.

Ob isomorph dem vorhergehenden?

## Strontium-Platincyanür. ( $\text{Sr Cy}^2 + \text{Pt Cy}^2$ )

Zweigliedrig.  $a : b : c = 0,6826 : 4 : 0,4244$  Grai

$o, p, a, b.$	Berechnet	Beobachtet
		Grailich M
$o \left\{ \begin{array}{l} 2 A = 140^\circ 22' \\ 2 B = 120 \ 28 \\ 2 C = 73 \ 54 \end{array} \right.$		
$p : p =$		$111^\circ 22'$
$o : b = 109 \ 49$		$110 \ 1$
$p =$		$126 \ 57$

$o$  erscheint als Tetraeder. Dünne Prismen.

Die Krystalle zeigen im polarisirten Lichte 7  
dungen und deuten in gewisser Hinsicht auf das  
System. Optische Axenebene =  $ac$ . Brechung ur  
 $\varphi < \nu$ .

Die Fluorescenz untersuchte Grailich.



**Kalium-Strontium-Platincyantür.**

Zwei- und eingliedrig.  $a : b : c = 1,917 : 1 : 0,6678$  Grailich.  
 $o = 79^\circ 39'$ .

$o', p, r, r', a, b.$	Berechnet	Beobachtet
$o' : o' =$		$\approx 143^\circ 15'$
$p : p = 55^\circ 6'$		
$b =$		$\approx 152 27$
$a = 117 33$		117 30
$a : r = 110 5$		
$r' = 107 53$		108 25
$r : r' = 142 2$		
$o' : a = 109 1$		109 20
$b = 108 22,5$		108 30
$p =$		$\approx 145 30$

Prismatisch nach der Horizontalzone mit herrschenden  $a$  und  $b$ ;  $r'$  sehr  
 mal. Körperfarbe gelb, Flächenfarbe blau. Fluorescenz grün. —  
 railich S. 115.

**Calcium-Platincyantür.**  $(\text{CaCy}_2 + \text{PtCy}_2) + 3\text{aq.}$ 

Zweigligliedrig.  $a : b : c = 0,90 : 1 : 0,3365$  Grailich.

$o, 2p, a, b.$  —  $s = a : \frac{1}{2}b : c.$

	Berechnet	Beobachtet	Lang
		Grailich	
$o \left\{ \begin{array}{l} 2A = 145^\circ 0' \\ 2B = 140 56 \\ 2C = 53 26 \end{array} \right.$			
$s \left\{ \begin{array}{l} 2A = 149 50 \\ 2B = 109 18 \\ 2C = 78 44 \end{array} \right.$			
$2p : 2p = 58 8$			
$a = 149 4$		$118^\circ 58'$	$119^\circ 0'$
$b =$		$\approx 150 56$	150 56
$o : a = 109 32$		110 3	
$b =$		$\approx 107 30$	
$s : a = 125 21$			125 29
$o = 164 11$		163 57	164 2

Beide Oktaeder treten gewöhnlich als Tetraeder auf.

Spaltbar nach  $a$ .

Ebene der optischen Axen  $= ac$ , Mittellinie  $= c$ ; positiv. Starke  
 Dispersion der Axen; ihr scheinbarer Winkel  $= 88^\circ$  Roth,  $68^\circ$  Grün (an-  
 nähernd), also  $\varrho < v$ . Lang.

Wenige Substanzen besitzen einen solchen Glanz und Reichthum der  
 Farben. Körperfarbe gelblichgrün: auf den Prismenflächen ausgezeichnete  
 Schiller. Sieht man durch das Dichroskop so auf die Flächen, dass die  
 Einfallsebene parallel den Kanten, so ist  $O$  stets farblos, dagegen  $E$  bei  $10^\circ$

Incidenz hellblau, bei  $50^\circ$  indigblau, bei  $60^\circ$  und mehr violett. Stel Ebene senkrecht zur Kante, so ist  $O$  stets undeutlich violett,  $E$  farbl

Unter allen Körpern grüner Fluorescenz steht das Salz oben an. Grailich: a. a. O. 108.

Stark diamagnetisch; die stärkste Action hat die Richtung der die schwächste die von  $c$ . Grailich.

### Ammonium-Calcium-Platincyantür.

Zusammensetzung unbekannt. — Viergliedrig. — Quadratisel men mit Endfläche. — Optisch einaxig, positiv.

Flächenschiller und Fluorescenz s. Grailich: a. a. O. 123.

### Kalium-Calcium-Platincyantür.

Zusammensetzung unbekannt.

Zwei- und eingliedrig.  $a : b : c = 1,917 : 1 : 0,6678$  Grail  
 $o = 79^\circ 39'$ .

$o'$ $p$ , $r$ , $a$ , $b$ .	Berechnet	Beobachtet
$o' : o' =$		$*143^\circ 15'$
$p : p =$		$*55 \quad 6$
$a : r = 110^\circ 5$		$110 \quad 15$
$o' : a =$		$*109 \quad 1$
$p = 115 \quad 30$		

Prismatisch nach  $p$  und tafelartig nach  $b$ .

Isomorph dem Kalium-Strontiumsals.

Flächenschiller und Fluorescenz Grailich S. 122.

### Magnesium-Platincyantür. $(Mg Cy^2 + Pt Cy^2) + 7 aq.$

Viergliedrig.  $a : c = 1 : 0,5863$  Springer.

$o$ , $a$ , $c$ .	Berechnet	Beobachtet
$o \begin{cases} 2A = \\ 2C = 79^\circ 48' \end{cases}$		$*126^\circ 21'$
$o : a = 116 \quad 49,5$		

Ausserdem sehr untergeordnet ein stumpfes Oktaeder zweitunung, ein Vierkantner und das erste Prisma.

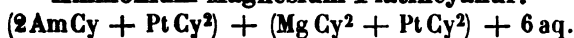
Optisch einaxig, positiv. Grailich bestimmte die Brechung ponenten  $\mu B = 1,5472$ ;  $\mu C = 1,5485$ ;  $\mu D = 1,5542$ .

Roth im durchfallenden, grün und blau im reflectirten Lichte. dinger untersuchte die Erscheinungen des Flächenschillers genau. Ann. 71, 328. 77, 89. Vgl. Lommel: Wiedem. Ann. 9, 108.

Ueber die Fluorescenz Hagenbach: Pogg. A. Jubelbd. 4 Greiss: Eb. 106, 645. — Lommel: Wiedem. Ann. 8, 634.

Auch das gelbe Hydrat mit 5 Mol. Wasser fluorescirt stark.

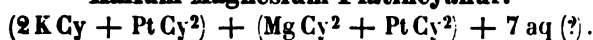
Wärmeleitung. v. Lang: Wien. Ak. Ber. 54. Pogg. A. 41

**Ammonium-Magnesium-Platincyantür.**

Zweigliedrig.  $a : b : c = 0,3949 : 4 : 0,6623$  Ditscheiner.

$o, p, c.$	Berechnet	Beobachtet
$o \left\{ \begin{array}{l} 2A = \\ 2B = 67^\circ 2' \\ 2C = 127 20 \end{array} \right.$		$*144^\circ 34'$ 67 4 127 20
$p : p = 136 54$		
$o : c =$		$*146 20$

Wien. Ak. Ber. 50.

**Kalium-Magnesium-Platincyantür.**

Eingliedrig.

$o, o', p, p', b, c.$

Grailich beobachtete:

$p : p' = 128^\circ 2'$	$b : c = 104^\circ 14'$
$b : p = 115 36$	$o : o' = 142 7$
$p' = 116 23$	$o' : b = 75 43$
$c : p = 92 50$	$c = 139 7$
$p' = 100 24$	$p' = 120 30$

**Roth.** Vor dem Dichroskop erscheint die Körperfarbe im durchfallenen **Lichte** orangebraun. Die Oberflächenfarbe: wenn die Einfallsebene **parallel** den Prismenkanten, ist *O* farblos, *E* violett bis blau. Wenn jene **senkrecht** zu denselben, ist *O* blau bis farblos, *E* farblos, schwach violett, und endlich **wieder** farblos. — Grailich S. 120.



Zwei- und eingliedrig.  $a : b : c = 0,5806 : 1 : 0,5527$  Topsøe.  
 $o = 72^\circ 27'.$

$s = a : \frac{1}{2}b : c. - p, q, b.$

	Berechnet	Beobachtet
$s : s = 112^\circ 26'$		$112^\circ 24'$
$p : p =$		$*122 4$
$q : q =$		$*124 27$
$b = 117 46,5$		117 43
$p =$		$*117 20$
$s : p = 148 0$		145 32
$q = 149 20$		

Kleine gelbe Prismen *p*; *s* und *b* sind selten. Einmal wurden noch zwei andere Augitpaare beobachtet.

Zwillinge nach *a*, so dass die *q* einspringende Winkel von  $149^\circ 3'$  (beob.  $149^\circ$ ) bilden.

Die Flächen sind wenig glänzend.

Volumgewicht 2,657. — Vet. Akad. Handl. 2. Bihang (1874).

**Didym-Platincyantür.**  $(\text{DiCy}^6 + 3 \text{PtCy}^2) + 18 \text{aq.}$ 

Zwei- und eingliedrig.  $a : b : c = 0,5806 : 1 : 0,5547$  Topst  
 $o = 72^\circ 30'.$

$s, p, q, b.$	Berechnet	Beobachtet
$p : p =$		$*122^\circ 3'$
$b =$	$118^\circ 58',5$	$118 \ 58$
$q : q =$		$*124 \ 29,5$
$b =$	$117 \ 45$	$117 \ 40$
$p =$		$*117 \ 16,5$
$s : p =$	$117 \ 57$	$117 \ 53$

Isomorph dem vorigen.

Röthlichgelb, starkglänzend; die Flächen fein gestreift.

Volumgewicht 2,679.

**Lanthan-Platincyantür.**  $(\text{LaCy}^6 + 3 \text{PtCy}^2) + 18 \text{aq.}$ 

Isomorph den vorigen.

	Beobachtet
$p : p =$	$122^\circ 0'$
$q : q =$	$124 \ 45$
$p =$	$118 \ 12$

Volumgewicht 2,626.

**Erbium-Platincyantür.**  $(\text{ErCy}^6 + 3 \text{PtCy}^2) + 24 \text{aq.}$ 

Zweigliedrig.  $a : b : c = 0,8962 : 1 : 0,649$  Topst e.

$o, o^2, p, c.$	Berechnet	Beobachtet
$o \left\{ \begin{array}{l} 2A = \\ 2B = \\ 2C = \end{array} \right.$	$\begin{array}{l} 126^\circ 2' \\ 119 \ 8 \\ 85 \ 43 \end{array}$	
$o^2 \left\{ \begin{array}{l} 2A = \\ 2B = \\ 2C = \end{array} \right.$	$\begin{array}{l} \\ 98 \ 4 \\ \end{array}$	$\begin{array}{l} *108^\circ 4' \\ 97 \ 43 \\ *123 \ 22 \end{array}$
$p : p =$	$96 \ 14,5$	$96 \ 33$
$o : c =$	$137 \ 8,5$	$137 \ 4$
$p =$	$132 \ 51$	
$o^2 : c =$		$*118 \ 49$
$p =$	$151 \ 41$	$152 \ 0$

Dicktafelartig nach  $c$ . Die Oktaederflächen oft unvollständig; andere Flächen treten zuweilen auf.

Ausser  $c$  sind die Flächen nicht glänzend, gestreift und oft gedunkelroth; auf den Oktaeder- und Prismenflächen lebhafter Metallglanz. Spaltbar vollkommen nach  $c$ .

Optische Axenebene =  $ac$ , Mittellinie =  $c$ ; positiv. Dispersionsvermögen gross,  $\rho > v$ .

Der Axenwinkel (in Öl) =  $18^\circ 55' - 58'$ ; also der scheinbare =  $27^\circ 55'$ .

Volumgewicht 2,620.

**Yttrium-Platincyantür.**  $(YCy^6 + 3 PtCy^2) + 21 aq.$ Zweigliedrig.  $a : b : c = 0,892 : 1 : 0,6457$  Topsöe.

Flächen wie beim vorigen.

	Berechnet	Beobachtet
$\left. \begin{array}{l} 2A = 126^\circ 15' \\ 2B = 119 \quad 6,5 \\ 2C = 85 \quad 20 \end{array} \right\} o$		
$\left. \begin{array}{l} 2A = 108 \quad 2 \\ 2B = 97 \quad 56 \\ 2C = 123 \quad 12,5 \end{array} \right\} o$		$108^\circ 19'$
$p : p =$		$97 \quad 44$
$o : c = 137 \quad 20$		$123 \quad 40$
$o^2 : c =$		$96 \quad 32$
		$137 \quad 16$
		$118 \quad 24$

Ausbildung wie beim vorigen.

Zwillinge nach einem  $p$  mit einspringenden Winkeln von  $166^\circ 56'$  (ob.  $166^\circ 57'$ ).Farbe wie beim Erbiumsalz. — Vollkommen spaltbar nach  $c$ .Optischer Charakter ebenso. Der Axenwinkel in Öl =  $18^\circ 17' - 31'$ , dass aus dem Mittel der scheinbare in Luft =  $27^\circ 8'$  folgt.

Volumgewicht 2,376.

**Thorium-Platincyantür.**  $(ThCy^4 + 2 PtCy^2) + 16 aq.$ Zweigliedrig.  $a : b : c = 0,4589 : 1 : 0,4485$  Topsöe. $P, r, b.$ 

	Berechnet	Beobachtet
$p : p =$		$130^\circ 42'$
$r : r =$		$144 \quad 8$
$p : b = 114^\circ 39'$		$114 \quad 39$
$r = 106 \quad 15$		$106 \quad 17$

Nadelförmige Prismen  $p, b$ .Sehr glänzend. Spaltbar vollkommen nach  $b$ .

Volumgewicht 2,464.

**Kalium-Platinsescyantür.**  $(2 KCy + PtCy^3) + 3 aq.$ 

Viergliedrig.

Feine achtseitige Prismen mit Endfläche. Im durchgehenden Lichte grün, im reflectirten eigenthümlich roth. — v. Rath: Pogg. A. 110, 110.

**Chlorkalium-Platincyantid.**  $(2 KCl + PtCy^4) + 2 aq.$ 

Eingliedrig.

 $o''', p, p', q, a, b, c.$ 

Approximative Messungen Naumanns:

$p : p' = 103^\circ$	$p : c = 102\frac{3}{4}^\circ$
$a = 127$	$p' : c = 112\frac{1}{2}$
$b = 123$	$q : c = 134$
$p' : a = 144\frac{1}{2}$	$o''' : c = 134$
$b = 134$	$b = 123$

Das rohe gelbe Salz bildet Combinationen  $a, c, p, q$ , prismatisch nach  $a$  und  $c$ . Das umkrystallisirte weisse zeigt ausserdem  $b, p', o''$ , prismatisch nach  $a, b, p, p'$ . Das erste bildet oft Zwillinge nach  $b$ . — Nauma J. f. pr. Ch. 37, 465.

Verwittert durch Wasserverlust.

**Chlorammonium-Platincyandid.**  $(2 \text{ Am Cl} + \text{Pt Cy}^4) + 2 \text{ aq.}$

Zwei- und eingliedrig.  $a : b = 4,8807 : 4$  Topsöe.

$$o = 69^\circ 33'.$$

$p, b, c$ .

Beobachtet

$$\begin{aligned} p : p &= *59^\circ 9' \\ b &= *450 \ 26 \\ c &= *440 \ 27 \end{aligned}$$

Fast farblose Krystalle, die Flächen glänzend, doch schnell witternd. — Topsöe: Wien. Ak. Ber. 73 (Jan. 1876). Vgl. I-3 (Blomstrand): Ber. d. chem. Ges. 1875, 124.

**Bromammonium-Platincyandid.**  $2 \text{ Am Br} + \text{Pt Cy}^4$ .

Zwei- und eingliedrig.  $a : b : c = 0,9657 : 4 : 0,7897$  Topsöe.

$$o = 74^\circ 34'.$$

$o, p, c$ .

Berechnet

Beobachtet

$$\begin{aligned} p : p &= *94^\circ 6' \\ c &= *104 \ 44 \\ o : o &= 123^\circ 22' \\ p &= 444 \ 18 \\ c &= 436 \ 56 \end{aligned}$$

Zwillinge. Zwillingfläche  $c$ , Zwillingssaxe eine Normale auf  $c$ .

Grosse gelbe vierseitige Tafeln nach  $c$ , welches oft gewölbt

Topsöe: S. o.

**Bromkalium-Platincyandid.**  $2 \text{ K Br} + \text{Pt Cy}^4$ .

Zwei- und eingliedrig.  $a : b : c = 0,93 : 4 : 0,79$  Topsöe.

$$o = 73^\circ 15'.$$

Isomorph dem vorigen.

$o, o', q, b, c$ .

Rothgelbe sechseckige Tafeln nach  $c$ , deren Randkantenflächen schmal und kaum messbar sind. Auch ist  $c$  gekrümmt. Ausser den paaren  $o$  kamen noch andere vor.

Gefunden wurde:

$$\begin{aligned} q : b &= 127^\circ 15' \\ o : q &= 442 \ 0 \\ o : o' &= 114 \ 15 \end{aligned}$$

Topsöe: S. o.

**Chlorbaryum-Platincyandid.**  $(\text{Ba Cl}^2 + \text{Pt Cy}^4) + 5 \text{ aq.}$ **Viergliedrig.**  $a : c = 1 : 0,878$  Topsöe.

$a, d^2, c.$	Berechnet	Beobachtet
$o \begin{cases} 2A = \\ 2C = 102^\circ 18' \end{cases}$		$*113^\circ 10'$
$d^2 \begin{cases} 2A = 104 \ 12 \\ 2C = 120 \ 40 \end{cases}$		104 11
$c : o = 128 \ 51$		129 3
$d^2 = 119 \ 40$		119 46
$o : d^2 = 142 \ 6$		

Grosse schwach grüngelbe Tafeln durch Vorherrschen von  $c$ . Die Flächen sind stark glänzend.

Optisch einaxig, negativ.

**Brombaryum-Platincyandid.**  $(\text{Ba Br}^2 + \text{Pt Cy}^4) + 5 \text{ aq.}$ **Viergliedrig.**  $a : c = 1 : 0,9074$  Topsöe.

Flächen wie vorher.

	Berechnet	Beobachtet
$o \begin{cases} 2A = 112^\circ 13',5 \\ 2C = 104 \ 6 \end{cases}$		$112^\circ 15'$ 104 2
$d^2 \begin{cases} 2A = 103 \ 29 \\ 2C = 122 \ 15 \end{cases}$		122 23
$c : o =$		$*127 \ 57$
$d^2 = 118 \ 52,5$		118 52
$o : d^2 = 144 \ 45$		144 46

Grosse goldgelbe Tafeln. Isomorph und optisch gleich dem vorigen.

**Bromblei-Platincyandid.**  $(\text{Pb Br}^2 + \text{Pt Cy}^4) + 2 \text{ aq.}$ **Zwei- und eingliedrig.**  $a : b = 1,137 : 1$  Topsöe. $o = 46^\circ 36'.$ 

$p, b, c.$	Berechnet	Beobachtet
$p : p =$		$*100^\circ 53'$
$b = 129^\circ 33',5$		
$c =$		$*121 \ 59$

Kleine rothgelbe Prismen, oft nach  $b$  abgeplattet. Die Flächen sind eben, schlecht spiegelnd.

**Brommangan-Platincyandid.**  $(\text{Mn Br}^2 + \text{Pt Cy}^4) + 5 \text{ aq.}$ 

Regulär. Topsöe.

Rotthgelbe Würfel, in Combination mit dem Granatoeder. Die Flächen streift, nicht gut spiegelnd.

Sehr vollkommen spaltbar nach dem Würfel.

**Bromkadmium-Platincyandid.**  $(\text{Cd Br}^2 + \text{Pt Cy}^4) + 5 \text{ aq.}$ 

Regulär. Topsöe.

Braungelbe Würfel, deren Flächen gestreift und sehr uneben sind. Spaltbar sehr vollkommen nach dem Würfel. Verwittert sehr schnell.

**Kalium-Palladiumcyanür.**  $(2\text{K Cy} + \text{Pd Cy}^2) + \text{aq.}$ 

Zwei- und eingliedrig.  $a : b : c = 1,95 : 4 : 2,385$  Rammelsberg  
 $\alpha = 73^\circ 0'$ .

$p, q, a, c.$	Berechnet	Beobachtet
$p : p =$	$56^\circ 24'$	$56^\circ 24'$
$a =$		$*118 \ 42$
$c =$		$*97 \ 57$
$q : q =$	$48 \ 0$	
$c =$		$*114 \ 0$
$a : c =$	$107 \ 0$	$107 \ 3$

Oft tafelartig nach  $c$ , welches meist matt und etwas gewölbt ist  
 Isomorph dem Kalium-Nickelcyanür. — Pogg. A. 42, 437.

**Baryum-Palladiumcyanür.**  $\text{Ba Cy}^2 + \text{Pd Cy}^2 (?)$ .

Zwei- und eingliedrig.  $a : b : c = 0,8634 : 4 : 0,4858$  Keferstein  
 $\alpha = 76^\circ 22'$ .

$p, q, a, b.$	Beobachtet
$p : p =$	$*100^\circ 0'$
$q : q =$	$*129 \ 27$
$p : q =$	$*96 \ 23$

Lange Prismen  $p$ . Farblos. Unvollkommen spaltbar nach  $c$ . —  
 ferstein: Pogg. A. 99, 282.

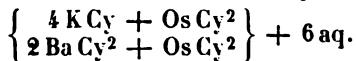
**Kalium-Osmiumcyanür.**  $(4\text{K Cy} + \text{Os Cy}^2) + 3\text{aq.}$ 

Isomorph dem gelben Blutlaugensalz und von gleichem optische  
 halten.

Meist feine gelbe nicht gut messbare Blättchen. — Martius:  
 Ch. Ph. 417, 362.

**Baryum-Osmiumcyanür.**  $(2\text{Ba Cy}^2 + \text{Os Cy}^2) + 6\text{aq.}$ 

Röthlichgelbe zweigliedrige Krystalle, meist nur Prisma und  
 fläche. A. a. O. 366.

**Kalium-Baryum-Osmiumcyanür.**

Sechsgliedrig-rhomboedrisch. Ein spitzes Rhomboeder mit End  
 Wahrscheinlich isomorph dem Eisensalz. A. a. O. 367.

**Kalium-Rutheniumcyanür.**  $(4\text{K Cy} + \text{Ru Cy}^2) + 3\text{aq.}$ 

Farblose Krystalle, gleich denen des Osmiumsalses. Claus.

**Kalium-Iridiumcyanid.**  $6\text{K Cy} + \text{Ir Cy}^6.$ 

Gelblichweisse Krystalle und Zwillinge, von der Form des rothen  
 laugensalzes. — Martius: a. a. O. 369.



**Baryum-Iridiumcyanid.**  $(3 \text{ Ba Cy}^2 + \text{Ir Cy}^6)$ .

Farblose schnell verwitternde zweigliedrige Krystalle. A. a. O. 371.

**Kalium-Rhodiumcyanid.**  $6 \text{ K Cy} + \text{Rh Cy}^6$ .

Gleich dem Iridiumsals. A. a. O. 372.

**Nitroprussidammonium.**  $4 \text{ Am Cy} + \text{Fe Cy}^6 + 2 \text{ NO}$ .Zweigliedrig.  $a : b : c = 0,9668 : 1 : 1,3833$  Miller.

$p, r, a, c.$	Berechnet	Beobachtet
$p : p =$		$94^\circ 56'$
$r : r =$		$69 \quad 54$
$p : r = 126^\circ 6'$		

n. Ch. Ph. 74, 334.

**Nitroprussidkalium.**  $4 \text{ K Cy} + \text{Fe Cy}^6 + 2 \text{ NO}$ .Zweigliedrig.  $a : b : c = 0,8948 : 1 : 0,8176$  Miller. $\alpha = 71^\circ 0'$ . $\alpha, p, \frac{q}{2}, r', b.$ 

	Berechnet	Beobachtet
$\alpha' : \alpha' =$		$110^\circ 78'$
$p : p = 99^\circ 32'$		
$b =$		$130 \quad 14$
$\frac{q}{2} : \frac{q}{2} = 137 \quad 44$		
$b =$		$111 \quad 8$
$p : r' = 113 \quad 47$		$113 \quad 55$
$\alpha' : b = 124 \quad 46$		$125 \quad 55$

Prismatisch nach  $p$ . A. a. O. 327.**Nitroprussidnatrium.**  $(4 \text{ Na Cy} + \text{Fe Cy}^6 + 2 \text{ NO}) + 4 \text{ aq.}$ Zweigliedrig.  $a : b : c = 0,765 : 1 : 0,4115$  Rammelsberg. $s = a : \frac{1}{2}b : c. - p, q, r, r^2, a, b.$ 

	Berechnet	Beobachtet			
		Rammelsb.	Miller	Sénarmont	v. Lang.
$\left. \begin{array}{l} 2A = 108^\circ 8' \\ 2B = 134 \quad 54 \\ 2C = 89 \quad 14 \end{array} \right\}$				$108^\circ 40'$	
$p : p =$		$105^\circ 10'$	$105^\circ 17'$	$105 \quad 20$	$105^\circ 22'$
$a = 112 \quad 35$		$112 \quad 46$			
$b = 127 \quad 25$		$127 \quad 25$			$127 \quad 15$
$q : q =$		$135 \quad 16$	$136 \quad 32$	$135 \quad 40$	
$b = 112 \quad 22$		$112 \quad 22$			$112 \quad 3$
$r : r = 123 \quad 28$			$124 \quad 52$	$123 \quad 50$	
$r^2 : r^2 = 85 \quad 50$				$86 \quad 15$	
$p : q = 103 \quad 22$					$102 \quad 8$
$r = 112 \quad 6$					
$q : r = 114 \quad 32$					
$s : r = 114 \quad 4$					$115 \quad 40$

Miller: a. a. O. 328. — Rammelsberg: Pogg. A. 87, 107  
Sénarmont: Mitthlg.

Prismatisch nach  $p$ , unsymmetrisch;  $s$  scheint in Form von zweistraedern aufzutreten, von denen das grössere glänzend, das andere nicht sichtbar ist.

Volumgewicht 4,740 Schröder, 4,689 Clarke.

Stark diamagnetisch. — Grailich und Lang: Wien. Ak. Ber. — Elektrolyse. Vgl. Kaliumeisencyanür.

**Nitroprussidbaryum.**  $2\text{BaCy}^2 + \text{FeCy}^6 + 2\text{NO}$  (aq?).

Viergliedrig.  $a : c = 1 : 0,6968$  Miller.

$o, a, c.$	Berechnet	Beobachtet
$\begin{cases} 2A = \\ 2C = \end{cases}$	$\begin{cases} 89^\circ \\ 8' \end{cases}$	$\begin{cases} *120^\circ \\ 30' \end{cases}$

**Nitroprussidcalcium.**  $2\text{CaCy}^2 + \text{FeCy}^6 + 2\text{NO}$  (aq?).

Zwei- und eingliedrig.

Prismen  $p$  von  $40^\circ$ , mit Abstumpfung der scharfen Kanten  $a$  und schiefen Endfläche  $c$ ;  $a : c = 98^\circ$ . — Miller: a. a. A. 335.

### Sulfocyanüre (Rhodanide).

**Schwefelcyanammonium.**  $\text{AmCyS}$ .

Gleiche Th. Salz und Wasser geben eine T.-Erniedrigung von  $4 - 12^\circ$ . — Clowes: Ch. News 43, 76. — 133 Th. mit 400 Wasser eine solche von  $13^\circ,2$  bis  $-18^\circ$  Rüdorff.

**Schwefelcyanalkalium.**  $\text{KCyS}$ .

Schmelzpunkt.  $164^\circ,2$  Pohl.

Färbt sich beim Schmelzen vorübergehend blau. — Nöllner: A. 98, 189.

Elektrolyse: S. Kaliumeisencyanür.

Löslichkeit. 150 Th. Salz in 100 Th. Wasser machen die  $10^\circ,8$  auf  $-23^\circ,7$  sinken. Rüdorff.

Lösungswärme. Berthelot: C. r. 77, 24.

**Schwefelcyanthallium.**  $\text{TlCyS}$ .

Viergliedrig.  $a : c = 1 : 0,5593$  Miller.

$o, p, a.$	Berechnet	Beobachtet
$\begin{cases} 2A = \\ 2C = \end{cases}$	$\begin{cases} 127^\circ \\ 58' \\ 76 \\ 40 \end{cases}$	$\begin{cases} *116^\circ \\ 4' \end{cases}$

Herrschend  $a$ . Sehr unsymmetrisch.

Zwillinge nach  $o$ . — Proc. R. Soc. 14, 555.

**Schwefelcyanblei.**  $\text{PbCy}^2\text{S}^2$ .

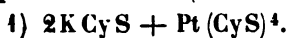
Zwei- und eingliedrig.  $a : b : c = 1,259 : 1 : 1,443$  Sch;  
 $o = 87^\circ 40'$ .

$o, o', a, c. — n = 3a : b : c.$

	Berechnet	Beobachtet
$o : o =$	$94^{\circ} 12'$	
$o' : o' =$	$91 \ 26$	
$n : n =$		$120^{\circ} 34'$
$a : c =$	$92 \ 20$	
$c : o =$	$149 \ 38$	
$o' =$	$146 \ 55$	
$n =$		$144 \ 30$

Volumgewicht 3,82.

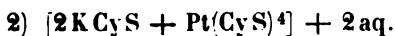
**Schwefelcyanplatinkalium.** (Kalium-Platinrhodanid.)



Regulär. Oktaeder.

Durch Vorherrschen einer Fläche dünne sechseckige carminrothe Blättchen. Granatoederflächen, als schmale Abstumpfung der Kanten. — eferstein: Pogg. A. 99, 295.

Optisches Verhalten. Grailich: Kryst.-opt. Unters. 124.

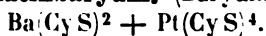


Zwei- und eingliedrig.  $a : b : c = 0,6529 : 1 : 1,0504$  Wyrouboff.  
 $o = 80^{\circ} 46'.$

$o', \frac{o'}{2}, p, q^2, c.$	Berechnet	Beobachtet
$o' : o' =$	$119^{\circ} 8'$	$119^{\circ} 0'$
$\frac{o'}{2} : \frac{o'}{2} =$	$113 \ 16$	
$p : p =$		$114 \ 25$
$c =$		$97 \ 45$
$q^2 : q^2 =$	$54 \ 30$	$52 \ 52$
$o' : c =$		$112 \ 5$
$p =$	$150 \ 10$	$150 \ 10$
$\frac{o'}{2} : c =$	$98 \ 50$	$98 \ 47$
$p =$	$164 \ 25$	$164 \ 9$

Tafelartig nach  $c$ , oder  $p$  und  $o'$  ziemlich gleich;  $c$  fehlt öfter; die  $q^2$  d vertical gestreift. Ann. Ch. Phys. (5) 10.

**Schwefelcyanplatinbaryum.** (Baryum-Platinrhodanid.)

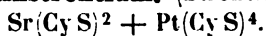


Zweigliedrig. Grailich.

Dünne Blättchen nach  $c$ , an denen sich nur messen liess

$$r : r = 79^{\circ} 3'; \quad r : c = 129^{\circ} 33'; \quad r : a = 140^{\circ} 25'.$$

**Schwefelcyanplatinstrontium.** (Strontium-Platinrhodanid.)



Zwei- und eingliedrig.  $a : b : c = 0,6084 : 1 : 2,0926$  Grailich.

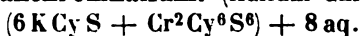
$$o = 84^{\circ} 25'.$$

$o, o', r', b, c.$	Berechnet	Beobachtet
$o : o = 118^\circ 18'$		
$o' : o' =$		$*120^\circ 54'$
$o : o' = 67 \ 44$		
$o : o' =$		$*152 \ 40$
$r' : c = 100 \ 59$		
$o : b = 119 \ 33$		$119 \ 30$
$c =$		$*108 \ 25$
$o' : b = 120 \ 51$		
$c = 99 \ 25$		$99 \ 15 \text{ (bis } 100^\circ 30')$

Die Oktaederflächen sind gestreift nach der ersten Kantenzone allein ist glatt.

Dunkelrothe, nach  $c$  oft tafelartige Krystalle, meist sehr unstrich gebildet. Sie erinnern an reguläre Combinationen, sind aber durchbrechend. Kryst.-opt. Unters. 126.

#### Schwefelcyanchromkalium. (Kalium-Chromrhodanid.)



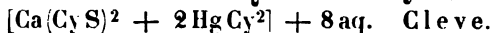
Zweigliedrig.  $a : b : c = 0,5773 : 1 : 0,3765$  Rammelsb.

$o, p, q^2, b, c.$	Berechnet	Beobachtet
$o \left\{ \begin{array}{l} 2A = 145^\circ 0' \\ 2B = 117 \ 10 \\ 2C = 74 \ 0 \end{array} \right.$		
$p : p =$		$*120^\circ 0'$
$b = 120 \ 0$		
$q^2 : q^2 = 106 \ 2$		
$c = 143 \ 1$		
$o : p =$		$*127 \ 0$
$c = 143 \ 1$		

Die Flächen sind wenig glänzend. Die Krystalle sind oft nach Zone  $p, o, o$  prismatisch.

Volumgewicht. 4,705 Clarke.

#### Calciumrhodanid-Quecksilbercyanid.



Zwei- und eingliedrig.  $a : b : c = 2,35 : 1 : 3,212$  Topsøe.  
 $o = 76^\circ 32'.$

$p, r', 2r', a, c.$	Berechnet	Beobachtet
$p : p = 47^\circ 16'$		$47^\circ 30'$
$a =$		$*113 \ 38$
$c = 95 \ 21$		$95 \ 22$
$a : c =$		$*103 \ 28$
$r' = 139 \ 23$		
$2r' = 158 \ 45,5$		
$c : r' =$		$*117 \ 9$
$2r' = 97 \ 46,5$		$98 \ 20$
$p : r' = 107 \ 43$		$107 \ 37$
$2r' = 111 \ 56$		

Sehr dünne sechsseitige Tafeln nach *c*, an denen alle Flächen, ausser *a* und *p*, selten sind.

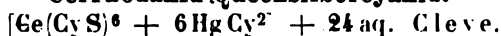
Spaltbar vollkommen nach *c*. Die übrigen Flächen wenig spiegelnd.

Verwittert schnell.

Volumgewicht 2,613 (annähernd).

Vet. Ak. Handl. Bd. 2 (Anhang). 1874.

### Cerrhodanid-Quecksilbercyanid.



Zwei- und eingliedrig.  $a : b : c = 2,292 : 1 : 2,5655$  Topsöe.  
 $\alpha = 87^\circ 21'$ .

$\alpha, \alpha', \frac{\alpha'}{2}, p, r, r', a, c$ .

	Berechnet	Beobachtet
$\alpha : \alpha =$	$61^\circ 50'$	
$\alpha' : \alpha' =$	$59 \ 34$	$59^\circ 18'$
$\frac{\alpha'}{2} : \frac{\alpha'}{2} =$	$97 \ 32$	
$p : p =$	$47 \ 11,5$	$47 \ 30$
$c =$	$91 \ 4$	$90 \ 57$
$a : c =$		$92 \ 39$
$r =$	$139 \ 24$	$139 \ 33$
$r' =$	$137 \ 3$	$137 \ 12$
$c : r =$	$133 \ 15$	$133 \ 4$
$r' =$	$130 \ 18$	$129 \ 40$
$\alpha : c =$	$110 \ 37$	$110 \ 39$
$a =$	$112 \ 58$	$113 \ 48$
$\alpha' : c =$		$108 \ 44$
$a =$		$111 \ 49$
$\frac{\alpha'}{2} : c =$	$124 \ 52$	

Tafelartig nach *c*, dem folgenden gleichend.

Zwillinge nach *c*. Spaltbar nach *a*.

Optisch gleich dem Lanthansalz.

Volumgewicht 2,692.

### Lanthanrhodanid-Quecksilbercyanid. $[\text{La}(\text{CyS})^6 + 6\text{HgCy}^2 + 24\text{aq.}]$

Zwei- und eingliedrig.  $a : b : c = 2,2787 : 1 : 2,5787$  Topsöe.  
 $\alpha = 87^\circ 23'$ .

Die Flächen des vorigen und  $2p'$ .

	Berechnet	Beobachtet
$\alpha : \alpha =$	$61^\circ 53'$	
$\alpha' : \alpha' =$	$59 \ 38$	$59^\circ 44'$
$p : c =$	$91 \ 3$	$91 \ 7$
$a : c =$		$92 \ 37$
$r =$	$139 \ 42$	
$r' =$	$137 \ 24$	
$2p' =$	$155 \ 46$	

	Berechnet	Beobachtet
$c : r = 132^{\circ} 55'$		$132^{\circ} 59'$
$r' = 129 \ 59$		$129 \ 46$
$2r' = 111 \ 37$		$111 \ 11$
$o : c = 110 \ 30$		$110 \ 33$
$o' : a =$		$111 \ 28$
$c =$		$108 \ 38$
$\frac{o'}{2} : c = 121 \ 42$		$121 \ 41$

Isomorph dem vorigen.

Farblos und stark glänzend. Spaltbar nach  $a$ .

Ebene der optischen Axen =  $ac$ , Mittellinie wenig abwe  
einer Normale auf Fläche  $c$ ; positiv. Axenwinkel in Öl =  $75^{\circ} 2$   
der scheinbare =  $127^{\circ} 16'$ .

**Didymrhodanid-Quecksilbercyanid.**  $[\text{Di}(\text{CyS})^6 + 6 \text{HgCy}^2]$

Zweigligdrig.  $a : b : c = 0,3556 : 1 : 0,2449$  Topsö

$o, p, 2p, \frac{q}{2}, b, c.$	Berechnet	Beobachtet
$o \left\{ \begin{array}{l} 2A = 157^{\circ} 12' \\ 2B = 112 \ 26 \\ 2C = 72 \ 20 \end{array} \right.$		
$p : p = 140 \ 51$		
$b =$		$109^{\circ} 34',5$
$2p : 2p = 109 \ 10$		
$b = 125 \ 25$		$125 \ 29$
$\frac{q}{2} : \frac{q}{2} = 129 \ 48$		
$b = 115 \ 6$		$116 \ 13$
$c = 153 \ 54$		
$o : b = 101 \ 24$		
$c = 143 \ 50$		
$p =$		$126 \ 10$

Kleine schwach röthliche nadelförmige Prismen.

Optische Axenebene =  $bc$ , Mittellinie =  $b$ , positiv; Axe  
Öl etwa  $56^{\circ} 50'$ , Dispersion  $\rho < v$ .

Volumgewicht 2,697.

**Yttriumrhodanid-Quecksilbercyanid.**  $[\text{Y}(\text{CyS})^6 + 6 \text{HgCy}^2]$

Eingliedrig.  $a : b : c = 2,2815 : 1 : 2,5836$  Topsö

$A = 100^{\circ} 55'$	$\alpha = 100^{\circ} 19'$
$B = 103 \ 14$	$\beta = 102 \ 40$
$C = 93 \ 55$	$\gamma = 91 \ 30$

$\frac{o'}{2}, \frac{o''}{2}, \frac{o'''}{4}, p, p', r, r', a, c.$

	Berechnet	Beobachtet
$p : p' =$	$47^{\circ} 38'$	$47^{\circ} 46'$
$a : p' =$		$417 \ 13$
$p =$	$110 \ 25$	$110 \ 28$
$c : p =$		$94 \ 42$
$p' =$		$404 \ 58$
$a : c =$		$403 \ 44$
$r' =$	$132 \ 48$	$132 \ 23$
$c : r =$	$439 \ 9$	$438 \ 56$
$r' =$	$124 \ 28$	$124 \ 48$
$\frac{o'}{2} : a =$	$416 \ 58$	$416 \ 57$
$c =$	$434 \ 59$	$434 \ 55$
$p' =$	$449 \ 59$	$450 \ 0$
$\frac{o''}{2} : c =$		$414 \ 56$
$p' =$	$440 \ 7$	$440 \ 16$
$\frac{o''}{4} : c =$	$440 \ 7$	$439 \ 54$
$p' =$	$444 \ 55$	$444 \ 28$

Farblose Tafeln nach  $c$ , selten vollständig ausgebildet. Lebhaft glänzend.

Zwillinge nach  $c$ . Spaltbar nach  $c$  und  $p$ .

Volumgewicht 2,544.

**Erbiumrhodanid-Quecksilbercyanid.**  $[\text{Er}(\text{CyS})^6 + 6\text{HgCy}^2 + 24\text{aq.}]$

Eingliedrig.  $a : b : c = 2,2697 : 1 : 2,5976$  Topsöe.

$A = 100^{\circ} 55'$	$\alpha = 100^{\circ} 19'$
$B = 103 \ 40$	$\beta = 102 \ 40$
$C = 93 \ 55$	$\gamma = 94 \ 30$

Die Flächen des vorhergehenden.

	Berechnet	Beobachtet
$a : p =$		$410^{\circ} 39'$
$p' =$		$417 \ 44$
$c : p =$		$94 \ 45$
$p' =$	$405^{\circ} 2'$	$405 \ 8$
$a : c =$		$403 \ 40$
$r' =$	$132 \ 43$	
$c : r' =$		$424 \ 7$
$\frac{o}{2} : p' =$	$450 \ 8$	
$\frac{o''}{2} : c =$	$414 \ 40$	$414 \ 44$
$p' =$	$440 \ 18$	$439 \ 51$

Kleine schwach röthliche Tafeln oder dünne Blättchen nach  $c$ . Perlmutterglanz auf der sehr vollkommenen Spaltungsfläche  $c$ .

Volumgewicht 2,740.

## Oxalsäure und deren Salze.

### Oxalsäure.

#### 1) Säure. $\text{H}^2\text{C}^2\text{O}^4$ .

Zweigliedrig.  $a : b : c = 0,868 : 1 : 0,897$  Loschmidt.

$o, b$ .

	Berechnet	Beobachtet
$o \left\{ \begin{array}{l} 2A = \\ 2B = \\ 2C = 100^\circ 34' \end{array} \right.$		$*119^\circ 20'$ $*109 \quad 0$
$o : b = 120 \quad 20$		

Stark glänzende, schnell sich trübende Krystalle.

Durch Sublimation des verwitterten Hydrats oder aus der Lösung in Salpetersäure. — Wien. Ak. Ber. 51 \*).

#### 2) Hydrat. $\text{H}^2\text{C}^2\text{O}^4 + 2\text{aq}$ .

Zwei- und eingliedrig.  $a : b : c = 1,695 : 1 : 3,336$  De la Provostaye.

$o' p, q, r, r', c$ .

	Berechnet	Beobachtet			
		Dela Provost.	Brooke	Sénarmont	Rammelsb.
$o' : o' = 62^\circ 28'$					
$p : p =$		$*63^\circ 8'$	$63^\circ 5'$	$63^\circ 5'$	$63^\circ 16'$
$q : q = 34 \quad 40$		$34 \quad 36$		$34 \quad 30$	$34 \quad 16$
$c = 107 \quad 20$			$107 \quad 0$	$107 \quad 25$	$107 \quad 10$
$r : r' = 52 \quad 44$					$53 \quad 0$
$c : r =$		$*129 \quad 20$	$129 \quad 20$	$129 \quad 20$	$129 \quad 22$
$r' =$		$*103 \quad 24$	$103 \quad 15$	$103 \quad 15$	$102 \quad 53$
$p : c = 98 \quad 24$			$98 \quad 30$	$98 \quad 25$	$98 \quad 15$
$q \left\{ \begin{array}{l} = 140 \quad 19 \\ = 149 \quad 0 \end{array} \right.$					
$r = 118 \quad 47$					
$r' = 117 \quad 4$		$117 \quad 2$			
$q : r = 100 \quad 53$					
$r' = 93 \quad 58$					
$o' : c = 96 \quad 55$				$96 \quad 50$	
$p = 164 \quad 40$				$164 \quad 45$	
$q = 148 \quad 26$					

Fig. 13.

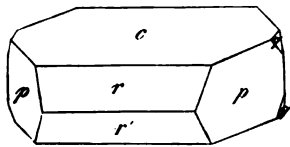


Fig. 13. — Prismatisch nach der Verticalzone und öfter zugleich tafelartig nach  $c$ . — Spaltbar nach  $p$ .

Brooke: Ann. Phil. 22, 449. — De la Provostaye: Ann. Ch. Phys. (3) 4, 433. — Sénarmont: Mittheilung. — Rammelsberg: Pogg. A. 93, 24.

\* Von Villiers später (C. r. 90, 821) als neu beschrieben.



Wählt man die  $p$  und  $o'$  zum Oktaid, so lassen sich die Krystalle auf rechtwinklige Axen beziehen. Man hat dann

$$\begin{aligned} p &= n = 3a : b : c & r &= r = a : c : \infty b \\ o' &= n' = 3a' : b : c & r' &= \frac{r'}{3} = 3a' : c : \infty b \\ q &= \frac{1}{2}p = 3a : 2b : \infty c & c &= a = a : \infty b : \infty c. \end{aligned}$$

Dann ist  $a : b : c = 2,1638 : 1 : 1,6952$   
 $\alpha = 88^\circ 29'$ .

Optisches. Starke Doppelbrechung. Die Ebene der optischen Axen senkrecht zur Axenebene  $ac$  und fast senkrecht zu  $ab$  (oder der basalen Endfläche  $c$ ). Mittellinie =  $b$ . Scheinbarer Axenwinkel  $110$ — $112^\circ$  Armon.

Er ist  $115^\circ 30'$  und  $\mu$  ( $\beta$  Des Cloizeaux) = 1,499. Miller.

Er ist =  $113^\circ 36'$ . An einer Platte, senkrecht zur Mittellinie, fanden bei  $22^\circ$   $2E = 117^\circ 16'$  Roth;  $118^\circ 33'$  Blau.

Die Dispersion der Axen ist mithin nicht stark. Die drehende Dispersion ist schwach, denn die Ebenen der rothen und blauen Axen differiren um  $0^\circ 13'$ . Die erstere macht

$4^\circ 29' 30''$ mit einer Normale auf die Fläche $c$					
52	9	30	-	-	$r$
75	15	30	-	-	$r'$

die letztere sind diese Winkel

$4^\circ 16' 30''$ ;  $54^\circ 56' 30''$ ;  $75^\circ 28' 30''$  Des Cloizeaux.

Kub. Ausdehnung der krystallisirten O. von  $0$ — $100^\circ = 0,02748$ . Le und Playfair.

Volumgewicht 1,644 Joule und Playfair; 1,63 Husemann; 1,619 Buignet; 1,534 Rudorff; 1,653 ( $18^\circ$ ) Wilson.

Löslichkeit. — 100 Th. Wasser lösen von kryst. Oxalsäure

bei $0^\circ$	5,2 Th.	bei $50^\circ$	51,2 Th.
10	8,0 -	60	75,0 -
20	13,9 -	70	117,7 -
30	23,0 -	80	204,7 -
40	35,0 -	90	345,0 - Alluard.

Bei gleichzeitiger Gegenwart von Aether Berthelot und Jung-  
 isch: C. r. 69, 338.

Zusammendrückbarkeit der Lösungen. Aimé: Pogg. A. Ergbd. 2, 240.

Brechungsverhältnisse. Sauber: Pogg. A. 117, 584.

Bei  $17^\circ,5$  ist das V. G. der Lösung

$$\begin{aligned} \text{von 5 pCt. Säure} &= 1,0160 \\ 10 - - - &= 1,0274 \\ \text{der gesättigten} &= 1,0320 \text{ Franz.} \end{aligned}$$

Thermochemisches. — Thomsen: Pogg. A. 110, 499. 113, 354.  
 d. ch. G. 1873, 710. — Andrews: J. Ch. Soc. (2) 8, 432. — Ber-  
 elot: C. r. 77, 24.

Thermische Erscheinungen bei der Elektrolyse Favre: C. r. 73, 1085.

**Oxalsaure Salze.**

(Oxalate).

**Einfache.****Oxalsaures Ammoniak.**1) Einfach.  $\text{Am}^2\text{C}^2\text{O}^4 + \text{aq.}$ Zweigliedrig.  $a : b : c = 0,78 : 4 : 0,74$  Brooke. $\frac{o}{2}$ ,  $p$ ,  $q$ ,  $a$ ,  $b$ ,  $c$ .

	Berechnet	Beobachtet		
		Brooke	Rammelsbg.	De la Provost.
$\frac{o}{2}$	$\left\{ \begin{array}{l} 2A = 143^\circ 2' \\ 2B = 132 \quad 44 \\ 2C = 62 \quad 4 \end{array} \right.$			
$p : p =$		$^{*}404^\circ 6$	$404^\circ 2'$	$403^\circ 50'$
$a = 142 \quad 3$			$141 \quad 46$	$142 \quad 12$ (Grail
$b = 127 \quad 57$			$127 \quad 55$	$128 \quad 5$
$q : q = 107 \quad 0$			$106 \quad 52$	
$c =$		$^{*}143 \quad 30$	$143 \quad 29$	$143 \quad 26$
$b = 126 \quad 30$			$126 \quad 24$	
$p : q = 111 \quad 27$			$111 \quad 23$	
$\frac{o}{2} : c = 148 \quad 58$			$148 \quad 56$	$149 \quad 0$
$p = 121 \quad 2$		$121 \quad 0$	$121 \quad 10$	

Unsymmetrische Combinationen. Nach Provostaye 1 mit der halben Flächenzahl vor; ich habe nur eine Fläche beobachtet ist  $p : c = 90^\circ$ ). — Brooke: Ann. Phil. 22, 374. — De la Provostaye: Ann. Ch. Phys. (3) 4, 453. — Rammelsberg: S. o. Unvollkommen spaltbar nach  $c$ . — Doppelbrechung sehr s. Ebene der optischen Axen  $= bc$ , Mittellinie  $= c$ . Negativer Axenwinkel über  $100^\circ$ ,  $q > v$ . Grailich. — Vgl. Br Ak. Ber. 55, 870.

Kub. Ausdehnung von  $0-100^\circ = 0,00876$  Joule und Volumgewicht. 1,50 Joule und Playfair; 1,475 S. Buignet.

Löslichkeit. — Bei  $45^\circ$  in 23,7 Th. Wasser. Nichols. Brechungsverhältnisse der Lösung. Sauber: Pogg. A. 41

2) Zweifach.  $\text{HAmC}^2\text{O}^4 + \text{aq} = \left\{ \begin{array}{l} \text{Am}^2\text{C}^2\text{O}^4 + \text{aq} \\ \text{H}^2\text{C}^2\text{O}^4 + \text{aq} \end{array} \right\}$ . (R:

Zweigliedrig.  $a : b : c = 0,9048 : 4 : 0,5593$  De la o.  $o^2$ ,  $p^2$ ,  $q$ ,  $r$ ,  $r^2$ ,  $a$ ,  $b$ ,  $c$ .

Berechnet		Beobachtet	
		De la Provostaye	Rammelsberg
o	$2A = 129^{\circ} 6'$		$129^{\circ} 10'$
	$2B = 123 18$		
	$2C = 79 38$		
r	$2A = 101 2$		
	$2B = 109 44$		
	$2C = 118 6$		
p	$p^2 = 131 44$		
	$a = 155 37$		$155 16$
	$b =$	$*114^{\circ} 23'$	$114 20$
q	$q : q = 121 34$		
	$b = 119 13$		$119 16$
	$c =$	$*150 47$	$150 46$
r	$r : r = 116 34$		$116 54$
	$a = 121 43$		$121 30$
	$c = 148 17$		$148 30$
r	$r^2 = 77 56$		
	$a = 141 2$		$141 6$
	$c = 128 58$	$129 5$	
p	$p^2 : q = 101 38$		$101 26$
	$r = 118 37$		$118 27$
	$q : r = 137 56$		$138 17$
o	$a = 118 21$		$118 13$
	$b = 115 27$		$115 12$
	$c = 140 11$		$140 29$
	$q = 151 39$		$151 50$
	$r = 154 33$		$154 45$

Fig. 14.

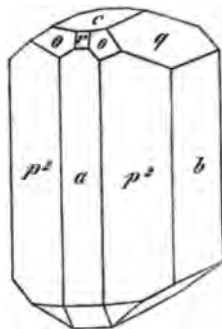
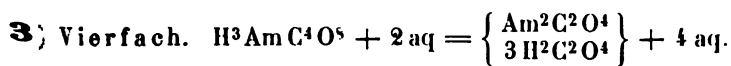


Fig. 14. —  $o^2$  wurde von Provostaye beobachtet. Die  $o$  und  $r$  sind nicht immer vollzählig. Zuweilen prismatisch nach  $r$  und  $c$ , oder tafelförmig nach  $a$ . — Spaltbar sehr vollkommen nach  $b$ . — Lit. s. o.

Volumgewicht. 1,556 Schiff.

1 Th. erfordert bei  $44^{\circ},5$  15,97 Th. Wasser. Nichols.



Eingliedrig.  $a : b : c = 0,6053 : 1 : 0,6835$  Rammelsberg.

$A = 85^{\circ} 0'$	$\alpha = 86^{\circ} 44'$
$B = 94 20$	$\beta = 94 32$
$C = 78 35$	$\gamma = 79 14$

$o''', \frac{o'''}{2}, p, q, q', 2q', a, b, c.$

Beobachtet

$a : b = *78^{\circ} 35'$	$b : q = *121^{\circ} 6'$
$p = 146 18$	$q' = 130 10$
$b : p = *111 33$	$2q' = 116 0$
$c = *85 0$	$c : q = 143 45$

## Beobachtet.

$$\begin{array}{ll}
 a : c = 99^{\circ} 20' & \frac{o'''}{2} : c = 447^{\circ} 0' \\
 p : c = 95 \quad 4 & p = 417 \quad 38 \\
 o''' : c = 125 \quad 50 & o''' = 159 \quad 40 \\
 p = 138 \quad 55 &
 \end{array}$$

Isomorph dem Kalisalz.

1 Th. löst sich bei  $7^{\circ},75$  in 39,68 Th. Wasser. Nichols.

## Oxalsaures Kali.

1) Einfach.  $K^2C^2O^4 + aq.$ Zwei- und eingliedrig.  $a : b : c = 1,477 : 4 : 4,74$  De la Provostaye.  
 $o = 69^{\circ} 2'.$  $o, o', r, r', a, c.$ 

## Berechnet

## Beobachtet

De la Provostaye Rammelsberg

$$\begin{array}{lll}
 o : o = 96^{\circ} 16' & & \\
 o' : o' = 75 \quad 12 & & \\
 o : o' = 117 \quad 19 & 117^{\circ} 35' & \\
 o : o' = 126 \quad 49 & 127 \quad 40 & 127^{\circ} 0' \\
 a : c = 110 \quad 58 & & \\
 r = & *148 \quad 20 & \\
 r' = & *130 \quad 35 & \\
 c : r = 142 \quad 38 & 142 \quad 40 & \\
 r' = 118 \quad 27 & 118 \quad 40 & \\
 o : a = 129 \quad 18 & 129 \quad 0 & \\
 c = & *106 \quad 54 & 106 \quad 50 \\
 r' = 127 \quad 36 & 127 \quad 30 & 127 \quad 22
 \end{array}$$

Prismatisch nach der Zone  $o, c, o'$ . Die Flächen häufig unterbrochen oder gewölbt.

Lit. s. Oxalsäure.

Nicht isomorph dem Ammoniaksalz.

Kub. Ausdehnung von  $0-100^{\circ} = 0,01162$  Joule und Playfair.

Volumgewicht. 2,427 Joule und Playfair; 2,08 Schiff; 2,088

Buignet.

1 Th. erfordert 3,03 Th. Wasser von  $16^{\circ}$ . Nichols.

Volumgewicht der Lösungen Franz: J. f. pr. Ch. (2) 5, 274.

## 2) Zweifach.

$$A. 11 KC^2O^4 = \left\{ \begin{array}{l} K^2C^2O^4 \\ H^2C^2O^4 \end{array} \right\} \text{Maignac.}$$

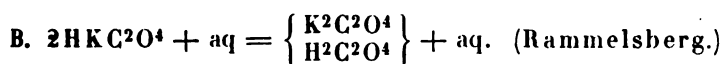
$$4 11 KC^2O^4 + aq = 2 \left\{ \begin{array}{l} K^2C^2O^4 \\ H^2C^2O^4 \end{array} \right\} + aq. \text{ Rammelsberg und Nichols}$$

Zwei- und eingliedrig.  $a : b : c = 0,61947 : 4 : 0,33588$  Maignac.  
 $o = 69^{\circ} 41'.$  $o, p, 2p, q, q^2, r, r', a, b.$

Berechnet	Beobachtet			
	Marignac	Rammelsb.	Provostaye	Scacchi
$o =$	$*152^{\circ} 36'$			
$p = 119^{\circ} 42'$	119 36			
$a = 119 51$		$119^{\circ} 37'$	$119^{\circ} 50'$	$150^{\circ} 4'$
$b = 120 9$	120 16	120 21		
$2p =$	$*81 24$			
$a = 130 42$		130 30	130 35	
$b = 139 18$	139 17	139 30		
$q = 145 2$				
$b = 107 29$	107 26			
$q^2 = 115 34$				
$b = 122 13$				
$q = 165 16$	165 11	165 38		
$r =$	$*133 29$	133 28	133 26	133 13
$r' = 104 44$	102 15			
$r = 151 16$	151 17			
$a = 131 57$	131 54			
$b = 103 42$		103 43	103 38	
$r = 166 18$		166 22	166 17	

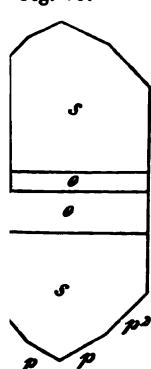
früher für zweigliedrig gehalten.

Spaltbar sehr vollkommen nach  $b$  (Rammelsberg, Scacchi), nach  $a$  weniger nach  $b$  (Marignac). — Scacchi: S. salpeters. Baryt.



Zweigliedrig.  $a : b : c = 0,459 : 1 : 0,1959$  Rammelsberg.

$p, 2p, b$ . —  $s = \frac{1}{3}a : b : c$ .

Fig. 15.		Berechnet	Beobachtet
	$o$	$\begin{cases} 2A = 159^{\circ} 34' \\ 2B = 134 32 \\ 2C = 50 18 \end{cases}$	$\begin{cases} 159^{\circ} 40' \\ 134 8 \end{cases}$
	$s$	$\begin{cases} 2A = \\ 2B = \\ 2C = 104 38 \end{cases}$	$\begin{cases} *166 14 \\ *77 4 \end{cases}$
	$p$	$\begin{cases} p : p = 130 42 \\ b = 114 39 \end{cases}$	$\begin{cases} 130 15 \\ 114 41 \end{cases}$
	$2p$	$\begin{cases} 2p : 2p = 94 54 \\ b = 132 33 \end{cases}$	$\begin{cases} 94 36 \\ 132 35 \end{cases}$
	$p$	$p = 162 6$	162 5
	$s : b$	$s : b = 96 53$	96 54
	$o$	$o = 151 16$	151 18

Prismatisch nach der Horizontalzone, auch tafelförmig nach  $b$ . In der Endigung herrscht  $s$ , dessen Flächen gleich denen von  $o$  unsymmetrisch sind. Fig. 15.

Die durchsichtigen Krystalle trüben sich.

Die folgenden Angaben beziehen sich auf das gewöhnliche Hydrat A.

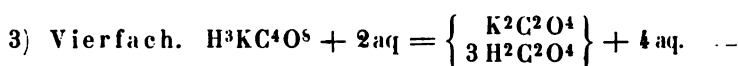
Kub. Ausdehnung von 0—100° = 0,01434 Joule und Playfair; 2,044 Joule und Playfair; 2,03 Schiff Buignet.

4 Th. löst sich bei 8° in 26,2 Th. Wasser. Nichols. 100 Th. lösen

bei 0°	5,2 Th.	bei 60°	75,0 Th.
10	8,0 -	70	117,7 -
20	13,9 -	80	204,7 -
30	23,0 -	90	345,0 -
40	35,0 -		
50	51,2 -		

Allu~~u~~a

Volumgewicht der Lösung Franz: S. o.



Eingliedrig.  $a : b : c = 0,60 : 1 : 0,665$  Rammelsberg.

$A = 84^\circ 20'$	$\alpha = 86^\circ 33'$
$B = 101 \ 10$	$\beta = 100 \ 14$
$C = 77 \ 46$	$\gamma = 78 \ 37$

$o', o'', o''', \frac{o'''}{2}, p, p', {}^2p', q, q', {}^2q, {}^2q', r', a, b, c.$

$s''' = a' : \frac{1}{2}b' : o.$

	Berechnet	Beobachtet	
		Rammelsberg	De la Prov <del>e</del> st.
$a : b =$		$*77^\circ 46'$	$77^\circ 53'$
$p = 146^\circ 32'$		146 25	146 33
$p' = 152 \ 48$			152 48
$b : p =$		$*111 \ 44$	111 20
$p' = 129 \ 26$			
${}^2p' = 153 \ 49$			
$b : c =$		$*84 \ 20$	
$q = 119 \ 45$		119 50	119 45
$q' = 127 \ 37$		127 34	127 55
$c : q =$		$*144 \ 35$	144 30
$b : {}^2q = 141 \ 10$			
${}^2q' = 145 \ 14$		145 20	145 20
$c : {}^2q = 123 \ 10$			123 0
${}^2q' = 130 \ 25$		130 0	
$q : {}^2q = 158 \ 35$			158 30
$q' : {}^2q' = 162 \ 23$		162 0	162 35
$a : c =$		$*101 \ 10$	
$r' = 133 \ 37$		133 35	
$c : p = 97 \ 24$		97 14	97 30
$p' = 101 \ 30$			
${}^2p' = 99 \ 35$			
$r' = 125 \ 13$		125 16	
$b : r' = 95 \ 56$		96 25	
$o' : b = 101 \ 34$			101 40



Berechnet	Beobachtet	
	Rammelsberg	De la Provost.
$b = 111^{\circ} 22'$	$111^{\circ} 1'$	$111^{\circ} 50'$
$c = 125 \ 50$		$125 \ 24$
$p = 136 \ 46$	$136 \ 45$	$136 \ 40$
$q' = 131 \ 18$		$131 \ 26$
$c = 147 \ 36$	$147 \ 34$	$147 \ 30$
$b = 106 \ 38$		$107 \ 0$
$p = 115 \ 0$	$115 \ 6$	
$o''' = 158 \ 14$		$158 \ 15$
$a = 111 \ 15$		
$b = 131 \ 33$		$132 \ 0$
$c = 120 \ 28$		
$2q' = 142 \ 53$		$142 \ 57$
$o''' = 159 \ 49$		$159 \ 50$

. — Von sehr wechselndem  
ald herrscht die Zonenaxe  $c$ ,

o., und Rammelsberg:  
, 477.

ausdehnung von 0—100°

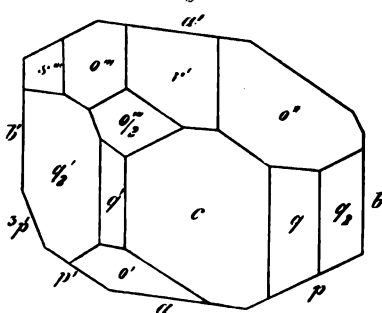
Joule und Playfair.

ngewicht. 4,849 Joule  
air; 4,765 Schiff; 4,836

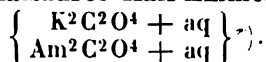
öst sich in 20,17 Th. Was-  
6 Pohl; in 55,25 Th. von  
ls.

gewicht der Lösungen. Franz: S. o.

Fig. 16.



### Oxalsaures Kali-Ammoniak.



iedrig.  $a : b : c = 0,7849 : 1 : 0,731$  Schabus.

$p, q, \frac{q}{2}, a, b, c$ .

Berechnet	Beobachtet
$p : p =$	$103^{\circ} 44'$
$2p : 2p = 65^{\circ} 0'$	
$p = 160 \ 38$	$160 \ 50$
$3p : 3p = 46 \ 2$	
$2p = 170 \ 34$	$170 \ 20$
$q : q =$	$107 \ 40$
$\frac{q}{2} : \frac{q}{2} = 139 \ 52$	$140 \ 2$

bus hat die Zusammensetzung der Krystalle nicht angegeben.

Isomorphe Mischung von der Form des Ammoniaksalzes.

Meine Versuche über die Mischungen beider Salze lehren, Krystalle der ersten Anschüsse vorherrschend aus dem Ammonia stehen. Pogg. A. 93, 430.

### Oxalsaures Rubidium.

1) Einfach.  $\text{Rb}^2\text{C}^2\text{O}^4 + \text{aq.}$

Scheint isomorph dem Kalisalz zu sein. Annähernd ist

$$\begin{aligned} o' : o' &= 73^\circ \\ a : o &= 129-130^\circ \\ o' &= 112-113\frac{1}{2}^\circ \end{aligned}$$

Piccard: J. f. pr. Ch. 86, 449.

2) Zweifach.  $\text{HRbC}^2\text{O}^4 = \left\{ \begin{array}{l} \text{Rb}^2\text{C}^2\text{O}^4 \\ \text{H}^2\text{C}^2\text{O}^4 \end{array} \right\}.$

Zwei- und eingliedrig. Beobachtet

$$\begin{aligned} o : o &= 152^\circ 30' & 2p : a &= 132^\circ 15' \\ p : p &= 122 & b &= 137 \quad 47 \\ a &= 151 \quad 15 & p &= 161 \quad 0 \end{aligned}$$

Piccard: s. o.

Ist isomorph dem Kalisalz A.

### Oxalsaures Thallium.

1) Einfach.  $\text{Tl}^2\text{C}^2\text{O}^4.$

Zwei- und eingliedrig.  $a : b : c = 1,1384 : 1 : 2,2405$  De  
zeaux.  $o = 80^\circ 47'.$

$p, r', a, c.$	Berechnet	Beobachtet
$p : p =$	$83^\circ 20'$	$83^\circ 50'$
$a =$		$*134 \quad 40$
$c =$	$96 \quad 7$	$96 \quad 0$
$a : c =$		$*99 \quad 13$
$r' =$	$151 \quad 22$	
$c : r' =$		$*109 \quad 25$
$p : r' =$	$125 \quad 42$	$125 \quad 45$

Sehr kleine nach  $c$  abgeplattete Prismen. Leicht spaltbar nach Ebene der optischen Axen  $= ac$ . Sehr starke Brechung; Winkel ist sehr gross und die eine Mittellinie neigt sich stark gegen Volumgewicht 6,34.

1 Th. löst sich in 68 Th. Wasser von  $45^\circ$  und in 44 Th. Ann. Ch. Phys. (4) 47, 340.

2) Zweifach. A. Anhydrid.  $\text{HTlC}^2\text{O}^4.$

Zwei- und eingliedrig.  $a : b : c = 1,0489 : 1 : 4,6$   
Cloizeaux.  $o = 85^\circ 46'.$

$o, o', p, b, c.$



	Berechnet	Beobachtet
$o : o =$	$104^{\circ} 32'$	
$o' : o' =$	$97 \ 50$	
$p : p =$	$90 \ 55$	$90^{\circ} 30'$
$b =$		$*134 \ 32,5$
$c =$		$*93 \ 1$
$o : b =$	$129 \ 14$	$129 \ 17$
$c =$	$115 \ 48$	$115 \ 50$
$p =$	$157 \ 13$	$157 \ 5$
$o' : b =$	$131 \ 5$	$131 \ 13$
$c =$		$*110 \ 42$
$p =$	$156 \ 17$	$156 \ 15$

Tafelartig nach  $c$ ; oft nur  $p$ ,  $b$ ,  $c$ . Leicht spaltbar nach  $c$ .

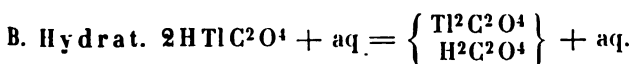
Die Krystalle sind undurchsichtig oder nur an einzelnen Stellen durchsichtig. Auf  $c$  Perlmutterglanz.

Starke Doppelbrechung. Die Ebene der optischen Axen steht senkrecht auf  $ac$  und fast normal auf der Fläche  $c$ . Die Mittellinie ist positiv und senkrecht zur Axe  $b$ ; sie macht mit einer Normalen auf Fläche  $c$  einen Winkel von  $3-4^{\circ}$ ; die horizontale Dispersion ist merklich, die eigenthümliche der Axen schwach,  $q > v$ . Der scheinbare Winkel in Luft bei  $18^{\circ}$

$2E = 74^{\circ} 5'$  Roth

$73 \ 35$  Blau.

Die Form ist unvereinbar mit der des Kalisalzes.



Zwei- und eingliedrig.  $a : b : c = 0,56897 : 1 : 1,2392$  Des  
Niveaux.

$$o = 86^{\circ} 10'.$$

$$x = 6a' : b : c$$

$$y = 3a' : b : c$$

$$z = 2a' : b : \frac{1}{4}c.$$

$$p, {}^3p, q, \frac{q}{3}, {}^6r, a, c.$$

	Berechnet	Beobachtet
$p : p =$		$*120^{\circ} 50'$
$a =$	$150^{\circ} 25'$	$149 \ 50$
${}^3p : {}^3p =$	$82 \ 44$	
$p =$	$160 \ 57$	$160 \ 22-40'$
$p : c =$	$93 \ 20$	$93 \ 37$
${}^3p : c =$	$92 \ 32$	$92 \ 52$
$q : q =$	$77 \ 56$	$77 \ 54$
$c =$		$*128 \ 58$
$\frac{q}{3} : \frac{q}{3} =$	$135 \ 12$	
$c =$	$157 \ 36$	$157 \ 30$
$q =$	$151 \ 22$	$151 \ 20$
$a : c =$		$*93 \ 50$

	Berechnet	Beobachtet
$r : a$	$= 113^{\circ} 18'$	$113^{\circ} 0'$
$c$	$= 160 \ 32$	$160 \ 55$
$x : x$	$= 80 \ 10$	
$a$	$= 100 \ 33$	$100 \ 37$
$c$	$= 127 \ 9$	$127 \ 12$
$q$	$= 167 \ 2$	$166 \ 51$
$q : a$	$= 92 \ 25$	$92 \ 32$
$\frac{q}{3} : a$	$= 93 \ 33$	$94 \ 0$
$y : y$	$= 88 \ 4$	
$a$	$= 112 \ 32$	$112 \ 26$
$c$	$= 123 \ 35$	$123 \ 40$
$x$	$= 168 \ 1$	$168 \ 6$
$q$	$= 155 \ 3$	$155 \ 3$
$z : z$	$= 146 \ 0$	
$a$	$= 105 \ 20$	$105 \ 5$
$c$	$= 150 \ 42$	$150 \ 40$
$\frac{q}{3}$	$= 161 \ 7$	$161 \ 14$

Fig. 17.

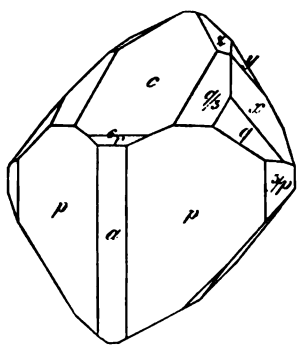


Fig. 17. —  $q$  und  $x$  sind öfter herrschend,  $c$  ist sehr schmal und glänzend,  $p$  und  $p$  sind vertical,  $q$ ,  $x$ ,  $y$  nach ihrer Zonenaxe gestreift. Leicht spaltbar nach  $a$ .

Die Form ist nicht vereinbar mit der des Kaliumsalzes. (Die Winkel  $p : p$  und  $z : z$  erinnern an  $p : p$  und  $q : q$  des Hydrats  $4 \text{HKC}_2\text{O}_4 + \text{aq.}$ )

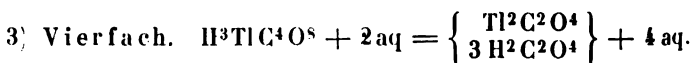
Ebene der optischen Axen  $= ac$ . Die Mittellinie des spitzen Winkels ist positiv; sie macht mit einer Normalen auf  $c$  Winkel von  $75^{\circ} 46' - 76^{\circ} 12'$  und mit einer solchen auf Fläche  $a$  Winkel von  $9^{\circ} 58' - 10^{\circ} 24'$ . Die eigenenthümliche Dispersion der Axen ist stark,

$q < c$ . Ihr scheinbarer Winkel in Luft bei  $14^{\circ}$

$2E = 106^{\circ} 5'$  Roth

$109 \ 45$  Blau.

1 Th. löst sich in 49 Th. Wasser von  $15^{\circ}$ .



Eingliedrig.  $a : b : c = 0,612 : 1 : 0,6832$  Des Cloizeaux.

$A = 83^{\circ} 42'$	$\alpha = 85^{\circ} 6'$
$B = 98 \ 2$	$\beta = 97 \ 0$
$C = 78 \ 56$	$\gamma = 79 \ 38$

$o'''$ ,  $\frac{o'}{2}$ ,  $\frac{o'''}{2}$ ,  $p$ ,  $q$ ,  $q'$ ,  $2q$ ,  $r$ ,  $r'$ ,  $a$ ,  $b$ ,  $c$ .

rechnet	Beobachtet	Berechnet	Beobachtet
	78° 56'	$p : q = 106^{\circ} 36'$	107° 5'
	447 0	$2q : r' = 123 46$	122 54
	83 42	$o''' : a = 125 54$	126 7
0° 45'	120 3	$b = 141 54$	141 45
8 48	127 4	$c = 126 24$	126 25
4 56	142 0	$p = 139 34$	139 45
	*143 27	$r' = 153 28$	153 46
7 30	148 45	$\frac{o'}{2} : a = 143 49$	144 40
4 46	124 51	$b = 134 34$	134 30
0 57	111 5	$q = 93 3$	92 20
8 49	158 16	$o''' = 160 23$	160 20
	*98 2	$\frac{o'''}{2} : a = 109 33$	109 33
3 0	142 30	$b = 107 28$	107 40
6 45		$c = 147 3$	146 52
5 2	134 50	$q = 123 20$	122 36
5 43	125 13	$o''' = 159 48$	159 30
0 22	90 33	$\frac{o'}{2} = 149 43$	149 15
2 49			

dem Kali- und Ammoniaksalz. Spaltbar nach  $a$ ,  $c$  und  $q$ .  
 pelbrechend; die Ebene der optischen Axen fast normal auf  
 ellinie negativ.

ewicht 2,924.

sich in 4,3 Th. Wasser von 25°. Dieses saure Salz ist also,  
 bei den Kalisalzen, das löslichste.

#### Oxalsaures Natron.

##### 4) Einfach. $\text{Na}^2\text{C}^2\text{O}^4$ .

36 Th. kalten und 24 Th. kochenden Wassers. Rammels-  
 1 Th. bei 43° Nichols.

veifach.  $\text{HNaC}^2\text{O}^4 + \text{aq} = \left. \begin{matrix} \text{Na}^2\text{C}^2\text{O}^4 \\ \text{H}^2\text{C}^2\text{O}^4 \end{matrix} \right\} + 2\text{aq}.$

l eingliedrig.  $a : b : c = 0,3654 : 1 : 0,890$  Loschmidt.  
 $o = 75^{\circ} 11'.$

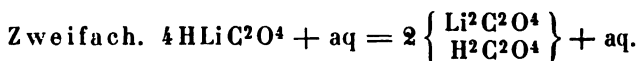
c. —  $n = \frac{7}{3} a : b : c.$

	Berechnet	Beobachtet
$p : p =$	141° 12'	
$b =$	109 24	109° 24'
$c =$	103 53	104 24
$\frac{7}{3}p : \frac{7}{3}p =$	101 12	
$b =$		129 24
$p =$	121 12	124
$c =$		101 24
$n : b =$		117 56
$c =$	133 39	133 56
$\frac{7}{3}p =$	147 45	147 24

Meist tafelartig nach  $b$  und  $c$  mit hemiedrischer Ausbildung.  
nach  $p$ . — Wien. Ak. Ber. 54.

Löslich in 67,5 Th. Wasser von 10°. Nichols.

### Oxalsaures Lithion.



Zwei- und eingliedrig.  $a : b : c = 0,539 : 4 : 4,0346$  Grail  
 $o = 81^\circ 37'$ .

$o', q, r', a, b, c$ . Berechnet

Beobachtet

	Grailich	Rammelsberg
$o' : o' = 126^\circ 30'$	$126^\circ 32'$	
$q : q =$	$*88 \ 40$	
$b = 135 \ 40$	$135 \ 40$	$135^\circ 45'$
$a = 95 \ 51$		
$a : c =$	$*98 \ 23$	
$r' = 150 \ 51$		
$c : r' = 110 \ 46$		
$o' : b =$	$*116 \ 45$	
$r' = 153 \ 15$		

Tafelartig nach  $b$ ;  $c$  ist immer sehr klein und fehlt oft.

Zwillinge nach  $b$ ; spaltbar nach  $b$ .

Beim Li- und Tl-salz sind

die  $a = 0,539 : 0,569$

-  $c = 4,034 : 4,239$

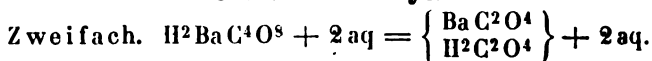
-  $o = 81^\circ 37' \ 86^\circ 40'$ .

Es scheint, dass die  $a$  gleich, die  $c = 5 : 6$  sind. In der That  
 $q \frac{5}{6} : q \frac{5}{6}$  des Lithionsalzes  $= 78^\circ 14'$ , während  $q : q$  des Tl-salzes  $= 77^\circ$

Die Formeln beider Salze zeigen einen geringen Unterschied, der  
leicht bei wiederholter Analyse verschwindet. In der That erfordern

$4\text{HLiC}^2\text{O}^4 + \text{aq}$	$2\text{HLiC}^2\text{O}^4 + \text{aq}$
Lithium 6,96	6,66
Kohlenstoff 23,88	22,86

### Oxalsaurer Baryt.



Zwei- und eingliedrig.  $a : b : c = 2,697 : 4 : 2,079$  Loschr  
 $o = 63^\circ 54'$ .

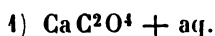
$o', p, r', a, c$ .

Berechnet

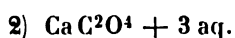
Beobachtet

$o' : o' =$	$*51^\circ 20'$
$p : p =$	$*44 \ 52$
$c = 99^\circ 40'$	$99 \ 52$
$a : c =$	$*116 \ 6$
$o' : c = 106 \ 0$	$105 \ 24$
$p = 154 \ 20$	$154 \ 32$

Stark glänzende Prismen  $p$ . — Wien. Ak. Ber. 54.

**Oxalsaurer Kalk.**

als Whewellit vorkommen.

- und eingliedrig.  $a : b : c = 0,88 : 1 : 1,386$  Brooke.  
 $\alpha = 70^\circ 32'.$ gliedrig.  $a : c = 1 : 1,6446$  Schmidt.

$\frac{o}{4}, p.$	Berechnet	Beobachtet
$\frac{o}{4} \left\{ \begin{array}{l} 2A = \\ 2C = \end{array} \right.$	$\begin{array}{l} 99^\circ 0' \\ 133 \ 24 \end{array}$	$133^\circ 32'$
$\frac{o}{4} \left\{ \begin{array}{l} 2A = \\ 2C = \end{array} \right.$	$\begin{array}{l} 138 \ 26 \\ \end{array}$	$+60 \ 14$

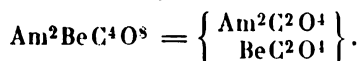
Combination  $op$  beobachtete Schmidt in den Zellen von Tradescolor;  $\frac{o}{4}, p$  in animalischen Secreten, Galle etc.einer Lösung von oxalsaurem Kalk in Chlorwasserstoffsäure dieselbe (mikroskopische) rhombische Tafeln von  $79^\circ 33'$ , welche all in die Combination  $\frac{o}{4}, p$  verwandelten. — Schmidt: Ann.

14, 304. 97, 225. Pogg. A. 442, 444. — Holzner: Ueber die in den Pflanzenzellen. Dissertat. München 1864.

Moleculargewicht des Anhydrids = 2,20 Schröder; des Hydrats 2, bei  $48^\circ$  Clarke.- und eingliedrig.  $a : b : c = 1,4465 : 1 : 1,217$  Lang.  
 $\alpha = 65^\circ 44'.$ 

$a, c.$	Berechnet	Beobachtet
$o : o =$		$93^\circ 44'$
$p : p =$	$88^\circ 46'$	
$a =$		$134 \ 23$
$c =$		$107 \ 23$
$a : c =$	$144 \ 46$	

Monatsschr. Chem. u. Pharm. 1862, 668.

**Doppelsalze.****Oxalsaures Beryllerde-Ammoniak.**- und eingliedrig.  $a : b : c = 1,4298 : 1 : 0,84472$  Ramberg.  
 $\alpha = 87^\circ 51'.$  $\frac{o}{4}, \frac{1}{2}o', p, q, q^2, q^3, r, r', a, b, c.$

Berechnet	Rammelsberg	Beobachtet Sénarmont	Shadwell
$p : p = 83^{\circ} 4'$	$83^{\circ} 45'$		$82^{\circ} 42'$
$a =$	$*131 \ 32$	$131^{\circ} 10'$	
$q : q = 99 \ 40$			$99 \ 50$
$c = 139 \ 50$	$139 \ 30$	$139 \ 45$	
$q^2 : q^2 = 61 \ 46$	$61 \ 35$		$61 \ 7$
$b = 149 \ 22$	$149 \ 30$		
$c = 120 \ 38$	$120 \ 20$	$120 \ 25$	
$q^2 : q = 160 \ 48$	$160 \ 30$		
$q^6 : q^6 = 22 \ 20$			
$b = 168 \ 50$	$168 \ 45$		
$q^2 = 160 \ 32$	$160 \ 30$		
$a : c = 92 \ 9$	$92 \ 10$		$92 \ 29$
$r =$	$*128 \ 9$	$128$	
$r' =$	$*125 \ 24$		
$c : r = 144 \ 0$	$144 \ 10$		$144 \ 19$
$r' = 142 \ 27$	$142 \ 20$		$142 \ 12$
$r : r' = 106 \ 27$	$106 \ 22$		
$p : c = 91 \ 25$			$91 \ 55$
$q : a = 91 \ 38$	$90 \ 40$		
$o' : o' = 110 \ 54$			
$a = 118 \ 30$		$119 \ 30$	
$c = 130 \ 46$			$130 \ 28$
$2o' : 2o' = 92 \ 44$			
$a = 126 \ 37$	$125 \ 20$	$126 \ 20$	
$c = 142 \ 50$	$144 \ 30$		
$p = 155 \ 45$	$155 \ 45$		$155 \ 40$
$q^2 = 142 \ 47$	$142 \ 42$		
$o' = 162 \ 4$	$162 \ 0$		
$\frac{3}{2} o' : \frac{3}{2} o' = 125 \ 50$			
$c = 142 \ 33$			$142 \ 27$
$p = 126 \ 2$	$125 \ 30$		
$2o' = 150 \ 27$	$150 \text{ ungef.}$		

Fig. 18.

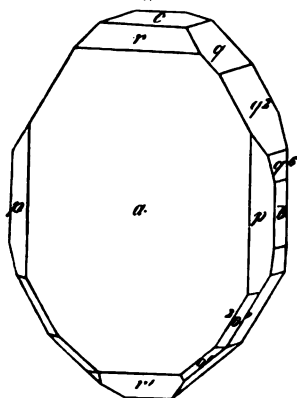
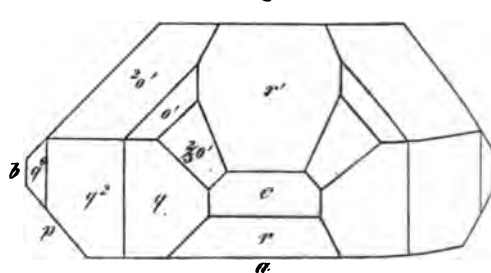


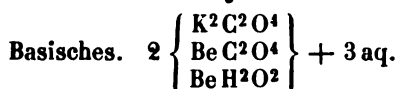
Fig. 19.



Tafelartig nach a. — Fig. 18, 19.  
Sénarmont erklärte das Salz für zweigliedrig.

der optischen Axen =  $ac$ ; Mittellinie fast senkrecht auf  $r$ ,  
 $i'$  Gelb;  $\varrho < v$ . Shadwell: Groth Ztschr. 5, 344.

### Oxalsaures Beryllerde-Kali.



und eingliedrig.  $a : b : c = 3,025 : 4 : 4,788$  Rammels-  
 $o = 77^\circ 24'$ .

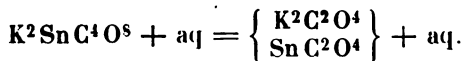
$a, c.$	Berechnet	Beobachtet
$o : o =$		$*72^\circ 0'$
$o' : o' =$	62 22	
$o : o' =$	147 37	
$o : o' =$	119 41	
$a : c =$	102 36	
$r' =$		$*110 30$
$c : r' =$	146 54	
$o : a =$	112 2	111 6 ungef.
$c =$	124 36	
$r' =$		$*107 0$
$o' : a =$	100 21	
$c =$	115 43	

sehr klein, ebenso  $c$ ; manche Krystalle sind symmetrisch,  
 gleichen aber scharfen Rhomboedern, an denen  $a$  die Endfläche  
 in  $o$  und  $a$  sind glänzend, die übrigen gebogen, gekrümmt, die  
 aber nicht scharf.

Salz wurde von Dr. Philipp bei einer Arbeit mit Beryllerde  
 erhalten und gab

Gefunden	Berechnet
BeO 15,3	15,19
K <sup>2</sup> O 28,4	28,18
C <sup>2</sup> O <sup>3</sup> 42,8	43,46
H O <sup>2</sup>	13,47
	<hr/> 100,00

### Oxalsaures Zinnoxydul-Kali.



edrig.  $a : b : c = 0,549 : 4 : 0,535$  Rammelsberg.

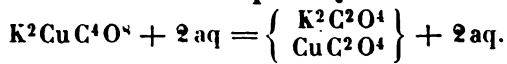
$A = 94^\circ 51'$	$\alpha = 93^\circ 30'.5$
$B = 102 48$	$\beta = 102 22$
$C = 96 33$	$\gamma = 95 38$

$v, p', 2p', q', a, b, c.$

	Berechnet	Beobachtet
$a : b =$		$^{\circ}96^{\circ} 33'$
$p =$		$^{\circ}153 18$
$p' = 150^{\circ} 23'$		$150 10$
$b : p = 123 15$		$123 22$
$p' = 113 4$		
$p : p' = 123 41$		
$^2p' : a = 129 25$		$129 35$
$b = 134 6$		$134 17$
$p' = 159 2$		$159 0$
$b : c =$		$^{\circ}94 51$
$q' : c =$		$^{\circ}151 18$
$b = 113 51$		$113 45$
$a : c =$		$^{\circ}102 48$
$c : p = 102 59$		
$p' = 99 23$		$99 46$
$^2p' = 95 26$		
$a : q' = 98 32$		$98 15$
$o'' : o''' = 133 53$		
$a' = 121 33$		
$b = 112 1$		
$c = 128 29$		$128 16$
$p' = 132 8$		$132 6$
$o''' : a' = 127 8$		

Kleine durchsichtige farblose Krystalle, prismatisch nach der Horizontalzone, bisweilen tafelförmig nach  $a$ . — Rammelsberg : Pogg. A. 95,

### Oxalsaures Kupferoxyd-Kali.



Eingliedrig.  $a : b : c = 0,79222 : 1 : 0,6143$  Rammelsberg.

$A = 104^{\circ} 0'$	$\alpha = 103^{\circ} 19'$
$B = 105 0$	$\beta = 104 22$
$C = 94 26$	$\gamma = 90 54$

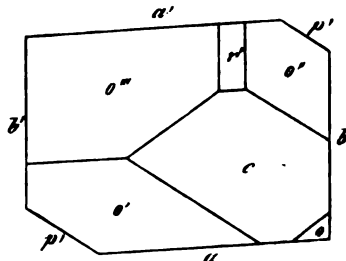
$o, o', o'', o''', p', r', a, b, c.$

	Berechnet	Beobachtet
$o : o' \quad ac' = 136^{\circ} 8'$		
$o'' : o''' \quad a'c' = 125 24$		$125^{\circ} 37'$
$o : o'' \quad bc' = 114 55$		
$o' : o'' \quad b'c' = 102 50$		$103 35$
$o : o''' \quad ab = 93 21$		
$o' : o'' \quad ab' = 88 57$		
$a : b =$		$^{\circ}94 26$
$p' =$		$^{\circ}112 18$
$b : p' = 122 16$		$122 10$
$c =$		$^{\circ}104 0$
$a : c =$		$^{\circ}105 0$



	Berechnet	Beobachtet
$r' : a = 120^\circ 30'$		$120^\circ 30'$
$c =$		$134^\circ 30'$
$b = 99 \quad 8$		
$p' : c = 94 \quad 6$		
$o : a = 132 \quad 18$		
$o' : a = 135 \quad 50$		$136 \quad 30$
$o'' : a = 142 \quad 47$		$143 \quad 20$
$r' = 155 \quad 11$		$154 \quad 42$
$o''' : a = 121 \quad 20$		
$b = 110 \quad 39$		$110 \quad 10$
$c = 122 \quad 54$		
$r' = 150 \quad 13$		$150 \quad 12$

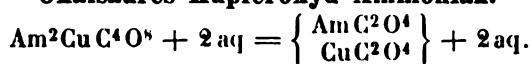
Fig. 20.



Der Habitus der kleinen blauen Krystalle ist wechselnd: 1) die Horizontalzone bedingt ihr prismatisches Ansehen, Fig. 20; 2) die Diagonalzone von  $r'$  spielt diese Rolle.

Fast nie beobachtet man an einem Krystalle sämtliche Flächen; von den  $o$  ist bloß  $o'''$  an allen vorhanden. Die Flächen sind oft uneben. — Rammelsberg: a. a. O. 184.

#### Oxalsaures Kupferoxyd-Ammoniak.

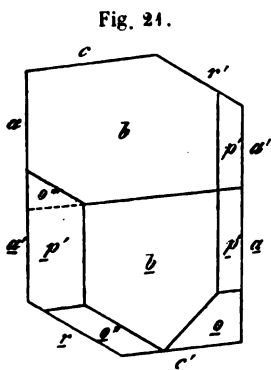


Eingliedrig.  $a : b : c = 0,6948 : 1 : 0,606$  Rammelsberg.

$A = 103^\circ 55'$	$\alpha = 105^\circ 2'$
$B = 105 \quad 30$	$\beta = 104 \quad 57$
$C = 94 \quad 10$	$\gamma = 90 \quad 18$

$o, o'', o''', p, p', r', \frac{r}{2}, \frac{r'}{2}, a, b, c.$

	Berechnet	Beobachtet
$o : (o') = 137^\circ 14'$		
$o'' : o''' = 125 \quad 20$		
$o : o'' = 144 \quad 15$		
$(o') : o''' = 100 \quad 45$		
$o : o''' = 93 \quad 42$		
$(o') : o'' = 89 \quad 21$		
$a : b =$		$94^\circ 10'$
$p = 146 \quad 24$		$146 \quad 47$
$p' =$		$143 \quad 52$
$b : p = 127 \quad 43$		$127 \quad 44$
$p' = 121 \quad 58$		$121 \quad 46$
$p : p' = 110 \quad 19$		
$b : c =$		$105 \quad 35$
$a : c =$		$105 \quad 30$
$r' = 120 \quad 50$		$120 \quad 42$
$c : r' =$		$133 \quad 40$
$\frac{r}{2} = 160 \quad 0$		$160 \quad 30$



	Berechnet	Beobachtet
$c : p = 111^{\circ} 9'$		
$p' = 93 \ 55$		
$b : r' = 100 \ 40$		$99^{\circ} 50'$
$o : a = 132 \ 42$		
$b = 122 \ 38$		
$c = 144 \ 23$		
$p = 146 \ 46$		
$o'' : a = 113 \ 3$		
$b = 125 \ 35$		
$c = 133 \ 22$		
$p' = 132 \ 43$		
$r' = 155 \ 5$		$155 \ 46$
$o''' : a = 122 \ 5$		
$b = 109 \ 5$		$109 \ 5$
$c = 121 \ 55$		$122 \ 0$
$p = 127 \ 56$		$127 \ 30$
$r' = 150 \ 15$		

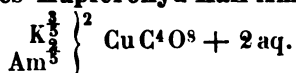
Prismatisch nach der Zone  $a, c, r'$  oder nach der Diagonalzone von  $r'$ .

Zwillinge nach  $c$ . Aneinanderwachsung, wobei die  $b$  am freien Ende ausspringende Winkel von  $148^{\circ} 50'$  bilden. Die Zwillingsgrenze verläuft deutlich auf  $a$ . — Fig. 24.

Isomorph mit dem vorigen.

Die meisten Flächen sind glänzend und eben, nur  $r', b, o'''$  sind etwas gekrümmt. — Rammelsberg: a. a. O. 188.

#### Oxalsaures Kupferoxyd-Kali-Ammoniak.

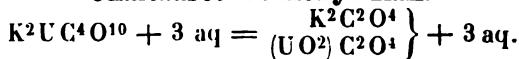


An dieser isomorphen Mischung fand ich:

$p' : a = 143^{\circ} 30'$	$o''' : b = 110^{\circ} 5'$
$b = 122 \ 28$	$c = 123 \ 8$
$o'' : b = 126 \ 30$	$o'' = 125 \ 10$

Prismatisch nach der Diagonalzone von  $r'$ . — Rammelsberg: a. O. 191.

#### Oxalsaures Uranoxyd-Kali.

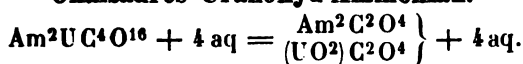


Zwei- und eingliedrig.  $a : b : c = 0,4485 : 1 : 0,293$  Ebelmen  
 $o = 87^{\circ} 27'$ .

$n = a : \frac{1}{2}b : c$ . —  $q, r', b$ .

	Berechnet	Beobachtet		Berechnet	Beobachtet
$q : q = 147^{\circ} 22'$			$q : b = 106^{\circ} 49'$		
$n : n =$	$131^{\circ} 2'$		$r' = 140 \ 52$		
$b = 144 \ 29$	$144 \ 20$		$n =$		$150^{\circ} 36'$
$r' =$	$141 \ 28$				

Ebelmen: Ann. Chim. Phys. (3) 5, 200.

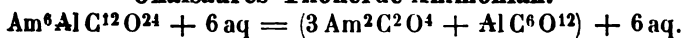
**Oxalsaures Uranoxyd-Ammoniak.**

dreigliedrig.  $a : b : c = 0,5944 : 1 : 0,6686$  De la Provost.

$p, {}^2p, q, q^9, a, b, c.$

Berechnet		Beobachtet	
		De la Provostaye	Rammelsberg
$p : p = 118^\circ 34'$			
$b = 120 43$			$120^\circ 40'$
${}^2p : {}^2p = 80 40$			
$b =$	$*139^\circ 55'$		
$p = 160 48$	$160 45$		
$q : q =$	$*112 28$		
$q^9 : q^9 = 18 52$			
$b = 170 34$			$170 30$
$c = 99 26$			$99 0$
$p : q = 106 30$	$106 30$		
${}^2p : q = 115 40$	$115 45$		
$o^3 \left\{ \begin{array}{l} 2A = 120 40 \\ 2B = 67 2 \\ 2C = 154 26 \end{array} \right.$			
$o^3 : c = 104 17$		$105$	ung.

prismatisch nach der Horizontalzone. Die  $p$  und  $b$  sind horizontal ge-  
 Ich beobachtete Prismen  $pb$ , durch Krümmung in die Flächen  $o^3$   
 übergehend,  $c$  untergeordnet, im Ganzen dihexaederähnlich. — De  
 Provostaye: Ann. Ch. Phys. (3) 5, 49.

**Oxalsaures Thonerde-Ammoniak.**

zwei- und eingliedrig.  $a : b : c = 0,9944 : 1 : 0,5543$  Rammels-  
 $o = 88^\circ 41'.$

$q, r, r', a, b.$	Berechnet	Beobachtet
$p : p =$		$*90^\circ 20'$
$a = 135^\circ 10'$		$135 40$
$b = 134 50$		$134 30$
$q : q = 122 46$		
$a = 91 9$		
$p : q = 109 54$		$109 50$
$r = 110 46$		
$r' = 109 27$		
$q : r' = 140 39$		
$r : r' =$		$*122 0$
$a : r =$		$*120 0$
$r' = 118 0$		$118 30$

Prismatisch nach  $p$ , von dem eine Fläche oft überwiegt. In der Endi-  
 $r'$  herrschend,  $r$  klein oder fehlend. Ein  $q$  oft sehr schmal. — Die  
 en sind zum Theil matt.

**Oxalsaures Thonerde-Kali.**  $(3K^2C^2O^4 + AlC^6O^{12}) + 6aq.$   
Nach Mitscherlich isomorph den Eisen- und Chromsalzen.

**Oxalsaures Eisenoxyd-Ammoniak.**  $(3Am^2C^2O^4 + FeC^6O^{12}) + 6aq$   
Zwei und eingliedrig. Isomorph dem folgenden.  
 $o, o', p, 2p, a, b.$  —  $s' = a' : \frac{1}{3}b : c.$

Fig. 22.	Beobachtet	
	Rammelsberg	Schabus
	$o : o = 140^\circ 24'$	$140^\circ 55'$
	$o' : o' = 139 \ 12$	$140 \ 0$
	$p : p = 90 \ 10$	$90 \ 12$
	$a = 135 \ 30$	
	$b = 134 \ 55$	
	$2p : 2p =$	$53 \ 16$
	$a =$	$116 \ 38$
	$b = 154 \ 0$	
	$p = 161 \ 45$	
	$o : b = 109 \ 48$	
	$o' : b = 111 \ 28$	
	$s' : o' = 152 \ 0$	

Fig. 22.

**Oxalsaures Eisenoxyd-Kali.**  $(3K^2C^2O^4 + FeC^6O^{12}) + 6aq.$   
Zwei- und eingliedrig.  $a : b : c = 1,004 : 4 : 0,3954$  Kopp.  
 $o = 86^\circ 0'.$

$o, o', p, \frac{3}{2}p, r', a, b.$

	Berechnet		Beobachtet		
	Kopp		Rammelsb.	Murmann	Schabus
$o : o = 140^\circ 32'$			$141^\circ 12'$	$141^\circ 8'$	$141^\circ 6'$
$o' : o' =$	$138^\circ 46'$			$139 \ 51$	$139 \ 56$
$o : o' = 139 \ 44$				$139 \ 47$	
$o : o' = 58 \ 23$				$57 \ 43$	
$p : p =$	$90 \ 8$	$90 \ 45$	$90 \ 39$		$90 \ 56$
$b = 134 \ 56$					$134 \ 44$ Grail
$\frac{3}{2}p : \frac{3}{2}p = 67 \ 26$	$67 \ 30$				
$a : r' =$	$108 \ 5$				
$o : a = 113 \ 26$					
$p = 121 \ 21$		$121 \ 12$	$121 \ 14$		
$o' : a = 106 \ 53$					
$b = 110 \ 37$		$110 \ 44$	$110 \ 47$		
$p = 117 \ 2$					

Prismatisch nach der Diagonalzone von  $r'$ .

Die  $o'$  gestreift parallel  $r'$ . — Kopp: Krystallogr. — Murmann

Wien. Ak. Ber. — Rammelsberg: Pogg. A. 93, 44.

Pleochroismus. Grailich: kryst.-opt. Unters. 150.

Beide Eisensalze werden am Licht durch Bildung von oxalsaurem Eisenoxydul gelb.

**Oxalsaures Eisenoxyd-Natron.**  $3\text{Na}^2\text{C}^2\text{O}^4 + \text{FeC}^6\text{O}^{12} + 9\text{aq.}$ 

Zwei- und eingliedrig.  $a : b : c = 1,3692 : 1 : 1,201$  Rammelsberg.  
 $o = 79^\circ 44'$ .

$o, o', p, q^2, a, c.$

	Berechnet	Rammelsberg	Beobachtet Schabus	Murmann
$o : o =$	$91^\circ 42'$			
$o' : o' =$	$101 \ 22$			
$o : o' =$	$121 \ 6$	$121^\circ 50'$		
$o : o' =$	$111 \ 43$	$111 \ 30$		
$p : p =$	$73 \ 40$	$72 \ 51$		$73^\circ 40'$
$a =$		$126 \ 35$		
$c =$		$96 \ 6$	$96^\circ 30'$	
$a : c =$	$100 \ 16$		$100 \ 51$	
$q^2 : q^2 =$	$45 \ 52$	$46 \ 22$		
$c =$	$112 \ 56$	$112 \ 12$		
$o : a =$	$124 \ 28$		$124 \ 25$	
$c =$	$128 \ 49$	$128 \ 28$	$128 \ 46$	$128 \ 9$
$p =$	$147 \ 47$	$147 \ 46$		$147 \ 44$
$o' : a =$	$114 \ 26$			
$c =$		$119 \ 58$		$119 \ 59$
$p =$	$143 \ 56$	$143 \ 52$		$143 \ 42$

Tafelartig nach  $c$  oder prismatisch nach der ersten Kantenzone ( $pc$ ).  
 Spaltbar nach  $c$ .

**Oxalsaures Chromoxyd-Ammoniak.**  $(3\text{Am}^2\text{C}^2\text{O}^4 + \text{CrC}^6\text{O}^{12}) + 6\text{aq.}$ 

Die dem folgenden isomorphen grossen Krystalle eignen sich nicht zu genauen Messungen. Ich fand

$$p : b = 134-135^\circ, o : o = 140^\circ, o : b = 110^\circ.$$

**Oxalsaures Chromoxyd-Kali.**

I.  $(3\text{K}^2\text{C}^2\text{O}^4 + \text{CrC}^6\text{O}^{12}) + 6\text{aq.}$

Zwei- und eingliedrig.  $a : b : c = 1,006 : 1 : 0,399$  Rammelsberg.  
 $o = 86^\circ 4'$ .

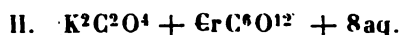
$o, o', p, \frac{1}{2}p, r', b.$  —  $t' = a' : 3b : c; v' = a' : \frac{1}{2}b : c.$

	Berechnet	Beobachtet
		Rammelsberg      Schabus
$o : o =$	$140^\circ 16'$	$139^\circ 53' \quad 140^\circ 54'$
$o' : o' =$		$139 \ 6 \quad 139 \ 40$
$o : o' =$	$139 \ 37$	
$o : o' =$	$58 \ 37$	
$p : p =$	$89 \ 48$	$89 \ 45$
$\frac{1}{2}p : \frac{1}{2}p =$	$67 \ 42$	$67 \ 0 \quad 67 \ 23$
$b =$		$146 \ 24$
$r' =$		$101 \ 20$
$o : b =$	$109 \ 52$	

	Berechnet	Beobachtet	
		Rammelsberg	Schabus
$o' : b = 110^{\circ} 27'$		$110^{\circ} 30'$	
$r' = 159 \ 33$		$159 \ 24$	$159^{\circ} 50'$
$t' : t' = 165 \ 36$			$166 \ 10$
$r' : r' = 146 \ 16$			$147 \ 15$

Die Flächen  $p$ ,  $r'$ ,  $t'$  beobachtete ich nicht. — Rammelsberg: P. A. 93, 50.

Pleochroismus. Haidinger: Eb. 76, 107. — Grailich: Kry opt. Unters. 146.



Zwei- und eingliedrig.  $a : b : c = 1,2356 : 1 : 4,384$  Schabus  
 $o = 70^{\circ} 33'$ .

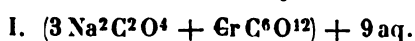
$o$ ,  $o'$ ,  $p$ ,  $^2p$ ,  $q$ ,  $r$ ,  $r'$ ,  $a$ ,  $b$ ,  $c$ .

	Berechnet	Beobachtet	
		Schabus	Miller
$o : o = 106^{\circ} 0'$			
$o' : o' = 86 \ 32$			
$o : o' = 111 \ 51$			
$o : o' = 120 \ 15$			
$p : p = 81 \ 17$		$81^{\circ} 20'$	
$a =$		$130 \ 38,5$	$130^{\circ} 55'$
$^2p : ^2p = 46 \ 22,5$		$46 \ 27$	
$a = 113 \ 14$		$113 \ 13,5$	
$p : c = 102 \ 31,5$			$102 \ 28$
$^2p : c = 97 \ 33$			
$q : q = 74 \ 56$			
$b = 142 \ 32$			$140 \ 20$
$a : c =$		$109 \ 27$	$109 \ 15$
$r =$		$147 \ 1,5$	$146 \ 58$
$r' = 129 \ 51,5$			
$c : r = 142 \ 25,5$			$142 \ 17$
$r' = 120 \ 41,5$		$120 \ 36$	$120 \ 44$
$o : a = 132 \ 5$			$132 \ 11$
$b = 127 \ 0$			$126 \ 47$
$c = 129 \ 16$			$129 \ 20$
$o' : a = 116 \ 4$			$116 \ 10$

Ausserdem fand Schabus  $\frac{2}{6}$  und einige andere vordere schiefe flächen.

Meist tafelartig nach  $c$ . Häufig Zwillinge nach  $a$ . Roth, ausgezeichnend trichromatisch. — Miller: Phil. Mag. 21. 201. — Schabus: 122.



**Oxalsaures Chromoxyd-Natron.**

Dimorph.

A. Regulär. Combinationen des rechten und linken Pyramidentetra-  
 $a : a : \frac{1}{2}a$ ; das untergeordnete bildet dreiflächige auf die Tetra-  
 anten des herrschenden aufgesetzte Zuspitzungen der Ecken. Zu-  
 en kommen beide auch im Gleichgewicht vor (Hungerford), als  
 itoeder, an dem selten die Flächen des Granatoeders erscheinen. Ich  
 die Neigung in den

		Berechnet
Tetraederkanten	109° 25'	109° 28'
Pyramidenkanten	146 44	146 27

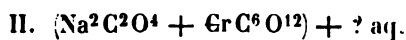
Röthlichviolett durchsichtig.

B. Zwei- und eingliedrig.  $a : b : c = 1,3866 : 1 : 1,2042$  Ram-  
 sberg.  $a = 79° 36'$ .

 $o, o', p, q^2, r', a, c.$ 

	Berechnet	Beobachtet	
		Rammelsberg	Schabus
$o : o = 90° 50'$			
$o' : o' = 101 8$			
$o : o' = 121 43$		121° 38'	
$o : o' = 111 28$		111 47	
$p : p = 72 30$		72 44	72° 40'
$a =$		126 45	
$c =$		96 8	96 20
$q^2 : q^2 = 45 52$			
$c = 112 56$		113 0	
$a : c = 100 24$		100 30	100 40
$r' = 124 53$		125 8	
$c : r' = 134 43$		134 8	
$o : a = 124 45$		124 12	124 30
$c =$		128 27	128 42
$p = 147 41$		147 40	
$o' : a = 114 2$			
$c = 120 5$			120 0
$p = 143 47$		143 36	

Meist tafelartig nach c. Blau durchsichtig.



Eingliedrig.

 $p, p', b, c.$ 

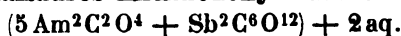
Beobachtet

$$p : p' = 124° 32' \quad c : p = 101° 45'$$

$$b : p' = 84 35 \quad p' = 107 54$$

Sehr dünne Blättchen nach b. Unvollkommen spaltbar nach b. Roth,  
 romatisch.

Verwittert an der Luft. — Schabus: 189.

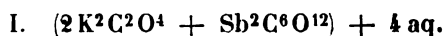
**Oxalsaures Antimonoxyd-Ammoniak.**

Zweigliedrig.  $a : b : c = 0,3716 : 1 : 0,5305$  Rammelsberg.

$o, o^2, {}^2p, b, c.$

	Berechnet	Beobachtet
$o$	$\begin{cases} 2A = 146^\circ 10' \\ 2B = 76 \quad 48 \\ 2C = 113 \quad 24 \end{cases}$	$145^\circ 55'$
$o^2$	$\begin{cases} 2A = \\ 2B = 54 \quad 6 \\ 2C = \end{cases}$	$\begin{matrix} *144 \quad 20 \\ 54 \quad 37 \\ *143 \quad 40 \end{matrix}$
${}^2p$	$\begin{cases} {}^2p = 106 \quad 46 \\ b = 126 \quad 37 \end{cases}$	$\begin{matrix} 106 \quad 42 \\ 126 \quad 34 \end{matrix}$
$o : c$	$123 \quad 18$	$123 \quad 25$
$o^2 : c$	$108 \quad 10$	$108 \quad 10$
$o$	$164 \quad 52$	$164 \quad 40$

Tafelartig nach  $c$ . Die Flächen  $o$  und  ${}^2p$  sehr untergeordnet. — Po A. 93, 59.

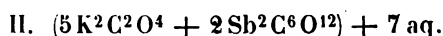
**Oxalsaures Antimonoxyd-Kali.**

Eingliedrig.

$p, p', {}^3p, q, q', r, r', b.$  —  $s = a : \frac{1}{2}b : c.$

	Beobachtet Rammelsberg
$p : p' = 129^\circ 10'$	$q : q' = 152^\circ 54$
$b = 117 \quad 8$	$q' : b = 119 \quad 33$
$p' : b = 113 \quad 15$	$s = 121 \quad 7$
$p : {}^2p = 154—152^\circ$	

Dieses nur selten und in geringer Menge sich bildende Salz bei fernerer Untersuchung.

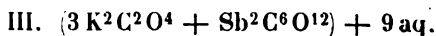


Zwei- und eingliedrig.  $a : b : c = 0,8088 : 1 : 0,4426$  Rammelsberg.  
 $o = 69^\circ 36'.$

$p, q, a, c.$

	Berechnet	Beobachtet
$p : p =$		$*105^\circ 40'$
$a = 142^\circ 50'$		$142 \quad 40$
$c = 106 \quad 8$		
$q : q =$		$*134 \quad 36$
$c = 157 \quad 28$		$157 \quad 33$
$a : c =$		$*110 \quad 24$

Sehr kleine Krystalle mit herrschenden  $a$  und  $c$ , die gestreift sind jenes nach  $p$ , dieses nach  $q$ . Auch ein  $p^n$  und  $\frac{1}{n}a' : b : c$  finden sich.



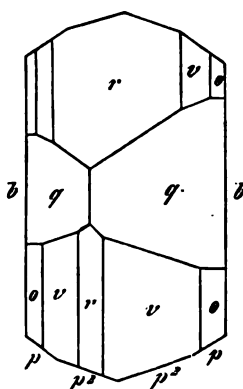
Zweigliedrig.  $a : b : c = 0,6703 : 1 : 1,4463$  Rammelsberg.

$o, p, p^2, q, r, b.$  —  $v = a : 2b : c.$



	Berechnet	Beobachtet
$o$	$\begin{cases} 2A = 119^{\circ} 54' \\ 2B = 83 \quad 18 \\ 2C = 128 \quad 12 \end{cases}$	
$p : p$	$= 112 \quad 20$	$112^{\circ} 25'$
$b$	$=$	$*123 \quad 50$
$v$	$\begin{cases} 2A = 147 \quad 44 \\ 2B = 68 \quad 0 \\ 2C = 122 \quad 0 \end{cases}$	
$p^2 : p^2$	$= 142 \quad 56$	$143 \quad 0$
$b$	$= 108 \quad 32$	$108 \quad 43$
$p$	$= 164 \quad 42$	$165 \quad 10$
$q : q$	$=$	$*82 \quad 12$
$b$	$= 138 \quad 54$	$138 \quad 52$
$r : r$	$= 60 \quad 38$	$60 \quad 36$
$p : q$	$= 144 \quad 48$	$144 \quad 52$
$r$	$= 135 \quad 49$	$135 \quad 28$
$q : r$	$= 109 \quad 23$	$109 \quad 30$
$o : r$	$= 149 \quad 57$	$150 \quad 0$
$v : r$	$= 163 \quad 52$	$163 \quad 55$
$o$	$= 166 \quad 5$	$166 \quad 30$

Fig. 23.



23. — Häufig nur  $p$ ,  $q$ ,  $r$  und  $b$ . Zuweilen dehnt sich  $b$  oder ein  $p$  bildet tafelarartige Formen.

ltbar nach  $b$ . Kleine durchsichtige glänzende Krystalle. — Pogg. 9.

**res Antimonoxyd-Natron.**  $(5\text{Na}^2\text{C}^2\text{O}^4 + 2\text{Sh}^2\text{C}^6\text{O}^{12}) + 15\text{aq.}$   
 ei- und eingliedrig.  $a : b : c = 1,5036 : 1 : 0,8947$  Ram-  
 rg.  $o = 88^{\circ} 44'$ .

$o, q^2, a, c$ . —  $v' = \frac{1}{2}a' : b : 2c$ .

	Berechnet	Beobachtet
$p : p$	$= 67^{\circ} 16'$	$67^{\circ} 30'$
$a$	$=$	$*123 \quad 38$
$c$	$=$	$*90 \quad 42$
$a : c$	$= 91 \quad 16$	$91 \quad 0$
$q^2 : q^2$	$= 58 \quad 24$	
$c$	$= 149 \quad 12$	$149 \quad 20$
$a$	$= 90 \quad 37$	$90 \quad 40$
$o' : o'$	$= 104 \quad 22$	$104 \quad 40$
$a$	$= 113 \quad 8$	
$c$	$=$	$*132 \quad 35$
$p$	$= 136 \quad 43$	$136 \quad 53$
$v' : v'$	$= 110 \quad 8$	$110 \quad 13$
$a$	$= 139 \quad 0$	
$c$	$= 107 \quad 39$	$107 \quad 30$

telartig nach  $c$ ; oft herrscht eine Fläche  $p$  vor. — Rammelsberg: 95, 184.

**Zweifach schwefelsaures Ammoniak — Oxalsäure. Marignac.**

Zwei- und eingliedrig.  $a : b : c = 2,038 : 1 : 1,4635$  Marignac.  
 $\alpha = 62^\circ 40'$ .

$p, p^2, p^3, r', 2r', a, c.$

	Berechnet	Beobachtet
$p : p =$		$\sim 58^\circ 0'$
$a =$	$119^\circ 0'$	$118 \ 56$
$c =$	$102 \ 52$	$103 \ 0$
$p^2 : p^2 =$	$95 \ 52$	$96 \ 0$
$a =$	$137 \ 51$	$138 \ 5$
$c =$	$109 \ 54$	$110 \ 10$
$p^3 : p^3 =$	$117 \ 46$	
$a =$	$148 \ 53$	$148 \ 57$
$c =$	$113 \ 9$	
$a : c =$		$\sim 117 \ 20$
$r' =$		$\sim 106 \ 45$
$2r' =$	$137 \ 52$	$137 \ 52$
$c : r' =$	$136 \ 25$	
$2r' =$	$104 \ 48$	
$p : r' =$	$97 \ 48$	$97 \ 45$

Ziemlich ansehnliche Krystalle. Zwillinge nach  $a$ .

Bildet sich durch Kochen von oxalsaurem Ammoniak mit Schwefelsäure und zersetzt sich in Wasser theilweise, so dass Oxalsäure anschießt.  
 — Marignac: Ann. Min. (5) 12.

**Mellithsäure und deren Salze.****Mellithsäure.  $H^2C^4O^4$ .**

(Honigsteinsäure.)

Feine Nadeln, Prismen von  $112^\circ 19'$  mit Abstumpfung  $b$  und eine die stumpfen Kanten aufgesetzten schiefen Endfläche. Weiss.

**Mellithsaure Salze.****Mellithsaures Ammoniak.**

1) Einfach.  $Am^2C^4O^4 + 3aq.$

Zweigliedrig.  $a : b : c = 0,581 : 1 : 0,353$  G. Rose.

$\alpha, p, \frac{1}{9}p, q, \frac{2}{10}r, b, c.$

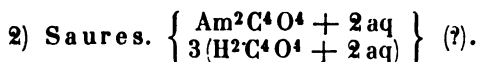
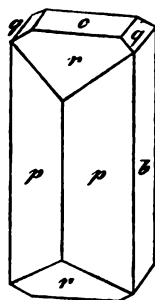
	Berechnet	Beobachtet
$\alpha \left\{ \begin{array}{l} 2A = \\ 2B = \\ 2C = \end{array} \right.$	$70^\circ 32'$	$\sim 146^\circ 17'$ $\sim 120 \ 6$

Berechnet	Beobachtet		
	G. Rose	Grailich	Rammelsb.
$p : p = 119^{\circ} 41'$			
$\therefore \frac{1}{2} p = 114^{\circ} 20'$	$114^{\circ} 16'$	$113^{\circ} 50'$	$114^{\circ} 2'$
$b = 122^{\circ} 50'$		$122^{\circ} 54'$	$122^{\circ} 34'$
$q : q = 140^{\circ} 48'$			
$c = 160^{\circ} 24'$			$160^{\circ} 16'$
$b = 109^{\circ} 36'$		$109^{\circ} 52'$	$109^{\circ} 55'$
$\therefore \frac{2}{3} r = 122^{\circ} 16'$			
$c = 151^{\circ} 8'$	$151^{\circ} 8'$		$151^{\circ} 2'$

24. — Die Krystalle sind prismatisch nach der Zone. G. Rose unterschied die Combination  $o$ ,  $s$  heteromorph von der  $\frac{1}{2} p$ ,  $q$ ,  $\frac{2}{3} r$ ,  $b$ ,  $c$ . Beide verlieren nach längerer Zeit ihre Durchsichtigkeit nach  $c$ .

Die optischen Axen für Roth  $ac$ , für Blau und Grün; für Grün erscheint der Krystall einaxig wegen der Dispersion der Axen. Mittellinie  $c$ , negativ; für Roth,  $20^{\circ}$  Blau ungefähr. Die Brechungsexponenten bestimmte ebenfalls Grailich.

Fig. 24.



gliedrig. Nach Naumann Prismen von etwa  $122^{\circ}$  mit den beimpfungsflächen und der Endfläche. — Grailich: Wien. Ak. — Naumann: J. f. pr. Chem. 43, 127. — G. Rose: Pogg. A.

### Mellithsaures Kali.

Einfach.  $\text{K}^2\text{C}^4\text{O}^4 + 3\text{aq}$ .

gliedrig. Isomorph mit dem Ammoniaksalz. approximativen Messungen Naumann's ist

$$\begin{array}{ll} p : p = 114^{\circ} & q : c = 160^{\circ} \\ b = 123 & r : c = 151 \end{array}$$

Krystalle verwittern sehr schnell. — Naumann: a. a. O. solches Verhalten Lang: Wien. Ak. Ber. 45, 115.

### Mellithsaures Silber-Kali.

Wöhler niedrige symmetrische sechsseitige Prismen mit zwei von  $124^{\circ} 30'$  und vier von  $119^{\circ} 41'$  und gerader Endfläche. — : Pogg. A. 7, 333.

ithsaure Thonerde (Honigstein).  $\text{Al}^2\text{C}^{12}\text{O}^{12} + 48\text{aq}$ .

gliedrig.  $a : c = 1 : 0,7453$  Kokscharow. ist  $2A = 118^{\circ} 16'$ ,  $2C = 93^{\circ} 1'$ .

berg, physik. Chemie II.

## Brechungsexponenten

$$o = 1,549$$

$$1,556$$

$$1,539$$

$$1,544$$

$$e = 1,542 \text{ Pfaff}$$

$$\text{Brewster}$$

$$1,544 \text{ Schrauf}$$

$$1,518 \text{ Des Cloizeaux.}$$

**Ameisensäure und deren Salze****Ameisensäure.  $\text{H}^2\text{CO}_2$ .**

Ausdehnung. — Ist das Vol. bei  $0^\circ = 1$ , so ist es bei

10°	1,04	bei 60°	1,06340
20	1,02046	70	1,07460
30	1,03050	80	1,08647
40	1,04109	90	1,09875
50	1,05194	100	1,11148
		105	1,11803

Kopp: Pogg. A. 72, 243.

Ausdehnung verdünnter Säure Frankenheim: Eb. 72, 428.

Die Ausdehnung der flüssigen Ameisensäure ist fast vollkommen mässig zwischen  $-44^\circ,4$  und  $+32^\circ,83$ . Das Mol. zieht sich beim Er bei  $0^\circ$  um 4,553 Volumeinheiten zusammen.

Volumgewicht. — 1,2353 ( $12^\circ$ ) = 1,2498 ( $0^\circ$ ) Liebig, ( $13^\circ,7$ ) = 1,2227 ( $0^\circ$ ) Kopp, 1,2244 ( $20^\circ$ ) einer bei  $100^\circ$  siedenden 1,2244 ( $20^\circ$ ) einer bei  $102^\circ$  siedenden Säure, 1,2465 ( $20^\circ$ ) einer b siedenden Säure, Landolt; 1,24482 bei  $0^\circ$  gegen Wasser von  $4^\circ$  terson.

Erstarrungspunkt  $-4^\circ$ , Schmelzpunkt  $+4^\circ$ . Mit 1 Mol. verbunden, erstarrt sie noch nicht bei  $-45^\circ$ . Liebig.

Schmelzpunkt  $8^\circ$  Berthelot,  $7^\circ,45$  Petterson.

Latente Schmelzwärme = 57,38 bei etwa  $-7^\circ,5$ ; 4 Mc wickelt beim Erstarren 2639 W. E. — Die corrigirten Werthe sind und 2688. Petterson.

Siedepunkt  $98^\circ,5$  (753 mm) Liebig,

400 Bineau, Favre,

105,3 (760 mm) Kopp,

99,8—100 $^\circ,3$  (754 mm), 104 $^\circ,9$  (756,7 mm) Land

100,5 (749 mm) Petterson.

Bei einem Gemisch von 100 Th. Säure und 40,58 Th. Wasser li bei  $105^\circ,4$ . Petterson.

Gas-Volumgewicht. — Petterson fand es

$$\text{bei } 111^\circ,5 = 34,5$$

$$460 \quad 26,4$$

$$244 \quad 23,4. \text{ Berechnet } 23.$$

Bineau hatte es bei  $111-118^{\circ} = 30,6-30,9$ , bei  $160^{\circ} = 23,3$  gefunden. Da  $H_2CO_2 = 46$ , so muss es  $= 23$  sein. — C. r. 49, 769 (Pogg. A. 65, 424).

Der Siedepunkt der Säure mit 4 Mol. Wasser ist  $106^{\circ}$  Liebig. Ein Gemisch von 7 Mol. Säure und 5 Mol. Wasser (22,5 pCt. Wasser) erleidet bei der Destillation unter 760 mm Druck keine Veränderung und hat einen constanten Siedepunkt  $= 107^{\circ},4$ , und diese Zusammensetzung und diesen Siedepunkt erreichen bei der Destillation alle Gemische, welche ärmer oder reicher an Wasser sind. Allein unter höherem Druck ist die Zusammensetzung des constant siedenden Destillats eine andere. Unter 4830 mm ist die Flüssigkeit  $= 2$  Mol. Säure und 4 Mol. Wasser (46,8 pCt. W.) und siedet bei  $134^{\circ},6$ . Eine Mischung in dem Verhältniss 3 : 2 Mol. siedet unter 4350 mm constant bei  $124^{\circ},4$ . — Roscoe: J. Ch. Soc. 15, 270 (Ann. Ch. Ph. 125, 349).

Spec. Wärme. 0,536 zwischen  $45-24^{\circ}$  Kopp. Pogg. A. 75, 404.

Petterson fand sie zwischen  $0^{\circ}$  und  $47^{\circ} = 0,512$

— 0 — 100  $= 0,548-0,520$ .

Durch Zusatz von Wasser wird sie wenig verändert. — Petterson: J. f. Pr. Ch. (2) 24, 293. — Neue Untersuchungen Reis: Wiedem. Ann. 13, 447.

#### Spannkraft der Dämpfe

Siedepunkt (Lufttherm.)

von $99^{\circ},9 = 760$ mm		$400^{\circ}$
90,4	560 -	90
77,0	360 -	77
55,5	160 -	56
33,4	60 -	33
19,4	30 -	19

Landolt: Ann. Ch. Ph. Suppl. 6, 429. — Vgl. Duclaux: C. r. 86, 592.

#### Brechungscoefficienten ( $20^{\circ}$ ):

	$\alpha$	$\beta$	$\gamma$	Volumgew.	Siedep.
I.	1,36927	1,37643	1,38044	1,2241	$99^{\circ},8-100^{\circ},3$
II.	922	637	036	1,2165	104,9
III.	934	650	068	1,2244	$101,3-102,3$

Landolt bestimmte an I. die Br. bei verschiedenen T. ( $18-26^{\circ}$ ), und rechnete daraus die Br. für die Fraunhofer'schen Linien

$B = 1,36844$	$F = 1,37648$
$C = 6949$	$G = 8086$
$D = 7130$	$H = 8480$
$E = 7404$	

Durch Mischen mit Wasser werden die Br. kleiner. — Landolt: 38. A. 447, 362. — Vgl. Sauber: Eb. 447, 580.

Refractionsäquivalent Gladstone: Proc. R. Soc. 46, 439.

Elektrolyse der wässerigen Säure Bourgoïn: Ann. Ch. Phys. (4) 157. — Favre: C. r. 73, 890. 936. — Bunge: Ber. d. ch. G. 1876, 98.

~~Ameisensäure~~ ~~Formel~~ ~~Page~~ A. 140, 497, 143, 533.  
~~Ameisensäure~~ ~~Formel~~ ~~Page~~ Derselbe: Ber. d. ch. 1  
~~Ameisensäure~~ ~~Formel~~ ~~Page~~ C. r. 77, 24.

**Ameisensäure Salze.**

~~Ameisensäure~~ ~~Formel~~ ~~Page~~ — Handl: Wier

~~Ameisensäure~~ ~~Formel~~ ~~Page~~  $\text{AnCHO}^2$ .

~~Ameisensäure~~ ~~Formel~~ ~~Page~~ = ~~Formel~~ 1 : 1,4319 La ng  
= ~~Formel~~ 26

	Rechnung	Rechnung
$\frac{1}{2}$	$\frac{1}{2} = 0,5$	
$\frac{1}{3}$	$\frac{1}{3} = 0,3333$	
$\frac{1}{4}$	$\frac{1}{4} = 0,25$	$124^\circ 54'$
$\frac{1}{5}$	$\frac{1}{5} = 0,2$	$122^\circ 32'$
$\frac{1}{6}$	$\frac{1}{6} = 0,1666$	$121^\circ 48'$
$\frac{1}{7}$	$\frac{1}{7} = 0,1428$	
$\frac{1}{8}$	$\frac{1}{8} = 0,125$	
$\frac{1}{9}$	$\frac{1}{9} = 0,1111$	
$\frac{1}{10}$	$\frac{1}{10} = 0,1$	

~~Ameisensäure~~ ~~Formel~~ ~~Page~~ — ~~Formel~~ ~~Page~~ Ber 27 176

**Ameisensäure Lössen.**  $\text{HCHO}^2 + \text{aq.}$

~~Ameisensäure~~ ~~Formel~~ ~~Page~~ = ~~Formel~~ 1 : 1,4345 Handl.

	Rechnung	Rechnung
$\frac{1}{2}$	$\frac{1}{2} = 0,5$	
$\frac{1}{3}$	$\frac{1}{3} = 0,3333$	$113^\circ 52'$
$\frac{1}{4}$	$\frac{1}{4} = 0,25$	
$\frac{1}{5}$	$\frac{1}{5} = 0,2$	
$\frac{1}{6}$	$\frac{1}{6} = 0,1666$	$123^\circ 4'$
$\frac{1}{7}$	$\frac{1}{7} = 0,1428$	$91^\circ 41'$
$\frac{1}{8}$	$\frac{1}{8} = 0,125$	$134^\circ 6'$
$\frac{1}{9}$	$\frac{1}{9} = 0,1111$	
$\frac{1}{10}$	$\frac{1}{10} = 0,1$	
$\frac{1}{11}$	$\frac{1}{11} = 0,0909$	
$\frac{1}{12}$	$\frac{1}{12} = 0,0833$	
$\frac{1}{13}$	$\frac{1}{13} = 0,0769$	
$\frac{1}{14}$	$\frac{1}{14} = 0,0714$	
$\frac{1}{15}$	$\frac{1}{15} = 0,0666$	$111^\circ 21'$
$\frac{1}{16}$	$\frac{1}{16} = 0,0625$	$131^\circ 39'$
$\frac{1}{17}$	$\frac{1}{17} = 0,0588$	$142^\circ 0'$

Prismatisch nach p.

**Ameisensäure Baryt.**  $\text{BaC}^2\text{H}^2\text{O}^4$ .

Zweigliedrig.  $a : b : c = 0,765 : 1 : 0,8638$  Heusser.  
 $p, q, q^2, r, a, b.$



Berechnet	Heusser	Beobachtet Bernhardi	Grailich
$\alpha = 25'$	$*105^\circ 40'$	$104^\circ 28'$	$105^\circ 12',5$
$\beta = 22$		$127 \ 46$	
$\gamma = 42$			
$\delta = 24$	$150 \ 24$		
	$*83 \ 4$		$83 \ 0$
$\epsilon = 24$			
$\zeta = 29$			
$\eta = 7$			

- Prismatisch nach  $p$ , herrschend  $p$   
nach  $q$ . — Bernhardi: Schwg.

ung stark, Ebene der optischen  
Mittellinie =  $a$ . Axenwinkel sehr  
gering,  $q < v$ .

$14'$  Roth,  $170^\circ$  Blau. Grailich.

Cloiseaux ist bei  $44^\circ$

$\alpha = 36' 30''$	$\beta = 1,592$
$\beta = 36$	$2E = 164^\circ 48'$ Roth
$\gamma = 50 \ 30$	$\beta = 1,596$
$\delta = 42$	$2E = 164^\circ 0$ Gelb
$\epsilon = 6 \ 30$	$\beta = 1,607$
$\zeta = 56$	$2E = 176^\circ 34$ Blau.

erhielt bei  $17^\circ,5-24^\circ$

B	D	E	H
$1,63098$	$1,63612$	$1,64123$	$1,66047$
$1,59184$	$1,59698$	$1,60243$	$1,62476$
$1,56788$	$1,57288$	$1,57768$	$1,59643$
$77^\circ 40'$	$77^\circ 53'$	$78^\circ 53'$	$79^\circ 36'$
$85 \ 32$	$85 \ 55$	$87 \ 17$	$88 \ 46$

und Lang: Wien. Ak. Ber. 27 u. 34. — Schrauf: Eb.  
2, 595). — Des Cloiseaux: Nouv. Réch.

isch; die Axe des herrschenden Prismas (also  $c$ ) ist die Rich-  
tungen Action. — Grailich: Wien. Ak. Ber. 32.

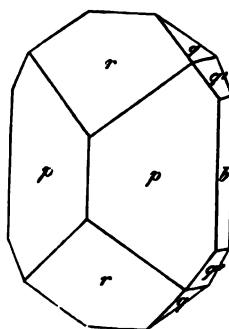
ameisensaure Strontian.  $\text{SrC}^2\text{H}^2\text{O}^4 + 2\text{aq}$ .

ig.  $a : b : c = 0,6076 : 1 : 0,5949$  Heusser.

b. —  $s = a : \frac{1}{2}b : c$ .

	Berechnet	Beobachtet Kopp
$\alpha$	$2A = 133^\circ 56'$	$133^\circ 58'$
$\beta$	$2B = 99 \ 50$	
$\gamma$	$2C = 97 \ 46$	

Fig. 25.



	Berechnet	Beobachtet			
		Heusser	Kopp	Pasteur	Grailich
$s \left\{ \begin{array}{l} 2A = 99^{\circ} 16' \\ 2B = 115 \quad 34 \\ 2C = 114 \quad 2 \end{array} \right.$					
$p : p =$		$*117^{\circ} 26'$	$118^{\circ} 0'$	$117^{\circ} 3'$	$117^{\circ} 31'$
$q : q =$		$*118 \quad 30$	$118 \quad 0$	$118 \quad 20$	$118 \quad 30$
$p = 105 \quad 24$			$105 \quad 23$		

Fig. 26, 27. — Beide Oktaeder erscheinen nach Heusser stets als Tetraeder und zwar auf verschiedenen Seiten, das rechte  $o$  mit dem linken  $s$  oder umgekehrt (vgl. auch die Fig. bei Jacobson). Jene mögen rechte, diese linke Krystalle heissen.

Fig. 26.

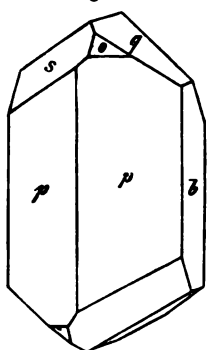


Fig. 27.

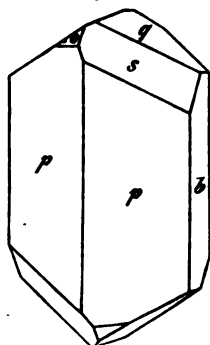
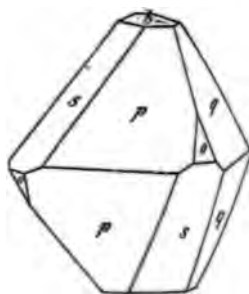


Fig. 28.



Nach Pasteur liefern die einen oder anderen beim Umkrystallisiren Krystalle beider Art. Jacobson erhielt aus der mittelst Stärke dargestellten Säure überwiegend linke Krystalle, jedoch war nur  $o$  constant tetraedrisch,  $s$  aber vollzählig, nur mit dem Unterschied, dass die auf der Seite von  $o$  liegenden Flächen kleiner waren. Besonders aber fand er, dass reine rechte Krystalle beim Umkrystallisiren nur rechte, und linke nur linke liefern. Auch die aus Glycerin und Oxalsäure bereitete Säure gab ein Salz von gleichem Verhalten, blos waren die rechten Krystalle überwiegend.

Durch gleiche Ausdehnung von  $p$  und  $q$  entstehen scheinbar viergliedrige Formen. Fig. 28. — Pasteur: Ann. Ch. Phys. (3) 31, 98. — Jacobson: Pogg. A. 113, 493. — Gernez: C. r. 66, 853 (Pogg. A. 134, 623).

Ebene der optischen Axen  $ac$ . Mittellinie  $c$ . negativ.  $\rho < r$ .

$2H = 58^{\circ} 58'$  Grailich

$2E = 92 \quad 48$  Ders.

$= 112 \quad 9$  Roth:  $113^{\circ} 12'$  Violett. Des Cloizeaux.

Nach Schrauf ist bei  $16-21^{\circ}$



	<i>B</i>	<i>D</i>	<i>E</i>
$\alpha =$	1,53421	1,53820	1,54203
$\beta =$	1,51743	1,52009	1,52444
$\gamma =$	1,48057	1,48377	1,48690
$2E =$	112° 51'	114° 10'	115° 31'
$2V =$	66 36	67 0	67 24

ch directer Messung:

$2E = 113^\circ$  und  $112^\circ$  Roth;  $115$ — $116^\circ 30'$  Blau.

magnetisch.

Die Lösung ist ohne Wirkung auf das polarisirte Licht.

#### Ameisensaurer Kalk. $\text{Ca C}^2\text{H}^2\text{O}^4$ .

eingliedrig.  $a : b : c = 0,760 : 1 : 0,9342$  Heusser.

$\frac{o}{2}, 2p, a, b.$	Berechnet	Beobachtet
$o \left\{ \begin{array}{l} 2A = 118^\circ 58' \\ 2B = 96 \quad 6 \\ 2C = 125 \quad 28 \end{array} \right.$		119° 34'
$\frac{o}{2} \left\{ \begin{array}{l} 2A = \\ 2B = \\ 2C = 88 \quad 44 \end{array} \right.$		*136 36 *121 46
$2p : 2p = 66 \quad 42$		
$b = 146 \quad 39$		146 30

Fig. 29.

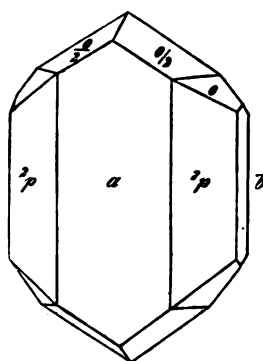


Fig. 29. — Prismatisch nach  $a, 2p$ . Fehlt  
lehnen sich  $2p$  und  $\frac{o}{2}$  aus, so entstehen  
drische Formen. Lang beschreibt Oktae-  
it untergeordnetem  $\frac{o}{2}$  und sehr schmalen  
id  $2p$ , gleichwie Oktaeder  $\frac{o}{2}$  mit  $o$  und  
ngenannten Flächen.

Die optischen Axen  $ac$ , Mittellinie  $a$ .

$= 39^\circ 10'$  Roth;  $40^\circ 20'$  Gelb;  $42^\circ 50'$  Grün;  $44^\circ 30'$  Blau. Lang  
38 40 43—43° 10' Violett. Des Cloiz.

Die auf bestimmte:

	<i>B</i>	<i>D</i>	<i>E</i>
$\alpha =$	1,57344	1,57754	1,58191
$\beta =$	1,50997	1,51346	1,51674
$\gamma =$	1,50669	1,51005	1,51323
$2E =$	40° 28'	41° 5'	41° 27'
$2V =$	26 29	26 49	26 59

#### Ameisensaures Mangan. $\text{Mn C}^2\text{H}^2\text{O}^4 + 2\text{aq.}$

wei- und eingliedrig.

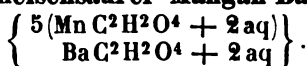
$o', p, 2r', a, b, c.$

Beobachtet Heusser

$$p : p \text{ an } b = 105^{\circ} 48'$$

$$o' = 145 \quad 57$$

Die nach  $c$  tafelartigen Krystalle sind für Messungen nicht geeignet, doch sind sie isomorph mit denen vom Zink- und Kadmiumsalz und folgenden.

**Ameisensaurer Mangan-Baryt.**

Zwei- und eingliedrig.  $a : b : c = 1,3164 : 1 : 1,2075$  He  
 $o = 82^{\circ} 28'$ .

$o, o', p, 2r', a, b, c$ .

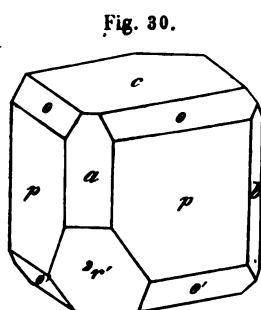


Fig. 30.

	Berechnet	Beobachtet
$o : o =$	$100^{\circ} 40'$	
$o' : o' =$	$93 \quad 40$	
$o : o' =$	$119 \quad 40$	
$o : o' =$	$112 \quad 58$	
$p : p =$		$*74^{\circ} 56'$
$c =$	$94 \quad 35$	
$a : c =$		$*97 \quad 32$
$2r' =$	$149 \quad 48$	$149 \quad 49$
$c : 2r' =$	$112 \quad 40$	
$p : 2r' =$	$121 \quad 44$	
$o : c =$	$126 \quad 42$	
$p =$	$117 \quad 53$	
$o' : c =$		$*120 \quad 20$
$p =$	$145 \quad 5$	

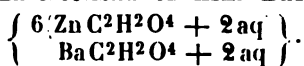
Fig. 30. — Spaltbar nach  $p$ .

Ueber die Isomorphie wasserfreier Formiate mit wasser.  
 Handl: Wien. Ak. Ber. 47, 747.

**Ameisensaures Zink.  $\text{Zn C}^2\text{H}^2\text{O}^4 + 2\text{aq}$ .**

Zwei- und eingliedrig.  $a : b : c = 1,3067 : 1 : 1,2209$  F  
 $o = 82^{\circ} 41'$ .

$o', p, 2r', a, c$ .	Berechnet	Beobachtet
$p : p =$		$*75^{\circ} 28'$
$c =$		$*94 \quad 28$
$a : c =$	$97^{\circ} 49'$	
$2r' =$	$150 \quad 20$	
$2r' : c =$	$112 \quad 21$	$112 \quad 14$
$p =$	$122 \quad 10$	
$o' : o' =$	$93 \quad 6$	
$a =$	$117 \quad 16$	
$o' : c =$		$*120 \quad 4$
$p =$	$145 \quad 31$	
	$\circ 158$ Clarke.	

**Ameisensaurer Zink-Baryt.**

eingliedrig.  $a : b : c = 0,579 : 1 : 0,7923$  Heusser.

$$\begin{array}{ll} A = 97^\circ 16' & \alpha = 92^\circ 14' \\ B = 119 \quad 1 & \beta = 108 \quad 49 \\ C = 117 \quad 40 & \gamma = 116 \quad 51 \end{array}$$

$o, p, p', 2q', a, b, c.$  Berechnet Beobachtet

$$\begin{array}{ll} a : b = 117^\circ 40' & \\ p : p' = 126 \quad 37 & \\ a = & 158^\circ 51' \\ b = & 138 \quad 49 \\ p' : a = 147 \quad 46 & \\ b = 94 \quad 34 & \\ c : p = 107 \quad 54 & \\ p' = 106 \quad 39 & \\ b : c = & 97 \quad 16 \\ o''' : b = 125 \quad 44 & 125 \quad 54 \\ c = & 120 \quad 16 \\ p = 134 \quad 50 & \end{array}$$

Prismatisch nach  $a, b, p$ . Fläche  $a$  erscheint hinten sehr klein oder Spaltbar nach  $b$ , weniger nach  $c$ .

**Ameisensaures Kadmium.  $\text{Cd C}^2\text{H}^2\text{O}^4 + 2 \text{ aq}.$** 

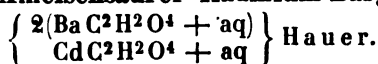
Zwei- und eingliedrig.  $a : b : c = 1,3252 : 1 : 1,2245$  Kopp.  
 $o = 82^\circ 55'.$

$$\begin{array}{ll} o, o', p, 2r', a, c. & \text{Berechnet} \quad \text{Beobachtet} \\ o : o = 99^\circ 48' & \\ o' : o' = & 92^\circ 46' \\ o : o' = 119 \quad 45 & \\ o : o' = 113 \quad 37 & \\ p : p = & 74 \quad 30 \\ c = 94 \quad 17 & \\ a : c = & 97 \quad 5 \\ 2r' = 150 \quad 5 & \\ 2r' : c = 112 \quad 50 & \\ p = 121 \quad 39 & \\ o : a = 123 \quad 43 & \\ c = 126 \quad 11 & \\ o' : a = 117 \quad 2 & \\ c = 120 \quad 12 & \end{array}$$

Krystallographie (2. Aufl.) 327.

Ebene der optischen Axen  $ac$ . Grailich.

Volumgewicht. 2,42 (20°) Clarke.

**Ameisensaurer Kadmium-Baryt.**

Zwei- und eingliedrig.  $a : b : c = 0,8983 : 4 : 0,54$  Brio.  
 $o = 89^\circ 32'$ .

$o, o', p, r, r', b.$

	Berechnet	Brio	Beobachtet
			Handl
$o : o =$	$130^\circ 42'$		
$o' : o' =$	$130 \quad 22$		
$o : o' =$	$124 \quad 15$		
$o : o' =$	$77 \quad 45$		
$p : p =$	$96 \quad 8$		$95^\circ 50'$
$b =$		$*134^\circ 56'$	
$r : r' =$		$*117 \quad 59$	$118 \quad 30$
$o : b =$	$114 \quad 39$		
$p =$	$129 \quad 5$		
$r =$	$155 \quad 21$		
$o' : b =$	$114 \quad 49$		
$p =$	$128 \quad 40$		
$r' =$	$155 \quad 11$		

Handl hatte diese Mischung als zweigliedrig beschrieben.

Brio: Wien. Ak. Ber. 54, 789. — Handl: ib. 37, 388.

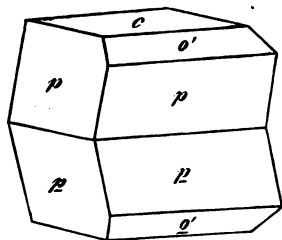
Volumgewicht 2,724 (20°) Clarke.

**Ameisensaures Kupfer.  $\text{CuC}^2\text{H}^2\text{O}^4 + 4 \text{aq}.$** 

Zwei- und eingliedrig.  $a : b : c = 1,0036 : 4 : 0,7739$  Heusser.  
 $o = 78^\circ 55'.$

$o, o', p, b, c.$

Fig. 31.



	Berechnet	Beobachtet
$o : o =$	$122^\circ 10'$	
$o' : o' =$	$112 \quad 38$	
$o : o' =$	$117 \quad 11$	
$o : o' =$	$94 \quad 34$	
$p : p =$		$*90^\circ 52'$
$c =$		$*97 \quad 52$
$o : c =$	$136 \quad 58$	
$o' : c =$		$*128 \quad 28$

Prismatisch nach  $p$  oder tafelartig nach einem  $p$  oder  $c$ . Zwillinge nach  $c$ . Fig. 3 Die  $p$  bilden einspringende Winkel von  $164^\circ 11'$  Bei Ausdehnung eines  $o'$  sehen sie wohl wie

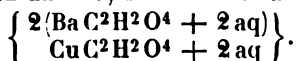
einfache Krystalle aus. Spaltbar nach  $c$ .

Ebene der optischen Axen  $ac$ ; die Mittellinie etwa  $16^\circ$  mit einer Normale auf Fläche  $c$ , und  $62^\circ 55'$  mit einer solchen auf die vordere Kante  $pp$  bilden  $2E = 55^\circ 8'$  Roth;  $54^\circ 37'$  Violett. Geneigte Dispersion ausgezeichnet, die eine Hyperbel aussen blau, innen roth, die andere umgekehrt. Müller: Pogg. A. 35, 472. — Des Cloizeaux: Ann. Min. 44 (1858)

**Ameisensaurer Kupfer-Baryt.**

Aus der Lösung gleicher Mol. erhielt Heusser zuerst das Kupfersalz (nur 0,6 pCt. Baryt enthaltend) und dann grüne Krystalle einer Mischung, welcher Cu : 2 Ba waren. Er hielt auch diese Krystalle für isomorph mit dem Kupfersalz und glaubte aus seiner Analyse schliessen zu müssen, dass es aus 1 Mol. des Kupfersalzes mit 4 aq und 2 Mol. des wasserfreien Barytsalzes beständen.

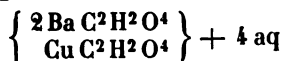
Diese Annahme ist indessen gewiss unrichtig; die Krystalle sind gar nicht gemessen, sie hatten blos im Allgemeinen das Ansehen derer des Kupfersalzes. Wie ich glaube, sind sie isomorph denen von Mn, Zn, Cd und der Mischung von Mn und Ba, sowie Cu und Sr, und bestehen aus



Es ist nämlich

	Gefunden	Berechnet
Baryt	45,0	42,77
Kupferoxyd	44,4	44,40

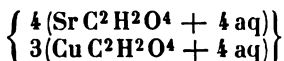
Neuerlich hat Friedländer aus der Lösung der beiden einfachen Salze stets das Doppelsalz



halten, welches die eingliedrige Form des Zink-Barytsalzes besitzt. — *Monatsschr.* 3, 480.

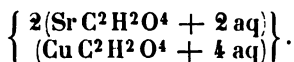
**Ameisensaurer Kupfer-Strontian.**

Aus einer Mischung gleicher Mol. krystallisirt nach Heusser zuerst ein grünes

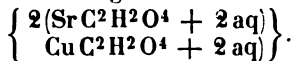


in den Flächen und den Winkeln des reinen Kupfersalzes.

Sodann eine Mischung in hellblauen Krystallen, welche gleichfalls dem Kupfersalz isomorph ist, wiewohl Heusser keine Messungen anführt, sondern nur sagt, die Flächen und Winkel seien dieselben. In diesen Krystallen ist Cu : 2 Sr enthalten, und Heusser berechnete aus der Bestimmung beider die Formel



Allein hier gilt offenbar dasselbe, wie bei der Barytmischung; die Krystalle sind nicht isomorph dem Kupfersalze, sondern jener Reihe mit 4 aq, und sie stellen eine Mischung dar



	Gefunden	Berechnet
Strontian	34,43	33,69
Kupferoxyd	42,09	42,86

Nun haben wir gesehen, dass die isomorphe Mischung des Zink Barytsalzes, ebenfalls mit 2aq, eingliedrig krystallisirt. Auch bei dem Kupfer- und Strontiansalze scheint sich dies zu wiederholen. Eine Mischung nämlich, von Hauer dargestellt, und nach ihm der F. Heusser's entsprechend, wahrscheinlich aber statt 8 nur 6aq enthaltend wie oben angenommen ist, ist nach Zepharovich eingliedrig.

$$a : b : c = 0,7436 : 4 : 1,0403 \text{ Zepharovich.}$$

$$A = 104^{\circ} 38' \quad \alpha = 104^{\circ} 44'$$

$$B = 95 \quad 38 \quad \beta = 95 \quad 52$$

$$C = 90 \quad 43 \quad \gamma = 91 \quad 42$$

$$o''', \frac{o'}{2}, p, p', q, q', r', \frac{r'}{2}, a, b, c.$$

	Berechnet	Beobachtet
$a : b =$		$*90^{\circ} 43'$
$p : p' = 105^{\circ} 41'$		
$a : p =$		$*142 \quad 34$
$p' = 142 \quad 40$		
$b : p = 127 \quad 42$		
$p' = 127 \quad 33$		$128 \quad 18$
$b : c =$		$*104 \quad 38$
$q : q' = 89 \quad 34$		
$c : q = 142 \quad 8$		$142 \quad 16$
$q' = 127 \quad 23$		
$b : q = 142 \quad 30$		$142 \quad 33$
$q' =$		$*127 \quad 59$
$a : c =$		$*95 \quad 38$
$r' = 140 \quad 44$		$140 \quad 40$
$\frac{r'}{2} = 119 \quad 24$		$119 \quad 22$
$c : r' = 123 \quad 39$		
$\frac{r'}{2} = 145 \quad 2$		$145 \quad 4$
$p : c = 103 \quad 20$		$103 \quad 24$
$o''' : c = 111 \quad 4$		
$p = 145 \quad 36$		
$p' : c = 85 \quad 40$		
$\frac{o'}{2} : c = 138 \quad 36$		$138 \quad 37$
$p' = 127 \quad 5$		$127 \quad 27$
$o''' : a = 134 \quad 46$		$134 \quad 44$
$q' = 130 \quad 29$		$130 \quad 42$
$o : b = 115 \quad 46$		
$r' = 144 \quad 48$		
$\frac{o'}{2} : a = 127 \quad 17$		$127 \quad 22$
$b = 104 \quad 39$		$104 \quad 40$

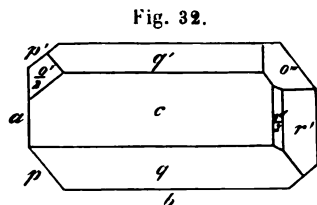


Fig. 32.

Fig. 32. — Vollkommen spaltbar nach  $b$ , weniger nach  $a$ . — Zepharovich: Wien. Ak. Ber. 43, 545.

Bei Vergleichung mit dem Zink-Barytsalz tritt in einzelnen Zonen **jedenfalls eine bemerkenswerthe Aehnlichkeit** hervor, aber es bleibt **weiteren Untersuchungen** vorbehalten, zu entscheiden, ob eine Isomorphie vorhanden ist.

Zn - Ba - Salz	Cu - Sr - Salz
$b : p' = 94^{\circ} 34'$	$c : p' = 94^{\circ} 20'$
$p : p' = 126 \ 37$	$\frac{o'}{2} : p' = 127 \ 5$
$b : p = 138 \ 49$	$\frac{o'}{2} : c = 138 \ 36$

Die Dimorphie zeigt sich auch hier darin, dass Zepharovich Krylle einer Mischung zwei- und eingliedrig fand, deren Kupfer- und **ontiumgehalt** leider von ihm nicht bestimmt wurde.

$$a : b : c = 1,3238 : 1 : 1,1765 \text{ Zepharovich.}$$

$$o = 83^{\circ} 31'.$$

$o, o', p, 2r', a, c.$	Berechnet	Beobachtet
$o : o = 100^{\circ} 44'$		
$o' : o' = 94 \ 18$		
$o : o' = 120 \ 2$		
$o : o' = 111 \ 32$		
$p : p = 74 \ 30$		$74^{\circ} 30'$
$a =$		$127 \ 15$
$c = 93 \ 55$		$93 \ 57$
$a : c =$		$96 \ 29$
$2r' = 149 \ 40$		$149 \ 30$
$2r' : c =$		$114 \ 21$
$p = 124 \ 18$		
$o : a = 123 \ 9$		
$c = 126 \ 56$		$126 \ 52$
$p = 146 \ 59$		$147 \ 5$
$o' : a = 116 \ 49$		
$c = 121 \ 32$		
$p = 144 \ 33$		$144 \ 36$

Tafelartig nach c. Spaltbar nach a.

Hauer hatte diese Krystalle aus einer sehr sauren Lösung von 2 Mol. Strontiansalz und 4 Mol. Kupfersalz neben den eingliedrigen erhalten und sie, weil er 26,7 pCt. Kupferoxyd gefunden, für zweifach ameisensaures Kupfer gehalten (mit 4 aq). Wertheim fand aber 37,42 CuO, und glaubte, es sei normales mit 3 aq. Aber auch dies ist sehr zweifelhaft und das Salz enthält gewiss Strontian, da es mit dem Mangan-, Zink- und Kadmiumsalz und mit der Mangan-Barytmischung isomorph ist, in denen 2 aq enthalten sind.

$$\text{Es dürfte also} \quad \left\{ \begin{array}{l} m(\text{CuC}^2\text{H}^2\text{O}^4 + 2\text{aq}) \\ n(\text{SrC}^2\text{H}^2\text{O}^4 + 2\text{aq}) \end{array} \right\}$$

sein. Wäre  $m = 9$ ,  $n = 1$ , so müsste es 37,25 CuO geben.

Hauer: Wien. Ak. Ber. 43, 543. — Wertheim: Ebend. — Zepharovich: Ebend. 43 und 55.

**Ameisensaures Blei.  $\text{PbC}^2\text{H}^2\text{O}^4$ .**Zweigliedrig.  $a : b : c = 0,7447 : 4 : 0,8438$  Heusser. $p, q, r, b, c.$ 

Berechnet

Beobachtet

$p : p =$

$*106^\circ 52'$

$q : q = 99^\circ 40'$

$r : r =$

$*82 \ 38$

$p : q = 112 \ 35$

$r = 127 \ 6$

$q : r = 124 \ 17$

Isomorph dem Barytsalz. Sehr kleine nadelförmige Krystalle. Nicht spaltbar. Diamantglanz.

Volumgewicht. 4,56 Boedecker.

**Essigsäure und essigsäure Salze.****Essigsäure.****A. Anhydrid.  $\text{C}^4\text{H}^6\text{O}^3$ .**

Ausdehnung. Kopp: Ann. Ch. Ph. 94, 257.

Volumgewicht. 4,0969 bei  $0^\circ$ , 4,0799 bei  $45^\circ,2$  Kopp, 4,0793 bei  $45^\circ$  (gegen Wasser von  $4^\circ$ ) Mendelejew, 4,073 bei  $20^\circ,5$  Gerhardt, 4,0836 Landolt.Siedepunkt.  $137^\circ,5$  bei 750mm Gerhardt,  $137^\circ,8$  bei 757,4mm Kopp,  $139^\circ,5$  und  $139^\circ,8$  Landolt.Gas-Volumgewicht. Bei  $240^\circ = 50,2$  (berechnet 54) Gerhardt. Cahours fand

bei  $152^\circ$  53,4

bei  $242^\circ$  50,4

- 185 51,5

- 255 50,5

C. r. 56, 900.

Brechungsexponenten:

	$\mu_\alpha$	$\mu_\beta$	$\mu_\gamma^{*)}$
bei $18^\circ$	1,38926	1,39645	1,40020
- 20	8832	9525	39927
- 22	8743	9427	9824

$\Delta_{10} \quad 0,00046 \quad 0,00047 \quad 0,00049$

Landolt: Pogg. A. 122, 557. — Grailich: Krypt.-opt. Unt. 191.

Wärme bei der Einwirkung von Wasser. 4 Mol. = 402grm entwickelt bei der Verwandlung in  $\text{C}^4\text{H}^6\text{O}^4$  42800 W. E. oder nach Correction und Abzug für die Lösungswärme der Säure 42000 W. E. — Berthelot: C. r. 69, 626.

<sup>4)</sup>  $\mu_\alpha, \mu_\beta, \mu_\gamma$  sind die drei Hauptstreifen des Wasserstoffspectrums, von denen der erste = C, der zweite = F, der dritte zwischen F und G steht.



B. Säure.  $C^2H^4O^2$ .

nendruckbarkeit. Colladon und Sturm: Pogg. A. imé: Ann. Ch. Phys. (3) 8, 257 (Pogg. Ann. Ergbd. 2, 240). nung. Die A. der flüssigen Säure ist beinahe vollkommen ber und unter dem Schmelzpunkte, während die feste Säure rker ausdehnt, je mehr die T. sich jenem Punkte nähert. Die es Mol. beim Erstarren bei  $0^\circ$  beträgt 7,195 Volumeinheiten. — Vgl. Kopp: Pogg. A. 72, 248. — Frankenheim: Eb.

gewicht. a. der festen Säure.  
erson; 4,4449 bei  $0^\circ$  Pettersson.

b. der flüssigen Säure.

- 5 bei  $0^\circ$  Kopp,  
bei 0 Mollerat,  
- 0 Mohr  
- 5— $40^\circ$  }  
- 10—15 } Regnault,  
- 15—20 }  
3 -  $45^\circ$  Oudemans,  
- 15 Mohr,  
- 15 Mendelejew (gegen Wasser von  $4^\circ$ ),  
-  $46^\circ$  Mollerat,  
9 - - Pettersson,  
5 - 17 Kopp,  
- 20 Landolt,  
- 20 Linnemann.

ungs- und Schmelzpunkt. —  $46^\circ$  Regnault;  $46^\circ,45$   
 $46^\circ,55$  Pettersson;  $46^\circ,7$  Rudorff. Sie kann bei  $-40^\circ$   
ein.

Schmelzwärme = 43,66 (corrig. 44,44) W. E. — Beim  
4 Mol. werden 2649 (corrig. 2650) W. E. frei. Pettersson.  
unkt unter dem Druck von 760 mm.  $117^\circ,3$  Kopp;  $117^\circ,8$   
andolt;  $118^\circ,1$  Linnemann;  $117^\circ,6$ — $118^\circ,2$  Oude-  
4 bei 749 mm Pettersson.

e Dampfwärme 104,9 für 1 Gewthl. Person.

7ärme. 0,6445—0,6588 Regnault; 0,509 zwischen 45  
p; 0,479 zwischen 0 und  $47^\circ$ , 0,497 zwischen 0 und  $100^\circ$

leitungswiderstand. Guthrie: Phil. Mag. (4) 37, 468.  
lumgewicht.

Cahours	Pettersson.
$125^\circ = 46,2$	
150—155 = 39,3	$157^\circ,5 = 39,7$
219 = 31,4	$160,9 = 38,15$
231 = 30,6	214 = 32,04
250—350 = 30,1	Berechnet = 30.

Cahours: C. r. 49, 774. 20, 54. 63, 44. Vgl. Bineau: C. r. 49, 768. — Playfair und Wanklyn: Ann. Ch. Ph. 424, 404. 422, 245. — Horstmann: Ebend. Suppl. 6, 54. — Naumann: Ebend. 455, 325.

Spannkraft und Dichte des gesättigten Dampfs. Naumann: Ber. d. chem. Ges. 4870, 78.

Brechungsvermögen. — Brechungsexponenten bei  $46^{\circ} = 4,3753$  (Säure vom V. G. 4,063) Deville.

Versuche von Landolt gaben bei  $20^{\circ}$  für die Linien

$B = 4,36905$	$F = 4,37652$
$C = 4,36977$	$G = 4,38058$
$D = 4,37173$	$H = 4,38423$
$E = 4,37427$	

Die hierzu benutzte S. hatte ein V. G. = 4,0544 und den Siedepunkt  $118^{\circ}$ . Pogg. A. 117, 353. — Vgl. Sauber: Eb. 580.

Essigsäure und Wasser.

Volungewicht der Mischungen. — Das Maximum der Contraction findet bei 1 Mol. S. und 2 Mol. Wasser statt.

Oudemans bestimmte das V. G. von Mischungen bei T. von  $0-40^{\circ}$ , schliesst aber aus seinen Versuchen, dass jenes Max. in keinem Zusammenhange zu einem bestimmten Mol.-Verhältniss stehe, sofern es für jede T. einer anderen Mischung entspricht \*).

Oudemans, das sp. G. der Essigsäure und ihrer Gemische mit Wasser. Bonn 1866 (Auszug: Jahreshb. 1866, 300).

Thermische Erscheinungen beim Mischen. — Thomsen: Pogg. A. 90, 269. B. d. ch. G. 1873, 740. — Favre: C. r. 50, 1150.

Erstarrungspunkt. Rudorff fand, dass ein sehr geringer Wassergehalt den E. beträchtlich erniedrigt, so dass sich durch Beobachtung desselben noch 0,4 pCt. Wasser nachweisen lässt. Allein die Erniedrigung ist der Wassermenge nicht proportional, sondern die T. sinkt langsamer, als letztere zunimmt. So z. B. ist

		die Erstarrungstemp.
für die Säure		$16^{\circ},7$
für einen Wassergehalt		
von 0,497 pCt.		45,65
- 0,99	-	44,8
- 1,477	-	44,0
- 1,961	-	43,25
- 4,761	-	9,4
- 8,257	-	5,3
- 10,744	-	2,7
- 13,043	-	-0,2
- 19,354	-	-7,4

S. o. u. Pogg. A. 445, 609.

\* Zu ähnlichen Resultaten sind van Toorn und Roscoe gelangt.

ungsverhältnisse. Auch der Brechungsexponent wächst mit der Zunahme des Wassers, wie schon Deville fand und Landolt bestätigt. Der Maximum bei dem Verhältniss von 2 Mol. S. gegen 1 Mol. W. fand.

te. — Die Annahme, dass eine verdünnte Säure, welche 23 pCt. S. enthält, was 2 Mol. entspricht, den constanten Siedep. von  $104^{\circ}$  hat, ist nach Roscoe unrichtig. Es giebt keine wässrige S., welche bei 100° einen constanten Siedep. besitzt. Jede Mischung wird durch Erhitzen unter gewöhnlichem wie unter höherem Druck in die beiden Componenten zerlegt, so dass zuletzt die reine S. übrig bleibt. Zugleich ist zu bemerken, dass Gemische, welche 77,5 bis 80 pCt. Säure enthalten, bei 100° des V. G. (1,0754) besitzen. — J. Ch. Soc. 45, 270 (Ann. Ch. Soc. 9).

analyse. — Bourgoin: Ann. Ch. Phys. (4) 44, 457. — Favre: Compt. Rend. 18, 936.

Calorificationswärme. — Thomsen: Pogg. A. 440, 497. 443, 444. — Andrews: J. Ch. Soc. (2) 8, 432. — Berthelot: C. r. 75. 1873. (4) 29, 328. C. r. 78, 4177.

den Einfluss von Luft und Wasser auf die physikalischen Eigenschaften der Essigsäure Pettersson: J. f. pr. Ch. (2) 24, 293.

## Essigsäure Salze.

### Einfache.

#### Essigsäures Kali. $\text{KC}^2\text{H}^3\text{O}^2$ .

Schmelzpunkt  $292^{\circ}$ . Gr. Schaffgotsch.

beim Verdünnen der Lösung. Favre: C. r. 50, 1150.

Druck des Dampfes siedender Lösungen. — Bahr: Jahresh.

Wärme der Lösungen. Andrews: Pogg. A. 66, 57.

#### Essigsäures Natron.

1) Einfach.  $\text{NaC}^2\text{H}^3\text{O}^2 + 3\text{aq.}$

und eingliedrig.  $a : b : c = 1,1852 : 1 : 0,9964$  Brooke.

$\theta = 68^{\circ} 46'$ .

$\frac{\theta'}{2}, 2\theta', p, r, r', 2r', a, b, c.$

	Berechnet	Beobachtet	
		Brooke	Rammelsb.
$\theta : \theta =$	$117^{\circ} 32'$		
$\theta' : \theta' =$	$96 \quad 44$		
$\theta : \theta' =$	$117 \quad 33$		
$\theta : \theta' =$	$103 \quad 7$		
$p : p =$		$84^{\circ} 30'$	$84^{\circ} 23'$

erg., physik. Chemie II.

Berechnet	Brooke	Beobachtet	Rammelsb.	Haushofer
$p : b = 137^{\circ} 45'$				
$c =$	$*104^{\circ} 25'$	$137^{\circ} 42'$	$104 \ 53$	
$a : c = 111 \ 44$				
$c : r = 149 \ 30$				$149^{\circ} 49'$
$r' = 134 \ 25$				$134 \ 2$
$2r' =$	$*103 \ 35$			
$o : a = 132 \ 43$				
$c = 137 \ 16$	$136 \ 0$			
$o' : a = 109 \ 44$				
$c = 149 \ 37$		$119 \ 34$		
$p = 135 \ 58$	$135 \ 50$	$136 \ 15$		
$2o' : 2o' = 84 \ 56$				
$p = 156 \ 44$	$156 \ 54$			

Fig. 33.

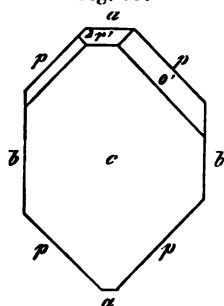
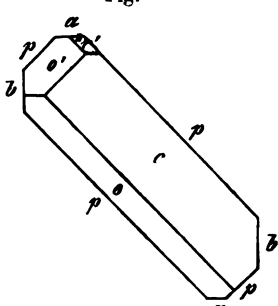


Fig. 34.



Ich beobachtete Combinationen wie Fig. 33, Die  $\frac{o}{2}$  und  $r$  fand neulich Haushofer an ähnlichen Krystallen nach Spaltbar nach  $p$  und  $c$ . Brooke: Ann. Phil. 39.—Haushofer: C. Ztschr. 4, 572 (vgl. 4, 2, 412).

Starke Doppelbrechung Ebene der optischen

senkrecht auf  $ac$ , einen Winkel von  $33^{\circ} 44'$  bis  $35^{\circ} 44'$  mit einer Normale auf die vordere Fläche  $a$ , und von  $102$ — $104^{\circ}$  mit einer solchen auf die hintere Endfläche  $c$  bildend, Mittellinie parallel  $ac$ . Sénarmont.

Dispersion der Axen beträchtlich;  $2E = 99^{\circ} 41$ — $59'$  Roth;  $50$ — $55'$  Violett.  $\rho < v$ . Des Cloizeaux. — Vgl. Miller: Pogg. 55, 627.

Volumengewicht des wasserfreien 1,424, des krystallisierten 1,424. Boedeker; Buignet.

Erstarrungspunkt  $349^{\circ}$  Graf Schaffgotsch. Das krystallisierte ist bei  $75^{\circ}$  flüssig, siedet bei  $123^{\circ}$ ; beim Abkühlen bis  $58^{\circ}$  krystallisiert wieder. Unter Umständen bleibt es aber bei  $0^{\circ}$  noch weich, und wird erst an trockener Luft oder durch Berührung in die gewöhnlichen Krystalle verwandelt, wobei viel Wärme frei wird. — Jeannel: C. r. 62, 834.

Uebersättigte Lösungen Reischauer: Ann. Ch. Ph. 115, 116.

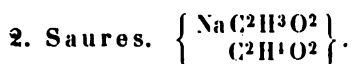
Volumänderung beim Lösen und Wärme beim Verdünnen Favre: C. r. 50, 1150. 79, 968.

Spec. Wärme der Lösungen Thomsen: Pogg. A. 142, 363. 372.

Es lösen 100 Th. Alkohol (bei 18°)

von	0,9904	38	Th. Salz
	0,9726	29,8	- -
	0,9528	23,5	- -
	0,9088	14,6	- -
	0,8322	2,1	- -

Gerardin: Ann. Ch. Phys. (4) 5, 129.



Regulär. Oktaeder; zuweilen auch die Flächen von  $a : a : \frac{1}{2}a$ . — Einfach brechend. — Villiers: C. r. 84, 775. 85. 755.

Haushofer beobachtete Würfel mit  $a : a : \frac{1}{2}a$ . S. das vorige.

**Essigsäures Lithion.**  $\text{LiC}^2\text{H}^3\text{O}^2 + 2\text{aq}$ .

Zweigliedrig.  $a : b = 0,62 : 1$  Rammelsberg.

$p, a, c$ . Berechnet	Beobachtet		
	Rammelsberg	Grailich	Schabus
$p : p = 116^\circ 24'$			115° 54'
$a =$	*148° 42'	148° 14'	147 57

Oft Zwillinge nach  $p$ . Spaltbar nach  $p$ .

Ebene der optischen Axen =  $ac$ , Mittellinie =  $a$ . Negativ, starke Doppelbrechung, scheinbarer Axenwinkel

in Öl	in Luft	
77° 35'	134° 48'	für Roth
78 17	137 24	- Grün Lang.

Diamagnetisch. — Grailich: Kryst.-opt. Unters. 451.

Die Formel, schon aus älteren Versuchen von Pleischl abgeleitet, ist richtig, denn ich erhielt 6,82 pCt. Lithium (berechnet 6,86).

**Essigsäures Thalliumsesequioxyd.**  $\text{Ti}^2\text{C}^{12}\text{H}^{18}\text{O}^{12} + 3\text{aq}$  (Wilm).

Zweigliedrig.  $a : b : c = 0,6146 : 1 : 1,10$  Rammelsberg.

$a, \frac{a}{2}, b, c$ .	Berechnet	Beobachtet
$\left\{ \begin{array}{l} 2A = \\ 2B = \\ 2C = \end{array} \right.$	79° 34'	*123° 30'
$\frac{a}{2} : \frac{a}{2} =$	122 22	122 20
$b =$	118 49	118 45
$a : b =$	118 15	118 15
$c =$	115 30	116 0

Tafelartig nach  $\delta$ . Die durchsichtigen Krystalle werden schnell braun. — Pogg. A. 146, 602.

**Essigsaurer Baryt.  $\text{BaC}^4\text{H}^6\text{O}^4$ .**

1) Mit aq.

Eingliedrig.  $a : b : c = 0,9394 : 1 : 0,6522$  Shadwell.

$A = 79^\circ 39'$	$\alpha = 74^\circ 46'$
$B = 103 \ 32$	$\beta = 107 \ 34$
$C = 106 \ 15$	$\gamma = 109 \ 40$

 $\frac{o''}{2}, p', p_2', {}^2p', q, a, b, c.$ 

	Berechnet	Beobachtet
$a : b =$		$*106^\circ 15'$
$p_2' =$		$*152 \ 53$
$b : p' = 124^\circ 2'$		$124 \ 17$
${}^2p' = 148 \ 10$		$148 \ 24$
$b : c =$		$79 \ 39$
$q =$		$*116 \ 2$
$q : a = 112 \ 29$		$112 \ 26$
$a : c =$		$*103 \ 32$
$\frac{o''}{2} : a = 94 \ 46$		$90 \ 44$
$c = 155 \ 45$		$155 \ 47$
$q = 149 \ 55$		$149 \ 54$

Prismatisch nach der Horizontalzone, spaltbar nach  $a$ . — G Ztschr. 5, 312.

2) Mit 3aq.

Zwei- und eingliedrig.  $a : b : c = 1,9948 : 1 : 1,222$  Ramberg.  
 $o = 79^\circ 15'.$  $p, p^3, q, r', a, c.$ 

	Berechnet	Rammelsberg	Beobachtet Brooke	Bernhard 53° 8'
$p : p =$		$54^\circ 4'$	$53^\circ 52'$	
$a = 117^\circ 2'$		$117 \ 0$		
$c = 100 \ 25$		$100 \ 22$		
$p^3 : p^3 = 113 \ 46$				
$a = 146 \ 53$				$146 \ 18$
$a : c =$		$*100 \ 45$	$100 \ 30$	
$r' =$		$*143 \ 27$		
$c : r' = 145 \ 48$		$145 \ 52$	$146 \ 18$	
$q : q = 79 \ 34$				
$a = 96 \ 54$		$97 \ 0$		
$p = 137 \ 38$		$137 \ 37$		
$r' = 121 \ 57$		$122 \ 4$		

Prismatisch nach der Verticalzone, in welcher  $a$  und  $c$  herrschen. Bernhardt ist ausser  $p^2$  auch  $o'$  beobachtet; auch ist eine Fläche  $p^0$  überwiegend. Die Krystalle sind an dem Ende  $ac$  aufgewachsen glänzendsten sind  $p$  und  $r'$ . Spaltbar nach  $r'$ , weniger nach  $a$ . — Bernhardt: Schwgg. J. 4, 35. — Brooke: Ann. Phil. 23, 365. — Rammelsberg: Pogg. A. 90, 25.

cherlich über 15° krystallisirenden Hydrats  
 bekannt. — Pogg. A. 41, 331.

Hydrids 2.44 Schröder: des Hydrats 2.49

ungen Franz: J. f. pr. Ch. (2) 5, 274.

r Lösung Favre: C. r. 50, 4150.

7: Ber. d. ch. G. 4873, 740.

v.  $\text{SrC}^4\text{H}^6\text{O}^4 + 4\text{aq.}$

4.928 : 4 : 1.799 Brooke.

3° 30'.

Beobachtet

55° 6'

10  
 1

ooke: S. das vorige.

20°. Bei 15° und darüber kry-  
 stalsalz.

[agnesia.  $\text{MgC}^4\text{H}^6\text{O}^4 + 4\text{aq.}$

$a : b : c = 0.7179 : 4 : 0.39$  Grailich.

$\alpha = 86^\circ 46'$ .

4

Beobachtet

Grailich

Murmann

441° 13'

108 20

109° 48'

94 35

143 49

121 30

121 43

alb schwer messbar. — Grailich: Kryst.-  
 nn: Wien. Ak. Ber. 34.

on  $ac$ : starke Doppelbrechung, negativ: die  
 Normale auf die hintere Kante  $pp$  einen  
 7° 28',  $2E = 89^\circ 54'$ . Murmann.

Lösung Grailich: a. a. O.

Mangan.  $\text{MnC}^4\text{H}^6\text{O}^4 + 4\text{aq.}$

$a : b : c = 0.5205 : 4 : 1.4084$  Marignac.

$\alpha = 85^\circ 2'$ .

	Berechnet	Beobachtet	
		Marignac	Hochstetter
$o : o =$		$*131^{\circ} 6'$	$130^{\circ} 24'$
$o' : o' = 128^{\circ} 10'$		128 20	127 42
$o : o' = 69 54$		69 38	
$o : o' = 134 50$			136 15
$q : q = 84 20$			
$c = 132 10$		132 0	
$q^2 : q^2 = 48 44$			
$c = 114 22$		114 30	
$o : c =$		$*116 20$	115 25 (115 27 Rg.)
$o' : c =$		$*108 50$	108 20

Tafelartig nach  $c$ . Häufig Zwillinge nach  $c$ . Spaltbar nach Hochstetter: Wien. Ak. Ber. 16.

Ebene der optischen Axen senkrecht zu  $ac$ ; sehr starke Doppelung, Mittellinie negativ, fast genau senkrecht auf Fläche  $c$ .  $2H = 99^{\circ} 41'$  Roth,  $99^{\circ} 40'$  Gelb,  $99^{\circ} 34',5$  Blau. Des Cloizeaux.

Trichroismus nach den drei optischen Elasticitätsaxen. — Haidin Wien. Ak. Ber. 16.

#### Essigsaures Eisenoxydul. $\text{FeC}^4\text{H}^6\text{O}^4 + 4\text{aq.}$

Zwei- und eingliedrig.  $a : b : c = 0,706 : 1 : 0,8608$  Marignac  
 $o = 85^{\circ} 43'$ .

$o', p, c.$	Berechnet	Beobachtet
$o' : o' = 121^{\circ} 2'$		
$p : p =$		$*109^{\circ} 42'$
$c =$		$*93 30$
$o' : c =$		$*121 25$
$p = 145 5$		

#### Essigsaures Kobalt. $\text{CoC}^4\text{H}^6\text{O}^4 + 4\text{aq.}$

Zwei- und eingliedrig.  $a : b : c = 0,7196 : 1 : 0,403$  Rammberg.  
 $o = 85^{\circ} 19'$ .

$o', p, a, c.$	Berechnet	Beobachtet	
		Rammelsberg	Murmann
$o' : o' =$		$*140^{\circ} 4'$	$140^{\circ} 7'$
$p : p =$		$*108 42$	108 49
$a = 144^{\circ} 21'$		144 50	
$c =$		$*93 48$	93 50
$a : c = 94 41$			
$o' : c = 144 44$			144 7
$p = 121 58$		121 44	122 3

Prismatisch nach  $p$ , in der Endigung  $c$  herrschend. Zwillinge meist gleichsam als Hälften verwachsen, so dass die  $o'$  ein Rhombeder, die  $c$  ein- und ausspringende Winkel von  $170^{\circ} 38'$  bilden. — A. 90, 34. — Murmann: Wien. Ak. Ber. 34.



**Ebene** der optischen Axen  $ac$ ; Doppelbrechung ziemlich stark, negative **Mittellinie** macht  $36^{\circ} 38'$  mit einer Normale auf die vordere Fläche  $H = 32^{\circ} 45' - 18'$ ,  $2E = 48^{\circ} 42'$ . Pleochroismus. Murmann.  
**Volumgewicht**. 4,703 bei  $46^{\circ}$  Clarke.

**Essigsäures Nickel.**  $\text{NiC}^4\text{H}^6\text{O}^4 + 4\text{aq.}$

**Zwei- und eingliedrig.**  $a : b : c = 0,7216 : 1 : 0,4443$  Rammelsberg.  
 $o = 86^{\circ} 35'$ .

$o', p, q, c.$	Berechnet	Beobachtet	
		Rammelsberg	Schabus
$o' : o' =$		* $139^{\circ} 36'$	
$p : p =$		* $108 \ 28$	$108^{\circ} 36'$
$c = 92^{\circ} 56'$			$93 \ 37,5$
$q : q = 435 \ 4$			
$o' : c =$		* $443 \ 49$	

**Prismatisch** nach  $p$ ; in der Endigung  $o'$  herrschend. — Pogg. A. 90, 29.  
**Volumgewicht**. 4,784 bei  $46^{\circ}$  Clarke.

**Essigsäures Zink.**  $\text{ZnC}^4\text{H}^6\text{O}^4 + 3\text{aq.}$

**Zwei- und eingliedrig.**  $a : b : c = 0,6896 : 1 : 0,9043$  Brooke  
 Rammelsberg).  
 $o = 80^{\circ} 0'$ .

$$n = a : \frac{1}{3}b : c$$

$$n' = a' : \frac{1}{3}b : c$$

$3o, \frac{r}{3}, a, c.$	Berechnet	Beobachtet	
		Brooke	Rammelsberg
$n : n =$		* $67^{\circ} 24'$	
$n' : n' = 58^{\circ} 46'$			
$n : n' = 142 \ 58$ (Stk.)			$142^{\circ} 54'$
$c : n = 112 \ 28$		$112 \ 28$	$112 \ 27$
$n' = 104 \ 35$			$104 \ 20$
$3o : 3o = 145 \ 22$			
$\frac{r}{3} = 142 \ 33$			
$a : c =$		* $100 \ 0$	$99 \ 45$
$\frac{r}{3} = 146 \ 27$			
$c : \frac{r}{3} =$			* $433 \ 33$

**Tafelartig** nach  $c$ . Sehr häufig Zwillinge nach  $c$ , an denen die  $a$  ein-  
 ringende Winkel von  $460^{\circ}$  (beob.  $459^{\circ} 40'$  Rammelsberg), die  $n'$   
 che von  $450^{\circ} 52'$  (beob.  $450^{\circ} 40'$ ), die  $n'$  solche von  $424^{\circ} 54'$  bilden.  
 altbar nach  $c$ .

**Ebene** der optischen Axen  $ac$ . Miller.

**Volumgewicht**. 4,718 Boedeker.

Brooke: Ann. Phil. 22, 39. — Miller: Pogg. A. 55, 628. — Ram-  
 melsberg: Ebend. 90, 27.

**Essigsäures Kadmium.**  $\text{CdC}^4\text{H}^6\text{O}^4 + 3\text{aq.}$ 

Zwei- und eingliedrig.  $a : b : c = 0,696 : 4 : 0,834$  Haid  
 $\alpha = 80^\circ 3'$ .

$n' = a' : \frac{1}{3} b : c. — q^3, r, a, c.$

	Berechnet	Beobachtet	
		Haidinger	Handl
$n' : n' =$		$60^\circ 0'$	
$q^3 : q^3 =$		$44 \ 21$	$42^\circ 38'$
$a = 93^\circ 44'$			$94 \ 10$
$c = 112 \ 10$			$111 \ 21$
$a : c =$		$99 \ 57$	
$r = 144 \ 31$			$145 \ 0$
$n' : c = 106 \ 16$			
$q^3 = 155 \ 11$			

Die Krystalle dieses Salzes absorbiren den einen Strahl grösser als den anderen wenig, beide aber gleichmässig durch das ganze Feld. — Haidinger: Wien. Ak. Ber. 43. — Handl: 1

**Essigsäures Blei.**  $\text{PbC}^4\text{H}^6\text{O}^4 + 3\text{aq.}$ 

Zwei- und eingliedrig.  $a : b : c = 2,179 : 4 : 2,479$  Ram  
 $\alpha = 70^\circ 12'$ .

$p, r, r', a, c.$

	Berechnet	Beobachtet		
		Rammelsberg	Brooke	Des Clo
$p : p =$		$52^\circ 0'$	$52^\circ 0'$	
$a = 116^\circ 0'$		$116 \ 25$		
$c = 98 \ 33$		$98 \ 45$	$98 \ 30$	
$a : c =$		$109 \ 48$	$109 \ 32$	
$r = 145 \ 35$				$147^\circ$
$r' =$		$130 \ 20$		
$c : r = 144 \ 43$				$142$
$r' = 119 \ 52$				
$p : r' = 106 \ 25$				

Prismatisch nach der Verticalzone (s. Barytsalz). Spaltbar nach der c. — Brooke: Ann. Phil. 22, 374. — Des Cloizeaux: No 444. — Rammelsberg: Pogg. A. 90, 28.

Ebene der optischen Axen  $ac$ ; die positive Mittellinie nach der c. neigt. Die der gelben Axen, die mit der der rothen nahe zusammen bildet Winkel von  $35^\circ 30'$  mit einer Normale auf Fläche  $c$ , von  $31^\circ$  mit einer solchen auf die vordere  $a$  und  $2^\circ 11'$  mit einer auf  $r$ . An einer Stelle parallel  $r$  und senkrecht zur Mittellinie, fand sich bei  $14^\circ$

$$2H = \begin{cases} 90^\circ 55' \\ 91 \ 45 \\ 95 \ 32 \end{cases}, \text{ also } 2V = \begin{cases} 83^\circ 27' \\ 83 \ 55 \\ 87 \ 24 \end{cases} \quad \beta = \begin{cases} 1,570 \text{ Roth} \\ 1,576 \text{ Grün} \\ 1,584 \text{ Blau} \end{cases} \text{ Des}$$

Löslichkeit. 1 Liter, bei  $45^\circ$  gesättigt, enthält 387,623 und hat ein V. G. = 1,23667. Michel und Krafft.

**Essigsäures Kupfer.**1)  $\text{CuC}^4\text{H}^6\text{O}^4 + \text{aq.}$  (Krystall. Grünspan.)Zwei- und eingliedrig.  $a : b : c = 1,532 : 4 : 0,8408$  Schabus.  
 $\alpha = 63^\circ 34'$ . $\alpha, \alpha', p, 2r', a, c.$ 

	Berechnet	Beobachtet	
		Schabus	Brooke
$\alpha : \alpha =$	$122^\circ 30'$		
$\alpha' : \alpha' =$	$102 \quad 10,5$		
$\alpha : \alpha' =$	$135 \quad 37$		
$\alpha : \alpha' =$	$83 \quad 39,5$		
$p : p =$		$72^\circ 44'$	$72^\circ 0'$
$c =$	$105 \quad 42$	$105 \quad 44$	$105 \quad 30$
$a : c =$	$116 \quad 26$	$116 \quad 30$	
$2r' =$	$124 \quad 24$		
$2r' : c =$		$119 \quad 40$	$119 \quad 4$
$p =$		$109 \quad 26,5$	

Prismatisch nach  $p$ ;  $\alpha$  selten,  $\alpha'$  sehr schmal. Zwillinge nach  $c$  (Brooke) und nach  $2r'$  (Schabus). Spaltbar nach  $c$ , weniger nach  $p$ . — Brooke: Ann. Phil. 6, 39.

2)  $\text{CuC}^4\text{H}^6\text{O}^4 + 5\text{aq.}$ Zweigliedrig.  $a : b : c = 0,634 : 4 : 0,5785$  G. Rose. $p, q, r, c.$ 

	Berechnet	Beobachtet	
		G. Rose	Grailich
$p : p =$		$115^\circ 30'$	$115^\circ 29'$
$q : q =$	$119^\circ 54'$	$119 \quad 54$	
$r : r =$	$94 \quad 58$		$94 \quad 50$
$p : q =$		$105 \quad 30$	
$r =$	$124 \quad 52$		$125 \quad 0$
$q : r =$	$129 \quad 39$		

G. Rose: Pogg. A. 37, 467. — Grailich (auch die Brechungsverhältnisse der Lösung): Kryst.-opt. Unters. 1855.

**Essigsäures Kupferammonium.** $\text{N}^2 \left\{ \begin{array}{l} \text{H}^6 \\ \text{Cu} \end{array} \cdot \text{C}^4\text{H}^6\text{O}^4 + \text{aq.} \right.$ Zwei- und eingliedrig.  $a : b : c = 0,7472 : 4 : 4,409$  Friedel.  
 $\alpha = 67^\circ 17'$ . $\alpha, \alpha', c.$ 

	Berechnet	Beobachtet
$\alpha : \alpha =$		$127^\circ 51'$
$\alpha' : \alpha' =$		$109 \quad 40$
$\alpha : \alpha' =$	$88^\circ 19'$	$88 \quad 18$
$\alpha : \alpha' =$	$122 \quad 56$	
$c : \alpha =$		$132 \quad 46$
$\alpha' =$	$104 \quad 18$	

Ann. Ch. Pharm. 123, 43.

**Essigsaures Didym.  $\text{Di}^2\text{C}^{12}\text{H}^{18}\text{O}^{12} + 8\text{aq.}$** Eingliedrig.  $a : b : c = 1,188 : 1 : 1,034$  Topsöe.

$A = 68^\circ 32' \quad \alpha = 64^\circ 44'$

$B = 105 \ 31 \quad \beta = 114 \ 53$

$C = 107 \ 0 \quad \gamma = 115 \ 48$

 $o'', p', q, r, r', a, b, c.$ 

Berechnet

Beobachtet

$a : b = 107^\circ 0'$

$106^\circ 35'$

$p' =$

$*118 \ 33,5$

$b : p' = 134 \ 26,5$

$134 \ 44,5$

$c =$

$*68 \ 32$

$q : c = 122 \ 32$

$b = 126 \ 0$

$126 \ 10$

$a : c =$

$*105 \ 34$

$r = 139 \ 10$

$r' = 121 \ 2$

$121 \ 8$

$c : r' = 133 \ 27$

$133 \ 51$

$p' : c =$

$*122 \ 24$

$q = 99 \ 42$

$99 \ 43$

$r = 129 \ 44$

$r' = 96 \ 44$

$96 \ 36$

$q : a = 119 \ 50$

$120 \ 0$

$r' : b = 123 \ 5$

$123 \ 7$

$o'' : a = 105 \ 25$

$105 \ 38$

$b = 114 \ 7$

$115$

$c = 112 \ 15$

$112$

$p' = 125 \ 21$

$125 \ 44$

$q = 134 \ 46$

$134 \ 38$

$r = 122 \ 28$

$122 \ 15$

Fig. 35.

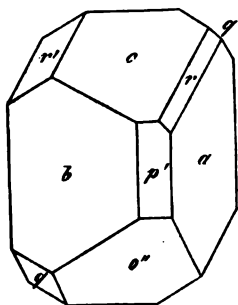


Fig. 35. — Röthliche Prismen  $abp'$ ; die Flächen  $q$  und  $r$  sind klein glänzende, aber gestreifte und unebene Flächen. Spaltbar vollkommen nach  $a, b, o''$ .

Volumgewicht 4,892. — K. Vet. Ak. Handl. 2. No. 5. Anhang.

**Essigsaures Yttrium.  $\text{Y}^2\text{C}^{12}\text{H}^{18}\text{O}^{12} + 8\text{aq.}$** Eingliedrig.  $a : b : c = 1,197 : 1 : 1,037$  Topsöe.

$A = 68^\circ 30' \quad \alpha = 64^\circ 8'$

$B = 105 \ 39 \quad \beta = 115 \ 0$

$C = 106 \ 53,5 \quad \gamma = 115 \ 45,5$

Die Flächen des vorigen (ohne  $r'$ ).

Berechnet

Beobachtet

$a : b = 106^\circ 54'$

$105-109^\circ$

$p' = 118 \ 22$

$b : p' = 134 \ 45$

$134^\circ 43'$

$c =$

$*68 \ 30$

$q : c =$

$*122 \ 28$

$b = 126 \ 2$

$126 \ 44$

$a : c =$

$*105 \ 39$

$r = 139 \ 7$

$140 \ 58$

	Berechnet	Beobachtet
$c : r =$	$146^{\circ} 33'$	$145^{\circ} 44'$
$p' : c =$	$122 \ 30$	$122 \ 6$
$q =$	$129 \ 36$	$129 \ 18$
$q : a =$	$119 \ 52$	$120-121^{\circ}$
$r : b =$	$94 \ 45$	$94 \ 2$
$q =$	$130 \ 33$	$130 \ 42$
$o'' : a =$	$105 \ 6$	
$b =$	$114 \ 43$	$115 \ 34$
$c =$		$112 \ 12$
$p' =$	$125 \ 18$	
$q =$		$135 \ 2$

Sehr häufig nur die drei Hexaidflächen. Meist tafelartig nach  $a$ .  
 stark glänzend, aber gestreift. Spaltbar vollkommen nach  $a$ ,  $b$ ,  $o''$ .

Isomorph dem vorigen.

Volumgewicht 4,696.

**Essigsäures Erbium.**  $\text{Er}_2\text{C}^{12}\text{H}^{18}\text{O}^{12} + 8\text{aq.}$

Eingliedrig. Isomorph den vorigen.

	Beobachtet.	Topsie.
$a : b =$	$107^{\circ} 50'$	$a : r = 140^{\circ}$
$p' =$	$118 \ 2$	$c : r = 146 \ 3'$
$b : p' =$	$135 \ 44$	$p' : c = 122 \ 7$
$c =$	$69 \ 32$	$r = 127 \ 51$
$q : c =$	$123 \ 13$	$o'' : a = 105 \ 48$
$b =$	$126 \ 58$	$b = 114 \ 34$
$a : c =$	$108 \ 33-106^{\circ} 6'$	$c = 115 \ 3$

Volumgewicht 2,114.

**Essigsäures Uranoxyd.**

1)  $\text{UO}_2 \cdot \text{C}^4\text{H}^6\text{O}^4 + 2\text{aq.}$

Zweigliedrig.  $a : b : c = 0,7847 : 1 : 0,3554$  Schabus.

$p$ ,  $2p$ ,  $r$ ,  $a$ ,  $b$ .

	Berechnet	Beobachtet
$p : p =$		$103^{\circ} 58',5$
$a =$	$144^{\circ} 59',5$	$144 \ 59,5$
$2p : 2p =$	$65 \ 12$	$65 \ 22$
$a =$	$122 \ 36$	$122 \ 44$
$r : r =$		$131 \ 6$
$a =$	$114 \ 27$	$114 \ 27$
$p =$	$109 \ 2$	
$2p =$	$102 \ 53$	

Prismatisch nach  $p$ , seltener tafelartig nach  $b$ . Spaltbar nach  $2p$ , weniger nach  $p$ , auch nach  $a$  und  $b$ . Grüngelb, trichromatisch.

2)  $\text{UO}_2 \cdot \text{C}^4\text{H}^6\text{O}^4 + 3\text{aq.}$

Viergliedrig.  $a : c = 1 : 1,3968$  Rammelsberg.

$o$ ,  $\frac{o}{3}$ ,  $d$ ,  $\frac{d}{2}$ ,  $p$ .

# Essigsäure Salze.

Berechnet		Beobachtet	
		Rammelsberg	Schabus
$o$	$2A = 104^{\circ} 46'$	$104^{\circ} 30'$	$104^{\circ} 39'$
	$2C = 126 \ 20$	$126 \ 49$	
$\frac{o}{3}$	$2A = 134 \ 44$		$134 \ 4$
	$2C = 66 \ 44$		
$d$	$2A = 109 \ 48$		
	$2C = 108 \ 48$		
$\frac{d}{2}$	$2A = 132 \ 44$	$132 \ 0$	
	$2C = 69 \ 52$		
$p : o =$		$153 \ 10$	$153 \ 18$
$\frac{o}{3} = 123 \ 22$		$123 \ 0$	$123 \ 31$
$o : \frac{o}{3} = 150 \ 42$		$150 \ 10$	
$d = 140 \ 53$			$140 \ 50$

Fig. 36.

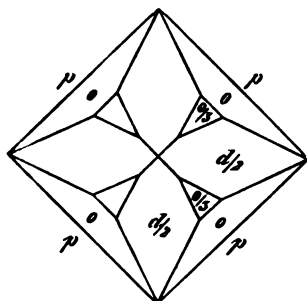


Fig. 37.

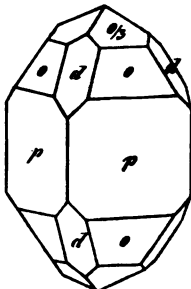


Fig. 36, 37. — Das erste stumpfere Oktaeder beobachtete S  
 leist tafelartig nach einem  $p$ . Spaltbar nach  $p$ .

## Doppelsalze.

**Essigsäures Blei-Natron.**  $(2 \text{NaC}^2\text{H}^3\text{O}^2 + \text{PbC}^4\text{H}^6\text{O}^4) -$

Zwei- und eingliedrig.  $a : b : c = 0,4764 : 1 : 0,5298$

erg.  $o = 85^{\circ} 23'$ .

$o, o', p, q, q^2, a, b$ . —  $s' = a' : \frac{1}{2} b : c$ .

Berechnet		Beobachtet	Berechnet	
$o : o =$	$142^{\circ} 22'$	$142^{\circ} 30'$	$q : a =$	$94^{\circ} 5'$
$o' : o' =$	$139 \ 34$	$140 \ 0$	$q^2 : q^2 =$	$86 \ 52$
$o : o' =$	$90 \ 57$	$94 \ 30$	$b =$	
$o : o' =$	$102 \ 4$		$a =$	
$p : p =$	$129 \ 42$	$129 \ 24$	$o : a =$	$136 \ 36$
$b =$		$115 \ 24$	$b =$	$108 \ 49$
$q : q =$	$124 \ 20$		$p =$	$142 \ 4'$
$b =$	$117 \ 50$	$117 \ 30$	$q =$	$137 \ 2$

	Berechnet	Beobachtet		Berechnet	Beobachtet
$o' : a = 132^\circ 27'$			$s' : b = 126^\circ 22'$		$126^\circ 22'$
$q = 133 \ 28$		$133^\circ 43'$	$q^2 = 141 \ 17$		$144 \ 35$
$s' : s' = 107 \ 46$		$107 \ 31$	$o' = 163 \ 54$		$163 \ 58$

Prismatisch nach  $p$ , zuweilen tafelartig nach  $b$ ;  $a$  ist selten;  $q^2$  ist grösser als  $q$ . Die Krystalle sind nach der Axe  $a$  oder  $c$  aufgewachsen.

**Essigsäures Kupfer-Kali.**  $(\frac{1}{2} K C^2 H^3 O^2 + Cu C^4 H^6 O^4) + 12 aq^*$ .

Viergliedrig.  $a : c = 1 : 0,2465$  Rammelsberg.

$o, p, a.$	Berechnet	Beobachtet
$o \begin{cases} 2A = 153^\circ 4' \\ 2C = \end{cases}$		$153^\circ 5'$
$o : p = 109 \ 44$		$138 \ 28$
$a = 103 \ 28$		$109 \ 41$
		$103$ ungef.

Oft tafelartig nach einem  $p$ .

Spaltbar sehr vollkommen nach  $p$ .

**Essigsaurer Kupfer-Kalk.**  $(Ca C^4 H^6 O^4 + Cu C^4 H^6 O^4) + 8 aq.$

Viergliedrig.  $a : c = 1 : 1,032$  Schabus.

$o, d, p, a, c.$	Berechnet	Beobachtet
	Schabus	Kopp
$o \begin{cases} 2A = 108^\circ 38' \\ 2C = 111 \ 10 \end{cases}$		
$d \begin{cases} 2A = 118 \ 52 \\ 2C = 92 \ 0 \end{cases}$		
$o : c =$	$124^\circ 25'$	$124^\circ 20'$
$p = 145 \ 35$		
$d : c = 134 \ 0$		

Oft nur  $p, a, c$ . Die  $o$  sind ungleich ausgedehnt, doch nicht tetraedrisch, wie Kopp annimmt. Eine Fläche von  $p$  oder  $a$  herrscht öfter vor.

— Kopp: Krystallogr. 167. — Schabus: Wien. Ak. Ber. 1850 Juni.

Optisches Verhalten. — Grailich: Kr.-opt. Unt. 157.

Nach Kohlrausch sind die Brechungsexp.  $o = 1,436, e = 1,478$ .

Volumgewicht. 4,42 Schabus.

Wärmeleitung. Lang: Pogg. A. 135, 36.

**Essigsäures Urapoxyd-Ammoniak.**

$2(Am C^2 H^3 O^2 + U O^2 \cdot C^4 H^6 O^4) + 5 aq^{**}$ .

Viergliedrig.  $a : c = 1 : 1,1745$  Grailich.

$o, p.$	Berechnet	Beobachtet
$o \begin{cases} 2A = 100^\circ 49' \\ 2C = 128 \ 40 \end{cases}$		
$o : p =$		$154^\circ 20'$

Tafelartig durch Ausdehnung einer Fläche  $p$ . Beide  $p$  sind horizontal gestreift. Fluoreszenz und optisches Verhalten: Kryst.-opt. Unters. 157.

\* In meinem Laboratorium analysirt.

\*\* Wegen der Isomorphie mit dem Silbersalz ist der Wassergehalt fraglich.

**Essigsäures Uranoxyd-Kali.**  $(\text{KC}^2\text{H}^3\text{O}^2 + \text{UO}^2 \cdot \text{C}^4\text{H}^6\text{O}^4) + \text{aq.}$   
 Viergliedrig.  $a : c = 1 : 1,2854$  Wertheim.

$o, \frac{o}{2}, p.$	Berechnet	Beobachtet	
		Wertheim	Schabus
$o \begin{cases} 2A = 103^\circ 26' \\ 2C = 122 \quad 24 \end{cases}$			$103^\circ 28'$ $122 \quad 47$
$\frac{o}{2} \begin{cases} 2A = 123 \quad 42 \\ 2C = 84 \quad 32 \end{cases}$			
$p : o =$		$*154^\circ 10',5$	$154 \quad 8$
$\frac{o}{2} = 132 \quad 46$			
$\frac{o}{2} : o = 161 \quad 5,5$			$161 \quad 4,5$

Prismatisch nach  $p$ ;  $\frac{o}{2}$  wurde von Schabus beobachtet;  $o$  ist glatt,  
 $\frac{o}{2}$  horizontal schwach gestreift. Spaltbar nach  $p$ , weniger nach  $c$ . —  
 Wertheim: J. f. pr. Ch. 29, 207.

**Essigsäures Uranoxyd-Natron.**  $\text{NaC}^2\text{H}^3\text{O}^2 + \text{UO}^2 \cdot \text{C}^4\text{H}^6\text{O}^4.$

Regulär. Tetraeder mit Granatoeder. Auch das Gegentetraeder (Grailich). Oder das Granatoeder herrscht vor (Hauer). — Hauer: Pogg. A. 125, 449.

Zwischen gekreuzten Nicols erscheint eine Platte bläulichgrün, beim Drehen des Analysators wird sie blau, dunkelroth, gelb; bei entgegengesetztem Drehen grün, dann gelb. Manche Krystalle verhalten sich hertiglich dieses Farbenwechsels entgegengesetzt. Die Lösung ist ohne Wirkung auf das polarisirte Licht. — Marbach: Pogg. A. 94, 422.

Volumgewicht. 2,55 Boedecker.

**Essigsäures Uranoxyd-Silber.**  $(\text{AgC}^2\text{H}^3\text{O}^2 + \text{UO}^2 \cdot \text{C}^4\text{H}^6\text{O}^4) + \text{aq.}$   
 Viergliedrig.  $a : c = 1 : 1,5385$  Wertheim.

$o, p.$	Berechnet	Beobachtet
$o \begin{cases} 2A = 100^\circ 2' \\ 2C = 138 \quad 38 \end{cases}$		
$o : p =$		$*155^\circ 49'$

S. Ammoniak- und Kalisalz.

**Essigsaurer Uranoxyd-Strontian.**  $(\text{SrC}^4\text{H}^6\text{O}^4 + \text{UO}^2 \cdot \text{C}^4\text{H}^6\text{O}^4) + 6\text{aq.}$   
 Viergliedrig.  $a : c = 1 : 0,3887$  Grailich.

$o, p.$	Berechnet	Beobachtet
$o \begin{cases} 2A = \\ 2C = 57^\circ 36' \end{cases}$		$*140^\circ 10'$ $57 \quad 20$
$o : p = 118 \quad 48$		$119 \quad 40$

An den abwechselnden Ecken der Combination erscheinen je zwei Flächen eines gebrochenen Quadrattetraeders, d. h. des tetraedrischen Halft-



ines Vierkantners, welche auf die Kanten von  $p$  abwechselnd unten aufgesetzt sind. Grailich fand ihre gegenseitige Neigung, die gegen  $p = 450^\circ 32'$ . Kryst.-opt. Unters. 464.

**rer Uranoxyd-Kalk.**  $(\text{Ca C}^4\text{H}^6\text{O}^4 + 2 \text{UO}^2 \cdot \text{C}^4\text{H}^6\text{O}^4) + 8 \text{aq.}$

liedrig.  $a : b : c = 0,9798 : 1 : 0,3865$  Grailich.

$p, \frac{1}{2}p, q^2, a, b, c. - v = \frac{1}{3}a : \frac{1}{3}b : c.$

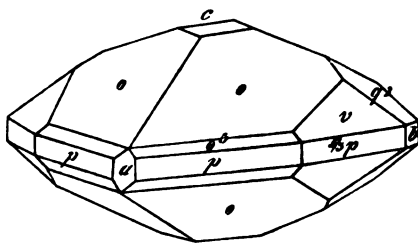
	Berechnet	Beobachtet
$o \begin{cases} 2A = 140^\circ 26' \\ 2B = 139 \quad 36 \\ 2C = 57 \quad 50 \end{cases}$		$140^\circ 44'$ $139 \quad 20$
$o^3 \begin{cases} 2A = 106 \quad 22 \\ 2B = 104 \quad 36 \\ 2C = 117 \quad 46 \end{cases}$		
$p : p =$		$94 \quad 10$
$b = 134 \quad 25$		$134 \quad 30$
$v \begin{cases} 2A = 77 \quad 22 \\ 2B = 122 \quad 52 \\ 2C = 132 \quad 32 \end{cases}$		
$\frac{1}{2}p : \frac{1}{2}p = 62 \quad 58$		
$q^2 : q^2 = 104 \quad 36$		
$o : c =$		$151 \quad 5$
$o^3 : c = 124 \quad 7$		
$p = 148 \quad 53$		$148 \quad 57$
$o = 150 \quad 2$		$149 \quad 58$
$v : c = 113 \quad 44$		$114 \quad 30$

3. — Ebene der opt.  $bc$ , Mittellinie  $b$ , positive Fluorescenz. — Grailich. — opt. Unters. 459. — Wien. Ak. Ber. 34.

**Uranoxyd-Magnesia.**  
 $+ 2 \text{UO}^2 \cdot \text{C}^4\text{H}^6\text{O}^4 + 6 \text{aq.}$   
liedrig.  $a : b : c = 0,740 :$   
Rammelsberg.

$b.$	Berechnet	Beobachtet
$o \begin{cases} 2A = 134^\circ 32' \\ 2B = 117 \quad 2 \\ 2C = 84 \quad 2 \end{cases}$		
$p : p = 107 \quad 0$		$107^\circ 0'$
$b =$		$126 \quad 30$
$r : r = 111 \quad 2$		
$o : b =$		$112 \quad 44$
$p = 130 \quad 34$		
$r = 157 \quad 46$		

Fig. 38.



Kleine platte Nadeln, an denen  $o$  unsymmetrisch, oft nicht vollzählig, und  $r$  sehr schmal erscheint.

Meine Analyse des Salzes ergibt obige Formel. Mitscherlich theilte ihm 8 Mol. Wasser mit, hat aber die Form nicht beschrieben. — Monatsb. Berl. Akad. 1842.

B. Zweigliedrig.  $a : b : c = 0,9016 : 1 : 0,9923$  Grailich.

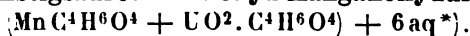
$o, {}^2p, b, c.$	Berechnet	Beobachtet
$o \begin{cases} 2A = \\ 2B = 103^\circ 33' \\ 2C = 112 \quad 12 \end{cases}$		$\sim 112^\circ 48'$ 103 112 30
${}^2p : {}^2p = 58 \quad 2$		
$b = 150 \quad 59$		150 40
$o : b = 123 \quad 36$		
$c =$		$\sim 123 \quad 54$

Tafelartig nach  $b$ . Diese Fläche ist durch drei der Axe  $c$  parallele feine Linien in vier Felder getheilt, deren jedes parallel den Kanten mit  $o$  gestreift ist, jedoch so, dass die Streifung der beiden äusseren der einen Richtung, die der beiden inneren der anderen entspricht, was vielleicht von Zwillingbildung herrührt.

Das Salz B. soll aus heissen Lösungen krystallisirt sein, und nach Welsky 12 aq enthalten. Aus seiner Isomorphie mit den Salzen von Nickel, Kobalt und Zink ist jedoch auf denselben Wassergehalt zu schliessen. Liegt hier eine Dimorphie vor, oder sind beide Formen vergleichbar?

Salz B. soll rasch verwittern. Es fluorescirt ausgezeichnet. Die Ebene der opt. Axen ist  $bc$ , Mittell.  $c$ , negativ,  $2E = 43^\circ$  Roth,  $40^\circ 30'$  Blau. Nach Lang wäre  $ab$  die Axenebene,  $a$  die Mittellinie, und  $2E = 100^\circ$ . Beide prüften offenbar verschiedene Salze. — Grailich: Kryst.-opt. Unters. 164.

### Essigsäures Uranoxyd-Manganoxydul.



Zweigliedrig.  $a : b : c = 0,637 : 1 : 0,385$  Rammelsberg.

$o, p, q^2, r, b.$	Berechnet	Beobachtet	
	Rammelsberg	Grailich	
$o \begin{cases} 2A = 143^\circ 30' \\ 2B = 121 \quad 8 \\ 2C = 71 \quad 18 \end{cases}$			
$p : p = 115 \quad 0$			115° 35'
$b =$		$\sim 122^\circ 30'$	122 20
$q^2 : q^2 = 104 \quad 46$			104
$b = 127 \quad 37$	127 20		
$r : r = 117 \quad 40$	117 0		116 30
$o : b = 108 \quad 15$	108 0		
$r =$	$\sim 161 \quad 45$		

\* Nach meiner Analyse.

Prismatisch nach  $p$ ; die  $p$  vertical gestreift. Gelb, durchsichtig.

Ebenen der optischen Axen  $bc$ , Mittell.  $c$  negativ;  $2E = 31^\circ$ ;  $q > v$ .

v. Lang. — Grailich: Kryst.-opt. Untersuchungen.

Das Salz enthält nur 4 Mol. Uranacetat.

**Essigsaures Uranoxyd-Nickel.**  $(\text{NiC}^4\text{H}^6\text{O}^4 + 2\text{UO}^2 \cdot \text{C}^4\text{H}^6\text{O}^4) + 6\text{aq.}$

Zweigliedrig.  $a : b : c = 0,867 : 4 : 0,9494$  Grailich.

$o, r, a, b.$	Berechnet	Beobachtet
$o \left\{ \begin{array}{l} 2A = \\ 2B = \\ 2C = \end{array} \right.$	$\begin{array}{l} 114^\circ 44' \\ 103 \quad 4 \\ 110 \quad 41 \end{array}$	$\begin{array}{l} 114^\circ 44' \\ 103 \quad 40 \\ 110 \quad 51 \end{array}$
$r : r =$	$84 \quad 48$	
$o : a =$		$128 \quad 28$
$b =$	$122 \quad 38$	$122 \quad 39$
$r =$		$117 \quad 22$

Meist tafelartig nach  $b$ ;  $r$  ist selten;  $b$  ist gekrümmt und perlmutterglänzend. Grün. — Grailich: Kryst.-opt. Unt. 167.

**Essigsaures Uranoxyd-Kobalt.**  $(\text{CoC}^4\text{H}^6\text{O}^4 + 2\text{UO}^2 \cdot \text{C}^4\text{H}^6\text{O}^4) + 6\text{aq.}$

Zweigliedrig.  $a : b : c = 0,8756 : 4 : 0,9484$  Rammelsberg.

$o, 2p, r, a, b.$

	Berechnet	Beobachtet
	Rammelsberg	Grailich
$o \left\{ \begin{array}{l} 2A = \\ 2B = \\ 2C = \end{array} \right.$	$\begin{array}{l} 114^\circ 30' \\ 103 \quad 40 \\ 110 \quad 26' \end{array}$	$\begin{array}{l} 114^\circ 20' \\ \text{ungef.} \\ 111 \quad 0 \end{array}$
$2p : 2p =$	$59 \quad 28$	
$a =$	$119 \quad 44$	$118 \quad 20$
$b =$	$150 \quad 46$	$149 \quad 42$
$r : r =$	$85 \quad 26$	
$o : a =$	$128 \quad 10$	$128 \quad 8$
$b =$	$122 \quad 45$	$122 \quad 30$

Herrschend  $o$ , dann  $b$ , wonach die Krystalle oft tafelartig sind;  $r$  wurde von Grailich beobachtet,  $2p$  von mir.

Sehr kleine braungelbe Krystalle (ölgrün Grailich). — Rammelsberg: Pogg. A. 145, 160.

Optisch verhält es sich gleich dem Zinksalz;  $2H = 64^\circ 30'$ ,  $2E = 103^\circ 38'$ . Grailich und Lang.

**Essigsaures Uranoxyd-Zink.**  $(\text{ZnC}^4\text{H}^6\text{O}^4 + 2\text{UO}^2 \cdot \text{C}^4\text{H}^6\text{O}^4) + 6\text{aq.}$

Zweigliedrig.  $a : b : c = 0,8749 : 4 : 0,992$  Grailich.

$o, r, a, b.$	Berechnet	Beobachtet
$o \left\{ \begin{array}{l} 2A = \\ 2B = \\ 2C = \end{array} \right.$	$\begin{array}{l} 114^\circ 30' \\ 103^\circ 38' \\ 110 \quad 30 \end{array}$	$\begin{array}{l} 114^\circ 30' \\ 110 \quad 30 \\ 122 \quad 2 \end{array}$
$r : r =$	$84 \quad 8$	
$o : b =$	$122 \quad 45$	

Zwillinge nach  $b$ .

Grailich ist geneigt, dieses Salz gleich den ihm isomorphen für zwei- und eingliedrig zu halten. Er fand  $b : c = 90^\circ 9'$  und  $a : c = 91^\circ 10'$ , allein die Zwillingsbildung macht, wie er selbst gesteht, die krystallographische und optische Prüfung etwas unsicher. Die Entscheidung bleibt also späteren Untersuchungen vorbehalten. Jedenfalls sind die Salze von Ni, Co, Zn und das Mg-salz B isomorph.

Ebene der opt. Axen =  $ab$ , Mittell.  $a$ , negativ; Dispersion gering,  $\rho < \nu$ . Grailich.

**Essigsaures Uranoxyd-Kadmium.**  $(\text{Cd C}^4\text{H}^6\text{O}^4 + \text{U O}^2 \cdot \text{C}^4\text{H}^6\text{O}^4) + 6\text{aq.}$

Zweigliedrig.  $a : b : c = 0,6289 : 4 : 0,3904$  Grailich.

$o, p, {}^2p, q^2, r, a, b$ .

	Berechnet	Beobachtet
$o \begin{cases} 2A = 143^\circ 18' \\ 2B = 119 \quad 56 \\ 2C = 72 \quad 30 \end{cases}$		
$p : p =$		$*115^\circ 40'$
$b = 122 \quad 10$		$122 \quad 10$
${}^2p : {}^2p = 76 \quad 58$		
$b = 144 \quad 31$		$144 \quad 30$
$q^2 : q^2 = 104 \quad 2$		
$b = 127 \quad 59$		$128 \quad 0$
$r : r =$		$*116 \quad 20$
$a = 121 \quad 50$		$122 \quad 0$
$p : q^2 = 109 \quad 8$		
$r = 116 \quad 32$		
$o : p = 126 \quad 15$		$126 \quad 10$
$r = 161 \quad 39$		$161 \quad 40$
$q^2 = 146 \quad 2$		$146 \quad 0$

Prismatisch nach der Horizontalzone. In der Endigung herrscht  $r$  vor, während die  $o$  sehr zurücktreten. Zwischen  $p$  und  ${}^2p$  beobachtete Grailich noch eine Fläche, die er für  $\frac{3}{2}p$  hielt.

Ist im optischen Verhalten dem Magnesiasalz ähnlich. Axenwinkel =  $57^\circ 54'$  Roth,  $54^\circ 24'$  Blau. Grailich und Lang.

Die Krystalle werden bald trübe.

Das Kadmiumsalz ist isomorph dem Mangansalz, welches 6 Mol. Wasser enthält. Daher halte ich die Angabe Grailich's von 5 aq nicht für richtig.

### Essigsaures Uranoxyd-Kupfer.

$(\text{Cu C}^4\text{H}^6\text{O}^4 + 2\text{U O}^2 \cdot \text{C}^4\text{H}^6\text{O}^4) + 4\text{aq}$  (Rammelsberg).

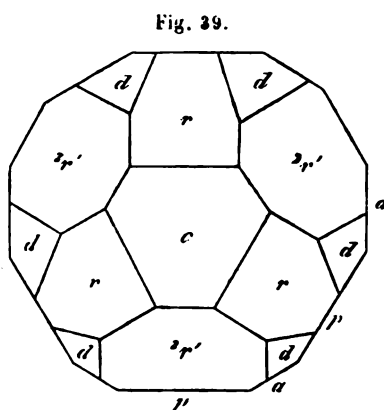
Sechsgliedrig.  $a : c = 4 : 0,7725$  Rammelsberg.

$r, {}^2r', d = a : \frac{1}{2}a : a : \frac{1}{2}c, p, a, c$ .

	Berechnet	Beobachtet
$r \cdot 2A = 109^\circ 36'$		$109^\circ 38'$
${}^2r' \cdot 2A = 81 \quad 52$		

	Berechnet	Beobachtet
$d \begin{cases} 2A = 126^\circ 32' \\ 2C = 128 \ 44 \end{cases}$		$125^\circ 55'$ $127 \ 50$
$r : c =$		$138 \ 46$
$p =$	$134 \ 44$	
$2r' : c =$	$119 \ 46$	$119 \ 48$
$p =$	$150 \ 44$	
(Stk.) $r =$	$102 \ 28$	$102 \ 22$
(Endk.) $r =$	$130 \ 56$	$130 \ 30$
$d : c =$	$115 \ 53$	$115 \ 40$
$a =$	$154 \ 7$	$154 \ 0$
$2r' =$	$153 \ 46$	$153 \ 5$

Fig. 39. — Meist tafelartig nach  $c$ .  
Grün, durchsichtig. — Rammelsberg:  
Pogg. A. 145, 158.



**Essig-salpetersaurer Strontian.**  $(\text{SrC}^4\text{H}^6\text{O}^4 + \text{SrN}^2\text{O}^6) + 3 \text{ aq.}$

Eingliedrig.  $a : b : c = 0,520 : 1 : 1,170$  Zepharovich.

$A = 83^\circ 34'$	$\alpha = 83^\circ 26'$
$B = 103 \ 41$	$\beta = 103 \ 15$
$C = 89 \ 50$	$\gamma = 88 \ 40$

$\frac{o''}{4}, p', q, q', a, b, c.$

	Berechnet	Beobachtet
$a : b =$	$89^\circ 50'$	$89^\circ 51',5$
$p' =$		$153 \ 2$
$b : p' =$	$117 \ 8$	$117 \ 10$
$c =$	$83 \ 34$	$83 \ 36$
$q : c =$		$127 \ 37,5$
$b =$		$135 \ 56,5$
$q' : c =$	$134 \ 53,5$	$135 \ 0$
$b =$	$141 \ 32,5$	$141 \ 23$
$q : q' =$	$82 \ 34$	$82 \ 35$
$a : c =$		$103 \ 41$
$q =$		$99 \ 19$
$q' =$	$98 \ 5$	$98 \ 14$
$p' : c =$	$104 \ 44$	$104 \ 39$
$q =$	$100 \ 41$	
$q' =$	$118 \ 58$	
$\frac{o''}{4} : a =$	$108 \ 38$	$108 \ 44$
$b =$	$99 \ 13$	
$c =$	$144 \ 4$	$144 \ 19$
$p' =$	$111 \ 12$	
$q =$	$134 \ 34$	$134 \ 38$
$q' =$	$112 \ 45$	

Die Krystalle sind durch Vorherrschen von  $c$  tafelartig, und in der

Richtung der Axe  $a$  verlängert. Die grösseren zeigen sämtliche Fläch  
Von  $\frac{a''}{4}$  fehlt oft die Parallelfäche, ebenso von  $b$  und  $q'$ .

Vollkommen spaltbar nach  $c$ , weniger nach  $b$ . — Zepharovi  
Wien. Ak. Ber. 44.

**Essigsaures Kalk-Chlorcalcium.**  $(\text{Ca C}^4\text{H}^6\text{O}^4 + \text{Ca Cl}^2) + 10\text{aq.}$

Zwei- und eingliedrig.  $a : b = 0,856 : 1$  Rammelsberg.

$o = 63^\circ 4'$ .

$p, 2p, b, c.$	Berechnet	Beobachtet
$p : p =$		$\sim 105^\circ 15'$
$b = 127^\circ 22'$		127 30
$c =$		$\sim 111$ 8
$2p : 2p = 66$ 30		
$b = 160$ 37		160 40
$c = 104$ 24		104 0

Prismatisch nach  $p$ , mit herrschendem  $b$ .

## Traubensäure und deren Salze.

### Traubensäure.

A. Anhydrid.  $\text{C}^4\text{H}^6\text{O}^6$ .

Eingliedrig.  $a : b : c = 1,5223 : 1 : 1,0246$  Scacchi.

$A = 95^\circ 4'$	$\alpha = 97^\circ 40'$
$B = 122$ 28	$\beta = 122$ 55
$C = 111$ 8	$\gamma = 111$ 52

$o, p', r', a, b, c.$

	Berechnet	Beobachtet
$a : b =$		$\sim 114^\circ 8'$
$p' : a = 113^\circ 59'$		
$b =$		$\sim 134$ 53
$b : c =$		$\sim 95$ 4
$a : c =$		$\sim 122$ 28
$r' =$		$\sim 102$ 10
$c : r' = 135$ 22		
$p' : c = 79$ 26		
$r' = 92$ 2		
$r' : b = 101$ 24		
$o : a = 109$ 49		
$b = 116$ 7		
$c = 152$ 9		

Stets Zwillinge nach  $b$ , Zwillingsaxe senkrecht.

Scacchi erhielt diese Krystalle aus Lösungen der Säure, theils  
70°, theils nach Zusatz von Schwefelsäure bei gewöhnlicher Tempera  
toll' acido paratartarico anidro. Atti R. Acc. d. sc. Napoli IV (1869).

B. Hydrat.  $C^4H^6O^6 + aq.$ Eingliedrig.  $a : b : c = 0,8047 : 4 : 0,4944$  De la Provostaye.

$A = 77^\circ 33'$	$\alpha = 75^\circ 46'$
$B = 90 \ 42$	$\beta = 97 \ 59$
$C = 119 \ 24$	$\gamma = 120 \ 22$

 $p, p', q, q', r, r', a, b, c.$ 

	Berechnet	Beobachtet			
	De la Prov.	Rammelsb.	Scacchi	Carius	
$b =$	$*119^\circ 24'$	$119^\circ 35'$			
$p = 153^\circ 0'$	$152 \ 54$	$152 \ 50$		$153^\circ 0'$	
$p' = 129 \ 51$	$129 \ 51$	$129 \ 51$	$129^\circ 50'$	$129 \ 50$	
$p = 146 \ 34$	$146 \ 30$	$146 \ 37$		$146 \ 30$	
$p' =$	$*110 \ 45$	$110 \ 46$	$110 \ 42$	$110 \ 45$	
$p' = 102 \ 44$		$102 \ 40$	$102 \ 23$		
$c =$	$*77 \ 23$				
$q = 109 \ 37$					
$q' = 128 \ 35$		$128 \ 30$	$128 \ 47$	$128 \ 30$	
$c : q =$	$*147 \ 56$				
$q' = 153 \ 50$					
$a : c =$	$*90 \ 42$				
$r = 124 \ 57$	$123 \ 32$	$123 \ 20$			
$r' = 124 \ 0$					
$c : r = 145 \ 45$	$145 \ 46$				
$r' = 145 \ 48$					
$r : r' = 111 \ 3$	$111 \ 57$	$111 \ 0$			
$c : p = 96 \ 2$					
$p' = 101 \ 43$					
$a : q = 106 \ 11$					
$q' = 102 \ 13$					
$b : r = 95 \ 43$		$95 \ 30$			
$r' = 117 \ 46$					
$o : a = 134 \ 25$	$133 \ 5$				
$b = 119 \ 27$					
$c = 129 \ 31$					
$p = 146 \ 31$					
$q = 154 \ 46$					
$r = 156 \ 46$	$156 \ 7$				

Die von mir beobachteten Krystalle waren Prismen  $bp'$ , mit ungleicher Häufung der scharfen Kanten durch  $a$  und  $p$ . In der Endigung habe nicht beobachtet. — Fig. 40, 41.

$p'$  ist gestreift,  $r$  rau;  $c$  ist sehr klein oder fehlt. Ueberhaupt sind Krystalle gewöhnlich sehr unsymmetrisch. Auch Groth fand, dass sie am einen Ende ausgebildet sind, oder an dem anderen wenigstens unkommen.

Nach Scacchi verlieren die Krystalle beim Trübecwerden nicht alles Wasser (in einem Jahre 6 pCt.). Die aus Schwefelsäure enthaltender

...sind ... und solche hatten in ...

De la Prov. *Ann. Chem. Phys.* 3 3. 133. — Rammelsberg *Pogg. A.* 54. 28. — ... künstlich aus Benzol ... *Ann. Chem. Phys.* 183 278

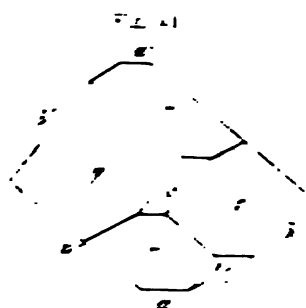
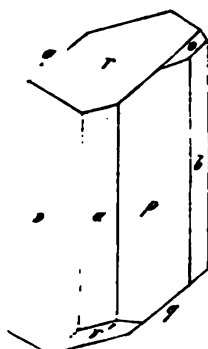


Fig. 44.



**Optisches.** Die Ebene der optischen Axen ist  $p$  oder eine m nahe zusammenfallende. Die Mittellinie macht mit der Normalen  $a$  und mit der Kante  $\frac{p}{2}$  fast genau  $90^\circ$ . Eine Platte, senkrecht zu Linie, ergab den Axenwinkel in  $Ol = 2H_1 = 69^\circ 35'$ , woraus der Winkel  $= 2V_0 = 67^\circ 10'$ , der scheinbare in Luft  $= 2E = 115^\circ$  mittlere Brechungsindex  $= \beta = 1.526$ .

Doppelbrechung sehr stark. — Groth: *Pogg. A.* 135, 648.

Volumgewicht. 1.69 Buignet.

Verhält sich thermoelektrisch indifferent, wodurch sie sich Weinsäure unterscheidet. — Böttger: *Pogg. A.* 43. 659.

Thermochemisches. Berthelot: *C. r.* 78, 711.

**Traubensaures Ammoniak.**  $Am^2 \cdot C^4H^4O^6 + 2aq$ .

Zweigliedrig.  $a : b : c = 0.8465 : 1 : 0.5086$  De la Prov.

$a, p, 2p, r, \frac{r}{2}, r\frac{1}{2}, b, c. — n = 2a : b : c.$

Berechnet		Beobachtet	
		De la Prov.	Rammelsbe
$o$	$2A = 132^\circ 54'$		
	$2B = 123 \ 46$		$122^\circ 40'$
	$2C = 76 \ 26$		.
$n$	$2A = 127 \ 54$		
	$2B = 150 \ 4$		$149 \ 30$
	$2C = 61 \ 14$		
$p : p =$		$99^\circ 30'$	
$b = 130 \ 15$			

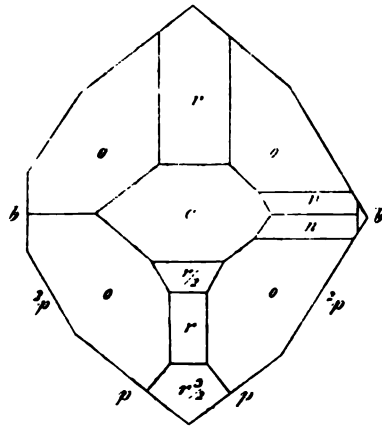


Berechnet	Beobachtet	
	De la Provost.	Rammelsberg
$2p : 2p = 61^{\circ} 8'$		$60^{\circ} 54'$
$p = 160 \ 49$	$160^{\circ} 50'$	$161 \ 45$
$r : r =$	$118 \ 0$	$118 \ 5$
$c = 149 \ 0$		$149 \ 0$
$r \frac{1}{2} : r \frac{1}{2} = 95 \ 56$		$95 \ 50$
$r = 168 \ 58$	$169 \ 0$	$169 \ 10$
$\frac{r}{2} : \frac{r}{2} = 146 \ 34$		
$c = 163 \ 17$		$163 \ 50$
$r = 165 \ 45$		$165 \ 30$
$p : r = 113 \ 9$		
$o : r = 156 \ 27$		$156 \ 30$

Die Flächen  $c$ ,  $\frac{r}{2}$ ,  $n$  wurden von mir beobachtet. Von  $o$  und  $n$  fand ich in einem (oberen) Ende nur die der einen Seite, am anderen Ende höchstens Spuren derselben.

Prismatisch nach  $p$ . — Fig. 42. — De la Provostaye: Ann. Ch. Phys. (3) 3, 138.

Fig. 42.



**Traubensaures Kali.**  $K^2C^4H^4O^6 + 2aq$ .  
Zwei- und eingliedrig.  $a : b : c = 0,8866 : 1 : 0,7521$  Des Cloiz.  
 $o = 87^{\circ} 32'$ .  
 $o, o', p, p \frac{1}{2}, p^2, q, q^2, 2r, 2r', a, b, c$ .  
 $s' = a' : \frac{1}{4}b : c$ .

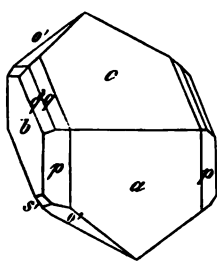
Berechnet	Beobachtet	
	Des Cloizeaux	Rammelsberg
$o : o = 124^{\circ} 24'$		
$o' : o' = 119 \ 18$		
$o : o' = 111 \ 44$		
$o : o' = 97 \ 9$		
$p : p = 96 \ 56$	$96 \ 57'$	$97^{\circ} 30'$
$a = 138 \ 28$	$138 \ 30$	$138 \ 40$
$b =$	$131 \ 32$	$131 \ 18$
$c = 91 \ 51$	$91 \ 49$	$91 \ 50$
$p \frac{1}{2} : p \frac{1}{2} = 124 \ 2$		
$p^2 : p^2 = 132 \ 44$		
$a = 156 \ 7$	$156 \ 35$	
$b = 113 \ 53$	$113 \ 0$	
$p = 162 \ 21$	$161 \ 8$	

(137°37' Lang)

Berechnet	Beobachtet	
	Des Cloizeaux	Ramme
$q : q = 106^{\circ} 10'$		
$c = 143 \ 5$	$142^{\circ} 50'$	
$b = 126 \ 55$	$127 \ 2$	
$a = 94 \ 58$		
$q^2 : q^2 = 67 \ 16$		
$c = 123 \ 38$	$123 \ 30$	
$b = 146 \ 22$	$146 \ 49$	
$a = 94 \ 22$		
$p : q = \begin{cases} 115 \ 6 \text{ v.} \\ 111 \ 52 \text{ h.} \end{cases}$	$111 \ 55$	
$q^2 = 124 \ 44$	$124 \ 50$	
$a : c =$	$*92 \ 28$	
$2r : a = 150 \ 8$	$150 \ 22$	
$c =$	$*122 \ 20$	
$2r' : a = 148 \ 51$		
$c = 148 \ 41$		
$o : b = 119 \ 18$	$118 \ 50$	
$c = 132 \ 28$	$131 \ 55$	
$p = 139 \ 23$	$140 \ 20$	
$o' : a = 122 \ 47$	$122 \ 47$	
$b = 120 \ 21$	$120 \ 42$	
$c = 130 \ 23$	$130 \ 48$	
$p = 137 \ 46$	$137 \ 38$	
$s' : s' = 80 \ 59$		
$a = 144 \ 3$	$144 \ 0$	
$b = 139 \ 30,5$	$139 \ 24$	
$c = 149 \ 11$	$149 \ 25$	
$q^2 = 154 \ 35$	$154 \ 33$	
$o' = 160 \ 50,5$	$160 \ 57$	
$p = 144 \ 2$	$143 \ 58$	

Fig. 43. — Die Flächen  $o$  und  $o'$  kommen oft nur links

Fig. 43.



Nach früheren Angaben von Des Cloizeaux ist traubensaures Kali zweigliedrig  $128^{\circ} 20'$ ; isomorph mit dem Ammoniumsalz, beide zwei- und eingliedrig?

Die Ebene der opt. Axen steht senkrecht auf der  $a$ -Achse und bildet mit einer Normalen auf der  $b$ -Achse einen Winkel von  $64^{\circ} 26'$  bis  $62^{\circ} 29'$ . Die (erste) Mittellinie ist positiv. Der Winkel der opt. Axen in Luft ist  $= 130^{\circ} 2'$  für die rothen,  $128^{\circ} 2'$  für die blauen Strahlen. Des Cloiz. — Des Cloiz. Ann. Ch. Phys. (4) 47. — Lang: Wied. Ann. (2) 17.

#### Traubensaures Kali-Ammoniak. $KAmC^4H^4O^6 +$

Zweigliedrig.

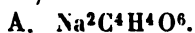
Nach Pasteur isomorph mit den beiden einfachen Salzen.

$$p : b = 430^{\circ} 45'.$$

r sind letztere isomorph, und vielleicht ist das Ammoniaksalz und eingliedrig. (S. vorher.)

### Traubensaures Natron.

1) Einfach.



edrig.  $a : b : c = 0,5048 : 1 : 0,6588$  Lang.

$$b : c. — p, \frac{r}{2}, a.$$

$b : c.$	Berechnet	Beobachtet
$n \left\{ \begin{array}{l} 2A = 122^{\circ} 18' \\ 2B = 122 \quad 32 \\ 2C = 85 \quad 52 \end{array} \right.$		
$s \left\{ \begin{array}{l} 2A = 64 \quad 12 \\ 2B = 130 \quad 4 \\ 2C = 142 \quad 28 \end{array} \right.$		
$p : p =$		$*126^{\circ} 42'$
$a = 153 \quad 24$		$153 \quad 2$
$\frac{r}{2} : \frac{r}{2} =$		$*143 \quad 26$
$a = 123 \quad 47$		$123 \quad 40$
$p : r = 149 \quad 48$		$149 \quad 45$

isch nach  $a$  und  $\frac{r}{2}$ .

es Verhalten Lang: Wien. Ak. Ber. 45, 447.



und eingliedrig.  $a : b : c = 0,9434 : 1 : 0,7586$  Lang.  
 $q = 87^{\circ} 25'.$

$$\frac{1}{2}p, q, q^2, 2r, a, b, c.$$

$\frac{1}{2}b : c.$	Berechnet	Beobachtet
$o : o = 120^{\circ} 36'$		
$o' : o' = 118 \quad 22$		
$p : p = 95 \quad 44$		
$b = 137 \quad 37$		$137^{\circ} 50'$
$q : q = 105 \quad 42$		
$c = 142 \quad 54$		$143 \quad 29$
$a = 92 \quad 4$		
$q^2 : q^2 = 66 \quad 50$		
$a : c =$		$92 \quad 35$
$2r = 149 \quad 39$		$149 \quad 36$
$c : 2r =$		$*122 \quad 56$
$o : c = 132 \quad 43$		$132 \quad 57$
$p = 139 \quad 44$		
$o' : c = 130 \quad 35$		$130 \quad 46$
$p = 137 \quad 34$		$137 \quad 36$
$s' : s' = 79 \quad 58$		

Tafelartig nach c. Isomorph dem Ammoniak- und Kalisalz.  
Wien. Ak. Ber. 45.

2) Zweifach.  $\text{HNaC}^4\text{H}^4\text{O}^6 + \text{aq.}$

Krystallisirt nach Scacchi sowohl eingliedrig, als auch eingliedrig. Sulla Poliedria. Mem. d. R. Accad. (2) 24. Torino

**Traubensaures Ammoniak-Natron.**  $\text{NaAmC}^4\text{H}^4\text{O}^6 +$   
Zwei- und eingliedrig.  $a:b:c = 2,0278:4:3,0038$   
 $o = 85^\circ 36'.$

$o, o', p, r, \frac{2}{3}r, r', a, c. — n = \frac{1}{2}a:b:c.$

	Berechnet	Beobachtet
$o:o =$	$63^\circ 24'$	
$o':o' =$	$59 \ 48$	
$o:o' =$	$129 \ 44$	
$o:o' =$	$146 \ 42$	
$p:p =$	$52 \ 38$	
$a =$		$*116^\circ 49'$
$c =$		$*91 \ 57$
$a:c =$	$94 \ 24$	
$r =$	$147 \ 23$	
$r:c =$		$*127 \ 4$
$a:r' =$	$144 \ 38$	
$r':c =$	$120 \ 58$	
$a:\frac{2}{3}r =$	$156 \ 33$	
$c:\frac{2}{3}r =$	$117 \ 54$	
$r:\frac{2}{3}r =$	$170 \ 50$	
$o:a =$	$116 \ 46$	
$c =$	$108 \ 26$	
$p =$	$163 \ 34$	
$o':a =$	$114 \ 0$	
$c =$	$104 \ 52$	
$p =$	$163 \ 41$	
$n:n =$	$93 \ 45$	
$a =$	$133 \ 55$	
$c =$	$106 \ 3$	
$o =$	$162 \ 24$	

Spaltbar nach a. Dieses gestreift parallel der Kante c  
— Scacchi: Rendic. d. Acc. d. sc. di Napoli 1865.

Pasteur fand, dass die Lösung gleiche Mengen c  
rechts- und von linksweinsaurem Ammoniak liefert;  
eine Spaltung der Traubensäure immer erfolge, dass es  
saures Ammoniak-Natron nicht gebe.

Scacchi aber fand, dass unter Umständen die vo  
Krystalle des traubensauren Salzes entstehen. Nach ih  
von Tartraten zusammen löslicher, als jedes für sich. Z  
die Krystalle des Paratartrats neben jenen, und öfter

Kristalle von traubensaurem Natron oder Ammoniak, aber im All-  
muss die Auflösung concentrirter sein, als bei der Bildung der  
trate.

Kristalle sind luftbeständig, werden aber bei 60° undurchsichtig.

### Traubensaures Kali-Natron.

Die Existenz eines analogen Doppelsalzes mit 2 Mol. Wasser  
cacchi (a. a. O.) einige Bemerkungen.

Es will eingliedrige Krystalle mit 9 Mol. Wasser erhalten haben,  
ung optisch inactiv war. — Pogg. A. 81, 304.

### Traubensaures Thallium. $\text{Th}^2\text{C}^4\text{H}^4\text{O}^6$ .

orph. In beiden Formen zwei- und eingliedrig.

A.  $a : b : c = 4,4568 : 1 : 0,7754$  Des Cloizeaux.

$$\alpha = 89^\circ 40'.$$

$p, p^2, r, r', a, c.$

	Berechnet	Beobachtet
$o : o$	$= 111^\circ 20'$	
$o' : o'$	$= 111 \quad 6$	
$o : o'$	$= 134 \quad 23$	$134^\circ 10'$
$o : o'$	$= 86 \quad 29$	
$p : p$	$= 68 \quad 56$	
$a$	$=$	$124 \quad 28$
$c$	$= 90 \quad 11$	$90 \quad 22$
$r$	$= 105 \quad 33$	
$r'$	$= 105 \quad 17$	$105 \quad 13$
$p^2 : p^2$	$= 107 \quad 52$	
$a$	$= 143 \quad 56$	$143 \quad 57$
$p$	$= 160 \quad 32$	$160 \quad 40$
$a : c$	$= 90 \quad 20$	$90 \quad 19$
$r : a$	$=$	$118 \quad 17$
$c$	$= 152 \quad 3$	$152 \quad 3$
$r' : a$	$=$	$147 \quad 46$
$c$	$= 151 \quad 54$	$151 \quad 51$
$o : a$	$= 113 \quad 2$	$113 \quad 1$
$c$	$= 136 \quad 51$	
$p$	$= 133 \quad 20$	$133 \quad 14$
$r$	$= 145 \quad 40$	$146 \quad 4$
$o' : a$	$= 142 \quad 35$	$142 \quad 42$
$c$	$= 136 \quad 40$	
$p$	$= 133 \quad 9$	$133 \quad 16$
$r'$	$= 145 \quad 33$	$145 \quad 44$

atisch nach der Horizontalzone. Die Oktaederflächen finden sich  
blos an der linken Seite, und wenn an beiden, dann, wie es  
erschieden in der Ausbildung.

Ebene der optischen Axen ist  $ac$ . Die erste Mittellinie ist positiv  
t einen Winkel von  $94^\circ 56'$  mit einer Normale auf  $c$ . Die geneigte

Dispersion ist sehr deutlich, die der Axen ist schwach,  $\varrho > v$ . Der Axenwinkel und der mittlere Brechungsexponent ergeben sich :  
 Beobachtungen  $2V = 88^\circ 30'$   $\beta = 1,80$  Roth  
 $88\ 22$   $1,84$  Gelb.

Der Axenwinkel ist sehr gross, etwa  $88\frac{1}{2}^\circ$ .

Spaltbar vollkommen nach  $a$ .

Volumgewicht 4,659. 4 Th. löst sich in 7,5 Th. Wasser von

B.  $a : b : c = 1,486 : 1 : 1,2955$  Des Cloizeaux.  
 $\alpha = 83^\circ 45'$ .

$o', p, 2r, r', 2r', \frac{3}{2}r', b, c$ . —  $n' = \frac{1}{2}a' : b : c$ .

	Berechnet	Beobachtet
$p : p =$		$80^\circ 40'$
$b =$	$139^\circ 40'$	$139\ 40$
$c =$		$94\ 22$
$2r : a =$	$156\ 40$	
$c =$	$120\ 5$	$119\ 13$
$r' : a =$	$134\ 28$	
$c =$	$128\ 47$	$128\ 46$
$\frac{3}{2}r' : a =$	$146\ 54$	
$c =$	$116\ 24$	
$2r' : a =$	$154\ 20$	
$c =$	$108\ 55$	$108\ 24$
$o' : o' =$	$94\ 30$	$94\ 33$
$b =$	$132\ 45$	$132\ 40$
$c =$		$117\ 23$
$r' =$	$137\ 15$	$137\ 40$
$n' : n' =$	$121\ 24$	
$c =$	$106\ 25$	
$2r' =$	$150\ 42$	$150\ 50$
$p : 2r =$	$126\ 28$	$126\ 58$
$n' =$	$151\ 54$	$151\ 52$
$o' : n' =$	$159\ 8$	$159\ 20$

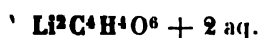
Die Krystalle sind oft in der Richtung  $o', r', b$  prismatisch

Starke Doppelbrechung.  $ac$  ist die Ebene der optische Mittellinie ist positiv und macht mit einer Normale auf  $c$  von  $110^\circ 10' - 44'$ , und von  $58^\circ 57' - 59^\circ 31'$  mit einer Normale (in Öl bei  $20^\circ$ ) =  $106^\circ 58'$  Roth,  $106^\circ 33'$  Blau.

Spaltbar vollkommen nach  $c$ . — Diamantglanz.

Diese Form hat gleiches V. G. und gleiche Löslichkeit. Setzt man sich neben letzterer, wenn die Lösung ein wenig Krystall von A, in der übersättigten Lösung von B, bewirkt, dass sich Krystallen derselben Art, und umgekehrt. B ist gelblich gefärbt.

**Traubensaures Lithion.**



= 0,8277 : 1 : 0,5809 Scacchi.

$$\alpha = 131^\circ 48'$$

$$\beta = 85 \ 40$$

$$\gamma = 134 \ 58$$

Berechnet	Beobachtet
	*124° 28'
	*114 53
96° 21'	
= 136 7	
=	*119 41
$\frac{q}{2} =$	*99 27
$q = 103 \ 21$	
$q^2 = 136 \ 15$	
$a : c =$	*95 17
$\frac{o}{2} = 123 \ 37$	
$n = 141 \ 38$	
$m = 97 \ 38$	
$b : \frac{o}{2} = 93 \ 49$	
$n = 119 \ 14$	
$m = 126 \ 48$	

es Hydrat bildet sich bei T. von 45—50°. Seine Krystalle werden  
ndem sie sich in B verwandeln.

wei- und eingliedrig.  $a : b : c = 1,1978 : 1 : 1,6764$  Scacchi.  
 $\alpha = 78^\circ 48'$  Scacchi.

$p, q, r, r', a, c.$	Berechnet	Beobachtet
$p : p =$	80° 46'	
$a =$		*130° 23'
$c =$		*97 44
$q : q =$	62 36	
$a : c =$		*101 42
$r =$	148 26	
$r' =$	140 50	
$o : o =$	97 20	
$a =$	129 49	
$b =$	131 20	
$c =$	120 39	

altbar nach c. Die Flächen  $a, c, p$  sind polyedrisch, die übrigen glatt.

Löslich in 5,2 Th. Wasser von 23°.

Aus einer Lösung von traubensaurem Lithion erhält man unter 2 3 Hydrat mit 3 aq, bei 20—50° die Form A, öfter mit B zusammen, und 40° an entstehen sehr kleine Krystalle von Anhydrid, die nicht bar sind.



Scacchi erhielt nur einmal dieses Hydrat, welches er als zwe eingliedrig beschreibt; es soll an der Luft sehr schnell 4 Mol. Wass lieren.

**Traubensaures Ammoniak-Lithion.** (Am, Li) $\text{C}^4\text{H}^4\text{O}^6 + \text{aq.}$

**Traubensaures Kali-Lithion.** (K, Li) $\text{C}^4\text{H}^4\text{O}^6 + \text{aq.}$

Zwei- und eingliedrig.

Die flächenreichen Krystalle sind denen des Natrondoppelsalzes ähnlich; die Neigungen  $a : p$  und  $a : {}^3p$  sind ebenfalls etwa 120 und 13 Aber sie enthalten (angeblich) nur halb soviel Wasser, und sind mit jen nicht isomorph.

Scacchi führt keine Messungen an. Er macht nur auf jenen Unterschied aufmerksam, und sagt, dass sich oft Zwillinge (nach  $a$ ) bilden.

Das optische Verhalten des Kalisalzes Wyrouboff: Ann. Chim. Phys. (4) 40, 455.

**Traubensaures Natron-Lithion.** (Na, Li) $\text{C}^4\text{H}^4\text{O}^6 + 2\text{aq.}$

Zwei- und eingliedrig.  $a : b : c = 1,762 : 1 : 1,794$  Scacchi.  
 $\alpha = 84^\circ 45'.$

$m = \frac{1}{2}a : b : c. — p, p^3, q, r, r', r^{\frac{3}{2}}, a, c.$

$n = \frac{1}{2}a' : b : c.$

$s = a : \frac{1}{2}b : c.$

	Berechnet	Beobachtet
$p : p =$	59° 40'	
$c =$	94 6	
$p^3 : p^3 =$	119 40	
$q : q =$	58 48	
$c =$	119 24	
$a : c =$		*98° 15'
$r' =$		*131 28
$c : r =$	138 41	
$r' =$	130 17	
$a : r^{\frac{3}{2}} =$	162 48	
$c : r^{\frac{3}{2}} =$	145 27	
		*109 44



Herrschend ist Fläche  $a$ , sodann  $r'$ , doch sind die Krystalle gewöhnlich prismatisch nach der Horizontalzone. Oft bemerkt man nur  $a$ ,  $r'$ ,  $p$ ,  $q$ . Wenig spaltbar nach  $a$  und  $p$ . — Fig. 44.

Fig. 44.

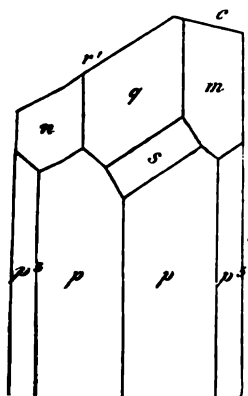


Fig. 45.

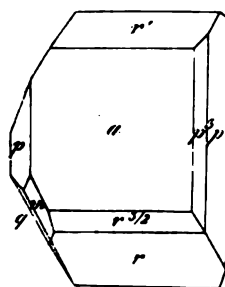
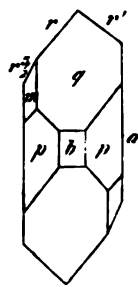


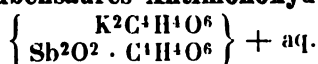
Fig. 46.



Bringt man sie in eine Auflösung, welche Rechtsweinsäure enthält, so lösen sie, jedoch mit hemiedrischen Flächen, ausserdem fehlt  $c$ , an Stelle  $r$  und  $r\frac{1}{2}$  vorhanden sind. An der linken Seite aber tritt die nicht beobachtete  $b$  auf. — Fig. 45, 46.

Löslich in 3,7 Th. Wasser bei 23°.

### Traubensaures Antimonoxyd-Kali.



Zweiglig.  $a : b : c = 0,9217 : 1 : 0,3561$  De la Provostaye.

$o$ ,  $p$ .

	Berechnet	Beobachtet
$2A =$	143° 46'	142° 55'
$2B =$		*140 0
$2C =$	55 26	
$p : p =$		*94 40
$o =$	117 43	118 2

Sehr kleine nadelförmige Krystalle. — De la Provostaye: Ann. Phys. (3) 3, 447.

## Weinsäure und deren Salze.

### Weinsäure. $C^4H^4O^6$ .

#### A. Rechtsweinsäure.

Zwei- und eingliedrig.  $a : b : c = 1,2747 : 1 : 1,0266$  De la Provostaye.

$e$ .

$o = 79° 43'$ .

$o$ ,  $p$ ,  $q$ ,  $r$ ,  $r'$ ,  $a$ ,  $c$ . —  $s = \frac{1}{2}a : b : c$ ;  $t = \frac{1}{2}a' : b : c$ .

	Berechnet		Beobachtet		
		De la Prov.	Pasteur	Wolff	Brooke
$o : o = 108^\circ 2'$					
$p : p = 77 \quad 8$			$77^\circ 6'$	$78^\circ 30'$	
$a =$		$+128^\circ 34'$	$128 \quad 32$		$128^\circ 15'$
$c = 96 \quad 23$					
$q : q = 89 \quad 26$					$88 \quad 30$
$a = 97 \quad 13$		$97 \quad 10$			$97 \quad 10$
$a : c = 100 \quad 17$			$100 \quad 32$		
$r =$		$+135 \quad 0$	$135 \quad 0$	$133 \quad 25$	$134 \quad 50$
$r' =$		$+122 \quad 30$	$122 \quad 30$	$122 \quad 14$	
$c : r = 145 \quad 17$			$145 \quad 32$	$145 \quad 30$	
$r' = 137 \quad 13$					
$q : r = 125 \quad 20$		$125 \quad 15$			
$r' = 121 \quad 5$		$121 \quad 4$			
$o : a = 124 \quad 54$					
$c = 134 \quad 42$					
$s : s = 121 \quad 46$					
$t' : t' = 135 \quad 6$					
$a = 147 \quad 47$				$144 \quad 0$	

Die Krystalle sind fast immer prismatisch nach der Verticalzone  $u$  mit dem einen Ende dieses Prismas aufgewachsen. Hankel bemerkt zuerst, dass die  $q$  nur auf der rechten Seite oben und unten vorkommen. Sie finden sich oft nur mit  $c$  und  $r$ , Fig. 47, oder mit  $r$  und  $r'$ , Fig. 48 und dann bei Vorherrschen des einen  $p$  wie Fig. 49, oder mit beiden  $r$ , Fig. 50.

Fig. 47.

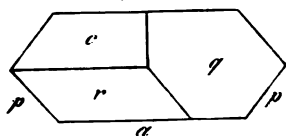


Fig. 48.

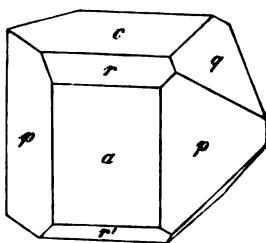
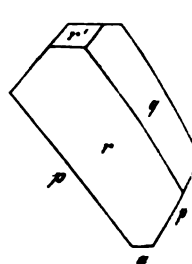


Fig. 49.



Indessen kommen die  $q$  auch links vor; Wolff und Pasteur fanden sie hier, wiewohl klein aber glänzend und ich kann dies bestätigen Fig. 51. Aus einer Lösung, welche freie Salpetersäure enthielt, sah ich Krystalle wie Fig. 52 entstehen, an welchen beide  $q$  ziemlich gleich sichtbar waren, was auch schon von Wolff und Pasteur als Seltenheit bemerkt wurde.

Wolff giebt ein vorderes Augitpaar als seltener vorkommend an, zwar auf der rechten Seite; es scheint  $o = a : b : c$  zu sein; ausserdem ein hinteres aus der Diagonalzone von  $q$ , gleichfalls nur rechts, wahrscheinlich  $t'$ . Dagegen sah ich ausser einem  $\frac{r}{n}$  (Fig. 52) links ein Augitpaar

der Zone  $aq$  und  $pr$  und fand  $s : q = 137\frac{1}{2}^\circ$  (berechnet  $135^\circ 23'$ ),  $s : p = 148\frac{1}{2}^\circ$ ,  $s : r = 142^\circ$ , allein diese Flächen sind klein, gekrümmt oder h.

Fig. 50.

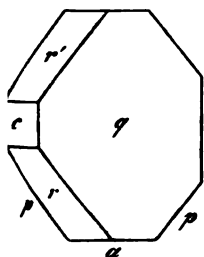


Fig. 51.

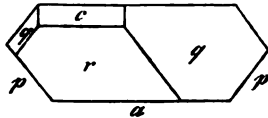
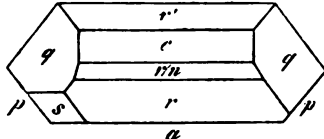


Fig. 52.



Wie es hiernach scheint, sind die Krystalle der Weinsäure hemimorph, es bedarf das Auftreten der Augitpaare noch einer genaueren Prüfung.

**Zwillinge.** Beide Krystalle haben die Flächen der Horizontalzone gemein, die der Verticalzone umgekehrt liegen; Verwachsung nach  $a$  oder  $b$ . haltbar nach  $a$ .

Brooke: Ann. Phil, 22, 418. — De la Provostaye: Ann. Ch. Phys. (3) 3, 429. — Pasteur: Eb. 28, 56. — Wolff: J. f. pr. Ch. 28, 438.

**Optisches.** Ebene der optischen Axen parallel Axe  $b$ . Sehr starke Doppelbrechung, so dass die beiden Ringsysteme, die weit auseinander treten und bloß in Öl sichtbar sind, kaum in den dünnsten Blättchen die horizontale Dispersion erkennen lassen. Mittellinie positiv, normal zur  $ab$ . Die Ebene der rothen Axen macht

$48^\circ 42'$  mit einer Normale auf die vordere Fläche  $a$ ,

$63^\circ 42'$  — einer solchen auf  $r$ ,

$98^\circ 25'$  — — — — —  $c$ .

Auf der Ebene der weissen Axen sind diese Winkel

$47^\circ 50'$ ,  $62^\circ 50'$ ,  $97^\circ 33'$

(20 27 99 55 Sénarmont)

$2H_0 = 84^\circ 20'$  Roth

$= 84^\circ 48'$  Gelb,  $2V_a = 76^\circ 40'$ ,  $\beta = 1,5242$  Miller

$= 84^\circ 4,5$  Blau

$2H_0 = 109^\circ 3'$  Gelb,  $2V_0 = 104^\circ 40'$ ,  $2V_a = 78^\circ 20'$ .

Miller fand den wahren (stumpfen) Winkel nur  $96^\circ 36'$ .

Des Cloizeaux: Nouv. Réch. — Miller: Pogg. A. 55, 628. —  
Kohlrausch: Groth Ztschr. 4, 400.

**Pyroelektricität.** — Die Weinsäure ist pyroelektrisch (Traubensäure nicht). Böttger.

Die Axe  $b$  ist die elektrische Axe; das rechte Ende (an welchem die  $q$ ) ist der antiloge Pol. — Hankel: Pogg. A. 49, 500. — Matteucci: Sperimento 9, 68.

Volumgewicht. 4,739 Baignet; 4,764 Schiff; 4,75 Pasteur.

Löslichkeit. — Nach Pasteur ist die Löslichkeit der Rechts- und Linksweinsäure gleich. Bei 20° enthalten 100 Th. Lösung 57 pCt. der Säure.

Volumgewicht der Lösungen bei 15°

40 pCt. Säure = 4,0469	40 pCt. Säure = 4,2079
20 - - = 4,0969	50 - - = 4,2696
30 - - = 4,1505	57,9 - - = 4,3229 Schiff.

Volumgewicht von Lösungen, die 25 und 50 pCt. Säure enthalten, bei T. von 40—400° Gerlach: Spec. G. der gebräuchlichsten Salzlösungen. Freiberg 1859.

Maisch, welcher ähnliche Versuche anstellte, fand, dass 400 Th. Wasser bei 22° 136,6 Th. Säure lösen. V. G. bei 16° = 4,325. Jahresb. 1865, 392.

Spec. Wärme der Lösungen. Thomsen: Pogg. A. 442, 355. 368.

Circularpolarisation. — Wir verdanken Biot eine grosse Reihe von Versuchen über diesen Gegenstand. Während bei allen optisch activen Körpern die Drehkraft für die verschiedenen Farben des Lichtes ungleich ist, und diese Ungleichheit bei allen einem und demselben Gesetz folgt, macht die Weinsäure eine Ausnahme. Wird eine für eine gewisse T. gesättigte Lösung mit bestimmten Mengen Wasser verdünnt, und wird eine Schicht von gleicher Dicke in homogenem (z. B. rothem) Licht beobachtet, so zeigt sich, dass die Drehkraft der Lösung proportional der Verdünnung wächst und dass sie bei jeder einzelnen durch Erwärmen zunimmt, beim Abkühlen abnimmt, wobei die Zu- und Abnahme für alle Verdünnungen die gleiche ist. Auch die Dispersion der verschiedenfarbigen Schwingungsebenen zeigt sich abnorm, denn während sonst die Drehung mit der Brechbarkeit des Strahles wächst, findet sich bei der W. die Schwingungsebene des grünen Strahles stärker abgelenkt als die des rothen und blauen; die des violetten ist es am wenigsten. — Pogg. A. 38, 479. C. r. 28, 221. 30, 721. 31, 401. 35, 233. 613. 49, 377.

Pasteur giebt an, dass die W. (Rechtsweinsäure), in gewissen Mitteln gelöst, bei niederer T. allmähig linksdrehend wird, dass es ihm aber nicht geglückt sei, sie in diesem Zustande dauernd zu erhalten. — C. r. 28, 477.

Arndtsen fand, dass die Drehung für eine bestimmte Farbe des Spectrums ein Maximum hat, dass dieses Maximum mit der Verdünnung seinen Platz ändert, indem es sich mit steigender Verdünnung mehr und mehr dem violetten Ende nähert, dass die Drehkraft für die stärker brechbaren Strahlen negativ, für die schwächer brechbaren positiv wird, wenn die Wassermenge klein genug ist, und dass die Drehkräfte (für die verschiedenen Farben) mit der Concentration in der Art variiren, dass dieselben als verschiedene lineare Functionen von der Wassermenge ausgedrückt werden können. — Pogg. A. 405, 312.

Auch Krecke untersuchte den Einfluss der T. auf das Drehungsvermögen der Weinsäure und fand, dass es mit der T. für alle Strahlen des Spectrums wächst, aber bei verschiedener Concentration in sehr verschiedenem Grade, sowie dass die stärkere Drehung der grünen Strahlen in höherer T. und beim Verdünnen nicht mehr gilt. — Jahresb. 1872, 154.

Später hat Landolt die Abhängigkeit des Drehungsvermögens von der Concentration durch neue Versuche bestimmt, deren Resultate den früheren von Arndtsen sehr nahe kommen.

Die Abhängigkeit des specifischen Drehungsvermögens von der Concentration drückt Landolt durch die Formel

$$[\alpha]_D = 15,06 - 0,134 C$$

in, in welcher  $C$  die Anzahl grm Weinsäure in 100 ccm Wasser bedeutet. Die Versuche entsprechen der Rechnung sehr gut.

Um die Salze mit der Säure vergleichen zu können, wurde  $C = 7,69$  und die Lösungen äquivalenter Salzmengen gewählt, sodass immer auf 1 Mol. Substanz 100 Mol. Wasser kommen. Für jene Lösung der freien Säure ist  $[\alpha]_D = 44^{\circ},05$ , und da  $C^4H^6O^6 = 150$ , so ist ihr molekulares Drehungsvermögen  $[M]_D = \frac{150 \cdot 44^{\circ},05}{100} = 21,08$ . — Ber. d. ch. Ges. 1873, 1073. 1880, 129.

Die aus Milchsücker erhaltene Säure ist gleichfalls Rechtsweinsäure. — v. S. 10: Ann. Ch. Ph. 143, 49.

Löslichkeit in Alkohol. 100 Th. von 80 pctigem lösen bei 15° 1 Th. W., die Lösung hat ein V. G. = 0,999. Schiff.

Neutralisationswärme. Thomsen: Pogg. A. 440, 499. Ber. d. ch. Ges. 1873, 710. — Berthelot: C. r. 75 u. 78.

Elektrolyse der Lösung. Bourgoin: Ann. Ch. Phys. (4) 44, 157.

#### B. Linksweinsäure.

Von gleicher Form wie A, nur liegen die  $q$  an der linken Seite, obwohl sie auch häufig rechts und mitunter an beiden Seiten in gleicher Ausbehnung vorkommen. Pasteur.

Linksdrehend.

Pyroelektrisch, im entgegengesetzten Sinn wie die Rechtsweinsäure.

Volumgewicht. 1,7496 Pasteur.

#### C. Optisch inactive Weinsäure.

Pasteur hatte gefunden, dass durch Erhitzen von (rechts- oder links-) weinsäurem Cinchonin letzteres in Cinchonidin und dann in Chinoidin, die letztere aber theilweise in Traubensäure verwandelt wird. Aus dieser entsteht hierbei gleichzeitig eine unzerlegbare optisch indifferente Weinsäure, die ist krystallisirbar und bildet gut krystallisirende Salze. — Pasteur: C. r. 37, 162 (Pogg. A. 90, 504).

Nach Dessaignes entsteht sie bei langem Sieden einer Lösung von

Wein- oder Traubensäure für sich oder mit Zusatz von Schwefel- oder Chlorwasserstoffsäure, oder endlich durch fünfstündiges Erhitzen trockener Weinsäure auf 170—180°. Die Umwandlung erfolgt aber nur an einem kleinen Bruchtheil der Säure. — Bull. Soc. chim. 5, 355.

Die Lösungswärme der verschiedenen Weinsäuren und der Traubensäure Berthelot: C. r. 78, 744.

### Weinsaures Ammoniak.

4) Einfach.  $\text{Am}^2\text{C}^4\text{H}^4\text{O}^6$  (Rammelsberg).

Zwei- und eingliedrig.  $a : b : c = 1,4493 : 1 : 1,4294$  Rammelsberg.  
 $o = 87^\circ 35'$ .

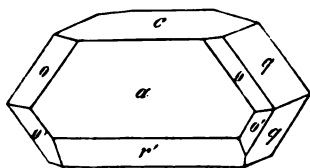
$o, o', p, q, r, r', a, c$ .

	Berechnet	Beobachtet		
		Rammelsb.	Neumann	De la Provost.
$o : o =$	$97^\circ 30'$			
$o' : o' =$	$95 \quad 10$			
$o : o' =$	$109 \quad 0$			
$o : o' =$	$124 \quad 21$			
$p : p =$	$82 \quad 6$			
$q : q =$		$+70^\circ 0'$	$69^\circ 20'$	$69^\circ 50'$
$c =$	$125 \quad 0$	$125 \quad 8$		
$a =$	$91 \quad 23$	$91 \quad 30$		
$a : c =$		$92 \quad 25$	$92 \quad 26$	$91 \quad 51$
$r =$	$142 \quad 0$			
$r' =$	$140 \quad 15$	$140 \quad 12$		$140 \quad 29$
$c : r =$	$130 \quad 24$			
$r' =$		$127 \quad 20$	$127 \quad 24$	
$o : a =$	$126 \quad 25$			
$o' : a =$	$124 \quad 35$	$124 \quad 50$		
$c =$	$116 \quad 35$	$116 \quad 52$		
$q =$	$144 \quad 2$	$144 \quad 11$		
$r' =$	$137 \quad 35$	$137 \quad 30$		

Prismatisch nach der Verticalzone. — Fig. 53.

Nach Pasteur findet sich  $q$  nur rechts (bei dem rechtsweinsäuren, d. h. dem gewöhnlichen Salze), die  $o$  und  $o'$  links, letzteres selten auch rechts und dann sehr klein. Ich beobachtete keinen Unterschied der  $q$  rechts und links. und sah  $o'$  nur zuweilen an einer Seite. Die Parallelfläche von  $c$  fehlte oft.

Fig. 53.



Pasteur giebt an, dass das Salz (ob chemisch das gleiche?) aus Lösungen von äpfelsäurem Ammoniak zweigliedrig krystallisire ( $p : p = 114^\circ 6'$ ,  $p : o = 129^\circ 17'$ )

und dass das Rhombenoktaeder auf zwei Flächen reducirt sei.

Linksweinsaures Ammoniak gab Pasteur:

$$\begin{array}{ll} q : q = 69^{\circ} 5' & r' : c = 127^{\circ} 25' \\ c = 124 47 & a : o = 126 20 \\ a : c = 94 58 & o' = 125 0 \end{array}$$

n links.

Provostaye: Ann. Chim. Phys. (3) 3, 136. — Neumann: J. 64, 197. — Pasteur: Ann. Chim. Phys. (3) 24, 442. 38, 48. — Rammelsberg: Pogg. Ann. 96, 18. — Miller: Eb.

Salze verhalten sich optisch gleich. Ebene der optischen Axen Mittellinie macht  $16^{\circ} 43'$  mit einer Normale auf Fläche  $c$  und mit einer solchen auf das vordere  $a$ .  $2E = 59^{\circ} 35'$ ,  $2V = 38^{\circ} 2'$ , — 4,533. Sénarmont.

Dispersion der Axen ist schwach,  $\rho < v$ ; der Abstand der Mittelrothen und blauen Axen beträgt nur  $8'$ . Sie sind (bei  $20^{\circ}$ ) gegen eine Normale

	Roth	Gelb	Blau	
auf $c$	$16^{\circ} 46'$	$16^{\circ} 47'$	$16^{\circ} 24'$	
auf $a$ vorn	71 20	71 49	71 42	Des Cloiz.

Die mittleren Axen hatte Miller  $16^{\circ} 24'$  und  $71^{\circ} 42'$  gefunden. Die optischen Axen liegen die eine rechts, die andere links von einer auf die Spaltungsfläche  $c$ . Der mittlere Brechungsindex  $\rho$  ist 1,579 Roth; 1,584 Gelb; 1,594 Blau:

$$2V = \begin{cases} 39^{\circ} 32' \\ 39 36 \\ 40 0 \end{cases} \quad 2E = \begin{cases} 64^{\circ} 33' \text{ Roth} \\ 64 46 \text{ Gelb} \\ 65 56 \text{ Blau. Des Cloiz.} \end{cases}$$

Dichtengewicht. 1,566 Schiff; 1,523 Buignet.

Optisches Vermögen (s. Weinsäure). Nach Landolt ist  $n_D = 1,26$ ,  $[M]_D = 63,04$ , also das D. des Salzes dreimal grösser als Weinsäure.

## 2) Zweifach. $\text{HAmC}^4\text{H}^4\text{O}^6$ .

Es ist noch nicht sicher, ob das Salz zweigliedrig (De la Provost) oder zwei- und eingliedrig (Pasteur, Rammelsberg) ist. Zweigliedrig.  $a : b : c = 0,6933 : 1 : 0,7086$  De la Provost.

$2, q^2, q^3, b, c$ .	Berechnet	Beobachtet
$2A$	$127^{\circ} 18'$	$127^{\circ} 42'$
$2B$	100 20	
$2C$	102 24	
$p : p$		110 32
$q : q$	109 22	
$c$	144 41	145 0
$q^2 : q^2$	70 24	
$q$	160 34	160 30
$q^3 : q^3$	50 24	
$b$	154 48	154 30
$q^2$	170 0	170 0
$o : p$		144 42

Prismatisch nach  $q$ . Spaltbar nach  $c$ . — Ann. Ch. Phys. (3) 3,  
Nach Hahn wäre  $p : p = 107^\circ 45'$  und  $r : r = 100^\circ 20'$ . —  
Pharm. (2) 97, 42.

Der erste Werth scheint  $q : q$  zu sein.

Optisches. v. Lang: Wien. Ak. Ber. 55, 420.

Zwei- und eingliedrig.  $a : b : c = 1,4447 : 1 : 1,046$   
melsberg.  $o = 89^\circ 20'$ .

$o, o', p, q, r, r', \frac{5}{2}r, \frac{5}{2}r', a, c$ .

	Berechnet	Beobachtet	
		Rammelsberg	Pasteur
$o : o = 99^\circ 48'$		$100^\circ 0'$	
$o' : o' = 99 \quad 8$			
$o : o' = 126 \quad 49$		$126 \quad 50$	
$o : o' = 103 \quad 38$		$102 \quad 52$	$102^\circ 30'$
$p : p =$		$*69 \quad 23$	
$a = 124 \quad 41,5$		$124 \quad 42$	
$c = 94 \quad 3$			
$q : q = 87 \quad 26$			
$a : c = 90 \quad 40$		$90-94^\circ$	
$r =$		$*126 \quad 20$	
$r' =$		$*125 \quad 28$	
$c : r = 144 \quad 20$			
$r' = 143 \quad 52$			
$a : \frac{5}{2}r = 151 \quad 14$		$151 \quad 10$	
$\frac{5}{2}r' = 150 \quad 56$		$150 \quad 42$	
$r : \frac{5}{2}r = 155 \quad 6$		$155 \quad 55$	
$r' : \frac{5}{2}r' = 154 \quad 32$		$154 \quad 30$	
$o : a = 116 \quad 58$		$116 \quad 53$	$115 \quad 30$
$c = 127 \quad 57$			
$p = 141 \quad 58$		$141 \quad 50$	
$q = 154 \quad 2$		$154 \quad 0$	
$r = 139 \quad 54$		$139 \quad 52$	
$o' : a = 116 \quad 43$		$116 \quad 25$	$117 \quad 6$
$c = 128 \quad 15$			
$p = 141 \quad 40$		$141 \quad 2$	
$q = 152 \quad 49$		$152 \quad 40$	
$r' = 139 \quad 34$			

Tafelartig nach  $a$ .

An Krystallen aus wässriger Lösung fand ich  $a, p, r, r'$  und herrschend. An der rechten Seite alle vier Flächen  $o$ , an der linken (ob immer?) die  $o'$ . Krystalle aus verdünnter Salpetersäure waren sehr bar rechtwinklige Tafeln, deren Ränder durch  $o$  und  $o'$  zugespitzt während die  $q$  und  $c$  ganz schmal erschienen.

Verglichen mit der zweigliedrigen Auffassung wäre also  $b$  der letz  $= a$ , die  $q = r$ , und  $b : c$  sowie  $p : c$  nicht  $90^\circ$ , etc.



ren Flüssigkeiten krystallisirt, erscheint das Oktaeder  $oo'$  nach emiedrisch. — Ann. Ch. Phys. (3) 38, 437.

cacchi zeigen die Krystalle aus Lösungen, welche citronen-  
en enthalten, die entgegengesetzte Hemiedrie. Aus Wasser um-  
, zeigen sie die ursprüngliche. — Atti R. Acc. Napoli III. (1866).

ene der optischen Axen ist  $ac$ ; Mittellinie =  $c$ ; negativ.  
in Öl =  $86^\circ 2'$ , der wahre Winkel =  $79^\circ 54'$ . — Topsøe:  
gbd. 6, 552. — Vgl. v. Lang (s. o.).

ngewicht. 4,68 Schiff.

ungsvermögen.  $[\rho]_D = 25,65$ ,  $[M]_D = 42,84$  Landolt.

#### Weinsaures Kali.

4) Einfach.  $2K^2C^4H^4O^6 + aq$ .

und eingliedrig.  $a : b : c = 3,0869 : 4 : 3,970$  Marignac.  
 $\alpha = 89^\circ 10'$ .

$\frac{\alpha}{3}$ ,  $\frac{\alpha'}{3}$ ,  $r$ ,  $r'$ ,  $a$ ,  $b$ ,  $c$ .

Berechnet	Beobachtet			
	Marignac	Provost.	Brooke	Rammelsb.
:	$45^\circ 8'$	$45^\circ 40'$		
= $44^\circ 17'$	44 19			$44^\circ 35'$
= 444 59				
= 452 55				
= 78 54				
= 78 25				
= 450 58				
= 408 49				
=	$90^\circ 50'$		$90^\circ 30'$	
= 442 35		442 43	442 43	442 20
= 444 57				
= 428 45	428 45			
= 427 43	427 0	427 47	427 47	427 40
= 407 45	407 52			
= 403 54	404 0	403 35	403 40	403 40
= 412 34	412 34			
= 407 46	407 45			407 38
= 403 44	403 7			
= 442 8,5	442 44			442 20
= 404 59	405 0			
= 440 34	440 25			
= 425 46	425 45			
= 404 3	404 25			
= 440 59	440 55			

Brooke: Ann. Phil. 23, 164. — De la Provostaye: Ann. Ch. Phys. (3) 3, 143. — Pasteur: Eb. 38, 437. — Marignac: Réch. sur les form. cr. Genève 1855.

Nach der Verticalzone ( $a, c, r, r'$ ) prismatisch, und nach  $c$  tafelartig.

Marignac fand von  $o$  nur die rechte und die Parallele der linken Fläche, von  $o'$  umgekehrt die linke und die Parallele der rechten.

$\frac{o}{3}$  verhielt sich wie  $o'$  und  $\frac{o'}{3}$  wie  $o$ .

Fig. 54.

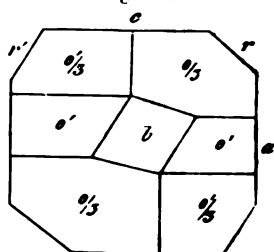
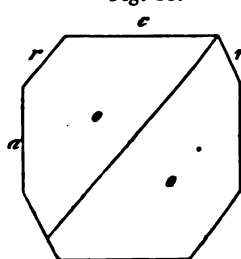


Fig. 55.



Also erscheint das Oktaeder  $oo'$  als rechtes Tetraeder, dagegen  $\frac{o}{3}, \frac{o'}{3}$  nur an der linken Seite, d. h. hemimorph. Fläche  $b$  findet sich an der linken Seite. S. Fig. 54 (linke), Fig. 55 (rechte Seite).

Spaltbar nach  $a$  und  $c$ .

Das Salz wurde früher von Hankel und von mir für zweigliedrig gehalten.

Ebene der optischen Axen parallel Axe  $b$ ; die Mittellinie unter  $21^{\circ} 20'$  gegen eine Normale auf  $r'$  geneigt:  $2V$  etwa  $62^{\circ}$ ,  $\beta = 1,526$ . Miller.

Dispersion stark:  $2E = 102^{\circ} 16'$  Roth,  $104^{\circ} 24'$  Grün,  $106^{\circ} 21'$  Violett;  $\rho < r$ ; die horizontale Dispersion ist parallel oder senkrecht zur Polarisationssebene merklich. Des Cloizeaux. — Miller: Pogg. A. 55. 630.

Volumgewicht. 1.975 Schiff, 1.96 Buignet.

Pyroelektrisch. Der antiloge Pol ist das rechte Ende der Axe  $b$ .

Drehungsvermögen der Lösung nach Landolt  $[\alpha]_D = 28.48$ .  $[M]_D = 64.42$ , gleich dem Ammoniaksalz das dreifache der Säure.

Lösungswärme. Berthelot: C. r. 77. 24.

## 2 Zweifach. $\text{HKC}^4\text{H}^4\text{O}^6$ . Weinstein.)

Zweigliedrig.  $a : b : c = 0.7115 : 1 : 0.7372$  Schabus.

$o, p, 2p, q, q^2, q^3, r, a, b, c$ .

	Berechnet	Schabus	Beobachtet Brooke	Rammelsberg
$2A$	$= 125^{\circ} 46'$			$125^{\circ} 40'$
$2B$	$= 100 \quad 20$			$100 \quad 30$
$2C$	$= 103 \quad 38$		$103^{\circ} \quad 0'$	$103 \quad 32$
$p : p =$		$109^{\circ} \quad 8'$	$109 \quad 0$	

Berechnet	Beobachtet		
	Schabus	Brooke	Rammelsberg
$p : b = 125^{\circ} 26'$	$125^{\circ} 26'$	$125^{\circ} 30'$	
${}^2p : {}^2p = 70 \ 12$			
$b = 144 \ 54$	144 56		
$p = 160 \ 32$	160 30		
$q : q = 107 \ 12$	107 14	107 30	
$b = 126 \ 24$		126 15	
$q^2 : q^2 = 68 \ 18$			
$q = 160 \ 33$	160 33		
$q^3 : q^3 = 48 \ 40$			
$b = 155 \ 40$	155 40		
$r : r = 87 \ 58$			
$o : b = 117 \ 7$		117 2	$117^{\circ} 28'$
$p =$	*141 49		
$r = 152 \ 53$			153 2

Fig. 56. — Sehr häufig ist  $o$  tetraedrisch ausgebildet; bald herrscht rechte, bald die linke Hälfte. Das dem grösseren  $o$  entsprechende  $p$  gt vorzuherrschen, das andere fehlt mitunter. Fig. 57, 58.

Fig. 56.

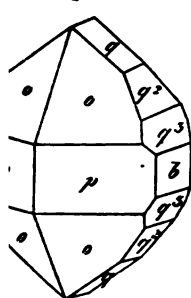


Fig. 57.

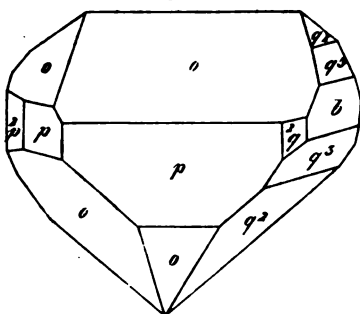
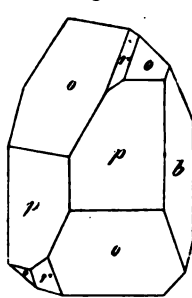


Fig. 58.



Nach Schabus findet sich  $r$  nur mit dem linken Tetraeder, was ich bestätigen kann.

Nach Haidinger finden sich  $q^2$  und  $q^3$  nur Krystallen mit herrschendem rechtem  $o$ .

An ziemlich grossen durchsichtigen Krystallen finde ich  $b$  und  $q$  links, und auch  $c$ . Fig. 59.

Spaltbar nach  $c$ , weniger nach  $q$  und  $b$ .

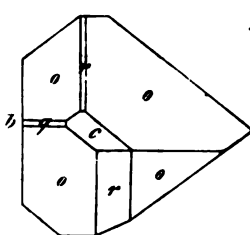
Die  $o$ ,  $p$ ,  $q$  sind immer glatt;  $b$  ist immer,  $q^2$  und  $q^3$  sind meist horizontal gestreift,  ${}^2p$  ist rauh.

— Brooke: Ann. Phil. 23, 161. — Schabus: Wien. Ak. Ber. 1850.

Isomorph dem Ammoniaksalz.

Ebene der optischen Axen =  $ab$ : Mittellinie =  $b$ : negativ.  $2H = 140^{\circ} 40'$ ,  $2E = 164^{\circ} 40'$ ;  $q > r$ . — v. Lang: Wien. Ak. Ber. 34.

Fig. 59.



Volumgewicht. 1,943 Schabus; 1,973 Schiff; 1,956 Buign  
 Löslichkeit. — 400 Th. Wasser lösen

	Alluard	Chancel		Alluard
bei 0°	0,32 Th.	0,244 Th.	bei 60°	2,4 Th.
10	0,40 -	0,37 -	70	3,2 -
20	0,57 -	0,553 -	80	4,5 -
30	0,90 -	0,805 -	90	5,7 -
40	1,34 -	1,13 -	100	6,9 -
50	1,81 -			

1 Th. Weinstein löst sich

bei 10° in 230,1 Th. Wasser

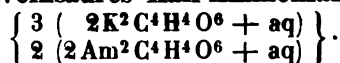
15 - 203,1 - -

22 - 152,1 - -

Kissel, Ztschr. anal. Ch. 8, 409.

Drehungsvermögen. —  $[\rho]_D = 22,61$ ,  $[M]_D = 42,53$ . Also  
 Doppelte der Säure. Landolt.

#### Weinsaures Kali-Ammoniak.



Isomorphe Mischung beider Salze in der Form des ersten. Ich fand

$$\begin{array}{ll} o' : o' = 44^\circ 40' & a : r' = 142^\circ 42' \\ a = 107 \ 48 & c : r' = 127 \ 55 \\ c = 103 \ 25 \end{array}$$

#### Weinsaures Natron.

1) Einfach.  $Na^2C^4H^4O^6 + 2aq$ .

Zweigliedrig.  $a : b : c = 0,7789 : 1 : 0,6708$  Schabus.

$p, q, \frac{q}{2}, r, \frac{r}{2}, a, b$ .

Berechnet		Beobachtet	
	Schabus	Provost.	Haberle
$p : p = 104^\circ 40'$	104° 40'	104° 50'	104° 30'
$b =$	127 54,5		
$q : q = 112 \ 17$	112 14		
$b = 123 \ 51,5$	123 53		
$\frac{q}{2} : \frac{q}{2} = 142 \ 55$			
$b = 108 \ 32,5$	108 37		
$q = 164 \ 41$	164 40		
$r : r = 98 \ 32$			
$a = 130 \ 44$	130 47,5		
$\frac{r}{2} : \frac{r}{2} = 133 \ 24$		132 44	133 0
$a =$	113 18		(132 49
$r = 162 \ 34$	162 30,5		Bernhard

Prismatisch nach  $p$ , welches oft vertical gestreift ist.

Bernhardi: Trommsd. N. J. 7, 3. 144. — Haberle: Gehlens J. 338. — De la Provostaye: Ann. Ch. Phys. (3) 3, 144. — Schabus: — Rammelsberg: Pogg. A. 96, 48.

Volumgewicht. 1,794 Buignet.

Drehungsvermögen der Lösung nach Landolt.  $[\varrho]_D = 30,85$ ;  $[\eta]_D = 59,85$ .

2) Zweifach.  $\text{HNaC}^4\text{H}^4\text{O}^6 + \text{aq.}$

Zweigliedrig.  $a : b : c = 0,848 : 1 : 0,683$  Brio.

$o, p, q, a.$	Berechnet	Beobachtet
$o \left\{ \begin{array}{l} 2A = 124^\circ 40' \\ 2B = 110 \quad 48 \\ 2C = 94 \quad 20 \end{array} \right.$		$124^\circ 39'$ 110 36
$p : p =$		*104 26
$a = 140 \quad 43$		140 40
$q : q = 141 \quad 20$		
$o : p =$		*137 10
$q = 145 \quad 24$		145 4

Prismatisch nach der Horizontalzone. Spaltbar nach  $b$ .

Brio untersuchte auch das optische Verhalten. Wien. Ak. Ber. 55, 874.

Drehungsvermögen der Lösung.  $[\varrho]_D = 23,95$ ;  $[M]_D = 44,49$  andolt.

**Weinsaures Ammoniak-Natron.**  $(\text{Am}^2\text{C}^4\text{H}^4\text{O}^6 + \text{Na}^2\text{C}^4\text{H}^4\text{O}^6) + 8\text{aq.}$

A. Rechtsweinsaures.

Zweigliedrig.  $a : b : c = 0,8233 : 1 : 0,420$  Rammelsberg.

$o, p, p^2, {}^2p, q, q^2, r, a, b, c.$  —  $v = \frac{1}{2}a : b : c.$

	Berechnet	Beobachtet	
		(*)	(**)
$s \left\{ \begin{array}{l} 2A = 138^\circ 58' \\ 2B = 129 \quad 36 \\ 2C = 66 \quad 56 \end{array} \right.$			
$v \left\{ \begin{array}{l} 2A = 147 \quad 14 \\ 2B = 93 \quad 32 \\ 2C = 95 \quad 40 \end{array} \right.$			
$p : p = 104 \quad 4$			
$b =$		*129° 28'	129° 50'
$p^2 : p^2 = 133 \quad 16$		135 0	134 48
$b = 112 \quad 22$		112 45	112 40
$p = 162 \quad 54$		162 37	162 50
${}^2p : {}^2p = 62 \quad 32$			
$b = 148 \quad 44$		148 50	149 18
$q : q = 134 \quad 26$			
$b = 112 \quad 47$		112 50	113 30

\*) Aus gewöhnlicher Weinsäure.

\*\* Aus Traubensäure.

	Berechnet	Beobachtet	
		<sup>4</sup>	<sup>3</sup>
$q : c =$	$157^{\circ} 13'$	$157^{\circ} 12'$	$156^{\circ} 30'$
$q^2 : q^2 =$	99 56		
$q =$	162 45	162 30	162 47
$r : r =$	125 56		
$c =$	152 58		152 30
$o : c =$		*146 32	145 50
$p =$	123 28	123 25	124 10
$q =$	154 48	155 0	154 45
$v : c =$	132 10	132 20	134 44
$p^2 =$	137 50	137 54	138 48

Sehr untergeordnet  $\frac{2}{3}p$ ,  $q\frac{2}{3}$  und ein Oktaeder, wohl  $a : 2b : c$ .

Das Hauptoktaeder  $o$  erscheint als linkes Tetraeder;  $v$  als ebensolches oder vollzählig. (S. die Fig. des Natronsalzes.)

#### B. Linkswensaures.

Von gleicher Form.

Das Hauptoktaeder  $o$  erscheint als rechtes Tetraeder. — Rammelsberg: Pogg. A. 96, 28.

Optisches. — Ebene der optischen Axen  $= bc$ , Mittellinie  $= c$ ; negativ.  $2V = 62^{\circ}$  Roth,  $46^{\circ}$  Violett;  $2E = 100^{\circ}$  und  $70^{\circ}$ ;  $\beta = 1,495$  rechtsweins.,  $1,490$  linksweins. Salz. Sénarmont. — Vgl. Grailich und Lang: Wien. Ak. Ber. 34.

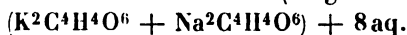
Diamagnetisch. Kräftigste Action nach Axe  $b$ , schwächste nach  $a$ . — Dieselben: Eb. 32.

Volumgewicht beider Arten  $= 1,576$  Pasteur;  $1,587$  Schiff;  $1,58$  Mitscherlich.

Löslichkeit. Bei beiden gleich; 100 Th. Lösung enthalten bei  $0^{\circ}$  21,2 Salz. Pasteur.

Drehungsvermögen der Lösung:  $[\rho]_D = 32,65$ ;  $[M]_D = 61,71$  Landolt.

#### Weinsaures Kali-Natron (Seignettesalz).



##### A. Rechtsweinsaures.

Zweigliedrig.  $a : b : c = 0,8317 : 1 : 0,4296$  Rammelsberg.

$o$ ,  $p$ ,  $p^2$ ,  $2p$ ,  $q$ ,  $q^2$ ,  $r$ ,  $a$ ,  $b$ ,  $c$ . —  $v = \frac{1}{2}a : b : c$ .

	Berechnet
$o$	$2A = 138^{\circ} 44'$
	$2B = 129 44$
	$2C = 67 48$
$v$	$2A = 146 44$
	$2B = 93 0$
	$2C = 96 24$

Berechnet	Rammelsb.		Beobachtet	
	1)	2*)	Mütrich	Kopp
$p = 100^{\circ} 30'$	$100^{\circ} 27'$	$100^{\circ} 30'$	$100^{\circ} 30'$	
$b =$	$*129 \ 45$	$129 \ 20$	$129^{\circ} 52'$	$129^{\circ} 49'$
$o^2 = 134 \ 50$		$135 \ 0$	$135 \ 5$	(Pasteur)
$a = 157 \ 25$	$157 \ 30$	$157 \ 43$	$157 \ 8$	
$b = 112 \ 25$	$112 \ 30$	$112 \ 20$		
$p = 162 \ 50$	$163 \ 15$	$162 \ 48$	$163 \ 20$	$163 \ 0$
$p^2 = 62 \ 2$				(Brooke)
$p = 160 \ 46$	$160 \ 50$	$160 \ 42$		
$q = 133 \ 30$				
$b = 113 \ 15$	$113 \ 40$	$113 \ 38$		
$c =$	$*156 \ 45$	$156 \ 45$		
$q^2 = 98 \ 40$			$97 \ 40$	
$c = 139 \ 20$	$139 \ 20$	$139 \ 20$		$138 \ 50$
$q = 162 \ 35$	$162 \ 50$	$162 \ 45$		(Brooke)
$r = 125 \ 22$				
$c = 152 \ 41$	$152 \ 48$			
$c = 146 \ 6$	$146 \ 10$	$145 \ 48$		
$p = 123 \ 54$	$123 \ 45$			
$q = 154 \ 37$	$154 \ 30$			
$o = 131 \ 48$	$131 \ 30$	$131 \ 30$	$131 \ 38,5$	
$p^2 = 138 \ 12$	$138 \ 15$	$138 \ 35$	$138 \ 29,5$	

Das Hauptoktaeder  $o$  erscheint als linkes Tetraeder,  $v$  meist als  $tes$ , jedoch auch vollzählig;  $q^2$  nur links.

Fig. 60.

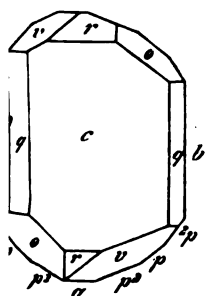


Fig. 61.

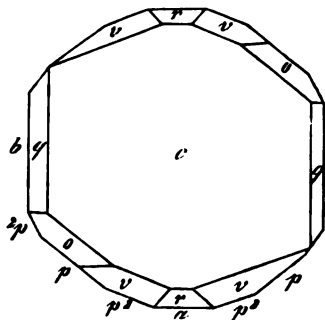
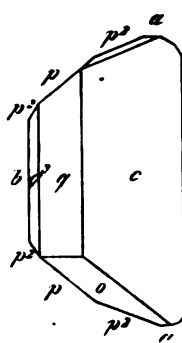


Fig. 62.



Mütrich fand  $o$  und  $q^2$  bisweilen vollzählig. — Fig. 60, 61.

Manche Krystalle haben das Ansehen linker Hälften, weil das rechte  $b$  gross ist, die anstossenden Flächen klein sind. Mit diesem  $b$  sind die  $q$  aufgewachsen. — Fig. 62.

Die  $q$  wachsen aber auch mit einem  $p$  oder mit  $c$  auf. Ist das parallele  $c$  gross, ist die Hemiedrie von  $o$  deutlich.

3. das vorige.

Grosse Krystalle zeigen gewöhnlich nur die Flächen der Horizontalzone und  $c$ . Immer ist  $r$  seltener als  $q$ ; jenes fehlte den Krystallen Nr. 1.

### B. Linksweinsaures.

Gleiche Form bei entgegengesetzter Hemiedrie. — Fig. 63, 64.

Brooke: Ann. Phil. 22, 454. — Kopp: Einleitung in die Krystographie. — Pasteur: Ann. Ch. Phys. (3) 24, 450. 38, 437 (Pogg. A. 427). — Rammelsberg: Pogg. A. 96, 28. — Müttrich: Eb. 124, 4.

Fig. 63.

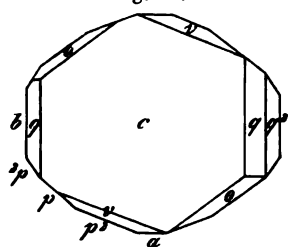
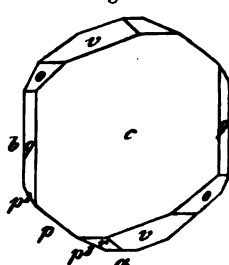


Fig. 64.



Optisches. — Ebene der optischen Axen =  $ac$ , Mittellinie =  $c$  positiv.

$$\begin{array}{ll} 2V = 76^\circ \text{ Roth} & \beta = 1,4929 \text{ Roth} \\ & = 56 \text{ Violett} \quad 1,4985 \text{ Grün Herschel.} \end{array}$$

Die Brechungsexponenten sind

$$\begin{array}{lll} \alpha = 1,493 & \beta = 1,494 & \gamma = 1,490 \text{ Roth} \\ & = 1,4957 & = 1,4930 \quad = 1,4917 \text{ Gelb} \end{array}$$

$$\begin{array}{lll} \text{woraus} & 2V = 76^\circ 6' & 2E = 120^\circ 11' \text{ Roth} \\ & = 69 40 & = 117 2 \text{ Gelb.} \end{array}$$

Dirëcte Messungen des scheinbaren Axenwinkels  $2E$ :

$$\begin{array}{ll} 120^\circ 26' \text{ und } 123^\circ 20' \text{ Roth} & 111^\circ 42' \text{ Grün} \\ 117 40 \text{ Gelb} & 103 24 \text{ und } 104^\circ 33' \text{ Violett} \end{array}$$

Also ist die Dispersion der Axen sehr stark;  $\rho > \nu$ .

Durch Erwärmen wird der scheinbare Axenwinkel vergrößert.

Des Cloiseaux: Nouv. Rech.

Eine ausführliche Untersuchung der optischen Constanten verdank wir Müttrich: Pogg. A. 124, 193, 238.

Asterismus. H. Baumhauer: Eb. 140, 274.

Pyroelektricität. — Hankel: Pogg. A. 49, 502. 64, 294.

Diamagnetismus. — Faraday: Pogg. A. 69, 299. — Plücker: 184, 450. — Grailich und Lang: Wien. Ak. Ber. 32.

Volumgewicht. — 1,74 Mitscherlich; 1,767 Schiff; 1 Buignet.

Drehungsvermögen der Lösung  $[\rho]_D = 29,67$ ;  $[M]_D = 62$  Landolt.

Lösungswärme. — Berthelot: C. r. 77, 24.



**Weinsaures Rubidium.**Zweifach.  $\text{HRbC}^4\text{H}^4\text{O}^6$ .

dem Weinstein.

$$a : b : c = 0,6873 : 1 : 0,7045 \text{ v. Lang.}$$

**Weinsaures Cäsium.**Zweifach.  $\text{HCsC}^4\text{H}^4\text{O}^6$ .Form.  $a : b : c = 0,694 : 1 : 0,661$  Cooke.

ze zeigen die Hemiedrie des Hauptoktaeders. — Cooke: Am.

70. — v. Lang: Wien. Ak. Ber. 55, 424.

**Weinsaures Thallium.**

(Von Rechtsweinsäure.)

4) Einfach.  $2(\text{TI}^2\text{C}^4\text{H}^4\text{O}^6) + \text{aq.}$ eingliedrig.  $a : b : c = 1,9444 : 1 : 0,7402$  Des Cloi-

$$\alpha = 89^\circ 7'.$$

 $r, r', a, b.$  —  $v' = \frac{1}{3}a' : b : c.$ 

	Berechnet	Beobachtet
$o : o =$	$111^\circ 4'$	
$o' : o' =$	$110 30$	$110^\circ 32'$
$o : o' =$	$145 26$	$145 25$
$v' : o' =$	$128 6$	
$p^2 : p^2 =$	$92 36$	
$b =$		$133 42$
$a : r =$	$114 56$	$112 5$
$r' =$	$110 23$	$110 28$
$r : r' =$	$137 40$	$137 40$
$p^2 : r =$	$105 44$	$105 37$
$r' =$	$104 35$	
$o : a =$	$107 56$	$107 54$
$b =$	$124 28$	$124 35$
$r =$	$145 32$	$145 33$
$o' : a =$		$106 38$
$b =$		$124 45$
$r' =$	$145 15$	$145 20$
$p^2 =$	$\begin{cases} 126 55 \\ 100 46 \end{cases}$	$\begin{cases} 127 5 \\ 100 35 \end{cases}$
$v' : o' =$	$153 59$	$154 20$

1  $v'$ , an sich selten, sind nur an der linken Seite beobachtet.  
weitere Beobachtungen lehren, ob dies stets der Fall ist.  
ach  $o'$ , dick tafelförmig nach  $a$ . Spaltbar nach  $a$ .

echung stark; Ebene der optischen Axen senkrecht zur Sym-  
Mittellinie  $= b$ , negativ, bildet (für Gelb) Winkel von  
ner Normale auf Fläche  $a$ , von  $96^\circ 52'$  mit einer solchen auf  
r optischen Axen ( $2E$ )  $= 86^\circ 42'$  Roth,  $87^\circ 44'$  Blau (bei  $20^\circ$ ).

Volumgewicht = 4,658.

Löslich in 5 Th. Wasser von 45°. — Lamy und Des Clois  
S. Thalliumsulfat.

Das Salz ist isomorph dem Kalisalz.

$$\begin{array}{rcl} a : b : c & & o \\ \text{K } 3,087 : 1 : 3,97 & & 89^{\circ} 10' \\ \text{Th } 1,944 : 1 : 0,74 & & 89 \quad 7 \\ a = 1,6 : 1, & & c = 5,4 : 1. \end{array}$$

2) Zweifach.  $\text{HTlC}^4\text{H}^4\text{O}^6$ .

Zweigligdrig.  $a : b : c = 0,6976 : 1 : 0,7275$  Des Clois  
 $o, p, q, q^2, q^3, b, c$ .

Berechnet		Beobachtet	
		Des Cloiz.	Lang
$\left. \begin{array}{l} 2A \\ 2B \\ 2C \end{array} \right\}$	$2A = 126^{\circ} 38'$	$126^{\circ} 49'$	
	$2B = 99 \quad 50$		
	$2C = 103 \quad 26$	$103 \quad 44$	
$p : p$	$110 \quad 12$	$110 \quad 0$	$110^{\circ} 49'$
$b =$		$124 \quad 54$	$124 \quad 39$
$q : q$	$108 \quad 8$		
$b =$	$125 \quad 56$	$125 \quad 0$	$125 \quad 42$
$q^2 : q^2$	$69 \quad 42$		
$b =$	$145 \quad 24$	$145 \quad 20$	$145 \quad 44$
$q^3 : q^3$	$49 \quad 24$		
$b =$	$155 \quad 48$		$155 \quad 0$
$o : b =$		$*144 \quad 43$	

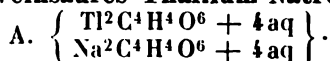
Tafelartig nach  $b$  oder  $c$ , oft sehr unsymmetrisch. Spaltbar nach  $a$ , weniger nach  $c$ . — Isomorph dem Ammoniak- und Kalisalz.

Doppelbrechung stark; optische Axenebene =  $ab$ , Mittellinie = negativ; Dispersion der Axen deutlich,  $\rho < v$ . Axenwinkel =  $92^{\circ}$  Roth,  $92^{\circ} 42'$  Gelb,  $93^{\circ} 42'$  Blau ( $48^{\circ}$ ).

Volumgewicht = 3,496.

Löslich in 122 Th. Wasser von 45°, in 6 Th. von 100°. — Lang: W  
Ak. Ber. 55, 424. — Des Cloiseaux: s. o.

#### Weinsaures Thallium-Natron.



Zweigligdrig.  $a : b : c = 0,84906 : 1 : 0,43067$  Des Cloiseaux.

$v = \frac{1}{2} a : b : c$ . —  $o, p, p^2, q, q^2, a, b, c$ .

Berechnet	
$\left. \begin{array}{l} 2A \\ 2B \\ 2C \end{array} \right\}$	$2A = 136^{\circ} 50'$
	$2B = 130 \quad 2$
	$2C = 67 \quad 18$
$\left. \begin{array}{l} 2A \\ 2B \\ 2C \end{array} \right\}$	$2A = 146 \quad 22$
	$2B = 94 \quad 2$
	$2C = 95 \quad 34$

	Berechnet	Beobachtet
$p : p =$	$99^{\circ} 20'$	$100^{\circ} 20' - 101^{\circ} 40'$
$a =$	139 40	139 30 — 140 10
$b =$		*130 20 (129 50)
$p^2 : p^2 =$	134 0	
$a =$	157 0	156 5 — 157 22
$b =$	143 0	142 38 — 143 40
$p =$	162 40	162 48 — 163 50
$q : q =$	133 48	
$c =$	156 42	156 38
$b =$	143 48	142 50
$q^2 : q^2 =$	98 30	
$c =$		*139 45
$b =$	130 45	129 45
$o : c =$	146 44	146 4
$v : c =$	132 43	131 50

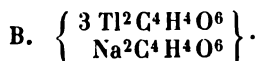
Messungen sind wegen des leichten Verwitterns der Krystalle nicht au; auch sind letztere in der Horizontalzone stark gestreift. ltbar nach c.

Oктаeder  $o$  erscheint als linkes Tetraeder;  $v$  ist vollflächig, jedoch ke Hälfte grösser als die rechte.

Ebene der optischen Axen =  $bc$ ; Mittellinie =  $c$ , negativ. Disgeringer als beim Seignettesalz. Axenwinkel in Luft bei  $20^{\circ}$

$$2E = 75^{\circ} 49' - 76^{\circ} 47' \text{ Roth} \\ = 74 \ 28 - 73 \ 44 \text{ Blau.}$$

wittert rasch an der Luft, löst sich in 0,5 Th. Wasser von  $20^{\circ}$ . morph mit dem Seignettesalz (von K und Am), optisch gleich dem e.

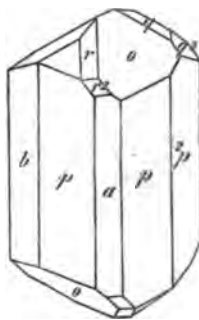


eigliedrig.  $a : b : c = 0,8594 : 1 : 0,5744$  Des Cloizeaux.

$^1, ^2p, q, q^2, r, r^2, a$ .

	Berechnet	Beobachtet
$o \left\{ \begin{array}{l} 2A = \\ 2B = \\ 2C = \end{array} \right.$	$128^{\circ} 56'$ 119 48 82 48	$128^{\circ} 44'$ 119 55 82 27
$p : p =$	98 40	98 47
$a =$		*139 20
$^2p : ^2p =$	60 24	
$a =$	120 12	120 40
$p =$	160 52	161 7
$q : q =$	120 16	
$q^2 : q^2 =$	82 4	
$r : r =$	112 28	
$a =$	123 46	123 46
$r^2 : r^2 =$	73 34	

Fig. 65.



	Berechnet	Beobachtet
$o : a =$	$120^{\circ} 6'$	$120^{\circ} 7'$
$p =$		$*134 \ 24$
$q =$	$149 \ 54$	$149 \ 50$
$r =$	$154 \ 28$	$154 \ 49$
$p : q^2 =$	$149 \ 27$	$149 \ 30$
$r^2 =$	$127 \ 24$	$127 \ 50$

Fig. 65. — Das Oktaeder tritt in Form der beiden Tetraeder denen das rechte vorherrscht.

Leicht spaltbar nach  $a$ .

Ebene der optischen Axen  $= ab$ ; Mittellinie  $= b$ , positiv. Dispersion der Axen ist viel stärker als bei den ähnlichen Salzen;  $\rho$  Winkel in Luft bei  $46^{\circ}$

$$\begin{aligned} 2E &= 71^{\circ} 20' \text{ Roth} \\ &= 79 \ 40 \text{ Gelb} \\ &= 400 \ 56 \text{ Blau.} \end{aligned}$$

Volumgewicht  $= 4,145$ .

Die Auflösung dreht doppelt so stark als die des vorigen.

Dieses Salz bildet sich in der Auflösung des vorigen, und es tritt weinsaures Natron mit ihm zugleich.

#### Weinsaures Lithion. (Von Rechtsweinsäure.)

Zweifach.  $2\text{HLiC}^4\text{H}^4\text{O}^6 + 3\text{aq.}$

Zweigliedrig.  $a : b : c = 0,5407 : 4 : 0,432$  Schabus.

$p, {}^2p, q, q^2, b, c$ .

	Berechnet	Beobachtet
$p : p =$		$*123^{\circ} 42'$
$b =$	$118^{\circ} 24'$	$118. \ 42$
${}^2p : {}^2p =$	$85 \ 32$	
$b =$	$137 \ 44$	$137 \ 8$
$q : q =$	$133 \ 46$	
$b =$		$*113 \ 22$
$q^2 : q^2 =$	$98 \ 20$	
$b =$	$130 \ 50$	$134 \ 0$

Sehr kleine Krystalle. Spaltbar nach  $c$ .

Drehungsvermögen :

	$[\rho]_D$	$[M]_D$
Normal	$35,84$	$58,06$
Zweifach	$27,43$	$42,79$ Landolt.

#### Weinsaures Ammoniak-Lithion. ( $\text{Am}^2\text{C}^4\text{H}^4\text{O}^6 + \text{Li}^2\text{C}^4\text{H}^4\text{O}^6$ )

Zweigliedrig.  $a : b : c = 0,53657 : 4 : 0,4348$  Scacch

$o, p, {}^2p, r, b, c$ .

	Berechnet
$o \left\{ \begin{array}{l} 2A = 142^{\circ} 40' \\ 2B = 106 \ 44 \\ 2C = 85 \ 44 \end{array} \right.$	

Berechnet	Beobachtet			
	Scacchi		Zepharov. Rammelsb.	
	a.	b.		
$\alpha = 123^\circ 34'$			$122^\circ 34'$	$123^\circ 30'$
$\beta = 118 \ 43$			$118 \ 43$	
$\rho = 85 \ 54$				
$\delta = 137 \ 3$			$137 \ 36$	
$r = 101 \ 54$				
$\sigma =$	$*140^\circ 58'$	$140^\circ 46'$	$140 \ 56$	
$\delta = 108 \ 40$			$109 \ 2$	
$\sigma =$	$*137 \ 23$	$137 \ 9$	$137 \ 19$	
$\sigma = 132 \ 37$			$132 \ 46$	$132 \ 40$

Scacchi herrscht das eine oder andere Tetraeder  $\sigma$ , je nach der Säure. Nach Zepharovich findet sich an dem Salz aus gewöhnlichen W. das linke  $\sigma$ , das rechte nur zuweilen und untergeordnet. nur das rechte  $\sigma$  an beiden Enden der Krystalle.

Bar nach  $b$  (Scacchi), nach  $c$  (Zepharovich).

Scacchi: Sulle combin. della Litina con gli acidi tartarici. Atti R. di III. (1867). — Zepharovich: Wien Ak. Ber. 44, 520.

isches. — Wyrouboff: Ann. Ch. Phys. (4) 40, 455.

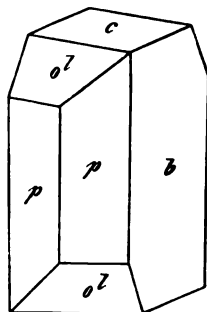
enthält, wie auch Scacchi angiebt, 2 Mol. Wasser. Ich fand  $\text{Li}_2\text{O}$  und 43,5 Am $^2\text{O}$  (berechnet = 7,96 und 43,64 pCt.).

**Weinsaures Kali-Lithion.**  $(\text{K}^2\text{C}^1\text{H}^1\text{O}^6 + \text{Li}^2\text{C}^1\text{H}^1\text{O}^6) + 2 \text{ aq.}$

gliedrig.  $a : b : c = 0,5477 : 1 : 0,4430$  Zepharovich.

$2p, r, b, c.$	Berechnet	Beobachtet
$\sigma \begin{cases} 2A = 141^\circ 58' \\ 2B = 107 \ 2 \\ 2C = 85 \ 22 \end{cases}$		
$p : p =$		$*122^\circ 34'$
$p : b = 118 \ 43$		$118 \ 43$
$2p : 2p = 84 \ 48$		
$b = 137 \ 36$		$137 \ 36$
$p = 161 \ 7$		$161 \ 11$
$r : r = 102 \ 4$		
$c = 141 \ 2$		$140 \ 56$
$\sigma : b = 109 \ 4$		$109 \ 2$
$c =$		$*137 \ 19$
$p = 132 \ 44$		$132 \ 46$

Fig. 66.



Rhombenoktaeder  $\sigma$  tritt in der Regel nur als linkes Tetraeder auf; erscheint entweder untergeordnet oder gar nicht. — Fig. 66—69.

Bar nach  $c$ . — Zepharovich: Wien. Ak. Ber. 44, 520.

Isomorphie beider Lithionsalze lässt auf gleichen Wassergehalt schließen, der nach Scacchi 2 Mol. beträgt.

Optisches Verhalten. — Lang: Wien. Ak. Ber. 45, 416. — Wyruboff: S. d. vorige.

Fig. 67.

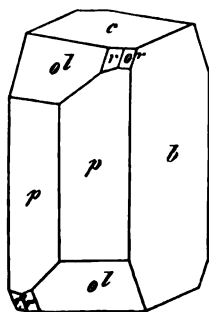


Fig. 68.

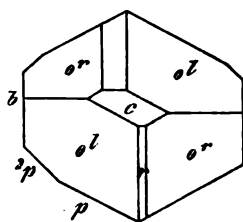
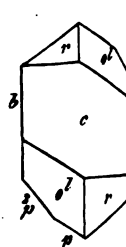


Fig. 69.



### Weinsaurer Baryt.

Vierfach.  $\left\{ \begin{array}{l} \text{Ba C}^4 \text{H}^4 \text{O}^6 \\ 3 \text{H}^2 \text{C}^4 \text{H}^4 \text{O}^6 \end{array} \right\}$  (Scacchi).

Zweigliedrig.  $a : b : c = 0,9376 : 1 : 0,812$  Scacchi.

$m = a : 2b : c$ . —  $p, p^2, q, \frac{q}{2}, b, c$ .

	Berechnet	Beobachtet
$m \left\{ \begin{array}{l} 2A = \\ 2B = \\ 2C = \end{array} \right.$	$\begin{array}{l} 145^\circ 52' \\ 102 \quad 30 \\ 87 \quad 22 \end{array}$	
$p : p =$	93 42	
$p^2 : p^2 =$	129 42	
$b =$		$*115^\circ 7'$
$q : q =$	104 50	
$\frac{q}{2} : \frac{q}{2} =$	135 48	
$m : c =$		$*136 \quad 46$

Atti d. R. Accad. Napoli 1863.

### Weinsaurer Strontian.

1) Einfach.  $\text{SrC}^4 \text{H}^4 \text{O}^6 + 3 \text{aq.}$

Zwei- und eingliedrig.  $a : b : c = 0,7428 : 1 : 0,6393$  Mari  $\text{S}^{\text{na}}$   
 $o = 78^\circ 0'$ .

$a, o', p, q, r, r', a, b, c$ .

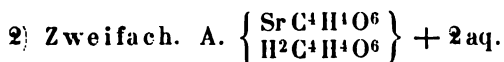
	Berechnet	Beobachtet Marignac
$o : o =$	$133^\circ 18'$	
$o' : o' =$	124 0	
$o : o' =$	108 4	
$o : o' =$	93 35	
$p : p =$	108 0	
$a =$	144 0	$143^\circ 45'$

Berechnet	Beobachtet	
	Marignac	Scacchi
$p : c = 99^{\circ} 44'$	$99^{\circ} 40'$	
$q : q = 115 \ 58$		
$a : c =$	$\sim 102 \ 0$	
$r = 137 \ 22$	$137 \ 36$	$137^{\circ} 23'$
$r' =$	$\sim 123 \ 43$	$123 \ 21$
$p : r = 126 \ 38$	$126 \ 30$	
$r' = 116 \ 41$	$116 \ 50$	
$o : a = 132 \ 38$	$132 \ 29$	
$b = 113 \ 21$	$113 \ 28$	$113 \ 48$
$c = 138 \ 21$		
$o' : a = 119 \ 21$	$119 \ 10$	
$b =$	$\sim 118 \ 0$	
$c = 128 \ 4$	$128 \ 11$	

ie rechtwinklig vierseitige Tafeln  $a$ , an denen die  $p$  nur rechts, nur links vorkommen. Zuweilen auch  $q$  (sowie  $q^2$  und  $\frac{q}{2}$ ), wie  $t$ , auch nur an einer Seite. Gewöhnlich nur  $a$ ,  $b$ ,  $r'$ ,  $o'$ . Ma-

$r'$  und  $q$  pflegen nur rechts vorzukommen; wenn links, so sind lein. Niemals  $o$  links;  $p$  bald rechts, bald links, seltener beide. alle sind mit  $r'$  oder  $b$  links aufgewachsen. Spaltbar nach  $a$ .

Scacchi ändert sich der Habitus mit der Natur des Lösungs- und der Art des Krystallisirens. Das an sich schwer lösliche Salz genwart freier Weinsäure viel löslicher, so dass bei je 1 Th. von ir 70 Th. Wasser von  $20^{\circ}$  erforderlich sind. Von einer gesättigten isung braucht es 83 Th. — Marignac: Ann. Min. (5) 15. — : S. Barytsalz.



liedrig.  $a : b : c = 1,0404 : 1 : 1,1373$  Scacchi.

$A = 79^{\circ} 51'$	$\alpha = 89^{\circ} 48'$
$B = 111 \ 14$	$\beta = 108 \ 46$
$C = 62 \ 44$	$\gamma = 64 \ 33$

$q'$ ,  $r$ ,  $r'$ ,  $a$ ,  $b$ ,  $c$ .

Berechnet	Beobachtet
$a : b =$	$\sim 62^{\circ} 44'$
$p : a = 125^{\circ} 47'$	
$b = 116 \ 57$	
$b : c =$	$\sim 79 \ 51$
$q : b = 135 \ 55$	
$c = 141 \ 53$	
$q' : b =$	$\sim 144 \ 17$
$c = 115 \ 34$	

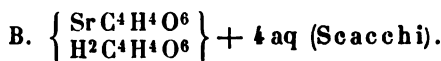
Berechnet	Beobachtet
$a : c =$	$*111^{\circ} 44'$
$c : r = 111^{\circ} 53'$	
$r' =$	$*116 \ 17$
$b : r = 113 \ 42$	
$r' = 107 \ 28$	

Ausserdem untergeordnet noch andere  $r$  und einzelne Oktaidflächen. Nur von  $b$  und  $c$  finden sich die Parallelen, von  $a$  und  $r'$  fehlen sie oft, den übrigen immer.

Unvollkommen spaltbar nach  $c$ .

Die (mit  $c$  aufgewachsenen) Krystalle bilden sich in stark saurer Lösung bei T. über  $22^{\circ}$ . — Scacchi: S. o.

Optisches. Wyruboff: S. o.



Dimorph. (?)

a. Eingliedrig.  $a : b : c = 0,8864 : 1 : 0,8735$  Scacchi.

$A = 97^{\circ} 29'$	$\alpha = 102^{\circ} 48'$
$B = 110 \ 46$	$\beta = 113 \ 7$
$C = 78 \ 43$	$\gamma = 74 \ 20$

$o'''$ ,  $p$ ,  $p'$ ,  ${}^2p'$ ,  $q$ ,  $q'$ ,  $\frac{q'}{2}$ ,  $r$ ,  $a$ ,  $b$ ,  $c$ .

Berechnet	Beobachtet
$a : b =$	$*78^{\circ} 43'$
$b : p = 114^{\circ} 3'$	
$p' = 135 \ 4$	
${}^2p' = 120 \ 24$	
$c : p = 109 \ 30$	
$p' = 79 \ 28$	
${}^2p' = 113 \ 44$	
$b : c =$	$\sim 97 \ 29$
$q = 134 \ 58$	
$q' = 122 \ 42$	
$\frac{q'}{2} = 104 \ 0$	
$a : c =$	$*110 \ 46$
$r' : b = 106 \ 59$	
$c = 127 \ 43$	
$o''' : a = 113 \ 47$	
$b =$	$*111 \ 46$
$c =$	$*118 \ 44$

Gewöhnlich  $a$ ,  $b$ ,  $c$ ,  ${}^2p'$ ,  $q'$ . Auch noch andere Oktaidflächen.

Spaltbar vollkommen nach  $b$ .

Nur von  $a$ ,  $b$ ,  $c$ ,  $q'$  sind die Parallelen vorhanden, und diese 'anderem Ansehen. Scacchi beschreibt die Polyedrie und die Gruppierung der Krystalle.



1 längerer Zeit werden sie ohne Gewichtsverlust trübe. Bei 40° sie 8,7 pCt. Wasser. Sie bilden sich nur in Lösungen mit viel Weinsäure.

2 e Bifartrate zersetzen sich in Wasser unter Abscheidung normalen Scacchi nahm 5 aq an; seine Strontiumbestimmung entspricht je-

3 wei- und eingliedrig.  $a : b : c = 0,752 : 1 : 0,7066$  Scacchi.  
 $\phi = 67^\circ 23'$ .

$3, q, \frac{q}{2}, a, b, c.$	Berechnet	Beobachtet
$p : p =$	$110^\circ 28'$	
$b =$		$*124^\circ 46'$
$p^3 : p^3 =$	$153 \ 56$	
$q : q =$	$113 \ 46$	
$b =$		$*123 \ 7$
$\frac{q}{2} : \frac{q}{2} =$	$155 \ 28$	
$a : c =$		$*112 \ 37$

Flächen der Horizontalzone und der Diagonalzone von  $c$  sind links er und grösser als rechts;  $b$  links ist sehr klein.

kommen spaltbar nach  $b$ .

leicht enthält das Salz nur 3 Mol. Wasser (Rammelsberg).

3) Vierfach.  $\left\{ \begin{array}{l} \text{SrC}^4\text{H}^4\text{O}^6 \\ 3\text{H}^2\text{C}^4\text{H}^4\text{O}^6 \end{array} \right\}$  (Scacchi).

igliedrig.  $a : b : c = 0,95 : 1 : 0,8766$  Scacchi.

$1, r, \frac{r}{2}, a, c.$	Berechnet	Beobachtet
$p : p =$	$92^\circ 56'$	
$a =$		$*136^\circ 28'$
$^2p : ^2p =$	$55 \ 32$	
$r : r =$	$94 \ 36$	
$\frac{r}{2} : \frac{r}{2} =$	$130 \ 28$	
$c =$		$*155 \ 43$
$p : r =$	$119 \ 27$	
$\frac{r}{2} =$	$107 \ 44$	

• vollkommen spaltbar nach  $a$ .

rer Ammoniak-Strontian.  $(\text{Am}^2\text{C}^4\text{H}^4\text{O}^6 + \text{SrC}^4\text{H}^4\text{O}^6) + 12\text{aq.}$

igliedrig.  $a : b : c = 0,6993 : 1 : 0,6830$  Marignac.

$^2p, q, q^2, b.$	Berechnet	Beobachtet
$\left\{ \begin{array}{l} 2A = \\ 2B = \\ 2C = \end{array} \right.$	$\left\{ \begin{array}{l} 127^\circ 56' \\ 102 \ 14 \\ 100 \ 0 \end{array} \right.$	$100^\circ \ 0'$

	Berechnet	Beobachtet
$p : p =$	$110^{\circ} 4'$	
$b =$	$124 \ 58$	$123^{\circ} - 125^{\circ}$
${}^2p : {}^2p =$	$70 \ 8$	
$b =$	$144 \ 26$	$143 - 146$
$q : q =$	$111 \ 20$	
$b =$		$*124 \ 20'$
$q^2 : q^2 =$	$72 \ 24$	
$b =$	$143 \ 48$	$144$ ungef.
$q : p =$	$108 \ 52$	$108 \ 57$
${}^2p =$	$117 \ 19$	$117 \ 25$
$o : b =$	$146 \ 2$	$145 \ 30$
$p =$		$*140 \ 0$
${}^2p =$	$136 \ 14$	$136 \ 18$
$q =$	$144 \ 7$	$144 \ 8$

Dünne rechtwinklig vierseitige Tafeln nach  $b$ . Die Oktaederfl. als Tetraeder. Die Horizontalzone gestreift.

Man könnte sie für viergliedrig halten, wogegen aber die opti Eigenschaften sprechen. — Marignac: Ann. Min. (5) 15.

#### Weinsaurer Kalk.

1) Einfach.  $\text{CaC}^4\text{H}^4\text{O}^6 + 4\text{aq}$ .

Zweigligdrig.  $a : b : c = 0,845 : 1 : 0,875$  Rammelsberg.

$p, q, r$ .	Berechnet	Beobachtet		
		Rammelsb.	Pasteur	Walchner
$p : p =$	$99^{\circ} 36'$			$100^{\circ} 0'$
$q : q =$		$*97^{\circ} 38'$	$97^{\circ} 30'$	
$r : r =$		$*88 \ 0$		
$p : q =$	$115 \ 9$	$115 \ 37$		
$r =$	$123 \ 20$	$123 \ 30$		
$q : r =$	$121 \ 31$	$121 \ 18$	$122 \ 15$	

Dodekaide, an welchen bald das eine, bald das andere Paar überwi

2) Zweifach.  $\left\{ \begin{array}{l} \text{CaC}^4\text{H}^4\text{O}^6 \\ \text{H}^2\text{C}^4\text{H}^4\text{O}^6 \end{array} \right\}$ .

Zweigligdrig.

Prismen  $p$ , durch ein Oktaeder begrenzt, an welchem  $2A = 112^{\circ} 50'$ ,  $2B = 82^{\circ} 50'$ . Ausserdem  $r$ . Neumann. — Neumann: Schwgg 64, 206. — Walchner: Eb. 44, 133. — Pasteur: Ann. Ch. Phys. 24, 449.

Die Krystalle des weinsauren Kalks sind hemiedrisch. In Chlorwasserstoffsäure gelöst, zeigen sie die entgegengesetzte Drehung von derjeni ihrer Säure. Pasteur.

**Weinsaures Magnesia-Natron.**  $(\text{Na}^2\text{C}^4\text{H}^4\text{O}^6 + \text{MgC}^4\text{H}^4\text{O}^6) + 10\text{aq}$   
Zwei- und eingliedrig. Prismen von etwa  $129^{\circ}$ , auf deren sch

ine schiefe Endfläche unter  $103^\circ$  aufgesetzt ist; ein vorderes und Augitpaar. — Neumann: Schwgg. J. 64, 210.

### Weinsaures Manganoxydul-Kali.

Zusammensetzung nicht bekannt.

igliedrig.  $a : b : c = 0,7283 : 1 : 0,7484$  Schabus.

,  $^2p$ ,  $q$ ,  $r$ ,  $a$ ,  $b$ ,  $c$ .

	Berechnet	Beobachtet
$\left. \begin{array}{l} 2A = \\ 2B = \\ 2C = \end{array} \right\}$	$\left. \begin{array}{l} 124^\circ 54' \\ 101 \quad 8 \\ 103 \quad 36 \end{array} \right\}$	
$p : p =$	107 52	
$b =$		$*126^\circ 4'$
$^2p : ^2p =$	49 12	
$b =$	155 24	155 30
$q : q =$	106 24	106
$r : r =$		$*88 \quad 28$
$c =$	134 44	134 20

artig nach  $b$ . Die  $o$  und  $q$  sind selten; von  $o$  wurde nur eine beobachtet. — Sehr klein und nicht genau messbar.

### Weinsaures Antimonoxyd.

Vierfach.  $\left\{ \begin{array}{l} \text{Sb}^2\text{O}^2 \cdot \text{C}^4\text{H}^4\text{O}^6 \\ 3 \text{H}^2 \cdot \text{C}^4\text{H}^4\text{O}^6 \end{array} \right\} + 5 \text{aq.}$

igliedrig.  $a : b : c = 0,4296 : 1 : 0,4663$  De la Provostaye.

$p$ ,  $q$ ,  $b$ .

	Berechnet	Beobachtet
$p : p =$		$*133^\circ 30'$
$\frac{5}{2}p : \frac{5}{2}p =$	$85^\circ 54'$	
$b =$	137 3	137 0
$q : q =$	130 0	
$b =$		$*145 \quad 0$

h ein drittes Paar mit einem Winkel von etwa  $76^\circ$ , vielleicht  $r\frac{5}{4}$  kommt vor. Prismatisch nach  $p$ . — Ann. Ch. Phys. (3) 20, 302.

### Weinsaures Antimonoxyd-Ammoniak.

$(\text{Am}^2\text{C}^4\text{H}^4\text{O}^6 + \text{Sb}^2\text{O}^2 \cdot \text{C}^4\text{H}^4\text{O}^6) + 2 \text{aq.}$

igliedrig.  $a : b : c = 0,8923 : 1 : 1,08$  De la Provostaye.

$p$ ,  $q$ ,  $c$ .

	Berechnet	Beobachtet
	De la Provost.	Kobell
$\left. \begin{array}{l} 2A = \\ 2B = \\ 2C = \end{array} \right\}$	$\left. \begin{array}{l} *140^\circ 58' \\ *101 \quad 8 \\ 116^\circ 42' \end{array} \right\}$	
$\left. \begin{array}{l} 2A = \\ 2B = \\ 2C = \end{array} \right\}$	$\left. \begin{array}{l} 100 \quad 56 \\ 89 \quad 4 \\ 145 \quad 44 \end{array} \right\}$	
$p : p =$	96 30	
$o : c =$	124 39	$122^\circ 0'$

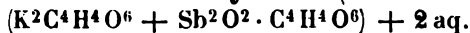
	Berechnet	Beobachtet	
		Dela Provost.	Kobell
$o : p =$	$148^{\circ} 24'$		
$o^2 : c =$	$107 \quad 8$		
$p =$	$162 \quad 52$		
$o =$	$165 \quad 29$	$165^{\circ} 27'$	$166,5^{\circ} - 167$

Spaltbar nach  $c$ . — v. Kobell: J. f. pr. Ch. 28, 483. — Devostaye: Ann. Ch. Phys. (3) 3, 145.

An dem rechtsweinsauren Salz tritt  $o$  als linkes Tetraeder auf, während das rechte sehr untergeordnet ist.

Ebene der optischen Axen  $ab$ , Mittellinie  $a$  negativ; Dispersions-Axen sehr stark,  $q > v$ ;  $2H = 76^{\circ} 28'$ , also  $2E = 130^{\circ} 46'$ . — T. Pogg. A. Ergbd. 6, 554.

#### Weinsaures Antimonoxyd-Kali (Brechweinstein).



Zweigliedrig.  $a : b : c = 0,9556 : 1 : 1,4054$  Brooke.

	Berechnet	Beobachtet	
		Brooke	Rammelsberg
$o, o^2, p, c.$			
$o \left\{ \begin{array}{l} 2A = \\ 2B = 104^{\circ} 22' \\ 2C = 116 \quad 0 \end{array} \right.$		$+108^{\circ} 16'$ $104 \quad 15$	$116^{\circ} 50'$
$o^2 \left\{ \begin{array}{l} 2A = 97 \quad 22 \\ 2B = 92 \quad 46 \\ 2C = 145 \quad 18 \end{array} \right.$			
$p : p =$	$92 \quad 36$		
$o : c =$		$*122 \quad 0$	$121 \quad 36$
$p =$	$148 \quad 0$		$148 \quad 18$
$o^2 : c =$	$107 \quad 24$		
$p =$	$162 \quad 39$		
$o =$	$165 \quad 24$	$166 \quad 40$	

$o$  erscheint als linkes Tetraeder (am rechtsweinsauren Salz) in geordneten Flächen des rechten. Fig. 71. Am linksweinsau

Fig. 70.

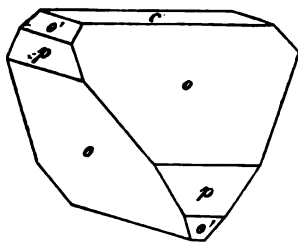
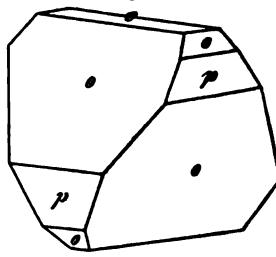


Fig. 71.



herrscht das rechte Tetraeder (Pasteur). Fig. 70. Am Tetraeder Neigung der Flächen an  $a = 75^{\circ} 38'$ ,  $b = 71^{\circ} 44'$ ,  $c = 64^{\circ} 0'$ .

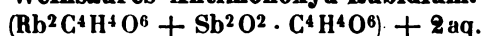
Gewöhnlich ist es nach einer Zone  $c, o, p$  prismatisch. Spaltbar nach  $c$ . — **Brooke**: Ann. Phil. 22, 40. — **Des Cloizeaux**: Nouv. Réch. 56. — (Früher **Bernhardi**: Trommsd. J. 7 und **Soret**: Taschenb. f. Min. 1823.)

**Ebene** der optischen Axen  $ab$ , Mittellinie  $a$ , starke Doppelbrechung, **Dispersion** der Axen sehr merklich;  $2E = 85^\circ 20'$  Roth,  $83^\circ 40'$  Blau. **Vielleicht** ist der Winkel schwankend, da **Lang**  $75^\circ 30'$  fand. Des Cloizeaux.

**Topstue** fand  $2E = 72^\circ 50'$  und vermuthet, Des Cloizeaux habe **Krystalle** untersucht, welche Kali und Ammoniak enthielten. Er bestimmte die **Brechungsexponenten** näher. — A. a. O. 555.

**Volumgewicht**. 2,607 Schiff, 2,588 Buignet. Nach **Pasteur** das rechtsweinsaure Salz = 2,5569, das linksweinsaure = 2,4768.

#### Weinsaures Antimonoxyd-Rubidium.



**Zweigliedrig**.  $a : b : c = 0,459 : 1 : 1,3655$  Des Cloizeaux.

$o, q, \frac{q}{2}, r, a, c.$

	Berechnet	Beobachtet
$o \left\{ \begin{array}{l} 2A = 103^\circ 44' \\ 2B = 99 \ 52 \\ 2C = 126 \ 44 \end{array} \right.$		
$q : q = 72 \ 26$		
$c = 126 \ 43$		$125^\circ 45'$
$\frac{q}{2} : \frac{q}{2} = 111 \ 22$		
$c =$		$*145 \ 41$
$r : r = 70 \ 40$		
$c =$		$*125 \ 5$
$o : c = 116 \ 53$		$117 \ 5$

Dünne Blättchen nach  $c$ , an deren Flächen keine Hemiedrie zu bemerken ist.

Auch die optischen Eigenschaften sind verschieden von denen des Brechweinsteins.

**Ebene** der optischen Axen =  $bc$ , Mittellinie =  $c$ .  $2H_a = 89^\circ 50'$  Roth,  $89^\circ 32'$  Blau. Des Cloizeaux: Nouv. Réch.

Die Axen  $a$  beider sind fast gleich, die  $c$  verhalten sich =  $4 : 4,23$  oder fast =  $4 : 5$ .

#### Weinsaures Antimonoxyd-Thallium. $(\text{Tl}^2\text{C}^4\text{H}^4\text{O}^6 + \text{Sb}^2\text{O}^2\text{C}^4\text{H}^4\text{O}^6) + 2\text{aq.}$

**Zweigliedrig**.  $a : b : c = 0,9988 : 1 : 1,0035$  Des Cloizeaux.

$o, o^2, p.$

	Berechnet	Beobachtet
$o \left\{ \begin{array}{l} 2A = \\ 2B = \\ 2C = 109^\circ 42' \end{array} \right.$		$*109^\circ 24'$ $*109 \ 49$ $109 \ 44$
$o^2 \left\{ \begin{array}{l} 2A = 96 \ 23 \\ 2B = 96 \ 46 \\ 2C = 144 \ 12 \end{array} \right.$		

	Berechnet	Beobachtet
$p : p =$	$90^{\circ} 3',5$	$90^{\circ} 2',5$
$o^2 =$	160 36	160 0
$o =$	144 54	144 50
$o : o^2 =$	164 15	164 16

Rhombenoktaeder  $o$ , an denen  $p$  Abstumpfungen, und  $o^2$  Zuschärfungen der Seitenkanten bilden.

An den Oktaedern ist keine Hemiedrie sichtbar.

Bei  $15-20^{\circ}$  fallen beide optische Axen für alle Farben zusammen, bei  $70^{\circ}$  bilden sie einen Winkel von  $20-25^{\circ}$ , und zwar in der Axenebene  $bc$ . Die Mittellinie  $= c$  ist negativ.

Isomorph mit dem Brechweinstein.

Volumgewicht  $= 3,99$ .

4 Th. löst sich in 40 Th. Wasser von  $22^{\circ}$  und in 4,4 Th. kochenden Wassers. — S. Thalliumsulfat.

**Weinsaures Antimonoxyd-Silber.**  $(Ag^2C^4H^4O^6 + Sb^2O^2 \cdot C^4H^4O^6) + 2aq.$

Zweiglig.  $a : b : c = 0,724 : 1 : 0,442$  Melville.

$o, p, b$ .

	Berechnet	Beobachtet
$o \begin{cases} 2A = \\ 2B = \\ 2C = \end{cases}$	$\begin{cases} 140^{\circ} 38' \\ 124 \quad 48 \\ \end{cases}$	$\begin{cases} \\ \\ *70^{\circ} 18' \end{cases}$
$p : p =$	108 24	
$b =$	125 48	125 44
$o : p =$	125 9	125 6
$b =$		*109 44

$o$  erscheint als linkes Tetraeder, dessen Winkel an  $a = 55^{\circ} 42'$ , an  $b = 39^{\circ} 22'$ , an  $c = 109^{\circ} 42'$  sind.

Die Formel rührt von Cooke her. — Proceed. Am. Acad. Vol. 47.

Verglichen mit dem Kali-Brechweinstein, sind die Axen  $a = 3 : 4$ , die  $c = 1 : 2,7$  ( $1 : 3$ ).

**Weinsaures Antimonoxyd-Natron.**  $(Na^2C^4H^4O^6 + Sb^2O^2 \cdot C^4H^4O^6) + aq.$

Zweiglig.  $a : b : c = 0,9217 : 1 : 0,9954$  De la Provost.

$p, r, r^2, a, b, c$ .

	Berechnet	Beobachtet
$p : p =$		*94^{\circ} 40'
$r : r =$	85^{\circ} 36'	
$a =$		*137 42
$r^2 : r^2 =$	49 42	
$p : r =$	124 0	
$r^2 =$	134 54	

Prismatisch nach  $a$  und  $c$ . — De la Provostaye: Ann. Chim. Phys. (3) 3, 148.

**Weinsaures Antimonoxyd-Strontian.**

$SrC^4H^4O^6 + Sb^2O^2 \cdot C^4H^4O^6$ .

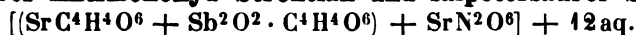
Sechsgliedrig.  $a : c = 1 : 0,8273$  Marignac.

<sup>2</sup> , p.	Berechnet	Beobachtet
$d \left\{ \begin{array}{l} 2A = 138^\circ 26' \\ 2C = 90 \quad 24 \end{array} \right.$		$138^\circ 28'$
$d^2 \left\{ \begin{array}{l} 2A = 126 \quad 48 \\ 2C = 127 \quad 10 \end{array} \right.$		$126-128^\circ$
$p : d =$		$*135 \quad 12'$
$d^2 = 153 \quad 35$		$154 \quad 0$
$c : d = 134 \quad 48$		
$d^2 = 116 \quad 25$		
$d : d^2 = 161 \quad 37$		

t sehr kleine Krystalle, theils nur  $p$  und  $c$ , theils  $p$ ,  $d$ , oder  $p$ ,  $d^2$ .  
gnac: Ann. Min. (5) 15.

isches. Das schwarze Kreuz ist sehr getheilt, wie beim Beryll.  
27;  $c = 1,5874$  für Roth. Des Cloizeaux.

#### rer Antimonoxyd-Strontian und salpetersaurer Strontian.



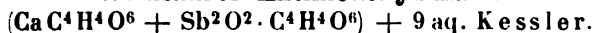
gliedrig.  $a : b : c = 0,3492 : 1 : 0,4204$  Rammelsberg.

b.	Berechnet	Beobachtet
$o \left\{ \begin{array}{l} 2A = \\ 2B = 131^\circ 38' \\ 2C = 65 \quad 30 \end{array} \right.$		$*138^\circ 36'$ $131 \quad 20$ $65 \quad 30$
$o : a = 114 \quad 11$		$114 \quad 36$
$b = 110 \quad 42$		$110 \quad 37$

twinklige Prismen  $a$ ,  $b$  mit Zuspitzung durch  $o$ . Oft tafelartig  
Die Oktaederflächen ungleich gross, auch fehlt wohl eine.

$a$  und  $b$  sind minder glänzend als die  $o$ .

#### Weinsaurer Antimonoxyd-Kalk.



gliedrig.  $a : c = 1 : 0,3765$  Rammelsberg.

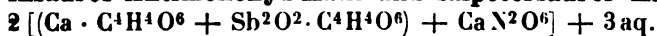
a.	Berechnet	Beobachtet
$o \left\{ \begin{array}{l} 2A = 141^\circ 10' \\ 2C = 56 \quad 4 \end{array} \right.$		$141^\circ 51'$ $56 \quad 5$
$o : a = 109 \quad 25$		$109 \quad 38$
$p =$		$*118 \quad 2$

natisch nach  $p$  und  $a$ . Oft tafelartig nach einem  $p$ , in welchem  
eiden ihm entsprechenden  $o$  vorherrschen.

$a$  sind am glänzendsten; die symmetrischen  $o$  fast ebenso; die  
einen der tafelartigen Krystalle jedoch matt.

es Salz bildet sich beim Auflösen von Brechweinstein in salpeter-  
alk. Es lässt sich nur aus letzterem umkrystallisiren und wird  
sser zersetzt. L. Kessler.

#### insaurer Antimonoxyd-Kalk und salpetersaurer Kalk.



gliedrig.  $a : b : c = 0,5306 : 1 : 1,012$  Marignac.

$o, p, q, \frac{q}{2}, r, b, c.$	Berechnet	Beobachtet
$\left. \begin{array}{l} 2A \\ 2B \\ 2C \end{array} \right\}$	$\begin{array}{l} = 129^\circ 40' \\ = 106 \quad 34 \\ = 130 \quad 18 \end{array}$	
$p : p =$		$*124^\circ 6'$
$b =$	$117 \quad 57$	$117 \quad 57$
$q : q =$	$89 \quad 20$	
$c =$	$134 \quad 40$	$134 \quad 39$
$\frac{q}{2} : \frac{q}{2} =$	$126 \quad 20$	
$c =$	$153 \quad 10$	$152 \quad 39$
$r : r =$		$*55 \quad 20$
$c =$	$117 \quad 40$	$117 \quad 45$
$p : q =$	$109 \quad 28$	$109 \quad 34$
$r =$	$144 \quad 29$	$144 \quad 30$
$q : r =$	$109 \quad 3$	$108 \quad 57$
$o : b =$	$115 \quad 10$	$115 \quad 10$
$c =$	$114 \quad 51$	$114 \quad 36$

Tafelartig nach  $c$ . Die Flächen  $\frac{q}{2}$  und  $r$ , gleichwie das Tetraeder sind selten. Zuweilen haben die Krystalle das Ansehen quadratische Prismen  $bc$ . Die Messungen sind nicht scharf.

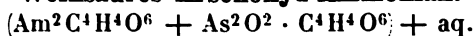
Spaltbar nach  $b$ . — Marignac: Ann. Min. (5) 15.

Ebene der optischen Axen =  $ac$ , Mittellinie =  $c$ .

$$\alpha = 1,6196 \quad \beta = 1,5855 \quad \gamma = 1,5844$$

$2V = 40^\circ 11'$ ,  $2E = 66^\circ 1'$  (für die Mitte des Gelb). Die Messung ergab  $2E = 66^\circ 4'$  Roth,  $63^\circ 25'$  Violett. Des Cloizeaux.

#### Weinsaures Arsenoxyd-Ammoniak.

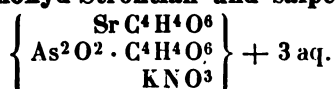


Zweigliedrig.  $a : b : c = 0,8759 : 1 : 0,6946$  Marignac.

$o, p, q^2, b, c.$	Berechnet	Beobachtet
$\left. \begin{array}{l} 2A \\ 2B \\ 2C \end{array} \right\}$	$\begin{array}{l} = 122^\circ 54' \\ = 113 \quad 52 \\ = 93 \quad 0 \end{array}$	$\begin{array}{l} 122^\circ 54' \\ 113 \quad 45 \end{array}$
$p : p =$		$*97 \quad 34$
$b =$	$131 \quad 43$	$134 \quad 40$
$q^2 : q^2 =$	$71 \quad 30$	
$p =$	$122 \quad 20$	$122 \quad 24$
$o : b =$	$118 \quad 33$	$118 \quad 32$
$c =$	$133 \quad 20$	
$p =$		$*136 \quad 30$
$q^2 =$	$142 \quad 12$	$142 \quad 7$

Ziemlich grosse prismatische Krystalle, an der Luft allmählich verwitternd. — Marignac: Ann. Min. (5) 15.



**Weinsaurer Arsenoxyd-Strontian und salpetersaures Kali.**

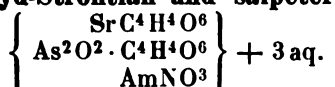
morph mit dem folgenden.

fand

$$p : b = 123^\circ 8' \quad p^2 : p^2 = 144^\circ 24'.$$

essere Krystalle, mit einem  $b$  aufgewachsen, sind tafelartig nach  $a$  und  $p$ ;  $a$  fehlt bisweilen.

Das Doppelsalz entsteht beim Auflösen von weinsauerm Arsenoxyd-salpetersauerm Strontian. Es gab bei der Analyse 14,45 SrO,  $\text{As}^2\text{O}^3$  und 6,5  $\text{KNO}^3$ . Durch Wasser scheidet sich weinsaurer Strontian aus. In salpetersauerm Strontian zersetzt es sich theilweise und lässt daraus nicht umkrystallisiren. L. Kessler.

**Weinsaurer Arsenoxyd-Strontian und salpetersaures Ammoniak.**

weigliedrig.  $a : b : c = 0,6498 : 1 : 0,6371$  Marignac.

$q, q, \frac{q}{2}, q\frac{1}{2}, a, b$ . —  $n = a : 2b : c$ .

	Berechnet	Beobachtet	
	Marignac	Rammelsberg	
$2A = 134^\circ 4'$			
$2B = 100 50$			
$2C = 98 56$			
$2A = 154 34$			
$2B = 93 52$			
$2C = 91 16$			
$p : p = 113 58$			$113^\circ 0'$
$b = 123 1$	$123^\circ 0'$		$123 30$
$p^2 = 144 0$			
$b =$	$*108 0$		$109 8$
$q : q = 115 0$	$*122 30$		$115 37$
$b =$			
$\frac{q}{2} = 144 56$			$145 0$
$b = 107 32$	$107 50$		
$q\frac{1}{2} = 87 24$			
$b = 136 18$	$134$	ungef.	
$b = 114 28$	$114$		
$p = 139 28$	$139 20$		
$q = 140 25$	$140 30$		
$b = 102 43$	$102 44$		

g. 72. — Prismatisch nach der Horizontalzone.

sehr grosse Krystalle, an denen  $a$  und  $q\frac{1}{2}$  selten

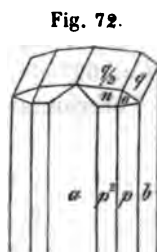


Fig. 72.

# Citronensäure.

... auf der hinteren Seite. Die  $p$  sind gestreift. Die ... abweichende Werthe.

... nach 7.

... leicht für viergliedrig gelten. allein sie sind optisch zweigliedrig: Ann. Min. (5) 15.

... optischen Axen =  $bc$ , Mittellinie =  $c$ . Starke Doppelbrechung; Dispersion der Axen merklich,  $e > r$ .  
Niveaux.

## Citronensäure und deren Salze.

Citronensäure.  $C^6H^5O^7 + aq$ .

Zweigliedrig.  $a : b : c = 0,674 : 1 : 1,6621$  Heusser.

$a, p, q, \frac{q}{2}, r, \frac{r}{2}, c$ .

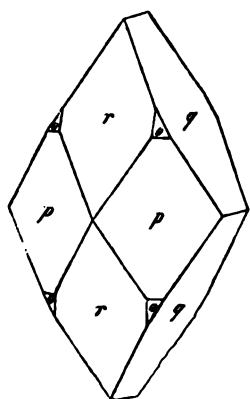


Fig. 73.

	Berechnet	Beobachtet	
		Heusser	Brooke
$\left\{ \begin{array}{l} 2A = 116^\circ 2' \\ 2B = 76 24 \\ 2C = 142 50 \end{array} \right.$			
$p : p =$		$112^\circ 2'$	$111^\circ 50'$
$q : q =$		$62 4$	$62 30$
$\frac{q}{2} : \frac{q}{2} = 100 32$			
$q = 160 46$		$160 20$	
$r : r = 44 9$			$45 15$
$\frac{r}{2} : \frac{r}{2} = 78 6$			$78 30$
$r = 163 2$		$163 10$	$163 23$
$p : q = 118 37$		$118 30$	
$r = 140 13$			
$q : r = 101 10$		$101 7$	

Fig. 73. — Spaltbar nach  $c$ , und nach  $Br$  ...  
auch nach  $\frac{r}{2}$ . — Brooke: Ann. Phil. 22, 1 19.

Heusser: Pogg. Ann. 88, 121.

Optisches. — Axenebene =  $bc$ , Mittellinie =  $b$ ;  $e > r$ .  $2H = 69^\circ 50'$ , also  $2E = 113^\circ 44'$ . v. Lang.

Brechungsexponenten für  $B, D, E$ .

$\alpha_B = 1,5054$	$\beta_B = 1,4943$	$\gamma_B = 1,4896$
also $2V_B = 66^\circ 31'$		$2E_B = 110^\circ 3'$
$\alpha_D = 1,5089$	$\beta_D = 1,4977$	$\gamma_D = 1,4932$
also $2V_D = 65^\circ 9'$		$2E_D = 107^\circ 28'$



$$\alpha_E = 1,5122 \quad \beta_E = 1,5011 \quad \gamma_E = 1,4967$$

$$\text{also } 2V_E = 64^\circ 47' \quad 2E_E = 107^\circ 4'.$$

chrauf: Wien. Ak. Ber. 44. (Pogg. A. 112, 594.)

1 Folge eingelagerter Blättchen ist der Axenwinkel veränderlich. Bei nd sich

$$2E = \begin{cases} 120^\circ 43' \text{ und } 116^\circ 32' \text{ Roth} \\ 120 \text{ } 39 \quad - \quad 116 \text{ } 2 \text{ Blau. Des Cloizeaux.} \end{cases}$$

gl. Kohlrausch: Groth Ztschr. 1, 100.

iamagnetismus. — Faraday: Pogg. A. 69, 299. — Plücker:

. 146. — Grailich: Wien. Ak. Ber. 32.

olumgewicht. 1,542 Schiff; 1,553 Buignet.

öslichkeit.

Procentgeh.	V. G.	Procentgeh.	V. G.
4	1,0150	10	1,0392
8	1,0306	20	1,0805
12	1,0470	30	1,1244
16	1,0634	40	1,1709
24	1,0979	50	1,2204
36	1,1540	60	1,2738

ff. 66,1 1,3076 Gerlach.

100 Th. 80 pCt. Alkohol lösen bei 15° 87 Th., V. G. 1,059. Schiff.

Lösungswärme. — Thomsen: Ber. d. ch. G. 1873, 710.

Neutralisationswärme. Derselbe: Pogg. A. 140, 497.

### Citronensaures Kali. $(H, K^2)C^6H^5O^7$ .

wei- und eingliedrig.

ombinationen von  $p, c, r', o', \frac{o'}{2}$  und einem vorderen Augitpaar.

3 liessen sich nur, und zwar annähernd, bestimmen:

$$\begin{aligned} p : p &= 83^\circ 58' \\ p : r' &= 125 \quad 55 \end{aligned}$$

e usser: a. a. O.

### Citronensaures Ammoniak.

$$1) (H, Am^2)C^6H^5O^7.$$

veigliedrig.  $a : b : c = 0,5746 : 1 : 1,3749$  Heusser.

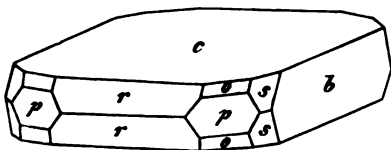
$$p, q^2, r, b, c. — s = a : \frac{1}{2}b : c.$$

$$\begin{array}{l} \text{Berechnet} \\ o \left\{ \begin{array}{l} 2A = 124^\circ 8' \\ 2B = 70 \quad 48 \\ 2C = 140 \quad 10 \end{array} \right. \\ s \left\{ \begin{array}{l} 2A = 86 \quad 38 \\ 2B = 101 \quad 22 \\ 2C = 149 \quad 20 \end{array} \right. \end{array}$$

Berechnet	Beobachtet	
	Heusser	Rammelsb.
$p : p = 120^{\circ} 44'$		
$b =$	$*119^{\circ} 53'$	$119^{\circ} 45'$
$q^2 : q^2 = 38 \ 58$		
$b = 160 \ 4$	$160 \ 15$	
$r : r =$	$*45 \ 22$	$46 \ 30$
$c = 112 \ 44$		$112 \ 45$
$o : c = 109 \ 55$		$109 \ 20$
$s : b = 136 \ 41$	$136 \ 45$	
$c = 105 \ 20$	$105 \ 36$	

Aus freie Citronensäure enthaltenden Auflösungen tafelartige Combination  $b, c$  mit  $r, p$  und den beiden Rhombenoktaedern. — Fig. 74.

Fig. 74.

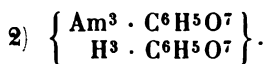


Aus neutralen Flüssigkeiten sind sie tafelartig, zeigen aber nur  $b, c, r, q^2$ . Ich fand jedoch in diesem Fall auch  $o$  und  $p$ .

Die beiden Rhombenoktaeder treten meist hemiedrisch, als rechte oder linke Tetraeder, auf, und zwar beide immer in gleicher Art. Die Auflösungen wirken nicht auf das polarisirte Licht.

Heldt's Behauptung, das Salz sei dimorph, ist nach Heusser nicht erwiesen, es wäre denn, Jener hätte eine zwei- und eingliedrige, mit dem Kalisalz übereinstimmende Form erhalten.

Volumgewicht. 1,483 Clarke.



Eingliedrig.  $a : b : c = 0,7177 : 1 : 0,3809^*)$  Heusser.

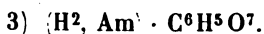
$k = a : \frac{2}{3}b : c.$  —  $p, p\frac{2}{3}, b.$

$l = a : \frac{1}{4}b : c.$

$m = a : \frac{3}{4}b : c.$

	Beobachtet
$p : b$	$= 125^{\circ} 40'$
$p\frac{2}{3} : b$	$= 105 \ 10$
$k : b$	$= 139 \ 40$
$k : p$ hint.	$= 101 \ 20$
$b : l$	$= 121 \ 30$
$k$	$= 146 \ 28$

Prismatisch nach  $b$  und den  $p.$  — Heusser: a. a. O.



Eingliedrig.  $a : b : c = 0,7144 : 1 : 1,2469$  Heusser.

$A = 73^{\circ} 34'$	$\alpha = 78^{\circ} 58'$
$B = 110 \ 5$	$\beta = 106 \ 2$
$C = 70 \ 44$	$\gamma = 75 \ 4$

\*) Bezogen auf rechtwinklige Axen.

$r', a, b, c.$	Berechnet	Beobachtet
$a : b =$		*70° 44'
$p =$		*139 21
$b : p = 111^{\circ} 23'$		
$c : p = 98 15$		
$b : c =$		*73 34
$q = 132 22$		
$c : q =$		*121 42
$a : q = 92 48$		
$c =$		*110 5
$r' : a =$		132 22
$c =$		121 42

trismatisch nach der Horizontalzone, in welcher  $a$  und  $p'$  vorherrschen.  
Heusser: a. a. O.

### Citronensaures Natron.

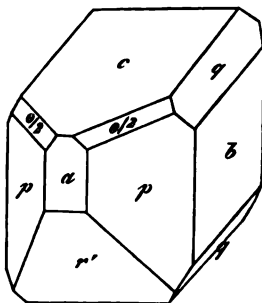


wei- und eingliedrig.  $a : b : c = 0,8674 : 1 : 0,8444$  Heusser.  
 $o = 89^{\circ} 55'.$

$$\begin{aligned} &= a : \frac{1}{2}b : c. \\ &= \frac{2}{3}a : \frac{2}{3}b : c. \\ &= 2a' : \frac{1}{2}b : \frac{1}{2}c. \end{aligned}$$

$r, \frac{r'}{4}, a, b.$	Berechnet	Beobachtet
$n : n = 135^{\circ} 32'$		*102° 30'
$v : v =$		
$s' : s' = 78 20$		
$a : \frac{5}{4}r =$		*140 32
$\frac{r'}{4} =$		*103 33
$v : \frac{5}{4}r = 128 45$		128 44
$\frac{r'}{4} = 109 56$		110 2
$a = 127 4$		126 54

Fig. 75.



vorherrschend  $\frac{r'}{4}, v$  und  $b$ . Fig. 75. — Die  
zeigt den Krystall in einer Stellung,

welcher  $v = p, \frac{5}{4}r = a, a = r', \frac{r'}{2} = c, s' = q$ , und  $n = \frac{o}{2}$  ge-  
gen, und in Folge dessen  $a : b : c = 0,8923 : 1 : 1,3647$  und  $o =$   
ist.

ziemlich gut spaltbar nach  $v$ , weniger nach  $a$ .

Dieses Salz schießt aus heissen Lösungen ( $60^{\circ}$ ) an und verliert das  
 $r$  nicht bei  $100^{\circ}$ .



sechsgliedrig.  $a : b : c = 0,6269 : 1 : 0,2465$  Heusser.

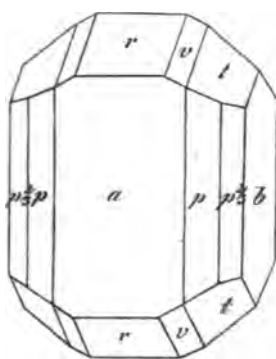
$$s = a : \frac{2}{3}b : c. \quad - \quad v = a : \frac{1}{2}b : c. \quad - \quad t = a : \frac{1}{3}b : c.$$

$$p, p\frac{2}{3}, r, a, b.$$

Berechnet		Beobachtet			
		Heusser	Schabus	Rammelsb.	Grailich
$s$	$2A = 142^\circ 2'$				
	$2B = 139 30$				
	$2C = 56 44$				
$v$	$2A = 130 42$				
	$2B = 141 8$				
	$2C = 64 28$				
$t$	$2A = 110 56$				
	$2B = 144 54$		145° 30'		
	$2C = 79 54$				
$p : p = 115 50$					115° 1
$a = 147 55$					147 1
$b =$					
$p\frac{2}{3} : p\frac{2}{3}$	$= 93 32$	*122° 5'	122 10		
	$b = 133 14$	93 54			
	$p = 168 54$		133 30	132° 45'	133
$r : r =$	$a = 111 28$	169 4			168
	$s : b = 108 59$	*137 4	138 20	137 5	137
	$v : r = 155 21$	111 22	110 52		
$t : v = 170 7$			108 44		
		155 40			
		170 23			

Fig. 76. —  $s$  wurde von Schabus beobachtet.

Fig. 76.



Die Flächen meist gestreift, die der Horizontalzone nach der Zonenaxe (Schabus).

Spaltbar nicht sehr vollkommen nach  $a$  und  $b$ .

Volumgewicht. 1,857 Clarke.

Dieses ist das bei gewöhnlicher Temperatur krystallisirende Hydrat.

Das bei 100° getrocknete Salz wäre, des Wassers fortgehen,  $3\text{Na}^3\text{C}^6\text{H}^5\text{O}^7 + 5\text{a}$  Heusser: a. a. O. — Schabus 58.

Ebene der optischen Axen =  $ac$ , Mittel =  $a$ . Doppelbrechung stark. Negativ. 2 104° Roth, 105° 35' Violett.  $\rho < v$ . Dispersion schwach. Beim Erwärmen wird der Axenwinkel kleiner. Während bei 17°  $2E = 104^\circ 7'$  Roth,  $104^\circ 44'$  Blau gefunden war, wurde für Roth gefunden bei 34°, 5 103° 36', bei 71°, 5 102° Des Cloizeaux. — Grailich und Lang: Wien. Ak. Ber. 27.

Diamagnetismus. — Dieselben. Eb. 32.

## Äpfelsäure und deren Salze.

### Äpfelsäure. $C^4H^6O^5$ .

Eine unvollständige Beschreibung ihrer Krystalle gab Nicklès. — d. trav. chim. par Laurent et Gerhardt 1849.

Das Drehungsvermögen (links) der aus Asparaginsäure durch salpetersäure dargestellten ist nach Pasteur (im Apparat von Soleil) = nach Ritthausen =  $-4^{\circ},74$ . — J. f. pr. Ch. (2) 5, 354.

Linksdrehend ist auch die in den Vogelbeeren enthaltene; Ablenkung =

3. Rechtsdrehend ist aber die aus Rechtsweinsäure durch Jodwasser-ereitete; Ablenkung =  $+3^{\circ},157$ . Bremer. — Bull. Soc. chim. (2) 25.

Verdünnte Lösungen gewöhnlicher Äpfelsäure sind linksdrehend; mit Concentration nimmt das Drehungsvermögen ab, bei 34 pCt. Säure ist 0, und bei grösserem Gehalt wird die Lösung steigend rechtsdrehend. Seltener bestimmte an Lösungen von bestimmtem Gehalt das V. G. die Grösse der Drehung. Aus diesen Versuchen folgt, dass die freie im wasserfreien Zustande rechtsdrehend sein muss. Ähnlich verhält sich das Natronsalz. — Ber. d. chem. Ges. 1880, 620. 2333.

Elektrolyse des Kalisalzes Bourgoin: Bull. Soc. chim. (2) 9, 427. Molekulargewicht. 1,559 Schröder.

### Zweifach äpfelsaures Ammoniak.

Salz der optisch wirksamen (gewöhnlichen) Säure.

(H, Am)  $C^4H^4O^5$ .

zweigliedrig.  $a : b : c = 0,723 : 1 : 0,7766$  Rammelsberg.

$p, q, \frac{q}{2}, b, c$ .

Berechnet	Beobachtet			
	Rammelsb.	Grailich	Pasteur	Nicklès
$\angle A = 124^{\circ} 16'$				
$\angle B = 99 \quad 16$				
$\angle C = 105 \quad 56$				
$\angle p =$	$*108^{\circ} 16'$	$108^{\circ} 19'$	$108^{\circ} 24'$	
		( $108 \quad 30$ )		
$b = 125 \quad 52$	$125 \quad 51$	$125 \quad 50$		$125^{\circ} 40'$
$\angle q =$	$*104 \quad 20$	$104 \quad 0$	$104 \quad 36$	
$c = 142 \quad 10$	$142 \quad 12$			
$b = 127 \quad 50$	$127 \quad 32$	$127 \quad 36$		
$\frac{q}{2} = 137 \quad 34$	$138$ ungef.		$137 \quad 35$	$138 \quad 54$
$q = 163 \quad 23$	$163 \quad 8$	$162 \quad 0$		

ist tafelartig nach  $b$ .

h beobachtete nur Combinationen  $p, b$ , am oberen Ende  $q, \frac{q}{2}, c$ , am unteren  $c$ , also hemimorph.

Das Oktaeder ist von Pasteur öfter, aber stets als Tetraeder gefunden, und zwar dann, wenn das Salz bis zur anfangenden Zersetzung erhitzt und dann aufgelöst war.

Spaltbar nach  $p$  (b Grailich).

Grailich beobachtete keine Hemiedrie.

Ebene der optischen Axen =  $bc$ , Mittellinie =  $c$ .  $\varphi < v$ . Axenwinkel in Luft =  $75^\circ 24'$ . Grailich.

Drehungsvermögen +  $7^\circ,942$  (des Salzes des links drehenden S. =  $-5^\circ,939$ ). Bremer.

B. Salz der optisch unwirksamen Säure.  $(H, Am) C^4H^4O^5 + aq$ .

Zwei- und eingliedrig.  $a : b : c = 0,5643 : 4 : 0,530$  Pasteur.  
 $\alpha = 69^\circ 4'$ .

$p, {}^3p, q$ .	Berechnet	Beobachtet
$p : p =$		$*124^\circ 39'$
${}^3p : {}^3p =$	$58^\circ 2'$	
$p =$	$446 \ 41$	$446 \ 33$
$q : q =$		$*127 \ 20$
$\frac{p}{p} : \frac{q}{q} =$		$*110 \ 56$

Prismatisch nach  $p$ . — Grailich: Kryst.-opt. Unters. 179. — Pasteur: Ann. Chim. Phys. (3) 34, 30. 38, 437. — Rammelsberg: Pogg. Ann. 90, 38.

### Zweifach äpfelsaurer Kalk.

A. Salz der optisch wirksamen Säure.  $CaC^4H^4O^5 + 4aq$ .

Zweigliedrig.  $a : b : c = 0,9448 : 4 : 4,0556$  Pasteur.

$p, p^2, q, q^2, \frac{q}{2}, b$ .

	Berechnet	Beobachtet	
		Pasteur	Rammelsberg
$p : p =$		$*93^\circ 26'$	
$b =$	$133^\circ 17'$	$133 \ 30$	
$p^2 : p^2 =$	$129 \ 34$		$129^\circ 24' \ 129^\circ 25'$ Nickles
$p =$	$161 \ 56$	$162 \ 14 \ (0)$	$161 \ 50$
$q : q =$	$86 \ 54$		
$b =$		$*136 \ 33$	
$q^2 : q^2 =$	$50 \ 42$		
$q =$	$161 \ 54$	$163 \ 30$	
		$(161 \ 33)$	
$\frac{q}{2} : \frac{q}{2} =$	$124 \ 22$		$124 \ 26 \ 124 \ 33$ Grail.
$b =$	$147 \ 49$	$148 \ 0$	

Prismatisch nach  $p$ .

Die Flächen der Horizontalzone vertical gestreift,  $b$  oft sehr schmal; die zweiten Paare oft sehr unsymmetrisch. Die Flächen des unteren (aufgewachsenen) Endes sind vielleicht noch nie beobachtet.



einer salpetersauren Auflösung erhält man nach Pasteur Kry-  
stalle Tetraederflächen.

litbar nach  $b$ .

gleich sind die Neigungen

$$p : p \text{ an } a \text{ und } q : q \text{ an } b$$

$$p^2 : p^2 - a - q^2 : q^2 - b$$

$$p : p^2 - a - q : q^2 - b$$

ne der optischen Axen =  $ac$ , Mittellinie =  $c$ . Positiv. Axenwinkel  
67° Roth, 65° 23' Violett, also in Luft = 109° 6' und 105° 15'. —  
h und Lang: Wien. Ak. Ber. 27.

B. Salz der inactiven Säure.

h Pasteur von derselben Form und Spaltbarkeit, doch ohne He-  
— Pasteur: a. a. O.

**Saures Äpfelsaures Mangan.** Zusammensetzung?

gliedrig.  $a : c = 1 : 1,3064$  Handl.

	Berechnet	Beobachtet
$\left\{ \begin{array}{l} 2A = 103^\circ 6' \\ 2C = 123 \text{ } 48 \end{array} \right.$		102° 59'
$o : c =$		*118 24

k. Ber. 32.

## Organische Verbindungen,

alphabetisch.

**Acetamid.**  $C^2H^5NO$ .

gliedrig.  $a : c = 1 : 0,58865$  Bodewig.

l.

bachtet:  $2A$  von  $r = *121^\circ 44',5$ ;  $a : r$  119° 7'.

smatisch nach  $a$ .

isch negativ. — Groth Ztschr. 5, 554.

hmelpunkt 79°.

**Acetamid, salpetersaures.**  $C^2H^5NO \cdot HNO^3$ .

gliedrig.  $a : b : c = 0,5758 : 1 : 0,6249$  Loschmidt.

$a, b, c$ .

	Berechnet	Beobachtet
$\left\{ \begin{array}{l} 2A = 134^\circ 4' \\ 2B = 94 \text{ } 44 \\ 2C = 102 \text{ } 48 \end{array} \right.$		
$p : p = 120 \text{ } 8$		
$b =$		*119° 56'
$o : b = 112 \text{ } 58$		113 20
$c =$		*128 36
$p = 144 \text{ } 24$		141 40

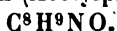
Tafelartig nach *b*.

Von *o* ist nur an einzelnen Krystallen eine einzelne Fläche vorhanden.

— Wien. Ak. Ber. 51.

Volumgewicht 1,13 Mendius; 1,159 Schröder.

### Acetanilid (Acetylphenylamin).



Zweigliedrig.  $a : b : c = 0,8488 : 1 : 2,067$  Bucking.

$o, \frac{a}{2}, a, c.$

	Berechnet	Beobachtet
$o \left\{ \begin{array}{l} 2A = 103^\circ 44' \\ 2B = 86 \quad 48 \\ 2C = 145 \quad 44 \end{array} \right.$		
$\frac{a}{2} : \frac{a}{2} =$	88    6	88° 41'
$c =$	134    3	131    4
$o : a =$		*136   41
$c =$		*107   23

Tafelartig nach *c*; spaltbar nach *c*, weniger nach *a*.

Ebene der optischen Axen *ac*, Mittellinie *c*; positiv.

	$2H_a$	$2H_o$
Roth	104° 28'	104° 24'
Gelb	101    10	104    42
Grün	100    33	105    24

Groth Ztschr. 1, 304.

Volumgewicht. 1,205—1,216 Schröder.

### Aceton. $\text{C}^3\text{H}^6\text{O}.$

Volumgewicht 0,811 (0°) Liebig; 0,8144 (0°) = 0,79945 (14°)

Kopp.

Bei 0° = 0,81858    1    Volum

Beim Siedepunkt = 0,75369    1,0861 Thorpe.

Siedepunkt 56°,3 (760 mm) Kopp; 57° Mascart; 57°,7 Pytz; 56°,5 (751 mm) Landolt; 56°,53 Thorpe.!

Ausdehnung.  $V = 1 + 0,0013481 t + 0,000002609 t^2 + 0,0000000415592 t^3$  Kopp.

Gas-Volumgewicht. 29,1 bei 95°,3 und 743 mm Wüllner. Berechnet = 29.

Spec. Vol. des Dampfes Wüllner u. Grotrian: Wiedem. Ann. 11, 576.

Specif. Wärme. 0,530 zwischen 44 und 20° Kopp. Vgl. Reis: Wiedem. Ann. 13, 447.

Wärmeleitungswiderstand = 8,51 gegen Wasser = 1. Guthrie: Proc. R. Soc. 17, 234.

Innere latente Wärme Avenarius: Pogg. Ann. 451, 303.

Brechungsexponenten: 1,3582 für *D* bei 25°.5. Gladstone.

des flüssigen bei 43°,4	des Dampfes
Roth 1,3642	1,004076 (82)
Gelb 1,3634	1,004082 (88)

Wiedem. Ann. 44, 443. — Vgl. Landolt: Pogg. Ann. 422, 556.  
Brechungsvermögen = 0,0774. Schrauf.  
Wärme- und Verbrennungswärme. Berthelot: C. r. 83, 444.

**Acetothiamid. C<sup>2</sup>H<sup>5</sup>NS.**

und eingliedrig.  $a : b = 4,4 : 1$  Bodewig.  
 $\alpha = 80^\circ 55'$ .

c.	Beobachtet
$p : p =$	$85^\circ 43'$
$c : c =$	164 50

ig nach  $b$ ; Zwillinge nach  $a$ .  
der optischen Axen parallel Axe  $b$ . — Groth Ztschr. 3, 384.  
Zp. 407°,5—408°,5.

**Acetparatoluidid (Acetoluidid). C<sup>9</sup>H<sup>11</sup>NO.**

h. A.  $\alpha$ -Modification.

und eingliedrig.  $a : b : c = 1,2465 : 1 : 0,7888$  Panebianco.  
 $\alpha = 73^\circ 53'$ .

$q^2, a, c.$	Berechnet	Beobachtet
$\alpha : \alpha =$	$120^\circ 48'$	
$p : p =$	84 6	$84^\circ 7'$
$q : q =$	105 40	
$c =$	142 51	442 53
$a : c =$		*106 7
$\alpha' =$		*106 51
$\alpha' : c =$		*129 53,5
$q^2 : q^2 =$	66 48	
$c =$	123 24	423 23

er nach  $c$ . Zwillinge nach  $c$ .  
der optischen Axen  $= ac$ : Mittellinie positiv, nahe senkrecht  
. $2H_a = 106^\circ 40'$  für Roth.  
freiwilliges Verdunsten der alkoholischen Lösung.

**B.  $\beta$ -Modification.**

iedrig.  $a : b : c = 0,6545 : 1 : 0,3288$  Panebianco.

:  $\frac{1}{2}b : c$ . —  $p, r, a, b, c$ .

	Berechnet	Beobachtet
$p : p =$	$443^\circ 50'$	
$a =$		*446° 55'
$r : r =$	426 26	
$a =$		*446 47

isch nach  $p$ . Oft trübe. — Ebene der optischen Axen  $ac$ ,  
 $= a; q < v; 2H_a = 84^\circ$  für Roth.

Aus der warmen oder übersättigten Lösung.

Gaz. chim. ital. 8, 426. (Groth, Ztschr. 4, 396.)

### Acetylchlorid. $C^2H^3OCl$ .

Ausdehnung.  $V = 1 + 0,0043454 t + 0,0000033706 t^2$  (16° bis 46°, 7) Kopp.

Volumgewicht. 4,1305 (0°) = 4,1072 (16°) Kopp.

Bei 0° = 4,13773

Volum

Beim Siedepunkt = 4,05698

4,0764 Thorpe.

Siedepunkt. 55—56° Kopp; 50°, 73 Thorpe.

Brechungsexponent. 1,3829 für Linie C; 1,3965 für G. Grailich: Kryst.-opt. Unters. 192.

Specif. Wärme. Reis: Wiedem. Ann. 13, 447.

### Aconsäure. $C^5H^4O^4$ .

Zweigliedrig.  $a : b : c = 0,5804 : 4 : 0,4794$  Groth.

$\alpha, p$ .

Berechnet

Beobachtet

$$\alpha \begin{cases} 2A = \\ 2B = 106^\circ 40' \\ 2C = 87 \quad 22 \end{cases}$$

\*139° 26'

105 26

$$p : p =$$

\*119 45

$$\alpha = 133 \quad 41$$

Ann. Ch. Ph. 171, 153.

Schmelzpunkt 164°.

### Aesculetin. $C^9H^6O^4$ .

Optisches Verhalten der rothen Flüssigkeit, welche durch Behandlung der schwefligsauren Lösung mit Baryumhydroxyd an der Luft entsteht. — Grailich: Kryst.-opt. Unters. 188.

### Aethenylisodiphenylamidin. $C^{14}H^{14}N^2$ .

Zwei- und eingliedrig.  $a : b : c = 1,1416 : 4 : 1,2216$  Bodewig.

$$\alpha = 71^\circ 29'.$$

$p, r', \alpha, c$ .

Berechnet

Beobachtet

$$p : p =$$

\*85° 28'

$$c = 102^\circ 27'$$

$$a : c =$$

\*108 31

$$r' =$$

\*128 26

$$c : r' = 123 \quad 3$$

123 1

$$r' : p = 114 \quad 57$$

114 55

Tafelartig nach c. Dunkelgelb.

Ebene der optischen Axen  $ac$ . — Groth Ztschr. 3, 381.

Schmelzpunkt 62—63°.

**Aethyl, ameisensaures.**  $C^2H^5 \cdot CHO^2$ .

Ausdehnung.  $V = 1 + 0,00136446t + 0,00000042502t^2 + 0000033084t^3$  Kopp. Vgl. Pierre.

Volumgewicht. 4,357 (0°) Delffs, 0,93565 (0°) Pierre, 0,94474 Kopp, 0,9248 Landolt, 0,9332 (8°,4) Prytz.

Siedepunkt. 53° Delffs; 54°,9 (760 mm) Kopp, 54°,3 (760 mm) Crews, 55° Prytz, 53°,7—53°,9 (747,6 mm) Schoop.

Specif. Wärme. 0,487 zwischen 54 und 42° Andrews, 0,513 zwischen 39 und 20° Kopp.

Brechungsexponent für Gelb bei 20° 1,35076 Sauber, bei 22° 52 Gladstone, 1,3598 Landolt, 1,3664 Prytz.

Mascart und Prytz bestimmten auch diese Constante für den Dampf.

Aenderung des Gas-V. G. durch T. und Druck. — Schoop: Wiedem. 42, 564.

**Aethyl, buttersaures.**  $C^2H^5 \cdot C^4H^7O^2$ .

Ausdehnung.  $V = 1 + 0,00117817t + 0,0000013093t^2 + 000000956t^3$  (42° bis 111°,4) Kopp. Vergl. Pierre.

Volumgewicht. 0,90442 (0°) Kopp.

Siedepunkt. 113° Delffs, 114°,8 (760 mm) Kopp.

Brechungsexponent 1,3808 bei 40° Gladstone.

**Aethyl, essigsaures.**  $C^2H^5 \cdot C^2H^3O^2$ .

Zusammendrückbarkeit. Colladon und Sturm: Pogg. A. 72.

Ausdehnung.  $V = 1 + 0,0012738t + 0,0000021914t^2 + 0000041797t^3$  Kopp. — Pogg. A. 72, 274.

Vgl. Frankenheim: Eb. 72, 427. — Pierre: Ann. Ch. Phys. (3) 493.

Volumgewicht. 0,9069 (0°) Pierre, 0,9054 (0°) Frankenheim, 0,9046 (0°) Kopp, 0,9055 (17°,5) Marsson, 0,903 (17°) Becker, 0,932 Gössmann, 0,8984 (15° gegen Wasser von 4°) Mendelejew, 0,9068 Linnemann, 0,9045 Landolt.

Siedepunkt. 74° (760 mm) Dumas und Boullay, Delffs 4 (766,5 mm) Pierre, 74°,3 (760 mm) Kopp, 74°,6 Andrews, 77° (760 mm) Linnemann, Schorlemmer, 77°,5 Becker, 78°—78°,5 Marsson.

Specif. Wärme des flüssigen 0,474 Andrews, 0,48344 Favre und Hermann, 0,496 zwischen 45° und 21° Kopp; für gl. G. 0,4008, für Vol. 1,2484 Regnault.

Latente Dampfwärme. 92°,68 Andrews, 105°,8 Favre und Hermann.

Verdampfungswärme 154°,49 Regnault.

Wärmeleitung. Guthrie: N. Arch. ph. nat. 35, 204.

Gas-Volumgewicht. 44,6 bei 98° Cahours. Berechnet 44. — Aenderung s. Ameisensaures Aethyl.

Optisches. Den Brechungsexponenten fand Delffs 1,3672. Landolt fand bei 20° für die drei Wasserstofflinien  $n =$

$\alpha$	$\beta$	$\gamma$
1,3705	1,3769	1,38048

Pogg. A. 122, 551.

Vgl. Lorenz: Wiedem. Ann. 11, 90.

Für den Dampf hat Letzterer den Werth von  $n$  ebenfalls bestimmt.

Vgl. Mascart: C. r. 86, 1182.

#### Aethyl, kohlensaures. $(C^2H^5)_2CO_3$ .

Ausdehnung.  $V = 1 + 0,0011711 t + 0,00000052596 t^2 + 0,000000098521 t^3$  (10°, 8 bis 106°, 4) Kopp.

Volumgewicht. 0,9998 (0°), 0,978 (20°). Kopp.

Siedepunkt. 125°, 8 bei 749,8 mm. Kopp.

Refractionsäquivalent = 0,1382. Schrauf.

Specif. Wärme. Reis: Wiedem. Ann. 13, 447.

#### Aethyl, oxalsaures. $(C^2H^5)_2C^2O_4$ .

Ausdehnung.  $V = 1 + 0,0010688 t + 0,0000008117 t^2 + 0,0000000047255 t^3$  (8°, 6 bis 152°, 6) Kopp.

Volumgewicht. 1,086 Delffs, 1,0845 bei 17°, 2 = 1,1016 bei 0° Kopp, 1,0824 bei 15° (aq von 4° = 1) Mendelejew, 1,1016 5—10°, 1,0953 bei 10—15°, 1,0898 bei 15—20° Regnault.

Siedepunkt. 184°, 8 bei 724,9 mm Kopp, 184°, 4 bei 779 mm Andrews, 186° Delffs.

Specif. Wärme bei 5—10° 0,4629, bei 10—15° 0,4521, bei 15—20° 0,4554 Regnault.

Latente Dampfwärme. — Andrews: Pogg. A. 75, 501.

Wärmeleitung. Nach Guthrie ist der Leitungswiderstand = 8,85, wenn Wasser = 1.

Brechungsexponent (für Roth) 1,3803 Delffs.

Thermochemisches. Berthelot: C. r. 86, 356.

#### Aethyl, salpetersaures. $C^2H^5 \cdot NO_3$ .

Ausdehnung.  $V = 1 + 0,001129 t + 0,0000047945 t^2$  (8°, 9 bis 71°, 6) Kopp.

Volumgewicht. 1,1322 (0°), 1,1123 (15°, 5) Kopp.

Siedepunkt. 86°, 3 bei 728,4 mm Kopp.

Gas-Volumgewicht. Bei 64°, 9 = 44,5; bei 70°, 3 = 44°, 3; bei 85°, 5 = 45,0; bei 90° = 44,7 Wanklyn und Playfair. Berechnet 45,5.

Brechungsexponenten. Sauber: Pogg. A. 117, 591.

**Aethyläther.  $C^4H^{10}O$ .**

**Zusammendrückbarkeit** für 1 Atm. bei  $0^\circ$  0,000109, bei  $44^\circ$  0,000128. — Amaury: C. r. 68, 1564. (Nach Oersted wäre sie dreimal gross wie die des Alkohols. Aeltere Versuche von Colladon und Breguet s. Alkohol.

**Formeln für die Ausdehnung.**  $V = 1 + 0,0015432 t + 0,00023592 t^2 + 0,000000040051 t^3$ . Von  $-15^\circ,4$  bis  $38^\circ,4$ . Pierre.  $1 + 0,00148026 t + 0,00000350316 t^2 + 0,000000027007 t^3$ . Von  $0^\circ$  bis  $33^\circ$ . — Kopp: Pogg. A. 72, 228.

$1 + 0,0013489059 t + 0,0000065537 t^2 + 0,000000034490756 t^3 + 0,000000033772062 t^4$ . Zwischen  $30$  und  $130^\circ$ . Hirn.

**Volumgewicht.** 0,7358 Pierre, 0,73658 Kopp; 0,726 bei  $44^\circ,4$  in Wasser von  $4^\circ$  Brix; 0,7166 Landolt. — Vgl. Regnault: Pogg. 32, 80.

**Specif. Wärme nach Hirn:**

bei $40^\circ$	0,61965067	bei $100^\circ$	0,71586594
70	0,66128878	130	0,79512984.

Regnault hatte sie gefunden

0,5157	bei $20-15^\circ$
0,5158	- $45-10$
0,5207	- $10-5$ ,

und die mittlere Dichte war

0,7185
0,7244
0,7297.

**Siedepunkt.**  $35^\circ,5$  bei 755,8 mm Pierre;  $34^\circ,9$  Kopp;  $34^\circ,94$  x;  $34^\circ,8$  bei 744 mm Landolt.

**Der kritische Punkt** oder der absolute Siedepunkt liegt nach Mendeleew bei etwa  $190^\circ$ .

**Versuche über Aenderungen des Gas-V. G.:** Ann. Ch. Ph. Suppl. 6, 54. Vgl. Cahours: C. r. 20, 51.

**Theilweise Verflüssigung des gesättigten Dampfes.** Cazin: C. r. 66, 2.

**Beziehung zwischen Druck, Volum und Temperatur beim Aetherdampf.** Pogg. A. 137, 592.

**Brechungsverhältnisse:**  $n = 1,3566$  für  $D$  bei  $15^\circ$  Gladstone. — Landolt: Pogg. A. 122, 556. — Croullebois: Ann. Ch. Phys. (4) 22, 129.

**Des Dampfes:** Mascart: C. r. 86, 1182. — Lorenz: Wiedem. Ann. 93.

**Spannkraft der Dämpfe.** — Regnault: C. r. 50, 1063 (Pogg. A. 39, 402).

**Specif. Vol. des Dampfes.** Wüllner und Grottrian: Wiedem. Ann. 568.

**Latente Wärme des Dampfes.** Brix: Pogg. A. 55, 344. — Andrews: Ebend. 75, 511.

Nichtzersetzbarkeit durch den elektrischen Strom. Connell: Pogg. A. 36, 487. — Vgl. Schönbein: Eb. 47, 580.

Magnetische Drehung der Polarisationssebene. De la Rive: Arch. ph. nat. 38, 209.

Bildungswärme. Berthelot: C. r. 82, 296.

### Aethylalkohol. $C_2H_6O$ .

Zusammendrückbarkeit. Frühere Versuche von Colladon und Sturm, bis zu 24 Atmosphären, haben sie zu 90 bis 96 Milliontel des Volums ergeben. — Pogg. A. 12, 66.

Dann fand Aimé für 4 Atm. (bei  $12^{\circ},6$ ) 0,0000996 (Alkohol von  $40^{\circ}$  B.). — Ann. Ch. Phys. (3) 8, 257 (Pogg. A. Ergbd. 2, 228).

Für Aethylalkohol von 0,858 beträgt die Zusammendrückbarkeit nach Cailletet bei

174 Atm.	0,0000676	$t$ 9°
305 -	0,0000704	9
670 -	0,0000727	14

ohne Correction für die Volumänderung des Gefäßes. — C. r. 75, 77.

Nach Amaury und Descamps ist der Coeff. für 4 Atm., abgeleitet aus Versuchen bis zu 40 Atm. 0,0000835 bei  $0^{\circ}$ ; 0,0000944 bei  $45^{\circ}$ . — C. r. 68, 4564.

Ausdehnung. Den Versuchen von Pierre folgten die von Kopp, welcher die Formel gab:

$$V = 1 + 0,00404439 t + 0,0000007836 t^2 + 0,000000047618 t^3.$$

Pierre: Ann. Ch. Phys. (3) 45, 358. — Kopp: Pogg. A. 72, 54.

Eine Formel von Rankine s. Pogg. A. Ergbd. 3, 479.

Volumgewicht. Bei den älteren Angaben dürfte bisweilen die volle Reinheit (Abwesenheit von Wasser) fraglich sein.

Baumhauer berechnet für  $45^{\circ}$

0,7940	Gay-Lussac,
0,7934	Dumas und Boullay,
0,7936	Connell,
0,8029	Pierre,
0,7938	Drinkwater, Fownes,
0,79367	Mendelejew,
0,79406	} Baumhauer,
0,79445	
0,7946	bei $46^{\circ}$ nach Winkelmann.

Kopp berechnet nach der von ihm gefundenen Ausdehnung für  $0^{\circ}$

0,8095	seine eigenen Versuche,
0,8075	Gay-Lussac,
0,8154	Pierre.

Mendelejew	$0^{\circ}$	0,80625
	45	0,79367
	20	0,78945.



Baumhauer: Pogg. A. 440, 349. — Mendelejew: Eb. 438, 403. 230.  
 - Vgl. Recknagel: Sitzb. Münch. Akad. 1866.

Siedepunkt. Bei 760 mm

78°,4 Gay Lussac, Pierre, Kopp,

78,3 Mendelejew,

78,38 Baumhauer.

Specif. Wärme.

Zw. 20 u. 5° 0,605 Regnault,

45 - 5 (?) 0,632 De la Rive und Marcet,

- 78 - 12 (?) 0,617 Andrews,

43—23 0,615 Kopp.

Regnault hatte für T. zwischen 0 und  $t^{\circ}$  die Interpolationsformel  
 $= 0,54754 + 0,0011218 t + 0,0000022069 t^2$  gegeben.

Schüller findet zwischen 40 und 16° im Mittel 0,612. — Pogg. A.  
 1866, 5, 419.

Winkelmann bestimmte die specif. Wärme

zw. 3,8 u. 5°,0 = 0,58084

16,3 - 17,3 = 0,60004

27,3 - 28,2 = 0,62307

ebend. 450, 603. — Vgl. Reis: Wiedem. Ann. 43, 447.

Wärmeleitung. Nach Guthrie ist der Leitungswiderstand = 9,08,  
 wenn Wasser = 1. Nach Winkelmann ist die Leitungsfähigkeit für  
 cm und 1 Secunde = 0,001506. — Eb. 453, 484.

Schallgeschwindigkeit. Wertheim: Eb. 77, 544.

Lichtbrechung. Landolt benutzte A. vom V. G. 0,8044 und  
 3°,7 Sied. bei 764 mm zur Bestimmung der Brechungsexponenten mittelst  
 der Wasserstoff enthaltenden Geissler'schen Röhre, wobei  $\alpha$ ,  $\beta$ ,  $\gamma$  die  
 drei Hauptstreifen des Spectrums bezeichnen, und wovon der rothe  $\alpha = C$ ,  
 der grüne  $\beta = F$ , der violette  $\gamma$  zwischen  $F$  und  $G$  Fraunh. liegt.

	$\mu_{\alpha}$	$\mu_{\beta}$	$\mu_{\gamma}$
42°	1,36380	1,36995	1,37328
46	1,36220	1,36834	1,37162
20	1,36054	1,36665	1,36997
24	1,35898	1,36505	1,36834

Pogg. A. 422, 548.

Eine ähnliche Untersuchung verdanken wir Wüllner, aus der hier  
 nur die bei 20° gefundenen Werthe angeführt seien

1,360542	1,366718	1,370398.
----------	----------	-----------

ebend. 433, 4.

Sodann hat Kundt einen A. von 0,822 bei 15° geprüft und gefunden  
 = für Linie

$\alpha$	1,3636	$E$	1,3692
$B$	1,3642	$b$	1,3696
$C$	1,3649	$F$	1,3712
$D$	1,3667	$G$	1,3750

b. 445, 72.

Croullebois bestimmte das Brechungsvermögen bei 46° für

$B = 1,3610$	$F = 1,3680$
$C = 1,3622$	$G = 1,3749$
$D = 1,3637$	$H = 1,3754$
$E = 1,3662$	

Ann. Ch. Phys. (4) 22, 439. — Vgl. Baden-Powell: Pogg. Ann. 69, 410.

Alkoholdampf. Nach Mascart ist 3,04 die Refraction, d. h. der 1000 fache Ueberschuss des Brechungsexp. über 1. — C. r. 86, 324.

Lorenz findet  $n = 1,0008729$  Gelb;  $1,0008683$  Roth. — Wiedem. Ann. 44, 96.

Die latente Dampfwärme ist nach Brix 474,4 oder vielleicht richtiger 468,6; nach Andrews 202,4.

Spannkraft des Dampfes. Plücker's Versuche mit A. von 0,792 bei 43°,75 ergeben als das Maass für die Spannkraft des Dampfes bei 400° eine Quecksilbersäule von 1694 mm Länge bei 0°. Auch auf Gemenge von Alkohol und Wasser erstreckten sich seine Versuche. — Pogg. A. 92, 205.

Aus Regnault's Tabellen führen wir einige Werthe hier an:

bei 0°	12,83 mm	bei 30°	78,49 mm	bei 80°	842,76 mm
10	24,30 -	40	133,64 -	90	4188,43 -
15	33,02 -	50	219,88 -	100	4694,92 -
20	44,48 -	60	350,26 -	120	3249,68 -
25	59,35 -	70	544,21 -	150	7258,73 -

Die Dampfspannung ist nahe 4,5 Atm. bei 90°, 3 Atm. bei 110°, 5 Atm. bei 125°, 9 Atm. bei 150°. — C. r. 50, 4063 (Pogg. A. 444, 407).

Die Beziehungen zwischen Druck, Volum und Temperatur untersuchte Herwig: Pogg. A. 137, 49. 592. 447, 484.

Verhalten des A. zum elektrischen Strom: C. r. 68, 4565.

Elektromagnetische Drehung der Polarisationsebene der strahlenden Wärme. Grunmach: Wiedem. Ann. 44, 85.

Mischungen von Alkohol und Wasser. Die grosse Wichtigkeit, die Dichte solcher Gemische zu kennen, hat seit Ende des vorigen Jahrhunderts zahlreiche Arbeiten veranlasst. Zu den frühesten und umfassendsten gehören die von Gilpin in den Transact. R. S. 1792—94 veröffentlichten und die von dem Berliner Akademiker Tralles, die in Gilb. Ann. 1821 in einigen Punkten mitgetheilt sind. Hinter ihnen stehen die von Richter, Lowitz und Meissner zurück. Auch Gay-Lussac machte seine Versuche in der Instruction pour l'alcoolométrie 1824 bekannt.

Diese Forscher bedienten sich aber nicht reinen wasserfreien Alkohols, sondern eines wasserhaltigen, z. B. Gilpin 0,825 = 89,06 pCt., Tralles 0,794 = 99,77 pCt., Gay-Lussac 0,7947 bei 45°.

Rudberg, welcher den Procentgehalt und das V. G. bei 45° untersuchte, fand das Maximum der Contraction = 3,778 pCt. bei 54,25 pCt. Alkohol, und hat die Angaben von Tralles und Gay-Lussac benutzt, und daraus berechnet, dass dieser Werth bei 4° = 3,97, bei 37°,7 nur 3,34 pCt. beträgt. — Pogg. A. 43, 496.

Kopp machte zuerst darauf aufmerksam, dass die vorhandenen Beobachtungen zu dem Schluss führen: die Gemische von Alkohol und Wasser bilden zwei Gruppen, welche sich hinsichtlich der Aenderung der Contraction durch die T. entgegengesetzt verhalten. Bei den alkoholreicheren mindert sich die Contraction mit steigender T., bei den wasserreicheren das Umgekehrte der Fall. Beispielsweise führt er auf Grund der Versuche von Tralles an, dass

90 Vol. Alkohol	40 Vol. Alkohol
10 - Wasser	90 - Wasser
bei 10,1 = 98,34 Vol.	99,37 Vol.
15,5 98,43 -	99,30 -
26,7 98,50 -	99,25 -
37,8 98,54 -	99,21 -

Es muss also eine Mischung geben, welche bei allen T. gleiche Contraction zeigt, und er findet, dass es die mit 16,5 pCt. Alkohol ist.

Jene beiden Gruppen verhalten sich zugleich entgegengesetzt bezüglich ihrer Ausdehnung durch die Wärme. Die weniger als 16,5 pCt. Alkohol enthaltenden dehnen sich beim Erwärmen weniger aus, als es nach der Menge und dem Ausdehnungscoefficienten ihrer beiden Theile sein sollte; die alkoholreicheren verhalten sich umgekehrt.

Die Mischung, bei welcher die Contraction am grössten ist, ist bei allen T. dieselbe. Es ist die von Rudberg gefundene mit 54,25 pCt. Dieses Verhältniss nähert sich 1 Mol.  $C^2H^6O$  und 2 Mol. Wasser, welches 6,4 pCt. Alkohol fordert.

Diejenige Mischung, deren V. G. die grösste Differenz gegen das aus ihren Gemengtheilen berechnete zeigt, ist gleichfalls bei allen T. dieselbe; 6,3 pCt. Alkohol in derselben entsprechen  $C^2H^6O$  : 43 aq (berechnet 6,4 pCt.).

Zwei Gemische, beide weniger als 16,5 pCt. Alkohol enthaltend, zeigen, in beliebigen Verhältnissen gemischt, Ausdehnung. Zwei solche von grösserem Gehalt zeigen in gleichem Falle Contraction.

Wird Wasser zu einer Mischung gesetzt, welche weniger als 23,87 pCt. Alkohol enthält, so erfolgt Ausdehnung. Bei grösserem Alkoholgehalt kann durch Verdünnen Contraction, bei geringerem Ausdehnung erfolgen. Bei mehr als 56,89 pCt. Alkohol erfolgt durch Verdünnen Contraction. Enthält die Mischung zwischen 23,87 und 56,89 pCt. Alkohol, so kann je nach der Menge des Wasserzusatzes Ausdehnung oder Contraction erfolgen. — Pogg. 53, 356.

Neuere Versuche über die Dichte der Mischungen rühren her von Townes: Phil. Transact. 1847. — Drinkwater: Phil. Mag. 1848. — Mac Culloch: Report, Washington 1848. — Baumhauer: Sur la densité de l'alcool. Amsterdam 1860. (C. r. 50, 594. Pogg. A. 110, 659.)

Sodann hat Mendelejew den Gegenstand historisch und kritischörtert und aus seinen Versuchen das Maximum der Contraction bei 0° bei 1,88 pCt. Alkohol hergeleitet, was  $C^2H^6O$  : 3 aq entspricht.

Mendelejew giebt folgende Tabelle:

Proc. Alkohol	0°	V. G. 10°	20°
10°	98498	98405	98193
20	97579	97275	96879
30	96508	95983	95396
40	94944	94259	93536
50	92956	92189	91398
60	90735	89942	89127
70	88410	87611	86782
80	86021	85210	84361
90	83500	82672	81807

Pogg. A. 438, 103. 234.

Baumhauer's Erwiderung auf Mendelejew's Abhandl.  
Pogg. A. 440, 349.

S. ferner Rossetti: Maximum der Dichte und Gefrierpunkt der  
schungen: Pogg. A. 440, 329.

Specif. Wärme, Mischungswärme, Ausdehnung, Siedepunkt: Du  
und Page: Phil. Mag. (4) 35, 464. Pogg. A. Ergbd. 5, 224. — Jan  
C. r. 71, 23. — Winkelmann: Pogg. A. 450, 592. — Hoh: Eb.  
334. — Schüller: Eb. Ergbd. 5, 127.

Einen vortrefflichen Aufsatz von Poggendorff über Alkoholom  
in Liebigs und Poggendorff Handwörterbuch Bd. 4 (1842).

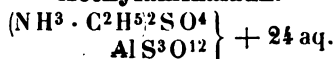
#### Aethylamin. $\text{NH}^2 \cdot \text{C}^2\text{H}^5$ .

Siedepunkt 48°. Hofmann.

Der Dampf wird durch den Funkenstrom nur langsam zersetzt. F  
und Hofmann: Ann. Ch. Ph. 413, 129.

Thermochemisches. Thomsen: Pogg. A. 443, 521.

#### Aethylaminalaun.



Regulär. Oktaeder. Schabus.

#### Aethylamin, oxalsaures.

I. Normales  $(\text{C}^2\text{H}^7\text{N})^2\text{C}^2\text{H}^2\text{O}^4$ .

Zwei- und eingliedrig.  $a : b : c = 1,4345 : 1 : 0,6432$  Loschmi  
 $\alpha = 63^\circ 1'$ .

$\frac{\alpha}{2}$ ,  $p$ ,  $r'$ ,  $c$ .

	Berechnet	Beobachtet
$p : p =$		$76^\circ 4'$
$c =$		$106 \quad 14$
$r' : c =$		$115 \quad 12$
$p = 112^\circ 12'$		$112 \quad 16$
$\frac{\alpha}{2} : c = 144 \quad 19$		$144 \quad 20$

Oktaedrische Combinationen  $p, c, r'$ , an denen  $c$  meist vorherrscht; ist selten.

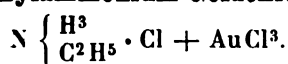
II. Zweifach.  $(C^2H^7N)C^2H^2O^4$ .

Zweigliedrig.  $a : b : c = 0,5528 : 1 : 0,3453$  Loschmidt.

$o\frac{2}{3}, p, p^3, q, b.$	Berechnet	Beobachtet
$o\frac{2}{3} \left\{ \begin{array}{l} 2A = 157^\circ 46' \\ 2B = 139 \quad 12 \\ 2C = 46 \quad 58 \end{array} \right.$		
$p : p = 122 \quad 8$		
$b =$		$*118^\circ 56'$
$p^3 : p^3 = 159 \quad 8$		
$b = 100 \quad 26$		104      ungef.
$q : q = 145 \quad 0$		
$b =$		$*107 \quad 30$
$p = 98 \quad 22$		98    48
$o\frac{2}{3} : b = 101 \quad 7$		101   40
$q = 159 \quad 36$		158   20

Blättchen nach  $p$ , an denen  $q$  und  $o\frac{2}{3}$  selten sind; perlmutterglänzend, altbar nach  $b$ . — Wien. Ak. Ber. 54.

Aethylammonium-Goldchlorid.

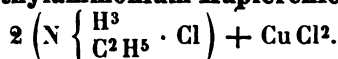


Zwei- und eingliedrig.  $a : b : c = 2,5838 : 1 : 1,6566$  Topsøe.  
 $o = 70^\circ 46',5$ .

$o, o', p, 2r', a, c.$	Berechnet	Beobachtet
$o : o = 82^\circ 6'$		
$o' : o' = 64 \quad 46$		$64^\circ 39'$
(Stk.) $o : o' = 118 \quad 54$		
$p : p = 44 \quad 42$		44    43
$a = 112 \quad 21$		112   21
$a : c = 109 \quad 43,5$		109   45,5
$2r' = 135 \quad 6$		135    6
$c : 2r' =$		$*115 \quad 9$
$p : c =$		$*97 \quad 22,5$
$o : p = 151 \quad 22$		
$c = 126 \quad 0$		125   51
$o' : p = 147 \quad 32$		147   36
$c = 115 \quad 6$		115    4

Prismatisch nach der Verticalzone und oft tafelartig nach  $c$ . Oder delförmige Prismen. Die  $o$  und  $o'$  sehr schmal; erstere fehlen oft. — lb, glänzend.

Volumgewicht 2,824.

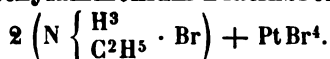
**Aethylammonium-Kupferchlorid.**

Zweigliedrig.  $a : b : c = 1,002 : 1 : 0,9554$  Topsöe.  
o,  $^3o$ , c.

	Berechnet	Beobachtet
$\begin{matrix} o \\ \left\{ \begin{matrix} 2A = 110^\circ 42' \\ 2B = 110 \quad 50 \\ 2C = 106 \quad 56 \end{matrix} \right. \end{matrix}$		
$\begin{matrix} ^3o \\ \left\{ \begin{matrix} 2A = \\ 2B = 93 \quad 24 \\ 2C = 152 \quad 15 \end{matrix} \right. \end{matrix}$		$*93^\circ 41'$
$c : o = 126 \quad 32$		154 45
$^3o =$		126 55
$o : ^3o = 157 \quad 20,5$		$*103 \quad 52,5$
		156 50

Grüne dünne Blättchen, an denen die Zuschärfung durch o selten messbar ist. Einmal wurden a und b beobachtet. Vollkommen spaltbar nach c und nach p.

Ebene der optischen Axen = bc; Mittellinie = a. Negativ; Axendispersion beträchtlich,  $\varrho > v$ . Scheinbarer Axenwinkel in Luft für Roth =  $139^\circ 40'$ , für Grün =  $120^\circ 8'$ . — Topsöe: Wien. Ak. Ber. 73 (Jan. 1876).

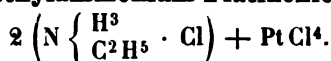
**Aethylammonium-Platinbromid.**

Isomorph dem folgenden.

$a : c = 1 : 1,4468$  Topsöe.

	Berechnet	Beobachtet
$r (2A) =$	$92^\circ 34'$	$92^\circ 48'$
$r : c =$		$*127 \quad 3,5$

Rothe sechsseitige Tafeln, durch r und r' zugescharft. — Im Uebrigen gleich der Chlorverbindung.

**Aethylammonium-Platinchlorid.**

Sechsgliedrig.  $a : c = 1 : 1,4964$  Schabus.

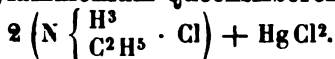
r, r', p, c.	Berechnet	Beobachtet	
		Schabus	Topsöe.
$r (2A) =$		$*90^\circ 54'$	$90^\circ 54'$
$r : c = 125^\circ 54'$		125 54	125 54
$p = 144 \quad 6$			144 3,5

Tafelartig nach c. Oft nur Combinationen r, c: von den p sind dann nur drei Flächen vorhanden.

Zwillinge nach c. — Sehr vollkommen spaltbar nach c. — Optisch negativ. — Schabus: Ann. Ch. Ph. 93, 272. — Topsöe: S. o.

Volumgewicht. 2,255 Schröder.

### Aethylammonium-Quecksilberchlorid.



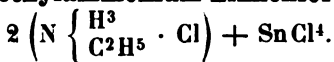
Viergliedrig.  $a : c = 1 : 0,9244$  Topsøe.

	Berechnet	Beobachtet
$o, c.$		
$o \begin{cases} 2A = 114^\circ 40' \\ 2C = 105 \quad 10 \end{cases}$		$114^\circ 30'$ $105 \quad 10$
$o : c =$		$*127 \quad 25$

Farblose dünne biegsame Tafeln nach  $c$ , sehr vollkommen spaltbar nach  $c$ . — Optisch einaxig, negativ.

Die Formen dieses und des Kupfersalzes stehen sich geometrisch am nächsten nahe.

### Aethylammonium-Zinnchlorid.



Sechsgliedrig.  $a : c = 1 : 1,1618$  Topsøe.

	Berechnet	Beobachtet
$r, c.$		
$r (2A) = 92^\circ 3'$		$92^\circ 9'$
$r : c =$		$*126 \quad 42$

Sechsseitige Tafeln. Zwillinge nach  $c$ . Spaltbar nach  $c$ . — Optisch negativ.

**Aethylanilin, bromwasserstoffsäures.**  $C^6H^5 \cdot C^2H^5 \cdot NH \cdot HBr.$

Zweiglig.  $a : b : c = 0,7185 : 1 : 0,818$  Hiortdahl.

	Berechnet	Beobachtet
$p, q, b.$		
$p : p = 108^\circ 36'$		$108^\circ 32'$
$b =$		$*125 \quad 42$
$q : q =$		$*101 \quad 26$
$b = 129 \quad 17$		$129 \quad 26$

Isomorph der Jodverbindung. — S. Methylamin-Zinnchlorid.

**Aethylanilin, jodwasserstoffsäures.**  $C^6H^5 \cdot C^2H^5 \cdot NH \cdot HJ.$

Zweiglig.  $a : b : c = 0,8253 : 1 : 0,7776$  Lang.

	Berechnet	Beobachtet
$p, q, b.$		
$p : p = 100^\circ 56'$		
$b = 129 \quad 32$		$129^\circ 45'$
$q : q = 108 \quad 16$		
$b =$		$*125 \quad 52$
$p =$		$*111 \quad 54$

Ebene der optischen Axen =  $ab$ , Mittellinie =  $b$ , negativ.

Starke Doppelbrechung; scheinbarer Axenwinkel =  $65^\circ$  ungefähr. — Zinn. Ak. Ber. 55, 443.

**Aethylanilin-Kadmiumbromid.**  $C^6H^5 \cdot C^2H^5 \cdot NH \cdot H Cd Br^3.$

(In isomorpher Mischung mit Anilin-Kadmiumbromid.)

Die Krystalle gleichen vollkommen denen des letztgenannten, nur tritt das Hauptoktaeder  $o$  oft hemiedrisch als Tetraeder auf.

	Berechnet	Beobachtet
	(Nach der Anilinverbindung)	
$o \left\{ \begin{array}{l} 2A = 148^\circ 47' \\ 2B = 139 \ 43 \\ 2C = 52 \ 10 \end{array} \right.$		$148^\circ 18'$ $139 \ 46$ $52 \ 5$
$2p : 2p = 64 \ 26$		$64 \ 36$
$a = 122 \ 13$		$122 \ 19$
$o : a = 110 \ 8$		$110 \ 15$

S. Anilin-Kadmiumbromid.

**Aethylanilin-Zinnbromid.**  $(C^6H^5 \cdot C^2H^5 \cdot NH)^2 H^2 Sn Br^4$ .

(Isomorphe Mischung mit Anilin-Zinnbromid.)

Zwei- und eingliedrig.  $a : b : c = 1,5527 : 1 : 3,42$  Hiortdahl.  
 $o = 85^\circ 2'$ . $o', \frac{r}{8}, \frac{r'}{3}, a, c. — x = 3a : b : c.$ 

	Berechnet	Beobachtet
$a : c = 94^\circ 58'$		
$\frac{r}{3} = 129 \ 24$		$129^\circ 43'$
$\frac{r'}{8} = 123 \ 7$		$122 \ 48$
$c : \frac{r}{3} = 145 \ 26$		$145 \ 14$
$\frac{r'}{3} = 142 \ 3$		$142 \ 15$
$\frac{r}{3} : \frac{r'}{8} =$		$*107 \ 30$
$o' : a = 120 \ 48$		$*106 \ 57$
$c = 101 \ 21$		$102 \ 50$
$x : x = 138 \ 22$		$120 \ 33$
$\frac{r}{3} =$		$101 \ 5$
$c =$		$138 \ 37$
$a = 102 \ 58$		$*110 \ 44$

Prismatisch nach der Verticalzone, in welcher  $c$  vorherrscht. Von Augitpaaren ist  $x$  am grössten, während  $o'$  meist nur zur Hälfte vorhanden ist. Ziemlich stark glänzend. S. Methylamin-Zinnchlorid.**Aethylbenzhydroxamsäure.**  $C^7H^{11}NO^2$ .I.  $\alpha$ -Modification.Zwei- und eingliedrig.  $a : b : c = 1,490 : 1 : 1,530$  Tenne.  
 $o = 85^\circ 46'$ . $n = a : \frac{1}{2}b : c.$  $s' = 3a : \frac{3}{2}b : c.$  $q, r, r', a, c.$ 

	Berechnet	Beobachtet
$n : n = 52^\circ 7'$		$52^\circ 40'$
$q : q = 66 \ 30$		
$c =$		$*123 \ 15$



	Berechnet	Beobachtet
$c : a =$		$^*94^{\circ} 44'$
$r =$	$136^{\circ} 40'$	136 43
$r' =$	134 48.5	134 43
$a : r =$	138 4	138 5
$r' =$		$^*133 27,5$
$n : a =$	109 4	108 59
$c =$	108 38	108 37
$s' : a =$	100 20	
$c =$	132 11	132 40

Prismatisch nach der Verticalzone, herrschend  $a$ ,  $r'$ ,  $c$ ,  $n$ .

Ebene der optischen Axen  $ac$ , Mittellinie negativ, nahe senkrecht  
 f  $r'$ ;  $2H_a = 117^{\circ} 20'$  Li Roth;  $117^{\circ} 0'$  Na Gelb;  $116^{\circ} 30'$  Tl Grün.

Schmelzpunkt  $53^{\circ},5$ .

## II. $\beta$ -Modification.

Zwei- und eingliedrig.  $a : b : c = 1,2367 : 1 : 1,3965$  Tenne.  
 $\alpha = 85^{\circ} 39',5$ .

Die Flächen der vorigen.

	Berechnet	Beobachtet
$n : n =$	$58^{\circ} 38'$	$58^{\circ} 39'$
$q : q =$	71 22	
$c =$		$^*125 44$
$c : a =$		$^*94 20,5$
$r =$	133 57	134 0
$r' =$	129 5	129 4
$a : r =$	140 23	
$r' =$		$^*136 34,5$
$n : a =$	112 10	112 12
$c =$	109 52	109 54
$s' : a =$	102 27	
$c =$	134 8	

Der Habitus ist der von  $\alpha$ .

Auch das optische Verhalten ist ähnlich, nur fand sich  $2H_a = 72^{\circ} 40'$   
 f Li Roth;  $72^{\circ} 24'$  für Na Gelb;  $71^{\circ} 48'$  für Tl Grün.

Herrscht hier wirkliche Dimorphie?

Schmelzpunkt  $67^{\circ},5$ — $68^{\circ}$ .

## Aethylbromid. $C^2H^5Br$ .

Volumgewicht. 1,4189 ( $15^{\circ}$ ) Mendelejew, 1,4685 ( $13^{\circ},5$ )  
 nnemann, 1,460 ( $20^{\circ}$  gegen Wasser von  $20^{\circ}$ ) Haagen.

Siedepunkt.  $38^{\circ},37$  (760 mm) Regnault,  $38^{\circ},78$  (760 mm)  
 nnemann,  $40^{\circ},2$  (745,5 mm) Haagen.

Specif. Wärme des Dampfes bei constantem Druck für

		später
gleiche Volume	0,6777	0,7026
- Gewichte	0,4846	0,4896 Regnault.

80°	2630,45 mm
100	4290,33 -
120	6631,08 -
140	9793,86 - Regnault

Neu Druck, Vol. und T. — Herwig: Pogg. A.

Widerstand 13,46 (Wasser = 1). Guthrie.  
Exponenten bezogen auf die drei Hauptachsen des  
Krus  $\alpha, \beta, \gamma$ :

$\alpha = C$	$\beta = F$	$\gamma = G-H$
1,42132	1,43074	1,43629

Brechungsvermögen und das Refraktionsäquivalent be-  
Haagen: Pogg. A. 134, 117. — Vgl. Sauber: Eb.

Magnetische Drehung der Polarisationssebene. — De la Rive:  
Ann. 38, 209.

#### Aethylchlorid. $C^2H^5Cl$ .

Ausdehnung.  $V = 1 + 0,0015746 t + 0,0000028137 t^2 +$   
 $0,000015698 t^3$  (von  $-31^{\circ},6$  bis  $26^{\circ},4$ ) Pierre.

Dichtgewicht. 0,9214 ( $0^{\circ}$ ) Pierre.

Siedepunkt.  $44^{\circ}$  (758 mm) Pierre,  $12^{\circ},18$  760 mm Linne-  
man.

Spannkraft des Dampfes: Ber. d. ch. G. 1880, 839.

#### Aethylchininjodid. $C^{20}H^{24}N^2O^2 \cdot C^2H^5J$ .

Zweigligdrig.  $a : b : c = 0,4496 : 1 : 0,6435$  Hiortdahl.

$p, q, b$ .	Berechnet	Beobachtet
$p : p = 131^{\circ} 35'$		
$b =$		$114^{\circ} 12',5$
$q : q = 114^{\circ} 29'$		$114^{\circ} 29',5$
$b =$		$122^{\circ} 46'$
$p = 102^{\circ} 49'$		$102^{\circ} 49',5$

Schöne stark lichtbrechende Krystalle, Prismen  $p$ , seltener tafelförmig  
nach  $b$ .

Die Flächen sind äusserst glänzend und eben, werden aber an der  
Luft matt und milchweiss. S. Methylamin-Zinnchlorid.

#### Aethyljodid. $C^2H^5J$ .

Erstarrungspunkt.  $-9^{\circ}$  Ballo: Ber. ch. G. 1871, 160.

Ausdehnung.  $V = 1 + 0,0011423 t + 0,0000019638 t^2 +$   
 $0,00000006206 t^3$  (von  $34^{\circ},8$  bis  $71^{\circ},9$ ) Pierre.

Volumgewicht. 1,9755 ( $0^{\circ}$ ) Pierre, 1,9464 ( $16^{\circ}$ ) Frankland,  
1,9309 ( $15^{\circ}$ ) Mendelejew, 1,944 ( $14^{\circ},5$ ) Linnemann; 1,935 Haagen;  
1,9567 ( $5-10^{\circ}$ ), 1,9437 ( $10-15^{\circ}$ ), 1,9348 ( $15-20^{\circ}$ ) Regnault.

**Siedepunkt.** 70° (754,7 mm) Pierre, 71°,6 (746,5 mm) Frank-  
id, 72°,3 (760 mm) Linnemann, Schorlemmer, 71°,3 (760 mm)  
drews, Regnault, 73°,0 (762 mm) Haagen.

**Specif. Wärme.** 0,4587 bei 5—10°, 0,4584 bei 10—15°, 0,4584  
15—20°. Regnault.

**Latente Dampfwärme** nach Andrews für die Gewichtseinheit  
9 (Regnault 46,87); für gleiche Vol. 254,7.

**Totale Verdampfungswärme** 58,95 Regnault.

**Spannkraft des Dampfes** nach Regnault:

0°	41,95 mm	40°	251,75 mm
10	69,20 -	50	364,0 -
20	110,02 -	60	512,25 -
30	169,07 -		

**Brechungsexponenten.**

Sauber (23°)	Haagen	Lorenz
$B = 1,494996$		
$C = 1,495464$	$\alpha^*) 1,50842$	1,50738
$D = 1,504368$		
$E = 1,546590$		
$F = 1,527600$	$\beta 1,5244$	1,52356
$G = 1,538794$	$\gamma 1,53437$	

Lorenz bestimmte zugleich die Brechungsexponenten des Dampfes.  
Sauber: Pogg. A. 447, 594. — Haagen: Eb. 434, 424. — Lo-  
12: Wiedem. Ann. 44, 98. — Vgl. Grailich: Kryst.-opt. Unters. 493.

**Magnetische Drehung der Polarisationssebene.** — De la Rive:  
h. sc. ph. nat. 38, 209.

**Diathermansie.** Schulz-Sellack: Pogg. A. 439, 182.

### Aethylen. C<sup>2</sup>H<sup>4</sup>.

**Zusammendrückbarkeit.** Einfluss der Temperatur. — Ama-  
1: C. r. 90, 995.

Wird bei 4° unter einem Druck von 46 Atm. flüssig. Cailletet.  
on früher hatte Faraday mit Hilfe fester Kohlensäure dies erreicht;  
konnte die Dampfspannung des flüssigen nicht sicher bestimmen, viel-  
1ht in Folge Beimengung anderer Kohlenwasserstoffe. Pogg. A. Ergbd.  
104. 220.

**Abweichung vom Mariotte'schen Gesetz.** — Winkelmann:  
adem. Ann. 5, 92.

**Beziehungen zwischen Druck, Volum und Temperatur.** Roth: Eb.  
4.

**Schallgeschwindigkeit.** Bender: Ber. d. chem. G. 4873, 665.

**Reibungscoefficient.** Meyer: Pogg. A. 443, 14. 448, 526.

<sup>\*)</sup> Wasserstofflinie.

Specif. Wärme. Gegen Luft bei constantem Druck 4,534 Dulong.  
4,5309 De la Rive und Marcet.

Für gleiche Vol. 0,446, für gl. Gem. 0,404 Regnault.

Sie ist zwischen 25—100° = 0,388, zwischen 25—200° = 0,4293.  
woraus die wahre specif. Wärme  $a$  und die relative  $b$  (das V. G. des Gases  
0,9672)

	$a$	$b$
0°	0,3364	
100	0,4198	0,3254
200	0,5045	0,4859

E. Wiedemann: Pogg. A. 457, 30.

Abhängigkeit der specif. Wärme von der T. und Wärmeleitung. —  
Wüllner: Wiedem. Ann. 4. 324.

Brechungsvermögen = 2,302 Dulong, wonach  $n = 1,000678$ .  
 $n^2 - 1 = 0,004356$ . Ersteres ist 2,46 Mascart.

Croullebois fand  $n$  für weisses Licht

im Mittel	C	E	G
1,000669	1,000652	1,000694	1,000702

C. r. 67, 692.

Spectrum. Lielegg's. Kohlenoxyd. — Wüllner's. Methan.

Dielektricitätsconstante. Boltzmann: Pogg. A. 455, 403.

Bildungswärme. Thomsen: Ber. d. ch. Ges. 1873, 1553.

Verbindungswärme. Berthelot: C. r. 82, 424.

Verbrennungswärme. 42030 W. E. Dulong. 44942 Andrews.  
44858 Favre und Silbermann. 44958 Thomsen, welcher bemerkt,  
dass, während bei der Bildung des Methans aus C und H Wärme frei wird, bei  
der des Aethylens eine Bindung von Wärme stattfindet. Pogg. A. 448, 384.

Valerius berechnet nach Bunsen's Versuchen (Pogg. A. 434, 161)  
die Verbrennungstemperatur des Aethylens zu 1617°.

Versuche von Magnus hatten gelehrt, dass Aethylen bei Rothglühhitze  
in einen dem Naphthalin in der Zusammensetzung nahekommenen Theer,  
in Methan und Wasserstoff, und beim Weissglühen in Kohle und 2 Vol.  
Wasserstoff zerfällt. Berthelot erhielt in mässiger Hitze condensirbare  
Gemenge von Benzol, Styrol, Naphthalin etc. — C. r. 66, 624.

Durch elektrische Entladung erfolgt die Zersetzung in Kohle und Me-  
than, oder in Kohle und Wasserstoff. — Hofmann und Buff: Ann. Ch.  
Ph. 113, 429. — Quet: C. r. 46, 903. — Berthelot: C. r. 82, 1360.

1 Vol. Alkohol absorbirt 2 Vol. Faraday. Es wird von Antimon-  
pentachlorid absorbirt. — Liebig: Pogg. A. 36, 290.

#### Aethylenchlorid. $C_2H_4Cl_2$ .

Ausdehnung.  $V = 1 + 0,0011189 t + 0,0000010469 t^2 +$   
 $0,000000010344 t^3$  innerhalb der Grenzen —22°·7 und + 83°·8 Pierre.

Volumgewicht. 1,2803 0° Pierre. 1,2562 20° Haagen;  
1,2524 12°·7 Prytz.

Bei 0° = 1,28082      Volum  
 Beim Siedepunkt = 1,15635      1,40764 Thorpe.  
 Siedepunkt. 84°,9 (761,9 mm) Pierre, 85° Krämer, Haagen  
 62,7 mm), 83°,5 Thorpe. Dampfspannung s. Aethylchlorid.  
 Specif. Wärme des Dampfes für gleiche Gewichte 0,2293, für gl.  
 Lume 0,7836 Regnault. Specif. W. des flüssigen Re: Wiedem. Ann.  
 , 447.  
 Brechungsexponenten nach Haagen:  
 $\alpha$  1,44201       $\beta$  1,45038       $\gamma$  1,45511.  
 Prytz fand bei 12°,5 für  
 Na 1,4462; für Li 1,4433.  
 Derselbe bestimmte zugleich die Brechungsexponenten des Dampfes.  
 iodem. Ann. 11, 114.

#### Aethylenchlorid, Monochlor-. $C^2H^3Cl^3$ .

Ausdehnung.  $V = 1 + 0,00105644t + 0,00000028035t^2 +$   
 $000000045088t^3$  (0 bis 75°) Pierre.  
 Volumgewicht. 1,4223 (0°) Pierre.  
 Siedepunkt. 114°,2 (755,7 mm) Pierre.

#### Aethylenchlorid, Dichlor-. $C^2H^2Cl^4$ .

Ausdehnung.  $V = 1 + 0,00083562t + 0,00000658771t^2 -$   
 $000000054442t^3$  (0 bis 60°) Pierre.  
 Volumgewicht. 1,6116 (0°) Pierre.  
 Siedepunkt. 138°,6 (763,4 mm) Pierre.

#### Pentachloräthan. $C^2HCl^5$ .

Ausdehnung.  $V = 1 + 0,00089904t + 0,0000045777t^2 -$   
 $000000042865t^3$  (von 0 bis 75°) Pierre.  
 Volumgewicht. 1,6627 (0°) Pierre, 1,644 Regnault.  
 Siedepunkt. 153°,8 (763,4 mm) Pierre, 146° Regnault.

#### Aethylendiamin, schwefelsaures. $N^2H^6 \cdot C^2H^4 \cdot SO^4$ .

Viergliedrig.  $a : c = 1,494$  Lang.

$o$ ,  $o^2$ ,  $d$ ,  $d^2$ ,  $c$ .

Berechnet

$2A = 100^\circ 32'$        $98^\circ 22'$        $108^\circ 2'$        $104^\circ 44'$   
 $2C = 129 24$        $136 8$        $112 24$        $119 8$

$o : c = 115 18$ .

Combinationen  $o^2$ ,  $c$  oder  $o$ ,  $d$ ,  $d^2$ ,  $c$ . Spaltbar nach  $c$ .

Die Krystalle zeigen Circularpolarisation und sind rechts oder links  
 rehend. Eine 0,89 mm dicke Platte dreht beim Licht der Natriumflamme  
 ie Polarisationsebene um  $13^\circ 45'$ . Die Lösung scheint inactiv zu sein.  
 - Wien. Ak. Ber. 65 (Pogg. A. 148, 496).

**Specif. Wärmecapacität. Aethylidensulfocarbonat.  $C^3H^4S^3$ .**4,5309 De la Rive.  $a : b : c = 1,2018 : 1 : 1,5965$  Topsöe.Für gleiche Axenlängen  $\alpha = 52^\circ 26'$ .

Sie ist zwisch	Berechnet	Beobachtet
woraus die wah	$\alpha =$	$57^\circ 13'$
0,9672)	$\beta =$	$76 \quad 38$
	$\gamma =$	$144 \quad 35$
	$\delta = 416^\circ 42'$	$416 \quad 16$
	$\epsilon = 428 \quad 19$	$428 \quad 24$

Prismen  $p$  von glänzenden Flächen. Spaltbar nach

E.

Al. nach  $a$ ; das freie Ende ist das, an welchem die  $q$  ein sch

Wulst bilden. — Topsöe: Wien. Ak. Ber. 73 187

 **$n^2$  Aethylidenammoniumnitrat.  $AgC^4H^{10}N^3$** A. Hydrat mit  $\frac{1}{2}$  Mol. Wasser. $\alpha$  - und eingliedrig.  $a : b : c = 0,603 : 1 : 2,609$  E. Dana. $\alpha = 89^\circ 44'$ .

$q, b, c.$	Berechnet	Beobachtet
$\alpha : \alpha =$		$119^\circ 10'$
$\alpha' : \alpha' = 119^\circ 4'$		
$\alpha : \alpha' = 65 \quad 13$		
$q : q = 44 \quad 56$		
$c =$		$110 \quad 58$
$\alpha : c =$		$101 \quad 25$
$q = 113 \quad 42$		
$\alpha' : q = 113 \quad 55$		

Die  $\alpha$  und  $\alpha'$  treten partialflächig auf, die  $q$  nur am einen Ende.Zwillinge nach  $c$ .Sehr klein, spaltbar nach  $c$ .Die Ebene der optischen Axen, parallel der Axe  $b$ , steht nicht normal auf der basischen Endfläche; die Mittellinie macht mit einer Male auf jener einen Winkel von  $8^\circ$  (Blau) nach vorn ( $5\frac{1}{2}^\circ$  Roth); $2E = 68^\circ 23'$  Roth;  $67^\circ 30'$  Blau,also  $q > v$ . Dispersion der Mittellinie  $q < v$ . Negativ.**B. Wasserfreies.**

Eingliedrig.

Sehr klein, nicht genau messbar. Am. J. Sc. (5) 44, 495 (1877 S. (Groth Ztschr. 2, 205.))

**Aethylidenchlorid.  $C^2H^4Cl^2$ .**Ausdehnung.  $V = 1 + 0,00129072 t + 0,000000118335 t^2$  (0 bis  $61^\circ,3$ ) Pierre.Volumgewicht. 1,2407 Pierre, 1,1924 ( $8^\circ,2$ ) Prytz.

Bei 0° = 4,20394 4 Volum  
 Beim Siedepunkt = 4,40923 4,08538 Thorpe.  
 Siedepunkt. 64°,8 (754 mm) Pierre, 64° Regnault, 60° Krä-  
 59°,9 Thorpe.

Druckspannung s. Aethylchlorid.

Spezif. Wärme. Reis: Wiedem. Ann. 43, 447.

Bravais bestimmte die Brechungsexponenten des flüssigen und  
 des festen. Wiedem. Ann. 44, 445.

### Aethylidenchlorid, Monochlor-. $C^2H^3Cl^1$ .

Thermaldehnung.  $V = 1 + 0,00447482 t + 0,00000357709 t^2 -$   
 $0,00005367 t^3$  (0 bis 73°,9) Pierre.

Dichtengewicht. 4,3465 (0°) Pierre.

Siedepunkt. 74°,9 (758,3 mm) Pierre.

### Aethylphenylsemicarbazid. $C^9H^{13}N^3O$ .

wei- und eingliedrig.  $a : b : c = 4,0417 : 4 : 0,424$  Arzruni.  
 $\alpha = 84^\circ 47'$ .

$= a : \frac{1}{2}b : c$ .

$= a' : \frac{1}{2}b : c$ .

a.	Berechnet	Beobachtet
$n : n =$		$108^\circ 15'$
$n' : n' =$	$102^\circ 48'$	$102 39$
$p : p =$	$90 0$	
$a =$		$135 0$
$n' : a =$	$101 48$	$102 23$
$n =$	$145 56$	$145 24$

Prismenartig nach a.

Ebene der optischen Axen parallel Axe b. Groth Ztschr. 4, 388.

### Aethylpiperidin-Platinchlorid. $(C^5H^{10} \cdot C^2H^5 \cdot N)^2H^2PtCl^6$ .

wei- und eingliedrig.  $a : b : c = 4,083 : 4 : 4,097$  Hiortdahl.  
 $\alpha = 87^\circ 23'$ .

r, r', c.	Berechnet	Beobachtet
$p : p' =$		$85^\circ 29'$
$r : r' =$	$89^\circ 44'$	$89 15$
$c : r =$	$134 47$	$134 5$
$p : r =$		$119 35$
$r' =$		$118 44$

Prismen  $rr'$ , an denen c eine schmale Abstumpfung der scharfen Kan-  
 teten aufweist. Wenig spaltbar nach b.

. Methylamin-Zinnchlorid.

### Aethylschwefelsaurer Baryt. $BaAe^2S^2O^8 + 2aq^*$ .

wei- und eingliedrig.  $a : b : c = 4,4897 : 4 : 4,2453$  Schabus.  
 $\alpha = 84^\circ 39'$ .

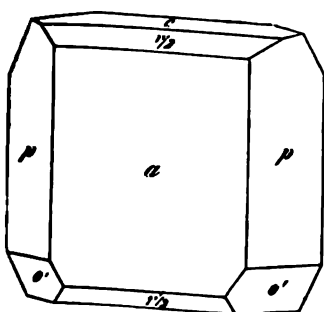
$Ae = C^2H^5$ .

**Aethylschwefelsaures Kadmium.**

$a, b, c.$

	Berechnet	Beobachtet		
		Schabus	Rammelsb.	Des Cloiz.
$\alpha = 16'$			$80^\circ 0'$	
$\beta = 20$		$130^\circ 10'$	$130 20$	
$\gamma = 139 50$			$140 36$	
$\delta = 93 27$				
$\epsilon = 79 8$				
$\zeta = 93 24$				
$\eta =$		$95 21$	$95 50$	
$\theta = 138 14$				$139^\circ 20'$
$\iota = 133 0$				$133 15$
$\kappa = 121 15$		$121 18$	$120 51$	
$\lambda =$		$112 15$	$112 0$	
$\mu : \nu = 137 7$				
$\rho = 134 39$				
$\sigma = 154 6$				
$\tau = 154 54$			$152 20$	
$\omega : \alpha = 120 38$		$120 40$	$120 30$	
$c = 119 47$		$119 50$		

Fig. 77.



Tafelartig nach  $a$ . — Fig. 77.

Die Flächenbeschaffenheit erschwert Messungen. Spaltbar nach  $a$ , welches P. mütterglanz zeigt, während  $c$  matt ist.

Ziemlich starke Doppelbrechung; Et der optischen Axen parallel Axe  $b$ . Mit linie normal zu ihr: Dispersion der  $A$  sehr schwach,  $\rho < \nu$ . Die Ebene der u leren Axen bildet mit einer Normale au

Fläche  $a$  vorn  $20^\circ 6'$

$\rho - \nu = 38 39$

$\rho - c = 64 33$

$2E$  bei  $14^\circ = 87^\circ 21'$  Roth,  $88^\circ 11'$  Blau.

Des Cloizeaux: Nouv. Réch. 177.

**Aethylschwefelsaures Kadmium.  $\text{CdAc}^2\text{S}^2\text{O}^5 + 2\text{aq.}$**

Zwei- und eingliedrig.  $a : b : c = 0,7165 : 1 : 0,9728$  Hiertd  
 $\alpha = 79^\circ 12'$ .

Isomorph dem Zinksalz und mit denselben Flächen.





	Berechnet	Beobachtet
$o' : o' =$	$116^{\circ} 8'$	$116^{\circ} 43'$
$p : p =$	$109 38$	$109 44$
$b =$		$*125 41$
$c =$		$*98 24$
$o' : b =$	$121 56$	$122 44$
$c =$		$*114 45$
$p =$	$146 44$	$146 45$
$\frac{o'}{2} : c =$	$136 56$	$136 36$
$o' =$	$157 49$	$157 44$

rechtwinklige Prismen  $bc$  oder tafelartig nach  $c$ . Spaltbar nach  $b$ .  
th Ztschr. 4, 84.

#### Aethylschwefelsaures Kali. $\text{KAeSO}_4$ .

wei- und eingliedrig.  $a : b : c = 1,069 : 1 : 1,7387$  Schabus.  
 $o = 80^{\circ} 28'$ .

	Berechnet	Beobachtet		
		Schabus	Rammelsb.	Marignac
$o' : o' =$	$94^{\circ} 34'$			
$p : p =$		$86^{\circ} 58'$	$86^{\circ} 20'$	$86^{\circ} 50'$
$c =$		$96 33$	$96 52$	$97 44$
$q : q =$	$60 30$			
$c =$		$*120 15$	$120 55$	$121 20$
$2p' : a =$	$162 47$			
$c =$	$98 44$			$98 20$
$o' : c =$	$107 47$		$107 5$	$107 52$
$p =$	$156 40$		$155 40$	

ft rhomboederähnliche Combinationen  $p, c$ . Spaltbar nach  $c$ .  
a die Flächen nicht sehr glänzend sind, sind die Messungen nicht

#### Aethylschwefelsaurer Kalk. $\text{CaAe}^2\text{S}^2\text{O}^8 + 2\text{aq.}$

Wahrscheinlich isomorph dem Barytsalz. Schabus fand:  $p : p =$   
 $p : a = 130^{\circ} 4'$ . Ein hinteres Augitpaar, vielleicht  $\frac{2}{3}o'$ , unter sich  $92^{\circ}$ ,  
 $a 113^{\circ} 6'$ , kommt ausserdem vor. Die Krystalle sind aber unvoll-  
ständig ausgebildet, die Flächen gekrümmt; tafelartig und spaltbar nach  $a$ .

#### Aethylschwefelsaures Kobalt. $\text{CoAe}^2\text{S}^2\text{O}^8 + 2\text{aq.}$

eingliedrig.  $a : b : c = 0,32 : 1 : 1,033$  Hiortdahl.

$2p, q, b.$	Berechnet	Beobachtet
$p : p =$	$144^{\circ} 30'$	$144^{\circ} 34'$
$b =$		$*107 45$
$2p : 2p =$	$114 44$	
$b =$	$122 38$	$122 35$
$q : q =$	$88 8$	$88 12$
$b =$		$*135 56$
$p =$	$102 39$	$102 30$

**Aethylschwefelsaures Kupfer.**  $\text{CuAe}^2\text{S}^2\text{O}^8 + 4\text{aq.}$ Zweiglig.  $a : b : c = 0,7494 : 1 : 0,6744$  Hiortdahl. $o, a, b, c.$ 

	Berechnet	Beobachtet
$o \begin{cases} 2A = 126^\circ 44' \\ 2B = 106 \quad 34 \\ 2C = 96 \quad 44 \end{cases}$		$97^\circ 7'$
$o : a = 126 \quad 43$		$126 \quad 44$
$b =$		$*116 \quad 38$
$c =$		$*131 \quad 38$

Vom Habitus des Kobaltsalzes; die  $o$  oft unvollzählig. Spaltbar nach**Aethylschwefelsaures Zink.**  $\text{ZnAe}^2\text{S}^2\text{O}^8 + 2\text{aq.}$ Zwei- und eingliedrig.  $a : b : c = 0,7466 : 1 : 0,9776$  Hiortdahl $o = 80^\circ 27'.$  $o', \frac{o'}{2}, p, b, c.$ 

	Berechnet	Beobachtet
$o' : o' = 116^\circ 48'$		$116^\circ 49'$
$p : p =$		$*109 \quad 30$
$b = 125 \quad 15$		$125 \quad 21$
$c =$		$*97 \quad 47$
$o' : b = 121 \quad 54$		$121 \quad 40$
$c =$		$*115 \quad 4$
$b = 147 \quad 9$		$147 \quad 37$
$\frac{o'}{2} = 157 \quad 57$		$158 \quad 7$
$\frac{o'}{2} : c = 137 \quad 8$		$137 \quad 7$

Häufig  $o'$  und  $p$  im Gleichgewicht, seltener tafelförmig nach  $c$ . Ziweilen Zwillinge nach  $c$ .**Aethylsulfobenzoesaures Ammoniak.**  $\text{C}^9\text{H}^{10}\text{NSO}^5.$ Eingliedrig.  $a : b : c = 0,642 : 1 : 0,712$  Keferstein.

$A = 94^\circ 34'$	$\alpha = 90^\circ 48'$
$B = 83 \quad 53$	$\beta = 84 \quad 4$
$C = 104 \quad 49$	$\gamma = 104 \quad 44$

 $p, p', q', a, b, c.$ 

	Beobachtet
$a : b = *104^\circ 49'$	$b : q' = *126^\circ 26'$
$p : a = 145 \quad 43$	$c : q' = 145 \quad 7$
$b = *112 \quad 54$	$a : c = *96 \quad 7$
$b : c = *91 \quad 34$	

Spaltbar nach  $c$  und  $a$ . — Ann. Ch. Pharm. 106, 385.**Aethylweinsaures Kali.**  $\text{KC}^6\text{H}^9\text{O}^6 ?.$ Zweiglig.  $a : b : c = 0,4476 : 1 : 0,5745$  De la Provostay $o, p, q, b.$

	Berechnet	Beobachtet
$\angle A$	$= 153^{\circ} 22'$	
$\angle B$	$= 113 \quad 4$	
$\angle C$	$= 73 \quad 24$	
		$\angle 134^{\circ} 40'$
		$\angle 120 \quad 8$
	$\angle 101 \quad 5$	
	$\angle 12$	

$\frac{n}{2}$  sehr klein oder fehlend. Oft fehlt auch  $\frac{n}{2}$ , sodass sechsseitige Prismen  $q, b$  mit einer  $p$  entstehen. Selbst ein  $q$  fehlt mitunter. Spaltbar (u. Phys. 3) 3, 129.

**Alanin, salpetersaures.**  $C^3H^5N O^2 \cdot NO^3$ .

eingliedrig.  $a : b : c = 1,3546 : 1 : 1,42375 \frac{1}{2}$  Lo-  
 $\angle o = 85^{\circ} 52'$ .

c.	Berechnet	Beobachtet
$\angle o : o =$	$93^{\circ} 13'$	$92^{\circ} 48'$
$\angle 2o' : 2o' =$		$\angle 77 \quad 4$
$\angle a : c =$		$\angle 94 \quad 8$
$\angle r' =$	$134 \quad 27$	$134 \quad 36$
$\angle c : r' =$	$131 \quad 25$	$131 \quad 12$
$\angle o : a =$	$122 \quad 54$	$123 \quad 8$
$\angle c =$	$121 \quad 22$	$121 \quad 20$
$\angle 2o' : a =$		$\angle 124 \quad 0$
$\angle c =$	$103 \quad 31$	$103 \quad 8$
$\angle \text{Endk.} =$	$111 \quad 32$	$111 \quad 12$
$\angle \text{Stk.} =$	$135 \quad 7$	$135 \quad 27$
$\angle 2o' : r' =$	$126 \quad 6$	$126 \quad 36$

nach der Verticalzone, in welcher  $a$  und  $c$  herrschen; die sind sehr untergeordnet.

kommen nach  $a$ . — Wien. Ak. Ber. 51.

**Aldehyd** (Acetaldehyd).  $C^2H^4O$ .

ng.  $V = 1 + 0,0015464 t + 0,0000069745 t^2$  ( $0^{\circ}$  bis l. Pierre).

richt. 0,8009 Kopp; 0,807 bei  $0^{\circ}$  Würtz; 0,8055 bei

st.  $20^{\circ}, 8$  Kopp;  $22^{\circ}$  bei 758,2 mm Pierre.

Das Refractionsäquivalent, Luft = 1, setzt Schrauf die Refraction des Dampfes, d. h. der 1000fache Ueber-  
 ungsexponenten über 1, ist nach Mascart 2,76.

irme des Paraldehyds Reis: Wiedem. Ann. 13, 447.

**Aldehydammoniak.  $C^2H^7NO$ .**

Zwei- und eingliedrig.  $a : b : c = 1,104 : 1 : 0,7$   
 berg.  $\alpha = 82^\circ 26'$ .

$\alpha', p, a, b, c$ . Berechnet

Beobachtet

Rammelsberg

$$\alpha' : \alpha' = 113^\circ 44'$$

$$p : p = 84 \quad 50$$

$$a =$$

$$+132^\circ 25'$$

$$c =$$

$$+95 \quad 6$$

$$a : c = 97 \quad 34$$

$$\alpha' : p =$$

$$+132 \quad 24$$

Anscheinend rhomboedrisch. — Ramme  
 Heusser: Eb. 94, 638. 99, 171.

Groth hält die Krystalle, wie ich zuer  
 Nach ihm ist die Doppelbrechung negativ.

Unter der Annahme, die Krystalle se  
 1,409.

$$r, \frac{r'}{2}, a.$$

Berechnet

$$2A \text{ von } r =$$

$$- - \frac{r'}{2} = 113^\circ$$

$$r : \frac{r'}{2} = 13$$

$$a = 1$$

Allar

Zwei- und eingliedrig.  $a$

$p, r', a, c$ . Berechnet

$$p : p =$$

$$a = 112^\circ 43',$$

$$c =$$

$$a : c = 93 \quad 48$$

$$r' = 130 \quad 52$$

$$c : r' = 135 \quad 50$$

$$p : r' =$$

Prismatisch nach  $p$ . —

Nach Delffs wären  
 $56^\circ 42'$ , dessen scharfe K  
 eine schiefe Endfläche au  
 unter  $94^\circ 40'$ , gegen die  
 Ann. Chem. Pharm. 74,  
 Keferstein: Pogg. Au



Keferstein.

$$\begin{aligned} &= 103^\circ 17' \\ &118 \quad 35 \\ &10 \end{aligned}$$

auf  $q'$  Perlmutter-

Pogg. A. 117, 583.

Keferstein.

$$\begin{aligned} b' &= 127^\circ 46' \\ c &= 148 \quad 46 \\ b : c &= 83 \quad 50 \\ p : q &= 108 \quad 52 \\ o''' &= 115 \quad 7 \\ o''' : c &= 147 \quad 41 \end{aligned}$$

— Keferstein: Pogg. A. 99, 285.

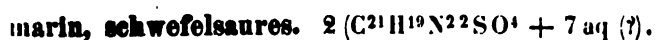


$$\begin{aligned} a : b : c &= 4,504 : 4 : 4,665 \quad \text{Zepharo-} \\ o &= 72^\circ 34'. \end{aligned}$$

	Berechnet	Beobachtet
$\alpha$	$= 93^\circ 56'$	$93^\circ 40'$
$\beta$	$=$	$103 \quad 33$
$\gamma$	$=$	$119 \quad 9$
$\delta$	$=$	$125 \quad 49$
$r$	$= 136 \quad 58$	

Oktaeder, deren Flächen wenig glänzend und häufig ge-

optischen Axen  $ac$ ; die Mittellinie liegt im stumpfen Winkel. Ztschr. 2, 197.



— und eingliedrig.  $a : b : c = 0,8537 : 1 : 0,8534$  Groth.  
 $o = 82^\circ 47',5$ .

$a, b, c.$	Berechnet	Beobachtet
$p : p =$		$99^\circ 28',5$
$a =$	$139^\circ 44'$	$139 \quad 40$
$c =$	$95 \quad 30$	
$q : q =$		$99 \quad 34$

	Berechnet	Beobachtet
$q : c$	$= 139^{\circ} 25'$	$139^{\circ} 24'$
$p : q$	$\left\{ \begin{array}{l} = 119 \ 23 \\ = 110 \ 9 \end{array} \right.$	$\left\{ \begin{array}{l} 119 \ 34 \\ 109 \ 58 \end{array} \right.$
$a : c$	$=$	$*97 \ 12,5$

Meist tafelartig nach  $a$ . — Deutlich spaltbar nach  $c$  und  $q$ .

Die durchsichtigen Krystalle werden von selbst oder in der Wärme trübe, indem sich zahlreiche Sprünge bilden.

Ebene der optischen Axen parallel Axe  $b$ ; die Mittellinie bildet mit der Normale der Fläche  $a$   $10^{\circ} 1$ , mit der von  $c$   $72^{\circ} 7$ .  $2E = 60^{\circ} 33'$  Roth,  $60^{\circ} 57'$  Gelb,  $61^{\circ} 52'$  Blau. Dispersion der Axen stark,  $q < v$ . — Groth: Pogg. A. 135, 656 (Phys. Kryst. 493).

#### Amidobenzoessäure, Ortho-. $C^7H^7NO^2$ .

Zweiglig.  $a : b : c = 0,596 : 1 : 0,86$  Haushofer.

$o, a, b$ .

	Beobachtet
$o \left\{ \begin{array}{l} 2A = 127^{\circ} 49' \\ 2B = 84 \ 49 \\ 2C = 118 \ 28 \end{array} \right.$	(berechn.)
$o : a = 116 \ 49$	
$b = 138 \ 30$	

Die Hexaidflächen herrschend. — Groth Ztschr. 4, 505.

#### Amidoglycerinsäure. $C^3H^7NO^3$ .

Zwei- und eingliedrig.  $a : b = 1,3797 : 1$  Haushofer.

$p, c$ . Beobachtet:  $p : p = 74^{\circ} 57'$ ;  $p : c = 91^{\circ} 33'$ .

Sehr kleine gekrümmte und verzerrte Krystalle, spaltbar nach  $c$ .

Ebene der optischen Axen  $ac$ . — Groth Ztschr. 4, 581.

#### Amidohydrozimmersäure. $C^9H^{11}NO^2$ .

Zwei- und eingliedrig.  $a : b : c = 0,8482 : 1 : 2,4612$  Calderon.

$o = 75^{\circ} 33'$ .

$o, p, q, c$ .

	Berechnet	Beobachtet
$o : o = 108^{\circ} 12'$		$108^{\circ} \ 9'$
$p : p =$		$*101 \ 13$
$c =$		$*101 \ 7$
$q : q = 45 \ 32$		$45 \ 30$
$c = 112 \ 46$		$112 \ 43$
$o : c = 114 \ 59$		$115 \ 5$
$p =$		$*166 \ 9$

Tafelartig nach  $c$ .

Ebene der optischen Axen parallel Axe  $b$ ; beide Axen sind durchsichtbar; die Mittellinie bildet mit Axe  $c$  vorn einen Winkel von etwa  $51^{\circ}$ . Doppelbrechung stark, positiv. — Groth Ztschr. 4, 241.

#### Amidoisobuttersäure. $C^4H^9NO^2$ .

Zwei- und eingliedrig.  $a : b : c = 1,1778 : 1 : 1,2433$  Haushofer.

$o = 86^{\circ} 35'$ .

$\frac{p'}{2}, p, a, b, c.$	Berechnet	Beobachtet
$o : o =$	$100^{\circ} 40'$	$101^{\circ} 0'$
$\frac{o'}{2} : \frac{o'}{2} =$	$124 \ 14$	$121 \ 5$
$p : p' =$		$*80 \ 47$
$c =$		$*92 \ 13$
$o : b =$	$129 \ 40$	
$c =$		$*123 \ 8$
$p =$	$149 \ 5$	$149 \ 10$
$\frac{o'}{2} : b =$	$119 \ 23$	$119 \ 33$
$c =$	$139 \ 56$	$139 \ 58$
$p =$	$127 \ 51$	$127 \ 51$

slartig nach  $c$ ; spaltbar nach  $p$  und  $c$ .

ne der optischen Axen  $ac$ , die Mittellinie fast senkrecht zur Fläche  
oth Ztschr. 6, 440.

doisovaleramid, chlorwasserstoffsäures.  $C^5H^{11}N^2O \cdot HCl$ .

ii- und eingliedrig.  $a : b : c = 4,356 : 1 : 0,7408$  Haushofer.  
 $o = 88^{\circ} 41'$ .

$= a : \frac{1}{2}b : c.$  —  $p, q, r, r', a, c.$

	Berechnet	Beobachtet
$n : n =$	$75^{\circ} 58'$	$76^{\circ} 43'$
$p : p =$	$72 \ 20$	
$a =$	$126 \ 10$	$127 \ 0$
$q : q =$	$106 \ 58$	$106 \ 49$
$c =$		$*113 \ 29$
$a : c =$		$*91 \ 59$
$r =$		$*120 \ 10$
$r' =$	$117 \ 7$	$117 \ 30$
$c : r =$	$151 \ 49$	
$r' =$	$150 \ 54$	$150 \ 57$

smatisch und tafelartig nach  $a$ . Die  $p$  sind vertical gestreift.  
Krystalle sind sehr gekrümmt.

ne der optischen Axen fast normal zu Axe  $c$ , Mittellinie fast Axe  $a$ .  
Ztschr. 4, 575.

ovaleramid-Platinchlorid.  $(2C^5H^{12}N^2O \cdot HCl + PtCl^4) + aq.$   
rgliedrig.  $a : c = 1 : 0,8826$  Haushofer.

$\frac{p'}{2}, c.$	Berechnet	Beobachtet
$\left\{ \begin{array}{l} 2A = \\ 2C = \end{array} \right.$	$\left\{ \begin{array}{l} 127^{\circ} 30' \\ 102 \ 36 \end{array} \right.$	$\left\{ \begin{array}{l} 127^{\circ} 41' \\ 102 \ 49 \end{array} \right.$
$o : c =$		$*141 \ 18$
$p =$	$128 \ 42$	$128 \ 50$

ine Krystalle, unvollkommen spaltbar nach  $c$ . — Optisch einaxig.  
O.

**Amidosulphäthol, Ortho-.**  $C^6H^7NSO^4$ .

Zweit- und eingliedrig.  $a : b : c = 1.0826 : 1 : 1.2388$  Levinson.  
 $\beta = 80^\circ 2'$ .

	Berechnet	Beobachtet
$\alpha$	$\alpha =$	$86^\circ 19' 5$
$\beta$	$\beta =$	$136 \quad 45$
$\gamma$	$\gamma =$	$96 \quad 48$
$\delta$	$\delta = 123^\circ 13'$	$123 \quad 22$

Rhomboederähnliche kleine Krystalle:  $r$  fehlt oft. Roth. Die Ebene der optischen Axen senkrecht zu  $ac$ , in welcher die Mittellinie liegt, positiv ist. Axenwinkel klein. — Dissertation.

**Orthodinitrobenzol** s. Dinitrobenzol.**Orthodinitrotoluen** s. Nitrotoluen.**Amygdalin.**  $C^{20}H^{27}NO^{11}$ .

Zweigligdig.  $a : b : c = 0.500 : 1 : 0.1089$  Kefenstein.

	Berechnet	Beobachtet
$\alpha$	$\alpha =$	$126^\circ 51'$
$\beta$	$\beta =$	$116 \quad 39$
$\gamma$	$\gamma = 167^\circ 34'$	$96 \quad 13$

Andere Flächen sind zu gekrümmt, um Messungen zu gestatten. — Pogg. A. 99. 293.

Schmelzpunkt des krystallisirten  $200^\circ$ , des amorphen  $125-130^\circ$ . Wöhler.

Die Lösung ist linksdrehend.

**Amylalkohol.**  $C^5H^{12}O$ .

Ausdehnung.  $V = 1 - 0.0009724t - 0.0000008565t^2 + 0.000000020218t^3$  —  $123^\circ.7$  Kopp. Vgl. Pierre.

Volumgewicht.  $0.8271$  ( $0^\circ$  Pierre;  $0.8255$  ( $6^\circ$ ) Pierre und Puchot;  $0.8248$  ( $0^\circ$ ) und  $0.8113$  ( $18^\circ.7$ ) Kopp.

Siedepunkt.  $131^\circ.8$  bei  $751.3$  mm Pierre;  $130^\circ$  Pierre und Puchot;  $131^\circ.6$  bei  $743$  mm Kopp.

Wärmeleitung. Luft = 1, ist der Widerstand =  $10.23$  Guthrie. Specif. Wärme. Reiss: Wiedem. Ann. 13, 447.

Brechungsvermögen bei  $10^\circ.3$  für  $B = 1.4151$ ,  $D = 1.414$   $H = 1.4340$  Croullebois; für  $D = 1.4024$  bei  $25^\circ$  Gladstone.

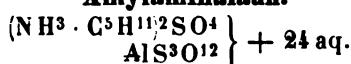
Schrauf berechnet  $0.1307$  für  $\frac{n^2-1}{d}$ .

Optisch activer A. — Pierre und Puchot untersuchten ein im Soleil'schen Apparat, der rein eine Ablenkung von  $-8^\circ.5$ , mit Wasser eine solche von  $11^\circ$  gab. — C. r. 76, 1332.

Vgl. Pasteur: C. r. 41, 296. — Ley: Ber. d. ch. G. 1873, 1. Le Bel: C. r. 77, 1021. — Popoff: Ber. d. ch. G. 1873, 560. — hoven: Pogg. A. Ergbd. 6, 325.



r Gährungsamylalkohol ist linksdrehend; viele seiner Derivate und Rechtsamylchlorid sind rechtsdrehend.

**Amylaminalaun.**

gular. Oktaeder. Schabus.

ch Le Bel sowohl krystallisirt als in Lösung optisch activ. — Ber. Ges. 1872, 394.

**Amylidenanilin. C<sup>11</sup>H<sup>16</sup>N.**

rei- und eingliedrig.  $a : b : c = 0,560 : 1 : 0,497$  Ditscheiner.  
 $o = 69^\circ 27'$ .

$p, b, c.$	Berechnet	Beobachtet
$o' : o' =$	$133^\circ 20'$	$133^\circ 29'$
$p : p =$	$122 \ 40$	$122 \ 51$
$b =$		$*118 \ 40$
$c =$	$125 \ 44$	$125 \ 30$
$o' : p =$		$*132 \ 22$
$b =$		$*113 \ 20$

ismatisch nach  $p$ ;  $c$  klein und gekrümmt.

hmelpunkt  $97^\circ$ . — Ber. d. ch. Ges. 1879, 74 (Wien Ak. Ber. 78).

ch Groth sind hier Irrthümer vorhanden; aus den Fundamental-  
1 folgt  $a : b : c = 0,5617 : 1 : 0,5397$ ;  $o = 76^\circ 44'$  und  $p : c = 104^\circ$   
Ztschr. 5, 647.

**Amylsulfoharnstoff. C<sup>6</sup>H<sup>16</sup>N<sup>2</sup>S.**

rei- und eingliedrig.  $a : b : c = 1,1443 : 1 : 0,8424$  Arzruni.  
 $o = 63^\circ 35' 20''$ .

$p, q\frac{2}{3}, c.$	Berechnet	Beobachtet
$o : o =$		$*110^\circ 41'$
$p : p =$	$88^\circ 37'$	$88 \ 31$
$c =$		$*108 \ 6$
$q\frac{2}{3} : q\frac{2}{3} =$	$70 \ 57$	$71 \ 30$
$c =$	$125 \ 28$	$125 \ 45$
$o : c =$		$*130 \ 56$
$p =$	$157 \ 9$	$156 \ 58$

felartig und spaltbar nach  $c$ . — Ebene der optischen Axen  $ac$ . —  
. 152, 285.

**Anemonin. C<sup>15</sup>H<sup>12</sup>O<sup>6</sup>.**

eingliedrig.  $a : b : c = 0,839 : 1 : 0,793$  Grailich.

$p, p^2, q^2, \frac{r}{2}, a, b, c.$

$= \frac{1}{2} a : b : c.$

Berechnet		Beobachtet	
		Grailich	Frankenheim
o	$2A = 120^{\circ} 4'$		
	$2B = 106 56$		
	$2C = 101 58$		
n	$2A = 139 18$		
	$2B = 68 0$		
	$2C = 128 0$		
$p : p = 100 0$			
$b =$		$*130^{\circ} 0'$	$131^{\circ} 34'$
$p^2 : p^2 = 134 28$			
$a = 157 14$		157 13	
$b = 112 46$		112 46	112 15
$p = 162 46$		162 42,5	
$q^2 : q^2 = 64 26$			
$b = 147 47$		148 30	
$\frac{r}{2} : \frac{r}{2} = 129 23$			
$a =$		$*115 18,5$	
$o : a = 126 33$		126 36	
$n : a = 146 0$		146 2	
$o = 160 34$		160 15	

Prismatisch nach der Horizontalzone oder nach  $ac$ .

Ebene der optischen Axen  $bc$ , Mittellinie  $c$ , negativ,  $q < r$ . — Frankenheim: Arch. Pharm. (2) 63, 1. — Grailich: Wien. Ak. Ber. 27.

#### Angelicasäure. $C^5H^8O^2$ .

Zwei- und eingliedrig.  $a : b : c = 0,6494 : 1 : 1,1393$  Schimpe  
 $o = 79^{\circ} 27'$ .

$p, c$  ( $r'$  Spaltungsfläche.)

Beobachtet

$p : p = 114^{\circ} 53'$ ,  $p : c = 98^{\circ} 53'$ ,  $c : r' = 111^{\circ} 29'$ .  
 Grosse rhomboederähnliche Krystalle. — Groth Ztschr. 5, 296.

#### Anilin. $C^6H^7N$ .

Erstarrt bei  $-8^{\circ}$ . Lucius; Hofmann.

Ausdehnung.  $V = 1 + 0,0008473t + 0,0000009191t^2$   
 $0,000000002784t^3$  in den Grenzen  $6^{\circ},8$  bis  $153^{\circ},7$ . Kopp.

Volumgewicht.  $1,0361$  ( $0^{\circ}$ )  $= 1,0254$  ( $13^{\circ},7$ ) Kopp.

Bei  $0^{\circ}$   $= 1,0379$  Volum

Beim Siedepunkt  $= 0,87274$  1,18924 Thorpe.

Siedepunkt.  $184^{\circ},8$  (737 mm) Kopp,  $188^{\circ}$  (730 mm) Stadelé  
 $183^{\circ},7$  Thorpe.

Gas-Volumgewicht. 46,38 Barral, 46,7 Natanson. Berechn  
 $= 45,5$ .

Specif. Wärme. Reis: Wiedem. Ann. 13, 447.

Wärmeleitung. Guthrie: Phil. Mag. (4) 35, 283.  
 Brechungssexponent für  $D = 1,5774$  bei  $21^{\circ},5$ . Gladstone.  
 Molekularrefraction. Brühl: Ber. d. chem. G. 1879, 2142.  
 Bildungswärme. Ramsay: Ebend. 1879, 1024. 1359.

**Anilin, oxalsaures.**  $(C^6H^7N)^2 \cdot H^2C^2O^4$ .

eingliedrig.  $p, p', b, c$ .

Beobachtet Schabus.

$$\begin{array}{ll} p : p' = 99^{\circ} 10' & b : c = 79^{\circ} 20' \\ b = 132 \ 20 & c : p = 98 \ 56 \\ p' : b = 146 \ 50 & p' = 141 \ 6 \end{array}$$

**Anilin, salpetersaures.**  $C^6H^6N \cdot HNO^3$ .

zweigliedrig.  $a : b : c = 0,6265 : 1 : 0,5727$  Grailich.

$2p, q, b, c$ . Berechnet

Beobachtet

	Grailich	Loschmidt
$o \left\{ \begin{array}{l} 2A = 134^{\circ} 10' \\ 2B = 103 \ 41 \\ 2C = \end{array} \right.$	$134^{\circ} 8'$ $102 \ 52$ $*94 \ 8$	$134^{\circ} 0'$  $94 \ 56$
$2p : 2p = 77 \ 12$		
$b = 141 \ 24$		$141 \ 44$
$q : q = 120 \ 24$		
$b = 149 \ 48$		$149 \ 44$
$o : b =$	$*142 \ 54$	$143 \ 8$
$c = 132 \ 56$	$133 \ 0$	$132 \ 52$

erscheidend  $o$ , oft unsymmetrisch durch Ausdehnung einer Fläche.  
 nach  $b$ .

bene der optischen Axen  $ab$ , Mittellinie  $a$ ; negativ,  $q < v$ . Wien.  
 Nr. 27 und 66.

**Anilin, bromwasserstoffsäures.**  $C^6H^7N \cdot HBr$ .

zweigliedrig.  $a : b : c = 0,723 : 1 : 0,818$  Hiortdahl.

$q, b$ . —  $x = a : \frac{2}{3}b : c$ . ( $a : \frac{2}{3}b : c$  nach Lang.)

Berechnet

Beobachtet

	Hiortdahl	Lang
$p : p = 108^{\circ} 16'$	$108^{\circ} 34'$	
$b =$	$*125 \ 52$	
$q : q = 101 \ 26$	$101 \ 38$	$101^{\circ} 56'$
$b =$	$129 \ 17$	$129 \ 10$
$(2C) x = 142 \ 30$		$142 \ 10$
$x : b = 155 \ 27$		$155 \ 20$

afelartig nach  $b$ . Vollkommen spaltbar nach  $c$ . — Lang: Wien. Ak.  
 5. — Hiortdahl s. Methylamin-Zinnchlorid.

**Anilin-Kadmiumbromid.**  $C^6H^7N \cdot HCdBr^3$ .

zweigliedrig.  $a : b : c = 0,7943 : 1 : 0,3044$  Hiortdahl.

$2p, a, b$ .

	Berechnet	Beobachtet
$o \left\{ \begin{array}{l} 2A = \\ 2B = \\ 2C = 52^\circ 40' \end{array} \right.$		$*448^\circ 47'$ $*139 \ 43$
$2p : 2p =$	64 26	64 17
$a =$	122 13	122 42
$o : a =$	110 8	110 5
$b =$	105 52	

Nach der Horizontalzone prismatische, gestreifte Krystalle.  
S. Methylamin-Zinnchlorid.

### Anisbenzanishydroxylamin.

#### Anisdibenzhydroxylamin s. Benzanis.

##### Anissäure. $C^8H^8O^3$ .

Zwei- und eingliedrig.  $a : b : c = 1,5497 : 1 : 0,3614$  Mügge.  
 $o = 81^\circ 34'$ .

$o, p, a, b, c.$	Berechnet	Beobachtet
$o : o =$	$142^\circ 43'$	$142^\circ 52'$
$p : p =$		$*66 \ 44$
$a =$	123 7	123 45
$b =$	146 53	146 40
$a : c =$	98 26	
$p : c =$	94 36	
$o : a =$	109 54,5	
$b =$	108 38,5	
$c =$		$*157 \ 38$
$p =$		$*116 \ 58$

Prismatisch nach  $p$ ; die  $a$  und  $b$  sind gerundet.

Ebene der optischen Axen  $= ac$ ;  $2H = 100^\circ 30'$  Na-Gelb.

Volumgewicht. 1,376—1,385 Schröder.

Schmelzpunkt.  $184^\circ$ .

##### Anthracen. $C^{14}H^{10}$ .

Zwei- und eingliedrig.  $a : b : c = 1,1796 : 1 : 0,9558$  Groth.  
 $o = 84^\circ 43'$ .

$p, 3r, r'.$  —  $n : a : \frac{1}{2}b : c.$

	Berechnet
$n : n =$	$71^\circ 40'$
$p : p =$	80 52
$r' =$	141 30
$3r : r' =$	77 16

Tafelartig nach der Spaltungsfläche  $r'$ .

Optische Axenebene  $ac$ . — Phys. Krystallogr. 408.

Fluorescenz. Perkin: J.Ch. Soc. (2) 9, 21. — Morton: C News 26. — Hagenbach: Pogg. A. Jubelbd. 303. (Optische Iden des A. mit Photen.)

**Anthracendisulfosaures Natron.**  $\text{Na}^2\text{C}^{14}\text{H}^8\text{S}^2\text{O}^6 + 4\text{aq.}$

Eingliedrig.

$p, p', b, c.$

Beobachtet

$$\begin{array}{ll} p : p' = 139^\circ 13' & p' : b = 109^\circ 23' \\ b = 110 \ 53 & b : c = 104 \ 6 \end{array}$$

Prismatisch nach  $p$ , spaltbar nach  $c$ . Gelb. — Hirschwald: Ber. d. Z. 1879, 184.

**Anthrachinon.**  $\text{C}^{14}\text{H}^6\text{O}^2.$

Zweigligliedrig. Dünne Prismen, Combinationen  $p, b, c$ , an denen  $\angle = 103^\circ 2'$ , so dass  $a : b = 0,795 : 1$  ist. Die Ebene der optischen ist  $ab$ . — Friedländer: Groth Ztschr. 3, 177.

Schmelzpunkt.  $273^\circ$ .

**Asaron.**  $\text{C}^{20}\text{H}^{26}\text{O}^5.$

Zwei- und eingliedrig.  $a : b : c = 1,873 : 1 : 0,9977$  Schmidt.  
 $\alpha = 73^\circ 47'.$

$\alpha', \frac{\alpha'}{2}, p, q, r', a, b, c.$

	Berechnet	Beobachtet
$\alpha' : \alpha' =$	$92^\circ 4'$	
$\frac{\alpha'}{2} : \frac{\alpha'}{2} =$	$122 \ 36$	
$p : p =$		$58^\circ 10'$
$c =$	$97 \ 48$	
$q : q =$	$92 \ 28$	
$a : c =$		$106 \ 13$
$r' =$	$104 \ 47$	
$c : r' =$		$149 \ 0$
$p : r' =$	$97 \ 7$	
$\alpha' : a =$	$100 \ 35$	
$c =$	$128 \ 6$	
$r' =$	$136 \ 2$	
$\frac{\alpha'}{2} : a =$	$90 \ 42$	
$c =$	$147 \ 1$	

Fig. 78.

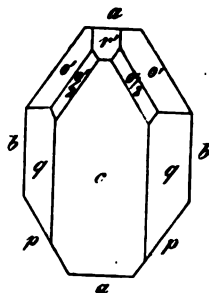


Fig. 78. — Ann. Ch. Pharm. 53, 156.

**Asparagin.**  $\text{C}^4\text{H}^8\text{N}^2\text{O}^3 + \text{aq.}$

Zweigligliedrig.  $a : b : c = 0,4737 : 1 : 0,8327$  Miller.

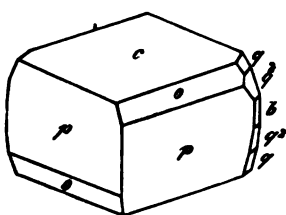
$\alpha, p, q, q^2, b, c.$

	Berechnet		Beobachtet			
	Miller	Rbg.	Pasteur	Kopp		
$2A =$	$135^\circ 14'$					
$2B =$	$73 \ 2$					
$2C =$	$125 \ 34$					
$: p =$	$129^\circ 18'$	$129^\circ 40'$	$129^\circ 37'$	$129^\circ 15'$	$129^\circ 17',5-24'$	
$: q =$	$100 \ 26$					Groth
$: c =$	$140 \ 13$				$139 \ 6$	
$: q^2 =$	$61 \ 58$	$62 \ 42$		$63 \ 10$		Bernhardi

Berechnet	Beobachtet		
	Rammelsberg	Pasteur	Kopp
$q^2 : c = 120^\circ 59'$	$124^\circ 22'$	$120^\circ 46'$	
$q = 160 \ 46$	$160 \ 20$		
$o : c = 117 \ 43$		$116 \ 53$	
$p = 152 \ 47$	$153 \ 0$		$152^\circ 11'$

Das Oktaeder  $o$  erscheint als rechtes oder linkes Tetraeder. — Fig. 79.  
Die Krystalle sind öfter tafelartig nach  $c$ ; die aus Altheewurzel zeigen gewöhnlich nur  $p$ ,  $q^2$ ,  $c$ . Spaltbar nach  $c$ .

Fig. 79.



Kopp's Annahme, die Krystalle seien zwei- und eingliedrig, wird durch die Flächensymmetrie und die optischen Eigenschaften widerlegt, mit deren Untersuchung Lang, Schrauf, Des Cloizeaux und Groth sich beschäftigt haben.

Bernhardi: Ann. Pharm. 42, 58. — Des Cloizeaux: Nouv. Réch. 37. — Groth: Pogg. Ann. 135, 654. — Kopp: Einl. in d. Kryst. 4. Aufl. 342. — Lang: Wien. Ak. Ber. 34, 446. — Pasteur: Ann. Chim. Phys. (3) 34, 70. — Schrauf: Wien. Ak. Ber. 42, 110 (Pogg. A. 112, 595).

Optisches. Ebene der optischen Axen  $= ac$ ; Mittellinie positiv  $= c$ ; starke Doppelbrechung; die Dispersion der Axen ist merklich,  $\varrho < v$ .

Gefunden	Berechnet			
$2H_a = 94^\circ 24'$	$2V = 86^\circ 8'$			
$2H_o = 103 \ 28$	$\beta = 1,575$ für Roth			
$2H_a = 94 \ 56$	$2V = 86 \ 28$			
$2H_o = 103 \ 44$	$\beta = 1,579$ für Gelb			
$2H_a = 95 \ 6$	$2V = 86 \ 42$			
$2H_o = 102 \ 50$	$\beta = 1,589$ für Blau,			
woraus $\alpha = 1,646$ , $\beta = 1,577$ , $\gamma = 1,546$ , $2V = 85^\circ 20'$	Roth			
$= 1,649$ , $= 1,584$ , $= 1,549$ , $= 86 \ 58$	Gelb			

Des Cloizeaux.

Nach Lang ist  $2H_a$

für Roth  $94^\circ 49'$ , für Gelb  $94^\circ 50'$ , für Grün  $95^\circ 34'$ .

Schrauf fand für die Strahlen

$\alpha$	$\beta$	$\gamma$	$2V$
$B = 1,6439$	$1,5752$	$1,5438$	$85^\circ 55'$
$D = 1,6190$	$1,5800$	$1,5476$	$86 \ 38$
$E = 1,6238$	$1,5845$	$1,5513$	$87 \ 8$

Nach Groth ist

$\alpha$	$\alpha$ (zweite Beobachtungsr.)	$\beta$	$\gamma$
Roth $= 1,6476$	$1,6494$	$1,5778$	$1,5438$
Gelb $= 1,6254$	$1,6277$	$1,5829$	$1,5489$
Grün $= 1,6296$	$1,6342$	$1,5876$	$1,5516$
Blau $= 1,6372$	$1,6384$	$1,5943$	$1,5542$

Mit dem Mittel von  $\alpha$  berechnet sich hieraus 2 V

Roth	85° 5'
Gelb	86 15,5
Blau	89 51

Durch Beobachtung fand sich

	$2H_a$	$2H_b$
Roth	94° 7'	102° 10'
Gelb	94 24	102 9
Blau	95 33	101 5

oraus 2 V

Roth	86° 30',5
Gelb	86 40
Blau	87 36,5

Volungewicht. 1,552 Rüdorff.

Eine verdünnte Lösung (1 Mol. gegen 900 Mol. Wasser) ist links-  
rehend; durch Zusatz von Essigsäure nimmt ihre Activität ab, wird bei  
1 Mol. Säure = 0 und geht bei mehr Säure in Rechtsdrehung über. —  
andolt: Ber. d. chem. Ges. 1880, 2333.

Versuche über den Einfluss von Lösungsmitteln auf die Drehung.  
ecker: Ber. d. chem. Ges. 1881, 1028.

#### Asparaginsäure. $C^4H^7NO^4$ .

Zwei- und eingliedrig.  $a : b : c = 0,4829 : 4 : 1,1344$  Pasteur.  
 $\alpha = 88^\circ 20'$ .

$p, q, c$ .	Berechnet	Beobachtet
$p : p =$		*128° 28'
$c =$		*91 30
$q : q =$	82° 50'	
$c =$		*131 25

Dies ist die aus zweifach äpfelsaurem Ammoniak erhaltene inactive  
säure. Die active, aus Asparagin dargestellte, bildet undeutliche, anschein-  
end zweigliedrige Krystalle. — Ann. Ch. Phys. 3) 34, 30.

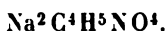
Das specif. Drehungsvermögen. Pasteur: C. r. 31, 480. (Pogg.  
82, 144).

Durch Säurezusatz ändert es sich in gleichem Sinne, wie das des As-  
paragins. S. dieses.

Vgl. ferner Becker (Asparagin).

#### Asparaginsaures Natron.

(Aus inactiver Säure.)



Zwei- und eingliedrig.  $a : b : c = 3,583 : 4 : 0,9236$  Pasteur.  
 $\alpha = 35^\circ 14'..$

$\alpha', p, a, c$ .

	Berechnet	Beobachtet
$o' : o' =$		*112° 53'
$p : p =$		*51 38
$c = 110^{\circ} 50'$		
$a : c =$		*144 46
$o' : a = 125 \ 23$		
$c = 145 \ 0$		

Die Krystalle verdienen eine neue Untersuchung, jedenfalls ist die Deutung der Flächen zu ändern.

\* Das Natronsalz der activen Säure erscheint in nadelförmigen gestreiften Prismen mit einem Tetraeder oder zwei in der Grösse verschiedenen Gegentetraedern.

Pasteur: S. die Säure.

#### Asparaginsäure, chlorwasserstoffsäure. $C^4H^7NO^4 \cdot HCl$ .

A. Optisch inactive.

Zwei- und eingliedrig.  $a : b = 1,7736 : 1$  Pasteur.

$o = 60^{\circ} 45'$ .

$o, p, q^n, a, c.$	Berechnet	Beobachtet
$p : p =$	66° 0'	
$a =$		*123° 0'
$c = 105 \ 44$		
$a : c =$		*119 45

Die übrigen Bestimmungen fehlen.

B. Optisch active.

Zweigliedrig.

Prismen von nahe  $90^{\circ}$  mit Abstumpfung der Kanten, von einem Tetraeder begrenzt, dessen Flächen etwa  $150^{\circ}$  gegen einander geneigt sind. — Pasteur: a. a. O.

#### Aurin. $C^{21}H^{16}O^3$ .

Zweigliedrig.  $a : b : c = 0,5604 : 1 : 0,4719$  Lewis, wonach

$p : p = 121^{\circ} 28'$ ,  $q : q = 129^{\circ} 28'$ ,  $r : r = 61^{\circ} 32'$ .

Rothe Krystalle. — J. Ch. Soc. 11, 434.

#### Azobenzol. $C^{12}H^{10}N^2$ .

Zwei- und eingliedrig.  $a : b : c = 2,1013 : 1 : 2,6472$  Marignac.

$o = 67^{\circ} 49'$ .

$o, o', 2r, r', a, c.$

	Berechnet	Beobachtet	
		Marignac	Calderon
$o : o =$	75° 38'		
$o' : o' =$		*55° 40'	54° 16'
$o : o' = 129 \ 20$		129 30	
$o : o' = 140 \ 2$			140 23
$a : c =$		*112 41	112 31
$r' = 132 \ 59$			130 29
$2r = 162 \ 15$			



Berechnet	Beobachtet	
	Marignac	Calderon
$c : r' = 114^{\circ} 20'$	$114^{\circ} 20'$	$114^{\circ} 30'$
${}^2r = 130 \ 28$	$130 \ 20$	
$o : a = 122 \ 16$	$122 \ 10$	
$c = 118 \ 58$	$119 \ 5$	$118 \ 54$
$o' : a = 108 \ 24$	$108 \ 20$	
$c =$	$*104 \ 0$	$104 \ 1$
$r' = 117 \ 35$	$117 \ 32$	

Tafelartig nach  $c$  oder prismatisch nach der Verticalzone.

Optische Axenebene  $ac$ ; positiv;  $2H = 35^{\circ} 19'$  Roth,  $39^{\circ} 20'$  Gelb.

-Calderon; Groth Ztschr. 4, 234.

Volumgewicht. 1,202 Schröder.

Schmelzpunkt.  $65^{\circ}$  Mitscherlich;  $66^{\circ},5$  Hoffmann.

Siedepunkt.  $193^{\circ}$  Mitscherlich;  $293^{\circ}$  Hoffmann.

Gas-Volumgewicht = 94 Hofmann. Berechnet 94.

#### Azooxybenzol. $C^{12}H^{10}N^2O$ .

Zweigliedrige Prismen von  $92^{\circ} 28'$  ohne Endflächen. — Bodewig: roth Ztschr. 3, 384.

#### Azophenol (Para-). $C^{12}H^{10}N^2O^2 + aq$ .

Eingliedrig.  $p, a, b, c$ .

	Beobachtet Ditscheiner.
$a : b = 107^{\circ} 20'$	$a : c = 95^{\circ} 2'$
$b : c = 100 \ 13$	$p : b = 116 \ 45$

Schmelzpunkt  $204^{\circ}$ . — Wien. Ak. Ber. 77.

#### Azophenylamin, chlorwasserstoffsäures. $C^6H^7N^3O^2 \cdot HCl + aq$ .

Zweigliedrig.  $a : b : c = 0,7102 : 1 : 0,4568$  Schabus.

$o, {}^2p, a, b, c$ .

	Berechnet	Beobachtet
$o \left\{ \begin{array}{l} {}^2A = 137^{\circ} 58' \\ {}^2B = 119 \ 21 \\ {}^2C = 76 \ 32 \end{array} \right.$		$76^{\circ} 30'$
${}^2p : {}^2p = 70 \ 18$		$70 \ 12$
$o : a =$		$*120 \ 19,5$
$b = 111 \ 1$		
$c =$		$*111 \ 44$

Oefter fehlen zwei Flächen von  $o$ , wodurch die nach  ${}^2p$  prismatischen ystalle zwei- und eingliedrig erscheinen. Mit Ausnahme von  ${}^2p$  sind die ichen stark glänzend und eben. Braunroth. Nicht sehr vollkommen altbar nach  $c$ . Pleochromatisch. — Schabus: 74.

#### Barbitursäure. $C^4H^4N^2O^3 + 4 aq$ .

Zweigliedrig.  $a : b : c = 0,697 : 1 : 0,4106$  Rammelsberg.

$p, q, a, c$ .

	Berechnet	Beobachtet
$p : p =$		*110° 14'
$a =$	145° 7'	145 0
$q : q =$	70 40	
$c =$		*125 20
$p =$	117 49	

Prismatisch nach  $p$ . Nur annähernd messbar, weil die Fläche ~~hinreichend~~ spiegeln. Ein  $q$  herrscht oft vor.

Base  $C^{10}H^{13}N$ .

Zwei- und eingliedrig.  $a : b : c = 0,5875 : 1 : 0,5044$  Bod ~~o~~  
 $o = 51° 23'$ .

$p, q, b, c.$	Berechnet	Beobachtet
$p : p =$		*130° 51'
$c =$		*124 33
$q : q =$	42° 48'	
$b =$		111 24
$p \left\{ \begin{array}{l} = 132 \ 52 \\ = 112 \ 4 \end{array} \right.$		132 49 112 26

Ausserdem ein  $r'$ .

Kurz prismatisch nach  $p$ ; spaltbar nach  $b$ . Hellgelb.

Ebene der optischen Axen parallel Axe  $b$ ; Mittellinie =  $b$ , ne

$2H_a = 74° 43'$  Roth,  $75° 40'$  Gelb. — Groth Ztschr. 3, 384.

Schmelzpunkt. 182°—183°.

Benzamid.  $C^7H^7NO$ .

Zwei- und eingliedrig.  $a : b : c = 4,378 : 1 : 4,454$  Klein-  
 $o = 89° 22'$ .

$p, r', \frac{r'}{2}, a, c.$

	Berechnet	Beobachtet	
		Klein	Rath
$p : p =$		*25° 44'	25° 43' ( $r$ )
$a =$	112° 52'		
$c =$	90 8		
$a : c =$		*90 38	
$r' =$		*135 40	135 28 ( $p$ = $a$ )
$c : r' =$	134 12		
$\frac{r'}{2} : a =$	116 26		116 35 ( $2p$ : $a$ )
$c =$	152 56		
$r' =$	161 46		161 29 ( $2p$ : $p$ )

Die Krystalle wurden von Rath für zweigliedrig gehalten. ~~Zwillinge. Zwillingaxe  $c$ , Verwachsungsfläche  $a$ . Prismatisch nach  $p$  tafelförmig nach  $a$ . Spaltbar nach  $a$ .~~

Ebene der optischen Axen  $ac$ . — Rath: Pogg. A. 110, 107.  
 Klein: Ann. Ch. Pharm. 166, 184.

gewicht. 1,338—1,344 Schröder.  
 lzpunkt. 125° Sintonis, Guareschi.

**Benzanishenzhydroxylamin. C<sup>22</sup>H<sup>17</sup>NO<sup>2</sup>.**

**A.  $\alpha$ -Modification.**

Schmelzpunkt 113°—114°.

orig.  $a : b : c = 0,7562 : 1 : 1,0152$  Klein.

$$A = 101^{\circ} 26' \quad \alpha = 102^{\circ} 41'$$

$$B = 103 \ 29 \quad \beta = 104 \ 7$$

$$C = 88 \ 18 \quad \gamma = 85 \ 26$$

$$\frac{o''}{2}, p, p', b, c.$$

	Berechnet	Beobachtet
$p : p' =$		$106^{\circ} 15'$
$b =$	$125^{\circ} 48'$	126 \ 4
$p' : b =$	127 \ 58	127 \ 54
$c : p =$		$108 \ 3$
$p' =$		$93 \ 49$
$b : c =$		$101 \ 26$
$o''' : p =$	$144 \ 5$	144 \ 14
$\frac{o''}{2} : c =$		$134 \ 9$
$\frac{o'''}{2} : b =$	$104 \ 53$	104 \ 56

**B.  $\beta$ -Modification.**

Schmelzpunkt 124°—125°.

edrig.  $a : b = 0,316 : 1$  Klein.

Prismen  $p$  von  $144^{\circ} 56'$ , mit  $b$ , wonach spaltbar.

$27^{\circ} 43'$  Roth,  $127^{\circ} 5'$  Gelb,  $126^{\circ} 49'$  Grün,  $124^{\circ} 55'$  Blau.

**C.  $\gamma$ -Modification.**

Schmelzpunkt 110°.

und eingliedrig.  $a : b : c = 1,3645 : 1 : 1,128$  Klein.

$$o = 65^{\circ} 54'.$$

$q^2, r', a, b, c.$

	Berechnet	Beobachtet
$o' : o' =$	$88^{\circ} 34'$	
$p : p =$		$77^{\circ} 34'$
$c =$		$104 \ 49$
$q : q =$	$88^{\circ} 20'$	
$q^2 : q^2 =$	$51 \ 48$	51 \ 48
$c =$		$115 \ 54$
$a : c =$	$114 \ 6$	
$c : r' =$	$131 \ 17$	131 \ 18
$r' : p =$	$105 \ 7$	105 \ 4
$o' : c =$	$117 \ 26$	117 \ 32
$p =$	$137 \ 46$	137 \ 40
$r' =$	$134 \ 17$	134 \ 17

Tafelartig nach  $c$ .

Ebene der optischen Axen parallel Axe  $b$ ; Mittellinie =  $100^\circ$  gegen Axe  $c$  vorn geneigt; negativ.

$2H_0 = 128^\circ 15'$  Roth,  $129^\circ 0'$  Gelb,  $129^\circ 54'$  Grün.

Groth Ztschr. 4, 630.

Das Verhalten der Modificationen gegen Lösungsmittel und in der W. Lehmann: Eb. 4, 629.

### Dibenzanishydroxylamin. $C^{22}H^{17}NO^4$ .

$\alpha$ -Modification.

Schmelzpunkt  $110^\circ$ — $110^\circ 5$ .

Zwei- und eingliedrig.  $a : b : c = 0,3774 : 1 : 0,2302$  Klein.  
 $o = 68^\circ 44'$ .

$s' = \frac{1}{2}a' : b : c$ . —  $o', 2o', p, 2p, q^2, q^4, a, b$ .

	Berechnet	Beobachtet
$o' : o' =$		$*154^\circ 52'$
$2o' : 2o' =$	$142^\circ 28'$	$142 28$
$s' : s' =$	$160 43$	$160 40$
$p : p =$	$144 33$	$144 22$
$2p : 2p =$	$109 57$	
$q^2 : q^2 =$		$*133 42$
$q^4 : q^4 =$	$98 56$	$99 0$
$o' : p =$	$107 34$	
$2o' : o' =$	$154 23$	$154 25$
$p =$	$135 44$	$135 7$
$b =$	$108 46$	$108 43$

Prismatisch nach der Horizontalzone. Spaltbar nach  $b$ .

Ebene der optischen Axen parallel Axe  $b$ , welche die erste Mitte ist, während die zweite mit  $c$  einen Winkel bildet von  $20^\circ 6'$  für  $20^\circ 42'$  für Gelb,  $22^\circ 14'$  für Blau. —  $2E = 84^\circ 56'$  Roth,  $86^\circ 30'$   $88^\circ 8'$  Grün,  $94^\circ 2'$  Blau. Negativ.

Die  $\beta$ -Modification, Schmelzpunkt  $109^\circ$ — $110^\circ$ , bildet keine messl Krystalle. — Groth Ztschr. 4, 632.

### Anisdibenzhydroxylamin. $C^{22}H^{17}NO^5$ .

A.  $\alpha$ -Modification.

Schmelzpunkt  $137^\circ$ .

Zwei- und eingliedrig.  $a : b : c = 0,605 : 1 : 0,609$  Klein.  
 $o = 88^\circ 20'$ .

$a, 2p, q, q^2, a, b, c$ .	Berechnet	Beobachtet
$o : o =$		$*134^\circ 8'$
$2p : 2p =$	$79^\circ 10'$	
$b =$	$140 25$	$140 30$
$q : q =$		$*117 18$
$b =$	$121 24$	$121 24$
$a =$		$*91 25$

	Berechnet	Beobachtet
$q^2 : q^2 =$	$78^\circ 46'$	
$b =$	$140 \ 37$	$141^\circ \ 7'$
$o : a =$	$131 \ 31$	$131 \ 35$
$c =$	$131 \ 40$	

natisch nach  $b$  und  $q$ . Spaltbar nach  $a$ .

ie der optischen Axen  $ac$ , Mittellinie negativ, mit Axe  $c$  vorn  
 ukel bildend von  $27^\circ 36',5$  Roth,  $27^\circ 2',5$  Gelb,  $25^\circ 47',5$  Blau.  
 =  $80^\circ 42'$  Roth,  $82^\circ 16'$  Gelb,  $83^\circ 24'$  Grün,  $86^\circ 23'$  Blau.

#### B. $\beta$ -Modification.

Schmelzpunkt  $110^\circ$ .

in messbaren Krystallen erhalten. — Groth: Ztschr. 1. 632.

### Anisbenzanishydroxylamin. $C^{23}H^{19}NO^6$ .

#### A. $\alpha$ -Modification.

Schmelzpunkt  $152^\circ - 153^\circ$ .

- und eingliedrig.  $a : b : c = 0,866 : 1 : 0,389$  Klein.

$o = 75^\circ 21',5$ .

$p, b, c.$	Berechnet	Beobachtet
$o : o =$	$145^\circ \ 1''$	$145^\circ \ 2'$
$o' : o' =$		$138 \ 14$
$p : p =$		$100 \ 4$
$c =$	$101 \ 40$	$101 \ 17$
$o : c =$	$152 \ 40$	
$p =$	$128 \ 30$	$128 \ 22$
$o' : c =$	$147 \ 1$	$146 \ 47$
$p =$		$111 \ 49$

artig nach  $b$ .

ie der optischen Axen parallel Axe  $b$ ; Mittellinie negativ, mit Axe  $c$   
 '  $27'$  (Gelb) bildend.

#### B. $\beta$ -Modification.

Schmelzpunkt  $148^\circ - 149^\circ$ .

- und eingliedrig.  $a : b : c = 1,0015 : 1 : 0,7887$  Klein.

$o = 89^\circ 51'$ .

$r, r', a, b.$	Berechnet	Beobachtet
$p : p =$		$89 \ 55'$
$r' =$		$115 \ 52$
$a : r' =$	$128^\circ \ 8$	
$p : r =$	$115 \ 59$	$115 \ 58$
$a : r =$	$128 \ 19$	
$q : q =$	$103 \ 29$	$103 \ 27$
$r' =$		$128 \ 3$
$r =$	$128 \ 7$	$128 \ 11$
$p =$	$116 \ 5$	$116 \ 11$

Tafelartig nach  $b$ ;  $r$  und  $r'$  herrschend.

Ebene der optischen Axen parallel Axe  $b$ , Mittellinie gegen  $c$  von  $a$  nach  $b$  neigt unter  $54^\circ 34'$  für Roth,  $53^\circ 50'$  Gelb,  $53^\circ 5'$  Grün,  $54^\circ 20'$  Blau.  $2E = 45^\circ 30'$  Roth,  $46^\circ 42'$  Gelb,  $47^\circ 45'$  Grün,  $49^\circ 45'$  Blau.

### Dianisbenzhydroxylamin. $C^{22}H^{19}NO^6$ .

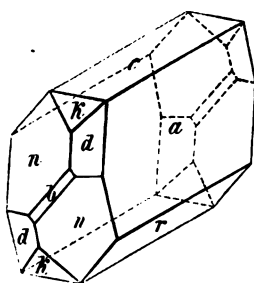
Schmelzpunkt  $147^\circ, 5$ .

Zwei- und eingliedrig.  $a : b : c = 2,25 : 4 : 2,4868$  Klein.  
 $o = 79^\circ 3'$ .

$o(d)$ ,  $o'(n)$ ,  $\frac{q}{2}(k)$ ,  $r'(r)$ ,  $a$ ,  $b$ ,  $c$ .

	Berechnet	Beobachtet
$o : o =$		$*67^\circ 48'$
$o' : o' =$		$*57 36$
$o : o' =$		$*134 37$
$o : o' = 139^\circ 40'$		$139 45$
$\frac{q}{2} : \frac{q}{2} = 78 48$		
$c = 129 9$		$129 16$
$a = 96 55$		$97 0$
$a : c = 100 57$		$100 58$
$r' = 133 0$		$133 0$
$o : a = 116 42$		$116 44$
$c = 114 22$		$114 23$
$o' : a = 109 44$		$109 40$
$c = 106 29$		$106 32$
$r' = 118 48$		$118 48$

Fig. 80.



Prismatisch nach der Verticalzone. — Ebene der optischen Axen parallel  $A$  welche die erste Mittellinie ist, während zweite mit  $c$  vorn  $34^\circ 22'$  für Roth,  $33^\circ 46'$   $33^\circ 14'$  Grün,  $34^\circ 59'$  Blau bildet. — 2.  $404^\circ 27'$  Roth,  $402^\circ 46'$  Gelb,  $404^\circ 40'$   $407^\circ 0'$  Blau. Negativ. — Groth Ztschr. 1.

### Benzdianishydroxylamin. $C^{22}H^{19}NO^6$

A.  $\alpha$ -Modification.

Schmelzpunkt  $137^\circ, 5$  —  $138^\circ, 5$ .

Eingliedrig.  $a : b : c = 0,8025 : 4 : 0,955$  Klein.

$A = 92^\circ 48'$	$\alpha = 99^\circ 4'$
$B = 114 35$	$\beta = 115 58$
$C = 77 24$	$\gamma = 74 43$

$\frac{o''}{2}$ ,  $p$ ,  $p'$ ,  $r'$ ,  $c$ .

	Beobachtet
$p : p' =$	$*103^\circ 12', 5$
$c : p =$	$*114 42$
$p' =$	$*93 25$

	Berechnet	Beobachtet
$r' : p =$		*115° 20'
$p' = 127^{\circ} 2'$		127 0
$c =$		*114 0
$\frac{o''}{2} : p' = 132 37$		132 55
$c = 133 58$		133 48
$r' = 146 46$		147 3

atisch nach  $p, p'$ , ausser ihnen  $c$  herrschend. — Spaltbar nach  $p$ .

#### B. $\beta$ -Modification.

Schmelzpunkt  $137^{\circ},5 - 138^{\circ}$ .

edrig.  $a : b : c = 0,4284 : 1 : 1,3997$  Klein.

$A = 103^{\circ} 6'$	$\alpha = 103^{\circ} 7',5$
$B = 96 42,5$	$\beta = 96 46$
$C = 90 29$	$\gamma = 89 25$

$o'', o''', b, c.$	Berechnet	Beobachtet
$o : o' = 136^{\circ} 0'$		
$o'' : o''' = 133 27$		133° 25'
$o' : o'' = 129 2$		129 5
$c : o = 115 53$		115 56
$o' =$		*106 32
$o'' = 105 40$		105 40
$o''' =$		*95 44
$b : o = 115 38$		117 38
$o' =$		*108 22
$o'' = 116 16$		116 17
$o''' =$		*110 17
$b : c =$		*103 6

chend  $o', o'''$ ,  $c$ . Spaltbar nach  $c$ .

### Tribenzhydroxylamin. $C_{21}H_{15}NO_4$ .

#### A. $\alpha$ -Modification.

Schmelzpunkt  $100^{\circ}$ .

und eingliedrig.  $a : b : c = 1,8536 : 1 : 1,4418$  Klein.  
 $o = 84^{\circ} 42'$ .

$r, r', 2r', a, c.$	Berechnet	Beobachtet
$p : p = 57^{\circ} 12'$		57° 6'
$c = 93 58$		94 3
$3p : 3p =$		*20 36
$c = 91 29$		
$a : c =$		*98 48
$2r' = 137 42$		
$c : r = 150 46$		150 52
$r' =$		*146 13
$r : p = 106 58$		
$3p = 96 15$		

198 Benzenylisodiphenylamidin — Benzenylisodiphenylamidin, chlorwasserstoffs.

Prismatisch nach der Verticalzone. Spaltbar nach  $a$ , weniger nach  $c$ .  
Ebene der optischen Axen  $ac$ ; Mittellinie positiv, fast senkrecht zu  $r$ ,  
mit Axe  $c$  vorn  $44^{\circ} 3'$  bildend.

B.  $\beta$ -Modification.

Schmelzpunkt  $444^{\circ} - 442^{\circ}$ .

Zwei- und eingliedrig.  $a : b : c = 0,897 : 4 : 0,3$  Klein.  
 $o = 83^{\circ} 24'$ .

$o, p, q, a, b$ .	Berechnet	Beobachtet
$o : o =$		$*449^{\circ} 24'$
$p : p =$		$*96 \ 36$
$q : q = 73^{\circ} 24'$		
$o : p =$		$*418 \ 44$

Prismatisch nach  $p$ , spaltbar nach  $a$ . — Ann. Ch. Ph. 166, 481.

Ebene der optischen Axen  $ac$ . —  $2H_a = 88^{\circ} 45'$  Roth,  $94^{\circ} 44'$  Grün,  
 $93^{\circ} 46'$  Blau.

C.  $\gamma$ -Modification.

Zwei- und eingliedrig.  $a : b = 0,9257 : 4$  Klein.  
 $o = 65^{\circ} 54'$ .

$p, c$ .	Beobachtet
$p : p =$	$99^{\circ} 36'$
$c =$	$108 \ 40$

Kurze Prismen. Spaltbar nach  $p$  und  $c$ .

Ebene der optischen Axen  $ac$ , Mittellinie positiv, fast normal zu Fläche  
 $c$ ;  $2H_a = 104^{\circ} 35'$  Roth,  $105^{\circ} 5'$  Gelb,  $105^{\circ} 30'$  Grün. — Groth Ztschr.  
4, 630.

Lehmann: die physikalische Isomerie der Hydroxylaminderivate.  
Ebend. 627.

Benzenylisodiphenylamidin.  $C^{19}H^{18}N^2$ .

Schmelzpunkt  $444^{\circ},5 - 442^{\circ}$ .

Zweigliedrig.  $a : b = 0,94 : 4$  Bodewig.

Tafelartige Krystalle nach  $c$ , an denen  $p, a, b, c$  beobachtet wurden.  
— Groth Ztschr. 3, 384.

Benzenylisodiphenylamidin, chlorwasserstoffsaurer.  $C^{19}H^{18}N^2.HCl$ .

Zwei- und eingliedrig.  $a : b : c = 0,5294 : 4 : 0,5072$  Bodewig.  
 $o = 85^{\circ} 52'$ .

$o', p, q, q^2, a, b, c$ .	Berechnet	Beobachtet
$o' : o' =$	$138^{\circ} 28'$	$138^{\circ} 24'$
$p : p =$		$*124 \ 20$
$q : q = 126 \ 20$		$125 \ 52$
$a = 94 \ 44$		$93 \ 32$
$q^2 : q^2 = 154 \ 36$		
$b = 135 \ 24$		$135 \ 24$



	Berechnet	Beobachtet
$p : q \left\{ \begin{array}{l} = \\ = \end{array} \right.$		$105^{\circ} 31'$ $98 \ 52$
$q^2 = 112^{\circ} \ 9'$		$112 \ 11$
$o' : a = 128 \ 23$		$128 \ 0$
$p = 135 \ 37$		$135 \ 27$
$q = 137 \ 55$		$138 \ 12$

elartig nach  $b$ : zuweilen Zwillinge nach  $a$ . Spaltbar nach  $a$ .  
ne der optischen Axen  $ac$ ; negativ.

**Benzenyltolylsulfophenylamidin.**  $C^{13}H^{16}N^2SO^2$ .

Schmelzpunkt  $145^{\circ} - 146^{\circ}$ .

si- und eingliedrig.  $a : b : c = 0,65 : 1 : 0,533$  Bodewig.  
 $o = 69^{\circ} 16'$ .

	Berechnet	Beobachtet
$p : p =$		$117^{\circ} 22'$
$c =$		$107 \ 36$
$q : q = 127^{\circ} \ 0'$		
$c = 153 \ 30$		$153 \ 27$
$p \left\{ \begin{array}{l} = \\ = \end{array} \right. 92 \ 2$		$120 \ 10$ $92 \ 3$

elartig nach dem rechten  $p$ , welches nebst dem linken  $q$  herrscht.  
nach  $p$ . — Groth Ztschr. 3, 384.

**Benzil.**  $C^{14}H^{10}O^2$ .

hsigliedrig.  $a : c = 1 : 1,6288$  Des Cloizeaux.

	Berechnet	Beobachtet
$\frac{r'}{2}, p, c.$		
$2A \text{ von } r (r') = 80^{\circ} \ 14'$		$80^{\circ} \ 0'$
$\frac{r'}{2} = 107 \ 12$		$107 \ 21$
$r : c =$		$118 \ 0$
$\frac{r'}{2} : c = 136 \ 45$		$137 \ 4$
$p : r = 152 \ 0$		$152 \ 4$
$\frac{r'}{2} = 133 \ 15$		$133 \ 9$
$\frac{r'}{2} : r = 130 \ 7$		$129 \ 42$

be sechssichtige Prismen  $p$  mit der Endfläche  $c$ ; die übrigen Flä-  
ergeordnet.

pelbrechung stark, positiv. — Circularpolarisation; rechts- und  
ende Krystalle (aus derselben Lösung in Aether). Aus der Lösung  
1 Art schießen beiderlei Krystalle an. Die ätherische Lösung selbst  
iv. Die Drehung ist noch etwas stärker als beim Quarz.

n Erwärmen wird  $r$  schärfer, entgegengesetzt dem Verhalten des  
— C. r. 68, 308 (Pogg. A. 137, 629) u. 70 (1870).

**Benzimidothiäthyl s. Jodwasserstoff-Benzimidothiäthyl****Benzodiphenylamid.  $C^{13}H^{15}NO$ .**Schmelzpunkt  $176^{\circ}$ .Zweigliedrig.  $a : b : c = 0,950 : 1 : 0,324$  Bodewig.

$p, q, a, b, c.$	Berechnet	Beobachtet
$p : p =$		$*92^{\circ} 56'$
$q : q = 144^{\circ} 4'$		
$c =$		$*162 \quad 2$

Tafelartig nach  $c$ . Spaltbar nach  $c$ .Ebene der optischen Axen  $a b$ , Mittellinie  $b$ , negativ.  $2H_a$ :  
Roth,  $30^{\circ} 24'$  Gelb,  $23^{\circ} 24'$  Grün,  $22^{\circ} 48'$  Blau. — Groth Ztschr.**Benzodiphenylthiamid.  $C^{19}H^{15}NS$ .**Eingliedrig.  $a : b : c = 0,927 : 1 : 0,766$  Bodewig.

$A = 92^{\circ} 27'$	$\alpha = 93^{\circ} 29'$
$B = 100 \quad 38$	$\beta = 100 \quad 55$
$C = 84 \quad 48$	$\gamma = 84 \quad 44$
$o, o', o'', o''', p, p', c.$	Berechnet
$p : p' =$	Beobachtet *95° 49'
$c : p =$	*99 98
$p' =$	*95 56
$o : p = 99^{\circ} 56'$	100 18
$c =$	*138 24
$o' : p' = 142 \quad 3$	142 0
$c =$	*133 54
$o'' : p' = 114 \quad 35$	
$c = 127 \quad 44$	127 19
$o''' : p = 132 \quad 22$	132 17
$c = 127 \quad 40$	127 54

Prismatisch nach  $p$ ; gelbbraun. — Groth Ztschr. 3, 384.  
Schmelzpunkt  $149-154^{\circ}$ .**Benzoessäureanhydrid.  $C^{14}H^{10}O^3$ .**Zweigliedrig.  $a : b : c = 0,877 : 1 : 0,883$  Bodewig. $n = 2a : b : c.$  —  $p, a, b, c.$ 

	Berechnet	Beobachtet
$p : p =$		$*97^{\circ} 30'$
$a = 138^{\circ} 45'$		
$n \left\{ \begin{array}{l} 2A = 103 \quad 28 \\ 2B = 138 \quad 38 \\ 2C = 90 \quad 56 \end{array} \right.$		
$n : a = 110 \quad 44$		$110 \quad 34$
$b = 128 \quad 16$		$128 \quad 20$
$c = 134 \quad 32$		$134 \quad 34$

Tafelartig nach  $a$ . Spaltbar unvollkommen nach  $c$ .

Ebene der optischen Axen =  $bc$ ; Mittellinie negativ =  $c$ .  $2H_a = 28'$  Roth,  $39^\circ 42'$  Gelb. — Groth Ztschr. 4, 57.  
Schmelzpunkt  $42^\circ$ . V. G. s. d. folg.

**Benzoessäure.  $C^7H^6O^2$ .**

Zwei- und eingliedrig.  $a : b : c = 1,0508 : 4 : 4,2084$  Bodewig.  
 $\alpha = 82^\circ 55'$ .

$p, q, r, r', c$ . Berechnet

Beobachtet

$$p : p = 87^\circ 36'$$

$$q : q = 26 \ 56$$

$$c =$$

$$c : r =$$

$$r' = 97 \ 44$$

$$r : r' =$$

$$q : r = 94 \ 42$$

$$r' = 94 \ 44$$

$$p = 136 \ 43$$

Bodewig

Miller

$$*103^\circ 28'$$

$$*110 \ 36$$

$$110^\circ 35'$$

$$97 \ 46$$

$$97 \ 20$$

$$*152 \ 8$$

$$94 \ 47$$

$$94 \ 42$$

$$136 \ 34$$

Tafelartig nach  $c$ .

Ebene der optischen Axen =  $ac$ ; eine Axe steht fast senkrecht zur Ebene  $c$ . — Bodewig: a. a. O. — Miller: Pogg. A. 37, 373.

Volumgewicht (sublimirte). 1,337 Rudorff; 1,204 (bei  $24^\circ$ ) Mendelejew; 1,288—1,297 Schröder.

Volumgewicht des Anhydrids (flüssig) bei  $27^\circ = 1,227$  und 1,206  $25^\circ,8$  Mendelejew; 1,234—1,247 Schröder.

Volumgewicht der flüssigen S. 1,0838 bei  $124^\circ,4$  (aq von  $0^\circ = 1$ ) pp.

Schmelzpunkt.  $124^\circ,4$  Kopp.

Siedepunkt.  $223^\circ$  bei 742,3 mm. Kopp.

Ausdehnung.  $V = 1 + 0,0008037 t + 0,0000012459 t^2$  ( $132^\circ,8$   $203^\circ,3$ ) Kopp.

Löslichkeit in Wasser. 400 Th. Wasser lösen

bei  $0^\circ$  0,17

bei  $40^\circ$  0,555

40 0,24

50 0,775

45 0,245

60 1,455

20 0,29

70 1,775 Bourgoin.

30 0,44

Löslichkeit in Wasser und Aether Berthelot: C. r. 69, 338.

Brechungsverhältnisse der Lösungen Gladstone: J. Ch. Soc. 8, 404.

Elektrolyse. Bourgoin: Ann. Ch. Phys. (4) 44, 457. — Berthelot: Bull. Soc. chim. (2) 9, 403.

Thermochemisches. Berthelot: C. r. 77, 24. Ann. Ch. Phys. 29, 328.

**Benzoesaures Ammoniak — Benzoesaures**

**Benzoesaures Ammoniak.  $\text{NH}_4 \cdot \text{C}_7\text{H}_5\text{O}_2$ .**

Zweigliedrig.  $a : b : c = 0,9867 : 1 : 2,4568$  Marignac.

$o, r, b, c.$	Berechnet	Beobachtet
$o \begin{cases} 2A = \\ 2B = \\ 2C = \end{cases}$	$94^\circ 48'$ 143 56	$*96^\circ 42'$ 94 50 143 56
$r : r =$	49 10	
$c =$	144 35	144 30
$o : c =$		$*108 \quad 2$
$r =$	138 6	138 0

Marignac: Ann. Min. (5) 12.

Volumgewicht. 1,264 Schröder.

**Benzoesaurer Kalk.  $\text{Ca} \cdot \text{C}^{14}\text{H}^{10}\text{O}^4 + 3\text{aq.}$**

Zweigliedrig.  $a : b : c = 0,6269 : 1 : 0,2949$  Schabus.

$p, q, a, b.$	Berechnet	Beobachtet
$p : p =$	$115^\circ 50'$	
$b =$		$*122^\circ 5'$
$q : q =$	147 8	
$b =$		$*106 \quad 26$
$p =$	98 38	

Sehr zarte Nadeln oder Blättchen nach  $b$ .

Beide  $q$  fanden sich nur an einem Krystall und hier nur an einem Ende, wobei  $q : b = 106^\circ 42'$  und  $q' : b = 106^\circ 40'$ . Ueberhaupt sind Messungen unsicher.

Spaltbar anscheinend rechtwinklig nach  $a$  und  $b$ .

Auch den Wassergehalt der verwitternden Krystalle hat Schabus nicht angegeben.

Volumgewicht. 1,435—1,437 Schröder.

**Benzoesaures Glycol.  $\text{C}^{16}\text{H}^{14}\text{O}^4$ .**

Schmelzpunkt  $69^\circ$ .

Zweigliedrig.  $a : b : c = 0,7407 : 1 : 0,3479$  Bodewig

$i = \frac{1}{2}a : b : c; x = a : \frac{1}{2}b : c.$

$o, p, a, b.$	Berechnet	Beobachtet
$o \begin{cases} 2A = \\ 2B = \\ 2C = \end{cases}$	$60^\circ 38'$	$*145^\circ 3'$ $*132 \quad 9$
$p : p =$	106 56	106 47
$b =$	126 32	126 37
$o : b =$	107 29	107 28
$p =$	120 49	120 20
$i : b =$	104 44	104 47
$o =$	162 24	162 42

Prismatisch nach  $p$ .

Ebene der optischen Axen  $ab$ , Mittellinie  $a$ ;  $2H_a = 35^\circ 34'$  Roth,  $7'$  Gelb. — Groth Ztschr. 3, 384.

### Benzoësaures Phenyl. $C^{26}H^{20}O^4$ .

Zwei- und eingliedrig.  $a : b : c = 0,8425 : 4 : 0,7727$  Bodewig.  
 $\alpha = 78^\circ 55'$ .

$p, r', a, b, c$ . Berechnet

Beobachtet

	Bodewig	Dauber
$p : p =$	$*100^\circ 49'$	$100^\circ 48'$
$c = 98^\circ 34'$	98 34	98 38
$a : c =$	$*104 \quad 5$	
$r' =$	$*126 \quad 27$	
$c : r' = 132 \quad 28$	132 20	

Ebene der optischen Axen  $ac$ . — Dauber: Ann. Ch. Ph. 90, 192. — Bodewig: Groth Ztschr. 4, 57.

### Benzoësaure - Aether.

	bei $0^\circ$	V. G.	Siedep.
ethyläther $C^9H^{10}O^2$	1,0657	1,0556 bei $40^\circ,5$	$242^\circ,9$ (745,5 mm)
myläther $C^{12}H^{16}O^2$	1,0039	0,9925 - $44^\circ,4$	$260^\circ,7$ (745,6 - )
lethyläther $C^8H^8O^2$	1,1026	1,0876 - $46^\circ,3$	$199^\circ,2$ (746,4 - )

Diese Werthe und die Ausdehnungscoefficienten bestimmte Kopp: Ann. Ch. Ph. 94, 257.

### Benzol. $C^6H^6$ .

Erstarrungs- und Schmelzpunkt.  $4^\circ,45$  Regnault,  $3^\circ$  Roth,  $5^\circ,04$  Schoop.

Krystallform. Zweigliedrig.  $a : b : c = 0,89 : 4 : 0,8$  Groth. Rombenoktaeder, wie auch die optische Prüfung bestätigt. — Pogg. A. 4, 33.

Ausdehnung\*).  $V = 1 + 0,00417676t + 0,00000427755t^2 + 0,000000080874t^3$  Kopp. — Vgl. Mendelejew: Ann. Ch. Ph. 119, 1.

Volumgewicht.

0,85	bei $49^\circ$	= 0,868	bei $0^\circ$	Mitscherlich
0,88372	- 15,2	= 0,89914	- —	Kopp.
0,88354	- 15,3	= 0,89908	- —	
0,8844	- 15			
0,8820	- 15	= 0,8957	-	Mendelejew
0,6986	- 16,5			Warren
0,88462	- 15	= 0,90023	-	Winkelmann
0,88357	- 15	= 0,899487	-	Adrieenz
0,884	- 9			Pisati
0,8785	- 21,3			Gladstone
0,8995	- 0			Lorentz
				Longuine.

\*) Die folgenden Angaben betreffen natürlich flüssiges Benzol.

## Siedepunkt.

86°				Mitscherlich
80,4	bei 760	mm		Kopp
80,8	- 760	-		Church
80,36	- 760	-		Regnault
78	- 728	-		Städeler
80,4				Warren
80,60—67				Adrieenz
79,5				Mascart
79,9	- 739,9	-		Schoop
80,29—80,48	- 770	-		Pettersson.

## Specif. Wärme.

0,3932	20° — 45°	} Regnault
0,3865	45 — 40	
0,3999	40 — 5	
0,450	46 — 49	} Kopp
0,4237	44 — 20	
0,4494	35,5—49,5	} Schüller
0,4458	30,5—49,5	

Schüller: Pogg. A. Ergbd. 5, 425. — Vgl. Winkelmann (der, nach dem V. G. zu urtheilen, kein reines Benzol gehabt hat): Pogg. A. 450, 603. — Neue Untersuchungen von Reis: Wiedem. Ann. 43, 447.

Latente Schmelzwärme = 29089 W. E. — Pettersson: J. f. pr. Ch. (2) 24, 429.

Latente Dampfwärme. Regnault: Relation des expér.

Specif. Wärme des Dampfes für gleiche

Gewichte 0,3754

Volume 1.0444 Regnault.

## Spannkraft der Dämpfe

bei 7° 22	20,1 mm	bei 16° 05	35° 0 mm	
- 9.98	24.2 -	- 48.59	44.0 -	
- 13.11	29.2 -			Regnault.

## Spätere Versuche Desselben haben ergeben

bei —25°	2.37 mm	bei 100°	1352,27 mm
- 0	26.62 -	- 120	2256.26 -
- +10	46.59 -	- 150	4336.70 -
- 20	76.34 -	- 180	7425.66 -
- 30	119.89 -	- 185	8042.41 -
- 50	269.51 -		
- 80	756.63 -		

C. r. 50, 1063. Pogg. A. 111, 408.

Gas-Volumgewicht. 40.0 Mitscherlich, 38.66 Grabowski (berechnet 39. Aenderung desselben mit T. und Druck. Schoop: Wiedem. Ann. 12, 559.

Brechungsverhältnisse. Powell fand n

<b>B</b>	<b>C</b>	<b>D</b>	<b>F</b>	<b>G</b>	<b>H</b>
, 4895	1,4961	1,4978	1,5093	1,5206	1,5310

Sc. (2) 10, 392.

<b>A</b>	<b>D</b>	<b>H</b>
, 4953	1,5050	1,5387

ei 9°. Gladstone.

, 4957 bei 15° (Na-Linie) Adrieenz.

<b>B</b>	<b>C</b>	<b>D</b>	<b>E</b>
1,479547	1,482833	1,492372	1,504540

<b>F</b>	<b>G</b>
1,515948	1,537200

S a u b e r: Pogg. A. 117, 592.

Vgl. Prytz: Wiedem. Ann. 41, 117, wo zugleich die Brechungsverhältnisse des Dampfes. Letzteren auch Mascart: C. r. 86, 321.

Thermochemisches. Berthelot: C. r. 82, 185. — Thomsen: d. chem. Ges. 1880, 1390. 1806.

Elektrolyse. Ber. d. chem. G. 1880, 1991.

**Benzolhexachlorid. C<sup>6</sup>H<sup>6</sup>Cl<sup>6</sup>.**Zwei- und eingliedrig.  $a : b : c = 0,5088 : 1 : 0,527$  Bodewig.  
 $\alpha = 68^\circ 46'$ . $q, r', a, b, c.$ 

Beobachtet

 $a : c = 111^\circ 14'$  $b : q = 115 22$  $c : r' = 122 54$ Tafelartig nach  $a$ . Spaltbar nach  $b$ .Ebene der optischen Axen  $ac$ . Groth Ztschr. 3, 381.

Schmelzpunkt. 157°.

**Benzolsulfinsaures Diazobenzol. C<sup>12</sup>H<sup>10</sup>N<sup>2</sup>SO<sup>2</sup>.**Zweigliedrig.  $a : b : c = 0,618 : 1 : 0,216$  Friedländer. $p, q, b.$ 

Berechnet

Beobachtet

 $p : p = 116^\circ 34'$  $b =$  $121^\circ 43'$  $q : q = 155 38$  $b =$  $102 11$  $p = 96 22$  $96 41$ Rothe, nach  $b$  tafelartige Krystalle. Spaltbar nach  $a$ .Optische Axenebene  $bc$ , Mittellinie  $b$ . Doppelbrechung positiv, stark.  $T_\alpha = 84^\circ 27'$  Roth,  $84^\circ 48'$  Gelb. Für Grün war die Platte undurchsichtig. — Groth Ztschr. 3, 175.**Benzolsulfomonochloranilid. C<sup>12</sup>H<sup>10</sup>ClNSO<sup>2</sup>.**

Schmelzpunkt 118°.

Zweigliedrig.  $a : b : c = 0,898 : 1 : 1,084$  Bodewig.

	Berechnet	Beobachtet		Berechnet	Beobachtet
$o$	$2A =$	$*110\ 39'$	$q : q =$	$85^\circ\ 22'$	
	$2B = 101^\circ\ 28'$		$c =$		$132^\circ\ 41'$
	$2C = 116\ 42$		$o : q =$	$140\ 44$	
$o^2$	$(2C) = 125\ 44$		$o^2 : c =$		$*121\ 39$
			$o =$	$165\ 29$	

Herrschend  $o$ ; spaltbar nach  $c$ ; gelblich.

Ebene der optischen Axen =  $a\ b$ . — Groth Ztschr. 3, 384.

### Benzoylbenzoesäure. $C^{14}H^{12}O^2$ .

#### A. $\alpha$ -Modification.

Zwei- und eingliedrig.  $a : b : c = 2,940 : 1 : 5,59$  Bodewig.

$o = 68^\circ\ 41'$ .

$p, r', a, c.$	Berechnet	Beobachtet
$p : p =$		$*40^\circ\ 46'$
$c =$	$97^\circ\ 24'$	$97\ 34$
$a : c =$		$*111\ 59$
$r' =$		$*148\ 44$
$c : r' =$	$99\ 47$	$99\ 0$
$p : r' =$	$109\ 37$	$109\ 23$

Tafelartig nach  $c$ . Spaltbar nach  $b$ .

Ebene der optischen Axen parallel Axe  $b$ .

Schmelzpunkt  $194^\circ$ .

#### B. $\beta$ -Modification.

Eingliedrig.  $a : b : c = 0,5068 : 1 : 0,6333$  Bodewig.

$A = 104^\circ\ 24'$	$\alpha = 99^\circ\ 5'$
$B = 120\ 21$	$\beta = 118\ 23$
$C = 103\ 20$	$\gamma = 97\ 13$

$o'', o''', p, p', {}^3p', c$  ( $b$  Spaltfläche).

	Berechnet	Beobachtet
$p : p' =$	$132^\circ\ 32'$	$132^\circ\ 40'$
$b =$	$125\ 9$	$124\ 49$
$c =$		$*121\ 28$
$p' : b =$	$102\ 37$	$102\ 45$
$c =$		$*113\ 20$
$b : c =$	$104\ 24$	$104\ 16$
$o'' : o''' =$		$*127\ 24$
$c =$		$*114\ 8$
$p' =$	$132\ 32$	$132\ 40$
$o''' : c =$		$*100\ 24$
$p =$	$138\ 8$	$138\ 4$
${}^3p' : p' =$	$143\ 39$	$143\ 54$

Spaltbar nach  $b$ , weniger nach  $p$ . Herrschend  $p, p', c$ . — Groth Ztschr. 3, 384.

### Benzoylcyanid. $C^6H^5NO$ .

Zwei- und eingliedrig.  $a : b : c = 2,656 : 1 : 2,840$  Bodewig.

$o = 60^\circ\ 54'$ .



$a, c.$	Berechnet	Beobachtet
$p : p =$	$46^{\circ} 38'$	$46^{\circ} 29'$
$a =$		$*113 \ 19$
$c =$	$101 \ 7$	$101 \ 17$
$a : c =$		$*119 \ 9$
$c : r' =$		$*117 \ 10$
$p : r' =$	$102 \ 41$	$102 \ 43$

Zwillinge nach der Tafelfläche  $a$ .

Die der optischen Axen  $a c$ . — Groth Ztschr. 3, 384.

Schmelzpunkt.  $32^{\circ}, 5-34^{\circ}$ .

#### Benzoylditolylamin. $C^{21}H^{19}NO$ .

Un- und eingliedrig.  $a : b : c = 0,6428 : 1 : 0,5397$  Haushofer.

$A =$	$80^{\circ} 4'$	$\alpha =$	$79^{\circ} 40'$
$B =$	$100 \ 33$	$\beta =$	$100 \ 51$
$C =$	$90 \ 54$	$\gamma =$	$92 \ 45$

$^2p, q', a, b, c.$	Berechnet	Beobachtet
$a : b =$		$*90^{\circ} 54'$
$p =$	$117^{\circ} 29'$	$117 \ 29$
$b : p =$		$*123 \ 22$
$^2p =$	$143 \ 24$	$143 \ 11$
$p' =$	$119 \ 17$	$119 \ 17$
$c : p' =$	$94 \ 25$	$93 \ 38$
$^2p =$	$90 \ 36$	$90 \ 54$
$b : c =$		$*80 \ 4$
$q' : c =$		$*154 \ 25$
$a : c =$		$*100 \ 33$
$q' =$	$98 \ 19$	$98 \ 18$

Artig nach  $c$  und nach  $bc$  prismatisch.

Schmelzpunkt  $125^{\circ}$ . — Groth Ztschr. 4, 579.

#### Benzoylmethylanilin. $C^{14}H^{13}NO$ .

Un- und eingliedrig.

$a, b, c$ . Kleine nach  $a$  tafelartige Krystalle. Spaltbar nach  $b$ .

Beobachtet  $a : c = 119^{\circ} 40'$ ;  $c : r' = 160^{\circ} 54'$ .

Die optische Axenebene parallel Axe  $b$ , Mittellinie fast senkrecht auf  $a$ . — Schimper: Groth Ztschr. 5, 309.

#### Benzoylsulfophenylimidchlorid. $C^{13}H^{10}ClNSO_2$ .

Un- und eingliedrig.  $a : b = 0,8625 : 1$  Bodewig.

$A =$	$86^{\circ} 2'$	$\alpha =$	$87^{\circ} 59'$
$B =$	$95 \ 40$	$\beta =$	$94 \ 31$
$C =$	$68 \ 9$	$\gamma =$	$68 \ 24$

$b, c.$	Berechnet	Beobachtet
$a : b =$		$*111^{\circ} 51'$
$p =$		$*130 \ 25$
$b : p =$	$117^{\circ} 45'$	$117 \ 44$

	Berechnet	Beobachtet
$b : c =$		*93° 58'
$a : c =$		*95 40
$p : c =$	92° 8'	91 44

Tafelartig nach  $c$ . — Groth Ztschr. 3, 384.

Schmelzpunkt 79°—80°.

### Benzoylsuperoxyd. $C^7H^5O^4$ .

Zweiglig.  $a : b : c = 0,6285 : 4 : 0,6594$  Miller.

$o, p, q, \frac{q}{2}, \frac{r}{2}, a, c.$	Berechnet	Beobachtet
$o \left\{ \begin{array}{l} 2A = \\ 2B = \\ 2C = \end{array} \right.$	$\begin{array}{l} 131^\circ 4' \\ 97 36 \\ 102 44 \end{array}$	
$p : p =$		*115° 42'
$q : q =$		*113 42
$\frac{q}{2} : \frac{q}{2} =$	143 30	
$\frac{r}{2} : \frac{r}{2} =$	124 39	124 40
$o : c =$	128 55	128 57

Prismatisch nach  $p$ ; die Flächen sind glänzend, aber uneben.

Ebene der optischen Axen  $bc$ , Mittellinie  $b$ . — Proc. R. Soc. 4

### Benzyl (Dibenzyl). $C^{14}H^{14}$ .

Zwei- und eingliedrig. Annähernd  $r' : a = 150^\circ$ ,  $r' : c = o' : b = 132^\circ$ . Sella. — C. r. 53, 544 (Ann. Ch. Ph. 124, 250).

### Benzylphenylhydracin. $C^{13}H^{12}N^2$ .

Zwei- und eingliedrig.  $a : b : c = 0,853 : 4 : 0,67$  Arzrun  
 $o = 87^\circ 40'$ .

$p, p^2, r, c.$	Berechnet	Beobachtet
$p : p =$		*99° 6'
$c =$		*91 46
$p^2 : p^2 =$	132° 43'	
$r : c =$		*142 25
$p =$	119 0	118 49

Prismatisch nach den  $p$ . Ebene der optischen Axen  $ac$ .

Schmelzpunkt 152°, 5. — Groth Ztschr. 4, 388.

### Benzylsulfid. $C^{14}H^{14}S$ .

Zweiglig.  $a : b : c = 0,8426 : 4 : 0,545$  Bodewig.

$o' p, a, b.$	Berechnet	Beobachtet
$o^2 \left\{ \begin{array}{l} 2A = \\ 2B = \\ 2C = \end{array} \right.$	$\begin{array}{l} \\ \\ 78^\circ 28' \end{array}$	$\begin{array}{l} *132^\circ 59' \\ 124 42 \end{array}$
$p : p =$	104 48	
$a =$	140 54	140 53
$b =$	129 6	129 5
$o =$	129 14	129 14

natisch nach der Horizontalzone.

Ebene der optischen Axen ist  $=ac$ ; Mittellinie negativ  $=c$ . Eine Schnittlinie der Ebene  $ab$  geschnitten, ergibt  $2H$

$76^{\circ} 10'$  Li-roth;  $75^{\circ} 27'$  Na-gelb;  $74^{\circ} 56'$  Tl-grün.

Ph. 178, 372.

**Berberonsäure.**  $C^6H^5NO^6 + 2aq$ .

Unvollständig. Hexaide, an denen  $a : b = 93^{\circ} 15'$ ,  $b : c = 78^{\circ} 42'$ ,  $a : c = 16^{\circ} 38'$ . — Ditscheiner: Ber. d. ch. Ges. 1879, 443.

**Bernsteinsäureanhydrid.**  $C^4H^4O^3$ .

Unvollständig.  $a : b : c = 0,5952 : 1 : 0,4617$  Bodewig.

$p, q, r$ .	Berechnet	Beobachtet
$p : p =$	$118^{\circ} 29'$	$118^{\circ} 6'$
$^2p : ^2p =$		$80 \quad 4$
$p =$	$160 \quad 47,5$	$161 \quad 3$
$q : q =$	$130 \quad 26$	$131 \quad 11$
$r : r =$		$104 \quad 24$
$p : r =$	$121 \quad 47$	$121 \quad 41$
$q =$	$102 \quad 27$	$102 \quad 30$
$q : r =$	$135 \quad 50$	$135 \quad 49$
$^2p =$	$108 \quad 43$	$108 \quad 48$
$^2p : r =$	$113 \quad 13$	$113 \quad 10$

natisch nach der Horizontalzone, das zweite und dritte Paar sehr entwickelt. — Groth Ztschr. 5, 557.

Schmelzpunkt.  $115-120^{\circ}$  Arppe;  $119^{\circ}$  Kraut.

**Bernsteinsäure.**  $C^4H^6O^4$ .

Unvollständig.  $a : b : c = 0,5739 : 1 : 0,5984$  Rammelsberg.

$q, b, c$ .	Berechnet	Beobachtet
$\alpha \begin{cases} 2A = \\ 2B = \\ 2C = \end{cases}$	$96^{\circ} 22'$ $100 \quad 30$	$135^{\circ} 0'$
$p : p =$	$120 \quad 18$	$120 \quad 40$
$b =$	$119 \quad 51$	$119 \quad 55$
$q : q =$	$118 \quad 12$	
$c =$	$149 \quad 6$	$149 \quad 0$
$o : b =$	$112 \quad 30$	$112 \quad 16$
$c =$		$129 \quad 45$

Unvollständig nach  $c$ . Die Oктаederflächen ungleich, an der unteren Seite sichtbar oder fehlend.

Umgewichtet. 1,552 Boedeker.

Löslichkeit der S. in Wasser, Äther und Mischungen. Berthel. 69, 338.

Zersetzung durch den electrischen Strom. Kolbe: Ann. Ch. Ph. — Kekulé: Eb. 131, 79. — Bourgoin: Ann. Ch. Phys. (4)

Thermochemisches. Thomsen: Pogg. A. 440, 497. 44  
Ber. d. ch. Ges. 1873, 740.

### Bernsteinsaures Ammoniak.

Zweifach.  $\text{HAmC}^4\text{H}^4\text{O}^4$ .

Eingliedrig.

$o, p, p', q, q', a, b, c$ .

Beobachtet

	Rammelsb.	Brooke
$p : p' =$	$135^\circ 54'$	$135^\circ 46'$
$a =$	139 30	
$b =$	123 30	
$p' : b =$	100 38	100 15
$b : c =$		94 53
$q : q' =$	122 25	
$c =$		154 7
$b =$	117 2	
$q' : c =$		154 57
$b =$	120 46	149 53
$c : p =$		94 45
$p' =$		93 25
hint. $p' : q =$	90 25	
$p : q' =$	104 32	
$o : p =$	111 15	
$q' =$	143 14	

Spaltbar nach  $b, c, p'$ . — Brooke: Ann. Phil. 22, 286.

### Bernsteinsaures Natron.

I. Normales.

$\text{Na}^2\text{C}^4\text{H}^4\text{O}^4 + 6\text{aq}$  (Rammelsberg).

Zwei- und eingliedrig.  $a : b : c = 0,9834 : 1 : 4,6689$  Rammelsberg.  
 $o = 76^\circ 39'$ .

$p, q, \frac{r}{2}, 2r, r', c$ .

Berechnet

Beobachtet

$p : p =$		$*92^\circ 30'$
$c =$		$*99 36$
$q : q =$	$63^\circ 46'$	
$c : \frac{r}{2} =$	145 24	145 24
$2r =$	118 23	
$r' =$	110 14	110 40
$\frac{r}{2} : r' =$	104 22	103 54
$r^2 : r' =$	134 23	130 55
$\frac{r}{2} =$	152 59	152 48
$p : r' =$		$*127 0$

Gewöhnlich prismatisch nach der Zone  $pqr'$ .

kommen mehr nicht wohl bestimmbare Augitpaare vor. Ueberdies die Krystalle in der Regel nur theilweise ausgebildet, die gekrümmt.

Von Brooke als viergliedrig beschriebenen Krystalle sind vielleicht mit den beschriebenen. — Brooke: a. a. O.

## II. Zweifach.

### a. $\text{HNaC}^4\text{H}^4\text{O}^4$ (Rammelsberg).

iedrig.

Krystalle scheinen immer Zwillinge zu sein, Combinationen  $p$ ,  $p'$ , haben die Axenebene  $ac$  gemein, die übrigen Flächen liegen von der Augitgrenze aus umgekehrt. Beide erscheinen als Hälften, die eine Ebene um  $180^\circ$  gegen die andere gedreht.

und:

$$\begin{aligned} p : p' &= 126^\circ 42' \\ p : p &= 139 36 \\ c &= 102 50 \\ p' : c &= 98 30 \\ c : c &= 138 30 \end{aligned}$$

Brooke beschreibt unsymmetrische sechsseitige Prismen  $M$ ,  $T$ ,  $K$ ; deren  $P$  und  $h$ , auf  $P$  war Fläche  $b$  aufgesetzt.

$$\begin{aligned} M : T &= 117^\circ 6' & P : M &= 128^\circ 0' \\ M : K &= 133 20 & P : b' &= 99 30 \\ P : T &= 140 50 & M : b &= 115 8 \\ P : h &= 169 53 & T : b &= 108 7 \end{aligned}$$

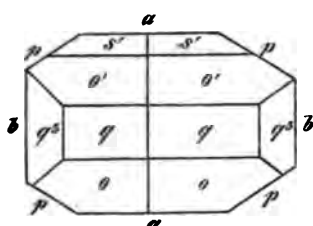
### b. $\text{HNaC}^4\text{H}^4\text{O}^4 + 6\text{aq}$ (Rammelsberg).

- und eingliedrig.  $a : b : c = 0,6053 : 1 : 0,463$  Rammelsberg  
 $\alpha = 83^\circ 4'$ .

$p$ ,  $q$ ,  $q^3$ ,  $a$ ,  $b$ . —  $s' = \frac{1}{3}a' : b : c$ .

	Berechnet	Beobachtet
$o : o$	$= 141^\circ 54'$	$142^\circ 3'$
$o' : o'$	$= 137 32$	$137 35$
$o : o'$	$= 110 31$	$110 30$
$o : o'$	$= 83 27$	
$p : p$	$= 118 0$	
$a$	$=$	$119 0$
$b$	$= 121 0$	$121 12$
$q : q$	$= 130 38$	$130 35$
$b$	$=$	$114 41$
$a$	$=$	$96 18$
$q^3 : q^3$	$= 71 54$	
$b$	$= 144 3$	$143 30$
$q$	$= 150 38$	$151 0$
$a$	$= 94 14$	
$o : a$	$= 129 0$	$129 12$
$b$	$= 109 3$	$109 3$

Fig. 84.



	Berechnet	Beobachtet
$o : p = 135^\circ 2'$		$134^\circ 51'$
$q = 147 18$		$147 48$
$o' : a = 120 29$		$120 43$
$b = 114 44$		$114 34$
$p = 128 25$		
$q = 143 43$		$143 47$
$s' : s = 158 44$		
$o' = 154 40$		$150$

Prismatisch nach  $p$ . — Fig. 85.**Bernsteinsaure Magnesia.**  $\text{MgC}^2\text{H}^4\text{O}^4 + 6\text{aq.}$ Eingliedrig.  $a : b : c = 1,2289 : 1 : 1,0304$  Rammelsberg

$A = 84^\circ 36'$	$\alpha = 86^\circ 4'$
$B = 100 40$	$\beta = 100 4$
$C = 84 30$	$\gamma = 82 20$

 $o', o'', o''', p, p^2, q, q', r', a, b, c.$ 

	Berechnet	Beobachtet
$a : b =$		$*84^\circ 30'$
$p = 124^\circ 22'$		$123 45$
$p^2 = 146 37$		$146 30$
$b : p = 137 7$		$136 0$
$p^2 = 114 53$		
$c : p = 92 48$		$92 20$
$p^2 = 96 45$		
$b : c =$		$*84 36$
$q =$		$*133 2$
$q' = 138 18$		$138 28$
$c : q = 131 34$		$131 30$
$q' = 137 6$		$136 50$
$q : q' = 88 39$		$88 0$
$a : c =$		$*100 40$
$r' = 123 50$		$123 40$
$c : r' =$		$*135 30$
$a : q' = 94 25$		$91 48$
$b : r' = 91 29$		
$p : q = 149 7$		
$q' = 117 56$		
$p^2 : q = 113 44$		
$q' = 402 5$		
$p : r' = 111 44$		
$p^2 : r' = 119 45$		
$q : r' = 122 54$		$123 10$
$q' : r' = 117 49$		
$o' : a = 128 59$		$129 0$
$b = 131 28$		
$c = 131 53$		
$q' = 154 0$		$154 0$

	Berechnet	Beobachtet
$o'' : a = 120^\circ 45'$		$120^\circ 50'$
$b = 134 \ 43$		$132 \ 10$
$c = 118 \ 9$		
$q = 147 \ 50$		$148 \ 13$
$r' = 139 \ 46$		$139 \ 50$
$o''' : a = 109 \ 11$		$108 \ 30$
$b = 130 \ 4$		$130 \ 0$
$c = 127 \ 30$		$127 \ 30$
$p = 139 \ 42$		
$q' = 147 \ 50$		$148 \ 30$
$r' = 138 \ 30$		$138 \ 27$
$o'' = 98 \ 16$		$99 \ 0$
$o' = 121 \ 50$		$122 \ 50$

Fig. 82. — Zwillinge nach  $o''$ .

$a : \underline{a} = 118^\circ 30'$	
$b : \underline{b} = 96 \ 34$	
$o''' : \underline{o'''} = 163 \ 27$	$163^\circ 23'$

Fig. 83.

Fig. 82.

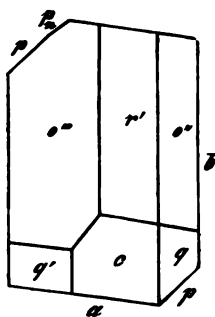
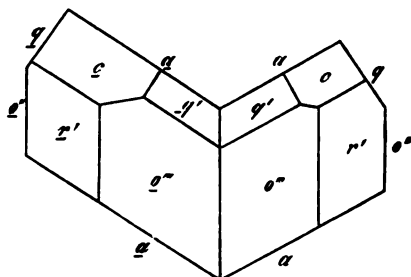


Fig. 83.

**Bernsteinsaures Manganoxydul.**  $\text{MnC}^{\text{II}}\text{H}^{\text{I}}\text{O}^{\text{I}} + x\text{aq.}$ 

Eingliedrig.

 $o, o', o'', o'''$ ,  $a, b, c$ . Beobachtet

$$a : b = 109^\circ 31'$$

$$c = 105 \ 57$$

$$o : o' = 108 \ 55$$

$$o'' : o''' = 117 \ 41$$

$$o : a = 138 \ 54$$

Beobachtet

$$o : c = 129^\circ 18'$$

$$o' : a = 122 \ 35$$

$$b = 114 \ 49$$

$$o'' : a = 103 \ 13$$

$$o'' : b = 129 \ 1$$

Tafelartig nach  $b$ . — Die Flächen meist gekrümmt. — Handl: Wien. Ber. 32 (1858).**Bernsteinsaurer Strontian.**  $\text{SrC}^{\text{II}}\text{H}^{\text{I}}\text{O}^{\text{I}} + x\text{aq.}$ 

Zwei- und eingliedrig.

 $p, r, a, b$ .

Beobachtet	Beobachtet
$p : p = 30^{\circ} 42'$	$p : r = 116^{\circ}$ ungef.
$a = 105 \quad 6$	$a : r = 158$ —
$b = 164 \quad 34$	

Stets Zwillinge nach  $a$ .

Die Endflächen sind stark gekrümmt. — Handl.

**Bernsteinsaures Kobalt.**  $\text{CoC}^4\text{H}^4\text{O}^4 + x\text{aq.}$

Zwei- und eingliedrig. Handl.

$p, p^2, b, c.$

Handl fand:	$p : b = 123^{\circ} 42'$
	$p^2 = 168 \quad 20$
	$p^2 : p^2 = 136 \quad 38$
	$p : c = 115$ ungef.

Prismatisch nach  $p$ .

In der Horizontalzone stark gestreift;  $c$  matt und gekrümmt.

**Betain, chlorwasserstoffsäures.**  $\text{C}^5\text{H}^{11}\text{NO}^2 \cdot \text{HCl.}$

Zwei- und eingliedrig.  $a : b : c = 1,269 : 1 : 0,8167$  Gro  
 $o = 83^{\circ} 43'.$

$n' = \frac{1}{2} a' : b : c. — o, p, q, a, b, c.$

Berechnet	Beobachtet
$o : o = 114^{\circ} 7'$	
$p : p =$	$*76^{\circ} 52',5$
$a = 128 \quad 26$	$128 \quad 23$
$b = 141 \quad 34$	$141 \quad 32$
$c =$	$*94 \quad 12,5$
$q : q = 101 \quad 55$	
$c = 140 \quad 57,5$	$144 \quad 8$
$b = 129 \quad 2,5$	$129 \quad 5$
$a : c = 96 \quad 47$	$96 \quad 44$
$o : a = 120 \quad 43$	$120 \quad 37,5$
$b = 122 \quad 56,5$	$122 \quad 55$
$c =$	$*136 \quad 14$
$p = 138 \quad 2$	$138 \quad 1,5$
$n' : a = 132 \quad 21,5$	$133$ ungef.
$o = 106 \quad 55,5$	$106$ —

Tafelartig nach  $a$ , spaltbar nach  $a$ . — Ber. d. chem. G. 1870. 15

**Beta-Orcin s. Orcin.**

**Borneokampher s. Kampher.**

**Brenzweinsäure.**  $\text{C}^5\text{H}^8\text{O}^4.$

Wahrscheinlich eingliedrig.

Kleine Prismen  $pp'$  mit schiefer Abstumpfung der stumpfen  
durch  $a$ , einer Zuschärfung  $qq'$  auf den scharfen, und der hinteren  
fläche  $r'$ , welche mit den  $p$  und  $q$  in zwei Zonen fällt.



fand annähernd:  $p : p' = 117^\circ$   
 $a = 164\ 30'$   
 $q : q' = 94$

Flächen sind gestreift, gekrümmt, zum Theil matt.

### Brenzweinsaures Kali.

Zweifach.  $\text{HKC}^5\text{H}^6\text{O}^4$  (Rammelsberg).

ei- und eingliedrig.  $a : b : c = 1,5737 : 1 : 1,5032$  Rammels-  
 $o = 74^\circ 55'$ .

$\frac{1}{2}o', p, {}^3r, c.$	Berechnet	Beobachtet
$o' : o' =$	$93^\circ 46'$	
$p : p =$		$*66^\circ 42'$
$c =$		$*98\ 40$
$c : {}^3r =$		$*122\ 15$
$p : {}^3r =$	$121\ 41$	
$o : c =$	$125\ 56$	$127$ ungef.
$p =$	$152\ 44$	$152$ -
$\frac{1}{2}o' : c =$	$103\ 40$	$105$ -
$p =$	$157\ 40$	$156$ -

Flächen, namentlich c, gekrümmt; die Augitpaare sehr klein und immer vorhanden.

### Brenzweinsaures Ammoniak.

Zweifach.  $\text{HAmC}^5\text{H}^6\text{O}^4 + \text{aq}$  (Rammelsberg).

ei- und eingliedrig.  $a : b : c = 1,3957 : 1 : 1,769$  Rammels-  
 $o = 65^\circ 47'$ .

$r, r'.$	Berechnet	Beobachtet
$p : p =$		$*75^\circ 32'$
$r =$		$*109\ 26$
$r' =$	$114^\circ 49'$	
$r : r' =$		$*75\ 15$

edrige Prismen p.

zweinsaure Magnesia.  $\text{MgC}^5\text{H}^6\text{O}^4 + 6\text{aq}$  (Rammelsberg).

eingliedrig.  $a : b : c = 0,9856 : 1 : 0,6904$  Rammelsberg.

$q, r, a, b.$	Berechnet	Beobachtet
$p : p =$	$90^\circ 50'$	$90^\circ 45'$
$a =$		$*135\ 25$
$b =$	$134\ 35$	$134\ 40$
$q : q =$	$110\ 48$	
$r : r =$	$110\ 0$	$109\ 50$
$a =$		$*125\ 0$
$p : q =$	$113\ 29$	
$r =$	$114\ 7$	
$q : r =$	$132\ 24$	

telartig nach a.

**Bromacetamid (Tribromacetamid).  $C^2H^2Br^3NO$ .**

Zwei- und eingliedrig.  $a : b : c = 1,734 : 1 : 0,8636$  Brezina.  
 $\alpha = 79^\circ 37'$ .

$$n = a : \frac{1}{2}b : c.$$

$$n' = a' : \frac{1}{2}b : c.$$

$p, r, a, c.$

	Berechnet	Beobachtet
$n : n$	$109^\circ 59'$	
$n' : n'$	$117 \ 33$	$117^\circ 29'$
$p : p$		$60 \ 46$
$a = 120 \ 23$		$120 \ 25$
$a : c$		$400 \ 23$
$r =$		$124 \ 36$
$n = 109 \ 2$		$109 \ 7$
$n' = 99 \ 46$		$99 \ 41$
$p : n = 150 \ 38$		$150 \ 33$
$n' = 145 \ 0$		$144 \ 50$

Tafelartig nach  $a$ ; häufig von eingliedrigem Ansehen durch unmetrische Bildung der  $n$ . Zwillinge nach  $a$ , der Spaltungsfläche.

Von Ditscheiner früher für zweigliedrig gehalten.

Ebene der optischen Axen  $ac$ ; zweite Mittellinie negativ, senkr auf Fläche  $a$ . — Brezina: Groth Ztschr. 5, 586. — Ditschein Wien. Ak. Ber. 75.

**Bromacetanilid.  $C^8H^8BrNO$ .**

Zwei- und eingliedrig.  $a : b : c = 1,562 : 1 : 0,722$  Mügge.  
 $\alpha = 62^\circ 47'$ .

$p, p^2, ^2p, q, ^2r, a, b, c.$

	Berechnet	Beobachtet
		Mügge La Valle
$p : p = 71^\circ 30'$		$72^\circ 18',5$
$b = 144 \ 45$		$144^\circ 18'$
$p^2 : p^2 = 110 \ 26$		
$a = 145 \ 43$		$145 \ 30$
$b = 124 \ 47$		$124 \ 50$
$^2p : ^2p = 39 \ 36$		
$b = 160 \ 42$		$160 \ 20$
$q : q = 114 \ 35$		$114 \ 36$
$c = 147 \ 48$		$147 \ 0$
$b = 122 \ 42$		$122 \ 42$
$a =$		$112 \ 38$
$a : c = 117 \ 43$		$117 \ 4$
$^2r =$		$147 \ 14,5$
$c : ^2r = 149 \ 58$		$147 \ 45,5$
$q : ^2r =$		$136 \ 46$

Kurz prismatisch, tafelartig nach  $a$ . — Spaltbar nach  $^2r$ .

Ebene der optischen Axen  $= ac$ , Mittellinie negativ, nahe normal.  
 $^2r; q < v$ .  $2H = 110^\circ$  Roth:  $110^\circ 55'$  Gelb:  $114^\circ 48'$  Grün.

melzpunkt 116°.

von Mügge untersuchte Verbindung war als Para bezeichnet. —  
: Kryst. Unters. einiger org. Verbindungen. Göttingen 1879. —  
e: Atti R. Acc. d. Lincei (3) 3: auch Groth Ztschr. 4, 393.

### Bromacrylsäure. $C^3H^3BrO^2$ .

tri- und eingliedrig.  $a : b : c = 2,756 : 1 : 2,2488$  Haushofer.  
 $\alpha = 77^\circ 33'$ .

$\frac{1}{2}r, a, c$ .	Berechnet	Beobachtet
$p : p =$	$40^\circ 46'$	
$a =$		$*110^\circ 23'$
$c =$	94 48	94 30
$a : c =$		$*102 27$
$r' =$	121 35	121 33
$c : r' =$	135 58	
$\frac{1}{2}r' =$	112 47	112 46

r dünne Tafeln a.

r aus beiden Dibrompropionsäuren dargestellt. — Groth Ztschr.

### Bromacrylsäures Kali. $KC^3H^2BrO^2$ .

eingliedrig.  $a : b : c = 0,3876 : 1 : 0,4348$  Haushofer.

$= \frac{2}{3}a : b : c$ . — p, b.

	Berechnet	Beobachtet
$n \left\{ \begin{array}{l} 2A = \\ 2B = \\ 2C = \end{array} \right.$	$174^\circ 18'$	$*142^\circ 30'$
$p : p =$	137 38	
$b =$	111 41	110 25
$n : b =$		$*92 51$

r dünne Tafeln b, an welchen ausserdem vereinzelt auftreten  
c,  $\frac{1}{4}a : b : c$ ,  $\frac{1}{6}a : b : c$  und  $\frac{7}{6}a : b : \infty c$ . Aber auch n ist selten  
g. und meist bilden die Krystalle gleichsam nur rechte oder linke  
— A. a. O.

### Bromalid s. Chloralid.

### Bromanilin, Para-. $C^6H^6NBr$ .

eingliedrig.  $a : b : c = 0,904 : 1 : 0,840$  Arzruni.

	Berechnet	Beobachtet
$\left\{ \begin{array}{l} 2A = \\ 2B = \\ 2C = \end{array} \right.$		$*117^\circ 47'$
$\alpha$	$110^\circ 22'$	110 30
		$*100 44$

durchsichtigen Krystalle, von Hofmann für regulär gehalten,  
am Lichte trübe.

optische Axenebene ist für Roth und Gelb ab, für Grün und Blau  
tellinie = a. Brechung positiv.  $2E = 47^\circ 54'$  Roth,  $26^\circ 57',5$   
 $5^\circ 47',5$  Grün. — Groth Ztschr. 4. 304.

**Bromanilin, chlorwasserstoffsäures.**  $C^6H^6BrN \cdot HCl$ .Zwei- und eingliedrig.  $a : b : c = 0,5467 : 4 : 0,8878$  Müller.  
 $o = 72^\circ 48'$ .

$p, {}^2p, q, c.$	Berechnet	Beobachtet
$p : p =$		$*128^\circ 35'$
$c =$		$*103 \ 54$
${}^2p : {}^2p = 88^\circ 8'$		
$c = 107 \ 42$		
$q : q =$		$*99 \ 33$

Prismatisch nach  $qc$ , und tafelartig nach  $c$ . — Ann. Ch. Pharm. 53, 4**Brombrenzweinsäure.**  $C^5H^7BrO^4$ .

## A. Citrabrombrenzweinsäure.

Zwei- und eingliedrig.  $a : b : c = 0,7504 : 4 : 1,1175$  Arzruni.  
 $o = 84^\circ 5'$ .

$o, o', p, q, a, b, c.$	Berechnet	Beobachtet
$o : o = 118^\circ 45'$		$118^\circ 42'$
$o' : o' = 113 \ 52$		$113 \ 52$
$p : p = 106 \ 32$		
$q : q = 83 \ 56$		
$p : a = 143 \ 16$		$143 \ 7$
$b =$		$*126 \ 44$
$c =$		$*94 \ 44,5$
$o : c =$		$*121 \ 55$
$b = 120 \ 38$		$120 \ 34$
$p = 152 \ 50$		$152 \ 39$
$o' : c = 114 \ 30$		$114 \ 37$
$b = 123 \ 4$		$122 \ 56$
$q : b = 138 \ 2$		$138 \ 16$
$c = 134 \ 58$		$131 \ 51$
$p = 120 \ 0$		$120 \ 33$
$a : c = 95 \ 55$		$95 \ 51$

Sehr vollkommen spaltbar nach  $a$  und  $b$ .Ebene der optischen Axen parallel Axe  $b$ , unter  $62^\circ$  gegen Axe  $c$  hinten geneigt; Mittellinie in  $ac$ .  $2V_a = 76^\circ$  approx. — Groth Ztschr. 1, 439.

## B. Itabrombrenzweinsäure.

Zwei- und eingliedrig.  $a : b : c = 0,2944 : 4 : 0,44$  Arzruni.  
 $o = 65^\circ 38'$ .

$p, q, b.$	Berechnet	Beobachtet
$p : p =$		$*139^\circ 2'$
$q : q = 150^\circ 16'$		$150 \ 5$
$b =$		$*104 \ 52$
$p \left\{ =$		$*117 \ 42$
$p \left\{ = 108 \ 29$		$106 \ 37$

Sehr kleine Krystalle. — A. a. O. 444.

**Bromchloräther.**  $C^4Cl^6Br^4O$ .Viergliedrig.  $a : c = 1 : 0,9517$  Nicklès.

$\alpha, c.$	Berechnet	Beobachtet
$\alpha \begin{cases} 2A = \\ 2C = 106^\circ 46' \\ \alpha : c = 126 \ 37 \end{cases}$		$\begin{matrix} *110^\circ 50' \\ 106 \ 49 \end{matrix}$

Ann. Ch. Phys. (3) 22, 28.

Isomorph; Perchloräther  $C^4Cl^{10}O$ .**Bromchlorkohlenstoff s. Chlorkohlenstoff.****Bromcinchonin s. Cinchonin.****Bromdichroinsäure.**  $C^{18}H^7Br^{11}O^{11}$ .Zweiglig.  $a : b : c = 0,927 : 1 : 0,8446$  Ditscheiner.

$q, r, b.$	Beobachtet
$q : b = 129^\circ 40' \quad r : r = 85^\circ 40'.$	

Tafelartig nach  $b$ .

Groth macht auf Irrthümer in diesen Angaben aufmerksam, die die Messungen fordern. — Groth Ztschr. 5, 645.

**Bromdichromacin.**  $C^{18}H^8N^3Br^{11}O^7$ .Zweiglig.  $a : b : c = 0,804 : 1 : 0,774$  Ditscheiner.

$q, r, b.$	Berechnet	Beobachtet
$q : b =$		$*127^\circ 45'$
$r : r =$		$*92 \ 40$
$q = 124^\circ 43'$		$124 \ 50$

Prismatisch nach  $r$ ; spaltbar nach  $q$ .Groth bemerkt, dass der Werth von  $a$  und von  $q : r$  nicht ganz richtig sei. — Groth Ztschr. 5, 644. (Ditscheiner's Angaben in d. Wien. Ber. 75.)**Bromhydrotiglinsäure.**  $C^5H^9BrO^2$ .Zwei- und eingliedrig.  $a : b : c = 1,6864 : 1 : 1,7744$  Schimper.  
 $\alpha = 80^\circ 41'.$ 

$\alpha, \alpha', p, \frac{r}{2}, a, c.$	Berechnet	Beobachtet
$p : p = 62^\circ 0'$		
$a =$		$*121^\circ 0'$
$c = 94 \ 47$		$94 \ 40$
$a : c =$		$*99 \ 19$
$\frac{r}{2} : c =$		$*154 \ 26$
$\alpha : c = 119 \ 54$		$119 \ 10$ ungef.
$\alpha' : a = 113 \ 53$		$114 \ 20$ -

Prismatisch nach der Verticalzone; die Oktaidflächen sind sehr schmal und fehlen oft. Spaltbar nach  $a$ .Optische Axenebene parallel Axe  $b$ , gegen Fläche  $a$  vorn unter etwa  $57^\circ$  neigt.  $2E = 150^\circ$  ungef.,  $2H = 86^\circ 44'$  Gelb. Ziemlich starke Dispersion der Axen,  $\rho > v$ , und horizontale Dispersion. — Groth Ztschr. 5, 6.

**Bromjodnitrophenol.**  $C^6H^3BrJNO^3$ .

Zwei- und eingliedrig.  $a : b : c = 0,5498 : 4 : 0,5874$  Groth.  
 $\alpha = 65^\circ 32'$ .

$p, {}^2p, q, b, c.$	Berechnet	Beobachtet
$p : p =$	$129^\circ 22'$	$129^\circ 29'$
${}^2p : {}^2p =$	$93 \ 40$	
$b =$		$*133 \ 25$
$q : q =$	$123 \ 46$	
$c =$	$151 \ 53$	
$p =$		$*122 \ 8$

Dunkelbraungelb. Unvollkommen spaltbar nach  $c$ .

Ebene der optischen Axen parallel der Axe  $b$ . — Groth Ztschr. 1, 43  
 Schmelzpunkt  $102^\circ$ .

**Bromisatin.**  $C^8H^4BrNO^2$ .

Zweigliedrig.  $a : b : c = 0,4585 : 4 : 0,4486$  Grailich.

$p, q, b.$	Berechnet	Beobachtet
$p : p =$	$134^\circ 34'$	
$b =$		$*144^\circ 38'$
$q : q =$	$134 \ 34$	$134 \ 43$
$b =$		$112 \ 43$
$p =$	$99 \ 16$	

An dem einen Ende des Prismas  $pb$  erscheint das zweite Paar  $q, a$ ,  
 anderen ein nicht näher bestimmtes Rhombenoktaeder. Also Hemimorphie  
 Vollkommen spaltbar nach  $b$ .

Ebene der optischen Axen  $= ab$ , Mittellinie  $= a$ . — Grailich  
 Kryst.-opt. Unters. 180.

**Bromkohlenstoff.**

Tetrabromid.  $C^2Br^4$ .

Siedepunkt.  $189^\circ,5$  bei 760 mm.

Volumgewicht. 3,42 bei  $14^\circ$ .

Bolas und Groves: J. Ch. Soc. (2) 9, 773.

**Bromesitylsäure.**  $C^9H^9BrO^2$ .

1.  $\alpha$ -Säure. Schmelzpunkt  $146^\circ$ — $147^\circ$ .

Zweigliedrig.  $a : b : c = 0,926 : 4 : 0,4695$  Calderon.

$\alpha, {}^2p, a, b.$	Berechnet	Beobachtet
$\alpha \left\{ \begin{array}{l} 2A = \\ 2B = \\ 2C = \end{array} \right.$	$\left\{ \begin{array}{l} 134^\circ 34' \\ 130 \ 42 \\ 69 \ 48 \end{array} \right.$	$134^\circ 32'$
$p^2 : p^2 =$	$130 \ 14$	
$b =$	$114 \ 53$	
$\alpha : a =$		$*144 \ 39$
$b =$		$*112 \ 43$

Weisse trübe Krystalle mit herrschenden  $a$  und  $b$ .

Optische Axenebene  $bc$ , Mittellinie  $c$ .

II.  $\beta$ -Säure. Schmelzpunkt  $244^{\circ}$ — $245^{\circ}$ .

Zwei- und eingliedrig.  $a : b : c = 1,4932 : 1 : 0,7599$  Calderon.

$$o = 71^{\circ} 3'.$$

$p, q, a, c.$	Berechnet	Beobachtet
$p : p =$		$83^{\circ} 7'$
$a = 131^{\circ} 34'$		134 37
$c =$		$102^{\circ} 26'$
$q : q = 108 38$		
$c =$		$144^{\circ} 19'$
$a : c = 108 57$		109 7
$p : q \left\{ \begin{array}{l} = 127 23 \\ = 105 25 \end{array} \right.$		$\left\{ \begin{array}{l} 127 25 \\ 105 40 \end{array} \right.$

Farblose Prismen  $p$ . Spaltbar nach  $c$ .

Optische Axenebene parallel Axe  $b$ . — Groth Ztschr. 4, 236.

$\alpha$ -Brommesitylensäurer Baryt.  $\text{Ba}(\text{C}^9\text{H}^6\text{BrO}^2)^2 + 4\text{aq.}$

Zwei- und eingliedrig.  $a : b : c = 3,068 : 1 : 0,804$  Friedländer.

$$o = 63^{\circ} 34'.$$

$p, q, a.$	Berechnet	Beobachtet
$p : p =$		$40^{\circ} 0'$
$q : q =$		$108^{\circ} 40'$
$p \left\{ \begin{array}{l} = \\ = 132^{\circ} 12' \end{array} \right.$		$\left\{ \begin{array}{l} 115 6 \\ 132 55 \end{array} \right.$
$a = 144 42$		144 30

Spaltbar nach  $a$ .

Optische Axenebene  $ac$ , Mittellinie nahe senkrecht zu Axe  $c$ ; positiv;  
 $\eta_a = 67^{\circ} 35'$  Roth,  $68^{\circ} 40'$  Gelb,  $69^{\circ} 40'$  Grün. — Groth Ztschr. 3, 178.

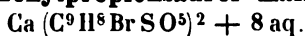
Brommetasulfophenylpropionsäure, Para-.  $2\text{C}^9\text{H}^9\text{BrSO}^5 + 5\text{aq.}$

Zweigliedrig.  $a : b : c = 0,783 : 1 : 1,301$  Haushofer.

$o, o^3, c.$	Beobachtet
$o 2.1 = 112^{\circ} 16'$	
$o^3 - = 104 30$ ungef.	
$c : o = 115 21$	
$o^3 = 99 2$	

Tafelartig nach  $c$ . — Groth Ztschr. 2, 94.

Brommetasulfophenylpropionsaurer Kalk, saurer (Para-).



Zwei- und eingliedrig.  $a : b : c = 0,977 : 1 : 0,796$  Haushofer.

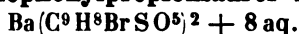
$$o = 86^{\circ} 45'.$$

$p, \frac{1}{2}p, \frac{1}{4}p, q, a.$	Berechnet	Beobachtet
$p : p = 94^{\circ} 24'$		
$a =$		$135^{\circ} 42'$

	Berechnet	Beobachtet
$\frac{1}{2}p : \frac{1}{2}p =$	$75^{\circ} 6'$	
$p =$	$174 \ 54$	$172^{\circ} 0'$
$\frac{1}{2}p : \frac{1}{2}p =$	$28 \ 8$	$28 \ 15$
$q : q =$		$*103 \ 0$
$a =$		$*92 \ 33$

Kleine, nach den  $p$  prismatische, nach  $a$  tafelartige Krystalle.

**Brommetasulfophenylpropionsaurer Baryt, saurer.**



Eingliedrig.  $a : b : c = 0,494 : 1 : 0,506$  Haushofer.

$A =$	$67^{\circ} 13'$	$\alpha =$	$68^{\circ} 36'$
$B =$	$104 \ 35$	$\beta =$	$98 \ 22$
$C =$	$79 \ 45$	$\gamma =$	$38 \ 38$

$p, p', q, q', a, b, c.$

	Beobachtet
$a : b =$	$*79^{\circ} 45'$
$p : b =$	$123 \ 30$
$b : c =$	$*67 \ 13$
$q : b =$	$96 \ 9$
$q' : a =$	$*103 \ 5$
$c =$	$*158 \ 42$
$a : c =$	$*104 \ 35$

Prismatisch nach  $a$  und  $b$ . Verwittert bald. — A. a. O.

**Bromnitrobenzoesäure.  $\text{C}^7\text{H}^4\text{Br}(\text{NO}_2)_2\text{O}_2$ .**

A. Säure. Schmelzpunkt  $140^{\circ}$ .

Zwei- und eingliedrig.  $a : b : c = 0,8337 : 1 : 0,8484$  Philipp.  
 $o = 89^{\circ} 37'.$

$o', p, a, c.$	Berechnet	Beobachtet
$o' : o' =$	$107^{\circ} 10'$	
$p : p =$	$100 \ 22$	$98^{\circ} 34'$
$a =$		$*140 \ 11$
$c =$	$90 \ 18$	
$a : c =$		$*90 \ 23$
$o' : a =$	$127 \ 2$	$130 \ 15$
$c =$	$127 \ 52$	
$p =$		$*142 \ 26$

Die Messungen stimmen, wie man sieht, unter sich nicht gut überein  
Prismatisch nach  $p$ .

Die Krystalle sind überdies unvollständig ausgebildet.

Philipp: Ueber Isomerie in der Benzoesäurereihe. Dissert. Göttinge  
1866. Ann. Chem. Pharm. 143, 230.

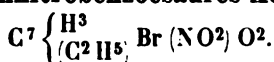
B.  $\alpha$ -Säure, bei  $246^{\circ}$  schmelzend.

Zwei- und eingliedrig.

Zwei- und eingliedrige Oktaeder.

Die mitgetheilten Messungen sind nicht verständlich. — Philipp  
a. a. O.



**Bromnitrobenzoesaures Aethyl.**

A. Der bei 144° schmelzenden Säure.

Zwei- und eingliedrig.

 $p, r, b, c.$ Tafelartig nach  $b$ .

Die wenig stimmenden Messungen gaben

$$\begin{aligned} p : p &= 115^\circ 40' \\ r &= 121 \quad 47 \\ c : r &= 144 \quad 8 \end{aligned}$$

B. Der  $\alpha$ -Säure.Aehnliche Formen  $p, r, a, c$ , an denen

$$\begin{aligned} c : r &= 162^\circ 39' \\ a &= 95 \quad 32 \\ a : r &= 112 \quad 33 \\ p : p &= 46 \quad 53 \end{aligned}$$

Fund wurde. — Philipp: a. a. O.

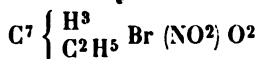
**Bromnitrobenzol, Meta-.  $\text{C}^6\text{H}^4 \cdot \text{NO}^2 \cdot \text{Br}$ :**Zweigliedrig.  $a : b : c = 0,4957 : 1 : 0,5549$  Bodewig. $p, q, b.$ 

	Berechnet	Beobachtet
$p : p =$		$*127^\circ 46'$
$q : q =$		$*121 \quad 57$
$p = 102^\circ 27'$		$102 \quad 46$

Tafelartig nach  $b$ . Vollkommen spaltbar nach  $b$ .Optische Axenebene =  $bc$ , Mittellinie  $c$ . Negativ. Axenwinkel in Öl

	der spitze	der stumpfe (genauer)
Li Roth	$83^\circ 8'$	$144^\circ 42'$
Na Gelb	$83 \quad 56$	$143 \quad 34$

Isomorph dem Metachlornitrobenzol. — Groth Ztschr. 4, 587

**Bromnitrodracylsaures Aethyl.**

Zwei- und eingliedrig.

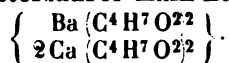
 $p, c.$ 

$$\begin{aligned} p : p &= 92^\circ 40' \\ c &= 103 \quad 26 \end{aligned}$$

Spaltbar nach  $c$ . — Philipp: a. a. O.**Bromnitrophenol.  $\text{C}^6\text{H}^4\text{BrNO}^3$ .**Zwei- und eingliedrig.  $a : b : c = 2,944 : 1 : 1,6249$  Arzruni.

$$o = 64^\circ 2'.$$

$$\frac{o}{2}, \frac{o'}{2}, p, r, r', a, c.$$

**Buttersaurer Kalk-Baryt.**

Regulär. Oktaeder. Einfach brechend. — Groth: Ber. d. ch. 1880, 1344.

**Buttersaures Kupfer.**  $\text{Cu} (\text{C}^4\text{H}^7\text{O}^{22} + \text{aq.})$ 

Eingliedrig.  $a : b : c = 1,642 : 1 : 1,8986$  Schabus.

$$A = 87^\circ 39' \quad \alpha = 88^\circ 35'$$

$$B = 123 \ 54 \quad \beta = 123 \ 51$$

$$C = 87 \ 23 \quad \gamma = 88 \ 25$$

$$\frac{o}{2}, \frac{o''}{2}, p, p', q', r, r', a, b, c.$$

	Berechnet	Beobachtet
$a : b =$		*87° 23'
$p = 124^\circ 34'$		124 40
$p' =$		*127 56
$b : p = 142 \ 52$		
$p' = 144 \ 41$		
$c : p = 107 \ 40$		107 39
$p' = 110 \ 49$		
$b : c =$		*87 39
$q' : c = 124 \ 3$		124 2
$b = 148 \ 49$		148 49
$a = 109 \ 24$		
$a : c =$		*123 54
$r =$		*153 59
$r' = 125 \ 47$		
$c : r = 149 \ 45$		149 45
$r' = 110 \ 49$		110 45
$b : r = 92 \ 49$		
$r' = 90 \ 40$		
$\frac{o}{2} : c = 144 \ 45$		144 43
$p = 142 \ 55$		142 54
$\frac{o''}{2} : p = 127 \ 57$		127 50
$p = 124 \ 23$		124 34

Ausserdem findet sich  $\frac{1}{2}a' : b' : \frac{1}{2}c$ .

Meist Zwillinge nach  $p$ , auf welchem die Zwillingsaxe senkrecht Trichromatisch.

**Butylpiperidin-Platinchlorid, Iso-.**  $(\text{C}^5\text{H}^{10} \cdot \text{C}^4\text{H}^9 \cdot \text{N})^2\text{H}^2\text{Pt}$ 

Viergliedrig!  $a : c = 1 : 9396$  Hiortdahl.

$$o, d, d^2, p, a.$$

	Berechnet	Beobachtet
$\left\{ \begin{array}{l} 2A = 111^\circ 12' \\ 2C = 106 \ 4 \end{array} \right.$		$\left\{ \begin{array}{l} 111^\circ 11' \\ 105 \ 58 \end{array} \right.$
$\left\{ \begin{array}{l} 2A = 122 \ 4 \\ 2C = 86 \ 26 \end{array} \right.$		$\left\{ \begin{array}{l} \\ 86 \ 26 \end{array} \right.$

	Berechnet	Beobachtet
$d^2 \left\{ \begin{array}{l} 2A = 102^\circ 44' \\ 2C = 123 \quad 58 \end{array} \right.$		
$o : a = 124 \quad 24$		$124^\circ 15'$
$d =$		$145 \quad 36$
$p = 143 \quad 2$		$143 \quad 0$
$d : a = 133 \quad 43$		
$p = 118 \quad 58$		
$d^2 : a = 151 \quad 59$		$152 \quad 25$
$p = 128 \quad 38$		
$d = 161 \quad 14$		$161 \quad 16$

Prismatisch,  $a$  herrschend: in der Endigung besonders  $o$ , dessen Endkanten durch  $d$  schmal abgestumpft sind: seltener waltet  $d^2$  vor mit grossen dreieckigen Flächen, während  $o$  zurücktritt.

Die Flächen sind, ausgenommen  $a$ , glänzend und eben.

**Butylpiperidin-Zinnchlorid, Iso-.**  $(C^5H^{10} \cdot C^4H^9 \cdot N^2H^2SnCl^6)$ .

Viergliedrig.  $a : c = 4 : 0,9634$  Hjortdahl.

$o, a.$	Beobachtet
$o : a =$	$124^\circ 45'$

**S. Methylamin-Zinnchlorid.**

**Butylschwefelsaurer Baryt, Iso-.**  $Ba(C^4H^9SO^4 + 2aq)$ .

Zwei- und eingliedrig.  $a : b : c = 0,8897 : 4 : 1,5282$  Hjortdahl.  
 $o = 84^\circ 36'$ .

$o, p, 2p, q, c.$	Berechnet	Beobachtet
$p : p =$		$96^\circ 57'$
$c =$		$93 \quad 43$
$q : q = 66^\circ 38'$		$66 \quad 34$
$c =$		$123 \quad 49$
$p \left\{ \begin{array}{l} = 121 \quad 7 \\ = 134 \quad 45 \end{array} \right.$		$124 \quad 37$
$o : c = 116 \quad 43$		$133 \quad 50$
$p = 157 \quad 3$		$116 \quad 34$
$2p : 2p = 45 \quad 2$		$157 \quad 9$
$p = 160 \quad 59$		
$c = 92 \quad 30$		$160 \quad 46$
		$92 \quad 33$

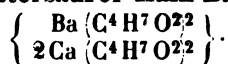
Grosse, meist sehr dünne Tafeln nach  $c$ ;  $2p$  tritt nur an der rechten Seite vorn und hinten auf. Spaltbar nach  $c$ .

Ebene der optischen Axen  $ac$ . Mittellinie fast senkrecht zur Axenebene. — Groth Ztschr. 4, 85.

**Caffein s. Thein.**

**Calophyllumharz** (Maynasharz).  $C^{14}H^{18}O^4$ .

Zwei- und eingliedrig.  $a : b : c = 0,5769 : 4 : 0,7773$  De la Provostaye.  
 $o = 78^\circ 43'$ .

**Buttersaurer Kalk-Baryt.**

Regulär. Oktaeder. Einfach brechend. — Groth: Ber. d. ch 1880, 1344.

**Buttersaures Kupfer. Cu (C<sup>4</sup>H<sup>7</sup>O<sup>2½</sup> + aq.**

Eingliedrig.  $a : b : c = 1,642 : 4 : 1,8986$  Schabus.

$$\begin{array}{ll} A = 87^\circ 39' & \alpha = 88^\circ 35' \\ B = 123 \ 54 & \beta = 123 \ 54 \\ C = 87 \ 23 & \gamma = 88 \ 25 \end{array}$$

$\frac{o}{2}, \frac{o'''}{2}, p, p', q', r, r', a, b, c.$

	Berechnet	Beobachtet
$a : b =$		*87° 23'
$p =$	124° 34'	124 40
$p' =$		*127 56
$b : p =$	142 52	
$p' =$	144 41	
$c : p =$	107 40	107 39
$p' =$	110 49	
$b : c =$		*87 39
$q' : c =$	124 3	124 2
$b =$	148 49	148 49
$a =$	109 24	
$a : c =$		*123 54
$r =$		*153 59
$r' =$	125 47	
$c : r =$	149 45	149 45
$r' =$	140 49	110 45
$b : r =$	92 49	
$r' =$	90 40	
$\frac{o}{2} : c =$	144 45	144 43
$p =$	142 55	142 54
$\frac{o'''}{2} : p =$	127 57	127 50
$p =$	124 23	124 31

Ausserdem findet sich  $\frac{1}{2}a' : b' : \frac{1}{2}c.$

Meist Zwillinge nach  $p$ , auf welchem die Zwillingssaxe senkrecht steht  
Trichromatisch.

**Butylpiperidin-Platinchlorid, Iso-. (C<sup>5</sup>H<sup>10</sup> · C<sup>4</sup>H<sup>9</sup> · N<sup>2</sup>H<sup>2</sup>PlCl<sup>4</sup>).**

Viergliedrig!  $a : c = 1 : 9396$  Hiortdahl.

	Berechnet	Beobachtet
$o \left\{ \begin{array}{l} 2A = 111^\circ 12' \\ 2C = 106 \ 4 \end{array} \right.$		111° 11'
$d \left\{ \begin{array}{l} 2A = 122 \ 4 \\ 2C = 86 \ 26 \end{array} \right.$		105 58
		86 26

	Berechnet	Beobachtet
$d^2 \begin{cases} 2A = 102^\circ 44' \\ 2C = 123 \ 58 \end{cases}$		
$o : a = 124 \ 24$		$124^\circ 15'$
$d =$		$145 \ 36$
$p = 113 \ 2$		$143 \ 0$
$d : a = 133 \ 43$		
$p = 118 \ 58$		
$d^2 : a = 151 \ 59$		$152 \ 25$
$p = 128 \ 38$		
$d = 161 \ 14$		$161 \ 16$

Prismatisch,  $a$  herrschend; in der Endigung besonders  $o$ , dessen Enden durch  $d$  schmal abgestumpft sind: seltener waltet  $d^2$  vor mit grossen eieckigen Flächen, während  $o$  zurücktritt.

Die Flächen sind, ausgenommen  $a$ , glänzend und eben.

**Butylpiperidin-Zinnchlorid, Iso-.**  $(C^5H^{10} \cdot C^4H^9 \cdot N^2H^2SnCl^6)$ .

Viergliedrig.  $a : c = 1 : 0.9634$  Hjortdahl.

$o. a.$  Beobachtet  
 $o : a = 124^\circ 45'$

S. Methylamin-Zinnchlorid.

**Butylschwefelsaurer Baryt, Iso-.**  $Ba(C^4H^9SO^4)^2 + 2aq.$

Zwei- und eingliedrig.  $a : b : c = 0.8897 : 1 : 1.5282$  Hjortdahl.  
 $o = 84^\circ 36'.$

$o. p. 2p. q. c.$	Berechnet	Beobachtet
$p : p =$		$96^\circ 57'$
$c =$		$93 \ 43$
$q : q = 66^\circ 38'$		$66 \ 34$
$c =$		$123 \ 49$
$p \begin{cases} = 121 \ 7 \\ = 134 \ 45 \end{cases}$		$121 \ 37$ $133 \ 50$
$o : c = 116 \ 43$		$116 \ 34$
$p = 157 \ 5$		$157 \ 9$
$2p : 2p = 45 \ 2$		
$p = 160 \ 59$		$160 \ 46$
$c = 92 \ 30$		$92 \ 33$

Grosse. meist sehr dünne Tafeln nach  $c$ ;  $2p$  tritt nur an der rechten Seite vorn und hinten auf. Spaltbar nach  $c$ .

Ebene der optischen Axen  $ac$ . Mittellinie fast senkrecht zur Axenebene. — Groth Ztschr. 4. 85.

**Caffein s. Thein.**

**Calophyllumharz** (Maynasharz.  $C^{14}H^{18}O^4$ ).

Zwei- und eingliedrig.  $a : b : c = 0.5769 : 1 : 0.7773$  De la Provence.  
 $o = 78^\circ 43'.$

$\sigma', p, q, r', a, b, c.$	Berechnet	Beobachtet
$\sigma' : \sigma' = 126^\circ 30'$		
$p : p = 124 \quad 0$		
$a =$		$150^\circ 30'$
$b = 119 \quad 30$		119 0
$c = 99 \quad 48$		
$q : q = 105 \quad 22$		
$c = 142 \quad 41$		143 15
$a : c =$		101 17
$r' =$		139 35
$c : r' = 119 \quad 8$		
$\sigma' : a = 132 \quad 50$		
$c = 134 \quad 23$		

Gelbe Prismen.

Volumgewicht 1,42. — Schmelzpunkt  $105^\circ$ . — Léwy: Ann. Ch. Phys. (3) 10, 380.

### Campher s. Kampher.

### Camphocarbonsäure s. Kampherkohlenensäure.

#### Cantharidin. $C^{10}H^{12}O^4$ .

Zweigligdrig.  $a : b : c = 0,886 : 1 : 0,5377$  Marignac.

$q, r, a, b.$	Berechnet	Beobachtet
$q : q =$		$123^\circ 28'$
$b = 118^\circ 16'$		118 15
$r : r =$		117 30
$a = 121 \quad 15$		121 15
$q = 138 \quad 51$		138 55

Tafelartig nach der Spaltungsfläche  $a$  oder  $b$ . — Réch. sur les formes crist. 1855.

#### Chinasäure. $C^7H^{12}O^6$ .

Zwei- und eingliedrig.  $a : b : c = 0,5363 : 1 : 0,2418$  Knop.  
 $\sigma = 84^\circ 38'$ .

$n' = a' : \frac{2}{3}b : c.$  —  $\sigma, \sigma', p, q, r, r', a, b, c.$

	Berechnet	Beobachtet
$q : \sigma =$		Knop
$\sigma' : \sigma' = 128^\circ 50'$		$132^\circ 20'$
$\sigma : \sigma' = 120 \quad 30$		
$p : p = 123 \quad 48$		121 20
$q : q = 151 \quad 44$		
$a : c = 95 \quad 22$		151 5
$r = 118 \quad 10$		
$r' = 109 \quad 44$		
$c : r = 116 \quad 42$		
$r' = 114 \quad 54$		
$n' : n' = 108 \quad 10$		108 24

Berechnet	Beobachtet	
	Knop	Calderon
$n' : r' =$	$*444^{\circ} 20'$	
$p : c = 112^{\circ} 5'$	412 42	
$r = 109 53$		
$o : c =$	$*427 40$	$426^{\circ} 42'$
$o' : r' = 154 25$	454	433 5

Selten ist  $r$ ;  $b$  und  $n$  finden sich nur rechts,  $o'$  meist nur rechts.

Prismatisch nach  $o$  oder tafelförmig nach  $r'$ ; auch tetraederähnlich, in-  
ma  $o$  rechts und  $p$  links fehlen, und das linke  $o$  mit dem rechten  $p$  sich  
hneidet. Spaltbar nach  $r'$ .

Optische Axenebene  $ac$ .

Knop: Ann. Ch. Ph. 419, 347. — Calderon: Groth Ztschr. 4, 235.

#### Chinidin. $C^{16}H^{22}N^2O$ (Leers).

Zweiglig.  $a : b : c = 0,9325 : 1 : 0,6432$  Leers.

$p, q, a$ .

Beobachtet
$p : p = 94^{\circ} 0'$
$q : q = 114 30$

Die  $a$  und  $p$  sind vertical stark gestreift. Spaltbar nach  $a$ .

Schmelzpunkt  $175^{\circ}$ .

In 2580 Th. Wasser von  $17^{\circ}$  und in 1858 Th. von  $100^{\circ}$  löslich. In  
2 Th. Alkohol von  $0,835$  bei  $17^{\circ}$ ; in 440 Th. Aether von  $17^{\circ}$ . — Ann. Ch.  
harm. 82, 447.

#### Chinidin, chlorwasserstoffsäures. $C^{16}H^{22}N^2O \cdot 2HCl + 2aq$ .

Zwei- und eingliedrig.  $a : b : c = 1,115 : 1 : 1,46$  Kopp.

$o = 78^{\circ} 7'$ .

$p, r', c$ .

Berechnet	Beobachtet
$p : p =$	$*85^{\circ} 0'$
$c =$	$*98 0$
$c : r' = 127^{\circ} 40'$	
$p : r' =$	$*116 0$

Prismatisch nach  $p$ . — A. a. O. 456.

S. ferner Cinchotin.

#### Chinin, salpetersaures. $C^{20}H^{21}N^2O^2 \cdot HNO^3$ .

Zwei- und eingliedrig.  $a : b : c = 0,7493 : 1 : 1,0777$  Rammeis-  
rg.  
 $o = 74^{\circ} 34'$ .

$p, q, a, c$ .

Berechnet	Beobachtet
$p : p =$	$*108^{\circ} 20'$
$b = 125^{\circ} 50'$	426 0
$c =$	$*102 30$
$q : q =$	$*87 50$
$b = 136 5$	436 5
$c = 133 55$	434 0
$a : c = 105 29$	

Prismatisch nach  $p$ , wobei die rechtsliegenden  $p$  sehr schmal, das rechte  $b$  sehr ausgedehnt ist, während in der Endigung  $c$  vorherrscht und nur das linke  $q$  vorhanden ist. Am unteren Ende findet sich meist nur  $c$ .

### Chinin, schwefelsaures.

A. Normales.  $(C^{20}H^{24}N^2O^{22} \cdot H^2SO^4 + 7aq.$

Die Krystallform der meist sehr feinen seidenglänzenden Nadeln hat Brooke untersucht; danach ist sie wahrscheinlich eingliedrig. — Ann. Phil. 6, 375.

Die Lösung ist stark linksdrehend. Pasteur. — Bestimmung des Drehungsvermögens de Vrij und Alluard: C. r. 59, 291. — Wilhelmy: Pogg. A. 81, 527.

Ihre innere Dispersion Herschel: Pogg. A. 73, 536. — Stokes: Eb. 87, 480 (88, 475 u. 89, 165), Ergbd. 4, 335. — Hagenbach: Eb. 446, 243.

Schwefelsaures Jodchinin (Herapathit). Dessen Pleochroismus Haidinger: Pogg. A. 89, 250. — Vgl. Herapath: Phil. Mag. 4, 16, 55.

B. Saures.  $C^{20}H^{24}N^2O^2 \cdot H^2SO^4 + 7aq.$

Zweigliedrig.  $a : b : c = 0,9844 : 1 : 0,3094$  Hjortdahl.

$p, r, a, b.$	Berechnet	Beobachtet
	Hjortdahl	Hahn
$p : p =$	$90^\circ 54'$	
$b =$	$134^\circ 33'$	
$a =$	135 27	135 28
$r : r =$	$145^\circ 5'$	$145^\circ 5'$
$a =$	107 27	107 42

Hahn beobachtete auch  $p\frac{1}{2}$  und  $2p$ .

Optische Axenebene  $bc$  für Roth und Gelb,  $ac$  für Grün und Blau. Mittellinie  $c$ , negativ; Doppelbrechung schwach.

$2H = 21^\circ 48'$  Roth,  $13^\circ 2' - 24'$  Gelb,  $13^\circ 12'$  Grün. Für eine bestimmte Farbe zwischen Gelb und Grün wären die Krystalle also einaxig.

Das Salz nähert sich krystallographisch und optisch dem viergliedrigen System. — Groth Ztschr. 3, 304. — Hahn: Arch. Pharm. (1859) 99, 148.

Chinin, saures selensaures.  $C^{20}H^{24}N^2O^2 \cdot H^2SeO^4 + 7aq.$

Zweigliedrig.  $a : b : c = 0,9804 : 1 : 0,311$  Hjortdahl.

$p, 2p, q, r, a, b.$	Berechnet	Beobachtet
$p : p =$	$91^\circ 8'$	
$b =$		$134^\circ 26'$
$2p : 2p =$	54 2	54 9
$b =$	152 59	152 49
$p =$	161 27	161 34
$q : q =$	145 26	
$r : r =$		$144^\circ 49'$
$a =$	107 36	107 41
$q =$	155 32	155 23



Prismatisch nach  $p$ , tafelartig nach  $b$ . — Spaltbar nach  $a$ , weniger nach  $c$ . Isomorph dem Sulfat.

Optische Axenebene  $bc$ , Mittellinie  $c$ , negativ. Doppelbrechung ziemlich stark.  $2H = 53^\circ 42'$  Roth,  $50^\circ 45'$  Gelb,  $46^\circ 42'$  Grün. — A. a. O.

**Chinin, Schwefelcyanwasserstoff.**  $C^{20}H^{24}N^2O^2 \cdot 2HCyS$ .

Zwei- und eingliedrig.  $a : b : c = 0,6877 : 1 : 1,02$  Schabus.

$$\alpha = 78^\circ 13'.$$

$\alpha', p, c$ .	Berechnet	Beobachtet
$\alpha' : \alpha' =$		$116^\circ 24'$
$p : p = 112^\circ 6'$		112 40
$c =$		99 45
$\alpha' : c =$		111 35

Niedrige Prismen  $p$  oder tafelartig nach  $c$ . — Wien. Ak. Ber. 4.

**Chinon.**  $C^6H^4O^2$ .

Zwei- und eingliedrig.  $a : b : c = 1,0325 : 1 : 1,71$  Hintze.

$$\alpha = 79^\circ 0'.$$

$p, r', c^*$ .	Beobachtet
$p : p = 89^\circ 44'$	
$c = 97 42$	
$c : r' = 112 49$	

Tafelartig nach  $c$ . Spaltbar nach  $r'$ . Häufig Zwillinge nach  $r'$ . — Roth: Phys. Krystallogr. 407. — Henniges: Kryst. Unters. einiger g. Verbindungen. Göttingen 1884.

Ebene der optischen Axen  $ac$ ; die Mittellinie fast normal auf  $r'$ ;  $\angle v$ .  $2H_a = 73^\circ 28'$  Roth;  $74^\circ 4'$  Gelb;  $74^\circ 38'$  Grün. Henniges.

Volumgewicht. 1,307—1,348 Schröder.

Schmelzpunkt  $115^\circ,7$ , Erstarrungspunkt  $115^\circ,2$ . Hesse.

**Chloracetamid.**

I. Monochloracetamid.  $C^2H^4ClNO$

Zwei- und eingliedrig.  $a : b : c = 1,446 : 1 : 3,9865$  Bodewig.

$$\alpha = 84^\circ 41'.$$

$p, q^2, r, r', a, c$ .	Berechnet	Beobachtet
$p : p =$		$69^\circ 57',5$
$c =$		95 2,5
$q^2 : q^2 = 53^\circ 50'$		
$c = 116 55$		
$a : c = 98 49$		98 48
$r = 161 14,5$		161 10,5
$r' = 159 13$		159 28
$c : r = 117 34,5$		117 27
$r' =$		101 58
$p : r' = 122 25$		122 18

Tafelartig nach  $c$ ;  $q^2$  und  $r$  sind selten.

\*  $\frac{\alpha'}{2}$  wurde als Seltenheit von Henniges beobachtet.

Ebene der optischen Axen  $ac$ . — Groth Ztschr. 5, 554.  
Schmelzpunkt  $116^\circ$ .

II. Dichloracetamid.  $C^2H^3Cl^2NO$ .

Zwei- und eingliedrig.  $a : b = 1,6468 : 1$  Bodewig.  
 $\alpha = 54^\circ 29'$ .

$p, a, c$ .	Berechnet	Beobachtet
$p : p =$		$*68^\circ 40'$
$a = 124^\circ 20'$		124 40.5
$c = 110 \quad 34$		110 34
$a : c =$		$*128 \quad 34$

Ebene der optischen Axen  $ac$ . — A. a. O. 555.  
Schmelzpunkt  $96^\circ$ .

III. Trichloracetamid.  $C^2H^2Cl^3NO$ .

Zwei- und eingliedrig.  $a : b : c = 1,7485 : 1 : 0,849$  Bodewig.  
 $\alpha = 78^\circ 36'$ .

$p, r, a, c$ .	Berechnet	Beobachtet
$p : p =$		$*60^\circ 32',5$
$a = 120^\circ 17'$		120 26
$a : c = 104 \quad 24$		104 17
$r =$		$*124 \quad 53$
$c : r = 156 \quad 32$		156 4
$p =$		$*95 \quad 43$
$p : r = 106 \quad 35$		106 56

Prismatisch nach  $p$ , tafelartig nach  $a$ . Zwillinge nach  $a$ . Spaltbar nach

Ebene der optischen Axen  $ac$ ; die Mittellinie ist negativ und fast 20 mal zu Fläche  $a$ .  $2H = 164^\circ$  ungef. für Gelb.

Schmelzpunkt  $136^\circ$ . — Groth Ztschr. 5, 556.

Chloracetylbenzol.  $C^8H^7ClO$ .

Zweigliedrig.  $a : b : c = 0,9957 : 1 : 0,2435$  Friedländer.

$p, \frac{a}{2}, r, a$ .	Berechnet	Beobachtet
$p : p =$		$*90^\circ 44'$
$r : r =$		$*155 \quad 48$
$p = 98^\circ 33'$		98 30
$\frac{a}{2} : p = 106 \quad 43$		107 30 ungef.

Tafelartig nach  $a$ .

Optische Axenebene  $ac$ , Mittellinie  $a$ :  $2H = 74^\circ$  ungef. — Groth Ztschr. 3, 179.

Chloräther (Perchloräther).  $C^4Cl^{10}O$ .

Viergliedrig.  $a : c = 1 : 0,958$  Nicklès.

$o, c$ .	Berechnet	Beobachtet
$\left\{ \begin{array}{l} 2A = \\ 2C = 107^\circ 40' \end{array} \right.$		$*110^\circ 38'$
$o : c = 126 \quad 56$		106 44
		126 44

Spaltbar nach  $c$ . — Isomorph Bromchloräther. — Ann. Ch. Phys. (3) 22. 26

**Chloral.**  $C^2HCl^3O$ .Erstarrt bei  $-75^\circ$ . Berthelot.Ausdehnung.  $V = 1 + 0,0009545 t + 0,0000022139 t^2 + 000000056392 t^3$  ( $13^\circ,2$  bis  $90^\circ$ ). Kopp.Volumgewicht.  $1,5483$  ( $0^\circ$ ) =  $1,4903$  ( $22^\circ,2$ ) Kopp;  $1,5448$  ( $0^\circ$ ) assavant.

Volum

Bei  $0^\circ$   $1,5448$  1Beim Siedepunkt  $1,3821$   $1,4177$  Thorpe.Siedepunkt.  $99^\circ,4$  ( $745,9$  mm) Kopp;  $97^\circ,2$  Thorpe.

Specif. Wärme. Reis: Wiedem. Ann. 13, 447.

**Chloralalkoholat.**  $C^4H^7Cl^3O^2$ .Schmelzpunkt.  $43-46^\circ$  Lieben,  $56-57^\circ$  Jacobson.Siedepunkt.  $442^\circ,5$  ( $114-115^\circ$ ) bei  $740$  mm Lieben,  $445-447^\circ$  Jacobson.Gas-V. G.  $50,4$  und  $53,2$  bei  $157^\circ$  und  $198^\circ$ . Mol.-G. =  $193,5$ ; =  $48,375$ . Also Dissociation. — Lieben: Ber. d. ch. G. 1870, 907. — Jacobson: Ann. Ch. Ph. 157, 243.**Chloralhydrat.**  $C^2HCl^3O \cdot H^2O$ .Zwei- und eingliedrig.  $p, c$ . $p : p = 113^\circ 40'$ ,  $p : c = 104^\circ 26'$ . Spaltbar nach  $c$ .Ebene der optischen Axen  $ac$ . — Groth: Ber. d. ch. G. 1872, 676.Schmelzpunkt.  $50-54^\circ$  Jacobson.Volumgewicht des flüssigen ( $66^\circ$ )  $1,570-1,577$  Jungfleisch; als festen  $1,848-1,848$  Schröder,  $1,904$  Rudorff.Siedepunkt.  $99^\circ$  Jacobson:  $97-97^\circ,5$  Jungfleisch;  $97^\circ,5$  lückiger.Verhalten des Dampfes. — Schon bei  $78^\circ$  ist die Spaltung vollständig. — Naumann: Ber. d. ch. G. 1876, 822.

Auch Wurtz schliesst aus seinen Versuchen, dass der Dampf ein Gemenge sei. — C. r. 84, 977. 86, 1170.

Troost behauptet das Gegentheil. — C. r. 84, 708. 85, 32. 400. 1, 1021. 4396. Ann. Ch. Phys. (5) 22, 152

Für die Dissociation sprechen ferner die Versuche von Moitessier und Engel: C. r. 86, 974.

Nach E. Wiedemann und Schulze erfolgt dieselbe schon bei gewöhnlicher T. — Wiedem. Ann. 6, 293.

**Chloralid.**  $C^3H^2Cl^6O^3$ .Zwei- und eingliedrig.  $a : b : c = 1,2083 : 1 : 0,362$  Bodewig.  
 $o = 84^\circ 52'$ . $p, p^2, q, a, b, c$ .

Berechnet

Beobachtet

 $p : p =$  $79^\circ 27'$  $p^2 : p^2 = 117^\circ 56'$  $118 \quad 9$

	Berechnet	Beobachtet
$q : q =$		$140^{\circ} 20'$
$a : c =$	$95^{\circ} 8'$	$95 14$
$q : a =$		$94 50$
$p =$	$108 21$	$108 20$
$p^2 =$	$104 8$	$104 25$

Vollkommen spaltbar nach  $b$ .

Optische Axenebene senkrecht auf  $ac$ . Die Mittellinie, in  $ac$  liegend, bildet mit Axe  $c$  hinten  $11^{\circ} 34'$  Li-Roth;  $44^{\circ} 44'$  Na-Gelb. Die der Axe  $b$  parallele Mittellinie des stumpfen Winkels ist negativ; gekreuzte Dispersion; Winkel in Öl  $99^{\circ} 27'$  Roth,  $99^{\circ} 51'$  Gelb. — Groth Ztschr. 4, 594.

Die Bromverbindung scheint isomorph dem Ch. zu sein. — Bodewig: Groth Ztschr. 5, 574.

Schmelzpunkt  $158^{\circ}$ .

Trichlormilchsäure-Bromalid.  $C^3H^2Cl^3Br^3O^3$ .

Zwei- und eingliedrig.  $a : b : c = 1,2216 : 1 : 0,3733$  Bodewig.  
 $\alpha = 86^{\circ} 28'$ .

$p, p^2, q, a, b, c.$	Berechnet	Beobachtet
$p : p =$	$78^{\circ} 43'$	
$p^2 : p^2 =$		$117^{\circ} 16'$
$q : q =$		$139 8$
$a : c =$		$93 32$

Spaltbar nach  $b$ .

Ebene der optischen Axen parallel Axe  $b$ ; Mittellinie parallel  $c$  negativ;  $2H = 99^{\circ} 3'$  Roth,  $99^{\circ} 32'$  Gelb. — A. a. O.

Schmelzpunkt  $149—150^{\circ}$ .

Tribrommilchsäure-Chloralid.

Isomorph dem vorigen.

Zwei- und eingliedrig.  $b : c = 1 : 0,364$  Bodewig.

$q, a, b, c.$	Beobachtet
$q : q =$	$140^{\circ} 10'$
$q : a =$	$95 23$
$a : c =$	$95 48$

Optisches Verhalten ähnlich. — A. a. O.

Schmelzpunkt  $132^{\circ}—135^{\circ}$ .

**Chloranilin.**  $C^6H^6ClN$ .

Regulär. Oktaeder. — Isomorph Bromanilin.

Ueber die Isomeren Beilstein: Ber. d. ch. G. 1874. 1395.

**Chloranilin, Chlorwasserstoff.**  $C^6H^6ClN \cdot HCl$ .

Nach Müller zwei- und eingliedrig, isomorph der Bromanilinverbindung.

**Chlorbenzol** s. Benzolhexachlorid.

**Chlorbromnaphtalinbromid** s. Naphtalinbromid.

**Chlordinitrobenzol.**  $C^{12}H^6Cl^2 \cdot 4NO^2$ .Schmelzpunkt  $38^{\circ}, 8$ .Zwei- und eingliedrig.  $a : b : c = 1,949 : 1 : 5,532$  Bodewig.  
 $\alpha = 85^{\circ} 59'$ .

$p, r, c.$	Berechnet	Beobachtet
$p : p =$		$55^{\circ} 10'$
$c =$		$91. 51,5$
$r : c =$		$112. 44$
$p = 116^{\circ} 4'$		$115. 57$

Spaltbar nach  $c$ . — Groth Ztschr. 3, 386.**Chlorisatin.**  $C^8H^4ClNO^2$ .Zweigliedrig.  $a : b : c = 0,4557 : 1 : 0,4224$  G. Rose.

$p, q, b.$	Beobachtet
$p : p =$	$131^{\circ} 0'$
$q : q =$	$134. 42$

Kleine nadelförmige Krystalle. — J. f. pr. Ch. 22, 299.

**Chlorkohlenstoff.**I.  $C^6Cl^6$  (Monochlorid).Schmilzt bei  $234^{\circ}$  ( $225^{\circ}$  Ladenburg,  $228^{\circ}$  Jungfleisch) und erstarrt bei  $226^{\circ}$ .

Gas-V. G. 445,4 (ber. 442,5). Basset.

Volumgewicht. 4,585 beim Schmelzpunkt. Siedepunkt  $347^{\circ}$ , V. G. bei  $1,337$ . Jungfleisch: C. r. 64, 944.II.  $C^2Cl^4$  (Dichlorid).

Volumgewicht.	4,553 Faraday
	4,649 Regnault ( $20^{\circ}$ )
	4,649 Pierre ( $0^{\circ}$ ).

Siedepunkt.  $122^{\circ}$  Regnault;  $123^{\circ}, 9$  Pierre (bei 762 mm).Hirn bestimmte die Ausdehnung 1 Vol. von  $0^{\circ} = 1,23296357$  V.  $150^{\circ}$ ; und die specif. Wärme für höhere T. — Ann. Ch. Phys. (4) 32, 90.

Wärmeleitung. Guthrie: Proc. R. Soc. 47, 234.

Die Brechungsverhältnisse Haagen: Poggend. A. 131, 117.

III.  $C^2Cl^6$  (Trichlorid).Zweigliedrig.  $a : b : c = 0,554 : 1 : 1,755$  Brooke.

$p, q, b, c.$	Berechnet	Beobachtet	
		Brooke	Laurent
$p : p =$	$122^{\circ} 0'$		$121^{\circ} 0'$
$b =$		$119^{\circ} 0'$	$119 30$
$q : q =$	$59 20$		
$b =$	$150 20$		$150 30$
$c =$		$119 40$	

Brooke: Ann. Phil. 23, 364. — Laurent: Rev. scient. 9, 33.

Optisches Verhalten. — Ebene der optischen Axen = *ac*.  
Grailich.

Volumgewicht. 2,044 Schröder.

Schmilzt bei 160°, siedet bei 182°. Faraday.

Gas-V. G. 447,9 Regnault (ber. 448,5).

Verdampfung und Verdichtung. Naumann: Ann. Ch. Pharm.  
159, 334.

#### IV. $\text{CCl}_4$ (Tetrachlorid).

Volumgewicht. 4,56 Kolbe  
4,567 Riche (bei 42°)  
4,599 Regnault  
4,6298 Pierre (bei 0°).

Volum

Bei 0° 4,63495 4

Beim Siedepunkt 4,47949 4,40268 Thorpe.

Erstarrt bei — 24°,7 Regnault.

Siedepunkt. 77° Kolbe, Hofmann, Riche  
78 Regnault  
78,4 Pierre (748 mm)  
76,74 Thorpe.

Die Spannkraft der Dämpfe und die latente Dampfwärme Regnault: C. r. 50, 4063 und Relation p. serv. etc.

Gas-V. G. 77,0 Regnault; 75,7 Kolbe (berechnet 77).

Brechungsexponent = 6,04 Mascart.

Diathermansie der Lösung in Schwefelkohlenstoff Schulz-Sellack:  
Pogg. A. 439, 482.

#### Bromchlorkohlenstoff. $\text{C}^2\text{Cl}^4\text{Br}^2$ .

Isomorph mit  $\text{C}^2\text{Cl}^6$ . — Nicklès: Ann. Ch. Phys. (3) 22, 30.

#### Chlormilchsäure. $\text{C}^3\text{H}^3\text{ClO}^3$ .

Zweigliedrig.  $a : b : c = 0,8445 : 4 : 2,7335$  Haushofer.

$a, \frac{a}{3}, r, b, c$ .

	Berechnet	Beobachtet
$\left. \begin{array}{l} 2A \\ 2B \\ 2C \end{array} \right\}$	$\left. \begin{array}{l} = 102^\circ 42' \\ = 83 \ 56 \\ = 153 \ 26 \end{array} \right\}$	$102^\circ 38'$
$\frac{a}{3} : \frac{a}{3}$	$= 95 \ 20$	
$c$	$= 137 \ 40$	137 0
$r : r$	$= 34 \ 20$	
$c$	$= 107 \ 40$	107 40
$o : c$	$=$	*103 47
$r$	$=$	*444 6

Meist tafelartig nach *c*; grössere Krystalle sind unvollkommen ausgebildet, und haben ein zwei- und eingliedriges Ansehen. Spaltbar nach *c*. Ebene der optischen Axen *ac*. Mittellinie *c*. — Groth Ztschr. 4, 573. Schmelzpunkt 80°.

**Chlornaphtalinchlorid s. Naphtalinchlorid.****Chlordibromnaphtalinchlorid s. Naphtalinchlorid.****Chlornitrobenzol, Meta-.  $C^6H^4Cl \cdot NO^2$ .**Zweigliedrig.  $a : b : c = 0,5608 : 1 : 0,4975$  Bodewig. $p, q, r, b$ .

	Berechnet	Beobachtet
$p : p = 121^\circ 26'$		$121^\circ 28'$
$b =$		$119 \ 17$
$q : q = 127 \ 6$		
$b =$		$116 \ 27$
$r : r = 96 \ 51$		$97 \ 2$
$p : r = 125 \ 22$		$125 \ 14$

Spaltbar vollkommen nach  $b$ . — Tafelartig nach  $b$ .Ebene der optischen Axen =  $bc$ ; Mittellinie =  $c$ , negativ.  $2E = 55'$  Roth;  $94^\circ 23'$  Gelb;  $94^\circ 46'$  Grün. — Pogg. A. 158, 244. — Ztschr. 4, 587.**Chloroform.  $C^2HCl^3$ .**Erstarrungspunkt  $-70^\circ$  Berthelot. — Vgl. Ballo: Ber. d. G. 1874, 160.

Zusammendrückbarkeit. Grassi: Ann. Ch. Phys. (3) 31, 437. Amagat: Eb. (5) 41, 520.

Ausdehnung.  $V = 1 + 0,00410745 t + 0,00000466473 t^2 - 0,0000017433 t^3$  ( $0^\circ$  bis  $62^\circ,7$ ) Pierre.Volumgewicht. 4,5252 ( $0^\circ$ ) Pierre, 4,493 — 1,497 Swan, 1,496 °) Soubeiran, 4,493 ( $20^\circ$ ) Haagen, 4,4966 Forbes.Bei  $0^\circ$  1,52657 1

Beim Siedepunkt 1,40877 1,0836 Thorpe.

Siedepunkt.  $60^\circ$  Amagat,  $63^\circ,5$  (772,5 mm) Pierre,  $60^\circ,3$  (762 mm) Haagen,  $60^\circ,16$  (760 mm) Regnault,  $61^\circ,2$  Thorpe.Specif. Wärme des flüssigen 0,2337 bei  $16-35^\circ$ , 0,2331 bei  $-30^\circ$ . — Schüller: Pogg. A. Ergbd. 5, 446.

Des Dampfes: Für gleiche Gew. 0,4567; für gleiche Vol. 0,6464 (310 später). — Regnault.

Latente Dampfwärme. Regnault: Relat. d. expér.

Druck und Volum des Dampfes. Herwig: Pogg. A. 137, 49. 147, 161.

Spannkraft nach Regnault:

Bei $10^\circ$	130,4 mm	später	Bei $90^\circ$	1811,5 mm	später
20	190,2	160,47 mm	100	2351,6	2426,52
30	276,1	245,91	110	3020,4	3106,83
40	364,0	366,20	120	3818,0	3916,17
50	524,3	530,96	130	4721,0	4865,65
60	738,0	751,01	140		5965,76
70	976,2	1038,09	150		7226,49
80	1367,8	1404,57			

C. r. 39 u. 50 (Pogg. A. 93, 537. 444, 402). — Vgl. Rankine: Phil. Mag. (4) 8, 530.

Brechungsverhältnisse. Für das flüssige ist (bei 12° n für

$$B = 1,4488$$

$$F = 1,457$$

$$D = 1,454$$

$$H = 1,463. \text{ Forbes: Phil. Mag. 35, 94.}$$

Gladstone fand bei 10° n = 1,449.

Haagen fand n für die drei Wasserstofflinien

$$\alpha \\ 1,44403$$

$$\beta \\ 1,45294$$

$$\gamma \\ 1,45824$$

und berechnet daraus das specif. Brechungsvermögen und das Refractionsäquivalent. — Pogg. A. 434, 417.

Der Brechungsexponent des Dampfes s. Mascart: C. r. 86, 521.

### Chlorophyll.

Fluorescenz. Morton: Am. J. Sc. (2) 2, 198. — Hagenbach: Pogg. A. 446, 65 u. ff. — Schönn: Eb. 446, 466.

Spectrum. Hagenbach: Pogg. A. 444, 445; Jubelbd. 303. — Chautard: C. r. 75, 1836. Ann. Ch. Phys. (5) 3, 5. — Kraus: Zur Kenntniss der Chlorophyllfarbstoffe. Stuttgart 1872. — Wiesner: Pogg. A. 452, 496, 453, 622.

Anomale Dispersion. Kundt: Pogg. A. 443, 259.

Einwirkung des Lichts: Lommel: Eb. 443, 568. — Gerland: Eb. 565.

### Chloroxaläthylintribromid. $C^6H^8N^2ClBr^3$ .

Zwei- und eingliedrig.  $a : b : c = 2,0645 : 4 : 1,796$  Bodewig.  
 $\alpha = 74^\circ 27'$ .

$\alpha, \alpha', p, r, a, c$ .	Berechnet	Beobachtet
$p : p =$		$53^\circ 23'$
$c =$		$96 \ 55$
$a : c = 105^\circ 33'$		$105 \ 39$
$\alpha : p = 154 \ 44$		$154 \ 22$
$r = 130 \ 45$		$130 \ 24$
$\alpha' : p = 154 \ 24$		$154 \ 50$

Prismatisch nach p; in der Endigung herrscht entweder r oder  $\alpha$ .  
Groth Ztschr. 5, 565.

Schmelzpunkt 132—133°.

### Chloroxaläthylin-Platinchlorid. $2C^6H^8Cl^2N^2 + PtCl^4$ .

Zwei- und eingliedrig.  $a : b : c = 1,368 : 4 : 1,47$  Bodewig.  
 $\alpha = 74^\circ 0'$ .

$p, \frac{q}{2}, r', a, c$ .	Berechnet	Beobachtet
$p : p =$		$75^\circ 26'$
$a = 127^\circ 43'$		$127 \ 43$
$c = 104 \ 29$		$104 \ 24$
$\frac{q}{2} : \frac{q}{2} = 110 \ 24$		$110 \ 48$



	Berechnet	Beobachtet
$\frac{q}{2} : c =$	$145^{\circ} 42'$	$145^{\circ} 2'$
$a : c =$		$109 0$
$r' =$		$128 23$
$c : r' =$	$122 37$	$122 32$
$p : r' =$	$112 19$	$112 27$
$q \left\{ \begin{array}{l} = 127 37 \\ = 106 44 \end{array} \right.$		$127 32$ $107 6$

Prismatisch nach  $p$ , tafelartig nach  $a$ .

Ebene der optischen Axen parallel Axe  $b$ ; die Mittellinie für Gelb fast normal auf  $r'$ , positiv,  $2E$  etwa  $53^{\circ}$ . — Groth Ztschr. 3. 365.

### Chloroxamäthan. $C^4H^2NCl^3O^3$ .

Zweigliedrig.

Nach De la Provostaye isomorph dem Oxamäthan, was Frankensim bestreitet. — Pogg. A. 93, 373.

### Chlorsuccsäure. $C^3H^3Cl^3O^2$ .

Zweigliedrig.  $a : b : c = 0,364 : 1 : 0,3396$  Nicklès.

$p, r, b.$	Berechnet	Beobachtet
$p : p =$		$104^{\circ} 48'$
$b =$	$109^{\circ} 51'$	$110 45$
$r : r =$		$93 30$
$p =$	$130 8$	$130 16$

Prismatisch nach  $r$ .

Genauere Messungen müssen entscheiden, ob die Krystalle zwei- und dreigliedrig sind, da Nicklès  $p : r$  vorn =  $129^{\circ} 51'$ , hinten =  $130^{\circ} 42'$  fand. — Ann. Ch. Phys. (3) 22, 30.

### Cholsäure.

1) Hydrat.  $C^{24}H^{40}O^5 + aq.$

$o, p, a.$	Berechnet	Beobachtet
$o \left\{ \begin{array}{l} 2A = \\ 2B = \\ 2C = \end{array} \right.$	$144^{\circ} 38'$ $119 36$ $74$	$144^{\circ} 22'$ $119 40$ $74 58$
$p : p =$		$117 45$
$o =$	$125 59$	$125 55$

Prismatisch nach  $p$  und nach einer Zone  $p, o$ .  $o$  verlängert:  $a$  selten und schmal. (Aus Aetherlösung.)

2) Hydrat.  $2C^{24}H^{40}O^5 + 5 aq.$

Viergliedrig.  $a : c = 1 : 0,7946$  Strecker.

$o, a.$	Berechnet	Beobachtet
$o \left\{ \begin{array}{l} 2A = \\ 2C = \end{array} \right.$	$116^{\circ} 44'$ $96$	$116^{\circ} 40'$ $96^{\circ} 40'$
$o : a =$	$121 53$	

*o* erscheint oft als Tetraeder (Krystalle aus Alkohol). — Ann. Pharm. 67, 4.

**Cholesterin.**  $C^{26}H^{44}O$ .

Zwei- und eingliedrig.  $a : b : c = 0,3749 : 1 : 0,3963$  Heintz.  
 $o = 79^{\circ} 30'$ .

$p, r', a, b, c.$	Berechnet	Beobachtet
$p : p =$	$139^{\circ} 32'$	$139^{\circ} 45'$
$b =$		$*110 \ 44$
$c =$	$99 \ 51$	
$a : c =$		$*100 \ 30$
$r' : a =$	$134 \ 40$	$134 \ 34$
$c =$		$*127 \ 50$
$p =$	$128 \ 35$	

Tafelartig nach  $b$ . Spaltbar nach  $b$ . — Pogg. A. 79, 524.

**Chrysen.**  $C^{18}H^{12}$ .

Zweigliedrig.  $a : b : c = 0,727 : 1 : 1,84$  Hahn.

$o \ 2A = 150^{\circ},5; \ 2B = 79^{\circ},5; \ 2C = 144^{\circ}.$

Tafelartig durch Vorherrschen von  $c$ .

Schmelzpunkt  $250^{\circ}$ . — J. pr. Ch. (2) 9, 273.

**Cinchonidin.**  $C^{19}H^{22}N^2O^2$ .

Zweigliedrig.  $a : b : c = 0,6544 : 1 : 0,9503$  Lang.

$p, \frac{q}{2}, b, c.$

	Berechnet
$p : p =$	$113^{\circ} 36'$
$\frac{q}{2} : \frac{q}{2} =$	$129 \ 10$

Das sogenannte Homocinchonidin hat dieselbe Form und dasselbe Drehungsvermögen. — Wien. Ak. Ber. 78.

**Cinchonidin, chlorwasserstoffsäures.**  $C^{19}H^{22}N^2O^2 \cdot HCl + aq.$

Zweigliedrig.  $a : b : c = 0,9662 : 1 : 0,7883$  Rammelsberg.

$o, p, q.$

	Berechnet	Beobachtet
$o \begin{cases} 2A = 117^{\circ} 10' \\ 2B = 114 \ 42 \\ 2C = 97 \ 12 \end{cases}$		
$p : p =$		$*94^{\circ} 58'$
$q : q =$		$*103 \ 30$
$p =$	$115 \ 29$	$115 \ 44$
$o : p =$	$138 \ 36$	$138 \ 33$
$q =$	$147 \ 21$	$147 \ 20$

$o$  tritt als linkes Tetraeder oben und unten auf, jedoch stets untergeordnet.

Ich erhielt die Krystalle als Homocinchonidinsalz. — Vgl. Lang a. a. O.

**Cinchonin.**  $C^{20}H^{24}N^2O$ .

Zwei- und eingliedrig (?).  $a : b = 1,492 : 1$  Schabus.  
 $o = 72^\circ 44'$ .

$\gamma$ ,  $a$ ,  $c$ .

	Beobachtet
$p : p =$	$70^\circ 8',5$
$c =$	$100 \quad 5,5$
$a : c =$	$107 \quad 19$

Prismatisch nach  $ac$ , aber nur an einer Seite ausgebildet. Spaltbar  $c$  und  $a$ .

Drehungsvermögen des C. und einiger seiner Salze Wilhelmy:  
 A. 131, 527.

Nach Pasteur ist C. stark rechtsdrehend. | Einfluss des Wassers und  
 als auf das Drehungsvermögen Oudemans: Pogg. A. 148, 337.

Zersetzung der Salze durch den elektrischen Strom Babo: J. f. pr.  
 2, 73.

**Cinchonin, chlorwasserstoffsäures.**  $C^{20}H^{24}N^2O \cdot 2HCl$ .

Zweigligliedrig. Laurent.  $p : p = 104^\circ$ ,  $q : c = 137^\circ$ .

Dieselbe Form hat nach L. die Bromverbindung und die Chlorverbindung  
 Chloreinchonin,  $C^{20}H^{22}Cl^2N^2O \cdot 2HCl$ . — Ann. Ch. Phys. (3) 24, 302.

**Cinchoninchlorid.**  $C^{19}H^{21}ClN^2$ .

Zweigligliedrig.  $a : b : c = 0,7843 : 1 : 0,5082$  Bodewig.

$\gamma$ ,  $r$ .

	Berechnet	Beobachtet
$p : p =$		$103^\circ 47'$
$r : r =$		$114 \quad 7$
$p =$	$115^\circ 20'$	$115 \quad 12$

Prismen  $p$ .

Ebene der optischen Axen  $bc$ ; positiv,  $2E$  für Gelb etwa  $13^\circ$ . — Groth  
 r. 5, 570.

**Cinchonintriiodid.**  $C^{20}H^{24}N^2O \cdot HI^3 + aq$ .

Zweigligliedrig.  $a : b : c = 0,4777 : 1 : 0,4453$  Topsøe.

$\gamma$ ,  $p^2$ ,  $r$ ,  $b$ .

	Berechnet	Beobachtet
$\left. \begin{array}{l} 2A = \\ 2B = \\ 2C = \end{array} \right\}$	$\left. \begin{array}{l} 143^\circ 54' \\ 99 \quad 10 \\ 91 \quad 52 \end{array} \right\}$	
$p^2 : p^2 =$		$153^\circ 7'$
$b =$	$103 \quad 26$	$103 \quad 23$
$r : r =$	$94 \quad 2$	$93 \quad 30$
$p^2 =$		$134 \quad 33$
$o : b =$	$108 \quad 3$	
$r =$	$161 \quad 57$	$162 \quad 30$

J. f. pr. Ch. (2) 4, 145.

**Cinchonin, schwefelsaures.**

I.  $C^{20}H^{24}N^2O^2 \cdot H^2SO^4 + aq$ .

Zwei- und eingliedrig.  $a : b = 2,417 : 1$  Schabus.  
 $o = 83^\circ 16',5$ .

$p, {}^5p, a, c.$	Berechnet	Schabus	Beobachtet Brooke	Baup
$p : p = 45^\circ 44'$				
$a =$		$*442^\circ 37'$		
$c = 92\ 35$				
${}^5p : {}^5p = 9\ 30$				
$a = 94\ 45$		94 40	$95^\circ 50'$	
$c = 90\ 33$			90 0	
$a : c =$		$*96\ 43,5$	96 30	$97^\circ$

Sehr vollkommen spaltbar nach  $a$  und  $c$ . — Baup: Ann. Chim. Phys. 27, 323. — Brooke: Ann. Phil. 22, 375. — Schabus 174.

## II. $C^{20}H^{24}N^2O \cdot H^2SO^4 + 4aq.$

Zweigliedrig.  $a : b : c = 0,6886 : 4 : 0,5994$  Rammelsberg.

$o, p, q, r.$	Berechnet	Beobachtet
$o \left\{ \begin{array}{l} 2A = 134^\circ 20' \\ 2B = 106\ 0 \\ 2C = 93\ 40 \end{array} \right.$		
$p : p =$		$*440^\circ 54'$
$q : q = 118\ 8$		447 35
$r : r =$		$*97\ 55$
$p : q = 406\ 57$		406 3
$r = 122\ 44$		121 8
$q : r = 130\ 46$		130 35
$o : p = 136\ 35$		
$q = 143\ 0$		143 45
$r = 155\ 40$		155 30

Prismatisch nach  $p$ ; viele Krystalle nur  $p, r$ . Zuweilen ist das vordere  $r$  gross, das hintere fehlt, das rechte  $q$  gross, das linke schmal. An solchen Krystallen finden sich einzelne sehr kleine Flächen  $o$ .

Spaltbar nach  $p$ .

## Cinchonin, überchlorsaures. $C^{20}H^{24}N^2O \cdot HClO^4 + aq.$

Nach Dauber Prismen von  $125^\circ 46'$ , mit Abstumpfung der scharfen Kanten durch  $b$ , und einer auf die stumpfen aufgesetzten schiefen Endfläche  $c$ , welche gegen das eine  $p$  unter  $123^\circ 46'$ , gegen das andere unter  $122^\circ 37'$  geneigt ist, während  $b : c = 91^\circ 6'$  ist.

Da  $b$  die Kanten von  $p$  gerade abstumpft, so wäre die Form eine di-kliuedrische, wenn sie nicht als eingliedrig aufzufassen ist. — Dauber: Ann. Chem. Pharm. 74, 66.

## Cinchonin, rechtsweinsaures. $(C^{20}H^{24}N^2O)^2C^4H^6O^6 + 4aq.$

Zweigliedrig (hemiedrisch).

Nach Pasteur Prismen  $p$  von  $133^\circ 20'$ , mit einem zweiten Paar  $q$  ( $q : q = 127^\circ 40'$ ) und einem rechten Tetraeder  $o$  ( $o : q = 151^\circ 13'$ ). — Ann. Chim. Phys. (3) 38, 456.

**Cinchonin, Schwefelcyanwasserstoff.**  $C^{20}H^{24}N^2O : HCNS$ .

tri- und eingliedrig.  $a : b : c = 2,0339 : 4 : 4,2207$  Zepharon.  
 $\alpha = 82^\circ 36'$ .

$a, r', 2r', a, c$ .	Berechnet	Beobachtet
$\alpha' : \alpha' =$	$84^\circ 25'$	$84^\circ 24'$
$p : p =$	$127 \ 15$	$127 \ 23$
$a =$	$116 \ 22$	$116 \ 22$
$c =$	$93 \ 17$	$93 \ 33$
$a : c =$	$97 \ 24$	$97 \ 22$
$r' =$		$*115 \ 26$
$c : r' =$		$*147 \ 20$
$a : 2r' =$	$137 \ 13$	$137 \ 15$
$c : 2r' =$	$125 \ 23$	$125 \ 18$
$r' : 2r' =$	$158 \ 12$	$158 \ 13$
$\alpha' : a =$	$106 \ 46$	
$c =$	$124 \ 22$	$124 \ 32$
$p =$	$142 \ 21$	$144 \ 53$
$r' =$		$*132 \ 13$

Verticalzone herrschend; feine Nadeln, farblos, spaltbar nach  $a$ . —  
 k. Ber. 52.

**Cinchotenidin.**  $C^{16}H^{20}N^2O^3 + 3 aq$ .

tri- und eingliedrig.  $a : b : c = 1,121 : 4 : 4,0457$  Lang.  
 $\alpha = 83^\circ 42'$ .

$a, r', a$ .	Berechnet	
$p : p =$	$83^\circ 30'$	$a : r' = 132^\circ 3'$
$a : r =$	$133 \ 58$	$r : r' = 93 \ 59$

schmelzend in Lösung.

Schmelzpunkt  $265^\circ$ . — Wien. Ak. Ber. 78.

**Cinchotin.**  $C^{20}H^{24}N^2O^2$ .

tri- und eingliedrig.  $a : b : c = 2,156 : 4 : 2,0748$  Schabus.  
 $\alpha = 77^\circ 20'$ .

$a, c$ .	Berechnet	Beobachtet
$\alpha : \alpha =$	$74^\circ 46'$	
$\alpha' : \alpha' =$	$62 \ 24$	
$\alpha : \alpha' =$	$133 \ 58$	
$\alpha : \alpha' =$	$132 \ 2$	
$a : c =$		$*102^\circ 40'$
$\alpha : a =$	$117 \ 44$	
$c =$	$118 \ 30$	$118 \ 30$
$\alpha' : a =$		$*108 \ 18$
$c =$		$*109 \ 28$

schmelzend nach  $a, c$ : tafelartig nach  $c$ .

Flächen glatt und eben, nur die Oktaidflächen wenig glänzend.

**Citrabrombrenzweinsäure** s. Brombrenzweinsäure.

**Citraconsaurer Kalk, saurer.**  $\text{Ca}(\text{C}^5\text{H}^5\text{O}^4)^2 + 3 \text{ aq.}$ 

Zwei- und eingliedrig.  $a : b : c = 1,4352 : 1 : 1,8637$  Bodewi  
 $\alpha = 73^\circ 8'$ .

$o, \frac{2}{3}o, p, q, q^2, r, r', a, c.$	Berechnet	Beobachtet
$o : o =$	$92^\circ 14'$	
$p : p =$	$72 \quad 6$	$72^\circ 5',5$
$a =$		$126 \quad 3$
$c =$		$99 \quad 50$
$q : q =$	$58 \quad 34$	
$q : c =$	$119 \quad 17$	$119 \quad 13$
$q^2 : q^2 =$	$31 \quad 20$	
$c =$	$105 \quad 40$	
$q =$	$166 \quad 23$	$166 \quad 28$
$a : c =$	$106 \quad 52$	$106 \quad 59$
$r =$	$148 \quad 56$	$149 \quad 1$
$r' =$	$136 \quad 30$	$136 \quad 30$
$c : r =$	$137 \quad 56$	$138 \quad 3$
$r' =$	$116 \quad 38$	$116 \quad 24$
$p : q =$	$128 \quad 26$	$128 \quad 35$
$r =$	$120 \quad 16$	$120 \quad 8$
$q : r =$	$111 \quad 17$	$111 \quad 11$
$o : a =$	$128 \quad 8$	$128 \quad 5$
$c =$		$122 \quad 21$
$p =$	$157 \quad 29$	$157 \quad 28$
$q =$	$150 \quad 9$	$150 \quad 8$
$r =$	$136 \quad 7$	$136 \quad 0$
$\frac{2}{3}o : a =$	$127 \quad 7$	$127 \quad 16$
$c =$	$130 \quad 53$	$130 \quad 46$

Tafelartig und spaltbar nach  $c$ . Vorherrschend  $o, a, c$ .  
 Ebene der optischen Axen  $ac$ . — Groth Ztschr. 3. 561.

**Citrodianil.**  $\text{C}^{16}\text{H}^{16}\text{N}^2\text{O}^4$ .

Zwei- und eingliedrig.  $a : b : c = 1,5425 : 1 : 1,5798$  Schabu:  
 $\alpha = 83^\circ 19'$ .

$o, p, 2r, 2r', c.$	Berechnet	Beobachtet
$o : o =$	$87^\circ 54'$	
$p : p =$		$86^\circ 16'$
$c =$		$93 \quad 39$
$c : 2r =$	$121 \quad 20$	$121 \quad 15$
$2r' =$	$110 \quad 32$	$110 \quad 32$
$o : c =$		$120 \quad 54$
$p : 2r =$	$119 \quad 47$	
$2r' =$	$119 \quad 5$	

Dünne Blättchen nach  $c$ . Die Flächen gekrümmt.  
 Wenig spaltbar nach  $c$ .

**Cocain.**  $\text{C}^{16}\text{H}^{20}\text{N}^2\text{O}^4$ .

Zwei- und eingliedrig.  $a : b : c = 0,8432 : 1 : 1,0312$  Tschermak  
 $\alpha = 73^\circ 50'$ .

$o', q, r', a, c$ . Berechnet

$o' : o' = 107^\circ 20'$

$q : q = 90 \ 32$

$c =$

$a : c =$

$r' = 134 \ 34$

$c : r' = 119 \ 49$

$o' : a =$

$c = 113 \ 14$

$r' = 143 \ 40$

Beobachtet

Tschermak

$107^\circ 50'$

Fritsch

$*135 \ 46$

$*106 \ 40$

$*119 \ 30$

$113 \ 10$

$143 \ 23$

$120^\circ \ 0'$

$*114 \ 48$

Prismatisch nach der Verticalzone und tafelartig nach  $c$ . Spaltbar  
 1  $c$ . — Wien. Ak. Ber. 48.

## Codein.

1. Wasserfrei.  $C^{15}H^{21}NO^3$ .Zweigliedrig-hemiedrisch.  $a : b : c = 0,9298 : 1 : 0,5087$  Arzruni. $o, p, 2p, q, r$ . Berechnet

$p : p =$

$a = 137^\circ \ 5'$

$2p : 2p = 56 \ 32$

$a = 118 \ 46$

$q : q = 107 \ 59$

$r : r = 122 \ 38$

$a =$

$p : r = 110 \ 35$

$q : r = 141 \ 26$

$o : b = 114 \ 3$

$p = 126 \ 46$

$r = 155 \ 57$

Beobachtet

$*94^\circ \ 10'$

$56 \ 36$

$118 \ 49$

$107 \ 33$

$122 \ 43$

$*118 \ 41$

$110 \ 34$

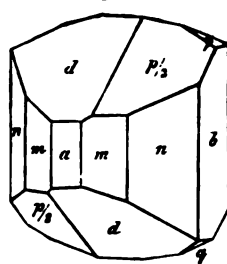
$141 \ 53$

$114 \ 30$

$126 \ 53$

$155 \ 55$

Fig. 84.



Das Oktaeder erscheint als rechtes Tetraeder. — Fig. 84  $\left(\frac{p}{2} = o, \right.$   
 $\left. = p, n = 2p, d = r\right)$ .

Optische Axenebene  $ab$ , Mittellinie  $b$ . positiv.

	Gefunden		Berechnet	
	$2H_a$	$2H_o$	$2V_a$	
Roth	$88^\circ \ 7'$	$119^\circ \ 14'$	$77^\circ \ 44',5$	
Gelb	$85 \ 25$	$123 \ 44$	$75 \ 8$	
Grün	$82 \ 33$	$126 \ 39$	$72 \ 52,5$	

h Ztschr. 4. 302.

2. Hydrat.  $C^{15}H^{21}NO^3 + aq$ .Zweigliedrig.  $a : b : c = 0,9601 : 1 : 0,8277$  Miller. $p, q, \frac{q}{2}, r, c$ .

Berechnet

Beobachtet

	Miller	Kopp	Sénarmont	Grailich	Keferst.
$p :$	$*92^\circ \ 20'$	$92^\circ \ 30'$	$91^\circ \ 40'$	$92^\circ \ 35'$	$92^\circ \ 8'$
$q :$	$100^\circ \ 46'$	$101 \ 30$	$99 \ 55$	$101 \ 36$	$101 \ 2$
$c =$	$*140 \ 23$				

Berechnet	Miller	Beobachtet Sénarmont	Kefers
$\frac{q}{2} : \frac{q}{2} = 135^{\circ} 2'$		$134^{\circ} 45'$	$134^{\circ}$
$\frac{q}{2} : c = 157 31$	$157^{\circ} 25'$		
$q = 162 52$			$163 2$
$r : r = 98 28$			
$c = 139 14$	$144 37$		
$p : q = 116 12$	$116 18$		
$r = 118 6$	$116 45$		
$q : r = 125 42$	$126 57$		

Miller's Messungen sind nicht ganz genau.

Die Krystalle aus Alkohohl sind Combinationen  $p, q, r, c$  mit schendem  $p$ . Die aus Wasser zeigen in der Endigung nur  $q$  und  $\frac{q}{2}$ .

Die  $p$  sind gewöhnlich sehr ungleich gross, von  $r$  wurde nur Fläche und die parallele beobachtet.

Spaltbar nach  $c$  (Miller, Grailich), nach  $q$  (Kopp).

Die Brechungsexponenten bestimmte Grailich. Ebene der opt. Axen =  $bc$ , Mittellinie =  $c$ . Negativ. — Grailich: Kryst.-opt. U 187. Wien. Ak. Ber. 27. — Kopp: Krystallogr. 279. — Miller: Chem. Pharm. 77, 384. — Sénarmont: Privatmitth. — Kefers: Pogg. A. 99, 292.

#### Codein, schwefelsaures. $(C^{18}H^{21}NO_3^2H^2SO_4)$ .

Zweigligdrig.  $a : b : c = 0,2567 : 1 : 0,44$  Miller.

$p, q, b$ .	Berechnet	Beobachtet
$p : p =$		$151^{\circ} 12'$
$q : q = 132^{\circ} 30'$		
$b =$		$113 45$
$p = 95 45$		

Spaltbar nach  $b$ . — Miller: a. a. O.

#### Columbin. $C^{21}H^{22}O^7$ .

Zweigligdrig.  $a : b : c = 0,515 : 1 : 0,343$  G. Rose.

$p, r, a, b$ .	Berechnet	Beobachtet
$p : p =$		$125^{\circ} 30'$
$r : r = 112^{\circ} 40'$		
$a =$		$123 40$
$p = 119 32$		

Pogg. A. 19, 444.

#### Coniin, Chlorwasserstoff-. $C^8H^{15}N \cdot HCl$ .

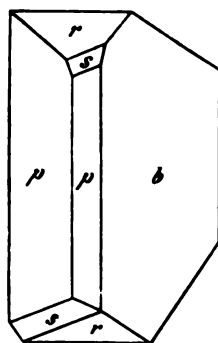
Zweigligdrig.  $a : b : c = 0,8664 : 1 : 0,4108$  Zepharovich.  
 $s = \frac{1}{2} a : b : c$ . —  $p, q, r, a, b$ .

	Berechnet
$s \left\{ \begin{array}{l} 2A = 146^{\circ} 48' \\ 2B = 97 28 \\ 2C = 91 54 \end{array} \right.$	



	Berechnet	Beobachtet
$p : p =$	$98^{\circ} 11'$	$98^{\circ} 17'$
$a =$	139 5	139 10
$b =$		130 55
$q : q =$	135 20	
$b =$	112 20	112 3
$p =$	105 23	
$r : r =$		129 16
$a =$	115 22	115 23
$p =$	108 54	108 58
$q =$	146 42	
$s : a =$	134 16	
$b =$	106 36	
$p =$	133 16	133 21
$q =$	138 44	
$r =$	155 37	155 46

Fig. 85.



smatisch nach  $p$ , oft tafelartig nach  $b$ . Ein  $p$  und ein  $r$  sind stets besser als die anderen. Von  $s$  finden sich meist oben und unten nur kleinen, aber ebensowohl nach Art eines Tetraeders als einer Partial- auch drei Flächen wurden beobachtet. — Fig. 85.

und  $b$  allein sind glänzend.

altbar nach  $a, b, p$ . — Wien. Ak. Ber. 47, 278.

tisch ähnlich der Bromverbindung, insofern die Ebene der blauen Strahlen  $= ab$ , der rothen  $= bc$  ist. Mittellinie  $b$  positiv.

$$2E = \begin{cases} 46^{\circ} 30' \\ 39 & 40 \\ 20 & 0 \\ 23 & 30 \end{cases} \quad 2H_a = \begin{cases} 30^{\circ} 40' & \text{Blau} \\ 25 & 30 & \text{Grün} \\ 13 & 30 & \text{Gelb} \\ 14 & 45 & \text{Roth.} \end{cases}$$

Groth Ztschr. 6, 83.

### Coniin, bromwasserstoffsäures. $C^8H^{15}N \cdot HBr$ .

eigliedrig.  $a : b : c = 0,8876 : 1 : 0,4218$  Zepharovich.

$r, b$ .

	Berechnet	Beobachtet
$p : p =$	$96^{\circ} 48'$	$96^{\circ} 51'$
$b =$		131 36
$r : r =$	50 42	50 44
$p =$		108 40

altbar nach  $p$ .

ene der optischen Axen für Roth, Gelb und Grün  $= ac$ , für Blau lett  $= bc$ , Mittellinie  $= c$ ; positiv.

$$2E = \begin{cases} 68^{\circ} 55' \\ 45 & 50 \\ 15 & 29 \\ 53 & 20 \end{cases} \quad 2H_a = \begin{cases} 45^{\circ} 53' & \text{Roth} \\ 31 & 2 & \text{Gelb} \\ 8 & 45 & \text{Grün} \\ 38 & 56 & \text{Blau.} \end{cases}$$

morph der Chlorverbindung. — Groth Ztschr. 6, 84.

**Coniin, jodwasserstoffsäures.**  $C^5H^{15}N \cdot HJ$ .

Zwei- und eingliedrig.  $a : b : c = 1,2442 : 1 : 1,4532$  Zepharovich.  
 $\alpha = 64^\circ 44'$ .

$\alpha', p, r', a, c$ .	Berechnet	Beobachtet
$\alpha' : \alpha' =$	$89^\circ 4'$	$89^\circ 6'$
$p : p =$	86 36	86 40
$a =$		*133 18
$c =$	409 48	409 46
$a : c =$		*118 49
$r' : a =$	418 43	418 45
$c =$		*122 58
$p =$	408 55	408 55
$\alpha' : a =$	409 22	409 35
$c =$	412 26	412 22
$p =$	438 45	
$r' =$	434 32	434 33

Prismatisch nach der Verticalzone und tafelförmig nach  $c$ . Zwillings nach  $r'$ . Spaltbar nach  $c$ .

Optische Axenebene =  $ac$ , Mittellinie im spitzen Winkel  $\alpha$ , mit der Normale von  $c$   $22^\circ$  bildend: negativ.

$$2H_a = 67^\circ 27' \text{ Blau.} \\ 65 \quad 12 \text{ Roth.}$$

Groth Ztschr. 6, 83.

**Coniin, saures weinsäures.**  $C^5H^{15}N \cdot C^4H^6O^6 + 2aq$ .

Zweiglig.  $a : b : c = 0,7766 : 1 : 0,5859$  Zepharovich.  
 $v = \frac{1}{2}a : b : c$ . —  $p, q, a, b$ .

	Berechnet	Beobachtet
$v \left\{ \begin{array}{l} 2A = \\ 2B = \\ 2C = \end{array} \right.$	$129^\circ 52'$ 143 50 87 22	
$p : p =$	404 20	
$a =$		*142° 10'
$q : q =$		*119 46
$b =$	420 22	420 47
$p =$	408 4	408 15
$v : a =$	408 5	408 35
$q =$	464 55	

Prismatisch nach der Horizontalzone; spaltbar nach  $a$ .

Ebene der optischen Axen =  $bc$ , Mittellinie =  $c$ ; Brechung positiv  
 $\varphi < v$ .

$$2E = \begin{cases} 43^\circ 40' \\ 43 \quad 33 \\ 44 \quad 4 \end{cases} \quad 2H_a = \begin{cases} 28^\circ 32' \text{ Roth} \\ 29 \quad 0 \text{ Gelb} \\ 29 \quad 27 \text{ Grün.} \end{cases}$$

Groth Ztschr. 6, 84.

**Copaivaharz** (Copaivasäure).  $C^{20}H^{30}O^2$ .Zweigligdrig.  $a : b : c = 0,9936 : 1 : 0,54$  G. Rose. $o, p, p^2, q$ .

	Berechnet	Beobachtet
$o \left\{ \begin{array}{l} 2A = \\ 2B = 130^\circ 52' \\ 2C = 71 \quad 56 \end{array} \right.$		$*131^\circ 41'$
$p : p = 90 \quad 24$		
$p^2 : p^2 = 127 \quad 9$		
$q : q = 125 \quad 57$		
$p = 108 \quad 44$		
$o : q =$		$*155 \quad 26$

Prismatisch nach  $p$ ; in der Endigung  $q$  herrschend. $p$  gewöhnlich vertical gestreift.Spaltbar sehr unvollkommen nach  $p^2$ . — Pogg. A. 17, 489. 33, 36.**Crotonsäure**.  $C^4H^6O^2$ .Zwei- und eingliedrig.  $a : b : c = 0,6446 : 1 : 1,254$  A. Knop. $o = 79^\circ 42'$ . $o, r, r', c$ .

	Berechnet	Beobachtet
$o : o =$		$*126^\circ 30'$
$c : r =$		$*124 \quad 30$
$r' =$		$*107 \quad 0$
$r : r' = 54^\circ 30'$		$59 \quad 30 (?)$
$o : c = 120 \quad 23$		$113 \quad (?)$
$r = 153 \quad 15$		

Tafelartig nach  $c$ . Ein schärferes hinteres Augitpaar ( $96^\circ$  gegen  $c$ )  
m vor. Die Messungen sind annähernd.Spaltbar nach  $c$ . — Ann. Chem. Pharm. 139. 62.**Cubeben-Kampher**.  $C^{15}H^{26}O$ .Zweigligdrig.  $a : b : c = 0,555 : 1 : 0,372$  Brooke. $o, p, p^2, q, a, b$ .

	Berechnet	Beobachtet	
		Brooke	Kobell
$o \left\{ \begin{array}{l} 2A = \\ 2B = 115^\circ 44' \\ 2C = \end{array} \right.$		$*115^\circ 40'$	$115^\circ 0'$
		$115 \quad 45$	$115 \quad 40$
		$*74 \quad 56$	$73 \quad 24$
$p : p = 121 \quad 56$			
$a = 150 \quad 58$		$151 \quad 0$	
$p^2 : p^2 = 118 \quad 58$			
$a = 164 \quad 29$		$165 \quad 0$	

 $o$  herrschend.Vollkommen spaltbar nach  $a$ . — Brooke: Ann. Phil. 22, 450. —  
Kobell: Buchner's Repertor. 45, 351.**Cumarin**.  $C^9H^6O^2$ .Zweigligdrig.  $a : b : c = 0,9658 : 1 : 0,3553$  De la Provostaye. $p, r, a$ .

	Berechnet	Beobachtet
$p : p =$		$\approx 92^\circ 0'$
$a =$	$136^\circ 0'$	136 0
$r : r =$	139 36	
$a =$		$\approx 110 12$
$p =$	104 23	104 22

Tafelartig nach  $a$ . — De la Provostaye: Ann. Chim. Phys. 6, 352.

Optische Axenebene  $ab$ . Positiv. Mittellinie wahrscheinlich  $a$ .

### Cuminsäure. $C^{10}H^{12}O^2$ .

Eingliedrig.  $a : b : c = 0,8072 : 1 : 0,6742$  Schabus.

$A =$	$74^\circ 12'$	$\alpha =$	$73^\circ 5'$
$B =$	100 46	$\beta =$	101 12
$C =$	90 0	$\gamma =$	93 5

$p', p^2, q, q^2, a, b, c$	Berechnet	Beobachtet
$a : b =$		$\approx 90^\circ 0'$
$a : p' =$	$140^\circ 30'$	
$b : p' =$		$\approx 129 30$
$a : p^2 =$	157 37	157 50
$b : p^2 =$	112 23	112 30 ungef.
$p : p^2 =$	162 53	163 10
$b : c =$		$\approx 74 12$
$q : c =$	142 8	142 40
$b =$		$\approx 112 4$
$q^2 : c =$	146 39	116 25
$b =$	137 33	137 25
$q =$	154 34	154 39
$a : c =$	100 46	101 ungef.
$p' : c =$		$\approx 108 30$

Zwillinge: 1) Zwillingfläche =  $b$ . Verwachsungen und Durchdringungen, so dass das eine kleinere Individuum aus dem anderen hervragt. 2) Zwillingfläche ist wahrscheinlich  $a : c : \infty b$ ; kreuzförmige Durchwachsung sehr langer aber stark gekrümmter Individuen, ansehend rechtwinklig.

Die Krystalle werden gewöhnlich von  $b, c, p'$  und  $q$  gebildet, welcher letzteren die parallele fehlt;  $a$  ist nicht immer vorhanden, steht wahrscheinlich senkrecht auf  $b$ . Zuweilen finden sich  $p^2$  und jedoch sehr schmal. Die Krystalle sind meist verbrochen oder am Ende mit unebenen Flächen keilförmig zugespitzt. Sie sind tafelförmig nach  $b$  oder prismatisch nach  $b$  und  $c$ . Selten werden sie durch Verwachsungen von  $c$  und  $p$  pyramidal.

Sehr leicht spaltbar nach  $b$ .

Die Flächen  $b, c, p'$ , auch  $q^2$ , meist glänzend;  $b$  mit Perlmutterglanz Weiss, selten durchsichtig.

Da  $a$  schmal oder trichterförmig vertieft ist, so lässt sich  $a : b$  nicht genau messen (beob.  $89^\circ 15' - 90^\circ 20'$ ). — Pogg. A. 116, 442.

Schabus nannte die Krystalle diklinoedrisch, weil  $a : b = 90^\circ$ .

Volumgewicht 1,156—1,169 Schröder.

**Comolsulfonsäure, Pseudo-.**  $\text{C}^9\text{H}^{12}\text{SO}_3 + 2 \text{ aq.}$

Zwei- und eingliedrig.  $a : b = 0,99 : 1$  Bodewig.

$p, c.$

Beobachtet

$$p : p = 90^\circ 31'; \quad p : c = 90^\circ 42'.$$

Würfelähnliche Krystalle, spaltbar nach  $c$ .

Ebene der optischen Axen parallel Axe  $b$ ; Mittellinie positiv, mit der normalen auf Fläche  $c$  hinten; etwa  $25^\circ$  bildend. — Groth Ztschr. 3, 381.

**Cyankrinyl.**  $\text{C}^8\text{H}^7\text{NO}.$

Zwei- und eingliedrig.  $a : b : c = 0,6873 : 4 : 0,793$  Bodewig.  
 $o = 86^\circ 12'.$

$o, p, 2p, r, r', b, c.$

Berechnet

Beobachtet

$o : o =$		$126^\circ 41'$
$p : p =$	$114^\circ 7'$	$111 \quad 7$
$2p : 2p =$	$68 \quad 53$	$68 \quad 53$
$c : p =$	$93 \quad 8$	$93 \quad 5$
$2p =$	$92 \quad 15$	$92 \quad 10$
$r =$	$133 \quad 15$	$132 \quad 58$
$p : r =$	$129 \quad 40$	$129 \quad 38$
$r' =$	$127 \quad 25$	$127 \quad 32$
$o : c =$		$127 \quad 37$
$p =$		$145 \quad 31$
$r =$	$153 \quad 21$	$153 \quad 19$

Tafelartig nach  $c$ . gelb; spaltbar nach  $o$ . Ebene der optischen Axen  $c$ . — Groth Ztschr. 3, 381.

Schmelzpunkt  $69^\circ$ .

**Cyanursäure.**  $\text{H}^3\text{Cy}^3\text{O}^3 + 2 \text{ aq.}$

Zwei- und eingliedrig.  $a : b : c = 1,3138 : 1 : 1,7456$  Schabus.  
 $o = 73^\circ 48'.$

$p, r, \frac{r}{2}, \frac{r}{6}, a, c.$  Berechnet

Beobachtet

	Schabus	Keferstein
$p : p =$	$76^\circ 48'$	$77^\circ 13'$
$c = 99^\circ 59'$	$100 \quad 2$	$99 \quad 55$
$a : c =$	$106 \quad 12$	
$r = 149 \quad 9$		
$\frac{r}{2} = 134 \quad 29$		
$\frac{r}{6} = 117 \quad 31$		
$c : r =$	$106 \quad 12$	

	Berechnet	Beobachtet
$c : \frac{r}{2} =$	454° 43'	454° 30'
$\frac{r}{6} =$	168 41	167 30    ungef.

Prismatisch nach  $p$ . Meist Zwillinge nach einem  $\frac{1}{2}r'$ , die oft tafelförmig nach  $c$ . Spaltbar nach  $r$  und  $c$ .

**Cyanursaures Aethyl.**  $(C^2H^5)_3Cy^3O^3$ .

Zweiglig.  $a : b : c = 0,4877 : 1 : 0,9407$  Rammelsberg.  
 $p, q, b$ .

	Berechnet	Beobachtet
$p : p =$	128° 0'	128° 0'
$b =$		*116 0
$q : q =$		*93 30
$b =$	133 45	133 6
$p =$	107 29	107 40

Prismatisch nach  $p$ .

Oft sind die beiden  $p$  und  $q$  am einen Ende der Axe  $b$  sehr klein,  $d$  dieser Seite aber ist ausgedehnt.

**Cyanursaures Methyl.**  $(CH^3)_3.Cy^3O^3$ .

Zweiglig.  $a : b : c = 0,5797 : 1 : 1,0913$  Rammelsberg.  
 $p, q, b, c$ .

	Berechnet	Beobachtet
		Rammelsberg    Nicklès
$p : p =$	119° 48'	120° 0'    120°—124½°
$b =$		*120 6    115½
$q : q =$	85 0	85 8    86 20'
$c =$		*132 30    133 10
$b =$	137 30	137 30
$p =$	111 42	

Nicklès: Laurent et Gerhardt C. rend. d. trav. chim. 1879 Octobr

**Cyanylsäure.**  $H^3Cy^3O^3 + 3 aq$ .

Zweiglig.  $a : b : c = 0,9067 : 1 : 1,018$  Liebig.  
 $p, r$ .

Beobachtet  
 $p : p = 95° 36'$ ;  $r : r = 83° 24'$ .

Spaltbar nach  $a$ . — Pogg. A. 34, 599.

**Cymolsulfonsäure.**  $C^{10}H^{14}S O^3 + 2 aq$ .

Zwei- und eingliedrig.  $a : b : c = 0,9775 : 1 : 0,8376$  Bodewig.  
 $o, p, q^2, c$ .

	Berechnet	Beobachtet
$o' : o' =$		*105° 2'
$p : p =$	98° 22'	
$c =$		*110 46
$q^2 : q^2 =$	68 6	
$c =$	124 3	124 0
$o' : c =$		*119 29
$p =$	129 45	129 54

Groth Ztschr. 3, 384.

**Cytisin, salpetersaures.**  $C^{20}H^{27}N^3O \cdot 2HNO^3 + 2aq.$ 

i- und eingliedrig.  $a : b : c = 0,8039 : 1 : 0,749$  Calderon.  
 $\alpha = 68^\circ 13'.$

$r, r', b, c.$	Berechnet	Beobachtet
$p : p =$		$106^\circ 32'$
$c =$		$107 \ 18$
$q : q = 112^\circ 32'$		$112 \ 25$
$c =$		$116 \ 16$
$r : r' = 96 \ 52$		$96 \ 49$
$c : r = 118 \ 4$		$118 \ 15$
$r' = 128 \ 49$		$128 \ 17$
$p : q \left\{ \begin{array}{l} = 125 \ 25 \\ = 94 \ 52 \end{array} \right.$		$125 \ 40$ $94 \ 46$
$r = 130 \ 15$		$130 \ 10$
$r' = 113 \ 30$		$113 \ 39$
$q : r = 134 \ 53$		$135 \ 4$
$r' = 121 \ 25$		$120 \ 40$

als durchsichtige kurzprismatische Krystalle.

Die optischen Axen  $ac$ ; die Mittellinie bildet mit der Axe  $c$   $30'$  (Gelb).  $2V = 38^\circ 22'$  Roth,  $38^\circ 49'$  Gelb,  $39^\circ 26'$  Grün.  
 Brechung sehr stark, positiv. — Groth Ztschr. 4, 232.

**Desoxalsaures Aethyl.**  $(C^2H^5C^5H^3O^6.$ 

i- und eingliedrig.  $a : b : c = 1,1764 : 1 : 1,8252$  L. Meyer.  
 $\alpha = 85^\circ 8'.$

$b, q, \frac{r}{2}, a, c.$	Berechnet	Beobachtet
$2p : 2p = 16^\circ 12'$		
$a =$		$144^\circ 4'$
$q : q = 57 \ 37$		
$c = 118 \ 48$		$118 \ 42$
$a : c =$		$94 \ 52$
$\frac{r}{2} =$		$130 \ 49$
$c : \frac{r}{2} = 144 \ 12$		$144 \ 5$
$\alpha : a = 128 \ 17$		
$c = 115 \ 21$		
$2p = 151 \ 12$		$151 \ 20$
$\frac{r}{2} = 133 \ 40$		$133 \ 52$

ist tafelartig nach  $c$ .  $\frac{r}{2}$  ist selten, noch seltener  $\alpha$ , welches in der Natur nur rechts vorkommt. Spaltbar nach  $a$ .

Die optischen Axen parallel Axe  $b$ ; Mittellinie senkrecht zur  $b$ , negativ. — Pogg. A. 420, 603.

**Diacetylhydrazobenzol.**  $C^{16}H^{16}N^2O^2$ .Zweiglig.  $a : b : c = 0,673 : 1 : 0,5642$  Fock. $p, q$ .

Beobachtet

$$p : p = 112^\circ 47'$$

$$q : q = 121 24$$

$$p : q = 105 30 \quad (\text{ber. } 105^\circ 43')$$

Optische Axenebene  $ac$ , Mittellinie  $a$ ;  $2H = 106^\circ 48'$  (Gelb),  
 $\alpha = 1,64456$ ,  $\beta = 1,64648$  (Gelb),  $\gamma$  (annähernd)  $= 1,662$ . Danach  
 $2V = 91^\circ 45'$ . Negativ. — Groth Ztschr. 5, 305.

Schmelzpunkt  $105^\circ$ .**Diacetylphenolphthalein.**  $C^{24}H^{18}O^6$ .Viergliedrig.  $a : c = 1 : 1,3593$  Bodewig. $o, a, c$ .

Berechnet

Beobachtet

$$o \left\{ \begin{array}{l} 2A = 102^\circ 48' \\ 2C = \end{array} \right.$$

$$102^\circ 43'$$

$$125 2$$

$$o : a = 128 51$$

$$c = 117 29$$

Tafelartig nach  $c$ . Spaltbar nach  $p$ . Optisch negativ. Circularpolarisation: theils links-, theils rechtsdrehend. — Groth Ztschr. 4, 72.

**Diäthoxalsäure.**  $C^6H^{12}O^3$ .Eingliedrig.  $a : b = 0,265 : 1$  Haushofer. $p, a, b, c$ .

Beobachtet

Berechnet

$$a : b = 100^\circ 30'$$

$$\alpha = 68^\circ 56'$$

$$b : c = 74 17$$

$$\beta = 114 42$$

$$a : c = 109 52$$

$$\gamma = 107 40$$

$$p : b = 114 41$$

Tafelartig nach  $b$ . Spaltbar nach  $a$ . — Groth Ztschr. 4, 649.**Diäthoxalsaurer Baryt.**  $Ba C^{12}H^{22}O^6 + 5 \text{ aq.}$ Zweiglig.  $a : b : c = 0,9683 : 1 : 1,6797$  Haushofer. $o, o^5, c$ .

Berechnet

Beobachtet

$$o \left\{ \begin{array}{l} 2A = 100^\circ 2' \\ 2B = \end{array} \right.$$

$$96^\circ 50'$$

$$2C = 135 0$$

$$o : c =$$

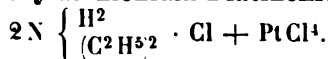
$$112 30$$

$$o^5 : c = 96 48$$

$$96 50$$

Tafelartig nach  $c$ .

Zuweilen verwachsen zwei hemimorph (aus  $c$  und der Hälfte von  $o$ ) ausgebildete Krystalle nach  $b$ , und je zwei solcher Zwillinge verbinden sich in entgegengesetzter Stellung parallel ihren Flächen  $c$ . — Groth Ztschr. 4, 649.

**Diäthylammonium-Platinchlorid.**

Zwei- und eingliedrig.  $a : b : c = 1,3048 : 1 : 1,2203$  Schabus.  
 $o = 85^\circ 40'$ .

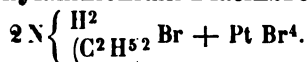


$o, o', p^{\frac{1}{2}}, a, b, c.$

	Berechnet	Schabus	Beobachtet Müller	Topsøe
$o : o =$	$98^{\circ} 48'$			
$o' : o' =$	$94 \ 30$			$94^{\circ} 28'$
$o : o' =$	$118 \ 38$			$118 \ 34$
$o : o' =$	$113 \ 50$			
$a : c =$		$*94^{\circ} 20'$	$94^{\circ} 12'$	$94 \ 28$
$p^{\frac{1}{2}} : p^{\frac{1}{2}} =$	$98 \ 8$			
$a =$	$139 \ 4$	$139 \ 0$	$140 \ 30$	
$o : a =$	$122 \ 44$	$122 \ 50$		$122 \ 49$
$b =$	$130 \ 36$			
$c =$	$124 \ 56$			$124 \ 58$
$o' : a =$		$*118 \ 38$	$118 \ 25$	$118 \ 39$
$b =$	$132 \ 45$			
$c =$		$*121 \ 14$		

Grosse orangerothe Krystalle, tafelartig nach  $c$ . Topsøe beobachtete vorherrschend das Augitpaar  $o'$ . Zwillinge nach  $a$ . — Müller: Ann. Ch. Pharm. 94, 40 (nicht correct). — Schabus: Wien. Ak. Ber. 1853 Febr. Topsøe: Eb. 1876 Januar.

#### Diäthylammonium-Platinbromid.



Zwei- und eingliedrig.  $a : b : c = 1,3176 : 1 : 1,2247$  Topsøe.  
 $o = 85^{\circ} 56',5.$

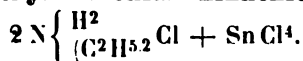
Isomorph dem Chlorid.

Ausser  $o, o', a, c$  auch zuweilen  $p^2$ .

	Berechnet	Beobachtet
$o : o =$	$98^{\circ} 18'$	
$o' : o' =$		$*94^{\circ} 16',5$
$o : o' =$		$*119 \ 3$
$o : o' =$	$113 \ 50,5$	$113 \ 56$
$a : c =$	$94 \ 3,5$	$93 \ 53$
$p^2 : p^2 =$	$113 \ 23$	$113 \ 44$
$a =$	$146 \ 44,5$	$146 \ 51$
$o : a =$	$122 \ 23$	$122 \ 27$
$c =$	$124 \ 48$	$124 \ 45$
$o' : a =$		$*118 \ 34$
$c =$	$121 \ 21,5$	$121 \ 18,5$

Rothe vierseitige Prismen  $o'$  oder rhomboederähnliche Combinationen durch Vorherrschen von  $o'$  und  $a$ . Stark glänzend.

#### Diäthylammonium-Zinnchlorid.



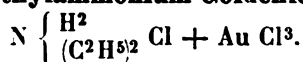
Isomorph den Platinsalzen.

$o', a, c.$ 

	Beobachtet
$o' : o' =$	$94^{\circ} 48'$
$a =$	119 13
$c =$	124 10
$a : c =$	$94 \frac{1}{2} 22$

Farblose Prismen  $o'$ . Zwillinge häufig.

Die Flächen stark glänzend, doch gekrümmt, daher nicht scharf messbar.

**Diäthylammonium-Goldchlorid.**Zweiglig.  $a : b : c = 0,7954 : 1 : 0,4839$  Topsöe. $n = a : \frac{1}{2}b : c.$  —  $p, r, a, c.$ 

	Berechnet	Beobachtet
$n \left\{ \begin{array}{l} 2A = \\ 2B = \\ 2C = \end{array} \right.$	$\begin{array}{l} 100^{\circ} 50' \\ 132 \ 46 \\ 97 \ 38 \end{array}$	$\begin{array}{l} 98^{\circ} 50' \\ *103 \ 0 \\ *114 \ 0 \end{array}$
$p : p =$		
$r =$		
$r : r =$	117 22	
$p : a =$	141 30	141 30
$r : c =$	148 44	
$n : a =$	113 37	113 36
$c =$	131 11	131 45
$r =$	140 25	

Kleine gelbe Prismen nach  $p$ , öfters tafelartig nach  $a$ . Von den  $r$  erscheint nur eins, die  $n$  sind anscheinend tetraedrisch vorhanden (doch ist das untere Ende nie deutlich). Die Endflächen sind klein und unvollkommen.

Volumgewicht 2, 436.

**Diäthylanilin, bromwasserstoffsäures.**  $\text{C}^6\text{H}_5 \cdot \text{C}^2\text{H}_5^2\text{N} \cdot \text{HBr}.$ Zwei- und eingliedrig.  $a : b : c = 0,755 : 1 : 1,1254$  Hiortdahl.  
 $o = 83^{\circ} 4'.$  $p, a, c.$  —  $n = 2a : b : c.$ 

	Berechnet	Beobachtet
$p : p =$	$106^{\circ} 48'$	$106^{\circ} 41'$
$a =$		*143 9
$c =$	95 33	95 36
$a : c =$		*96 56
$n : a =$	120 5	119 10
$c =$		*129 8
$p =$	142 6	142 7

Herrschend  $a, c, p$ , von denen besonders  $a$  sich ausdehnt;  $n$  fehlt oder tritt sehr zurück.

Die Ebene der optischen Axen ist parallel Axe  $b$  und stumpft den spitzen Winkel der Flächen  $ac$  ab,  $110^{\circ}$  mit  $a$  bildend. Die Mittellinie liegt in der

mmetrieebene, macht mit Axe  $c$  einen Winkel von  $70^\circ$ , sodass sie in dem mpfen Winkel von  $96^\circ 56'$  austritt. Negativ,  $\rho < v$ .

	Li	Na	Tl
$2 H_a =$	$82^\circ 48'$	$83^\circ 43'$	$83^\circ 22'$
$2 H_o =$			$114 \ 41$
$2 V =$			$77 \ 33$

S. Methylamin-Zinnchlorid.

**Diäthylanilin-Zinnchlorid.**  $(C^6H^5[C^2H^5]^2N^2H^2SnCl^6$ .

Zwei- und eingliedrig.  $a : b : c = 0,7997 : 4 : 0,8757$  Hiortdahl.  
 $o = 80^\circ 49'$ .

$o', p, c.$	Berechnet	Beobachtet
$p : p =$		$*103^\circ 30'$
$c =$		$*97 \ 5$
$o' : c = 120^\circ \ 4'$		$120 \ 33$
$p =$		$*142 \ 24$

Sehr kleine dünne Prismen  $p$ , theils durch  $o'$  zugespitzt, theils durch abgestumpft.

S. Methylamin-Zinnchlorid.

**Diäthylanilin-Zinnbromid.**  $(C^6H^5[C^2H^5]^2N^2H^2SnBr^6$ .

Isomorph dem vorigen. Hiortdahl.

	Beobachtet
$p : p =$	$105^\circ 24'$
$a =$	$127 \ 6$
$c =$	$99 \ 37$

**Diäthyl-Conydrin-Platinchlorid.**  $C^{12}H^{24}NO + PtCl^4$ .

Viergliedrig.  $a : c = 1 : 0,8679$  Zepharovich.

$o, o^2, o^9, p.$	Berechnet	Beobachtet
$o \left\{ \begin{array}{l} 2 A = \\ 2 C = \end{array} \right.$	$113^\circ 34'$	$113^\circ 32'$
$o^2 \left\{ \begin{array}{l} 2 A = \\ 2 C = \end{array} \right.$	$98 \ 11$	$*101 \ 39$
$o^9 \left\{ \begin{array}{l} 2 A = \\ 2 C = \end{array} \right.$	$135 \ 40$	$98 \ 10$
$p : o =$	$140 \ 50$	$135 \ 45$
$o^2 =$	$157 \ 50$	$90 \ 44$
$o^9 =$	$171 \ 40$	
$o : o^2 =$	$163 \ 0$	$158 \ 2$
		$162 \ 57$

Die Krystalle sind roth, durchsichtig, die Flächen glänzend;  $o^2$  ist sgedehnter als  $o$ ;  $o^9$  gestreift und in  $p$  übergehend. — Zepharovich: ien. Ak. Ber. 47.

**Diäthyl-Conydrin, jodwasserstoffsäures.**  $C^{12}H^{24}NO \cdot HJ$ .

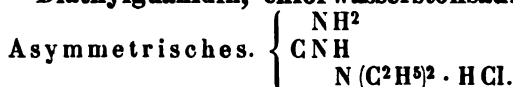
Zweigliedrig.  $a : b : c = 0,8823 : 4 : 1,4095$  Zepharovich.

$o, q, c.$

	Berechnet	Beobachtet
$\left. \begin{array}{l} 2A = \\ 2B = \\ 2C = \end{array} \right\} o$	$110^{\circ} 45'$	$114^{\circ} 0'$
		$*99 \ 49$
		$*118 \ 23$
$q : q =$	$84 \ 4$	
$o : q =$	$139 \ 55$	$139 \ 39$

Die Messungen sind nur approximativ. Die blasröthlichgelben sehr kleinen Krystalle sind entweder Oktaeder, theils mit unsymmetrischer Ausbildung, theils durch Fehlen einer Fläche und der Parallelen rhomboederähnliche Formen, oder es sind, und zwar am häufigsten, Tetraeder (mit Kantenwinkeln von  $61^{\circ} 37'$ ,  $80^{\circ} 11'$  und  $69^{\circ} 15'$ ), deren eine Ecke durch eine Fläche des Gegentetraeders abgestumpft ist und die durch deren Ausdehnung tafelförmig werden. — Wien. Ak. Ber. 47.

#### Diäthylguanidin, chlorwasserstoffsäures.

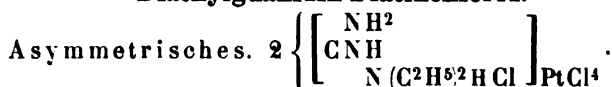


Zwei- und eingliedrig.  $a : b : c = 0,96 : 1 : 0,7487$  Haushofer.  
 $o = 63^{\circ} 59'$ .

$p, q, c.$	Berechnet	Beobachtet
$p : p =$		$*98^{\circ} 26'$
$c =$		$*109 \ 24$
$q : q =$	$112^{\circ} \ 8'$	$112 \ 6$
$c =$		$*146 \ 4$
$p =$	$129 \ 48$	$129 \ 48$

Prismatisch nach  $p$  und meist sehr unsymmetrisch. — Groth Ztschr. 6, 433.

#### Diäthylguanidin-Platinchlorid.



Eingliedrig.  $a : b : c = 0,7889 : 1 : 0,5642$  Haushofer.

$\alpha = 90^{\circ} 21'$ ;  $\beta = 92^{\circ} 50'$ ;  $\gamma = 82^{\circ} 9'$ .

$o, o', o'', o''', p, p', b, c.$	Berechnet	Beobachtet
$p : p' =$		$*103^{\circ} 40'$
$b : p' =$	$133^{\circ} \ 3'$	$133 \ 6$
$c : p =$		$*92 \ 7$
$p' =$		$*92 \ 24$
$o : c =$		$*140 \ 25$
$p' =$	$100 \ 29$	$100 \ 27$
$o' : c =$		$*136 \ 41$
$o =$	$134 \ 33$	
$o'' : c =$	$134 \ 44$	$135 \ 6$
$p' =$	$132 \ 55$	$132 \ 30$
$o''' : c =$	$138 \ 23$	$138 \ 34$
$p =$	$129 \ 30$	$129 \ 49$

Die Krystalle, an welchen  $p, p'$  und  $c$  vorherrschen, werden öfters tafelig nach  $p'$ , während die  $o$  sehr schmal sind und vereinzelt erscheinen. altbar nach  $p'$ . — Groth Ztschr. 6, 434.

**Diäthylphenylhydrazonbromid.**  $C^{10}H^{17}N^2Br$ .

Zweiglig.  $a : b : c = 0,822 : 1 : 0,8265$  Arzruni.

$p, r, c.$	Berechnet	Beobachtet
$p : p =$		*104° 40'
$r : r =$		*89 40
$c = 134^\circ 50'$		134 48
$p = 123 13$		123 14

Meist prismatisch nach  $r$ ;  $c$  schmal.

Ebene der optischen Axen  $ac$ ; Mittellinie  $c$ .

$2H_a$  für Gelb  $94^\circ 36'$

$2H_o - - 105$  ungef., also  $2V_a$  etwa  $84^\circ$ .

Positiv, Brechung stark,  $\varrho < v$ . — Groth Ztschr. 4, 388.

**Dianisbenzhydroxylamin** s. Benzanisbenzhydroxylamin.

**Diamidosulfobenzol, Meta-.**  $C^6H^8N^2SO^4$ .

I.  $\alpha$ -Modification.

Zwei- und eingliedrig.  $a : b : c = 1,3436 : 1 : 1,3628$  Levin.

$\alpha = 81^\circ 28',5$ .

$n' = a' : \frac{1}{2}b : c$ . —  $p, {}^2p, r', a, b, c$ .

	Berechnet	Beobachtet
$n' : n' =$	76° 9',5	
$p : p =$	75 40	
$b = 142 25$		142° 45'
${}^2p : {}^2p =$	42 6	
$b =$		*158 57
$c : p =$	95 11	95 14
${}^2p =$	93 3	93 0,5
$a : c =$		*98 31,5
$r' = 131 57,5$		132 2
$p : r' = 114 4$		
$n' : {}^2p =$		*144 19,5
$a = 102 30$		102 27
$b = 141 55$		142 0,5
$c = 122 37,5$		122 39,5
$r' = 125 2,5$		125 20

Dick tafelartig nach  $c$ ; herrschend die Hexaيدflächen.

Spaltbar nach  $b$ , unvollkommen nach  $a$ .

Ebene der optischen Axen die Symmetrieebene  $ac$ . Gefunden  $2H$ -Roth  $83^\circ 23'$ ; Na-Gelb  $83^\circ 53'$ ; Tl-Grün  $84^\circ 16'$ :  $\varrho < v$ . Doppelbrechung stark, positiv.

II.  $\beta$ -Modification.

Eingliedrig.  $a : b : c = 0,4243 : 1 : 0,9282$  Levin.

$A = 83^{\circ} 9'$	$\alpha = 82^{\circ} 9'$
$B = 105 40$	$\beta = 105 38,5$
$C = 92 44,5$	$\gamma = 94 44$
$n' = a' : \frac{1}{2}b : \frac{1}{2}c. — p, p', q, c.$	
Berechnet	Beobachtet
$p : p' =$	$*135^{\circ} 12'$
$c =$	$*101 8,5$
$p' : c =$	$*107 5$
$q : c =$	$*135 5$
$p =$	$*116 48$
$p' = 90^{\circ} 41',5$	$90 41$
$n' : c = 108 49$	$108 45$
$p = 98 24,5$	$98 26$
$p' = 132 53$	$132 55$
$q = 137 48,5$	$137 54$

Tafelartig nach  $p'$ . — Optisches Verhalten. — Dissertation. Göttingen 1880.

#### Dibenzamid. $C^{14}H^{11}NO^2$ .

Zweiglig.  $a : b : c = 0,9305 : 4 : 4,069$  v. Rath.

$o, 2p$ .

	Berechnet	Beobachtet
$o \left\{ \begin{array}{l} 2A = \\ 2B = \\ 2C = \end{array} \right.$	$409^{\circ} 59'$ $414 59$	$409^{\circ} 59'$ $*103 45$
$2p : 2p =$		$*56 30$
$o =$	$142 58$	$143 3$

Prismatisch nach  $2p$ , spaltbar nach  $a$ . — Pogg. A. 410, 409.

#### Dibenzanishydroxylamin s. Benzanishydroxylamin.

##### Dibenzhydroxamsaures Aethyl.

##### A. $\alpha$ -Modification.

Zweiglig.  $a : b : c = 0,697 : 4 : 0,591$  Tenne.

$n = a : \frac{1}{2}b : c. — o, p, a, b.$

	Berechnet	Beobachtet
$o \left\{ \begin{array}{l} 2A = \\ 2B = \\ 2C = \end{array} \right.$	$94^{\circ} 54'$	$*134^{\circ} 28'$ $*107 44$
$n \left\{ \begin{array}{l} 2A = \\ 2B = \\ 2C = \end{array} \right.$	$95 55$ $122 35$ $111 0$	$95 56$ $122 34$
$p : p =$	$108 42$	$108 42$
$a =$	$125 48$	$125 40$
$b =$	$144 21$	$144 20$
$o : a =$	$126 8$	$126 40$
$b =$	$114 46$	$114 44$
$n : a =$	$118 42$	$118 43$
$b =$	$132 2$	$132 2$
$o =$	$162 44$	$162 40$

Prismatisch nach der Horizontalzone, tafelartig nach  $b$ .

Optische Axenebene  $ab$ , Mittellinie negativ,  $b$ ; Doppelbrechung stark;  
 $> v$ .  $2H_a = 72^\circ 50'$  Li-Roth;  $69^\circ 46'$  Na-Gelb;  $66^\circ 32'$  TI-Grün.

Schmelzpunkt  $58^\circ$ .

Die sogenannte  $\gamma$ -Modification ist in der Form und im optischen Verhalten identisch mit  $\alpha^*$ ).

#### B. $\beta$ -Modification.

Eingliedrig.  $a : b : c = 0,556 : 1 : 0,7137$  Tenne.

$A = 119^\circ 25'$	$\alpha = 118^\circ 25'$
$B = 104 \ 52$	$\beta = 102 \ 37$
$C = 97 \ 58$	$\gamma = 90 \ 51,5$

$p^2, \frac{q'}{2}, r', a, b, c.$	Berechnet	Beobachtet
$a : b =$		$*97^\circ 58'$
$p^2 =$		$*124 \ 8,5$
$b : c =$		$*119 \ 25$
$\frac{q'}{2} : c = 104^\circ 35',5$		$105 \ 8$
$a = 92 \ 54$		
$b = 136 \ 0$		$136 \ 30$
$a : c =$		$*104 \ 52$
$c : r' = 123 \ 4$		$123 \ 11$
$a : r' =$		$*132 \ 4$
$c : p^2 = 103 \ 44$		$103 \ 46$

Tafelartig nach  $a$  und nach der Zone  $acr'$  verlängert. Spaltbar nach  $a$  und  $b$ .

Die Mittellinie negativ, nahe senkrecht zu Fläche  $b$  (die Mittellinie des stumpfen Winkels fast senkrecht auf Fläche  $a$ ). Gekreuzte und geneigte Dispersion. Die Axenwinkel wurden bestimmt; das Minimum ( $17^\circ 56' - 5^\circ 28'$ ) gehört abnormerweise dem Grün, das Maximum ( $19^\circ 58' - 20^\circ 18'$ ) dem Roth an. — Tenne: Kryst. Untersuchung einiger organ. Verbindungen. Dissertation. Göttingen 1878 (Groth Ztschr. 4, 327).

Schmelzpunkt  $63^\circ$ .

#### Dibenzoylphenylglycerinsaures Aethyl. $C^{23}H^{17}O^6 \cdot C^2H^5$ .

Zwei- und eingliedrig.  $a : b : c = 1,4988 : 1 : 0,8726$  Bodewig.  
 $\alpha = 83^\circ 4'$ .

$o', p, 2r', a, c.$	Berechnet	Beobachtet
$o' : o' = 106^\circ 40'$		$106^\circ 36'$
$p : p =$		$*80 \ 4$
$c = 94 \ 27$		$94 \ 42$
$a : c =$		$*96 \ 56$
$2r' = 143 \ 22$		$143 \ 6$
$c : 2r' = 119 \ 42$		$119 \ 39$

<sup>\*)</sup> Nur tritt statt der Rhombenoktaeder das zweite Paar  $q\frac{2}{3}$  auf.

262 Dibenzoylphenylglycerinsaures Methyl — Dibrombernsteinsaures Diäthyl.

	Berechnet	Beobachtet
$o' : a = 114^{\circ} 45'$		$114^{\circ} 54'$
$c = 128 \ 58$		$129 \ 4$
$p =$		$*136 \ 35$

Herrschend  $p$  und  $c$ . Spaltbar nach  $p$ .

Ebene der optischen Axen  $ac$ . — Groth Ztschr. 3, 384.

Schmelzpunkt  $109^{\circ}$ .

**Dibenzoylphenylglycerinsaures Methyl.**  $C^{23}H^{17}O^6 \cdot CH^3$ .

Zwei- und eingliedrig.  $a : b : c = 0,9657 : 1 : 0,9008$  Bodewi  
 $o = 82^{\circ} 44'$ .

$o^2, p\frac{1}{2}, r\frac{1}{2}, a, c$ .	Berechnet	Beobachtet
$o^2 : o^2 =$		$*96^{\circ} 19'$
$p\frac{1}{2} : p\frac{1}{2} = 108^{\circ} 40'$		$108 \ 36$
$a = 144 \ 20$		$144 \ 19$
$c = 96 \ 48$		$96 \ 44$
$a : c = 97 \ 46$		$97 \ 50$
$r\frac{1}{2} = 127 \ 23$		$127 \ 15$
$c : r\frac{1}{2} = 150 \ 23$		$150 \ 35$
$o^2 : a =$		$*130 \ 17$
$c =$		$*106 \ 43$
$p\frac{1}{2} = 156 \ 6$		$156 \ 8$
$r\frac{1}{2} = 95 \ 36$		$95 \ 29$

Prismatisch nach der Verticalzone.

Ebene der optischen Axen  $ac$ . — A. a. O.

**Dibrombarbitursäure.**  $C^4H^2N^2Br^2O^3$ .

Zweiglig.  $a : b : c = 0,7946 : 1 : 0,9348$  Rammelsberg.

$o, r\frac{1}{2}, r\frac{2}{3}, a, b, c$ .	Berechnet	Beobachtet
$o \left\{ \begin{array}{l} 2A = 117^{\circ} 48' \\ 2B = 98 \ 32 \\ 2C = \end{array} \right.$		$*112^{\circ} 40'$
$c : r\frac{1}{2} = 114 \ 53$		$111 \ 30$
$r\frac{1}{2} = 119 \ 32$		$120 \text{ ungef.}$
$r\frac{2}{3} : r\frac{1}{2} = 157 \ 39$		$158 \text{ —}$

Prismen  $a, b$ , tafelartig nach  $a$ . — Die  $o$  und  $r$  fehlen oft;  $a$  ist meist und gekrümmt, die Messungen sind daher nur approximativ.

**Dibrombernsteinsaures Diäthyl.**  $C^4H^2Br^2O^4 \cdot 2C^2H^5$ .

Zweiglig.  $a : b : c = 0,5589 : 1 : 0,3950$  Bodewig.

$p, q, r, b$ .	Berechnet	Beobachtet
$p : p =$		$*124^{\circ} 36'$
$b = 119^{\circ} 12'$		
$q : q = 136 \ 54$		$136 \ 43$
$b = 111 \ 33$		$111 \ 42$
$r : r = 109 \ 30$		$109 \ 30$
$p : q = 100 \ 49$		$100 \ 29$



	Berechnet	Beobachtet
$r : p =$		$*120^{\circ} 45'$
$q = 139^{\circ} 25'$		139 40

Prismatisch nach  $p$ ;  $q$  fehlt meist.

Schmelzpunkt  $58^{\circ}$ .

**Dibrombernsteinsaures Dimethyl.**  $C^4H^2Br^2O^4 \cdot 2CH^3$ .

Zwei- und eingliedrig.  $a : b = 0,544 : 1$  Bodewig.

$$o = 84^{\circ} 27'.$$

$p, b, c$ .

	Beobachtet
$p : p = 123^{\circ} 24'$	
$c = 94, 53$	

Spaltbar nach  $b$ .

Ebene der optischen Axen parallel Axe  $b$ ;  $2H = 104^{\circ} 52'$  Roth,  $14^{\circ} 29'$  Gelb. Positiv. — Groth Ztschr. 3, 384.

Schmelzpunkt  $64,5 - 62^{\circ}$ .

**Dibrombrenztraubensäure.**  $C^3H^2Br^2O^3 + aq$ .

Zwei- und eingliedrig.  $a : b : c = 2,59 : 1 : 2,705$  Bodewig.

$$o = 60^{\circ} 8'.$$

$p, r', a, c$ .

	Berechnet	Beobachtet
$p : p = 132^{\circ} 0'$		$132^{\circ} 9'$
$a =$		$*134 0$
$c = 101 44$		101 59
$a : c =$		$*119 52$
$r' =$		$*122 43$
$r' : c = 117 55$		117 58
$p = 102 34$		102 30

Tafelartig nach  $a$ ; spaltbar nach  $a$ .

Ebene der optischen Axen parallel Axe  $b$ ; Mittellinie positiv, nahe  $= 2E = 32^{\circ} 53'$  Roth,  $34^{\circ} 9'$  Gelb. — Groth Ztschr. 3, 384.

**Dibrombuttersäure.**

$\alpha$  und  $\beta$ .  $C^4H^6Br^2O^2$ .

Zwei- und eingliedrig.  $a : b : c = 2,7616 : 1 : 1,3336$  Haushofer.

$$o = 53^{\circ} 37'.$$

$o', p, c$ .

	Berechnet	Beobachtet
$o' : o' = 108^{\circ} 6'$		
$p : p =$		$*48^{\circ} 26'$
$c = 104 5$		104 15
$o' : c =$		$*122 0$
$p =$		$*133 55$

Bei der gewählten Stellung ist jedoch  $o'$  nach vorn geneigt, weshalb besser wäre,  $c$  als  $2r'$  zu betrachten.

Farblose, nach  $c$  tafelartige, seltener nach  $p$  prismatische Krystalle.

Ebene der optischen Axen  $ac$ . Die Mittellinie steht fast rechtwinklig auf Fläche  $c$ . — Groth Ztschr. 6, 435.

**Dibromfluoren.  $C^{13}H^8Br^2$ .**

Dimorph (?).

A. Zwei- und eingliedrig.  $a : b : c = 4,467 : 4 : 4,065$  Bouchardat.  $o = 77^\circ 52'$ . $o, p, {}^2p, a, c.$ 

	Berechnet	Beobachtet
$p : p =$	$82^\circ 28'$	$82^\circ 20'$
$a =$		$*131 \ 44$
$c =$		$*97 \ 58$
${}^2p : {}^2p =$	$47 \ 20$	
$c =$	$94 \ 54$	$94 \ 55$
$a : c =$	$102 \ 8$	$102 \ 10$
$o : p =$	$146 \ 58$	$146 \ 36$
$c =$		$*131 \ 0$

Niedrige Prismen,  ${}^2p$  und  $c$  herrschend. Spaltbar nach  $c$  und  $b$ . — Gelb.Schmelzpunkt  $166 - 167^\circ$ .B. Zwei- und eingliedrig.  $a : b : c = 0,5625 : 4 : 0,6974$  Arzruni.  $o = 78^\circ 24'$ . $p, q, c.$ 

	Berechnet	Beobachtet
$p : p =$		$*122^\circ 48'$
$c =$		$*100 \ 41,5$
$q : q =$	$111^\circ 20'$	$111 \ 37$
$c =$		$*145 \ 40$
$p \left\{ \begin{array}{l} = 114 \ 44 \\ = 97 \ 45 \end{array} \right.$		$114 \ 50$ $97 \ 4$

Tafelartig nach  $c$ . Spaltbar wie A. — Farblos.Schmelzpunkt  $162 - 163^\circ$ .

Optisches Verhalten.

A. Die Axenebene ist parallel Axe  $b$ , gegen  $c$  unter  $44^\circ 52'$  (hinten) geneigt.  $2H_o = 144^\circ 32'$  (Gelb).B. Axenebene wie A, gegen  $c$  unter  $35^\circ 24'$  (hinten) geneigt;  $2H_o = 121^\circ 58'$  (Gelb). Positiv.

B entsteht oft beim Umkrystallisiren von A.

Arzruni hält beide Formen für dimorph, obwohl ihre  $a = 2 : 1$ , ihre  $c = 3 : 2$  sind. — Bouchardat: Ann. Chim. Phys. (5) 7, 491. — Arzruni: Groth Ztschr. 1, 623.**Dibromhydrotiglinsäure.  $C^5H^8Br^2O^2$ .**

Eingliedrig.

	A.	B.
$a : c =$	$104^\circ 46'$	$100^\circ 32'$
$p : a =$	$125 \ 44$	$125 \ 27$
$c =$	$98 \ 34$	

A. Krystalle, aus Tiglinsäure durch Behandlung mit einer Lösung von Brom in Schwefelkohlenstoff erhalten. Stets Zwillinge nach  $r$ , vom Ansehen einfacher zwei- und eingliedriger Formen. — B. Aus Angelica-

ure auf gleiche Weise erhalten; mit herrschendem  $c$ , während  $p$  fast immer fehlt, und unebene Oktaidflächen auftreten. Auch diese Krystalle scheinen als Zwillinge. — Bücking: Groth Ztschr. 5, 297.

### Dibromnaphtalintetrachlorid s. Naphtalintetrachlorid.

#### Dibromnitrophenol. $C^6H^3Br^2(NO^2)O$ .

Zwei- und eingliedrig.  $a : b : c = 0,545 : 1 : 0,5942$  Arzruni.  
 $\alpha = 65^\circ 23'$ .

$p, {}^2p, q, c$ .	Berechnet	Beobachtet
$p : p =$	$429^\circ 59'$	$430^\circ 23'$
${}^2p : {}^2p =$		$93 \ 45$
$p =$	$161 \ 52$	$162 \ 9$
$q : q =$	$423 \ 29$	$423 \ 33$
$c =$		$151 \ 45$
${}^2p : c =$		$107 \ 42$
$q =$	$426 \ 46$	$426 \ 28$

Selten und untergeordnet  $o'$  und  $a' : 2b : c$ . — Kurzprismatisch, gelb, altbar nach  $a$  und  $c$ .

Ebene der optischen Axen senkrecht auf  $ac$  und fast senkrecht auf  $bc$ . Mittellinie in  $ac$  und fast normal auf Axe  $c$ . Scheinbarer Axenwinkel  $70^\circ - 73^\circ$ . Dispersion der Axen  $\rho > v$ . — Groth Ztschr. 4, 436.

Schmelzpunkt  $117^\circ, 5$ .

#### Dibromorthonitrophenol. $C^6H^3(NO^2)Br^2O$ .

Eingliedrig.  $a : b : c = 0,6444 : 1 : 1,8244$  Arzruni.

$A = 82^\circ 36', 5$	$\alpha = 82^\circ 36', 5$
$B = 90 \ 20$	$\beta = 90 \ 45$
$C = 89 \ 15$	$\gamma = 89 \ 24, 5$

$o, o', o'', o''', c$ .	Berechnet	Beobachtet
$o : o' =$	$119^\circ 35'$	$119^\circ 38'$
$o'' : o''' =$	$119 \ 19$	$119 \ 30$
$o : o'' =$		$112 \ 51$
$o' : o''' =$	$107 \ 0$	$107 \ 14$
$c : o =$		$102 \ 52, 5$
$o' =$		$109 \ 51$
$o'' =$		$102 \ 4$
$o''' =$	$109 \ 20, 5$	$109 \ 18$
(Stk.) $\left\{ \begin{array}{l} o : o''' = \\ o' : o'' = \end{array} \right.$	$\begin{array}{l} \\ 148 \ 8 \end{array}$	$\begin{array}{l} 147 \ 43 \\ 148 \ 18 \end{array}$

Oktaeder. Spaltbar nach  ${}^2q'$ .

Die Krystalle sind geometrisch und optisch äusserst nahe zwei- und eingliedrig.

Schmelzpunkt  $144^\circ$ . — Pogg. A. 152, 286.

#### Dibromphenyl, Para- $C^{12}H^3Br^2$ .

Zwei- und eingliedrig.  $a : b : c = 1,447 : 1 : 0,6963$  Shadwell.

$p, q, r, r'$ .	Berechnet	Beobachtet
$p : p =$	$84^{\circ} 10'$	$83^{\circ} 46'$
$q : q =$		$110 \ 46$
$p : q \left\{ \begin{array}{l} = 119 \ 37 \\ = 109 \ 52 \end{array} \right.$		$119 \ 31$
$r =$	$113 \ 55$	$110 \ 39$
$p : r' =$	$107 \ 5$	$113 \ 59$
$q : r =$		$107 \ 23$
$r' =$		$135 \ 33,5$
		$132 \ 58,5$

Dünne Prismen, spaltbar nach  $c$ , stark glänzend.

Optische Axenebene parallel Axe  $b$ , mit Axe  $c$  vorn  $70-80^{\circ}$  bild  
2V etwa  $50-60^{\circ}$ . — Groth Ztschr. 5. 300.

Schmelzpunkt  $164^{\circ}$ .

### Dibrompropionsäure. $C^3H^4Br^2O^2$ .

#### I. $\alpha$ -Säure.

Zweigliedrig.  $a : b : c = 0,9926 : 1 : 1,0064$  Haushofer.

$o, \frac{a}{2}, b, c$ .	Berechnet	Beobachtet
$o \left\{ \begin{array}{l} 2A = \\ 2B = \\ 2C = 110^{\circ} \ 2' \end{array} \right.$		$109^{\circ} \ 30'$
		$108 \ 55$
		$109 \ 55$
$\frac{a}{2} : \frac{a}{2} =$	$126 \ 34$	$126 \ 47$
$c =$	$153 \ 47$	$153 \ 24$
$b =$	$116 \ 43$	$116 \ 40$
$o : c =$	$124 \ 59$	$125 \ 5$
$b =$	$125 \ 15$	

Tafelartig nach  $c$ .

Ebene der optischen Axen  $= bc$ , Mittellinie  $= c$ .

#### II. $\alpha\beta$ -Säure (bisher $\beta$ ).

Zwei- und eingliedrig.  $a : b : c = 1,865 : 1 : 1,1793$  Haushofer  
 $o = 72^{\circ} 17'$ .

$p, r', c$ .	Berechnet	Beobachtet
$p : p =$		$58^{\circ} 45'$
$c =$		$98 \ 35$
$r' : c =$		$111 \ 34$
$p =$	$100^{\circ} 37'$	$100 \ 30$

Tafelartig nach  $c$ , welches oft vertieft oder parquettirt ist. — Gr  
Ztschr. 6, 126.

#### III. $\beta\alpha$ -Säure.

Zwei- und eingliedrig.  $a : b : c = 1,516 : 1 : 1,334$  Zepharovich  
 $o = 61^{\circ} 28'$ .

$\frac{o'}{2}, p, r', a, c$ .

	Berechnet	Beobachtet
$p : p =$		$73^{\circ} 43'$
$c =$	$106^{\circ} 40'$	$106 \ 14$
$a : c =$	$118 \ 32$	
$r' =$		$114 \ 36$
$c : r' =$		$126 \ 52$
$p : r' =$	$104 \ 28$	$104 \ 47$
$\frac{o'}{2} : c =$	$138 \ 22$	$138 \ 34$
$p =$	$114 \ 58$	$115 \ 14$

Auch  $p^2$  wurde beobachtet. — Tafelartig nach  $c$ .

Optische Axenebene  $ac$ .

Schmelzpunkt  $64^{\circ}$ .

#### IV. $\beta\beta$ -Säure.

Zwei- und eingliedrig.  $a : b = 0,9682 : 1$  Zepharovich.  
 $\alpha = 88^{\circ} 11'$ .

$p, c.$	Beobachtet
$p : p =$	$94^{\circ} 54'$
$c =$	$94 \ 19$

Prismatisch. — Wien. Ak. Ber. 77.

Schmelzpunkt  $51^{\circ}$ .

#### Dichloracetamid s. Chloracetamid.

##### Dichloracetanilid. $C^8H^7NCl^2O$ .

Zwei- und eingliedrig.  $a : b : c = 0,854 : 1 : 1,079$  Friedländer.  
 $\alpha = 82^{\circ} 28'$ .

$a, p, q, a, c.$	Berechnet	Beobachtet
$p : p =$		$99^{\circ} 30'$
$q : q =$		$103 \ 50$
$p =$		$118 \ 30$
$a : c =$	$97^{\circ} 32'$	$97 \ 29$
$o : c =$	$126 \ 3$	$126 \ 13$
$q =$	$144 \ 47$	$142 \ 0$

Herrschend  $p$  und  $q$ . Spaltbar nach  $c$ , weniger nach  $a$ .

Ebene der optischen Axen parallel Axe  $b$ , welches die (erste) Mittel-  
die ist; die zweite bildet mit Axe  $c$  vorn etwa  $61^{\circ}$ .  $2H_a = 88^{\circ}$  ungef.,  
 $\chi_o = 104^{\circ} 59'$  (Gelb);  $q > v$ , positiv. — Groth Ztschr. 4, 622.

Schmelzpunkt  $147-148^{\circ}$ .

##### Dichloracetonsulfit von Natrium. $NaC^3H^5Cl^2SO^4 + 3aq$ .

Eingliedrig.  $a : b : c = 0,5395 : 1 : 0,7639$  Haushofer.

$\alpha = 90^{\circ} 28'$ ;  $\beta = 113^{\circ} 53'$ ;  $\gamma = 104^{\circ} 0'$ .

$p, q', a, b, c.$	Berechnet	Beobachtet
$a : b =$		$104^{\circ} \ 8'$
$p : a =$		$156 \ 49$
$b =$	$127^{\circ} 19'$	$127 \ 24$

	Berechnet	Beobachtet
$p : c =$	$115^{\circ} 0'$	
$b : c =$		$*99^{\circ} 58'$
$q' : c =$		$*111 36$
$b =$	$118 26$	$118 26$
$a =$	$103 27$	$103 14$
$p =$	$90 39$	$90 9$
$a : c =$		$*115 25$

Prismatisch mit herrschendem  $a$ , spaltbar nach  $b$ . — Groth Ztschr. 6, 138.

#### Dichloracrylsäure. $C^3H^2Cl^2O^2$ .

Zwei- und eingliedrig.  $a : b : c = 1,139 : 1 : 0,5209$  Bodewig.  
 $o = 86^{\circ} 36'$ .

$p, q$ .	Beobachtet
$p : p =$	$82^{\circ} 40'$
$q : q =$	$125 5$
$p : q =$	$112 23$

Spaltbar nach  $p$ . — Die Krystalle werden schnell trübe.

Optische Axenebene  $ac$ . Starke Dispersion der Axen. — Groth Ztschr. 1, 595.

Schmelzpunkt  $76-77^{\circ}$ .

#### Dichloräthylenchlorid s. Äthylenchlorid.

#### Dichlornaphtalintetrabromid und Dichlornaphtalintetrachlorid s. Naphtalintetrachlorid.

#### Dicyanamid. $C^2N^4H^4$ .

Zwei- und eingliedrig.  $a : b : c = 1,115 : 1 : 0,8055$  Haushofer.  
 $o = 64^{\circ} 47'$ .

$o, p, {}^3p, \frac{r}{2}, a, c$ .	Berechnet	Beobachtet
$p : p =$	$89^{\circ} 30'$	$89^{\circ} 30'$
$a =$		$*134 45$
$c =$	$107 28$	$107 27$
${}^3p : {}^3p =$	$36 34$	
$a =$	$108 17$	$108 18$
$a : c =$		$*115 13$
$\frac{r}{2} =$	$131 52$	$132 34$ ungef.
$o : c =$		$*143 11$

Die kleineren Krystalle sind platte Prismen nach  $a$ , grössere sind kurz prismatisch, in der Endigung verläuft die gewölbte Fläche  $c$  in andere ebensolche, so dass die Krystalle linsenförmig erscheinen. Spaltbar nach  $a$ . — Groth Ztschr. 3, 73.

#### Dicyansäure. $C^4H^4N^4O^4 + 3aq$ .

Zwei- und eingliedrig.  $a : b = 1,2915 : 1$  Carius.  
 $o = 68^{\circ} 20'$ .

:

Beobachtet

$$p : p = 79^{\circ} 36'; \quad p : c = 103^{\circ} 30'.$$

sch verwitternd. — Ann. Ch. Ph. 128, 339.

**Diglycolsäure.**  $C^4H^6O^5 + aq.$ eingliedrig.  $a : b : c = 0,662 : 1 : 0,463$  Heintz.

$p, r, a, b.$	Berechnet	Beobachtet
$p : p =$		$113^{\circ} 0'$
$a = 146^{\circ} 30'$		146 30
$2p : 2p = 74 \quad 8$		74 0
$a = 127 \quad 4$		127 0
$r : r = 110 \quad 0$		
$a =$		$125 \quad 0$

weder kurze dicke Prismen, an denen nur eine Fläche  $r$  und ihre, oder lange  $2p$ , an denen beide  $r$ . An der Luft werden die Kry-  
sch Wasserverlust trübe. Die wässerige Lösung ist optisch inactiv.  
melzpunkt unter  $150^{\circ}$ . — Pogg. A. 115, 280.

**Diglycolsaures Kali.** Saures.  $KC^4H^5O^5.$ eingliedrig.  $a : b : c = 0,663 : 1 : 0,537$  Heintz.

$p, b.$	Berechnet	Beobachtet
$p : p =$		$112^{\circ} 54'$
$b = 123^{\circ} 33'$		123 36
$r : r = 102 \quad 2$		
$p =$		$121 \quad 37$

isomatisch nach  $p$  und tafelförmig nach  $b$ . — A. a. O.**Dijodidoanisnitril.**  $C^{26}H^{26}N^2O^3.$ eingliedrig.  $a : b : c = 1,888 : 1 : 2,473$  Haushofer.  
 $o = 77^{\circ} 15'.$ 

$p^2, q, 2r, a, c.$	Berechnet	Beobachtet
$p : p = 57^{\circ} 0'$		
$a =$		$118^{\circ} 30'$
$p^2 : p^2 = 94 \quad 44$		94 45
$a = 137 \quad 22$		
$p : c = 96 \quad 3$		96 40
$q : q = 45 \quad 2$		45 16
$a : c =$		$102 \quad 45$
$2r =$		$161 \quad 3$
$o : o = 73 \quad 54$		74 30
$c = 115 \quad 17$		115 39
$p = 160 \quad 46$		160 30

isomatisch nach  $q, c$ , tafelförmig nach  $c$ .ne der optischen Axen  $ac$ . — Groth Ztschr. 2, 93.**Dijodorthonitrophenol.**  $C^6H^3(NO^2)_2O.$ eingliedrig.  $a : b : c = 0,6455 : 1 : 1,6825$  Arzruni.

	Berechnet	Beobachtet
$p : c =$	$115^{\circ} 0'$	
$b : c =$		$*99^{\circ} 58'$
$q' : c =$		$*141 36$
$b =$	$118 26$	$118 26$
$a =$	$103 27$	$103 14$
$p =$	$90 39$	$90 9$
$a : c =$		$*115 25$

Prismatisch mit herrschendem  $a$ , spaltbar nach  $b$ . — Groth Ztschr. 6, 438.

#### Dichloracrylsäure. $C^3H^2Cl^2O^2$ .

Zwei- und eingliedrig.  $a : b : c = 1,439 : 1 : 0,5209$  Bodewig.  
 $\alpha = 86^{\circ} 36'$ .

$p, q$ .	Beobachtet
$p : p =$	$82^{\circ} 40'$
$q : q =$	$125 5$
$p : q =$	$112 23$

Spaltbar nach  $p$ . — Die Krystalle werden schnell trübe.

Optische Axenebene  $ac$ . Starke Dispersion der Axen. — Groth Ztschr. 4, 595.

Schmelzpunkt  $76-77^{\circ}$ .

#### Dichloräthylenchlorid s. Äthylenchlorid.

#### Dichlornaphtalintetrabromid und Dichlornaphtalintetrachlorid s. Naphtalintetrachlorid.

#### Dicyanamid. $C^2N^4H^4$ .

Zwei- und eingliedrig.  $a : b : c = 1,415 : 1 : 0,8055$  Haushofer.  
 $\alpha = 64^{\circ} 47'$ .

$o, p, {}^3p, \frac{r}{2}, a, c$ .	Berechnet	Beobachtet
$p : p =$	$89^{\circ} 30'$	$89^{\circ} 30'$
$a =$		$*131 45$
$c =$	$107 28$	$107 27$
${}^3p : {}^3p =$	$36 34$	
$a =$	$108 47$	$108 18$
$a : c =$		$*115 13$
$\frac{r}{2} =$	$131 52$	$132 34$ ungef.
$o : c =$		$*143 44$

Die kleineren Krystalle sind platte Prismen nach  $a$ , grössere sind kurz prismatisch, in der Endigung verläuft die gewölbte Fläche  $c$  in andere ebensolche, so dass die Krystalle linsenförmig erscheinen. Spaltbar nach  $a$ . — Groth Ztschr. 3. 73.

#### Dicyansäure. $C^4H^4N^4O^4 + 3 aq$ .

Zwei- und eingliedrig.  $a : b = 1,2915 : 1$  Carius.  
 $\alpha = 68^{\circ} 20'$ .



$p, c.$ 

Beobachtet

$$p : p = 79^{\circ} 36'; \quad p : c = 103^{\circ} 30'.$$

Rasch verwitternd. — Ann. Ch. Ph. 128, 339.

**Diglycolsäure.**  $C^4H^6O^5 + aq.$ Zweiglig.  $a : b : c = 0,662 : 4 : 0,463$  Heintz. $p, {}^2p, r, a, b.$ 

Berechnet

Beobachtet

$$\begin{array}{lll} p : p = & & *113^{\circ} 0' \\ a = & 116^{\circ} 30' & 116 30 \\ {}^2p : {}^2p = & 74 \quad 8 & 74 \quad 0 \\ a = & 127 \quad 4 & 127 \quad 0 \\ r : r = & 110 \quad 0 & \\ a = & & *125 \quad 0 \end{array}$$

Entweder kurze dicke Prismen, an denen nur eine Fläche  $r$  und ihre parallele, oder lange  ${}^2p$ , an denen beide  $r$ . An der Luft werden die Krystalle durch Wasserverlust trübe. Die wässrige Lösung ist optisch inactiv. Schmelzpunkt unter  $150^{\circ}$ . — Pogg. A. 115, 280.

**Diglycolsäures Kali.** Saures.  $KC^4H^5O^5.$ Zweiglig.  $a : b : c = 0,663 : 4 : 0,537$  Heintz. $p, r, b.$ 

Berechnet

Beobachtet

$$\begin{array}{lll} p : p = & & *112^{\circ} 54' \\ b = & 123^{\circ} 33' & 123 \quad 36 \\ r : r = & 102 \quad 2 & \\ p = & & *121 \quad 37 \end{array}$$

Prismatisch nach  $p$  und tafelförmig nach  $b$ . — A. a. O.**Dimidoanisnitril.**  $C^{26}H^{26}N^2O^3.$ Zwei- und eingliedrig.  $a : b : c = 1,888 : 1 : 2,473$  Haushofer.  
 $o = 77^{\circ} 15'.$  $o, p, p^2, q, {}^2r, a, c.$ 

Berechnet

Beobachtet

$$\begin{array}{lll} p : p = & 57^{\circ} 0' & \\ a = & & *118^{\circ} 30' \\ p^2 : p^2 = & 94 \quad 44 & 94 \quad 45 \\ a = & 137 \quad 22 & \\ p : c = & 96 \quad 3 & 96 \quad 10 \\ q : q = & 45 \quad 2 & 45 \quad 16 \\ a : c = & & *102 \quad 45 \\ {}^2r = & & *161 \quad 3 \\ o : o = & 73 \quad 51 & 74 \quad 30 \\ c = & 115 \quad 17 & 115 \quad 39 \\ p = & 160 \quad 46 & 160 \quad 30 \end{array}$$

Prismatisch nach  $q, c$ , tafelförmig nach  $c$ .Ebene der optischen Axen  $ac$ . — Groth Ztschr. 2, 93.**Dijodorthonitrophenol.**  $C^6H^3(NO^2)_2O.$ Eingliedrig.  $a : b : c = 0,6155 : 1 : 1,6825$  Arzruni.

$$\begin{array}{ll}
 A = 86^{\circ} 45' & \alpha = 86^{\circ} 43' \\
 B = 90 \ 20 & \beta = 90 \ 29 \\
 C = 92 \ 55 & \gamma = 92 \ 47
 \end{array}$$

Die Flächen der isomorphen Bromverbindung, jedoch nur  $o'$  und  $c$ , und eine Spaltungsfläche, welche  $= b$  genommen ist.

$$\begin{array}{ll}
 \text{Beobachtet} & \\
 o' : o''' = 106^{\circ} 30' & b : c = 86^{\circ} 45' \\
 c : o' = 109 \ 23 & o''' = 123 \ 26 \\
 o''' = 108 \ 8 &
 \end{array}$$

Das näher untersuchte optische Verhalten zeigte ebenfalls grosse Ähnlichkeit mit dem der Bromverbindung. — Pogg. A. 152, 289.

#### Dimethyl, fumarsaures. $C^6H^8O^4$ .

Eingliedrig (?).

Kurz prismatische Hexaide  $p, p', c$ , an denen

$$\left. \begin{array}{l}
 p' : c = 119^{\circ} 35' \\
 p : c = 116 \ 42 \\
 p' = 112 \ 48
 \end{array} \right\} \text{approximativ.}$$

Bodewig: Groth Ztschr. 5, 563.

Schmelzpunkt  $102^{\circ}$ .

#### Dimethyl, traubensaures. $C^6H^{10}O^6$ .

Zwei- und eingliedrig.  $a : b : c = 0,989 : 1 : 0,656$  Bodewig.

$$o = 83^{\circ} 24'.$$

$o', p, a, c.$	Berechnet	Beobachtet
$o' : o' =$	$120^{\circ} 46'$	$120^{\circ} 26'$
$p : p =$		$90 \ 59,5$
$a =$	$135 \ 30$	$135 \ 34$
$c =$	$94 \ 43$	$94 \ 34$
$a : c =$	$96 \ 36$	$96 \ 35$
$o' : a =$		$114 \ 46$
$c =$	$134 \ 54$	$135 \ 8$
$p =$		$130 \ 23$

Tafelartig nach  $a$ .

Ebene der optischen Axen  $ac$ .

Schmelzpunkt  $85^{\circ}$ . — Groth Ztschr. 5, 562.

#### Dimethylacrylsäure. $C^5H^8O^2$ .

Isomer der Methylcrotonsäure.

Zwei- und eingliedrig.  $a : b : c = 1,5858 : 1 : 0,7063$  Haushofer

$$o = 74^{\circ} 43'.$$

$p, q, a, b.$	Berechnet	Beobachtet
$p : p =$		$68^{\circ} 10'$
$a =$	$124^{\circ} \ 5'$	$124 \ 0$
$q : q =$		$119 \ 0$
$p =$		$123 \ 30$

Langprismatisch, unvollkommen spaltbar nach  $a$  und  $b$ .  
Schmelzpunkt  $69-70^\circ$ . — Groth Ztschr. 4, 570.

**Dimethylacrylsaures Kupfer.**  $\text{Cu}(\text{C}^5\text{H}^5\text{O}^3 + 2\text{aq.})$   
Zweigliedrig.  $a : b : c = 0,6027 : 1 : 1,6402$  Haushofer.

$o, o\frac{1}{2}, q^6, c.$	Berechnet	Beobachtet
$o$	$2A = 104^\circ 0'$	
	$2B = 70 28$	
	$2C = 145 4$	
$o\frac{1}{2}$	$2A = 119 18$	$113^\circ 54' (?)$
	$2B = 66 10$	
	$2C = 156 18$	$156 0$
$q^6 : q^6$	$= 11 36$	
$c$	$= 95 48$	$95 48$
$c : o$	$= 107 28$	$107 23$
$o\frac{1}{2}$	$=$	$*104 51$

Tafelartig nach  $c$ , meist sehr unsymmetrisch. Blaugrün. — Groth schr. 4, 570.

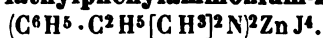
**Dimethylamin s. Methylamin.**

**Dimethyläthylphenylammoniumjodid.**  $\text{C}^6\text{H}^5 \cdot \text{C}^2\text{H}^5 (\text{CH}_3)_2\text{N} \cdot \text{J.}$   
Eingliedrig.  $a : b : c = 0,9536 : 1 : 2,3726$  Hiortdahl.

$\alpha = 84^\circ 48'$ ;  $\beta = 108^\circ 44'$ ;  $\gamma = 98^\circ 44'$ .

$o, o'', q, q', \frac{r'}{2}, a, b, c.$	Berechnet	Beobachtet
$a : b$	$= 96^\circ 29'$	$96^\circ 53'$
$b : c$	$= 95 45$	$95 35$
$q : q'$	$= 47 20$	$46 53$
$a$	$= 103 36$	$103 40$
$b$	$= 156 24$	$155 58$
$c$	$= 108 51$	$108 36$
$q' : a$	$=$	$*91 3$
$b$	$= 157 46$	$157 16$
$c$	$=$	$*118 29$
$a : c$	$=$	$*107 46$
$\frac{r'}{2}$	$= 134 40$	$135 23$
$c : \frac{r'}{2}$	$= 117 34$	$116 39$
$o : a$	$=$	$*142 45$
$c$	$=$	$*113 29$
$q$	$= 120 59$	$121 7$
$o'' : a$	$= 133 30$	$133 30$
$c$	$= 97 34$	$97 37$

Meist tafelartig nach  $c$  und prismatisch nach der Axe  $b$ , oder Combinationen  $aco''$  mit untergeordnetem  $\frac{r'}{2}$ . Die Flächen sind etwas matt.  
**Methylamin-Zinnchlorid.**

**Dimethyläthylphenylammonium-Zinkjodid.**

Zwei- und eingliedrig.  $a : b : c = 0,7374 : 1 : 0,5642$  Hiortdahl  
 $\alpha = 87^\circ 0'$ .

$p, q, \frac{r'}{2}, a, b.$

$$x = a' : \frac{1}{2}b : \frac{1}{2}c; \quad y = \frac{1}{2}a' : \frac{1}{2}b : c.$$

	Berechnet	Beobachtet
$p : p =$	$107^\circ 16'$	$107^\circ 36'$
$a =$		$*443 \quad 38$
$b =$	$126 \quad 22$	$126 \quad 20$
$q : q =$		$*121 \quad 12$
$a =$		$*92 \quad 37$
$\frac{r'}{2} : a =$	$108 \quad 18$	$108 \quad 24$
$p =$	$104 \quad 39.$	$104 \quad 35$
$x : x =$	$102 \quad 24$	$102 \quad 38 \text{ (Stk.)}$
$a =$	$104 \quad 9$	$104 \quad 14$
$p =$	$124 \quad 39$	$125 \quad 13$
$\frac{r'}{2} =$	$144 \quad 12$	$144 \quad 23$
$y : a =$	$126 \quad 59$	$126 \quad 58$
$p =$	$153 \quad 9$	$154 \quad 11$
$x =$	$154 \quad 30$	$151 \quad 25$

Prismatisch nach der Verticalzone und tafelartig nach  $a$ . Glänzend doch öfters gekrümmte Flächen.

Ebene der optischen Axen und Mittellinie parallel der Axe  $b$ . Die zweite Mittellinie bildet, indem sie in dem spitzen Winkel  $\alpha$  austritt, die Axe  $c$  etwa  $43^\circ$ . Positiv,  $\rho > v$ .

	$2H_a$	$2H_o$	$2V$
Gelb	$406^\circ 38'$	$445^\circ 45'$	$86^\circ 52'$

S. Methylamin-Zinnchlorid.

**Dimethylamin-Goldchlorid.**  $\text{NH}_2(\text{CH}_3)_2\text{Cl} + \text{AuCl}_3.$ 

Zwei- und eingliedrig.  $a : b : c = 2,2216 : 1 : 3,2425$  Hiortdahl  
 $\alpha = 82^\circ 41'.$

$\alpha, \alpha', r, r', \frac{r'}{3}, c.$

	Berechnet	Beobachtet
$\alpha : \alpha' =$	$148^\circ 24'$	$148^\circ 14' \text{ (Stk.)}$
$c : r =$		$*129 \quad 39$
$r' =$	$119 \quad 0$	$119 \quad 5$
$\frac{r'}{3} =$	$152 \quad 42$	
$r : r' =$		$*68 \quad 39$
$r' : \frac{r'}{3} =$	$146 \quad 18$	$146 \quad 14$
$c : \alpha =$	$102 \quad 49$	$102 \quad 46$
$\alpha' =$		$*102 \quad 49$

Grosse glänzende, gelbe Krystalle, meist tafelartig nach  $c$  und mit herrschen der Verticalzone. — S. Methylamin-Zinnchlorid.

**Dimethylamin-Platinbromid.**  $2\text{NH}_2(\text{CH}_3)_2\text{Br} + \text{PtBr}_4$ .

Zweigliedrig.  $a : b : c = 0,9903 : 1 : 0,9927$  Hiortdahl.

$^2p, q$ .	Berechnet	Beobachtet
$^2p : ^2p =$		$\approx 53^\circ 34'$
$a =$	$116^\circ 47'$	$116 \ 46$
$q : q =$		$\approx 90 \ 23$
$^2p =$	$128 \ 58$	$128 \ 53$

Isomorph dem Chlorid. S. dieses.

**Dimethylamin-Platinchlorid.**  $2\text{NH}_2(\text{CH}_3)_2\text{Cl} + \text{PtCl}_4$ .

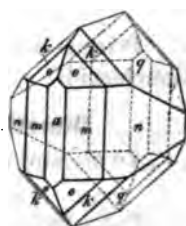
Dimorph.

A. Zweigliedrig.  $a : b : c = 0,993 : 1 : 0,977$  Ludecke.

$o, p(m), ^2p(n), q, a. - k = 2a : b : c$ .

	Berechnet	Beobachtet
$o \left\{ \begin{array}{l} 2A = 140^\circ 48' \\ 2B = 109 \ 44 \\ 2C = 108 \ 24 \end{array} \right.$		$109^\circ 37'$
$k \left\{ \begin{array}{l} 2A = 97 \ 32 \\ 2B = 144 \ 44 \\ 2C = 95 \ 8 \end{array} \right.$		$97 \ 30$ $144 \ 47$
$p : p = 90 \ 24$		
$^2p : ^2p =$		$\approx 53 \ 27$
$q : q =$		$\approx 91 \ 20$
$p = 119 \ 30$		$119 \ 29$
$^2p = 128 \ 37$		$128 \ 37$
$o : p = 144 \ 42$		$144 \ 44$
$q = 144 \ 52$		
$k : q = 160 \ 37$		
$o = 164 \ 45$		

Fig. 86.



Zuweilen nur Oblongoktaeder  $^2p, q$ , gewöhnlich aber prismatisch nach oder nach zwei Flächen  $k$ . — Fig. 86.

Spaltbar nach  $^2p$ . — Groth Ztschr. 4, 325.

B. Zweigliedrig.  $a : b : c = 0,6212 : 1 : 0,89$  Hiortdahl.

$p, q, b$ .	Berechnet	Beobachtet
$p : p =$	$116^\circ 46'$	$116^\circ 2'$
$b =$		$\approx 121 \ 52$
$q : q = 96 \ 40$		$96 \ 44$
$b =$		$\approx 131 \ 40$
$p = 110 \ 33$		$110 \ 34$

Ziemlich grosse prismatische Krystalle, spaltbar nach  $q$ .

Sie wurden von Vincent nur einmal erhalten aus einer Lösung, die zsaures Dimethylamin enthielt. Beim Umkrystallisiren nehmen sie die wöhnliche Form an. — S. Methylamin-Zinnchlorid.

**Dimethylamin-Zinnchlorid.**  $2\text{NH}_2(\text{CH}_3)_2\text{Cl} + \text{SnCl}_4$ .Zweiglig.  $a : b : c = 0,9807 : 1 : 0,9844$  Hiortdahl.

$^2p, q, \frac{r}{2}, a.$	Berechnet	Beobachtet
$^2p : ^2p =$		$^*53^\circ 55'$
$a =$	$116^\circ 58'$	116 59
$q : q =$	90 54	94 0
$^2p =$		$^*428 43$
$\frac{r}{2} : \frac{r}{2} =$	126 48	127 0
$a =$	116 36	116 28

Meist tafelartig nach  $a$ . Zwillinge nach  $\frac{r}{2}$  von scheinbar sechsdrigem Ansehen. Spaltbar nach  $^2p$ . — S. Platinsalz.

**Dimethylanilin-Platinbromid.**  $2\text{NH}_2(\text{CH}_3)_2\text{Br} + \text{PtBr}_4$ .

Zwei- und eingliedrig. Isomorph der Zinnchloridverbindung, die Berechnung zum Grunde liegt.

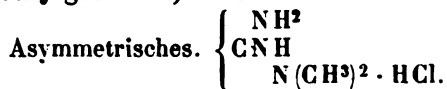
$\frac{3}{2}r, ^2r, a, c.$	Berechnet	Beobachtet
$a : c =$	$109^\circ 24'$	$109^\circ 45'$
$\frac{3}{2}r =$	129 3	130 45
$^2r =$	154 44	154 43
$c : \frac{3}{2}r =$	160 27	160 38
$^2r =$	138 40	136 44

Prismatisch nach der Verticalzone. — Hiortdahl; s. Methylamin-Zinnchlorid.

**Dimethylanilin-Zinnchlorid.**  $2\text{NH}_2(\text{CH}_3)_2\text{Cl} + \text{SnCl}_4$ .Zwei- und eingliedrig.  $a : b : c = 1,446 : 1 : 0,744$  Hiortdahl  
 $\alpha = 70^\circ 36'$ .

$p, r', a, c.$	Berechnet	Beobachtet
$p : p =$	$85^\circ 22'$	
$a =$		$^*132^\circ 46'$
$c =$	103 2	103 23
$a : c =$		$^*109 24$
$r' =$	108 35	108 38
$c : r' =$		$^*142 4$
$p : r' =$	102 20	102 40

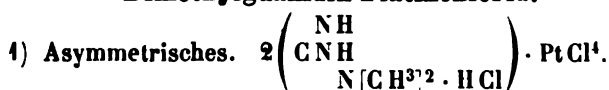
Tafelartig nach  $a$ , seltener nach  $c$ , oder häufig von rhomboedrisch Habitus, indem  $p$  und  $c$  überwiegen. Auch ein nicht messbares zwei Paar findet sich. — S. Methylamin-Zinnchlorid.

**Dimethylguanidin, chlorwasserstoffsäures.**Zweiglig.  $a : b = 0,8646 : 1$  Haushofer.

Grosse farblose Krystalle, Combinationen  $p, c$ , an denen  $p:p = 98^\circ 30'$ , vorherrschend eines  $p$  tafelartig, spaltbar nach  $c$ .

Ebene der optischen Axen  $ac$ , Mittellinie  $c, \varrho < v$ . positiv. — Groth schr. 6, 431.

### Dimethylguanidin-Platinchlorid.



Eingliedrig.  $a : b : c = 0,9442 : 1 : 0,6779$  Haushofer.

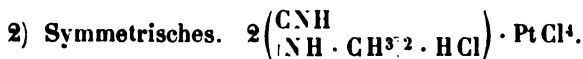
$$\alpha = 90^\circ 55'; \quad \beta = 90^\circ 20'; \quad \gamma = 90^\circ 4'.$$

$o, o', o'', p, p', {}^2q, {}^2q', a, b, c$ .

	Berechnet	Beobachtet
$a : b =$	$90^\circ 5'$	$90^\circ 0'$
$p : p' =$		$*93 \ 39$
$b =$		$*133 \ 48$
$c =$		$*90 \ 52$
$p' : c =$		$*90 \ 22$
${}^2q : b =$	$144 \ 0$	$144 \ 4$
$c =$	$126 \ 55$	$126 \ 47$
$o : b =$		$*119 \ 20$
$c =$	$135 \ 45$	$135 \ 52$
$p =$	$135 \ 7$	$135 \ 0$
$o' : b =$	$118 \ 9$	$118 \ 13$
$c =$	$135 \ 7$	$134 \ 58$
$p' =$	$134 \ 31$	$134 \ 40$
$o =$	$122 \ 31$	$122 \ 30$

Prismatisch nach der Horizontalzone, oft tafelartig nach  $b$ . Sie nähern sich zweigliedrigen oder zwei- und eingliedrigen Formen. An den meisten Stellen die  $a$  und  $o''$ , an manchen auch die  $q$ . Spaltbar nach  $c$ . Roth.

Auch das optische Verhalten spricht für das eingliedrige System.



Eingliedrig.  $a : b : c = 1,2445 : 1 : 0,7609$  Haushofer.

$$\alpha = 90^\circ 22'; \quad \beta = 110^\circ 20'; \quad \gamma = 90^\circ 5'.$$

$o, o', o'', o''', p_2, p_2', r, a$ .

	Berechnet	Beobachtet
$a : b =$		$*90^\circ 4'$
$p_2 : p_2' =$	$120^\circ 6'$	
$p_2 : a =$	$150 \ 6$	$149 \ 59$
$b =$	$120 \ 5$	$120 \ 0$
$p_2' : a =$	$150 \ 7$	$150 \ 9$
$b =$	$119 \ 49$	$120 \ 0$
$r : a =$	$136 \ 9$	$136 \ 20$
$b =$	$90 \ 47$	$90 \ 6$
$o : a =$		$*129 \ 34$

	Berechnet	Beobachtet
$o : b =$		*118° 3'
$r =$	152° 14'	152 28
$o' : a =$	129 44	129 34
$b =$		*117 34
$r =$	152 20	
$o =$	124 23	124 26
$o'' : o =$	127 7	127 6
$o''' : a =$		*103 28
$b =$	125 52	125 56
$o'' =$	107 49	107 44

Oft tafelartig nach  $a$ , von zwei- und eingliedrigem Ansehen; von Oktaidflächen kommen  $o$  und  $o'$  am häufigsten vor. Spaltbar nach  $\mathcal{C}$  A. a. O.

#### Dimonobromphenyldichloräthylen. $C^{14}H^8Br^2Cl^2$ .

Zweigliedrig.  $a : b : c = 0,84242 : 1 : 0,5206$  Hintze.

$o, p^2, p\frac{7}{4}, p\frac{7}{2}, r, b$ . —  $u = a : \frac{1}{4}b : c$ .

	Berechnet	Beobachtet
$o \left\{ \begin{array}{l} 2A = \\ 2B = \end{array} \right.$	$132^\circ 14'$ 122 34	132° 12' 122 28
$u \left\{ \begin{array}{l} 2A = \\ 2B = \end{array} \right.$	104 27 130 53	
$p^2 : p^2 =$	134 20	
$p\frac{7}{4} : p\frac{7}{4} =$		*128 36
$b =$	115 42	115 42
$p\frac{7}{2} : p\frac{7}{2} =$	152 57	
$b =$	103 32	103 35
$r : r =$	116 32	
$o : b =$		*113 53
$r =$	156 7	156 3
$u : b =$	127 46	127 43
$o, =$	166 7	166 10

Prismatisch mit herrschendem  $b$ .

Optische Axenebene  $ab$ , Mittellinie  $a$ ; positiv; Dispersion der  $A$  stark;  $2E = 37^\circ 28'$  Roth,  $34^\circ 22'$  Gelb,  $29^\circ 34'$  Grün.

Schmelzpunkt  $119^\circ - 120^\circ$ . — Pogg. A. 152, 275.

#### Dimonobromphenyltrichloräthan. $C^{14}H^8Br^2Cl^3$ .

Zweigliedrig.  $a : b : c = 0,5402 : 1 : 0,4043$  Hintze.

$o, p, {}^2p, b$ .

	Berechnet	Beobachtet
$o \left\{ \begin{array}{l} 2A = \\ 2B = \\ 2C = \end{array} \right.$	$107^\circ 24'$ 83 18	*144° 50' 107 46
$p : p =$	125 56	125 56
$b =$		*117 2
${}^2p : {}^2p =$	88 50	





	Berechnet	Beobachtet
$2p : b =$	$135^{\circ} 35'$	$135^{\circ}$ ungef.
$o : p =$	$134 \ 39$	$134 \ 46'$
$b =$	$107 \ 35$	$107 \ 35$

Die  $o$  tetraedrisch grösser und kleiner; tafelförmig nach  $b$ .

Ebene der optischen Axen  $ab$ , Mittellinie  $b$ ;  $2E = 64^{\circ} 36'$  Roth,  $42^{\circ}$  Gelb,  $62^{\circ} 36'$  Grün; positiv.

Schmelzpunkt  $139^{\circ} - 144^{\circ}$ . — Pogg. A. 152, 272.

#### Dimonochlorphenyldichloräthylen. $C^{14}H^9Cl^4$ .

Zweiglig.  $a : b : c = 0,8494 : 1 : 0,5122$  Hintze.

$o, p^2, p\frac{7}{4}, p\frac{1}{2}, b$ .

$n = a : 2b : c$ ;  $m = a : \frac{3}{4}b : c$ .

$x = a : \frac{7}{4}b : c$ ;  $t = a : \frac{1}{8}b : c$ .

	Berechnet	Beobachtet
$o \left\{ \begin{array}{l} 2A = \\ 2B = \end{array} \right.$	$\begin{array}{l} 132^{\circ} 38' \\ 123 \ 32 \end{array}$	$\begin{array}{l} 132^{\circ} 32' \\ 123 \ 40 \end{array}$
$p^2 : p^2 =$	$134 \ 0$	
$p\frac{7}{4} : p\frac{7}{4} =$	$128 \ 44$	$128 \ 42$
$b =$		$*115 \ 53$
$p\frac{1}{2} : p\frac{1}{2} =$	$152 \ 44$	
$p\frac{1}{2} =$	$167 \ 31$	$167 \ 30$
$o : b =$		$*113 \ 41$
$n \left\{ \begin{array}{l} 2A = \\ 2B = \end{array} \right.$	$\begin{array}{l} 155 \ 46 \\ 149 \ 24 \end{array}$	$\begin{array}{l} 155 \ 48 \\ \end{array}$
$n : b =$	$102 \ 22$	$102 \ 24$
$o =$	$168 \ 44$	$168 \ 40$
$x \left\{ \begin{array}{l} 2A = \\ 2B = \end{array} \right.$	$\begin{array}{l} 151 \ 51 \\ 149 \ 52 \end{array}$	
$x : o =$	$170 \ 23$	$170 \ 20$
$m \left\{ \begin{array}{l} 2A = \\ 2B = \end{array} \right.$	$\begin{array}{l} 147 \ 24 \\ 120 \ 33 \end{array}$	
$m : o =$	$172 \ 37$	$172 \ 30$
$t \left\{ \begin{array}{l} 2A = \\ 2B = \end{array} \right.$	$\begin{array}{l} 34 \ 49 \\ 163 \ 44 \end{array}$	
$t : b =$	$164 \ 6$	$163 \ 50$
$o =$	$129 \ 35$	$130$

} ungef.

Prismatisch nach der Horizontalzone, deren Flächen gleich denen der Krystalle nach ihren Zonenachsen gestreift sind.

Ebene der optischen Axen  $ac$ , Mittellinie  $a$ ; positiv; Dispersion der Farben sehr beträchtlich;  $2E = 33^{\circ} 32'$  Roth,  $34^{\circ} 28'$  Gelb,  $38^{\circ} 57'$  Grün.

Schmelzpunkt  $89^{\circ}$ . — Pogg. A. 152, 274.

#### Dinitranilin. $C^6H^5(NO_2^2N)$ .

Zwei- und eingliedrig.  $a : b : c = 0,9943 : 1 : 0,6985$  Schabus.

$o = 85^{\circ} 4', 5$ .

$o, r', a, b$ .

	Berechnet	Beobachtet
$o : o =$	$122^{\circ} 56'$	
$a : r' =$		$*122^{\circ} 48'$
$o : a =$		$*123 \quad 28$
$b =$		$*118 \quad 32$

Tafelartig nach  $b$ . Grüngelb, spaltbar nach  $a$ .

### Dinitrobenzoesäure. $C^7H^4(NO_2^2O_2$ .

Zwei- und eingliedrig.  $a : b : c = 1,4494 : 1 : 1,4294$  Henniges.  
 $o = 83^{\circ} 37'$ .

$p, q^2, 2r', c$ .	Berechnet	Beobachtet
$p : p =$		$*83^{\circ} 55'$
$c =$		$*94 \quad 46$
$q^2 : q^2 =$		$*48 \quad 1$
$c = 114^{\circ} 0', 5$		$114 \quad 3$
$c : 2r' = 114 \quad 8$		$111 \quad 2$
$p : q^2 \left\{ \begin{array}{l} = 135 \quad 42 \\ = 130 \quad 28 \end{array} \right.$		$135 \quad 14$ $130 \quad 30$
$2r' = 126 \quad 22$		$126 \quad 24$

Dick tafelartig nach  $c$ ; die  $q^2$  sind glänzend, die  $p$  ziemlich matt. Spaltbar nach  $c$ . Gelbbraun.

Ebene der optischen Axen  $ac$ ; die Mittellinie ist (vorn) unter  $48^{\circ} 32'$  gegen die Axe  $c$  geneigt;  $\varrho < v$ .  $2E = 80^{\circ} 46'$  Gelb;  $2H = 50^{\circ} 44'$  Roth;  $50^{\circ} 57'$  Gelb. — Krystallogr. Untersuchung einiger organ. Verbindungen. Dissertation. Göttingen 1884.

Schmelzpunkt  $204^{\circ}$ .

### Dinitrobenzoesaures Natron. $NaC^7H^3(NO_2^2O_2$ .

Sechsgliedrig.  $a : c = 1 : 0,5923$  Henniges.

$r, p$ .	Berechnet	Beobachtet
$r (2A) =$		$*121^{\circ} 28'$
$p : r \left\{ \begin{array}{l} = 124^{\circ} 22' \\ = 106 \quad 24 \end{array} \right.$		$124 \quad 23,5$ $106 \quad 25$

(ersteres in den horizontalen, letzteres in den schief laufenden Combinationsecken).

Sehr kleine gelbe, nach  $p$  spaltbare Krystalle.

Optisch einaxig, positiv.

### Dinitrobenzol.

#### 1. Paradinitrobenzol.

Zwei- und eingliedrig.  $a : b : c = 2,0383 : 1 : 1,0432$  Bodewig.  
 $o = 87^{\circ} 42'$ .

$p, q, r, r', a$ .	Berechnet	Beobachtet
$p : p =$	$52^{\circ} 23'$	$52^{\circ} 48'$
$a =$		$*116 \quad 9$
$q : q =$	$87 \quad 38$	

	Berechnet	Beobachtet
$r : r' =$		$\approx 125^\circ 48'$
$a : r =$		$\approx 118 \ 55$
$r' = 115^\circ 17'$		115 18
$p : q = 131 \ 18$		131 15
$r = 102 \ 18$		102 17

Prismatisch nach  $p$ ; in der Endigung herrscht  $r$ .

Optische Axenebene =  $ac$ . — Pogg. A. 158, 239.

## II. Orthodinitrobenzol.

Zwei- und eingliedrig.  $a : b : c = 0,6442 : 1 : 0,5735$  Bodewig.  
 $\alpha = 67^\circ 53'$ .

$\alpha', p, q, \frac{r'}{2}, b, c.$	Berechnet	Beobachtet
$\alpha' : \alpha' =$	$127^\circ 46'$	
$p : p =$		$\approx 120^\circ 58'$
$q : q = 124 \ 18$		
$c : p = 109 \ 7$		109 4
$q = 152 \ 9$		152 9
$\frac{r'}{2} = 152 \ 10$		152 12
$\alpha' = 122 \ 25$		122 38
$b : q =$		$\approx 117 \ 51$
$p : q =$		$\approx 121 \ 19$
$\frac{r'}{2} : q = 144 \ 26$		144 24
$\alpha' : b = 116 \ 7$		116 4
$p = 128 \ 28$		128 19

## III. Metadinitrobenzol.

Zweigliedrig.  $a : b : c = 0,5302 : 1 : 0,2855$  Bodewig.

$p, q, r, a, b.$	Berechnet	Beobachtet
$p : p = 124^\circ 8'$		$124^\circ 43'$
$q : q = 148 \ 8$		
$b =$		$\approx 105 \ 56$
$r : r = 123 \ 24$		
$a =$		$\approx 118 \ 18$
$q : r = 147 \ 51$		147 48
$p : r = 114 \ 46$		114 53

Tafelartig nach  $b$ . Ausserdem  $^2p$ ,  $^4p$  und  $^{12}p$ .

Optische Axenebene  $bc$ ; Doppelbrechung negativ.

Die Zonen dieser drei Isomeren stehen in directer gegenseitiger Beziehung; auch das Monochlornitrobenzol hat mit III. das Verhältniss  $a : b$  gemein. — A. a. O.

## Dinitrobromphenol. $C^6H^3Br(NO_2^2O)$ .

Zwei- und eingliedrig.  $a : b : c = 2,7947 : 1 : 1,7783$  Arzruni.  
 $\alpha = 67^\circ 53'$ .

$q, r, r', a.$	Berechnet	Beobachtet
$q : q =$		*417° 29'
$a =$		*401 46
$r : r' = 416^{\circ} 47'$		
$a : r =$		*437 33
$r' = 405 40$		405 47
$q : r = 417 56$		417 45

Prismatisch nach der Verticalzone.

Ebene der optischen Axen  $ac$ ; Mittellinie etwa  $57^{\circ},5$  gegen Axvorn;  $2E$  etwa  $100^{\circ}$ . — Groth Ztschr. 4, 438. — Vgl. Laurent: R scient. 6, 65.

Schmelzpunkt  $85^{\circ},6$ .

### Dinitrochlorbenzol. $C^6H^3Cl(NO_2)^2$ .

#### I. $\alpha$ -Modification.

Zweigliedrig.  $a : b : c = 0,8086 : 4 : 0,7428$  Des Cloiseaux.

$p, q, r, c.$	Berechnet	Beobachtet	
		Des Cloiseaux	Friedländer
$p : p =$		*402° 5'	404° 59'
$q : q = 409^{\circ} 2'$			
$c =$		*444 34	444 35
$r : r = 97 42$			
$c = 438 36$		438 40	
$p : q = 444 24$		444 25	444 25

Optische Axenebene =  $ac$ , Mittellinie =  $c$ .  $2E = 402^{\circ} 46'$  Roth:  $409^{\circ} 49'$  Blau. — Ann. Ch. Phys. (4) 45, 234. — Groth Ztschr. 4, 590.

Schmelzpunkt  $50^{\circ}$ .

#### II. $\beta$ -Modification.

Zweigliedrig-hemiedrisch.  $a : b : c = 0,8346 : 4 : 0,3866$  Des Cloiz.

$o, p, {}^2p, q, r, a, b.$

	Berechnet	Beobachtet	
		Des Cloiseaux	Bodewig
$p : p =$		*400° 48'	400° 29'
${}^2p : {}^2p = 64^{\circ} 50'$		64 40	64 48
$r : a = 444 54$			
$o : a = 443 22$			
$r = 460 40$		460 48	
$b =$		*409 20	409 34
$p = 424 6$		424 40	

Das Oktaeder  $o$  erscheint als linkes Tetraeder (Bodewig).

Spaltbar nach  $b$ .

Doppelbrechung positiv; optische Axenebene =  $bc$ , Mittellinie =  $b$ .  $2E = 94^{\circ} 45'$  Roth;  $99^{\circ}$  Blau. — A. a. O.

Schmelzpunkt  $43^{\circ}$ .

**Dinitrochlorphenol.**  $C^6H^3Cl(NO_2^2O)$ .Zwei- und eingliedrig.  $a : b : c = 2,4534 : 4 : 4,747$  Hessenberg.  
 $\alpha = 67^\circ 40'$ . $n' = a' : 2b : c. — q, 2r', a, c.$ 

	Berechnet	Beobachtet
$n' : n' =$	$94^\circ 30'$	
$q : q =$		$64^\circ 34'$
$a : c =$	$442 \ 50$	
$2r' =$		$437 \ 40$
$c : 2r' =$		$409 \ 30$

Schmelzpunkt  $80^\circ, 5$ .**Dinitrodimonochlorphenyltrichloräthan.**  $C^{14}H^7Cl^6N^2O^4$ .Zwei- und eingliedrig.  $a : b = 4,3404 : 4$  Hintze.  
 $\alpha = 69^\circ 25'$ . $p, c.$ 

Beobachtet.

 $p : p = 78^\circ 24'; \quad p : c = 402^\circ 50'.$ Ausserdem  $p^{50} = a : 50b : \infty c$ , dessen Flächen  $477^\circ 44'$  (berechnet  $7^\circ 9'$ ) bilden.

Dunkelgelbe kurze Prismen.

Optische Axenebene  $ac$ ; die Mittellinie bildet etwa  $28^\circ 22'$  mit der Ebene  $bc$ ; negativ;  $\rho < r : 2E = 58^\circ$  ungefähr. — Pogg. A. 452, 277. **$\beta$ -Dinitrodiphensaurer Baryt.**  $BaC^{14}H^6N^2O^6 + 4aq.$ Eingliedrig.  $a : b : c = 0,6995 : 4 : 0,4558$  Shadwell.

$A = 424^\circ 45'$	$\alpha = 447^\circ 34'$
$B = 409 \ 44$	$\beta = 401 \ 20$
$C = 409 \ 49$	$\gamma = 404 \ 24$

 $o'', p', \frac{q'}{2}, r', a, b, c.$ 

	Berechnet	Beobachtet
$a : b =$		$409^\circ 49'$
$p' =$		$435 \ 32$
$b : c =$		$424 \ 45$
$\frac{q'}{2} : c =$	$423^\circ 59'$	$423 \ 42$
$a : c =$		$409 \ 44$
$r' =$		$405 \ 49$
$p' : c =$	$94 \ 7$	$94 \ 7$
$\frac{q'}{2} : a =$	$94 \ 39$	$94 \ 44$
$p' =$	$409 \ 44$	$410 \ 27$
$r' : b =$	$409 \ 30$	$409 \ 33$
$o'' : a =$	$446 \ 40$	$445 \ 57$
$b =$	$98 \ 2$	$98 \ 4$
$c =$	$427 \ 34$	$427 \ 42$

Prismatisch nach  $ab$ . blassgelb. durchsichtig,  $b$  oft stark gekrümmt,

gleichwie noch andere gekrümmte Flächen auftreten. — Spaltbar nach  $\frac{r'}{2}$  — Groth Ztschr. 5, 303.

**Dinitrodiphenensaures Methyl.**  $C^{14}H^6(NO_2)_2O^4(CH_3)^2$ .

I.  $\alpha$ -Modification.

Zwei- und eingliedrig.  $a : b : c = 2,242 : 4 : 1,886$  Shadwell  
 $\alpha = 85^\circ 35'$ .

$p, q, r, a.$	Berechnet	Beobachtet
$p : p =$		$^*48^\circ 12'$
$q : q =$	$56^\circ 0'$	55 34
$a =$		$^*92 \quad 4$
$p \left\{ \begin{array}{l} = 145 \quad 9 \\ = \end{array} \right.$		145 27
		$^*142 \quad 18$

Sehr dünne blassgelbe Prismen;  $r$  stark gekrümmt. Spaltbar nach  $\frac{r'}{2}$ . Schmelzpunkt  $177-178^\circ$ .

II.  $\beta$ -Modification.

Zwei- und eingliedrig.  $a : b : c = 0,6367 : 4 : 1,2417$  Beckenkamp  
 $\alpha = 89^\circ 33'$ .

$p, q, \frac{r'}{2}, b.$	Berechnet	Beobachtet
$p : p =$		$^*115^\circ 3'$
$q : q =$	$79^\circ 4'$	
$b =$		$^*110 \quad 28$
$p : \frac{r'}{2} =$	125 34	125 32
$p : q \left\{ \begin{array}{l} = \\ = 114 \quad 44 \end{array} \right.$		$^*114 \quad 12$
		114 37

Blassgelbe Combinationen der herrschenden  $p$  und  $\frac{r'}{2}$ ; spaltbar nach  $\frac{r'}{2}$ . — Groth Ztschr. 5, 302.

Schmelzpunkt  $131-132^\circ$ .

**Dinitrodiphenylbenzol.**  $C^{18}H^{12}(NO_2)_2$ .

Zwei- und eingliedrig.  $a : b : c = 0,398 : 4 : 1,08$  Fock  
 $\alpha = 73^\circ 55'$ .

$p, q, b.$	Beobachtet
$p : p =$	$^*138^\circ 8'$
$q : q =$	$^*87 \quad 53$
$p : q \left\{ \begin{array}{l} = \\ = 115^\circ 54' \\ = 94 \quad 15 \end{array} \right.$	

Langprismatisch; spaltbar nach  $a$ ; gelb. — Groth Ztschr. 5, 3  
Schmelzpunkt  $277^\circ$ .

**Dinitrodiphenylmethan, Iso.**  $C^{13}H^8(NO_2)_2$ .

Zwei- und eingliedrig.  $a : b : c = 0,7588 : 4 : 0,988$  Friedländer  
 $\alpha = 87^\circ 52'$ .

$\alpha, p, q, \frac{r'}{2}, c.$

	Berechnet	Beobachtet
$p : p =$		$105^{\circ} 43'$
$c = 91^{\circ} 43'$		91 49
$q : q =$		$90^{\circ} 44'$
$p =$		$116^{\circ} 28'$
$c : \frac{r}{2} = 147 \ 33$		147 45
$o : c = 122 \ 4$		122 48
$p = 149 \ 39$		149 10
$q = 138 \ 8$		137 43

Gelbliche Prismen  $p$ , zuweilen  $p$  und  $q$  im Gleichgewicht. — Groth schr. 4, 175.

Schmelzpunkt  $118^{\circ}$ .

#### Dinitroheptylsäure. $C^6H^{10}(NO_2^2O_2)$ .

Zwei- und eingliedrig.  $a : b : c = 0,5735 : 1 : 0,6024$  Zepharo-  
ch.  $o = 70^{\circ} 42',5$ .

$^2p, q, r', a, c.$	Berechnet	Beobachtet
$^2p : ^2p =$	$85^{\circ} 28'$	$85^{\circ} 28'$
$a = 132 \ 44$		132 44
$q : q = 120 \ 45,5$		121 0
$c = 150 \ 23$		150 30
$a = 106 \ 42$		106 47
$a : c = 109 \ 17,5$		109 33
$r' =$		$127^{\circ} 7'$
$c : r' = 123 \ 36$		123 28
$q : ^2p =$		$123^{\circ} 55'$
$r' =$		$118^{\circ} 45'$

Sehr kleine Nadeln, von  $^2p$  und  $p'$  hauptsächlich begrenzt. — Groth schr. 2, 196.

#### Dinitrojodbenzol. $C^6H^3(NO_2^2J)$ .

Eingliedrig.  $a : b : c = 1,6346 : 1 : 0,9397$  La Valle.

$A = 88^{\circ} 52'$	$\alpha = 88^{\circ} 3',5$
$B = 109 \ 28$	$\beta = 109 \ 31,5$
$C = 91 \ 57$	$\gamma = 92 \ 29$

$p, p' : p' \frac{1}{2}, q, r, r', ^2r', a, b, c.$

	Berechnet	Beobachtet	
		I.	II.
$p : a =$		$124^{\circ} 21'$	$124^{\circ} 0'$
$b =$		$147 \ 36$	147 39
$c =$		$99 \ 20$	99 37
$b : p' = 146^{\circ} 28'$		146 5	146 29
$b : c = 88 \ 49$		88 50	
$a : c =$		$109^{\circ} 28'$	109 24
$r =$		$134^{\circ} 0'$	
$c : r' = 146 \ 7$		146 12	146 29
$r' : ^2r' = 153 \ 29$		153 20	

Krystalle I aus Salpetersäure und Orthonitroiodbenzol, prisma nach  $ac$ ; II aus Paranitroiodbenzol, mehr prismatisch nach  $pp'$  und Vorherrschen von  $2r'$ . Spaltbar nach  $p$ . Gelb. — Atti R. Acc. d. L. (3) 3. Groth Ztschr. 4, 390.

**Dinitromesitylen.**  $C^9H^{10}(NO_2)^2$ .

Zweiglig.  $a : b = 0,5475 : 1$  Fittig.

$p, b, c.$  Beobachtet  
 $p : b = 118^\circ 52'.$

Ann. Chem. Pharm. 144, 129.

**Dinitromethylhypogallussäure.**  $C^9H^6(NO_2)^2O^4 + aq.$

Zwei- und eingliedrig.  $a : b : c = 1,0422 : 1 : 0,7456$  Lang.  
 $o = 76^\circ 0'.$

$o', p, c.$	Berechnet	Beobachtet
$o' : o' =$		$114^\circ 20'$
$p : p =$		$91 \quad 2$
$c =$		$99 \quad 56$
$o' : c = 130^\circ 20'$		$130 \quad 22$
$p = 129 \quad 44$		

Sehr vollkommen spaltbar nach  $p$ . — Lang: J. Chem. Soc. 2, 6.3

**$\beta$ -Dinitronaphthalin.**  $C^{10}H^6(NO_2)^2$ .

Zweiglig.  $a : b : c = 0,3598 : 1 : 0,7525$  Bodewig.

$o, p, 2p, c.$	Berechnet	Beobachtet
$o \begin{cases} 2A = 144^\circ 2' \\ 2B = 118 \quad 12 \\ 2C = 131 \quad 32 \end{cases}$		$118^\circ 16'$
$p : p =$		$140 \quad 25$
$2p : 2p = 74 \quad 30$		$74 \quad 19$
$p = 164 \quad 2$		$164 \quad 7$
$o : c =$		$114 \quad 14$
$p = 134 \quad 47$		

Tafelartig nach  $c$ . Gelb. Spaltbar nach  $c$  (3).

Ebene der optischen Axen  $bc$ ; negativ.  $2H_a = 94^\circ 5'$  Roth,  $95^\circ 2'$  Gelb. — Groth Ztschr. 3, 384.

**Dinitroparadichlorbenzol.**  $C^6H^2Cl^2(NO_2)^2$ .

1.  $\beta$ -Modification.

Zwei- und eingliedrig.  $a : b : c = 2,1675 : 1 : 1,0429$  Bodewig.  
 $o = 63^\circ 40'.$

$p, r', a, c.$	Berechnet	Beobachtet
$p : p = 54^\circ 29'$		
$a =$		$117^\circ 15'$
$c =$		$101 \quad 43$
$a : c = 116 \quad 20$		$116 \quad 22$
$r' =$		$91 \quad 31$
$c : r' = 152 \quad 9$		$152 \quad 4$
$p : r' = 90 \quad 42$		$90 \quad 41$



Prismatisch nach  $p$ . Spaltbar nach  $a$ .

Ebene der optischen Axen  $ac$ . — Groth Ztschr. 3, 384.

Schmelzpunkt  $104\text{--}102^\circ$ .

## II. $\alpha$ -Modification.

Zwei- und eingliedrig.  $a : b : c = 0,5048 : 1 : 0,3874$  Bodewig.  
 $\alpha = 74^\circ 32'$ .

$p, q, b$ .	Berechnet	Beobachtet
$p : p =$		$128^\circ 7'$
$b =$	$115^\circ 56'$	
$q : q =$		$139 \quad 3$
$p =$		$112 \quad 11$

Tafelartig nach  $b$ . Spaltbar nach  $r$ .

Ebene der optischen Axen parallel Axe  $b$ . — A. a. O.

Schmelzpunkt  $104,5\text{--}105^\circ$ .

## Dinitroparaxylol. $C^8H^8(NO_2)^2$ .

Zwei- und eingliedrig.  $a : b : c = 1,4572 : 1 : 0,9948$  Calderon.  
 $\alpha = 72^\circ 21'$ .

$\alpha, \alpha', r', c$ .	Berechnet	Beobachtet
$\alpha : \alpha =$	$115^\circ 33'$	$115^\circ 34'$
$\alpha' : \alpha' =$	$98 \quad 36$	$98 \quad 36$
$\alpha : \alpha' =$		$116 \quad 34$
$\alpha : \alpha' =$	$104 \quad 31$	$104 \quad 19$
$c : \alpha =$		$135 \quad 11$
$\alpha' =$		$120 \quad 28$

$r'$  ist nicht messbar. Blassgelb, dicktafelartig nach  $c$ . — Groth schr. 4, 233.

Schmelzpunkt  $93^\circ$ .

## Dinitrophenol. $C^6H^4(NO_2)^2O$ .

Zweigligliedrig.  $a : b : c = 0,466 : 1 : 0,3767$  Laurent.

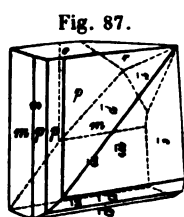
$\alpha, p, q^2, b$ .	Berechnet	Beobachtet
$\alpha \left\{ \begin{array}{l} 2A = \\ 2B = \\ 2C = \end{array} \right.$	$\begin{array}{l} 147^\circ 20' \\ 105 \quad 50 \\ 83 \quad 26 \end{array}$	
$p : p =$		$130^\circ 0'$
$q^2 : q^2 =$	$106 \quad 0$	
$b =$		$127 \quad 0$

Ann. Ch. Phys. (3) 3, 243.

## Dinitrotetrabrombenzol. $C^6Br^4(NO_2)^2$ .

Zwei- und eingliedrig.  $a : b : c = 1,0605 : 1 : 0,7778$  Bodewig.  
 $\alpha = 82^\circ 27'$ .

$p, {}^2p(m), ({}^2r'), c$ .	Berechnet	Beobachtet
$p : p =$	$86^\circ 45'$	$86^\circ 53'$
$c =$		$92 \quad 26$



	Berechnet	Beobachtet
${}^2p : {}^2p =$	$55^{\circ} 46'$	$55^{\circ} 58'$
$p =$	164 15	164 20
$c : {}^2r' =$	124 54	122 24
$p : {}^2r' =$	124 3	123 54
${}^2p : {}^2r' =$	136 6	135 40
$c =$	93 22	93 0

Stets Zwillinge nach  $o$ . — Fig. 87. — Tafelartig n. einem  ${}^2p$ . Spaltbar nach  ${}^2r'$ . Gelb.

Ebene der optischen Axen  $ac$ ; Mittellinie negativ, fast normal zu:  $2E = 45^{\circ} 29'$  Roth,  $45^{\circ} 54'$  Gelb. — Groth Ztschr. 3, 384.

Schmelzpunkt  $227-228^{\circ}$ .

### Dinitrotoluol, Ortho- $C^7H^6(NO_2)^2$ .

Zwei- und eingliedrig.  $a : b : c = 0,8593 : 4 : 0,5407$  Bodewig  
 $o = 85^{\circ} 42'$ .

$o, p, {}^2p, q, r, a, b, c$ .	Berechnet	Beobachtet
$o : o =$	$132^{\circ} 32'$	
$p : p =$		$*98^{\circ} 54',5$
$c =$	93 39	93 49
${}^2p : {}^2p =$	60 34	
$p =$	160 54	161 7
$q : q =$	123 22	
$c =$	151 41	
$a : c =$		$*94 48$
$r =$		$*125 35$
$c : r =$	149 13	149 13
$o : b =$	113 44	113 39
$r =$	156 16	156 37

Prismatisch nach der Horizontalzone. Gelb.

Ebene der optischen Axen parallel Axe  $b$ , welche die Mittellinie ist — Groth Ztschr. 3, 384.

Schmelzpunkt  $71^{\circ}$ .

### Dinitrotribrombenzol. $C^6HBr^3(NO_2)^2$ .

Eingliedrig.  $a : b : c = 0,45556 : 4 : 0,45747$  Panebianco.

$A =$	$92^{\circ} 40'$	$\alpha =$	$90^{\circ} 7'$
$B =$	112 28	$\beta =$	112 22
$C =$	95 24	$\gamma =$	94 56,5
$o'', o''', p, p', {}^4q', b, c$ .	Berechnet	Beobachtet	
$p : p' =$		$*135^{\circ} 26'$	
$b : p' =$	$108^{\circ} 41'$	108 40	
$c =$	92 40	92 9	
${}^4q' : c =$	118 53	118 51	
$c : p =$		$*110 48$	
$p' =$		$*110 27$	
$o'' : p' =$		$*127 0$	
$o''' : c =$		$*119 34$	
$p' =$	111 19	111 17	

Prismatisch nach der Horizontalzone, spaltbar nach  $c$ . Gelb, auf  $b$ ,  $p$  und  $p'$  deutlichen Dichroismus zeigend.

Die Ebene der optischen Axen ist der Kante  $cp'$  fast parallel und macht mit ihr einen Winkel von  $2^\circ$  gegen die Kante  $cp$ . Die Mittellinie ist negativ und fast normal auf Fläche  $c$ . Gekreuzte Dispersion;  $2H$  etwa  $74^\circ$ .

Atti R. Accad. d. Lincei (3) 3. (Groth Ztschr. 4, 392.)

Schmelzpunkt  $135^\circ,5$ .

### Dioxindol (Hydrindinsäure). $C^8H^7NO^2$ .

Zwei- und eingliedrig.  $a : b = 1,042 : 1$  Rammelsberg.

$o'$ ,  $p$ ,  $r'$ ,  $b$ ,  $c$ .

Beobachtet

$$p : b = 129^\circ 20'$$

$$c = 117 \quad 0$$

Daraus  $p : p = 104^\circ 20'$ . Die übrigen Winkel nicht messbar.

Kleine gelbliche Prismen  $p$ ,  $b$ , welche glänzend sind, während  $c$  matt und uneben ist; die  $r'$  und  $o'$  sehr klein und gekrümmt.

### Diparatolylsulfoharnstoff. $C^{15}H^{16}N^2S$ .

Zweigligliedrig.  $a : b : c = 0,8393 : 1 : 0,6173$  Levin.

$o$ ,  $p$ ,  $a$ .

Berechnet

Beobachtet

$$o \begin{cases} 2A = 127^\circ 7' \\ 2B = 115 \quad 55 \\ 2C = 87 \quad 40,5 \end{cases} \quad 116^\circ 4'$$

$$p : p = \quad \quad \quad 99 \quad 59$$

$$a = 140 \quad 0$$

$$o = 133 \quad 50 \quad \quad 133 \quad 51$$

$$a : o = 122 \quad 2 \quad \quad 122 \quad 0$$

Prismatisch nach  $p$ .

Ebene der optischen Axen  $= ab$ , Mittellinie  $= b$ .

Schmelzpunkt  $178^\circ$ . — Dissertation. Göttingen 1880.

### $\delta$ -Diphenol. $C^{12}H^{10}O^2$ .

Zwei- und eingliedrig.  $a : b : c = 1,8265 : 1 : 0,4434$  Siegart.

$$o = 88^\circ 43'$$

Berechnet

Beobachtet

$$p : p = \quad \quad \quad \begin{matrix} \text{Siegert} & \text{Fock} \\ 57^\circ 25' & 58^\circ 19' - 57^\circ 29' \end{matrix}$$

$$o : o = \quad \quad \quad 133 \quad 40$$

$$o' : o' = 133^\circ 42' \quad \quad 133 \quad 40$$

$$(Kante bc) o : o' = \quad \quad \quad 154 \quad 50$$

Kleine dunkelgelbe Prismen. oft ohne Endflächen, von Siegart für eingliedrig gehalten. — Siegart: J. f. pr. Ch. (2) 8. 47. — Fock: Ztschr. 5, 299.

Schmelzpunkt  $164^\circ$ .

**Diphensäure.**  $C^{14}H^{10}O^4$ .

Zwei- und eingliedrig.  $a : b : c = 1,1389 : 1 : 1,2065$  Bodewig.  
 $\alpha = 88^\circ 12'$ .

$$x(y) = \frac{1}{2}a : b : c;$$

$$x'(x) = \frac{1}{2}a' : b : c. \quad - \quad o(i), o'(o), p, q, \frac{q}{2}(l), q^2, r', a, b, c.$$

	Berechnet	Beobachtet	
		Bodewig	Howe
	$o : o = 101^\circ 38'$		
	$o' : o' = 100 \quad 2$		
	$p : p =$	$*82^\circ 35'$	
	$b = 138 \quad 35$		$138^\circ 43'$
	$c =$	$*91 \quad 11$	
	$q : q = 79 \quad 36$		
	$b = 140 \quad 12$	$140 \quad 6$	
	$\frac{q}{2} : \frac{q}{2} = 117 \quad 50$		
	$b = 121 \quad 5$	$120 \quad 24$	$120 \quad 26$
	$a : c = 91 \quad 48$		$91 \quad 36$
	$r' = 135 \quad 48$		
	$o : b = 129 \quad 11$		$129 \quad 10$
	$o' : a = 123 \quad 16$		$123 \quad 4$
	$b =$	$*129 \quad 59$	$130 \quad 1$
	$c = 121 \quad 14$	$121 \quad 40$	
	$p = 147 \quad 35$	$147 \quad 43$	
	$x : x = 126 \quad 4$		
	$x' : x' = 125 \quad 12$		
	$x : a = 143 \quad 56$		$143 \quad 40$
	$b = 116 \quad 58$		$116 \quad 58$
	$x' : b = 117 \quad 24$	$117 \quad 24$	

Fig. 88.

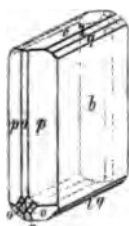
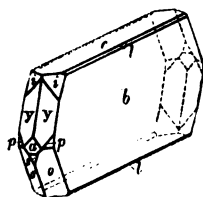


Fig. 89.



Tafelartig nach  $b$ . — Fig. 88 und 89. — Spaltbar nach  $c$  und  $a$ .  
 Ebene der optischen Axen  $ac$ . — Groth Ztschr. 3, 384.  
 Schmelzpunkt  $236^\circ$ .

**Diphensaures Methyl.**  $C^{14}H^8O^4(CH^3)_2$ .

Zwei- und eingliedrig.  $a : b : c = 0,5544 : 1 : 1,2088$  Calderon.  
 $\alpha = 88^\circ 35'5''$ .

$q, r, r', c.$	Berechnet	Beobachtet
$q : q =$		$*100^\circ 47'$
$c = 129^\circ 37'$		$129 \quad 37$
$c : r =$		$*115 \quad 41$
$r' = 113 \quad 21$		$113 \quad 28$
$r : r' = 49 \quad 2$		$48 \quad 58$
$q : r = 106 \quad 2$		$106 \quad 3$
$r' =$		$*104 \quad 38$

Dicktafelartig nach  $c$  und prismatisch nach  $rr'$ , gelb, spaltbar nach  $r'$ .  
 Optische Axenebene parallel Axe  $b$ . — Groth Ztschr. 5. 304.

**Diphensaures Methyl, Iso-.**  $C^{14}H^8O^4(CH^3)^2$ .Eingliedrig.  $a : b : c = 0,9368 : 1 : 0,5634$  Calderon.

$$\alpha = 111^\circ 13'; \beta = 125^\circ 50'; \gamma = 63^\circ 9'.$$

$o''$ , $\frac{7}{8}p$ , $a$ , $b$ , $c$ .	Berechnet	Beobachtet
$a : b =$		$74^\circ 30'$
$\frac{7}{8}p : a = 143^\circ 4'$		143 35
$b = 108 \ 29$		108 18
$b : c =$		$97^\circ 14'$
$a : c =$		$120^\circ 29'$
$o''' : a =$		$95^\circ 12'$
$b =$		$103^\circ 12'$
$c = 143 \ 17$		143 39

Gelb, dicktafelartig nach  $b$ . Zuweilen Zwillinge nach  $b$ . — Groth schr. 4, 239.**Diphenyl.**  $C^{12}H^{10}$ .

Tafelartige zwei- und eingliedrige Prismen. Bodewig.

Calderon fand an einem Zwilling  $p : c = 93^\circ$  und  $c : \underline{c} = 142^\circ,5$  und berechnet  $a : b : c = 1,43 : 1 : 1,31$ ;  $o = 84^\circ,6$ , wonach  $p : p = 69^\circ,2$  in würde. — Groth Ztschr. 3, 444. 4, 240.**Diphenylamin.**  $C^{12}H^{11}N$ .Tafelartige zwei- und eingliedrige Prismen von nahezu  $90^\circ$ . Bodewig.

Volumgewicht 1,136—1,164. Schröder.

**Diphenyldibromäthan.**  $C^{14}H^{12}Br^2$ .Zwei- und eingliedrig.  $a : b : c = 1,622 : 1 : 0,4246$  Hintze.

$$o = 74^\circ 38'.$$

$p$ , $q$ , $a$ .	Berechnet	Beobachtet
$p : p =$		$80^\circ 38'$
$a = 130^\circ 19'$		130 20
$q : q =$		$135^\circ 28'$
$p \left\{ =$		$116^\circ 35'$
$p \left\{ = 97 \ 29$		97 26

Sehr kleine dünne Prismen.

Optische Axenebene parallel Axe  $b$ .Schmelzpunkt  $80^\circ$ . — Pogg. A. 152, 274.**Diphenyldimethylharnstoff.**  $C^{15}H^{16}N^2O$ .Zwei- und eingliedrig.  $a : b : c = 0,9391 : 1 : 0,7036$  Fock.

$$o = 87^\circ 15'$$

$o$ , $o'$ , $p$ , $2p$ , $q$ , $q^2$ , $r$ , $r'$ , $a$ , $b$ .	Berechnet	Beobachtet
$o : o = 122^\circ 28'$		
$o' : o' = 120 \ 40$		
$p : p =$		$93^\circ 30'$
$2p : 2p = 56 \ 0$		

	Berechnet	Beobachtet
$2p : b =$	$152^{\circ} 0'$	$152^{\circ} 5'$
$q : q =$	$109 \ 48$	
$q^2 : q^2 =$	$70 \ 52$	
$a : r =$	$128 \ 32$	
$r' =$	$125 \ 4$	$124 \ 59$
$r : r' =$	$70 \ 52$	$106 \ 28$
$q : r' =$	$130 \ 17$	$130 \ 25$
$q^2 : p =$	$125 \ 20$	$125 \ 23$
$r' =$	$117 \ 17$	$117 \ 2$
$o : p =$	$136 \ 43$	$136 \ 38$
$a =$	$123 \ 5$	
$r =$	$151 \ 14$	
$r' =$	$104 \ 25$	$104 \ 28$
$o' : a =$	$119 \ 48$	
$p =$	$134 \ 44$	
$r' =$	$150 \ 2$	$150 \ 0$

Manche Krystalle zeigen nur  $p$  und  $r'$ . Tafelartig nach  $r'$ . Die Flächen  $a$ ,  $q$  und  $q^2$  sind selten.

Optische Axenebene  $ac$ . — Groth Ztschr. 5, 344.

#### Diphenylketon. $C^{13}H^8O$ .

Zweiglig.  $a : b : c = 0,5808 : 1 : 0,7778$  Friedländer.

$n = 2a : b : c$ . —  $p$ ,  $q^2$ ,  $a$ ,  $b$ .

	Berechnet	Beobachtet	
		Friedländer	Reusch
$p : p =$	$119^{\circ} 42'$		
$a =$		$*119^{\circ} 51'$	$119^{\circ} 54'$
$q^2 : q^2 =$		$*65 \ 24$	$65 \ 40$
$n : n =$	$114 \ 8$	$114 \ 45$	$114 \ 0$
$a =$	$117 \ 53$	$117 \ 35$	
$p : q^2 =$	$114 \ 42$	$114 \ 22$	

$q^2$  und  $a$  herrschend.

Ebene der optischen Axen  $ab$ ;  $2H_a$  etwa  $96^{\circ}$  (Gelb). — Groth Ztschr. 1, 623.

#### Diphenyltribromäthan. $C^{14}H^{11}Br^3$ .

Zwei- und eingliedrig.  $a : b : c = 1,24416 : 1 : 0,60483$  Hintz

$o = 79^{\circ} 29'$ .

$p$ , $p^2$ , $q$ , $r'$ , $a$ , $b$ .	Berechnet	Beobachtet
$p : p =$	$79^{\circ} 54'$	
$a =$	$129 \ 57$	$130^{\circ} \ 4'$
$b =$	$140 \ 3$	$140 \ 1$
$p^2 : p^2 =$	$118 \ 20$	
$a =$		$*119 \ 40$
$b =$	$120 \ 50$	$120 \ 45$
$q : q =$		$*118 \ 34$
$b =$	$120 \ 44,5$	$120 \ 44,5$

	Berechnet	Beobachtet
$q : a =$		$99^{\circ} 1',5$
$p^2 : q \left\{ \begin{array}{l} = 143^{\circ} 22' \\ = 97 19 \end{array} \right.$		$113 24$ $97 20$
$4r' : a = 151 29$		$151 6$

Prismatisch nach der Horizontalzone und tafelartig nach  $b$ .

Optische Axenebene  $ac$ ; Brechung positiv; die Axe der grössten Asticität bildet in  $ac$  mit der Fläche  $a$   $42^{\circ} 46'$  Roth,  $44^{\circ} 43'$  Gelb,  $54'$  Grün.  $2E = 444^{\circ} 47'$  Roth,  $440^{\circ} 0'$  Gelb,  $409^{\circ} 23'$  Grün.

Schmelzpunkt  $89^{\circ}$ . — Pogg. A. 452, 267.

### Diphenyltrichloräthylen. $C^{14}H^{10}Cl^2$ .

Zwei- und eingliedrig.  $a : b : c = 1,3367 : 4 : 1,7588$  Hintze.  
 $\alpha = 60^{\circ} 44'$ .

$o', \frac{3}{2}o', \frac{r'}{2}, a, c$ . —  $n' = 2a' : \frac{1}{2}b : c$ .

	Berechnet	Beobachtet
$o' : o' =$	$78^{\circ} 4'$	
$\frac{3}{2}o' : \frac{3}{2}o' =$	$85 56$	
$n' : n' =$	$32 15$	
$a : c =$		$119^{\circ} 46'$
$\frac{r'}{2} =$	$100 32$	
$c : \frac{r'}{2} =$	$439 42$	$439 36$
$o' =$		$400 17$
$\frac{3}{2}o' =$	$113 56$	$113 40$
$n' =$	$102 14$	$101 59$
$a : o' =$		$115 0$

Prismatisch nach der Verticalzone. Spaltbar nach  $c$ . Stets Zwillinge nach  $c$ . Aneinanderwachsung und Kreuzung. Bei ersterer sind die  $\frac{r'}{2}$  so gedehnt, dass sie sich in einer Kante berühren und die  $a$  zwischen ihnen verschwinden. Die Flächen der Augitpaare sind gewölbt, oder die des einen Krystalls überwiegen der Art, dass der Zwillling wie ein einfacher Krystall erscheint. Bei der Kreuzung sind die einem Krystall angehörigen Flächen parallel nach der Zwillingsfläche verschoben, so dass die Verbindungsebene zwischen den  $\frac{r'}{2}$  sehr schmal werden kann. Dann erscheinen die nebeneinanderliegenden Stücke mit der senkrecht zur Zwillingsfläche stehenden Ebene verwachsen. Am Zwillling ist

$$a : a = 120^{\circ} 28'$$

$$\frac{r'}{2} : \frac{r'}{2} = 80 36$$

Ebene der optischen Axen parallel Axe  $b$ , fast senkrecht zu  $ab$ ; negativ;  $2E = 29^{\circ} 38'$  Roth,  $30^{\circ} 50'$  Gelb,  $34^{\circ} 42'$  Grün (annähernd).

Schmelzpunkt  $79^{\circ}$ . — Pogg. A. 452, 269.

	Berechnet	Beobachtet
$2p : b$	$= 452^{\circ} 0'$	$451^{\circ}$
$q : q$	$= 409 48$	
$q^2 : q^2$	$= 70 52$	
$a : r$	$= 428 32$	
$r'$	$= 125 4$	
$r : r'$	$= 70 52$	
$q : r'$	$= 430 47$	
$q^2 : p$	$= 425 2^r$	
$r'$	$= 417$	
$o : p$	$= 43^r$	
$a$	$= 4^r$	
$r$	$=$	$144^{\circ} 46'$
$r'$	$=$	$109 48$
$o' : a$		

einer auf die  
 $q = 92^{\circ} 50'$   
 als nicht recht  
 139.

aushofer.

beobachtet

\*102 48

Manche Kryst. nöhle Krystalle, dunkelgelb, seidenglänzend.  
 $a, q$  und  $q^2$  sind zwischen Axen  $ab$ , Mittellinie  $a$ .  
 Optische  $99-104^{\circ}$ . — Groth Ztschr. 4, 578.

#### Ditolyltrichloräthan. $C^{15}H^{15}Cl^3$ .

Zwei

$n =$

eingliedrig.  $a : b : c = 0,7754 : 4 : 1,8783$  Hintze.  
 $o = 86^{\circ} 44'$ .

	Berechnet	Beobachtet
$o' : o' =$	$106^{\circ} 3'$	
$p : p =$		$105^{\circ} 44'$
$c =$		$97 47$
$q : q =$	$56 46$	$56 46$
$c =$		$118 28$
$p =$	$126 46$	$126 49$
$o' : c =$	$104 0,5$	$101 42$
$p =$	$161 12,5$	$161 4$

appr.

Dick tafelartig nach  $c$ ;  $q$  ist seltener: die Flächen, besonders  $o'$ , sind häufig gewölbt.

Optische Axenebene  $ac$ ; Brechung positiv; die Axe der kleinsten Elasticität bildet in  $ac$  mit  $ab$  einen Winkel von  $76^{\circ} 4'$  für weisses Licht:  
 $2E = 85^{\circ} 19'$  Roth,  $85^{\circ} 5'$  Gelb,  $84^{\circ} 35'$  Grün.

Schmelzpunkt  $89^{\circ}$ . — Pogg. A. 452, 266.

#### Dulcit. $C^6H^{14}O^6$ .

A. Dulcose. Melampyrit.

Zwei- und eingliedrig.  $a : b : c = 0,969 : 4 : 0,6327$  Laurent.  
 $o = 86^{\circ} 57'$ .

$n' = a' : \frac{1}{2}b : c$ . —  $o, p, q, r, r'$ .



rechnet

Laurent  
112° 0'Beobachtet  
Des Cloizeaux  
111° 45'  
69 15 ungef.Gilmer  
112° 0'

445 45

125 9  
129 20

115 40

, 30

134 35

133 8

ungen beziehen sich auf Melampyrit.

a nach o. Spaltbar nach n'.

der optischen Axen parallel Axe b, Mittellinie b;  $\rho > v$ . Die  
der Axen bildet mit der Normalen auf

	Roth	Gelb	Blau
Fl. r vorn	12° 52'	12° 58'	13° 40'
Fl. c	138 8	138 44	138 26

 $2H = \begin{cases} 82^\circ 42' \\ 81 37 \end{cases}$  $2E = \begin{cases} 151^\circ 40' \text{ Roth} \\ 150 0 \text{ Blau} \end{cases}$  Des Cloiz.Laurent: L. et Gerhardt C. r. d. trav. chim. 1850. — Gilmer: Ann.  
1. Pharm. 123, 372. — Des Cloizeaux: Nouv. Réch.

B. Isodulcit (Rhamnodulcit).

Zwei- und eingliedrig.  $a : b : c = 0,9996 : 1 : 0,8384$  Vrba.  
 $\alpha = 84^\circ 44',5$ . $p, q, r', a, c$ . Berechnet

Beobachtet

Vrba

Hirschwald

 $p : p = 90^\circ 16'$  $a =$ 

135° 8'

135° 27'

 $c = 93 44$ 

93 53

 $q : q = 100 48$  $c = 140 19$ 

140 7

139 57

 $p \begin{cases} = 120 8 \\ = 113 43 \end{cases}$ 

120 19

114 8

 $a : c =$ 

95 15,5

95 7

 $c : r' = 137 53$ 

137 54

137 58

 $a : r' =$ 

126 52

127 20

 $q : r' = 124 43$ 

125 9

 $p : r' = 115 40$ 

115 8

Prismatisch nach  $p$ , oder  $p$  und  $q$  herrschend, oder tafelartig nach  $r'$ .  
Spaltbar nach  $a$  und  $r'$ .Ebene der optischen Axen  $ac$ ; Doppelbrechung negativ; die Mittel-  
linie gegen Axe  $c$  vorn unter  $94^\circ 46'$  geneigt, also der basischen Endfläche  
parallel;  $2E = 97^\circ 21',5$  Roth,  $95^\circ 51'$  Gelb,  $92^\circ 44'$  Blau.

**Disulfometholsaures Ammoniak.**  $\text{CH}^{10}\text{N}^2\text{S}^2\text{O}^6$ .Zweigliedrig.  $a : b = 0,873 : 1$ .

Nach C. Brooke rhombische Prismen von  $97^\circ 45'$  mit einer auf scharfen Kanten aufgesetzten Zuschärfung  $q$ . Angeblich ist  $p : q = 92^\circ 5'$  woraus  $q : q = 174^\circ 22'$  und  $c = 0,075$  folgen würde, was nicht wahrscheinlich ist. — Brooke: Ann. Chem. Pharm. 100, 439.

**Ditolylnitrosamin.**  $\text{C}^{14}\text{H}^{14}\text{N}^2\text{O}$ .Zweigliedrig.  $a : b : c = 0,3466 : 1 : 0,2272$  Haushofer.

$p, q, b,$	Berechnet	Beobachtet
$p : p =$		$*144^\circ 46'$
$b = 109^\circ 10'$		109 48
$q : q = 154\ 24$		
$b =$		$*102\ 48$

Prismatische, meist hohle Krystalle, dunkelgelb, seidenglänzend.

Ebene der optischen Axen  $ab$ , Mittellinie  $a$ .Schmelzpunkt  $99-104^\circ$ . — Groth Ztschr. 4, 578.**Ditolyltrichloräthan.**  $\text{C}^{15}\text{H}^{15}\text{Cl}^3$ .Zwei- und eingliedrig.  $a : b : c = 0,7754 : 1 : 1,8783$  Hintze.  
 $o = 86^\circ 44'$ .

$o', p, q, c,$	Berechnet	Beobachtet
$o' : o' = 106^\circ 3'$		
$p : p =$		$*105^\circ 44'$
$c =$		$*97\ 47$
$q : q = 56\ 46$		56 46
$c =$		$*118\ 28$
$p = 126\ 46$		126 49
$o' : c = 104\ 0,5$		101 12
$p = 161\ 12,5$		161 1

} appr.

Dick tafelartig nach  $c$ ;  $q$  ist seltener; die Flächen, besonders  $o'$ , sind häufig gewölbt.

Optische Axenebene  $ac$ ; Brechung positiv; die Axe der kleinsten Elasticität bildet in  $ac$  mit  $ab$  einen Winkel von  $76^\circ 4'$  für weisses Licht  $2E = 85^\circ 49'$  Roth,  $85^\circ 5'$  Gelb,  $84^\circ 33'$  Grün.

Schmelzpunkt  $89^\circ$ . — Pogg. A. 132, 266.**Dulcit.**  $\text{C}^6\text{H}^{14}\text{O}^6$ .

A. Dulcose. Melampyrit.

Zwei- und eingliedrig.  $a : b : c = 0,969 : 1 : 0,6327$  Laurent.  
 $o = 86^\circ 57'$ . $n' = a' : \frac{1}{2}b : c$ . —  $o, p, q, r, r'$ .

Berechnet	Laurent	Beobachtet Des Cloizeaux	Gilmer
$o : o =$	$\sim 112^{\circ} 0'$	$111^{\circ} 45'$	$112^{\circ} 0'$
$n' : n' = 70^{\circ} 26'$		$69 15$ ungef.	
$p \frac{1}{2} : p \frac{1}{2} = 135 40$			
$q : q = 115 26$			$115 45$
$n' : r' = 125 43$		$125 9$	
$o = 130 29$		$129 20$	
$r : r' = 113 45$			
$q : r' =$	$\sim 140 0$		
$o =$	$\sim 149 30$		
$p \frac{1}{2} : r' = 115 48$	$115 0$	$115 40$	
$o = 134 42$	$135 30$		$134 35$
$n' = 133 25$		$133 8$	

Gilmer's Messungen beziehen sich auf Melampyrit.

Prismatisch nach  $o$ . Spaltbar nach  $n'$ .

Ebene der optischen Axen parallel Axe  $b$ , Mittellinie  $b$ ;  $q > v$ . Die Ebene der Axen bildet mit der Normalen auf

	Roth	Gelb	Blau
Fl. $r$ vorn	$12^{\circ} 52'$	$12^{\circ} 58'$	$13^{\circ} 40'$
Fl. $c$	$138 8$	$138 14$	$138 26$
$2H = \begin{cases} 82^{\circ} 42' \\ 81 37 \end{cases}$	$2E = \begin{cases} 151^{\circ} 40' \text{ Roth} \\ 150 0 \text{ Blau} \end{cases}$ Des Cloiz.		

Laurent: L. et Gerhardt C. r. d. trav. chim. 1850. — Gilmer: Ann. Ch. Pharm. 123, 372. — Des Cloizeaux: Nouv. Réch.

#### B. Isodulcit (Rhamnodulcit).

Zwei- und eingliedrig.  $a : b : c = 0,9996 : 1 : 0,8381$  Vrba.  
 $o = 84^{\circ} 44',5$ .

$p, q, r', a, c$ . Berechnet	Beobachtet Vrba	Hirschwald
$p : p = 90^{\circ} 46'$		
$a =$	$\sim 135^{\circ} 8'$	$135^{\circ} 27'$
$c = 93 44$	$93 53$	
$q : q = 100 48$		
$c = 140 19$	$140 7$	$139 57$
$p \left\{ \begin{array}{l} = 120 8 \\ = 113 43 \end{array} \right.$	$120 19$ $114 8$	
$a : c =$	$\sim 95 15,5$	$95 7$
$c : r' = 137 53$	$137 54$	$137 58$
$a : r' =$	$\sim 126 52$	$127 20$
$q : r' = 124 43$	$125 9$	
$p : r' = 115 40$	$115 8$	

Prismatisch nach  $p$ , oder  $p$  und  $q$  herrschend, oder tafelartig nach  $r'$ . Spaltbar nach  $a$  und  $r'$ .

Ebene der optischen Axen  $ac$ ; Doppelbrechung negativ; die Mittellinie gegen Axe  $c$  vorn unter  $94^{\circ} 46'$  geneigt, also der basischen Endfläche nahe parallel;  $2E = 97^{\circ} 21',5$  Roth,  $95^{\circ} 54'$  Gelb,  $92^{\circ} 44'$  Blau.

$2H_a = 64^\circ 29',5$  Roth;  $60^\circ 30'$  Gelb;  $58^\circ 16'$  Blau  
 $2H_o = 123 \quad 3,5$   $124 \quad 11$   $125 \quad 14$   
 wonach  $2V = 60 \quad 24$   $59 \quad 22$   $57 \quad 28$   
 und  $\beta = 1,4939$   $1,4988$   $1,5049$   
 Vrb a: Groth Ztschr. 5, 398. — Hirschwald: Ann. Ch. Ph. 196, 330.

**Durol.**  $C^{10}H^{14}$ .

Zwei- und eingliedrig.  $a : b : c = 2,4609 : 4 : 1,9975$  Henniges.  
 $o = 64^\circ 33'$ .

$o', r', a, c.$	Berechnet	Beobachtet
$o' : o' =$	$57^\circ 3'$	
$a : c =$		$115^\circ 27'$
$r' =$		$112 \quad 56$
$c : r' =$	$131 \quad 37$	$131 \quad 42$
$o' : a =$		$100 \quad 43$
$r' =$	$118 \quad 34,5$	$118 \quad 28$

Prismatisch nach der Verticalzone. Zwillinge nach  $a$ . Spaltbar nach  $a$ , weniger nach  $r'$ .

Ebene der optischen Axen  $ac$ ; die zweite Mittellinie ist (vorn) unter  $90^\circ 54'$  (für Gelb) gegen die Axe  $c$  geneigt.  $2H = 104^\circ 35$  Roth;  $104^\circ 39'$  Gelb;  $105^\circ 17'$  Grün. Die erste Mittellinie gehört einem Axenwinkel  $2H_a = 98^\circ 30'$  (Gelb) an. Hieraus  $2V_a = 87^\circ 22'$  (Gelb).  $\beta$  berechnet  $= 1,64484$  für Gelb. — Henniges, s. Chinon.

Schmelzpunkt  $79-80^\circ$ .

**Erythrit** (Erythroglucin).  $C^4H^{10}O^4$ .

Viergliedrig.  $a : c = 1 : 0,3762$  Schabus.

$o, a.$  —  $n = a : \frac{1}{2}a : c.$

	Berechnet	Beobachtet		
		Schabus	Miller	Rammelsberg
$o \left\{ \begin{array}{l} 2A = \\ 2C = 56^\circ 2' \end{array} \right.$		$144^\circ 12'$	$144^\circ 2'$	$144^\circ 10'$
$n \left\{ \begin{array}{l} 2X = 139 \quad 55 \\ 2Y = 152 \quad 0 \\ 2Z = 99 \quad 58 \end{array} \right.$				$152 \quad 18$
$o : a = 109 \quad 24$	$109 \quad 24$			$109 \quad 22$
$n : o = 152 \quad 49$	$152 \quad 48$			$152 \quad 55$
$a = 136 \quad 53$	$136 \quad 36$	$138 \quad 42$		$136 \quad 40$

Der Vierkantner tritt nach dem Gesetz der pyramidalen Homiedrie in Gestalt von zwei Quadratoktaedern dritter Ordnung auf. Kommen beide Hälftflächen zusammen vor, so sind sie durch ihre Grösse verschieden. — Fig. 90 und 94. Grosse starkglänzende Krystalle. — Miller: Ann Ch. Pharm. 68, 79.

Volumgewicht. 1,43 Schröder.

Doppelbrechung stark, negativ.

Des Cloizeaux fand die Brechungsexponenten

$o$	$e$	
1,5449	1,5184	Roth
1,5444	1,5210	Gelb
1,5495	1,5266	Blau.

Fig. 90.

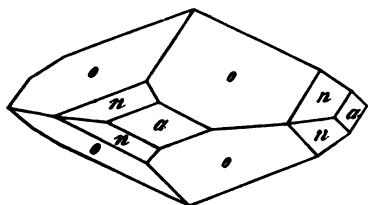
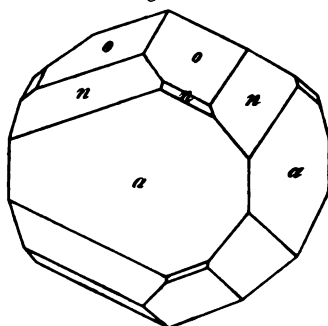


Fig. 91.



**Eulyt.**  $C^6H^6N^4O^7$ .

Zweigliedrig.  $a : b : c = 0,8496 : 1 : 0,8466$  Miller.

$o, p, q, q^2, a, c.$	Berechnet	Beobachtet
$o \left\{ \begin{array}{l} 2A = 118^\circ 16' \\ 2B = 105 \quad 42 \\ 2C = 104 \quad 50 \end{array} \right.$		
$p : p = 99 \quad 48$		
$a =$		$\sim 130^\circ 21'$
$q : q = 99 \quad 30$		
$c =$		$\sim 139 \quad 45$
$q^2 : q^2 = 61 \quad 27$		

Prismatisch nach  $p$ . Glänzend. — Miller: J. Chem. Soc. [2 40, 98.

**Fluoranthren.**  $C^{15}H^{10}$ .

Zwei- und eingliedrig.  $a : b : c = 1,495 : 1 : 1,025$  Groth.  
 $o = 82^\circ 50'.$

$p, r', c.$	Beobachtet
$p : p = 68^\circ;$	
$p : c = 94^\circ;$	
$r' : c = 143\frac{1}{2}^\circ.$	

Sehr dünne Blättchen nach  $c$ , nur approximativ messbar. Spaltbar nach  $c$ .

Optische Axenebene  $ac$ , Mittellinie fast senkrecht auf Fläche  $c$ . Starke Doppelbrechung. — Ztschr. 5, 307.

**Fluorenalkohol.**  $C^{13}H^{10}O$ .

Sechsgliedrig.  $a : c = 1 : 0,63$  Friedländer.

$d, p, c.$	Berechnet	Beobachtet
$d \left\{ \begin{array}{l} 2A = 145^\circ 46' \\ 2C = 72 \quad 8 \end{array} \right.$		
$p : c =$		$\sim 126^\circ 5'$

Sehr dünne Tafeln. — Aeusserst starke positive Doppelbrechung. — Groth Ztschr. 3, 178.

**Fucusin, salpetersaures.**  $C^{15}H^{12}N^2O^3 \cdot HNO^3$ .

Zweigliedrig.  $a : b : c = 0,7209 : 4 : 4,4791$  Miller.

$o, \frac{3}{4}p, r, b.$	Berechnet	Beobachtet
$\left. \begin{array}{l} 2A = \\ 2B = \\ 2C = \end{array} \right\} o$	$78^\circ 40'$	$*136^\circ 42'$ $*119 \quad 48$
$\frac{3}{4}p : \frac{3}{4}p =$	95 58	
$r : r =$	114 2	116

Prismatisch nach  $\frac{3}{4}p$ . — Sehr vollkommen spaltbar nach  $b$ , viel weniger nach  $r$  und  $o$ .

Isomer mit dem Furfurinnitrat. — Miller: Ann. Chem. Pharm. 74, 293.

**Fulminursaures Kali.**  $KC^3H^2N^3O^3$ .

Zwei- und eingliedrig.  $a : b : c = 1,8704 : 4 : 2,3443$  Rammelsberg.  
 $o = 83^\circ 32'$ .

$o^2, p, r, r', a, c.$

	Berechnet	Beobachtet	
		Rammelsberg	Gadolin
$p : p =$		$*56^\circ 34'$	$56^\circ 30'$
$a =$	$118^\circ 17'$	118 48	118 45
$c =$	93 4	93 15	93 40
$a : c =$		$*96 \quad 28$	96 42
$r =$	143 37	143 38	
$r' =$	138 30	138 40	
$c : r =$	132 51	132 50	133 5
$r' =$		$*125 \quad 2$	125 0
$p : r =$	112 25	112 40	112 24
$r' =$	110 47	110 45	110 42
$o^2 : o^2 =$	62 10		
$a =$	118 50		
$c =$	103 47	103 55	
$p =$	169 17	169 26	169 40

Prismatisch nach der Verticalzone, in welcher oft nur  $c$  und  $r'$  erscheinen, deren scharfe Kanten durch  $a$  schief abgestumpft werden. Ein  $o^2$  ist gewöhnlich viel grösser als das andere an demselben Ende.

Farblos, durchsichtig, stark lichtbrechend. Sehr vollkommen spaltbar nach  $c$ .

Ueber das optische Verhalten machte Rood einige Angaben. — Gadolin: J. f. pr. Chem. 66, 368. — Rood: Ann. Chem. Pharm. 95, 291.

**Fulminursaures Ammoniak.**  $NH^4 \cdot C^3H^2N^3O^3$ .

Zwei- und eingliedrig.  $a : b : c = 1,8205 : 4 : 2,4015$  Rammelsberg.  
 $o = 79^\circ 6'$ .

$o, r, r', \frac{r'}{3}, a, c.$

	Berechnet	Beobachtet	
		Rammelsberg	Gadolin
$o : o =$		$74^{\circ} 42'$	$74^{\circ} 47'$
$a : c = 100^{\circ} 54'$		100 45	
$r =$		$146 56$	
$r' =$		$139 0$	139 0
$c : r = 133 58$		133 53	
$r' = 120 6$		120 6	120 40
$a : \frac{r'}{3} = 104 19$			104 10
$c : \frac{r'}{3} = 154 47$		154 45	
$r' : \frac{r'}{3} = 145 19$			
$o : a = 122 37$			
$c = 144 55$			
$r = 127 21$			

Gleich dem vorigen. Nach Gadolin scheint auch ein zweites Paar zu kommen. — S. Kalisalz.

**Fulminursaurer Baryt.**  $Ba \cdot C^6H^4N^6O^6 + 2aq.$

Zwei- und eingliedrig.  $a : b : c = 2,032 : 1 : 2,348$  Rammelsberg.  
 $o = 72^{\circ} 27'.$

$p, q, r, r', c.$	Berechnet	Beobachtet
$p : p =$	$54^{\circ} 36'$	$54^{\circ} 35'$
$c =$	97 57	98 5
$q : q =$	48 0	48 0
$c =$		$114 0$
$r : r' =$	81 21	81 26
$c : r =$		$140 45$
$r' =$		$120 36$
$p : r =$	112 34	112 20
$r' =$	107 49	
$q : r =$	108 22	
$r' =$	104 57	102 6

Prismatisch nach der Verticalzone, in welcher  $r$  und  $r'$  herrschen; die  $q$  sind klein.

Farblos, durchsichtig. Aufgewachsen mit  $r'$ . Glänzend, nur etwas matt.

**Fulminursaurer Strontian.**  $Sr \cdot C^6H^4N^6O^6 + 2aq.$

Zwei- und eingliedrig.  $a : b : c = 2,0625 : 1 : 2,313$  Rammelsberg.  
 $o = 76^{\circ} 11'.$

$p, q, r, r'.$

	Berechnet	Beobachtet
$p : p =$		$^{\circ}53^{\circ} 4'$
$q : q =$	$47^{\circ} 42'$	
$p =$	$440 \ 49$	
$r : r' =$		$^{\circ}82 \ 50$
$p : r =$	$444 \ 22$	$444 \ 20$
$r' =$		$^{\circ}107 \ 35$
$q : r =$	$107 \ 49$	$107 \ 45$
$r' =$	$102 \ 57$	$102 \ 20$

Tafelartig nach  $r'$ .**Fumarsaures Ammoniak.**Zweifach.  $\text{NH}^4 \cdot \text{C}^4 \text{H}^3 \text{O}^4$ .Zwei- und eingliedrig.  $a : b : c = 4,4303 : 4 : 0,4299$  Pasteur  
 $\alpha = 86^{\circ} 54'$ .

$\alpha', p, a, c$ .	Berechnet	Beobachtet
$\alpha' : \alpha' =$		$^{\circ}132^{\circ} 52'$
$p : p =$		$^{\circ}70 \ 0$
$c =$	$91^{\circ} 48'$	
$a : c =$		$^{\circ}93 \ 9$
$\alpha' : a =$	$102 \ 44$	
$c =$	$151 \ 59$	
$p =$	$146 \ 13$	

Pasteur: Ann. Chim. Phys. (3) 31, 91.

**Furfurin.  $\text{C}^{15} \text{H}^{12} \text{N}^2 \text{O}^3$ .**Zweigliedrig.  $a : b = 0,882 : 4$  Dauber.Rhombische Prismen  $p$  von  $97^{\circ} 10'$  mit Abstumpfung der sechs Kanten  $b$  und der Endfläche  $c$ .Spaltbar nach  $b$ . — Ann. Chem. Pharm. 74, 204.**Furfurin, salpetersaures.  $\text{C}^{15} \text{H}^{11} \text{N}^2 \text{O}^3 \cdot \text{HNO}^3$ .**Zweigliedrig.  $a : b : c = 0,8141 : 4 : 0,3515$  Miller.

$\alpha, \frac{1}{2}p, \frac{2}{3}p, q, a, b$ .	Berechnet	Beobachtet
$\alpha \left\{ \begin{array}{l} 2A = \\ 2B = \\ 2C = \end{array} \right.$	$135^{\circ} 48'$ $58 \ 44$	$^{\circ}144^{\circ} 16'$
$\frac{1}{2}p : \frac{1}{2}p =$	$85 \ 18$	$84 \ 20$
$a =$	$132 \ 39$	$132 \ 40$
$\frac{2}{3}p : \frac{2}{3}p =$	$44 \ 32$	
$a =$	$112 \ 45$	$114 \ 20$
$q : q =$	$141 \ 16$	$141 \ 20$
$b =$	$109 \ 22$	$109 \ 20$
$\alpha : a =$		$^{\circ}112 \ 21$
$b =$	$107 \ 52$	
$q =$	$157 \ 39$	



Prismatisch nach der Horizontalzone, tafelartig nach  $a$ .

Spaltbar sehr vollkommen nach  $a$ , weniger nach  $b$  und  $^2p$ . — Miller: n. Chem. Pharm. 74, 293.

**Furfurin, überchlorsaures.**  $C^{15}H^{11}N^2O^3 \cdot HClO^4 + aq.$

Zweigliedrig.  $a : b : c = 0,7337 : 1 : 0,4787$  Dauber.

$^1p, q, a.$	Berechnet	Beobachtet
$p : p =$		$^*407^\circ 28'$
$a = 143^\circ 44'$		
$q : q = 128 \ 50$		
$p =$		$^*404 \ 48$

Prismatisch nach  $p$ . Spaltbar nach  $b$ . — Dauber: Ann. Chem. arm. 74, 67.

**Gallussäure.**  $C^7H^6O^5 + aq.$

Breite sechsseitige Prismen, spaltbar nach der Endfläche. — Wacken-der: J. f. p. Ch. 23, 209.

Nach Brooke wären es eingliedrige Formen, an denen  $p : p' = 96^\circ$ ,  $a = 116^\circ$ ,  $p' : a = 160^\circ$ ,  $q : q' = 116^\circ$ ,  $q : p = 150^\circ$ ,  $q' : p' = 125\frac{1}{2}^\circ$ . n. Phil. 22, 449.

Waren diese Krystalle Gallussäure oder Pyrogallussäure?

Volumgewicht. 1,685—1,703 Schröder.

**Glutaminsäure, chlorwasserstoffsäure.**  $C^5H^9NO^4 \cdot HCl.$

Zweigliedrig.  $a : b : c = 0,4436 : 1 : 0,3865$  Becker.

$o, p, ^2p, q, r, a, b.$	Berechnet	Beobachtet
$\left\{ \begin{array}{l} 2A \\ 2B \\ 2C \end{array} \right.$	$\left\{ \begin{array}{l} = 147^\circ 30' \\ = 101 \ 48 \\ = 87 \ 46 \end{array} \right.$	
$p : p =$	$132 \ 10$	
$a =$		$^*156^\circ \ 5'$
$^2p : ^2p =$	$96 \ 50$	
$a =$	$138 \ 25$	$138 \ 25$
$q : q =$		$^*137 \ 44$
$r : r =$	$99 \ 52$	
$p : q =$	$98 \ 25$	$98 \ 33$
$r =$	$126 \ 54$	$127 \ 0$
$q : r =$	$134 \ 42$	$134 \ 28$
$o : a =$	$129 \ 6$	$129 \ 17$
$p =$	$133 \ 38$	$133 \ 46$

Prismatisch und tafelartig nach  $b$ , spaltbar nach  $a$ .

Optische Axenebene  $bc$ , Mittellinie  $b$  positiv:  $2H = 76^\circ,6$  Roth,  $^2,2$  Grün. — Groth Ztschr. 5, 366.

**Glyceraminsäure** s. Serin.

**Glycerin.  $C^3H^8O^3$ .**Zweiglig.  $a : b : c = 0,702 : 1 : 0,655$  Lang. $o, q, r, b$ .

	Berechnet	Beobachtet
$o \left\{ \begin{array}{l} 2A = 128^\circ 48' \\ 2B = 104 \quad 0 \\ 2C = 97 \quad 34 \end{array} \right.$		
$q : q =$		$^*113^\circ 30'$
$b = 123 \quad 15$		123
$r : r = 93 \quad 56$		
$o : q =$		$^*142 \quad 0$
$r = 154 \quad 24$		154
$b = 145 \quad 36$		

Prismatisch nach  $q$ . Kleine Krystalle zeigen nur  $q$  und  $o$ , letzteres als Tetraeder. Spaltbar nach  $a$ .

Ebene der optischen Axen  $ab$ . — Pogg. A. 152, 637.Schmelzpunkt.  $7^\circ, 2$  Crookes,  $45^\circ, 5$  Roos,  $20^\circ$  Nitsche.

Volumgewicht. 1,2636 Mendelejew; 1,2645 Landolt.

Volumgewicht der Lösungen. Fabian: Dingl. J. 455, 345. — Erstarrung. Mulder: Jahresb. 1863, 501. — Vgl. Schweickert: Ztschr. anal. Ch. 8, 542. — Metz: Dingl. J. 197, 460.

Siedepunkt.  $290^\circ$  (759,7mm) Mendelejew;  $290^\circ$  (756,5mm) Oppenheim.

Wärmeleitung. Guthrie: Phil. Mag. (4) 35, 283. 37, 468. — Winkelmann: Pogg. A. 453, 481.

Wärme beim Verdünnen der Lösung. — Favre: C. r. 54, 346.

Optisches Verhalten des Glycerins und seiner Lösung. Wüllner: Pogg. A. 133, 4.

Landolt bestimmte die Brechungsexponenten des reinen Gl. Ebend. 432, 558. Desgl. Listing: Eb. 437, 489.

Aenderung der Dispersion durch die T. — Baille: Eb. 432, 319.

**Glycin (Glycocol).  $C^2H^5NO^2$ .**Zwei- und eingliedrig.  $a : b : c = 0,8426 : 1 : 0,4533$  Schabus.  
 $o = 68^\circ 20'$ .

$p, p^2, q, b$ .	Berechnet	Beobachtet	
	Schabus	Nickles	Keferstein
$p : p =$	$^*103^\circ 52'$		$102^\circ 53'$
$b = 128^\circ 4'$	128 4		
$p^2 : p^2 = 137 \quad 14$		$137^\circ$	$133 \quad 23$
$b = 111 \quad 23$	111 30	$110 \quad 38'$	
$q : q = 134 \quad 16$		$130 \quad 55$	$133 \quad 44$
$b =$	$^*112 \quad 52$	$113 \quad 30$	
$p = 104 \quad 4$			
$p^2 = 98 \quad 9$			

Prismatisch nach der Horizontalzone.

Die  $p$  sind an grösseren Krystallen stark gekrümmt. Keferstein beachtete ausserdem ein anderes erstes Paar.

Sehr vollkommen spaltbar nach  $b$ . — Nicklès: Laurent, Gerh. r. d. trav. chim. 1849 Octbre. — Keferstein: Pogg. A. 99, 288.

**Glycin, chlorwasserstoffsäures.**  $2(C^2H^5NO^2 + HCl) + aq$ .

Zweigliedrig.  $a : b : c = 0,2783 : 1 : 0,9004$  Schabus.

$o, p, {}^2p, q, \frac{q}{2}, a, b$ .

	Berechnet	Beobachtet	
		Schabus	Nicklès
$o \left\{ \begin{array}{l} 2A = 150^\circ 12' \\ 2B = 45 \quad 12 \\ 2C = 146 \quad 50 \end{array} \right.$			
$p : p = 148 \quad 54$		149° 0'	
$b = 105 \quad 33$		105 30	
${}^2p : {}^2p = 121 \quad 48$		121 50	118° 40'
$b =$		*119 6	120 5
$q : q = 96 \quad 0$		95 52	95 0
$b = 132 \quad 0$		132 4	132 0
$\frac{q}{2} : \frac{q}{2} =$		*131 32	
$b = 114 \quad 14$		114 10	113 0

Die  $o$  sind selten vollzählig, und wenn dies der Fall, erscheint eine traedrische Hälfte grösser als die andere.

Das rechte Tetraeder ist glatt: die Prismenflächen sind oft gekrümmt.

Tafelartig nach  $b$ . — Ausgezeichnet spaltbar nach  $\frac{q}{2}$ , weniger nach  $a$  und  $b$ . — S. vorher.

Ebene der optischen Axen =  $bc$ , Mittellinie =  $b$ . negativ.  $2E = 62^\circ 40'$  bl.,  $66^\circ 50'$  Blau. — Lang: Wien. Ak. Ber. 31.

**Glycin, oxalsäures.**  $(C^2H^5NO^{22} \cdot C^2H^2O^4)$ .

Zwei- und eingliedrig.  $a : b : c = 1,449 : 1 : 0,501$  Loschmidt.  
 $o = 71^\circ 58'$ .

$o, p, {}^2p, a, c$ .	Berechnet	Beobachtet
$o : o = 136^\circ 58'$		137° 20'
$p : p =$		*84 56
$c =$		*102 4
${}^2p : {}^2p = 49 \quad 12$		
$p = 162 \quad 8$		162 10
$a : c = 108 \quad 2$		108 2
$o : a = 125 \quad 2$		125 4
$c =$		*150 55
$p = 131 \quad 9$		131 10

Prismatisch nach  $p$ .

$p$  vertical gestreift. Wenig spaltbar nach  $c$ .

Nicklès beschrieb zweigliedrige Formen dieses Salzes:  $p:p = 452^\circ 40'$ ;  $\frac{q}{2}:b = 443^\circ 40'$ ;  $q:b = 432^\circ$ ;  $p:q = 404^\circ 55'$ . — Loschmidt: Wien. Ak. Ber. 54. — Nicklès: s. oben.

**Glycin, salpetersaures.**  $C^2H^5NO^2 \cdot HNO^3$ .

Zweigliedrig.  $a:b:c = 0,7499:1:0,6776$  Loschmidt.

$o, p, \frac{q}{2}, a, b$ .

	Berechnet	Beobachtet	
		Loschmidt	Nicklès
$o \begin{cases} 2A = 126^\circ 16' \\ 2B = 105 \quad 40 \\ 2C = \end{cases}$		$*97^\circ 44'$	
$p:p = 106 \quad 16$			
$b = 126 \quad 52$		127   0	$126^\circ 45'$
$\frac{q}{2}:\frac{q}{2} = 142 \quad 34$			142   30
$b = 108 \quad 43$		109   8	106   20
$o:a = 127 \quad 40$		127   28	
$b =$		*146   52	
$\frac{q}{2} = 118 \quad 20$		118   30	

Rechtwinklige Prismen mit herrschendem  $b$ ; von  $p$  ist meist nur eine Fläche vorhanden.

Vollkommen spaltbar nach  $a$ . — A. a. O.

**Glycin, schwefelsaures.**  $(C^2H^5NO^2)_2H^2SO^4$ .

Zweigliedrig.  $a:b:c = 0,7045:1:0,3805$  Nicklès.

$p, q, a, b$ .

	Berechnet	Beobachtet
$p:p = 109^\circ 40'$		$110^\circ 30'$
$a = 144 \quad 50$		145   0
$b =$		125   10
$q:q =$		*138   20
$p = 104 \quad 49$		

S. oben.

**Glycolsäure.**  $C^2H^4O^3$ .

Zwei- und eingliedrig.  $a:b:c = 1,77:1:1,34$  Groth.  
 $o = 65^\circ$ .

$p, q, b$ .

	Beobachtet
$p:b = 148^\circ$ ; $q:b = 140\frac{1}{2}^\circ$ .	

Winkel  $o$  wurde mikroskopisch bestimmt.

Sehr zerfliessliche rhomboidische Tafeln  $b$ , an deren Rand  $p$  und  $q$  nur auf einer Seite vorhanden sind, da die Parallele von  $b$  die Aufwachungsfläche ist. — Ztschr. 5, 308.

Das Bleisalz wird von Drechsel als zwei- und eingliedrig beschrieben:  $p:p = 78^\circ 6'$ ,  $p:c = 94^\circ 40'$ ,  $a:c = 97^\circ 24'$ . — Ann. Ch. Pharm. 127, 150.

**Glycosamin, chlorwasserstoffsäures.**  $C^6H^{13}NO^5 \cdot HCl$ .

Zwei- und eingliedrig.  $a : b : c = 4,623 : 1 : 0,7684$  Bucking.  
 $\alpha = 85^\circ 35'$ .

$o, o', r', a.$	Berechnet	Beobachtet
$o : o =$		$112^\circ 8'$
$r' =$		$121 47$
$o' : o' = 108^\circ 56'$		
$r' =$		$144 28$
$a : r' = 111 40$		$111 39$
$o : a = 113 38$		$114 32$
$o' : a = 107 31$		$107 50$

Das rechte  $o'$  ist viel grösser als das linke, oder das linke  $o$  grösser als das rechte, oder  $o'$  tritt nur rechts,  $o$  nur links an der Axe  $b$  auf (in welchem Fall  $r'$  fehlt).

Spaltbar nach  $a$ .

Ebene der optischen Axen  $ac$ , Mittellinie negativ, mit Kante  $ac$  um  $40^\circ$  machend;  $2H_a$  für Gelb  $= 73^\circ 48'$ ;  $\rho > v$ . — Groth Ztschr. 4, 304.

**Guanidin, kohlensäures.**  $(CH^5N^3H^2CO^3)$ .

Viergliedrig-hemiedrisch.  $a : c = 1 : 0,99$  Bodewig.

$o, o^2, a, c.$	Berechnet	Beobachtet
$o \begin{cases} 2A = \\ 2C = 108^\circ 59' \end{cases}$		$109^\circ 43'$ $109 6$
$o^2 \begin{cases} 2A = 96 26 \\ 2C = 140 54 \end{cases}$		$141 44$
$o : a = 125 9$		
$c = 125 30$		
$o^2 : a = 134 47$		
$c = 109 33$		
$o = 164 2$		$163 54$

Ausserdem unmessbare kleine Flächen eines rechten Quadrattrapezieders.

Optisches. Negativ. Die Brechungsexponenten sind

	$o$	$c$
Li-Roth	1,4922	1,4818
Na-Gelb	1,4963	1,4864
Tl-Grün	1,5003	1,4899

Circularpolarisation. Die meisten Krystalle sind rechtsdrehend. Bodewig bestimmte die Grösse der Drehung. — Pogg. A. 157, 122. — Vgl. Groth: Phys. Kryst. 492.

Volumengewicht. 1,238—1,251 Schröder.

**Guanidin, schwefelsäures.**  $2[CH^5N^3H^2SO^4] + aq.$

Regulär. Oktaeder und Granatoeder.

Einfachbrechend. — Bodewig: a. a. O. 425.

**Guanidin, milchsaures.**  $\text{CH}_5\text{N}^3 \cdot \text{C}^3\text{H}^6\text{O}^3$ .Zweigliedrig.  $a : b : c = 0,7743 : 1 : 0,7304$  Bodewig.

$o, p, p^2, q^2, b.$	Berechnet	Beobachtet
$o \left\{ \begin{array}{l} 2A = \\ 2B = 105^\circ 26' \\ 2C = 100 \quad 2 \end{array} \right.$		$124^\circ 3'$ 105 15
$p : p = 104 \quad 30$		104 32
$b = 127 \quad 45$		127 43
$p^2 : p^2 = 137 \quad 40$		137 19
$b = 111 \quad 40$		
$q^2 : q^2 = 68 \quad 50$		
$b = 145 \quad 35$		145 25
$o : b = 117 \quad 59$		118 0
$p =$		140 4

Prismatisch nach der Axe  $c$ .Unvollkommen spaltbar nach  $c$  und  $b$ .Optische Axenebene =  $bc$ ; positiv; Mittellinie =  $b$ .

	$2H_a$	$2H_o$	woraus $2V$
Li-Roth	$84^\circ 28'$	$108^\circ 25'$	$79^\circ 18'$
Na-Gelb	$84 \quad 20$	$108 \quad 29$	$79 \quad 12$
Tl-Grün	$84 \quad 8$	$108 \quad 34$	$79 \quad 4$

Doppelbrechung sehr stark. — A. a. O.

**Gurjunharz.**

Eingliedrig. — Bücking: Groth Ztschr. 4, 390.

**Haematoxylin.**  $\text{C}^{16}\text{H}^{14}\text{O}^6 + 3\text{aq.}$ Viergliedrig (?).  $a : c = 0,6277$  Kopp.

$o, a.$	Berechnet	Beobachtet
$o \left\{ \begin{array}{l} 2A = \\ 2C = 83^\circ 12' \end{array} \right.$		$124^\circ 0'$
$o : a = 118 \quad 0$		

Auch das erste stumpfere Oktaeder kommt untergeordnet vor.

Früher beschrieb Teschemacher Combinationen dreier Quadratoktaeder und eines herrschenden Prismas gleicher Ordnung, an denen die Flächen des letzteren gegen jene unter  $116^\circ 15'$ ,  $118^\circ 45'$  und  $122^\circ 10'$  geneigt sein sollen.

Andererseits wären es nach E. Wolff rechtwinklig vierseitige Prismen mit gerader Abstumpfung der Kanten (also quadratische Prismen und einer augitartigen Zuschärfung.

Naumann fand alle Flächen, ausser der Endfläche, stark gekrümmt. Er hält die Krystalle für zweigliedrig-hemiedrisch, Combinationen eines Rhombentetraeders, eines dritten Paares und der Endfläche, und die optische Prüfung bestätigte diese Annahme. — Kopp: Krystallogr. S. 167. — Naumann: J. f. pr. Chem. 75, 220. — Teschemacher: Phil. Mag. and Ann. 3, 28 (Pogg. Ann. 42, 526). — E. Wolff: J. f. pr. Ch. 26, 193.

Die Lösung ist rechtsdrehend. — Wilhelmy: Pogg. A. 81, 527.

**Harmalin.**  $C^{13}H^{14}N^2O$ .Zweiglig.  $a : b : c = 0,7846 : 1 : 0,5543$  N. Nordenskiöld. $o, r, a, b.$ 

	Berechnet	Beobachtet
$o \begin{cases} 2A = \\ 2B = \\ 2C = \end{cases}$		$*134^\circ 48'$ $*146 \quad 34$
$r : r =$	$109 \quad 32$	

 $o$  herrschend. — Nordenskiöld: J. f. pr. Chem. 44, 44.**Harmin.**  $C^{13}H^{12}N^2O$ .Zwei- und eingliedrig.  $a : b : c = 2,0594 : 1 : 0,6007$  Schabus. $o = 73^\circ 9', 5.$  $o', p, r, c.$ 

	Berechnet	Beobachtet	
		Schabus	Nordenskiöld.
$o' : o' =$	$118^\circ 0'$		
$p : p =$		$*53^\circ 48'$	$55^\circ 42'$
$c =$		$*97 \quad 32$	
$r =$	$103 \quad 35$		
$c : r =$	$165 \quad 34$	$165 \quad 32$	
$o' : c =$		$*145 \quad 5$	
$p =$	$117 \quad 23$	$117 \quad 23$	

Prismatisch nach  $p$ . In der Endigung herrscht  $c$  oder  $r$ .

Farblos, durchsichtig, stark glänzend. — Nordenskiöld: Bull. étersb. 6, 242.

**Harnstoff.**  $CH^4N^2O$ .Viergliedrig.  $a : c = 1 : 0,843$  Werther. $o, p, c.$ 

	Berechnet	Beobachtet	
		Werther	Schabus
$o \begin{cases} 2A = \\ 2C = \end{cases}$	$115^\circ 30'$		
$o : p =$	$139 \quad 0$	$*98^\circ 0'$	
$c =$	$131 \quad 0$		$140^\circ 4'$

 $o$  erscheint als Tetraeder; ausserdem sind die Krystalle hemimorph, isofern die Endfläche nur an einem Ende vorkommt. Spaltbar nach  $p$  und  $c$ . — Werther: J. f. pr. Ch. 35, 51.

Doppelbrechung positiv.

Volumgewicht. 4,30 Boedecker; 4,35 Proust; 4,323 Schröder.

Brechungsexponent der Lösung Glad: J. Ch. Soc. (2) 8, 404. 447.

Wärmeleitung der Krystalle Lang: Wien. Ak. Ber. 54 (Pogg. A. 35, 29).

Gehalt und V. G. der Lösungen Schmidt: Pogg. A. 114, 354.

V. G. und Brechungsverhältnisse derselben Gladstone: J. Ch. oc. (2) 8.

**Harnstoff, äpfelsaurer.**  $CH^4N^2O \cdot C^4H^6O^5$ .Zwei- und eingliedrig.  $a : b : c = 1,7113 : 1 : 1,5632$  Loschmidt. $o = 74^\circ 50'.$

$o', p^2, r, a, c.$	Berechnet	Beobachtet
$o' : o' =$		$^*75^\circ 20'$
$p^2 : p^2 = 100^\circ 54'$		
$a = 140 \quad 27$		140 20
$a : c = 105 \quad 10$		105 20
$r =$		$^*144 \quad 20$
$c : r = 143 \quad 50$		
$o' : a =$		$^*110 \quad 0$
$c = 113 \quad 32$		113 4

Tafelartig nach  $a$ ;  $r$  ist oft sehr ausgedehnt, während  $c$  fehlt; dem seltenen  $p^2$  erscheint öfter eine Fläche. Stark glänzend. — Wien. Ber. 52.

**Harnstoff, bernsteinsaurer.**  $(\text{CH}^4\text{N}^2\text{O})^2 \cdot \text{C}^4\text{H}^4\text{O}^3 + \text{aq.}$

Zwei- und eingliedrig.  $a : b : c = 1,483 : 1 : 1,3646$  Loschmidt  
 $o = 83^\circ 28'.$

$s' = 2a' : b : c. - p, p^2, r', a, c.$	Berechnet	Beobachtet
$p : p =$		$^*68^\circ 20'$
$a = 124^\circ 40'$		
$p^2 : p^2 = 107 \quad 14$		
$a = 143 \quad 37$		
$p = 160 \quad 33$		160 20
$a : c =$		$^*96 \quad 32$
$r' =$		$^*129 \quad 4$
$c : r' = 134 \quad 24$		
$s' : s' = 75 \quad 38$		75 30
$a = 104 \quad 38$		104 30
$c = 123 \quad 21$		123 15

Prismatisch nach  $p$ . In der Endigung herrscht  $s'$ ;  $c$  ist selten u klein; die Endflächen sind oft unvollzählig und nie findet man beide End übereinstimmend ausgebildet. — A. a. O.

**Harnstoff, citronensaurer.**  $(\text{CH}^4\text{N}^2\text{O})^2 \cdot \text{C}^6\text{H}^8\text{O}^7.$

Eingliedrig.  $a : b : c = 1,0986 : 1 : 0,94407$  Loschmidt.

$A = 74^\circ 56'$	$\alpha = 74^\circ 24'$
$B = 93 \quad 20$	$\beta = 95 \quad 16$
$C = 83 \quad 20$	$\gamma = 82 \quad 14$

$o, ^2p, \frac{r'}{2}, a, b, c.$	Berechnet	Beobachtet
$a : b =$		$^*83^\circ 20'$
$^2p = 155^\circ 16'$		155 40
$b : ^2p = 108 \quad 4$		
$b : c =$		$^*74 \quad 56$
$a : c =$		$^*93 \quad 20$
$\frac{r'}{2} = 115 \quad 29$		114 0
$c : \frac{r'}{2} = 151 \quad 11$		



	Beobachtet	Berechnet
$o : a =$		$^{*}119^{\circ} 40'$
$b = 116^{\circ} 3'$		$116 \quad 0$
$c =$		$^{*}121 \quad 26$

Prismatisch nach der Horizontalzone,  $a$  herrschend; in der Endigung und  $o$ . Vollkommen spaltbar nach  $c$ .

**Harnstoff, fumarsaurer.**  $(CH^4N^2O)^2 \cdot C^4H^4O^4$ .

Zwei- und eingliedrig.  $a : b : c = 1,5877 : 1 : 1,3688$  Loschmidt.  
 $o = 71^{\circ} 46'$ .

$p, p^2, q, a.$	Berechnet	Beobachtet
$p : p =$		$^{*}67^{\circ} 6'$
$a = 123^{\circ} 33$		
$q^2 : p^2 = 105 \quad 42$		
$a = 142 \quad 51$		
$p = 160 \quad 42$		$160 \quad 40$
$q : q =$		$^{*}75 \quad 8$
$p = 140 \quad 0$		$139 \quad 22$
$a =$		$^{*}101 \quad 0$

Prismatisch nach  $p$ , tafelartig nach  $a$ .

**Harnstoff, gallussaurer.**  $CH^4N^2O \cdot C^7H^6O^5$ .

Zwei- und eingliedrig.  $a : b : c = 1,995 : 1 : 1,0005$  Rammelsberg.  
 $o = 80^{\circ} 54'$ .

$o, o', p^2, r', a, b.$	Berechnet	Beobachtet	
		Rammelsb.	Loschmidt
$o : o = 100^{\circ} 20'$		$99^{\circ} 50'$	
$o' : o' =$		$^{*}93 \quad 16$	$93^{\circ} 28'$
$o : o' = 148 \quad 18$			
$o : o' = 96 \quad 4$			
$p^2 : p^2 =$		$^{*}90 \quad 52$	$91 \quad 4$
$a = 135 \quad 26$		$135 \quad 23$	
$b = 134 \quad 34$		$134 \quad 40$	
$a : r' =$		$^{*}109 \quad 15$	
$o : a = 145 \quad 20$			
$b = 129 \quad 50$			
$o' : a = 103 \quad 52$			
$b = 133 \quad 22$		$133 \quad 30$	
$r' = 136 \quad 38$		$136 \quad 36$	$136 \quad 40$

Prismatisch nach  $p^2$ . Die Flächen  $a, b, r'$  sind schmal.

Die Oktaidflächen sind meist unvollzählig, gekrümmt, unterbrochen.

**Harnstoff, maleinsaurer** (zweifach).  $CH^4N^2O \cdot C^4H^4O^4$ .

Zwei- und eingliedrig.  $a : b : c = 0,6499 : 1 : 0,4095$  Loschmidt.  
 $o = 89^{\circ} 20'$ .

$u = \frac{1}{2}a : \frac{1}{2}b : c. — o', q, r^2, b.$

	Berechnet	Beobachtet
$o' : o' =$		$\ast 442^{\circ} 20'$
$q : q = 435^{\circ} 28'$		
$b =$		$\ast 412 \ 46$
$r^2 =$		$\ast 424 \ 20$
$o : b = 408 \ 50$		
$u : u = 37 \ 28$		
$b = 464 \ 46$		461

Prismatisch nach  $q$ ,  $b$ ,  $r^2$ . Die eine Kante  $b r^2$  wird abgestumpft durch  $u$ ;  $o'$  ist selten. Spaltbar nach  $q$ .

Die 2 Mol. Harnstoff enthaltende Verbindung krystallisirt schwierig in zwei- und eingliedrigen Prismen  $ab$ , deren Kanten durch ein stark gestreiftes  $p$  ( $p : b = 409^{\circ}$ ) schwach abgestumpft sind, während eine Fläche  $r$  (Spaltungsfläche) auf  $a$  aufgesetzt ist ( $a : r = 120^{\circ}$ ).

#### Harnstoff, oxalsaurer. $\text{CH}_4\text{N}_2\text{O} \cdot \text{C}_2\text{H}_2\text{O}_4$ .

Zwei- und eingliedrig.  $a : b : c = 0,56445 : 1 : 0,44062$  Loschmidt  
 $\alpha = 82^{\circ} 40'$ .

$o', p, 2p, q, 2r', b, c.$	Berechnet	Beobachtet
$o' : o' =$	$444^{\circ} 40'$	
$p : p =$	$124 \ 36$	
$b =$		$\ast 419^{\circ} 42'$
$c =$	$96 \ 50$	97
$2p : 2p =$	$83 \ 38$	
$b =$	$438 \ 44$	438
$p =$	$464 \ 4$	461
$c =$	$95 \ 43$	$95 \ 20$
$q : q =$	$435 \ 44$	
$b =$	$442 \ 8$	$442 \ 46$
$c =$	$457 \ 52$	$457 \ 50$
$2p =$	$441 \ 24$	$441 \ 28$
$c : 2r' =$		$\ast 419 \ 4$
$2r' : p =$		$\ast 434 \ 46$
$q =$	$446 \ 45$	$446 \ 48$
$o' : b =$	$409 \ 25$	$409 \ 8$
$c =$	$437 \ 25$	$437 \ 48$
$p =$	$425 \ 45$	
$q =$	$443 \ 50$	$443 \ 40$

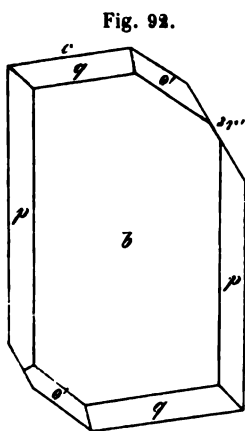


Fig. 92.

Fig. 92. — Die Flächen  $c$  und  $2r'$  sind selten. — Meist tafelartig nach  $b$ .  
 — Sehr vollkommen spaltbar nach  $2r'$ . — Wien. Ak. Ber. 54.

#### Harnstoff, parabansaurer. $\text{CH}_4\text{N}_2\text{O} \cdot \text{C}_3\text{H}_2\text{N}_2\text{O}_3$ .

Zweigliedrig.  $a : b : c = 0,7888 : 1 : 0,9864$  Loschmidt.

$p, q, b.$	Berechnet	Beobachtet
$p : p =$	$403^{\circ} 28'$	
$b =$		$\ast 128^{\circ} 46'$

	Berechnet	Beobachtet
$q : q =$	$90^{\circ} 48'$	
$b =$		$-134^{\circ} 36'$
$p =$	$115 \ 45$	$115 \ 30$

Tafelartig nach  $b$ .**Harnstoff, salpetersaurer.**  $\text{CH}_4\text{N}_2\text{O} \cdot \text{HNO}_3$ .Zweigligdrig.  $a : b : c = 0,8034 : 1 : 0,6949$  Marignac.

$a, p, b, c$ .	Berechnet	Marignac	Beobachtet Lang
$o \left\{ \begin{array}{l} 2A = \\ 2B = 70^{\circ} 48' \\ 2C = \end{array} \right.$		$-132^{\circ} 30'$	
$p : p =$	$102 \ 28$	$-92 \ 24$	
$o : b =$	$113 \ 45$		$114^{\circ} 26'$
$c =$	$133 \ 48$		$133 \ 30$
$p =$	$136 \ 42$		$136 \ 40$

Nach Lang erscheint  $o$  partialflächig oder hemiedrisch.

Optisches Verhalten. Lang. — Marignac: Réch. sur les form. crist. Genève 1875. — Lang: Wien. Ak. Ber. 45, 118.

**Harnstoff, weinsaurer.**  $(\text{CH}_4\text{N}_2\text{O})_2 \cdot \text{C}_4\text{H}_6\text{O}_6$ .Zweigligdrig.  $a : b : c = 0,7097 : 1 : 0,694$  Loschmidt.

$o, p, r, a, b$ :	Berechnet	Beobachtet
$o \left\{ \begin{array}{l} 2A = 127^{\circ} 20' \\ 2B = 102 \ 38 \\ 2C = 106 \ 6 \end{array} \right.$		
$p : p =$		$-109^{\circ} 16'$
$a =$	$144 \ 38$	
$r : r =$		$-91 \ 22$
$p =$	$124 \ 40$	$124 \ 40$
$o : p =$	$140 \ 3$	$140 \ 4$
$r =$	$153 \ 40$	$154 \ 42$

Prismatisch nach  $p$ ; tafelartig nach  $b$ . Die  $o$  sind nie vollzählig.**Harnstoff-Chlornatrium.**  $(\text{CH}_4\text{N}_2\text{O} \cdot \text{NaCl}) + \text{aq}$ .Zwei- und eingligdrig.  $a : b : c = 0,3739 : 1 : 0,2975$  Werther. $o = 89^{\circ} 24'$ .

$p, q, r, r', 2r', b$ .	Berechnet	Beobachtet
$p : p =$		$-139^{\circ} 0'$
$q : q =$	$146^{\circ} 52'$	$146 \ 0$
$b =$	$106 \ 34$	$107 \ 0$
$r : r' =$		$-103 \ 0$
$p =$		$-126 \ 0$
$r' : p =$	$125 \ 20$	
$r : 2r' =$	$98 \ 17$	$103 \ 0$
$r' : 2r' =$	$158 \ 43$	

	Berechnet	Beobachtet
$o' : o' =$		$\sim 142^\circ 20'$
$q : q = 135^\circ 28'$		
$b =$		$\sim 112 \quad 16$
$r^2 =$		$\sim 124 \quad 20$
$o : b = 108 \quad 50$		
$u : u = 37 \quad 28$		
$b = 161 \quad 16$		161

Prismatisch nach  $q, b, r^2$ . Die eine Kante  $br^2$  wird abgestumpft durch  $u$ ;  $o'$  ist selten. Spaltbar nach  $q$ .

Die 2 Mol. Harnstoff enthaltende Verbindung krystallisiert schwierig in zwei- und eingliedigen Prismen  $ab$ , deren Kanten durch ein stark gestreiftes  $p$  ( $p : b = 109^\circ$ ) schwach abgestumpft sind, während eine Endfläche  $r$  (Spaltungsfläche auf  $a$  aufgesetzt ist  $a : r = 120^\circ$ ).

#### Harnstoff, oxalsaurer. $\text{CH}_4\text{N}_2\text{O} \cdot \text{C}^2\text{H}_2\text{O}^4$ .

Zwei- und eingliedrig.  $a : b : c = 0.56415 : 1 : 0.44062$  Loschmidt.  
 $o = 82^\circ 10'$ .

$o', p, 2p, q, 2r', b, c$ .

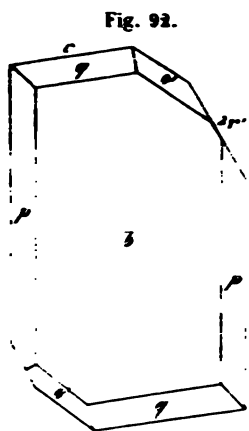


Fig. 92.

	Berechnet	Beobachtet
$o' : o' = 141^\circ 10'$		
$p : p = 121 \quad 36$		
$b =$		$\sim 119^\circ 12'$
$c = 96 \quad 50$		97
$2p : 2p = 83 \quad 38$		
$b = 138 \quad 44$		138
$p = 161 \quad 4$		161
$c = 95 \quad 13$		95 20
$q : q = 135 \quad 44$		
$b = 112 \quad 8$		112 16
$c = 157 \quad 52$		157 50
$2p = 111 \quad 24$		111 28
$c : 2r' =$		$\sim 119 \quad 4$
$2r' : p =$		$\sim 134 \quad 16$
$q = 116 \quad 45$		116 48
$o' : b = 109 \quad 25$		109 8
$c = 137 \quad 25$		137 18
$p = 125 \quad 45$		
$q = 143 \quad 50$		143 40

Fig. 92. — Die Flächen  $c$  und  $2r'$  sind selten. — Meist tafelartig nach  $b$ .  
— Sehr vollkommen spaltbar nach  $2r'$ . — Wien. Ak. Ber. 51.

#### Harnstoff, parabansaurer. $\text{CH}_4\text{N}_2\text{O} \cdot \text{C}^3\text{H}_2\text{N}_2\text{O}^3$ .

Zweigliedrig.  $a : b : c = 0.7888 : 1 : 0.9861$  Loschmidt.

$p, q, b$ .

	Berechnet	Beobachtet
$p : p = 103^\circ 28'$		
$b =$		$\sim 128^\circ 16'$

	Berechnet	Beobachtet
$q : q =$	$90^{\circ} 48'$	
$b =$		$134^{\circ} 36'$
$p =$	115 45	115 30

Tafelartig nach  $b$ .

**Harnstoff, salpetersaurer.**  $\text{CH}_4\text{N}_2\text{O} \cdot \text{HNO}_3$ .

Zweiglig.  $a : b : c = 0,8034 : 4 : 0,6949$  Marignac.

$o, p, b, c$ . Berechnet Marignac Beobachtet Lang

$o \left\{ \begin{array}{l} 2A = \\ 2B = 70^{\circ} 48' \\ 2C = \end{array} \right.$		$132^{\circ} 30'$	
		$92 \ 24$	
$p : p =$	102 28		
$o : b =$	113 45		$114^{\circ} 26'$
$c =$	133 48		133 30
$p =$	136 12		136 40

Nach Lang erscheint  $o$  partialflächig oder hemiedrisch.

Optisches Verhalten. Lang. — Marignac: Réch. sur les form. ist. Genève 1875. — Lang: Wien. Ak. Ber. 45, 118.

**Harnstoff, weinsaurer.**  $(\text{CH}_4\text{N}_2\text{O}^2 \cdot \text{C}_4\text{H}_6\text{O}_6)$ .

Zweiglig.  $a : b : c = 0,7097 : 4 : 0,694$  Loschmidt.

$o, p, r, a, b$ : Berechnet Beobachtet

$o \left\{ \begin{array}{l} 2A = 127^{\circ} 20' \\ 2B = 102 \ 38 \\ 2C = 106 \ 6 \end{array} \right.$		
$p : p =$		$109^{\circ} 16'$
$a =$	144 38	
$r : r =$		$91 \ 22$
$p =$	124 40	124 40
$o : p =$	140 3	140 4
$r =$	153 40	154 42

Prismatisch nach  $p$ ; tafelartig nach  $b$ . Die  $o$  sind nie vollzählig.

**Harnstoff-Chlornatrium.**  $(\text{CH}_4\text{N}_2\text{O} \cdot \text{NaCl}) + \text{aq}$ .

Zwei- und eingliedrig.  $a : b : c = 0,3739 : 4 : 0,2975$  Werther.

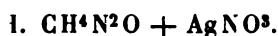
$o = 89^{\circ} 24'$ .

$p, q, r, r', 2r', b$ .	Berechnet	Beobachtet
$p : p =$		$139^{\circ} 0'$
$q : q =$	$146^{\circ} 52'$	146 0
$b =$	106 34	107 0
$r : r' =$		$103 \ 0$
$p =$		$126 \ 0$
$r' : p =$	125 20	
$r : 2r' =$	98 17	103 0
$r' : 2r' =$	158 43	

$$\begin{array}{rcl} & \text{Berechnet} & \\ 2r' : p & = & 143^{\circ} 45' \\ q : r & = & 138 \ 49 \\ r' & = & 138 \ 24 \end{array}$$

Da die Messungen nur annähernd, sind die Krystalle vielleicht zweigliedrig. — Werther: s. Harnstoff.

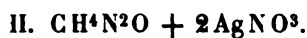
### Harnstoff — Salpetersaures Silber.



Zwei- und eingliedrig.  $a : b : c = 0,655 : 1 : 0,397$  Werther.  
 $\alpha = 66^{\circ} 29'$ .

$p, 2p, q, b, c.$	Berechnet	Beobachtet
$p : p =$		$*118^{\circ}$
$b = 124^{\circ} \ 0'$		
$2p : 2p = 79 \ 32$		
$b = 140 \ 14$		140
$q : q =$		$*140$
$b = 110 \ 0$		110
$c = 160 \ 0$		160
$p : c =$		$*140$

Prismatisch nach der Horizontalzone.



Zweigliedrig.  $a : b : c = 0,6682 : 1 : 0,7373$  Werther.  
 $s = a : \frac{1}{2}b : c.$  —  $\alpha, p, q, a, b, c.$

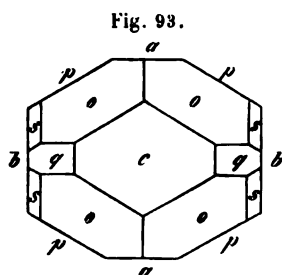


Fig. 93.

	Berechnet	Beobachtet
$\alpha \left\{ \begin{array}{l} 2A = 127^{\circ} 20' \\ 2B = 96 \ 46 \\ 2C = 106 \ 0 \end{array} \right.$		
$s \left\{ \begin{array}{l} 2A = 90 \ 34 \\ 2B = 116 \ 26 \\ 2C = 123 \ 0 \end{array} \right.$		
$p : p =$		$*112^{\circ} 30'$
$q : q = 107 \ 42$		
$c =$		$*143 \ 36$

Fig. 93.

### Harnstoff — Salpetersaure Magnesia. $2\text{CH}_4\text{N}_2\text{O} + \text{MgN}_2\text{O}_6.$

Zwei- und eingliedrig.  $a : b : c = 0,4145 : 1 : 0,3966$  Werther.  
 $\alpha = 87^{\circ} 47'$ .

$s' = a' : \frac{1}{2}b : c. = p, q, r, r', b.$

	Berechnet	Beobachtet
$p : p =$		$*135^{\circ} \ 0'$
$q : q = 136^{\circ} 46'$		140 \ 0
$r : r' = 97 \ 20$		97 \ 20
$p : r =$		$*126 \ 30$
$r' =$		$*128 \ 42$

	Berechnet	Beobachtet
$q : r =$	$137^{\circ} 43'$	
$r' =$	$134 \quad 47$	
$s' : s' =$	$149 \quad 22$	$123^{\circ} 34'$

**Hemipinsäure.**I.  $2C^{10}H^{10}O^6 + aq.$ 

Zwei- und eingliedrig.  $a : b : c = 2,524 : 1 : 1,9597$  Lang.  
 $\alpha = 87^{\circ} 20'.$

$n = 2a : b : c.$  —  $r, a, c.$

	Berechnet	Beobachtet
$a : c =$	$92^{\circ} 40'$	$92^{\circ} 30'$
$r =$		$140 \quad 42$
$c : r =$		$134 \quad 58$
$n : n =$	$79 \quad 20$	$79 \quad 20$
$a =$		$109 \quad 50$
$c =$	$123 \quad 40$	$123 \quad 40$
$r =$	$127 \quad 48$	$127 \quad 18$

Vollkommen spaltbar nach  $c.$

II.  $C^{10}H^{10}O^6 + aq.$ 

Zwei- und eingliedrig.  $a : b : c = 0,5407 : 1 : 1,262$  Lang.  
 $\alpha = 82^{\circ} 48'.$

$\frac{3}{2}o', \frac{3}{2}o', p, q, b, c.$	Berechnet	Beobachtet
$p : p =$	$123^{\circ} 38'$	
$b =$		$148^{\circ} 41'$
$c =$		$96 \quad 47$
$q : q =$	$77 \quad 20$	
$b =$		$144 \quad 20$
$c =$	$128 \quad 40$	
$p =$	$146 \quad 46$	$146 \quad 32$
$\frac{3}{2}o' : \frac{3}{2}o' =$	$137 \quad 6$	
$p =$	$133 \quad 32$	$133 \quad 36$
$\frac{3}{2}o' : \frac{3}{2}o' =$	$144 \quad 46$	
$p =$	$121 \quad 48$	$121 \quad 20$

v. Lang: J. Chem. Soc. (2) 6, 357.

**Hexabromaceton.  $C^3Br^6O.$** 

Zwei- und eingliedrig.  $a : b : c = 0,802 : 1 : 0,7465$  Ditscheiner.  
 $\alpha = 64^{\circ} 23'.$

$o', p^2, b, c.$	Berechnet	Beobachtet
$o' : o' =$	$122^{\circ} 40'$	
$p^2 : p^2 =$	$138 \quad 20$	$137^{\circ} 58'$
$c =$		$143 \quad 50$
$o' : b =$	$148 \quad 40$	$148 \quad 20$
$p^2 =$		$94 \quad 20$

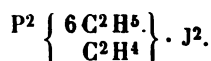
( $144^{\circ} 55'$ )

Groth bemerkt, dass D.'s Angaben Widersprüche enthalten, welche

eine neue Messung lösen muss. — Wien. Ak. Ber. 75 (Groth Ztschr. 5, 645).

### Hexachlorbenzol s. Benzolhexachlorid.

### Hexäthyläthylenphosphonjodid.



Zweigliedrig.  $a : b : c = 0,5704 : 1 : 1,0052$  Sella.

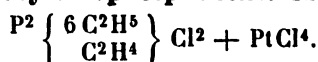
$p, q.$	Berechnet	Beobachtet
$p : p =$		*120° 36'
$q : q =$		*89 42
$p = 110^\circ 34'$		110 39

Prismatisch nach  $q$ .

Andere Flächen kommen vor, sind aber stark gekrümmt. — Spaltbar nach  $p$  und  $q$ .

Diese Verbindung entsteht aus 1 Mol. Dibromäthylen und 2 Mol. Triäthylphosphin. Sie schmilzt bei 231°. Hofmann. — Sella: Sulle forme cristalline di alcuni sali derivati dall' Ammoniaca. Memor. d. R. Accad. di Torino (2) 20.

### Hexäthyläthylenphosphonchlorid-Platinchlorid.



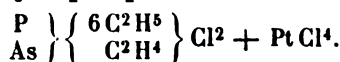
Zwei- und eingliedrig.

Hexaide  $a, b, c$ , nach  $a$  und  $c$  ausgedehnt.  $a : c = 97^\circ 24'$ .

Spaltbar nach den drei Flächen, am besten nach  $b$ .

Aus optischen Gründen für zwei- und eingliedrig zu halten. — Sella a. a. O.

### Hexäthyläthylenphospharsonchlorid-Platinchlorid.



Eingliedrig.  $a : b : c = 0,8555 : 1 : 0,73$  Sella.

$A = 89^\circ 9'$	$\alpha = 89^\circ 24'$
$B = 91 46$	$\beta = 91 40$
$C = 81 52$	$\gamma = 81 53$

$o''', q', 2q, a, b, c.$	Berechnet	Beobachtet
$a : b =$		*84° 52'
$b : c =$		*89 9
$q' : c =$		*143 54
$b = 126^\circ 57'$		
$2q : c = 123 34$		123 38
$b = 145 35$		145 32
$a : c =$		*94 46
$q' = 96 12$		96 8

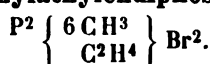


	Berechnet	Beobachtet
$a : 2q =$	$95^{\circ} 46'$	
$o''' : a =$		$120^{\circ} 18'$
$b =$	$115 \ 56$	$116 \ 7$
$c =$	$133 \ 6$	$133 \ 23$
$q' =$	$143 \ 30$	

Prismatisch nach  $a$  und  $b$ . — Zwillinge nach  $a$ .

Die sehr kleinen gelbrothen Krystalle sind spaltbar nach  $a$  und  $c$ .

#### Hexamethyläthylendiphosphorbromid.



Zwei- und eingliedrig.  $a : b : c = 1,2833 : 1 : 2,0663$  Sella.  
 $o = 64^{\circ} 22'$ .

$p, r', c.$	Berechnet	Beobachtet
$p : p =$		$83^{\circ} 12'$
$c =$		$108 \ 33$
$r' =$		$121 \ 38$
$c : r' =$	$99^{\circ} 11'$	$99 \ 10$

Fläche  $r'$  ist nur als Spaltungsfläche beobachtet.

Diese Krystalle wurden nur einmal aus Dibromäthylen und Triäthylphosphin erhalten.

#### Hexerinsäure. $C^6H^{12}O^4$ .

Zweigligliedrig.  $a : b : c = 0,9573 : 1 : 0,3328$  Howe.  
 $x = \frac{1}{3} a : b : c$ . —  $o, p, a, b$ .

	Berechnet	Beobachtet.
$o \left\{ \begin{array}{l} 2A = \\ 2B = 143^{\circ} 29' \\ 2C = 51 \ 24 \end{array} \right.$		$145^{\circ} \ 6'$ $144 \ 0$
$x \left\{ \begin{array}{l} 2A = 154 \ 4 \\ 2B = 90 \ 36 \\ 2C = 95 \ 3 \end{array} \right.$		$153 \ 51$ $91 \ 24$
$p : p =$		$92 \ 30$

Feine Nadeln. — Groth Ztschr. 5, 309.

#### Hippursäure. $C^9H^9NO^3$ .

Zweigligliedrig.  $a : b : c = 0,8394 : 1 : 0,8646$  Bodewig.

$o, p, q, \frac{q}{2}, r, \frac{r}{2}, a, c$ .

	Berechnet	Beobachtet			
		Bodewig	Schabus	Dauber	Miller
$o \left\{ \begin{array}{l} 2A = 117^{\circ} 58' \\ 2B = 104 \ 14 \\ 2C = 106 \ 34 \end{array} \right.$					
$p : q =$	$114 \ 49$		$114^{\circ} 48'$		$114^{\circ} 49'$
$p =$	$100 \ 10$		$99 \ 59$	$99^{\circ} 52'$	
$a =$		$140^{\circ} \ 5'$			

	Berechnet	Bodewig	Beobachtet Schabus	Miller
$q : q =$	$98^{\circ} 30'$		$98^{\circ} 30'$	$98^{\circ} 28'$
$b =$		$*430^{\circ} 45'$		
$\frac{a}{2} =$	162 33	162 37		
$r : r =$	88 30	88 34		88 25
$a =$	135 46	135 46		
$\frac{r}{2} =$	164 26	164 48		
$o : a =$	127 53	127 57		
$b =$	124 4	120 58		
$p =$	143 17	143 14		
$q =$	123 7	123 7		
$r =$	148 59	148 59		

Die Krystalle der gewöhnlichen Säure zeichnen sich durch Vorhaken von  $q$  und  $r$ , die der aus Benzoesäure und Glykokoll dargestellte durch das von  $a$  aus.

Spaltbar nach  $c$ , weniger nach  $p$ .

Ebene der optischen Axen =  $ab$ , Mittellinie positiv =  $a$  (neg. Bodewig).  $2H_a = 124^{\circ} 58'$  Roth;  $122^{\circ} 24'$  Gelb.

Volumgewicht. 1,308 Schröder.

Schmelzpunkt. 187—189° Anschütz.

Dauber: Ann. Ch. Pharm. 73, 202. — Schabus: Wien. Ak. I 1850. — Miller: Qu. J. Ch. Soc. 5, 97. — Bodewig: Groth Zts. 4, 57. — Keferstein: Pogg. A. 99, 285.

Brechungsverhältnisse der Lösung. Sauber: Pogg. A. 117, 583.

#### Hippursaurer Kalk. $\text{Ca}(\text{C}^9\text{H}^8\text{NO}^{32}) + 3\text{aq.}$

Zweigliedrig (?).  $a : b : c = 0,7118 : 1 : 0,5496$  Schabus.

$n = \frac{3}{2}a : b : c$ . —  $o, \frac{3}{2}p, a, b$ .

	Berechnet	Beobachtet
$o \left\{ \begin{array}{l} 2A = \\ 2B = \\ 2C = \end{array} \right.$	$\left. \begin{array}{l} 134^{\circ} 28' \\ 114 \quad 8 \\ 83 \quad 44 \end{array} \right\}$	
$n \left\{ \begin{array}{l} 2A = \\ 2B = \\ 2C = \end{array} \right.$	$\left. \begin{array}{l} 129 \quad 54 \\ 133 \quad 18 \\ 70 \quad 56 \end{array} \right\}$	$\left. \begin{array}{l} 129^{\circ} 58' \\ 133 \quad 0 \end{array} \right\}$
$\frac{3}{2}p : \frac{3}{2}p =$	58 40	
$a =$	119 20	119 15
$b =$	150 40	
$o : a =$		$*122 \quad 56$
$b =$		$*112 \quad 46$
$n : a =$	113 21	113 30
$b =$	115 3	
$o =$	170 25	

Tafelartig nach  $a$ .

$\frac{1}{2}p$  erscheint nur mit einer Fläche, gleichwie die Oktaidflächen häufig auch nur auf einer Seite.

Zwillinge nach  $q$ . Aneinanderwachsung, wobei die  $b$  Winkel von  $70^\circ 27',5$  bilden. Häufig sind Gruppierungen unvollständiger Krystalle.

Spaltbar sehr vollkommen nach  $a$ , weniger nach  $b$ . — Perlmutterglanz auf  $a$ .

Aus stauroskopischen Beobachtungen schliesst Sauber, dass das Salz zwei- und eingliedrig sei. — Sauber: Ann. Ch. Pharm. 124, 83. — Schabus: a. a. O.

Ebene der optischen Axen =  $bc$ .

Volumgewicht. 1,318 Schabus.

#### Homocinchonidin s. Cinchonidin.

#### Huanukin s. Cinchonin.

#### Hydantoinensäure. $C^3H^6N^2O^3$ .

Zwei- und eingliedrig.  $a : b : c = 0,662 : 1 : 1,535$  Rammelsberg.  
 $\alpha = 84^\circ 0'$ .

$o, o', p, q^2, c$ .	Berechnet	Beobachtet
$o : o =$		$121^\circ 30'$
$o' : o' =$		$114 \quad 12$
$o : o' =$	$76^\circ \quad 5'$	
$o : o' =$		$140 \quad 30$
$p : p =$	$113 \quad 38$	$113$ ungef.
$c =$	$97 \quad 32$	$96\frac{1}{2}—98^\circ$
$q^2 : q^2 =$	$36 \quad 30$	$36 \quad 30'$
$c =$	$108 \quad 15$	$108 \quad 30$
$o : c =$		$116 \quad 30$
$p =$	$161 \quad 2$	$160—162^\circ$
$o' : c =$		$103 \quad 0'$
$p =$	$159 \quad 28$	$159$

Prismatisch nach  $p$ ;  $c$  und  $q^2$  sehr klein; die  $o, o', q^2$  glänzend;  $p$  was matt, horizontal gestreift und gekrümmt. Unsymmetrisch ausgebildet.

#### Hydrindinsäure s. Dioxindol.

#### Hydrobenzoinanhydrid, $C^{14}H^{12}O$ .

A. Iso-, Zwei- und eingliedrig.  $a : b : c = 0,5254 : 1 : 1,4187$  Bo-  
swig.  $\alpha = 84^\circ 8'$ .

$p, \frac{q}{2}, 2r, 2r', b$ .	Berechnet	Beobachtet
$p : p =$	$125^\circ \quad 4'$	
$b =$	$117 \quad 28$	$118^\circ \quad 3'$
$\frac{q}{2} : \frac{q}{2} =$		$109 \quad 52$
$2r : 2r' =$	$107 \quad 7$	$106 \quad 23$

	Berechnet	Beobachtet
$\frac{q}{2} : 2r =$		$*123^{\circ} 6'$
$2r' = 114^{\circ} 57'$		$115 \quad 1$
$p = 99 \quad 9$		
$p : 2r =$		$*137 \quad 44$

Prismatisch nach  $q$  und  $b$ . Spaltbar nach  $b$ .

Ebene der optischen Axen parallel Axe  $b$ ; die eine Mittellinie =  $b$ , negativ;  $2H = 115^{\circ} 18'$  Roth,  $115^{\circ} 54'$  Gelb. — Groth Ztschr. 3, 387. Schmelzpunkt.  $101-102^{\circ}$ .

B. Zwei- und eingliedrig.  $a : b : c = 0,4958 : 1 : 1,484$  Bodewig.  
 $\alpha = 82^{\circ} 37'$ .

$q, q^2, r, r', c.$	Berechnet	Beobachtet
$q : q =$		$*68^{\circ} 28'$
$q^2 : q^2 = 37^{\circ} 36'$		
$q = 164 \quad 34$		$164 \quad 34$
$r : r' = 143 \quad 14$		$143 \quad 7$
$c : r = 115 \quad 2$		$115 \quad 21$
$r' = 104 \quad 44$		$104 \quad 38$
$q : r =$		$*103 \quad 46$
$r' =$		$*96 \quad 34$
$q^2 : r = 97 \quad 50$		$98 \quad 16$
$r' = 93 \quad 45$		$93 \quad 50$

Ausserdem ein nicht bestimmbares  $\frac{o}{n}$ ; herrschend  $q$  und  $r'$ . — Spaltbar nach  $c$ .

Ebene der optischen Axen  $ac$ ; Mittellinie positiv, mit der Normalen auf der Fläche  $c$  einen Winkel von etwa  $10^{\circ},5$  (hinten) bildend.  $2H_1 = 70^{\circ} 7'$  Roth,  $70^{\circ} 37'$  Gelb. — A. a. O.

Schmelzpunkt.  $131-132^{\circ}$ .

### Hydrochinon. $C^6H^6O^2$ .

Dimorph.

A. Sechsgliedrig.  $a : c = 1 : 0,659$  Groth.

$r, a.$	Berechnet	Beobachtet	
		Groth	Lehmann
$2A$ von $r =$		$*116^{\circ} 44'$	$117^{\circ} 3'$
$r : a = 121^{\circ} 38'$			

Seltener  $r'$  und  $\frac{r'}{2}$ .

Lang prismatisch.

Optisch positiv; Doppelbrechung schwach. — Groth: Phys. Krystallogr. 289. 492. — Lehmann: Groth Ztschr. 1, 43.

B. Zwei- und eingliedrig.  $a : b : c = 2,6 : 1 : 1,56$  Lehmann.  
 $\alpha = 73^{\circ}$ .

$\alpha', a, c.$	Beobachtet
$a : c = 107^{\circ} 0'$	
$\alpha' : c = 117 \quad 20$	

Da der ebene Winkel auf  $c = 138^\circ$ , so würde  $o' : o' = 112^\circ 4'$ .

Sehr dünne rhombische Blättchen, durch Sublimation entstehend.

Ebene der optischen Axen  $ab$ ;  $2H_a = 92^\circ$  für Gelb.

Labile Modification von niedrigerem Schmelzpunkt: a. a. O.

Das Schillern der Krystallflächen Haidinger: Pogg. A. 71, 335.

Schmelzpunkt.  $169^\circ$  Hlasiwetz;  $177^\circ, 5$  Hesse. — Erstarrungspunkt nach Letzterem  $163^\circ$ .

Volumgewicht. 1,328 Schröder.

**Hydrochinonmonoätherschwefelsaures Kali.**  $KC^6H^5OSO^4$ .

Zweigliedrig.  $a : b : c = 0,764 : 1 : 2,0965$  Bodewig.

$o, \frac{o}{2}, q, b, c$ .

	Berechnet	Beobachtet
$o \begin{cases} 2A = 108^\circ 39' \\ 2B = \\ 2C = \end{cases}$		$108^\circ 38'$ $*80 \ 30$ $*147 \ 42$
$\frac{o}{2} \begin{cases} 2A = 116 \ 36 \\ 2B = 93 \ 8 \\ 2C = 119 \ 50 \end{cases}$		$120 \ 18$
$q : q = 51 \ 0$		$50 \ 38$

Tafelartig nach c.

Optische Axenebene =  $b$ , Mittellinie =  $c$ . Positiv. Scheinbarer Winkel  $2H_a = 83^\circ 46'$  Li-Roth;  $83^\circ 49'$  Na-Gelb;  $84^\circ 3'$  Tl-Grün. — roth Ztschr. 4, 585.

Isomer dem Resorcinmonoätherschwefelsauren Kali.

**Hydrocoerulignon.**  $C^{16}H^{15}O^6$ .

Zwei- und eingliedrig.  $a : b : c = 1,64 : 1 : 0,759$  Rammelsberg.  
 $o = 73^\circ 4'$ .

$p, q, c$ .

	Beobachtet
$p : p \text{ an } b = 115^\circ$	
$p : c = 99$	
$q : c = 114$	
(folgt $q : q = 108$ )	

Kleine rothe durchscheinende Krystalle, niedrige Prismen  $p$  mit  $c$ ; die sehr klein. Sind nicht eben, und nicht sehr glänzend. Aggregate einzelner Krystalle zusammengehäuft. Die Messungen daher annähernd.

Schmelzpunkt etwa  $190^\circ$ .

**Hydrocyanaldin.**  $C^9H^{12}N^4$ .

A. Zwei- und eingliedrig.  $a : b : c = 2,873 : 1 : 3,405$  Haushofer.  
 $o = 80^\circ 20'$ .

$o', \frac{o'}{3}, r', a, c$ .

	Berechnet	Beobachtet
$o' : o' = 47^\circ 24'$		$47^\circ 35'$
$r' =$		$*113 \ 42$
$c : r' =$		$*127 \ 32$
$a : c =$		$*99 \ 40$
$c : \frac{o'}{3} = 164 \ 21$		$164 \ 30$

Prismatisch nach  $o'$ . — Groth Ztschr. 4, 620.

Schmelzpunkt  $115^\circ$ .

### B. Para-.

Zweiglig.  $a : b : c = 0,664 : 1 : 4,874$  Haushofer.

$p, q, b, c$ .

	Berechnet	Beobachtet
$p : p =$	$120^\circ 50'$	$120^\circ 48'$
$b =$		$123 \quad 35$
$q : q =$	$56 \quad 40$	
$b =$		$151 \quad 55$
$c =$	$118 \quad 5$	$118 \quad 3$

Prismatisch nach  $p$ .

Optische Axenebene  $ab$ , Mittellinie  $b$ . — Groth Ztschr. 4, 620.

### Hydrocyanarbodiphenylimid. $C^{10}H^{15}N^2$ .

Zwei- und eingliedrig.  $a : b : c = 1,255 : 1 : 0,9865$  Bodewig.

$o = 86^\circ 50'$ .

$o', p, q, b$ .

	Berechnet	Beobachtet
$o' : o' =$		$154^\circ 35'$
$p : p =$		$135 \quad 26$
$q : q =$	$150^\circ 16'$	
$b =$	$104 \quad 37$	$104 \quad 39$
$o' : p =$		$122 \quad 30$
$q =$	$147 \quad 33$	$147 \quad 29$
$p : q =$	$137 \quad 11$	$137 \quad 20$

Prismatisch nach  $p$ . Spaltbar nach  $b$  und  $p$ .

Optisch positiv; Axe  $b$  ist Mittellinie des stumpfen Winkels. — Groth Ztschr. 4, 593.

Schmelzpunkt  $137^\circ$ .

### Hydrosantonid. Hydrosantonsäure s. Santonin.

Hydroxyisovaleriansäure (Hydroxyisobutylameisensäure).  $C^5H^{10}O^3$ .

Zweiglig.  $a : b : c = 0,8679 : 1 : 4,1752$  Haushofer.

$o, \frac{q}{2}, a, b, c$ .

	Berechnet	Beobachtet
$o \left\{ \begin{array}{l} 2A = \\ 2B = \\ 2C = \end{array} \right.$	$110^\circ 8'$ $97 \quad 30$ $121 \quad 28$	
$\frac{q}{2} : \frac{q}{2} =$	$119 \quad 8$	$120^\circ 30'$
$b =$	$120 \quad 26$	
$o : a =$		$131 \quad 16$
$c =$		$119 \quad 9$

Tafelartig nach  $c$ ; die  $o$  selten und klein,  $\frac{q}{2}$  oft undeutlich. Spaltbar nach  $a$ .

Ebene der optischen Axen  $bc$ , Mittellinie  $c$ ; negativ. — Groth Ztschr. 577.

**Hydurilsaures Ammoniak.**  $\text{Am}^2\text{C}^6\text{H}^4\text{N}^4\text{O}^6 + 4\text{aq.}$

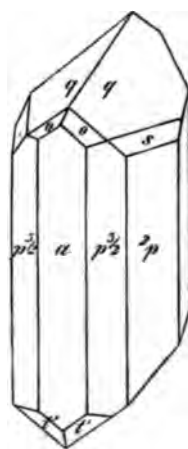
Zwei- und eingliedrig.  $a : b : c = 1,082 : 1 : 0,7$  Rammelsberg.  
 $\alpha = 80^\circ 38'$ .

$s = a : \frac{1}{2}b : c.$

$t' = \frac{1}{2}a' : b : c. — o, p\frac{3}{2}, {}^2p, q, a.$

	Berechnet	Beobachtet	
$o : o =$	$123^\circ 8'$		
${}^2p : {}^2p =$	$36 46$	$37^\circ$	ungef.
${}^2p : a =$	$108 8$	$108 0'$	
$p\frac{3}{2} : p\frac{3}{2} =$		$89 0$	
$a =$	$134 30$	$134 15$	
${}^2p =$	$153 38$	$153 25$	
$q : q =$		$113 15$	
$a =$		$106 30$	
$o : a =$	$123 54$	$124 30$	
$q =$	$162 36$	$163$	
$s : s =$	$62 54$		
$a =$	$109 25$	$110 20$	
$o =$	$149 53$		
$t' : t' =$	$117 4$		
$a =$	$114 29$	$114$	
$q =$	$139 1$	$140 25$	
$o =$	$121 37$		

Fig. 94.



Prismatisch nach der Horizontalzone. — Fig. 94.

**Hypocaffein.**  $\text{C}^6\text{H}^2\text{N}^3\text{O}^3.$

Zwei- und eingliedrig.  $a : b : c = 0,8954 : 1 : 0,6415$  Haushofer.  
 $\alpha = 78^\circ 44'$ .

$o, o', p, b.$	Berechnet	Beobachtet
$o : o =$	$129^\circ 54'$	$129^\circ 44'$
$o' : o' =$		$120 46$
$o : o' =$	$117 56$	$117 57$
$o : o' =$	$92 49$	$92 47$
$p : p =$		$97 33$
$b =$	$131 44$	$131 46$
$o =$	$138 45$	$138 22$
$o' =$		$128 57$ *)

Kleine, vollkommen ausgebildete Krystalle. — Groth Ztschr. 6, 139.

**Imidoisovaleronitril.**  $\text{C}^6\text{H}^9\text{N}^3.$

Zwei- und eingliedrig.  $a : b : c = 1,2822 : 1 : 1,4275$  Haushofer.  
 $\alpha = 71^\circ 34'$ .

\* Im Original steht irrthümlich  $p : o.$

$p, r', a, c.$	Berechnet	Beobachtet
$p : p =$	$78^{\circ} 52'$	$79^{\circ} 40'$
$a =$	$429 \ 26$	$430 \ 17$
$c =$		$*404 \ 37$
$a : c =$		$*408 \ 29$
$r' =$	$430 \ 4$	
$c : r' =$		$*421 \ 30$

Prismatisch nach der Verticalzone und tafelartig nach  $c$ . — Groth Ztschr. 4, 577.

### Imidopropionitril. $C^6H^9N^3$ .

Zwei- und eingliedrig.  $a : b : c = 4,0856 : 4 : 4,2469$  Haushofer.  
 $o = 70^{\circ} 21'$ .

$o', p, r', a, c.$	Berechnet	Beobachtet
$p : p =$	$88^{\circ} 44'$	
$a =$		$*434^{\circ} 22'$
$c =$	$403 \ 36$	$403 \ 25$
$a : c =$		$*409 \ 39$
$r' =$		$*430 \ 47$
$o' : c =$	$444 \ 4$	$444 \ 45$

Tafelartig nach  $c$  und prismatisch nach  $a$  und  $c$ ; spaltbar nach  $c$ . — Groth Ztschr. 3, 74.

### Indigblau. $C^{16}H^{10}N^2O^2$ .

Zweiglig.  $a : b : c = 0,7883 : 4 : 0,7265$  Miller.

$p, p^6, q, b.$	Berechnet	Beobachtet
$p : p =$		$*403^{\circ} 30'$
$p^6 : p^6 =$	$165^{\circ} 2'$	$165 \ 6$
$p =$	$449 \ 44$	$449 \ 42$
$q : q =$		$*408 \ 0$

Prismatisch nach den  $p$ . — Pogg. A. 23, 559.

### Indol, Iso-. $C^8H^7N$ .

Zwei- und eingliedrig.  $a : b = 4,379 : 4$  Friedländer.  
 $o = 87^{\circ} 44'$ .

$p, a, b, c.$	Beobachtet
$p : p =$	$72^{\circ} 56'$
$c =$	$91 \ 20$

Dünne Tafeln nach  $c$ , der Spaltungsfläche.

Optische Axenebene  $a$  und  $c$ . — Groth Ztschr. 3, 477.

Schmelzpunkt  $494 - 495^{\circ}$ .

### Inosit. $C^6H^{12}O^6 + 2aq.$

Zwei- und eingliedrig.  $a : b : c = 4,0872 : 4 : 4,5602$  Zepharovich.  
 $o = 68^{\circ} 21'$ .

$w = a' : 2b : \frac{1}{2}c$ . —  $p, p^2, r', a, b, c.$



	Berechnet	Beobachtet		
		Zepharovich	Lewis	Tauret
$p : p =$		$*89^{\circ} 24'$	$89^{\circ} 37'$	$89^{\circ} 0'$
$a =$	$134^{\circ} 42'$	$134 \ 45$		
$b =$	$135 \ 48$	$135 \ 48$	$135 \ 40$	
$c =$	$105 \ 3$			
$p^2 : p^2 =$	$125 \ 43$			$105 \ 2$
$b =$	$117 \ 8,5$		$116 \ 47$	
$c =$	$109 \ 10$			
$p =$	$164 \ 50,5$	$162 \ 18$		
$a : c =$		$*111 \ 39$		
$r' =$	$138 \ 55$	$138 \ 44$	$139 \ 8$	
$c : r' =$		$*109 \ 26$		$109 \ 57$
$w : w =$	$139 \ 20$	$140$		
$a =$	$109 \ 0$			
$b =$	$110 \ 20$	$110 \ 7$		$110 \ 14$
$c =$	$134 \ 0$	$133 \ 51$		$134 \ 30$
$p^2 =$	$116 \ 51$			

Das Augitpaar  $w$  liegt in den Zonen  $p^2$ ,  $r$  und  $p^2$ ,  $c$ .

Prismatisch nach der Horizontalzone, tafelartig nach  $b$ . Jene ist vertical gestreift. Selten Zwillinge nach  $c$ . Vollkommen spaltbar nach  $b$ , weniger nach  $p$ .

Die Krystalle dieser aus den Blättern der Esche (*Fraxinus excelsior*) dargestellten Verbindung sind farblos, durchsichtig und verwittern in warmer Luft. — Zepharovich: Wien. Ak. Ber. 58. — Tauret und Vilers: C. r. 84, 393. — Lewis: Phil. Mag. (3) 5, 140.

#### Jodbuttersäure. $C^4H^7JO^2$ .

Zwei- und eingliedrig.  $a : b : c = 1,0752 : 1$  Haushofer.  
 $\alpha = 53^{\circ} 53'$ .

$p, a, c.$	Berechnet	Beobachtet
$p : p =$		$*98^{\circ} 5'$
$a =$	$139^{\circ} 4',5$	
$c =$	$116 \ 25$	$116 \ 45$
$a : c =$		$*126 \ 7$

Fast nur die  $p$ , von denen das eine häufig vorherrscht, sind glatt. — Ztschr. 6, 135.

#### Jodoform. $CHI^3$ .

Sechsgliedrig.  $a : c = 1 : 1,108$  Rammelsberg.

$d, c.$	Berechnet	Beobachtet
$d \left\{ \begin{array}{l} 2A = \\ 2C = \end{array} \right.$	$\left\{ \begin{array}{l} 133^{\circ} 36' \\ 104 \ 0 \end{array} \right.$	$\left\{ \begin{array}{l} 133^{\circ} 30' \\ \\ \end{array} \right.$
$d : c =$		$*128 \ 0$

Tafelartig nach  $c$ . Die Flächen sind ziemlich matt.

Mikroskopische Untersuchung Dogiel: Bull. Pétersb. 20, 337.

Brechungsverhältnisse der Lösung in Aether Gladstone: J. Cl Soc. (2) 8, 401. 447.

**Jodstibmethylum** s. Tetramethylantimonjodid.

**Jodsuccinimid.**  $C^4H^4NO^2J$ .

Viergliedrig.  $a : c = 4 : 0,8733$  Groth.

$o, o^2, p.$	Berechnet	Beobachtet
$o \left\{ \begin{array}{l} 2A = 113^\circ 20' \\ 2C = 102 \quad 0 \end{array} \right.$		
$o^2 \left\{ \begin{array}{l} 2A = 98 \quad 6 \\ 2C = 135 \quad 54 \end{array} \right.$		
$p : o =$		$144^\circ 0'$
$o^2 = 157 \quad 57$		
$o : o^2 = 163 \quad 0$		

Die nach  $p$  prismatischen Krystalle sind hemimorph; am einen Ende erscheint  $o$ , ziemlich gross, am anderen neben ihm auch  $o^2$ .

Spaltbar nach  $o$ .

Doppelbrechung negativ. — Ann. Ch. Pharm. Suppl. 7, 447.

**Jodwasserstoff-Benzimidothiäthyläther.**  $C^9H^{11}NS \cdot HJ$ .

Zwei- und eingliedrig.  $a : b : c = 4,1296 : 4 : 0,544$  Bodewig.  
 $o = 74^\circ 24'$ .

$i = \frac{1}{2}a : b : c$ . —  $o$  ( $k$ ),  $o'$  ( $o$ ),  $p$ ,  $q$  ( $l$ ),  $2r$  ( $r$ ),  $a$ ,  $b$ ,  $c$ .

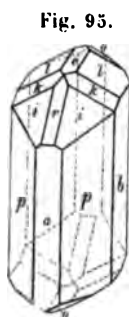


Fig. 95.

	Berechnet	Beobachtet
$o : o = 135^\circ 2'$		
$i : i = 144 \quad 44$		
$p : p =$		$85^\circ 59'$
$a = 132 \quad 59,5$		133 4
$c = 102 \quad 34$		102 39
$q : q = 125 \quad 42$		
$a = 106 \quad 29$		106 26
$b =$		117 9
$a : c = 108 \quad 36$		108 32
$2r = 143 \quad 25$		143 10
$2r : c = 145 \quad 44$		145 28
$q : p =$		98 4
$o : a = 126 \quad 29$		126 27
$c = 149 \quad 17$		149 28
$o : c = 144 \quad 3$		144 8
$i : a = 139 \quad 50$		139 44
$b = 107 \quad 53$		107 45
$p = 138 \quad 43$		138 19

Prismatisch nach  $p$ . — Fig. 95.

Spaltbar nach  $p$ . — Groth Ztschr. 3, 384.

Schmelzpunkt  $142^\circ$ .

**Isäthionsaurer Baryt.**  $\text{BaC}^4\text{H}^{10}\text{S}^2\text{O}^8$ .Zweigligedrig.  $a : b : c = 0,9948 : 4 : 1,8224$  Haushofer.

$o, o\frac{1}{2}, q^2, a, c.$	Berechnet	Beobachtet
$o \left\{ \begin{array}{l} 2A = 100^\circ 2' \\ 2B = \\ 2C = 138 \ 42 \end{array} \right.$		$94^\circ 17'$
$q^2 : q^2 = 30 \ 42$		
$c = 105 \ 24$		$104 \ 58$
$c : o =$		$110 \ 39$
$o\frac{1}{2} = 122 \ 8$		$124 \ 27$

Sehr dünne Tafeln nach  $c$ , an denen  $o$  und  $q^2$  oft fehlen.Ebene der optischen Axen  $bc$ , Mittellinie  $c$ . — Groth Ztschr. 4, 574.**Isatin.**  $\text{C}^8\text{H}^5\text{N O}^2$ .Zwei- und eingliedrig.  $a : b : c = 0,425 : 4 : 0,503$  Bodewig.  
 $o = 85^\circ 48'$ . $p, q, \frac{r'}{2}, b.$ 

	Berechnet	Bodewig	Beobachtet	Schabus
$p : p =$		$134^\circ 5'$	$133^\circ 50'$	
$b = 112^\circ 58'$		$112 \ 54$		$112^\circ 52'$
$q : q = 126 \ 48$				
$b =$		$116 \ 36$		
$p = 104 \ 0$		$103 \ 59$		
$p : \frac{r'}{2} = 114 \ 47$		$114 \ 34$		

Prismatisch nach  $p$ , tafelartig nach  $b$ .Zwillinge nach  $a$ . (Von G. Rose und Schabus für einfache Krystalle und für zweigliedrig gehalten.)Spaltbar nach  $\frac{r'}{2}$ .Braunroth, pleochroitisch. Ebene der optischen Axen  $ac$ . — G. Rose: f. pr. Chem. 24, 44. — Schabus: S. 90. — Bodewig: Groth schr. 4, 57.**Isobuttersäure** s. Buttersäure.**Isomalsäure.**  $\text{C}^6\text{H}^6\text{O}^5$ .Zwei- und eingliedrig. Combinationen eines zwei- und eingliedrigen taeders  $oo'$  mit  $p$  und einem  ${}^np$ .

	Beobachtet
$o : o = 154^\circ 45'$	$p : p = 104^\circ$
$o' : o' = 155 \ 40$	${}^np : {}^np = 24$

Carius: Ann. Ch. Ph. 139, 257.

**Isobuttersaurer Baryt** s. Butters. Baryt.**Isobutylpiperidin** s. Butylpiperidin.

**Isobutylschwefelsaurer Baryt** s. Butyl.**Isodinitrodiphenylmethan** s. Dinitro.**Isohydrobenzoinanhydrid** s. Hydro.**Isonitrophensäure** s. Nitro.**Isopropylamin** s. Propylamin.**Isopropylpiperidin** s. Propylpiperidin.**Itabrombrenzweinsäure** s. Brom.**Itaconanilsäure.**  $C^{11}H^{11}NO^3$ .Zwei- und eingliedrig.  $a : b : c = 0,5289 : 1 : 4,894$  Schabus.  
 $\alpha = 72^\circ 29'$ . $\alpha^2, p, q, b.$  —  $v' = a' : \frac{2}{3}b : \frac{1}{3}c$ .

	Berechnet	Beobachtet
$p : p =$		$*426^\circ 28'$
$q : q =$	$57^\circ 56'$	
$b =$		$*151 \quad 2$
$p =$		$*105 \quad 18$
$\alpha^2 : \alpha^2 =$	$128 \quad 42$	
$b =$	$115 \quad 39$	$121 \quad 28 (!)$
$p =$	$173 \quad 22$	
$v' : v' =$	$131 \quad 20$	$128 \quad 54 (!)$
$b =$	$114 \quad 20$	

Die Zeichen der Augitpaare dürften hiernach nicht sicher sein.

Feine Nadeln, oft mit herrschendem  $b$ ;  $v'$  ist glatt, die übrigen s. oft gekrümmt und gestreift.**Itaconsäureanhydrid.**  $C^5H^4O^3$ .Zweigligliedrig.  $a : b : c = 0,6168 : 1 : 0,4545$  Bodewig. $\alpha, p, {}^2p, q, r, b.$ 

	Berechnet	Beobachtet
$\alpha \left\{ \begin{array}{l} 2A = \\ 2B = \\ 2C = \end{array} \right.$	$139^\circ 48'$ $112 \quad 18$ $81 \quad 44$	
$p : p =$		$*116^\circ 40'$
${}^2p : {}^2p =$	$78 \quad 4$	
$p =$	$160 \quad 42$	$160 \quad 39$
$b =$	$140 \quad 58$	$140 \quad 50$
$q : q =$	$134 \quad 6$	
$r : r =$		$*107 \quad 14$
$p =$	$120 \quad 19$	$120 \quad 24$
$q =$	$137 \quad 8$	$137 \quad 3$
$p : q =$	$102 \quad 32$	$102 \quad 47$
$\alpha : b =$	$110 \quad 6$	$110 \quad 0$
$p =$	$130 \quad 53$	$130 \quad 57$
$q =$	$146 \quad 9$	$145 \quad 57$ ungef.
$r =$	$159 \quad 54$	$159 \quad 55$

Prismatisch nach den  $p$ ; in der Endigung herrscht  $r$ .Schmelzpunkt  $68^\circ$ . — Groth Ztschr. 5, 558.

**Itaconsäure.**  $C^5H^6O^4$ .Zweigliedrig.  $a : b : c = 0,59 : 1 : 1,2807$  Schabus. $o, p, a, b, c$ . Berechnet

Beobachtet

		Schabus	Baup
$o \left\{ \begin{array}{l} 2A = 123^\circ 38' \\ 2B = 73 \ 38 \\ 2C = \end{array} \right.$		$123^\circ 30'$ 73 35 *136 43	$124^\circ 0'$ 73 45 136 20
$p : p = 118 \ 55$			
$b =$		*120 32,5	

An den Krystallen aus wässriger Lösung herrscht  $o$ , während die aus Alkohol anschliessenden tafelförmig nach  $c$  oder kurz prismatisch sind.Spaltbar nach  $b$ , weniger nach  $p$ . — Baup: Ann. Pharm. 19, 29.Ebene der optischen Axen  $ac$ , Mittellinie  $a$ , positiv.

$2E$	$2H$
$97^\circ 40'$	$61^\circ 34'$ Roth
102 2	63 34 Grün. Lang.

Elektrolyse des Kalisalzes: J. f. pr. Ch. (2) 4, 376. 6, 256.

**Kaffein** s. Thein.**Kakodylsäure.**  $(CH^3)_2As \cdot OH$ .Eingliedrig.  $p, p', b, c$ . Beobachtet

$p : p' = 119^\circ 52'$	$c : b = 82^\circ 25'$
$b = 116 \ 30$	$p = 94 \ 45$
$p' : b = 123 \ 32$	$p' = 94 \ 37$

Bunsen: Pogg. A. 42, 149.

**Kampher.**  $C^{10}H^{16}O$ .Sechsgliedrig.  $a : c = 1 : 1,6202$  Des Cloizeaux. $d, p, c$ .

Berechnet

Beobachtet

$d \left\{ \begin{array}{l} 2A = 127^\circ 40' \\ 2C = 123 \ 42 \end{array} \right.$	
$d : c =$	*118° 9'
$p = 151 \ 54$	

C. r. 48, 1064.

Brechungsexponenten und Refraktionsäq. Gladstone: J. Ch. c. (2) 8, 404. 147.

Die alkoholische Lösung ist rechtsdrehend.

Grösse der Drehung Wilhelmy: Pogg. A. 434, 527. — Montgomer: Bull. Soc. chim. (2) 22, 487. 25, 47.

Abnahme der Drehung mit der Verdünnung Biot: Ann. Ch. Phys. (3) , 257. 405. — Vgl. Arndtsen: Pogg. A. 405, 345.

Unabhängigkeit des Drehungsvermögens von der T. Tuchschildt: f. pr. Ch. (2) 2, 235.

**Kampher, Borneo-.**  $C^{10}H^{18}O$ .

Regulär.

Ist fest, gleich dem gewöhnlichen, inaktiv, in Lösung rechtsdrehend.

Gleiche Zusammensetzung hat nach **Jeanjean** der K. aus dem Fuselöl des Krapps, dessen Lösung jedoch linksdrehend ist.

Ebenso verhält sich der **Matricariakampher** nach **Chautard**.

Das **Menthol**  $C^{10}H^{20}O$ , dessen hexagonale Nadeln doppelbrechend und negativ sind, ist in Lösung gleichfalls linksdrehend. **Des Cloizeaux**.

### Kampherderivate \*).

(Von rechtsdrehendem Laurineenkampher.)

#### Kamphersäureanhydrid. $C^{10}H^{14}O^3$ .

Zweiglig.  $a : b : c = 0,9973 : 1 : 1,747$  Zepharovich.

$q, r, \frac{r}{2}, c$ .

	Berechnet	Beobachtet	
		Zepharovich	Montgolfier
$q : q =$	$60^\circ 26'$		$60^\circ 43'$
$c =$		$*120^\circ 43'$	
$r : r =$	$60 \quad 48$	$60 \quad 23$	$59 \quad 35$
$c =$		$*120 \quad 9$	
$a =$	$449 \quad 54$		
$\frac{r}{2} : \frac{r}{2} =$	$98 \quad 34$		
$c =$	$439 \quad 17$	$439 \quad 48$	
$a =$	$430 \quad 43$	$434 \quad 4$	

Prismatisch nach Axe  $b$ . Montgolfier beobachtete ausserdem  $p^1$  und  $r^{\frac{2}{3}}$ .

Optische Axenebene  $= bc$ , Mittellinie  $= c$ , negativ.

	$2E$	$2H$
Weiss	$30^\circ 30'$	$20^\circ 0'$
Blau	$30 \quad 20$	$19 \quad 40$
Roth	$34 \quad 20$	$24 \quad 20$

$q > r$ . Zepharovich. — Zepharovich: Wien. Ak. Ber. 73. — Montgolfier: Ann. Ch. Phys. (5) 44, 4.

#### Kamphersäure. $C^{10}H^{16}O^4$ .

Zwei- und eingliedrig.  $a : b : c = 0,6527 : 1 : 0,5475$  Zepharovich.  
 $o = 69^\circ 6'$ .

$o', p, b, c$ .

	Berechnet	Beobachtet
$o' : o' =$	$128^\circ 7'$	$128^\circ 8'$
$p : p =$	$117 \quad 45$	$116 \quad 29$
$b =$	$121 \quad 22,5$	$121 \quad 39$
$c =$		$*107 \quad 43,5$
$o' : p =$	$125 \quad 26,5$	$125 \quad 9$
$b =$		$*115 \quad 57$
$c =$		$*126 \quad 50$

\*) S. Kachler: Lieb. Ann. 169, 168. Ber. d. ch. G. 1874. 1728.

Die  $p$  und  $c$  sind convex, daher die Messungen nicht genau.

Prismatisch nach  $p$ . Nach  $p$  und  $b$  sehr vollkommen spaltbar.

Ebene der optischen Axen senkrecht zu  $ac$ ; Mittellinie im stumpfen Winkel  $o$ ;  $2H = 70^\circ 33'$ ;  $\rho < v$ .

Volumgewicht. 4,495 Schröder.

Schmelzpunkt  $174-176^\circ$ . O. Meyer.

Drehungsvermögen (rechts). Bouchardat: C. r. 28, 349. — Kach-  
r: Ann. Ch. Ph. 162, 259.

Wird durch Erhitzen mit etwas Wasser auf  $180^\circ$  in eine isomere in-  
tensive Säure verwandelt. — Jungfleisch: Ber. d. ch. G. 1879, 268.

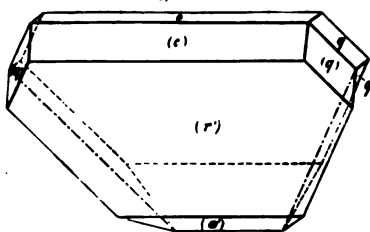
### Kampherkohlensäure. $C^{22}H^{32}O^6$ .

Zwei- und eingliedrig.  $a : b : c = 4,0474 : 1 : 1,50$  Zepharovich.  
 $o = 85^\circ 44'$ .

$q, r', a, c$ .

	Berechnet	Beobachtet	
		Zepharov.	Friedel
$l : q =$	$65^\circ 8'$	$65^\circ 43'$	
$c =$		$122^\circ 34'$	$122^\circ 47'$
$a =$	$92^\circ 36'$	$93^\circ 4'$	
$x : c =$	$94^\circ 49'$	$94^\circ 54'$	$95^\circ 42'$
$r' =$	$144^\circ 52'$	$144^\circ 58'$	$144^\circ 43'$
$' : c =$	$120^\circ 49'$	$120^\circ 52'$	$120^\circ 5'$
$: (c) =$		$119^\circ 22,5'$	

Fig. 96.



Nicht selten Zwillinge nach  $r'$ . — Fig. 96.

Prismatisch nach der Verticalzone.

Spaltbar nach  $c$ . — Zepharovich: Wien. Ak. Ber. 83 (Groth  
schr. 3, 304). — Friedel: Ann. Ch. Phys. (4) 49, 260.

### Kampherkohlensäurechlorid. $C^{22}H^{28}Cl^8$ .

Eingliedrig.  $a : b : c = 0,6249 : 1 : 0,5843$  Zepharovich.

$A = 88^\circ 3'$	$\alpha = 88^\circ 3'$
$B = 103^\circ 32'$	$\beta = 103^\circ 32'$
$C = 89^\circ 47'$	$\gamma = 90^\circ 45'$

$p, p^2, p'_2, {}^4p, {}^4p', \frac{1}{3}p', \frac{r}{2}, \frac{r'}{2}, a, b, c$ . —  $u = 4a' : b : c$ .

	Berechnet	Beobachtet
$a : b =$		$89^\circ 47'$
$p =$	$148^\circ 46'$	$148^\circ 50'$
$p^2 =$	$129^\circ 37'$	$129^\circ 28'$
$p'_2 =$	$129^\circ 42'$	$129^\circ 42'$
${}^4p =$	$112^\circ 16'$	$112^\circ 26'$
${}^4p' =$	$112^\circ 38'$	$112^\circ 38'$
$\frac{1}{3}p' =$	$141^\circ 12'$	$141^\circ 9'$
$b : p =$	$121^\circ 4'$	$121^\circ 14'$
$p^2 =$	$140^\circ 21'$	$140^\circ 28'$

	Berechnet	Beobachtet
$b : p'_2 =$	$140^\circ 11'$	$140^\circ 39'$
$^4p =$	$157 \ 31$	$157 \ 24$
$^4p' =$		$157 \ 35$
$\frac{4}{3}p' =$	$129 \ 2$	
$b : c =$		$88 \ 3$
$c : q' =$	$150 \ 53$	
$a : c =$		$103 \ 32$
$\frac{r}{2} =$	$125 \ 53$	$125 \ 25$
$\frac{r'}{2} =$	$125 \ 57$	
$c : \frac{r}{2} =$	$157 \ 39$	$158 \ 42$
$\frac{r'}{2} =$	$152 \ 51$	$153 \ 44$
$^4p =$	$93 \ 20$	$92 \ 58$
$^4p' =$	$96 \ 56$	$96 \ 32$
$u : a =$	$90 \ 9$	$90 \ 16$
$b =$	$118 \ 50$	$119 \ 3$
$c =$	$146 \ 34$	$146 \ 45$
$^4p' =$		$146 \ 30$

Prismatisch nach der Horizontalzone. Zwillinge nach  $\alpha$ . Spaltbar nach  $a$ . — Zepharovich untersuchte auch das optische Verhalten. A. a. O.

### Kamphoronsäure, Oxy-. $C^9H^{12}O^6 + aq$ .

Dimorph.

A. Zwei- und eingliedrig.  $a : b : c = 0,747 : 1 : 0,490$  Ditscheiner  
 $\alpha = 86^\circ 50'$ .

$^2p, \frac{4}{3}r, r', a, b, c$ .

	Berechnet	Beobachtet	
		Ditscheiner	Zepharovich
$^2p : ^2p =$	$67^\circ 40'$		
$a =$	$123 \ 50$	$123^\circ 51'$	$123^\circ 49'$
$b =$	$146 \ 40$	$146 \ 4$	
$c =$	$94 \ 46$	$94 \ 54$	
$a : c =$		$93 \ 10$	$93 \ 14$
$r' =$	$124 \ 3$	$124 \ 10$	$124 \ 5$
$\frac{4}{3}r' =$	$107 \ 39$		
$c : r' =$		$145 \ 47$	$145 \ 44$

Tafelartig nach  $a$ ; vollkommen spaltbar nach  $a$  und  $c$ .

Ebene der optischen Axen  $= ac$ . Doppelbrechung schwach, negativ:  $2H = 88^\circ 34'$ ,  $\rho < v$ . Neigung der Axenebene  $= 49^\circ 27'$  zu einer Normalen auf Axe  $a$  und  $= 47^\circ 26'$  zu einer solchen auf Axe  $c$ .

B. Zwei- und eingliedrig.  $a : b : c = 0,7725 : 1 : 0,6406$  Zepharovich.  
 $\alpha = 72^\circ 24'$ .

$\alpha', p, ^2p, q, r', a, b, c$ .



	Berechnet	Beobachtet
$o' : o' =$	$124^{\circ} 26'$	
$p : p =$	$107 \ 18$	
$a =$	$143 \ 39$	$143^{\circ} 48'$
${}^2p : {}^2p =$	$68 \ 22$	
$a =$	$124 \ 41$	$124 \ 8$
$p : c =$	$104 \ 8$	$104 \ 22$
$q : q =$	$117 \ 42$	
$c =$	$148 \ 36$	$148 \ 17$
$a : c =$		$107 \ 39$
$r' =$	$118 \ 54$	$118 \ 53$
$c : r' =$		$133 \ 27$
$o' : a =$	$114 \ 56$	$114 \ 53$
$c =$	$126 \ 51,5$	$126 \ 55$
$p =$	$129 \ 0,5$	$129 \ 0$
$q =$	$140 \ 4$	$140 \ 6$

Tafelartig nach  $a$ . Die  ${}^2p$  und  $b$  erscheinen nur an einer Seite,  $b$  meist links, die  ${}^2p$  meist rechts; auch  $o'$  und  $p$  wurden nur links beobachtet. Vollkommen spaltbar nach  $a$ , weniger nach  $b$ .

Ebene der optischen Axen senkrecht auf  $ac$ ; Doppelbrechung schwach, negativ.  $2H = 85^{\circ} 7'$ ,  $\varrho < v$ .

Beide Formen treten in directe Beziehung, wenn  $\frac{2}{3}r$  in  $A. = c$  gesetzt wird, weil dann für  $rA$ .

$$a : b : c = 0,7828 : 1 : 0,6864$$

$$o = 72^{\circ} 21',$$

nur würde dann  $c = \frac{2}{3}r$  werden.

Es scheint also keine wirkliche Dimorphie stattzufinden.

#### Indifferente Verbindung. $C^9H^{12}O^2$ .

Zwei- und eingliedrig. —  $p, r', a, b$ .

Die rhomboederähnlichen Combinationen  $pr'$  und die Zwillinge (Zwillingsaxe die Normale auf  $a$ ) ergaben

$$p : a = 130^{\circ} 40'$$

$$r' = 109 \ 52$$

Sehr kleine Krystalle, spaltbar nach  $r'$ . — Zepharovich.

#### Kampherderivat. $C^9H^{12}O^6$ .

Zwei- und eingliedrig.  $a : b : c = 0,6264 : 1 : 0,5289$  Zepharovich.  $o = 84^{\circ} 15'$ .

$p, {}^2p, r', a, b, c$ .	Berechnet	Beobachtet
$p : p =$		$116^{\circ} 8'$
$a =$	$148^{\circ} 4'$	$148 \ 3$
$b =$	$121 \ 56$	$122 \ 1$
$c =$	$94 \ 53$	$94 \ 53$
${}^2p : b =$	$144 \ 46$	$139 \ 2$
$p =$	$160 \ 40$	$162 \ 46$
$a : c =$		$95 \ 45$

	Berechnet	Beobachtet
$a : r' =$	$126^{\circ} 48'$	$126^{\circ} 43'$
$c : r' =$		$*137 \ 28$
$p : r' =$	$120 \ 33$	$120 \ 30$

Spaltbar nach  $b$  und  $c$ .

Ebene der optischen Axen  $ac$ , Mittellinie im stumpfen Winkel  $ol$  gend;  $\varrho < v$ ,  $2H_a = 84^{\circ}$ ;  $2H_o = 105^{\circ}$ ; also  $2V = 80^{\circ} 46'$ . — Wi Ak. Ber. 83.

### Kamphoronsäure, Hydrooxy-. $C^9H^{14}O^6$ .

Eingliedrig.  $a : b : c = 0,6649 : 1 : 0,6975$  Zepharovich.

$A =$	$85^{\circ} 12'$	$\alpha =$	$85^{\circ} 9'$
$B =$	$107 \ 52$	$\beta =$	$107 \ 52$
$C =$	$89 \ 23$	$\gamma =$	$90 \ 54$

$o'', \frac{o''}{2}, \frac{o'''}{2}, q, q', a. - n = 4a : b : \frac{1}{2}c.$

	Berechnet	Beobachtet
$q : q' =$		$*112^{\circ} 54'$
$a : q =$		$*105 \ 3$
$q' =$		$*104 \ 35$
$o'' : a =$	$124^{\circ} 0'$	$124 \ 12$
$q' =$	$97 \ 53$	$97 \ 53$
$\frac{o''}{2} : a =$	$101 \ 27$	$101 \ 46$
$q' =$		$*106 \ 40$
$\frac{o'''}{2} : a =$	$99 \ 57$	$100 \ 8$
$q' =$	$155 \ 28$	$155 \ 16$
$n : a =$	$113 \ 53$	$113 \ 16$
$q' =$		$*130 \ 26$

Meist  $q, q', a$ . Spaltbar nach  $q', n, \frac{o''}{2}$  und  $a$ .

Optisches Verhalten. S. o.

### Kampher, Monobrom-. $C^{10}H^{15}BrO$ .

Zweigliedrig.  $a : b : c = 0,9687 : 1 : 1,4988$  Zepharovich.  
 $o = 86^{\circ} 3'$ .

$p, q, r, r', a, c$ .

	Berechnet	Zepharovich	Beobachtet	Friedel
$p : p =$	$94^{\circ} 57',5$	$94^{\circ} 54',5$	$94^{\circ} 39'$	
$a =$	$135 \ 59$	$135 \ 58$	$135 \ 52$	
$c =$	$92 \ 50,5$		$92 \ 44$	
$q : q =$	$79 \ 48$			
$b =$	$140 \ 6$			
$c =$		$*129 \ 54$		
$a : c =$		$*93 \ 57$	$93 \ 49$	$93^{\circ} 53'$
$r : a =$	$142 \ 38$	$142 \ 36$		
$c =$		$*134 \ 49$		

Berechnet	Beobachtet		
	Zepharovich	Bodewig	Friedel
$r' : a = 139^{\circ} 34'$	$139^{\circ} 27'$	$139^{\circ} 47'$	$139^{\circ} 34'$
$c = 126 \ 32$	$126 \ 32$	$126 \ 32$	$126 \ 38$
$q : r = 115 \ 3$	$114 \ 47$ ungef.		
$r' = 112 \ 27$	$112 \ 49$		
$p : r = 124 \ 54$	$124 \ 53$		
$r' = 123 \ 9,5$	$123 \ 9$		

Kleine nach der Verticalzone prismatische Krystalle mit  $c$  und  $r$  als herrschenden Flächen; die  $p$  und  $q$  meist matt, gewölbt und unvollzählig.

Ebene der optischen Axen parallel Axe  $b$ ; die Mittellinie, im stumpfen Winkel  $ac$  liegend, weicht von der Normale auf Fläche  $c$  wenig ab;  $q < v$ .

$$2H_a = \begin{cases} \text{Zepharovich} & \text{Bodewig} \\ 75^{\circ} 49' \text{ Roth} & 75^{\circ} 58' \text{ Roth} \\ 76 \ 30 \text{ Blau} & 77 \ 18 \text{ Gelb.} \end{cases}$$

Zepharovich: Wien. Ak. Ber. 83. — Bodewig: Groth Ztschr. 574. — Friedel: Ann. Ch. Phys. (5) 44, 410. — Vgl. Montgolfier: Bull. Soc. chim. 23, 253 (1875).

Schmelzpunkt  $67^{\circ}$ .

#### Kampher, Dibrom-. $C^{10}H^{14}Br^2O$ .

Zweigligdig.  $a : b : c = 0,7925 : 1 : 0,5443$  Zepharovich.

$p, q, r, b$ .	Berechnet	Beobachtet	
		Zepharovich	Montgolfier
$p : p = 103^{\circ} 12',5$		$103^{\circ} 15'$	
$b = 128 \ 23,5$		$128 \ 25$	
$q : q = 125 \ 34$		$125 \ 24$	$123^{\circ} 46'$
$b =$		$*117 \ 13$	$118 \ 7$
$r : r = 114 \ 2$		$113 \ 45$	
$p : q = 106 \ 30$		$106 \ 34$	
$r = 115 \ 15,5$		$115 \ 24$	
$q : r =$		$*138 \ 15$	

Sehr kleine Prismen  $pb$ , tafelartig durch Vorherrschen einer Fläche  $p$ .

Ebene der optischen Axen  $= ab$ , Mittellinie  $= a$ , negativ,  $q > v$ ;  $E = 28^{\circ}$ .

Die Angaben Montgolfier's sind nur theilweise richtig. — S. Monobromkampher.

#### Pimelinsäure. $C^7H^{12}O^4$ .

Eingliedrig.  $a : b : c = 0,4974 : 1 : 0,5992$  Zepharovich.

$$\begin{array}{ll} A = 80^{\circ} 48' & \alpha = 84^{\circ} 50' \\ B = 100 \ 53 & \beta = 100 \ 4,5 \\ C = 83 \ 34 & \gamma = 85 \ 22 \end{array}$$

$q, q', 2q', r', a, b, c$ .	Berechnet	Beobachtet
$a : b =$		$*83^{\circ} 34'$
$b : c =$		$*80 \ 48$

	Berechnet	Beobachtet
$q : q' =$	$119^{\circ} 3'$	$118^{\circ} 57'$
$b =$	$113 \ 39$	
$c =$		$117 \ 9$
$q' : b =$	$127 \ 18$	$127 \ 22$
$c =$	$151 \ 54$	$151 \ 46$
$2q' : c =$	$135 \ 29,2$	$135 \ 47$
$a : c =$		$100 \ 53$
$r' =$	$135 \ 46$	$135 \ 51$
$r' : c =$	$123 \ 21$	$123 \ 23$
$q =$	$120 \ 2$	$119 \ 50$
$q' =$	$116 \ 50$	$116 \ 56$

Meist prismatisch nach Axe  $a$ . Vollkommen spaltbar nach  $a$  und  $r'$ .  
 Ditscheiner beschreibt die Krystalle als zweigliedrige tafelförmige  
 Combinationen  $p, c$ , an denen  $p : p = 123^{\circ} 56'$ . — Wien. Ak. Ber. 77.  
 Schmelzpunkt  $104^{\circ}$ .

#### Kamphylsäure, Sulfo-. $C^9H^{16}SO^6 + 2aq$ .

Eingliedrig.  $a : b : c = 0,8515 : 1 : 0,759$  Zepharovich.

$A = 94^{\circ} 30'$	$\alpha = 97^{\circ} 22'$
$B = 120 \ 40$	$\beta = 121 \ 10$
$C = 110 \ 50$	$\gamma = 111 \ 36$

$\frac{o''}{3}, 3q', a, b, c$ .

	Berechnet	Beobachtet
$a : b =$		$110^{\circ} 50'$
$b : c =$		$94 \ 30$
$3q' : b =$	$153^{\circ} 42'$	$153 \ 24$
$c =$		$111 \ 48$
$a : c =$		$120 \ 40$
$\frac{o''}{3} : a =$	$128 \ 7$	$130 \ 14$
$b =$	$115 \ 50$	$114 \ 4$
$c =$		$101 \ 10$

Tafelförmig nach  $c$ . Gelbbraun. Die Messungen sind nicht scharf.

#### Kamphylsaures Blei, Sulfo-.

Saures.  $PbC^{18}H^{30}S^2O^{12} + 4aq$ .

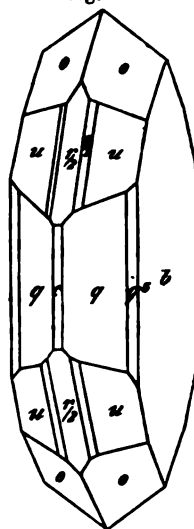
Zweigliedrig.  $a : b : c = 0,7228 : 1 : 0,808$  Zepharovich.

$u = a : \frac{2}{3}b : \frac{1}{2}c$ . —  $o, \frac{o}{2}, q, q^3, \frac{r}{2}, b, c$ .

	Berechnet	Beobachtet
$o \left\{ \begin{array}{l} 2A = 123^{\circ} 23' \\ 2B = 108 \ 7 \\ 2C = 82 \ 1 \end{array} \right.$		$123^{\circ} 12'$ $108 \ 4$ $82 \ 9$
$\frac{o}{2} \left\{ \begin{array}{l} 2A = 111 \ 9 \\ 2B = 125 \ 14 \\ 2C = 69 \ 11 \end{array} \right.$		

	Berechnet	Beobachtet
$u \begin{cases} 2A = 124^\circ 15' \\ 2B = 80 \quad 0 \\ 2C = 54 \quad 6 \end{cases}$		
$q : q = 102 \quad 8$		$100^\circ 37'$
$b = 128 \quad 56$		$129 \quad 42$
$q^3 : q^3 = 44 \quad 50$		
$b = 157 \quad 35$		$157 \quad 4\frac{1}{2}$
$\frac{r}{2} : \frac{r}{2} = 121 \quad 36$		
$c = 150 \quad 42$		
$o : b = 118 \quad 19$		$118 \quad 26$
$q = 139 \quad 0$		$139 \quad 3$
$\frac{o}{2} : \frac{r}{2} = 160 \quad 34,5$		$160 \quad 38$
$u : b = 117 \quad 53$		
$\frac{r}{2} = 152 \quad 7$		$152 \quad 8$

Fig. 97.



Tafelartig nach  $b$ . — Fig. 97. — Sehr kleine Kristalle.

Ebene der optischen Axen  $= bc$ , Mittellinie  $= c$ , negativ. Axenwinkel  $78^\circ 17'$ .

#### Kohlenwasserstoff. $C^{13}H^8$ .

(Ber. d. ch. G. 1875, 1048).

Zweigliedrig.  $a : b : c = 0,487 : 1 : 0,527$  Arzruni.

$p, {}^2p, {}^3p, q, q^2, b$ .	Berechnet	Beobachtet
$p : p = 128^\circ 4'$		$128^\circ 38'$
$b =$		$*115 \quad 58$
${}^2p : b = 134 \quad 45$		$135 \quad 20$
$p = 161 \quad 43$		$161 \quad 40$
${}^3p : b = 145 \quad 37$		$145 \quad 25$
$q : b =$		$*117 \quad 48$
$q = 124 \quad 24$		$124 \quad 43$
$p = 101 \quad 47$		$101 \quad 38$

Roth. — Groth Ztschr. 1, 447.

#### Kreatin. $C^4H^9N^3O^2$ .

Zwei- und eingliedrig.  $a : b : c = 2,389 : 1 : 2,370$  Keferstein.  
 $o = 70^\circ 41'$ .

$o, p, a, c$ .	Berechnet	Beobachtet	
		Keferstein	Heintz
$o : o = 72^\circ 0'$			
$p : p =$		$*47^\circ 50'$	$46^\circ 50'$
$a : c =$		$*109 \quad 19$	$108 \quad 55$
$o : a = 118 \quad 36$		$117 \quad 59$	
$c =$		$*118 \quad 43$	

Prismatisch nach  $p$ . Leicht spaltbar nach  $c$ . Farblos, durchsichtig. — Heintz: Pogg. A. 73, 595. 74, 434. — Keferstein: Eb. 99, 294.

### Kreatinin. $C^4H^7N^3O$ .

Zwei- und eingliedrig.  $a : b = 1,457 : 1$  Kopp.  
 $o = 69^\circ 24'$ .

$p, a, c.$	Berechnet	Beobachtet
$p : p =$		$\sim 81^\circ 40'$
$c =$	$103^\circ 48'$	
$a : c =$		$\sim 110 \quad 36$

Ann. Ch. Pharm. 62, 300.

### Lactonsaurer Kalk. $Ca(C^6H^9O^6)^2 + 7aq.$

Zwei- und eingliedrig.  $a : b : c = 1,7663 : 1 : 2,0033$  Haushofer.  
 $o = 76^\circ 35'$ .

$o', p, r', \frac{2}{3}r', r.$	Berechnet	Beobachtet
$o' : o' =$		$\sim 78^\circ 0'$
$p : p =$	$60^\circ 24'$	$60 \quad 30$
$c =$		$\sim 96 \quad 42$
$c : r' =$	$135 \quad 38$	$135 \quad 30$
$\frac{2}{3}r' =$	$110 \quad 5$	$109 \quad 40$
$o' : c =$		$\sim 116 \quad 44$
$p =$	$146 \quad 34$	$146 \quad 34$
$r' =$	$129 \quad 0$	$128 \quad 55$

In diesen Angaben scheint ein Irrthum enthalten zu sein. Geht man vom Axenverhältniss aus, so muss  $o' : o' = 68^\circ 30'$  und  $o' : r' = 124^\circ 45'$  sein.

Andererseits würde, wenn  $o' : o' = 78^\circ 0'$  ist, Axe  $a = 1,485$  sein. Tafelartig nach  $c$ . Sehr kleine Krystalle.

Ebene der optischen Axen parallel Axe  $b$ , Mittellinie fast senkrecht auf Fläche  $c$ . — Groth Ztschr. 6, 439.

### Laricinsäure. $C^{10}H^{10}O^5$ .

Zwei- und eingliedrig.  $a : b : c = 9,39435 : 1 : 0,62115$  Miller.  
 $o = 70^\circ 43'$ .

$p, q, q\frac{2}{3}, b, c.$	Berechnet	Beobachtet
$p : p =$	$139^\circ 40'$	
$b =$		$\sim 110^\circ 25'$
$c =$		$\sim 108 \quad 2$
$q : q =$	$119 \quad 44$	
$c =$	$119 \quad 37$	
$b =$		$\sim 120 \quad 23$
$q\frac{2}{3} : q\frac{2}{3} =$	$137 \quad 18$	
$c =$	$158 \quad 39$	
$b =$	$111 \quad 21$	
$q =$	$170 \quad 58$	

Leicht spaltbar nach  $c$ . Zwillinge nach  $a$ . — J. Chem. Soc. (2) 1, 310.

**Leucaurin.**  $C^{20}H^{16}O^3$ .

Zwei- und eingliedrig.  $a : b : c = 0,6405 : 1 : 0,5433$  Lewis.  
 $\alpha = 89^\circ 40'$ .

$o', p, r', \frac{1}{2}r', a, b.$	Berechnet	Beobachtet
$o' : o' =$	$135^\circ 32'$	
$p : p =$	$117 \quad 8$	
$b =$		$121^\circ 26'$
$a : r' =$		$134 \quad 12$
$\frac{1}{2}r' =$	$162 \quad 7$	
$r' : \frac{1}{2}r' =$	$149 \quad 5$	
$o' : b =$		$112 \quad 14$

Ausserdem wurden noch einige Formen beobachtet, doch zeigen die meisten Krystalle nur  $p, b$  und  $o'$ . — J. Ch. Soc. (2) 46 (1875).

**Lotidin-Platinchlorid.**  $C^7H^{10}NCl + PtCl^4$ .

Sechsgliedrig.  $a : c = 1 : 1,497$  Lang.

$r, c.$	Berechnet	Beobachtet
$r (2A) =$	$90^\circ 52'$	
$r : c =$		$125^\circ 53'$

Häufig Zwillinge nach  $c$ .

Optisch einaxig, negativ.

Isomorph der entsprechenden Aethylaminverbindung. — Wien. Ak. r. 55, 410.

**Malamid.**  $C^4H^8N^2O^3$ .

Combinationen eines Prismas von  $92^\circ 50'$  mit Abstumpfung der scharfen Kanten. — Pasteur: Ann. Ch. Phys. (3) 38, 457.

**Maleinsäure.**  $C^4H^4O^4$ .

Zwei- und eingliedrig.  $a : b : c = 0,7386 : 1 : 0,7015$  Bodewig.  
 $\alpha = 62^\circ 53'$ .

$p, q, q^2, b, c.$

	Berechnet	Beobachtet	
		Bodewig	Loschmidt
$p : p =$		$113^\circ 22,5'$	$112^\circ 56'$
$q : q =$	$116^\circ 3'$		
$c =$		$148 \quad 1,5$	
$q^2 : q^2 =$	$77 \quad 22$		
$q =$	$160 \quad 39,5$	$160 \quad 35$	
$b =$	$144 \quad 19$	$144 \quad 30$	
$p : q =$	$127 \quad 53$	$127 \quad 56$	
$c =$	$112 \quad 23$	$112 \quad 29$	$112 \quad 12$

Prismatisch nach  $p$ . Stets Zwillinge nach  $a$ , an denen

$c : c =$   $125^\circ 45',5$   $125^\circ 32'$ .

Loschmidt hatte sie für einfache zweigliedrige Krystalle gehalten, haltbar nach  $c$ .

Ebene der optischen Axen  $ac$ .Schmelzpunkt  $130^\circ$ . — Loschmidt: Wien. Ak. Ber. 54. — Bodewig: Groth Ztschr. 5, 559.**Maleinsäureanhydrid.  $C^4H^2O^3$ .**Zweigliedrig.  $a : b : c = 0,6408 : 4 : 0,4806$  Bodewig.

	Berechnet	Beobachtet
$p : p =$		$*114^\circ 42'$
$b = 122^\circ 39'$		122 44
${}^2p : {}^2p = 75 \ 56$		
$p = 160 \ 37$		160 38
$b = 142 \ 2$		
$r : r =$		$*106 \ 15$
$p = 120 \ 24$		120 25

Kurz prismatisch.

Ebene der optischen Axen  $ab$ .Schmelzpunkt  $53^\circ$ . — A. a. O.**Maleinsaures Natron, saures.  $NaC^4H^3O^4 + 3aq$ .**Eingliedrig.  $a : b : c = 0,5714 : 4 : 0,5298$  Bodewig.

$A = 94^\circ 42'$	$\alpha = 94^\circ 30'$
$B = 100 \ 57$	$\beta = 100 \ 44$
$C = 104 \ 42$	$\gamma = 104 \ 44$

 $o'', p', q, {}^2q', r', a, b, c$ .

	Berechnet	Beobachtet
$a : b =$		$*104^\circ 42'$
$p' = 147^\circ 38'$		147 47
$b : p' = 107 \ 40$		107 32
$b : c =$		$*94 \ 42$
$q =$		$*121 \ 29$
$c : q = 152 \ 42$		152 43
$a : c =$		$*100 \ 57$
$r' = 127 \ 59$		128 6
$c : r' = 134 \ 4$		130 55
$p' : c = 98 \ 26$		98 27
$r' : b =$		$*97 \ 54$
$q = 119 \ 56$		119 54
$q : a = 106 \ 42$		106 40
${}^2q' : b = 135 \ 8$		135 12
$o'' : a = 119 \ 17$		119 27
$b =$		106 35
$c = 134 \ 45$		134 36
$p' = 129 \ 49$		129 56
$q = 134 \ 34$		134 24
$r' = 155 \ 34$		155 32

Tafelartig nach  $b$ , spaltbar nach  $a$ . — Groth Ztschr. 5, 560.



**Malonsäure.  $C^3H^4O^4$ .**Eingliedrig.  $a : b : c = 0,6708 : 1 : 0,3423$  Haushofer.

$A = 78^\circ 42'$	$\alpha = 76^\circ 38'$
$B = 105 \ 40$	$\beta = 100 \ 6$
$C = 113 \ 11$	$\gamma = 109 \ 58$

 $o'', p, \frac{1}{2}p, p', \hat{a}, b, c.$ 

	Berechnet	Beobachtet	
		Haushofer	Knop
$a : b =$	$66^\circ 49'$	$67^\circ 0'$	
$p =$		$139 \ 27$	
$b : p' =$	$137 \ 54$		
$p : p' =$		$113 \ 17$	$113^\circ$
$\frac{1}{2}p : p =$	$142 \ 17$	$143 \ 18$	
$b : c =$		$78 \ 42$	
$a : c =$	$105 \ 40$	$105 \ 53$	
$c : p =$		$93 \ 49$	$93,5$
$p' =$		$130 \ 0$	
$o'' =$		$135 \ 9$	

Tafelartig nach  $p$ ; die  $a, b, o''$  und  $\frac{1}{2}p$  sind selten und unvollkommen.  
 haltbar nach  $o'$ , weniger nach  $p$ . — Knop: Ann. Ch. Ph. 133, 350. —  
 Haushofer: Groth Ztschr. 4, 580.

Schmelzpunkt  $132^\circ$ .**Malonsaures Kali.**1. Normales.  $K^2C^3H^2O^4 + aq.$ Zwei- und eingliedrig.  $a : b : c = 1,4945 : 1 : 0,9474$  Haushofer.  
 $o = 61^\circ 45'.$  $o', 2o, 2o', p, r', 2r', a, c.$ 

	Berechnet	Beobachtet
$o' : o' =$		$95^\circ 28'$
$2o : 2o =$	$100^\circ 6'$	
$2o' : 2o' =$	$74 \ 12$	
$p : p =$		$74 \ 42$
$c =$		$106 \ 58$
$a : c =$	$118 \ 45$	$118 \ 40$
$c : r' =$	$142 \ 38$	$142 \ 42$
$2r' =$	$141 \ 20$	$141 \ 42$
$o' : c =$	$126 \ 3$	$126 \ 4$
$p =$	$126 \ 58$	$127 \ 0$
$2o : c =$	$129 \ 25$	$129 \ 24$
$p =$	$157 \ 33$	$157 \ 36$
$2o' : c =$	$101 \ 57$	$102 \ 15$
$o' =$	$155 \ 54$	$156 \ 3$

Prismatisch nach  $p$ ; herrschend  $p$  und  $c$ .**2. Saures.  $KC^3H^3O^4$ .**Zwei- und eingliedrig.  $a : b : c = 1,4984 : 1 : 0,8121$  Haushofer.  
 $o = 43^\circ 8'.$

$p, q, b, c.$	Berechnet	Beobachtet
$p : p =$		*101° 23'
$b = 129^{\circ} 49'$		129 15
$c = 124 \ 23$		124 23
$q : q =$		*121 56
$c = 150 \ 58$		
$b = 119 \ 2$		119 0
$p =$		*143 15

Prismatisch nach  $p$ ; die Endflächen gewölbt und oft unvollkommen ausgebildet. Spaltbar nach  $q$ . — Groth Ztschr. 6, 119.

**Malonsaurer Kalk.**  $\text{Ca C}^3\text{H}^2\text{O}^4 + 2\text{aq.}$

Zwei- und eingliedrig.  $a : b : c = 2,0147 : 1 : 1,9623$  Haushofer.  
 $\alpha = 73^{\circ} 39'.$

$p, \frac{r}{2}, r', a, c.$	Berechnet	Beobachtet
$p : p =$		*54° 43'
$a = 117^{\circ} 21',5$		
$c =$		*97 26
$a : c = 106 \ 21$		106 20
$\frac{r}{2} = 128 \ 41$		128 40
$r' = 125 \ 49$		125 49
$c : \frac{r}{2} = 156 \ 39$		156 30
$r' =$		*127 50
$r' : \frac{r}{2} = 105 \ 29$		105 24

Prismatisch nach der Verticalzone mit herrschenden  $c$ . — Groth Ztschr. 6, 120.

**Malonsaures Kadmium.**  $\text{Cd C}^3\text{H}^2\text{O}^4 + 4\text{aq.}$

Zwei- und eingliedrig.  $a : b : c = 2,5365 : 1 : 1,004$  Haushofer.  
 $\alpha = 66^{\circ} 29'.$

$p, q, b, c.$	Berechnet	Beobachtet
$p : p =$		*46° 32'
$b = 156^{\circ} 44'$		156 44
$c =$		*99 4
$q : q = 94 \ 44$		94 42
$c = 137 \ 22$		
$b =$		*132 38

Prismatisch nach  $p$  mit Vorherrschen von  $b$ . Spaltbar nach  $c$ . — S. das vorige.

**Malonsaures Kobalt.**  $\text{Co C}^3\text{H}^2\text{O}^4 + 2\text{aq.}$

Zwei- und eingliedrig.  $a : b : c = 1,6797 : 1 : 1,000$  Haushofer.  
 $\alpha = 58^{\circ} 14'.$

$o, p, \frac{1}{2}r', a, c.$	Berechnet	Beobachtet
$o : o =$	$117^{\circ} 43'$	$117^{\circ} 43'$
$p : c =$		$^{*}107 \ 35$
$a : c =$		$^{*}121 \ 46$
$c : \frac{1}{2}r' =$	$117 \ 0$	$117 \ 0$
$o : c =$		$^{*}143 \ 0$

Sehr kleine rothe Krystalle von rhomboedrischem Ansehen durch das vorherrschen der  $o$  und der Fläche  $c$ . — S. das Kalksalz.

**Malonsaures Kupfer.**  $\text{CuC}^3\text{H}^2\text{O}^4 + 3\text{aq.}$

Zweigliedrig.  $a : b : c = 0,9878 : 1 : 0,8477$  Haushofer.

$o, o\frac{1}{2}, o\frac{2}{3}, o\frac{3}{4}, q^2, c.$	Berechnet	Beobachtet
$o \left\{ \begin{array}{l} 2A = \\ 2B = 113^{\circ} 39' \\ 2C = 100 \ 40 \end{array} \right.$		$^{*}114^{\circ} 30'$
$o\frac{1}{2} \left\{ \begin{array}{l} 2A = 106 \ 42 \\ 2B = 105 \ 38 \\ 2C = 116 \ 18 \end{array} \right.$		
$o\frac{2}{3} \left\{ \begin{array}{l} 2A = 104 \ 4 \\ 2B = 103 \ 0 \\ 2C = 122 \ 8 \end{array} \right.$		$103 \ 22$
$o\frac{3}{4} \left\{ \begin{array}{l} 2A = 121 \ 34 \\ 2B = 120 \ 48 \\ 2C = 87 \ 58 \end{array} \right.$		
$q^2 : q^2 =$	$61 \ 4$	
$c =$	$120 \ 32$	
$c : o =$		$^{*}129 \ 40$
$o\frac{1}{2} =$	$121 \ 51$	
$o\frac{2}{3} =$	$118 \ 56$	
$o\frac{3}{4} =$	$136 \ 1^{\circ}$	$137 \ 55$

Haushofer beobachtete ausserdem ein schärferes Oktaeder mit  $\frac{1}{2}c$ , allein nur die Flächen  $o, q^2$  und  $c$  sind eben, die der übrigen Formen und es in Andeutungen vorhandenen ersten Paares  $p$  stark gestreift. Seltener ind einfache Combinationen von  $o, q^2$  und  $c$ .

Oft erscheinen vier Krystalle mit parallelen Axen  $c$  verwachsen, so dass sie spitzen ebenen Winkel der Flächen  $c$  dem gemeinsamen Mittelpunkt zuekehrt sind, wobei die unteren Hälften sich unvollkommen ausgebildet eigen. Spaltbar sehr vollkommen nach  $c$ .

Ebene der optischen Axen  $= bc$ , Mittellinie  $= c$ . Der Axenwinkel ist klein, die Brechung positiv,  $\rho < v$ . — A. a. O.

**Malonsaures Mangan.**  $\text{MnC}^3\text{H}^2\text{O}^4 + 2\text{aq.}$

Zweigliedrig.  $a : b : c = 0,7668 : 1 : 0,8467$  Haushofer.

$o, p, c.$

<sup>\*</sup>) Haushofer giebt  $137^{\circ} 2'$  an.

	Berechnet	Beobachtet
$\left. \begin{array}{l} 2A = \\ 2B = \\ 2C = \end{array} \right\} o$	$\begin{array}{l} 120^{\circ} 16' \\ 100 \quad 0 \\ 109 \quad 28 \end{array}$	$120^{\circ} 28'$
$p : p =$		$*105 \quad 3$
$o : p =$		$*144 \quad 44$
$c =$	$125 \quad 16$	

Sehr kleine starkglänzende prismatische Krystalle. A. a. O.

**Malonsaures Natron, saures.**  $2(\text{Na C}^3\text{H}^3\text{O}^4) + \text{aq.}$

Zweigliedrig.  $a : b : c = 0,639 : 1 : 0,4475$  Shadwell.

$o, p, {}^2p, a, b, c.$	Berechnet	Beobachtet
$\left\{ \begin{array}{l} 2A = \\ 2B = \\ 2C = \end{array} \right. o$	$\begin{array}{l} \\ \\ 75^{\circ} 34' \end{array}$	$\begin{array}{l} *144^{\circ} 42' \\ *148 \quad 4 \end{array}$
$p : p =$	$114 \quad 50$	
$a =$	$147 \quad 25$	$147 \quad 13$
${}^2p : {}^2p =$	$76 \quad 6$	
$a =$	$128 \quad 3$	$127 \quad 55$

Meist prismatisch; spaltbar nach  $c$ , weniger nach  $a$ .

Optische Axenebene  $bc$ , Mittellinie  $c$ , negativ.  $2E = 55^{\circ} 21'$ ,  $2h = 37^{\circ} 24'$ ,  $2H_o = 164^{\circ} 5$  (Gelb);  $\alpha = 1,4069$ ,  $\beta = 1,5237$ ,  $\gamma = 1,540$   
— Groth Ztschr. 5, 316.

**Malonsaures Zink.**  $\text{Zn C}^3\text{H}^3\text{O}^4 + 2\text{aq.}$

Zwei- und eingliedrig.  $a : b : c = 1,765 : 1 : 1,01$  Haushofer.  
 $o = 59^{\circ} 23'$ .

$o, p, \frac{r'}{2}, a, c.$	Berechnet	Beobachtet
$o : o =$		$*116^{\circ} 22'$
$p : p =$	$66^{\circ} 44'$	$66 \quad 59$
$a =$	$123 \quad 22$	$123 \quad 54$
$c =$	$106 \quad 46$	$106 \quad 42$
$a : c =$	$120 \quad 37$	$120 \quad 33$
$\frac{r'}{2} =$	$126 \quad 26$	$126 \quad 35$
$c : \frac{r'}{2} =$	$112 \quad 57$	$113 \quad 2$
$o : a =$		$*134 \quad 28$
$c =$		$*142 \quad 42$
$p =$	$143 \quad 34$	$143 \quad 45$

Herrschend  $a, c, p$ ; sehr kleine, auch nach  $c$  tafelartige Combinationen

$c, p, \frac{r'}{2}$ .

Ebene der optischen Axen  $ac$ . — A. a. O.

**Malonaminsäure.**  $\text{C}^3\text{H}^5\text{N O}^3$ .

Zweigliedrig.  $a : b : c = 0,7444 : 1 : 1,2417$  Haushofer.

$o, \frac{1}{3}p, b.$

	Berechnet	Beobachtet
$\alpha$ $\left\{ \begin{array}{l} 2A = \\ 2B = \\ 2C = 128^\circ 52' \end{array} \right.$		$*116^\circ 56'$ $*85 \quad 2\frac{1}{2}$
$\frac{1}{2}p : \frac{1}{2}p =$	93 $\frac{1}{2}$	94 $\quad 0$
$b =$	133 $\quad 28$	133 $\quad 15$
$\alpha : b =$	124 $\quad 32$	

Haushofer giebt das erste Paar als  $\frac{1}{2}p = \frac{1}{2}a : b : \infty c$  an, was vorsetzen würde:

$$\frac{1}{2}p : \frac{1}{2}p = 86^\circ 18'$$

$$b = 136 \quad 54$$

Kleine nach  $b$  tafelartige Krystalle, an denen  $p$  und  $b$  gewölbt sind.

Ebene der optischen Axen =  $ab$ , Mittellinie =  $b$ . — Groth Ztschr. 426.

#### Mandelsäure. $C^8H^8O^3$ .

Zweigligdrig.  $a : b : c = 0,7673 : 1 : 0,8743$  Heusser.

$p, p^2, q, \frac{q}{2}, r, b$ .

	Berechnet	Beobachtet
$p : p =$	$105^\circ \quad 0'$	
$b =$		$*127^\circ 30'$
$p^2 : p^2 =$	138 $\quad 2$	
$b =$	110 $\quad 59$	
$p =$	163 $\quad 29$	
$q : q =$	97 $\quad 52$	
$b =$		$*134 \quad 4$
$\frac{q}{2} : \frac{q}{2} =$	132 $\quad 56$	
$b =$	113 $\quad 32$	113 $\quad 0$
$q =$	162 $\quad 28$	
$r : r =$	82 $\quad 44$	
$p : q =$	113 $\quad 34$	
$r =$	126 $\quad 33$	
$q : r =$	119 $\quad 53$	

Tafelartig nach  $b$ . — Pogg. A. 94, 637.

Volumgewicht. 1,355—1,364 Schröder.

#### Mannit. $C^6H^{14}O^6$ .

Zweigligdrig.  $a : b : c = 0,4748 : 1 : 0,52$  Schabus.

$p, \frac{1}{2}p, 2p, 1p, p^2, p^4, q, \frac{q}{2}, a, b$ .

	Berechnet	Beobachtet
$p : p =$		$*129^\circ 29'$
$b =$	$115^\circ 15',5$	115 $\quad 18$
$\frac{1}{2}p : \frac{1}{2}p =$	99 $\quad 20$	
$a =$	139 $\quad 40$	139 $\quad 45$
$2p : 2p =$	93 $\quad 19,5$	93 $\quad 21$

	Berechnet	Beobachtet
$2p : a =$	$136^{\circ} 40'$	$136^{\circ} 40,5'$
$b =$	133 20	133 19,5
$p : p =$	33 42	
$b =$	163 9	163 4
$p^2 : p^2 =$	153 27	
$b =$	103 16,5	103 10
$p^4 : p^4 =$	166 33	
$a =$	173 16,5	173 20
$q : q =$		125 3
$b =$	117 28,5	117 26,5
$\frac{q}{2} : \frac{q}{2} =$	150 51	150 48
$b =$	104 34,5	104 36
$p : q =$	104 21	

Tafelartig nach  $b$ . Oder feine Nadeln<sub>1</sub> aus  $p, b, q$ . Die ersten Paare sind vertical gestreift.

Spaltbar nach  $b$ , weniger nach  $a$ .

Ebene der optischen Axen  $ab$ , Mittellinie  $b$ ; negativ;  $2E = 100^{\circ}$ . Grailich.

Ist optisch inactiv\*); liefert rechtsdrehenden Nitromannit. Lois: Bull. Soc. chim. 1864, 413. — Krecke: Arch. néerland. 7, 202.

Eine Borsäure oder Borax enthaltende Lösung ist rechtsdrehend. Vignon: C. r. 78, 448. Aehnlich wirkt Arsensäure und ihre Salze. Derselbe: Ann. Ch. Phys. (5) 2, 433. — Vgl. Klein: C. r. 86, 826.

Nach Bouchardat wäre eine Mannitlösung schwach linksdrehend.

Derselbe untersuchte Mannitderivate auf ihr optisches Verhalten, und fand Mannitan  $C^6H^{12}O^5$  optisch activ, ebenso Hexacetylmannit, Tetraacetylmannitan, Mannitmono- und Dichlorhydrat. — Ann. Ch. Phys. (5) 6, 100.

Nach Müntz und Aubin ertheilen überhaupt Salze dem Mannit die Fähigkeit der Rechtsdrehung, Alkalien die entgegengesetzte. C. r. 83, 1213. — Vgl. Landolt: Ber. d. ch. G. 1880, 2336.

Thermochemisches. Berthelot: C. r. 73, 663.

Löslichkeit. 100 Theile Wasser 100 Theile Alkohol (0,8985)

lösen bei  $18^{\circ}$  45,6  $15^{\circ}$  4,2  
23 48,5

100 Theile wasserfreier Alkohol lösen bei  $44^{\circ}$  0,07 Theile.

Volumgewicht. 1,489 Schröder; 1,521 Prunier.

Schmelzpunkt  $160-165^{\circ}$ ; M. bleibt bei  $140^{\circ}$  flüssig.

Siedepunkt gegen  $200^{\circ}$ , wobei ein Theil zu Mannitan wird. — Berthelot: Ann. Ch. Phys. (3) 47, 297.

#### Maticocampher. $C^{10}H^{16}O$ .

Sechsgliedrig (tetartoedrisch).  $a : c = 1 : 0,346$  Hintze.

$r, p, a$ . —  $d^2 = a : \frac{1}{2}a : a : 2c$ ;  $x = \frac{1}{2}a : \frac{1}{3}a : \frac{1}{4}a : c$ .

\*); Linksdrehend nach manchen Angaben.

	Berechnet	Beobachtet
$2A$ von $r = 124^{\circ} 52'$		$124^{\circ} 44'$
$r : p =$		$122^{\circ} 48'$
$d^2 : p = 132^{\circ} 47'$		$132^{\circ} 45'$
$a = 141^{\circ} 39'$		
$x : r = 149^{\circ} 54'$		$149^{\circ} 45'$
$p = 140^{\circ} 59'$		$141^{\circ} 10'$

Die Krystalle sind Combinationen des ersten Prismas  $p$  und der drei abwechselnden Flächen des zweiten  $a$ . In der Endigung herrscht das Haupt-rhomboeder  $r$ . Das Dihexaeder  $d^2$  tritt als Ditetraeder (Trigonoeder) an und hat drei Flächen  $a$  oben und unten auf, und der Sechskantner  $x$  ist nach dem Gesetz der trapezoedriscen Tetartoedrie in ein (trigonales) Trapezoeder verwandelt, und zwar liegen beide rechts vom Rhomboeder, die des Trapezoeders links von  $d^2$ , zwischen diesem und  $p$ , während sie zugleich mit einem  $a$  und einem  $r$  in eine Zone fallen.

Den meisten Krystallen fehlen die Flächen  $a$ ,  $d^2$  und  $x$ , welche beiden Enden zugewandten gerundet zu sein pflegen.

Die Doppelbrechung ist sehr schwach und negativ. Die Brechungscoefficienten sind

	$o$	$e$
Li-L.	1,5445	1,5404
Na-L.	1,5447	1,5436
Tl-L.	1,5488	1,5476

Circularpolarisation. Blättchen der Krystalle mit tetartoedriscen Flächen enthalten rechts- und linksdrehende Theile, während die Hauptachse, besonders in der Nähe der Trapezoederflächen, rechtsdrehend ist. Eine Zwillingsbildung aus rechten und linken Krystallen ist jedoch nicht anzunehmen.

Durch Umkrystallisiren entstanden nur Combinationen  $p$ ,  $r$ , welche rhomboedrisch und linksdrehend waren. Hintze fand die Grösse der Doppelbrechung für 4 mm Dicke  $1^{\circ} 41'$  Roth,  $2^{\circ} 4'$  Gelb,  $2^{\circ} 28'$  Grün.

Schmelzpunkt  $103^{\circ}$ . — Pogg. A. 157, 127.

#### Maynasharz s. Calophyllumharz.

#### Melamin. $C^3H^6N^2$ .

Zweigliedrig.  $a : b : c = 0,43 : 1 : 0,538$  Liebig.

Rhombenoktaeder  $o$ , an welchen

$$2A = 142^{\circ} 50', 2B = 75^{\circ} 6', 2C = 115^{\circ} 4'.$$

Spaltbar nach  $c$ . — Ann. Ch. Ph. 10, 18.

#### Melampyrin s. Dulcit.

#### Melanilin. $C^{13}H^{13}N^3$ .

Zwei- und eingliedrig.  $a : b : c = 1,724 : 1 : 1,417$  Arzruni.

$$o = 82^{\circ} 54', 5.$$

$p, r, r', a, b.$	Berechnet	Beobachtet
$p : p =$		*60° 37'
$a =$	120° 9'	120 22
$a : r =$		*133 42
$r' =$		*125 55
$r : r' =$	100 23	100 24

Tafelartig nach  $a$ . — Pogg. A. 152, 285.

### Menthol s. Kampher.

**Mesaconsaurer Baryt.**  $\text{BaC}^5\text{H}^4\text{O}^4 + 4\text{aq.}$

Zwei- und eingliedrig.  $a : b : c = 0,682 : 1 : 0,909$  Peters.  
 $\alpha = 86^\circ 23'.$

$\frac{o'}{2}, p, r, r', a, c.$	Berechnet	Beobachtet	
		Peters	Schabus
$\frac{o'}{2} : \frac{o'}{2} =$	137° 30'		
$p : p =$		*111° 30'	111° 30'
$c =$	92 58		
$a : c =$	93 37		93 54
$r =$		*111 26	111 24
$r' =$		*111 50	111 38
$c : r =$	129 41		129 30
$r' =$	124 33		124 33
$r : r' =$	73 44	73 50	73 58
$p : r =$	132 15		
$r' =$	130 32		

Prismatisch nach  $p$  oder tafelartig nach  $a$ ;  $\frac{o'}{2}$  selten. Zwillinge nach  $c$ .  
 Spaltbar nach  $c$  (Sch.), nach  $b$  (P.). — Peters: Ann. Ch. Ph. 78, 432. —  
 Schabus: Pogg. A. 116, 422.

### Mesitylensäure. $\text{C}^9\text{H}^{10}\text{O}^2.$

Zwei- und eingliedrig.  $a : b : c = 1,1665 : 1 : 1,2003$  Calderon.  
 $\alpha = 63^\circ 17'.$

$o', p, r', a, c.$	Berechnet	Beobachtet
$o' : o' =$	137° 44'	137° 48'
$p : p =$	88 2	
$a =$	134 4	134 2
$c =$		*108 18
$a : c =$	116 43	116 49
$r' =$	122 24	
$c : r' =$	120 53	121 18
$o' : c =$		*111 23
$r' =$		*135 13

Kleine, meist undurchsichtige Krystalle. Stets Zwillinge nach  $c$ .



	Berechnet	Beobachtet
$p : p =$	$143^{\circ} 24'$	$142^{\circ} 30'$
$r' : r' =$	$118 \ 14$	$117 \ 27$
$a : a =$	$126 \ 34$	$126 \ 20$

Spaltbar nach  $c$ . — Groth Ztschr. 4, 236.

**Mesitylsulfonsäure.**  $C^9H^{12}SO_3 + 2aq$ .

Zweigliedrig.  $a : b : c = 0,967 : 1 : 0,644$  Bodewig.

$p, r, a, c$ .	Berechnet	Beobachtet
$p : p =$		$*94^{\circ} 56'$
$r : r =$		$*112 \ 41$
$a =$	$123^{\circ} 40'$	$123 \ 40$
$c =$	$146 \ 20,5$	$146 \ 30$
$p =$	$113 \ 29$	$113 \ 29$

Tafelartig nach  $c$ . Spaltbar nach  $c$ . Ebene der optischen Axen  $= bc$ ; optische Achse negativ  $= b$ .  $2H_a = 144^{\circ}$  etwa. — Groth Ztschr. 3, 384.

Isomer der Pseudocumolsulfonsäure. Die Formen lassen nur in Bezug auf  $p$  einen Vergleich zu.

**Metabromnitrobenzol** s. Bromnitrobenzol.

**Metabromorthonitrobenzoesaures Natron** s. Bromnitro.

**Metachlornitrobenzol** s. Chlornitrobenzol.

**Metadinitrobenzol** s. Dinitrobenzol.

**Metanitrilanilin** s. Nitrilanilin.

**Metanitrobenzalchlorid** s. Nitro.

**Metanitrobenzoesäure** s. Nitrobenzoesäure.

**Metanitrophenylglyoxylamid** s. Nitrophenyl.

**Metasantonin** s. Santonin.

**Metasantonsäure** s. Santonin.

**Metasulfophenylpropionsaurer Baryt** s. Sulfophenyl.

**Metaxylidin** s. Xylidin.

**Methan.**  $CH_4$ .

(Grubengas. Sumpfgas.)

Zusammendrückbarkeit. Einfluss der Temperatur Amagat: C. r. 90, 994.

Ausdehnung. Regnault untersuchte die Abweichung vom Mariotte'schen Gesetz bei einem Druck bis zu zwei Atmosphären. — Relation des expériences.

Nach Caillaud bildet es bei 180 Atm. und  $7^{\circ}$  bei plötzlichem Aufheben des Drucks Nebel, was auf Verflüssigung schliessen lässt. — C. r. 5, 4046.

$p, r, r', a, b.$	Berechnet	Beob.	$n^2 = 1,526$ <small>0,000886</small>
$p : p =$			
$a = 120^\circ 9'$			
$a : r =$			$= 4,51$ ; nach Croul-
$r' =$			
$r : r' = 100 \ 23$			
Tafelartig nach a. — Pogg. A. 156		474	$G = 1,000302$
		s. (4) 20, 136. — Ma S. 1847.	

**Menthol****Mesaconsaurer F** 44, 484.

Zwei- und eingliedrig.  $a$  — Hermann: Pogg. A. 156, 497.  
 oder Polarisationssebene s. Kohlenoxyd.

$\frac{o'}{2}, p, r, r', a, c.$   $p = 0,3277$   
 Gew. 0,5929 Regnault.

$\frac{o'}{2} : \frac{o'}{2} = 20420$  W.-E. Thomsen.

$p : \frac{o'}{2}$  Wärme der Gewichtseinheit: 44092 W.-E. Grassi,  
 13108 Andrews, 13063 Favre und Silbermann.

— Ber. d. ch. G. 1880, 1323.

— Ber. d. ch. G. 1880, 1323.  
 — Ber. d. ch. G. 1880, 1323.  
 — Ber. d. ch. G. 1880, 1323.  
 — Ber. d. ch. G. 1880, 1323.

— Buff und Hofmann: Ann. Ch. Ph. 113, 129.

— Berthelot fand, dass hierbei Acetylen entsteht, auch Benzol und  
 — Berthelot fand, dass hierbei Acetylen entsteht, auch Benzol und

— Berthelot fand, dass hierbei Acetylen entsteht, auch Benzol und  
 — Berthelot fand, dass hierbei Acetylen entsteht, auch Benzol und

— Berthelot fand, dass hierbei Acetylen entsteht, auch Benzol und  
 — Berthelot fand, dass hierbei Acetylen entsteht, auch Benzol und

— Berthelot fand, dass hierbei Acetylen entsteht, auch Benzol und  
 — Berthelot fand, dass hierbei Acetylen entsteht, auch Benzol und

— Berthelot fand, dass hierbei Acetylen entsteht, auch Benzol und  
 — Berthelot fand, dass hierbei Acetylen entsteht, auch Benzol und

**Methenylorthophenylendiamin. C<sup>7</sup>H<sup>6</sup>N<sup>2</sup>.**

Zweigliedrig.  $a : b : c = 0,982 : 1 : 1,964$  Wundt.

$o, p, \frac{q}{2}.$	Berechnet	Beobachtet
$2A =$	$97^\circ 26'$	
$2B =$		$95^\circ 36'$
$2C =$		$141 \ 1$
$p : p =$	$91 \ 2$	$91 \ 0$
$\frac{q}{2} : \frac{q}{2} =$	$90 \ 50$	
$o : p =$	$160 \ 30$	$160 \ 20$
$p : \frac{q}{2} =$	$149 \ 23$	$149 \ 28$

Prismatisch nach  $p$ , oder bloß  $o, \frac{q}{2}$  oder  $p, \frac{q}{2}$ , in welchem Fall öfter  
 eine Fläche  $p$  vorherrscht.

Vollkommen spaltbar nach  $c$  (welches sehr selten vorkommt).

Ebene der optischen Axen =  $ab$ ; Mittellinie =  $b$ .  $2H_a = 98^\circ$  für Gelb, woraus  $2V = 86^\circ 45'$ ;  $q < v$ ; Brechung positiv.

$$\alpha = 1,6088; \beta = 1,6122; \gamma = 1,6161.$$

Sadebeck: Wiedem. Ann. 5, 566. 572.

Schmelzpunkt  $167^\circ$ .

### Methyläther. $C^2H^6O$ .

Verdichtung. Wird bei  $-36^\circ$  flüssig. Der flüssige siedet bei  $-21^\circ$  Berthelot. Bei  $-23^\circ,65$  Regnault.

Gas-V. G. 23,4 Dumas und Péligot. Berechnet 23.

Spannkraft des Dampfes nach Regnault:

Bei $-30^\circ$	576,74 mm	Bei $10^\circ$	2628,97 mm
— 20	882,00	20	3586,01
— 10	1306,66	30	4777,99
0	1879,02		

Reibungscoefficient. O. Meyer: Pogg. A. 143, 14. 148, 526.

Brechungsexponent. Mascart: C. r. 86, 321.

### Methylalkohol. $CH^4O$ .

Zusammendrückbarkeit. Grassi: Ann. Ch. Phys. (3) 34, 437.  
— Amagat: Eb. (5) 11, 520.

Ausdehnung.  $V = 1 + 0,0011342 t + 0,0000013635 t^2 + 0,000000008744 t^3$  (0 bis  $64^\circ,2$ ). Kopp: Pogg. A. 72, 48. — Vgl. Pierre: Ann. Ch. Phys. (3) 15, 325.

Volumgewicht.  $0,8207$  ( $0^\circ$ ) Pierre;  $0,81796$  ( $0^\circ$ ) Kopp;  $0,8142$  ( $0^\circ$ ) =  $0,7997$  ( $16^\circ$ ) Derselbe;  $0,8217$  ( $5-10^\circ$ ),  $0,8173$  ( $10-15^\circ$ ),  $0,813$  ( $15-20^\circ$ ) Regnault;  $0,81571$  ( $10^\circ$ ) Dupré;  $0,8052$  ( $9^\circ,5$ ) Delffs;  $0,8065$  ( $15^\circ$  gegen Wasser von  $4^\circ$ ) Mendelejew;  $0,7964$  und  $0,8035$  Landolt;  $0,8004$  ( $16^\circ$ ) Prytz.

Siedepunkt.  $66^\circ,3$  (759 mm) Pierre;  $65^\circ,5$  (760 mm), später  $64^\circ$ ,  $6-65^\circ,2$  (743,7 mm) Kopp;  $65^\circ,8$  (767 mm) Andrews;  $60^\circ,5$  Delffs;  $66^\circ,78$  (760 mm) Regnault;  $58^\circ,6$  (757,4 mm) Dupré;  $66^\circ$  (753 mm) Landolt;  $63-65^\circ$  (wegen heftigen Stossens) Derselbe;  $69^\circ$  Mascart;  $64^\circ,3$  (760 mm) Lechner;  $65^\circ,7$  Prytz,  $65^\circ,1$  Dittmar. Der Siedepunkt dürfte infolge eines geringen Wassergehalts Abweichungen zeigen.

Specif. Wärme.  $0,645$  zwischen  $43$  und  $23^\circ$  Kopp;  $0,6713$  Favre und Silbermann.

Zwischen $20-25^\circ$	$0,6009$
15—10	$0,5868$
10—5	$0,5901$ Regnault.

$0,58325$  zwischen  $60$  und  $48^\circ$ . Dupré.

Neue Untersuchungen Reis: Wiedem. Ann. 43, 447.

**Latente Dampfwärme.** Für die Gewichtseinheit 263,7. für 1 Vol. (Liter) 303,5 Andrews; 263,86 Favre und Silbermann.

**Specif. Wärme des Dampfes.** Für

gleiche Gewichte 0,4580

gleiche Volume 0,5063 Regnault.

**Spannkraft des Dampfes nach Regnault:**

Bei — 20°	6,27 mm	Bei 70°	857,40 mm
— 10	13,47	80	1238,47
0	26,82	90	1744,67
+ 10	50,13	100	2405,45
20	88,67	110	3259,60
30	149,99	120	4344,77
40	243,54	130	5694,30
50	384,68	140	7337,40
60	579,93	150	9364,35

Pogg. A. 111, 409.

**Brechungsexponent.** Er wurde von Deville (bei 9°) = 1,3358. von Delffs = 1,3269 gefunden. Später bestimmte ihn Landolt für die Wasserstofflinien,

	$\alpha$	$\beta$	$\gamma$
bei 20°	1,32789	1,33320	1,33624
	1,32886	1,33425	1,33747

Pogg. A. 122, 547. — Vgl. Croullebois: Ann. Ch. Phys. (4) 22, 439. — Prytz: Wiedem. Ann. 11, 407.

Die Refraction des Dampfes untersuchten Mascart: C. r. 86, 1182. und Prytz.

Für Mischungen mit Wasser giebt Dupré die Zusammen-drückbarkeit, das V. G. und die Ausdehnung, Siedepunkt, specif. und Mischungswärme an. — Pogg. A. 148, 236.

Später untersuchte auch Lecher die specif. Wärme solcher Mischun-gen. — Wien. Ak. Ber. 76, 937.

Deville verglich die Brechungsexp. und die V. G. der Mischungen und fand, dass die stärkste Brechung dem Maximum der Contraction ent-spricht, welches dem Verhältniss  $2\text{CH}^4\text{O} : 3\text{H}^2\text{O}$  entspricht. — Ann. Ch. Phys. (3) 5, 129 (Pogg. A. 57, 267).

### Methyl, ameisensaures. $\text{CH}^3 \cdot \text{CHO}^2$ .

**Ausdehnung.**  $V = 1 + 0,0044055 t + 0,0000047134 t^2 + 0,000000045947 t^3$  (0 bis 30°, 9) Kopp.

**Volumgewicht.** 0,9984 (0°) Kopp.

**Siedepunkt.** 33°, 4 (760 mm) Kopp; 32°, 9 (752 mm) Andrews; 34°, 3 (745 mm) Schoop.

**Latente Dampfwärme** für die Gewichtseinheit 447,4; für gleiche Vol. (1 Liter) 282,8 Andrews.

Aenderung des Gas-V. G. durch Temperatur und Druck. Schoop: Wiedem. Ann. 12, 560.

**Methyl, buttersaures.**  $\text{CH}^3 \cdot \text{C}^4\text{H}^7\text{O}^2$ .

Ausdehnung.  $V = 1 + 0,00449565 t + 0,0000048403 t^2 + 0,000000098292 t^3$  (zwischen  $6^\circ,9$  und  $94^\circ,6$ ; Kopp. Vgl. Pierre.

Volumgewicht. 0,92098 ( $0^\circ$ ) Kopp; 1,0293 Pierre.

Siedepunkt.  $93^\circ$  Delffs;  $95^\circ,9$  Kopp;  $102^\circ,4$  (743,9 mm) Pierre. — Kopp: Pogg. A. 72, 276. — Pierre: Ann. Ch. Phys. (3) 49, 493.

Brechungsexponent. 1,3752 Delffs.

**Methyl, citrinsaures.**  $(\text{CH}^3)^3\text{C}^6\text{H}^5\text{O}^7$ .

Eingliedrig.

Combinationen $p, p', b, c$ .	Beobachtet
$p : p' =$	$127^\circ 41' - 128^\circ 4'$
$b =$	115 39
$p' : b =$	116 21—41'
$p : c =$	125 35
$p' : c =$	136 45

Sénarmont: Privatmittheilung.

**Methyl, essigsaures.**  $\text{CH}^3 \cdot \text{C}^2\text{H}^3\text{O}^2$ .

Ausdehnung.  $V = 1 + 0,0042779 t + 0,0000039474 t^2 + 0,00000003639 t^3$  ( $0-62^\circ,3$ ) Kopp. — Vgl. Pierre.

Volumgewicht. 0,9562 ( $0^\circ$ ) Kopp; 0,8668 Pierre; 0,939 und 0,937 ( $12^\circ,8$ ) Prytz.

Siedepunkt.  $56^\circ,3$  Kopp;  $59^\circ,5$  (764,2 mm) Pierre.  $55^\circ$  (762 mm) Andrews;  $58^\circ$  Cahours.

Latente Dampfwärme. 110,2 resp. 303,6 Andrews (s. ameisen-saures Methyl).

Gas-V. G. 37,5 bei  $77^\circ$  Cahours. Berechnet 37. — Aenderung s. ameisensaures Methyl.

Brechungsexponent. 1,3576 Delffs. Bei  $20^\circ = 1,3672$  Sauber, 1,364 Landolt, 1,3603 Prytz. Derselbe bestimmte auch  $n$  für den Dampf. — Wiedem. Ann. 41, 444.

**Methyl, oxalsaures.**  $(\text{CH}^3)^2 \cdot \text{C}^2\text{O}^4$ .

Zwei- und eingliedrig.  $a : b : c = 0,332 : 1 : 0,5226$  Loschmidt.  
 $o = 76^\circ 38'$ .

$p, {}^2p, q, q^2, b$ .	Berechnet	Beobachtet
$p : p =$		$144^\circ 12'$
${}^2p : {}^2p =$	$144^\circ 16'$	
$q : q =$		126 6
$q^2 : q^2 =$	89 2	89 0
$p : q =$		109 36
$q^2 =$	111 56	111 52

Tafelartig nach *b*. Die Krystalle waren faserig und voller Sprünge in der Richtung von *c*. — Wien. Ak. Ber. 54.

Schmelzpunkt. 50° Kopp.

Volumgewicht des flüssigen bei 50° = 1.1566 (gegen Wasser von 0°) Kopp.

Ausdehnung s. Kopp: Ann. Ch. Ph. 95, 307.

Siedepunkt. 163°,5 Delffs; 164°,2 (760 mm) Regnault.

Spannkraft der Dämpfe. Regnault: Pogg. A. 111, 410.

#### Methyl, propionsaures. $\text{CH}^3 \cdot \text{C}^3\text{H}^5\text{O}^2$ .

Volumgewicht. 0,9278 bei 9°,13 Prytz.

Derselbe bestimmte die Brechungsexponenten des flüssigen und des Dampfes. Wiedem. Ann. 11, 113.

Siedepunkt. 78,6—78°,8 (730,9 mm) Schoop.

Aenderung des Gas-V. G. durch Temperatur und Druck. S. Ameisensaures Methyl.

#### Methyl, salicylsaures (Gaultheriaöl). $\text{CH}^3 \cdot \text{C}^7\text{H}^5\text{O}^3$ .

Ausdehnung.  $V = 1 + 0,0008436 t + 0,00000040082 t^2 + 0,000000025505 t^3$  (8°,5 bis 168°,2) Kopp.

Volumgewicht. 1,1819 (16°) = 1,1969 (0°) Kopp; 1,179 Landolt; 1,1843 (20°,5) Delffs; 1,1845 (15°) Mendelejew.

Siedepunkt. 223° (742,3 mm) Kopp; 221° Delffs; 220°.1—221°.4 Landolt.

Brechungsexponent (20°) nach Landolt:

$\alpha$	$\beta$	$\gamma$
1,53019	1,55212	1,56718.

#### Methyl, valeriansaures. $\text{CH}^3 \cdot \text{C}^5\text{H}^9\text{O}^2$ .

Ausdehnung.  $V = 1 + 0,00112113 t + 0,0000017044 t^2 + 0,0000000058627 t^3$  (5°,5 bis 104°,4) Kopp.

Volumgewicht. 0,901525 (0°) Kopp.

Siedepunkt. 116°,2 (760 mm) Kopp.

#### Methylaminalaun. $([\text{CH}^6\text{N}]^2\text{SO}^4 + \text{AlS}^3\text{O}^{12}) + 24 \text{ aq.}$

Regulär. Oktaeder mit Würfel. Schabus.

#### Methylammonium-Platinchlorid. $2(\text{CH}^3\text{N} \cdot \text{HCl}) + \text{PtCl}^4$ .

Sechsgliedrig.  $a : c = 1 : 1,565$  Lüdcke.

$r, 2r', c.$	Berechnet	Beobachtet
$r(2A) =$		*98° 32'
$2r'(2A) =$	66° 50'	67 4
$c : r =$	118 57	119 10
$2r' =$	105 44	

Oktaedrische Formen oder dünne Tafeln nach  $c$ , welches zugleich willings- und Spaltungsfläche ist.

Optisch positiv. — Groth Ztschr. 4, 325.

**Methylammonium-Zinnchlorid.**  $2(\text{CH}_5\text{N} \cdot \text{HCl}) + \text{SnCl}_4$ .

Sechsgliedrig.  $a : c = 1 : 1,507$  Hiortdahl.

$r, 2r', c$ .	Berechnet	Beobachtet
$r(2A) =$	$82^\circ 40'$	$82^\circ 47'$
$2r'(2A) =$	$67 \ 20$	$67 \ 22$
(Endk.) $r : 2r' =$	$123 \ 40$	$123 \ 52$
$c : r =$		$119 \ 53$
$2r' =$	$106 \ 2$	$106 \ 5$

Tafelartig nach  $c$ . — Optisch einaxig. — Krystallogr. Kem. Unders. Kristiania 1884.

Isomorph Methylammonium-Platinchlorid.

**Methylanilin-Kadmiumbromid.**  $\text{C}_6\text{H}_5 \cdot \text{CH}_3 \cdot \text{NH} \cdot \text{H Cd Br}_3$ .

Zweigliedrig.  $a : b : c = 0,7945 : 1 : 0,3008$  Hiortdahl.

$o, 2p, b$ . —  $n = a : \frac{1}{3} b : c$ .

	Berechnet	Beobachtet
$o \left\{ \begin{array}{l} 2A = \\ 2B = \\ 2C = \end{array} \right.$	$\begin{array}{l} 148^\circ 34' \\ 140 \ 8 \\ 51 \ 36 \end{array}$	$\begin{array}{l} 148^\circ 27' \\ \\ \end{array}$
$n \left\{ \begin{array}{l} 2A = \\ 2B = \\ 2C = \end{array} \right.$	$\begin{array}{l} \\ 148 \ 36 \\ 88 \ 16 \end{array}$	$\begin{array}{l} 99 \ 40 \\ 148 \ 15 \\ \end{array}$
$2p : 2p =$		$64 \ 28$
$b =$	$147 \ 19$	$147 \ 32$
$o : b =$	$105 \ 43$	
$n : b =$	$130 \ 10$	$130 \ 29$
$o =$	$155 \ 33$	$155 \ 33$

Isomorph dem Anilin-Kadmiumbromid. S. dieses.

**Methylanilin-Zinnbromid.**  $(\text{C}_6\text{H}_5 \cdot \text{CH}_3 \cdot \text{NH} \cdot 2\text{H}^2\text{Sn Br}_6$ .

Zwei- und eingliedrig. Hiortdahl.

Das Salz ist isomorph dem Aethylanilin-Zinnbromid.

$o', \frac{r}{3}, \frac{r'}{3}, a, c$ . —  $x = 3a : b : c$ .

	Berechnet (nach dem Aethylsalz,	Beobachtet
$a : c =$	$94^\circ 50'$	$95^\circ \ 4'$
$\frac{r}{3} =$	$129 \ 21$	$129 \ 40$
$\frac{r'}{3} =$	$123 \ 7$	$122 \ 47$
$c : \frac{r}{3} =$	$145 \ 26$	$145 \ 28$

	Berechnet (nach dem Aethylsalz)	Beobachtet
$c : \frac{r'}{3} =$	142° 3'	141° 56'
$x : x =$	138 32	138 33
$\frac{r}{3} =$	110 44	110 44

S. die Aethylverbindung.

#### Methylbromid. $\text{CH}^3\text{Br}$ .

Ausdehnung.  $V = 1 + 0,0014152 t + 0,0000033153 t^2 + 0,00000011384 t^3$  (von  $-34^\circ,6$  bis  $27^\circ,8$ ) Pierre.

Volumgewicht. 4,6644 ( $0^\circ$ ) Pierre.

Siedepunkt etwa  $43^\circ$  (759 mm) Pierre.

#### Methylchlorid. $\text{CH}^3\text{Cl}$ .

Verdichtung nach Regnault bei  $-23^\circ,73$ ; bei  $-36^\circ$  nach Berthelot. Das flüssige siedet bei  $-24^\circ$  Berthelot.

Die Spannkraft des Dampfes fand Regnault

bei $-30^\circ =$	578,99 mm	bei $40^\circ =$	2663,84 mm
— 20	883,25	20	3666,95
— 10	1309,61	30	4940,46
0	1894,00		

#### Methyljodid. $\text{CH}^3\text{J}$ .

Ausdehnung.  $V = 1 + 0,0011996 t + 0,0000021633 t^2 + 0,000000010054 t^3$  (von  $-35^\circ,4$  bis  $64^\circ,5$ ) Pierre.

Volumgewicht. 2,1992 ( $0^\circ$ ) Pierre; 2,2636 ( $20^\circ$ ) Haagen.

Siedepunkt.  $43^\circ,8$  (750,2 mm) Pierre.

Brechungsverhältnisse des flüssigen Haagen: Pogg. A. 431, 447; des Dampfes Prytz: Wiedem. Ann. 44, 446. — Vgl. Mascart: C. r. 86, 324.

#### Methylchininperjodidsulfat. $2(\text{C}^{20}\text{H}^{24}\text{N}^2\text{O}^2 \cdot \text{C}^2\text{H}^3 \cdot \text{J}) \cdot \text{H}^2\text{SO}^4 \cdot \text{J}^2$ .

Zweigligdrig.  $a : b : c = 0,9786 : 4 : 0,6307$  Topsøe.

$p, {}^2p, r, {}^2r, a, c$ .	Berechnet	Beobachtet
$p : p =$		$91^\circ 45'$
$a =$	135° 37',5	135 30
${}^2p : {}^2p =$	54 8	53 29
$p =$	161 26,5	160 51
$a =$	147 4	146 53
$r : r =$	144 24	144 30
$c =$	147 12	146 46
${}^2r : {}^2r =$	75 37	
$c =$	127 48,5	
$r =$	160 36,3	160 20
$p : r =$		112 47



Kleine dunkelbraune Nadeln, in der Horizontalzone stark gestreift.  
 att glänzend. Spaltbar nach  $a$ . — Wien. Ak. Ber. 73 (1876).

**Methylcrotonsäure.  $C^5H^5O^2$ .**

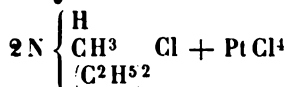
Eingliedrig.  $a : b : c = 2,2966 : 1 : 1,0462$  Haushofer.

$A = 98^\circ 45'$	$\alpha = 99^\circ 1'$
$B = 137 \ 54$	$\beta = 137 \ 53$
$C = 93 \ 35$	$\gamma = 94 \ 43$

$p', r', a, b, c.$	Berechnet	Beobachtet
$a : b =$		$93^\circ 35'$
$p' =$		$132 \ 48$
$b : c =$		$98 \ 45$
$a : c =$		$137 \ 54$
$r' =$		$113 \ 7$
$b : r' = 97^\circ 0'$		$96 \ 49$
$p' : c = 125 \ 24$		$125 \ 30$

Prismatisch nach  $a, b, p'$ . — Groth Ztschr. 4, 569.

Schmelzpunkt  $65^\circ$ .

**Methyldiäthylammonium-Platinchlorid.**

Zwei- und eingliedrig.  $a : b : c = 0,73 : 1 : 0,5426$  Hiortdahl.  
 $o = 88^\circ 1'$ .

$o, o' p, q^2, b, c.$	Berechnet	Beobachtet
$o : o = 133^\circ 38'$		$133^\circ 36'$
$o' : o' = 132 \ 46$		
$p : p = 107 \ 46$		$107 \ 46$
$b =$		$126 \ 7$
$c =$		$94 \ 36$
$q^2 : q^2 = 83 \ 12$		
$b = 137 \ 24$		$138 \ 19$
$o : b =$		$113 \ 11$
$c = 138 \ 7$		$137 \ 54$
$p = 133 \ 28$		$133 \ 42$
$o' : c = 136 \ 39$		$136 \ 45$ ungef.

Kleine nach der Axe  $a$  prismatische Krystalle, oft tafelförmig nach Fläche  
 Zwillinge nach  $a$ . Das Augitpaar  $o'$  ist selten.

S. Methylamin-Zinnchlorid.

Die Flächen  $q^2$  sind in der Abhandlung irrthümlich als  $q$  bezeichnet.

**Methylkamphersäure.  $C^{11}H^{18}O^4$ .**

Zweigliedrig.  $a : b : c = 0,7472 : 1 : 0,6416$  Loir.

$o, p, b.$	Berechnet
$o \begin{cases} 2A = 129^\circ 10' \\ 2B = 109 \ 50 \\ 2C = 91 \ 40 \end{cases}$	

	Berechnet	Beobachtet
$p : p =$		*106° 30'
$b =$	126° 45'	126 45
$o : b =$		*115 25
$p =$	135 50	

Prismatisch nach  $p$ .

Bei raschem Verdunsten der ätherischen Auflösung erscheint  $o$  als Tetraeder. — Spaltbar nach  $b$ . — Ann. Chim. Phys. (3) 38, 483.

#### Methylnormeconsäure. $C^9H^8O^4$ .

Zwei- und eingliedrig.  $a : b = 2,7864 : 1$  Lang.  
 $o = 52^\circ 4'$ .

	Beobachtet
$p, c.$	
$p : p =$	130° 4'
$c =$	101 40

Vollkommen spaltbar nach  $c$ . — J. Chem. Soc. (2) 6, 357.

#### Methylphenylharnstoffchlorid. $C^8H^8NOCl$ .

Zweiglig.  $a : b : c = 0,849 : 1 : 0,387$  Fock.

	Berechnet	Beobachtet
$p, q, r^2, b.$		
$p : p =$		*104° 22'
$q : q =$		*137 40
$r^2 : r^2 =$	93° 12	
$p : q =$	102 53	103 1
$r^2 =$	122 7	122 11

Tafelartig nach  $b$ ; ziemlich grosse, meist trübe Krystalle.

Optische Axenebene  $ab$ , Mittellinie  $b$ ;  $2E = 27^\circ 36'$  Roth,  $27^\circ 41'$  Gelb,  $27^\circ 44'$  Grün. — Groth Ztschr. 5, 340.

#### Methylpiperidin, chlorwasserstoffsäures. $C^6H^{12}N \cdot HCl$ .

Zweiglig. Isomorph dem Chlorwasserstoff-Piperidin, mit den Flächen  $p, q, q^2, a, b$  und auch Zwillingen.

Beobachtet  $p : p = 127^\circ 48', q : b = 126^\circ 48', q^2 : b = 147^\circ 20'$ .

Optische Axenebene  $ab$ , Mittellinie  $a$ , negativ,  $2H = 56^\circ 22'$  Roth,  $54^\circ 31'$  Gelb,  $53^\circ 44'$  Grün. — Hiortdahl: Groth Ztschr. 3, 304.

#### Methylpiperidin-Goldchlorid. $C^6H^{12}N \cdot HCl + AuCl^3$ .

Zweiglig. Isomorph dem Piperidinsalz.

	Beobachtet
$p : b =$	$116^{\circ} 47', \quad p : p = 126^{\circ} 46'.$

Optische Axenebene  $ac$ , Mittellinie  $c$ , positiv.  $2E = 72^\circ 0'$  Roth,  $71^\circ 44'$  Gelb. — Hiortdahl: Groth Ztschr. 3, 304.

#### Methylschwefelsaurer Baryt. $Ba(CH^3 \cdot SO^4)^2 + 2aq$ .

Zwei- und eingliedrig.  $a : b : c = 2,3447 : 1 : 1,2137$  Schabus.  
 $o = 83^\circ 30'$ .

$p, q, a, b, c.$	Berechnet	Beobachtet
$p : p =$	$47^{\circ} 0'$	
$a =$		$*113^{\circ} 30'$
$c =$	$92 \ 35$	
$q : q =$	$79 \ 20$	
$c =$		$*129 \ 40$
$a =$	$94 \ 9$	
$a : c =$		$*96 \ 30$

Tafelartig nach  $a$ . Unvollkommen ausgebildet, die Messungen daher nicht genau; von  $p$  findet sich meist nur eine Fläche. Perlmutterglanz auf Spaltbar nach  $a$ .

**Methylschwefelsaures Kali.**  $K^2(CH^3 \cdot SO^4)^2 + aq.$

Zwei- und eingliedrig.  $a : b : c = 1,0505 : 1 : 1,5705$  Schabus.  
 $o = 86^{\circ} 51', 5.$

$o, p, q, \frac{a}{2}, c.$	Berechnet	Beobachtet
$o : o =$	$99^{\circ} 14'$	
$p : p =$		$*87^{\circ} 16'$
$c =$		$*92 \ 40$
$q : q =$	$44 \ 50$	
$c =$	$110 \ 55$	$110 \ 25$
$o : c =$		$*116 \ 34$
$p =$	$153 \ 36$	

Kleine nach  $c$  tafelartige Krystalle, auf letzterem insbesondere perlmutterglänzend.

**Methyl-Strychninhydrat.**  $CH^3 \cdot C^{21}H^{21}N^2O^2.$

Zweigligliedrig.  $a : b : c = 0,7155 : 1 : 0,9252$  Rammelsberg.

$o, p, q.$	Berechnet	Beobachtet
$o \left\{ \begin{array}{l} 2A = \\ 2B = \\ 2C = \end{array} \right.$	$\begin{array}{l} 120^{\circ} 58' \\ 93 \ 9 \\ 115 \ 40 \end{array}$	
$p : p =$		$*108^{\circ} 50'$
$q : q =$	$94 \ 26$	$94 \ 26$
$p =$	$113 \ 17$	$113 \ 20$
$o : p =$		$*147 \ 50$
$q =$	$136 \ 30$	$136 \ 30$

$o$  erscheint als Tetraeder an beiden Enden der Krystalle. — Pogg. 109, 378.

**Methylumbellsäure.**  $C^{10}H^{12}O^4.$

Zwei- und eingliedrig.  $a : b : c = 1,713 : 1 : 0,70034$  Panebianco.  
 $o = 86^{\circ} 2'.$

$o, o', p, q, r', a, c.$	Berechnet
$o : o =$	$115^{\circ} 28'$
$o' : o' =$	$112 \ 56$

	Berechnet	Beobachtet
$p : p =$		$\sim 60^\circ 40'$
$c =$	$94^\circ 57'$	$94 \ 50$
$q : q =$	$110 \ 8$	
$a : c =$		$\sim 93 \ 58$
$r' =$		$\sim 121 \ 41$
$c : r' =$	$144 \ 21$	
$o' =$	$140 \ 13$	$141 \ 13$
$q : r' =$	$115 \ 34$	$115 \ 35$

Prismatisch.  $r'$  nur als Spaltungsfläche beobachtet.

Ebene der optischen Axen parallel Axe  $b$ , Mittellinie negativ, fast normal auf  $r'$ ;  $2E = 106^\circ 20'$  Roth,  $107^\circ$  Violett. — Atti R. Acc. d. Linc. (3) 3; s. Groth Ztschr. 4, 396.

**Methyluramin-Goldchlorid.**  $C^2H^8N^3Cl + AuCl^3$ .

Zweigligdrig.  $a : b : c = 0,9867 : 1 : 0,4993$  Haushofer.

$p, 2p, q, \frac{1}{2}r, a, b.$	Berechnet	Beobachtet
$p : p =$	$90^\circ 46'$	$90^\circ 44'$
$a =$	$135 \ 23$	$135 \ 33$
$b =$		$\sim 134 \ 37$
$p^2 : p^2 =$	$127 \ 29$	$127 \ 47$
$a =$	$153 \ 44$	$153 \ 30$
$q : q =$	$126 \ 56$	
$b =$		$\sim 116 \ 32$
$\frac{1}{2}r : \frac{1}{2}r =$	$115 \ 30$	
$a =$	$122 \ 15$	$121 \ 37$
$p =$	$112 \ 19$	$112 \ 4$

Die Krystalle sind prismatisch nach der Horizontalzone, jedoch unsymmetrisch und von zwei- und eingliedrigem Aussehen, indem die  $q$  nur an einer Seite und ebenso die  $\frac{1}{2}r$  nur zur Hälfte sich finden, welche besonders die letzteren, schlecht ausgebildet sind. Spaltbar nach  $c$ : dunkel-orangeroth. — Die Ebene der optischen Axen liegt parallel Axe  $b$ . — Groth Ztschr. 3, 76.

**Methyluramin-Platinchlorid.**  $2 C^2H^5N^3Cl + PtCl^4$ .

Zwei- und eingliedrig.  $a : b : c = 0,7322 : 1 : 0,5942$  Haushofer.  
 $o = 76^\circ 47'$ .

$o, o', p, b, c.$	Berechnet	Beobachtet	
		Haushofer	Sénarmont
$o : o =$	$135^\circ 48'$		
$o' : o' =$	$135 \ 58$		
$p : p =$		$\sim 109^\circ 2'$	$108^\circ 5'$
$b =$	$125 \ 29$	$125 \ 27$	$125 \ 57$
$c =$		$\sim 100 \ 44$	
$o : b =$	$112 \ 6$	$112 \ 12$	
$c =$		$\sim 140 \ 27$	
$o' : b =$	$117 \ 1$	$117 \ 46$	
$c =$	$129 \ 45$	$129 \ 52$	

Prismatisch nach  $p$ , mit herrschendem  $b$ ; die  $o$  sind selten. Die Combinationen  $pc$  hatte Sénarmont, einer Privatmittheilung zufolge, für Rhomboeder gehalten. Kobell fand ihre zwei- und eingliedrige Natur. Spaltbar nach  $b$ . — Kobell: Sitzb. Münch. Akad. 1870. — Hausofer: Groth Ztschr. 3, 75.

### Milchsäure. $C^3H^6O^3$ .

Das Brechungsvermögen einer concentrirten S. vom Volumgewicht 2427 ermittelte Landolt: Pogg. A. 122, 558. — Vgl. Sauber: Eb. 7, 582.

Paramilchsäure ist rechtsdrehend, ihre Salze sind linksdrehend. Die Elektrolyse des Kalisalzes liefert Kohlensäure und Aldehyd. Kolbe.

### Milchsaures Kupfer. $Cu C^6H^{10}O^6 + 2aq$ .

Zweigliedrig.  $a : b : c = 0,5673 : 1 : 0,3055$  Schabus.

$s = a : \frac{1}{2}b : c$ . —  $p, r, b$ .

	Berechnet	Beobachtet
$s \left\{ \begin{array}{l} 2A = 123^\circ 26' \\ 2B = 130 \quad 38 \\ 2C = 78 \quad 18 \end{array} \right.$		
$p : p = 120 \quad 52$		
$b =$		$119 \quad 34'$
$r : r =$		$123 \quad 24$
$p = 114 \quad 21$		
$s : b = 118 \quad 17$		$118 \quad 20$
$r = 154 \quad 43$		

Sehr kleine unvollkommen ausgebildete Krystalle, denen die  $s$  auf der einen Seite (hinten) meist fehlen, während auf der anderen (vorn)  $r$  herrschend und ein  $s$  sehr klein ist oder fehlt. Die  $b$  und  $r$  sind oft,  $s$  ist zuweilen gekrümmt.

Tafelartig und spaltbar nach  $b$ .

Vielleicht ist das Salz zwei- und eingliedrig.

### Milchsaures Zink. $Zn C^6H^{10}O^6 + 3aq$ .

Zweigliedrig.  $b : c = 1 : 0,2946$  Schabus.

$q, a, b, c$ .

Beobachtet  $q : q = 147^\circ 40'$   $q : b = 106^\circ 25'$

Sehr kleine nur an einem Ende ausgebildete Krystalle, die vielleicht eingliedrig-hemiedrisch sind.

Keferstein mass anscheinend zwei- und eingliedrige Combinationen  $r, a$ , an denen  $p : p = 127^\circ 8'$ ,  $p : r = 114^\circ 4'$ ,  $a : r = 117^\circ 8'$  und ein Augitpaar  $o$  vorkamen;  $o : o = 129^\circ$ ,  $o : a = 125^\circ$ ,  $o : r = 116^\circ 12'$ . Pogg. A. 99, 278.

### Milchzucker. $C^{12}H^{22}O^{11}$ .

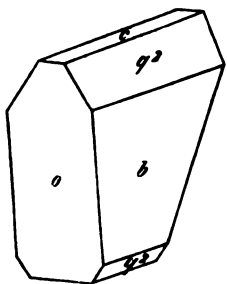
Zweigliedrig.  $a : b : c = 0,353 : 1 : 1,609$  Schabus.

$o, q^2, b, c$ .

	Berechnet	Beobachtet
$o \left\{ \begin{array}{l} 2A = 144^{\circ} 58' \\ 2B = 44 \quad 54 \\ 2C = 156 \quad 38 \end{array} \right.$		$156^{\circ} 38'$
$q^2 : q^2 = 34 \quad 32$		$37 \quad 56 \text{ bis } 39^{\circ} 48'$
$b = 162 \quad 44$		$160 \quad 24$

Die Krystalle scheinen hemimorph und hemiedrisch zu sein, denn am einen (oberen) Ende herrscht  $q^2$ , während  $c$  untergeordnet ist; am anderen herrscht letzteres, daneben treten zwei Flächen  $o$  auf, und  $q^2$  ist sehr untergeordnet. — Fig. 98.

Fig. 98.



Die Fläche  $c$  ist meist gekrümmt,  $b$  und  $q^2$  sind uneben und parallel ihren Kanten gestreift, was an grösseren Krystallen auch auf  $c$  der Fall ist.

Spaltbar nach  $b$  (besser nach  $a$ . Grailich).

Ebene der optischen Axen  $ac$ , Mittellinie  $a$ ; negativ;  $2E = 40^{\circ}$ ;  $\rho > v$ . Grailich.

Volumgewicht. 1,525 Schröder; 1,534 Schabus, Joule und Playfair.

Die kubische Ausdehnung von  $0-100^{\circ}$  ist 0,00911. Joule und Playfair.

Die Lösung des M. ist rechtsdrehend. Per-  
soz beobachtete zuerst, dass sie durch Behandlung mit Säuren ein grösseres Drehungsvermögen erlangt. Ueber die Grösse und Veränderung des Drehungsvermögens s. Erdmann: Jahresb. 1855, 674. — Vgl. Dubrunfaut: C. r. 42, 228. — Pasteur: Eb. 347. — Fudakowski: Jahresb. 1866, 667. — Besonders Schmoeger: Ber. d. ch. G. 1880. 1922. 2430, und Erdmann: Eb. 2480.

**Monobrombrenzweinsäure** s. Brom.

**Monobromkampher** s. Kampherderivate.

**Monochloracetamid** s. Chlor.

**Monochloräthylenchlorid** s. Äthylen.

**Monochloräthylidenchlorid** s. Äthyliden.

**Mononitroheptylsäure** s. Nitroheptyl.

**Mononitrophenol** s. Nitrophenol.

**Morphin.**  $C^{17}H^{19}NO^3 + aq.$

Zweigliedrig.  $a : b : c = 0,5 : 1 : 0,464$  Schabus.

$p, q, q^2, b, c$ . Berechnet

Beobachtet

	Schabus	Brooke
$p : p = 126^{\circ} 53'$	$126^{\circ} 54'$	$127^{\circ} 20'$
$b =$	$146 \quad 33,5$	
$q : q =$	$130 \quad 41,5$	

Berechnet	Beobachtet	
	Schabus	Brooke
$q : b = 114^{\circ} 54'$	$114^{\circ} 53'$	
$q^2 : q^2 = 94 \ 12$		$95^{\circ} 20'$
$b = 132 \ 54$		

Nach Schabus wäre das von Brooke allein beobachtete  $q^2$  für  $r$  zu halten, was möglich ist, da  $r : r$  fast ebenso, nämlich  $= 94^{\circ} 14'$  sein würde. Dann wäre aber dieses Paar nicht auf  $b$ , sondern auf die stumpfe Kante von  $p$  aufgesetzt. Decharme beobachtete ein Rhombentetraeder. — Brooke: Ann. Phil. 22, 118. — Decharme: Ann. Ch. Phys. (3) 68, 160.

Optisches Verhalten Lang: Wien. Ak. Ber. 31.

Volumgewicht. 1,317—1,326 Schröder.

**Morphin, schwefelsaures.**  $(C^{17}H^{19}NO_3)_2SO_4 + 7aq.$

Zweigligdrig.  $a : b : c = 0,9657 : 1 : 0,28077$  Des Cloizeaux.

$p, q, b, c.$	Berechnet	Beobachtet
$p : p =$	$92^{\circ} \ 0'$	
$b =$		$*134^{\circ} \ 0'$
$q : q =$	$148 \ 38$	$148$ ungef.
$b =$		$*105 \ 41$

Tafelartig nach  $c$ .

Die Flächen  $c$  sind gestreift parallel den Kanten mit  $q$ ; die  $p$  sind gewölbt.

Die Krystalle hatten sich in einer Mutterlauge gebildet, aus welcher das gewöhnliche Hydrat mit 5aq angeschossen war.

Ebene der optischen Axen  $ac$ , Mittellinie  $a$ , starke Doppelbrechung:  $2E = 69^{\circ} 37'$  Roth,  $67^{\circ} 55'$  Blau bei  $48^{\circ}$ . — Des Cloizeaux: Nouv. Réch. p. 97.

**Morphin, valeriansaures.**  $C^{17}H^{19}NO_3 \cdot C^5H^{10}O_2 + xaq.$

Zweigligdrig.  $a : b : c = 0,7426 : 1 : 0,5417$  Pasteur.

$o, p, q, a.$	Berechnet	Beobachtet
$\left. \begin{array}{l} 2A \\ 2B \\ 2C \end{array} \right\}$	$\begin{array}{l} 134^{\circ} \ 18' \\ 116 \ 56 \\ 81 \ 18 \end{array}$	
$p : p =$	$106 \ 48$	
$q : q =$		$*125^{\circ} \ 47'$
$o : a =$	$121 \ 32$	
$p =$	$130 \ 39$	$130 \ 0$
$q =$		$*148 \ 28$

Es kommt noch ein schärferes erstes Paar vor: beobachtet  $^np : ^np$  etwa  $80^{\circ}$ : es ist vielleicht  $\frac{2}{3}p$  (ber.  $77^{\circ} 52'$ ).

Von  $o$  kommt nur das rechte Tetraeder vor.

Die Krystalle sind wegen des fettigen Ansehens ihrer Flächen nicht genau messbar. — Ann. Chim. Phys. (3) 38, 455.

**Mycose.**  $C^{12}H^{22}O^{11} + 2aq$  (Trehalose).Zweigliedrig.  $a : b : c = 0,6989 : 1 : 0,4322$  Mitscherlich. $o, p, {}^2p, q, r, a, b.$ 

	Berechnet	Beobachtet	
		Mitscherlich	Berthelot
$o \left\{ \begin{array}{l} 2A = 139^{\circ} 38' \\ 2B = 120 \quad 50 \\ 2C = 74 \quad 5 \end{array} \right.$			
$p : p =$		$*110^{\circ} 6'$	$111^{\circ} 15' - 46'$
${}^2p : {}^2p = 74 \quad 10$			
$q : q = 133 \quad 15$			
$r : r =$		$*116 \quad 32$	$115 \quad 44 - 116^{\circ} 41'$
$p : q = 103 \quad 9$			
$r = 115 \quad 33$			
$q : r = 144 \quad 19$			
${}^2p : q = 118 \quad 50$			
$r = 117 \quad 50$			

Spaltbar nach  $p$ . — Berthelot: Ann. Chim. Phys. (3) 55, 272.

Mitscherlich: Monatsb. Berl. Akad. 1857 Novbr.

Optische Axenebene  $ac$ , Mittellinie  $c$ , positiv.

	Roth	Gelb	Grün
$2V = 48^{\circ} 2'$		$50^{\circ} 16'$	$51^{\circ} 26'$
$2E =$		$78 \quad 56$	$83 \quad 24$
$\beta =$		$1,478$	$1,533$

Groth: Phys. Kryst. 373.

Die Lösung ist rechtsdrehend.

**Myroxocarpin.**  $C^{24}H^{35}O^3.$ Zweigliedrig.  $a : b : c = 0,8067 : 1 : 1,068$  Miller.

$p, q, q^2, r, r^2, b, c.$	Berechnet	Beobachtet
$p : p =$		$*102^{\circ} 12'$
$q : q = 86^{\circ} 14'$		
$c =$		$*133 \quad 7$
$q^2 : q^2 = 50 \quad 10$		
$r : r = 74 \quad 8$		
$r^2 : r^2 = 44 \quad 22$		

Ann. Chem. Pharm. 77, 306.

**Naphtalin.**  $C^{10}H^8.$ Zwei- und eingliedrig.  $a : b : c = 1,3951 : 1 : 1,4278$  Groth. $o = 56^{\circ} 34'.$ 

$p, {}^2r', c.$	Beobachtet
$p : p = 84^{\circ} 22'$	
$c = 111 \quad 5$	
$r' : c = 85 \quad 40$	
$p = 124 \quad 42$	



Tafelartig nach der Spaltungsfläche *c*. Optische Axenebene *ac*. —  
hys. Krystallogr. 407.

Erscheinungen beim Krystallisiren aus Terpentinöl: Pogg. A. 7, 407.  
Schmelzpunkt. 79°,2 Kopp; 79°,9 Alluard.

Volumgewicht des festen 1,495 Schröder; des flüssigen  
eim Schmelzpunkt 0,9774 gegen Wasser von 0° Kopp; 0,9628 bei 99°  
egen dieselbe Einheit Alluard.

Siedepunkt. 246°,4—246°,8 bei 747,6 mm Kopp.

Latente Schmelzwärme. 55,6792 W.-E. Alluard.

Specif. Wärme zwischen 20 und 66° = 0,3249, zwischen 0 und  
0° 0,3207; des flüssigen zwischen 80 und 130° 0,4476 Alluard. —  
Alluard: Ann. Ch. Phys. (3) 57, 438. — Kopp: Ann. Ch. Ph. 95, 307.

Gas-V. G. 64,45 Natanson. Berechnet 64.

Spannkraft des Dampfes Naumann: Ann. Ch. Ph. 159, 334. Ber.  
ch. Ges. 1878, 33.

Brechungsexponenten der Lösung Gladstone: J. Ch. Soc.  
2) 8, 447.

**Naphtalin, pikrinsaures.**  $C^{16}H^{11}O \cdot (NO^2)^3$ .

Zwei- und eingliedrig.  $a : b : c = 2,355 : : 4,446$  Bodewig.  
 $o = 83^\circ 40'$ .

$p, r, r', c.$	Berechnet	Beobachtet
$p : p =$		$46^\circ 16'$
$r : r' = 120^\circ 57'$		121 0
$c : r = 124 49$		124 32
$r' = 114 41$		114 47
$p : r =$		110 48
$r' =$		109 40

Tafelartig nach *c*. — Groth Ztschr. 3, 384.

**Naphtalintetrachlorid.**  $C^{10}H^8Cl^4$ .

Zwei- und eingliedrig.  $a : b : c = 0,7673 : 1 : 0,7003$  Hintze.  
 $o = 67^\circ 34'$ .

$o, o', p, q\frac{1}{2}, 2r', a, b, c.$	Berechnet	Beobachtet	
		Hintze	Laurent
$o' : o' =$		$417^\circ 36'$	418°
$p : p = 109^\circ 20'$		109 40	109
$q\frac{1}{2} : q\frac{1}{2} = 87 54$			
$b = 136 3$			137 30'
$a : c = 112 26$			113
$2r' = 117 42$			117
$p : c =$		108 8	108 30
$o' : c =$		121 41	121 40
$p = 130 44$		130 4	129 50
$o : c = 138 56$			144

Hintze beobachtete nur  $o'$ ,  $p$ ,  $c$ .

Ebene der optischen Axen parallel Axe  $b$ , nahe parallel der Axenebene  $ab$ ; die Mittellinie liegt in  $ac$ ; der scheinbare Axenwinkel in Luft =  $84^\circ$ . Schmelzpunkt  $482^\circ$  Faust. — Hintze: Pogg. A. Ergbd. 6, 477.

**Naphtalintetrachlorid, Monochlor-.**  $C^{10}H^7Cl \cdot Cl^4$ .

Zwei- und eingliedrig.  $a : b : c = 0,7927 : 1 : 0,747$  Hintze.  
 $o = 64^\circ 23'$ .

$o'$ ,  $p$ ,  $r\frac{2}{3}$ ,  $\frac{r}{3}$ ,  $r'$ ,  $2r'$ ;  $a$ ,  $c$ .

	Berechnet	Beobachtet	
		Hintze	Laurent
$o' : o' =$	$113^\circ 6'$		
$p : p =$		$*110^\circ 20'$	$109^\circ 45'$
$c =$		$*113 \quad 9$	
$r' : a =$	$117 \quad 49$	$117 \quad 12$	$115 \quad 55$
$a : c =$	$118 \quad 37$	$118 \quad 47$	
$c : r' =$	$123 \quad 33$	$124$	ungef.
$r\frac{2}{3} =$	$157 \quad 1$	$157 \quad 13$	
$\frac{r}{3} =$	$166 \quad 34$	$166 \quad 35$	
$2r' =$	$150 \quad 35$		
$o' : p =$	$129 \quad 23$	$129 \quad 13$	
$c =$		$*117 \quad 28$	$120$

Laurent fand ausserdem  $o$  und verschiedene Schiefendflächen. Seine angebliche zweite Form (er hielt beide für zweigliedrig) existirt nicht.

Die optische Mittellinie ist  $b$ , und die Ebene der optischen Axen ist nahe parallel  $ab$ .

Schmelzpunkt  $428^\circ$ . — Hintze: Pogg. A. 6. Suppl. 477.

**Naphtalintetrachlorid, Dibrom-.**  $C^{10}H^6Br^2 \cdot Cl^4$ .

Isomorph dem Dichlornaphtalintetrachlorid. Laurent fand  $p : p = 90^\circ$ ;  $q : q = 122—123^\circ$ .

**Naphtalintetrabromid, Chlorbrom-.**  $C^{10}H^6ClBr \cdot Br^4$ .

Isomorph dem Dichlornaphtalintetrabromid. Laurent beobachtete

$2p$ ,  $r'$ ,  $\frac{r}{6}$  und  $3a : b : c$ , und Hintze berechnete aus dessen Messungen

$$a : b : c = 0,80737 : 1 : 1,2425$$

$$o = 65^\circ 42',5.$$

Schmelzpunkt  $440^\circ$ .

**Naphtalintetrachlorid, Monochlordibrom-.**  $C^{10}H^5ClBr^2 \cdot Cl^4$ .

Aus Laurent's Messungen berechnete Hintze

$$a : b : c = 0,7165 : 1 : 1,0473$$

$$o = 73^\circ 34'.$$

$$n = 3a : b : 2c$$

$$m' = 3a' : b : c. — p, c.$$

	Berechnet	Beobachtet
$p : p =$		*111° 0'
$n : n =$		*77 15
$m' : m' =$	90° 8'	93
$p : n =$		*148
$c : m' =$	130 50	132
$n =$	120 30	119—122
$p =$	103 29	102

Schmelzpunkt 150°. — S. Naphtalintetrachlorid.

**Naphtalintetrabromid, Dichlor-.  $C^{10}H^6Cl^2.Br^4$ .**

Zwei- und eingliedrig.  $a : b : c = 1,5846 : 1 : 0,8223$  Laurent.  
 Hintze.)  $o = 65° 9'$ .

$o', p, a.$	Berechnet	Beobachtet
$o' : o' =$		*78° 30'
$p : p =$	69° 12',6	
$a =$	124 36,3	122
$o' : a =$		*94 30
$p =$		*133 0

Schmelzpunkt etwas über 100°.

Isomorph dem Chlorid; die  $a$  sind  $= 3 : 2$ , die  $c = 4 : 3$ . — Hintze: ogg. A. Ergbd. 6, 177.

**Naphtalintetrachlorid, Dichlor-.  $C^{10}H^6Cl^2.Cl^4$ .**

Zwei- und eingliedrig.  $a : b : c = 1,4282 : 1 : 0,6175$  Hintze.  
 $o = 64° 19'$ .

$p, q, a.$	Berechnet	Berechnet	
		Hintze	Laurent
$p : p =$		*89° 3'	89—90°
$a =$	134° 31',5	134 31,5	
$q : q =$		*121 48,5	123
$p =$		*127 45	128—129
$a =$	112 15	112 14	

Hintze setzt  $p = \frac{3}{4}p$  und  $q = \frac{q}{2}$ .

Optische Axenebene  $ac$ ; die Mittellinie bildet mit  $c$  einen Winkel von 3° 27'; der Axenwinkel ist sehr klein.

Schmelzpunkt 172°. — Pogg. A. Ergbd. 6, 177.

**Naphthionsaures Natron.  $NaC^{10}H^8NSO^3 + 4aq$ .**

Zwei- und eingliedrig.  $a : b : c = 0,8321 : 1 : 1,1796$  Piria.  
 $o = 54° 17'$ .

$o', p, c.$

	Berechnet	Beobachtet
$p : p =$		$111^{\circ} 55'$
$c =$		$118 \ 56$
$o' : o' = 101^{\circ} \ 6'$		
$c =$		$96 \ 34$
$p = 144 \ 30$		

Ann. Chem. Pharm. 78, 34.

**Naphthionsaurer Kalk.**  $\text{CaC}^{20}\text{H}^{16}\text{N}^2\text{S}^2\text{O}^6 + 8\text{aq.}$

Zweigligdrig (?).  $a : b : c = 0,449 : 1 : 0,265$  Piria.

$o, q^s, r^3, c.$

	Berechnet	Beobachtet
$o \left\{ \begin{array}{l} 2A = 154^{\circ} 44' \\ 2B = \\ 2C = 68 \ 56 \end{array} \right.$		$117^{\circ} \ 4'$
$q^s : q^s = 50 \ 28$		
$c = 115 \ 44$		$115 \ 44$
$r^3 : r^3 = 55 \ 34$		
$c = 117 \ 47$		$116 \ 30$
$o : c =$		$124 \ 28$

Piria hielt die Krystalle für zwei- und eingliedrig, aber der Unterschied in der Neigung der  $o$  vorn und hinten gegen  $c$  beträgt nur  $49'$ . In jedem Falle ist das System nicht sicher.

Zwillinge nach einem zweiten Paar. — Piria: a. a. O.

**Naphthionsaure Magnesia.**  $\text{MgC}^{20}\text{H}^{16}\text{N}^2\text{S}^2\text{O}^6 + 10\text{aq.}$

Zwei- und eingliedrig.  $a : b : c = 1,28 : 1 : 1,0327$  Piria.

$\sigma = 83^{\circ} 25'$ .

$p, r, r', a.$

	Berechnet	Beobachtet
$p : p =$		$76^{\circ} 22'$
$a = 128^{\circ} 11'$		
$r : r' =$		$102 \ 17$
$a : r =$		$132 \ 54$
$r' = 124 \ 52$		
$p : r = 114 \ 52$		$114 \ 57$
$r' = 110 \ 42$		

Piria: a. a. O.

**Narcotin** (Opianin).  $\text{C}^{22}\text{H}^{23}\text{NO}^7.$

Zweigligdrig.  $a : b : c = 0,9542 : 1 : 0,4893$  Schabus.

$o, p, p^s, \frac{2}{3}p, \frac{1}{2}p, q, a, b.$

	Berechnet	Beobachtet
$o \left\{ \begin{array}{l} 2A = 132^{\circ} 58' \\ 2B = 130 \ 24 \\ 2C = 70 \ 45 \end{array} \right.$		$130^{\circ} 24'$
$p : p = 92 \ 52$		$92 \ 52$
$p^s : p^s = 166 \ 26$		
$b = 96 \ 47$		$96 \ 50$

	Berechnet	Beobachtet
$\frac{2}{3}p : \frac{2}{3}p =$	$50^{\circ} 6'$	
$\frac{2}{3}b =$	$154 \ 57$	$155^{\circ} 12'$
$^{12}p : ^{12}p =$	$10 \ 0$	
$b =$	$175 \ 0$	$175 \ 0$
$q : q =$		$*127 \ 51$
$b =$	$116 \ 4,5$	$116 \ 4,5$
$o : a =$	$114 \ 48$	$114 \ 48$
$q =$		$*155 \ 12$

Prismatisch nach der Horizontalzone und tafelförmig nach  $b$ . Von den sind je vier eines Tetraeders grösser und gewöhnlich fehlen die übrigen. ie  $p$ , zuweilen auch  $b$ , sind vertical gestreift. Spaltbar nach  $b$  und  $c$ .

Volumgewicht. 4,374—4,395 Schröder.

Schmelzpunkt.  $176^{\circ}$  Hesse.

Drehungsvermögen des Sulfats. Wilhelmy: Pogg. A. 84, 527.

#### Nicotin-Quecksilberchlorid. $2C^{10}H^{14}N^2 + HgCl^2$ .

Zweiglig.  $a : b : c = 0,6028 : 1 : 0,3907$  Dauber.

$p, ^2p, r, a, b.$	Berechnet	Beobachtet
$p : p =$		$*117^{\circ} 50'$
$^2p : ^2p =$	$79^{\circ} 20'$	
$p =$	$160 \ 43$	$160 \ 43$
$r : r =$		$*114 \ 6$
$p =$	$117 \ 46$	
$^2p =$	$110 \ 49$	

Prismatisch nach  $p$ , spaltbar nach  $c$ . — Ann. Ch. Pharm. 74, 204.

#### Nicotinsäure, chlorwasserstoffsäure. $2C^{10}H^8N^2O^3 + 3HCl$ .

Isomer der Picolinverbindung.

Zwei- und eingliedrig.  $a : b = 1,062 : 1$  Ditscheiner.

$$o = 80^{\circ} 37'.$$

$p, a, b, c.$	Beobachtet
$a : c =$	$99^{\circ} 23'$
$p : c =$	$96 \ 28$
(folgt $p : p =$	$87 \ 20'$

Spaltbar nach  $b$ . — Wien. Ak. Ber. 79.

#### Nitränilin. $C^6H^6N \cdot NO^2$ .

1. Para.

Zwei- und eingliedrig.  $a : b : c = 2,035 : 1 : 1,422$  Bodewig.

$$o = 88^{\circ} 10'.$$

$o, p, q, r, r'.$	Berechnet	Beobachtet
$p : p =$		$*52^{\circ} 22'$
$r =$		$*105 \ 6$
$o : o =$	$82^{\circ} \ 8'$	
$r =$	$131 \ 4$	

	Berechnet	Beobachtet
$r : r' =$	$110^{\circ} 6'$	$110^{\circ} 12'$
$r' : p =$	$104 \ 40$	$104 \ 15$
$o =$	$103 \ 3$	$103 \ 3$
$p : q =$		$*147 \ 58$

Tafelartig nach  $r'$  oder prismatisch nach  $p$ . Spaltbar nach  $r$ .

Ebene der optischen Axen  $ac$ . — Groth Ztschr. 3, 384.

Volumgewicht. 1,445—1,433 Schröder.

Schmelzpunkt  $146^{\circ}$ .

## II. Meta.

Zweiglig.  $a : b : c = 0,745 : 1 : 0,7266$  Calderon.

$o, {}^2p, {}^4p$ .

	Berechnet	Beobachtet
$o \left\{ \begin{array}{l} 2A = \\ 2B = 102^{\circ} 28' \\ 2C = 104 \ 8 \end{array} \right.$		$*123^{\circ} 51'$
${}^2p : {}^2p =$	$67 \ 44$	$67 \ 44$
${}^4p : {}^4p =$		$*37 \ 7$
${}^2p =$	$164 \ 44$	$164 \ 46$

Prismatisch nach der Horizontalzone. Dunkel gelbroth, spaltbar nach  $a$ .

Optische Axenebene  $bc$ .

Volumgewicht. 1,43 Schröder.

Schmelzpunkt  $110^{\circ}$ . — Groth Ztschr. 4, 233.

## Nitroacetanilid, Para-. $C^8H^8N^2O^3$ .

Zweiglig.  $a : b : c = 0,8889 : 1 : 1,0448$  Arzruni.

$o, p$ .

	Berechnet	Beobachtet
$o \left\{ \begin{array}{l} 2A = \\ 2B = 101^{\circ} 48' \\ 2C = 115 \ 6 \end{array} \right.$		$*111^{\circ} 48', 5$
$p : p =$		$104 \ 15$
$o =$	$147 \ 33$	$*96 \ 44$

Ebene der optischen Axen  $ac$ , Mittellinie  $c$ , negativ. —  $2H_a = 90^{\circ} 25'$

Roth;  $92^{\circ} 38'$  Gelb;  $95^{\circ} 13'$  Grün.

Isomorph mit Acetanilid. — Groth Ztschr. 4, 444.

Schmelzpunkt  $208^{\circ}$ .

## Nitrobenzalchlorid, Meta-. $C^7H^5Cl^2NO^2$ .

Zwei- und eingliedrig.  $a : b : c = 1,2119 : 1 : 1,4874$  Haushofer.

$o = 69^{\circ} 4'$ .

$p, r', a, b, c$ .

	Berechnet	Beobachtet
$p : p =$		$*82^{\circ} 55'$
$a =$	$131^{\circ} 28'$	$131 \ 10$
$c =$	$103 \ 44$	
$a : c =$	$140 \ 56$	$141 \ 3$
$r' =$		$*123 \ 44$
$c : r' =$		$*125 \ 23$

Prismatisch nach der Verticalzone und tafelförmig nach  $a$ . — Groth Ztschr. 6, 444.

**Nitrobenzoesäure.**  $C^7H^5(NO^2)O^2$ .

**I. Ortho.**

Eingliedrig.  $a : b = 0,5346 : 1$  Haushofer.

$p', a, b, c$ .	Beobachtet
$a : b = 441^\circ 0'$	$p' : a = 140^\circ 11'$
$b : c = 128 \ 14$	$b = 108 \ 30$
$a : c = 94 \ 55$	

Feine Nadeln. — Groth Ztschr. 4, 503.

Volumgewicht. 1,576 Schröder.

**II. Meta.**

**A.  $\alpha$ -Modification.**

Zwei- und eingliedrig.  $a : b : c = 0,8348 : 1 : 1,5043$  Bodewig.  
 $\alpha = 83^\circ 29'$ .

$p, {}^3p, r, a, c$ .	Berechnet	Beobachtet
$p : p = 100^\circ 36'$		
${}^3p = 151 \ 36$		$151^\circ 34'$
${}^3p : {}^3p =$		$^*43 \ 48,5$
$a : c = 96 \ 34$		
$r : a =$		$^*125 \ 42,5$
$c =$		$^*130 \ 49,5$
${}^2p = 104 \ 55$		$102 \ 34$

Prismatisch nach der Verticalzone. — Groth Ztschr. 4, 58.

Schmelzpunkt  $144^\circ$ .

**B.  $\beta$ -Modification.**

Zwei- und eingliedrig.  $a : b : c = 0,7645 : 1 : 0,350$  Bodewig.  
 $\beta = 86^\circ 24'$ .

$$s = \frac{1}{2}a : \frac{1}{2}b : c$$

$$n = \frac{1}{2}a : \frac{1}{2}b : c$$

$$x = a : \frac{1}{2}b : c (?) \text{ — } p, r, r', a.$$

	Berechnet	Beobachtet
$p : p = 105^\circ 18'$		$105^\circ 6'$
$a =$		$^*142 \ 39$
$a : r =$		$^*117 \ 33$
$r' = 111 \ 35$		$111 \ 44$
$n : n = 143 \ 52$		$143 \ 52$
$a = 147 \ 14$		$147 \ 9$
$p = 148 \ 57$		$149 \ 5$
$r = 144 \ 27$		$144 \ 32$
$s : s = 136 \ 26$		
$a = 139 \ 42$		$139 \ 46$
$p = 146 \ 15$		$146 \ 24$
$r = 145 \ 20$		$145 \ 37$

$o, o', r, r', a, c.$

	Berechnet	Beobachtet	
		Bücking	Haushofer
$a : c =$		*113° 28'	
$r : c = 144^{\circ} 50'$		144 35	
$r' : c = 118 51$		118 28	118° 6'
$o : c =$		*119 35	
$r = 126 39$		127 8	127 56
$a =$		*121 3	
$o' : c = 102 26$			
$a = 105 49$		106 2	

Prismatisch nach der Verticalzone.

Ebene der optischen Axen  $ac$ . — Groth Ztschr. 4, 390. 506.

Nitrobenzoesaure Magnesia, Para-.  $Mg(C^7H^4[NO_2]O_2)^2 + xaq.$

Eingliedrig.  $a : b : c = 1,6258 : 1 : 1,9422$  Mügge.

$A = 84^{\circ} 21'$	$\alpha = 83^{\circ} 30',5$
$B = 121 49$	$\beta = 121 21$
$C = 84 1,5$	$\gamma = 88 18,5$

$q', 2r, r', a, b, c.$

	Berechnet	Beobachtet
$a : b =$		*84° 1',5
$b : c =$		*81 21
$q' : b =$		*151 21
$a : c =$		*121 49
$r' =$		*127 51
$2r = 163^{\circ} 41'$		163 39,5
$c : 2r = 138 8$		138 9,5
$b : 2r = 97 33,5$		97 46
$r' = 91 25,5$		91 29
$q' : a = 109 50,5$		109 45
$r' = 100 52$		100 56
$2r = 117 51$		117 58

Herrschend  $a, b, c$ . Grünlichgelb, spaltbar nach  $b$ .

Die Hauptauslöschungsrichtungen des Lichtes sind krystallographisch orientirt.  $2H_a = 67^{\circ} 45' Li; 70^{\circ} 28' Na; 71^{\circ} 54' Tl.$

Dispersion  $\rho < v$ ; ausserdem starke geneigte Dispersion. — Mügge: Syst. Unters. einiger organ. Verbindungen. Dissert. Göttingen 1879.

Nitrobenzoesaures Aethyl.  $C^7H^4(NO_2)O_2 \cdot C^2H^5.$

I. Meta.

Zwei- und eingliedrig.  $a : b : c = 0,927 : 1 : 0,680$  Bodewig.

$o = 82^{\circ} 48'.$

$p, q, r', a.$

	Berechnet	Beobachtet	
		Bodewig	Arzruni
		a. b.	a. b.
$p : p = 94^{\circ} 57'$	95° 41'		94° 48' 95° 41'
$a =$	*137 37	137° 23',5	137 24 137 37



	Berechnet		Beobachtet	
	Bodewig		Arzruni	
	a.	b.	a.	b.
$q : q = 111^{\circ} 56'$				
$a = 95 \ 49$	$96^{\circ} 57'$	$96^{\circ} 38'$	$95^{\circ} 55'$	$96^{\circ} 38'$
$p = 116 \ 58$	$117 \ 48$	$116 \ 58$	$116 \ 58$	$117 \ 48$
$a : r' =$	$*121 \ 22$	$121 \ 22$	$121 \ 18$	$121 \ 22$
$r' : p = 112 \ 20$	$112 \ 22$	$112 \ 20$	$112 \ 20$	$112 \ 22$
$q =$	$*129 \ 48$		$130 \ 34$	

Die von Bodewig gemessenen Krystalle (a) gehörten dem Aether der gewöhnlichen Metasäure an, er theilt aber auch Messungen mit an dem direct dargestellten Aether der Säure vom Schmelzpunkt  $127^{\circ}$ , dem indirect dargestellten und den gelben Krystallen aus der gelben Säure vom Schmelzpunkt  $142^{\circ}$  (b).

Tafelartig nach a, spaltbar nach  $r'$ .

Ebene der optischen Axen  $ac$ , Mittellinie fast senkrecht auf Fläche  $r'$ ; negativ. Für b. ist  $2H_0 = 57^{\circ} 44'$  Roth,  $58^{\circ} 20'$  Gelb,  $59^{\circ} 40'$  Grün. — Arzruni: Groth Ztschr. 4, 442. — Bodewig: Eb. 4, 64.

Schmelzpunkt  $44^{\circ}$ .

## II. Ortho.

Eingliedrig.  $a : b : c = 0,8673 : 1 : 0,8052$  Arzruni.

$$A = 78^{\circ} 53',5$$

$$\alpha = 84^{\circ} 27'$$

$$B = 99 \ 14$$

$$\beta = 95 \ 57$$

$$C = 70 \ 52,5$$

$$\gamma = 71 \ 39$$

$p, q, q', r', a, b, c.$	Berechnet	Beobachtet
$a : b =$		$*70^{\circ} 22',5$
$p = 130^{\circ} 44'$		$130 \ 19$
$b : p = 119 \ 44$		$120 \ 8$
$c =$		$78 \ 53,5$
$q : b =$		$*123 \ 34$
$c = 135 \ 20$		$135 \ 17$
$q' : b = 136 \ 34$		$136 \ 36$
$c = 144 \ 33$		$144 \ 25$
$a : c =$		$99 \ 14$
$r' =$		$*129 \ 15,5$
$c : r' = 131 \ 31$		$131 \ 31$
$p : c = 94 \ 24$		$90 \ 38$
$q' : a = 108 \ 7$		$108 \ 14$
$q : a = 95 \ 59$		$96 \ 16$

Schmelzpunkt  $30^{\circ}$ . — Groth Ztschr. 4, 444.

## III. Para.

Eingliedrig.  $a : b : c = 0,5355 : 1 : 0,3244$  Arzruni.

$$A = 96^{\circ} \ 3'$$

$$\alpha = 96^{\circ} 10'$$

$$B = 92 \ 26$$

$$\beta = 92 \ 43$$

$$C = 87 \ 25$$

$$\gamma = 87 \ 8$$

$p, r', a, b, c.$	Berechnet	Beobachtet
$a : b =$		$87^{\circ} 25'$
$p = 149^{\circ} 40'$		149 40
$b : p =$		117 44
$c =$		96 3
$a : c =$		92 26
$r' = 119 \quad 2$		119 6
$c : r' =$		148 32
$b : r' = 96 \quad 38$		96 37

A. a. O. 443.

**Nitrobenzol.**  $C^6H^5 \cdot NO^2$ .Schmelzpunkt.  $3^{\circ}$  Mitscherlich.Ausdehnung.  $V = 1 + 0,0008263 t + 0,00000052249 t^2 + 0,0000000013799 t^3$  ( $14^{\circ},4$  bis  $163^{\circ},7$ ) Kopp.Volumgewicht. 1,209 ( $15^{\circ}$ ) Mitscherlich; 1,1866 ( $14^{\circ},4 = 1.1322$  ( $0^{\circ}$ ) Kopp; 1,192 ( $7^{\circ},5$ ) Gladstone.

Nach Regnault ist die mittlere Dichte:

$$20-15^{\circ} = 1,2054$$

$$15-10 = 1,2107$$

$$10-5 = 1,2159$$

Siedepunkt.  $213^{\circ}$  Mitscherlich;  $219-220^{\circ}$  (729,4 mm) Kopp;  $205^{\circ}$  (730 mm) Städeler.

Gas-V. G. 60,6 Mitscherlich; berechnet 61,5.

Spannkraft des Dampfes Naumann: Ber. d. ch. G. 1872, 33.

Specif. Wärme nach Regnault:

$$20-15^{\circ} = 0,3499$$

$$15-10 = 0,3478$$

$$10-5 = 0,5324$$

Neuere Versuche Reis: Wiedem. Ann. 13, 447.

Wärmeleitung. Guthrie: Phil. Mag. (4) 35, 283. 37, 468. Proc. R. Soc. 17, 234.

Brechungsexponenten. Sauber: Pogg. A. 117, 592. — Gladstone: J. Ch. Soc. (2) 8, 401. 447.

Thermochemisches. Troost und Hautefeuille: C. r. 73. 378.

 **$\alpha$ -Nitrochlorbenzoesäure.**  $C^7H^4Cl(NO^2)O^2$ .Zwei- und eingliedrig.  $a : b : c = 5,2588 : 1 : 2,2953$  Bodewig.  
 $o = 84^{\circ} 43'$ .

$p, r, a, c.$	Berechnet	Beobachtet
$p : p =$		$21^{\circ} 45'$
$a = 100^{\circ} 52'$		100 52
$a : c = 98 \quad 17$		98 18
$r =$		120 24

	Berechnet	Beobachtet
$c : r =$		*157° 53'
$p : c =$	94° 33'	94 38
$r =$	95 29	95 32

Prismatisch nach  $p$ ; herrschend  $p, r, a$ . Spaltbar nach  $a$ .  
Ebene der optischen Axen  $ac$ . — Groth Ztschr. 5, 563.

### Nitrochlorphenol. $C^6H^4ClO \cdot NO^2$ .

Zwei- und eingliedrig.  $a : b : c = 2,855 : 1 : 1,537$  Bodewig.  
 $o = 67^\circ 14'$ .

$\frac{o'}{2}, p, r, r', a, c$ .

	Berechnet	Beobachtet	
		Bodewig	La Valle
$p : p =$		*44° 36'	44° 52'
$a : c =$	112° 46'		112 29
$r : r' =$	125 35	125 55	
$a : r =$	135 6		134 45
$r' =$		*99 49	99 9
$c : r =$	157 40	158 4	157 44
$r' =$	147 55	148 9	148 20
$p : r =$		*104 34	
$r' =$	97 48	98 0	
$\frac{o'}{2} : p =$	121 37		121 95

Prismatisch nach  $p$ . Gelb.

Ebene der optischen Axen  $ac$ . — Bodewig: Groth Ztschr. 3, 381. —  
La Valle: Eb. 4, 389.  
Schmelzpunkt  $86^\circ$ .

### Nitrocuminol. $C^{10}H^{11}(NO^2)O$ .

Eingliedrig. Prismen  $p, p', a$ , an denen  $p : p' = 95^\circ 15'$ ,  $p : a = 134^\circ 50'$ ,  $p' : a = 140^\circ 25'$ . Eine stark gekrümmte Endfläche, welche Spaltungsfläche ist. — Ditscheiner: Ber. d. ch. G. 1879, 77.

### Nitrocuminsäure. $C^{10}H^{11}(NO^2)O^2$ .

Zwei- und eingliedrig.  $a : b : c = 1,574 : 1 : 1,267$  Ditscheiner  
 $o = 80^\circ 26'$ .

$p, q, c$ .	Berechnet	Beobachtet
$p : p =$		*65° 40'
$c =$		*95 40
$q : q =$	77° 20'	77 30
$c =$		*128 40
$p =$	126 51	126 40

$p$  und  $c$  herrschend.

Schmelzpunkt  $158^\circ$ . — A. a. O.

**Nitrodibrompropionsaures Aethyl.**  $\text{C}^9\text{H}^6(\text{NO}^2)\text{BrO}^2 \cdot \text{C}^2\text{H}^5$ .**I. Ortho.**

Zwei- und eingliedrig.  $a : b : c = 1,744 : 1 : 3,023$  Haushofer.  
 $o = 78^\circ 49'$ .

$p, r, r', a, c.$	Berechnet	Beobachtet
$p : p =$		$*60^\circ 42'$
$c =$		$*101 \ 42$
$a : c =$		$*101 \ 41$
$c : r = 138^\circ 34'$		$140 \ 0$
$r' = 128 \ 34$		$129 \ 51$
$a : r = 153 \ 10$		
$r' = 155 \ 9$		

Blassgelb, herrschend  $p$  und  $c$ , tafelartig nach  $c$ ; die  $r$  und  $r'$  schlecht ausgebildet. — Groth Ztschr. 4, 575.

**II. Para.**

Zwei- und eingliedrig.  $a : b : c = 0,6327 : 1 : 0,3438$  Haushofer.  
 $o = 77^\circ 36'$ .

$n' = a' : \frac{1}{2} b : c. — o, o', b, c.$	Berechnet	Beobachtet
$o : o =$		$*151^\circ 32'$
$o' : o' =$		$*146 \ 27$
$n' : n' = 117^\circ 21'$		
$b = 121 \ 20$		$121 \ 10$
$c : o =$		$152 \ 37$
$o' =$		$*147 \ 20$
$n' = 138 \ 44$		$138 \ 52$

Prismatisch;  $o$  fehlt oft. Zwillinge nach  $c$ . — Groth Ztschr. 4, 574.  
 Schmelzpunkt  $110—111^\circ$ .

**Nitrodijodbenzol.**  $\text{C}^6\text{H}^3(\text{NO}^2)_2$ .

Zweigliedrig.  $a : b : c = 0,647 : 1 : 0,458$  La Valle.

$p, q, b.$	Berechnet	Beobachtet
$p : p =$		$*114^\circ 10'$
$q : q =$		$*130 \ 46$
$p = 103^\circ 5'$		$103 \ 5$

Gelb, prismatisch und spaltbar nach  $p$ . — Groth Ztschr. 4, 388.

**Nitroglycerin.**  $\text{C}^3\text{H}^4(\text{NO}^2)_3\text{O}^3$ .

Latente Schmelzwärme des festen  $33,54$  W.-E.

Specifische Wärme  $0,4248$ . — Beckerhinn: Wien. Ak. Ber. 72 und 73.

Brechungsexponent.  $1,4749$  bei  $13^\circ,5$ . Gladstone.

Thermochemisches. — Berthelot: C. r. 73, 260. — Ann. Ch. Phys. (5) 9, 161.

**Nitroheptylsäure, Mono-.**  $\text{C}^6\text{H}^{11}(\text{NO}_2)\text{O}_2$ .

Zwei- und eingliedrig.  $b : c = 1 : 0.6115$  Zepharovich.  
 $\alpha = 83^\circ 30'$ .

$q, a, b.$	Berechnet	Beobachtet
$q : q =$		$*117^\circ 34'$
$b =$	$121^\circ 17'$	$121 \quad 13$
$a =$		$*95 \quad 33$

Prismatisch nach  $a, b$ , spaltbar nach  $a$ .

Ebene der optischen Axen  $ac$ . — Groth Ztschr. 2. 196.

**Nitrohydrophenylpropionsaures Aethyl, Para-.**

(Paranitrohydrozimmtsäures Aethyl.)  $\text{C}^9\text{H}^8(\text{NO}_2)\text{O}_2 \cdot \text{C}_2\text{H}_5$ .

Zweiglig.  $a : b : c = 0.517 : 1 : 0.998$  Haushofer.

$p, p^2, q, a, b, c.$	Berechnet	Beobachtet
$p : p =$	$125^\circ 16'$	$125^\circ 18'$
$b =$		$*117 \quad 22$
$p^2 : p^2 =$	$154 \quad 0$	
$a =$	$165 \quad 30$	$165 \quad 30$
$q : q =$	$90 \quad 6$	
$b =$		$*134 \quad 57$

Prismatisch nach  $p$  oder  $p^2$ . Spaltbar nach  $c$ .

Optische Axenebene  $ac$ . Mittellinie  $c$ . — Groth Ztschr. 3, 604.

**Nitrojodbenzol.**  $\text{C}^6\text{H}^4(\text{NO}_2)\text{J}$ .

Zwei- und eingliedrig.  $a : b : c = 2.296 : 1 : 1.4297$  Panebianco  
 $\alpha = 75^\circ 22'$ .

$p, r, a, c.$	Beobachtet
$p : p =$	$48^\circ 28'$
$a : c =$	$104 \quad 38$
$r =$	$127 \quad 35$

Prismatisch; Zwillinge nach der Spaltungsfläche  $a$ . — Groth Ztschr. 4, 295.

**Nitromannit.**  $\text{C}^6\text{H}^9(\text{NO}_2)_2\text{O}^6$ .

Drehungsvermögen s. Mannit.

Thermochemisches. Berthelot: C. r. 73, 260.

 **$\beta$ -Nitromesitylsäure.**  $\text{C}^9\text{H}^9(\text{NO}_2)\text{O}_2$ .

Zwei- und eingliedrig.  $a : b : c = 1.4777 : 1 : 0.843$  Calderon.  
 $\alpha = 69^\circ 55'$ .

$\alpha', p, q, 2r', b, c.$	Berechnet	Beobachtet
$\alpha' : \alpha' =$	$105^\circ 50'$	$105^\circ \quad 3'$
$p : p =$		$*95 \quad 47$

	Berechnet	Beobachtet
$p : b =$	$132^{\circ} 7'$	$132^{\circ} 16'$
$c =$		$*103 49$
$q : q =$	$105 46$	
$c =$		$*142 38$
$2p' : c =$	$112 4$	$111 39$
$p : q =$	$129 45$	$129 48$
$2p' =$	$120 44$	$119 51$
$o' : p =$	$127 10$	$127 14$
$2p' =$	$105 46$	$105 42$

Etwas trübe und mattflächige Prismen. Spaltbar nach  $c$ .

Optisch negativ.  $2H = 73^{\circ} 44'$  Roth,  $75^{\circ} 34'$  Gelb,  $76^{\circ} 16'$  Grün.  
ide. Axen sind einer Platte parallel der basischen Endfläche sichtbar. —  
oth Ztschr. 4, 237.

#### Nitrometabromnitrobenzol. $C^6H^3(NO^2)_2Br$ .

Zwei- und eingliedrig.  $a : b : c = 1,032 : 1 : 0,5459$  Bodewig.  
 $o = 86^{\circ} 3'$ .

$o', p, p^2, 2p, q; a, b.$	Berechnet	Beobachtet
$p : p =$	$88^{\circ} 20'$	
$p^2 : p^2 =$	$125 32$	$125^{\circ} 48'$
$2p : 2p =$		$*51 48$
$o' : o' =$		$*127 43$
$q : q =$	$122 32$	$122 38$
$a =$	$93 29$	$93 47$
$o' : a =$	$111 58$	$112 5$
$p =$		$*124 22$
$o' : q =$	$118 49$	$118 32$
$p : q =$	$117 49$	$117 29$

Tafelartig nach  $a$ . Spaltbar vollkommen nach  $b$ .

Optische Axenebene =  $ac$ . — Groth Ztschr. 1, 588.

#### Nitrometachlornitrobenzol. $C^6H^3 \cdot (NO^2)_2Cl$ .

##### I. $\alpha$ -Modification. (Schmelzpunkt $36^{\circ}, 3$ .)

Zwei- und eingliedrig.  $a : b : c = 1,8873 : 1 : 0,984$  Bodewig.  
 $o = 65^{\circ} 46'$ .

$p, q, a, c.$	Berechnet	Beobachtet
$p : p =$		$*60^{\circ} 48'$
$q : q =$	$96^{\circ} 22'$	
$c =$		$*138 41$
$p =$		$*136 55$
$a : c =$	$114 44$	$114 40$

Zwillinge nach  $a$ . Vollkommen spaltbar nach  $c$ .

Optische Axenebene parallel der Axe  $b$ ; die Mittellinie bildet mit einer  
ormalen zur Endfläche einen Winkel von etwa  $6^{\circ}$ . Negativ. Axenwinkel

in Luft  $44^{\circ} 16'$  Li-Roth;  $45^{\circ} 34'$  Na-Gelb;  $46^{\circ} 56'$  Tl-Grün. — Ber. d. ch. Ges. 1876, 764. — Groth Ztschr. 3, 384.

## II. $\beta$ -Modification. (Schmelzpunkt $37^{\circ} 4'$ .)

Zwei- und eingliedrig.  $a : b : c = 0,6249 : 1 : 0,56$ . Bodewig.  
 $o = 88^{\circ} 33'$ .

$o, p, q, r$ .	Berechnet	Beobachtet
$o : o =$	$135^{\circ} 44'$	
$p : p =$		$*146^{\circ} 3'$
$q : q =$	$121 \ 30$	$121 \ 48$
$p =$	$\begin{cases} 106 \ 7 \\ 103 \ 52 \end{cases}$	$\begin{matrix} 106 \ 20 \\ 104 \ 2 \end{matrix}$
$r =$		$*134 \ 0$
$p : r =$		$*125 \ 7$

Prismatisch nach  $p$ .

Ebene der optischen Axen  $= ac$ . Axenwinkel etwa  $106^{\circ}$ ;  $q < c$ .

Isomorph der Bromverbindung; die  $a$  sind  $= 5 : 3$ .

## III. $\gamma$ -Modification. (Schmelzpunkt $38^{\circ}, 8$ .)

Scheinbar zweigliedrig.

Doppelbrechung positiv;  $2E = 55^{\circ} 42'$  Roth,  $47^{\circ} 17'$  Gelb,  $36^{\circ} 16'$  Grün. — Bodewig: a. a. O.

## Nitrometadibrombenzol. $C^6H^3(NO^2)Br^2$ .

Zwei- und eingliedrig.  $a : b : c = 0,4834 : 1 : 0,7132$  Bodewig.  
 $o = 85^{\circ} 26'$ .

$o, p, r, a, b$ .	Berechnet	Beobachtet
$p : p =$		$*128^{\circ} 34'$
$o : o =$		$*153 \ 26$
$a : r =$	$123^{\circ} 48'$	$123 \ 55$
$o : a =$	$122 \ 47$	$122 \ 56$
$p =$		$*125 \ 59$
$p : r =$	$120 \ 5$	$120 \ 46$

Prismatisch nach der Axe  $c$ . Vollkommen spaltbar nach  $r$ .

Optische Axenebene parallel Axe  $b$ ; die Mittellinie (für Gelb) bildet einen Winkel von  $5^{\circ}$  mit einer Normalen auf  $r$  (vorn).  $2E = 72^{\circ} 56'$  Roth:  $72^{\circ} 19'$  Gelb. Negativ. — Groth Ztschr. 4, 590.

Schmelzpunkt  $104^{\circ}, 5$ .

## Nitroparadichlorbenzol. $C^6H^3(NO^2)Cl^2$ .

Eingliedrig.  $a : b : c = 0,8763 : 1$  Bodewig.

$A = 79^{\circ} 22', 5$	$\alpha = 73^{\circ} 4'$
$B = 108 \ 52$	$\beta = 112 \ 58$
$C = 104 \ 54$	$\gamma = 109 \ 52$

$p', a, b, c.$

	Beobachtet
$p' : b =$	$121^{\circ} 48'$
$c =$	$415 \quad 4$
$b : c =$	$*79 \quad 22,5$
$a : c =$	$*108 \quad 52$
$b =$	$*104 \quad 51$

Prismatisch nach  $a, b, p'$ . Spaltbar nach  $c$ . Weich.

Bodewig untersuchte das optische Verhalten. Groth Ztschr. 1, 589.

— Vgl. Jungfleisch: Ann. Ch. Phys. (4) 45, 257.

Schmelzpunkt  $54^{\circ}, 5$ .

**Nitromonobromzimmtsaures Aethyl, Para-.**  $C^{11}H^{10}Br(NO_2)O^2$ .

Zweiglig.  $a : b : c = 0,5272 : 1 : 0,1932$  Haushofer.

$p, 2p, r, a, b, c.$	Berechnet	Beobachtet
$p : p =$		$*124^{\circ} 24'$
$2p : 2p =$	$86^{\circ} 58'$	$87 \quad 6$
$p =$	$161 \quad 17$	$161 \quad 18$
$r : r =$	$139 \quad 44$	
$a =$	$110 \quad 8$	$109 \quad 36$
$p =$		$*107 \quad 44$

Hellgelbe Prismen, an denen  $a$  und  $b$  selten und schmal sind. Von den  $r$  ist meist nur das eine deutlich. Spaltbar nach  $c$ . — Groth Ztschr. 5, 436.

**Nitroorthochlornitrobenzol.**  $C^6H^3Cl \cdot (NO_2)^2$ .

Zwei- und eingliedrig.  $a : b = 1,7485 : 1$  Bodewig.

$\alpha = 66^{\circ} 30'.$

$p, c.$	Beobachtet
$p : p =$	$63^{\circ} 55'$
$c =$	$102 \quad 11$

Ebene der optischen Axen parallel Axe  $b$ . — Groth Ztschr. 3, 386.

Schmelzpunkt  $73^{\circ}, 5-74^{\circ}.$

**Nitronaphtalin-Silbersulfat.**  $C^{10}H^6NO_2 + AgSO_3(?)$ .

Zwei- und eingliedrig.  $a : b : c = 1,452 : 1 : 1,78$  Topsøe.

$\alpha = 76^{\circ} 20'.$

$\alpha, p, q, 2r, a, c.$	Berechnet	Beobachtet
$\alpha : \alpha =$	$99^{\circ} \quad 6'$	$98^{\circ} 56'$
$p : p =$		$*83 \quad 33$
$q : q =$	$60 \quad 2$	
$c =$	$120 \quad 1$	$119 \quad 48$
$a : c =$	$103 \quad 39,5$	$103 \quad 30$
$c : 2r =$	$119 \quad 56,5$	$120 \quad 1$
$\alpha : p =$	$158 \quad 46$	$158 \quad 30$
$c =$		$*120 \quad 47$
$q =$	$144 \quad 52$	$144 \quad 56$
$p : c =$		$*99 \quad 3$



Kleine rhomboederähnliche Combinationen  $p$ ,  $c$  mit  $o$  und  $2r$ . Die Flächen  $a$  und  $q$  sind selten.

Gelblich, durchsichtig, stark glänzend, vollkommen spaltbar nach  $c$ . — **Topsøe**: Wien. Ak. Ber. 73 (1876).

### Nitrophenol, Para-. $C^6H^5(NO_2)O$ .

Dimorph.

#### A. Stabile Modification.

Zwei- und eingliedrig.  $a : b : c = 0,6625 : 1 : 0,6849$  **Kokscharow**.  
 $o = 76^\circ 37'$ .

$o'$ , $2p$ , $c$ .	Berechnet	Beobachtet
$o' : o' =$		$*124^\circ 8'$
$2p : 2p =$		$*75 36$
$c =$		$*98 9$
$o' : c = 122^\circ 14'$		

Prismatisch nach  $2p$ ; spaltbar nach  $o'$ .

Ebene der optischen Axen  $ac$ ; die Mittellinie bildet mit Axe  $c$  vorn einen Winkel von  $47^\circ,5$  (für Gelb);  $2V$  etwa  $= 70^\circ$ . **Lohmann**.

Volumgewicht. 1,469 **Schröder**.

#### B. Labile Modification.

Zwei- und eingliedrig.  $a : b : c = 0,6796 : 1 : 0,3445$  **Lehmann**.  
 $o = 79^\circ 6'$ .

$o'$ , $2p$ , $b$ .	Berechnet	Beobachtet	
		Lehmann	Kokscharow
$o' : o' =$		$143^\circ 38'$	$*143^\circ 45'$
$2p : 2p =$		$*74 41$	$74 37$
$o' : 2p = 94^\circ 7'$			$94 34$

Spaltbar nach  $r'$ .

Ebene der optischen Axen  $ac$ ; die Mittellinie bildet mit Axe  $c$  hinten einen Winkel von  $22^\circ$ . — **Kokscharow**: Bull. Pétersb. 17, 273. — **Lehmann**: Groth Ztschr. 1, 45.

**Lehmann** erklärt beide Formen für verschiedene; **Kokscharow** nahm sie als gleiche, und in der That ist  $a$  bei beiden gleich,  $c = 2 : 1$ .

A. wurde aus Lösungen bei gewöhnlicher Temperatur erhalten, B. durch Schmelzen oder aus warmen Lösungen; jene Krystalle waren rötlich, diese farblos, färbten sich aber am Lichte und wurden undurchsichtig. — Vgl. Nitrophensäure.

### Nitrophensäure (Mononitrophenol). $C^6H^5(NO_2)O$ .

Rhombische Prismen von  $132^\circ 49'$  mit gerader Abstumpfung der Kanten und undeutlicher Endfläche. — **Kokscharow**: Bullet. Pétersb. 17.

### Nitrophensaures Silber. $AgC^6H^4(NO_2)O$ .

Zwei- und eingliedrig.  $a : b : c = 1,4527 : 1 : 0,6803$  **Kokscharow**.  
 $o = 77^\circ 9'$ .

$o', p, r, r', \frac{2}{3}r'$	Berechnet	Beobachtet
$o' : o' =$	$51^{\circ} 0'$	
$p : p =$		$70^{\circ} 27'$
$r : r' =$		$105 20$
$p : r =$		$115 57$
$r' =$	$104 13$	$103 45$
$r' : \frac{2}{3}r' =$	$150 25$	
$r : \frac{2}{3}r' =$	$134 52$	$135 17$
$o' : r' =$	$115 30$	
$p =$	$147 31$	$147 39$
$r =$	$96 32$	$96 40$
$\frac{2}{3}r' =$	$111 55$	$111 30$

Prismatisch nach der Verticalzone und tafelförmig nach  $r$ .

Die Messungen der schön rothen Krystalle sind nur annähernd. —

A. a. O.

#### Nitrophensäure, Iso-. $C^6H^5(NO_2)O$ .

Zwei- und eingliedrig.  $a : b : c = 0,6625 : 1 : 0,6849$  Kokscharow.  
 $\alpha = 76^{\circ} 37'$ .

$o', \frac{o'}{2}, p, a, c$	Berechnet	Beobachtet	
		A.	B.
$p : p =$		$104^{\circ} 24'$	$105^{\circ} 23'$
$c =$		$98 9$	
$a : c =$	$103^{\circ} 23'$	$104 5$	
$o' : o' =$		$124 18$	
$c =$	$122 14$	$121 51$	
$p =$	$135 34$	$135 39$	
$\frac{o'}{2} : \frac{o'}{2} =$	$143 37$		$143 45$
$p =$	$114 15$		$114 37$

Die Krystalle dieser mit der Nitrophensäure isomeren Verbindung erscheinen in zweifacher Art:

A. Aus Aether grosse braunrothe Krystalle, Combinationen  $o', p$ . Ein einzelner auf B. aufsitzender zeigte  $o', p, a, c$ .

B. Aus Wasser farblose Nadeln, aus  $p$  und  $\frac{o'}{2}$ .

Vollkommen spaltbar nach  $o'$ . — Kokscharow: Bull. Pétersb. 17.

#### Nitrophensäurer Baryt. $Ba(C^6H^4[NO_2] \cdot O)_2$ .

Zwei- und eingliedrig.  $a : b : c = 1,2637 : 1 : 2,2276$  Kokscharow.  
 $\alpha = 80^{\circ} 48'$ .

$o, o', p, a, c$	Berechnet	Beobachtet
$o : o =$	$89^{\circ} 0'$	
$o' : o' =$	$81 8$	
$o : o' =$	$107 47$	
$o : o' =$	$141 4$	
$p : p =$		$77^{\circ} 26'$

	Berechnet	Beobachtet
$p : c =$	$95^{\circ} 44'$	$95^{\circ} 47'$
$a : c =$		$99 \quad 12$
$o : c =$		$114 \quad 34$
$p =$	$164 \quad 10$	
$o' : c =$	$104 \quad 22$	$104 \quad 17$
$p =$	$159 \quad 54$	

Die Messungen sind annähernde. Sehr dünne rothe Tafeln oder Schuppen. — A. a. O.

### Nitrophensaures Aethyl, Iso-. $C^2H^5 \cdot C^6H^4NO^3$ .

Anscheinend zwei- und eingliedrig.

Rhombische Prismen  $p$  mit Abstumpfung  $a$  und der Endfläche  $c$ .

	Beobachtet (annähernd)
$p : p =$	$104^{\circ} 7'$
$c =$	$111 \quad 41$
$a =$	$142 \quad 2$
$a : c =$	$117 \quad 50$

Kokscharow.

### Nitrophensaures Natron, Iso-. $NaC^6H^4NO^3 + 4aq$ .

Zwei- und eingliedrig.  $a : b : c = 3,7198 : 1 : 3,4208$  Kokscharow.  
 $o = 78^{\circ} 39'$ .

$p, r, r', a, c.$	Berechnet	Beobachtet
$p : p =$		$30^{\circ} 40'$
$a =$	$105^{\circ} 20'$	$105 \quad 20$
$c =$	$92 \quad 59$	
$a : c =$		$101 \quad 21$
$r =$	$138 \quad 43$	$138 \quad 47$
$r' =$		$126 \quad 24$
$c : r =$	$142 \quad 38$	
$r' =$	$132 \quad 15$	
$p : r =$	$92 \quad 59$	
$r' =$	$99 \quad 2$	$99 \quad 6$

Zwillinge nach  $a$ , an welchen

$c : c =$	$157^{\circ} 18'$
$r' : r' =$	$107 \quad 12$
$p : p =$	$149 \quad 20$

Kokscharow: a. a. O.

### Nitrophenphosphorsaures Kali. $K^4C^{12}H^5(NO_2^2O^3 \cdot P^2O^5 + aq$ .

Zweigliedrig.  $a : b : c = 0,7194 : 1 : 0,5462$  v. Rath.

$o, {}^2p, \frac{r}{2}, a, b.$

	Berechnet
$o \left\{ \begin{array}{l} 2A = \\ 2B = \\ 2C = \end{array} \right.$	$\begin{array}{l} 132^{\circ} 58' \\ 112 \quad 39 \\ 86 \quad 9 \end{array}$

	Berechnet	Beobachtet
$2p : 2p =$		$^*69^{\circ} 36'$
$\frac{r}{2} : \frac{r}{2} =$	$138^{\circ} 25'$	$138 \quad 34$
$2p : \frac{r}{2} =$		$^*104 \quad 42$
$o : a =$	$123 \quad 40$	
$b =$	$113 \quad 41$	
$2p =$	$130 \quad 5$	$129 \quad 25$
$\frac{r}{2} =$	$151 \quad 37$	$152 \quad 9$

Feine Nadeln  $2p$ , an denen  $a$  und  $b$  sehr schmal. Die beiden  $\frac{r}{2}$  sind immer ungleich gross, oft fehlt das eine. Auch die  $o$  sind nie vollzählig. Gelb, diamantglänzend. — Pogg. A. 110, 112.

## Nitrophenolsulfonsaures Natron.

I.  $\text{Na}^2\text{C}^6\text{H}^3(\text{NO}^2)\text{SO}^4 + 3 \text{ aq.}$ 

Eingliedrig.  $a : b : c = 4,2472 : 4 : 0,6776$  v. Rath.

$A = 108^{\circ} 48'$	$\alpha = 104^{\circ} 53',5$
$B = 105 \quad 52,5$	$\beta = 102 \quad 56$
$C = 108 \quad 48$	$\gamma = 104 \quad 5$

$p', r, r', a, b, c.$	Berechnet	Beobachtet
$a : b =$		$^*108^{\circ} 48'$
$p' =$		$^*116 \quad 15$
$b : p' =$	$134^{\circ} 57'$	$139 \quad 59$
$c =$	$108 \quad 47$	$108 \quad 44,5$
$c : p' =$	$84 \quad 13$	
$a : c =$	$105 \quad 52,5$	
$r =$		$^*124 \quad 58$
$r' =$	$97 \quad 26$	
$c : r =$	$160 \quad 54,5$	$160 \quad 49$
$r' =$	$156 \quad 44,5$	
$b : r =$		$^*112 \quad 35$
$r' =$	$104 \quad 30$	
$r : r' =$		$^*137 \quad 36$

Bemerkenswerth ist die gleiche Neigung von  $b$  gegen  $a$  und  $c$ . Spaltbar nach  $r'$ .

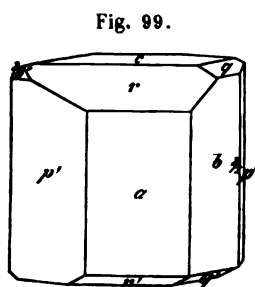
II.  $\text{NaC}^6\text{H}^4(\text{NO}^2)\text{SO}^4 + 3 \text{ aq.}$ 

Eingliedrig.  $a : b : c = 0,5084 : 1 : 0,3508$  v. Rath.

$A = 94^{\circ} 33'$	$\alpha = 90^{\circ} 25'$
$B = 97 \quad 8$	$\beta = 95 \quad 31$
$C = 126 \quad 20$	$\gamma = 126 \quad 5$

$2o', p', 2p', \frac{3}{2}p', q, q', r, r', a, b, c.$

	Berechnet	Beobachtet
$a : b =$		$^*126^{\circ} 20'$
$p' =$	$149^{\circ} 47'$	$149 \quad 50$



	Berechnet	Beobachtet
$a : 2p' =$	$116^{\circ} 9'$	$116^{\circ} 18'$
$\frac{2}{3}p' =$	$91 \ 51$	
$b : c =$		$94 \ 33$
$q : c =$	$157 \ 23$	$157 \ 32$
$b =$		$117 \ 40$
$q' : c =$	$155 \ 58$	$156 \ 4$
$b =$	$109 \ 29$	$109 \ 25,5$
$a : c =$		$97 \ 8$
$r =$		$134 \ 35$
$r' =$	$126 \ 19,5$	$126 \ 17$
$c : r =$	$142 \ 33$	
$r' =$	$136 \ 32,5$	
$b : r =$	$114 \ 50$	
$r' =$	$110 \ 15$	
$c : p' =$	$95 \ 57$	$95 \ 57$
$2p' =$	$92 \ 46$	
$\frac{2}{3}p' =$	$90 \ 38,5$	
$a : q =$	$109 \ 50,5$	
$q' =$	$97 \ 9,5$	
$2o' : a =$	$137 \ 34$	
$c =$	$129 \ 43,5$	$129 \ 50$
$p' =$	$146 \ 43,5$	

Fig. 99. — Der Habitus der Krystalle variirt, oft sind sie tafelartig nach  $a$  und  $b$ . Gelblich. — A. a. O.

#### Nitrophenolsulfonsaures Kali. $K C^6H^4(NO_2)SO_4$ .

Zwei- und eingliedrig.  $a : b : c = 1,580 : 1 : 1,658$  La Valle.  
 $o = 82^{\circ} 48'$ .

$n = 3a : b : c$ . —  $^3p, r, a, c$ .

	Berechnet	Beobachtet
$n : n =$	$67^{\circ} 12'$	
$r =$		$123^{\circ} 36'$
$c : r =$	$161 \ 30$	
$a : r =$		$115 \ 43$
$c =$		$97 \ 12$
$n : c =$	$117 \ 40,5$	$117 \ 42$
$a =$	$103 \ 53,5$	$103 \ 58$
$^3p =$	$122 \ 9$	$122 \ 9$

Die Flächen  $o$  und  $c$  sind herrschend; spaltbar nach  $a$ . Gelb. Dichroismus.

Ebene der optischen Axen parallel Axe  $b$ ; Mittellinie  $b$  negativ,  $\varphi < v$ , gekreuzte Dispersion,  $2H = 66^{\circ} 40'$  Roth. — Atti R. Acc. d. Linc. 3. 3. (Groth Ztschr. 4, 395.)

#### Nitrophenylbenzoesäure. $C^{13}H^9(NO_2)O_2$ .

Zwei- und eingliedrig.  $a : b : c = 0,5478 : 1 : 0,3727$  Arzruni.  
 $o = 65^{\circ} 30',5$ .

$o, p, b, c.$ 

	Beobachtet
$p : p =$	$127^{\circ} 2'$
$b =$	$116 29$
$c =$	$111 17$
$o : p =$	$119 18$
$c =$	$112 11$

Herrschend  $b$  und  $c$ . — Groth Ztschr. 1, 646.**Nitrophenylglyoxylamid, Meta-.  $C^8H^6N^2O^4$ .**Zwei- und eingliedrig.  $a : b : c = 2,7287 : 4 : 1,1753$  Bodewig  
 $o = 71^{\circ} 53'$ . $x = 2a : b : c$ . —  $o, p, {}^2p, r, r', a, c.$ 

	Berechnet	Beobachtet
$o : o =$	$94^{\circ} 32'$	$94^{\circ} 31'$
$p : p =$	$42 12$	
$a =$	$111 6$	$111 20$
$c =$	$96 27$	
${}^2p : {}^2p =$		$21 19$
$p =$	$169 49$	$169 46$
$c =$	$93 22$	$93 26$
$a : c =$		$108 7$
$r =$		$127 58$
$r' =$	$97 10,5$	$97 24$
$c : r =$	$160 9$	$160 8$
$r' =$	$154 42,5$	$154 34$
$p : r =$	$102 48$	$102 53$
$o : a =$	$116 49$	
$p =$	$142 49$	$142 43$
$r =$	$137 11$	$137 18$
$x : a =$	$109 44$	$109 43$
${}^2p =$	$129 48$	$129 37$
$o =$	$172 55$	$172 55$

Prismatisch nach der Verticalzone, in welcher  $a, c, r$  herrschen.Schmelzpunkt  $154 - 152^{\circ}$ . — Groth Ztschr. 5, 569.**Nitrosoäthylphenylharnstoff.  $C^9H^{11}N^3O^2$ .**Zwei- und eingliedrig.  $a : b = 0,735 : 1$  Arzruni. $p, {}^2p, c.$ 

	Berechnet	Beobachtet
$p : p =$		$108^{\circ} 34'$
$c =$		$99 45$
${}^2p =$	$160^{\circ} 55'$	$160 32$

Schmelzpunkt  $59^{\circ}$ . — Groth Ztschr. 1, 387.**Nitrosodimethylanilin.  $C^8H^{10}N^2O$ .**

Eingliedrig (?).

Aus ätherischer Lösung durchsichtige flächenreiche Prismen mit einer tiefen Endfläche, welche nach den Messungen und dem optischen Ver-

halten eingliedrig zu sein scheinen. Die aus Benzol sich abscheidenden undurchsichtigen Krystalle aber muss man für zwei- und eingliedrig halten, obwohl in den Winkeln einzelner Formen beider Arten grosse Aehnlichkeit herrscht. — Haushofer: Ber. d. ch. G. 1879, 1823.

### Nitrosoterpen. $C^{10}H^{15}NO$ .

#### A. Aus Terpentinöl.

Zwei- und eingliedrig.  $a : b : c = 1,413 : 1 : 0,9137$  Maskelyne.  
 $\alpha = 70^\circ 47',5$ .

$o, \frac{3}{2}o, p, q, q^3, r, \frac{r}{2}, \frac{3}{2}r, a, b, c$ .

$u = \frac{1}{3}a : b : \frac{1}{3}c; \lambda = \frac{1}{3}a : \frac{1}{3}b : c$ .

	Berechnet	Beobachtet
	a.	b.
$o : o = 115^\circ 34'$		$115^\circ 26'$
$p : p =$	$*105^\circ 40'$	$106 \quad 8$
$c = 101 \quad 42$	$101 \quad 48$	
$a : c = 109 \quad 42,5$	$109 \quad 37$	$109 \quad 41$
$r =$	$*136 \quad 22$	$136 \quad 15$
$2r = 150 \quad 8$		
$p : r = 115 \quad 56$	$115 \quad 30$	
$\frac{r}{2} = 92 \quad 40$	$92 \quad 43$	
$2r = 124 \quad 35$	$124 \quad 33$	
$q^3 = 125 \quad 58$	$126 \quad 5$	
$o : p =$	$*142 \quad 38$	$142 \quad 34$
$a = 127 \quad 40$		$127 \quad 32$
$\frac{3}{2}o : p = 149 \quad 57$	$149 \quad 52$	
$u : u = 150 \quad 42$	$151 \quad 20$ appr.	
$p = 132 \quad 48$	$133 \quad 30$	
$2r = 163 \quad 21$	$162 \quad 56$	
$\lambda : p = 159 \quad 57$	$159 \quad 32$	

Die Messungen a. beziehen sich auf Krystalle aus französischem Terpentinöl und Juniperusöl; b. auf solche aus amerikanischem Terpentinöl. Letztere sind einfacher, Combinationen  $o, p, a, b, c$ ; die ersteren, Prismen  $p$  bildend, zeigen die übrigen Flächen, meist aber klein, gekrümmt oder geknickt, und bald matt werdend. Spaltbar nach  $c$ , weniger nach  $p$ . Zwillinge nach  $c$ .

Ebene der optischen Axen parallel Axe  $b$ ; die Mittellinie liegt in  $ac$  und bildet mit Axe  $c$  vorn einen Winkel von etwa  $88^\circ,5$ .

#### B. Aus Orangen-, Bergamott- und Kümmelöl.

Zwei- und eingliedrig.  $a : b : c = 0,8678 : 1 : 0,9083$  Maskelyne.  
 $\alpha = 79^\circ 4'$ .

$p, r, r', a, c$ .

	Berechnet	Beobachtet
$p : p =$		$99^{\circ} 8'$
$c =$	$98^{\circ} 20' .5$	$97 58 - 99^{\circ} 0'$
$a : c =$		$*100 59$
$r =$	$144 34$	$144 0 - 142 46$
$c : r' =$		$*155 56$
$p : r =$	$126 37$	
$r' =$	$99 56$	$99 50$

Spaltbar nach  $c$ . Tafelartig nach  $a$ .

Beide Isomeren haben die Axen  $c$  gemein, ihre  $a$  verhalten sich  $= 5 : 3$ , ihre Axenwinkel  $\sigma$  differiren fast um  $9^{\circ}$ . — Proc. Cryst. Soc., Phil. Mag. 5) 7, 429 (Groth Ztschr. 5, 644).

#### Nitrotoluidin. $C^7H^8N(NO_2)$ .

Zwei- und eingliedrig.  $a : b : c = 1,444 : 4 : 0,8776$  Panebianco.  
 $\sigma = 85^{\circ} 5'$ .

$p, r', a. - n' = a' : \frac{1}{2}b : c$ .

	Berechnet	Beobachtet
$p : p =$		$*84^{\circ} 2'$
$n' : n' =$		$*69 46$
$q : q =$	$97^{\circ} 44'$	$97 45$
$p : n =$	$146 6$	$146 9$
$a =$		$*142 54$
$q =$	$122 9$	$122 12$
$a : r' =$	$125 10$	

Prismatisch; spaltbar nach  $c$ ; gelbroth; Zwillinge: Zwillingssaxe eine normale auf Fläche  $c$ .

Ebene der optischen Axen  $ac$ , Mittellinie negativ, fast normal auf Fläche  $c$ ;  $2H = 77^{\circ}$  etwa (Roth). — Atti R. Acc. d. Lincei (3) 3. (Groth Ztschr. 4, 394.)

#### Nitrotoluol, Para-. $C^7H^7NO_2$ .

Zweigliedrig.  $a : b : c = 0,9107 : 4 : 4,0965$  Bodewig.

$n = \frac{1}{2}a : b : c. - p, q, b, c$ .

	Berechnet	Beobachtet
$n \left\{ \begin{array}{l} 2A = 134^{\circ} 22' \\ 2B = 101 54 \\ 2C = 138 36 \end{array} \right.$		
$p : p =$	$95 22$	$95^{\circ} 23'$
$b =$	$132 19$	$132 19$
$q : q =$	$84 44$	
$b =$	$137 38$	$137 53$
$c =$	$132 22$	$132 9$
$n : b =$		$*112 49$
$c =$		$*110 42$
$p =$	$152 56$	$153 8$

Die aus Aether erhaltenen Krystalle sind tafelförmig nach  $b$ , die aus Benzol nach  $c$ . — Spaltbar nach  $b$ .



Ebene der optischen Axen =  $bc$ ;  $2H_a = 57^\circ 0'$  Roth,  $57^\circ 44'$  Gelb.  
Mittellinie negativ. — Groth Ztschr. 3, 384.  
Schmelzpunkt  $54^\circ$ .

**Nitrotribrombenzol.**  $C^6H^2(NO^2)Br^3$ .

I. Stellung 1. 2. 4. 6. (Symmetrisches.)

Zwei- und eingliedrig.  $a : b : c = 0,6548 : 4 : 0,3695$  Panebianco.  
 $\alpha = 80^\circ 44'$ .

$s = a : \frac{1}{2}b : c$ . —  $p, q, r, b, c$ .

	Berechnet	Beobachtet
$p : p =$		$*144^\circ 48'$
$q : q =$		$*139 \ 59$
$p =$		$*108 \ 36$
$p : r = 120^\circ 45'$		$120 \ 16,5$
$s = 135 \ 8$		$135 \ 40$

Prismatisch nach  $p$ . Zwillinge: Zwillingsaxe senkrecht auf  $r$ . Spaltbar nach  $r$ .

Ebene der optischen Axen parallel Axe  $b$ , Mittellinie negativ, fast normal auf  $r$ ;  $q < v$ ;  $2H$  etwa  $60^\circ$ . Gelb; Dichroismus. — S. d. folgende.

II. Stellung 1. 3. 4. 5.

Eingliedrig.  $a : b : c = 1,0055 : 4 : 0,4823$  La Valle.

$A = 104^\circ 35'$	$\alpha = 98^\circ 34'$
$B = 99 \ 22$	$\beta = 95 \ 4$
$C = 114 \ 46$	$\gamma = 112 \ 33$

$\frac{\alpha'''}{2}, p', p^2, r, a, b, c$ .

	Berechnet	Beobachtet
$a : b =$		$*144^\circ 46' *$
$p^2 = 135^\circ \ 9'$		$135 \ 3$
$b : p' =$		$*123 \ 11$
$c =$		$*101 \ 35$
$a : c =$		$*99 \ 22 *$
$r =$		$*124 \ 35$
$p' : c = 92 \ 9$		$92 \ 4$
$r = 101 \ 25$		$101 \ 22$
$p^2 : r = 119 \ 16$		$119 \ 10$
$\frac{\alpha'''}{2} : c = 100 \ 35$		$100 \ 40$
$b = 101 \ 49$		$101 \ 55$
$c = 153 \ 13$		$153 \ 40$

Prismatisch nach der Horizontalzone. Schwer spaltbar nach  $a$ . Gelb, von schwachem Pleochroismus. — Atti R. Acc. d. Lincei (3) 3. (Groth Ztschr. 4, 388.)

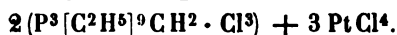
\*) Gleich  $p : p$  resp.  $a : c$  von I.

**Nitrozimmtsäures Aethyl, Ortho-.**  $C^9H^6(NO_2)O^2 \cdot C^2H^5$ .  
Zweiglig.  $a : b : c = 0,5245 : 1 : 0,865$  Haushofer.

$o, q, a, c.$	Berechnet	Beobachtet
$o \left\{ \begin{array}{l} 2A = \\ 2B = \\ 2C = \end{array} \right.$	$131^\circ 40'$	$*106^\circ 58'$ $*130 \ 24$
$q : q =$	$98 \ 16$	
$c =$	$139 \ 8$	$138 \ 30$
$o : c =$	$144 \ 50$	

Rhombenoktaeder  $o$ , oft mit vergrössertem  $c$ . — Groth Ztschr. 3, 74.

**Nonäthylformyltriposphinchlorid-Platinchlorid.**



Zwei- und eingliedrig.  $a : b : c = 0,7762 : 1 : 0,9558$  Sella.  
 $o = 89^\circ 30'$ .

$o, r, a, b, c.$	Berechnet	Beobachtet
$o : o =$	$96^\circ 54'$	
$a : c =$		$*90^\circ 30'$
$r =$		$*133 \ 58$
$c : r =$	$136 \ 32$	
$o : a =$	$121 \ 18$	$121 \ 13$
$b =$		$*131 \ 33$
$c =$	$122 \ 54$	$122 \ 53$

Kleine gelbe Prismen nach der Verticalzone. Zwillinge nach  $a$ , so dass die  $c$  Winkel von  $179^\circ$  bilden. Spaltbar nach den Hexaidflächen.  
S. Hexäthyl- und Hexamethylverbindungen.

**Opianin s. Narcotin.**



Zwei- und eingliedrig.  $a : b : c = 1,2515 : 1 : 1,1609$  Miller.  
 $o = 83^\circ 37'$ .

$p, r, a, c.$	Berechnet	Beobachtet	
		Miller	Des Cloizeaux
$p : p =$		$*77^\circ 36'$	$77^\circ 31'$
$a =$	$128^\circ 48'$		$128 \ 44$
$c =$	$94 \ 0$		
$a : c =$		$*96 \ 23$	$96 \ 6$
$r =$		$*136 \ 16$	$136 \ 16$
$c : r =$	$140 \ 7$		$140 \ 30$

Prismatisch nach  $p$ , tafelartig nach  $a$ . Spaltbar nach  $a$ .

Optische Axenebene  $ac$ ; die Mittellinie der mittleren Axen bildet Winkel von

$38^\circ 54'$	mit der Normale der Fläche $c$					
$1 \ 16$	-	-	-	-	-	$r$
$45 \ 0$	-	-	-	-	-	$a$ vorn.

Dispersion der Axen schwach,  $\varrho < \nu$ .  $2E = 53^\circ 24'$  Roth,  $53^\circ 1'$  Gelb,  $54^\circ 23'$  Blau ( $20^\circ$ ). — Nouv. Réch. 454.  
Volumgewicht. 1,283—1,296 Schröder.

**Orcin, Beta-.**  $C^8H^{10}O^2$ .

Viergliedrig.  $a : c = 1 : 1,6349$  Miller.

$o, \frac{o}{2}, d, p, a, c.$	Berechnet	Beobachtet
$o \left\{ \begin{array}{l} 2A = 130^\circ 27' \\ 2C = 133 \quad 6 \end{array} \right.$		
$\frac{o}{2} \left\{ \begin{array}{l} 2A = 115 \quad 26 \\ 2C = 98 \quad 6 \end{array} \right.$		
$d \left\{ \begin{array}{l} 2A = 105 \quad 50 \\ 2C = 107 \quad 0 \end{array} \right.$		
$o : c =$		$*113^\circ 27'$

Ann. Ch. Pharm. 68, 405.

**Orthoamidobenzoessäure** s. Amido.

**Orthoamidosulphphenol** s. Amido.

**Orthodinitrobenzol** s. Dinitro.

**Orthodinitrotoluol** s. Dinitro.

**Orthodinitrobenzoessäure** s. Nitro.

**Orthonitrodibrompropionsaures Aethyl** s. Nitro.

**Orthothioamelsensäure** s. Thio.

**Orthotolubenzaldehyd** s. Tolu.

**Oxamid.**  $CNH^2O$ .

Zwei- und eingliedrig.  $a : b : c = 0,7382 : 1 : 0,9548$  Schabus.  
 $o = 82^\circ 2'$ .

$o, o', r', c.$	Berechnet	Beobachtet
$o : o = 123^\circ 2'$		
$o' : o' = 116 \quad 20$		
$o : o' = 93 \quad 41$		
$o : o' = 116 \quad 2$		
$c : r' =$		$*122^\circ 45'$
$o : c = 126 \quad 36$		
$r' =$		$*102 \quad 40$
$o' : c = 117 \quad 22$		$117 \quad 22$
$r' =$		$*148 \quad 40$

Zwillinge nach  $r'$ .

Prismatisch nach  $o', r'$ ; tafelartig nach  $r'$  oder  $c$ .

Die Krystalle sind sehr klein, die Flächen  $o$  und  $c$  uneben, wenig glänzend, die Messungen deshalb nicht genau.

Volumgewicht. 1,657—1,667 Schröder.

**Oxaminsaures Ammoniak.**  $\text{NH}^4 \cdot \text{C}^2\text{H}^2\text{NO}^3$ .Zwei- und eingliedrig.  $a : b = 0,649 : 1$  Sénarmont.  
 $o = 64^\circ 23'$ .

$p, {}^2p, b, c.$	Berechnet	Beobachtet
$p : p =$	$119^\circ 20'$	
$b =$		$*120^\circ 20'$
$c =$		$*111 \quad 55$
${}^2p : {}^2p =$	$84 \quad 2$	
$b =$	$139 \quad 29$	$139 \quad 30$

Privatmittheilung.

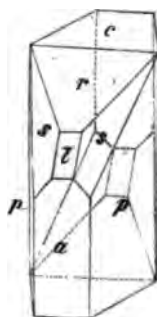
**Oxaminsaures Aethyl** (Oxamäthan).  $\text{C}^2\text{H}^5 \cdot \text{C}^2\text{H}^2\text{NO}^3$ .Zweigligliedrig.  $a : b : c = 0,5773 : 1 : 0,7133$  De la Provostaye.

$p, q, b.$	Berechnet	Beobachtet
$p : p =$		$*120^\circ 0'$
$q : q =$	$109^\circ 0'$	
$b =$		$*125 \quad 30$
$p =$	$106 \quad 53$	

Tafelartig nach  $b$ . — Ann. Chim. Phys. 75, 322.**Oxykamphoronsäure** s. Kampher.**Oxybenzoesäure, Para-.**  $\text{C}^7\text{H}^6\text{O}^3 + \text{aq.}$ Zwei- und eingliedrig.  $a : b : c = 1,370 : 1 : 1,022$  Reusch.  
 $o = 74^\circ 34'$ . $s = \frac{1}{2}a : b : c.$  —  ${}^2p, r, {}^2r(l), a, c.$ 

	Berechnet	Beobachtet
	Reusch	Knop
$s : s =$	$127^\circ 38'$	
${}^2p : {}^2p =$	$*41^\circ 28'$	$40^\circ$
$a : c =$	$105 \quad 26$	$105 \quad 30'$
$r =$	$*136 \quad 24$	
${}^2r =$	$154 \quad 15$	
$c : r =$	$*149 \quad 2$	
$s : {}^2r =$	$153 \quad 49$	
$c =$	$130 \quad 5$	$129$

Fig. 400.

Fig. 400. — Spaltbar nach  $a$ ; die Flächen  $c$  und  $s$  treten oft nur an einem Ende auf.Ebene der optischen Axen  $ac$ . — Knop: Ann. Ch. Ph. 127, 129. — Reusch: Groth Ztschr. 3, 103.**Oxycinchomeronsäure.**  $\text{C}^8\text{H}^5\text{NO}^6 + 2\text{aq.}$ Zweigligliedrig.  $a : b : c = 0,877 : 1 : 0,5767$  Ditscheiner.

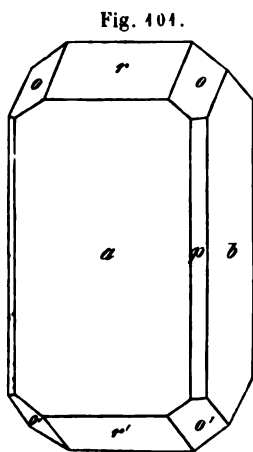
$o, a, b, c.$	Berechnet	Beobachtet
$o \left\{ \begin{array}{l} 2A = \\ 2B = \\ 2C = \end{array} \right.$	$\begin{array}{l} 128^\circ 32' \\ 120 \quad 40 \\ 82 \quad 20 \end{array}$	$120^\circ 36'$

	Berechnet	Beobachtet
$o : a =$		*119° 40'
$b =$	115° 44'	
$c =$		*138 50

Tafelartig nach  $a$ . — Wien. Ak. Ber. 78.**Papaverin, chlorwasserstoffsäures.**  $2C^{21}H^{21}NO^4 + HCl$ .Zweigliedrig.  $a : b : c = 0,839 : 4 : 0,585$  Kopp.

$o, p, q, a$	Berechnet	Kopp	Beobachtet	Pasteur
$o \left\{ \begin{array}{l} 2A = 128^\circ 44' \\ 2B = 117 \ 56 \\ 2C = 84 \ 38 \end{array} \right.$				
$p : p =$		*100° 0'		
$q : q =$		*119 20		
$p =$	108 57			
$o : q =$	148 58			149° 15'

Das Oktaeder erscheint als rechtes Tetraeder. Prismatisch nach  $p$ . — Kopp: Ann. Chem. Pharm. 66, 127. — Pasteur: Ann. Chim. Phys. (3) 38, 456.

**Paraazophenol s. Azophenol.****Parabansäure.**  $C^3H^2N^2O^3$ .Zwei- und eingliedrig.  $a : b : c = 1,3043 : 4 : 0,6463$  v. Rath.  
 $o = 87^\circ 6'$ . $o, o', p, p^2, r, r', 21r', a, b$ .

	Berechnet	v. Rath	Beobachtet	Schabus
$o : o =$	122° 45'	122° 44'		
$o' : o' =$	120 54	120 54		120° 52,5
$o : o' =$	136 6	136 4		
$o : o' =$	104 22			
$p : p =$	75 9			
$a =$	127 34	127 34		
$b =$	142 25	142 27		
$p^2 : p^2 =$		*113 58		
$p =$	160 35	160 30		
$r : r' =$	129 24			129 18
$a : r =$		*117 42		
$r' =$		*112 57		113 0
$a : 21r' =$	174 44	174 17		
$r' : 21r' =$	118 43	118 20		
$p : r =$	106 28	106 33		
$o : a =$	114 5	114 5		

	Berechnet	Beobachtet	
		v. Rath	Schabus
$o : b = 448^{\circ} 37'$		$448^{\circ} 41'$	
$p = 428 \ 55$			
$r = 451 \ 23$		$451 \ 40$	
$o' : a = 409 \ 49$			
$b = 449 \ 34$		$449 \ 26$	$449^{\circ} 34'$
$p = 426 \ 43$		$426 \ 47$	
$r' = 450 \ 25$		$450 \ 26$	$450 \ 30$

Die von v. Rath untersuchten Krystalle (durch freiwillige Zersetzung von Alloxan entstanden) waren tafelartig nach  $a$  (Fig. 404);  $p$  und  $p^2$  traten nur untergeordnet auf oder fehlten;  $r'$  war nicht immer da;  $o'$  war beständiger als  $o$ .  $a$  ist matt, und lässt im Innern eine durchsichtigere Zeichnung in Form eines Andreaskreuzes erkennen. Hiermit steht in Verbindung, dass die Krystalle gewöhnlich zu zweien verwachsen sind und dies durch eine verticale Rinne auf  $b$  verrathen, welche sich fast bis zur Mitte erstreckt.  $r$  hat den stärksten Glanz.

Spaltbar sehr vollkommen nach  $b$  (Schabus).

Schabus hatte den Krystallen eine andere Stellung gegeben. — v. Rath: Pogg. A. 440, 93. — Schabus: 463 und Ebendas. 446, 446.

**Parabromacetanilid** s. Bromacetanilid.

**Parabromanilin** s. Bromanilin.

**Parabromorthobromacetanilid** s. Bromacetanilid.

**Paradibromphenyl** s. Dibromphenyl.

**Paradinitrobenzol** s. Dinitrobenzol.

**Parahydrocyanaldin** s. Hydrocyanaldin.

**Paranitrailin** s. Nitrailin.

**Paranitroacetanilid** s. Nitroacetanilid.

**Paranitrobenzoesäure** s. Nitrobenzoesäure.

**Paranitrodibrompropionsäure** s. Nitrodibrompropionsäure.

**Parantrophol** s. Nitrophol.

**Paraoxybenzoesäure** s. Oxybenzoesäure.

**Parasantonid** s. Santonin.

**Parasantonsäure** s. Santonsäure.

**Paratartramid** s. Tartramid.

**Paratoluidin** s. Toluidin.

**Paratolylhydracil** s. Tolyhydracil.

**Paratolylphenylketon** s. Tolyphenylketon.

**Paratolylurethan** s. Tolyurethan.

**Patschoulikampher.  $C^{15}H^{28}O$ .**Sechsgliedrig.  $a : c = 1 : 0,55$  Des Cloizeaux.

$d, p.$	Berechnet	Beobachtet
$d \begin{cases} 2A = \\ 2C = \end{cases}$	$64^{\circ} 50'$	$448^{\circ} 54'$
$d : p =$	122 25	122 20

Scheint dem Kampher isomorph zu sein, da ihre  $c = 1 : 3$  sind.

Volumgewicht. 1,03 (22°) Damour; 1,054 (4°, 5) Gal.

Schmelzpunkt. 54—55°. Siedepunkt 296° Gal.

Gas-Volumgewicht bei 325° = 115,6 (berechnet 112).

Die Krystalle sind optisch einaxig, negativ. Ihre Lösung in Alkohol ist linksdrehend. — Des Cloizeaux: C. r. 68, 406.

**Pentabromaceton.  $C^3HBr^5O$ .**Zweigliedrig.  $a : b : c = 0,6982 : 1 : 0,6946$  Ditscheiner.

$o, 2p, b.$	Berechnet	Beobachtet	
		Ditscheiner	Friedländer
$o \begin{cases} 2A = \\ 2B = \\ 2C = \end{cases}$	$100^{\circ} 46'$	$127^{\circ} 40'$ $101^{\circ} 40'$	$128^{\circ} 30'$ 102 0
$2p : 2p =$	108 46	108 44	108 45
$b =$	144 23	144 30	
$o =$	136 34	136 32	136 33

Prismatisch.

Ebene der optischen Axen  $ac$ , Mittellinie  $c$ .

Schmelzpunkt 76° (72—73°). — Groth Ztschr. 3, 103.

**Pentabromorcin.  $C^7H^3Br^5O^2$ .**

Eingliedrig. Rammelsberg.

 $o'', o''', p, p', 2q, 2q', b, c.$  —  $s = a' : \frac{1}{2}b : c.$ 

Beobachtet			
$p : p' =$	133° 30'	$c : p' =$	110° 12'
$b : p =$	116 45	$o'' : c =$	119 5
$p' =$	109 45	$o''' : c =$	118 25
$c =$	89 30	$p =$	130 50
$2q : c =$	139 45	$s : p =$	128 20
$2q' : c =$	138 25	$2q' =$	139 10
$c : p =$	110 45	$o''' =$	137 40

Prismatisch nach den  $p$  und  $b$  oder nach der Zone  $p'c$ .

Schmelzpunkt 126°.

**Pentabromresorcin.  $C^6HBr^5O^2$ .**Viergliedrig.  $a : c = 1 : 1,6458$  Rammelsberg. $o, c, a.$

	Berechnet	Beobachtet
$o \left\{ \begin{array}{l} 2A = 98^{\circ} 58' \\ 2C = 133 \ 30 \\ o : c = \\ a = 130 \ 34 \end{array} \right.$		$98^{\circ} 58'$ 133 30 *443 45 130 0

Röthlichgelb, durchsichtig, glänzend;  $a$  selten, unvollständig.  
Keine Spaltbarkeit.

Pentachloräthan s. Aethylenchlorid.

Perchloräther s. Chloräther.

Phenol.  $C^6H^6O$ .

Ausdehnung.  $V = 1 + 0,0006744 t + 0,000004724 t^2 + 0,0000000050408 t^3$  ( $32^{\circ},9$  bis  $163^{\circ},5$ ) Kopp.

Volumgewicht. 1,0597 ( $32^{\circ},9$ ), (würde flüssig bei  $0^{\circ} = 1,0808$  n), Kopp. — Nach Adrieenz:

1,055433 bei $40^{\circ}$	1,0495	bei $80^{\circ}$
1,04663 - 50	1,04045	- 90
1,03804 - 60	1,00446	- 100
1,0289 - 70		

1722 bei  $20^{\circ}$  (gegen Wasser von  $20^{\circ}$ ) Landolt. — Adrieenz: Ber. ch. Ges. 1873, 442. — Vgl. Ladenburg: Ber. d. ch. G. 1874, 86.

Schmelzpunkt  $37^{\circ},8$ , Erstarrungspunkt  $34^{\circ},3$  Adrieenz; Schmelzpunkt  $35^{\circ},3$  Landolt.

Latente Schmelzwärme. 24,93 W.E. — Pettersson: J. f. pr. (2) 24, 129.

Siedepunkt.  $187^{\circ},6$ — $188^{\circ},4$  Kopp;  $183^{\circ},3$ — $184^{\circ},4$  Adrieenz. Unter dem Druck von 40 mm siedet es bei  $102^{\circ}$  Körner.

Gas-Volumgewicht 46,6. Berechnet 47.

Brechungsexponenten bei  $20^{\circ}$  nach Landolt:

$\alpha$	$\beta$	$\gamma$
1,54447	1,56357	1,57555

gg. A. 122, 558.

Thermochemisches. Berthelot: C. r. 73, 663. — Louguine: Eb. 86, 1392.

Phenoldisulfosaures Kali.  $KC^6H^4S^2O^7 + aq$ .

Zweigliedrig.  $a : b : c = 0,6847 : 4 : 0,5432$  v. Rath.

$s = \frac{1}{2}a : b : c$ . —  $p, q, b, c$ .

	Berechnet	Beobachtet
$s \left\{ \begin{array}{l} 2A = 148^{\circ} 43' \\ 2B = 125 \ 40 \\ 2C = 112 \ 36 \end{array} \right.$		$148^{\circ} 45'$
$p : p =$		*444 42



	Berechnet	Beobachtet
$q : q =$	$125^{\circ} 40'$	$125^{\circ} 42'$
$b =$	117 40	116 57
$c =$		*152 50
$p : q =$	104 57	104 50
$s =$	144 34	144 34

Prismatisch nach  $p$  oder tafelartig nach  $c$ ;  $s$  ist sehr selten,  $q$  fehlt oft  
Spaltbar nach  $b$ . — Pogg. A. 135, 594.

**Phenoldisulfosaures Ammoniak.**  $\text{NH}^4 \cdot \text{C}^6\text{H}^4\text{S}^2\text{O}^7 + \text{aq.}$

Zwei- und eingliedrig.  $a : b : c = 1,3874 : 1 : 0,9682$  v. Rath.  
 $\alpha = 85^{\circ} 40'$ .

$p, r, r', 3r', a, c.$	Berechnet	Beobachtet
$p : p =$		*71° 44'
$a =$	$125^{\circ} 52'$	125 50
$c =$	92 32	
$a : c =$	94 20	94 13
$r =$	127 48	127 48
$r' =$		*121 58
$3r' =$	153 42	
$c : r =$	146 32	
$r' =$	143 42	
$3r' =$	141 58	
$r : r' =$	110 14	110 9
$r' : 3r' =$	148 46	148 5
$p : r =$	111 3	111 2
$r' =$	108 4	108 4

Prismen  $p$ , spaltbar nach  $r'$ . — A. a. O.

**Phenoldisulfosaurer Baryt.**  $\text{Ba}(\text{C}^6\text{H}^4\text{S}^2\text{O}^7)_2 + 4 \text{aq.}$

Zwei- und eingliedrig.  $a : b : c = 1,6542 : 1 : 1,34$  v. Rath.  
 $\alpha = 86^{\circ} 33'$ .

$p, r, r', a, c.$	Berechnet	Beobachtet	
		a.	b.
$p : p =$		*62° 24'	62° 45'
$a =$	$121^{\circ} 12'$	121 12	121 19
$c =$	91 47	91 53	91 58
$a : c =$	93 27	93 30	93 18
$r : r' =$	102 0	102 50	102 0
$a : r =$	134 5	130 44	131 0
$r' =$		*126 55	127 6
$c : r =$	142 22	141 56	142 40
$r' =$		*139 38	139 44
$p : r =$	109 54	109 49	109 56
$r' =$	108 3	108 7	109 56

a. Gelbe Krystalle aus neutraler oder alkalischer Lösung, prismatisch

nach  $p$ ; herrschend  $p$ ,  $c$ ,  $r$ . b. Farblose aus saurer Lösung, tafelförmig nach  $a$ . Spaltbar nach  $c$ . — A. a. O.

**Phenolmetabrombenzoat.**  $C^{13}H^9BrO^2$ .

Zweigligedrig.  $a : b : c = 0,9278 : 1 : 2,5043$  Mügge.

$o$ ,  $\frac{o}{2}$ ,  $c$ .

	Berechnet	Beobachtet
$o \left\{ \begin{array}{l} 2A = \\ 2B = \\ 2C = 149 \quad 34,5 \end{array} \right.$	$97^\circ 57'$	$89^\circ 57',5$
$\frac{o}{2} \left\{ \begin{array}{l} 2A = 106 \quad 42,5 \\ 2B = 99 \quad 55,5 \\ 2C = 122 \quad 55 \end{array} \right.$		
$c : o =$		$105 \quad 13$

Oft tafelförmig nach  $c$ .

Ebene der optischen Axen  $ac$ , Mittellinie positiv =  $c$ .

$2E = 40^\circ 38' \text{ Li}; \quad 41^\circ 4' \text{ Na}; \quad 42^\circ 50' \text{ Tl. } \varphi < v$ .

Schmelzpunkt  $65^\circ$ . — Krystallogr. Untersuchung einiger organischer Verbindungen. Dissertation. Göttingen, 1879.

**Phenolparasulfosaures Kali.**  $KC^6H^6SO^4$ .

Zweigligedrig.  $a : b : c = 0,8799 : 1 : 1,0076$  v. Rath.

$o$ ,  $p$ ,  $b$ .

	Berechnet	Beobachtet
	v. Rath	Bodewig
$o \left\{ \begin{array}{l} 2A = \\ 2B = \\ 2C = 143^\circ 30' \end{array} \right.$	$142^\circ 56'$ $102 \quad 14$	$143^\circ 4'$ $102 \quad 13$
$p : p = 97 \quad 19$	$97 \quad 20$	$97 \quad 18$
$o : b = 123 \quad 32$	$123 \quad 33$	
$p = 146 \quad 45$	$147 \quad 4$	$146 \quad 52$

Hellgelbliche Krystalle, tafelförmig nach  $b$ .

Optische Axenebene =  $ab$ , Mittellinie =  $b$ . Positiv. Axenwinkel

$2H_a$	$2H_b$
$75^\circ 4'$	$130^\circ 0' \text{ Li-Roth}$
$75 \quad 37$	$129 \quad 34 \text{ Na-Gelb}$
$76 \quad 6$	$129 \quad 45 \text{ Tl-Grün. Bodewig.}$

v. Rath: Pogg. A. 138, 550. — Bodewig: Groth Ztschr. 4, 585.

**Phenolparasulfosaures Kupfer.**

A.  $Cu(C^6H^6SO^4)_2 + 5aq$ .

Eingliedrig.  $a : b : c = 0,77036 : 1 : 0,61495$  v. Rath.

$A = 99^\circ 13'$	$\alpha = 98^\circ 16'$
$B = 97 \quad 21$	$\beta = 96 \quad 6$
$C = 98 \quad 40$	$\gamma = 97 \quad 38,5$

$o, o', o'', o''', \frac{q}{2}, \frac{q'}{2}, r, r', a, b.$

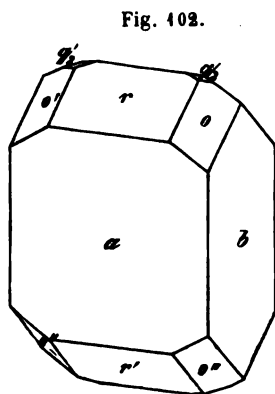


Fig. 102.

	Berechnet	Beobachtet
$o : o' = 131^{\circ} 44',5$		
$o'' : o''' = 125 32,5$		$125^{\circ} 32',5$
$o : o'' = 115 35$		
$o' : o''' = 107 32,5$		$107 27$
$a : b =$		$*98 40$
$r =$		$*133 0$
$r' = 124 0,5$		$124 9$
$r : r' =$		$*102 52$
$b : r =$		$*101 56$
$r' = 94 57$		
$o : a = 129 26$		
$b = 124 4,5$		$123 52$
$r = 137 54,5$		$157 34$
$o' : a = 127 25,5$		
$b = 104 14$		
$r =$		$*153 50$
$o'' : a = 114 59$		
$b = 118 47,5$		$118 46$
$r' = 153 9,5$		$153 10$
$o''' : a = 125 2$		
$b = 115 40$		
$r' = 152 23$		$152 21$

Fig. 102. — Die blauen Krystalle verwittern leicht. Sie sind bei niedriger Temperatur angeschossen.

#### B. Mit 3aq.

Zweigliedrig.  $a : b : c = 0,874 : 4 : 0,779$  v. Rath.

$p, 2p, r, b.$

	Berechnet	Beobachtet
$p : p =$		$*97^{\circ} 42'$
$b = 131^{\circ} 4'$		$134 14$
$2p : 2p = 59 42$		
$r : r =$		$*96 22$

Tafelartig nach  $b$ . — Die Messungen sind annähernd.

Dieses Hydrat entsteht in der Sommerwärme oder in heissen Lösungen. Grün, luftbeständig. — Pogg. A. 135, 591. 138, 550.

#### Phenolparasulfosaures Natron. $\text{NaC}^6\text{H}^6\text{SO}^4 + 2\text{aq.}$

Zwei- und eingliedrig.  $a : b : c = 0,7607 : 4 : 0,7902$  v. Rath.

$o = 85^{\circ} 23'.$

$o, o', p, \frac{3}{2}p, 3p, a.$

	Berechnet	Beobachtet
		v. Rath
$o : o = 124^{\circ} 33'$		Shadwell
$o' : o' =$		$124^{\circ} 8'$
$(\text{Stk.}) o : o' =$		$120 15$
$p : p = 105 40$		$*101 35$

Berechnet	Beobachtet	
	v. Rath	Shadwell
$\frac{1}{2}p : \frac{1}{2}p = 82^{\circ} 39'$	$82^{\circ} 36'$	$82^{\circ} 35'$
$\frac{1}{2}p : a = 134 \ 49,5$	134 49	
$\frac{3}{2}p : \frac{3}{2}p = 47 \ 28$		
$o : a = 134 \ 23$	134 30	
$o' : a =$	*127 2	
$o : \frac{1}{2}p = 144 \ 48$	144 47	
$p = 140 \ 18$	140 28	

Optische Axenebene  $ac$ ; Mittellinie vorn unter  $9^{\circ}$  gegen  $c$  geneigt;  $2E = 125^{\circ} 47'$ ,  $2H = 75^{\circ} 25'$  für Gelb. Aus den Beobachtungen folgt, dass auch  $2V$  etwa  $75^{\circ}$  ist. — Shadwell: Groth Ztschr. 5, 304.

Zwillinge nach zwei Gesetzen; 1) Zwillingsfläche ist  $a$ . An den freien Enden bilden die vier  $o$  ein Rhombenoktaeder; öfters fehlt je ein  $o$  eines Krystalles. 2) Zwillingsfläche ist  $c$ . Die Flächen  $a$  beider Krystalle bilden Winkel von  $170^{\circ} 56'$  (beobachtet  $171^{\circ} 50'$ ), die  $\frac{1}{2}p$  solche von  $173^{\circ} 53'$  (beobachtet  $174^{\circ} 40'$ ).

Tafelartig nach  $a$ . Unter den ersten Paaren herrscht  $\frac{1}{2}p$ . — Unvollkommen spaltbar nach  $c$ . — v. Rath: Pogg. A. 135, 591.

#### Phenolparasulfosaures Mangan. $MnC^6H^5SO^4 + 3aq$ .

Eingliedrig.

Tafelartige Combinationen, an welchen  $b$ ,  $c$ ,  $d$  in eine Zone fallen. Nur annähernd messbar.

Berechnet	Beobachtet
$a : b = 86^{\circ} 50'$	$b : c = 119^{\circ} 5'$
$c = 127 \ 42$	$b' : d' = 128 \ 15$
$d = 127 \ 20$	$c : d = 112 \ 55$
$e = 134 \ 40$	$c' : e = 104$

Die scharfe Kante  $ac$  ist durch  $e$  abgestumpft. Zuweilen tritt  $b$  zurück, so dass fast rechteckige Tafeln entstehen.

Hellbraungelb. — v. Rath: a. a. O.

#### Phenolparasulfosaures Zink. $ZnC^6H^5SO^4 + 8aq$ .

Zwei- und eingliedrig.  $a : b : c = 1,48 : 1 : 0,84$  Calderon.  
 $o = 80^{\circ} 57'$ .

$p, q, r, \frac{r}{3}, r', \frac{1}{3}r', \frac{r'}{3}, a$ .

Berechnet	Beobachtet
$p : p =$	*81° 15'
$q : q = 102^{\circ} 38'$	102 38
$p \left\{ \begin{array}{l} = \\ = \end{array} \right.$	*123 38
	*113 21
$a : r = 130 \ 30$	130 37
$r' = 117 \ 3$	117 24
$\frac{r}{3} = 111 \ 20$	111 5

	Berechnet	Beobachtet
$a : \frac{r'}{3} =$	$94^{\circ} 5'$	$94^{\circ} 6'$
$\frac{2}{3} r' =$	134 29	134 38
$p : r =$	115 2	115 4

Farblose durchsichtige grosse nach  $p$  prismatische Krystalle.

Optische Axenebene parallel Axe  $b$ ; Mittellinie  $b$ ; Doppelbrechung sehr stark negativ; eine Axe bildet mit Axe  $c$   $20^{\circ} 50'$  (Gelb) nach vorn  $2 H_a = 83^{\circ} 3'$  Roth,  $83^{\circ} 15'$  Gelb,  $83^{\circ} 20'$  Grün. — Groth Ztschr. 4, 239

### Phenolschwefelsaures Kali. $KC^6H^5SO^4$ .

Zweigligdrig.  $a : b : c = 0,9534 : 1 : 2,232$  Bodewig.

$o, q, c.$	Berechnet	Beobachtet
$o \left\{ \begin{array}{l} 2A = \\ 2B = \\ 2C = \end{array} \right.$	$97^{\circ} 30'$	$92^{\circ} 30'$
$q : q =$	48 16	445 39
$c =$	114 8	114 17

Tafelartig nach  $c$ , und meist nur am einen Ende der Axe ausgebildet. Spaltbar vollkommen nach  $c$ , deutlich nach  $b$ .

Optische Axenebene  $= ac$ , Mittellinie  $c$ . Positiv. Scheinbarer Winkel in Luft  $87^{\circ} 33'$  (Li-Roth);  $87^{\circ} 58'$  (Na-Gelb);  $88^{\circ} 55'$  (Ti-Grün). — Groth Ztschr. 4, 583.

### Phenylacediamin, unterschwefligsaures. $C^{16}H^{22}N^4S^2O^3$ .

Zwei- und eingliedrig.  $a : b : c = 0,6523 : 1 : 0,2978$  v. Rath.  
 $o = 80^{\circ} 5'$ .

$p, q, c.$	Beobachtet
$p : p =$	$114^{\circ} 33'$
$c =$	98 50
$q : c =$	163 25

Ann. Ch. Pharm. 184, 323.

### Phenylharnstoff. $C^7H^8N^2O$ .

Zwei- und eingliedrig.  $a : b : c = 1,294 : 1 : 0,368$  Arzruni.  
 $o = 85^{\circ} 40'$ .

$p, 2p, r, a, c.$	Berechnet	Beobachtet
$p : p =$	$75^{\circ} 10'$	
$a =$		$127^{\circ} 35'$
$2p : 2p =$	42 26	42 37
$p =$	163 23	163 48
$a : c =$		$94^{\circ} 20'$
$r =$		$109^{\circ} 45'$
$c : r =$	164 51	164 35

Tafelartig nach  $a$ , der Spaltungsfläche.

Optische Axenebene parallel Axe  $b$ ; die Mittellinie bildet mit der Nor-

malen auf Fläche  $a$   $42^\circ$  (Roth) und  $44^\circ$  (Blau); Dispersion der Axen  $\varrho > v$ ;  $2E = 76^\circ 29'$  Roth,  $75^\circ 26'$  Gelb. — Pogg. A. 152, 284.

**Phenylmonobrompropionsäure.  $C^9H^9BrO^2$ .**

Zwei- und eingliedrig.  $a : b : c = 1,159 : 1 : 1,2374$  Bodewig.  
 $o = 86^\circ 22'$ .

$o, o', p, q, r, r', a.$	Berechnet	Beobachtet
$o : o =$	$67^\circ 38'$	
$o' : o' =$		$76^\circ 23'$
$q : q =$		$79^\circ 58,5$
$r : r' =$	$69 \ 44$	
$a : r' =$	$135 \ 10$	$135 \ 6$
$r =$	$155 \ 36$	$155 \ 33$
$o : o' =$	$140 \ 47$	$140 \ 43$
$q : a =$	$115 \ 58$	$116 \ 46$
$o : a =$	$120 \ 34$	$119 \ 58$ pp.
$q : r' =$	$114 \ 57$	$115 \ 8$
$r =$	$107 \ 32$	$107 \ 22$
$o' =$		$149 \ 48$

Zwillinge nach  $r'$ . Tafelartig nach  $r'$ . Spaltbar nach  $r'$ . — Groth Ztschr. 3, 384.

Schmelzpunkt  $137^\circ,5$ .

**Phenyldibrompropionsäure.  $C^9H^8Br^2O^2$ .**

Zwei- und eingliedrig.  $a : b : c = 0,2394 : 1 : 0,3469$  Bodewig.  
 $o = 78^\circ 38'$ .

$o, o', b, c.$	Berechnet	Beobachtet
$o : o =$		$159^\circ 52'$
$o' : o' =$	$155^\circ 52'$	$155 \ 38$
$o : c =$		$134 \ 19$
$o' : c =$		$146 \ 4$

Prismatisch nach  $bc$ , tafelartig nach  $b$ . Oft Zwillinge nach  $c$ .

Ebene der optischen Axen parallel Axe  $b$ . — A. a. O.

Schmelzpunkt  $196^\circ$ .

**Phenyldibrompropionsaures Methyl.  $C^9H^7Br^2O^2 \cdot CH^3$ .**

Zwei- und eingliedrig.  $a : b : c = 0,9309 : 1 : 1,5168$  Bodewig.  
 $o = 82^\circ 38'$ .

$p, r, b, c.$	Berechnet	Beobachtet
$p : p =$	$94^\circ 36'$	$94^\circ 45'$
$c =$		$95 \ 25$
$r =$		$129 \ 48$
$c : r =$		$126 \ 48$

Tafelartig nach  $c$ . Zuweilen Zwillinge nach  $c$ . Spaltbar nach  $c$ .

Ebene der optischen Axen  $ac$ ; die zweite Mittellinie bildet mit der Normalen von Fläche  $c$  etwa  $9^\circ$  (nach vorn). — A. a. O.

Schmelzpunkt  $117^\circ$ .

**Phenyldibrompropionsaures Aethyl.  $C^9H^7Br^2O^2 \cdot C^2H^5$ .**

Zwei- und eingliedrig.  $a : b : c = 1,1576 : 1 : 1,6255$  Bodewig.  
 $\alpha = 88^\circ 40'$ .

$$n = a : 3b : c$$

$$n' = a' : 3b : c. — \frac{a}{3}, a, b.$$

Berechnet	Beobachtet
$n : n = 145^\circ 22'$	
$n' : n' = 144 \quad 38$	
$n : n' =$	$*104^\circ 43'$
$\frac{a}{3} : \frac{a}{3} = 123 \quad 6$	
$b = 118 \quad 27$	$118 \quad 34$
$a = 94 \quad 10$	$94 \quad 12$
$n : a = 144 \quad 20$	$144 \quad 21$
$b =$	$*107 \quad 19$
$n' : a = 140 \quad 23$	$140 \quad 25$
$b =$	$*107 \quad 44$

Prismatisch nach  $b, \frac{a}{3}$ , tafelartig nach  $b$ .

Ebene der optischen Axen  $ac$ . — A. a. O.

Schmelzpunkt  $69^\circ$ .

**Phenyl-Thiosinnamin s. Thiosinnamin.****Phenylxanthogenamid.  $C^9H^{11}NSO$ .**

Eingliedrig.  $a : b : c = 0,6027 : 1 : 0,6539$  Groth.

$$A = 94^\circ 55' \quad \alpha = 94^\circ 10'$$

$$B = 102 \quad 35 \quad \beta = 102 \quad 18$$

$$C = 93 \quad 54 \quad \gamma = 92 \quad 54$$

$o'', p', q', r, r', a, b, c$ .

$$x = a : \frac{1}{2}b : c$$

$$x' = a : \frac{1}{2}b' : c$$

$$z' = a' : \frac{1}{2}b : c.$$

Berechnet	Beobachtet
$a : b =$	$*93^\circ 54'$
$p' =$	$*148 \quad 5$
$b : p' =$	$*118 \quad 1$
$c =$	$*94 \quad 55$
$q' = 119^\circ 5'$	$119 \quad 32$
$a : c =$	$*102 \quad 35$
$r = 143 \quad 3$	$143 \quad 51$
$r' =$	$*131 \quad 35$
$c : r = 139 \quad 32$	$138 \quad 55$
$b : r' = 90 \quad 44$	$90 \quad 44$

Prismatisch nach  $a, b, p'$ . Zwillinge nach der Spaltungsfläche  $b$ . — Monatsber. Berl. Akad. 1870, 609. — Vgl. Groth, Phys. Krystallogr. 497.

**Phloretinsäure.**  $C^9H^{10}O^3 + aq.$ 

Zwei- und eingliedrig.  $a : b : c = 1,0645 : 1 : 0,6563$  Grailich.  
 $o = 74^\circ 22'.$

$^2p, q^4, ^2r, r', a, b, c.$  —  $n = a : \frac{1}{2} b : 2c.$

	Berechnet	Beobachtet
$^2p : ^2p =$	$52^\circ 0'$	$52^\circ 0'$
$a =$	$116 \ 0$	$115 \ 30$
$c =$	$96 \ 47$	$96-97^\circ$
$q^4 : q^4 =$	$43 \ 10$	
$c =$	$111 \ 35$	$111-112$
$b =$	$158 \ 25$	$158 \ 20'$
$a : c =$		$*105 \ 38$
$^2r =$	$147 \ 21$	$147 \ 15$
$r' =$		$*109 \ 49$
$c : ^2r =$	$138 \ 17$	$138 \ 23$
$r' =$	$144 \ 33$	
$n : n =$	$70 \ 28$	
$a =$		$*119 \ 2$
$c =$	$115 \ 30$	$115 \ 30$
$^2r =$	$125 \ 14$	$124 \ 58$

Prismatisch nach der Verticalzone mit herrschenden  $a$  und  $r'$ . Meist hlt ein  $^2p$ , und auch  $q^4$  und  $b$  auf einer Seite.

Die Messungen differiren z. Th. stark.

Optische Axenebene  $ac$ ; positiv;  $\varrho > v.$  — Kryst.-opt. Unters. 182.

**Phlorobromin.**  $C^6HBr^9O.$ 

Zweigliedrig.  $a : b = 0,834 : 1$  Ditscheiner.

$p, a, c.$

Beobachtet:  $p : p = 100^\circ 10'.$

Schmelzpunkt  $152^\circ.$  — Groth Ztschr. 3, 103.

**Phosphäthylumjodid** s. Teträthylphosphonjodid.**Phosendinitrophoten.**

Zwei- und eingliedrig.  $a : b : c = 1,304 : 1 : 1,211$  Groth.  
 $o = 79^\circ 45'.$

$o', p, c.$	Berechnet	Beobachtet
$o' : o' =$	$91^\circ 30'$	$92^\circ-94^\circ$
$p : p =$		$*74^\circ 12'$
$c =$		$*96 \ 10$
$o' : c =$		$*119 \ 30$

Isomorph der Photenverbindung (s. folgende Seite) aber nicht genau messen.

**Photen, pikrinsaures.**  $C^{14}H^8NO^3$  Fritzsche.

Zwei- und eingliedrig.  $a : b : c = 1,0951 : 1 : 1,9477$  Kokscha-  
 $o = 87^\circ 4'.$



$o', p, p^2, q, \frac{q}{2}, c.$

	Berechnet	Beobachtet
$p' : o' =$	$91^\circ 28'$	
$p : p =$		$*84^\circ 53'$
$c =$		$*91 \quad 56$
$p^2 : p^2 =$	$112 \quad 39$	$112 \quad 24$
$c =$	$92 \quad 34$	
$q : q =$	$54 \quad 24$	
$c =$	$117 \quad 12$	$117 \quad 46$
$\frac{q}{2} : \frac{q}{2} =$	$91 \quad 36$	
$o' : c =$		$*109 \quad 2$

Dunkelrothe Krystalle, deren grössere bloss  $p$  und  $c$  zeigen.

Sehr vollkommen spaltbar nach  $c$ . — Bull. Pétersb. 13, 143 (1866).

### Phatenoxydinitrophoten.

Zwei- und eingliedrig.  $a : b : c = 1,3374 : 1 : 1,2102$  Groth.  
 $o = 84^\circ 5'$ .

$o', p, c.$

	Berechnet	Beobachtet
$o' : o' =$		$*92^\circ 7'$
$p : p =$		$*74 \quad 15$
$c =$	$95^\circ 22'$	$95 \quad 35$
$o' : c =$		$*119 \quad 57$
$p =$	$144 \quad 41$	$144 \quad 15$

Sehr dünne dunkelrothe Blättchen nach  $c$ . Die Flächen stark glänzend.  
Vollkommen spaltbar nach  $p$ .

Ebene der optischen Axen  $= ac$ ; beide bilden einen sehr grossen Winkel, da die eine fast  $= a$ , die andere ziemlich normal zu jener steht.  
— Bull. Pétersb. 8.

### Photosantonsäure s. Santonin.

### Phtalsäureanhydrid. $C^8H^4O^3$ .

Zweigliedrig.  $a : b : c = 0,5549 : 1 : 0,4173$  Bodewig.

$o, p, q.$

	Berechnet	Beobachtet
$\left. \begin{array}{l} 2A = \\ 2B = \\ 2C = \end{array} \right\}$	$\begin{array}{l} 143^\circ 6' \\ 110 \quad 28 \\ 84 \quad 24 \end{array}$	$\begin{array}{l} 143^\circ 57' \\ 110 \quad 28 \\ \end{array}$
$p : p =$		$*121 \quad 57$
$q : q =$		$*134 \quad 42$
$p : q =$	$100 \quad 46$	$100 \quad 51$
$o : q =$	$145 \quad 14$	$145 \quad 13$
$p =$	$130 \quad 42$	$130 \quad 45$

$o$  öfter als Tetraeder. Prismatisch und spaltbar nach  $p$ .

Optische Axenebene  $ab$ .

Schmelzpunkt  $128^\circ$ . — Groth Ztschr. 5, 556.

**Phthalsäure.  $C^6H^6O^4$ .**

Zweigliedrig.  $a : b : c = 0,355 : 1 : 1,363$  Marignac.

$p, q, b, c$ .

Beobachtet

$$p : p = 110^{\circ} 54'$$

$$q : q = 72 \quad 34$$

$$p = 105 \quad 39$$

Prismatisch nach  $p$ .

**Phthalsaures Ammoniak, saures.  $Am C^6H^6O^4$ .**

Zweigliedrig.  $a : b : c = 0,453 : 1 : 1,327$  Marignac.

$o, q, c$ .

Berechnet

$$o \begin{cases} 2A = 133^{\circ} 36' \\ 2B = 120 \quad 52 \\ 2C = 115 \quad 32 \end{cases}$$

$$q : q = 74 \quad 0$$

$$c = 127 \quad 0$$

$$o : q = 150 \quad 26$$

$$c = 107 \quad 44$$

**Phthalyläthylhydroxylamin.  $C^{10}H^9NO^3$ .**

Zweigliedrig.  $a : b : c = 0,89428 : 1 : 0,63332$  Henniges.

$o, o^2, p, q, a, c$ .

Berechnet

Beobachtet

$$o \begin{cases} 2A = 125^{\circ} 20' \\ 2B = 118 \quad 14 \\ 2C = 87 \quad 4 \end{cases}$$

$$o^2 \begin{cases} 2A = 107 \quad 42 \\ 2B = 97 \quad 26 \\ 2C = 124 \quad 30 \end{cases}$$

$$p : p = \quad \quad \quad 96 \quad 23$$

$$a = 138 \quad 12 \quad \quad \quad 138 \quad 12$$

$$q : q = 115 \quad 18$$

$$c = 117 \quad 39 \quad \quad \quad 117 \quad 15$$

$$o : a = 120 \quad 53 \quad \quad \quad 120 \quad 50$$

$$c = \quad \quad \quad 136 \quad 28$$

$$p = 133 \quad 32 \quad \quad \quad 133 \quad 36$$

$$q = 119 \quad 7$$

$$o^2 : a = 131 \quad 17 \quad \quad \quad 131 \quad 15,5$$

$$c = 117 \quad 15$$

$$p = 132 \quad 15 \quad \quad \quad 132 \quad 18$$

$$o = 161 \quad 17$$

$$p : q = 110 \quad 54 \quad \quad \quad 110 \quad 51,5$$

Meist prismatisch nach  $p$ . Die Oktaederflächen, die  $q$  und  $c$  sind wenig glänzend. Spaltbar nach  $p$ , unvollkommen nach  $c$ . Zwillinge nach einem  $p$ .

Ebene der optischen Axen  $bc$ , Mittellinie  $c$ ;  $q < v$ . Doppelbrechung sehr stark, negativ über der Mittellinie.  $2E = 90^{\circ} 54'$  Roth;  $91^{\circ} 17'$  Gelb;  $91^{\circ} 39'$  Grün.

Schmelzpunkt 103—104°. — Kryst. Untersuchung einiger organ. Verbindungen. Göttingen 1881.

### Phthalylchloridderivate.

#### I. $C^8H^4OCl^4$ .

Zwei- und eingliedrig.  $a : b : c = 1,0554 : 1 : 1,8065$  Bodewig.  
 $o = 86^\circ 22'$ .

$\frac{o}{2}, \frac{o'}{2}, p, a, c.$	Berechnet	Beobachtet
$p : p =$	$87^\circ 0'$	
$a =$	133 30	$132^\circ 51'$
$c =$	92 30	
$a : c =$	93 38	
$\frac{o'}{2} : a =$		$*114 \quad 3$
$c =$		$*117 \quad 51$
$\frac{o'}{2} =$		$*106 \quad 3.5$

Die Messungen sind approximative. Tafelartig nach  $c$ , spaltbar nach  $a$ . Ebene der optischen Axen  $ac$ .

Schmelzpunkt 47°.

#### II. $C^8H^4OCl^4$ .

Zwei- und eingliedrig.  $a : b : c = 1,039 : 1 : 0,5265$  Bodewig.  
 $o = 83^\circ 45'$ .

$p, p^2, q, \frac{r}{2}, \frac{r'}{2}, b.$	Berechnet	Beobachtet
$p : p =$		$*88^\circ 8'$
$p^2 : p^2 =$	$125^\circ 22'$	125 9
$p =$	161 23	161 28
$q : q =$		$*124 \quad 45$
$\frac{r}{2} : \frac{r'}{2} =$	90 45	90 30
$p : q =$		$*113 \quad 36$
$q : \frac{r}{2} =$	131 4	131 0
$\frac{r'}{2} =$	125 55	125 55

Prismatisch nach der Horizontalzone. In der Endigung herrscht  $q$ . Schmelzpunkt 88°. — Groth Ztschr. 5, 564.

### Picolinsaures Ammoniak. $NH^4 \cdot C^6H^4NO_2$ .

Eingliedrig.  $a : b : c = 0,9556 : 1 : 0,987$  Ditscheiner.

$\frac{q}{2}, \frac{q'}{2}, r', \frac{r}{3}, a, b, c.$	Berechnet	Beobachtet
$a : b =$		$*80^\circ 33'$
$b : c =$	$87^\circ 41'$	87 34
$\frac{q}{2} =$	112 59	113 3

	Berechnet	Beobachtet
$b : \frac{q'}{2} =$		$\sim 117^{\circ} 35'$
$\frac{r}{3} =$	$95^{\circ} 15'$	$94 \quad 58$
$a : r' =$	$123 \quad 37$	$123 \quad 30$
$\frac{r}{3} =$		$\sim 123 \quad 37$
$\frac{q'}{2} : q =$		$\sim 111 \quad 6$
$r' =$	$119 \quad 44$	$119 \quad 33$
$\frac{r}{3} =$		$\sim 152 \quad 48$

Tafelartig nach  $a$ , der Spaltungsfläche.

Nach Groth enthalten die Angaben Fehler. — Ditscheiner: Wien. Ak. Ber. 79. — Groth Ztschr. 5, 649.

**Picolinsaure Magnesia.**  $\text{Mg}(\text{C}^6\text{H}^4\text{NO}_2)_2 + 2\text{aq.}$

Zwei- und eingliedrig.  $a : b : c = 1,1766 : 1 : 0,889$  Ditscheiner\*).  
 $\alpha = 73^{\circ} 52'$ .

$p, q, a, c.$	Berechnet	Beobachtet
$p : p =$		$\sim 83^{\circ} 0'$
$q : q =$	$99^{\circ} 0'$	
$c =$		$\sim 139 \quad 30$
$a =$	$102 \quad 42$	$102 \quad 44$
$a : c =$		$\sim 106 \quad 8$

Prismatisch nach  $p$ . — Wien. Ak. Ber. 79.

**Picolinsäure, chlorwasserstoffsäure.**  $\text{C}^6\text{H}^5\text{NO}_2 \cdot \text{HCl}$ .

Zweigligliedrig.  $a : b : c = 0,899 : 1 : 0,5635$  Ditscheiner.

$p, q, a.$	Beobachtet
$q : q =$	$\sim 121^{\circ} 13'$
$p : p =$	$\sim 109^{\circ} 10'$

(folgt  $p : p = 96^{\circ} 2'$ ).

Prismatisch nach  $q$ . Spaltbar nach  $a$ . — A. a. O.

**Picolinsäure, Chlorwasserstoff- — Platinchlorid.**

$(2\text{C}^6\text{H}^5\text{NO}_2 \cdot \text{HCl} + \text{PtCl}_4) + 2\text{aq.}$

Zwei- und eingliedrig.  $a : b : c = 1,4468 : 1 : 2,0408$  Ditscheiner.  
 $\alpha = 72^{\circ} 43'$ .

$\frac{\alpha}{2}, p, \frac{q}{2}, r', c.$

Jene Werthe hat Ditscheiner abgeleitet aus:

$r' : c = 114^{\circ} 50'$ ;  $p : p = 71^{\circ} 48'$ ;  $p : c = 100^{\circ} 2'$ .

Groth berechnet aus dem Axenverhältniss  $c : r' = 113^{\circ} 20'$ . Im Uebrigen giebt Ditscheiner an:

\*; Nach Groth's Correction.

	Berechnet	Beobachtet
$\frac{a}{2} : c$	$= 135^\circ 45'$	$135^\circ 30'$
$p \left\{ \begin{array}{l} = 133 \quad 33 \\ = 116 \quad 8 \\ = 107 \quad 34 \end{array} \right.$		$133 \quad 56$ $115 \quad 50$ $107 \quad 20$
$p : r'$	$= 114 \quad 27$	$114 \quad 40$
$\frac{o}{2} : c$	$= 135 \quad 27$	$135 \quad 40$
$\frac{a}{2}$	$= 156 \quad 46$	$156 \quad 46$

Grosse rothe Krystalle, prismatisch nach  $p$ .

Volumgewicht. 2,067. — A. a. O. — Vgl. Groth Ztschr. 5. 650.

### $\alpha$ -Picolin-Platinchlorid.

#### I. $2C^6H^7N \cdot HCl + PtCl^4$ .

Zwei- und eingliedrig.  $a : b : c = 0,9798 : 4 : 0,9279$  Ditscheiner.  
 $o = 63^\circ 50'$ .

$x = 2a : b : 4c$ . —  $p, c$ . Beobachtet  
 $p : p = *97^\circ 20'$   $x : c = *116^\circ 30'$   
 $c = *109 \quad 20$

wonach berechnet  $x : x = 76^\circ 22'$   $x : p = 161^\circ 42'$

A. a. O. — Vgl. die Correctionen Groth's: Ztschr. 5, 652.

#### II. $2(C^6H^7N \cdot HCl + PtCl^4) + aq$ .

Zwei- und eingliedrig.  $a : b = 1,055 : 4$  Ditscheiner.  
 $o = 77^\circ 54'$ .

$p, c$ . Beobachtet  
 $p : p = 88^\circ 44'$   $p : c = 98^\circ 25'$

A. a. O.

### $\beta$ -Picolin-Platinchlorid. $(2C^6H^7N \cdot HCl + PtCl^4) + aq$ .

Zweigligliedrig.  $a : b : c = 0,936 : 4 : 0,642$  Ditscheiner.

$o, a, b$ . Beobachtet Berechnet  
 $o (2A) = 124^\circ 10'$   $(2C) = 86^\circ 28'$   
 $(2B) = 120 \quad 0'$

Das Axenverhältniss ist das von Groth corrigirte.

Grosse rothe Prismen  $a, b$ . — A. a. O.

### Pikramid. $C^6H^4N(NO_2^3)$ .

Zwei- und eingliedrig.  $a : b : c = 0,838 : 4 : 0,6638$  Friedländer.  
 $o = 80^\circ 15'$ .

$o', p, 2p, r', a, c$ . Berechnet Beobachtet  
 $o' : o' = *121^\circ 28'$   
 $p : p = 100^\circ 34'$   $99 \quad 53$   
 $2p : 2p = 62 \quad 24$   $62 \quad 55$   
 $a : c = *99 \quad 45$

	Berechnet	Beobachtet
$p : c =$	$97^{\circ} 31'$	$97^{\circ} 55'$
$c : r' =$		$^{*}430 \ 27$
$o' =$	$137 \ 58$	$137 \ 35$

Braungelbe Prismen mit bläulichem Flächenschimmer; die Flächen gekrümmt und geknickt. — Groth Ztschr. 3, 170.

Schmelzpunkt  $186^{\circ}$ .

#### Pimelinsäure s. Kampher.

#### Piperidin, chlorwasserstoffsäures. $C^5H^{11}N \cdot HCl$ .

Zweigliggedrig.  $a : b : c = 0,4945 : 1 : 0,748$  Hiortdahl.

$p, q, q^2, a, b.$	Berechnet	Beobachtet
$p : p =$	$127^{\circ} 22'$	
$a =$		$^{*}453^{\circ} 44'$
$q : q =$	$106 \ 24$	
$b =$		$^{*}426 \ 48$
$q^2 : q^2 =$	$67 \ 30$	
$b =$	$146 \ 15$	$146 \ 30$

Durchsichtige Prismen  $ab$ ; häufig Durchkreuzungszwillinge nach  $2p$  mit einspringenden Winkeln von  $89^{\circ} 22'$ . Spaltbar nach  $c$  undeutlich.

Optische Axenebene  $ab$ , Mittellinie  $a$ ; negativ;  $\varrho > v$ .

	Roth	Gelb	Grün
$2H_a =$	$56^{\circ} 19'$	$54^{\circ} 54'$	$52^{\circ} 46'$
$2H_o =$	$134 \ 29$	$135 \ 26$	$138 \ 23$
woraus $2V =$	$54 \ 42$	$52 \ 56$	$51 \ 10$

Groth Ztschr. 3, 299.

#### Piperidin, oxalsaures. $(C^5H^{11}N)^2 \cdot H^2C^2O^4$ .

Zweigliggedrig.  $a : b : c = 0,441 : 1 : 0,738$  Hiortdahl.

$p, q, b, c.$	Beobachtet
$p : p =$	$135^{\circ} 20'$
$q : c =$	$142^{\circ} 50'$

Ziemlich grosse, aber nicht sonderlich glatte Krystalle, spaltbar nach  $c$  und  $q$ .

Ebene der optischen Axen  $bc$ , Mittellinie  $c$ , positiv,  $\varrho > v$ ;  $2H = 46^{\circ} 38'$  Gelb. — Groth Ztschr. 3, 304.

#### Piperidinsulfocarbonat. $C^{11}H^{22}N^2S^2$ .

Zwei- und eingliedrig.  $a : b : c = 0,6303 : 1 : 0,5944$  Sénarmont.  
 $o = 81^{\circ} 54'$ .

$o, p, c.$	Berechnet	Beobachtet
$o : o =$	$136^{\circ} 20'$	
$p : p =$		$^{*}416^{\circ} \ 4'$
$c =$		$^{*}96 \ 52$
$o : c =$	$135 \ 46$	
$p =$		$^{*}444 \ 6$

Prismatisch nach  $p$ . — C. rend. 34, 481.

**Piperidin-Platinchlorid.**  $C^6H^{11}N + PtCl^4$ .

Zwei- und eingliedrig.  $a : b : c = 2,3723 : 1 : 1,0428$  Zepharovich.  
 $\alpha = 89^\circ 55'$ .

$\alpha$ ,  $p$ ,  $2r$ ,  $2r'$ ,  $a$ ,  $c$ .

	Berechnet	Beobachtet	
		Zepharovich	Hiortdahl
$\alpha : \alpha =$	$94^\circ 6'$	$94^\circ 12'$	
$a : c =$		$90^\circ 5'$	$90^\circ 8'$
$c : 2r =$	$139 33$	$139 37$	
$2r' =$		$139 29$	
$\alpha : c =$		$132 19$	$133 15$
$2r' =$	$108 58$	$109 6$	

Entweder nach der Verticalzone prismatisch und tafelartig nach  $c$  oder rhomboederähnlich. —  $2r$  ist selten.

Sehr vollkommen spaltbar nach  $a$  und  $c$ . Roth. — Zepharovich: Wien. Ak. Ber. 52. — Hiortdahl: Groth Ztschr. 3, 300.

Optische Axenebene parallel Axe  $b$ ; die Mittellinie bildet mit  $c$  vorn etwa  $20^\circ$ . Hiortdahl.

**Piperidin-Harnstoff-Platinchlorid.**

I.  $4 (C^6H^{12}N^2O \cdot HCl) + PtCl^4$ .

Zwei- und eingliedrig.  $a : b : c = 0,8873 : 1 : 1,0454$  Zepharovich.  
 $\alpha = 85^\circ 50'$ .

$\alpha'$ , $\frac{\alpha}{2}$ , $\frac{\alpha'}{2}$ , $p$ , $q$ , $b$ , $c$ .	Berechnet	Beobachtet
$p : p =$	$96^\circ 58'$	$97^\circ 4'$
$b =$		$131 34$
$c =$		$93 7$
$q : q =$	$89 18$	
$c =$		$134 39$
$b =$	$135 22$	$135 27$
$\alpha' : \alpha' =$	$110 38$	
$\frac{\alpha}{2} : \frac{\alpha}{2} =$	$133 48$	
$\frac{\alpha'}{2} : \frac{\alpha'}{2} =$	$131 10$	
$\alpha' : c =$	$121 4$	$121 50$
$\frac{\alpha}{2} : c =$	$143 47$	$143 24$
$\frac{\alpha'}{2} : c =$	$141 30$	$141 31$

Tafelartig nach  $c$ . Die Augitpaare sind selten.

Roth, glänzend. Spaltbar nach  $c$ .

II.  $2 (C^6H^{12}N^2O \cdot HCl) + PtCl^4$ .

Zwei- und eingliedrig.  $a : b = 1,649 : 1$  Zepharovich.  
 $\alpha = 67^\circ 25'$ .

$p, a, c.$

Beobachtet

$$\begin{array}{ll} p : p = 67^{\circ} 33' & p : c = 102^{\circ} 0' \\ a = 123 \ 47 & a : c = 112 \ 35 \end{array}$$

Rothe sechsseitige Tafeln nach  $c$ .

**Piperidin-Goldchlorid.**  $C^5H^{11}N \cdot HCl + AuCl^3$ .

Zweigliedrig.  $a : b = 0,5047 : 1$  Hiortdahl.

$p, ^3p, a, b, c.$

Beobachtet

$$p : b = 116^{\circ} 47' \quad ^3p : ^3p = 75^{\circ} 41'$$

Sechsseitige Tafeln oder kurze Prismen.

Optische Axenebene  $ac$ , Mittellinie  $c$ ; positiv,  $\varrho > v$ ;  $2E = 70^{\circ} 40'$ .

Gelb. — Groth Ztschr. 3, 299.

**Piperidin-Zinnchlorid.**  $2(C^5H^{11}N \cdot HCl) + SnCl^4$ .

Zwei- und eingliedrig.  $a : b : c = 2,434 : 1 : 1,0226$  Hiortdahl.  
 $o = 89^{\circ} 34'$ .

$o, p, ^2r, ^2r', a, c.$

Berechnet

Beobachtet

$$\begin{array}{ll} p : p = & 144^{\circ} 40' \\ a : c = & 90 \ 29 \\ c : ^2r' = & 139 \ 46 \\ o : c = 132^{\circ} \ 3' & 132 \ 33 \\ p = 137 \ 46 & 137 \ 34 \end{array}$$

Prismatisch nach  $p$ . Zwillinge nach  $p$ . Spaltbar nach  $c$  und  $a$ .

Isomorph dem Platinsalz.

Optische Axenebene parallel Axe  $b$ ; die Mittellinie gegen Axe  $c$  nach vorn unter etwa  $18^{\circ}$  geneigt.

	Roth	Gelb	Grün
$2H_a =$	$68^{\circ} 36'$	$69^{\circ} 18'$	$70^{\circ} 22'$
$2E =$	$112 \ 52$	$114 \ 24$	$116 \ 52$

Groth Ztschr. 3, 300.

**Piperin.**  $C^{17}H^{19}NO^3$ .

Zwei- und eingliedrig (?).  $a : b : c = 0,9657 : 1 : 0,5867$  Schabus.  
 $o = 70^{\circ} 33'$ .

$o, o', p, b, c.$

Berechnet

Beobachtet

	Schabus	Dauber	Kopp	Regnault
$o : o = 134^{\circ} 54'$				
$o' : o' = 121 \ 12$				
$o : o' = 125 \ 12$				
$o : o' = 78 \ 28$				
$p : p =$	$95^{\circ} 22'$	$95^{\circ} 18'$	$95^{\circ} 30'$	$94^{\circ} 20'$
$c =$	$104 \ 15$	$104 \ 30$	$104 \ 40$	
$o' =$	$120 \ 42$			

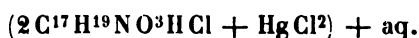
Prismatisch nach  $p$ .

Die  $o$  sind selten, die  $p$  an grösseren Krystallen gekrümmt, auch  $c$  ist



uneben, gelblich, schwach glänzend, trichromatisch. — Dauber: An. Chem. Pharm. 74, 204. — Kopp: Krystallogr. 329. — Regnault: J. pr. Chem. 16, 288. — Schabus: 177.

### Piperin-Chlorwasserstoff-Quecksilberchlorid.



Eingliedrig.  $a : b : c = 1,0002 : 1 : 0,8663$  Schabus.

$$\begin{array}{ll} A = 102^\circ 24' & \alpha = 96^\circ 46' \\ B = 121 \ 46,5 & \beta = 120 \ 11 \\ C = 102 \ 54,5 & \gamma = 97 \ 35 \end{array}$$

$o'', p, p', \frac{p'}{5}, q, r', a, b.$

	Berechnet	Beobachtet
$a : b =$		$*102^\circ 54' 5$
$p =$	$144^\circ 35'$	
$p' =$	$133 \ 34$	
$b : p =$	$138 \ 17$	$135 \ 18$
$p' =$		$*123 \ 37$
$a : \frac{p'}{5} =$	$169 \ 58$	$170 \ 8,5$
$b : \frac{p'}{5} =$	$87 \ 40$	$87 \ 0$
$c =$		$*102 \ 24$
$q : c =$		$*147 \ 35,5$
$b =$	$134 \ 49$	
$a =$	$120 \ 19$	$120 \ 20$
$a : c =$		$*121 \ 46,5$
$r' =$	$111 \ 52$	
$b : r' =$	$91 \ 22$	
$c : r' =$	$126 \ 21$	
$o'' : a =$	$98 \ 17$	$98 \ 15$
$b =$	$130 \ 49$	
$c =$	$125 \ 59$	
$p' =$	$127 \ 10$	$125 \ 57,5$
$q =$	$141 \ 26$	$141 \ 24,5$
$r' =$	$141 \ 3$	

Kurz prismatisch nach der Horizontalzone. Ausserdem finden sich  $\frac{p'}{32}$  und  $\frac{r}{20}$ , jedoch selten.

Eben und glattflächig, nur  $b$  zuweilen gekrümmt.

Schwach glänzend, etwas trichromatisch.

### Propionsäure. $\text{C}^3\text{H}^6\text{O}^2.$

Ausdehnung.  $V = 1 + 0,0011003 t + 0,00000021816 t^2 + 0,0000000069796 t^3$  ( $15^\circ,3$  bis  $120^\circ,4$ ) Kopp.

Volumgewicht.  $0,7889$  ( $12^\circ,6$ ) Frankland;  $0,9911$  ( $25^\circ,2$ ) =

1,0164 bei 0° Kopp; 0,9964 (49°) Linnemann. — Vgl. Pierre und Puchot: Ann. Ch. Phys. (4) 28 und 29.

Siedepunkt. 440°,6 Schorlemmer; 440°,7 (760 mm) Linnemann; 441°,5 Pierre; 441°,6 (754,6 mm) Kopp.

Spannkraft des Dampfes Landolt: Ann. Ch. Ph. Suppl. 6, 129.

Specif. Wärme. Reis: Wiedem. Ann. 13, 447.

Brechungsexponenten. Sauber: Pogg. A. 117, 580.

### Propionsaurer Baryt. $\text{BaC}^6\text{H}^{10}\text{O}^4 + \text{aq.}$

Zweigliedrig.  $a : b : c = 0,8807 : 1 : 0,9487$  Zepharovich.

$o^2$ ,  $p$ ,  $q$ ,  $b$ ,  $c$ .

	Berechnet	Beobachtet		
		Zepharov.	De la Provost.	Nicklès
$o^2 \left\{ \begin{array}{l} 2A = 102^\circ 46' \\ 2B = 90 \quad 16 \\ 2C = 144 \quad 34 \end{array} \right.$				
$p : p =$		$97^\circ 47'$	$97^\circ 30'$	$97^\circ 45'$
$b =$		134 22	133 0	133 8
$q : q = 93 \quad 2$		93 4		92 23
$c =$		*136 34	136 4	136 32
$o^2 : b = 128 \quad 37$		128 36		
$c =$		*109 13		
$p = 160 \quad 48$		160 59		

Prismatisch nach  $p$ . Spaltbar nach  $b$ . — De la Provostaye: C. r. 25, 781. — Nicklès: Laurent et Gerhardt C. r. 1849. — Zepharovich: Wien. Ak. Ber. 77.

### Propionsaurer Baryt-Kalk.

Eine isomorphe Mischung, welche  $\text{Ba} : 2 \text{Ca}$  enthält und wasserfrei ist, krystallisirt regulär, in Oktaedern. Groth. — Ber. d. ch. G. 1880, 1312.

### Propionsaurer Baryt-Strontian.

$\text{Sr} : 2 \text{Ca}$  enthaltend, eine Mischung, welche viergliedrig krystallisirt,  $a : c = 1 : 0,976$ ; Combinationen von  $o$  und  $a$ . Sansoni. — A. a. O.

### Propionsaurer Blei-Kalk.

Die Mischung,  $\text{Pb} : 2 \text{Ca}$  enthaltend, ist gleichfalls viergliedrig;  $a : c = 1 : 0,9748$ .

### Propionsaure Baryt-Magnesia.

Enthält je 1 At. Ba und Mg und 1 Mol. Wasser.

Regulär. Tetraeder, Pyramidentetraeder  $a : a : \frac{1}{2} a$ , Granatoeder und Würfel.

### Propionsaure Blei-Magnesia.

Ebenso zusammengesetzt. Würfel und Granatoeder.

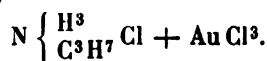
**Propionsaures Kupfer.**  $\text{Cu C}^6\text{H}^{10}\text{O}^4 + \text{aq.}$ 

Zwei- und eingliedrig.  $a : b : c = 0,874 : 4 : 0,886$  Schabus.  
 $o = 85^\circ 38'$ .

$o', p, q, a, b, c.$

	Berechnet	Beobachtet	
		Schabus	Zepharovich
$o' : o' =$	$114^\circ 20'$		
$p : p =$		$97^\circ 51',5$	$97^\circ 51'$
$a =$	138 56	138 54	
$b =$	131 4	131 4	
$c =$		$93 17,5$	93 15
$q : q =$	97 5	97 5	97 5
$c =$		$138 32,5$	138 33
$b =$	131 27,5	131 27,5	
$a =$	93 16		
$o' : c =$	124 30	124 32	124 23

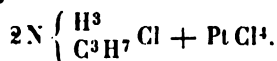
Zepharovich fand einmal auch  $\frac{o'}{2}$ . Prismatisch nach der Horizontal- oder der ersten Kantenzone;  $o'$  und das hintere  $a$  fehlen oft. Die Flächen glatt; spaltbar nach  $c$ ; schwach trichromatisch. — Zepharovich: Wien. Ak. Ber. 77.

**Propylammonium-Goldchlorid.**

Zwei- und eingliedrig.  $a : b : c = 2,9405 : 4 : 4,493$  Topsøe.  
 $o = 74^\circ 34',5$ .

$r, \frac{2}{3}r, \frac{7}{3}r', q, a.$	Berechnet	Beobachtet
$q : q =$	$69^\circ 35'$	$69^\circ 58'$
$a : r =$		$128 45$
$\frac{7}{3}r' =$	133 37	133 34
$r : \frac{7}{3}r' =$		$97 38$
$\frac{2}{3}r =$	149 2	149 57
$q : a =$	98 44	98 34
$r =$		$121 36$

Prismatisch nach der Verticalzone, tafelartig nach  $a$ . Die Flächen sind glänzend. — Topsøe: Krystallogr. kem. Unders. over homologe Forbindelser. Overs. over de K. D. Vidensk. Selsk. Forh. 1882.

**Propylammonium-Platinchlorid.**

I.

Zwei- und eingliedrig.  $a : b : c = 1,6536 : 4 : 1,4135$  Topsøe.  
 $o = 75^\circ 33',5$ .

$o, o', p, q, r, r', 2r', a, c.$

Berechnet	Beobachtet	
	Topsøe	Hiortdahl
$o : o = 136^{\circ} 54'$		
$o' : o' = 129 \ 42,5$		
$p : p = 63 \ 58$	$64^{\circ} 1'$	$63^{\circ} 55'$
$a =$	*121 59	122 2
$c = 97 \ 35,5$	97 36,5	97 22
$q : q = 72 \ 18$	72 18	
$c =$	*126 9	
$a = 98 \ 28$	98 26	
$a : c =$	*104 26,5	104 10
$r = 138 \ 55$	138 47	
$r' = 122 \ 15$	121 55	
$c : r = 145 \ 31,5$		145 8
$r' = 133 \ 18,5$		133 33
$2r' = 108 \ 55$	108 52	109 8
$r' : 2r' = 146 \ 38,5$	146 32	
$q : p = 127 \ 22,5$	127 23	
$r = 119 \ 6$	119 6	
$o : a = 124 \ 52,5$	123 23	
$c = 127 \ 1$	127 5	
$p = 150 \ 34,5$	150 29	
$r = 136 \ 54$	136 58	
$o' : a = 110 \ 1$	109 48	
$c = 115 \ 59,5$	116 15	
$o' : p = 146 \ 25$	146 14	
$r' = 129 \ 42,5$		

Tafelartig nach  $a$ , ausser welchem  $p$  und  $c$  vorherrschen. Glänzend, altbar nach  $c$ . Topsøe. Prismatisch nach der Verticalzone, und meist ir von  $c$ ,  $r'$ ,  $p$  gebildet. Hiortdahl: S. Methylamin-Zinnchlorid.

## II. Isopropylverbindung.

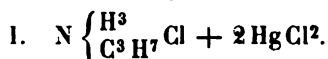
Zweigliedrig.  $a : b : c = 0,8204 : 1 : 0,6436$  Hiortdahl.

$o$ ,  $^4p$ ,  $a$ ,  $b$ . —  $n = \frac{3}{2} a : b : c$ .

	Berechnet	Beobachtet
$o \left\{ \begin{array}{l} 2A \\ 2B \\ 2C \end{array} \right.$	$2A = 127^{\circ} 40'$	$127^{\circ} 41'$
	$2B = 114 \ 58$	114 59
	$2C = 88 \ 6$	
$n \left\{ \begin{array}{l} 2A \\ 2B \\ 2C \end{array} \right.$	$2A = 135 \ 34$	
	$2B = 92 \ 34$	
	$2C = 103 \ 58$	
$^4p : ^4p = 33 \ 54$		33 44
$a = 106 \ 57$		106 48
$b = 163 \ 3$		163 9
$o : a =$		*122 31
$b =$		*116 10
$n : a = 133 \ 43$		133 34
$b = 112 \ 43$		
$o = 168 \ 48$		

Prismatisch nach der Horizontalzone, in welcher  $a$  und  $b$  vorherrschen namentlich ersteres. Das Oktaeder  $n$  tritt sehr untergeordnet auf.  
S. Methylamin-Zinnchlorid.

### Propylammonium-Quecksilberchlorid.

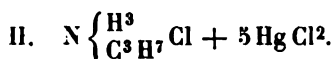


Zweigliedrig.  $a : b : c = 0,5787 : 1 : 0,5324$  Topsøe.

$o, p, q^2, b.$

$$\begin{array}{l} \text{Beobachtet} \\ p : p = 120^\circ 0' \\ o = 121 \quad 35 \end{array}$$

Durchsichtige nadelförmige Prismen, mit glänzenden aber gekrümmten Flächen.



Sechsgliedrig.  $a : c = 1 : 1,029$  Topsøe.

$r, a, c.$

	Berechnet	Beobachtet
$r (2A) =$		$97^\circ 0'$
$r : a =$	$134^\circ 30'$	$131 \quad 30$
$c =$	$130 \quad 5$	$130 \quad 3$

Undurchsichtige glänzende Rhomboeder, an denen das zweite Prisma und die Endfläche wenig entwickelt sind. — S. das Goldsalz.

### Propyljodid. $C^3 H^7 J.$

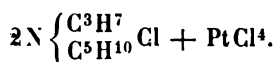
Volumgewicht. 4,782 ( $0^\circ$ ) Rossi; 4,784 ( $0^\circ$ ) und 4,6373 ( $75^\circ, 3'$ ) Pierre und Puchot; 4,7325 ( $24^\circ, 4'$ ) Prytz.

Siedepunkt. 99— $104^\circ$  Chancel;  $102^\circ$  ( $752\text{mm}$ ) Rossi;  $102^\circ, 16$  Schorlemmer;  $104^\circ, 5$  Pierre und Puchot.

Specifische Wärme s. Propionsäure.

Die Brechungsexponenten des flüssigen und des Dampfes bestimmte Prytz: Wiedem. Ann. 11, 115.

### Propylpiperidin-Platinchlorid, Iso.



Zwei- und eingliedrig.  $a : b : c = 1,078 : 1 : 1,044$  Hiortdahl.  
 $o = 88^\circ 29'.$

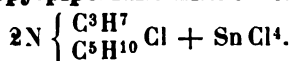
$o', p, r, r'.$

	Berechnet	Beobachtet
$o' : o' =$	$107^\circ 50'$	$107^\circ 48'$
$p : p =$		$85 \quad 44$
$p : r =$	$118 \quad 13$	$117 \quad 48$
$r' =$	$116 \quad 31$	$116 \quad 19$
$o' : p =$		$142 \quad 5$
$r' =$		$143 \quad 55$

Lange dünne Prismen  $p$ . Ein vorderes Augitpaar kommt vor, lässt sich aber nicht messen.

S. Methylamin-Zinnchlorid.

### Propylpiperidin-Zinnchlorid.



I.

Viergliedrig.  $a : c = 1 : 0,8248$  Hiortdahl.

$o, p^3 = a : \frac{1}{3}a : \infty c$ . Berechnet Beobachtet

$$\begin{array}{lcl} o \left\{ \begin{array}{l} 2A = \\ 2C = \end{array} \right. & \begin{array}{l} 99^\circ 48' \\ 143 \quad 8 \text{ an } a \\ 126 \quad 52 - s \\ 132 \quad 46 \\ 109 \quad 51 \end{array} & \begin{array}{l} *145^\circ 4' \\ \\ \\ 132 \quad 51 \\ 109 \quad 55 \end{array} \end{array}$$

Das vierkantige Prisma  $p^3$  tritt in Folge pyramidalen Hemiedrie als quadratisches Prisma (der Zwischenstellung oder dritten Ordnung) auf.

Das Oktaeder erscheint an dem herrschenden Prisma als vierflächige auf die Flächen und Kanten von jenem schief aufgesetzte Zuspitzung.

Optisch einaxig, positiv. — S. Methylamin-Zinnchlorid.

### II. Isopropylverbindung.

Zwei- und eingliedrig.  $a : b : c = 1,081 : 1 : 0,9763$  Hiortdahl.

$$o = 87^\circ 53'.$$

$o, p$ .

$$\begin{array}{lcl} & \text{Beobachtet} & \\ o : o & = & *109^\circ 10' \\ p : p & = & *85 \quad 36 \\ o & = & *143 \quad 33 \end{array}$$

Sehr kleine glänzende Krystalle. stets Zwillinge nach  $a$ . — S. Methylamin-Zinnchlorid.

### Proteinstoffe.

Krystalloide. Die Untersuchungen von Schimper haben ergeben, dass die Krystalloide der Samen theils reguläre (tetraedrische), theils sechsgliedrige (rhomboedrische) Formen sind. Letztere kommen am häufigsten vor.

Die der Parantüsse (von *Bertholletia excelsa*) sind rhomboedrisch,  $a : c = 1 : 2,4$ , und zeigen  $r, \frac{r'}{2}$  und  $c$ . Sie sind optisch einaxig, positiv. Aehnliche finden sich in vielen Pflanzen. — In mehreren Arten von *Musa* finden sich solche, die  $a : c = 1 : 2,4$  haben, und zwar  $r$  und  $c$ . In *Sparganium* kommen sie als optisch negative Krystalle vor. Dagegen enthalten die Samen von *Ricinus* reguläre Formen,  $\frac{o'}{2}, \frac{o''}{2}$  mit dem Würfel. Aehnlich in den Kartoffeln. — Groth Ztschr. 5, 131.

**Pseudocumolsulfonsäure s. Cymolsulfonsäure.****Pseudotropin-Platinchlorid.**  $2\text{C}^{18}\text{H}^{15}\text{NO} \cdot \text{HCl} + \text{PtCl}_4$ .Zweigliedrig.  $a : b : c = 0,702 : 4 : 0,879$  Lasaulx.

$o, q\frac{1}{2}$ .	Berechnet	Beobachtet
$o$	$\begin{cases} 2A = \\ 2B = 93^\circ 30' \\ 2C = 113 \ 40 \end{cases}$	$\begin{matrix} *122^\circ 30' \\ 93 \\ \end{matrix}$
$q\frac{1}{2} : q\frac{1}{2}$	$= 102 \ 48$	$102 \ 30$

Sehr kleine unsymmetrische Krystalle.

Ebene der optischen Axen  $ac$ , Mittellinie  $c$ . — Ber. d. ch. Ges. 1880, 1552.**Quercit.**  $\text{C}^6\text{H}^{12}\text{O}^5$ .Zwei- und eingliedrig.  $a : b : c = 0,8058 : 4 : 0,7653$  Lewis. $o = 69^\circ 3'$ . $p, q, r', a, c$ .

	Berechnet	Beobachtet	
		Sénarmont	Lewis
$p : p$	$= 106^\circ 4'$	$106^\circ 29'$	$106^\circ 6'$
$a$	$= 143 \ 2$	$143 \ 15$	$143 \ 5$
$c$	$= 106 \ 40$	$106 \ 15-50'$	$106 \ 44$
$q : q$	$= 108 \ 53$	$109 \ 5$	$108 \ 49$
$c$	$=$	$144 \ 28$	$*144 \ 27$
$a : c$	$=$	$111 \ 3$	$*110 \ 57$
$r'$	$=$	$122 \ 40$	$*122 \ 24$
$c : r'$	$= 126 \ 39$	$126 \ 38$	
$p : r'$	$= 115 \ 21$	$115 \ 15$	$115 \ 17$

Prismatisch nach  $p$ . Die  $p$  sind vertical gestreift. Die Krystalle zeigen Neigung zu Hemiedrie. Sénarmont.Optische Axenebene  $= ac$ ; positiv, die Mittellinie unter  $20^\circ$  gegen die Normale von  $r$  geneigt;  $q < v$ .  $2E = 55^\circ 47$  für Roth,  $58^\circ 20',5$  für Blau.

Die Lösung ist rechtsdrehend. — Sénarmont: Privatmittheilung. — Lewis: Read before the Cryst. Soc. 1877. October. — Vgl. Groth: Krystallogr. S. 427.

**Ratanhin, chlorwasserstoffsäures.**  $\text{C}^{10}\text{H}^{13}\text{NO}^3 + \text{HCl}$ .Zwei- und eingliedrig.  $a : b : c = 1,0409 : 4 : 0,504$  Zepharovich. $o = 76^\circ 5',5$ .

$p, p\frac{1}{2}, q, r, a, b, c$ .	Berechnet	Beobachtet
$p : p$	$= 94^\circ 5'$	$94^\circ 3'$
$a$	$=$	$*135 \ 32,5$
$b$	$= 134 \ 27,5$	$134 \ 34$
$c$	$= 99 \ 53$	
$p\frac{1}{2} : p\frac{1}{2}$	$= 113 \ 37$	
$a$	$= 146 \ 48,5$	$146 \ 40$
$p$	$= 168 \ 44$	$168 \ 44,5$

	Berechnet	Beobachtet
$q : q =$	$128^{\circ} 8'$	
$c =$		$154^{\circ} 4'$
$b =$	$115 56$	$116 0$
$a : c =$		$103 54,5$
$r : a =$	$127 10$	$127 4$
$c =$	$156 44,5$	

Prismatisch nach der Horizontalzone und tafelartig nach  $a$ .

Von  $q$  erscheinen bloß die beiden Flächen rechts, und auch  $b$  liegt nur auf dieser Seite;  $c$  ist sehr schmal.

Vollkommen spaltbar nach  $c$ .

Die optische Axenebene ist  $ac$ . — Wien. Ak. Ber. 59.

#### Ratanhin, schwefelsaures. $C^{10}H^{13}NO^3 \cdot H^2SO^4$ .

Zweigliedrig.  $a : b : c = 0,3586 : 1 : 0,3243$  Zepharovich.

	Berechnet	Beobachtet
$o, p, b.$		
$o \left\{ \begin{array}{l} 2A = \\ 2B = \\ 2C = \end{array} \right.$	$\begin{array}{l} 152^{\circ} 57' \\ 98 36 \\ 87 42 \end{array}$	$\begin{array}{l} \\ \\ 87^{\circ} 33' \end{array}$
$p : p =$	$140 21,5$	$140 32$
$b =$		$109 44$
$2p : 2p =$	$109 0$	
$b =$	$125 30$	$124 46$
$p =$	$164 5$	$164 39$
$o : b =$	$103 31,5$	
$p =$		$133 54$

Das Oktaeder tritt als Tetraeder auf, zu dem zuweilen das Gegentetraeder kommt. Prismatisch nach  $p$ . Die Flächen sind häufig gekrümmt, die Messungen nicht ganz genau.

Optische Axenebene ist  $ab$ . — A. a. O.

#### Resorcin. $C^6H^6O^2$ .

Zweigliedrig.  $a : b : c = 0,9405 : 1 : 0,5404$  Groth.

	Berechnet	
$o, p, r.$		
$o \left\{ \begin{array}{l} 2A = \\ 2B = \\ 2C = \end{array} \right.$	$\begin{array}{l} 130^{\circ} 8' \\ 124 52 \\ 77 30 \end{array}$	$\begin{array}{l} r : r = 118^{\circ} 38' \\ p = 112 10 \\ o : r = 155 4 \\ p = 128 45 \end{array}$
$p : p =$	$95 22$	

Die Krystalle sind hemimorph, am einen Ende von den Flächen des Oktaeders  $o$ , am anderen von den  $r$  gebildet.

Ebene der optischen Axen  $ab$ , Mittellinie  $a$ , Brechung negativ.  $2E = 76^{\circ} 40'$  Roth,  $76^{\circ} 6'$  Gelb,  $74^{\circ} 35'$  Blau.  $2V = 46^{\circ} 44'$  (Na-Linie);  $\beta = 1,555$ . — Groth: Krystallogr. S. 426.

Volumgewicht. 1,276—1,289 Schröder.



**Resorcinmonoätherschwefelsaures Kali.  $\text{KC}^6\text{H}^5\text{OSO}^4$** Eingliedrig.  $a : b : c = 0,7449 : 1 : 0,7021$  Bodewig.

$$\begin{array}{ll} A = 83^\circ 45' & \alpha = 87^\circ 20' \\ B = 112 \ 54 & \beta = 112 \ 14 \\ C = 80 \ 9 & \gamma = 81 \ 55 \end{array}$$

 $p, p', q', a$  (nur als Spaltungsfläche),  $b, c$ .

	Berechnet	Beobachtet
$a : b =$		$\sim 80^\circ \ 9'$
$p = 142^\circ \ 30'$		142 37
$p' = 148 \ 47$		148 48
$b : p = 117 \ 39$		117 3
$p' =$		$\sim 131 \ 4$
$p : p' = 111 \ 17$		111 22
$b : c =$		$\sim 83 \ 45$
$q' : b =$		$\sim 127 \ 35$
$c = 149 \ 4$		148 40
$a : c =$		$\sim 112 \ 54$
$p : c = 106 \ 25$		106 26
$p' : c = 110 \ 48$		111 24
$p' : q' = 128 \ 49$		129 27
$q' : a = 113 \ 33$		113 29

Stets Zwillinge nach  $b$ .

$$\begin{array}{ll} a : \underline{a} = 160 \ 18 & 160 \ 21 \\ p : \underline{p} = 166 \ 35 & 166 \ 43 \\ c : \underline{c} = 167 \ 30 & 167 \ 5 \end{array}$$

Prismatisch nach  $p$ ;  $b$  sehr schmal.Spaltbar sehr vollkommen nach  $a$ .

Die Auslöschungsrichtungen stehen auf den Flächen schief gegen die Kanten. — Groth Ztschr. 4, 584.

**Rhodallin.  $\text{C}^8\text{H}^8\text{N}^2\text{S}^2$ .**Zweigliedrig.  $a : b : c = 0,50 : 1 : 0,49$  Keferstein. $o, p, \frac{4}{3}p, {}^5p$ .

	Berechnet	Beobachtet
$\left. \begin{array}{l} 2A \\ 2B \\ 2C \end{array} \right\} o$	$\begin{array}{l} 144^\circ \ 4' \\ 93 \ 10 \\ 93 \end{array}$	$\begin{array}{l} 144^\circ \ 49' \\ 93 \ 16 \\ 93 \ 12 \end{array}$
$p : p =$		$\sim 126 \ 52$
$o = 137 \ 36$		
$\frac{4}{3}p : \frac{4}{3}p = 66 \ 22$		65 8
${}^5p : {}^5p = 44 \ 20$		44 13

Prismatisch nach den  $p$ . Meist sind nur zwei in der Endecke gegenüberliegende  $o$  ausgebildet. — Pogg. A. 99, 291.**Rohrzucker.  $\text{C}^{12}\text{H}^{22}\text{O}^{11}$ .**Zwei- und eingliedrig.  $a : b : c = 1,2595 : 1 : 0,8782$  Wolff.

$$o = 76^\circ \ 30'.$$

$o, o', p, q, r, r', a, \alpha.$	Beobachtet			
Berechnet	Wolff	Rammelsb.	Hankel	Miller
$o : o = 115^{\circ} 12'$				
$o' : o' = 103 \ 12$				
$o : o' = 124 \ 33$				
$o : o' = 95 \ 39$				
$p : p =$	$78^{\circ} 28'$	$78^{\circ} 30'$	$80^{\circ} \ 0'$	$79^{\circ} 20'$
$a = 129 \ 14$			$130 \ 0$	
$c = 98 \ 30$				
$q : q = 99 \ 0$				
$c = 139 \ 30$				
$a : c =$	$103 \ 30$	$103 \ 17$	$103 \ 30$	$104 \ 30$
$r = 133 \ 45$		$134 \ 23$		
$r' = 115 \ 30$		$115 \ 33$	$116 \ 15$	$116 \ 40$
$c : r = 149 \ 45$		$148 \ 40$		
$r' =$	$144 \ 0$	$140 \ 43$		
$p : r = 115 \ 56$				
$r' = 105 \ 48$				
$o : a = 125 \ 44$				
$c = 136 \ 50$				
$p = 141 \ 40$				
$o' : a = 109 \ 43$				
$c = 127 \ 31$				
$p = 133 \ 59$				

Die Krystalle sind prismatisch nach der Verticalzone. Sie erscheinen hemimorph; Wolff fand  $o$  und  $q$  nur an der linken Seite und ich beob-

Fig. 103.

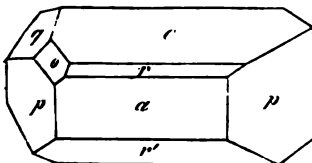


Fig. 104.

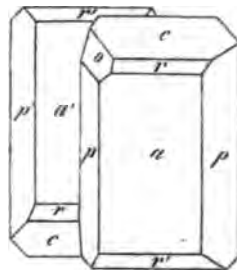
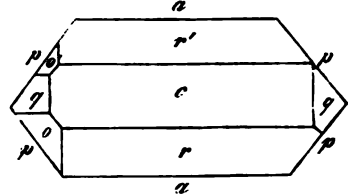


Fig. 105.



achtete an Krystallen, welche sich in einer Kochsalzlösung frei gebildet hatten, sowohl  $o$  als auch  $o'$  nur links,  $q$  meist ebenso, bisweilen jedoch auch die rechtsliegende, und zwar oben und unten. — Fig. 103 und 105.

Zwillinge nach  $a$ ; Aneinanderwachsung stets mit der linken Seite der Krystalle. — Fig. 104.

Die Krystalle sind immer links aufgewachsen. Nach Wolff sind nach  $\alpha$  tafelartige auch mit dem einen Ende des Prismas  $ap$  aufgewachsen und nur solche bilden nach ihm Zwillinge.

Sie sind pyroelektrisch, und zwar stellt nach Hankel das rechte Ende der Axe  $b$  den analogen Pol dar. — Wolff: J. f. pr. Chem. 28, 429. — Hankel: Pogg. A. 49, 495.

Das linke  $p$  zeigt andere Aetzfiguren als das rechte. — Baumhauer: Pogg. A. 154, 510.

Spaltbar nach  $\alpha$ .

Optisches. — Die Brechungsexponenten sind nach Kohlrausch bei  $24^\circ$

	$\alpha$	$\beta$	$\gamma$
	1,5362	1,5643	1,5698
nach Calderon:			
Li-Linie	1,5379	1,5638	1,5693
Na -	1,5397	1,5667	1,5716
Tl -	1,5422	1,5685	1,5734
nach Becke:			
Roth	1,5354	1,5630	1,5679
Gelb	1,5374	1,5653	1,5705
Grün	1,5404	1,5687	1,5737

Ebene der optischen Axen =  $ac$ . Doppelbrechung negativ. Die Mittellinie bildet mit Axe  $c$  einen Winkel von

$22^\circ 42'$  Miller;  $23^\circ 22'$  Becke.

Axenwinkel

$2E = 79^\circ 4'$  Miller

für Roth =  $79^\circ 48' - 77^\circ 53'$  Des Cloiz.  $78^\circ 44'$  Becke

- Viol. =  $79^\circ 55' - 79^\circ 5'$  -

- Gelb =  $78^\circ 26'$  -

- Grün =  $78^\circ 54'$  -

$2H_a =$

Daraus  $2V'$

Roth =  $50^\circ 54'$   $47^\circ 42',5$

Gelb =  $54^\circ 0'$   $47^\circ 48,3$

Grün =  $54^\circ 9'$   $47^\circ 58'$

Becke.

Nach Des Cloizeaux wird der Axenwinkel bei  $420^\circ = 84^\circ 40'$ . — Des Cloizeaux: Ann. Min. (1857) 44, 336. (1858) 44, 416. N. Réch. 470. — Miller: Pogg. A. 55, 630. — Calderon: Groth Ztschr. 4, 73. — Becke: Tscherm. Min. Mitth. 1877, Hft. 3. — Kohlrausch Groth Ztschr. 4, 400.

Ausdehnung. Die kubische Ausdehnung von 0 bis  $400^\circ$  ist = 0,04446. Joule und Playfair.

Volumgewicht. 4,593 ( $4^\circ$ ) Joule und Playfair.

4,588 Schröder,

4,5578 Brix.

Schmelzpunkt des krystallisirten  $160^{\circ}$ , des amorphen  $90-100^{\circ}$ .  
Wöhler.

Optisches Drehungsvermögen der Lösung. — Schon im Jahre 1833 untersuchte Biot die rechtsdrehende Eigenschaft solcher Lösungen, und fand, dass die Grösse der Drehung proportional der Länge der Flüssigkeitsschicht ist, und dass sie ebenso proportional ist der Concentration der Lösung. Hierauf beruht die Anwendung der optischen Saccharimeter, indem man den Ablenkungswinkel ermittelt, den eine Zuckerlösung von bestimmtem Gehalt in einem Rohre von bestimmter Länge hervorbringt.

Es hat sich jedoch gezeigt, dass das spezifische Drehungsvermögen \*) mit der Concentration etwas geringer wird, wiewohl die Differenz nur unbedeutend ist. Was den Einfluss der Temperatur betrifft, so hat dieselbe zwar keinen solchen auf das spezifische Drehungsvermögen der Lösung, allein mit steigender Temperatur vergrössert sich die Länge des Rohres, während die Dichte der Lösung infolge ihrer Volumvermehrung abnimmt. Der erste Umstand vergrössert, der zweite verringert die Drehung. — Biot: Ann. Ch. Phys. 52, 58 (Pogg. A. 28, 165).

Die von Zuckerlösungen auf die Wärmestrahlen ausgeübte Aenderung der Drehung De la Provostaye und Desains: Ann. Ch. Phys. 30, 267 (Pogg. A. 82, 114).

Einfluss der Concentration Arndtsen: Pogg. A. 105, 312.

Bestimmung des molekularen Drehungsvermögens Wilhelmy: Eb. 84, 527.

Aenderung der Drehung mit der Zeit Béchamp: C. r. 40, 436.

Bestimmung des Drehungsvermögens Tuchschnidt: J. f. pr. Ch. (2) 2, 235. — Tollens: Ber. d. ch. G. 1880, 2297.

Einfluss des Lösungsmittels (Wasser und Alkohol) Oudemans: Pogg. A. 148, 337. — Tollens: Ber. d. ch. G. 1880, 2297.

Einfluss von Säuren Wilhelmy: s. o. Von Alkalien Michaelis: J. f. pr. Ch. 56, 418. — Sostmann: Jahresber. 1866, 666. Von Kohlensäure Lippmann: Ber. d. ch. G. 1880, 1822.

Löslichkeit. Nach Michel und Krafft enthält 1 Liter bei  $45^{\circ}$  gesättigter Lösung 910,819 grm Zucker und hat ein Volumgewicht von 1,345082.

Während das Verhältniss von Zucker und Wasser bei  $12^{\circ},5$  nach Berthelot und Scheibler  $= 1:2$  ist, fand Courtonne 100 : 198,547. Bei  $45^{\circ}$  löst nach Scheibler 1 Th. Wasser 4 Th. Zucker, nach dem Genannten nur 2,45 Th. C. r. 85, 959. — Scheibler: Ber. d. ch. G. 1872, 343.

Volumgewicht und Gehalt von Zuckerlösungen Brix: Dingl. J. 136, 214. — Anthon: Eb. 189, 135. — Vgl. Graham, Hofmann und Redwood: Qu. J. Ch. Soc. 5, 229.

---

\* Nach Biot die Drehung, welche eine Schicht von 1 mm Dicke hervorbringt.

Ausdehnung der Lösungen durch die Wärme Gerlach: Specif. Gew. der gebräuchlichsten Salzlösungen. Freiberg 1859.

Dichte und Ausdehnung Marignac: N. Arch. ph. nat. 39, 273.

Specif. Wärme der Lösungen. Derselbe: Eb. 217.

Brechungsverhältnisse Gladstone: J. Ch. Soc. (2) 8.

Elektrolyse. Brester: Jahresber. 1866, 87.

Thermochemisches (Verbrennungswärme). Frankland: Phil. Mag. (4) 32, 182.

### Rohrzucker-Chlornatrium. $C^{12}H^{22}O^{11} + NaCl$ .

Eingliedrig.

$p, p', q, q', a, b.$	Beobachtet
$a : b = 103^{\circ} 44'$	$q : q' = 102^{\circ} 26'$
$p = 136 \ 47$	$b = 97 \ 55$
$p' = 116 \ 44$	$a = 129 \ 4$
$b : p = 117 \ 35$	$p = 117 \ 7$
$p' = 110 \ 15$	$q' : b = 98 \ 2$

Die Flächen sind rauh. — Weiss: Wien. Ak. Ber. 37.

### Sacharin. $C^6H^{10}O^5$ (Scheibler).

Zweigliedrig.  $a : b : c = 0,6816 : 1 : 0,7443$  Des Cloizeaux.

$p, q, q^2, r, b.$	Berechnet	Beobachtet
$p : p = 111^{\circ} 27'$		$111^{\circ} 46'$
$b = 124 \ 16,5$		$124 \ 32,5$
$q : q = 106 \ 54$		$106 \ 0-107^{\circ} 10'$
$b = 126 \ 33$		
$q^2 : q^2 =$		$68 \ 0$
$b = 146 \ 0$		
$q = 160 \ 33$		$164 \ 11$
$r : r = 85 \ 12$		
$p : q = 109 \ 36$		$109 \ 32-110 \ 41$
$q^2 =$		$117 \ 50$
$r = 127 \ 28$		$127 \ 25$
$q : r = 122 \ 56$		$122 \ 48-122 \ 57$

$b$  existirt nur als Spaltungsfläche.

In der Endigung herrschen die  $q$  vor.

Des Cloizeaux untersuchte das optische Verhalten, lässt es aber auch nach diesem noch etwas zweifelhaft, ob die Krystalle nicht vielleicht zwei- und eingliedrig seien. — C. r. 89, 922.

Schmelzpunkt  $160-161^{\circ}$ . Scheibler.

Die Lösung ist rechtsdrehend. Péligot. Scheibler. — Scheibler: Ber. d. ch. Ges. 1880, 2212.

### Safrol. $C^{10}H^{10}O^2$ .

Zwei- und eingliedrig.  $a : b : c = 0,9495 : 1 : 0,5783$  Arzruni.  
 $\alpha = 68^{\circ} 0'$ .

$p^3, p^{\frac{3}{2}}, p, q, \frac{q}{2}, q^{\frac{3}{2}}, b, c.$

	Berechnet	Beobachtet
$p^3 : p^3 =$	$147^{\circ} 17'$	$147^{\circ} 14'$
$b =$		$106 \ 22$
$p^{\frac{3}{2}} : p^{\frac{3}{2}} =$	$119 \ 40$	
$b =$	$120 \ 23$	$120 \ 25$
$p : p =$	$97 \ 16$	
$p^3 : c =$		$111 \ 4$
$q : q =$	$123 \ 34$	
$c =$		$154 \ 47$
$p =$	$115 \ 53$	$116 \ 34$
$\frac{q}{2} : \frac{q}{2} =$	$150 \ 0$	
$c =$	$165 \ 0$	$165 \ 21$
$q^{\frac{3}{2}} : q^{\frac{3}{2}} =$	$102 \ 22$	
$b =$	$128 \ 49$	$128 \ 33$

An manchen Krystallen fehlen die  $q$ , und die Endigung besteht aus  $c$  und  $\frac{c'}{2}$ .

$\frac{c'}{2} : \frac{c'}{2} =$	$151^{\circ} 36'$	$152^{\circ} \ 4'$
$b =$	$104 \ 2$	$104 \ 3$
$c =$	$126 \ 32$	$126 \ 53$

Pogg. A. 158, 244.

#### Salicin. $C^{13}H^{15}O^7$ .

Zweigliedrig.  $a : b : c = 0,3486 : 1 : 0,4$  Schabus.

$p, q, b.$	Berechnet	Beobachtet
$p : p =$	$139^{\circ} 12'$	$139^{\circ} 12'$
$b =$		$110 \ 24$
$q : q =$	$136 \ 18$	$136 \ 18$
$b =$		$111 \ 51$
$p =$	$97 \ 27$	

Sehr kleine Prismen  $p$ .

Ebene der optischen Axen  $ac$ , Mittellinie  $c$ , negativ,  $\varphi < \epsilon$ ;  $2H = 137^{\circ}$  (Roth). Lang.

Volumgewicht. 1,4257 und 1,4338 (26°) Piria.

Löslichkeit. 100 Th. Wasser lösen bei  $11^{\circ}, 5 \ 3,3$ — $3,376$  Th. Piria.

Die Lösung ist linksdrehend. Bouchardat. — Vgl. Biot und Pasteur: C. r. 34, 606.

Bei der Elektrolyse der Lösung entstehen Saligenin und Traubenzucker und aus jenem durch die Einwirkung des Sauerstoffs unter anderem salicylige und Salicylsäure. — Coppola: Gazzet. chim. ital. 8, 60.

#### Salicylaldehyd. Salicylige Säure. $C^7H^6O^2$ .

Volumgewicht. 1,4723 bei  $15^{\circ}$  (gegen Wasser von  $0^{\circ}$ ) Mendelejew: 1,4693 bei  $20^{\circ}$  (gegen Wasser von  $20^{\circ}$ ) Landolt.

Siedepunkt. 178°,2 (760 mm) Mendelejew; 196° (753 mm) Landolt, Piria.

Die Brechungsexponenten bestimmte Sauber: Pogg. A. 417, 593.

Landolt fand bei 20° die Brechung für

$\alpha$	$\beta$	$\gamma$
1,56467	1,59600	1,62008

Pogg. A. 422, 560.

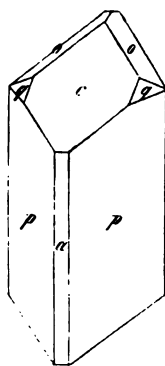
### Salicylsäure. $C^7H^6O^3$ .

Zwei- und eingliedrig.  $a : b : c = 1,0298 : 1 : 0,9479$  Marignac.  
 $o = 88^\circ 38'$ .

$o', \frac{o}{2}, p, r', a, c$ .

	Berechnet	Marignac	Beobachtet	
			Sadebeck	Rammelsberg
$o' : o' =$	143° 40'	143° 50'		
$\frac{o}{2} : \frac{o}{2} =$	136 42	136 40	136° 0'	136° 6'
$p : p =$		*88 20	88 22	88 0
$a =$	134 40	134 40	134 44	134 0
$a : c =$	91 22			
$r' =$	130 57	131 4	130 5	132 15
$c : r' =$	140 25	140 40		
$o' : r' =$		*161 50		
$\frac{o}{2} : a =$	112 44	112 26		
$r' =$	152 46	152 54	152 13	152 30
$p =$	90 4			
$p : c =$	90 57			
$r' =$		*117 40	117 8	117 30

Fig. 106.



Prismatisch nach  $p$ . Fig. 106, in welcher jedoch  $c = r'$ ,  $q = o'$  und  $o = \frac{o}{2}$  zu setzen ist. Spaltbar nach  $p$ .

Die optische Axenebene scheint  $ac$  zu sein. — Sadebeck: Wiedem. Ann. 5, 574.

Volumgewicht. 1,485 Schröder; 1,443 Rüdorff.

Löslichkeit. 100 Theile Lösungsmittel lösen bei 15°

Aether	50,47 Theile
Alkohol, wasserfrei	49,63 -
- von 90 pCt.	42,09 -

Bourgoin.

1 Liter Wasser löst nach Demselben bei

0°	1,50	grm	50°	8,00	grm
10	1,90	-	60	12,25	-
20	2,70	-	70	19,90	-
30	3,90	-	75	25,50	-
40	5,55	-			

Ann. Ch. Phys. (5) 13, 400. 15, 161. — Vgl. Vulpinus Arch. arm. (3) 12, 137.

**Salicylsaures Ammoniak.**  $\text{NH}_4 \cdot \text{C}_7\text{H}_5\text{O}_3 + \text{aq.}$

Zwei- und eingliedrig.  $a : b : c = 0,62257 : 1 : 0,59317$  Marignac.  
 $\alpha = 77^\circ 35'$ .

$p, q, r', b.$	Berechnet	Beobachtet
$p : p =$		$117^\circ 24'$
$q : q = 119^\circ 50'$		119 40
$p = 114 \ 48$		
$r' : p =$		$121 \ 0$
$q =$		$124 \ 12$

**Salicylsaures Methyl.** (Methylsalicylsäure.)  $\text{C}_8\text{H}_5\text{O}_3$ .

Ausdehnung.  $V = 1 + 0,0008436 t + 0,00000040082 t^2 + 0,000000025505 t^3$  (von  $8^\circ,5$  bis  $168^\circ,2$ ) Kopp.

Volumgewicht. 1,1849 bei  $16^\circ = 1,1969$  bei  $0^\circ$  Kopp; 1,1843 i  $20^\circ,5$  Delffs; 1,1845 bei  $15^\circ$  Mendelejew; 1,1779 und 1,1824 bei  $0^\circ$  Landolt.

Siedepunkt.  $223^\circ$  (742,3 mm) Kopp;  $221^\circ$  Delffs;  $220^\circ,4$  bis  $4^\circ,4$  (760 mm) Landolt.

Brechungsverhältnisse. Grailich erkannte die ausgezeichnete Dispersion und bestimmte die Brechungskoeffizienten von 1,529 bis 1,572. Kryst.-opt. Untersuchungen 191. — Vgl. Delffs: Ann. Ch. Pharm. 277.

Landolt ermittelte jene Constanten für die drei Wasserstofflinien i  $20^\circ$

$\alpha$	$\beta$	$\gamma$
1,53019	1,55242	1,56718

Pogg. A. 122, 560.

**Salicylsaures Silber.**  $\text{AgC}_7\text{H}_5\text{O}_3$ .

Prismen von  $84^\circ 44'$  mit einer auf die scharfen Kanten aufgesetzten hiefen Endfläche, welche gegen die Prismenflächen unter  $103^\circ 40'$  geneigt ist. Marignac.

**Salicylsaures Zink.**  $\text{Zn}(\text{C}_7\text{H}_5\text{O}_3)_2$ .

Fast mikroskopische Prismen von  $132^\circ 45'$ ; in der Endigung eine Fläche, welche mit der einen Prismenfläche  $90^\circ$ , mit der anderen  $104^\circ 30'$



bildet. Ausserdem ist die scharfe Kante der letzteren schmal abgestumpft.  
— Grailich: Kryst.-opt. Unters. 185.

### Santonin. $C^{15}H^{15}O^3$ .

Zweigliedrig.  $a : b : c = 0,6452 : 1 : 0,40403$  Des Cloizeaux.

$p, p^2, \frac{3}{2}p, 2p, q, \frac{q}{2}, b$ .

	Berechnet	Beobachtet		
		Des Cloizeaux	Lang	Zepharovich
$p : p = 116^\circ 48'$				
$b = 121 \ 36$		121° 23'		
$p^2 : p^2 = 145 \ 48$			145° 48'	145° 16'
$b = 107 \ 6$		106 56	106 49	
$\frac{3}{2}p : \frac{3}{2}p = 94 \ 36$				
$b = 132 \ 42$		132 40		
$2p : 2p = 78 \ 42$		77 47		78 22
$b =$		140 54	140 45	
$q : q = 136 \ 0$				
$b = 112 \ 0$		112 0		
$\frac{q}{2} : \frac{q}{2} = 157 \ 40$			157 13	156 49
$b = 101 \ 25$		101 26	101 23	101 34

Tafelartig nach  $b$ , der Spaltungsfläche.

Ebene der optischen Axen  $bc$ , Mittellinie  $b$ ; positiv:  $2E = 34^\circ 50'$   
Roth,  $64^\circ 30'$  Grün. Lang. — Des Cloizeaux: Nouv. Rech. 88. —  
Lang: Unters. über d. phys. Verh. kryst. Körper. Wien. Ak. Ber. 31. —  
Vgl. Weiss: Ebend. 37. — Zepharovich: Eb. 52.

Gelbfärbung am Licht. Sestini: Bull. Soc. ch. (2) 2, 21.

Eine Lösung von Santonin ist linksdrehend, und zwar nach Buigne  
stärker als ein anderer Körper. Ztschr. anal. Chem. 4, 234. — Vgl.  
Wilhelmy: Pogg. A. 84, 527.

S. ferner Parasantonid.

### Isomere des Santonins.

#### I. $\alpha$ -Metasantonin.

Zweigliedrig.  $a : b : c = 0,4883 : 1 : 1,490$  Strüver.

$n = a : \frac{1}{2}b : c$ . —  $q, q^{\frac{2}{3}}, q^2, r, \frac{r}{3}, c$ .

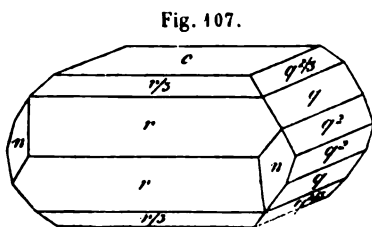


Fig. 107.

	Berechnet	Beobachtet
$c : r =$		108° 8'
$q =$		123 51
$\frac{r}{3} = 134^\circ 30'$		134 14
$q^{\frac{2}{3}} = 135 \ 40$		135 7
$q^2 = 164 \ 44$		164 40
$q^2 : q^2 = 37 \ 4$		37 4

Fig. 107.

Spaltbar sehr vollkommen nach  $c$ . Tafelartig nach  $c$ .

Ebene der optischen Axen  $= bc$ , Mittellinie  $= c$ , positiv. Doppelbrechung stark,  $q < r$ .  $2H_a = \text{Roth } 445^\circ 40'$ , Blau  $446^\circ 40'$ .

Schmelzpunkt  $160^\circ, 5$ .

## II. $\beta$ -Metasantonin.

Zwei- und eingliedrig.  $a : b : c = 0,805 : 1 : 0,947$  Strüver.  
 $o = 66^\circ 24'$ .

$n' = 2a' : b : c$ . —  $o', p, {}^2p, r', a, c$ .

	Berechnet	Beobachtet
$o' : o' =$	$94^\circ 17'$	$94^\circ 12'$
$p : p =$	107 10	
$a =$	113 35	113 34
$c =$	108 48	108 50
${}^2p : {}^2p =$	68 46	
$a =$	124 8	124 5
$n' : n' =$	108 47	108 40
$a : c =$		*113 36
$o' : a =$		*121 35
$c =$		*110 55
$p =$	140 48	140 44
$n' : a =$	98 28	98 34
$c =$	126 49	126 43

Fig. 108.

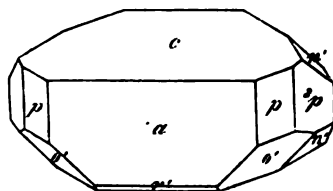


Fig. 108.

Die  $p$  und  ${}^2p$  links sind physikalisch und in der Grösse verschieden von den rechtsliegenden. Spaltbar nach  $c$ .

Ebene der optischen Axen (für Mitteltemperatur)  $= ac$  für Roth und Grün, senkrecht darauf für Blau. Mittellinie negativ, mit der Normalen auf der basischen Endfläche  $4^\circ 30'$  bildend.

Schmelzpunkt  $136^\circ$ .

## III. Santonid.

Zweigliedrig.  $a : b : c = 0,6524 : 1 : 1,0935$  Strüver.

$o, p, q, r, b, c$ .	Berechnet	Beobachtet
$o \left\{ \begin{array}{l} 2A = \\ 2B = \\ 2C = \end{array} \right.$	$121^\circ 28'$ 82 58 126 54	
$p : p =$	113 46	
$b =$	123 7	$123^\circ 0'.5$
$q : q =$	84 53	
$c =$		*132 26.5
$r : r =$	61 38	
$c =$		*120 49
$o : b =$	119 46	119 41
$q =$	131 29	131 25
$r =$	150 44.5	150 46.5

Spaltbar nach  $b$ .

Ebene der optischen Axen =  $bc$ , Mittellinie positiv =  $c$ . Dispersion  $\varrho < v$ .

$2H_a$  Roth  $70^\circ 28'$ , Blau  $72^\circ 49'$

$2H_o$  -  $121\ 50$  -  $120\ 46$

Schmelzpunkt  $127^\circ$ .

#### IV. Parasantonid.

Zweigliedrig.  $a : b : c = 0,8116 : 1 : 0,9633$  Strüver.

$o, o^2, p, q, q^2, r^2, c$ .

	Berechnet	Beobachtet
$p : p$	$101^\circ 52'$	
$q : q$	$92\ 8$	
$c$		$136^\circ 4'$
$q^2 : q^2$	$54\ 52$	$54\ 58$
$r^2 : r^2$	$45\ 42$	
$c$		$112\ 51$
$c : o$	$123\ 42$	$123\ 16$
$o^2$	$134\ 28$	$134\ 30$
$p : o$	$146\ 49$	$146\ 43$
$o^2$	$161\ 53$	$161\ 52$

Ebene der optischen Axen =  $bc$ , Mittellinie negativ =  $c$ .  $\varrho > v$ .  
 $2E = 59^\circ 25'$  Roth.  $2H_a = 40^\circ 30'$  Roth;  $39^\circ 30'$  Blau.

Schmelzpunkt  $110^\circ$ .

Ueber das spezifische Drehungsvermögen der Santoninderivate Carnelutti und Nasini: Ber. d. chem. Ges. 1880, 2208. 1881, 1512.

#### Santonsäure. $C^{15}H^{20}O^4$ .

Zweigliedrig.  $a : b : c = 0,4596 : 1 : 0,303$  Strüver.

$p, q, r, r^2, a$ .

	Berechnet	Beobachtet		
		Strüver	Waage	Scacchi
$p : p$	$130^\circ 48'$	$130^\circ 46'$	$130^\circ 43'$	
$a$		$114\ 36$		$114^\circ 39'$
$r : r$		$113\ 42$	$113\ 18$	
$a$	$123\ 24$	$123\ 24$	$123\ 25$	$123\ 12$
$r^2 : r^2$	$74\ 20$			
$a$	$142\ 50$			
$r$	$160\ 34$	$160\ 29$		
$p : r$	$103\ 15$	$103\ 14$		

Fig. 109.

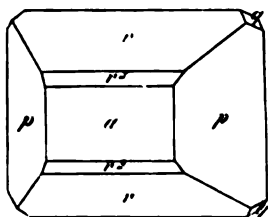


Fig. 109.

Spaltbar nach  $r$ .

Ebene der optischen Axen =  $bc$ . Mittellinie =  $c$ , negativ. Dispersion  $\varrho < v$ . Wahrer Axenwinkel

$86^\circ 34'$  Roth;  $87^\circ 44'$  Grün.

Strüver: Atti d. R. Acc. d. Lincei. T. 3.

— Waage: Ber. d. ch. G. 1873, 1471. — Scacchi: Gazz. chim. ital. (1873) 3, 243.

**Santonsaures Natron.**  $2\text{NaC}^{15}\text{H}^{19}\text{O}^4 + 7\text{aq.}$ Zweigliedrig.  $a : b : c = 0,6004 : 4 : 4,4455$  Strüver. $q, r, c.$ 

Beobachtet

	Strüver	Heldt
$q : q =$	$58^\circ 41',5$	
$c =$	$419 \ 23$	
$r : r =$	$37 \ 21$	$39^\circ$
$c =$	$408 \ 40,5$	

Tafelartig nach c. Spaltbar nach c.

Ebene der optischen Axen  $bc$ , Mittellinie  $c$ , negativ;  $\varrho < v$ . Scheinbarer Winkel in Luft  $50^\circ 2'$  Roth,  $52^\circ 20'$  Grün,  $55^\circ 21'$  Blau. Strüver.

— Heldt: Ann. Ch. Ph. 63, 26. — Weiss: Wien. Ak. Ber. 37, 377. — v. Lang: Eb. 45, 449. — Strüver: a. a. O.

**Santonsaures Methyl.**  $\text{CH}^3 \cdot \text{C}^{15}\text{H}^{19}\text{O}^4.$ Zweigliedrig.  $a : b : c = 0,504 : 4 : 0,9278$  Strüver. $n = a : 2b : c.$  —  $o, q, \frac{q}{2}, r, b.$ 

	Berechnet	Beobachtet
$\left. \begin{array}{l} 2A = \\ 2B = \\ 2C = \end{array} \right\} o$	$132^\circ 26'$ $72 \ 46$ $128 \ 28$	$132^\circ 34'$ $72 \ 34$ $128 \ 49$
$q : q =$	$94 \ 16$	
$b =$	$132 \ 52$	$132 \ 47$
$\frac{q}{2} : \frac{q}{2} =$	$130 \ 14$	$130 \ 38$
$r : r =$	$56 \ 44$	
$o : b =$	$113 \ 47$	$113 \ 51$
$q =$	$126 \ 23$	$126 \ 15$
$r =$	$156 \ 13$	$156 \ 17$
$n : b =$	$102 \ 26$	$102 \ 35$

Die Messungen sind das Mittel derer an den Krystallen zweier Darstellungen. Fläche  $b$  herrschend; Spaltbarkeit nach ihr.Ebene der optischen Axen  $= bc$ ; Mittellinie negativ  $= c$ . Dispersion  $\varrho < v$ .  $2V_a = 74^\circ 24'$  Roth;  $75^\circ 24'$  Grün;  $76^\circ 44'$  Blau.**Santonsaures Aethyl.**  $\text{C}^2\text{H}^5 \cdot \text{C}^{15}\text{H}^{19}\text{O}^4.$ Zweigliedrig.  $a : b : c = 0,4545 : 4 : 0,6633$  Strüver. $o, p, q, q^2, r, b.$ 

Berechnet

Beobachtet

$p : p =$	$131^\circ 24'$	
$b =$		$144^\circ 18'$
$q : q =$	$112 \ 54$	
$b =$		$123 \ 33$
$q^2 : q^2 =$	$74 \ 0$	
$b =$	$143 \ 0$	$143 \ 3$

 $o$  sehr untergeordnet, anscheinend hemiedrisch.

Ebene der optischen Axen =  $ac$ , Mittellinie positiv =  $c$ ;  $\varrho > v$ .

$2V_a = 64^\circ 6'$  Roth;  $62^\circ 8'$  Grün;  $60^\circ 2'$  Blau.

$\beta = 1,5334 - 1,5448$ ;  $\gamma = 1,5288 - 1,5394$ .

**Santonsaures Benzyl.**  $C^7H^7 \cdot C^{15}H^{19}O^4$ .

Zweigliedrig.  $a : b : c = 0,77 : 4 : 0,4459$  Panebianco.

$p, q, r, a, b$ .	Berechnet	Beobachtet
$p : p = 104^\circ 48'$		
$a =$		$\sim 142^\circ 24'$
$q : q = 134 \quad 50$		$135 \quad 0$
$b =$		$\sim 112 \quad 35$
$r : r = 123 \quad 16$		
$a = 118 \quad 22$		$118 \quad 32$
$q = 144 \quad 20$		$144 \quad 31$

Prismatisch nach  $p$ ; spaltbar nach  $a$ .

	$2H_a$	$2H_o$	$2V$
Roth	$92^\circ 40'$	$104^\circ 17'$	
Violett	$92 \quad 43$	$101 \quad 12$	$85^\circ 57' \quad 86^\circ 45'$

R. Acc. d. Linc. 3. März 1878 (Groth Ztschr. 2, 624).

**Santonylchlorür.**  $C^{15}H^{19}O^3 \cdot Cl$ .

Zweigliedrig.  $a : b : c = 0,9533 : 4 : 1,4536$  Strüver.

$o, p, q, r, b, c$ .	Berechnet	Beobachtet
$\left. \begin{array}{l} 2A = 114^\circ 50' \\ 2B = 103 \quad 42 \\ 2C = 118 \quad 14 \end{array} \right\} o$		
$p : p = 92 \quad 44$		
$a =$		$\sim 136^\circ 22'$
$q : q = 84 \quad 50$		
$c =$		$\sim 130 \quad 55$
$r : r = 79 \quad 8$		
$c = 129 \quad 34$		$129 \quad 31$
$o : a = 128 \quad 24$		
$b = 122 \quad 35$		
$c = 120 \quad 53$		$120 \quad 52$
$p = 149 \quad 7$		$149 \quad 8$
$q = 144 \quad 36$		$144 \quad 39$
$r = 147 \quad 25$		

Herrschend  $o$ . Zuweilen tafelartig nach  $a$ , nur noch  $o$  und  $p$  zeigend.

Ebene der optischen Axen =  $ac$ ; Mittellinie positiv =  $c$ ;  $\varrho > v$ .

$2H_a = 72^\circ 5'$  Roth;  $74^\circ 35'$  Blau.

**Santonylbromür.**  $C^{15}H^{19}O^3 \cdot Br$ .

Eingliedrig.  $a : b : c = 1,0348 : 4 : 1,2009$  Strüver.

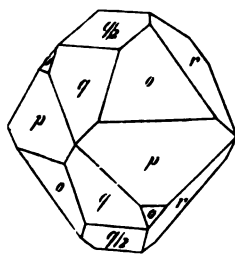
$A = 74^\circ 20'$	$\alpha = 77^\circ 47'$
$B = 96 \quad 2$	$\beta = 97 \quad 15$
$C = 94 \quad 5$	$\gamma = 95 \quad 26$

$o, o', o'', o''', b.$	Berechnet	Beobachtet
$a : b =$	$94^{\circ} 5$	
$b : c =$	$78 20$	
$a : c =$	$96 2$	
$o : o' =$		$\sim 106^{\circ} 12'$
$o : o'' =$		$\sim 104 40$
$o' : o''' =$		$\sim 112 35,5$
$o : o''' =$		$\sim 119 26,5$
$o' : o'' =$		$\sim 100 32$
$o : b =$	$124 7$	

**Santonsäure, Meta-.  $C^{15}H^{20}O^4$ .**Zweiggliedrig.  $a : b : c = 0,7673 : 1 : 0,9606$  Strüver. $o, p, q, \frac{q}{2}, r.$ 

	Berechnet	Beobachtet
$o \left\{ \begin{array}{l} 2A = \\ 2B = \\ 2C = \end{array} \right.$	$418^{\circ} 6'$ $95 51$ $115 14$	
$p : p =$	$105 2$	$105^{\circ} 1'$
$q : q =$	$92 18$	$92 23$
$\frac{q}{2} : \frac{q}{2} =$	$128 42$	
$r : r =$	$77 14$	
$p : q =$		$\sim 114 55$
$o : p =$		$\sim 147 37$
$q =$	$137 55,5$	$137 54$

Fig. 410.



Das Oktaeder existirt als zwei Tetraeder mit physikalischer Differenz r Flächen. — Fig. 410.

Vollkommen spaltbar nach  $q$ .Ebene der optischen Axen =  $ac$ ; Mittellinie positiv =  $c$ ;  $q < v$ .  
 $\varepsilon = 68^{\circ} 25'$  Roth;  $69^{\circ} 39'$  Grün;  $71^{\circ} 28'$  Blau.Schmilzt zwischen  $164^{\circ}$  und  $167^{\circ}$  unter Zersetzung.**Santonsaures Methyl, Meta-.  $CH^3 \cdot C^{15}H^{19}O^4$ .**Zwei- und eingliedrig.  $a : b : c = 0,6527 : 1 : 0,2847$  Strüver.  
 $o = 84^{\circ} 39'$ .

$p, r, r', a.$	Berechnet	Beobachtet
$p : p =$	$143^{\circ} 58'$	$144^{\circ} 0'$
$a =$		$\sim 146 58$
$c =$	$113 11$	
$a : r =$		$\sim 118 0$
$r' =$		$\sim 109 1$
$r : r' =$	$132 59$	$132 58,5$

Spaltbar nach  $r'$ .Ebene der optischen Axen =  $ac$ ; Mittellinie senkrecht darauf, positiv; die stumpfe macht etwa  $30^{\circ}$  mit einer Normalen auf Fläche  $a$  und von  $o$  mit einer solchen auf Fläche  $r$ .  $2H_a = 96^{\circ} 45'$  für Roth.

**Santonylchlorür, Meta-.  $C^{15}H^{19}O^3 \cdot Cl$ .**Zweigligdrig.  $a : b : c = 0,933 : 1 : 0,8473$  Strüver. $p, {}^2p, q, a$ .

Berechnet

Beobachtet

$$p : p = 93^\circ 58'$$

$${}^2p : {}^2p = 56 \ 22$$

$$a =$$

$$*118^\circ 11'$$

$$q : q =$$

$$*101 \ 29$$

Ebene der optischen Axen  $= bc$ ; Mittellinie positiv  $= c; \varrho > v$ .

$$2H_a = 71^\circ 45' \text{ Roth}; 71^\circ 23' \text{ Grün.}$$

Isomorph dem Santonylchlorür; die Axen  $c$  sind  $= 1 : 1,4$ .Schmelzpunkt  $139^\circ$ .**Santonsäure, Para-.  $C^{15}H^{20}O^4$ .**Zweigligdrig:  $a : b : c = 0,4273 : 1 : 0,4353$  Strüver. $p, {}^2p, q, a, b, c$ .

Berechnet

Beobachtet

$$p : p = 133^\circ 44'$$

$$a =$$

$$*156^\circ 52'$$

$$q : q =$$

$$*132 \ 56$$

$$b = 113 \ 32$$

Spaltbar nach  $a$ .Ebene der optischen Axen  $= bc$ ; Mittellinie negativ  $= c$ .

$$2H_a = 94^\circ 35' \text{ Roth}; 94^\circ 23' \text{ Blau}$$

$$2H_o = 98 \ 36'$$

$$98 \ 46$$

$$\text{Daraus } 2V = 88 \ 13$$

$$88 \ 3$$

**Santonsaures Methyl, Para-.  $CH^3 \cdot C^{15}H^{19}O^4$ .**Zweigligdrig.  $a : b : c = 0,6034 : 1 : 0,774$  Strüver. $q, r, c$ .

Berechnet

Beobachtet

$$q : q =$$

$$*104^\circ 32'$$

$$r = 142^\circ 16'$$

$$r : r =$$

$$*42 \ 34$$

$$c = 111 \ 17$$

Spaltbar nach  $c$ .Ebene der optischen Axen  $= bc$ , Mittellinie negativ  $= c; \varrho < v$ .

$$2E = 58^\circ 25' \text{ Roth}; 64^\circ 5' \text{ Blau.}$$

**Santonsaures Aethyl, Para-.  $C^2H^5 \cdot C^{15}H^{19}O^4$ .**Zweigligdrig.  $a : b : c = 0,6267 : 1 : 0,8497$  Strüver. $q, q^2, r^2, c$ .

Berechnet

Beobachtet

$$q : q = 99^\circ 18'$$

$$c = 139 \ 39$$

$$139^\circ 39'$$

$$q^2 : q^2 = 60 \ 58$$

$$c =$$

$$*120 \ 29$$

$$r^2 : r^2 = 40 \ 30$$

$$c =$$

$$*110 \ 15$$

Spaltbar nach  $c$ .Ebene der optischen Axen =  $bc$ ; Mittellinie negativ =  $c$ ;  $\varrho < v$ .  
 $\gamma = 35^\circ 35'$  Roth;  $44^\circ 15'$  Blau.**Santonsäure, Photo-.**

Isomer der Santonsäure.

Zweiglig.  $a : b : c = 0,6068 : 1 : 0,7644$  Strüver. $\frac{o}{2}$ ,  $p$ ,  $q$ ,  $\frac{q}{2}$ ,  $r$ ,  $a$ ,  $c$ .

Berechnet

$$p : p = 117^\circ 30'$$

$$q : q = 105 \ 26$$

$$r : r = 77 \ 6$$

Ebene der optischen Axen =  $bc$ ; Mittellinie negativ =  $c$ ;  $\varrho < v$ .

$$2E = 107^\circ 25' \text{ Roth; } 111^\circ 20' \text{ Grün; } 114^\circ 52' \text{ Blau.}$$

$$2H_a = 66 \ 20$$

$$68 \ 10$$

$$70 \ 2$$

Schmelzpunkt  $153^\circ$ .**Santonid, Hydro-.  $C^{15}H^{20}O^3$ .**Zweiglig.  $a : b : c = 0,8408 : 1 : 0,6444$  Strüver. $o$ ,  $p$ ,  $r$ ,  $b$ .

Berechnet

Beobachtet

$$p : p =$$

$$*99^\circ 53'$$

$$b = 139^\circ 57'$$

$$r : r =$$

$$*117 \ 5$$

Die Oktaederflächen sind klein und scheinen tetraedrisch aufzutreten.

Ebene der optischen Axen =  $bc$ , Mittellinie positiv =  $c$ ;  $\varrho > v$ .

$$2E = 93^\circ 43' \text{ Roth; } 92^\circ \ 1' \text{ Blau.}$$

$$2H_a = 59 \ 18$$

$$58 \ 13$$

$$2H_o = 138$$

$$139 \ 10$$

$$\text{woraus } 2V = 55 \ 50$$

$$54 \ 52$$

**Santonsäure, Hydro-.  $C^{15}H^{22}O^4$ .**Zweiglig.  $a : b : c = 0,6432 : 1 : 0,3775$  Strüver. $p$ ,  $q$ ,  $b$ .

Berechnet

$$p : p = 114^\circ 30'$$

$$q : q = 138 \ 38$$

Spaltbar und tafelartig nach  $b$ .Ebene der optischen Axen =  $ac$ , Mittellinie positiv =  $c$ ;  $\varrho > v$ .

$$H_a = 64^\circ 49' \text{ Roth; } 63^\circ 28' \text{ Grün; } 62^\circ 43' \text{ Blau.}$$

Schmelzpunkt  $170^\circ$ .**Santonsaures Kali, Hydro-.  $KC^{15}H^{21}O^4 + 2aq$ .**Zwei- und eingliedrig.  $a : b : c = 1,064 : 1 : 1,8046$  Strüver.

$$o = 89^\circ 45'.$$

 $p$ ,  $p^2$ ,  $q$ ,  $r$ ,  $a$ .

Berechnet

$$q : q = 58^\circ \ 4'$$

$$p : r = 104^\circ \ 9'$$

$$p : p = 57 \ 6$$

$$a : r = 120 \ 45$$



**Santonsaures Natron, Hydro-.**  $\text{NaC}^{15}\text{H}^{21}\text{O}^4 + 3\text{aq.}$ Zweigliedrig.  $a : b : c = 0,4496 : 1 : 0,2794$  Strüver. $n = a : \frac{1}{2}b : c. — p, q, \frac{q}{2}, \frac{q}{3}, b.$ 

Berechnet

$$p : p = 134^\circ 24'$$

$$q : q = 148 \quad 48$$

Ebene der optischen Axen =  $ac$ , Mittellinie positiv =  $c$ ;  $\varrho > v. — 2E = 37^\circ 24'$  Roth;  $35^\circ 12'$  Grün;  $31^\circ 57'$  Blau.**Sarcosin.**  $\text{C}^3\text{H}^7\text{NO}^2.$ Zweigliedrig.  $a : b = 0,7954 : 1$  Kopp.Combinationen  $p, r.$ 

$$p : p = 103^\circ.$$

Ann. Ch. Pharm. 62, 311.

**Schleimsaures Natron.**  $\text{Na}^2\text{C}^6\text{H}^8\text{O}^8 + 5\text{aq.}$ Eingliedrig.  $a : b : c = 0,6 : 1 : 1,3786$  Haushofer.

$$A = *122^\circ 54' \quad \alpha = 120^\circ 21'$$

$$B = *103 \quad 23 \quad \beta = 90 \quad 34$$

$$C = *114 \quad 25 \quad \gamma = 110 \quad 37$$

 $p, q', a, b, c.$ 

Beobachtet (ausserdem)

$$p : b = 140^\circ 37'$$

$$q' : c = 108 \quad 36$$

$$a = 128 \quad 34$$

Groth Ztschr. 3, 77.

**Selenodiglycolsäure.**  $\text{C}^4\text{H}^6\text{SeO}^4.$ Zwei- und eingliedrig.  $a : b : c = 3,0385 : 1 : 2,9446$  Arzruni.

$$o = 84^\circ 44'.$$

 $\frac{o}{2}, p, r, r', a, c.$ 

Berechnet

Beobachtet

$$p : q = \quad \quad \quad *36^\circ 35'$$

$$a = 108^\circ 48' \quad \quad \quad 108 \quad 40$$

$$a : c = \quad \quad \quad *95 \quad 49$$

$$r' = 134 \quad 0 \quad \quad \quad 130 \quad 58$$

$$c : r = 138 \quad 47 \quad \quad \quad 138 \quad 3$$

$$r' = \quad \quad \quad *133 \quad 44$$

$$p : c = 94 \quad 40 \quad \quad \quad 94 \quad 45$$

$$\frac{o}{2} : c = 123 \quad 55 \quad \quad \quad 123 \quad 55$$

$$p = 147 \quad 45 \quad \quad \quad 147 \quad 25$$

Prismatisch nach der Verticalzone. Spaltbar nach  $a.$ Ebene der optischen Axen =  $ac$ ; die Mittellinie macht mit Axe  $c$  hinten etwa  $44^\circ$ . Wahrer Axenwinkel (für Gelb) etwa  $78^\circ,5$ . — Groth Ztschr. 1, 448.Schmelzpunkt  $107^\circ$ .

**Senföf.  $C^4H^5NS$ .**

**Ausdehnung.**  $V = 1 + 0,0040713 t + 0,000000032704 t^2 + 0,0000000073569 t^3$  ( $10^\circ, 1$  bis  $130^\circ, 9$ ). Kopp.

**Volumgewicht.** 4,0473 bei  $10^\circ$  = 1,0282 bei  $0^\circ$  Kopp; 4,015 bei  $20^\circ$  Dumas; 4,040 bei  $45^\circ$  Will.

**Siedepunkt.**  $150^\circ, 7$  (728,9 mm) Kopp;  $143^\circ$  Dumas;  $148^\circ$  Will;  $155^\circ$  Robiquet.

**Specif. Wärme.** 0,432 zwischen  $48^\circ$  und  $23^\circ$  Kopp.

**Gas-V. G.** 49,2 Dumas; 51,2 Will. Berechnet 49,5.

**Brechungscoefficient.** Will fand ihn = 1,546. Grailich bestimmte ihn für die verschiedenen Farben zwischen 1,5474 und 1,5606.

— Kryst.-opt. Unters. 493.

**Senfölessigsäure.  $C^3H^3NSO^2$ .**

**Zweigliedrig.**  $a : b : c = 0,889 : 1 : 1,2677$  Friedländer.

$o, c$ .

	Berechnet	Beobachtet
$o$	$2A = 107^\circ 42'$	$107^\circ 40'$
	$2B =$	$97 \quad 8$
	$2C = 124 \quad 40$	
$o : c =$		$117 \quad 40$

Tafelartig nach  $c$ . Spaltbar nach  $b$ .

**Optische Axenebene**  $ab$ , **Mittellinie**  $b$ .  $2H_a = 76^\circ 20'$ ,  $2H_o = 145^\circ$  ungef. Gelb. Doppelbrechung negativ. — Groth Ztschr. 3, 174.

**Schmelzpunkt**  $125$ — $126^\circ$ .

**Serin (Glyceraminsäure).  $C^3H^7NO^3$ .**

**Zwei- und eingliedrig.**  $a : b : c = 0,966 : 1 : 0,5332$  Haushofer.  
 $o = 79^\circ 45'$ .

$\frac{1}{2}o$ ,  $\frac{1}{6}o'$ ,  $p$ ,  $p^3$ ,  $\frac{2}{3}p$ ,  $q$ ,  $q^2$ ,  $a$ ,  $b$ .

	Berechnet	Beobachtet
$p : p =$	$92^\circ 53'$	
$a =$	$133 \quad 26$	$133^\circ 40'$
$b =$	$136 \quad 27$	$136 \quad 40$
$p^3 : p^3 =$	$144 \quad 50$	
$a =$		$162 \quad 25$
$\frac{2}{3}p : a =$	$114 \quad 10$	$113 \quad 52$
$q : q =$	$124 \quad 38$	
$b =$	$117 \quad 41$	
$a =$		$99 \quad 4$
$q^2 : q^2 =$	$86 \quad 18$	
$b =$	$136 \quad 51$	$137 \quad 0$
$a : \frac{1}{6}o =$	$119 \quad 34$	$119 \quad 35$
$\frac{1}{6}o' =$	$104 \quad 49$	$104 \quad 25$

Sehr kleine kurz prismatische Krystalle, warzenförmig gruppiert, spaltbar nach  $a$ . — Groth Ztschr. 4, 581.

**Sinnamin.**  $4\text{C}^2\text{H}^3\text{N} + \text{aq.}$ 

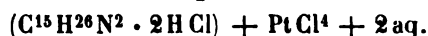
Eingliedrige Prismen von  $144^\circ$  mit einer schiefen Endfläche. — Will:  
Ann. Ch. Pharm. 52, 46.

**Sorbin.**  $\text{C}^{12}\text{H}^{18}\text{O}^9 + 3 \text{aq.}$ 

Zweigliedrig.  $a : b : c = 0,3357 : 4 : 0,3523$  Berthelot.

$p, \frac{2}{3}p, q, a, b, c.$	Berechnet	Beobachtet
$p : p =$		$*442^\circ 53'$
$b = 108^\circ 33'$		408 40
$\frac{2}{3}p : \frac{2}{3}p = 67 \quad 0$		
$p = 165 \quad 3$		164 20
$q : q =$		$*444 \quad 41$
$p = 96 \quad 4$		96 32

Prismatisch nach  $p$ . — Ann. Ch. Phys. (3) 35, 222.

**Sparteïn.****Chlorwasserstoff-Sparteïn-Platinchlorid.**

Zweigliedrig.  $a : b : c = 0,8734 : 4 : 4,4463$  Miller.

$p, q, r, a, b.$	Berechnet	Beobachtet
$p : p =$		$*97^\circ 44'$
$q : q = 82^\circ 48'$		
$r : r =$		$*74 \quad 36$
$p : q = 119 \quad 43$		
$r = 126 \quad 48$		
$q : r = 113 \quad 29$		

Prismatisch nach  $p$ . — Ann. Chem. Pharm. 78, 25.

**Chlorwasserstoff-Sparteïn-Quecksilberchlorid.**

Zweigliedrig.  $a : b : c = 0,9057 : 4 : 0,5487$  Miller.

$o, {}^2p, p^2, q, a, b.$	Berechnet	Beobachtet
$\left. \begin{array}{l} 2A = \\ 2B = 126^\circ \quad 6' \\ 2C = \end{array} \right\}$		$*131^\circ 32'$
${}^2p : {}^2p = 57 \quad 48$		$*75 \quad 24$
$p^2 : p^2 = 131 \quad 46$		
$q : q = 125 \quad 40$		

Tafelartig nach  $b$ ;  $a, {}^2p$ , und  $q$  sehr schmal, oft fehlend.

Spaltbar sehr vollkommen nach  $b$ . — Miller: a. a. O.

**Strychnin.**  $\text{C}^{21}\text{H}^{22}\text{N}^2\text{O}^2.$ 

Zweigliedrig.  $a : b : c = 0,9853 : 4 : 0,9255$  Schabus.

$p, q, r.$

	Berechnet	Beobachtet	
		Schabus	Kenngott
$p : p =$		$^{\circ}90^{\circ} 54'$	$^{\circ}94^{\circ} 42'$
$q : q =$	$94^{\circ} 26'$	94 28	94 46
$r : r =$	93 35	93 30	93 4
$p : q =$		$^{\circ}418 28$	
$r =$	419 44		
$q : r =$	122 20		

Spaltbar nach  $p$ . — Kenngott: Pogg. A. 95, 643.

Linksdrehend in alkoholischer Lösung. — Bouchardat.

**Strychnin, schwefelsaures.**  $(C^{21}H^{22}N^2O_2)^2 \cdot H^2SO_4$ .

A. Hydrat mit 6 aq\*).

Viergliedrig.  $a : c = 1 : 0,98$  Rammelsberg.

$o$ ,  $o\frac{1}{2}$ ,  $o\frac{7}{8}$ ,  $\frac{o}{4}$ ,  $c$ .

	Berechnet	Beobachtet	
		Rammelsberg	Des Cloizeaux
$o \left\{ \begin{array}{l} 2A = 110^{\circ} 2' \\ 2C = 108 22 \end{array} \right.$			
$o\frac{1}{2} \left\{ \begin{array}{l} 2A = 103 6 \\ 2C = 123 8 \end{array} \right.$			
$o\frac{7}{8} \left\{ \begin{array}{l} 2A = 92 20 \\ 2C = 156 40 \end{array} \right.$			$92^{\circ} 30'$ 455 54
$\frac{o}{4} \left\{ \begin{array}{l} 2A = 153 44 \\ 2C = 38 44 \end{array} \right.$			
$c : o = 125 49$			125 26
$o\frac{1}{2} = 118 26$		$118^{\circ} 8'$	
$o\frac{7}{8} =$		$^{\circ}101 40$	402 3
$\frac{o}{4} = 160 53$		160 35	
$o\frac{7}{8} : o = 155 54$			156 37
$o\frac{1}{2} = 163 42$		164 ung.	

Tafelartig nach  $c$ . Unter den Oktaedern herrscht  $o\frac{7}{8}$ ; untergeordnet fand ich  $\frac{o}{4}$ , Des Cloizeaux dagegen  $o$ . Die Oktaederflächen sind matt und horizontal gestreift. Spaltbar nach  $c$ . Durch Aetzversuche wies Baumhauer die trapezoedrische Hemiedrie nach. Groth Ztschr. 5, 577.

Die Krystalle zeigen Circularpolarisation. Bisher wurden nur linksdrehende gefunden.

Auch die Lösung zeigt dieses Verhalten, und es ist somit dieses Strychninsulfat bis jetzt das einzige Beispiel eines Körpers, der im krystallisierten Zustande und in Lösung optisch activ ist. — Des Cloizeaux: C. r. 44, 909 (Pogg. A. 102, 474).

Des Cloizeaux bemerkt, dass die viergliedrigen Krystalle sich in

\*) Rammelsberg: Ber. d. ch. Ges. 1884, 1231.

einer Lösung des prismatischen Salzes bei gewöhnlicher Temperatur durch langsames Verdunsten bilden. — Ann. Min. 44, 264.

B. Hydrat mit 5 aq. (Rammelsberg).

I. Zweigliedrig.  $a : b : c = 0,6204 : 4 : 0,5544$  Schabus.

$p, p^2, q, q^2, \frac{q}{s}, b.$	Berechnet	Beobachtet
$p : p =$	$116^\circ 22'$	
$b =$	424 44	424 45'
$p^2 : p^2 =$	445 32	445 30
$b =$		*407 44
$q : q =$	422 22	
$b =$	448 49	448 40
$q^2 : q^2 =$	84 24	
$b =$		*437 48
$\frac{q}{s} : \frac{q}{s} =$	459 40	
$b =$	400 25	99 50

Tafelartig nach  $b$ . Bisweilen fehlt ein  $p$ . Die Prismenflächen sind vertical gestreift. Auf  $b$  perlmutterartiger Glasglanz.

II. Zwei- und eingliedrig.  $a : b : c = 0,94823 : 4 : 0,82974$  Des Cloizeaux.  
 $\alpha = 72^\circ 27'$ .

$x = 5a : b : c.$  —  $p, {}^5p, \frac{r'}{2}, a, b, c.$

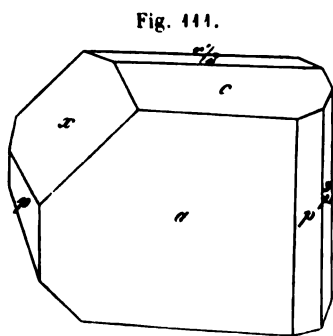


Fig. 444.

	Berechnet	Beobachtet	
		Des Cloiz.	Rbg.
$p : p =$	$95^\circ 46'$	$95^\circ 0'$	
$a =$	437 53	437 50	438 0'
${}^5p : {}^5p =$	24 56		
$a =$	402 28	402 15	
$p =$	444 35		
$p : c =$	402 56	402 25	
${}^5p : c =$	93 44	94	
$a : c =$		*407 33	407 25
$\frac{r'}{2} =$	98 7		
$c : \frac{r'}{2} =$	454 20	454	
$x : a =$		*440 45	
$c =$		*436 33	
${}^5p =$	437 44	437 0	

Die Flächen  $x$  sind nur links vorhanden. Prismatisch nach der Verticalzone. Spaltbar nach  $c$ . — Fig. 444.

Die von mir beobachteten Krystalle waren nach  $a$  platte Nadeln  $ac$ , an denen selten am einen Ende  $b$  und ein  $p$ .

Die von Schabus beschriebenen angeblich zweigliedrigen Krystalle sind mit den zwei- und eingliedrigen offenbar identisch, welche Des Cloizeaux und ich untersucht haben. Setzt man nämlich

$$\begin{aligned} q^2 \text{ Schabus} &= p \\ \text{ein } p^2 &= c \\ b &= a, \\ \text{ein } p &= \frac{r}{3}, \\ \text{und ist } p : a &= 437^\circ 48' \\ a : c &= 407 \ 44 \\ a : \frac{r}{3} &= 424 \ 45, \end{aligned}$$

so ist  $a : b : c = 0,9494 : 1 : 0,8396$ ;  $\alpha = 72^\circ 46'$ ,  
während Des Cloizeaux annimmt

$$0,9482 : 1 : 0,8297; \alpha = 72^\circ 27'.$$

Dann wird

$$\begin{aligned} q \text{ Schabus} &= 2p \\ \frac{q}{3} &= 6p \\ \begin{array}{rcl} & \text{Berechnet} & \text{Beobachtet} \\ 2p : 2p &= 57^\circ 44' & \\ a &= 118 \ 52 & 118^\circ 40' \\ 6p : 6p &= 24 \ 36 & \\ a &= 102 \ 18 & 99 \ 50 \end{array} \end{aligned}$$

Die letzte Fläche würde, der Messung nach, eher  $\frac{1}{3}p$  sein.

Die Ebene der optischen Axen ist parallel Axe  $b$  und macht etwa  $45^\circ 40'$  mit einer Normale auf Fläche  $c$  und  $57^\circ 17'$  mit einer solchen auf die vordere  $a$ , während die Mittellinie (vorn) unter  $75^\circ 50'$  sich gegen Axe  $a$  neigt.  $2E$  bei  $17^\circ = 16^\circ 30'$ ;  $\gamma = 1,594$  für die Mitte des Roth;  $\varrho < v$ .

Auch die horizontale Dispersion ist sehr bedeutend. Des Cloizeaux.

#### Strychnintrijodid. $C^{21}H^{22}N^2O^2 \cdot HJ^3$ .

Zweigliedrig.  $a : b : c = 0,577 : 1 : 0,654$  Hiortdahl.

$p, r, a$ .

$$\begin{aligned} p : p &= 420^\circ; \quad p : a = 450^\circ; \quad r : a = 438^\circ 35' \\ (r : r &= 82^\circ 50') \end{aligned}$$

S. Cinchonintrijodid.

Hiortdahl berechnet  $c = 0,5093$ .

Dann müsste  $r : r$  an  $c = 97^\circ 8'$  und  $r : c = 438^\circ 34'$  sein.

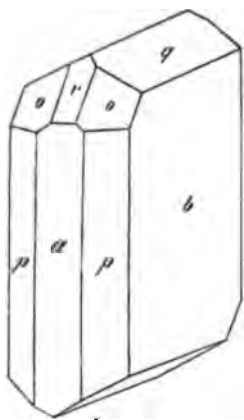
#### Styphninsaures Ammoniak. $Am \cdot C^6H^{12}(NO^{23}O^2 + aq$ .

Zwei- und eingliedrig.  $a : b : c = 0,7945 : 1 : 0,4784$  Schabus.  
 $\alpha = 76^\circ 52'$ .

$\alpha, \alpha', p, q, r, a, b$ .

$$\begin{array}{rcl} & \text{Berechnet} & \\ \alpha : \alpha &= 139^\circ 58' & \\ \alpha' : \alpha' &= 134 \ 52 & \\ \alpha : \alpha' &= 123 \ 49 & \end{array}$$

Fig. 112.



	Berechnet	Beobachtet
$o : o' =$	$74^\circ 20'$	
$p : p =$	$104 \quad 32$	$104^\circ 30'$
$q : q =$		$*130 \quad 2$
$a : r =$		$*130 \quad 25$
$r : p =$	$120 \quad 51$	
$q =$		$*143 \quad 40$
$o : a =$	$127 \quad 32$	
$b =$	$110 \quad 4$	
$p =$	$133 \quad 43$	
$q =$	$154 \quad 24$	$153 \quad 30$
$r =$	$159 \quad 59$	
$o' : a =$	$109 \quad 9$	
$b =$	$111 \quad 4$	
$p =$	$120 \quad 37$	
$q =$	$148 \quad 58$	

Prismatisch nach der Horizontalzone und tafelartig nach  $b$ . — Fig. 112.

$o'$  ist selten, auch  $o$  fehlt zuweilen. Die Flächen sind eben, nur  $p$  ist gekrümmt. Spaltbar nach  $a$ .

Gelb mit blauer Oberflächenfarbe, trichromatisch, von zum Theil diamantartigem Glasglanz.

### Styphninsaures Kupfer-Ammoniak.

Zusammensetzung unbekannt.

Eingliedrig.  $a : b : c = 1,3444 : 1 : 1,4085$  Schabus.

$A = 106^\circ 20'$	$\alpha = 109^\circ 9'$
$B = 108 \quad 32$	$\beta = 111 \quad 3$
$C = 95 \quad 10$	$\gamma = 101 \quad 22$

$o'', q, a, b, c.$

	Berechnet	Beobachtet
$a : b =$		$*95^\circ 10'$
$b : c =$		$*106 \quad 20$
$a : c =$		$*108 \quad 32$
$q : c =$		$*115 \quad 50$
$b =$	$137^\circ 50'$	
$a =$	$107 \quad 53$	
$o'' : a =$		$*112 \quad 46$
$b =$	$131 \quad 2$	
$c =$	$101 \quad 30$	
$q =$	$139 \quad 24$	

Hexaide  $a, b, c$ , an welchen die scharfe Kante  $bc$  durch  $q$ , die scharfe  $aq$  durch  $o''$  abgestumpft ist. Tafelartig nach  $a$ .

Zwillinge nach  $a$ .

Fläche  $a$  meist gebogen und zart gestreift. Ueberhaupt sind die Kristalle nicht scharf messbar.

Braun, trichromatisch.

**Succinylobernsteinsaures Diäthyl.  $C^{12}H^{16}O^6$ .**Eingliedrig.  $a : b : c = 0,5809 : 1 : 1,3614$  Arzruni.

$A = 104^\circ 4'$	$\alpha = 103^\circ 11'$
$B = 97 \quad 0$	$\beta = 94 \quad 58$
$C = 98 \quad 33$	$\gamma = 96 \quad 59$

 $o'''$ ,  $\frac{o'''}{2}$ ,  $p$ ,  $\frac{2}{3}p'$ ,  $q'$ ,  $a$ ,  $b$ ,  $c$ .

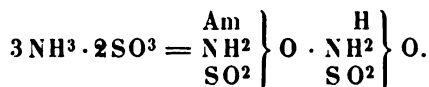
	Berechnet	Beobachtet
$a : b =$		$98^\circ 33'$
$p : a = 151^\circ 44'$		151 40
$b =$		$126 \quad 49$
$c = 102 \quad 17$		102 32
$\frac{2}{3}p' : a = 152 \quad 0$		151 55
$b = 109 \quad 27$		109 20
$b : c =$		$104 \quad 4$
$q' : c =$		$116 \quad 38$
$b = 139 \quad 18$		139 15
$a : c =$		$97 \quad 0$
$o''' : c = 98 \quad 0$		98 15
$p = 159 \quad 45$		159 50
$\frac{o'''}{2} : p = 140 \quad 58$		140 42
$o''' = 161 \quad 15$		160 52

Ausserdem noch andere, z. Th. gekrümmte Flächen.

Die durch Verdunsten kalt gesättigter Lösungen erhaltenen Krystalle sind entweder tafelförmig nach  $c$  oder prismatisch nach  $b$  und  $c$ . Aus heiss gesättigter Lösung in Aether wurden nadelförmige Prismen  $bc$  erhalten.

Zwillinge nach  $p$ .Sehr vollkommen spaltbar nach  $p$ , weniger nach  $c$ .

Das optische Verhalten untersuchte Arzruni; die Ebene der optischen Axen und die Mittellinie stehen fast senkrecht auf  $p$ . Negativ. — Groth Ztschr. 1, 449.

**Sulfaminsaures Ammoniak, saures. (Sulfat-Ammon.)**Viergliedrig.  $a : c = 1 : 1,648$  G. Rose.

$o$ , $d$ , $c$ .	Berechnet	Beobachtet
$o \left\{ \begin{array}{l} 2A = 98^\circ 56' \\ 2C = 133 \quad 32 \end{array} \right.$		
$d \left\{ \begin{array}{l} 2A = 105 \quad 36 \\ 2C = 117 \quad 30 \end{array} \right.$		
$o : c =$		$113^\circ 14'$
$d = 139 \quad 28$		
$c : d = 121 \quad 15$		



Von beiden Oktaedern sind nur zwei Flächen und ihre Parallelen vorhanden, so zwar, dass wenn von  $o$  die vorderen, dann von  $d$  die seitlichen. Die Krystalle sehen demzufolge zwei- und eingliedrig aus. Zuweilen sind sie tafelförmig nach  $c$ .

$o$  und  $d$  sind glatt,  $c$  ist meist etwas uneben. — Pogg. A. 47, 476.

**Sulfanilsaurer Baryt.**  $2[\text{Ba}(\text{C}^6\text{H}^6\text{NSO}_3^2)] + 7\text{aq.}$

Zweigliedrig.  $a : b : c = 0,6202 : 1 : 0,5545$  Henniges.

$p, r, b.$

	Berechnet	Beobachtet
$p : p =$		$*416^\circ 23'$
$b = 121^\circ 48',5$		121 50
$r : r = 96 24$		
$p =$		$*124 30$

Kleine graubraune Prismen  $p$ , deren Flächen glänzend aber nicht eben sind. Spaltbar nach  $p$ .

Ebene der optischen Axen  $ab$ .

**Sulfanilsaures Natron.**  $\text{NaC}^6\text{H}^6\text{NSO}_3 + 2\text{aq.}$

Zweigliedrig.  $a : b : c = 0,7855 : 1 : 0,7948$  Henniges.

$o, c.$

	Berechnet	Beobachtet
$o \left\{ \begin{array}{l} 2A = \\ 2B = 103^\circ 14' \\ 2C = \end{array} \right.$		$*121^\circ 37'$
		103 14
		$*104 17,5$
$o : c = 142 9$		

Tafelförmig nach  $c$ . Ziemlich grosse rothe etwas matte Krystalle mit geknickten Flächen.

Ebene der optischen Axen  $ac$ , Mittellinie  $c$ ; sehr starke Doppelbrechung, positiv um die Mittellinie.  $\rho > \nu$ .

	Beobachtet	
$2E$	$2H_a$	$2H_o$
$115^\circ 39'$	$70^\circ 20'$	$126^\circ 32'$ Roth
$115 23$	70 3	127 17 Gelb
$115 21$	69 53	127 59 Grün

woraus (und nach Bestimmung der Brechungsexponenten des Öls;

$2V_a$	$\beta$
$65^\circ 38' 6''$	1,56286 Roth
65 16 52	1,56656 Gelb
65 4 2	1,57166 Grün.

Kryst. Untersuchung einiger organ. Verbindungen. Göttingen 1881.

**Sulfhydanthoin.**  $\text{C}^3\text{H}^4\text{N}^2\text{SO.}$

Zweigliedrig.  $a : b : c = 0,795 : 1 : 0,921$  Friedländer.

$o, c.$

	Berechnet	Beobachtet
$o \left\{ \begin{array}{l} 2A = \\ 2B = 99^\circ 9' \\ 2C = 111 52 \end{array} \right.$		$*115^\circ 56'$
$o : c =$		$*124 4$

Tafelartig nach  $c$ , mattflächig.

Ebene der optischen Axen  $bc$ , Mittellinie  $b$ ;  $2H_a = 400^\circ 42'$ ,  $2H_o = 425^\circ 35'$  Gelb, wonach  $2V_a = 84^\circ 34'$ . Berechnet  $\beta = 4,7372$ . Doppelbrechung sehr stark, negativ. — Groth Ztschr. 3, 476.

**Sulfobenzaminsaures Aethyl.  $C^2H^5 \cdot C^7H^6NSO^4$ .**

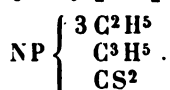
Zwei- und eingliedrig.  $a : b : c = 0,4494 : 4 : 0,2786$  Keferstein.  
 $\alpha = 88^\circ 51'$ .

$p, q, r', b$ .	Berechnet	Beobachtet
$p : p =$		$434^\circ 29'$
$r' =$		$419 \ 58$
$q : q =$		$452 \ 3$
$b = 403^\circ 58'$		$403 \ 58$
$r' = 447 \ 46$		$447 \ 42$
$p = 92 \ 46$		

Ann. Chem. Pharm. 406, 387.

**Sulfokamphylsäure s. Kampher.**

**Sulfotriäthylallylphosphodiamin.**



Zwei- und eingliedrig.  $a : b : c = 1,2554 : 4 : 1,924$  Sella.  
 $\alpha = 79^\circ 5'$ .

$$s' = a' : \frac{1}{4}b : c$$

$$v = a : \frac{1}{4}b : \frac{1}{4}c. — r, r', a, c.$$

	Berechnet	Beobachtet
$a : c = 100^\circ 55'$		$100^\circ 53'$
$r = 150 \ 49$		$150 \ 22$
$r' = 143 \ 50$		$143 \ 54$
$c : r = 130 \ 36$		$130 \ 35$
$r' =$		$415 \ 45$
$r : r' =$		$65 \ 51$
$s' : s' = 47 \ 32$		$47 \ 31$
$r' =$		$443 \ 46$
$c = 99 \ 54$		$99 \ 50$
$a = 409 \ 0$		$408 \ 54$
$v : v = 87 \ 34$		$87 \ 55$
$a = 143 \ 41$		
$c = 128 \ 58$		$128 \ 43$

Oft prismatisch nach der Verticalzone und tafelartig nach  $c$ . Die  $p$  sind stets gekrümmt, die  $v$  fehlen zuweilen unten.

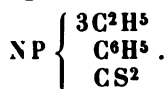
Spaltbar nach  $c$  und  $r'$ .

Die Ebene der optischen Axen ist  $ac$ ; die Brechung ist negativ.

Diese aus Triäthylphosphin und Schwefelcyanallyl entstehende Verbindung krystallisirt aus warmem Aether und schmilzt bei  $68^\circ$ . — Sella:

Sulle forme crist. di alcuni sali derivati dall' ammoniaca. Mem. R. Accad. Torino (2), 20.

### Sulfotriäthylphenylphosphodiamin.



Zwei- und eingliedrig.  $a : b = 1,1712 : 1$  Sella.  
 $\alpha = 61^\circ 2'$ .

$p, a, b, c.$	Berechnet	Beobachtet
$p : p =$	$88^\circ 54'$	
$a =$		$134^\circ 27'$
$b =$	135 33	135 33
$c =$	109 50	109 36
$a : c =$		$118 58$

Kleine anscheinend rechtwinklige vierseitige Prismen von röthlich-gelber Farbe und ziemlich glänzenden Flächen. Spaltbar nach  $a$ .

Aus Triäthylphosphin und Schwefelcyanphenyl erhalten, unlöslich in Wasser.

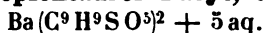
### Sulfoessigsaurer Baryt. $\text{BaC}^2\text{H}^2\text{SO}^5 + \text{aq.}$

Zwei- und eingliedrig.  $a : b : c = 1,3957 : 1 : 3,3511$  Haushofer.  
 $\alpha = 87^\circ 20'$ .

$\alpha, \frac{\alpha'}{2}, \frac{\alpha'}{3}, \frac{2}{3}\alpha', \frac{1}{3}\alpha', p, a, c.$	Berechnet	Beobachtet
$p : p =$		$71^\circ 19'$
$c =$		$91 34$
$a : c =$	$92^\circ 40'$	
$c : \alpha =$		$105 7$
$\frac{\alpha'}{2} =$	114 37	113 39
$\frac{\alpha'}{3} =$	129 33	129 0
$\frac{2}{3}\alpha' =$	110 6	109 48
$\frac{1}{3}\alpha' =$	98 11	99 52

Sehr dünne Blättchen  $c$ , an denen die Augitpaare, von denen  $\alpha$  und  $\frac{2}{3}\alpha'$  am häufigsten sind, unvollzählig auftreten. — Groth Ztschr. 6, 137.

### Sulfophenylpropionsaurer Baryt, saurer (Meta-).



Eingliedrige sehr kleine tafelartige Krystalle, von den drei Hexaidflächen gebildet,

$$\begin{aligned} a : b &= 76^\circ 30' \\ b : c &= 83 \frac{1}{2} \\ a : c &= 110 0 \end{aligned}$$

Verwittert. — Haushofer: Groth Ztschr. 2, 92.

**Tartramid.  $C^2H^4NO^2$ .**

I.

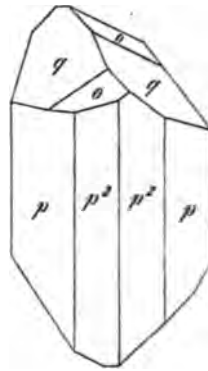
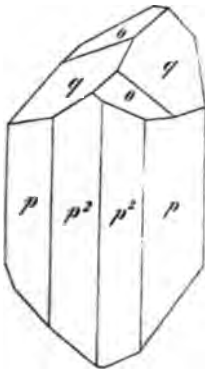
Zweigliedrig.  $a : b : c = 0,843 : 4 : 0,4005$  Pasteur. $o, p, p^2, q$ .

	Berechnet	Beobachtet
$o \left\{ \begin{array}{l} 2A = \\ 2B = \\ 2C = \end{array} \right.$	$440^\circ 28'$ 430 52 64 48	
$p : p =$	404 46	$404^\circ 6'$
$p^2 : p^2 =$	435 44	435 44
$p =$	463 4	462 36
$q : q =$		*436 24
$p =$	403 34	
$p^2 =$	98 3	
$o : p =$	422 24	422 0
$q =$		*455 26

Das Oktaeder erscheint häufig als rechtes oder linkes Tetraeder. — Fig. 443 und 444. — Auch das dritte Paar  $r$  kommt vor. Doch krystallisiert das Tartramid aus Wasser fast nie hemiedrisch, bei Gegenwart von

Fig. 443.

Fig. 444.



etwas Ammoniak zeigt aber das aus Rechtsweinsäure das rechte, das aus Linksweinsäure das linke  $o$ . Die  $p$  und  $p^2$  sind vertical gestreift. — Ann. Ch. Phys. (3) 38, 452.

II. Para.

Zwei- und eingliedrig.  $a : b : c = 0,9477 : 4 : 1,4468$  Pasteur. $o = 84^\circ 43'$ .

$p, q, q^2, c$ .	Berechnet	Beobachtet
$p : p =$		$93^\circ 22'$
$c =$		*94 12
$q : q =$	$92^\circ 28'$	
$c =$		*434 14
$q^2 : q^2 =$	50 56	
$c =$	415 28	443 36
$q =$	464 44	462 22

Prismen  $p$ . — Ann. Ch. Phys. (3) 38, 484.

**Tartraminsäure.  $C^4H^7NO^5$ .**Zweigliedrig.  $a : b : c = 0,7323 : 4 : 0,7279$  Pasteur. $o^2, p, q, r^2, b$ .

Fig. 115.

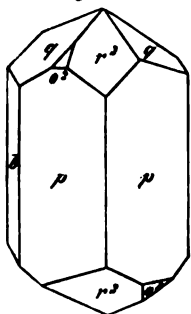
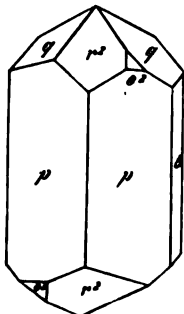


Fig. 116.



	Berechnet	Beobachtet
$o^2$ $\left\{ \begin{array}{l} 2A = 113^\circ 38' \\ 2B = 83 \quad 14 \\ 2C = 135 \quad 50 \end{array} \right.$		
$p : p =$		$\sim 107^\circ 34'$
$q : q =$		$\sim 107 \quad 54$
$r^2 : r^2 =$	53 24	53 23
$p : q =$	110 21	
$o^2 : p =$	157 55	157 36
$r^2 =$	146 49	148 11
Das Tetraeder hat Kantenwinkel		
an $a =$	$96^\circ 46'$	
$b =$	66 22	
$c =$	44 10	

Diese dem viergliedrigen System nahekommenden Krystalle sind nach Pasteur vielleicht zwei- und eingliedrig.

Die Flächen  $o^2$  treten als linkes oder rechtes Tetraeder auf, je nachdem die Säure aus Links- oder Rechtsweinsäure stammt. — Fig. 115, 116. — Pasteur: Ann. Chim. Phys. (3) 38, 454.

**Taurin.  $C^2H^7NSO^3$ .**Zwei- und eingliedrig.  $a : b : c = 0,6827 : 4 : 0,4539$  Kopp. $\alpha = 86^\circ 22'$ . $o, o', p, q, 2r, 2r', b, c$ .

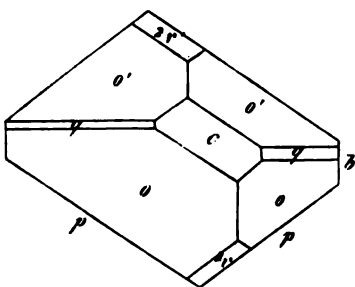
Berechnet

Beobachtet

Kopp Rammelsbg.

$o : o =$	$139^\circ 44'$		$139^\circ 42'$
$o' : o' =$		$\sim 137^\circ 30'$	136 36
$o : o' =$	117 38		117 53
$o : o' =$	77 38		77 57
$p : p =$		$\sim 111 \quad 28$	111 30
$c =$		$\sim 93 \quad 0$	
$q : q =$	131 16		
$c : 2r =$	129 15		
$2r' =$	124 36		
$o : b =$	110 8		109 42
$c =$	142 22		142 18
$p =$	130 38		130 36
$o' : b =$	111 15		
$c =$	140 0		
$p =$	127 0		127 21
$q =$	147 56		

Fig. 117.



Prismatisch nach  $p$ . Ich beobachtete vollständige jedoch unsymmetrische Combinationen, an denen die  $q$  und  $2r$  sehr untergeordnet waren, das rechte  $q$  auch wohl fehlte. — Fig. 117. — Kopp: Kryst. 329.

**Tellurmethyljodid.**  $\text{CH}_3\text{TeJ}_2$ .

Zwei- und eingliedrig.  $a : b : c = 0,7852 : 1 : 0,8505$  Keferstein.  
 $o = 79^\circ 7'$ .

$o, a, b, c.$  —  $m = a : \frac{1}{2}b : c.$   
 $m' = a' : \frac{1}{2}b : c.$

	Berechnet	Beobachtet
$m : m =$	$87^\circ 46'$	$87^\circ 24'$
$m' : m' =$	$77 \quad 4$	
$m : m' =$	$122 \quad 1$	
$m : m' =$	$126 \quad 43$	
$m : a =$		$123 \quad 16$
$b =$		$136 \quad 7$
$c =$	$121 \quad 20$	
$m' : a =$	$114 \quad 43$	
$b =$	$144 \quad 28$	
$c =$	$111 \quad 57$	
$a : c =$		$100 \quad 53$
$o : o =$	$125 \quad 6$	$123 \quad 50$
$a =$	$134 \quad 36$	$134 \quad 11$
$b =$	$117 \quad 27$	
$c =$	$131 \quad 42$	
$m =$	$161 \quad 20$	$162 \quad 4$

Tafelartig nach  $b$ ;  $m'$  sehr klein.

Diamantglanz; Farbe roth, Pulver orange. — Pogg. Ann. 99, 283.

**Terpentinöl.**  $\text{C}^{10}\text{H}^{16}$ .

Aus der Gruppe der Terpene ist hier das wichtigste Glied hervorgehoben und sind nur die in neuerer Zeit (seit 1848 etwa) gemachten Bestimmungen seiner physikalischen Constanten zusammengestellt.

Zusammendruckbarkeit. Dieselbe ist für 1 Atm. bei  $42^\circ,6 = 0,0000657$  (Colladon und Sturm hatten bei  $0^\circ 0,0000743$  gefunden). — Aimé: Ann. Ch. Phys. (3) 8, 257 (Pogg. A. Ergbd. 2, 228).

Ausdehnung. Sie wurde bestimmt von Frankenheim von  $44$  bis  $145^\circ$ ; von Kopp von  $-9^\circ,3$  bis  $105^\circ,6$ ; von Hirn von  $48^\circ$  bis  $139^\circ,6$ . Das V. G. war nach Frankenheim  $0,8902$  bei  $0^\circ$ , nach Kopp  $0,884$  bei  $0^\circ$ . Letzterer gab die Formel

$$V = 1 + 0,0009003 t + 0,0000049595 t^2 - 0,0000000044998 t^3.$$

Frankenheim: Pogg. A. 72, 422. — Kopp: Ann. Ch. Ph. 93, 157. — Hirn: Ann. Ch. Phys. (4) 10, 32. 90.

Synaphie und Prosaphie. Frankenheim: Pogg. A. 72, 477.

Volumgewicht.

$0,884$  bei  $0^\circ$  Kopp. Gewöhnliches Terpentinöl.

$0,890$  —  $0$  Frankenheim. Destillirtes.

$0,867$  —  $44$  Brix. Gewöhnliches.

$0,864$  —  $46$  Berthelot. Französisches (*Pinus maritima*).

$0,8695$  —  $46$  Pape. Ebensolches.

0,8629 bei 46° Landolt. Linksdrehend. Französisches.  
 0,8865 - 45 Berthelot. Englisches (*Pinus australis*).  
 0,8727 - 45 Gladstone. Englisches.  
 0,9408 - 45 Landolt. Rechtsdrehend. Amerikanisches.

Aenderung durch die Wärme Frankenheim: Pogg. A. 72, 177.

Specif. Wärme. Nach Regnault steigt sie rasch mit der Temperatur. Er fand im Mittel

0,42593 zwischen 45 und 20°  
 0,4672 - 45 - 100

Ann. Ch. Phys. 73, 5. (3) 9, 322. Rélat. 262 (Pogg. A. 54, 44. 62, 50).

Person bestimmte sie zu 0,446 bei 2° (rectif. Terpentinöl). — Ann. Ch. Phys. (3) 24, 295 (Pogg. A. 74, 422).

Favre und Silbermann geben 0,46727 an. Pape fand für destillirtes T. 0,4087, für französisches 0,440 und 0,4393. — Pogg. A. 420, 366. 426, 423.

Hirn erhielt 0,46842 bei 40°  
 0,61258 - 160

Ann. Ch. Phys. (4) 40, 63. 94.

Wärmeleitung. Guthrie: Phil. Mag. (4) 33, 283. 37, 468.

Siedepunkt. Von neueren Beobachtungen sind anzuführen: 156° Frankenheim, Favre und Silbermann; 159°,2 Brix; 159°,45 bei 760 mm Regnault; 160—162° Landolt (französisches T.).

Latente Dampfwärme. 62,25 Brix; 68,7 Person, Frankenheim. Nach Regnault verändert sich Terpentinöl beim Sieden unter einem Druck von mehr als 4,5 Atm. und wird weniger flüchtig. Die totale Verdampfungswärme fand er = 439,15. — Relation 764.

Gas-Volumgewicht. 72,4 Gay-Lussac; 68,8 Dumas. Berechnet = 68.

Specif. Wärme des Dampfes

für gleiche Gewichte 0,5064  
 - - Volume 2,3776 Regnault.

Spannkraft des Dampfes.

0°	2,4 mm	120°	257,0 mm
20	4,3 -	140	462,3 -
40	11,2 -	160	777,2 -
60	26,9 -	180	1225,0 -
80	61,2 -	200	1865,6 -
100	134,9 -	220	2690,3 - Regnault.

Brechungsverhältnisse. Die Brechungsexponenten sind nach

	für	A	B	D	E	H
Gladstone	(43°)	1,4672		1,4732		1,4938 (V.G. 0,8727)
Croullebois	(40,5)		1,4703		1,4794	1,4844

Ältere Angaben von Deville: C. r. 44, 865 (Pogg. A. 51, 433. —  
 Delbfs: Vierteljahrsschr. f. pr. Pharm. 5, 4.

**Drehungsvermögen.** Bekanntlich ist manches Terpentinöl linksdrehend (französisches, venetianisches, Templinöl von *Pinus Picea*), anderes rechtsdrehend (deutsches oder russisches, englisches, amerikanisches). Schon Biot versuchte, auch den Dampf in dieser Beziehung zu prüfen; dies gelang jedoch erst Gernez, welcher fand, dass sich das Drehungsvermögen auch im Dampf erhält.

Landolt bestimmte das Drehungsvermögen von Rechts- und Links-Terpentinöl für sich und in Lösungen in Alkohol, Benzol, Essigsäure. Im ersten Falle ergab sich  $[\alpha]_D$

für rechtsdrehendes amerikanisches Terpentinöl =  $37^{\circ},0$

- linksdrehendes französisches - =  $44,44$

Ann. Ch. Ph. 189, 244 und Landolt: Das optische Drehungsvermögen. Braunschweig 1879. — Vgl. Lubold: J. f. pr. Ch. 79, 352. — Berthelot: Ann. Ch. Phys. (3) 40, 5. — Atterberg: Ber. d. ch. G. 1877, 1203. Flawitzky: Eb. 1878, 1846. 1882, 5. 15. — Kannonikow: Eb. 1884, 1697. — G. Wiedemann: Pogg. A. 82, 215. — Mahla: Am. J. Sc. (2) 32, 107. — Jellet: Jahresb. 1867, 104.

Drehung der Polarisationssebene durch den galvanischen Strom. G. Wiedemann: Pogg. A. 82, 215. — De la Rive: Arch. sc. ph. nat. 38, 209.

Drehvermögen des Terpentinöls, auf die Wärmestrahlen ausgeübt. De la Provostaye und Desains: Ann. Ch. Phys. 30, 267 (Pogg. A. 82, 114).

### Terpin. $C^{10}H^{20}O^2 + 2aq.$

Zweigliedrig.  $a : b : c = 0,8042 : 1 : 0,4747$  Rammelsberg.

$o, p, q, a, b.$

	Berechnet	Beobachtet			
		Rammelsberg	Grailich	Sénarmont	Arzruni
$o \left\{ \begin{array}{l} 2A = 135^{\circ} 43' \\ 2B = 124 \quad 7 \\ 2C = 73 \quad 56 \end{array} \right.$			$135^{\circ} 19'$ $123 \quad 38$	$135^{\circ} 30'$	$135^{\circ} 21',5$ $123 \quad 51,5$ $74 \quad 21,5$
$p : p =$		$*102^{\circ} 23'$	$102 \quad 11$	$102 \quad 33$	$102 \quad 11$
$b = 128 \quad 48,5$			$128 \quad 59$	$128 \quad 42$	
$q : q = 129 \quad 29$					
$p = 105 \quad 30$			$105 \quad 22$		
$o : p =$		$*126 \quad 58$	$127 \quad 26$	$126 \quad 31$	$127 \quad 10$
$q = 152 \quad 3,5$			$151 \quad 53$		$151 \quad 58,5$

Prismatisch und unvollkommen spaltbar nach  $p$ .

Ebene der optischen Axen =  $ac$ , Mittellinie =  $a$ : positiv:  $2E = 443^{\circ} 40'$ ;  $\rho > v$ .

Arzruni fand

$\alpha$	$\beta$	$\gamma$	
1,5024	1,5093	1,5211	Roth
1,5049	1,5124	1,5243	Gelb
1,5073	1,5148	1,5272	Grün.



Ferner	$2H_a$	$2H_o$	wonach $2V$
	$80^\circ 20'$	$106^\circ 39'$ Roth	$77^\circ 36'$
	$80^\circ 42,5$	$106^\circ 53$ Gelb	$77^\circ 27$
	$80^\circ 5$	$107^\circ 8$ Grün	$77^\circ 18$

Arzruni (dessen Messungen  $a : b : c = 0,8072 : 1 : 0,4764$  geben)  
Pogg. A. 452, 282. — Maskelyne s. Nitrosoterpin. — Grailich  
Kryst.-opt. Unters. 436. — List: Ann. Ch. Ph. 67, 362. — Rammels-  
berg: Pogg. A. 63, 570. — Sénarmont: Privatmittheilung.

#### Tetracetylchinasäureäther. $C^{17}H^{24}O^{10}$ .

Zweiglig.  $a : b : c = 0,533 : 4 : 0,4136$  Hillebrand.

$o, p, 2p, q, r.$	Berechnet	Beobachtet
$p : p =$	$124^\circ 3'$	$124^\circ 6'$
$2p : 2p =$	$86^\circ 33'$	$86^\circ 35'$
$q : q =$		$132^\circ 9'$
$r : r =$		$100^\circ 45'$
$p : q =$	$100^\circ 58'$	$104^\circ 6'$
$r =$	$124^\circ 29'$	$124^\circ 21'$
$q : r =$	$134^\circ 33'$	$134^\circ 33'$
$o : p =$	$133^\circ 24'$	$133^\circ 23'$
$q =$	$142^\circ 38'$	$142^\circ 39'$
$r =$	$161^\circ 42'$	$161^\circ 32'$

$o$  erscheint als rechtes Tetraeder.

Spaltbar sehr unvollkommen nach  $c$  und  $2p$ . Die Horizontalzone nach der Zonenaxe gestreift.

Ebene der optischen Axen  $= bc$ , Mittellinie  $= c$ ; negativ. Für Gelb  
 $2H_a = 82^\circ 41'$ ,  $2H_o = 103^\circ 57'$ ;  $2V = 79^\circ 58'$ .

	$\alpha$	$\beta^*)$	$\gamma$
Roth	1,4869	1,4967	1,5111
Gelb	1,4897	1,4995	1,5138
Grün	1,4931	1,5029	1,5172

Groth Ztschr. 4, 303.

#### Tetrachlorbenzol. $C^6H^2Cl^4$ .

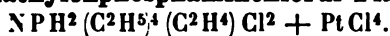
Zwei- und eingliedrig.  $a : b : c = 0,904 : 4 : 0,365$  Bodewig.  
 $o = 80^\circ 34'$ .

$p, q, r.$	Berechnet	Beobachtet
		Bodewig Des Cloizeaux
$p : p =$		$96^\circ 32'$ $96^\circ 49'$
$q : q =$	$140^\circ 46'$	$140^\circ 3'$
$p : q =$	$109^\circ 52'$	$109^\circ 59'$
$r =$		$111^\circ 49'$
$q : r =$		$151^\circ 48'$

Prismatisch nach  $p$ . Stets Zwillinge nach  $p$ . Vollkommen spaltbar nach  $p$ . — Groth Ztschr. 3, 381.

Schmelzpunkt  $138^\circ$ .

\* Berechnet.

**Teträthyläthylenphosphaminchlorür-Platinchlorid.**Zwei- und eingliedrig.  $a : b : c = 0,9987 : 4 : 0,9932$  Sella.

$$o = 86^\circ 52'.$$

$p, q, a, c.$	Berechnet	Beobachtet
$p : p =$		$90^\circ 40'$
$a =$	$135^\circ 5'$	$134 \ 52$
$c =$	$92 \ 13$	
$q : q =$		$90 \ 29$
$c =$	$135 \ 14$	$135 \ 13$
$a =$	$92 \ 13$	$92 \ 22$
$p =$	$121 \ 39$	$121 \ 55$
$a : c =$		$93 \ 8$

Die  $p$  finden sich nur an der rechten, die  $q$  nur an der linken Seite, oder umgekehrt, letzteres jedoch nur einmal beobachtet.

Die Flächen sind glänzend, aber gekrümmt; die Messungen entscheiden daher nicht, ob  $p$  und  $q$  rechtwinklig sind. — S. Triäthylverbindungen.

**Teträthylammonium-Goldchlorid.**  $\text{N}(\text{C}^2\text{H}_5)^4\text{Cl} + \text{AuCl}^3.$ Zwei und eingliedrig.  $a : b : c = 4,4498 : 4 : 4,3024$  Topsöe.

$$o = 87^\circ 58'.$$

$o, o', p, r, r', a, b, c.$	Berechnet	Beobachtet
$o : o =$	$99^\circ 29',5$	$99^\circ 31'$
$o' : o' =$	$97 \ 30$	
$p : p =$		$82 \ 4$
$a =$	$131 \ 2$	$131 \ 1$
$b =$	$138 \ 58$	$139 \ 1$
$c =$		$91 \ 20$
$a : c =$	$92 \ 2$	$92 \ 2$
$c : r =$	$132 \ 35$	$132 \ 36$
$r' =$	$130 \ 17$	$130 \ 17$
$o : b =$	$130 \ 15$	$130 \ 18$
$p =$		$150 \ 15$
$o' : a =$	$123 \ 46,5$	$123 \ 30$
$p =$	$149 \ 55$	$149 \ 36$

Prismatisch nach  $p$  und tafelartig nach  $c$ ; die  $r$  sind sehr selten. Spaltbar nach  $c$ . — Kryst.-kem. Unters. over homologe Forbindelser. Overs. over d. K. D. Vid. Selsk. Forh. 1882.

**Teträthylammonium-Kupferchlorid.**  $2\text{N}(\text{C}^2\text{H}_5)^4\text{Cl} + \text{CuCl}^2.$ Viergliedrig.  $a : c = 1 : 0,8865$  Topsöe.

$o, d, p, a, c.$	Berechnet	Beobachtet
$o \left\{ \begin{array}{l} 2A = \\ 2C = \end{array} \right.$	$\left\{ \begin{array}{l} 142^\circ 53' \\ 102 \ 54 \end{array} \right.$	$\left\{ \begin{array}{l} 142^\circ 57' \\ 102 \ 59 \end{array} \right.$
$d \left\{ \begin{array}{l} 2A = \\ 2C = \end{array} \right.$	$\left\{ \begin{array}{l} 124 \ 3 \\ 83 \ 7 \end{array} \right.$	

452 Teträthylammonium-Platinchlorid — Teträthylammonium-Quecksilberchlorid.

	Berechnet	Beobachtet
$o : d =$	$116^{\circ} 25',5$	$116^{\circ} 22'$
$c =$		$128 \quad 36$
$d : c =$	$138 \quad 26,5$	$138 \quad 18$

Braungelbe nach  $c$  tafelartige Krystalle, an denen  $d$  seltener ist. Spaltbar nach  $c$ .

Optisch einaxig, negativ. — A. a. O.

**Teträthylammonium-Platinchlorid.**  $2N(C^2H^5)_4Cl + PtCl_4$ .

Zwei- und eingliedrig.  $a : b : c = 0,9875 : 1 : 0,9348$  Topsöe.  
 $o = 89^{\circ} 14'$ .

$o, o', a, b, c.$	Berechnet	Beobachtet
$o : o =$	$112^{\circ} 4'$	$111^{\circ} 56'$
$o' : o' =$	$111^{\circ} 18$	$111 \quad 17$
$o : o' =$	$110 \quad 41$	$110 \quad 47$
$o : o' =$	$106 \quad 8$	$106 \quad 13$
$o : a =$	$125 \quad 3$	$125 \quad 6$
$b =$	$123 \quad 59,5$	$123 \quad 55$
$c =$		$127 \quad 17$
$o' : a =$	$124 \quad 16$	$124 \quad 21$
$b =$		$124 \quad 21$
$c =$		$126 \quad 35$
$a : c =$	$90 \quad 46$	$90 \quad 37$

Die Krystalle haben das Ansehen regulärer Oktaeder mit Würfelflächen. Wegen Schwerlöslichkeit sind sie sehr klein, aber glänzend, und besitzen Doppelbrechung.

Wurde von Müller für regulär, von Schabus für viergliedrig gehalten. — Müller: Ann. Ch. Ph. 93, 273. — Schabus: Wien. Ak. Ber. 1855.

**Teträthylammonium-Quecksilberchlorid.**

I.  $2N(C^2H^5)_4Cl + HgCl_2$ .

Viergliedrig.  $a : c = 1 : 1,219$  Topsöe.

$o, c.$	Berechnet	Beobachtet
$o \begin{cases} 2A = \\ 2C = \end{cases}$	$\begin{cases} 104^{\circ} 35' \\ 119 \quad 46 \end{cases}$	$\begin{cases} 104^{\circ} 36',5 \\ 119 \quad 49 \end{cases}$
$o : c =$		$120 \quad 7$

Tafelartig nach  $c$ , der Spaltungsfläche.

Optisch einaxig, positiv.

II.  $N(C^2H^5)_4Cl + HgCl_2$ .

Eingliedrig.  $a : b : c = 0,6256 : 1 : 0,4946$  Topsöe.

$A =$	$91^{\circ} 46',5$	$\alpha = 91^{\circ} 43'$
$B =$	$93 \quad 21$	$\beta = 93 \quad 27,5$
$C =$	$94 \quad 1$	$\gamma = 90 \quad 54,5$

$o, o', p, p', \frac{q'}{2}, a, b, c.$

	Berechnet	Beobachtet
$p : p' =$	$124^{\circ} 9',5$	$124^{\circ} 15'$
$b =$		$118 43$
$c =$	$93 56$	$94 1$
$p' : a =$	$151 51$	$151 40$
$b =$		$117 8,5$
$c =$	$92 23,5$	$92 15$
$b : c =$	$91 46,5$	$91 27$
$\frac{q'}{2} : c =$	$139 46,5$	$139 34$
$b =$		$128 56$
$o : o' =$	$144 34$	$144 53$
$b =$	$109 30$	$109 8$
$o' : b =$		$105 56$
$c =$	$139 30,5$	$139 48$
$p' =$		$132 53$

Prismatisch nach den  $p$  und tafelartig nach  $b$ ; die Flächen  $o$  und  $c$  fehlen öfter. Häufig Zwillinge; Zwillingsaxe eine Normale auf  $b$ .

### III. $N(C^2H^5)_4Cl + 2HgCl^2$ .

Eingliedrig.  $a : b : c = 1,3265 : 1 : 1,3227$  Topsöe.

$A =$	$92^{\circ} 29',5$	$\alpha =$	$83^{\circ} 29'$
$B =$	$108 56,5$	$\beta =$	$109 50$
$C =$	$145 36$	$\gamma =$	$146 15$

$o', o'', \frac{o''}{2}, p, p', q, q', r', \frac{r'}{2}, a, b, c.$

	Berechnet	Beobachtet
$a : b =$	$115^{\circ} 36'$	$115^{\circ} 37'$
$p' =$		$114 59,5$
$b : p =$	$151 53$	$152 5$
$p' =$		$132 24,5$
$c : p' =$	$102 46$	
$b : c =$		$92 29,5$
$q =$	$145 3$	$145 6$
$c : q =$	$127 26,5$	$127 25$
$q' =$	$124 2$	$124 10$
$a : c =$		$108 56,5$
$r' =$	$129 31$	$129 31$
$r' : \frac{r'}{2} =$	$154 4$	$154 0$
$c =$		$121 32,5$
$b =$	$110 43,5$	$110 43$
$p' =$	$99 2$	$99 2$
$q =$	$91 4$	$91 5$
$o' : c =$	$134 36,5$	$134 36$
$p' =$	$148 9,5$	$148 9$
$o'' : c =$	$118 4$	$118 10$
$\frac{o''}{2} : c =$	$142 17$	$142 18$
$p' =$	$114 57$	$114 51$

Prismatisch nach der Horizontalzone, in welcher  $a$  und  $b$  überwiegen. während in der Endigung  $c$  und  $r'$  vorherrschen. Die Flächen sind glänzend; die Spaltbarkeit entspricht  $b$ .

IV.  $N(C^2H^5)_4Cl + 3HgCl^2$ .

Zwei- und eingliedrig.  $a : b : c = 2,52 : 1 : 3,2277$  Topsöe.  
 $o = 88^\circ 38'$ .

$o, \frac{o}{2}, \frac{o}{3}, p, r, r', a, c.$

	Berechnet	Beobachtet
$p : p =$	$43^\circ 48'$	$43^\circ 21'$
$a =$	$111 \ 39$	$111 \ 36$
$c =$	$90 \ 30$	$90 \ 34$
$a : c =$		$94 \ 22$
$r' =$	$144 \ 30$	$144 \ 28$
$c : r =$	$128 \ 50$	$128 \ 57$
$r' =$	$127 \ 8$	$127 \ 0$
$o : a =$		$111 \ 7$
$c =$		$106 \ 32$
$r =$	$117 \ 0$	$116 \ 56$
$o =$	$53 \ 59$	$53 \ 50$
$p =$	$163 \ 58$	$163 \ 58$
$c : \frac{o}{2} =$	$120 \ 27$	$120 \ 30$
$\frac{o}{3} =$	$134 \ 25$	$134 \ 43$

Die Krystalle sind theils prismatisch nach  $p$ , tafelartig nach  $a$ , während  $c, r', o$  in der Endigung herrschen, theils nach der Verticalzone, und dann nadelförmig, oft ohne Endflächen. Spaltbar nach  $a$  und  $c$ .

V.  $N(C^2H^5)_4Cl + 5HgCl^2$ .

Sechsgliedrig.  $a : c = 1 : 1,0542$  Topsöe.

$r, \frac{r'}{2}, a, c.$

	Berechnet	Beobachtet
$r (2A) =$		$96^\circ 6'$
$\frac{r'}{2} (2A) =$	$126^\circ 36'$	
$c : r =$	$129 \ 29$	$129 \ 28$
$\frac{r'}{2} =$	$148 \ 44$	$148 \ 52$
(Endk.) $r : \frac{r'}{2} =$	$138 \ 3$	$138 \ 5$

Herrschend das Hauptrhomboeder, von dem eine Fläche sich öfters sehr ausdehnt;  $a$  sehr sohnal; spaltbar nach  $r$ .

Teträthylammoniumtrijodid.  $N(C^2H^5)_4J^3$ .

Viergliedrig.  $a : c = 1 : 0.674$  Haidinger.

$o, d^2, p, a, c.$

	Berechnet	Beobachtet
$o \begin{cases} 2A = 121^\circ 44' \\ 2C = \end{cases}$		$121^\circ 46'$ $*86 \ 59$
$d^2 \begin{cases} 2A = 110 \ 54 \\ 2C = 106 \ 38 \end{cases}$		
$o : c = 136 \ 30$		
$p = 133 \ 30$		
$d^2 : c = 126 \ 41$		
$a = 143 \ 19$		

Die  $a$  und  $d^2$  sind untergeordnet; meist sind die Krystalle tafelartig nach  $c$  oder auch wohl nach einem  $p$ . — Ann. Ch. Ph. 94, 34.

**Teträthylphosphonium-Platinchlorid.**  $2P(C^2H^5)_4Cl + PtCl_4$ .

Regulär. Oktaeder mit Würfelflächen. Sella.

**Teträthylphosphonjodid.**  $P(C^2H^5)_4J$ .

Sechsgliedrig.  $a : c = 1 : 1,4722$  Sella.

$r, \frac{r'}{2}, a.$	$d = a : \frac{1}{2}a : a : \frac{1}{2}c$	
	$\frac{d}{2} = a : \frac{1}{2}a : a : \frac{1}{2}c$	
	Berechnet	Beobachtet
$r(2A) =$	$83^\circ 26'$	$83^\circ 29'$
$\frac{r'}{2}(2A) =$	$111 \ 46$	$111 \ 57$
$d \begin{cases} 2A = 127 \ 6 \\ 2C = 125 \ 58 \end{cases}$		$127 \ 8$ $126 \ 4$
$\frac{d}{2} \begin{cases} 2A = 139 \ 0 \\ 2C = 88 \ 56 \end{cases}$		
$c : r =$		$*120 \ 28$
$\frac{r'}{2} = 139 \ 38$		$139 \ 38$
$d = 117 \ 4$		$116 \ 58$
$\frac{d}{2} = 135 \ 32$		
$a : d = 152 \ 59$		$153 \ 2$
$\frac{d}{2} = 134 \ 28$		$134 \ 30$
$\frac{r'}{2} = 124 \ 7$		$124 \ 2$
$d : \frac{d}{2} = 161 \ 29$		$161 \ 26$
$r = 153 \ 33$		$153 \ 34$
$r : \frac{r'}{2} = 131 \ 43$		$131 \ 45$
$\frac{d}{2} = 152 \ 43$		$152 \ 42$
$\frac{r'}{2} : \frac{d}{2} = 159 \ 30$		$159 \ 33$

Fig. 118. 119. 120.

Die Krystalle zeigen je nach ihrer Darstellung einen verschiedenen Habitus.

Die aus Triäthylphosphin und Jodäthyl sind symmetrisch gebildet.

Fig. 418.

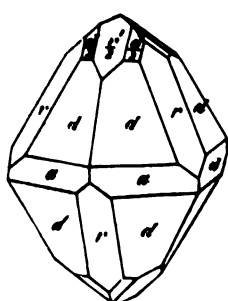


Fig. 419.

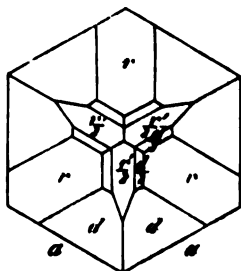
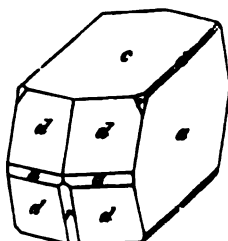


Fig. 420.



Die aus Phosphoniumdihydrat sind unsymmetrisch durch Vorherrschen eines  $a$ .

Optisch einaxig, positiv. — S. Hexäthylenverbindungen.

### Tetramethylammoniumjodid. $N(CH_3)_4J$ .

Viergliedrig.  $a : c = 1 : 0,722$  Schabus.

$a, a$ .

	Berechnet	Beobachtet
$a \begin{cases} 2A = \\ 2C = \end{cases}$		$119^\circ 18'$
	$94^\circ 14'$	$94 \quad 12$
$a : a =$	$120 \quad 21$	$120 \quad 20$

Prismatisch nach  $a$ . — Ann. Ch. Pharm. 99, 20.

Volumgewicht. 4,838—4,844 Schröder; 4,827—4,831 Owens

### Tetramethylammoniumjodochlorid. $N(CH_3)_4JCl^2$ .

Viergliedrig.  $a : c = 1 : 0,6634$  Schabus.

$a, c$ .

	Berechnet	Beobachtet
$a \begin{cases} 2A = \\ 2C = \end{cases}$	$122^\circ 8'$	
	$86 \quad 20$	
$a : c =$		$136^\circ 50'$

Tafelartig nach  $c$ .

Gelbe, geruchlose, selten gut ausgebildete Krystalle. — Ann. Chem Pharm. 99, 14.

### Tetramethylammoniumtrijodid. $N(CH_3)_4J_3$ .

Zweiglig.  $a : b : c = 0,5918 : 1 : 0,7108$  Schabus.

$p, q, \frac{a}{2}, a, b$ .

	Berechnet	Beobachtet
$p : p =$	$118^\circ 44'$	$119^\circ 0'$
$a =$		$149 \quad 22$
$q : q =$		$109 \quad 4$
$b =$	$125 \quad 28$	$125 \quad 40$

Berechnet	Beobachtet
$\frac{q}{2} : \frac{q}{2} = 140^{\circ} 52'$	$140^{\circ} 48'$
$p : q = 107 \ 12$	
$\frac{q}{2} = 99 \ 50$	

Prismatisch nach  $p$  und zuweilen tafelartig nach  $a$ .

Dunkelviolett. — Ann. Ch. Pharm. 99, 2.

#### Tetramethylammoniumpentajodid. $N(CH_3)_4 \cdot J_5$ .

Zwei- und eingliedrig.  $a : b : c = 0,9866 : 1 : 0,6553$  Schabus.  
 $\alpha = 72^{\circ} 20', 5$ .

$o, o', 2o', p, b, c$ .

	Berechnet	Beobachtet	
		Schabus	Rammelsberg
$o : o = 130^{\circ} 36'$			
$o' : o' = 117 \ 0$			
$o : o' = 122 \ 5$			
$o : o' = 84 \ 34$			
$p : p =$		$93^{\circ} 32'$	$94^{\circ} 0'$
$c =$		$102 \ 46$	$103 \ 40$
$o : c =$		$143 \ 30$	$143 \ 42$
$p = 139 \ 16$			$139 \ 30$
$o' : c = 134 \ 56$		$132 \ 0$	$131 \ 20$
$p = 125 \ 48$			$125 \ 10$
$2o' : 2o' = 96 \ 30$			
$c = 108 \ 33$		$108 \ 30$	

Niedrige Prismen  $p$ , öfter tafelartig nach  $c$ , während die Augitpaare sehr zurücktreten. — Schabus: Wien. Ak. Ber. 1855.

#### Tetramethylammonium-Goldchlorid. $N(CH_3)_4 Cl + Au Cl_3$ .

Viergliedrig.  $a : c = 1 : 0,8965$  Topsøe.

$o, p, a, c$ .	Berechnet	Beobachtet
$\left\{ \begin{array}{l} 2A \\ 2C \end{array} \right. = 112^{\circ} 33'$		$112^{\circ} 30'$
$\left\{ \begin{array}{l} 2A \\ 2C \end{array} \right. = 103 \ 24$		$103 \ 25$
$o : p = 141 \ 42$		
$c =$		$128 \ 48$
$a = 123 \ 43,5$		$123 \ 54$

Herrschend das Hauptoktaeder; das erste Prisma sehr untergeordnet. Oefter ist  $c$  am einen Ende stark entwickelt, so dass die  $o$  hier sehr schmal erscheinen. Spaltbar nach  $a$ . — S. Teträthylsalz.

#### Tetramethylammonium-Kupferchlorid. $2N(CH_3)_4 Cl + Cu Cl_2$ .

Zweigliedrig.  $a : b : c = 0,5969 : 1 : 0,7973$  Topsøe.

$o, p, q, q^2, a, b, c$ . —  $n = a : \frac{1}{2} b : c$ .



	Berechnet	Beobachtet
$\left. \begin{matrix} o \\ n \end{matrix} \right\} \begin{matrix} 2A = 128^{\circ} 55' \\ 2B = 87 \ 30 \\ 2C = 114 \ 32 \end{matrix}$		
$\left. \begin{matrix} n \\ p \end{matrix} \right\} \begin{matrix} 2A = 92 \ 36 \\ 2B = 109 \ 16 \\ 2C = 106 \ 20 \end{matrix}$		
$p : p = 118 \ 20$		118° 14'
$a = 149 \ 10$		149 \ 6
$b =$		*120 \ 50
$q : q = 102 \ 52$		
$b =$		*128 \ 34
$c = 144 \ 26$		144 \ 25
$q^2 : q^2 = 64 \ 12$		
$b = 147 \ 55$		147 \ 54
$c = 122 \ 6$		122 \ 8
$p : q = 108 \ 38$		108 \ 34
$q^2 = 115 \ 44$		115 \ 39
$o : a = 136 \ 15$		136 \ 2
$b = 115 \ 33$		115 \ 40
$c = 122 \ 44$		122 \ 38
$p = 147 \ 16$		147 \ 20
$q = 133 \ 45$		133 \ 46
$n : a = 125 \ 22$		125 \ 27
$b = 133 \ 42$		133 \ 40
$q^2 = 144 \ 38$		144 \ 38

Prismatisch nach der Horizontalzone.

**Tetramethylammonium-Platinchlorid.**  $2N(CH_3)_4Cl + PtCl_4$ .

Regulär. Oktaeder, oder Combination desselben mit dem Würfel.  
Spaltbar nach jenem.

Einfach brechend. — Luedcke. Topsöe.

**Tetramethylammonium-Platinbromid.**  $2N(CH_3)_4Br + PtBr_4$

Regulär. Oktaeder. Spaltbar nach demselben.

Einfach brechend. — Topsöe.

**Tetramethylammonium-Quecksilberchlorid.**

1.  $2N(CH_3)_4Cl + HgCl_2$ .

Zweigliedrig.  $a : b : c = 0,5766 : 1 : 0,7893$  Topsöe.

$o, p, q, q^2, a, b, c.$	Berechnet	Beobachtet
$\left. \begin{matrix} o \\ p \end{matrix} \right\} \begin{matrix} 2A = 130^{\circ} 4' \\ 2B = 85 \ 54 \\ 2C = 115 \ 20 \end{matrix}$		130° 2'
$p : p = 120 \ 4$		
$a = 150 \ 2$		149 \ 57
$b = 119 \ 58$		119 \ 59

	Berechnet	Beobachtet
$q : q =$	$103^{\circ} 26'$	$103^{\circ} 18'$
$b =$	128 17	128 17
$q^2 : q^2 =$	64 42	
$q =$	160 38	160 45
$p : q =$	108 2	108 12
$o : a =$	137 3	137 3
$b =$		*114 58
$p =$		*147 40
$q =$	132 57	133 6

Prismatisch nach der Horizontalzone. Sehr kleine, nicht sonderlich glänzende Krystalle.

## II. $N(CH_3)_4Cl + HgCl_2$ .

Zwei- und eingliedrig.  $a : b : c = 0,5657 : 1 : 0,4843$  Topsöe.  
 $o = 86^{\circ} 27'$ .

$o, o', p, q^2, a, b.$	Berechnet	Beobachtet
$o : o =$	$140^{\circ} 53'$	$140^{\circ} 51'$
$o' : o' =$	138 38	138 34
$o : o' =$	105 4	105 3
$o : o' =$	88 43	88 44
$p : p =$	121 6	121 6
$a =$	150 33	150 20
$b =$		*119 27
$q^2 : q^2 =$	92 17	
$b =$	133 51,5	
$o : a =$	129 29	129 35
$b =$	109 33,5	109 34
$p =$	135 59,5	135 57,5
$o' : a =$	125 27	125 30
$b =$		*110 44
$p =$		*132 44,5

Prismatisch nach der Horizontalzone und tafelförmig nach  $b$ . Vollkommen spaltbar nach  $b$ , weniger nach  $p$  und  $a$ .

Zwillinge nach  $a$ .

## III. $N(CH_3)_4Cl + 5HgCl_2$ .

Sechsgliedrig.  $a : c = 1 : 1,1002$  Topsöe.

$r, 2r', a, c.$	Berechnet	Beobachtet
(2A) $r =$	$94^{\circ} 8'$	$94^{\circ} 13'$
(2A) $2r' =$	72 36	
$c : r =$	128 12,5	128 10
$2r' =$	111 28	111 30
$a : r =$		*132 56
$2r' =$	143 42	143 43
(Endk.) $r : 2r' =$	126 18	126 16

Undurchsichtige oktaederähnliche Combinationen durch Vorherrschen von  $r$  und  $c$ . Spaltbar nach  $r$ .

**Tetramethylammonium, chromsaures.**  $[\text{N}(\text{CH}_3)_4]_2\text{CrO}_4$ .Zweigliedrig.  $a : b : c = 0,5994 : 1 : 1,2483$  Hiortdahl.

<i>o.</i>	Berechnet	Beobachtet
	$2A = 123^\circ 14'$	$123^\circ 19'$
	$2B =$	$*75 \quad 3$
	$2C =$	$*135 \quad 14$

Gelbe Krystalle. In der Form mit  $\text{Na}_2\text{SO}_4$  übereinstimmend.**Tetramethylammonium, dichromsaures.**  $[\text{N}(\text{CH}_3)_4]_2\text{Cr}_2\text{O}_7$ .Zweigliedrig.  $a : b : c = 0,6168 : 1 : 0,4986$  Hiortdahl. $o, p, {}^2p, b.$  —  $n = a : \frac{1}{2}b : c.$ 

	Berechnet	Beobachtet
$o \left\{ \right.$	$2A = 137^\circ 36'$	$137^\circ 38'$
	$2B = 108 \quad 14$	$108 \quad 29$
	$2C = 87 \quad 2$	$86 \quad 52$
$n \left\{ \right.$	$2A = 104 \quad 24$	
	$2B = 120 \quad 26$	
	$2C = 104 \quad 10$	
$p : p =$	$116 \quad 40$	$116 \quad 31$
$b =$		$*121 \quad 40$
${}^2p : {}^2p =$	$78 \quad 4$	
$b =$	$140 \quad 58$	$141 \quad 20$
$o : b =$		$*111 \quad 12$
$p =$	$133 \quad 31$	$133 \quad 21$
$n : b =$	$127 \quad 48$	$127 \quad 33$
${}^2p =$	$142 \quad 5$	
$o =$	$163 \quad 24$	$163 \quad 20$

Prismatisch nach der Horizontalzone und tafelartig nach  $b$ .

S. Methylamin-Zinnchlorid.

**Tetramethylantimonjodid** (Jodstibmethylum).  $\text{Sb}(\text{CH}_3)_4\text{J}$ .Sechsgliedrig.  $a : c = 1 : 1,422$  v. Rath.

$d, p, c.$	Berechnet	Beobachtet
$d \left\{ \right.$	$2A = 129^\circ 26'$	$129—130^\circ$
	$2C = 117 \quad 20$	
$d : p =$		$*148^\circ 40'$
$c =$	$121 \quad 20$	$121 \quad 17$

Niedrige Prismen mit sehr untergeordneten Dihexaedersflächen.

Pogg. A. 110, 115.

**Tetramethylammoniumjodid.**  $\text{N}(\text{CH}_3)_4\text{J}$ .Zwei- und eingliedrig.  $a : b : c = 0,8435 : 1 : 1,4412$  Lang. $o = 82^\circ 25'.$  $\frac{o'}{2}, p, q, r', a, c.$

	Berechnet	Beobachtet
$p : p =$		$^{\circ}97^{\circ} 56'$
$c =$		$^{\circ}97 42$
$q : q = 70^{\circ} 0'$		
$c = 125 0$		$125 42$
$\frac{o'}{2} : \frac{o'}{2} = 118 46$		$118 47$
$c = 129 30$		$129 6$
$p = 133 48$		$133 54$
$a : c = 97 35$		

Wien. Ak. Ber. 55, 442.

**Tetramylammonium, salpetersaures.**  $N(C^5H^{11})_4 \cdot NO_3$ .

Zweiglig.  $a : b : c = 0,4795 : 4 : 0,534$  Lang.

$q, r, b$ .

	Berechnet	Beobachtet
$q : q = 124^{\circ} 4'$		$123^{\circ} 54'$
$b =$		$^{\circ}117 58$
$r : r =$		$^{\circ}95 50$
$q : r = 126 48$		$126 0$

Tafelartig nach  $b$ . — Wien. Ak. Ber. 55, 448.

**Thein-Quecksilbercyanid.**  $C^8H^{10}N^4O^2 + HgCy^2$ .

Zweiglig.  $a : b : c = 0,4695 : 4 : 0,5602$  Schabus.

$n = a : 4b : c$ . —  $p, b$ .

	Berechnet	Beobachtet
$n \left\{ \begin{array}{l} 2A = 169^{\circ} 44' \\ 2B = 80 30 \\ 2C = \end{array} \right.$		$^{\circ}100^{\circ} 36'$
$p : p = 129 44$		$129 58$
$b =$		$^{\circ}115 8$
$n : b = 95 8$		$96 6$

Sehr kleine, oft unvollkommen ausgebildete Nadeln.

**Thialdin.**  $C^6H^{13}NS^2$ .

Zwei- und eingliedrig.  $a : b : c = 0,5337 : 4 : 0,943$  Rammels-  
erg.  $o = 68^{\circ} 52'$ .

$o', \frac{o'}{2}, p, q, a, b, c$ .

	Berechnet	Beobachtet
$o' : o' = 124^{\circ} 56'$		
$\frac{o'}{2} : \frac{o'}{2} = 135 48$		
$p : p = 127 4$		$127^{\circ} 10'$
$a =$		$^{\circ}153 32$
$b = 116 28$		$116 28$
$c =$		$^{\circ}108 50$
$q : q = 97 20$		
$c =$		$^{\circ}138 40$

	Berechnet	Beobachtet
$q : a =$	$105^{\circ} 43'$	
$a : c =$	$111 \quad 8$	$110^{\circ} 52'$
$o' : a =$	$137 \quad 39$	
$b =$	$117 \quad 32$	
$c =$	$101 \quad 0$	$100 \quad 30$
$p =$	$150 \quad 10$	$150 \quad 0$
$\frac{o'}{2} : a =$	$116 \quad 53$	
$b =$	$112 \quad 21$	
$c =$	$126 \quad 7$	$126 \quad 16$
$p =$	$125 \quad 3$	
$o' =$	$154 \quad 53$	$155 \quad 20$

Die Krystalle, aus einer Mischung von Alkohol und Aether erhalten sind prismatisch nach  $p$  oder nach  $q$ , in welchem Falle  $b$  und  $c$  vorherrschen. Die  $o$ -Flächen sind stets sehr schmal.

Die Flächen sind zwar glänzend, doch nicht sehr glatt.

**Thialdin, chlorwasserstoffsäures.**  $C^6H^{13}NS^2 \cdot HCl$ .

Zweigliedrig.  $a : b : c = 0,9827 : 1 : 0,6432$  Rammelsberg.

$p, q, a, b.$	Berechnet	Beobachtet
$p : p =$		$91^{\circ} 0'$
$b =$	$134^{\circ} 30'$	$134 \quad 30$
$q : q =$		$114 \quad 30$
$b =$	$122 \quad 45$	$122 \quad 47$
$p =$	$112 \quad 17$	

Prismatisch nach  $p$ , tafelartig nach  $a$ , welches matt und uneben ist. Zuweilen fehlt  $b$ .

**Thialdin, schwefelsäures.**  $C^6H^{13}NS^2 \cdot H^2SO^4$  \*).

Zweigliedrig.  $a : b : c = 0,8214 : 1 : 0,6494$  Rammelsberg.

$o, p, q, a, b.$	Berechnet	Beobachtet
$\left. \begin{array}{l} 2A \\ 2B \\ 2C \end{array} \right\} o$	$\left. \begin{array}{l} = 126^{\circ} 0' \\ = 112 \quad 51 \\ = 91 \quad 20 \end{array} \right\}$	$\left. \begin{array}{l} 126^{\circ} 0' \\ 112 \quad 50 \\ 91 \quad 0 \end{array} \right\}$
$p : p =$	$101 \quad 12$	$101 \quad 5$
$b =$		$129 \quad 24$
$q : q =$	$114 \quad 0$	$114 \quad 12$
$b =$		$123 \quad 0$
$p =$	$110 \quad 13$	
$o : a =$	$123 \quad 33$	
$b =$	$117 \quad 0$	$117 \quad 20$
$p =$	$135 \quad 40$	$135 \quad 40$
$q =$	$146 \quad 27$	$146 \quad 27$

\* Nach einer in meinem Laboratorium ausgeführten Analyse, welche 26,83 C, 6,79 H und 30,86 SO<sub>3</sub> gegeben hatte.

Prismatisch nach  $p$ , oft tafelartig nach  $b$ . Das Oktaeder ist untergeordnet.

Farblose durchsichtige an beiden Enden ausgebildete Krystalle, ohne deutliche Spaltbarkeit, deren Flächen etwas matt sind.

**Thioameisensäure-Benzyläther, Ortho-.  $C^{22}H^{22}S^3$ .**

Zweigliedrig.  $a : b : c = 0,9978 : 1 : 0,99$  Dennstedt.

$p, q, q^2, r, r^2, a, b, c.$	Berechnet	Beobachtet
$p : p =$	$90^\circ 8'$	
$q : q =$	$90 34$	
$r : r =$	$90 28$	
$p : a =$	$135 4$	$135^\circ 4'$
$b =$	$134 56$	$135 0$
$q : c =$	$135 17$	$135 17$
$b =$	$134 53$	
$r : c =$	$135 14$	$135 50$
$a =$	$134 46$	
$q^2 : q^2 =$	$53 36$	
$r^2 : r^2 =$	$53 0$	
$p : q =$	$119 48$	
$r =$	$119 54$	
$q : r =$	$120 18$	
$q : q^2 =$	$161 14$	$161 10$
$r : r^2 =$	$161 16$	$161 35$
$r^2 : a =$	$153 15$	$152 59$

Herrschend die drei Dodekaidflächenpaare  $p, q, r$ . Die  $q$  sind zu genauen Messungen ungeeignet.

Optisch zweiaxig, Ebene der optischen Axen  $bc$ ;  $2H = 90^\circ$  ungefähr. Schmelzpunkt  $98^\circ$ . — Ber. d. ch. G. 1873, 2265. 1880, 238.

**Thiodiglycolamid.  $C^4H^5N^2SO^4$ .**

Viergliedrig.  $a : c = 1 : 1,6987$  Arzruni.

$o, c.$	Berechnet	Beobachtet
$o \left\{ \begin{array}{l} 2A = \\ 2C = \end{array} \right.$	$98^\circ 30'$	$98^\circ 32'$
$o : c =$	$112 36$	$112 21$

Optisch negativ. — Groth Ztschr. 1, 447.

**Thiosinnamin.  $C^4H^6N^2S$ .**

Zwei- und eingliedrig.  $a : b : c = 1,1281 : 1 : 1,6851$  Schabus  
 $o = 84^\circ 48'$ .

$o, o', \frac{q}{2}, r, \frac{r}{2}, r', a, c.$

Berechnet	Schabus	Beobachtet Rammelsb.	Zepharovich
$o : o = 96^{\circ} 44'$		$96^{\circ} 48'$	$95^{\circ} 35'$
$o' : o' = 94 \ 26$			
$o : o' = 105 \ 13$			
$o : o' = 132 \ 4$			
$\frac{q}{2} : \frac{q}{2} = 100 \ 0$		$99 \ 52$	
$c =$	$*140^{\circ} \ 0'$	$139 \ 52$	
$a : c =$	$*95 \ 42$	$94 \ 13$	$95 \ 9$
$r = 147 \ 51$		$148 \ 12$	$147 \ 54$
$r' = 144 \ 38$		$144 \ 10$	$144 \ 46$
$\frac{r}{2} = 135 \ 8$			
$c : r = 127 \ 21$		$126 \ 55$	$127 \ 8$
$r' =$	$*120 \ 10$	$120 \ 22$	$120 \ 10$
$\frac{r}{2} = 140 \ 4$			$139 \ 42$
$o : a = 129 \ 4$			
$c = 116 \ 51$	$116 \ 53$		$116 \ 51$
$r = 138 \ 7$		$138 \ 8$	$137 \ 42$
$o' : a = 125 \ 43$			
$c = 121 \ 7$			$110 \ 27$
$r' = 134 \ 17$			

Die Krystalle sind prismatisch nach der Verticalzone und tafelartig nach  $c$ . In der Endigung der Prismen sind  $o$  und  $\frac{q}{2}$  herrschend.

Zwillinge: 1) nach  $r'$ , Aneinander- oder Durchwachsung: 2) nach  $r$ .

Bei ihnen ist	Berechnet	Beobachtet Zepharovich
1) $c : c = 119^{\circ} 40'$		$119^{\circ} 46'$
$r : r' = 135 \ 2,5$		$134 \ 50,5$
$a : a = 109 \ 16$		$108 \ 50$
$o : o = 146 \ 53$		$147 \ 27$
2) $c : c = 105 \ 48$		$104 \ 25$
$a : a = 115 \ 41,5$		$115 \ 42$
$o : o = 96 \ 14$		$95 \ 32$

Die letzteren haben keine einspringenden Winkel und gleichen deshalb einfachen zweigliedrigen Krystallen.

Spaltbar sehr vollkommen nach  $r'$  und  $c$ .

Ebene der optischen Axen ist  $ac$ . — Schabus: 167. — Zepharovich: Wien. Ak. Ber. 59 (1869).

#### Thiosinnamin-Jodäthyl. $C^6H^{13}N^2SJ$ .

Zwei- und eingliedrig.  $a : b : c = 0,9796 : 1 : 1,4775$  Zepharovich.  
 $o = 84^{\circ} 27'$ .

$o, o', q\frac{3}{4}, b, c.$	Berechnet	Beobachtet
$o : o =$	$104^{\circ} 12'$	
$o' : o' =$		$99^{\circ} 10'$
$o : o' =$	99 24	
$o : o' =$	129 47	129 30
$q\frac{3}{4} : q\frac{3}{4} =$	93 36	
$c =$	132 42	132 37
$o : b =$	127 54	
$c =$		118 36
$o' : b =$	130 25	130 22.5
$c =$		112 7

Die Krystalle sind prismatisch nach  $o'$ ; gewöhnlich sind es nur Combinationen von  $o'$  und  $c$ . Selten und untergeordnet treten  $b$  und  $o$  hinzu. Zwillinge nach  $c$ , an welchen die  $o'$  ein- und ausspringende Winkel von  $135^{\circ} 46'$  bilden.

Die Flächen sind meist corrodirt, bisweilen auch gekrümmt.

Vollkommen spaltbar nach  $c$ . — Zepharovich: a. a. O.

#### Thiosinamin, Phenyl-. $C^{10}H^{12}N^2S$ .

Zwei- und eingliedrig.  $a : b : c = 0,9703 : 1 : 1,3588$  Zepharovich.  
 $o = 87^{\circ} 42'$ .

$\frac{o'}{2}, p, a, b, c.$	Berechnet	Beobachtet
$p : p =$	$91^{\circ} 46'$	
$a =$		$135^{\circ} 53'$
$b =$	134 7	134 2.5
$c =$	91 39	91 36
$a : c =$		92 48
$\frac{o'}{2} : \frac{o'}{2} =$	120 55	
$a =$	118 39	118 34.5
$b =$	119 32.5	
$c =$		134 55
$p =$	133 26	133 38

Tafelartig nach  $c$ . Die Flächen  $\frac{o'}{2}$  und  $p$  sind nicht immer vollzählig vorhanden.

Spaltbar sehr vollkommen nach  $c$ , weniger nach  $a$ .

Ebene der optischen Axen ist  $ac$ . — Zepharovich: a. a. O.

#### Thiosinnaminjodochlorür. $C^4H^5N^2SJCl$ .

Zweigligliedrig.  $a : b : c = 0,5276 : 1 : 0,9584$  Zepharovich.

$q, q^2, r, r\frac{1}{4}, c.$	Berechnet	Beobachtet
$q : q =$	$92^{\circ} 27'$	
$c =$	136 13.5	137^{\circ} 0'
$q^2 : q^2 =$	38 20	38 26
$c =$		109 10



	Berechnet	Beobachtet
$r : r =$	$122^{\circ} 19'$	$122^{\circ} 32'$
$c =$	$118 \ 50,5$	$118 \ 35$
$r\frac{1}{2} : r\frac{1}{2} =$	$34 \ 56$	
$c =$		$107 \ 28$

Dünne Tafeln nach c.

Trübe und weiss, an den Rändern farblos und durchsichtig. Die zweiten und dritten Paare sind sehr schmal, die Messungen nur annähernd. — Zepharovich: a. a. O.

### Thiosinnamindijodür. $C^{11}H^8N^2SJ^2$ .

Eingliedrig.  $a : b : c = 0,6874 : 1 : 0,8652$  Zepharovich.

$A = 84^{\circ} 41',5$	$\alpha = 84^{\circ} 41'$
$B = 97 \ 32$	$\beta = 96 \ 24,5$
$C = 76 \ 17$	$\gamma = 76 \ 53$

$o'''$ ,  $\frac{3}{2}o'''$ ,  $\frac{7}{6}q$ ,  $r'$ ,  $\frac{3}{2}r'$ ,  $a$ ,  $c$ .

$e = \frac{3}{2}a' : b' : c$ .

$u = \frac{3}{2}a' : b' : c$ .

	Berechnet	Beobachtet
$\frac{7}{6}q : c =$		$140^{\circ} 14'$
$a =$		$87 \ 31,5$
$a : c =$		$97 \ 32$
$r' =$		$139 \ 26,5$
$\frac{3}{2}r' = 128^{\circ} 33'$		$128 \ 47$
$c : r' = 123 \ 1,5$		$123 \ 6$
$\frac{3}{2}r' = 133 \ 55$		$133 \ 58$
$o''' : a =$		$124 \ 57,5$
$c =$		$123 \ 45,5$
$\frac{3}{2}o' : a = 116 \ 33$		$116 \ 9$
$c = 135 \ 53$		$135 \ 16$
$u : a = 108 \ 56$		$109 \ 0$
$c = 133 \ 16,5$		
$e : a = 110 \ 56$		$111 \ 27$
$c = 132 \ 13,5$		

Meist prismatisch nach  $a$  und  $o'''$ , woran  $\frac{7}{6}q$ ,  $r'$  und  $c$  untergeordnet.

Zwillinge nach  $a$ , an welchen

$c : c = 164^{\circ} 56'$	$164^{\circ} 30'$
$\frac{7}{6}q : \frac{7}{6}q = 175 \ 3$	$173 \ 30$
$o''' : o''' = 110 \ 5$	$110 \ 48$

Stets fehlt die Parallele von  $o'''$ . An ihrer Stelle erscheinen  $\frac{3}{2}o'$  und  $u$  an der einspringenden Kante der rinnenförmigen Zwillinge, und wechseln treppenartig in schmalen Leisten ab. Uebrigens ist das Zeichen für  $u$  nicht sicher. Auch die Zeichen der  $\frac{7}{6}q$  und  $\frac{3}{2}r'$  trifft gleiche Unsicherheit.

Hellgelb, stark glänzend. — Vollkommen spaltbar nach  $a$ . — A. a. O.

### Thiosinnamindibromür. $C^{11}H^8N^2SBr^2$ .

Eingliedrig.  $a : b : c = 0,5095 : 1 : 0,6356$  Zepharovich.

$A = 96^{\circ} 41'$	$\alpha = 99^{\circ} 4'$
$B = 97 20$	$\beta = 99 32$
$C = 74 30,5$	$\gamma = 73 22$
$o''', {}^3p, {}^{12}p', \frac{1}{4}q', r', a, c.$	
$e = \frac{1}{2}a' : b : c.$	
$z = a' : \frac{1}{4}b' : \frac{1}{4}c.$	
$i = 12 a' : b : \frac{1}{3}c.$	Berechnet
$a : {}^3p = 111^{\circ} 33'$	Beobachtet
${}^{12}p' =$	$113^{\circ} 34'$
$c : {}^{12}p' =$	$114 8$
$\frac{1}{4}q' : c = 158 20$	$95 11$
$a = 102 54,5$	$103 3$
$a : c =$	$97 20$
$r' =$	$139 25$
$c : r' = 123 15$	$123 20$
$o''' : a =$	$132 6$
$c =$	$121 12$
$r' = 154 50$	$153 41$
$z : c = 132 13$	
$a = 126 4$	
$e : c = 128 22$	$128 51$
$i : c = 124 40$	
$a = 105 56,5$	$106 31$
${}^{12}p' = 150 34$	$150 15$

Die kleinen Krystalle sind oft nur prismatische Combinationen  $a, c$ , mit schmaler Abstumpfung durch  $r'$  und einer schiefen Endfläche  $m$ , oder vielen kleinen gekrümmten, nicht messbaren Flächen. An einzelnen Krystallen lassen sich die übrigen mitunter bestimmen;  ${}^3p$  und  $\frac{1}{4}q'$  wurden nur einmal beobachtet.

Vollkommen spaltbar nach  $a$  und  $c$ . — A. a. O.

Zepharovich macht auf die Beziehungen der Formen dieser Verbindungen aufmerksam, denen er Stellungen gegeben hat, in welchen diese Beziehungen zur Anschauung gelangen. Es fällt dabei besonders auf, dass das Jodochlorür nicht isomorph ist mit dem Dijodür und Dibromür.

#### Thiosinnäthylamin-Platinchlorid. $2(C^6H^{12}N^2S \cdot HCl) + PtCl^4$ .

Zweigliedrig.  $a : b : c = 0,7344 : 1 : 0,3613$  Schabus.

$p, q, a, b.$	Berechnet	Beobachtet
$p : p = 107^{\circ} 26'$		
$a =$		$113^{\circ} 43'$
$b = 126 17$		$126 10$
$q : q = 140 16$		$140 20$
$b =$		$109 52$
$p = 101 36$		

Prismatisch nach der Horizontalzone,  $a$  und  $b$  vorherrschend. Von  $q$  ist oft nur eine Fläche vorhanden, überhaupt nur das eine Ende der Krystalle beobachtet.

(Brock.)	$\frac{r}{2} = 130 \quad 42$	$130 \quad 40$	$130 \quad 41$	13
	$c : r = 118 \quad 54$	$118 \quad 42$		11
	$\frac{r'}{2} = 137 \quad 50$			43
	$a : r = 139 \quad 18$		$139 \quad 19$	43
	$\frac{r'}{2} = 125 \quad 32,5$			

Die zuerst von Miller gemessenen Krystalle stammen aus Ptychotis Ajuwan; die aus der Alkohollösung erhaltenen zeichnen sich durch Vorherrschen einer Fläche  $r$  aus, und nur diese liessen  $c$  b. Groth's Krystalle, aus Alkohol gewonnen, waren Combinationen  $\frac{r'}{2}$  und  $c$ , gleichfalls mit Vorherrschen einer Rhomboederfläche.

Die Endfläche ist meist matt. — Sehr vollkommen spaltbar. Optisch einaxig, positiv. — Groth: Pogg. Ann. 435, 655. — Ann. Chem. Pharm. 98, 340.

Brechungsverhältnisse der alkoholischen Lösung Gladstone Soc. (2) 8.

Volumgewicht. 1,069 Schröder.

#### Tolantetrachlorid. $C^{14}H^{10}Cl^4$ .

Zweiglig.  $a : b : c = 0,566 : 1 : 0,584$  Hirschwald

$a, \frac{a}{2}, c$ .	Berechnet	Beobachtet
$a$	$2A =$	$135^\circ 45'$
	$2B =$	$96 \quad 36$
	$2C = 99^\circ 44'$	
$\frac{a}{2} : \frac{a}{2}$	$= 147 \quad 26$	
$c$	$= 163 \quad 43$	
$a : c$	$= 130 \quad 8$	

$q, r, r', c.$	Berechnet	Beobachtet
$q : q =$	$43^{\circ} 40'$	
$c =$		$111^{\circ} 50'$
$r : r' =$	$27 \ 41$	$27 \ 37$
$c : r =$		$107 \ 58$
$r' =$		$99 \ 43$
$q : r =$	$96 \ 35$	$96 \ 36$
$r' =$	$93 \ 36$	$93 \ 50$

Dick tafelartig nach  $c$  und prismatisch nach  $rr'$ ; oft Zwillinge nach  $c$ . Spaltbar nach  $c$ .

Ebene der optischen Axen  $ac$ ; Mittellinie positiv, mit der Normalen auf Fläche  $c$  einen Winkel von  $22\frac{1}{2}^{\circ}$  (hinten) für Gelb bildend. — Groth Ztschr. 3, 384.

Schmelzpunkt  $188-191^{\circ}$ .

#### Toluidinchlorid. $C^7H^{10}NCl$ .

Zwei- und eingliedrig.  $a : b : c = 0,9438 : 1 : 0,5323$  Lang.  
 $\alpha = 76^{\circ} 50'$ .

$\frac{\alpha}{2}, p, q, a.$  —  $s' = 2a' : b : 3c$ .

	Berechnet	Beobachtet
$p : p =$	$94^{\circ} 52'$	
$a =$		$136^{\circ} 26'$
$q : q =$		$125 \ 12$
$p : q \left\{ \begin{array}{l} = \\ = \end{array} \right.$	$117 \ 23$	$117 \ 34$
		$99 \ 21$
$\frac{\alpha}{2} : a =$	$119 \ 6$	
$p =$	$142 \ 6$	$142 \ 10$
$s' : p =$	$150 \ 41$	$150$

Prismatisch nach  $p$ , tafelartig nach  $a$ . Die Formen  $q, \frac{\alpha}{2}$  und  $s'$  sind mit ihren Flächen nur zur Hälfte vorhanden.

Wahrscheinlich isomorph dem Chlor- und dem Bromanilinchlorid. — Wien. Ak. Ber. 55, 409.

#### Toluidin, salpetersaures. $C^7H^{10}N \cdot NO_3$ .

Zwei- und eingliedrig.  $a : b : c = 1,0447 : 1 : 0,6216$  Lang.  
 $\alpha = 84^{\circ} 13'$ .

$p, {}^2p, r, a, c.$	Berechnet	Beobachtet
$p : p =$	$89^{\circ} 50'$	
$a =$		$134^{\circ} 55'$
$c =$	$96 \ 11$	$96 \ 29$
${}^2p : {}^2p =$	$52 \ 30$	
$p =$	$161 \ 20$	$161 \ 35$
$a : c =$		$98 \ 47$
$r : c =$		$151 \ 2$

Prismatisch nach  $p$ . Spaltbar nach  $p$ .

**Toluidin-Zinnchlorid, Para-.  $2C_7H_7NOCl + SnCl_4$ .**

Zwei- und eingliedrig.  $a : b : c = 1,834 : 1 : 3,370$  Hiortdahl.  
 $\alpha = 84^\circ 20'$ .

$\alpha, \alpha', \nu', \frac{\nu}{2}, \frac{\nu'}{2}, a, c.$	Berechnet	Beobachtet
$\alpha : \alpha =$	$39^\circ 52'$	
$\alpha' : \alpha' =$	$35 \ 26$	
$\alpha : \alpha' =$	$96 \ 50$	
$\alpha : \alpha' =$	$162 \ 43$	
$\alpha : c =$	$98 \ 40$	$98^\circ 54'$
$\frac{\nu}{2} =$		$437 \ 45$
$\nu' =$	$449 \ 38$	$449 \ 44$
$\frac{\nu'}{2} =$	$427 \ 51$	$427 \ 34$
$c : \frac{\nu}{2} =$		$444 \ 25$
$\nu' =$	$444 \ 42$	
$\frac{\nu'}{2} =$	$433 \ 29$	$433 \ 36$
$\alpha : a =$	$449 \ 47$	$449 \ 47$
$c =$	$408 \ 35$	$408 \ 23$
$\alpha' : a =$	$445 \ 54$	$445 \ 47$
$c =$		$400 \ 47$
$\nu' =$	$420 \ 24$	$420 \ 23$

Tafelartig nach  $c$  und prismatisch nach der Verticalzone. Sehr schön stark glänzende Krystalle, deren Flächen jedoch nicht ganz eben sind.

Ebene der optischen Axen parallel Axe  $b$ , Mittellinie  $= b$ ; die zweite Mittellinie tritt nach vorn aus, und bildet mit der Normale der basischen Endfläche einen Winkel von etwa  $40^\circ,5$  und mit Axe  $c$  einen solchen von etwa  $49^\circ$ . Positiv,  $\rho > \nu$  (?).

	$\frac{1}{2}H_a$	$\frac{1}{2}H_b$	$\frac{1}{2}V$
Gelb	$88^\circ 34'$	$422^\circ 45'$	$77^\circ$

S. Methylamin-Zinnchlorid.

**Toluol.  $C_7H_8$ .**

Volumgewicht. 0,8753 (a) und 0,8844 (b) bei  $0^\circ$ ; 0,8824 (a) und 0,872 (15°) Warren. a Aus Steinkohlentheer, zwischen  $440^\circ,7$  und  $444^\circ,3$  siedend; b aus jenem durch Verwandlung in Sulfotoluolsäure und Zersetzung derselben. — Ann. Ch. Phys. (4) 44, 453.

Bemerkungen von Kopp hierzu: Ann. Ch. Pharm. Suppl. 5, 303.

Siedepunkt. 409— $440^\circ,5$  Noad;  $440^\circ$  Wilson;  $403^\circ,7$  (760 mm) Church;  $444^\circ$  Wilbrand und Beilstein;  $440^\circ,3$  Warren.

Spannkraft des Dampfes Naumann: Ber. d. ch. G. 1878, 33.

Specif. Wärme. Reis: Wiedem. Ann. 43, 447.

Brechungsexponenten. 1,474395 bis 1,529524 ( $24^\circ$ ). — Sauber Pogg. A. 447, 592.

**Toluolparasulfosäure-Paratoluid.**  $C^{14}H^{15}NSO^2$ .Eingliedrig.  $a : b : c = 4,0395 : 4 : 4,4255$  Tenne.

$A = 105^\circ 12',5$	$\alpha = 100^\circ 19',5$
$B = 132 \quad 9,5$	$\beta = 130 \quad 54,5$
$C = 101 \quad 24$	$\gamma = 94 \quad 39,5$

$o'', o''', p, p', a, b, c.$	Berechnet	Beobachtet
$a : b =$		$*101^\circ 24'$
$p = 145^\circ 55'$		145 56
$p' = 137 \quad 6,5$		137 0
$b : p =$		$*135 \quad 26$
$p' = 124 \quad 32,5$		122 pp.
$b : c =$		$*105 \quad 42,5$
$a : c =$		$*132 \quad 9,5$
$r' = 124 \quad 54,5$		125
$c : r' =$		$*102 \quad 56$
$p = 129 \quad 4,5$		129 8
$p' = 113 \quad 40$		113 30 pp.
$b : o'' = 123 \quad 44,5$		
$o''' = 135 \quad 32,5$		135 30
$c : o'' = 112 \quad 23,5$		
$o''' = 92 \quad 4$		92 40
$p : o''' = 153 \quad 54,5$		153 47
$p' : o'' = 133 \quad 57$		134 pp.

Prismatisch nach der Horizontalzone, in der Endigung  $c$  herrschend.  
 — Tenne: Kryst. Unters. einiger org. Verbindungen. Dissertation. Göttingen 1878.

Schmelzpunkt 148—149°.

**Toluolorthosulflamid.**  $C^7H^9NSO^2$ .Viergliedrig.  $a : c = 4 : 0,7666$  Mücke.

$o, p^3. (a : 3a : \infty c.)$	Berechnet	Beobachtet
$o \left\{ \begin{array}{l} 2A = \\ 2C = 94^\circ 37' \end{array} \right.$		$*117^\circ 22'$
		94 30—95°
$o : p^3 \left\{ \begin{array}{l} = 109 \quad 44 \\ = 134 \quad 6,5 \end{array} \right.$		109 4
		134 42

Das vierkantige Prisma  $p^3$  ist nur als rechte Hälfte vorhanden (pyramidale Hemiedrie wie beim Scheelit).

Meist sehr unsymmetrisch.

Optisch einaxig.

Schmelzpunkt 153—154°. — Kryst. Unters. einiger organ. Verbindungen. Dissertation. Göttingen 1879.

**Tolursäure.**  $C^{10}H^{11}NO^3$ .Zweigliedrig.  $a : b : c = 0,7455 : 4 : 0,464$  Kefenstein. $p, q, b, c.$

	Berechnet	Beobachtet
$p : p =$		$106^{\circ} 36'$
$b =$	$126^{\circ} 42'$	$126 \quad 50$
$q : q =$		$130 \quad 12$
$b =$	$114 \quad 54$	$111 \quad 59$
$p =$	$104 \quad 34$	

Prismatisch nach  $p$  und tafelförmig nach  $b$ ;  $p$  findet sich mitunter nur auf einer Seite. — Ann. Ch. Pharm. 98, 361.

### Tolyhydracin, Para-. $C^7H^{10}N^2$ .

Zweigligedrig.  $a : b : c = 0,2266 : 1 : 0,2604$  Arzruni.

$a, p, b$ .

	Berechnet	Beobachtet
$a \left\{ \begin{array}{l} 2A = \\ 2B = \\ 2C = \end{array} \right.$	$\begin{array}{l} 162^{\circ} 44' \\ 83 \quad 56 \\ \end{array}$	$\begin{array}{l} \\ \\ 82^{\circ} 4' \end{array}$
$p : p =$	$154 \quad 28$	$154 \quad 15$
$b =$		$102 \quad 46$
$a : b =$	$98 \quad 20$	
$p =$	$131 \quad 2$	$130 \quad 37$

Tafelförmig nach  $b$ .

Ebene der optischen Axen  $ab$ , Mittellinie  $a$ .  $2H_0 = 122^{\circ} 45'$  Roth,  $121^{\circ} 15'$  Gelb.

Schmelzpunkt  $61^{\circ}$ . — Groth Ztschr. 1, 386.

### Tolyphenylketon, Para-. $C^{14}H^{12}O$ .

Dimorph.

A. Sechsgliedrig-rhomboedrisch.  $a : c = 1 : 1,2254$  Bodewig.

$r, r', \frac{r'}{2}, p$ .

	Berechnet	Beobachtet
$r (2A) =$		$89^{\circ} 59'$
$\frac{r'}{2} =$	$119^{\circ} 58'$	$119 \quad 59$
$r : r' =$	$131 \quad 48$	$131 \quad 44$
$r : \frac{r'}{2} =$	$134 \quad 59$	$135 \quad 0$
$p : r =$	$114 \quad 6$	$114 \quad 2$
$\frac{r'}{2} =$	$125 \quad 47$	$125 \quad 4$

Die Krystalle sind hemimorph; am oberen Ende  $r$  und  $\frac{r'}{2}$ , am unteren  $r$  und  $r'$ . Die mit dem  $\frac{r'}{2}$  horizontale Kanten bildenden drei Flächen von  $p$  sind gross. — Optisch negativ.

	Gefunden		Berechnet	
	$\alpha$	$\beta$	$\omega$	$\kappa$
Li-Roth	$37^{\circ} 7'$	$28^{\circ} 31'$	1,7067	1,5564
Na-Gelb	$37 \quad 43$	$28 \quad 53$	1,7170	1,5629
Tl-Grün	$38 \quad 15$	$29 \quad 11$	1,7250	1,5685

Stark pyroelektrisch. Beim Abkühlen (von  $35^{\circ}$  bis  $0^{\circ}$ ) wird das obere Ende negativ, das untere positiv elektrisch, d. h. das obere ist der analoge Pol.

B. Zwei- und eingliedrig.  $a : b : c = 4,0447 : 4 : 0,4448$  Bode wig.  
 $\alpha = 84^{\circ} 53'$ .

$\alpha', p, p^2, q, q^2, a, b, c.$	Berechnet	Beobachtet
$\alpha' : \alpha' =$	$437^{\circ} 6'$	$436^{\circ} 56'$
$p : p =$		$89 34$
$p^2 : p^2 =$	$426 30$	$426 24$
$p : c =$	$93 36$	$93 35$
$q : q =$	$435 24$	
$c =$	$457 42$	$457 45$
$q^2 : q^2 =$	$404 2$	
$b =$	$429 29$	$429 28$
$a : c =$	$95 7$	$95 6$
$p : q \left\{ \begin{array}{l} \text{vorn} = \\ \text{hinten} = \end{array} \right.$		$109 7$ $102 42$
$\alpha' : c =$	$449 6$	$448 57$
$p =$	$447 48$	$447 23$

Prismatisch nach der Horizontalzone, öfter nach  $b$  tafelartig.

Die optische Axenebene ist für Roth, Gelb, Grün  $ac$ , für Blau und Violett eine zu ihr senkrechte. Die eine der beiden in  $ac$  liegenden Hauptschwingungsrichtungen, im spitzen Winkel  $\alpha$  liegend, bildet mit Axe  $c$  Winkel von

$36^{\circ} 45'$  Li-Roth,  $36^{\circ} 57'$  Na-Gelb,  $37^{\circ} 49'$  Tl-Grün.

Sie ist die Axe der grössten Elasticität, da der Charakter der Brechung negativ ist.  $2E$  fand sich

$49^{\circ} 44'$  Roth;  $35^{\circ} 45'$  Gelb;  $6^{\circ} 55'$  Grün;  $49^{\circ} 32'$  Blau.

Pogg. A. 458, 232. — Groth: Phys. Krystallographie S. 425.

#### Tolylurethan, Para-. $C^{10}H^{13}NO_2$ .

Zwei- und eingliedrig.  $a : b : c = 0,9344 : 4 : 0,9507$  Levin.  
 $\alpha = 78^{\circ} 48'$ .

$p, q, \frac{r'}{2}, a, b.$	Berechnet	Beobachtet
$p : p =$	$94^{\circ} 59'$	
$a =$		$137^{\circ} 29',5$
$b =$	$432 30,5$	$432 34$
$q : q =$		$93 59,5$
$\frac{r'}{2} : a =$	$98 40$	$98 4$
$p : q =$		$124 26,5$

Spaltbar nach  $a$ .

Ebene der optischen Axen  $= ac$ ; die geneigte Dispersion ausgezeichnet;  $2E =$  Li-Roth  $62^{\circ} 26'$ ; Na-Gelb  $59^{\circ} 46'$ ; Tl-Grün  $57^{\circ} 38'$ .

Doppelbrechung stark, negativ.

Schmelzpunkt  $52^{\circ}$ .



**Traubenzucker.**  $C^6H^{12}O^6$ .

Zwei- und eingliedrig.  $a : b : c = 1,732 : 1 : 1,882$  Becke.  
 $\alpha = 85^\circ 18'$ .

$p, r, r', c.$	Berechnet	Beobachtet
$p : p =$		$*60^\circ 4'$
$c : r = 435^\circ 8'$		
$r' = 129 39$		
$p : r =$		$*412 22$
$r' =$		$*440 57$
$r : r' = 84 47$		$84 5$

Tafelartig nach  $c$ , welches gekrümmt ist.

Optische Axenebene parallel Axe  $b$ ; die Mittellinie liegt zwischen der Normalen von  $c$  und  $r$ . Die Krystalle sind mit dem einen Ende der Axe  $b$  aufgewachsen und waren aus Honig erhalten. — Groth Ztschr. 5, 283.

Volumgewicht. 1,54—1,57 Boedecker.

Drehungsvermögen. Seit Biot die drehende Eigenschaft der Lösung nachwies, fanden Dubrunfaut und Pasteur, dass die Drehung allmählig abnimmt, und Erdmann, dass sie, gleichwie beim Milchzucker dem Zuckergehalte proportional ist. — Vgl. Béchamp: C. r. 42, 640. 739 896. — Hoppe-Seyler: Ztschr. anal. Ch. 5, 442. — Lippmann Ber. d. ch. G. 1880, 1822. — Vgl. Landolt: Eb. 2334.

Rechtsdrehend (Dextrose) ist Traubenzucker, Honigzucker, Stärkezucker etc. — Linksdrehend (Laevulose) ist Invertzucker.

**Traubenzucker-Chlornatrium.**  $(2 C^6H^{12}O^6 + NaCl) + aq^*$ .

Sechsgliedrig (?).  $a : c = 1 : 1,7182$  v. Kobell.

$r, r', \frac{r}{2}, \frac{r'}{2}, p, a, c.$

	Berechnet	Beobachtet	
		Kobell	Schabus
$2A$ von $r (r') = 78^\circ 42'$			$77^\circ 42'$
$- \frac{r}{2} \left( \frac{r'}{2} \right) = 104 50$			
$r, r' \left\{ \begin{array}{l} 2A = 126 58 \\ 2C = \end{array} \right.$		$*126^\circ 30'$	$126 40$
$c : r = 116 45$			$127 30$
$\frac{r}{2} = 435 45$			
$p : r \left\{ \begin{array}{l} = 153 15 \\ a : r' \end{array} \right.$			
$a : r \left\{ \begin{array}{l} = 140 39 \\ p : r' \end{array} \right.$			
$r : \frac{r}{2} \left\{ \begin{array}{l} = 164 30 \\ r' : \frac{r'}{2} \end{array} \right.$		$164 30$	

\* Ueber den Wassergehalt s. Städeler: Jahresber. 1854, 621.

Berechnet

$$\left. \begin{array}{l} r : \frac{r'}{2} \\ r' : \frac{r}{2} \end{array} \right\} = 129^{\circ} 24'$$

Dihexaeder  $r, r'$ , oder vielmehr Dirhomboeder, mit dreiflächiger Zuspitzung der Endecken durch  $\frac{r}{2}$  (oder  $\frac{r'}{2}$ ). Schabus beobachtete rhomboedrische Combinationen.

Nach Pasteur ist die Verbindung zweigliedrig. Die  $p$  und  $a$  sind Combinationen eines rhombischen Prismas  $p$  von  $120^{\circ} 42'$  mit der Fläche  $b$ ,  $r$  und  $r'$  sind ein Rhombenoktaeder und ein zweites Paar. Auch sind die Krystalle nicht optisch einaxig.

Schabus hat sie für Traubenzucker gehalten. — Kobell: J. f. pr. Chem. 28, 489. 69, 247. — Pasteur: Ann. Chim. Phys. (3) 34, 92. — C. r. 42, 347.

Auch die optischen Erscheinungen lassen noch Zweifel über das Krystallsystem.

Ueber das Drehungsvermögen der Lösung s. Traubenzucker.

Volumgewicht. 4,53—4,55 Boedecker.

Löslichkeit. Anthon: Dingl. J. 466, 69.

**Traubenzucker-Bromnatrium.**  $2C^6H^{12}O^6 + NaBr (?)$ .

Rhomboeder,  $2A = 76^{\circ} 40'$  mit der Endfläche. — J. Chem. Soc. (2) 4, 297.

**Trehalose s. Mykose.**

**Triacetondiamin, saures oxalsaures.**  $C^9H^{20}N^2O \cdot 2H^2C^2O^4$ .

Zwei- und eingliedrig.  $a : b : c = 0,9427 : 4 : 4,0605$  Luedecke.  
 $\alpha = 76^{\circ} 33'$ .

$p, r, a, b, c.$	Berechnet	Beobachtet
$p : p =$	$94^{\circ} 58'$	
$a =$		$137^{\circ} 29'$
$c =$	99 33	99 52
$a : c =$		$103 27$
$r =$	459 26	
$c : r =$		$124 1$
$p : r =$	449 53	447 30 ungef.

Sehr vollkommen spaltbar nach  $a$  und  $b$ .

Die Maxima der Auslöschungsrichtungen, durch  $c$  beobachtet, liegen parallel und senkrecht zur Symmetrieebene. Durch  $b$  sieht man, dass sie mit der Axe  $c$  einen Winkel von  $6^{\circ}$  bilden. — Mittheilung.

**Triäthyläthylenbromür-Arsonbromid.**  $As(C^2H^5)_3(C^2H^4) \cdot Br^2$ .

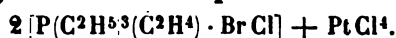
Regulär.

Granatoeder. — Sella.

**Triäthyläthylenbromür-Phosphonbromid.**  $P(C^2H_5)_3(C^2H_4) \cdot Br^2$ .

Regulär.

Granatoeder. Fettglänzend. Ohne Wirkung auf polarisirtes Licht. — Sella.

**Triäthyläthylenbromür-Phosphonchlorid-Platinchlorid.**Zwei- und eingliedrig.  $a : b : c = 4,0324 : 4 : 0,6793$  Sella.

$$o = 89^\circ 2'.$$

 $o, o', p, q, r, r', a, b.$  —  $n' = \frac{1}{2} a' : b : c.$ 

Fig. 121.

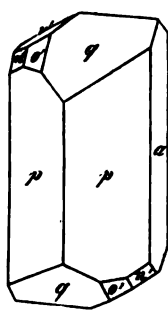
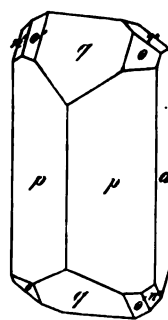
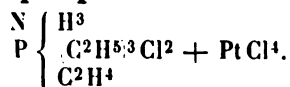


Fig. 122.



	Berechnet	Beobachtet
$o : o =$	$121^\circ 14'$	$121^\circ 23'$
$o' : o' =$	$120 \quad 28$	
$o : o' =$	$98 \quad 37$	
$o : o' =$	$86 \quad 48$	
$p : p =$	$88 \quad 10$	$88 \quad 7$
$a =$	$134 \quad 5$	$134 \quad 3$
$q : q =$	$114 \quad 38$	$111 \quad 37$
$b =$		$*124 \quad 11$
$a =$		$*90 \quad 48$
$p \left\{ \begin{array}{l} = 113 \quad 12 \\ = 114 \quad 25 \end{array} \right.$		$113 \quad 10$
$a : r =$	$124 \quad 1$	$114 \quad 34$
$r' =$		$124 \quad 9$
$r : r' =$	$113 \quad 19$	$*122 \quad 40$
$p =$	$112 \quad 54$	$113 \quad 11$
$q =$	$133 \quad 54$	$112 \quad 52$
$r' : p =$	$112 \quad 3$	$133 \quad 58$
$q =$	$133 \quad 32$	$111 \quad 53$
$o : a =$	$119 \quad 10$	$133 \quad 36$
$b =$	$119 \quad 23$	$118 \quad 59$
$p =$	$133 \quad 45$	
$q =$	$151 \quad 38$	$133 \quad 54$
$r =$	$150 \quad 37$	$151 \quad 49$
$o' : a =$	$117 \quad 56$	$150 \quad 42$
$p =$	$133 \quad 3$	$117 \quad 50$
$q =$	$151 \quad 16$	
$n' : n' =$	$134 \quad 59$	$151 \quad 24$
$a =$	$137 \quad 4$	
$o' =$	$160 \quad 53$	$136 \quad 59$
		$160 \quad 56$

Fig. 121 und 122.

Gelbe nadelförmige Krystalle. Spaltbar nach  $a$  und  $p$ .**Triäthyläthylenphosphammonchlorür-Platinchlorid.**

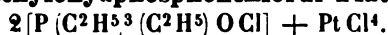
Zweigliedrig.  $a : b : c = 0,5842 : 1 : 2,845$  Sella.

$p, q, a, b.$	Berechnet	Beobachtet
$p : p =$	$119^{\circ} 40'$	
$a =$		$*149^{\circ} 50'$
$b =$	$120 \ 40$	$120 \ 5$
$q : q =$	$38 \ 44$	$38 \ 54$
$b =$		$*160 \ 38$
$p =$	$118 \ 18$	$118 \ 23$

Kleine Prismen  $p$ . Spaltbar nach  $a$ .

Ebene der optischen Axen  $ab$ , Mittellinie  $a$ .

### Triäthyläthoxydphosphonchlorür-Platinchlorid.



Regulär. Gelbe Oktaeder. — Sella.

**Triäthylamin, saures oxalsaures.**  $\text{N}(\text{C}^2\text{H}_5)_3 \cdot \text{H}^2\text{C}_2\text{O}_4.$

Der Methylverbindung ähnliche Combinationen  $p, b, c$ , an denen  $p : b = 119^{\circ} 36'$ . Spaltbar nach  $b$ . — Loschmidt: Wien. Ak. Ber. 54.

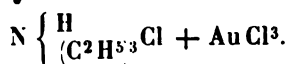
**Triäthylamin, salpetersaures.**  $\text{N}(\text{C}^2\text{H}_5)_3 \cdot \text{HNO}_3.$

Zweigliedrig.  $a : b : c = 0,5708 : 1 : 0,7005$  Lang.

$o, p, q, q^2, b, c.$	Berechnet	Beobachtet
$p : p =$	$118^{\circ} 52'$	
$b =$		$*120^{\circ} 34'$
$q : q =$	$108 \ 38$	
$c =$		$*144 \ 29$
$q^2 : q^2 =$	$70 \ 2$	
$c =$	$125 \ 4$	$125 \ 5$
$o =$	$144 \ 43$	$144 \ 38$

Optischer Charakter Lang: Wien. Ak. Ber. 55. 448. — Isomorph dem salpetersauren Kali.

### Triäthylammonium-Goldchlorid.



Zwei- und eingliedrig.  $a : b : c = 0,823 : 1 : 0,784$  Topsøe.  
 $o = 77^{\circ} 24'.$

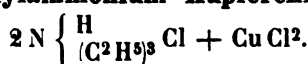
$o', p, {}^2p, q, r, r', a, b, c.$	Berechnet	Beobachtet
$p : p =$		$*102^{\circ} 20'$
$a =$	$144^{\circ} 10'$	$144 \ 16$
$b =$	$128 \ 50$	$128 \ 42$
${}^2p : {}^2p =$	$63 \ 46$	$63 \ 43$
$b =$	$148 \ 7$	$148 \ 32$
$q : a =$	$100 \ 2$	$100 \ 0$
$a : r =$	$140 \ 7$	$140 \ 10$

	Berechnet	Beobachtet
$a : r' = 126^{\circ} 51'$		$126^{\circ} 51'$
$p : r = 126 \ 46,5$		$126 \ 42$
$r' =$		$117 \ 51$
$o : a =$		$121 \ 6$
$o' : a = 120 \ 31$		$120 \ 40$
$b = 122 \ 6$		$121 \ 56$
$q = 139 \ 27$		$139 \ 44$

Prismatisch nach der Horizontalzone mit herrschendem  $a$ ; in der Endigung waltet  $r'$  vor. Spaltbar nach  $a$  und  $b$ .

Volumgewicht. 2,197. — Topsøe: S. Teträthylammoniumsalze. und früher Wien. Ak. Ber. 1876.

### Triäthylammonium - Kupferchlorid.



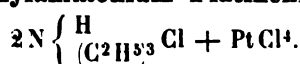
Zwei- und eingliedrig.  $a : b : c = 4,0674 : 4 : 0,9745$  Topsøe.  
 $o = 81^{\circ} 44'$ .

$o', \frac{o'}{2}, 2o', p, c.$	Berechnet	Beobachtet
$o' : o' =$		$108^{\circ} 20'$
$c =$		$121 \ 5$
$p : c =$		$95 \ 40$
$\frac{o'}{2} : c = 142^{\circ} 32'$		$143 \ 15$
$2o' : c = 104 \ 5$		$104 \ 45$

Die Messungen sind nur annähernde. Ausserdem bleiben zwei Augitpaare  $a : b : \frac{3}{4}c$  und  $a : b : \frac{4}{3}c$  unsicher.

Bräunliche, nach  $c$  tafelartige, zerfliessliche Krystalle.

### Triäthylammonium - Platinchlorid.

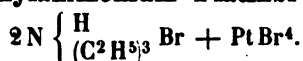


Zwei- und eingliedrig.  $a : b : c = 4,498 : 4 : 1,2665$  Topsøe.  
 $o = 84^{\circ} 29'$ .

$o, o', p^2, a.$	Berechnet	Beobachtet
$o : o = 94^{\circ} 46',5$		$94^{\circ} 48'$
$o' : o' =$		$90 \ 40,5$
$o : o' =$		$124 \ 36,5$
$o : o' = 113 \ 17$		$113 \ 19$
$p^2 : p^2 = 106 \ 36$		$106 \ 39$
$a = 143 \ 18$		$143 \ 13$
$a : o =$		$120 \ 23$
$o' = 115 \ 0$		$115 \ 2$

Nach  $a$  tafelartige Oktaeder, an denen beide Augitpaare im Gleichgewicht stehen, die  $p^2$  sehr untergeordnet sind. Spaltbar nach  $a$  und  $c$ . Isomorph der Diäthylverbindung.

Setzt man bei beiden Salzen  $a = r$ ,  $o' = p$ ,  $o = q$ ,  $p^2 = o'$ ,  
so ist  $a : b : c = 1,0028 : 4 : 0,9332$   
 $o = 80^\circ 23'$ .

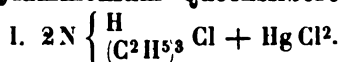
**Triäthylammonium-Platinbromid.**

Zwei- und eingliedrig.  $a : b : c = 1,482 : 4 : 1,5373$  Topsöe.  
 $o = 86^\circ 46',5$ .

$o, o', p^2, q, a, c.$	Berechnet	Beobachtet
$o : o =$	$95^\circ 47',5$	
$o' : o' =$		$94^\circ 38'$
$o : o' =$	124 48,5	124 49
$o : o' =$	111 35,5	111 32
$a : c =$	93 43,5	93 46,5
$p^2 : p^2 =$	107 2	107 2
$a =$	143 31	143 28
$q : q =$	129 22,5	129 27,5
$c =$	154 41	
$a =$	92 21,5	92 30
$o : a =$		$119^\circ 26,5$
$c =$	125 38	125 42
$o' : a =$		$115^\circ 44$
$c =$	122 46,5	122 45

Schön rothe rhomboederähnliche Combinationen mit herrschenden  $a$ ,  
 $c$  und  $o'$ . — Spaltbar nach  $a$  und  $c$ .

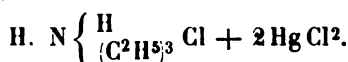
Isomorph der Diäthylverbindung.

**Triäthylammonium-Quecksilberchlorid.**

Sechsgliedrig.  $a : c = 1 : 0,8446$  Topsöe.

$d, p.$	Berechnet	Beobachtet
$d \left\{ \begin{array}{l} 2A = \\ 2C = \end{array} \right.$	$139^\circ 8'$ 88 36	$139^\circ 0'$
$d : p =$		$134^\circ 48$

Prismatisch nach  $p$ ; die Flächen sind nicht besonders glänzend.



Zwei- und eingliedrig.  $a : b : c = 0,7353 : 4 : 0,356$  Topsöe.  
 $o = 85^\circ 42'$ .

$o, o', p, \frac{3}{2}p, p^2, a, b.$	Berechnet	Beobachtet
$o : o =$	$145^\circ 30'$	$145^\circ 33'$
$o' : o' =$	143 34	
$p : p =$	107 30	107 22
$a =$		$143^\circ 45$
$b =$	126 45	126 46

$p^2 : b = 440^\circ 8'$	$440^\circ 4'$
$\frac{1}{2}p : b = 437 44$	$437 37$
$o : a =$	$*447 51$
$b =$	$*407 45$
$p = 423 34$	$423 28$
$o' : a = 444 46$	$444 42$
$b = 408 43$	$408 45$

Prismatisch nach der Horizontalzone, in der Endigung die nicht immer vollzähligen  $o$  und  $o'$ . Sehr kleine, jedoch glänzende Krystalle.



Sechsgliedrig.  $a : c = 4 : 4,047$  Toppsöe.

$r, \frac{r'}{2}, a, c.$	Berechnet	Beobachtet
$2A$ von $r = 97^\circ 30'$		$97^\circ 32'$
$- \frac{r'}{2} = 428 0$		
(Endk.) $r : \frac{r'}{2} = 438 45$		$438 55$
$a = 434 45$		$434 43$
$c : r = 430 25$		$430 28$
$\frac{r'}{2} = 420 25$		

Herrschend ist  $r$ .

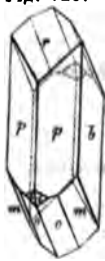
**Triäthylbenzylammoniumperjodid.**  $\text{NC}^7\text{H}^7 \cdot (\text{C}^2\text{H}^5)_3 \cdot \text{J}^3.$

Zwei- und eingliedrig.  $a : b : c = 0,7442 : 1 : 0,5596$  Bodewig.  
 $o' = 67^\circ 46'.$

$m = a' : \frac{1}{2}b : c.$

$i = \frac{1}{2}a' : b : c. — o' (o \text{ der Fig.}), p, q, r, b.$

Fig. 423.



	Berechnet	Beobachtet
$p : p =$		$*443^\circ 46'$
$q : q = 425^\circ 24'$		$425 49$
$p : q \left\{ \begin{array}{l} = 422 37 \\ = 91 48 \end{array} \right.$		$422 52$
$p : r = 430 59$		$92 8$
$q : r = 444 0$		$430 59$
$o' : o' =$		$444 44$
$p =$		$*425 35$
$r = 403 46$		$*423 2$
$m : p = 99 30$		$403 48$
$b = 435 47$		$99 25$
$o' = 464 26$		$435 48$
$q = 439 22$		$464 24$
$i : p = 443 46$		$439 8$
$b = 409 4$		$442 59$
$m = 444 46$		$408 58$
$q = 94 8$		$444 48$
		$94 45$

Prismatisch nach *p*. — Fig. 423.

Spaltbar nach *p*. — Groth Ztschr. 3, 384.

Schmelzpunkt 88°.

**Triäthylglycin-Platinchlorid.**  $2 (C^4H^{18}N O^2Cl) + Pt Cl^4$ .

Zwei- und eingliedrig.

Sehr kleine rothe Krystalle: *p*, *r*, *b*, ein hinteres Augitpaar und eine schiefe Endfläche, als Abstumpfung der Kante desselben.

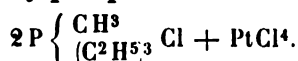
Beobachtet

$$p : p = 120^\circ 38',5$$

$$p : r = 128 \ 28$$

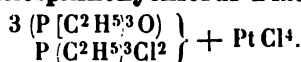
Guthe.

**Triäthylmethylphosphonchlorür-Platinchlorid.**



Regulär. Oktaeder mit Würfelflächen, spaltbar nach jenem. Sella.

**Triäthylphosphinoxchlorür-Platinchlorid.**



Zwei- und eingliedrig.  $a : b : c = 1,5853 : 1 : 2,504$  Sella.

$$o = 73^\circ 42'.$$

$o'$ ,  $\frac{o'}{2}$ , *p*, *r'*, *a*, *c*.

	Berechnet	Beobachtet
$o' : o' =$	67° 48'	
$\frac{o'}{2} : \frac{o'}{2} =$	84 17	
$p : p =$	66 38	
$a =$		123° 19'
$c =$	98 52	
$a : c =$	106 18	106 30
$r' =$		143 30
$c : r' =$	110 12	
$p : r' =$	116 12	116 23
$o' : a =$		116 39'
$c =$	101 6	101 9
$p =$	160 2	
$r' =$	123 54	
$\frac{o'}{2} : a =$	108 18	
$c =$	118 45	118 46
$p =$	142 23	
$o' =$	162 24	

Die gelben Krystalle sind tafelartig nach *c* und in der Richtung der Axe *b* verlängert.

Spaltbar nach *p* und *r'*.



Sella's Abhandlung über die vorhergehenden Ammoniakderivate s. Hexäthylverbindungen.

**Triäthylphosphinoxid-Zinkjodid.**  $2 \text{P}(\text{C}_2\text{H}_5)_3\text{O} + \text{ZnJ}_2$ .

Zwei- und eingliedrig.  $a : b : c = 1,1047 : 1 : 1,4706$  Sella.  
 $\alpha = 83^\circ 13'$ .

$o, p, q, a, b, c$ .

	Berechnet	Beobachtet	
		a	b*)
$o : o =$	$100^\circ 32'$	$100^\circ 37'$	
$p : p =$	$84 \ 42$	$84 \ 29$	$84^\circ 38'$
$a =$	$132 \ 24$	$132 \ 42$	$132 \ 18$
$b =$		$*137 \ 39$	$137 \ 41$
$c =$	$94 \ 34$	$94 \ 42$	$94 \ 37$
$q : q =$	$68 \ 48$	$68 \ 32$	
$c =$	$124 \ 24$	$124 \ 16$	
$b =$		$*145 \ 36$	
$a =$		$*93 \ 50$	
$a : c =$	$96 \ 47$	$97 \ 3$	$96 \ 37$
$o : a =$	$129 \ 23$	$129 \ 39$	
$b =$	$129 \ 44$		
$c =$	$120 \ 26$	$120 \ 21$	
$p =$	$154 \ 8$	$154 \ 30$	
$q =$	$144 \ 27$	$144 \ 16$	

Tafelartig nach  $c$ .

Zwillinge nach  $c$ , in mehrfacher Wiederholung, wodurch scheinbar einfache zweigliedrige Formen entstehen.

Spaltbar nach  $p$  und  $c$ .

**Triäthylphosphin-Platinchlorür.**  $2 \text{P}(\text{C}_2\text{H}_5)_3 + \text{PtCl}_2$ .

Zwei- und eingliedrig.  $a : b : c = 1,0502 : 1 : 0,7651$  Sella.  
 $\alpha = 86^\circ 4'$ .

$p, q, r, r'$ .

	Berechnet	Beobachtet
$p : p =$		$*87^\circ 20'$
$q : q =$	$114^\circ 4'$	$114 \ 10$
$r : r' =$		$*111 \ 40$
$p : q =$	$109 \ 45$	$109 \ 48$
$r =$	$115 \ 33$	
$r' =$		$*112 \ 22$
$q : r =$	$134 \ 42$	$134 \ 39$
$r' =$	$133 \ 13$	$133 \ 10$

Gelbe nach  $p$  prismatische Krystalle; in der Endigung  $r$  und  $r'$ , jenes öfter herrschend; die  $q$  fehlen entweder an einem Ende oder an einer Seite.

Das zwei- und eingliedrige Dodekaid nähert sich einer regulären Com-

\*) a an Zwillingen, b an einfachen Krystallen.

bination des Würfels  $a$  mit den vier an einer Oktaederecke liegenden Flächen des Leucitoeders  $l$ , wie sie am Salmiak vorkommt, insofern

$$\begin{aligned} a : a (p : p) &= 90^\circ \\ l : l \left\{ \begin{array}{l} q : q \\ r : r' \end{array} \right\} &= 109 \quad 28' \\ a : l \left\{ \begin{array}{l} p : q \\ p : r \\ p : r' \end{array} \right\} &= 114 \quad 5,5 \\ l : l \left\{ \begin{array}{l} q : r \\ q : r' \end{array} \right\} &= 134 \quad 49 \end{aligned}$$

(Neigung in der gebr. Oktaederkante.)

Unvollkommen spaltbar nach  $p$ .

Optisch negativ; Axenebene ist  $ac$ .

### Triäthylphosphinsulfid. $P(C^2H^5)_3 \cdot S$ .

Sechsgliedrig.  $a : c = 1 : 0,7014$  Sella.

$d, p, a$ .	Berechnet	Beobachtet
$d \left\{ \begin{array}{l} 2A \\ 2C \end{array} \right\}$	$143^\circ 20'$ 78 0	$143^\circ 10'$ 78 9
$d : p =$		$129 \quad 0$
$a =$	108 20	108 26

Sechsseitige Nadeln, an denen die Dihexaederflächen meist unvollkommen ausgebildet sind.

### Triäthylphosphinsulfocarbonat. $P(C^2H^5)_3 \cdot CS^2$ .

Zwei- und eingliedrig.  $a : b : c = 0,52794 : 1 : 0,4796$  Sella.  
 $o = 84^\circ 4'$ .

$p, r, r', a, b$ .	Berechnet	Beobachtet
$p : p =$	$124^\circ 42'$	$124^\circ 42'$
$a =$		$152 \quad 21$
$b =$	117 39	117 39
$a : r =$		$123 \quad 11$
$r' =$		$114 \quad 2$
$r : r' =$	122 47	122 47
$p : r =$	119 0	119 5
$r' =$	111 9	110 55

Sehr kleine rothe, nach  $a$  tafelartige Krystalle. Die Flächen glänzend, am wenigsten  $r'$ ;  $a$  und  $p$  zart gestreift in verticaler Richtung.

Spaltbar sehr vollkommen nach  $b$ .

Ebene der optischen Axen parallel Axe  $b$  und nahe normal auf Axe  $a$ , fast  $r$  entsprechend. Pleochroismus; Plättchen, parallel der Fläche  $a$ , sind intensiv roth, solche nach  $b$  gelbroth.

### Triäthylselenchlorid-Platinchlorid. $SeCl^2 (C^2H^5)_3 + PtCl^4$ .

Zwei- und eingliedrig.  $a : b : c = 1,520 : 1 : 0,9136$  Schimper.  
 $o = 88^\circ 47'$ .

$p, r, r', a.$	Berechnet	Beobachtet
$p : p =$		$^{\circ}66^{\circ} 42'$
$r : r = 406^{\circ} 42'$		406 42
$a : r = 421 \quad 54$		421 50
$r' : r = 420 \quad 6$		
$r : r' =$		$^{\circ}448 \quad 0$
$p : r' =$		$^{\circ}406 \quad 0$

Alle Flächen gleichmässig entwickelt, aber auch unsymmetrisch, z. B. nach der Zone  $pr'$  prismatisch. Spaltbar nach  $r$ .

Ebene der optischen Axen  $ac$ . — Groth Ztschr. 4, 248.

### Tribenzhydroxylamin s. Benzanisbenzhydroxylamin.

#### Tribenzylamin. $N(C^7H^7)_3$ .

Zwei- und eingliedrig.  $a : b : c = 4,224 : 4 : 4,043$  Panebianco.  
 $\alpha = 84^{\circ} 56'$ .

$n' = 2a' : b : c$ . —  $o', p, 2p, r, r', e$ .

	Berechnet	Beobachtet
$p : p = 78^{\circ} 42'$		
$a = 429 \quad 24$		$429^{\circ} 19'$
$2p : 2p = 44 \quad 36$		
$a : c =$		$^{\circ}95 \quad 4$
$c : r =$		$^{\circ}442 \quad 28$
$r' =$		$^{\circ}438 \quad 23$
$o' : a = 417 \quad 32$		417 26
$c = 425 \quad 26$		425 28
$p = 444 \quad 22$		444 45
$n' = 465 \quad 24$		465 29

Prismatisch nach  $a$  und  $c$ . Spaltbar nach  $a$ . Zwillinge nach  $a$ .

$c : c = 469^{\circ} 52'$	$469^{\circ} 55'$
$n' : \bar{n}' = 454 \quad 9$	454 42

Ebene der optischen Axen parallel Axe  $b$ ; Mittellinie positiv, mit  $a$  einen Winkel von etwa  $35^{\circ}$  im stumpfen Winkel  $ac$  bildend. Dispersion  $q < r$ .  $2H_a = 82^{\circ}$  etwa. — R. Accad. d. Line. 1878. Marzo (Groth Ztschr. 2, 625).

#### Tribenzylamin-Alaun.

Regulär. Oktaeder und Würfel.

#### Tribenzylamin-Platinchlorid. $2(NH_2[C^7H_7]^3Cl) + PtCl_4$ .

Zwei- und eingliedrig.  $a : b : c = 4,4588 : 4 : 4,6078$  Panebianco.  
 $\alpha = 74^{\circ} 47'$ .

$o, o', p, p^2, a, c$ .

	Berechnet
$p : p = 83^{\circ} 44'$	
$a = 434 \quad 52$	
$p^2 : p^2 = 424 \quad 42$	

	Berechnet	Beobachtet
$p^2 : a =$		$150^\circ 54'$
$a : c =$		$105 \ 43$
$o : a = 132^\circ 18'$		$132 \ 25$
$p^2 = 143 \ 59$		$144 \ 20 \text{ pp}$

Sehr kleine Krystalle mit herrschendem  $a$  und  $c$ .

### Tribenzylamin, chlorwasserstoffsäures. $N(C^7H^7)^3 \cdot HCl$ .

Sechsgliedrig-rhomboedrisch.  $a : c = 1 : 0,433$  Panebianco.

$r. a.$	Berechnet	Beobachtet
$(2A) r =$		$134^\circ 26',5$
$r : a = 112^\circ 47'$		$112 \ 55$

Optisch positiv.

### Tribenzylamin, salpetersäures. $N(C^7H^7)^3 \cdot HNO_3$ .

Zweigliedrig.  $a : b : c = 0,4 : 1 : 0,4$  Panebianco.

$o, q, a, b.$	Berechnet	Beobachtet
$q : q = 136^\circ 24'$		$136^\circ 48'$
$b = 114 \ 48$		$111 \ 44$
$o : a =$		$132 \ 49$
$b =$		$105 \ 49$

$o$  tritt als Tetraeder auf und bildet mit  $a$  und  $b$  die herrschenden Formen. — Spaltbar nach  $b$ .

Die Mittellinie ist Axe  $b$ ;  $q < v$ .  $2E = 45^\circ 20'$  Roth;  $47^\circ 40'$  Violett.

### Tribenzylamin, schwefelsäures. $[N(C^7H^7)^3]_2H_2SO_4$ .

Zwei- und eingliedrig.  $a : b : c = 0,883 : 1 : 0,880$  Panebianco.  
 $o = 79^\circ 35'$ .

$o', \frac{q}{2}, a, b, c.$	Berechnet	Beobachtet
$o' : o' = 111^\circ 46'$		
$\frac{q}{2} : \frac{q}{2} = 133 \ 10$		
$b = 113 \ 25$		$113^\circ 32'$
$a = 99 \ 33$		$99 \ 32$
$a : c =$		$100 \ 25$
$o' : a =$		$121 \ 54$
$b = 124 \ 7$		$124 \ 7$
$c =$		$122 \ 10$

Spaltbar nach  $b$ . Herrschend die Hexaidflächen.

Optisch negativ;  $2H_a =$  etwa  $105^\circ$  für Roth.

### Tribromacetamid s. Bromacetamid.

### Tribrommesitylen. $C^6H^3Br^3$ .

Eingliedrig.  $a : b : c = 0,5798 : 1 : 0,4942$  Henniges.

$A = 82^\circ 52'$	$\alpha = 83^\circ 19',5$
$B = 112 \ 6$	$\beta = 111 \ 58$
$C = 87 \ 28$	$\gamma = 90 \ 10$

$o'', o''', p, p', b, c.$ 

	Berechnet	Beobachtet
$p : p' =$	$423^\circ 40'$	$423^\circ 41'$
$b : p =$		$446 \ 28$
$p' =$		$420 \ 22,5$
$c : p =$	$106 \ 4,5$	$406 \ 5,5$
$p' =$		$442 \ 31$
$b : c =$		$482 \ 52$
$o'' : o''' =$	$432 \ 29,5$	$432 \ 25,5$
$b =$	$409 \ 44,5$	$409 \ 47$
$c =$	$424 \ 35$	$424 \ 30,5$
$p' =$		$422 \ 53,5$
$o''' : b =$	$447 \ 46$	$447 \ 50$
$c =$	$429 \ 7$	$429 \ 7$

Sehr kleine farblose Krystalle, theils tafelartig nach  $c$ , theils langprismatisch nach der Horizontalzone.

Spaltbar nach  $c$ .

Häufig sind regelmässig Verwachsungen, derart, dass der obere Krystall in der Ebene der Endfläche um eine Normale auf derselben entweder um  $420^\circ$  nach links oder um  $60^\circ$  nach rechts gedreht erscheint. Durch mehrfache Wiederholung dieser Erscheinung erhalten die Krystalle ein treppenförmiges Aussehen, und enthalten im Innern verschieden orientirte dickere Lamellen. Sind es Zwillinge?

Henniges prüfte das optische Verhalten.

Schmelzpunkt  $224^\circ$ .

Krystallogr. Untersuchung einiger organ. Verbindungen. Göttingen 1884.

### Tribrommilchsäure-Chloralid und Trichlormilchsäure-Bromalid s. Chloralid.

#### Tribromnaphtalintetrabromid. $C^{10}H^5Br^3 \cdot Br^4$ .

Isomorph dem Monochlordibromtetrachlorid. Die gleiche Berechnung gab

$$a : b : c = 0,738 : 4 : 4,027$$

$$o = 74^\circ 35'.$$

S. Naphtalintetrachlorid.

#### Tribromphenolbenzoat. $C^{13}H^7Br^3O^2$ .

Zwei- und eingliedrig.  $a : b : c = 0,8454 : 4 : 4,30$  Levin.

$$o = 84^\circ 48'.$$

 $o, o', p, b.$ 

	Berechnet	Beobachtet
$o : o =$		$443^\circ 25'$
$o' : o' =$		$405 \ 55$
$o : o' =$	$93^\circ 47',5$	$93 \ 20$
$o : o' =$		$427 \ 9$
$p : p =$	$400 \ 44$	$400 \ 30$
$b =$	$429 \ 53$	$430 \ 4$

	Berechnet	Beobachtet
$o : p =$	$154^{\circ} 54'$	$154^{\circ} 58'$
$b =$	$129 \ 53$	$130 \ 1$
$o' : p =$	$152 \ 15$	$152 \ 22$

Oктаeder  $oo'$  mit Abstumpfung  $b$  der Seitenecken;  $p$  sehr schmal. — Dissertation.

**Trichloracetamid** s. Chloracetamid.

**Trimethyläthylenbromür-Phosphonbromid.**  $P(CH^3)_3(C^2H^4Br)_2$ .

Zweigliedrig.  $a : b : c = 0,5684 : 1 : 0,29615$  Sella.

$n = \frac{1}{2}a : b : c$ . —  $p, a, b$ .

	Berechnet	Beobachtet
$n \left\{ \begin{array}{l} 2A = \\ 2B = \\ 2C = \end{array} \right.$	$\begin{array}{l} 113^{\circ} \ 0' \\ 121 \ 52 \\ 94 \ 38 \end{array}$	$\begin{array}{l} 112^{\circ} \ 54' \\ 121 \ 50 \\ 94 \ 34 \end{array}$
$p : p =$	$120 \ 48$	$120 \ 48$
$a =$		$*150 \ 24$
$b =$	$119 \ 36$	$119 \ 34$
$n : a =$		$*119 \ 4$
$b =$	$123 \ 30$	$123 \ 33$
$c =$	$132 \ 41$	$132 \ 43$
$p =$	$134 \ 1$	$134 \ 15$

Rechtwinklig vierseitige Tafeln  $a, b, c, p$ , mit herrschendem  $c$ ; rhombische Tafeln  $p, c$  mit untergeordneten  $n$ . Oft herrscht ein  $p$  vor; die  $n$  sind nicht vollzählig, oder die Krystalle erscheinen als Hälften, mit nur einem  $b$ , zwei sehr kleinen  $p$  und den  $n$  der einen Seite.

Spaltbar nach  $c$  und  $p$ .

**Trimethyläthylammoniumpentajodid.**  $N(CH^3)_3(C^2H^5)_5 \cdot J^5$ .

Viergliedrig.  $a : c = 1 : 0,5723$  Schabus.

$o, a, c$ .

	Berechnet	Beobachtet
$o \left\{ \begin{array}{l} 2A = \\ 2C = \end{array} \right.$	$\begin{array}{l} 127^{\circ} \ 10' \\ 78 \ 0 \end{array}$	
$o : c =$		$*144^{\circ} \ 0'$
$a =$	$116 \ 25$	

Undurchsichtige violette Blättchen von grünlichem Schimmer. — Ann. Ch. Pharm. 408, 1.

**Trimethylamylammoniumtrijodid.**  $N(CH^3)_3(C^5H^{11})_3 \cdot J^3$

Zweigliedrig.  $a : b : c = 0,7747 : 1 : 0,5206$  Schabus.

$p, r, a, b$ .

	Berechnet	Beobachtet
$p : p =$		$*104^{\circ} \ 28'$
$r : r =$		$*112 \ 12$
$p =$	$116^{\circ} \ 40'$	

Dunkelbraune Prismen  $p$ , nach  $a$  tafelartig. Trichroismus. — A. a. O.

**Trimethylaminaun.**  $[(\text{NH}(\text{CH}_3)_3)_2\text{SO}^+ + \text{AlS}^3\text{O}^{12}] + 24 \text{ aq.}$

Regulär. Bisweilen Zwillinge. Schabus.

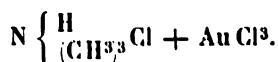
**Trimethylamin, oxalsaures (saures).**  $\text{C}^5\text{H}^{11}\text{NO}^4$ .

Zweiglig.  $b : c = 1 : 0,39$  Loschmidt.

$q, a, b, c.$	Berechnet	Beobachtet
$q : q =$		$137^\circ 42'$
$b =$	$111^\circ 24'$	$111 \quad 46$
$c =$	$158 \quad 36$	$158 \quad 46$

Dünne Blättchen aus den Hexaëdflächen, tafelförmig nach  $a$ ;  $q$  ist selten. Biegsam; spaltbar nach  $a$ . — Wien. Ak. Ber. 54.

**Trimethylammonium-Goldchlorid.**



Nach Hior dahl zwei- und eingliedrig.  $a : b : c = 0,8546 : 1 : 0,8564$ .  
 $o = 81^\circ 29'$ .

$o', p, q^2, b, c.$	Berechnet	Beobachtet
$o' : o' =$	$114^\circ 6'$	$114^\circ 17'$
$p : p =$	$99 \quad 36$	
$c =$		$96 \quad 30$
$q^2 : q^2 =$	$64 \quad 6$	
$b =$	$149 \quad 27$	$149 \quad 36$
$c =$	$120 \quad 33$	$120 \quad 27$
$o' : b =$		$122 \quad 57$
$c =$		$123 \quad 9$
$p =$	$140 \quad 21$	$140 \quad 33$

Sehr kleine sechsseitige Tafeln nach  $c$  mit Vorherrschen der Diagonallzone desselben. — S. Methylamin-Zinnchlorid.

Nach Topsøe zweigliedrig.  $a : b : c = 0,8618 : 1 : 1,5422$ .

$\frac{o}{2}, p, q, r, c.$

	Berechnet	Beobachtet Topsøe
$\frac{o}{2} \left\{ \begin{array}{l} 2A = \\ 2B = \\ 2C = \end{array} \right.$	$\begin{array}{l} 120^\circ 14' \\ 109 \quad 22 \\ 99 \quad 31 \end{array}$	
$p : p =$	$98 \quad 29$	$98^\circ 25'$
$q : q =$	$65 \quad 55$	$65 \quad 55$
$c =$	$122 \quad 57,5$	$122 \quad 40$
$r : r =$	$58 \quad 24$	$58 \quad 34$
$c =$	$119 \quad 42$	$119 \quad 22$
$p : q =$		$123 \quad 13$
$r =$		$131 \quad 24$
$q : r =$	$105 \quad 23$	$105 \quad 22$

	Berechnet	Beobachtet
$\frac{o}{2} : p =$	$139^{\circ} 45',5$	$139^{\circ} 55'$
$q =$	$140 \ 49$	$140 \ 27$
$r =$	$145 \ 4$	$145 \ 8$

Tafelartig nach  $c$ , oder nach einer Fläche  $p$ . Die Flächen, ausgenommen  $c$ , sind eben und glänzend.

Wählt man  $\frac{o}{2}$  zum Hauptoktaeder, so wird  $c = 0,774$ .

Nach *Topsøe* ist *Hiortdahl's* Annahme des zwei- und eingliedrigen Systems nicht richtig. — *Topsøe*, Kryst.-kem. Unders. over homologe Forbindelser. Kjöbenhavn 1882. —

### Trimethylammonium-Kadmiumbromid. $N(CH_3)_3HCl + CdBr^2$ .

Sechsgliedrig.  $a : c = 1 : 0,4628$  *Hiortdahl*.

$d, p$ .	Berechnet	Beobachtet
$d \begin{cases} 2A = \\ 2C = \end{cases}$	$\begin{cases} 152^{\circ} 44' \\ 56 \ 44 \end{cases}$	
$d : p =$		$118^{\circ} 7'$

Grosse glänzende durchsichtige Prismen, mit etwas gekrümmten Flächen.

Einaxig, negativ. — *S.* Methylamin-Zinnchlorid.

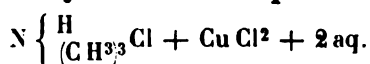
### Trimethylammonium-Kadmiumchlorid. $N(CH_3)_3HCl + CdCl^2$ .

Zweigliedrig.  $a : b : c = 0,6242 : 1 : 0,4622$  *Hiortdahl*.

$o, p, q^2, b$ .	Berechnet	Beobachtet.
$(2C) \ o : o =$	$82^{\circ} 26'$	$82^{\circ} 38'$
$p : p =$	$116 \ 48$	$116 \ 24$
$b =$		$121 \ 54$
$q^2 : q^2 =$	$94 \ 30$	
$b =$	$132 \ 45$	$132 \ 43$
$o : p =$		$134 \ 13$

Von dihexaedrischem Ansehen wie Kalisulfat, auch sternförmige Zwillinge und Drillinge.

### Trimethylammonium-Kupferchlorid.



Zwei- und eingliedrig.  $a : b : c = 1,0617 : 1 : 0,9583$  *Topsøe*.  
 $o = 88^{\circ} 10'$ .

$\frac{o}{2}, \frac{o'}{2}, p, ^2p, p^{\frac{3}{2}}, q, r, r', a, c$ .

	Berechnet
$\frac{o}{2} : \frac{o}{2} =$	$98^{\circ} 44'$
$\frac{o'}{2} : \frac{o'}{2} =$	$97 \ 22$

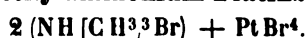


490 Trimethylammonium-Platinbromid — Trimethylammonium-Quecksilberchlorid.

	Berechnet	Beobachtet
$p : p =$	$86^{\circ} 36'$	$86^{\circ} 29'$
$a =$	$133 \ 48$	$133 \ 44$
$c =$	$91 \ 46$	$91 \ 48$
${}^2p : {}^2p =$	$50 \ 28$	$50 \ 24$
$a =$		$*115 \ 44$
$p^{\frac{3}{2}} : a =$	$144 \ 44$	$144 \ 47$
$q : q =$	$92 \ 48,5$	$92 \ 52$
$c =$	$136 \ 24$	$136 \ 27$
$a =$	$91 \ 49,5$	$91 \ 49$
$a : c =$	$91 \ 50$	$91 \ 50$
$r =$	$132 \ 55$	$132 \ 54$
$r' =$	$130 \ 53$	$130 \ 53$
$c : r =$	$138 \ 55$	$139 \ 5$
$r' =$		$*137 \ 17$
$p : q =$	$121 \ 11$	$121 \ 15$
$r' =$	$116 \ 40$	$116 \ 38$
${}^2p : r' =$		$*106 \ 12$
$\frac{o}{2} : c =$	$133 \ 57$	$134 \ 22$
$\frac{o'}{2} : a =$	$106 \ 48$	$106 \ 45$
$c =$	$133 \ 8$	$133 \ 8$

Grosse grüne Prismen, mit herrschenden  $a$ ; am seltensten treten  $\frac{o}{2}$  und  $p^{\frac{3}{2}}$  auf. Spaltbar nach  $a$ . — S. Teträthylsalz.

**Trimethylammonium-Platinbromid.**

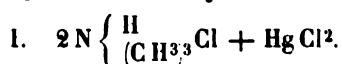


Regulär. Von der Form des Chlorids. Topsøe.

**Trimethylammonium-Platinchlorid.**  $2 [\text{NH} (\text{C H}_3^3 \text{Cl}) + \text{Pt Cl}^4.$

Regulär. Oktaeder. Schabus. Lüdecke. — Vgl. Ditscheiner: Ber. d. ch. G. 1880, 1668.

**Trimethylammonium-Quecksilberchlorid.**



Zwei- und eingliedrig.  $a : b : c = 1,4066 : 1 : 0,4698$  Topsøe.  
 $o = 87^{\circ} 57'.$

$o, o', p, p^2, p^3, r, r'.$

$o' : o' =$	$131^{\circ} 30'$	$131^{\circ} 23'$
$p : p =$	$70 \ 52$	
$p^2 : p^2 =$		$*109 \ 48$
$p^3 : p^3 =$	$129 \ 48$	
$p^2 : r =$		$*106 \ 30$

	Berechnet	Beobachtet
$p^2 : r' = 103^\circ 32'$		$103^\circ 52'$
$o = 119 \ 28$		120    ungef.
$o' =$		*116 43
$o' : r' = 155 \ 45$		155 56

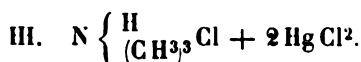
Sehr kleine prismatische Krystalle, spaltbar nach  $a$ .



Zwei- und eingliedrig.  $a : b : c = 1,6165 : 1 : 1,6538$  Topsöe.  
 $o = 82^\circ 42'$ .

$p, q, a, c.$	Berechnet	Beobachtet
$p : p = 63^\circ 54'$		
$a =$		*121° 57'
$c = 93 \ 51,5$		93 52,5
$q : q = 62 \ 44$		
$c =$		*121 22
$a : c =$		*97 18
$q : p = 139 \ 25$		139 25
$a = 94 \ 47,5$		94 48

Prismatisch nach  $p$  mit Vorherrschen von  $a$ . Diamantglänzend.



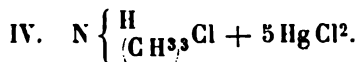
Eingliedrig.  $a : b : c = 0,9033 : 1 : 0,4042$  Topsöe.

$A = 95^\circ 10'$	$\alpha = 85^\circ 13',5$
$B = 99 \ 2$	$\beta = 98 \ 48,5$
$C = 86 \ 59$	$\gamma = 87 \ 46$

$$\begin{aligned} n &= \frac{1}{4} a : b : c \\ n' &= \frac{1}{4} a' : b : c \\ m' &= a' : \frac{1}{4} b : c \end{aligned}$$

$p, p', b.$	Berechnet	Beobachtet
$p : p' =$		*96° 17'
$b : p = 133^\circ 32'$		133 32
$p' =$		*130 11
$n : n' =$		*92 26
$n' : b = 109 \ 48$		109 49
$p' =$		*130 33,5
$p =$		*100 9
$m' : b = 125 \ 32$		125 30
$p' = 101 \ 23,5$		

Prismatisch nach der Horizontalzone, tafelartig nach  $p$ ; in der Endigung oft nur eine Fläche  $n'$ . Spaltbar nach  $p'$  und  $b$ .



Sechsgliedrig.  $a : c = 1 : 1,075$  Topsöe.

$r, a, c.$

	Berechnet	Beobachtet
$2A$ von $r =$	$93^{\circ} 58'$	$94^{\circ} 4',5$
$r : a =$	$133 \quad 4$	$132 \quad 59$
$c =$		$*128 \quad 1,5$

$r$  herrscht vor. Spaltbar nach  $r$  und  $c$ .

**Trimethylammonium-Zinnchlorid.**  $2 [N(CH^3)_3HCl] + SnCl^4$ .

Regulär. Farblose Würfel und Oktaeder. Hiortdahl.

**Trimethylglycolammoniumchlorid.**  $N(CH^3)_3C^2H^3O^2 \cdot Cl$ .

Zwei- und eingliedrig.  $a : b : c = 0,8496 : 1,2637$  Rammelsberg.  
 $o = 84^{\circ} 10'$ .

$o, o', \frac{o}{2}, p, q, a, b, c$ .

	Berechnet	Beobachtet	
		A.	B.
$o : o =$	$112^{\circ} 18'$		
$o' : o' =$	$107 \quad 14$		
$o : o' =$	$94 \quad 25$		
$o : o' =$	$125 \quad 43$		
$\frac{o}{2} : \frac{o}{2} =$	$128 \quad 46$		
$p : p =$	$99 \quad 36$		
$c =$	$94 \quad 27$		
$q : q =$	$77 \quad 0$	$76^{\circ} 46'$	
$c =$		$*128 \quad 30$	$128^{\circ} 18'$
$b =$	$141 \quad 30$	$141 \quad 26$	$140 \quad 30$
$a =$	$92 \quad 47$	$93 \quad 30$	$94 \quad$ ungef.
$a : c =$		$*95 \quad 50$	$95 \quad 30$
$o : a =$	$134 \quad 45$	$134 \quad 30$	$136 \quad$ ungef.
$c =$	$120 \quad 40$	$120 \quad 36$	
$p =$	$153 \quad 47$	$155-156^{\circ}$	
$q =$		$*138 \quad 2'$	$137 \quad 50$
$o' : a =$	$130 \quad 50$	$129-132\frac{1}{2}^{\circ}$	
$c =$	$113 \quad 37$		
$p =$	$151 \quad 56$	$153\frac{1}{2}$	
$q =$	$136 \quad 23$		
$\frac{o}{2} : a =$	$125 \quad 42$		
$c =$	$138 \quad 7$		$140 \quad$ ungef.
$p =$	$136 \quad 20$		
$o =$	$162 \quad 33$		$160 \quad -$

Die Krystalle, auf welche sich die Messungen A. beziehen, wurden durch Oxydation von Bilineurin erhalten. B. sind Krystalle, aus der Einwirkung von Monochloressigsäure auf Trimethylamin entstanden. Sie sind prismatisch nach  $a$  und  $c$  und tafelartig nach  $a$ . (Vgl. Liebreich in den Ber. d. d. chem. Ges. 2, 12.)

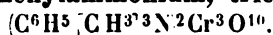
**Trimethylphenylammonium-Zinkjodid.**  $(C^6H^5[CH^3]^3N^2ZnJ^4)$ .Zweigliedrig.  $a : b : c = 0,7089 : 1 : 0,578$  Hiortdahl.

$p, r, r^2, a, b, c.$	Berechnet	Beobachtet
$p : p =$	$109^\circ 20'$	$109^\circ 25'$
$a =$	$144 \ 40$	$144 \ 47$
$b =$		$125 \ 20$
$r : r =$	$101 \ 36$	
$c =$	$140 \ 48$	$140 \ 32$
$r^2 : r^2 =$	$63 \ 2$	
$c =$		$121 \ 31$
$p =$	$134 \ 4$	$134 \ 20$

Kurze Prismen mit Vorherrschen von  $p$  und  $c$ . Die Flächen stark glänzend, doch oft etwas gekrümmt. — Kommt dem  $N^2(H^4Am^2Zn)J^2$  nahe.

Ebene der optischen Axen  $ab$ , Mittellinie  $b$ ; positiv,  $\varrho > v$ .  $2H_a = 38^\circ 39'$  Roth;  $38^\circ 34'$  Gelb;  $38^\circ 22'$  Grün.

S. Methylamin-Zinnchlorid.

**Trimethylphenylammonium, trichromsaur.**Zwei- und eingliedrig.  $a : b : c = 0,352 : 1 : 0,55$  Hiortdahl.  
 $\alpha = 73^\circ 17'.$ 

$$n = a : \frac{1}{3}b : c.$$

$$n' = a' : \frac{1}{3}b : c. — p, q, q^2, a, b, c.$$

	Berechnet	Beobachtet
$p : p =$	$142^\circ 44'$	$142^\circ 46'$
$a =$		$161 \ 22$
$b =$	$108 \ 38$	$108 \ 37$
$c =$		$103 \ 49$
$q : q =$	$124 \ 26$	
$c =$		$152 \ 13$
$b =$	$117 \ 47$	$117 \ 57$
$p =$	$112 \ 57$	$112 \ 58$
$q^2 : q^2 =$	$87 \ 0$	
$b =$	$136 \ 30$	$136 \ 41$
$a : c =$	$106 \ 43$	$106 \ 29$
$n : b =$	$123 \ 27$	$123 \ 28$
$c =$	$106 \ 44$	$106 \ 34$
$p =$	$143 \ 53$	$144 \ 11$
$q =$	$121 \ 38$	$120 \ 34$
$n' : c =$	$128 \ 22$	$128 \ 11$
$p =$	$153 \ 32$	$153 \ 47$
$q =$	$139 \ 26$	$139 \ 8$

Die Krystalle sind tafelförmig nach  $c$  und prismatisch nach  $bqc$ . Unter den Augitpaaren herrscht  $n'$  vor, während  $n$  gewöhnlich nur zur Hälfte vorhanden ist. Dehnt sich eine dieser Flächen aus, und sind  $n'$  und  $p$  nur zur Hälfte entwickelt, so entstehen sehr unsymmetrische Formen.

S. Methylamin-Zinnchlorid.

**Trinitranisol.**  $C^7H^5O(NO_2)^3$ .

Zwei- und eingliedrig.  $a : b : c = 1,4635 : 1 : 2,224$  Friedländer.  
 $\alpha = 50^\circ 48'$ .

$p, q, c.$	Berechnet	Beobachtet
$p : p =$		$82^\circ 48'$
$c =$		$114 \quad 42$
$q : q = 60^\circ 48'$		
$c =$		$120 \quad 9$
$p = 149 \quad 10$		$149 \quad 40$

Tafelartig nach  $c, q$  selten und klein.

Ebene der optischen Axen parallel Axe  $b$ , mit Axe  $c$  etwa  $45^\circ$  nach hinten bildend. — Groth Ztschr. 3, 173.

Schmelzpunkt  $60^\circ$ .

**Trinitrobenzoesäure.**  $C^7H^2(NO_2)^3O_2$ .

Zweigligliedrig.  $a : b : c = 0,877 : 1 : 0,574$  Friedländer.

$p, r, b.$	Beobachtet
$p : p =$	$97^\circ 35'$
$r : r =$	$120 \quad 30$
$p =$	$112 \quad 35$

Tafelartig nach  $b$ .

Optische Axenebene  $ab$ , Mittellinie  $b$ ; positiv.  $2E = 90^\circ 25'$  Roth,  $84^\circ 36'$  Gelb,  $78^\circ 5'$  Grün. — Groth Ztschr. 4, 623.

**Trinitrobenzol.**  $C^6H^3(NO_2)^3$ .

Zweigligliedrig.  $a : b : c = 0,954 : 1 : 0,733$  Friedländer.

$n = a : \frac{1}{2}b : c.$  —  $\alpha, p, {}^2p, a, b.$

	Berechnet	Beobachtet
$\alpha \left\{ \begin{array}{l} 2A = 119^\circ 40' \\ 2B = \\ 2C = 93 \quad 26 \end{array} \right.$		$116^\circ 26'$
$p : p = 92 \quad 42$		
$b = 133 \quad 39$		$133 \quad 34$
${}^2p : {}^2p = 55 \quad 20$		
$b = 152 \quad 20$		$152 \quad 2$
$\alpha : b =$		$120 \quad 10$

Prismatisch und tafelartig nach  $b$ . Kleine, oft undeutlich ausgebildete Krystalle.

Ebene der optischen Axen  $ac$ . — Groth Ztschr. 3, 168.

Schmelzpunkt  $121-122^\circ$ .

**Trinitrochlorbenzol.**  $C^6H^2Cl(NO_2)^3$ .

Zwei- und eingliedrig.  $a : b : c = 1,8328 : 1 : 0,8113$  Bodewig.  
 $\alpha = 77^\circ 9'.$

$p, r, a, c.$	Berechnet	Beobachtet
$p : p =$		$58^{\circ} 27'$
$a =$	$149^{\circ} 14'$	
$c =$		$96 \ 14$
$a : c =$	$102 \ 51$	$102 \ 34$
$r =$	$124 \ 48$	$124 \ 40$
$c : r =$		$158 \ 33$
$p : r =$	$105 \ 58$	$105 \ 51$

Prismatisch nach  $p$  oder nach  $ac$ .

Ebene der optischen Axen  $ac$ . — Groth Ztschr. 3, 394.

Schmelzpunkt  $82^{\circ}$ .

### Trinitrodiphenylbenzol. $C^{16}H^{11}(NO_2)^3$ .

Zweigliedrig.  $a : b : c = 0,7107 : 4 : 4,0074$  Fock

$p, q, r, \frac{r}{2}.$	Berechnet	Beobachtet
$p : p =$		$109^{\circ} 42'$
$q : q =$		$71 \ 42$
$r : r =$	$89^{\circ} 20'$	$89 \ 34$
$\frac{r}{2} : \frac{r}{2} =$	$126 \ 32$	$126 \ 9$
$p : q =$	$109 \ 43$	$109 \ 59$
$q : r =$	$125 \ 44$	$125 \ 45$
$p : \frac{r}{2} =$	$111 \ 34$	$111 \ 34$

Prismatisch nach  $r$  und  $\frac{r}{2}$ . Hellgelbe Nadeln, spaltbar nach  $a$ .

Wegen des Zusammenhanges mit der Form der Dinitroverbindung hat Fock die Axen  $a$  und  $b$  vertauscht. — Groth Ztschr. 5, 307.

### Trinitromesitylen. $C^9H^9NO_2^3$ .

Eingliedrig.  $a : b : c = 0,9527 : 4 : 0,505$  Friedländer.

$\alpha = 82^{\circ} 40'$ ;  $\beta = 107^{\circ} 52'$ ;  $\gamma = 68^{\circ} 42'$ .

$p, r', a, b, c.$	Beobachtet
$a : b =$	$123^{\circ} 8'$
$a : c =$	$114^{\circ} 21'$
$b : p =$	$116 \ 26$
$c : r' =$	$146 \ 26$
$b : c =$	$407 \ 29$
$p =$	$97 \ 34$

Dünne Prismen,  $apb$ . — Groth Ztschr. 3, 169.

Schmelzpunkt  $232^{\circ}$ .

### Trinitrophenol.

(Trinitrophensäure. Pikrinsäure.)

$C^6H^3(NO_2)^3O$ .

Zweigliedrig.  $a : b : c = 0,974 : 4 : 0,9374$  Mitscherlich.

$o, 2p, a.$	Berechnet	Beobachtet
		Mitscherlich      Laurent
$\left\{ \begin{array}{l} 2A = \\ 2B = \\ 2C = \end{array} \right.$	$106^{\circ} 40'$	$111^{\circ} 57'$ $109 \ 50$ $108^{\circ} 0'$

	Berechnet	Beobachtet	
		Mitscherlich	Laurent
$2p : 2p =$	$54^{\circ} 20'$	$54^{\circ} 24'$	
$a =$	117 40	115 42	115° 30'
$a : a =$	125 5		125 0

Den Messungen zufolge wäre es nicht  $2p$ , sondern  $\frac{1}{2}p$ , für welches die Werthe  $50^{\circ} 2'$  und  $115^{\circ} 4'$  in Rechnung kommen würden.

Prismen  $p$ , tafelförmig nach  $a$ . — Mitscherlich: Pogg. A. 13, 375. — Laurent: Revue scient. 9, 24.

Volumgewicht. 1,75—1,777 Schröder; 1,813 Rüdorff.

Schmelzpunkt.  $422^{\circ},5$  Körner (künstliches  $444$ — $445^{\circ}$ ).

Löslichkeit. 400 Th. Wasser lösen bei  $5^{\circ}$  0,626, bei  $15^{\circ}$  1,161, bei  $20^{\circ}$  1,225, bei  $77^{\circ}$  3,89 Th. Marchand.

Thermochemisches. Berthelot: C. r. 73, 663. 77, 24. Ann. Ch. Phys. (5) 9, 161.

Vgl. die Abhandlung von Liebig in Pogg. A. 43, 491, auch betreffs der Salze.

#### Trinitrophensaures Ammoniak. $\text{AmC}^6\text{H}_2(\text{NO}^2\text{O})$ .

Zweiglig.  $a : b : c = 0,6787 : 1 : 0,3574$  Handl.

$s = \frac{2}{3}a : \frac{1}{3}b : c$  (?). —  $p, q, a, b$ .

	Berechnet	Beobachtet	
		Handl	Laurent
$p : p =$	$111^{\circ} 40'$	$111^{\circ} 34'$	$111^{\circ} 0'$
$a =$	115 50	115 44	
$b =$		121 40	
$q : q =$	140 42	140 44	
$b =$		109 39	
$p =$	100 54	100 43	
$s \left\{ \begin{array}{l} 2A = \\ 2B = \\ 2C = \end{array} \right.$	$\begin{array}{l} 103 42 \\ 134 42 \\ 121 38 \end{array}$		135 0

$s$  ist von Laurent allein beobachtet. Prismatisch nach  $p$  und oft tafelförmig nach  $b$ . — Handl: Wien. Ak. Ber. 32 (1858). — Laurent. a. a. O.

#### Trinitrophensaures Kali. $\text{KC}^6\text{H}_2(\text{NO}^2\text{O})$ .

Zweiglig.  $a : b : c = 0,6969 : 1 : 0,3698$  Schabus.

$p, q, a, b$ .

	Berechnet	Beobachtet		
		Schabus	Miller	Laurent
$p : p =$		$110^{\circ} 15'$	$110^{\circ} 24'$	$110^{\circ} 0'$
$b =$	$124^{\circ} 52'$		124 48	$110^{\circ} 12'$ Rg.)
$q : q =$		139 25	139 40	139 0
$p =$	101 22			

Gleich dem vorigen. Dichroismus. — Laurent: a. a. O. — Miller: Phil. Mag. (3) 6, 405. — Schabus: Wien. Ak. Ber. 1850.

Verbrennungswärme. Roux: C. r. 77, 438. 478. — Berthelot: Ann. Ch. Phys. (5) 9, 464.

### Trinitrophensaures Thallium. $\text{TlC}^6\text{H}_2\text{NO}_2^3\text{O}$ .

Zwei- und eingliedrig.  $a : b : c = 2,2447 : 1 : 1,1741$  Des Cloi-  
zeaux.  $\alpha = 69^\circ 58'$ .

$p, r, r', a.$	Berechnet	Beobachtet
$p : p =$	$51^\circ 24'$	
$a =$		$115^\circ 42'$
$r : r' =$	$125 \ 46$	$125 \ 36$
$a : r =$		$132 \ 55$
$r' =$		$101 \ 20$
$p : r =$	$107 \ 10,5$	$107 \ 94$
$r' =$	$94 \ 53$	$94 \ 50$

Die rothen Krystalle sind prismatisch nach der Verticalzone und öfter tafelartig nach  $a$ .

Optische Axenebene  $= ac$ .

Volumgewicht  $= 3,039$ .

Das Salz löst sich in 280 Th. Wasser von  $15^\circ$ . — Des Cloizeaux: s. Thalliumsalze.

### Trinitrophensaurer Strontian. $\text{SrC}^6\text{H}_2\text{NO}_2^3\text{O}_2 + 5\text{aq.}$

Feine platte Nadeln, anscheinend eingliedrig.

v. Rath: Pogg. Ann. 110, 444.

### Trinitrophloroglucin. $\text{C}^6\text{H}_3(\text{NO}_2^3\text{O})_3$ .

Sechsgliedrig.  $a : c = 1 : 1,0346$  Ditscheiner.

$d, p, a.$

Beobachtet  $d : p = 145^\circ 39'$ ;  $d : d \ 2A = 131^\circ 40'$  (ber.  $131^\circ 14'$ ).

Prismatisch nach  $p$  und  $a$ . — Wien. Ak. Ber. 77 (Groth Ztschr. 5, 646).

### Trinitrotoluol. $\text{C}^8\text{H}_5\text{NO}_2^3$ .

#### I.

Zweigliedrig.  $a : b : c = 0,7586 : 1 : 0,597$  Friedländer.

$p, p^2, q, b.$  Beobachtet

$p : b = 127^\circ 41'$ ;  $q : b = 120^\circ 50'$ ;  $2p : b = 140^\circ 34'$ .

Prismatisch und tafelartig nach  $b$ .

Ebene der optischen Axen  $ab$ , Mittellinie  $b$ .  $2E_a = 106^\circ 25'$  Roth,  $408^\circ 55'$  Gelb,  $140^\circ 58'$  Grün.

Schmelzpunkt  $82^\circ$ . — Groth Ztschr. 3, 469.

#### II.

Zweigliedrig.  $a : b : c = 0,9373 : 1 : 0,6724$  Friedländer.



$o, p^2, \frac{q}{2}, b, c.$

	Berechnet	Beobachtet
$o \begin{cases} 2A = \\ 2B = \\ 2C = 89^\circ 2' \end{cases}$		$*122^\circ 42'$ $*118 28$ $88 59$
$p^2 : p^2 = 129 47$		$129 53$
$b = 115 2$		$114 49$
$\frac{q}{2} : \frac{q}{2} = 73 16$		
$b = 143 22$		$143 25$
$o : b = 118 39$		$118 38$
$p^2 = 132 16$		$131 54$

Tafelartig nach  $b$ .

Ebene der optischen Axen  $bc$ , Mittellinie  $c$ . Doppelbrechung positiv, sehr stark; Dispersion der Axen sehr gering,  $\varrho < v$ . — Groth Ztschr. 3, 473.

Schmelzpunkt  $104^\circ$ .

#### Triphenylamin. $(C^6H_5)_3N$ .

Zwei- und eingliedrig.  $a : b : c = 0,9943 : 1 : 1,4419$  Arzruni.  
 $o = 88^\circ 38'$ .

$o, o', p, r', b, c.$

	Berechnet	Beobachtet	
		Arzruni	Kennigott
$o : o =$		$*102^\circ 32'$	$102^\circ 30'$
$o' : o' = 104^\circ 17'$			
$o : o' =$		$*101 4$	
$o : o' = 126 59$		$126 57$	$124 30$
$p : p = 90 34$		$90 29$	
$c = 90 58$		$90 50$	
$c : r' = 124 10$		$124 14$	
$o : c =$		$*117 17$	
$b = 128 44$		$128 36$	
$p = 153 44$		$153 38$	
$o' : c = 115 44$		$115 55$	
$b = 129 22$		$129 19$	
$p = 153 48$		$153 20$	

Tafelartig nach  $c$ .

Ebene der optischen Axen  $ac$ . — Groth Ztschr. 4, 454. — Kennigott: Ber. d. ch. G. 1873, 1544.

Kennigott hielt die Krystalle für viergliedrig.

Schmelzpunkt  $127^\circ$ .

#### Triphenylbenzol. $C^6H_5(C^6H_5)_3$ .

Zweigliedrig.  $a : b : c = 0,566 : 1 : 0,7666$  Arzruni.

$\frac{o}{2}, p, p^3, q, \frac{q}{2}, a, b.$

Berechnet		Arzruni	Beobachtet Knop	Fritsch
$\frac{o}{2}$	$\left\{ \begin{array}{l} 2A = 144^\circ 47' \\ 2B = 115 \quad 24 \\ 2C = 104 \quad 13 \end{array} \right.$		$\left\{ \begin{array}{l} 144^\circ 30' \\ 115 \quad 42 \\ 105 \quad 0 \end{array} \right.$	
$p$	$p = 120 \quad 58$	$121^\circ 0'$	$120 \quad 45$	
$b$	$b =$	$119 \quad 31$	$119 \quad 35$	$119^\circ 43'$
$p^3$	$p^3 = 158 \quad 36$			
$b$	$b = 100 \quad 42$	$100 \quad 44$		
$p$	$p = 161 \quad 10$	$161 \quad 6$		
$q$	$q = 105 \quad 3$	$105 \quad 19$	$105 \quad 3$	
$b$	$b = 127 \quad 29$	$127 \quad 15$		
$\frac{q}{2}$	$\frac{q}{2} = 138 \quad 3$		$137 \quad 57$	
$\frac{o}{2}$	$\frac{o}{2} : p = 127 \quad 53$		$127 \quad 30$	$127 \quad 40,5$
$p$	$p : a = 150 \quad 29$	$150 \quad 23$		
$q$	$q =$	$107 \quad 26,5$		

Optisch negativ; Axenebene =  $ac$ , Mittellinie  $c$ .  $2E = 17^\circ 48'$  Roth;  $18^\circ 25'$  Gelb;  $19^\circ 27'$  Grün. — Brechungsexponenten

	$\alpha$	$\beta$	$\gamma$
Roth	1,5202		
Gelb	1,5244	1,8670	1,8725
Grün	1,5291	1,8848	1,8897

Für den brechenden Winkel des Prismas  $p$  ist die Differenz der Ablenkung des ordentlichen und ausserordentlichen Strahles (für Gelb)  $36^\circ 28'$ ; die Stärke der Doppelbrechung ist also grösser, als bei irgend einem anderen Körper.

Der wahre Winkel  $2V_a$  ist für Gelb  $9^\circ 50'$ , Grün  $10^\circ 47'$ . — Arzruni: Groth Ztschr. 1, 445. — Fritsch: Ber. d. ch. G. 1874, 1123. Schmelzpunkt  $167$ — $168^\circ$  oder  $169$ — $170^\circ$ .

#### Tropidin-Platinchlorid. $2C^6H^{13}N \cdot HCl + PtCl^4$ .

Dimorph.

A. Zwei- und eingliedrig.  $a : b : c = 1,8375 : 1 : 1,4623$  Bodewig.  
 $o = 82^\circ 0'$ .

$o', p, q, r', a, c$ . —  $s = \frac{1}{2} a : b : c$ .

	Berechnet	Beobachtet
$o' : o' =$	$78^\circ 44'$	
$p : p =$		$57^\circ 35'$
$q : q =$	$69 \quad 16$	
$c =$		$124 \quad 38$
$r' : a =$	$123 \quad 33$	
$c =$	$138 \quad 33$	
$a : c =$		$98 \quad 0$
$s : s =$	$108 \quad 2$	

Prismatisch nach der Verticalzone.

Spaltbar nach  $r'$ .

Ebene der optischen Axen parallel Axe  $b$ .

B. Zweigliedrig.  $a : b : c = 0,78457 : 1 : 0,60662$  Bodewig.

$o, p, q, r, a, c.$	Berechnet	Beobachtet
$o \left\{ \begin{array}{l} 2A = 115^\circ 44' \\ 2B = 113 \quad 2 \\ 2C = 89 \quad 0 \end{array} \right.$		
$p : p = 103 \quad 46$		
$q : q =$		$*117^\circ 38'$
$r : r = 104 \quad 34$		
$o : p = 134 \quad 30$		
$q =$		$*146 \quad 31$
$r = 154 \quad 22$		

Theils Prismen  $p$ , in der Endigung  $q$  herrschend, theils rechtwinklige Prismen  $a, c$ , an denen die  $o$  fehlen.

Ebene der optischen Axen  $ac$ . — Ber. d. ch. Ges. 1880, 252. — Groth Ztschr. 5, 566.

#### Tropin-Platinchlorid. $2C^8H^{15}NO \cdot HCl + PtCl^4$ .

Zwei- und eingliedrig.  $a : b : c = 0,55347 : 1 : 0,9794$  Bodewig.  
 $o = 87^\circ 32'$ .

$m = \frac{1}{3}a : b : \frac{1}{3}c$   
 $n' = \frac{1}{3}a' : b : \frac{1}{3}c$ . —  $p, r, \frac{r'}{2}, b, c$ .

	Berechnet	Beobachtet
$m : m = 163^\circ 36'$		
$n' : n' = 160 \quad 10$		
$p : p =$		$*122^\circ 9'$
$c : r =$		$*121 \quad 19$
$\frac{r'}{2} = 137 \quad 24$		
$p : r =$		$*140 \quad 3$

Theils Combinationen von  $p, b, c, m$ , prismatisch nach  $p$ , theils solche mit  $n'$  und  $\frac{r'}{2}$ , kurzprismatisch mit stärkerer Ausdehnung von  $r$ .

Optische Axenebene  $ac$ . — Ber. d. ch. Ges. 1880, 607. — Groth Ztschr. 5, 568.

#### Tyrosin, Chlorwasserstoff. $C^9H^{11}NO^3 \cdot HCl$ .

Zwei- und eingliedrig.  $a : b : c = 1,2279 : 1 : 0,5683$  Zepharovich.  
 $o = 88^\circ 19',5$ .

$p, q, a, c.$	Berechnet	Beobachtet
$p : p = 78^\circ 20',5$		$78^\circ 21'$
$a = 129 \quad 10$		$129 \quad 10$
$c = 91 \quad 3,5$		
$q : q = 120 \quad 48$		

	Berechnet	Beobachtet
$q : a =$		$^{\circ}91^{\circ} 27'$
$p =$		$^{\circ}113 \ 34$
$a : c =$	$94^{\circ} 40',5$	

Die  $q$  finden sich nur rechts, und  $c$  wurde nur einmal beobachtet.  
Tafelartig nach  $a$ .

Ebene der optischen Axen  $ac$ . — Wien. Ak. Ber. 59.

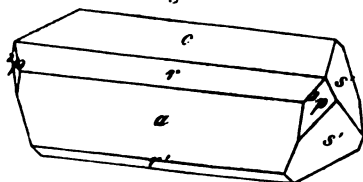
### Tyrosin, schwefelsaures. $C^9H^{11}NO^3 \cdot H^2SO^4$ .

Zwei- und eingliedrig.  $a : b : c = 0,9033 : 1 : 0,6368$  Zepharovich.  
 $\alpha = 88^{\circ} 52'$ .

$s' = a' : \frac{1}{2}b : c$ . —  $^2p, r, ^3r, r', a, c$ .

	Berechnet	Beobachtet
$^2p : ^2p =$	$57^{\circ} 56'$	
$a =$		$^{\circ}118^{\circ} 58'$
$c =$	$90 \ 33$	$90 \ 45$
$a : c =$		$^{\circ}94 \ 8$
$r : r' =$	$109 \ 38,5$	
$a : r =$	$125 \ 56$	$126 \ 5$
$r' =$	$124 \ 25,5$	$124 \ 32$
$c : r =$		$^{\circ}145 \ 11,5$
$r' =$		$^{\circ}144' \ 46,5$
$^3r : a =$	$104 \ 47,5$	
$c =$	$166 \ 50,5$	$166 \ 52$
$s' : s' =$	$50 \ 54$	$50 \ 45$
$a =$	$104 \ 4$	$104 \ 6,5$
$c =$	$110 \ 28$	$110 \ 24$
$r' =$	$115 \ 27$	$115 \ 20$
$^2p =$	$155 \ 41$	$155 \ 42$

Fig. 124.



Prismatisch nach der Verticalzone und tafelartig nach  $a$ , mit dem einen Ende aufgewachsen. Fläche  $^3r$  wurde nur einmal beobachtet. — Fig. 124.  
Ebene der optischen Axen  $= ac$ . — A. a. O.

### Valeral. (Valeraldehyd.) $C^5H^{10}O$ .

Ausdehnung.  $V = 1 + 0,0014963 t + 0,000002975 t^2 - 0,0000000044807 t^3$  (0 bis  $86^{\circ},5$ ) Kopp.

Volumgewicht. 0,8057 bei  $17^{\circ},4 = 0,8224$  bei  $0^{\circ}$ . Kopp.

Siedepunkt.  $92^{\circ},8$  (740,4 mm) Kopp.

Specif. Wärme s. Valeriansäure.

### Valeriansäure. $C^5H^{10}O^2$ .

Ausdehnung.  $V = 1 + 0,0010476 t + 0,00000024001 t^2 + 0,0000000082466 t^3$  ( $16^{\circ},5$  bis  $161^{\circ},4$ ) Kopp.

Volumgewicht. 0,935 ( $15^{\circ}$ ) Delffs; 0,9403 ( $15^{\circ}$ ) Person; 0,9378 ( $19^{\circ},6$ ) = 0,9555 ( $0^{\circ}$ ) Kopp; 0,9558 ( $15^{\circ}$ ) Mendelejew; 0,947 ( $0^{\circ}$ ) Pierre.

**Valeriansaures Aethyl.  $C^{12}H^{15} \cdot C^5H^9O^2$ .**

Volumgewicht. 0,870 (43°,5) Delffs; 0,869 (44°) Be  
Siedepunkt. 434°,5 Delffs; 433—434° Berthelot.  
Brechungsexponent. 1,3904 Delffs.

**Valeriansaures Amyl.  $C^5H^{11} \cdot C^5H^9O^2$ .**

Ausdehnung.  $V = 1 + 0,0010347 t + 0,0000000:$   
 $0,0000000076898 t^2$  (7°,9 bis 457°) Kopp.

Volumgewicht. 0,8645 (47°,7) = 0,8793 (0°) Kopp  
(45°) Mendelejew.

Siedepunkt. 487°,8—488°,3 (730 mm) Kopp.

**Valeriansaures Methyl.  $CH^3 \cdot C^5H^9O^2$ .**

Ausdehnung.  $V = 1 + 0,00112415 t + 0,000004$   
 $0,0000000058627 t^2$  (5°,5 bis 404°,4) Kopp.

Volumgewicht. 0,901525 (0°) Kopp.

Siedepunkt. 446°,2 (760 mm) Kopp.

Specif. Wärme. 0,494 zwischen 45° und 24° Kopp.  
72, 288. 75, 406.

**Valeriansaures Kupfer.  $CuC^{10}H^{18}O^4 + aq$ .**

Zwei- und eingliedrig.  $a : b : c = 1,586 : 4 : 0,937$  Sch  
 $o = 87° 53'$ .

$p, r, r', b, c.$

Berechnet

Beobachtet

$p : p =$

\*64° 30'

$c = 404° 22'$

... .. 440 22

**Vanillin.**  $C^8H^8O^3$ .

Zwei- und eingliedrig.  $a : b : c = 4,7942 : 1 : 3,9463$  Shadwell.  
 $\alpha = 60^\circ 33'$ .

$\frac{\alpha'}{2}$ ,  $p$ ,  $r'$ ,  $c$ .

	Berechnet	Beobachtet
$p : p =$		$65^\circ 13',5$
$c =$		$105 \ 22$
$r' = 118^\circ 44'$		$118 \ 51$
$\frac{\alpha'}{2} : c = 103 \ 9$		$105 \ \text{appr.}$
$p = 123 \ 39$		$124 \ -$

Prismatisch nach  $cr'$ ; meist Zwillinge nach  $r'$ ; spaltbar nach  $c$ .

Optische Axenebene parallel Axe  $b$  und fast senkrecht zu  $r'$ . — Groth Ztschr. 5, 343.

**Violursäure.**  $C^4H^3N^3O^4$ .

Zweigliedrig.  $a : b : c = 0,8258 : 1 : 1,949$  Rammelsberg.

$\alpha$ , $q$ .	Berechnet	Beobachtet
$\alpha \left\{ \begin{array}{l} 2A = \\ 2B = \\ 2C = 113^\circ 48' \end{array} \right.$		$105^\circ 30'$
$q : q = 54 \ 20$		$85 \ 45$
$\alpha = 132 \ 52$		

Das Oktaeder ist gewöhnlich nach der Zonenaxe  $ac$  prismatisch. Größere Krystalle trüben sich bald.

**Xanthoxilin.**  $C^{20}H^{24}O^8$ .

Zwei- und eingliedrig.  $a : b : c = 1,3307 : 1 : 0,6402$  Miller.  
 $\alpha = 82^\circ 24'$ .

$p$ , $q$ , $a$ , $b$ .	Berechnet	Beobachtet
$p : p =$	$74^\circ 20'$	
$a =$		$127^\circ 10'$
$b = 112 \ 50$		$112 \ 50$
$q : q = 117 \ 40$		
$b =$		$121 \ 10$
$a =$		$96 \ 30$

Prismatisch nach  $p$  und tafelartig nach  $a$ . — Miller: Ann. Chem. Pharm. 89, 252.

**Xylidin, chlorwasserstoffsäures, Meta-.**  $C^8H^{11}N \cdot HCl$ .

A. Zwei- und eingliedrig.  $a : b : c = 0,9178 : 1 : 0,2873$  Arzruni.  
 $\alpha = 85^\circ 46'$ .

$p$ , $q$ , $b$ .	Berechnet	Beobachtet
$p : p =$	$95^\circ 4'$	
$b =$		$132^\circ 28'$
$q : q = 118 \ 2$		
$b =$		$105 \ 59$
$p =$		$103 \ 58$

Gelbe Prismen  $p$ ,  $b$ .

		$\alpha = 78^{\circ} 23'$	
$p, q, b, c.$	Berechnet	Beobachtet	
$p : p =$		$\sim 122^{\circ} 44'$	
$c =$		$\sim 100 \quad 21$	
$q : q = 117^{\circ} 40'$			
$c = 148 \quad 50$			
$b =$		$\sim 121 \quad 40$	
$p : q \left\{ \right.$	$= 113 \quad 32$	$113 \quad 44$	
	$= 95 \quad 36$	$95 \quad 49$	

Farblose durchsichtige dicke Tafeln nach  $c$ .

Optische Axenebene  $ac$ . — Groth Ztschr. 3, 246.

#### Zimmtsäure. $C^9H^8O^2$ .

Zwei- und eingliedrig.  $a : b : c = 0,859 : 1 : 0,3456$  Sch  
 $\alpha = 82^{\circ} 58',5$ .

$p, q, b, c.$	Berechnet	Beobachtet	
		Schabus	G. Rose
$p : p = 99^{\circ} \quad 6'$			$98^{\circ} 44'$
$b =$		$\sim 130^{\circ} 27'$	
$c = 95 \quad 20$			
$q : q = 145 \quad 14$			$146 \quad 0$
$b =$		$\sim 107 \quad 23$	
$c =$		$\sim 106 \quad 25$	

Prismatisch nach  $p$  und tafelartig nach  $b$ . Selten ist  $c$ .

Spaltbar sehr vollkommen nach  $b$ . Fettglanz, auf  $b$  Perlmu  
 Volumgewicht. 1,195 (Schabus); 1,249 Sch r  
 G. Rose: Ann. Chem. Pharm. 34, 269. — Schabus: Wier  
 (1850 Juli).

Ebene der optischen Axen parallel Axe  $b$ , gegen Axe  $c$  unt  
 vorn geneigt. Zweite Mittellinie ist  $b$ ; positiv.  $2H_{\alpha} = 149$

Volumgewicht. 1,0498 bei 20°, 2 = 1,0656 bei 0° Kopp.

Siedepunkt. 266°, 6 (760 mm) Kopp. .

**Zinndiäthylchlorid.**  $\text{Sn}(\text{C}^2\text{H}_5)_2\text{Cl}_2$ .

Zweigligedrig.  $a : b : c = 0,8386 : 1 : 0,9432$  Hiortdahl.

$p^2, \frac{q}{2}, a, b.$	Berechnet	Beobachtet
$p^2 : p^2 =$	134° 30'	
$a =$	157 45	157° 35'
$b =$		*112 45
$\frac{q}{2} : \frac{q}{2} =$	129 30	129 50
$b =$		*115 15

Krystalle aus Aether-Chloroform, mit etwas gekrümmten Flächen, während die aus wässriger Lösung zwar gross aber nicht messbar sind. Prismatisch nach  $b, \frac{q}{2}$ .

Optische Axenebene  $bc$ , Mittellinie  $b$ ; schwache Dispersion,  $\rho < v$ . Isomorph der Methylverbindung und dem Chlorblei. — A. a. O. 286.

**Zinndimethylchlorid.**  $\text{Sn}(\text{CH}_3)_2\text{Cl}_2$ .

Zweigligedrig.  $a : b : c = 0,834 : 1 : 0,9407$  Hiortdahl.

$p, q.$	Berechnet	Beobachtet
$p : p =$		*100° 20'
$q : q =$		*93 34
$p =$	146° 2'	115 59

Groth Ztschr. 4, 286.

**Zinndimethyl-Platinchlorid.**  $(\text{Sn}[\text{CH}_3]_2\text{Cl} + \text{PtCl}_4) + 7\text{aq.}$

Zweigligedrig.  $a : b : c = 0,8883 : 1 : 0,9768$  Hiortdahl.

$o, q\frac{2}{3}, r, r^3, b, c.$	Berechnet	Beobachtet
$o \left\{ \begin{array}{l} 2A = \\ 2B = \\ 2C = \end{array} \right.$	$\begin{array}{l} 113^\circ 22' \\ 103 38 \\ \end{array}$	$\begin{array}{l} 113^\circ 25' \\ 103 28 \\ *111 35 \end{array}$
$q\frac{2}{3} : q\frac{2}{3} =$	111 42	111 54
$c =$	124 19	124 17
$b =$	115 41	115 43
$r : r =$	84 34	
$c =$	132 17	132 15
$r^3 : r^3 =$	33 44	33 42
$c =$	106 52	106 55
$o : b =$		*123 19
$c =$	124 12	

Schöne rothe Krystalle, an denen entweder  $o$  vorherrscht, oder  $r^3$  und  $q\frac{2}{3}$  in Gleichgewicht stehen oder  $c$  als Tafelfläche überwiegt, und die selten die  $r$  zeigen. — A. a. O.



**Zinndimethyl, ameisensaures.**  $\text{Sn}(\text{CH}_3)_2(\text{CHO}_2)_2$ .Zweigliedrig.  $a : b : c = 0,7287 : 1 : 0,4784$  Hiortdahl.

$o, r, a, b.$	Berechnet	Beobachtet
$o \begin{cases} 2A = 136^\circ 24' \\ 2B = 118 \quad 44 \\ 2C = 78 \quad 10 \end{cases}$		$136^\circ 24'$
$r : r = 113 \quad 26$		$113 \quad 16$
$a = 123 \quad 17$		$122 \quad 53$
$o : a = 120 \quad 38$		
$b =$		$*111 \quad 48$
$r = 158 \quad 12$		$158 \quad 40$

Rechtwinklige Prismen  $ab$ , tafelartig, und spaltbar nach  $b$ .  
 Isomorph den Formiaten von Baryum, Calcium und Blei.

**Zinndimethyl, schwefelsaures.**  $\text{Sn}(\text{CH}_3)_2 \cdot \text{H}_2\text{SO}_4$ .Zwei- und eingliedrig.  $a : b : c = 1,321 : 1 : 1,6518$  Hiortdahl.  
 $o = 83^\circ 54'.$ 

$$n' = a' : \frac{1}{2}b : c.$$

$$m = a : \frac{1}{2}b : \frac{1}{2}c. — p, r', a, c.$$

	Berechnet	Beobachtet
$p : p =$		$*74^\circ 34'$
$a = 127^\circ 17'$		$127 \quad 11$
$c =$		$*93 \quad 37$
$a : c = 96 \quad 6$		$96 \quad 1$
$c : r' =$		$*121 \quad 51$
$p : r' = 117 \quad 12$		$116 \quad 59$
$n' : n' = 130 \quad 28$		$130$ ungef.
$c = 103 \quad 52$		$103 \quad 58$
$r' = 114 \quad 45$		$115 \quad 0$
$m : c = 131 \quad 54$		$131 \quad 56$

Tafelartig nach  $c$ ;  $a$  selten.**Zinndipropylchlorid.**  $\text{Sn}(\text{C}_3\text{H}_7)_2\text{Cl}_2$ .Zweigliedrig.  $a : b : c = 0,6943 : 1 : 1,3397$  Hiortdahl.

$o^2, o^3, q^2, r, r^2, c.$	Berechnet	Beobachtet
$o^2 \begin{cases} 2A = 112^\circ 10' \\ 2B = 73 \quad 6 \\ 2C = 155 \quad 58 \end{cases}$		$113^\circ$ ungef.
$o^3 \begin{cases} 2A = 111 \quad 14 \\ 2B = 71 \quad 10 \\ 2C = 163 \quad 52 \end{cases}$		$71 \quad 0'$
$q^2 : q^2 = 40 \quad 56$		$40 \quad 59$
$c =$		$*110 \quad 22$
$r : r = 53 \quad 56$		
$c =$		$116 \quad 58$

$$\begin{array}{rcl}
 r^2 : r^2 & = & 29^\circ 4' \\
 c & = & 104 \ 32 \qquad 104^\circ 47' \\
 o^2 : c & = & 102 \ 4 \qquad 103 \ 24 \\
 o^3 : c & = & 98 \ 4
 \end{array}$$

Entweder herrschend  $o^2$  mit krummen und gestreiften Flächen (aus Alkohol) oder (aus Aether-Chloroform oder Schwefelkohlenstoff) nach  $c$  tafelförmige Combinationen, an denen  $c$  und  $q^2$  glatt, die  $o$  aber sehr unvollkommen sind. Die  $r$  treten selten auf. — Groth Ztschr. 4, 288.

### Zinnphenylchlorid. $\text{Sn}(\text{C}_6\text{H}_5)_2\text{Cl}_2$ .

Eingliedrig.  $a : b : c = 0,5877 : 1 : 1,0666$  Arzruni.

$p, {}^4p, q', a, b, c$ .

$$\begin{array}{rcl}
 A & = & 117^\circ 5' \qquad \alpha = 117^\circ 13' \\
 B & = & 102 \ 46 \qquad \beta = 101 \ 12 \\
 C & = & 92 \ 15 \qquad \gamma = 94 \ 3
 \end{array}$$

	Berechnet	Beobachtet
$a : b =$		$92^\circ 15'$
$p : a =$		$117 \ 53$
$b = 124^\circ 22'$		$124 \ 16$
$c = 115 \ 9$		$112 \ 37$
${}^4p : a = 114 \ 4$		$113 \ 38$
$b = 158 \ 14$		$158 \ 34$
$p = 146 \ 8$		$145 \ 46$
$b : c =$		$117 \ 5$
$q' =$		$123 \ 20$
$a : c =$		$102 \ 46$

Herrschend die Hexaidflächen. Die Krystalle trüben sich an der Luft, daher die Messungen zum Theil sehr ungenau sind. — Groth Ztschr. 5, 308.

### Zinntriäthyl, schwefelsaures. $(\text{Sn}[\text{C}_2\text{H}_5]_3)_2\text{SO}_4$ .

Dimorph.

A. Sechsgliedrig.  $a : c = 1 : 1,2656$  Hiortdahl.

$d, d^2, p$ .

	Berechnet	Beobachtet
$d \left\{ \begin{array}{l} 2A = 131^\circ 16' \\ 2C = 111 \ 14 \end{array} \right.$		$131^\circ 33'$
$d^2 \left\{ \begin{array}{l} 2A = 122 \ 24 \\ 2C = 149 \ 4 \end{array} \right.$		
$p : d =$		$145 \ 37$
$d^2 = 164 \ 5$		$160 \ 44$
$d : d^2 = 164 \ 32$		$164 \ 22$

Dünne Prismen.

Optisch einaxig, positiv.

B. Eine unbeständige Form, aus Alkohol einmal erhalten, war regulär. Oktaeder, welche schnell undurchsichtig und rissig wurden und zerfielen. — A. a. O. 290.

### Zinntriäthyl, selensaures. $(\text{Sn}[\text{C}_2\text{H}_5]_3)_2\text{SeO}_4$ .

Regulär. Oktaeder, glänzend und luftbeständig. Hiortdahl.

**Zinntrimethyl, schwefelsaures.**  $(\text{Sn}[\text{CH}_3]_2)_2\text{SO}_4$ .Zweiglig.  $a : b : c = 0,8863 : 1 : 0,8499$  Hiortdahl. $o, p, \frac{r}{2}, a, b, c.$ 

	Berechnet	Beobachtet
$o \left\{ \begin{array}{l} 2A = \\ 2B = \\ 2C = \end{array} \right.$	$116^\circ 56'$ $107 \ 42$ $104 \ 4$	$116^\circ 58'$ $107 \ 32$ $103 \ 56$
$p : p =$	$96 \ 54$	$97 \ 4$
$a =$	$138 \ 27$	$138 \ 32$
$b =$	$131 \ 33$	$131 \ 32$
$\frac{r}{2} : \frac{r}{2} =$	$128 \ 46$	
$a =$	$115 \ 37$	
$c =$	$154 \ 23$	$154 \ 28$
$o : a =$	$126 \ 9$	$126 \ 9$
$b =$		$*121 \ 32$
$c =$		$*127 \ 58$
$p =$	$142 \ 2$	$142 \ 6$

Gewöhnlich herrscht  $o$  vor; auch tafelartig nach  $c$ . Oft unsymmetrisch, nach der Zone  $ab$  verlängert.

Die Form lässt sich mit der des Natrium- und Silbersulfats vergleichen — Groth Ztschr. 4, 294.

**Zuckersaures Kali, saures.**  $\text{KHC}^6\text{H}^8\text{O}^6$ .Zweiglig.  $a : b : c = 0,7893 : 1 : 0,4477$  Schabus. $p, q, a, b.$ 

	Berechnet	Beobachtet
$p : p =$	$103^\circ 26'$	
$a =$		$*141^\circ 43'$
$q : q =$		$*131 \ 46$
$b =$	$114 \ 7$	$114 \ 0$
$p =$	$104 \ 40$	

Tafelartig nach  $a$ , der Spaltungsfläche.

## Nachträge.

### Acetylorthoamidobenzoessäure. $C^9H^9NO^3$ .

Zweiglig.  $a : b : c = 0,9821 : 1 : 0,8979$  Fletcher.

$o, o^3, c.$

	Berechnet	Beobachtet
$o \left\{ \begin{array}{l} 2A = 112^\circ 56' \\ 2B = 111 \quad 32 \\ 2C = 104 \quad 4 \end{array} \right.$		
$o^3 \left\{ \begin{array}{l} 2A = 94 \quad 50 \\ 2B = \\ 2C = 154 \quad 56 \end{array} \right.$		$94^\circ 35'$
$c : o = 127 \quad 58$		$126 \quad 42$
$o^3 =$		$104 \quad 2$
$o : o^3 = 156 \quad 4$		$157 \quad 9$

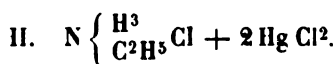
Seltener ist das Oktaeder  $a : \frac{1}{3}b : 3c$ .

Tafelartig nach  $c$ .

Schmelzpunkt  $179-180^\circ$ . — J. Chem. Soc. 37, 754 (1880).

### Aethylammonium-Quecksilberchlorid.

Ausser der S. 465 angeführten Verbindung hat Topsøe später noch folgende beschrieben.



Zweiglig.  $a : b : c = 0,8059 : 1 : 0,4889$  Topsøe.

$p, r, b.$

	Berechnet	Beobachtet
$p : p =$		$102^\circ 46'$
$b = 128^\circ 52'$		$129 \quad 0$
$r : r = 117 \quad 34$		$117 \quad 22$
$p =$		$113 \quad 49$

Kleine Prismen  $p$ , welche die Spaltungsflächen sind.



Sechsgliedrig.  $a : c = 1 : 0,9955$  Topsøe.

$r, a.$

	Berechnet	Beobachtet
$2A \text{ von } r =$		$98^\circ 24'$
$r : a = 130^\circ 48'$		$130 \quad 43$

Undurchsichtige Rhomboeder, oft tafelartig nach einer ihrer Flächen. Spaltbar nach  $r$ . — Krystallografisk-kemiske Undersøgelser over homologe Forbindelser. Oversigt K. D. Vid. Selsk. Forh. 1882.

### Aethylparatolylsulfon. $C^9H^{12}SO^2$

Zweigliedrig.  $a : b : c = 0,5256 : 1 : 0,7209$  Schwebel.

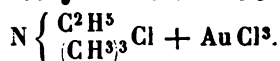
$o, p, c$ .

	Berechnet	Beobachtet
$o \begin{cases} 2A = 133^\circ 59' \\ 2B = 83 \quad 54 \\ 2C = 114 \quad 20 \end{cases}$		$133^\circ 53'$
$p : p =$		$124 \quad 33$
$o = 147 \quad 10$		

Tafelartig nach  $c$ . — Ber. d. ch. Ges. 1880, 1276.

Die Winkel sind hier aus dem Axenverhältniss berechnet, womit die Angaben theilweise nicht stimmen ( $o : p = 122^\circ 50'$ ).

### Aethyltrimethylammonium-Goldchlorid.



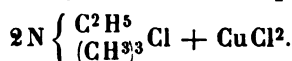
Viergliedrig.  $a : c = 1 : 0,8693$  Topsøe.

$o, p, a, c$ .

	Berechnet	Beobachtet
$o \begin{cases} 2A = 113^\circ 28' \\ 2C = 101 \quad 45 \end{cases}$		$113^\circ 21'$ $101 \quad 53$
$o : a =$		$*123 \quad 16$
$c = 129 \quad 7,5$		$128 \quad 58$
$p = 140 \quad 52,5$		$140 \quad 57$

Prismatisch nach der Horizontalzone. Spaltbar nach  $a$  und  $p$ . — S. Aethylammonium-Quecksilberchlorid.

### Aethyltrimethylammonium-Kupferchlorid.



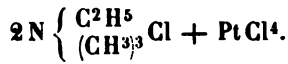
Zweigliedrig.  $a : b : c = 0,856 : 1 : 0,589$  Topsøe.

$o, p, {}^2p, a, b$ .

	Berechnet	Beobachtet
$o \begin{cases} 2A = 128^\circ 20' \\ 2B = 118 \quad 46 \\ 2C = 84 \quad 22 \end{cases}$		$129^\circ 50'$ $118 \quad 25$
$p : p = 98 \quad 54$		
$a = 139 \quad 27$		$139 \quad 8$
${}^2p : {}^2p = 60 \quad 36$		
$a = 120 \quad 18$		$120 \quad 20$
$o : a =$		$*120 \quad 37$
$b =$		$*115 \quad 50$
$p = 132 \quad 11$		

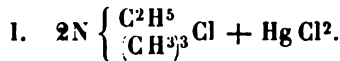
In der Horizontalzone herrschen  $a$  und  $b$ ;  ${}^2p$  ist häufiger als  $p$ . Die Beschaffenheit der Flächen erlaubt keine scharfen Messungen.

**Aethyltrimethylammonium-Platinchlorid.**



Regulär. Oktaeder mit dem Würfel. Undurchsichtig. Spaltbar nach dem Oktaeder. Topsöe.

**Aethyltrimethylammonium-Quecksilberchlorid.**

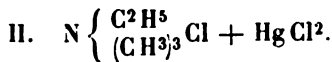


- Zweigliedrig.  $a : b : c = 0,7263 : 1 : 0,8458$  Topsöe.

$n = a : \frac{1}{2}b : c.$  —  $p, q, r, a, c.$

	Berechnet	Beobachtet
$p : p =$	$108^\circ 0'$	
$a =$	$144 0$	
$q : q =$	$99 33$	$99^\circ 21',5$
$c =$	$139 46,5$	$139 40,5$
$r : r =$	$81 16$	$81 17$
$a =$	$139 22$	$139 27$
$c =$		$130 38$
$p : q =$	$112 17,5$	$112 29$
$q : r =$		$119 49$
$n \left\{ \begin{array}{l} 2A = \\ 2B = \\ 2C = \end{array} \right.$	$\begin{array}{l} 84 26 \\ 118 42 \\ 128 4 \end{array}$	
$n : c =$	$115 58$	
$a =$	$120 39$	
$q =$	$144 19,5$	$144 23$
$r =$	$132 13$	

Die zerfliesslichen Krystalle sind prismatisch nach  $a, r, c$ , während  $p$  und  $n$  selten sind. Spaltbar nach  $a$ .



Zwei- und eingliedrig.  $a : b : c = 1,7675 : 1 : 0,8437$  Topsöe.

$o = 88^\circ 33'.$

$o, o', 2o, 2o', p, 2r, 2r', a, c.$

	Berechnet	Beobachtet
$o : o =$	$107^\circ 37'$	
$o' : o' =$	$106, 33$	$106^\circ 36'$
$2o : 2o =$	$80 28$	$80 25$
$2o' : 2o' =$	$79 2$	$79 6$
$p : p =$	$59 1$	$59 2,5$
$a =$		$119 30,5$
$c =$	$90 43$	$90 37,5$
$a : c =$	$94 27$	$94 25,5$
$2r =$	$133 25,5$	$133 27$
$2r' =$	$134 51,5$	$134 49$

	Berechnet	Beobachtet
$o : a$	$= 110^{\circ} 39'$	$110^{\circ} 41'$
$o' : a$	$= 108 \quad 37,5$	$108 \quad 42$
$2o : a$	$=$	$*116 \quad 21,5$
$2o' : a$	$= 115 \quad 7,5$	$115 \quad 11$
$p : o$	$= 133 \quad 26,5$	$133 \quad 24$
$o' =$	$132 \quad 41$	$132 \quad 42$
$2o =$	$=$	$*152 \quad 1$
$2o' =$	$151 \quad 42$	$151 \quad 42,5$

Prismatisch nach der Horizontalzone; in der Endigung überwiegen die  $2o'$  und  $c$ . Glänzend, spaltbar nach  $a$ .



Zweigligdrig.  $a : b : c = 0,8373 : 1 : 0,3847$  Topsøe.

$n = a : \frac{1}{2}b : c$ . —  $o, p, a, b$ .

	Berechnet	Beobachtet
$o \left\{ \begin{array}{l} 2A \\ 2B \\ 2C \end{array} \right.$	$= 141^{\circ} 28'$	$141^{\circ} 28'$
	$= 133 \quad 35$	$133 \quad 34,5$
	$= 118 \quad 8$	$118 \quad 8$
$n \left\{ \begin{array}{l} 2A \\ 2B \\ 2C \end{array} \right.$	$= 110 \quad 5$	
	$= 138 \quad 58$	
	$= 83 \quad 44$	
$p : p$	$= 100 \quad 7$	
$a =$	$140 \quad 3,5$	
$o : a =$	$=$	$*113 \quad 42,5$
$b =$	$=$	$*109 \quad 16$
$p =$	$120 \quad 56$	$120 \quad 59$
$n : a =$	$109 \quad 59$	$110 \quad 0$
$b =$	$124 \quad 57,5$	
$o =$	$164 \quad 19$	

Stark glänzend, tafelartig nach  $a$ ; selten ist  $n$ , noch seltener  $p$ . Spaltbar nach  $a$ .

**Amidodimethylpropionsaures Kupfer.**  $Cu(C^2H^5NO_2)_2 + 2aq$ .

Zwei- und eingliedrig.  $a : b : c = 1,6309 : 1 : 3,1857$  Luedcke.  
 $o = 86^{\circ} 36'$ .

$o, o', r, a, c$ .	Berechnet	Beobachtet
$o : o =$	$70^{\circ} 28'$	
$o' : o' =$	$=$	$*67^{\circ} 34'$
$o : o' =$	$119 \quad 45$	$119 \quad 15$
$o : o' =$	$150 \quad 0$	$149 \quad 50$
$a : c =$	$=$	$*93 \quad 24$
$r =$	$153 \quad 37$	
$c : r =$	$119 \quad 47$	$119 \quad 58$
$o =$	$106 \quad 40$	$106 \quad 47$
$o' =$	$=$	$*103 \quad 20$

Stark glänzend, tafelartig nach  $c$ ; sehr vollkommen spaltbar nach  $c$ .  
Die Maxima der Auslöschungen liegen parallel und senkrecht zur Symmetrieebene in der Fläche  $c$ . — Mittheilung.

**Amidodimethylpropionsäure-Platinchlorid.**  $C^5H^{13}(NO^2)Cl^2 + PtCl^4$ .

Eingliedrig.  $a : b : c = 0,850 : 1 : 1,447$  Luedecke.

$A = 104^\circ 6'$	$\alpha = 105^\circ 43'$
$B = 110 23$	$\beta = 111 34$
$C = 88 49$	$\gamma = 82 6$
$o''', p', q, q', a, b, c.$	Berechnet Beobachtet
$a : b =$	$*88^\circ 49'$
$p' : a =$	$*144 43$
$b = 130^\circ 28',5$	$130 29$
$c = 96 28$	$96 42$
$b : c =$	$*104 6$
$q : a = 104 9,5$	$104 27$
$b = 143 41$	$143 41$
$c =$	$*140 25$
$q' : b = 130 38$	$134 0$
$o''' : a = 127 42$	$127 48$
$b = 121 42,5$	$121 45$
$c = 79 21$	$79 42$

Prismatisch nach  $bc$ . Spaltbar nach  $c$ .

Das Maximum der Auslöschung liegt in  $c$  so, dass es mit der Kante  $qc$  einschliesst. — Mittheilung.

**Amidotrimethyloxybutyronitril.**  $C^{14}H^{32}N^4O^2 + PtCl^4$ .

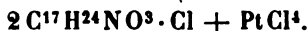
Zweigligdig.  $a : b : c = 0,8248 : 1 : 0,657$  Luedecke.

$o, {}^3p, b.$	Berechnet	Beobachtet
$\left\{ \begin{array}{l} 2A = \\ 2B = \\ 2C = 94^\circ 50' \end{array} \right.$		$*125^\circ 36'$ $*112 42$
${}^3p : {}^3p = 44 0$		$42 8$ ungef.
$o : b = 117 42$		$117 41$

Prismatisch nach  ${}^3p$  und  $b$ . Spaltbar nach  $b$ .

Das Maximum der Auslöschungen liegt immer parallel und senkrecht zur Axe  $c$ . — Groth Ztschr. 6, 267.

**Atropin-Platinchlorid.** (Daturin-Platinchlorid.)



Zwei- und eingliedrig.  $a : b : c = 0,7229 : 1 : 0,4037$  Luedecke.  
 $o = 76^\circ 44'.$

Am Daturinsalz  $o', p, p^2, r.$

Am Atropinsalz  $o', p, r.$



**Benzaldiacetonamin.  $C^{13}H^{17}NO$ .**

Zwei- und eingliedrig.  $a : b : c = 0,7303 : 1 : 0,394$  Lue  
 $o = 84^{\circ} 5'$ .

$o', p, {}^2p, b$ . —  $n' = a' : \frac{1}{2}b : c$ .

	Berechnet	Beobachtet
$o' : o' =$		* $140^{\circ} 19'$
$n' : n' =$	$108^{\circ} 22'$	107 34
$p : p =$		*108 1
${}^2p : {}^2p =$	69 5	
$b =$	145 27,5	145 43,5
$o' : p =$		*120 24
$n' =$	164 4,5	164 32
$n' : b =$	126 49	126 43

Prismatisch nach  $p$ .

Die Maxima der Auslöschungen in der Fläche  $b$  bilden mit  
 menkante nach oben  $40^{\circ}$ , und liegen in den Prismenflächen sym-  
 zur Axenebene  $ac$ , mit der Axe  $c$  einen Winkel von  $20^{\circ}$  bildend  
 theilung.

**Benzylidenphenyldiamin-Chlorwasserstoff.  $C^{13}H^{14}N^2.H$**

Viergliedrig.  $a : c = 1 : 0,3735$  Rosenbusch.

$o, p, a$ .

	Berechnet	Beobachtet
$o \left\{ \begin{array}{l} 2A = \\ 2C = \end{array} \right.$	$55^{\circ} 40'$	* $141^{\circ} 26'$ 55 26—56°
$o : p =$	117 50	
$a =$	109 47	

Spaltbar nach  $a$ .

Doppelbrechung positiv, ziemlich stark. Pleochroitisch: weis

$o, p, q, \frac{r}{2}, a, c.$ 

	Berechnet	Beobachtet
$o : o =$	$78^{\circ} 40'$	
$p : p =$		$67^{\circ} 23'$
$c =$		$95 \quad 24$
$q : q =$	$41 \quad 20$	
$c =$	$110 \quad 40$	$110 \quad 54$
$a : c =$		$99 \quad 44$
$c : \frac{r}{2} =$	$142 \quad 51$	$142 \quad 48$
$o : c =$	$112 \quad 16$	
$p =$	$163 \quad 6$	$163 \quad 15$

Kurz prismatisch. — J. Chem. Soc. 37, 96 (1880).

**Butylaldehydammoniak, Iso-.**  $C^4H^5O \cdot NH^3$ .Sechsgliedrig.  $a : c = 1 : 0,7109$  Haushofer.

$d, p, c.$	Berechnet	Beobachtet
$d \left\{ \begin{array}{l} 2A = \\ 2C = \end{array} \right.$	$\begin{array}{l} 143^{\circ} \quad 0' \\ 78 \quad 46 \end{array}$	
$d : p =$		$129^{\circ} 23'$
$c =$	$140 \quad 37$	

Kurz prismatisch, oder tafelartig nach  $c$ . Oft unsymmetrisch, auch fehlt  $d$  wohl am einen Ende.

Optisch einaxig, negativ.

Schmelzpunkt  $31^{\circ}$ . — Groth Ztschr. 4, 578.**Carboamidossulfoessigs saures Kali.**  $KC^3H^5N^2SO^5$ .Zwei- und eingliedrig.  $a : b : c = 1,34 : 1 : 1,534$  Rumpf.  
 $o = 87^{\circ} 54'$ .

$o, p, q, r', 2r, 2r', c.$	Berechnet	Beobachtet
$o : o =$	$90^{\circ} 32'$	
$p : p =$		$73^{\circ} 30'$
$c =$	$91 \quad 15$	
$q : q =$	$66 \quad 14$	
$c =$	$123 \quad 7$	
$c : r' =$	$129 \quad 56$	
$2r =$		$115 \quad 15$
$2r' =$	$114 \quad 49$	
$q : r' =$		$129 \quad 49$

Ebene der optischen Axen  $= ac$ . — Wien. Ak. Ber. 81, 978.**Daturin-Platinchlorid** s. Atropin.**Cumarin, buttersaures.**Zwei- und eingliedrig.  $a : b : c = 1,192 : 1 : 0,694$  Fletcher.  
 $o = 67^{\circ} 48'$ . $o, p, a, c.$

	Berechnet	Beobachtet
$o : o =$	$128^{\circ} 50'$	
$p : p =$		$84^{\circ} 38'$
$a =$	132 46	
$c =$		105 3
$a : c =$		112 42
$o : p =$	139 44	
$c =$	145 49	

Prismatisch nach  $p$ . Oft hohl, selten an den Enden ausgebildet. - J. Chem. Soc. 39, 447 (1881).

### Cumarin, propionsaures.

Zweiglig.  $a : b : c = 2,195 : 4 : 0,40$  Fletcher.

$o, a, b$ . —  $n = a : \frac{1}{2}b : c$ .

Die Stellung der Krystalle ist unpassend gewählt, auch scheinen in d. Angabe der Indices und Winkel Fehler zu stecken. — A. a. O. 446.

### Diacetonalkamin-Platinchlorid. $C^{12}H^{34}N^2O^2 + PtCl^4$ .

Zwei- und eingliedrig.  $a : b : c = 1,1722 : 4 : 1,8138$  Luedcke  
 $o = 82^{\circ} 0'$ .

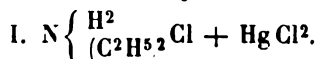
$o, o', \frac{o}{3}, \frac{2}{3}r, a, c$ .

	Berechnet	Beobachtet
$o : o =$		$94^{\circ} 12'$
$o' : o' =$	$87^{\circ} 34'$	
$o : o' =$		106 6
$o : o' =$	134 23	134 43
$a : c =$	98 0	98 26
$\frac{2}{3}r =$	139 46	
$c : \frac{2}{3}r =$	138 44	138 45
$o =$		117 44
$o' =$	108 23	108 44
$\frac{o}{3} =$	139 42	139 ungef.

Spaltpar nach  $c$ .

In  $c$  liegen die Maxima der Auslöschungen parallel und senkrecht zu Symmetrieebene. — Mittheilung.

### Diäthylammonium-Quecksilberchlorid.

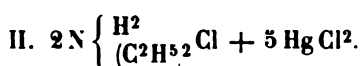


Zweiglig.  $a : b : c = 0,9853 : 4 : 0,4624$  Topsøe.

$p, q$ .

	Beobachtet
$p : p =$	$90^{\circ} 51'$
$q : q =$	130 20
$p =$	107 7,5

Sehr kleine Prismen  $p$ , welche die Spaltungsflächen sind.



Dimorph.

A. Zwei- und eingliedrig.  $a : b : c = 1,82 : 1 : 0,6873$  Topsøe.  
 $o = 83^\circ 29',5$ .

$o, o', p, p^2, q, 2r, a.$	Berechnet	Beobachtet
$o : o =$	$116^\circ 36'$	
$o' : o' =$	$112 \ 49$	
$o : o' =$	$145 \ 29$	$145^\circ \ 5'$
$o : o' =$	$104 \ 2,5$	$103 \ 34$
$p : p =$		$137 \ 52$
$a : p =$	$118 \ 59$	$118 \ 58$
$p : p^2 =$	$161 \ 4$	$160 \ 54$
$2r : a =$	$131 \ 10$	$131 \ 36$
$p =$	$108 \ 34$	$108 \ 42$
$o : a =$	$112 \ 9$	$112 \ 37$
$p =$	$129 \ 57,5$	$129 \ 58$
$q =$	$163 \ 43$	$163 \ 20$
$o' : a =$		$102 \ 22$
$p =$		$126 \ 0$

Prismatisch nach der Horizontalzone; in der Endigung pflegt  $o$  vorzuherrschen. Sehr kleine Krystalle. Spaltbar nach  $p$ .

B. Zwei- und eingliedrig (?). Topsøe.

$p, q$  (?),  $a$ .

Dünne vier- oder sechsseitige Prismen, oft ohne Endigungsflächen. Sie sind glänzend, jedoch gekrümmt.

Annähernd ist  $p : a = 113^\circ \ 0'$   
 $q : a = 93 \ 40$   
 $p = 102 \ 37$

Die Bedingungen für die Bildung beider Arten sind nicht bekannt.



Sechsgliedrig.  $a : c = 1 : 1,1836$  Topsøe.

$r, 2r', a, c.$	Berechnet	Beobachtet
$2A \text{ von } r =$	$97^\circ 40'$	$97^\circ \ 8'$
$- \quad - \quad 2r' =$	$74 \ 10$	$74 \ 10$
(Endk.) $r : 2r' =$		$127 \ 5$
$c : r =$	$130 \ 12$	$130 \ 3$

Undurchsichtige Rhomboeder; herrschend  $r$ ; die Flächen ziemlich matt. — Topsøe: Krystall.-kem. Unders. over homologe Forbindelser. 1882.

**Dibrompyroxanthintetrabromid.**  $\text{C}^{15}\text{H}^{10}\text{Br}^2\text{O}^3 \cdot \text{Br}^4$ .

Eingliedrig.

S. Hill: Proc. Am. Acad. 1880, 155.

andere Stellung der Krystalle vorschlug. Mit Zugrundelegung  
dahl's Messungen ist dann  $a : b : c = 0,8063 : 1 : 0,7403$   
 $\alpha = 84^{\circ} 40'$ .

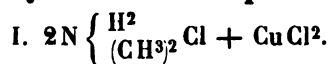
$$n' = a' : \frac{1}{2}b : c.$$

$$s = 2a : \frac{1}{2}b : c. — \frac{r}{2}, r', a, c.$$

	Berechnet	Beobachtet	
		Hiortdahl	Topsøe
$n' : n' =$	$60^{\circ} 38'$		$64^{\circ} 28'$
$a : c =$	$95 \ 20$		
$\frac{r}{2} =$	$119 \ 1$	$119^{\circ} \ 5'$	$118 \ 55$
$r' =$		$*129 \ 39$	$129 \ 52,5$
$\frac{r}{2} : r' =$		$*111 \ 20$	$111 \ 13$
$c : \frac{r}{2} =$	$156 \ 19$		$156 \ 19$
$r' =$	$135 \ 1$		$134 \ 56$
$s : s =$	$54 \ 28$		$55 \ 2$
$\frac{r}{2} =$	$117 \ 14$		$117 \ 32$
$a =$		$*102 \ 49$	$102 \ 54$

Topsøe: Kryst.-kem. Unders. over homologe Forbindelse

#### Dimethylammonium - Kupferchlorid.



Zweigliedrig (?).  $a : b : c = 0,895 : 1 : 0,688$  Topsøe.

$p, q.$

Beobachtet	
$p : p =$	$96^{\circ} 23'$
$q : q =$	$110 \ 58$
$n =$	$112 \ 13$

$$n = \frac{1}{2}a : b : c.$$

$$n' = \frac{1}{2}a' : b : c. - \frac{o'}{2}, p, p^3, q, r, r', a, b, c.$$

Berechnet	Beobachtet
$p : p =$	$*62^{\circ} 21'$
$p^3 : p^3 = 122^{\circ} 18'$	
$p = 150 \quad 4,5$	149 45
$q : q =$	$*72 \quad 44$
$a : c = 97 \quad 36,5$	96 40
$r = 134 \quad 10$	135 30 ungef.
$r' = 125 \quad 8$	125 30 -
$p : q =$	$*137 \quad 2$
$q : r' = 115 \quad 38$	115 35
$n = 99 \quad 46$	98 45 ungef.
$n' = 133 \quad 27,5$	133 15 -
$p : n' = 149 \quad 30$	149 46
$\frac{o'}{2} : q = 153 \quad 49$	153 54

Kurz prismatisch; in der Endigung  $q$  herrschend. Die Augitpaare, ausser  $n'$ , sind selten und kaum ausgebildet. Spaltbar nach  $a$ .

#### Dimethylammonium-Platinbromid.

Vgl. S. 273.

Topsøe fand ausserdem  $p, a, b$  und  $k = 2a : b : c$  und berechnet

$$a : b : c = 0,9972 : 1 : 0,9939.$$

Berechnet	Beobachtet	
	Topsøe	Hjortdahl
$p : p = 90^{\circ} 10'$		$53^{\circ} 34'$
$^2p : ^2p =$	$*53^{\circ} 14',5$	$53^{\circ} 34'$
$q : q =$	$*90 \quad 21$	90 23
$^2p = 129 \quad 4$	129 0	128 37
$k : a = 109 \quad 28$	109 23	
$q = 160 \quad 32$	160 32	

Spaltbar nach  $^2p$  und  $a$ .

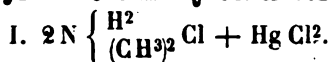
#### Dimethylammonium-Platinchlorid.

Vgl. S. 273.

Topsøe fand

$p : p = 90^{\circ} 26'$	$q : ^2p = 128^{\circ} 38'$
$^2p : ^2q = 53 \quad 20$	$k : q = 160 \quad 39$
$q : q = 94 \quad 16$	$o : q = 144 \quad 55$
$p = 119 \quad 27$	

#### Dimethylammonium-Quecksilberchlorid-

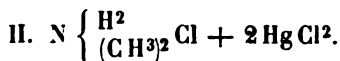


Zwei- und eingliedrig.  $a : b : c = 0,6545 : 1 : 0,4555$  Topsøe.  
 $o = 85^{\circ} 4'.$

$p, {}^2p, \frac{r}{2}, r', a, b.$	Berechnet	Beobachtet
$p : p =$	$113^\circ 52'$	
$a =$	$146 \ 56$	$146^\circ 50'$
${}^2p : {}^2p =$	$104 \ 57$	$104 \ 57$
$a =$		$127 \ 31,5$
$a : \frac{r}{2} =$		$113 \ 37,5$
$r' =$		$121 \ 38$
${}^2p : \frac{r}{2} =$	$104 \ 8$	$104 \ 13$

Prismatisch nach der Horizontalzone, in der  ${}^2p$  und  $a$  überwiegen.

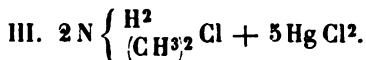
Zwillinge nach der Endfläche, so dass die  ${}^2p$  und  $a$  einspringen Winkel bilden.  $\nwarrow$  Spaltbar nach  $a$ .



Zwei- und eingliedrig.  $a : b : c = 2,3437 : 4 : 1,5032$  Topsöe.  
 $o = 76^\circ 13'.$

$p, r, r', a.$	Beobachtet
$p : p =$	$47^\circ 31'$
$r =$	$105 \ 40$
$p : r' =$	$98^\circ 52'$
$r : r =$	$145 \ 48$

Prismatisch nach  $r$  und  $r'$ . — Spaltbar nach  $c$ .



Eingliedrig.  $a : b : c = 1,9605 : 4 : 0,8685$  Topsöe.

$A = 95^\circ 12'$	$\alpha = 95^\circ 5',5$
$B = 98 \ 44$	$\beta = 98 \ 40,5$
$C = 91 \ 4$	$\gamma = 90 \ 17$

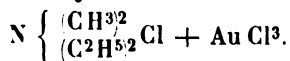
$s' = \frac{1}{3}a' : b' : c.$  —  $o, o', p^2, p', {}^4r, r', a, b.$

	Berechnet	Beobachtet
$p^2 : b =$		$134^\circ 56'$
$p^2 =$		$91 \ 34$
$a : r' =$	$106^\circ 29',5$	$106 \ 22$
${}^4r =$	$146^\circ 11,5$	$146 \ 14$
$r' : b =$		$94 \ 35$
$p',^2 =$		$98 \ 18$
$o : b =$	$129 \ 49,5$	$129 \ 47$
$o' =$	$106 \ 40,5$	$106 \ 48$
$o' : b =$	$123 \ 30$	$123 \ 25$
$p',^2 =$		$133 \ 47,5$
$r' =$	$121 \ 11$	$121 \ 9$

Prismatisch nach der Zone  $br'$ .

Zwillinge nach  $r'$ . — Spaltbar nach  $r'$ .

### Dimethyldiäthylammonium - Goldchlorid.



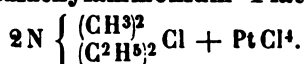
Viergliedrig.  $a : c = 1 : 0,8466$  Topsøe.

$o, p, a, c.$	Berechnet	Beobachtet
$o \begin{cases} 2A = 144^\circ 15' \\ 2C = 100 \quad 17 \end{cases}$		$144^\circ 15'$
$o : p = 140 \quad 8,5$		$140 \quad 9$
$a =$		$*122 \quad 52,5$

Prismatisch, glänzend, doch von nur geringer Grösse.

S. Aethylammoniumsalze.

### Dimethyldiäthylammonium - Platinchlorid.

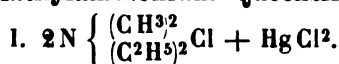


Viergliedrig.  $a : c = 1 : 1,0854$  Groth.

$o, a, c.$	Berechnet	Groth	Beobachtet
$o \begin{cases} 2A = 107^\circ 20' \\ 2C = 113 \quad 56 \end{cases}$		$107^\circ 18'$	$107^\circ 46'$
$o : c =$		$*123 \quad 5$	$113 \quad 56$
$a = 126 \quad 24$		$126 \quad 45$	$123 \quad 2$

Glänzende Krystalle, oft tafelartig nach  $c$ . Spaltbar nach  $c$ . — Groth: Ber. d. ch. Ges. 1875, 240. — Topsøe: s. o.

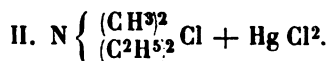
### Dimethyldiäthylammonium - Quecksilberchlorid.



Zweiglig.  $a : b : c = 0,766 : 1 : 0,866$  Topsøe.

$q\frac{2}{3}, r, a, b, c.$	Berechnet	Beobachtet
$q\frac{2}{3} : q\frac{2}{3} = 120^\circ 0'$		
$b = 120 \quad 0$		$120^\circ 20'$
$c =$		$*150 \quad 0$
$r : r =$		$*83 \quad 0$
$a = 138 \quad 30$		$138 \quad 10$
$c = 131 \quad 30$		$131 \quad 50$

Prismatisch nach  $a, c, r$ . Die Flächen sind matt, die Messungen deshalb nur annähernde.



Zweiglig (?)  $a : b : c = 0,587 : 1 : 0,4676$  Topsøe.

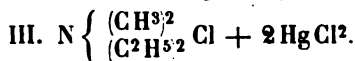
$n = a : 2b : c$ . —  $o, p, \frac{a}{2}, q\frac{2}{3}, b.$

	Berechnet	Beobachtet
$o \begin{cases} 2A = 121^\circ 50' \\ 2B = 108 \quad 24 \\ 2C = 65 \quad 28 \end{cases}$		
$p : p = 119 \quad 10$		$119^\circ 6',5$
$b =$		$*120 \quad 25$



	Berechnet	Beobachtet
$\frac{a}{2} : \frac{a}{2} = 153^\circ 44'$		
$b = 103 \quad 9,5$		$103^\circ 10'$
$q\frac{3}{2} : q\frac{3}{2} = 109 \quad 55$		
$b = 125 \quad 2,5$		$124 \quad 56$
$p =$		$*106 \quad 54 \quad (p \text{ hinten})$
$o : b = 119 \quad 6$		$119 \quad 32 \quad *)$
$p = 132 \quad 44$		$132 \quad 27$
$n : b = 100 \quad 22$		$100 \quad 10$
$p = 128 \quad 18$		$128 \quad 15$

Kleine nadelförmige Krystalle, deren Endigung selten deutlich ist, so-  
dass sie möglicherweise zwei- und eingliedrig sind.

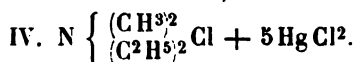


Zweigliedrig.  $a : b : c = 0,8214 : 1 : 0,9487$  Topsöe.

$$n = \frac{2}{3}a : b : c. — p, {}^3p, r, \frac{r}{3}, a.$$

	Berechnet	Beobachtet
$n \left\{ \begin{array}{l} 2A = 107^\circ 15' \\ 2B = 122 \quad 28 \\ 2C = 89 \quad 30 \end{array} \right.$		
$p : p = 104 \quad 12$		
$a =$		$*140 \quad 36'$
${}^3p : {}^3p = 44 \quad 10$		
$a = 112 \quad 5$		$112 \quad 11$
$r : r = 83 \quad 36$		
$a =$		$*138 \quad 12$
$\frac{r}{3} : \frac{r}{3} = 139 \quad 6$		
$a = 110 \quad 27$		
$r = 152 \quad 15$		$151 \quad 35 \text{ ungef.}$
$p : r = 125 \quad 10,5$		$125 \quad 15$
${}^3p : r = 106 \quad 16,5$		$106 \quad 26$

Die Krystalle sind sehr dünne Nadeln, und zu Messungen selten tauglich.



Sechsgliedrig.  $a : c = 1 : 1,0855$  Topsöe.

$r, {}^2r', a, c.$	Berechnet	Beobachtet
$2A \text{ von } r = 94^\circ 48'$		$94^\circ 43'$
$r : c =$		$*128 \quad 35$
$a = 132 \quad 36$		$132 \quad 31$
$2A \text{ von } {}^2r' = 72 \quad 54$		
${}^2r' : c = 111 \quad 45$		$111 \quad 46$
(Endk.) $r = 126 \quad 27$		$126 \quad 26$

Beide Rhomboeder herrschend. Spaltbar nach  $r$ .

\*) Im Original irrthümlich  $110^\circ$  statt  $119^\circ$ .

**Formobromanilid.**  $\text{C}^6\text{H}^6\text{NBrO}$ .Zweiglig.  $a : b : c = 0,9075 : 1 : 1,2758$  Dennstedt. $o, \frac{o}{2}, a, b, c.$ 

	Berechnet	Beobachtet
$o \left\{ \begin{array}{l} 2A = \\ 2B = \\ 2C = 124^\circ 26' \end{array} \right.$		$\begin{array}{l} *107^\circ 2' \\ *98 \quad 8 \\ 124 \quad 31 \end{array}$
$o : a = 130 \quad 56$		130 56
$c = 117 \quad 47$		117 46,5
$\frac{o}{2} = 136 \quad 28$		136 43

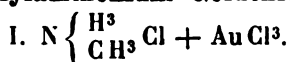
Grosse glänzende Rhombenoktaeder  $o$ , zu welchen  $\frac{o}{2}$  bisweilen hinzutritt, spaltbar nach  $c$ . — Ber. d. chem. G. 1880, 234.

**Hyoscyamin-Platinchlorid.**  $2\text{C}^{17}\text{H}^{24}\text{NO}^3 \cdot \text{Cl} + \text{PtCl}^4.$ Eingliedrig.  $a : b : c = 0,4803 : 1 : 1,0857$  Luedecke.

$A = 78^\circ 49'$	$\alpha = 77^\circ 58'$
$B = 105 \quad 28$	$\beta = 106 \quad 5$
$C = 94 \quad 30$	$\gamma = 94 \quad 43,5$
$p, p' \quad {}^5p, q', b, c.$	Berechnet
$b : p =$	$*116^\circ 29'$
$p' =$	$*114 \quad 2$
${}^5p = 157^\circ 46'$	157 45
${}^5p : p = 139 \quad 45$	139 47,5
$c : p = 99 \quad 4$	99 19
$b : c =$	$*78 \quad 49$
$q' : c =$	$*139 \quad 31$

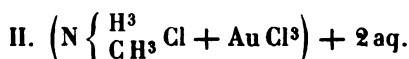
Meist nur  $p, p', c$ . An einem Krystall fand sich  $\frac{1}{2}a' : \frac{1}{2}b' : \frac{1}{2}c$ .

Die Maxima der Auslöschungen bilden mit Axe  $c$  auf  $p$  einen Winkel von  $6^\circ$ , auf  $p'$  mit der gleichen Richtung  $44$ — $46^\circ$ . Durch  $p$  erblickt man im convergenten Lichte das Bild einer optischen Axe am Rande des Gesichtsfeldes. — Groth Ztschr. 6, 268.

**Methylammonium-Goldchlorid.**Zwei- und eingliedrig.  $a : b : c = 2,533 : 1 : 1,637$  Topsøe.  
 $o = 72^\circ 30'.$ 

$o, p, r', {}^2r', a, c.$	Berechnet	Beobachtet
$p : p =$	$44^\circ 58'$	$45^\circ 30'$
$a = 112 \quad 29$		113 0
$c = 96 \quad 36$		96 45
$a : c =$		$*107 \quad 30$
$c : r' = 112 \quad 36$		113 20
${}^2r' =$		$*116 \quad 23$
$p : {}^2r' =$		$*106 \quad 0$
$o : c = 125 \quad 26$		125 30

Prismatisch nach der Verticalzone. Kleine nach  $c$  plattgedrückte nadelförmige Krystalle, deren Flächen zwar glänzend aber gekrümmt sind.



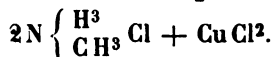
Zweigliedrig.  $a : b : c = 0,2698 : 4 : 0,2322$  Topsöe.

$n = a : \frac{1}{4}b : c$ . —  $p$ ,  $^3p$ ,  $r$ ,  $b$ ,  $c$ .

	Berechnet	Beobachtet
$n \begin{cases} 2A = 144^\circ 13' \\ 2B = 104 \quad 4 \\ 2C = 88 \quad 43 \end{cases}$		$103^\circ 44'$
$p : p = 149 \quad 48$		$150 \quad 4$
$b =$		$*105 \quad 6$
$^3p : ^3p = 102 \quad 2$		
$b = 128 \quad 59$		$128 \quad 52$
$r : r = 98 \quad 29$		$98 \quad 34$
$c = 139 \quad 47$		$139 \quad 0$ ungef.
$n : b = 109 \quad 23,5$		$109 \quad 49$
$c = 135 \quad 38,5$		

Prismatisch nach der Horizontalzone und tafelförmig nach  $b$ ; die Flächen sind glänzend, aber uneben.

#### Methylammonium-Kupferchlorid.



Zweigliedrig.  $a : b : c = 0,972 : 4 : 0,833$  Topsöe.

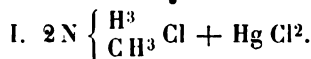
$o^3$ ,  $r^3$ ,  $c$ .

	Berechnet	Beobachtet
$o \begin{cases} 2A = \\ 2B = 92^\circ 36' \\ 2C = 148 \quad 50 \end{cases}$		$*95^\circ 40'$
$r^3 : r^3 = 142 \quad 30$		$148 \quad 30$
$c = 111 \quad 15$		$111 \quad 40$
$o^3 : c =$		$*105 \quad 35$
$r^3 = 137 \quad 50$		$137 \quad 52$

Sehr dünne Tafeln  $c$ , welchen eine vollkommene Spaltbarkeit entspricht.

Optische Axenebene  $ac$ , Mittellinie  $a$ .

#### Methylammonium-Quecksilberchlorid.



Zwei- und eingliedrig.  $a : b : c = 0,603 : 4 : 0,8488$  Topsöe.

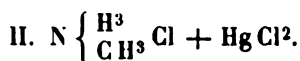
$o = 83^\circ 40'$ .

$o$ ,  $o'$ ,  $p$ ,  $q$ ,  $q^2$ ,  $a$ ,  $b$ .

	Berechnet	Beobachtet
$o' : o' = 125^\circ 29'$		$125^\circ 13'$
$p : p = 118 \quad 8$		$118 \quad 47$
$a =$		$*149 \quad 4$

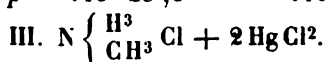
	Berechnet	Beobachtet
$q : q =$		$99^{\circ} 42',5$
$q^2 : q^2 =$	$61^{\circ} 49'$	
$b =$	$149 \ 20,5$	$149 \ 18,5$
$p : q =$	$113 \ 49$	$113 \ 39,5$
$q : a =$		$94 \ 50$
$o : a =$	$134 \ 56$	$134 \ 51$
$b =$	$117 \ 16$	$117 \ 37$
$p =$	$147 \ 16,5$	$147 \ 10$
$q =$	$130 \ 44$	$130 \ 27$
$o : a =$	$139 \ 17$	$144 \ 30$ ungef.
$p =$	$150 \ 7$	

Tafelartig nach  $b$  oder einem  $q$  und prismatisch nach beiden. Spaltbar nach  $a$ .



Sechsgliedrig.  $a : c = 1 : 1,2589$  Topsøe.

$r, p.$	Berechnet	Beobachtet
$2A$ von $r =$		$88^{\circ} 58'$
$r : p =$	$145^{\circ} 28',5$	$145 \ 28$



Zweigligliedrig.  $a : b : c = 0,7632 : 1 : 0,4853$  Topsøe.

$p, r.$	Beobachtet
$p : p =$	$105^{\circ} 48'$
$r : r =$	$115 \ 8$
$p =$	$115 \ 15$

Prismatisch nach  $p$ , den Spaltungsflächen.

### Methylorthoxyphenylacrylsäure. $\text{C}^{10}\text{H}^{10}\text{O}^3$ .

#### I. $\alpha$ -Modification.

Zwei- und eingliedrig.  $a : b : c = 0,677 : 1 : 1,122$  Fletcher.

$o, p, q, \frac{r}{2}, a.$	Berechnet	Beobachtet
$p : p =$	$111^{\circ} 52'$	
$a =$		$145^{\circ} 36$
$q : q =$		$83 \ 30$
$p =$	$113 \ 1$	$113 \ 11$
$a =$		$94 \ 52$
$a : \frac{r}{2} =$	$127 \ 58$	
$o : a =$	$136 \ 58$	$136 \ 42$
$p =$	$152 \ 59$	$153 \ 4$
$q =$	$131 \ 10$	$131 \ 10$

Prismatisch nach  $a, \frac{r}{2}$ , welches gekrümmt ist. Nur einem grösseren Krystall fehlte  $\frac{r}{2}$ , so dass die  $q$  in einer Kante sich schnitten.

II.  $\beta$ -Modification.Zwei- und eingliedrig.  $a : b : c = 0,444 : 4 : 0,807$  Fletcher.  
 $o = 64^\circ 44'$ .

$p, q, a, b.$	Berechnet	Beobachtet
$p : p =$		$*136^\circ 15'$
$b = 111^\circ 52'$		111 49
$q : q = 107 \ 48$		107 47
$b =$		$*126 \ 6$
$a = 110 \ 43$		109 41
$p = 95 \ 43$		95 48

Prismatisch nach  $p$ , und tafelartig nach  $a$ . — J. Chem. Soc. 38, 448 (1884).**Methylorthoxyphenylangelicasäure,  $\alpha$ -.  $C^{12}H^{14}O^3$ .**Zwei- und eingliedrig.  $a : b : c = 1,607 : 4 : 1,963$  Fletcher.  
 $o = 75^\circ 38'$ .

$o', p, r, a, c.$	Berechnet	Beobachtet
$p : p =$		$*65^\circ 26'$
$o = 97^\circ 42'$		97 44
$c : r =$		$*148 \ 55$
$p : r =$		$*143 \ 40$
$o' = 157 \ 33$		158 48 ungef.

Prismatisch nach der Verticalzone, in welcher  $r$  herrscht. — A. a. O**Methylorthoxyphenylcrotonsäure.  $C^{11}H^{12}O^3$ .**I.  $\alpha$ -Modification.Zwei- und eingliedrig.  $a : b : c = 0,863 : 4 : 1,252$  Fletcher.  
 $o = 64^\circ 54'$ .

$p, q, r, r', c.$	Berechnet	Beobachtet
$p : p =$		$*104^\circ 0'$
$c = 109^\circ 32'$		
$q : q = 88 \ 54$		
$c = 134 \ 27$		133 33
$c : r =$		$*140 \ 52$
$r' =$		$*106 \ 48$
$p : r = 135 \ 42$		
$r' = 126 \ 43$		126 17

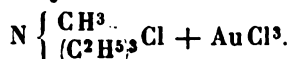
Prismatisch nach  $p$ .II.  $\beta$ -Modification.Zwei- und eingliedrig.  $a : b : c = 1,284 : 4 : 0,762$  Fletcher.  
 $o = 84^\circ 48'$ .

$o, o^2, p, p^{\frac{3}{2}}, r, a, c.$	Berechnet	Beobachtet
$p : p = 76^\circ 44'$		
$p^{\frac{3}{2}} : p^{\frac{3}{2}} = 99 \ 16$		
$a = 139 \ 38$		$139^\circ 22'$

	Berechnet	Beobachtet
$a : c =$	$95^{\circ} 42'$	$95^{\circ} 30'$
$r : a =$		$416 \ 30$
$c =$	$159 \ 12$	
$o : c =$	$134 \ 22$	$134 \ 26$
$a =$		$*144 \ 37$
$o^2 : c =$		$*139 \ 56$
$o =$	$167 \ 38$	$167 \ 43$

Prismatisch nach der Horizontalzone. Häufig Zwillinge nach  $a$ . —  
A. a. O.

### Methyltriäthylammonium-Goldchlorid.

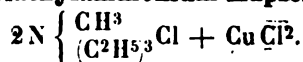


Viergliedrig.  $a : c = 1 : 0,8046$  Topsöe.

$o, p, a, c.$	Berechnet	Beobachtet
$o \left\{ \begin{array}{l} 2A = \\ 2C = \end{array} \right.$	$\begin{array}{l} 115^{\circ} 59' \\ 97 \ 10 \end{array}$	$\begin{array}{l} 116^{\circ} \ 3' \\ \\ \end{array}$
$o : p =$		$*138 \ 35$
$a =$	$122 \ 0$	$122 \ 3$
$c =$	$131 \ 25$	

Feine Prismen. — S. Methylammoniumsalze.

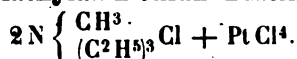
### Methyltriäthylammonium-Kupferchlorid.



Viergliedrig.  $a : c = 1 : 1,477$  Topsöe.

$o.$	Beobachtet
$2A =$	$*100^{\circ} 45'$
$2C =$	$128 \ 48$

### Methyltriäthylammonium-Platinchlorid.

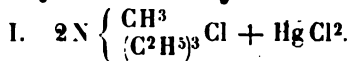


Viergliedrig.  $a : c = 1 : 1,0408$  Topsöe.

$o, a, c.$	Berechnet	Beobachtet
$o \left\{ \begin{array}{l} 2A = \\ 2C = \end{array} \right.$	$\begin{array}{l} 109^{\circ} 44' \\ 110 \ 3 \end{array}$	$\begin{array}{l} 109 \ 45' \\ 110 \ 3 \end{array}$
$o : c =$	$124 \ 58,5$	$125 \ 4$
$a =$		$*125 \ 24,5$

Vorherrschend  $o$ , die Spaltungsform.

### Methyltriäthylammonium-Quecksilberchlorid.

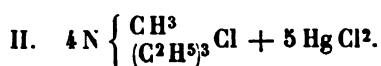


Viergliedrig.  $a : c = 1 : 1,0737$  Topsöe.

$o, d, c.$

	Berechnet	Beobachtet
$o \left\{ \begin{array}{l} 2A = 107^{\circ} 36' \\ 2C = 113 \quad 16 \end{array} \right.$		$107^{\circ} 36'$ $113 \quad 13$
$d \left\{ \begin{array}{l} 2A = 117 \quad 40 \\ 2C = 94 \quad 4 \end{array} \right.$		
$c : o =$		$*123 \quad 22$
$d = 132 \quad 58$		$132 \quad 54$
$o : d = 143 \quad 48$		$143 \quad 48$

Tafelartig nach  $c$ , spaltbar nach  $o$ .

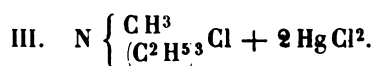


Zwei- und eingliedrig.  $a : b : c = 1,3625 : 1 : 1,0205$  Topsöe.  
 $o = 74^{\circ} 46'$ .

$n' = \frac{1}{2}a' : b : c$ . —  $o', p, q, r', 2r', a, c$ .

	Berechnet	Beobachtet
$n' : n' = 115^{\circ} 43'$		
$o' : o' = 95 \quad 19$		$95^{\circ} 23'$
$p : p = 74 \quad 34$		$74 \quad 28,5$
$a = 127 \quad 16$		$127 \quad 17$
$c =$		$*99 \quad 9$
$q : q = 90 \quad 53$		
$c = 135 \quad 26,5$		$135 \quad 15$
$a = 100 \quad 47$		$100 \quad 59$
$a : c =$		$*105 \quad 14$
$r' = 116 \quad 45$		$116 \quad 40$
$2r' = 142 \quad 1$		$142 \quad 2$
$c : 2r' =$		$*112 \quad 46$
$o' : a = 109 \quad 26$		$109 \quad 34$
$c = 123 \quad 20$		$123 \quad 22$
$p = 137 \quad 34$		$137 \quad 36$
$n' : a = 134 \quad 54,5$		$134 \quad 58$

Prismatisch nach der Verticalzone. Spaltbar nach  $a$ .



Zwei- und eingliedrig.  $a : b : c = 0,8073 : 1 : 0,3644$  Topsöe.  
 $o = 87^{\circ} 23'$ .

$n' = a' : \frac{1}{2}b : c$ . —  $o, o', p, p^2, a, b$ .

	Berechnet	Beobachtet
$n' : n' = 111^{\circ} 59'$		
$o' : o' = 142 \quad 43$		$142^{\circ} 45'$
$p : p = 102 \quad 14$		
$b = 128 \quad 53$		$128 \quad 56$
$p^2 : p^2 = 136 \quad 6$		
$b = 141 \quad 57$		$141 \quad 53$
$o : a = 115 \quad 2$		

	Berechnet	Beobachtet
$o : b =$	$108^{\circ} 3'$	$108^{\circ} 9'$
$o' : a =$		$*110 \ 52$
$p =$		$*118 \ 33$
$n' =$	$102 \ 11$	$102 \ 11$

Rechtwinklige Prismen  $ab$ , in der Endigung  $o'$ . Die übrigen Flächen kommen zum Theil selten vor.

**Methyltriäthylphosphonchlorid s. Triäthylmethyl.**

**Nitrophenylelessigsäure, Ortho-.**  $C^8H^7NO^4$ .

Zwei- und eingliedrig.  $a : b : c = 1,7216 : 1 : 1,022$  Baker.  
 $o = 82^{\circ} 43'$ .

	Berechnet	Beobachtet
$o', p^2, a, c.$		
$o' : o' =$		$*94^{\circ} 28'$
$p^2 : p^2 =$	$99^{\circ} 0'$	$98 \ 44$
$a : c =$		$*97 \ 47$
$o' : a =$	$108 \ 15$	$108 \ 9$
$c =$		$*128 \ 45$

Tafelartig nach  $c$ . Rhomboederähnliche Combinationen  $aco'$ . — J. Chem. Soc. 37, 93 (1880).

**Propylbenzoesäure, Iso-.**  $C^{10}H^{12}O^2$ .

Eingliedrig.  $a : b : c = 2,0782 : 1 : 1,3467$  Panebianco.

$A = 106^{\circ} 39'$	$\alpha = 103^{\circ} 43'$
$B = 104 \ 52$	$\beta = 100 \ 15$
$C = 107 \ 4$	$\gamma = 103 \ 44$

$p, r', 2r', a, b, c.$	Beobachtet
$a : b = 107^{\circ} 4'$	$a : c = 104^{\circ} 52'$
$p = 128 \ 52$	$c : r' = 143 \ 1$
$b : c = 106 \ 39$	

Tafelartig nach  $a$ . Die Krystalle sind wegen Krümmung und Nichtparallelismus der Flächen unvollkommen. — Gazz. chim. ital. 10, 84.

**Pyren.**  $C^{16}H^{10}$ .

Zwei- und eingliedrig.  $a : b = 1,498 : 1$  Trechmann.  
 $o = 79^{\circ} 25'.$

$p, c.$	Beobachtet	
	Trechmann	Groth
$p : p =$	$*68^{\circ} 24'$	$68^{\circ} 44'$
$c =$	$*95 \ 55$	$96 \ 0$

Tafelartig nach  $c$ . Die Flächen sind uneben und gekrümmt. Spaltbar nach  $c$ .

Ebene der optischen Axen senkrecht auf  $ac$ , Mittellinie fast normal auf Fläche  $c$ . Trechmann.

Schmelzpunkt  $149^{\circ}$ .



Gas-Volumgewicht 99,9 Smith und Davies. Berechnet 101. — J Chem. Soc. 37, 443 (1880).

**Pyroxanthin.**  $C^{15}H^{12}O^3$ .

Zwei- und eingliedrig.  $a : b : c = 2,745 : 1 : 1,443$  Hill.  
 $o = 87^\circ 56'$ .

$p, r', a, c.$

Beobachtet

$$\begin{aligned} p : p &= 40^\circ 4' \\ r' : a &= 118 \quad 50 \\ c &= 153 \quad 44 \end{aligned}$$

Schmelzpunkt  $162^\circ$ . — Proceed. Am. Acad. 1880, 155.

**Sulfobenzoesaures Kali, Ortho-.**

Saures.  $KC^7H^5SO^5$ .

Zweigliedrig.  $a : b : c = 0,7279 : 1 : 1,493$  Irby.

$o, q, c.$

Berechnet

Beobachtet

$$\begin{aligned} o \left\{ \begin{aligned} 2A &= 113^\circ 36' \\ 2B &= \\ 2C &= 136 \quad 58 \\ q : q &= 67 \quad 28 \\ o : c &= \end{aligned} \right. \quad \begin{aligned} & \\ & \\ & \\ & \\ *114 \quad 31 \end{aligned} \end{aligned}$$

Spaltbar nach  $c$ . — Ann. Ch. Ph. 478, 293.

**Thiobenzoesaures Benzyl.**  $C^{14}H^{12}SO$ .

Eingliedrig.  $a : b : c = 0,5912 : 1 : 0,3435$  Grünling.

$$\alpha = 67^\circ 33'; \quad \beta = 111^\circ 50'; \quad \gamma = 103^\circ 55'.$$

$p, r', a, b, c.$

Beobachtet

$$\begin{aligned} a : b &= 95^\circ 45' & a : c &= 111^\circ 23' \\ p &= 151 \quad 14 & c : r' &= 139 \quad 15 \\ b : c &= 71 \quad 30 \end{aligned}$$

Prismatisch nach  $a, p, b$  und tafelartig nach  $b$ . Spaltbar nach  $c$ . — Ber. d. ch. G. 1880, 1285.

**Thiobenzolsulfonsaures Phenyl** (Benzoldisulfoxyd).

$C^{12}H^{10}S^2O^2$ .

Zwei- und eingliedrig.  $a : b : c = 1,446 : 1 : 1,471$  Köbig.

$$o = 64^\circ 36'.$$

$o', p, r', b, c.$

Berechnet

Beobachtet

$$\begin{aligned} o' : o' &= 78^\circ 6' & & \\ p : p &= & *74^\circ 52' \\ c &= & *105 \quad 7 \\ c : r' &= 121 \quad 32 \\ o' : r' &= 129 \quad 3 \\ c &= & *109 \quad 14 \end{aligned}$$

Prismatisch nach  $p$ . Zwillinge nach  $r'$ .

Optische Axenebene  $ac$ . — Ber. d. ch. Ges. 1882, 131.

**Thiotolylsulfonsaures Toly!, Para-** (Paratoluoldisulfoxyd).  
 $C^{14}H^{14}S^2O^2$ .Zwei- und eingliedrig.  $a : b : c = 0,4463 : 1 : 1,015$  Fock.  
 $o = 87^\circ 3'$ . $o, o', p, b, c.$ 

Beobachtet

$$\begin{array}{ll} o : o = 136^\circ 20' & p : p = 131^\circ 58' \\ o' : o' = 134 \quad 50 & c = 92 \quad 42 \end{array}$$

Tafelartig nach  $c$ . Spaltbar nach  $b$ .

Die Dispersion der optischen Axenebenen für die einzelnen Farben ist grösser wie sonst, indem die für Roth fast senkrecht zu der für Violett steht.  
S. d. vorige.

**Tribromchloraceton.**  $C^3H^2Br^3ClO$ .Zweigliedrig (?).  $a : b = 0,712 : 1$  Friedländer.

Beobachtet

$$p : p = 109^\circ 4'.$$

Ber. d. ch. G. 1880, 1210.

**Tribromnitrobenzol.**  $C^6H^2 \cdot NO^2 \cdot Br^3$ .Eingliedrig.  $a : b : c = 1,005 : 1 : 0,4823$  La Valle.

$$\begin{array}{ll} A = 101^\circ 35' & \alpha = 98^\circ 34' \\ B = 99 \quad 22 & \beta = 95 \quad 4 \\ C = 114 \quad 46 & \gamma = 113 \quad 33 \end{array}$$

 $n' = 2a : b' : c. - 2p, r, a, b, c.$ 

Beobachtet

$$\begin{array}{ll} a : b = 114^\circ 46' & a : r = 124^\circ 35' \\ b : c = 101 \quad 35 & b : p = 123 \quad 11 \\ a : c = 99 \quad 22 & \end{array}$$

Spaltbar unvollkommen nach  $a$ . — Gazz. chim. ital. 10, 1.**Tritoluylen.**  $C^7H^7N$ .Sechsgliedrig.  $a : c = 1 : 0,9658$  Fletcher. $r, \frac{r'}{2}, a.$ 

Berechnet

Beobachtet

$$\begin{array}{lll} 2A \text{ von } r = 99^\circ 42' & & \\ - \quad - \quad \frac{r'}{2} = & & *130^\circ 6' \\ (\text{Endk.}) r : \frac{r'}{2} = 139 \quad 51 & & 139 \quad 40 \\ a : r = 130 \quad 9 & & 130 \quad 2 \\ \frac{r'}{2} = 114 \quad 57 & & 114 \quad 59 \end{array}$$

Die Flächen von  $r$  sind gerundet. Herrschend  $\frac{r'}{2}$ .

Optisch einaxig, positiv. — J. Chem. Soc. 37, 548 (1880).

## Verbesserungen.

---

Seite 4 Nachzutragen ist das Volumgewicht des Cyans, gefunden 26,4 Gay-Lussac, berechnet 26.

- 55 In der zweiten Formel des Kupferammoniaksalzes muss  $\text{Am}^2\text{C}^2\text{O}^4$  stehen.
- 56 Die Formel des Kali-Ammoniaksalzes sollte sein

$$2 \left( \left\{ \begin{array}{c} \text{Am}^2\text{C}^2\text{O}^4 \\ \text{Cu C}^2\text{O}^4 \end{array} \right\} + 2 \text{aq} \right) + 3 \left( \left\{ \begin{array}{c} \text{K}^2\text{C}^2\text{O}^4 \\ \text{Cu C}^2\text{O}^4 \end{array} \right\} + 2 \text{aq} \right).$$

- 87 Zeile 7 v. u. lies  $n$  statt  $n'$ .
- 126 Die auf Weinstein aufgewachsenen Krystalle des normalen Kalksalzes sind, wie ich kürzlich fand, wasserfrei. Gefunden Ca 24,0, berechnet 24,8 pCt. Sie sind mit einem  $q$  aufgewachsen, und nach demselben tafelförmig. Beobachtet  $q : q = 98^\circ$ ,  $p : q = 115^\circ$ .
- 166 Zeile 4 lies Aethylanilin.
- 170 - 3 v. o. lies Gew.
- 199 - 8 v. u. - sechsseitige.
- 211 - 20 v. o. - aufgesetzt.
- 237 - 13 v. o. - Mittellinie.
- 251 - 5 v. o. - Cumol.
- 294 - 7 v. u. - Hemiedrie.
- 324 - 17 v. u. -  $a : b =$ .
- 326 - 9 v. o. -  $b : c$ .
- 346 Columentitel - phenylen.
- 371 Zeile 15 v. u. - 0,3524.
- 375 - 13 v. o. - sind in einer Platte,
- 381 - 22 v. u. -  $134^\circ 59'$ .









